



This is a digital copy of a book that was preserved for generations on library shelves before it was carefully scanned by Google as part of a project to make the world's books discoverable online.

It has survived long enough for the copyright to expire and the book to enter the public domain. A public domain book is one that was never subject to copyright or whose legal copyright term has expired. Whether a book is in the public domain may vary country to country. Public domain books are our gateways to the past, representing a wealth of history, culture and knowledge that's often difficult to discover.

Marks, notations and other marginalia present in the original volume will appear in this file - a reminder of this book's long journey from the publisher to a library and finally to you.

### Usage guidelines

Google is proud to partner with libraries to digitize public domain materials and make them widely accessible. Public domain books belong to the public and we are merely their custodians. Nevertheless, this work is expensive, so in order to keep providing this resource, we have taken steps to prevent abuse by commercial parties, including placing technical restrictions on automated querying.

We also ask that you:

- + *Make non-commercial use of the files* We designed Google Book Search for use by individuals, and we request that you use these files for personal, non-commercial purposes.
- + *Refrain from automated querying* Do not send automated queries of any sort to Google's system: If you are conducting research on machine translation, optical character recognition or other areas where access to a large amount of text is helpful, please contact us. We encourage the use of public domain materials for these purposes and may be able to help.
- + *Maintain attribution* The Google "watermark" you see on each file is essential for informing people about this project and helping them find additional materials through Google Book Search. Please do not remove it.
- + *Keep it legal* Whatever your use, remember that you are responsible for ensuring that what you are doing is legal. Do not assume that just because we believe a book is in the public domain for users in the United States, that the work is also in the public domain for users in other countries. Whether a book is still in copyright varies from country to country, and we can't offer guidance on whether any specific use of any specific book is allowed. Please do not assume that a book's appearance in Google Book Search means it can be used in any manner anywhere in the world. Copyright infringement liability can be quite severe.

### About Google Book Search

Google's mission is to organize the world's information and to make it universally accessible and useful. Google Book Search helps readers discover the world's books while helping authors and publishers reach new audiences. You can search through the full text of this book on the web at <http://books.google.com/>



## Über dieses Buch

Dies ist ein digitales Exemplar eines Buches, das seit Generationen in den Regalen der Bibliotheken aufbewahrt wurde, bevor es von Google im Rahmen eines Projekts, mit dem die Bücher dieser Welt online verfügbar gemacht werden sollen, sorgfältig gescannt wurde.

Das Buch hat das Urheberrecht überdauert und kann nun öffentlich zugänglich gemacht werden. Ein öffentlich zugängliches Buch ist ein Buch, das niemals Urheberrechten unterlag oder bei dem die Schutzfrist des Urheberrechts abgelaufen ist. Ob ein Buch öffentlich zugänglich ist, kann von Land zu Land unterschiedlich sein. Öffentlich zugängliche Bücher sind unser Tor zur Vergangenheit und stellen ein geschichtliches, kulturelles und wissenschaftliches Vermögen dar, das häufig nur schwierig zu entdecken ist.

Gebrauchsspuren, Anmerkungen und andere Randbemerkungen, die im Originalband enthalten sind, finden sich auch in dieser Datei – eine Erinnerung an die lange Reise, die das Buch vom Verleger zu einer Bibliothek und weiter zu Ihnen hinter sich gebracht hat.

## Nutzungsrichtlinien

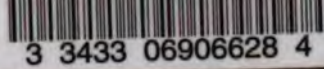
Google ist stolz, mit Bibliotheken in partnerschaftlicher Zusammenarbeit öffentlich zugängliches Material zu digitalisieren und einer breiten Masse zugänglich zu machen. Öffentlich zugängliche Bücher gehören der Öffentlichkeit, und wir sind nur ihre Hüter. Nichtsdestotrotz ist diese Arbeit kostspielig. Um diese Ressource weiterhin zur Verfügung stellen zu können, haben wir Schritte unternommen, um den Missbrauch durch kommerzielle Parteien zu verhindern. Dazu gehören technische Einschränkungen für automatisierte Abfragen.

Wir bitten Sie um Einhaltung folgender Richtlinien:

- + *Nutzung der Dateien zu nichtkommerziellen Zwecken* Wir haben Google Buchsuche für Endanwender konzipiert und möchten, dass Sie diese Dateien nur für persönliche, nichtkommerzielle Zwecke verwenden.
- + *Keine automatisierten Abfragen* Senden Sie keine automatisierten Abfragen irgendwelcher Art an das Google-System. Wenn Sie Recherchen über maschinelle Übersetzung, optische Zeichenerkennung oder andere Bereiche durchführen, in denen der Zugang zu Text in großen Mengen nützlich ist, wenden Sie sich bitte an uns. Wir fördern die Nutzung des öffentlich zugänglichen Materials für diese Zwecke und können Ihnen unter Umständen helfen.
- + *Beibehaltung von Google-Markenelementen* Das "Wasserzeichen" von Google, das Sie in jeder Datei finden, ist wichtig zur Information über dieses Projekt und hilft den Anwendern weiteres Material über Google Buchsuche zu finden. Bitte entfernen Sie das Wasserzeichen nicht.
- + *Bewegen Sie sich innerhalb der Legalität* Unabhängig von Ihrem Verwendungszweck müssen Sie sich Ihrer Verantwortung bewusst sein, sicherzustellen, dass Ihre Nutzung legal ist. Gehen Sie nicht davon aus, dass ein Buch, das nach unserem Dafürhalten für Nutzer in den USA öffentlich zugänglich ist, auch für Nutzer in anderen Ländern öffentlich zugänglich ist. Ob ein Buch noch dem Urheberrecht unterliegt, ist von Land zu Land verschieden. Wir können keine Beratung leisten, ob eine bestimmte Nutzung eines bestimmten Buches gesetzlich zulässig ist. Gehen Sie nicht davon aus, dass das Erscheinen eines Buchs in Google Buchsuche bedeutet, dass es in jeder Form und überall auf der Welt verwendet werden kann. Eine Urheberrechtsverletzung kann schwerwiegende Folgen haben.

## Über Google Buchsuche

Das Ziel von Google besteht darin, die weltweiten Informationen zu organisieren und allgemein nutzbar und zugänglich zu machen. Google Buchsuche hilft Lesern dabei, die Bücher dieser Welt zu entdecken, und unterstützt Autoren und Verleger dabei, neue Zielgruppen zu erreichen. Den gesamten Buchtext können Sie im Internet unter <http://books.google.com> durchsuchen.



3 3433 06906628 4













**Jahresbericht**  
über die Fortschritte der  
**C H E M I E**  
und verwandter Theile anderer Wissenschaften

---

**Erster Theil**  
**Autoren-Register**

---



**Jahresbericht**  
über die Fortschritte der  
**C H E M I E**  
und verwandter Theile anderer Wissenschaften

Begründet von

**J. Liebig und H. Kopp**

herausgegeben von

**F. Fittica**

---

**General-Register**

für die

Berichte von 1877 bis 1886

---

Erster Theil

**Autoren-Register**

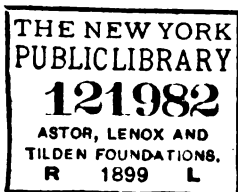
---

Braunschweig

Druck und Verlag von Friedrich Vieweg und Sohn

1898





---

Alle Rechte, namentlich dasjenige der Uebersetzung in fremde Sprachen,  
vorbehalten.

---

NOV 19 1899  
ALBANY  
N.Y.



# Autorenregister.

## A.

- Aarland (G.), **80**: Zinkreactionen 1148.
- 81**: Entschwefung der Sodalaugen, Sodaindustrie 1268.
- Abadie (A.), **77**: Grau- und Schwarzfärben von Papier 1225.
- 80**: Appreturmittel (künstlicher Leim) 1374 f.
- Abadie (de), **79**: Nilwasseruntersuchungen 1261.
- Abbe, siehe Wiebe (H. F.).
- Abbot, **86**: Zusammensetzung neuer amerikanischer Dynamite 2077.
- Abbott (W.), **79**: Vulkanisiren von Kautschuk 1149.
- Abel, **79**: Sprengmittel 1114; siehe auch Noble.
- Abel (F. A.), **81**: Einfluss von Kohlenstaub bei der Explosion von Kohlenminen 1238, bei Grubenexplosionen 1440.
- 82**: Einfluss des Kohlenstaubes bei Grubenexplosionen 1396.
- 83**: Entflammungspunkt von Petroleum 1600; Anwendung der Electricität zur Entzündung explosiver Körper 1703.
- 85**: Gehalt verschiedener Stahlsorten an Eisencarbid 2022; Explosionen nicht explosibler Flüssigkeiten 2106; siehe Noble.
- Abel (F. A.) und Deering (W.), **83**: Eisencarbid im Stahl 1673.
- Abel (F. A.) und Kidwood (B.), **84**: Anwendung des Abel'schen Petroleumprüfungsapparats 1692.
- Abels (M.), **79**: Glycogendarstellung 952 f.
- 83**: Secretion aus der überlebenden durchbluteten Niere 1466 f.
- Abeljanz, **81**: Entflammungstemperatur des Petroleums 1317.
- Abelli (M.), **83**: o- und m-Mononitrobenzylchlorid 595; siehe Schiapparelli (C.).
- 84**: Vorkommen von Mononitrobenzylchlorid im Nitrirungsproduct von Benzylchlorid 585.
- Abich, **84**: Untersuchung eines Feldspaths von Pantelleria 1981 ff.
- Abich (H.), **79**: kaspischer Naphtadistrict 1240.
- 83**: geologische Verhältnisse der kaukasischen Petroleumvorkommnisse 1908.
- Abney, **77**: photographische Bilder 1246.
- 78**: Photographie des rothen und infrarothten Spectrums 187 f.; Beschleunigung von Oxydation durch das wenigst brechbare Ende des Spectrums 188; Entwicklung photographischer Bilder 1196.
- 79**: natürliche Farben bei der Photographie 168.
- 84**: chemische Vorgänge beim Verfahren mit Bromsilbergelatine 1892.
- 85**: Verhalten von Pyrogallol gegen Brom- und Chlorsilber 2257.
- Abney (W.), **80**: Empfindlichkeit der Silbersalze 219; Umkehrung entwickelter photographischer Bildung 220.
- Abney (W. de W.), **81**: Spectrum des Natriums und Calciums 121; Lichtempfindlichkeit von Silbersalzen 1936.
- 82**: spectralanalytische Untersuchung der violetten Phosphorescenz des Calciumsulfids 190; Wirkung des Spectrums auf die Haloidsalze des Silbers 198 f.; Ferrooxalatcitratentwickler 1518.

- 84**: Wellenlängen optischer Linien 289.
- 86**: Wirkung des Spectrums auf Silbersalze 316.
- Abney (W. de W.) und Festing, **81**: Einfluß der Moleculargruppierung organischer Substanzen auf ihre Absorption im ultrarothem Theil des Spectrums 127; Durchgang des Lichts durch Ebonit 129.
- 83**: Strahlung elektrischer Lampen 231; Absorptionsspectrum der Lösung von Jod in Schwefelkohlenstoff 250.
- 85**: Untersuchung der Absorptionsspectra im Ultraroth 323.
- 86**: Farbenphotometrie, Intensität der Strahlung durch trübe Medien 288.
- Abney (W. de W.) und Rowland, **83**: Wellenlängen in der Nähe der Linien A und a 242.
- Abbott (H. L.), **86**: unterseeische Minen 2076.
- Abbott (Miss E. O.), **77**: specifisches Gewicht von Salzen 44.
- Abraham (J. L. H.), **86**: Phenylsulfosäureanhydrid 1546 f.
- Abraham (A. C.), **82**: Laboratoriumsapparate 1350.
- Abraham (C.), **83**: Bestimmung fixer Oele und Fette (Milch) 1632.
- Abraham (K.), **82**: Strömungen der Gasmenge beim Bleikammerproceß 1393 f.
- 83**: Bürette für Flüssigkeiten, welche Kautschuk angreifen 1658.
- Achard (A.), **85**: Quecksilbergalvanometer von Lippmann 231.
- Achiardi (A. de), **78**: Ursprung der Borsäure und der Borate 1212 f.
- Ackermann (E.), **84**: Darstellung von Salzen und Estern von Aurin- und Rosolsäurederivaten: Tetranitroaurin, Tetranitroaurinäthyläther Tetra-bromaurinsilber 1023; Tetra-bromaurinäthyläther, Tetra-bromrosolsäure, Tetra-bromrosolsäure-Aethyläther 1024.
- Ackermann (R.), **82**: Vorgänge beim Rosten von Eisen 1374.
- Ackermann (R.) und Särnström, **83**: Reduction der Eisenoxyde durch Kohlenoxyd 363 f., 1571 f.
- Ackroyd (W.), **77**: Umkehrung der Natriumlinien 184; Absorption von Lösungen 185.
- Acworth (J. J.) und Armstrong (H. E.), **77**: Reduction der Salpetersäure und der Oxyde des Stickstoffs 222; Salpetersäure gegen Metalle 22
- Adair (A.), siehe Michael (A.).
- Adair (A.) und Thomlinson (W.), **84**: Extraction von Schwefel und Phosphor aus Eisenerzen, Schlacke 1723.
- 85**: Gewinnung der Phosphorsäure aus Schlacken und Mineralien 2066.
- Adam (P.), **84**: Darstellung von Bromylenol 1006.
- 86**: Einwirkung von Methylchlorid auf Diphenyl bei Gegenwart von Chloraluminium: Diphenylmethan und Diphenyldiphenylmethan 620 f.; Diphenyl gegen Methylchlorid 621; siehe Grimaux (E.).
- Adamkiewicz (A.), **77**: Nährwert des Peptons 920.
- 80**: Verhalten des Ammoniak im Körper 1112 f.
- Adams (F. D.), **79**: Skapolithe 1216.
- Adams (G.), **80**: Polarskop 1242.
- Adams (H.), **78**: Vermehrung der Gasmenge bei der Leuchtgasfabrikation 1164.
- Adams (M. A.), **84**: Untersuchung von Fruchtsäften 1806.
- 85**: Milchanalyse 1987; Untersuchung geronnener Milch 1988.
- Adams (W. G.), **78**: neues Polarskop 166.
- Adeney (W. E.), siehe Hartley (W. N.).
- Adler (A.), **79**: Derivate des Chrysochinons 592; siehe Gifsmann.
- Adler (G.), **86**: Energie magnetisch polarisirter Körper, Bestimmung der Diamagnetisirungszahl 285.
- Adler (V.), **81**: Cyanverbindungen aus dem Stickstoff der Luft und Kohle 1260.
- Adlerskron, siehe Behagel.
- Adlerskron (H. B. v.), **82**: Analyse von Rohsaccharaten 1439.
- Adlung (M.), **77**: Weizenstärke 1205.
- Ador (E.), **79**: Gerbverfahren 1136.
- 80**: Isophtalophenon 718 f.; siehe Friedel (A.); siehe Friedel (C.); siehe Meyer (Fr.); siehe Billiet (A.); siehe Sauer (A.).
- Ador (E.) und Crafts (J. M.), **77**: Ditolyliketon 625.
- 79**: Naphthyl-o-benzoesäure 730 f.
- Ador (E.) und Meyer (Fr.), **79**: Naphthylsäure und Derivate 705 f.

- Ador (E.) und Rilliet (A.), **78**: Vorkommen von Isoxylol im Xylol 387.  
**79**: Toluol gegen Chlormethyl 368; Ditolylmethan 378; Toluylsäurederivate 685.
- Adrian, **86**: Piliganin aus *Lycopodium selago* var. *Saururus* 1753.
- Adrian und Moreaux, **83**: Quassiin 1361.
- Adrianowsky (A.) und Gustavson, **79**: Aluminiumchlorid gegen Essigsäureanhydrid und Schwefligsäureanhydrid 320.
- Aducco (V.), **86**: physiologische Wirkung des Saccharins 2075 f.
- Affleck, **78**: Stand der Schwefelsäuretechnik 1121.
- Agamennone (G.), **85**: Gewicht eines Liters Luft 69.
- Agema, **84**: Prüfung von Jodoform 1619.
- Agostini (C.), **86**: Erkennung der Glucose 1972.
- Agrestini (A.), **82**: Hexahydronaphthalin 428.
- Agthe (E.), **81**: Bestimmung des Phosphors im Eisen 1170.  
**82**: Phosphorbestimmung im Eisen 1274.
- Ahlén (J. E.), **77**: Quecksilbercyaniddoppelsalze 299.
- Ahrens, siehe Meyer (V.).
- Ahrens (C. D.), **85**: neues Polarisationsprisma 335.
- Ahrens (F.), **86**: Darstellung und Derivate von Octylbenzol 606 ff.; Trimellithsäure aus Terephtalsäure 1454; Mononitro- und Monoamidoterephtalsäure-Methyläther 1454 f.; Monochlorterephtalsäure und Derivate 1455.
- Aich und Rosthorn, **85**: Darstellung von Aich- oder Sterrometall 2046.
- Aillaud, **82**: Analyse des Wassers vom Rio Grande 1627; Analyse von Trinkwasser am Panamakanale 1637 f.
- Aitken (J.), **83**: Lichtabsorption des Wassers vom Mittelmeer 250.
- Akerblom (K. A.), **85**: elektrolytische Bestimmung des Kupfers 2011.
- Akermann (R.), **86**: Schmelzwärme von Hochofenschlacken 2033 f.
- Akerstedt (K.), **82**: Augitanalyse 1556.
- Akestorides (T.), **77**: Oxydation von Leuchtgas, Äthylen und Petroleumgas 361.
- Akitt (Th.), siehe Mills (J.).
- Alander (B.), **77**: Rhodanammonium in Ferrocyanalkalium 1154.  
**78**: Umwandlung von Rhodanammonium in Ferrocyanalkalium 1124.
- Albersheim, siehe Claus (Ad.).
- Albert (H.) und Siegfried (L.), **77**: Prüfung der Superphosphate 1044.  
**79**: Superphosphatanalyse 1038.
- Albert (H.) und Vollbrecht (H.), **79**: Phosphorsäure im Boden 1120.
- Albertoni (P.), **79**: Wirkung der Jaborandiblätter 997 f.  
**82**: Wirkung des Bromkaliums, Atropins, Cinchonidins auf das Großhirn 1221.  
**83**: Cotoïn und Paracotoïn 1353; Verhalten einiger Körper (Aceton, Glucose, Isopropylalkohol, Acetessigsäure,  $\beta$ -Oxybuttersäure, Lävulinsäure) im Organismus in Rücksicht auf Acetonämie und Diabetes 1479 f.; hypnotische Wirkung des Paraldehyds 1486; Wirkungen des Cotoïns und Paracotoïns 1488.
- 84**: Untersuchungen über Acetonämie und Diabetes 1499 ff.  
**86**: physiologische Wirkung von Amidoterebenthen 614; Arbutin als Arzneimittel 1784 f.; Untersuchung des Blutes von Hunden ohne Thyreoidea 1844.
- Albertoni (P.) und Guareschi (J.), **83**: physiologische Wirkungen und therapeutische Verwendung von Chinolin, Kairolin und Kairin 1488.  
**85**: Untersuchungen über das Cocain und Hygrin 1713.
- Albertoni und Luciani, **81**: Wirkung von Alkoloïden aus *Lupinus albus* 1015.
- Alberts (G.), **86**: Analyse von Schiefswolle 1993.
- Albitzky (A.) **84**: Brechungsindices und Molekularrefraction des Kohlenwasserstoffes  $C_{12}H_{20}$  287 f.; Darstellung von  $\beta$ -Dipropylacrylsäure aus  $\beta$ -Dipropyläthylenmilchsäure 1189 f.
- Albitzky (A.) und Nikolsky (W.), **86**: Untersuchung der durch Oxydation des Kohlenwasserstoffes  $C_{12}H_{20}$  (aus Allyldimethylcarbinol) dargestellten Säure  $C_{10}H_{18}O_2$  1399.
- Albrecht (K.), **85**: Pyrogallussäure- und Phloroglucinderivate und deren Beziehungen zum Daphnetin und Aesculetin 1258; siehe Will (W.).
- Albright, Margan und Woolworth, **78**: Hexaäthylbenzol 405.

- 84:** Wellenlängen optischer Linien 289.
- 86:** Wirkung des Spectrums auf Silbersalze 316.
- Abney (W. de W.) und Festing, **81:** Einfluss der Moleculargruppierung organischer Substanzen auf ihre Absorption im ultrarothern Theil des Spectrums 127; Durchgang des Lichts durch Ebonit 129.
- 83:** Strahlung elektrischer Lampen 231; Absorptionsspectrum der Lösung von Jod in Schwefelkohlenstoff 250.
- 85:** Untersuchung der Absorptionsspectra im Ultraroth 323.
- 86:** Farbenphotometrie, Intensität der Strahlung durch trübe Medien 288.
- Abney (W. de W.) und Rowland, **83:** Wellenlängen in der Nähe der Linien A und a 242.
- Abott (H. L.), **86:** unterseeische Minen 2076.
- Abott (Miss E. O.), **77:** spezifisches Gewicht von Salzen 44.
- Abrahall (J. L. H.), **86:** Phenylsulfosäureanhydrid 1546 f.
- Abraham (A. C.), **82:** Laboratoriumsapparate 1350.
- Abraham (C.), **83:** Bestimmung fixer Oele und Fette (Milch) 1632.
- Abraham (K.), **82:** Strömungen der Gasgemenge beim Bleikammerproceß 1393 f.
- 83:** Bürette für Flüssigkeiten, welche Kautschuk angreifen 1658.
- Achard (A.), **85:** Quecksilbergalvanometer von Lippmann 231.
- Achiardi (A. de), **78:** Ursprung der Borsäure und der Borate 1212 f.
- Ackermann (E.), **84:** Darstellung von Salzen und Estern von Aurin- und Rosolsäurederivaten: Tetranitroaurin, Tetranitroaurinäthyläther, Tetrabromaurinsilber 1023; Tetrabromaurinäthyläther, Tetrabromrosolsäure, Tetrabromrosolsäure-Aethyläther 1024.
- Ackermann (R.), **82:** Vorgänge beim Rosten von Eisen 1374.
- Ackermann (R.) und Särnström, **83:** Reduction der Eisenoxyde durch Kohlenoxyd 363 f., 1571 f.
- Ackroyd (W.), **77:** Umkehrung der Natriumlinien 184; Absorption von Lösungen 185.
- Acworth (J. J.) und Armstrong (H. E.), **77:** Reduction der Salpetersäure und der Oxyde des Stickstoffs 222; Salpetersäure gegen Metalle 223.
- Adair (A.), siehe Michael (A.).
- Adair (A.) und Thomlinson (W.), **84:** Extraction von Schwefel und Phosphor aus Eisenerzen, Schlacken 1723.
- 85:** Gewinnung der Phosphorsäure aus Schlacken und Mineralien 2066 f.
- Adam (P.), **84:** Darstellung von p-Bromylenol 1006.
- 86:** Einwirkung von Methylchlorid auf Diphenyl bei Gegenwart von Chloraluminium: Diphenylmethan und Diphenyldiphenylmethan 620 f.; Diphenyl gegen Methylchlorid 621; siehe Grimaux (E.).
- Adamkiewicz (A.), **77:** Nährwerth des Peptons 920.
- 80:** Verhalten des Ammoniakals im Körper 1112 f.
- Adams (F. D.), **79:** Skapolithe 1216.
- Adams (G.), **80:** Polariskop 1242.
- Adams (H.), **78:** Vermehrung der Gasmenge bei der Leuchtgasfabrikation 1164.
- Adams (M. A.), **84:** Untersuchung von Fruchtsäften 1806.
- 85:** Milchanalyse 1987; Untersuchung geronnener Milch 1988.
- Adams (W. G.), **78:** neues Polariskop 166.
- Adeney (W. E.), siehe Hartley (W. N.).
- Adler (A.), **79:** Derivate des Chrysochinons 592; siehe Gifsmann.
- Adler (G.), **86:** Energie magnetisch polarisirter Körper, Bestimmung der Diamagnetisirungszahl 285.
- Adler (V.), **81:** Cyanverbindungen aus dem Stickstoff der Luft und Kohle 1260.
- Adlerskron, siehe Behagel.
- Adlerskron (H. B. v.), **82:** Analysen von Rohsaccharaten 1439.
- Adlung (M.), **77:** Weizenstärke 1207.
- Ador (E.), **79:** Gerbverfahren 1151.
- 80:** Isophthalophenon 718 f.; siehe Friedel (A.); siehe Friedel (C.); siehe Meyer (Fr.); siehe Rilliet (A.); siehe Sauer (A.).
- Ador (E.) und Crafts (J. M.), **77:** Ditolylketon 625.
- 79:** Naphtyl-o-benzoësäure 732 f.
- Ador (E.) und Meyer (Fr.), **79:** Xylsäure und Derivate 705 f.

- Ador (E.) und Rilliet (A.), **78**: Vorkommen von Isoxytol im Xylol 387.  
**79**: Toluol gegen Chlormethyl 368; Ditolylmethan 378; Toluylsäurederivate 685.
- Adrian, **86**: Piliganin aus *Lycopodium selago* var. *Saururus* 1753.
- Adrian und Moreaux, **83**: Quassiin 1361.
- Adrianowsky (A.) und Gustavson, **79**: Aluminiumchlorid gegen Essigsäureanhydrid und Schwefligsäureanhydrid 320.
- Aducco (V.), **86**: physiologische Wirkung des Saccharins 2075 f.
- Affleck, **78**: Stand der Schwefelsäuretechnik 1121.
- Agamennone (G.), **85**: Gewicht eines Liters Luft 69.
- Agema, **84**: Prüfung von Jodoform 1619.
- Agostini (C.), **86**: Erkennung der Glucose 1972.
- Agrestini (A.), **82**: Hexahydronaphthalin 428.
- Agthe (E.), **81**: Bestimmung des Phosphors im Eisen 1170.  
**82**: Phosphorbestimmung im Eisen 1274.
- Ahlén (J. E.), **77**: Quecksilbercyaniddoppelsalze 299.
- Ahrens, siehe Meyer (V.).
- Ahrens (C. D.), **85**: neues Polarisationsprisma 335.
- Ahrens (F.), **86**: Darstellung und Derivate von Octylbenzol 606 ff.; Trimellithsäure aus Terephtalsäure 1454; Mononitro- und Monoamidoterephtalsäure-Methyläther 1454 f.; Monochlorterephtalsäure und Derivate 1455.
- Aich und Rosthorn, **85**: Darstellung von Aich- oder Sterrometall 2046.
- Aillaud, **82**: Analyse des Wassers vom Rio Grande 1627; Analyse von Trinkwasser am Panamakanale 1637 f.
- Aitken (J.), **83**: Lichtabsorption des Wassers vom Mittelmeer 250.
- Akerblom (K. A.), **85**: elektrolytische Bestimmung des Kupfers 2011.
- Akermann (R.), **86**: Schmelzwärme von Hochofenschlacken 2033 f.
- Åkerstedt (K.), **82**: Augitanalyse 1556.
- Akstorides (T.), **77**: Oxydation von Leuchtgas, Aethylen und Petroleumgas 361.
- Akitt (Th.), siehe Mills (J.).
- Alander (B.), **77**: Rhodanammonium in Ferrocyankalium 1154.  
**78**: Umwandlung von Rhodanammonium in Ferrocyankalium 1124.
- Albersheim, siehe Claus (Ad.).
- Albert (H.) und Siegfried (L.), **77**: Prüfung der Superphosphate 1044.  
**79**: Superphosphatanalyse 1038.
- Albert (H.) und Vollbrecht (H.) **79**: Phosphorsäure im Boden 1120.
- Albertoni (P.), **79**: Wirkung der Jaborandiblätter 997 f.  
**82**: Wirkung des Bromkaliums, Atropins, Cinchonidins auf das Großhirn 1221.  
**83**: Cotoïn und Paracotoïn 1353; Verhalten einiger Körper (Aceton, Glucose, Isopropylalkohol, Acetessigsäure,  $\beta$ -Oxybuttersäure, Ävalinsäure) im Organismus in Rücksicht auf Acetonämie und Diabetes 1479 f.; hypnotische Wirkung des Paraldehyds 1486; Wirkungen des Cotoïns und Paracotoïns 1488.  
**84**: Untersuchungen über Acetonämie und Diabetes 1499 ff.  
**86**: physiologische Wirkung von Amidoterebenthen 614; Arbutin als Arzneimittel 1784 f.; Untersuchung des Blutes von Hunden ohne Thyreoidea 1844.
- Albertoni (P.) und Guareschi (J.), **83**: physiologische Wirkungen und therapeutische Verwendung von Chinolin, Kairolin und Kairin 1488.  
**85**: Untersuchungen über das Cocain und Hygrin 1713.
- Albertoni und Luciani, **81**: Wirkung von Alkaloiden aus *Lupinus albus* 1015.
- Alberts (G.), **86**: Analyse von Schiefswolle 1993.
- Albitzky (A.) **84**: Brechungsindices und Molekularrefraction des Kohlenwasserstoffes  $C_{12}H_{20}$  287 f.; Darstellung von  $\beta$ -Dipropylacrylsäure aus  $\beta$ -Dipropyläthylenmilchsäure 1189 f.
- Albitzky (A.) und Nikolsky (W.), **86**: Untersuchung der durch Oxydation des Kohlenwasserstoffes  $C_{12}H_{20}$  (aus Allyldimethylcarbinol) dargestellten Säure  $C_{10}H_{18}O_4$  1399.
- Albrecht (K.), **85**: Pyrogallussäure- und Phloroglucinderivate und deren Beziehungen zum Daphnetin und Aesculetin 1258; siehe Will (W.).
- Albright, Margan und Woolworth, **78**: Hexäthylbenzol 405.

Alder V.), **82**: Darstellung von Cyanverbindungen 1409.

Alekine (Alechin) (A.), **83**: Diisooctyl 531.

**84**: Untersuchung von Mannitan und Isomannid 942 f.

Alekhine (J.), **86**: Untersuchung der Milizitose 1224 f.

Alén (E.), **77**: Fahlerz 1269.

Alén (J. E.), **81**: Dichlornaphtaline und Derivate 397; Tetrachlornaphtalin 398.

**83**: Salze der Methylschwefelsäure 1237 f.; Salze der Äthylschwefelsäure 1238 f.; Nitroderivate der Naphtalindisulfosäuren: Mononitronaphtalin- $\alpha$ -disulfosäurechlorid, Dinitronaphtalin- $\alpha$ -disulfosäurechlorid, Mononitronaphtalindisulfosäurechlorid 1291; Mononitronaphtalin- $\alpha$ -disulfosäureamid 1292.

**84**: Nitroderivate der Naphtalindisulfosäuren 1341 ff.: Mononitronaphtalin- $\alpha$ -disulfosäure, Monoamidonaphtalin- $\alpha$ -disulfosäure, Diazonaphtalin- $\alpha$ -disulfosäure 1341; Dinitronaphtalin- $\alpha$ -disulfosäure, Diamidonaphtalin- $\alpha$ -disulfosäure, Mononitronaphtalin- $\beta$ -disulfosäure 1342;  $\alpha$ -Monoamidonaphtalin- $\beta$ -disulfosäure 1343.

**86**:  $\alpha$ -Oxazonaphtalin- $\alpha$ -sulfosäure 1583.

Alessandri (P. E.), **82**: Extraction von Alkaloiden aus den Pflanzentheilen mittelst Oxalsäure; Untersuchung des Cascarillins 1071 f.; Opiumalkaloide 1072; Buxin, Parabuxin, Buxein aus Buxus sempervirens 1172.

Alessi (A.), **85**: Dibrom-p-oxybenzoesäure aus Dibromnissäure 1478; siehe Albiano (L.).

Alexandrowicz (W.), **80**: Trennung des Zinks vom Kupfer 1187 f.

Alexéeff (M.), **82**: modifizirtes Pyknometer 1350.

Alexéeff und Kissel, **82**: Apocuminsäure 957.

Alexeew (W.), **82**: Löslichkeit der Salicylsäure in Wasser 80 f.

Alexejef, **80**: Diazoverbindungen 567.

Alexejeff (W.), **77**: gegenseitige Löslichkeit von Flüssigkeiten 75; Löslichkeit von Anilin in Wasser 458; Propylaldehyd gegen Schwefelwasserstoff 610.

**79**: molekulare Spannung an der Grenze zweier Flüssigkeiten 87 f.; Verhalten des Isobutyl-, Propyl- und

Amylalkohols beim Auflösen im Wasser 105 f.

**81**: Phenolhydrat 535; flüssiger Campher 626.

**83**: spezifische Wärme der Lösungen 123; Lösungen von Anilin. Phenol, Salicylsäure und m-Mononitrobenzoesäure in Wasser, Lösungen und Gemische 85 ff.; Wärmeeffekt beim Mischen zweier Flüssigkeiten 150; siehe auch Alexejew (W.).

Alexejew (E.), **84**: Natur von Lösungen 110 f.; gegenseitige Löslichkeit von Flüssigkeiten 111.

Alexejew (Alexejeff) (P.), Krystallsystem des Azobenzols 595.

**84**: Constitution des Indigblaus 899; Darstellung von Azocuminsäure 1267 f.

**85**: Verhalten der Nitrocuminsäure gegen Sonnenlicht 1529.

**86**: Nitroderivate der Fettreihe 659 f.; Bildung und Constitution des Nitroäthans (Isonitrosoalkohol) und der Äthylnitrosäure 660; Mononitrocuminol, Mononitrocuminsäure-Äthyläther 1472.

Alexejew (W.), **84**: Beziehung zwischen der Wärmecapazität von Lösungen und der Wärmeentwicklung bei deren Bildung, Lösungswärmen organischer Verbindungen 200 f.; Lösungswärme von Isobutylalkohol in Wasser 201.

**85**: Dampfdichte von tertiärem Amylacetat und tertiärem Amylchlorid (Wirkung des Glases auf Propylbromid) 45; Zersetzbarkeit und Bildungsweise isomerer Lösungen 87 f.; Löslichkeit des secundären Butylalkohols in Wasser und diejenige von Metallen in Metallen 88; gegenseitige Löslichkeit von Flüssigkeiten 89 f.

**86**: Wirkung des Glases bei Dampfdichtebestimmungen 59; Lösungen 110; Bestimmung des Wärmewerthes der Steinkohlen 223; siehe Alexejeff.

Alfieri, **85**: Darstellung zweier Kesselsteinpulver: „Poudre desincrustante“ und „Poudre d'entretien“; Zusammensetzung derselben 2162 f.

Alfthan, **82**: Augitanalyse 1557.

Alger, siehe Burnard.

Alibegoff, **84**: Analyse von Glimmerdiorit 2015.

Alibegoff (G.), **86**: Uranverbindungen 437 ff.; Trennung des Urans von den alkalischen Erden und Alkalien mittelst Quecksilberoxyd 1941.

- Allain-Le Canu (J.), **85**: Zusammensetzung einer Verbindung von Essigäther mit Chlorcalcium 1159.
- Allain-le Canu (S.), **86**: thermische Untersuchung der p-Phenolsulfosäure und ihrer Bromderivate 222; Löslichkeit von Metallchloriden in Essigäther 1301.
- Allaire (O.), **77**: Reinigung des Condensationswassers 1136.
- Alland, **80**: Phylloxera 1068.
- Allart (A.), siehe Pellet (H.).
- Allary (A.), **81**: Reinigung von Schwefelkohlenstoff 200.
- Allary (E.), **81**: Varec und Jod aus Algen 1257; siehe Pellieux (J.).
- 83**: Erleuchtung von Saccharimetern 1661.
- Allary (E.) und Pellieux (J.), **80**: Jodkalium aus Varec 1297.
- Allary (M. E.), **79**: Jodometrie 1030 f.
- Aldred (C. H.), **80**: Aufschliessung von Mineralien, welche Calciumphosphat enthalten 1336.
- Allen, **80**: Verarbeitung von Nickel-erzen 1262.
- 84**: Bestimmung der Buttersäure in der Butter 1676.
- Allen und Underwood, **83**: Oxydation von Diäthylbenzol 543.
- Allen (A. H.), **77**: Davyum 318; Trennung der Weinsäure von Citronensäure 1080.
- 78**: Molybdänsäure als Reagens auf Phenol im Kreosot und auf Alkaloide 1069; Unterscheidung von Carbonsäure, Kresylsäure und Kreosot 1079.
- 79**: Experiment zur Schmelzung schwefelhaltiger Erze 175 f.; Butteruntersuchung 1076; Stickstoff im Stahl 1096.
- 80**: Drehung des Zuckers 214; Asche des Kaffees und der Cichorie 1222; Stickstoff im Eisen und Stahl 1250 f.; schweflige Säure, Gewinnung aus anderen Gasen 1285; Petroleumsorten, Untersuchung 1363.
- 81**: Kohlenwasserstoffe in fetten Ölen 1201; Verfälschung von fetten Ölen 1318.
- 82**: Bestimmung der Olefine in Kohlenwasserstoffen 1307; Abscheidung von Alkaloiden 1319; Blei gegen schwefelsäurehaltiges Wasser 1383.
- 83**: chemische und analytische Prüfung fixer Öle 1632.
- 84**: chemische Zusammensetzung und Prüfung der fetten Öle 1464;
- Anwendung einer Hypobromitlösung zur Titrirung 1565 f.
- 85**: spec. Gewicht von Aether 1162; Gehaltsbestimmung des Spiritus nitrosus, Prüfung von Amylnitrit 1956; Anwendungen des Nitrometers 2004.
- 86**: spezifisches Gewicht der fetten Öle 1998.
- Allen (A. W.), siehe Norton (L. U.).
- Allen (C. L.), **80**: Kupferantimoniat 334 f.
- 81**: Molybdänblei 1374; siehe Mallet (J. W.).
- Allen (C. R.), siehe Nichols (W. Ripley).
- Allen (F. J.), siehe Dana (J. D.).
- Allen (H.), **79**: Glycerin gegen Metalloxyde 181.
- Allen (H. van), **80**: Viburnum prunifolium 1079.
- Allen (O. D.), **77**: Hatchettolith, Samarskit 1343.
- 84**: Analyse von Tiefseeschlamm 2031.
- 86**: Analyse von Columbit 2294.
- Allen (O. D.) und Comstock (W. J.), **80**: Tysonit 1417; Bastnäsit 1421.
- Allen (W.) und Kölliker (A.), **85**: Darstellung und Verhalten von Triphenylcarbinbromür, Triphenylcarbinäthyläther, Essigsäure, Triphenylcarbinoläther 768 f.
- Allert (H.), **81**: m-Chloramidophenylmercaptan 868; Chlornitrobenzolmono- und -disulfosäure und Derivate 869.
- Allihn (F.), **78**: Einwirkung von Sulfurylchlorid auf Acetessigäther 707 f.
- 79**: gechlorte Metallacetessigäther 627 f.; Bestimmung des Traubenzuckers 1069.
- 80**: Invert- und Traubenzucker, Bestimmung 1015 f.
- 82**: Reduktionsverhältniszweischen Traubenzucker und alkalischer Kupferoxydlösung 1121; Bestimmung des Zuckers 1323.
- 83**: Zuckerbestimmung 1617; Verzuckerung von Stärke durch Salzsäure 1622; Einfluss von verschieden starker Salzsäure bei der Verzuckerung von Stärke auf die Verzuckerungsgeschwindigkeit 1745; Druckflasche zur Verzuckerung von Stärke 1746.
- 84**: Einwirkung von Salzsäure auf Stärkemehl 1407; Trichter zum Filtriren in einem Gastrom 1687; Waschflasche 1689.

**85:** Trichter zum Filtriren hygroskopischer oder oxydabler Körper 2001.

**86:** Neuerung am Liebig'schen Kühler 2010.

Almedingen, **81:** Hexamethylbenzol aus Crotonylen (Methyläthylketon) 359.

**82:** Verhalten des Crotonylens gegen Schwefelsäure 398; Hexamethylbenzol 421.

d'Almeida, siehe Berthelot.

Almén (A.), **77:** Carbol- und Salicylsäurereaction 1081.

**78:** Salicylsäurereactionen 1079.

**79:** Analysen von Fischen 1133; schwedische Biere 1141; Quellen zu Carlstadt 1271.

Alt, siehe Meyer (L.).

Altar (S.), **86:** Oxydation symmetrischer Pyridinbasen 763 bis 767; vollständige Oxydation:  $\alpha$ - $\gamma$ - $\alpha$ -Pyridintricarbonsäure 763; theilweise Oxydation des symmetrischen Collidins 763 f.;  $\alpha$ - $\gamma$ -Dimethylpicolinsäure (Dimethylpyridincarbonensäure) 764 f.; Verhalten von Dihydroisopropylutidindicarbonsäureäther gegen Salzsäure: Lutidindicarbonensäure - Diäthyläther, theilweise Oxydation des symmetrischen Parvolins: Methyläthylpyridinmonocarbonensäure 765; theilweise Oxydation von  $\beta$ -Collidin und von symmetrischem Parvolin: Picolindicarbonensäure ( $\alpha$ -Methylutidinsäure) 765 f.; Regel für die Oxydation von  $\alpha$ / $\gamma$ -Trialkylpyridinen 766; Identität der  $\alpha$ -Methylutidinsäure mit der Uvitoninsäure und der aus letzterer dargestellten Picolinmonocarbonensäure mit  $\alpha$ -Methylisonicotinsäure 766 f.

Altenbeck, siehe Hefner-Altenbeck (F. v.).

Altmann, siehe Heinzelmann.

Amagat (E. H.), **77:** Zusammendrückbarkeit von Flüssigkeiten 70.

**78:** Zusammendrückbarkeit eines Gases bei hohem Druck und 18,5° 43.

**79:** Zusammendrückbarkeit der Gase 70 f.

**80:** Zusammendrückbarkeit der Gase 62; Einfluss der Temperatur auf die Zusammendrückbarkeit der Gase 63; Zusammendrückbarkeit des Sauerstoffs 238 f.

**81:** Zusammendrückbarkeit von Luft und Kohlensäure 68; Quecksilber gegen Sauerstoff 293.

**82:** Bestätigung des Mariotteschen Gesetzes bei geringem Druck 55.

**83:** Zusammendrückbarkeit von Gasen 73; Pyrometer mit Wassercirculation 114.

**84:** Bestimmung des Trockenextractes der Weine 1663.

**85:** Compressibilität von Gasen (Dichte von Sauerstoff und Wasserstoff) 46.

**86:** Atomvolum des Sauerstoffs 71 f.; Apparat zur Messung der Zusammendrückbarkeit verdünnter Gase 84; Compressibilität von Flüssigkeiten (Druckpumpe) 128 f.

Amat (L.), **86:** Pipette zur Bestimmung des specifischen Gewichts von Flüssigkeiten 67; siehe Parmentier (F.).

Amato (D.), **78:** Olivil 956.

**84:** chemische Wirkung des Lichtes Einwirkung des Lichtes auf selbstentzündlichen Phosphorwasserstoff 307 f.

Amato (D.) und Capparelli (A.), **80:** *Taxus baccata* 1078.

Amato (D.) und Figuera, **79:** Gase der See- und Fluswässer 1260 f.

Amblard, siehe Grasset.

Ambühl (G.), **80:** Verhalten von Farbstoffen gegen Brechweinstein 1225; Bleigewinnung aus Zinnbleilegirungen 1272.

**81:** Butteruntersuchung 1224.

Amélio siehe D'Amélio.

Amiaux, siehe Lelarge.

Ammon (G.), **79:** Condensationsvermögen der Bodenbestandtheile für Gase 1120.

Amsel (H.) und Hofmann (A. W.), **86:** Darstellung und Untersuchung von p-Monoamidobenzylamin aus p-Mononitrobenzylacetamid 850 ff.; Harnstoffderivate des p-Amidobenzylamins 852.

Amthor (C.), **81:** trockene Destillation der Terpenylsäure (Teracrylsäure) 760.

**82:** Untersuchungen über das Reifen der Trauben; Verhältniß der Phosphorsäure zur Asche in verschiedenen Stadien der Reife 1148 f.; Bestimmung der Weinsäure und des Weinsteins im Wein 1330; Bestimmung des Glyceringehaltes im Bier 1334.

**83:** Reifen der Kirschen und Johannisbeeren 1394; Bestimmung von Stärkemehl in Wurst 1641; Weißweine vom Jahre 1882 1739.



- 84:** Weinanalyse 1659; Phosphorsäuregehalt von Wein 1663; Analysen elsaß-lothringischer Weine 1665; Untersuchungen von Waldhonig 1671; optisches Verhalten von Waldhonig 1786 f.; Weinuntersuchungsmethoden 1798.
- 85:** Nuclein der Weinkerne und Reifestudien an Weinkernen 1807 f.; Nachweis von Caramel in Weinen 1979; rechtadrehende Honigsorten 1980 f.; Nachweis einer dextrinartigen Substanz im rechtsdrehenden Naturhonig 2139 f.; Drehung verschiedener Honigsorten 2140; Zusammensetzung der Weine vor und nach dem Entsäuern 2151 f.
- 86:** Glycerinbestimmung im Wein 1985; Untersuchung reiner Elsässer Weine 2131; siehe Musculus (F.).
- Ancelin (A.), **81:** essigsaures Natrium als Heizmaterial 1313.
- Andeer (J.), **80:** therapeutische Verwendung des Resorcins 1123; Resorcin als Desinfektionsmittel 1341.
- 82:** therapeutische Verwendung des Resorcins 1227.
- 84:** Wirkungen des Phloroglucins 1513 f.
- Anderlini (Fr.), **82:** neuer Kühler 1350.
- Andersen (Ch. P.), **86:** Hämateinseife 2158.
- Anderson-Stuart (T. P.) **84:** Einfluß der Nickel- und Kobaltverbindungen auf den thierischen Organismus 1512.
- Andés (L. E.), **85:** Holzconservirung durch Zinkvitriol 2192.
- Andouard (A.), **83:** Analyse von Guano 1647; Analyse des Guanos von den Inseln des Cap Vert 1721.
- Andouard (A.) und Dézaunay (V.), **83:** Einfluß der Fütterung mit Diffusionsrückständen aus Zuckerfabriken auf die Milch 1717 f.
- 84:** Einwirkung der Fütterung der Kühe auf ihre Milchproduction 1778.
- André, siehe Brougham.
- André (A.), **84:** Gewinnung von Schmierölen 1827.
- André (E.), **80:** Verarbeitung von Nickelerzen 1262.
- 82:** Basische Ofenfutter zur Entphosphorung des Eisens 1365 f.
- André (G.), **81:** Bildungswärme des Calciumoxychlorids 1117, des Strontium- und Baryumoxychlorids 1118.
- 82:** Bildungswärme von ammoniakalischen Zinkchloriden 126 f., von Zinkoxychloriden, Magnesiumoxychlorid 127.
- 83:** Bildungswärme einiger Oxychloride und Oxybromide des Bleies 165 f.; ammoniakalische Bromide und Oxybromide des Zinks 387 f.; Doppelchloride und Doppelbromide des Bleies und Ammoniums 392 bis 394.
- 84:** Bildungswärmen der Oxychloride des Quecksilbers 211, der Oxybromide des Quecksilbers 211 f., von Oxychloriden und Oxybromiden 212 f., von ammoniakalischen Zinkbromiden 213; Baryumoxychlorid 380.
- 85:** Einwirkung von Ammoniakgas auf eine ammoniakalische Zinksulfatlösung 541 f.; Darstellung von Ammoniakverbindungen des Zinknitrats, basische Bleinitrate 543 f.; Einwirkung von Ammoniakgas auf eine gesättigte Lösung von Kupfersulfat 547 f.
- 86:** Zersetzung von Methylenchlorür durch Wasser und wässriges Ammoniak 627, von Chloroform durch wässriges Ammoniak 627 f.; Verbindungen von Acetamid mit anorganischen, wasserfreien Chloriden, Bromiden und Jodiden 1303: siehe Berthelot.
- André siehe Schmitt (R.).
- Andreae, siehe Claus (A.).
- Andreae (B.), **82:** Neuerungen an Gasbrennern 1350.
- Andreae (G. L.), **78:** Temperaturregulator, Beschreibung 68.
- Andreae (H.), **80:** substituierte Azo- und Hydrazophenetole 573 f.
- Andreae (J. L.), **84:** Bestimmung der Dichte in Wasser löslicher Körper 67 f.; Dichte gesättigter Lösungen 70 bis 73; Löslichkeit von Alkalisalzen in Wasser bei verschiedenen Temperaturen, Apparat zur Bestimmung derselben 126 f.; Demonstration des Boyle'schen Gesetzes 311.
- Andreasch, **79:** Retinit-Analyse 1242.
- Andreasch (R.), **78:** Asche der Gartennelke 970, der Gartenrose 970 f.
- 79:** Thiohydantoin gegen Barythydrat 356 f.; Formamid aus ameisensaurem Ammonium 595; Thioglycolsäure gegen Eisenchlorid 1067 f.
- 80:** Synthese des Thiohydantoins 430; Carboamidosulföessigsäure 432 f.; Thioglycolsäure aus Thiohydantoin 433.

- 81:** Methylthioparabansäure, Methylparabansäure, Dimethylthioparabansäure, Dimethylparabansäure 343f.; Nachweis der Parabansäuren 344; Miargyrit 1352.
- 82:** Synthese von Phenyl- und Allylthiohydantoïn 395 f.; Methyl- und Dimethylalloxantin, Dialursäure 396; Cyamidoamalinsäure, Isoharnsäure 397; Dimethylglyoxalylharnstoff aus Dimethylparabansäure 383.
- 83:** Oxydation von Thioharnstoffderivaten (Diphenylhydrothiohydantoïn), Zersetzung des carbamidsulfocessigsäuren Kaliums 494; äthylendisulfosaures Baryum 495.
- 84:** Derivate des Allylharnstoffs Dibrompropylharnstoff, Brompropylharnstoff 502 f.
- 85:** Sulfhydantoïne und Derivate 651 f.; Imidocarbamin- $\beta$ -thiomilchsäure 652 f.
- 86:** Monochloressigsulfosäure 1535 f.; Dibrom- und Monochlorbrommethansulfosäure 1536; Monochlormethandisulfosäure 1536 f.; siehe Maly (R.).
- Andrée (Ad.), **80:** fremde Farbstoffe im Wein 1225.
- 85:** Eigenschaften des Perubalsams 1823.
- Andrée (S. A.), **85:** Hydropyrometer 1996.
- Andreeff (M.), **80:** Apparate zum Waschen von Niederschlägen 1243.
- Andrejeff (M.), **81:** Auswaschen von Niederschlägen 1232.
- Andreoni (G.), **79:** Methylgruppen im Nicotin 791.
- 80:** Citronensäure, Synthese 818.
- Andresen (M.), **81:** Thimochinochlorimid und Derivate 642.
- 83:** Trichlorchinon und Tetrachlorchinon gegen Anilin: Dichlorchinondianilid 1004 f.; Trichlorchinon und Tetrachlorchinon, Monochlordianilidophenylchinonimid, Monochlorchinondianilid 1005; Trichlorchinonchlorimid gegen Chlorwasserstoff 1005 f.
- 86:** Beziehungen zwischen Safranin (Phenosafranin) und Methylenblau 1113; Darstellung von zwei- und vierfach alkylirten Safraninen 1114 f.; siehe Schmitt (R.).
- Andrews (C. W.), siehe Hill (H. B.); siehe Norton (L. M.).
- Andrews (H. E.), **86:** saures isobuttersaures Baryum 1315.
- Andrews (L. W.), **80:** Aethylenjodopikrat 641; Bromamidobenzolsulfosäure 906 f.
- 81:** Luftthermometer 1232; siehe Hill (H. B.).
- Andrews (Th.), **79:** Absätze aus Grubenwässern, Analyse 1270 f.
- 84:** elektromotorische Kraft und Widerstand von Elementen mit zwei Flüssigkeiten und einem Metall 242.
- 85:** Best. der elektromotorischen Kräfte zwischen Metallen in geschmolzenen Salzen 246.
- 86:** Widerstand geschmolzener Haloide beim Erstarren 265.
- D'Andrian-Köchlin (A.), **86:** Priorität der Entdeckung von nicht vergnüendem Anilinschwarz 2192.
- Adrianowsky, **79:** Säureanhydride gegen Aluminiumchlorid 240.
- Andrieu (L.), **86:** Chromatometer 287.
- Angelbis (G.), **80:** Pikrite 1499.
- Angelbis (A.) und Anschütz (R.), **84:** Bildung von Diphenyläthan und Dimethylanthracenhydrür aus Benzol und Äthylenchlorid, aus Benzol und Vinylbromid, Bildung von Dibenzyl aus Vinyltribromid und Benzol 561.
- Angerstein (H.), **84:** Probestecher 1687.
- Angström (K.), **85:** Diffusion der strahlenden Wärme von ebenen Flächen 126.
- Anloing **79:** Wirkung von Chloroform, Aether, Chloral auf die Sinnpflanze 895 f.
- Annaheim (J.), **77:** Resorcin gegen Schwefelsäure 561, 849.
- 78:** Tetranitroxysulfobenzid 861 f.
- Annuschat (A.), **79:** Bleiausscheidung im Harn 988.
- Anrep (v.), **80:** Wirkung von Kyanconiin 403.
- Anrep (B. v.), **79:** Cocainwirkungen 996; siehe Rofsbach (M. J.); siehe Weyl (Th.).
- Anschütz (R.), **77:** Säuren gegen Säurechloride (Bildung von Anhydriden) 657, 659; Acetylchlorid, Benzoylchlorid und Succinylchlorid gegen Säuren (Camphersäure, Oxalsäure, Bernsteinsäure, Benzoësäure) 678.
- 78:** Halogenderivate des Phenanthrens 423 f.; Reduction von Phenanthrendibromür und Stilbenbromür durch Cyankalium 424; Verhalten von Anthrachinon gegen Aetzkalk 631; Pyrocondensationsgesetz 631 f.;

Einwirkung von maleins. Silber auf Aethyljodid 713; Nachweis von Fluoren im Phenanthren und Anthracen 1073.

**79:** Tetrabromäthane 383 f.; Fumar- und Maleinsäureäther 633 f.

**80:** Itaconsäureanhydrid 814; Citronensäure, Destillation 818 f.

**81:** Aepfelsäureäther 714; Citra- und Itaconsäureanhydrid, Itadibrombrenzweinsäureanhydrid 734.

**83:** Dibenzyl aus Acetylendibromid 552; Bromsubstitutionsproducte des Aethans und Aethylens 583 bis 585; Aethyloxalsäure 1046.

**84:** Einwirkung entwässerter Oxalsäure auf Chloride einbasischer und zweibasischer Carbonsäuren, auf aromatische Aldehydchloride und aromatische Orthosäurechloride 474; wasserfreie Oxalsäure als Condensationsmittel 474 f.; Bildung von Diphenyläthan und Dimethylantracenhydrür aus Benzol und Aethylenchlorid 561; Eigenschaften des pikrinsäuren Acridins, Verhalten von Pikrinsäure gegen Chrysanilin, Verfahren zur Analyse von Pikraten 677; Reduction von Mononitroacridin, Darstellung von Amidoacridin 677 f.; Anhydridbildung ein- und zweibasischer Säuren 1075 ff.; Untersuchung über Traubensäure und Weinsäure 1128 f.

**85:** Beiträge zur Kenntniss der Aepfelsäuren 371 f.; neue Bildungsweise aromatischer Kohlenwasserstoffe aus Säureestern der Fumar-, Zimmt- und Bernsteinsäure 669 f.; Darstellung und Siedepunkte des Aepfelsäure-Dimethyläthers, -Diäthyläthers und -Di-n-propyläthers 1372; Darstellung von Traubensäure-Methyläther aus rechts- und linksweinsäure-Dimethyläther 1375 f.; Constitution der Fumar- und Maleinsäure 1376; Einwirkung des Phosphorpentachlorids auf Salicylsäure, o-Chlorcarbonylphenylorthophosphorsäuredichlorid 1477; o-Monochlorcarbonylphenylmetaphosphorsäureäther, o-Carboxylphenylmetaphosphorsäureäther 1478.

**86:** Einwirkung von Aluminiumchlorid auf Benzol und Acetylendibromid, Benzol und Acetylendibromid 506; auf Acetylentetrabromid und Benzol, Toluol, Xylole; auf Benzol und Acetylidentetra-

bromid,  $\beta$ -Monobromstyroidibromid, Stilbenbromid, Tolandibromid; Einwirkung von Natrium auf Triphenylmethanbromid und Benzylbromid 507; Einwirkung von Aethylenbromid und -chlorid, Phenyläthylidenchlorid und -bromid, Phenyläthylenchlorid, Vinylbromid, Vinyltribromid, Tribromäthylen und Styroidibromid auf Benzol mit Aluminiumchlorid, von Äthylidenchlorid auf Toluol und m-Xylol 508 f.; Verhalten von Oxalsäure-Aethyläther gegen Phosphorpentachlorid; Dichlorglycolsäure-Diäthyläther 1313; siehe Angelbis (A.); siehe Kekulé (A.).

Anschütz und Aschmann, **79:** Bromfumar- und -maleinsäureäther 634 f. Anschütz (R.) und Bennert (C.), **81:** Acetyläpfelsäure- und Maleinsäureanhydrid 714; Fumarsäure gegen Acetylchlorid 714 f.

**82:** Fumarsäure gegen Acetylchlorid, Eisessig und Chlorwasserstoff, gegen Eisessig und Bromwasserstoff; Monochlorbernsteinsäureanhydrid, Monochlorbernsteinsäure, Monobrombernsteinsäure und -anhydrid 851 f. Anschütz (R.) und Eltzbacher (F.), **83:** Tetraphenyläthan aus Tetrabromäthan 568; Synthese des Anthracens 576 f.

Anschütz (R.) und Evans (P. N.), **86:** Siedepunkt des Antimoutri- und -pentachlorids 370.

Anschütz (R.) und Heusler (F.), **86:** partielle Amidirung mehrfach nitrirter Benzolderivate: m-Nitranilin aus m-Dinitrobenzol; p-Nitro-o-amidotoluol aus o-p-Dinitrotoluol 661 f.

Anschütz (R.) und Hintze (C.), **85:** Krystallform des Diammoniumoxalates 1334 f.

Anschütz (R.) und Immendorf (H.), **84:** Einwirkung von Aluminiumchlorid auf Toluol resp. Xylol und Acetylentetrabromid 472.

**85:** Einwirkung von Aluminiumchlorid auf aromatische Kohlenwasserstoffe 671.

Anschütz (R.) und Japp (F.), **78:** Constitution des Phenanthrens und des Diphenylenketons 670.

Anschütz (R.) und Kinnicutt (L.), **78:** Anwendung einer Lösung von Bromwasserstoff in Essigsäure 329; Zimmtsäure-Aethyl- und -Methyläther 798.

**Anschütz (R.) und Kekulé (A.), 85:** Gasofen, Luftbäder, Vacuumexcicator 1897.

**Anschütz (R.) und Klein (J.), 83:** Tetraphenyläthan aus Stilbenbromid 568.

**84:** Untersuchung von Tetraphenyläthanen 552.

**Anschütz (R.) und Klingemann (F.), 85:** Darstellung der Aconitsäure, Siedepunkte des Citronensäure-Trimethyläthers, -Triäthyläthers, -Trinormalpropyläthers, des Aconitsäure-Trimethyläthers, -Triäthyläthers und -Trinormalpropyläthers 1410.

**Anschütz (R.) und Kunnicutt (L.), 79:** Phenylidibrompropionsäure-n-Propyläther, Dibenzoylphenylglycerinsäure-Methyläther, Phenylmonobrompropionsäure, Phenylglycerinsäure 721 f.

**Anschütz (R.) und Leather (W.), 85:** Untersuchung der Pipitzahöinsäure 1674 f.; Constitution und Salze, Acetylpipitzahöinsäure 1674; Aethylpipitzahöinsäure, Anilido-, p- und o-Toluidopipitzahöinsäure, Oxypipitzahöinsäure 1675.

**Anschütz (R.) und Meyer (P.), 85:** Reduction der Nitrophenanthrenchione 1673 f.: Monoamidophenanthrenchinon, Monoamidophenanthrenhydrochinon; p-Monoamido und p-Monooxyphenanthrenchinon, Phenanthrochinon 1673; p-Monoacetoxyphenanthrenchinon, p-Diamidophenanthrenchinon, p-Dioxyphenanthrenchinon, p-Diacetoxyphenanthrenchinon 1674.

**Anschütz (R.) und Müller (O.), 84:** Untersuchung des Crysanilins (Phosphins) 768 ff.

**Anschütz (R.) und Petri (W.) und Strecker (O.), 81:** Aether der Citra-, Mesa- und Itaconsäure 733.

**Anschütz (R.) und Pictet (A.), 80:** Weinsäure- und Traubensäureäther 804 f.; Acetylweinsäureanhydrid 806 f.

**81:** Eigenschaften von Rechtsweinsäureäthern 713 f.

**Anschütz (R.) und Romig (E.), 85:** Einwirkung von Aluminiumchlorid auf ein Gemenge von Aethyldienchlorid und Benzol resp. Homologen: Dimethylantracenhydrür, Diphenyläthanderivate, Tetramethylantracenhydrür, Ditolyläthan, p-Methyläthylbenzol 671 f.; Dixilyläthan, Dimethyl-

äthylbenzol 673; Constitution von Mono- und Dinitrodiphenyläthan 774.

**86:** Nitrirungsproducte aus unsymmetrischem Diphenyläthan: Diphenyläthylenglycolmononitrit, Diphenylvinylnitrit, Diphenylnitrovinylnitrit (Dinitrit) 673; Eigenschaften und Verhalten dieser drei Verbindungen, Darstellung des Dinitrits aus unsymmetrischem Diphenyläthylenglycol 674; Ueberführung des Dinitrits in Benzophenonphenylhydrazid, Reduction zu Diphenylacetoneitril und Isodiphenylacetoneitril, Ueberführung des Diphenylacetoneitrils in Diphenylelessigsäure 675.

**Anschütz (R.) und Schönfeld (F.), 86:** Alkylloxalsäuren 1312 f.; Einwirkung von Phosphorpentachlorid auf Alkylloxalsäureäther: Dichlorglycol-säureester 1313.

**Anschütz (R.) und Schultz (G.), 77:** Bestimmung von Schmelzpunkten 52: Monobrom- und Monochloranilin gegen Natrium 460; Phenanthren, Phenanthrenchinon, Phenanthrenchinonimid, Diphensäure 653.

**79:** Acridin, Phenanthrenchinon, Derivate 585 f.

**Anschütz (R.) und Siemiensky (J. v.), 80:** Monobromphenanthren-derivate 495.

**Anschütz (R.) und Wirtz (Q.), 85:** Zersetzung aromatischer Fumarsäureester durch Hitze: Maleinsäurechlorid, Fumarsäure-Phenyläther, Fumarsäure-p-Kresyläther, Dimethylstilbenbromid 1368.

**Andell (G.), 79:** Dampfspannungen, Dichten, Zusammendrückbarkeit des flüssigen Acetylens 68.

**80:** Eigenschaften des flüssigen Chlorwasserstoffs 265.

**82:** kritischer Punkt gemischter Gase 110 f.

**Andell (G.) und Dewar (J.), 86:** Menge und Zusammensetzung der eingeschlossenen Gase in Meteoriten 2326 f.

**Anstie, 79:** Alkohol in thierischen Geweben 957.

**Anthoine (H.), 83:** Anhydride der Chloressigsäuren: Dichloressigsäureanhydrid, Trichloressigsäureanhydrid 1032; Essigmonochloressigsäureanhydrid 1032; f.; Essigdichloressigsäureanhydrid, Essigtrichloressigsäureanhydrid 1033.

Anthron (Fr.), **78**: Verbesserung geringerer Stärkesyrup 1148 f.

Antrick, siehe Landolt (H.).

Antrick (O.), **85**: Verbindungen des Diacetoneamins mit Aldehyden: Valerdiacetoneamin 788 f.; Oenanthe, Chinam-, p-Oxybenzaldiacetoneamin 790; Anis-, isomere Mononitro- und -amido-benzaldiacetoneamine 791 f.; Darstellung von Benzylindol 1146 ff.; Benzylphenylhydrazinbrenztraubensäure, Benzylphenylnitrosamin, Benzylphenylhydrazin 1146; Benzylindolcarbon-säure, Pikrinsäureverbindung des Benzylindols, Benzylpseudoisatin und dessen Chlorid 1147; siehe Knorr, L.

Antweiler (P. J.), siehe Claisen (L.).  
Antweiler und Breidenbend (P.), **83**: Bestimmung des Zuckers im diabetischen Harn durch Gährung 1649 f.

Apjohn (B.), **77**: Harnstoffbestimmung 1097.

Arata (N.), **79**: Harz von Quebracho colorado 948.

Arata (P. N.), **77**: Ilex Paraguayensis 938, 954.

**79**: Quebrachogerbsäure 906.

**80**: Laurus caustica 1077.

**81**: Aspidospermin, Paytin 958.

**85**: Erkennung fremder Farbstoffe in Weinen 1975.

Arbes (J.), siehe Mach (E.).

Archbold, **83**: Erzeugung des schwefligsauren Calciums auf und in dem Holze 1775.

Archbutt (L.), **86**: Analyse von Oelen 1997 f.

Arche (A.), **83**: Ceritanalyse 1879.

Arche (A.) und Hassack (C.), **84**: Analyse von Grubenwasser 1694 f.; Untersuchung hinterindischer Bronzen 1714.

Archereau, **77**: elektrisches Licht 1212.

Archuardi (d' A.), siehe D' Archuardi (A.).

Arloing, **79**: physiologische Wirkung des ameisensauren Natriums, Chloralwirkung 996.

Arloing (S.), **86**: Gährung von Eigelb, Albumin und Pepton unter dem Einfluß anaerober putriden Gifte 1875.

Armachevsky, **81**: Krystallform von Polydehydro-p-azotoluol (Tri-p-toluylen-triamin) 488, von m-Azotoluol 489.

Armsby (H. P.), **80**: gesonderte Bestimmungen des Eiweißstickstoffs 1221.

**85**: Verdaulichkeit einiger Futterarten 1826.

Armsby (H. P.) und Short (F. G.), **86**: Vorrichtung zum Destilliren von Ammoniak 2012.

Armsby (P.), **78**: Absorptionskraft des Bodens für Basen 1141 f.

Armstrong, **78**: Constitution des Camphers 639.

Armstrong und Caskell, **78**: Bildung von Camphin und Lauro bei der Darstellung von Carvacrol nach Fleischer-Kekulé 639.

Armstrong und Matthews, **78**: Bromcampher 639.

Armstrong (G. F.) **80**: Kohlensäuregehalt der Luft 1048.

Armstrong (H. E.), **77**: Benzolformel 369; Thymochinon aus Nitrosothymol 648.

**81**: Constitution des Naphtalins 866.

**82**: Substitutionsgesetze in der Naphtalinreihe, Naphtol- und Naphtalinsulfosäuren 429 f.; neue Naphtalindisulfosäure, Constitution der  $\beta$ -Naphtol- $\beta$ -sulfosäure 431.

**83**: Untersuchung verschiedener Handelssorten von Terpentinöl, Nachweis von Petroleum und Petroleumäther in demselben 1633; Untersuchung mehrerer Terpentinölsorten des Handels 1765; Nachweis der Verfälschung des Terpentinöls mit Petroleum und Petroleumäther 1765 f.

**84**: Formel der Knallsäure 478; Untersuchung v. Hydrocarbon 1816 f.; Herstellung von Oelgas 1817.

**85**: chemische Wirkung 5; Methoden der Coakbereitung 2172 f.

**86**: elektrolytische Leitung im Zusammenhange mit der molekularen Zusammensetzung 268 f.; Wechselwirkung zwischen Kohlenoxyd, Wasser und Sauerstoff 385 f.; Substitutionsregelmäßigkeiten bei der Bildung von Naphtalinderivaten 621; siehe Acworth (J. J.).

Armstrong (H. E.) und Graham (N. C.), **81**: Naphtalindisulfosäuren, Naphtolsulfosäuren und Derivate 864 f.; neues Dioxynaphtalin 865.

**82**: Einwirkung von Schwefelsäure und Sulfonylhydroxylchlorid auf Naphtalin und dessen Derivate 430 f.

Armstrong (H. E.) und Miller (A. K.), **83**: Reindarstellung des m-Isocymols aus Harzessenz,  $\alpha$ -m-Isocymolsulfosäure 544 f.; Campher gegen Chlorzink, Jod, Phosphorsäureanhydrid und Schwefelphosphor 997.

**84**: Darstellung aromatischer Kohlenwasserstoffe aus den Sulfosäuren 1314.

**86**: Zersetzung und Bildung von Kohlenwasserstoffen (Paraffinen, Olefinen, Pseudoolefinen, Pseudoacetylenen, Benzolderivaten) bei hohen Temperaturen 2153.

Armstrong (H. E.) und Streatfield (F. W.), **86**: Bromierung von  $\beta$ -Naphtholsulfosäure 1583.

Armstrong (H. E.) und Tilden (W. A.), **79**: Terpentintöl gegen Schwefelsäure, Tereben, Camphen 568 f.

**80**: Cymol aus Harzöl 447.

Armstrong (H. E.) und Williamson (S.), **86**:  $\alpha$ -Mononitro-,  $\alpha$ -Monobrom- und  $\alpha$ -Monochlornaphtalinsulfosäure 1579 f.

Armstrong (H. E.) und Wynne (W. O.), **86**: Einwirkung v. Schwefelsäure auf Naphtalin:  $\beta$ - und  $\gamma$ -Naphthalindisulfosäure 1577; Einwirkung von Brom auf Naphtalinmono- und -disulfosäuren 1577 f.

Armstrong (W. E.), **79**: Terpentintöl gegen Jod, gegen Schwefelsäure, Terpenhydrür 572.

Arnaud, **81**: Cinchonamin 944.

**83**: Chinin in der Cuprearinde (Remija pedunculata), Cinchonamin in der Rinde von Remija purdiana, Salze des Cinchonamins 1350.

**85**: Abscheidung von Carotin aus den Blättern verschiedener Pflanzen 1801 f.; Beziehungen desselben zum Chlorophyll 1802.

Arnaud (A.), **84**: quantitative Bestimmungsmethode der Salpetersäure 1574.

**86**: Carotin 1810 f.; Hydrocarotin (Phytostearin) 1811.

Arnaud (A.) und Padé (L.), **84**: Nachweis von Salpetersäure mittelst salpetersaurem Cinchonamin 1573 f.

Arnaudon (J.), **77**: Quebracho 953.

Arnell (K. E.), **83**:  $\alpha$ -monochlor-naphtylschweflige Säure 1290.

**84**: Derivate der  $\alpha$ -Monochlor-naphthalinsulfosäure 1341.

**86**: Einwirkung von Schwefelsäure auf  $\beta$ -Monochlornaphtalin: Bildung zweier Monosulfosäuren 1578.

Arnold, siehe Tereg.

Arnold (A. E.), **77**: Zinneranalysen 1070.

**79**: Löslichkeit des wasserfreien Zinnoxys 285; antikes Eisen 1093.

**81**: Favalit 1381.

Arnold (C.), **81**: Zuckertitrierung 1212; Milchprüfung 1226; Chlor im Harn 1229.

**82**: freie Fettsäuren in der Kuhmilch 1211; Bestimmung des Stickstoffs als Ammoniak 1303; Quantitative Bestimmung von Harnstoff 1304; Farbenreactionen des Narceins, Coniins, Nicotins, Morphins, Codeins, Narcotins, Solanins, Atropins, Digitalins, Strychnins 1320 ff.; Milchanalyse 1343.

**83**: Lupinotoxin, Ptomaine 1357; giftiger Stoff der Lupinen 1404; Stickstoffbestimmung organischer Substanzen 1588 f.; Harnstoffbestimmung, Harnsäurebestimmung 1652.

**84**: Stickstoffbestimmungsmethode von Kjeldahl 1610.

**85**: Grundlagen zu einer neuen Stickstoffbestimmungsmethode 1908; Chlorbestimmung in Harn, Milch und serösen Flüssigkeiten 1945; Ausführung der Kjeldahl'schen Stickstoffbestimmungsmethode 1947 f.; Modification des Will-Varrentrapp'schen Kugelapparates 2007.

**86**: Stickstoffbestimmung nach Kjeldahl für Nitro- und Cyanverbindungen 1954.

Arnold (J. O.), **81**: Phosphorbestimmungen im Stahl 1186.

**84**: Wasserbad für Kohlenstoffbestimmungen im Stahl 1691.

Arnold (O.), **80**: Chrom in Eisen und Stahl 1177 f.

Arntz (H.), **83**: Einfluss des Chinins auf Wärmeabgabe und Wärmeproduktion 1487.

Arnu (M.), **83**: Anilin aus Mono- und Dinitrobenzol 1772.

Aron (H.), **83**: Wirkungsweise und Theorie der Accumulatoren 204.

Aron (J.), **77**: Bauxit 1154.

Aronheim (A.), **77**: Diphenylzinnchlorür (Zinnphenyloxychlorid) 868.

Aronheim (B.), **78**: Organozinnverbindungen 862 ff.

- 79:** Resorcindiäthyläther, Mononitrosoresorcinmonoäthyläther, Dinitromonoäthylresorcin 522; essigsaures Chlor 597; Darstellung von Zinntriphenylchlorid 777.
- Arons (L.), **85:** Verdünnungswärme und Wärmecapazität von Salzlösungen 132; siehe Cohn (E.).
- Aronstein (L.), **81:** Propylbromid in Isopropylbromid 383.
- 82:** Umwandlung von Propylbromid in Isopropylbromid, Dissociation und Beständigkeit von Propylverbindungen 438.
- Aronstein (L.) und Kramps (J. M. A.), **80:** Jodessigsäureäther 764 f.
- 81:** Jodessigsäure-Methyläther gegen Jodmethyl 674.
- Arrata (P. N.), **79:** Baccarin 829 f.
- Arrhenius (S.), **84:** chemische Prozesse: Vertauschung der Ionen 13 f.
- 85:** Leitungsfähigkeit von Elektrolyten in stark verdünnten Lösungen 260 bis 268.
- 86:** Elektrolyse von Salzlösungen 275.
- Arrot, **78:** Darstellung von Natron 1128.
- Arsonval (A. d'), **77:** Thermoregulator 92.
- 79:** thierische Wärme 948; Zuckerbestimmung im Blute 1076 f.
- 81:** Thermoregulator 1075.
- 85:** Zusatz von Harnstoff zur Salpetersäure der Bunsen'schen Batterie 233 f.
- Arth (G.), **82:** Mentholurethan 393.
- 83:** Chlorhydrat des Menthens (Methylchlorid) 597.
- 84:** Oxydation von Menthol 1066; Einwirkung von alkoholischem Kali auf Urethane (Aethylcarbammat) als allgemeine Reaction auf dieselben 1092.
- 85:** Einwirkung der flüssigen Ammoniakverbindungen des Ammoniumnitrats auf Metalle 411.
- 86:** Verhalten von Isobutyl-, Amyl-, Caprylmethan gegen alkoholisches Kali 545 f.; Darstellung von Octylurethan 546; Derivate des Menthols: Carbonsäuren und Urethane 1668 f.
- Arvelin (A.), **82:** Hornblendeanalyse 1556.
- Arr (J. v.), **80:**  $\alpha$ - und  $\beta$ -Naphtylenphenylenoxyd 687 f.
- Arzruni (A.), **77:** Morphotropie 18; Einfluss der Temperatur auf die

Brechungsexponenten der isomorphen Sulfate von Baryum, Strontium und Blei 180; Kohlenwasserstoff  $C_{12}H_8$  383; Triphenylbenzol 393; Dibromfluoren 415; Parabromanilin 460; Triphenylamin 481; Krystallmessungen an Hydrazinverbindungen 495 ff.; Krystallmessungen von Bromnitrophenol 547, von Dibromnitrophenol, Bromdinitrophenol und Benzolkörpern 548, Bromjodnitrophenol 549; Paranitroacetanilid 684; Thiodiglycolamid, Selenodiglycolsäure 694; Succinylbernsteinsäure-Diäthyläther 708; isomere Monobrombrenzweinsäuren 714; Nitrobenzoesäureäther 736; Zimmtsäure 787; Nitrophenylbenzoesäure 803; Codeinkrystalle 882; Arsenkies 1259.

**78:** Krystallform des Dibromdiphenylenmethans 396; Krystallform des salza.  $\alpha$ -m-Xylidins 795 f.; des salz.  $\beta$ -m-Xylidins 796; Krystallform der Nitrophenylbenzoesäure 815; Krystallform des Zinndiphenylchlorids 863; Arsenkiese 1204 f.; Einschlüsse im Dolomit 1222.

**79:** Coquimbithkrystalle 1195 f.

**80:** Isomorphismus 2; Pseudomorphose 1485.

**81:** Krystallform von Arsenidjodid 197; Krystallform von Zinndiphenylchlorid 890; Gaylussit 1369; Dietrichit 1373.

**83:** Formelschema für Silicate 1871; Analyse des Mikroklines aus dem Birkenauer Thale bei Heidelberg 1898.

**84:** Krystallform von Diamylcyaniniodid 1382; Untersuchung der krystallographischen und optischen Eigenschaften des Diamylcyaniniodids 1862; Krystallform von Schwefel 1900; Vorkommen von Wismuth 1901; Arsenkieskrystalle 1905; Krystallform und Analyse von Rutil 1916 f.; Krystallform von Zinnstein 1917; Untersuchung von Utahit 1935; Untersuchung von Nephritbeilen 1967 f.; Krystallform von Hornblende 1969; Untersuchung von Grodeckit 1976, 1978; Untersuchung von Pasa 1989; Krystallform von Titanit 1992; Untersuchung von Perowskit aus einer Chromeisenlagerstätte 1993.

**85:** Krystallform von Chinonhydrodicarbonsäureäther 572; krystallographische Eigenschaften des Diacetophosphorchlorürs 1615. *200*

- neutralen Isopropylacetylphosphins. Baryums 1617; Krystallform des Triphenylphosphins 1622, des Triphenylpropylphosphoniumjodids, des Triphenylisopropylphosphoniumjodids 1623, des Orthophosphorsäureanilids 1627; Untersuchung des Colemanits 2276 f.
- 86:** Krystallform von Sulfo-carbanilid 557; Krystallform von Siliciumtetraphenyl 1597; von p- und m-Siliciumtetratolyl und Siliciumtetra-benzyl 1599; Krystallform von Tribenzylarsin 1615; von Tribenzylmethyl- und -isocamylarsoniumjodid 1616; siehe Cossa (A.).
- Arzruni (A.) und Baerwald (C.), **83:** Zusammenhang der Krystallform mit der chemischen Zusammensetzung der nur Eisen enthaltenden Arsenkiese 1830 f.
- Arzruni (A.) und Damour (A.), **82:** Glimmer vom Ural 1554.
- Arzruni (A.) und Traube (H.), **85:** kristallographische Untersuchung einiger Derivate des Chinolins und Lepidins (Lepidinamyljodid, Chinolinamyljodid, Chinolinamethyljodid) 969 f.
- Ashoth (A. v.), **86:** Kjeldahl'sche Stickstoffbestimmungsmethode bei Nitro- und Cyanverbindungen sowie bei Nitraten 1954.
- Aschan (O.), **83:** Verhalten von Phenylbenzol gegen Amidofettsäuren 476.
- 84:** Einwirkung von Seifen auf Amidosauren 1087 bis 1090; Phenyl- $\alpha$ -methylsulphydantoin 1087; Phenyl- $\alpha$ -methylsulphydantoin-säure, Phenylsulphydantoin-säure, Phenyl- $\alpha$ -butylsulphydantoin 1088; p-Tolylsulphydantoin, p-Tolyl- $\alpha$ -methylsulphydantoin-säure, m-Phenylsulfuramidobenzoessäure 1089; m-Aethylsulfuramidobenzoessäure, m-Allylsulfuramidobenzoessäure 1090.
- 85:** Darstellung von o- und p-Mononitrooxanilsäure, Dioxyäthylphenyldiamin 1440 f.
- 86:** Phthalimid aus Phthalänsäureanhydrid 1448; Phthalaminsäure 1448 f.
- Aschenbrandt (H.), **79:** p-Diäthylbenzolderivate 374 f.
- 82:** Derivate des p-Diäthylbenzols 478.
- Aschmann, siehe Anschütz.
- Aschner (C. A.), **79:** Wasser und Gasfugazität von Kane 1272.
- Ashby (A.), **81:** Fettextraktionsapparat 1226.
- 84:** Anwendung von Blattextract oder Hämatoxylinlösung Indicator 1547 f.
- Ashwell (J. R.), **86:** Einwirkung metallischen Beizen auf Strümpfe 2184 f.
- Assche (F. van), **83:** Mittel, Wärmestrahlen von den leuchtenden und chemischen Strahlen zu isolieren 250 f.
- Asstaschewsky, **80:** Säure der Masse 1089 f.
- Aston (E.) und Pickering (Sp.), **86:** Untersuchung der mehrfachen Doppelsalze der Schwefelsäure 1225.
- Atanasesco, **86:** künstliche Darstellung von Brochantit 2253.
- Athanasesco, **86:** Darstellung von krystallisierten basischen Sulfaten der Schwermetalle 335 f.
- Athenstädt, **80:** Antisepticum 14.
- Athenstädt (A.), **85:** Tanninpräparat zum Nachweis thierischer Fäulnisstoffe im Trinkwasser 1897.
- Athenstädt (H.), **84:** Nachweis von Weinsäure in Citronensäure 1623.
- Athenstädt (J.), **84:** Darstellung von Aluminiumacetat 1737 f.
- Athenstädt (W.), siehe Hübner (H.).
- Atkinson (A. J.), **84:** indirekte Bestimmung des Mangans im Spiegeleisen 1598 f.
- 86:** Bestimmung des Schwefels in Kohle und Coke 1913 f.
- Atkinson (G. A.), **86:** Titrierung der salpetrigen Säure in Nitriten 1916.
- Atkinson (J.), **84:** Dampföfen und Destillirblase für destilliertes Wasser 1686.
- Atkinson (R. W.), **77:** Persulfocyanat, Silbersalze 335; Trennung der Kieselsäure von der Phosphorsäure 1044.
- 80:** Silberpersulfocyanat 411 f.
- Eurotin gegen Stärke 1134.
- 81:** Kojidiastase 985; Brauerei in Japan (Koji, saké) 1308.
- 83:** Verhalten von Antimonchlorid gegen Bromkalium und von Antimonbromid gegen Chlorkalium 410 f.
- 84:** Darstellung von reinem Chlorophyll 1439; volumetrische Bestimmung des Eisens 1594 f.
- 85:** Titration von Thonerde, Anwendung von Phenolphthalein 1928.



- 86:** Bestimmung des Mangans in Erzen 1934 f.; Darstellung von Bleiweiß in Japan 2065.
- Atkinson (R. W.) und Yoshida (H.), **82:** Menthol gegen Oxydationsmittel, gegen Jodwasserstoffsäure: Menthon, Menthen, Kohlenwasserstoff  $C_{10}H_{16}$  775.
- Attenkofer (G.), **79:** Gasometer 1086.
- Atterberg (A.), **77:** Terpene aus *Pinus sylvestris*, Australien, Terebenthin, Sylvestren 376; Naphtalinderivate 378; Chlornaphtaline, Constitution 410; Fahlerz 1269.
- 78:** vermuthliche Nichtexistenz des  $\beta$ -Naphtalintetrachlorids 391; Formel des Fluoranthens 400; Verhalten von Fichtenholztheer und schwerem Theeröl der schwedischen Holzfabriken 1172 f.
- 80:** Holzöl von *Pinus sylvestris*, Furfuran und Silvan 611 f.
- 81:** Oel von *Pinus Pumilio* 1027; Phosphorsäurebestimmung 1173.
- 84:** Analyse einer Kohle von Rannum 1996 f.
- 85:** Untersuchungsmethode arsenhaltiger Stoffe 1918.
- Atterberg (A.) und Widman (O.), **77:**  $\gamma$ -Dichlornaphtalin, Derivate 411.
- Attfeld, **81:** Copirtinte ohne Presse 1336; Schwefelquelle von Harrogate 1451 f.
- 84:** Nachweis einer Zuckerart im Tabak 1455; Vorkommen von Zinn in Conserven 1806.
- Attout (P. A.) und Clayton (J.), **84:** mit Eosin versetzte Gelatine-Bromsilber-Emulsion 1892.
- Attwood (G.), **79:** Quecksilberbestimmung 1055 f.; Goldvorkommen 1181 f.
- 80:** Diabas-Analyse 1497.
- Atwater (W. O.), **83:** Analysen von Fischfleisch 1493.
- 84:** Beziehungen zwischen den Pflanzen und dem Stickstoff ihrer Ernährung 1432 f., 1765 f.
- 85:** Aufnahme von Stickstoff aus der atmosphärischen Luft durch die Pflanzen 1787.
- Atwater (W. O.) und Rockwood (E. W.), **86:** Stickstoffverlust bei Pflanzen während des Keimens und Wachsens 1802 f.
- Atwood (J. E.), **85:** Reinigung von geschmolzenem Eisen 2021.
- Aube (P.), **80:** Heizgas 1360.
- Aubel (E. van), **85:** Einfluß des Magnetismus auf die Polarisation der Dielektrica 229.
- 86:** Hall'sches Phänomen in Dielektrics 256 f.; Absorptionserscheinungen in dünnen Metallschichten 288 f.
- Auberin, siehe Box.
- Aubert, siehe Lépine (R.).
- Aubert (H.), **81:** Kohlensäureausscheidung 1030.
- Aubert (L.) und Giraud (V.), **85:** Darstellung von Saccharose aus Stärke 2146.
- Aubin (E.), **84:** Bestimmung der Phosphorsäure in Superphosphaten 1577.
- 85:** Bestimmung der Phosphorsäure in Phosphaten 1917; siehe Müntz (A.).
- Aubréville, **80:** Phylloxera 1067.
- Aubry, **80:** Salicylsäure im Bier 1228.
- Aubry (L.), **83:** Anwendung des Ebullioskops für die Bieranalyse 1629; Nachweis schwefliger Säure im geschwefelten Hopfen und im Bier 1630; Analysen von „Chevaliergerste“ 1743.
- Audioyraud (A.), **83:** Werthbestimmungsmethode für Weine 1740.
- 85:** Prüfung von Olivenöl auf Verfälschung mit Sesam-, Arachis-, Croton- und Mohnöl 2179.
- Auer, **86:** Gasglühlicht 2009.
- Auer (H.), **84:** Untersuchung und Derivate von  $\beta$ -Aethylphenol 1004 f.
- Auer v. Welsbach (C.), siehe Welsbach (C. Auer v.).
- Auerbach (A.), **80:** Oxydationsprocesse im Thierkörper 1094.
- Auerbach (F.), **78:** Untersuchung des Leitungswiderstandes des Eisens 141.
- 86:** Elektricitätsleitung von Metallpulvern 249 f.
- Auerbach (G.), **79:** Alizarinblau 1173.
- 80:** Monochlorphthalsäure 862.
- Auerbach (J.), **79:** Purpurin 550.
- Augusto (L.), **85:** therapeutische Wirkung des Phenoresorcins 1255.
- Aulinger (E.), **86:** siehe Streintz (F.).
- Aumann (J. H. S.), **78:** Verhalten von Magnesia gegen Aluminium 240; Darstellung von Spinellen 1216.
- Austen (P. T.), **77:** Dinitroparadi-brombenzol 426; Nitrodiphenylamine 480; Gold von Silber 1070; Filzplatten, Krystallbildung 1098.

- neutralen Isopropylacetonylphosphins. Baryums 1617; Krystallform des Triphenylphosphins 1622, des Triphenylpropylphosphoniumjodids, des Triphenylisopropylphosphoniumjodids 1623, des Orthophosphorsäureanilids 1627; Untersuchung des Colemanits 2276 f.
- 86:** Krystallform von Sulfocarb-anilid 557; Krystallform von Siliciumtetraphenyl 1597; von p- und m-Siliciumtetratolyl und Siliciumtetrabenzyl 1599; Krystallform von Tribenzylarsin 1615; von Tribenzylmethyl- und -isoamylarsoniumjodid 1616; siehe Cossa (A.).
- Arzruni (A.) und Baerwald (C.), **83:** Zusammenhang der Krystallform mit der chemischen Zusammensetzung der nur Eisen enthaltenden Arsenkiese 1830 f.
- Arzruni (A.) und Damour (A.), **82:** Glimmer vom Ural 1554.
- Arzruni (A.) und Traube (H.), **85:** kristallographische Untersuchung einiger Derivate des Chinolins und Lepidins (Lepidinamyljodid, Chinolinamyljodid, Chinolinäthyljodid) 969 f.
- Asboth (A. v.), **86:** Kjeldahl'sche Stickstoffbestimmungsmethode bei Nitro- und Cyanverbindungen sowie bei Nitraten 1954.
- Aschan (O.), **83:** Verhalten von Phenylsenfölg gegen Amidofettsäuren 476.
- 84:** Einwirkung von Senfölen auf Amidosäuren 1087 bis 1090; Phenyl- $\alpha$ -methylsulphydantoin 1087; Phenyl- $\alpha$ -methylsulphydantoinensäure, Phenylsulphydantoinensäure, Phenyl- $\alpha$ -butylsulphydantoin 1088; p-Tolylsulphydantoin, p-Tolyl- $\alpha$ -methylsulphydantoin, p-Tolyl- $\alpha$ -methylsulphydantoinensäure, m-Phenylsulfuramidobenzoësäure 1089; m-Aethylsulfuramidobenzoësäure, m-Allylsulfuramidobenzoësäure 1090.
- 85:** Darstellung von o- und p-Mononitrooxanilsäure, Dioxyäthenylphenyldiamin 1440 f.
- 86:** Phthalimid aus Phtalsäureanhydrid 1448; Phthalaminsäure 1448 f.
- Aschenbrandt (H.), **79:** p-Diäthylbenzolderivate 374 f.
- 82:** Derivate des p-Diäthylbenzols 418.
- Aschmann, siehe Anschütz.
- Ashburner (C. A.), **79:** Wasser und Gaseingangsquelle von Kane 1272.
- Ashby (A.), **81:** Fettextraktionsapparat 1226.
- 84:** Anwendung von Blauholz-extract oder Hämatoxylinlösung als Indicator 1547 f.
- Ashwell (J. R.), **86:** Einwirkung von metallischen Beizen auf Strumpfwaren 2184 f.
- Assche (F. van), **83:** Mittel, die Wärmestrahlen von den leuchtenden und chemischen Strahlen zu isoliren 250 f.
- Astaschewsky, **80:** Säure der Muskel 1089 f.
- Aston (E.) und Pickering (Sp. U.), **86:** Untersuchung der mehrfachen Doppelsalze der Schwefelsäure 335.
- Atanasesco, **86:** künstliche Darstellung von Brochantit 2253.
- Athanasesco, **86:** Darstellung von krystallisierten basischen Sulfaten der Schwermetalle 335 f.
- Athenstädt, **80:** Antisepticum 1340.
- Athenstädt (A.), **85:** Tanninprote zum Nachweis thierischer Fäulnisstoffe im Trinkwasser 1897.
- Athenstädt (H.), **84:** Nachweis von Weinsäure in Citronensäure 1625.
- Athenstädt (J.), **84:** Darstellung von Aluminiumacetat 1737 f.
- Athenstädt (W.), siehe Hübner (H.).
- Atkinson (A. J.), **84:** indirecte Bestimmung des Mangans im Spiegeleisen 1598 f.
- 86:** Bestimmung des Schwefels in Kohle und Coke 1913 f.
- Atkinson (G. A.), **86:** Titirung der salpetrigen Säure in Nitraten 1916.
- Atkinson (J.), **84:** Dampföfen und Destillirblase für destillirtes Wasser 1686.
- Atkinson (R. W.), **77:** Persulfocyan-säure, Silbersalze 335; Trennung der Kieselsäure von der Phosphorsäure 1044.
- 80:** Silberpersulfocyanate 411 f.; Eurotin gegen Stärke 1134.
- 81:** Kojidiastase 985; Brauerei in Japan (Kōji, saké) 1308.
- 83:** Verhalten von Antimonchlorür gegen Bromkalium und von Antimonbromür gegen Chlorkalium 410 f.
- 84:** Darstellung von reinem Chlorophyll 1439; volumetrische Bestimmung des Eisens 1594 f.
- 85:** Titration von Thonerde, Anwendung von Phenolphthalein 1928.

- 86:** Bestimmung des Mangans in Erzen 1934 f.; Darstellung von Bleiweiß in Japan 2065.
- Atkinson (R. W.) und Yoshida (H.), **82:** Menthol gegen Oxydationsmittel, gegen Jodwasserstoffsäure: Menthon, Menthen, Kohlenwasserstoff  $C_{10}H_{16}$  775.
- Attenkofer (G.), **79:** Gasometer 1086.
- Atterberg (A.), **77:** Terpene aus *Pinus sylvestris*, Australien, Terebenten, Sylvestren 376; Naphtalinderivate 378; Chlornaphtaline, Constitution 410; Fahlerz 1269.
- 78:** vermuthliche Nichtexistenz des  $\beta$ -Naphtalintetrachlorids 391; Formel des Fluoranthens 400; Verhalten von Fichtenholztheer und schwerem Theeröl der schwedischen Holzfabriken 1172 f.
- 80:** Holzöl von *Pinus sylvestris*, Furfuran und Silvan 611 f.
- 81:** Oel von *Pinus Pumilio* 1027; Phosphorsäurebestimmung 1173.
- 84:** Analyse einer Kohle von Rannum 1996 f.
- 85:** Untersuchungsmethode arsenhaltiger Stoffe 1918.
- Atterberg (A.) und Widman (O.), **77:**  $\gamma$ -Dichlornaphtalin, Derivate 411.
- Attfield, **81:** Copirtinte ohne Presse 1336; Schwefelquelle von Harrogate 1451 f.
- 84:** Nachweis einer Zuckerart im Tabak 1455; Vorkommen von Zinn in Conserven 1806.
- Attout (P. A.) und Clayton (J.), **84:** mit Eosin versetzte Gelatine-Bromsilber-Emulsion 1892.
- Attwood (G.), **79:** Quecksilberbestimmung 1055 f.; Goldvorkommen 1181 f.
- 80:** Diabas-Analyse 1497.
- Atwater (W. O.), **83:** Analysen von Fischfleisch 1493.
- 84:** Beziehungen zwischen den Pflanzen und dem Stickstoff ihrer Ernährung 1432 f., 1765 f.
- 85:** Aufnahme von Stickstoff aus der atmosphärischen Luft durch die Pflanzen 1787.
- Atwater (W. O.) und Rockwood (E. W.), **86:** Stickstoffverlust bei Pflanzen während des Keimens und Wachsens 1802 f.
- Atwood (J. E.), **85:** Reinigung von geschmolzenem Eisen 2021.
- Aube (P.), **80:** Heizgas 1360.
- Aubel (E. van), **85:** Einfluss des Magnetismus auf die Polarisation der Dielektrica 229.
- 86:** Hall'sches Phänomen in Dielektrics 256 f.; Absorptionerscheinungen in dünnen Metallschichten 288 f.
- Auberin, siehe Box.
- Aubert, siehe Lépine (R.).
- Aubert (H.), **81:** Kohlensäureabscheidung 1030.
- Aubin (L.) und Giraud (V.), **85:** Darstellung von Saccharose aus Stärke 2146.
- Aubin (E.), **84:** Bestimmung der Phosphorsäure in Superphosphaten 1577.
- 85:** Bestimmung der Phosphorsäure in Phosphaten 1917; siehe Müntz (A.).
- Aubréville, **80:** Phylloxera 1067.
- Aubry, **80:** Salicylsäure im Bier 1228.
- Aubry (L.), **83:** Anwendung des Ebullioskops für die Bieranalyse 1629; Nachweis schwefiger Säure im geschwefelten Hopfen und im Bier 1630; Analysen von „Chevaliergerste“ 1743.
- Audouy (A.), **83:** Werthbestimmungsmethode für Weine 1740.
- 85:** Prüfung von Olivenöl auf Verfälschung mit Sesam-, Arachis-, Croton- und Mohnöl 2179.
- Auer, **86:** Gasglühlicht 2009.
- Auer (H.), **84:** Untersuchung und Derivate von  $\beta$ -Aethylphenol 1004 f.
- Auer v. Welsbach (C.), siehe Welsbach (C. Auer v.).
- Auerbach (A.), **80:** Oxydationsprocesse im Thierkörper 1094.
- Auerbach (F.), **78:** Untersuchung des Leitungswiderstandes des Eisens 141.
- 86:** Elektricitätsleitung von Metallpulvern 249 f.
- Auerbach (G.), **79:** Alizarinblau 1173.
- 80:** Monochlorphtalsäure 862.
- Auerbach (J.), **79:** Purpurin 550.
- Augusto (L.), **85:** therapeutische Wirkung des Phenoresorcins 1255.
- Aulinger (E.), **86:** siehe Streintz (F.).
- Aumann (J. H. S.), **78:** Verhalten von Magnesia gegen Aluminium 240; Darstellung von Spinellen 1216.
- Austen (P. T.), **77:** Dinitroparadibrombenzol 426; Nitrodiphenylamine 480; Gold von Silber 1070; Filzplatten, Krystallbildung 1098.

- 78:** p-Brom- $\beta$ -dinitrophenol 550.  
**82:** zinnsaures Natrium gegen Säuren 1301.  
**83:** Analyse von Natriummetannat 1578.  
**86:** Reinigung des Wassers mit Alaun 2108.  
 Austen (P. T.) und Chamberlain (J. Ch.), **83:** Nachweis der Salpetersäure durch Eisenammoniumsulfat 1541.  
 Austen (P. T.) und Hurff (G. B.), **82:** Titrierung von Eisenchloridlösungen 1287.  
 Austen (P. T.) und Smith (F. S.), **86:** Umsetzung von Dinitrobrombenzol mit Sulfocyankalium: Dinitrosulfocyanbenzol (Dinitrophenylmercaptan, Dinitrophenylsulfid) 533.  
 Austen (P. T.) und Wilber (F. A.), **82:** Titansäurebestimmung 1292.  
**83:** Reinigung des Fluorammoniums 284, 1534.  
**85:** Reinigung des Trinkwassers (Anwendung von Alaun, Fällung der Ptomaine und Eiweißstoffe) 1897 f.  
 Austen (P. T.) und Wilbur (F. A.), **82:** Apparat zur Nefsky'schen Ammoniakbestimmung 1348.  
 Austin (Amory), **79:** Diamylbenzol 380.  
 Auwers (K.), **84:** Untersuchung von Pseudocumenol und Derivaten: Trimethyl-o-oxybenzaldehyd 1008; m-Mononitropseudocumenol - Salpetersäureäther, m-Amidopseudocumenol, Dinitropseudocumenol 1009; Dipseudocumenol (Hexamethyldiphenol), Dipseudocumenol - Methyläther 1010.  
**85:** Derivate des Pseudocumenols 1271 bis 1274: Verbindung  $B_{10}H_4Br_2O$ , Triphenylorthoameisensäureäther, Dibrompseudocumenol - Methyläther, Monobrom- und Dibrompseudocumenol, m-Mononitropseudocumenol und dessen Methyläther 1272; Dinitropseudocumenol, Dipseudocumenol und dessen Methyläther, Dibrompseudocumenol 1273; Darstellung von Pseudocumidinderivaten 1273 f.: Dinitroacetpseudocumid, Dinitropseudocumidin, Monoamidopseudocumylenäthylamin 1273 f.  
 Avenarius (M.), **78:** Gesetz der Abhängigkeit des Volums einer Flüssigkeit von der Temperatur 69.  
**84:** Formel für die Ausdehnung der Gase und Flüssigkeiten 100 f.  
 Axenfeld, **84:** Bildung der Häminkrystalle 1486 f.  
**86:** Untersuchungen über das Hämin; Blutnachweis 1846.  
 Axenfeld (D.), **85:** Eiweißreaction 1990.  
 Aymonnet, **77:** Diathermansie von Metallen und Papier 102.  
 Ayrton (W. E.), **78:** elektrische Eigenschaften von Wachs und Chlorblei 147; siehe Perry (J.).  
 Ayrton (W. E.) und Perry (J.), **77:** Leitungsfähigkeit des Wassers 162.  
**78:** Untersuchung der Wärmeleitung in einer Steinkugel 78; elektromotorische Kraft von Ketten 130, 131; neues galvanisches Element, elektromotorische Kraft von Kupfer und Zink mit schlechten Leitern 133; Abhängigkeit der Leitung schlechter Leiter von der Temperatur 144; Leitung und spezifisches Inductionsvermögen von Eis und Wasser, der Diëlektrica 147.  
**79:** Messungen über elektromotorische Kräfte 133.  
**81:** Brechungsindex für Ebonit 109 f.  
**82:** Dispersions-Photometer, Messung der Intensität des elektrischen Lichtes 169 f.  
**83:** Methoden zur Messung des Leitungswiderstandes von Flüssigkeiten 209; Widerstand des elektrischen Lichtbogens 218; Magnetismus durch Umwicklung von Eisenstäben mit Eisendraht 227.  
**84:** elektrische Meßapparate (Ammeter, Voltmeter, Ohmmeter) 232.  
**86:** thermodynamische Beziehungen der Dampfdrucke 199; Sitz der elektromotorischen Kraft 258 f.; Ausdehnung des Quecksilbers 468; Amalgamation von Metallen 468 f.
- ## B.
- Babaneck (F.), **84:** Analyse von Fahl-erzen, von Bournonit 1911.  
 Babcock (S. M.), **79:**  $\alpha$ -Nitroamido-salicylsäure 681 f.; Cölestin 1193; siehe Hübner (H.).  
 Babcock (S. Moulton), **85:** Futteranalyse 1985.  
 Babo (L. von), **79:** Quecksilberluftpumpe 1084.  
**80:** Wasserquecksilberpumpe 1240; siehe Warburg (E.).

Babo (C. v.) und Portele (C.), **83**: Löslichkeit des Weinstein im Wasser 1807.

Baccarat, **77**: Hartglasfabrikation 1166.

Bach (E.), siehe Leuckart (R.).

Bach (O.), **77**: Butter 1098.

**83**: Prüfung des Olivenöls auf Verfälschung mit anderen Oelen 1834 f.  
Bachelor (H. W.), **80**: Reika-Brod 1067.

Bachet (J. M.) und Savalle (J. D.), **78**: Ueberführung von Stärkemehl in Dextrin und Stärkezucker durch Kohlensäure 1148; Ueberführung von Stärke in Dextrin und Traubenzucker durch Kohlensäure 1154.

Bachmann (A.), siehe Geuther (A.), Bachmeyer (W.), **81**: Reagens auf caustische Alkalien 1178.

**82**: Nachweis organischer Säuren im Phenol 1310 f.; Milchuntersuchung 1344.

**83**: Nachweis freier Schwefelsäure neben organischen Säuren 1605.

**84**: Bestimmung organischer Stoffe im Trinkwasser 1561.

**85**: Molekularsphäre und Molekularstruktur 34; Apparat zum Filtriren und Trocknen 2001.

Backeland (L.), **85**: Trennung des Cadmiums von Kupfer 1939.

**86**: Oxydation von Salzsäurelösungen durch das Licht 316.

Badia (G.), **85**: elektrolitische Kupfergewinnung 2038.

Badoureaux, **78**: Nickelgewinnung 1105 f.

Bäckström (H.), **86**: Krystallform von Propylhydroarbestyryl 603.

Baerle (van), **78**: Papierfabrikation 1174.

**85**: patentirtes Kesselsteinlösungsmittel 2182.

Bärthlein (C.), siehe Hübner (H.).

Baertling (Fr.), **86**: Milchuntersuchung 1999.

Bärwald, **83**: krystallographische Untersuchung des chlorwasserstoffsäuren Dipropylallylamin-Platinchlorids 639.

Baerwald (C.), **81**: Thenardit 1370.

**82**: Hauptbrechungsexponenten des Rutils 192.

**83**: Krystallform eines Eisenglanzes von Syssert, Ural 1837; Brechungsexponenten von Rothkupfer, Rothgültigerz, Zinnober und Rutil

1841; Analyse und optische Untersuchung des Rothbleierz von Berjosowsk 1860; Analyse eines Pyromorphits von Zähringen, Baden 1868; krystallographische Untersuchung eines Feldspaths (Albits) von Kasbek, Kaukasien 1897; Pseudomorphosen von Kieselkupfer 1914; siehe Arzruni (A.).

**84**: Gelbfärbung von Molybdänsäurelösungen durch Wasserstoffhyperoxyd, Verbindungen von Molybdanaten mit Wasserstoffhyperoxyd 413.

**85**: Einwirkung des Wasserstoffhyperoxyds auf molybdänsäure Salze 524 f.

**86**: Untersuchung und Analysen von Cölestinen 2252.

Baessler (A.), **84**: Derivate des Dimethylhydrochinons 986 bis 990: Amidodimethylhydrochinon 986; Azo-, Hydrazodimethylhydrochinon, Acetylamidodimethylhydrochinon, Mononitroacetylamidodimethylhydrochinon 987; Dimethylhydrochinontrimethylammoniumjodid, Dimethylhydrochinontrimethylammoniumhydrat 987; Dimethylhydrochinontrimethylammoniumchlorid, Dimethylhydrochinonphenylthioharnstoff, Dimethylhydrochinonthioharnstoff, Azodimethylhydrochinon 988; Dibromazodimethylhydrochinon, Tetramethoxydiamidodiphenyl 989; Diacetyltetramethoxydiamidodiphenyl 990.

**86**: Derivate (Nitro-, Amido- und Azoderivate) des Dimethylhydrochinons 1269 f.; Tetramethoxydiamidodiphenyl und Derivate 1270.

Bäfsler (P.), **77**: Chlorkohlensäureäther gegen Natriumcyamid 671.

**83**: Analyse der Platterbse (*Lathyrus pratensis*) 1414 f.

**86**: Assimilation von Asparagin durch die Pflanzen 1805; siehe Nobbe (F.).

Bäfsmann (R.), siehe Limpricht (H.).

Bätke (C.), siehe Claus (A.).

Bäuml (A.), **84**: Anwendung des Schuster'schen Maischverfahrens auf Maismalz 1799.

Baeyer (A.), **77**: Regelmäßigkeiten im Schmelzpunkt homologer Verbindungen 53; Phenole gegen Phthalensäure 544; Furfurol, Furfuracrylsäure 723; Furfurpropionsäure, Furonsäure, Hydrofuronsäure, Pimelinsäure 724; Pyroschleimsäure 725.



**78:** Synthese des Oxindols 508 f., des Isatins und des Indigblaus 509.

**79:** Indigblauderivate 470 f.; Indigweiß gegen pyroschwefelsaures Kalium 472 f.; Isolderivate 473; Isatinchlorid 478; Isatinderivate 478 f.; Phthaline 537 f.; Synthese des Chinolins 782 f.

**80:** Indigoblau, o-Mononitrophenylpropionsäure, o-Mononitrophenylacetylen 582 f.; Skatol aus Indigo 1105.

**81:** Indigogruppe: Isatogensäureäther 497; Indoin, Indoxylsäureäther, Aethylindoxylsäure-Aethyläther 498; Indoxylsäure, Aethylindoxylsäure, Indoxyl 499; Indoin, Indirubin, Aethylindoxyl 500.

**82:** Indigo und Verbindungen der Indigogruppe 627 bis 635: o-Dinitrodiphenylacetylen aus o-Mononitrophenylacetylen, Zersetzung der o-Mononitrophenylpropionsäure, Indoin aus o-Dinitrodiphenylacetylen, Diisatogen aus o-Dinitrodiphenylacetylen 628 f., Indigo aus Diisatogen, Indoin aus Diisatogen, Constitution des Indigweiß, von Indigblau; Azophenylglyoxylsäure und o-Azobenzoësäure aus Isatogensäureäther 629, Isatin aus Isatogensäureäther, Indoxylsäureäther, isatogenschweflige Säure 630; Indoxylsäure-Aethyläther gegen Oxydationsmittel: Indoxanthidsäure-Aethyläther, Indoxanthinsäure-Aethyläther, Aethyloxalyanthranilsäure 631 ff.; Nitrosoindoxanthinsäure-Aethyläther 632; Verhalten der Körper der Indoxylgruppe gegen salpetrige Säure: Nitrosoamine des Aethylindoxyls, Aethylindoxylsäureäthers, Indoxanthidsäureäthers 633 f.; Nitrosoindoxyl aus Aethylindoxylsäure 634; Constitution des Indoxyls: Chloroxindolchlorid-Methyläther (Methyldichlorindol) 634 f.; Constitution des Methylketols (Methylindol) 635; Phenolphthaleinanhydrid als Nebenproduct bei der Darstellung des Phenolphthaleins 669; Phenylphthalinanhydrid; Fluoresceinchlorid gegen Zinkstaub: Dichlorphthalinphenolanhydrid  $C_{20}H_{12}Cl_2O_3$  670 f.; Phenylpropionsäureäther gegen Schwefelsäure: Benzoylessigäther 950.

**83:** Nitrosooxindol und Nitrosoindoxyl 822; Verbindungen der Indigogruppe, Indogen 830 f.; Pseu-

doisatin und Pseudoindoxyl, Phenylazoindoxyl 831; Isonitrosopseudoindoxyl (Pseudoisatin- $\alpha$ -oxim) 831 f.; Pseudoisatin- $\alpha$ -äthylloxim, Aethylpseudoisatin- $\alpha$ -äthylloxim 832; Aethylpseudoisatin 832 f.; Aethylxyindol aus Aethylpseudoisatin 833; Aethylpseudoisatin gegen Hydroxylamin: Aethylpseudoisatin- $\beta$ -oxim 833 f.; Indoxyl gegen Aldehyde und Ketonen: Indogenid des Benzaldehyds 834 f., des p-Mononitrobenzaldehyds der Brenztraubensäure 835; Indoxyl gegen Isatin: Indirubin 835 f.; Indoxyl gegen Aethylpseudoisatin:  $\beta$ -Indogenid des Aethylpseudoisatins 836; Diäthylindigo aus Aethylpseudoisatin- $\alpha$ -äthylloxim 836 f.; Constitution des Indigo's; „Indogenide“ 837; Zusammensetzung und Bildung des Indophenins 1770.

**84:** chemische Nomenclatur 12; Derivate des o-Amidoacetophenons: o-Acetylamidoacetophenon, o-Benzylamidoacetophenon; o-Mitrosobenzylamidoacetophenon 1050; Benzylindigo 1051; siehe Pettenkofer (M. v.).

**85:** Additionsproducte organischer Verbindungen mit Unterchlorigsäure 581; Synthese des Phloroglucins 1346 f.; Phloroglucintricarbonsäureäther 1347; Darstellung von Polyacetylenverbindungen 1397 bis 1401: Propargylsäure und deren Aethyläther aus Dibrombernsteinsäure, Acetylendicarbonsäure, Kupferverbindung des Propargylsäureäthers 1397; Diacetylendicarbonsäure, Hydromukonsäure 1398; Diacetylenmonocarbonsäure, Adipinsäure; Diacetylendicarbonsäure aus Propargylsäure 1399; Diacetylen- und Acetylendicarbonsäure-Aethyläther, Propargyläther, Tetraacetylendicarbonsäure, Diacetylen, Jodpropargylsäure-Aethyläther, Jodpropargylsäure 1400; Monojodacetylen, Dijodacetylen, Dijoddiacetylen 1401.

**86:** Constitution des Benzols: Structur des Succinylbernsteinsäure-Aethyläthers (Uebergang des Benzols in Hexamethylen) 581; secundäre und tertiäre Bindungsform 581 f.; Unzulässigkeit der Prismenformel 582; Additionsproducte der Phthalsäuren (Hydrotetraphthalsäuren und Substitutionsproducte) 582 ff.; Unzulässigkeit der Claus'schen Sechseckformel 583; Condensationsproduct von Pyrol und

Aceton 727; Schmelzpunkt des Phloroglucins 1282; Trioxim des Phloroglucins 1282 f.; Vorschläge für die Nomenclatur der Ketone 1283; Verhalten der Propargylsäure gegen das Licht: Trimesinsäure 1317 f.; Derivate des Succinyllobersteinsäureäthers: Chinondihydrodicarbonsäureäther (p-Dioxyterephthalsäureäther) und Derivate 1393 f.

Baeyer (A.) und Becker (P.), **83**: p-Mononitrobenzaldehyd gegen Aceton: p-Mononitro- $\beta$ -phenylmilchsäuremethylketon und Derivate 971.

Baeyer (A.) und Bloem (F.), **82**: o-Amidophenylpropionsäure und Salze 947;  $\gamma$ -Chlorcarbostyryl,  $\gamma$ -Bromcarbostyryl,  $\gamma$ -Jodcarbostyryl, 947 f.;  $\gamma$ -Chlorcarbostyryl gegen Chlorphosphor:  $\alpha$ - $\gamma$ -Dichlorchinolin;  $\gamma$ -Oxycarbostyryl 948;  $\gamma$ -Oxycarbostyrylsulfosäure, o-Amidoacetophenon, Acetyl-o-amidoacetophenon 949 f.

**84**: Darstellung von Indigo aus o-Amidoacetophenon resp. von Bromindigo aus gebromtem o-Amidoacetophenon 899 ff.; Esobromacetyl-o-amidoacetophenon 899;  $\omega$ -Dibrom-m-Brom-o-acetyl-amidoacetophenon,  $\omega$ -Dibrom-m-Brom-o-amidoacetophenon,  $\omega$ -Dichlor-m-Brom-o-amidoacetophenon 900; Bromindigo, Bromisatin, Bromindirubin 901.

Baeyer (A.) und Burkhardt (J. B.), **78**: Diimidphenolphthalein und Tetrabromdiimidphenolphthalein 551; Einwirkung von Kali auf Phenolphthalein 630.

Baeyer (A.) und Caro (H.), **77**: Indol aus Anilinderivaten 511.

Baeyer (A.) und Comstock (W.), **83**: Oxyindol und Isatoxym: Oxyindol gegen Barytwasser 822; Oxyindol-Aethyläther, Isatoxim (Nitrosooxyindol) 823; Isatoäthylloxim 823 f.; Aethylisatoäthylloxim 824; Dibromisatoxim 824 f.; Dibromisatoäthylloxim und Dibromäthylisatoäthylloxim 825.

Baeyer (A.) und Drewsen (Viggo), **82**: Indigobildung aus o-Mononitrobenzaldehyd 636 f.; o-Mononitrobenzaldehyd gegen Aceton: o-Mononitro- $\beta$ -phenylmilchsäuremethylketon, o-Mononitrocinnamylmethylketon (o-Mononitrobenzylidenacetone): Ueberführung derselben in Indigo 636 f.; o-Mononitrobenzaldehyd gegen Acet-

aldehyd 637 f.; o-Mononitro- $\beta$ -phenylmilchsäure-Alkohol, o-Mononitro- $\beta$ -phenylmilchsäure, Darstellung von Indigo 637 f.; o-Mononitrobenzaldehyd gegen Brenztraubensäure: o-Nitrocinnamylameisensäure, o-Nitrophenylacetylameisensäure, Ueberführung derselben in Indigo 638 f.

**83**: o-Mononitrobenzaldehyd gegen Aldehyd: o-Mononitrophenylmilchsäurealdehyd-Aldehyd 970; o-Nitrozimmtaldehyd 970 f.

Baeyer (A.) und Fraude (C.), **80**: Phtaleine 669 f.

Baeyer (A.) und Fritsch (P.), **84**: Darstellung von o-Oxyphenylessigsäure aus o-Oxyphenylglyoxylsäure 1217 f.

Baeyer (A.) und Hessert (J.), **77**: Phtalaldehyd, Phtalaldehydsäure 621; Phtalylpinakon, Phtalsäurealdehydalkohol 622.

Baeyer (A.) und Homolka (B.), **83**: Mononitroso- $\gamma$ -oxycarbostyryl 827 f., Acetyldioxytetrahydrochinolin 828;  $\beta$ - $\gamma$ -Dioxycarbostyryl 828 f.; Chinisäure aus  $\beta$ - $\gamma$ -Dioxycarbostyryl 829; Chinisatin aus Chinisatinsäure 830.

**84**: Untersuchung von Chinisatin ( $\omega$ -Lactim der Chinisatinsäure), Darstellung von 2,Chinisatoxim (Nitroso- $\gamma$ -oxycarbostyryl) 898 f.

Baeyer (A.) und Jackson (O. R.), **80**: Homologe des Chinolins und Hydrocarbostyryls 587 f.; Methylketol, Synthese 590.

Baeyer (A.), Königs (W.) und Burckhardt, **77**: Amido- und Oxyphthalsäure 765.

Baeyer (A.) und Landsberg (L.), **82**: Synthesen mittelst des Phenylacetylen 429 f.; o-Monoamidophenylacetylen und o-Diamidodiphenylidiacetylen 540.

Baeyer (A. v.) und Lazarus (M. J.), **85**: Condensationsprodukte von Isatin mit Kohlenwasserstoffen, Phenolen und tertiären Basen 1152 bis 1154: Toluëisatin 1152; Monoacetyltoluëisatin, Toluëisatinäthyläther, Tolumonobromisatin, Acetyltolumonobromisatin, Phenolisatin und Monoacetylphenolisatin 1153; Anisolisatin, Dimethylanilinisatin, Bildung eines Farbstoffs aus letzterem 1154.

Baeyer (A.) und Oekonomides (Spir.), **82**: Isatin, Methylisatin 624 f.; Methylisatoid, Methylbrom-

isatin, Methylbromisatoïd, Aethylbromisatin und -isatoïd, Acetylbromisatin 625 f.; Isobutylbromisatoïd, Dibromisatin und Aether, Dibromisatinsäure und Aether 826; Isatinsäureäther 626 f.; Constitution des Aethylisatins, Bildung von Indigo und Bromindigo aus Isatinäthern und Bromisatinäthern 627.

Baeyer (A.) und Pape (C.), **84**: Derivate des o-Xylols: o-Xylylencyanid, o-Phenylendiessigsäure 534.

Baeyer (A.) und Perkin (W. H. jr.), **83**: Benzoylessigsäure und Derivate: Benzoylessigsäure-Aethyläther 1199; Benzoylessigsäure, Aethylbenzoylessigsäure, Diäthylbenzoylessigsäure-Aethyläther, Diäthylbenzoylessigsäure, Diäthylacetophenon, Allylbenzoylessigsäure-Aethyläther, Allylbenzoylessigsäure 1200; Allylacetophenon, Nitrosobenzoylessigsäure-Aethyläther, Dibenzoylessigsäure-Aethyläther, Dibenzoylessigsäure, Dibenzoylmethan, Tribenzoylmethan 1201.

**84**: Hydrindonaphten-Derivate, Darstellung 552 ff.; Hydrindonaphtendicarbonssäure, Hydrindonaphtenmonocarbonssäure, Darstellung, Verhalten 553; Naphtalinderivate, Darstellung aus Acetyltetracarbonssäureäther mit o-Xylylenbromür 554 ff.; Dinatriumacetyltetracarbonssäureäther, Tetrahydronaphtalintetracarbonssäure-Aethyläther 554; Tetrahydronaphtalindicarbonssäure-Anhydrid, o-Xylylendichlordimalonsäure-Aethyläther 555; o-Xylylendimalonsäure-Aethyläther 556; Untersuchung von Benzoylessigsäure 1261 ff.; Dibenzoylbernsteinsäureäther, Dibenzoylbernsteinsäure 1261; Dilacton der Dibenzoylbernsteinsäure 1262; Dehydrobenzoylessigsäure 1263.

Baeyer (A.) und Schraube (C.) **78**: Diphenyltetrabromchinon (Bromroschinon) 652 f.; Bromroschhydrochinon 653.

Baeyer (A.) und Tönnies (P.), **77**: Furfuröl gegen Isobuttersäure 610; Furfurangelicasäure, Furfurvaleriansäure, Furfurbutylen 725.

Baginsky (A.), **83**: Bestimmungen der Phosphorsäureverbindungen in der Milch 1465 f.; Labferment in Pflanzen und im Dünndarm, Einfluss von Fäulnisfermenten, von Tripsin

auf die Labwirkung, Pepsin im Thierkörper 1509.

**84**: Vorkommen von Xanthin: Hypoxanthin im Thee, Zerstörung von Guanin, Xanthin, Hypoxanthin bei der Fäulnis, Umwandlung von Hypoxanthin im thierischen Organismus, Vorkommen von Xanthin in nephritischem albuminhaltigem Harn 514; Untersuchung über die Verwertbarkeit von Milchconserven 1490 f.

Bahlmann (A.), **77**: Orthoderivate der Sulfobenzoesäure 820; Parabromsulfobenzoesäure 821; Nitro und Amidobromsulfobenzoesäure 822.

Bahrman (R.), **83**: Amarine und Derivate 736 bis 738; Furfurin und Derivate 738 f.

Baibliche, **79**: Amblygonit 1204.

Baierlacher, **77**: Desinfection durch schweflige Säure 1179.

Bailey (G. H.), **86**: Trennung des Zirkoniums von Eisen, Titan, Nickel, Zinn, Silicium 1941 f.; Analyse von Koppit 2293 f.

Bailey (H.), **86**: Apparat zur Erhaltung constanter Temperaturen 18.

Bailey (Ph.), **85**: Capillarwirkung 18.

Bailey (Th.), **86**: quantitative Analyse von Legirungen und Mineralien 193.

Baille (J. B.), **83**: elektrische Entladung in verschiedenen Mitteln 19.

**85**: Bestimmung magnetischer Momente 296.

Baills, **79**: Rotheisensteine 1187.

Baily (G. H.), **84**: vanadins. Salz von Aminen der Fettreihe 692; vanadins. Methylamin, -Aethylamin, -Dimethylamin, -Tetraäthylammonium, -Tetramethylammonium, -Trimethylamin, zweidrittels. Methylaminvanadat, -Aethylaminvanadat, -Dimethylaminvanadat, dreifünftels Trimethylaminvanadat 593.

Baily (W.), **77**: Spectroskop 1098.

Bake (W. P.), **83**: Metallurgie des Nickels 1675.

Baker (A. L.), **80**: Wassergehalt des Strontiumnitrats 284; Livingston 1408; Hornblende 1456.

**81**: Jod in westvirginischen Soole 1454.

Baker (H.), **77**: Salze von Di- und Trithionsäure 211.

**78**: Oxyfluoride des Vanadiums 299.

**79**: Isomorphismus 184 f.

**80**: Diamant 276; Vanadinoxide 339.



- 81:** Isomorphismus von Doppel- und Oxyfluoriden 156.
- 83:** Krystallform von Kaliumtetra- und -pentathionat 291.
- 84:** Beschreibung eines Diamanten 1898.
- 85:** analytische und krystallographische Untersuchung von Natriumvanadaten 562 ff.; siehe Sugaira (S.).
- Baker (H. Brereton), 83:** active und inactive Stickstoffmodification, Ammoniakbildung 303.
- Baker (J. E.)** siehe Letts (E. A.).
- Baker (R. W.), 86:** Analyse von Beryll 2285.
- Baker (W.), 78:** Abscheidung des Phosphors aus dem Gußeisen 1102.
- Bakhuys Roozeboom (H. W.):** siehe Roozeboom (H. W. Bakhuys).
- Bakker (H. P.), 84:** Gewinnung von Tengkawangfett 1823.
- Balanche, 83:** Manganbister 1788.
- Balbiano, 77:** Phenylbutyl (Cymol) 378.
- Balbiano (L.), 77:** Monochlorbuttersäure 704; Butylbenzolsulfosäuren 861.
- 78:**  $\beta$ -Monochlorbuttersäure 703 f.; Monochlorisobuttersäure-Aethyläther 704 f.
- 79:** Bestimmungen der Halogene in organischen Verbindungen 1062.
- 80:** Derivate der  $\beta$ -Chlorbuttersäure 788 f.
- 81:** Dibrombenzol gegen Natriumäthylat 390; isomere Monobromanissäure 391 f.
- 83:** Dibromanissäure-Methyläther und Dibrom-p-oxybenzoesäure aus dibromanissaurem Natrium 1142 f.; Dibromanissäure gegen Salpetersäure; Dibromnitroanisol 1143.
- 84:** Bildung von Kupferoxyfluorid und Kupferfluorid 432; Untersuchung von Dibromanissäure 1211, von Monobromanissäure 1211 ff.; Dinitrobromanisol, Dinitrobromphenol, Mononitrobromanisol 1211; Nitrobromanissäure, Amidobromanissäure 1212; Monoamidoanissäure 1213.
- 85:** Darstellung von Camphophenylhydrazin 1116; Einwirkung von Bromcampher auf Phenylhydrazin 1116 f.
- 86:** Camphophenylhydrazin, Camphyldiphenylhydrazin 1666 f.
- Balbiano (L.) und Alessi (A.), 82:** Oxalsäure und Bernsteinsäure gegen elektrolytischen Wasserstoff: Glycolsäure 794.
- Balbiano (L.) und Testa (A.), 80:** Chlorisobuttersäure, Derivate 789.
- Balcke (J.), 80:** Carica papaya 1075.
- Baldensperger (T.),** siehe Schmid (H.).
- Balentine (W.), 80:** Diazobenzolsulfosäure 908 f.
- Ballabene (B.), 85:** Darstellung von Lignit 2103.
- Balland, 79:** Palmwein 1140.
- 81:** Zerstörung von Geweben durch Eisenoxyd 1322.
- 83:** Veränderungen des Mehles beim Aufbewahren 1406; Untersuchung des Getreides der Indier 1747.
- 85:** Alkaloide in altem Mehl 1983.
- 86:** Vorgänge bei der Brotbereitung 2144 f.; Soldatenbrot 2145.
- Ballano, 84:** Veränderung des Mehles mit dem Alter 1804 f.; Wasser-, Säure-, Zuckergehalt der Mehlsorten. Vertheilung der Salzmaterialien in den Mühlenproducten 1805.
- Ballatschano und Trenk, 80:** Gerberei 1374.
- Balli (B.), 85:** Herstellung einer haltbaren Lackmustinktur 1887.
- Ballin,** siehe Forcrand (de).
- Balling, 83:** falsanalytische Zinkprobe 1517.
- Balling (C. A. M.), 80:** Silbergehalt im Bleiglanz 1193; Scheidung des Goldes 1195 f.
- 81:** volumetrische Bestimmungen der Metalle 1155, 1156.
- Ballo (M.), 78:** Donauwasser 1294 f.; Ofener Bitterwässer 1305; Therme am Fusse des Blocksberges, Südende Ofens 1306.
- 79:** Oxydation von Campher, 565; Camphersäurederivate 725.
- 80:** Camphersäure 880.
- 81:** Oxydation des Camphers, Verbindung des Camphers mit Alkohol 625 f.; Isobutylallylmalonsäure, Dinatriummalonsäureäther 758.
- 82:** Kohlensäurehydrat, Einwirkung des Magnesiums auf kohlen-säurehaltiges Wasser und Dicarbonate 252.
- 83:** platinirtes Magnesium als Reductionsmittel 351; Analyse des Bitterwassers des Victoriabrunnens bei Ofen 1945.
- 84:** Kohlensäurehydrat 371; Pflanzenchemie: Reduction der Kohlensäure zu Ameisensäure 1426;

stimmung des Kohlensäuregehaltes der Luft 1588; Analyse des Borgeyer Sauerwassers 2035.

**86:** Wärmeleitfähigkeit von Baumaterialien 185 f.; siehe Nienstädt (E.).

Balmer (J. J.), **85:** Spectrallinien des Wasserstoffs 319 f.

Balsohn (M.), **79:** Benzol gegen Aethylen 367; Darstellung von Aethylbenzol 368; siehe Friedel (C.).

Balson, **78:** Arsenkies 1205.

Baltus (E.), siehe Béchamp (J.).

Baltzer (C.), **81:**  $\alpha$ -Oxynaphtochinon aus  $\alpha$ -Naphtochinonanilid, Derivate 647 f.

Bamberger (E.), **79:** Coquimbis 1195.

**80:** Guanylphenylthioharnstoff 424 f.

**81:** Phenylsenföl gegen Säureamide 323; Pikranalchim 1398.

**82:** Phenylxantogenamid 393 f.

**83:** Dicyandiamid 483 bis 485; Melanurensäure, Thiodicyandiamidin 484; Triacettriamidophenol gegen Salpetersäure: Tetraacetamidodioxyphenylchinon 912 f.; Reduction des letzteren Körpers: Tetraacetamidodioxyphenylhydrochinon 913.

**84:** Derivate der Phenylazoacetessigsäure und ihrer Homologen 832 bis 835: o-Nitrophenylazoacetessigsäure 832; o-Nitrophenylazoacetessigsäure, o-Nitrophenylazoacetessigsäure, o-Nitrophenylazoacetessigsäure 833; o-Amidophenylazoacetessigsäure 834; m-Nitrotolyl-p-azoacetessigsäure, m-Nitrotolyl-p-azoacetessigsäure, m-Amidotolyl-p-azoacetessigsäure 835.

**85:** Reten 707 f. und Derivate: Retistenchinonoxalin, Retistenhydrochinon, Retistendiphensäure 708 f.; Farbenreaction der Orthodiketone (Phenanthrenchinon, Retenchinon, Dibromretenchinon, Chrysochinon, Benzil) 1958.

**86:** Einwirkung von Cyankalium auf o-Mononitrobenzylchlorid 665 ff.: o-Mononitrobenzylcyanid, Dinitromonocyanidibenzyl, Verhalten des letzteren gegen Kaliumcarbonat: Verbindung  $C_{13}H_8N_3O_8$  666; Condensationsproduct derselben mit o-Mononitrobenzylchlorid 667; Zersetzung der Anisole (Phenoläther) bei hoher Temperatur 1234; Derivate und Oxydation des Sparteins 1694 f.

Bamberger (E.) und Calman (A.),

**85:** gemischte Azoverbindungen

1066 f.: Phenylazoacetophenon, Phenylazobenzoylessigsäure, o-Nitrophenylazobenzoylessigsäure, o-Nitrophenylazoacetophenon 1066; o-Nitrophenylazoisonitrosobenzoylessigsäure m-Nitrotolyl-p-azoacetophenon, m-Nitrotolyl-p-azobenzoylessigsäure 1067.

Bamberger (E.) und Feufner (K) **81:** Sodolith 1383.

Bamberger (E.) und Hooker (S. C) **85:** Retenderivate: Retistenchinon Retenchinon 708 f.; Retenketon, Retenfluorenalkohol 710; Retenglycolsäure 711; Retenfluoren 712; Oxyisopropylidiphenylketoncarbonsäure aus Retenchinon 712 f.; Oxyisopropylidiphenylketonoximcarbonsäure, Diphenylketondicarbonsäure 714 Diphenylketonimidcarbonsäure, Diphenylketonmono- und -dicarbonsäure, Diphenyldicarbonsäure 715.

Bamberger (E.) und Kranzfeld (J) **85:** Chrysenderivate (Chrysochinon, Chrysoketon) 716 f.; Chrysofluor- und Derivate 717.

Bamberger (E.) und Philip (M) **86:** Oxydationsproducte des Pyren: Pyrenchinon 621; Pyrensäure und Derivate 622; Pyrenphenylhydrazinsäure, Pyrenketon 623; Naphtal: tetracarbonsäure 623 f.; Naphtalsäure 624.

Bamberger (E.) und Philipp (J.), **81:** Arsentrijodid 196; Arsenidijodid 197.

Bamberger (E. v.), **77:** Glaukon 1321; Salit 1322.

Bamberger (F.), **81:** Guanylphenylthioharnstoff, Diphenylthioharnstoff 338 f.

Bancel (C.) und Husson (C.), **79:** Phosphoreszenz des Hummerfleisches 1000.

Bandrowski (E.), **79:** Dibrombenzoesäure 628; Acetyldicarbonsäure 636 f.

**80:** propargylsaures Kalium 774 f. Propargylsäure 775.

**82:** Propargylsäure aus acetylen: dicarbonsaurem Kalium 827 f.; Chlorbrom- und Jodacrylsäure 828; Acetyldicarbonsäure, Brom-, Chlor- und Jodfumarsäure 853 f.

**84:** Verhalten von Hydroazobenzol gegen zweibasische organische Säuren 854 ff.; Diphtalyl-di-p-benzidin, Diphtalyl-dinitro-di-p-benzidin, Diphtalyl-p-o-benzidin 855; Dioxalylbenzidin 856.

- 86:** Oxydation von Diphenylamin: Diphenylazophenylen 878 f.; Reduktion des letzteren zu Diphenylphenylendiamin; Verhalten, Dinitrosoderivat des letzteren 879; Darstellung des Diphenylazophenylens durch Oxydation eines Gemisches von Anilin und Diphenylamin 880.
- Bang (F.), **84:** Gewinnung von reinem Glycerin 1821.
- Banks (E.), **83:** Anwendung von Hydrochinon als Entwickler für photographische Zwecke 1824.
- Bannow (A.), **77:** Alkoholpräparate 515; Alkohol 1199.
- 78:** Fabrikation wissenschaftlicher Apparate 1134.
- 80:** vermeintliches isomeres Kaliumcyanat 393 f.
- 86:** Darstellung reiner Buttersäure 1324.
- Banthisch (W.), siehe Ostwald (W.).
- Bantlin (A.), **77:** Trinitroresorcin (Styphninsäure) 549.
- 78:** m-Nitrophenol 545 f.; Resorcin, Styphninsäure, Dinitrophenole 547 f.
- Bany (J. A.) und Sanguinetti (Ch. A.), **84:** Entfettung von Safrankörnern und Mais 1823.
- Baralis (M.), **84:** Darstellung von mono-, di-, trichlor-, monobromessigs-, trichlormilchs. p-Toluidin 697 f.
- Barataeff (S.) und Saytzeff (A.), **86:** Synthese des Triäthylcarbinols, Eigenschaften und Oxydationsproducte desselben 1217.
- Barataew (S.), siehe Saytzeff (A.).
- Baratajew (S.), **86:** Einwirkung von Allyljodid mit Aethyljodid und Zink auf Oxalsäure-Aethyläther: Diäthyl- und Diallyloxalsäureester 1314; Methoxydiallylessigsäure 1392 f.
- Barbaglia (A.), **81:** Valerosulfaldehyd 599.
- Barbaglia (G. A.), **80:** Thiovaleraldehyd 701.
- 83:** Extraction von Alkaloiden aus *Buxus sempervirens*, Buxidin 1357.
- 84:** Einwirkung von Schwefel auf Valeraldehyd: Trisulfovaleraldehyd 1034; Darstellung von Parabuxinidin 1397.
- 86:** Trisulfovaleraldehyd, trimolekularer Isobutyraldehyd 1629.
- Barbaglia (G. A.) und Gucci (P.), **80:** Zersetzung von Natriumdisulfid 281 f.; Chlordiisapropylketone 717.
- 81:** Mono-, Di- und Trichlordiisopropylketon 612; trockne Destillation des isobutters. Calciums 704; Isopropylisopropylketon 705.
- Barbier (E.), **81:** Extractionsapparat 1236.
- Barbier (P.), **80:** Acetyl-Oxyaldehyde 711.
- Barbier (Ph.), **83:** flüssige Chlorhydrate des Terebenthens 596 f.
- Barbier (P.) und Roux (L.), **86:** Verhalten von Aceton, Benzophenon und Acetophenon bei Rothgluth 1639.
- Barbieri (J.), **78:** Eiweißkörper der Kürbissamen 932: siehe Meyer (V.), siehe Schulze (E.).
- Barbsche, **81:** Nachweis von Glycerin 1202.
- Barbury (S. H.), **86:** Theorie der Gase 165.
- Bardet (G.), **86:** Piliganin 1753; siehe Beaumetz (Dujardin).
- Bardsky, **82:** Oxydation ätherischer Oele an der Luft 1177.
- Bardsky (M.), **84:** Molekularanziehung homogener Körper 11 f.
- Bardwell (F. L.), **86:** Isobutyranilid 802: siehe Norton (L. M.).
- Bardy, **79:** Verunreinigungen des Eisessigs 596.
- Bardy (Ch.), **80:** Methylalkohol 1353.
- Bardy (Ch.) und Bordet (L.), **79:** Darstellung von reinem Methylalkohol 482 f.; Bestimmung des Methylalkohols im Holzgeist 483; Methylalkohol im Holzgeist 1065; Methylanilin 1158 f.
- Barenthin (C.), **86:** Jodzahl einiger ätherischer Oele 1828.
- Barff (F.), **77:** Eisenoxydoxydul auf Eisen 1115.
- 79:** Eisenoxyduloxyd auf Eisen 1093.
- 80:** Eisenoxyduloxyd auf Eisen 1250.
- 82:** Glycerinborsäure als Antisepticum 1435 f.
- Barfoed, **77:** Cholophoniumharz in Seifen 1151.
- Barilari (S.), **77:** Salicylsäure gegen Eisenfeile 747.
- 78:** monokline Schwefelkrystalle 201.
- Baring (A. G.), **86:** Ort der Harnsäurebildung im Organismus 1851.
- Barisch (F.), **79:** Bromzimmtsäuren 713 f.

- Barker (G. F.), **83**: Secundärbatterien 203.  
**84**: Normal-Daniell-Element 236 f.; siehe Rowland (H. A.).  
 Barker (R.), **84**: Apparat zur Ausscheidung von Gold und Silber aus ihren Erzen 1717 f.  
 Barlow (J. J.), **86**: Trennung des Mangans von Zink, Kobalt, Nickel 1935.  
 Barlow (W.), **86**: Beziehungen der Krystallform zur chemischen Zusammensetzung 2.  
 Barner, **83**: Krystallform des  $\alpha$ -Benzanishydroxamsäure-Aethyläthers 727.  
 Barner (F.), **82**: krystallographische Untersuchung organischer Substanzen 367 f.; krystallographische Untersuchung des Dinitro-p-xylols vom Schmelzpunkt 93° und der Molekülverbindung des  $\alpha$ - und  $\beta$ -Dinitro-p-xylols 463 f.; Krystallform des Benzoyl-p-dinitrodiphenylamins 548.  
**84**: krystallographische Untersuchung organischer Substanzen 463.  
 Barnes (J.), **80**: Dumas'sche Dampfdichtebestimmung 35.  
**81**: Werthbestimmung des Zinkstaubs 1190.  
**85**: Scheidung der durch Salzsäure gefällten Metallchloride 1940; Färbversuche mit Titansäure als Beize 2215.  
**86**: vergleichende gasometrische Prüfung von Zinkstaub, Carbonaten u. s. w. 1902.  
 Barnes (J.) und Grimshaw (H.), **77**: englisches Mineralwasser 1387.  
 Barnes (J.) und Lidde (W. T.), **83**: mafsanalytische Bestimmung von Sulfoeyaniden des Handels 1597.  
 Barnes (J. B.), **79**: Conservirung vegetabilischer Infusionen 885.  
**81**: Zimmtsäure als Antisepticum der Zukunft 1141.  
**83**: qualitative Trennung von Jod, Brom und Chlor 1530.  
 Barnes (Ph.), **86**: gegenwärtiger Stand der Stahlindustrie in den Vereinigten Staaten 2031.  
 Barnouvin, **80**: Phylloxera 1067.  
 Barnstorff (J.) und Schulze-Berge (H.), **80**: Entphosphorung des Roheisens 1251.  
 Barr (A.), **86**: Verhalten von Diphenyl-, Di-p-tolyl- und Di-o-tolylharnstoff beim Erhitzen (Triphenylguanidin, Tri-p-tolylguanidin) 548.  
 Barr (R. L.), siehe Mills (E. J.).  
 Barral (B.), **77**: Jod in Fetten 1014.  
 Barral (J. A.), **78**: Nitrate der Rübenarten 963.  
**80**: Zuckerrüben 1065 f.  
**84**: Salicylsäure als Conservierungsmittel für Bier und Wein 1802.  
 Barret (E. L.), siehe Wood (C. H.).  
 Barret (W. F.), **83**: Lichtentwickelung im magnetischen Felde 226.  
 Verlängerung der Metalle beim Magnetisiren 230 f.  
 Barrois, **83**: Glaukophan führende Gesteine von der Insel Groix, Morbihan 1893.  
 Barsilowsky (Barsylowsky) (J.), **77**: Metazotoluol 504.  
**78**: m-Hydrazotoluol und m-Toluidin, Verhalten des m-Toluidins gegen rothes Blutlaugensalz und Aetzkalk. Oxydation von p-Toluidin mit übermangans. Kalium 505 f.  
**79**: Azoderivate des Toluols 486.  
**81**: Azoderivate des Toluols 487 bis 489; siehe auch Barzilowski (J.).  
 Barth, **80**: Carboxytartronsäure aus Brenzkatechin, Benzol 1394 f.; Mononitropyrogallol 1395.  
 Barth (H.), **85**: Verzögerung der Mostgährung 2149.  
 Barth (L.), **78**: Verhalten von Thymol gegen schmelzendes Kali 588: Constitution der Dioxybenzoesäure aus Disulfobenzoesäure 763; Verhalten von Thymol gegen Kaliumhydrat 807 f.  
**81**: Nitro- und Amidopyrogallol 559 f.; Carboxytartronsäure 720.  
 Barth (L.) und Goldschmidt (G.), **78**: Ellagsäure 819.  
**79**: Ellagsäure 728 f.  
 Barth (L.) und Herzig (J.), **80**: Mesitylendisulfosäure 1394.  
**81**: Mesitylendisulfosäure 861 f.  
 Barth (L.) und Kretschy (M.), **80**: Pikrotoxin, Pikrotin, Anamirtin 1003 f.  
**82**: Beitrag zur Pikrotoxinfrage 1118.  
**84**: Untersuchung von Pikrotoxin 1400.  
 Barth (L.) und Schmidt (M. v.), **79**: Dihydroxybenzolmonosulfosäure 750 f.  
**80**: Dihydroxybenzolmonosulfosäure 914 f.  
 Barth (L.) und Schreder (J.), **78**: Einwirkung von schmelzendem Kalium auf Phenol 588.

**79:** Phenol gegen Aetznatron 508 f.; Phloroglucin 527 f.; Diphenole 537; aromatische Säuren gegen Natronhydrat 674 f.

**82:** Orcin gegen Natron: Tetraoxydiphenylmethan, Brenzkatechin, Phloroglucin, Resorcin 697 f., Gallussäure gegen Natron: Phloroglucin 698.

**83:** Hydrochinon gegen schmelzendes Natron: Oxhydrochinon 923 f.; Benzoësäure gegen schmelzendes Kali: p-Oxybenzoësäure, m-Oxybenzoësäure, α-Oxisophtalsäure 1133; p-Diphenylcarbonsäure, m-Diphenylcarbonsäure 1133 f.

**84:** Untersuchung der aus Hydrochinon in der Natronschmelze entstehenden Körper 983 ff.; Oxyhydrochinon (Oxychinhydron), δ-Hexaoxydiphenyl 984; Dichinhydron, Dichinon 985.

**85:** Verhalten von Hydrochinon in der Natronschmelze 1255.

Barth (L.) und Weidel (H.), **77:** Resorcin gegen Salzsäure 562.

**78:** Einwirkung von Salzsäure auf Resorcin 554.

**83:** Oxydation von Morphin; Protocatechusäure aus Morphin; Narcein, Norceotin und Thebain beim Schmelzen mit Kali; Tetrahydrocinchomeronsäure und Cinchomeronsäure gegen schmelzendes Kali 1344.

**84:** Oxydation von Morphin 1389.

Barth (M.), **78:** Invertin 1032 f.

**80:** kohlensaure Thonerde-Ammoniak 287.

**85:** Untersuchung des Honigs 1981.

**86:** Glycerinbestimmung im Wein 1985; siehe Nefzler (J.).

Barthélemy (A.), **83:** Arsen in Weinsorten 1741.

Bartlett (J.), **86:** giftige Eigenschaften des Sassafrasholzes 1867.

Bartoli (A.), **77:** galvanische Polarisation 158.

**78:** Zersetzung des Wassers, Durchgang des galvanischen Stroms durch Wasser 154.

**80:** spezifische Wärme von Flüssigkeiten 91.

**83:** Constitution der Elektrolyten 218; Grenzen der Elektrolyse 219.

**84:** Aenderung des Leitungswiderstandes bei erstarrendem Cetylalkohol 253 f.; elektrische Leitungsfähigkeit von organischen Kohlenstoffverbindungen 254.

**85:** Diffusion von Sauerstoff und Wasserstoff durch Glas 59; Gesetz über die Capillaritätsconstante von Flüssigkeiten (Kohlenwasserstoffen), Beziehung zwischen Dichte, Atomgewicht und Ausdehnungscoefficient der Metalle 79; Beziehung des kritischen Punktes zum Siedepunkt 157; Beziehung zwischen der elektrischen Leitungsfähigkeit und der Zusammensetzung verschiedener Kohlenarten 259; elektrische Leitungsfähigkeit von Kohlenstoffverbindungen: Amide, Anilide, Nitroderivate 279 f.; Abhängigkeit der elektrischen Leitungsfähigkeit des Diäthylamins von der Temperatur, die festen Kohlenstoffverbindungen als Nichtleiter der Elektrizität, elektrische Leitungsfähigkeit der Harze 280; Erhöhung der Leitungsfähigkeit organischer Substanzen beim Erstarren 280 f.

**86:** Molekularvolumina von Flüssigkeiten 78 f.

Bartoli (A.) und Papasogli (G.), **81:** Elektrolyse mit Anoden aus Kohle (Bild. von Mellith- und Hydro-mellithsäure) 657.

**82:** Veränderungen von Kohlenelektroden bei der Elektrolyse 163 f.

**83:** elektromotorische Kraft von Retortenkohle und Holzkohle gegen Gold und Platin 207; elektrolytisches Verhalten von Borsäure, Schwefelkohlenstoff und Benzol 222 f.; Elektrolysen anorganischer und organischer Körper mit Kohlenelektroden 223 bis 225.

**84:** elektromotorische Kraft von Elementen mit Platin oder Gold und Kohleplatten 240; Elektrolyse von Phenollösungen mit Kohle- und Platinelektroden 269; Elektrolyse von melliths. Natrium 269 f.

**85:** Bildung von Mellogenderivaten durch Elektrolyse 287; Einwirkung von unterchlorigsaurem Natrium auf Braunkohlen und künstliche Kohlen (Mellithsäure) 453 f.

**86:** Elektrolyse einer ammoniakalischen Lösung (Bildung von Mellogen) 278.

Bartoli (A.) und Stracciati (E.),

**84:** spezifische Wärme des Honigsteins 1995.

**85:** Formel für die Ausdehnung von Flüssigkeiten und für die Berechnung der kritischen Temperatur

- aus der Ausdehnung 157 f.; Bestimmung der kritischen Temperatur und der Molekularvolumen der Kohlenwasserstoffe  $C_nH_{2n+2}$  aus dem pennsylvanischen Petroleum 158; physikalische Eigenschaften der Kohlenwasserstoffe  $C_nH_{2n+2}$  des pennsylvanischen Petroleums 660 ff.
- 86:** kritische Temperatur und Molekularvolumen der Kohlenwasserstoffe  $C_nH_{2n+2}$  des pennsylvanischen Petroleums 81; Ausdehnung von Flüssigkeiten, Beziehungen zwischen kritischer Temperatur und Wärmeausdehnung 128; Beziehungen der thermischen Ausdehnung zur kritischen Temperatur 183.
- Barus (C.), siehe Strouhal (O.).
- Barus (C.) und Strouhal (V.), **86:** elektrische und magnetische Eigenschaften des Kohleisens 283; Beziehungen von elektrischem Widerstand und Dichte zur Härte des Stahls; Vorgänge beim Härten des Stahls 2030.
- Barzilowski (J.), **84:** Untersuchung kaukasischer Mineralwässer 2037.
- 85:** Einwirkung von Benzaldehyd auf Azobenzol (Benziliden-Bezidin) 1068; siehe auch Barsilowski (J.).
- Basarow (A.), **77:** Explosivstoffe 201.
- Basiner (A.), siehe Dragendorff.
- Basler (A.), **83:** Darstellung von p-Mononitrobenzylalkohol aus p-Mononitrozimmtsäure 867 f., aus Essigsäure - p-Mononitrobenzyläther 868; p-Mononitrobenzylalkohol gegen Benzol: p-Dinitrodibenzylalkohol, p-Mononitrodiphenylmethan 868 f., Derivate des p-Mononitrodiphenylmethans 869 f.; p-Mononitrophenyl- $\beta$ -brompropionsäure 1182;  $\beta$ -Lacton der p-Mononitrophenylmilchsäure, p-Mononitrostyrol, Monoamidostyrol 1183; p-Mononitrophenyl- $\beta$ -milchsäure 1183 f.
- 84:** Lactone aus p-Nitrozimmtsäure, Derivate derselben (p-Nitrophenyl- $\beta$ -brom- und - $\beta$ -anilidopropionsäure) 1060 f.
- Basset (H.), **86:** Verhalten des Zinns beim Auflösen in Salpeterschwefelsäure 445 f.; Darstellung von Trichlormethylsulfochlorid 1534.
- Basset (H.) und Fielding (E.), **86:** Einwirkung von Unterchlorigsäureanhydrid auf Jodtrichlorid 330.
- Bastelaer (A. van), **82:** Butteruntersuchung 1341.
- Bastie (de la) **81:** gehärtetes Glas 1279.
- Baswitz (M.), **78:** Einwirkung von Diastase auf Stärke 1034 f.; Einwirkung des Malzes auf Stärkekleister 1155.
- 79:** Stärke und Diastase 836.
- Battandier, **77:** Zersetzung von Jodkalium 1052.
- 80:** Glucosebestimmung im Harn 1238; siehe Böttger (R.).
- Battelli (A.), **85:** negative Bildungswärme von Mischungen nicht metallischer (organischer) Substanzen 200; thermoelektrisches Verhalten verschiedener Legierungen 251 f.
- 86:** Einfluss der Magnetisierung des Eisens auf seine Wärmeleitung 186; siehe Naccari (E.).
- Battelli (A.) und Martinetti (M.), **85:** Bestimmung der spezifischen Wärme von Gemischen verschiedener organischer Körper 129; Untersuchung des Schmelzens von Mischungen organischer Verbindungen 136 f.
- Battelli (A.) und Palazzo (L.), **85:** Bestimmung der Volumänderung organischer Substanzen beim Schmelzen 133 ff.; Untersuchung des Schmelzens von Mischungen von je zwei nicht metallischen Verbindungen 135 f.
- Battut (L.), **84:** Methode zur Bestimmung des Zuckers und der Glucose 1648.
- Batty (W. v.), **77:** Kohle aus Gasretorten 1216.
- Baubigny, **82:** Verhalten des Schwefelwasserstoffs gegen Nickellösungen 295 bis 298; Verhalten der Säureamide gegen Alkohol (Rückbildung der Amide) 472.
- Baubigny (A.), **78:** Darstellung von Nickeloxydodydul 283.
- Baubigny (H.), **83:** Bestimmung des Atomgewichts der Metalle mittelst ihrer Sulfate 43 f.; Atomgewicht von Kupfer, Zink, Nickel und Aluminium 44 bis 46.
- 84:** Bestimmung des Atomgewichts von Chrom 53 f.; Darstellung von reinem Chromoxydsulfat 402; Trennung des Chroms von Thonerde und Eisen 1593.
- 86:** Einwirkung von Säureamiden auf Alkohole und Phenole: Aethyl-anilin aus Acetanilid und Natriumäthylat 1291.

- Baudet, **83**: Antikesselsteinmittel 1749 f.
- Baudrimont (A.), **77**: Fuchsin im Wein 1204.
- 79**: Verdunstung des Wassers 59 f.
- Baudrimont (E.), **79**: Cyankalium gegen Kaliumpermanganat 322.
- 80**: Oxydation von Cyankalium 393.
- Bauer, **81**: Brechungscoefficienten einaxiger Krystalle (Brucit) 138.
- Bauer (A.), **83**: Nebenproduct bei der Darstellung von Pimelinsäure aus Isoamylendicyanid (isomere Pimelinsäure) 1099 f.; Pimelinsäure gegen Brom und Silberoxyd 1100; Cyankorksäure gegen Kalihydrat: Säure  $C_6H_8O_6$  1114 f.
- 85**: Erzeugung einer Stahlcomposition 2047 f.; Verhalten von basischem Kupferacetat gegen nascirenden Wasserstoff und gegen Natronlauge 2078 f.; siehe Meyer (R.).
- Bauer (A.) und Gröger (M.), **80**: Korksäure, Monochlorkorksäure, Säure  $C_6H_8O_6$  828 f.
- Bauer (A.) und Hazura (K.), **86**: Darstellung der Hanfölsäure 1402 f.; Oxydation derselben: Sativinsäure 1403 f.
- Bauer (A.) und Schuler (J.), **77**: Pimelinsäure aus Amylenbromür 722.
- 78**: Synthese der Pimelinsäure 733 f.
- Bauer (E.), **82**: Einfluss des Invertins auf die Vergärung von Rohrzucker 1444; Dextran (Melassengallerte) 1444 f.; siehe Elbs (K.).
- Bauer (H.), **85**: Untersuchung der Siedepunkts-Anomalien der chlorirten Acetonitrile und ihrer Abkömmlinge 154 ff.; über die Siedepunktsanomalien, Darstellung und Eigenschaften von chlorirten Acetonitrilen 626 ff.; siehe Städel (W.).
- Bauer (K.), **83**: Umsetzungen von tertiären Alkyljodiden 592.
- Bauer (K. L.), **83**: Vereinfachungen zum Experimentiren mit der Luftpumpe 78.
- 86**: Apparat zur Bestimmung des Siedepunktes von Thermometern 2009.
- Bauer (M.), **78**: Hydrohämatis 2118; Cyanit 1236.
- 80**: Kjerulfen 1435; Cyanit 1438; Epidot 1439; Dioptas 1441; Barsowit 1475.
- 82**: Quarzzwillinge von Mexico 1526.
- 86**: Bildung der Paramorphosen von Kalkpath nach Aragonit 2298 f.; siehe Friederici.
- Bauer (M.) und Friederici, **82**: Hornblendeasbeste aus Mexico 1539 f.
- Bauer (O.), siehe Classen (Alex.).
- Bauer (R.), siehe Limpricht (H.).
- Bauer (R. W.), **84**: Untersuchung von Agar-Agar, Nichtidentität von Lactose und Arabinose 1408 f.
- 86**: Arabose und Arabonsäure 1770; Umwandlung von Lichtenin in Dextrose 1782.
- Baum, siehe Schlieper.
- Baum (H.), **83**:  $\beta$ -Naphtholdisulfosäure, Farbstoffe aus  $\beta$ -naphtholdisulfosäurem Calcium und Diazokörpern 1811;  $\alpha$ -Naphtholmonosulfosäuren 1811 f.; Azofarbstoffe aus  $\alpha$ -Naphtholmonosulfosäuren und Diazokörpern 1812.
- 84**: Herstellung von Farbstoffen aus Säureanhydriden und Aminen 1871.
- Baum (J.), **85**: Synthese der Hippursäure 1469 f., des Benzoylalanins 1470.
- 86**: Oxydationsproducte des Benzoylconiins 1688 bis 1691: Homoconiinsäure 1689; Benzoylamido- und Amidovaleriansäure 1690; Constitution der Homoconiinsäureals  $\delta$ -Amidonormalcaprylsäure 1691; siehe Schotten (C.).
- Baumann, siehe Noetting (E.).
- Baumann und Schotten, **83**: Ichtyol 1652 f.
- Baumann (A.), **84**: Verhalten von Zinksalzen gegen Pflanzen und im Boden 1760 f.
- 86**: Bestimmung des Ammoniakstickstoffs im Boden 1995 f.
- Baumann (E.), **77**: Phenol gegen kohlensaures Kalium 544; Phenolbildung bei der Eiweißzersetzung 914; aromatische Substanzen des Thierkörpers 972; Schwefelsäure im Harn 1001; Indol 1022.
- 78**: Aetherschwefelsäuren der Phenole 538 f.
- 79**: Paraoxybenzoesäure 516; Hydroparacumarsäure aus Tyrosin 720 f.; Phenolbildung im Thierkörper und bei der Fäulnis 975.
- 80**: p-Oxyphenylessigsäure im Harn 1109 f.
- 81**: Unterscheidung des activen Sauerstoffs von Ozon 156 f.

**82:** die chemische Kraftquelle im lebenden Protoplasma 1144; optische Eigenschaften von Phenylmercaptursäure, Bromphenylmercaptursäure, Serin, Phenylcystin, Bromphenylcystin, versuchte Synthese des Cystins 1190 f.; Vorkommen und Trennung von aromatischen Oxy Säuren und Phenolen im Harn 1215; Untersuchung eines Termitennestes 1230.

**83:** Ueberführung des Kohlenoxyds in Kohlensäure 274 f.; aromatische Substanzen des Thierkörpers: Phenylamidopropionsäure und Phenylamidoessigsäure gegen Cloakenschlamm 1442 f.; Fäulnis des Tyrosins 1443.

**84:** Oxydation von Kohlenoxyd durch activen Sauerstoff 330; Formel der Cystins 1478 f.; Bildung der Mercaptursäuren im Organismus und ihre Erkennung im Harn 1495 f.; Jodbestimmung im Harn 1680.

**85:** Darstellung von Verbindungen der Aldehyde, Ketone und Ketonensäuren mit Mercaptanen 1216 bis 1218: Aethylmercaptal des Aethylaldehyds 1216; Aethylmercaptal, Phenylmercaptal und p-Monobromphenylmercaptal des Bittermandelöls, Phenylmercaptal des Zimmtaldehyds, p-Monobromphenylmercaptal des Zimmtaldehyds, Phenylmercaptal des Piperonals, Chloral-Phenylmercaptan, Chloral-p-Bromphenolmercaptan 1217; Aethylmercaptol, Phenylmercaptol, p-Monobromphenylmercaptol des Acetons, Phenylmercaptol des Benzophenons (Diphenyl-Dithiophenylmethan), Isatiophenylmercaptan, Phenylmercaptan - Benzoylameisensäure, Phenylmercaptol - Benzoylameisensäure 1218; Derivate der Brenztraubensäure 1341 bis 1343: Mercaptursäuren und Derivate, Phenylhydrazinbrenztraubensäure,  $\alpha$ -Acetamido -  $\alpha$  - bromphenylthiomilchsäure 1341; Reactionen der Mercaptursäuren, Derivate der Thiooxypropionsäure,  $\alpha$ -Thiophenyl- $\alpha$ -oxypropionsäure,  $\alpha$ -Thiobromphenyl- $\alpha$ -oxypropionsäure,  $\alpha$ -Dithiophenylpropionsäure 1342; Dithiophenylidilactylsäure 1343.

**86:** Benzoösäureester der Kohlehydrate 1426 f.: Tetrabenzoyltraubenzucker, Hexabenzoylrohrzucker, Tetrabenzoylglycosamin, Dibenzoyl-

glycerin 1427; Beziehungen der Darmfäulnis zu den aromatischen Verbindungen im Harn 1860; siehe Christiani (A.) und Escales (R.). Baumann (E.) und Brieger (L.), **79:** Parakresol 516; Eiweißfäulnis 873; Indican des Harns 985 f.

Baumann (E.) und Herter (E.), **77:** Synthese von gepaarten Aetherschwefelsäuren im Organismus 973. Baumann (E.) und Preufse (C.), **79:** Carbolharn 976 f.; Brom- und Chlorbenzol im Thierkörper 977 f.

**80:** Oxydation im Thierkörper 1094.

**81:** Verhalten von Brombenzol im Organismus 1036.

Baumann (E.) und Tiemann (F.), **79:** Indican, Indoxylschwefelsäure 475 f.; Indoxyl 476.

**80:** Indoxylschwefelsäure 586.

Baumann (Th.), siehe Nölting (E.). Baumert (G.), **81:** Lupinenalkaloide (Lupinin) 974.

**82:** Reindarstellung des Lupinins: Verhalten desselben gegen Natrium 1117, gegen Phosphorsäureanhydrid: Anhydrolupinin 1117 f.; Lupinin gegen wasserentziehende Mittel 1119.

**84:** Untersuchung von Lupinin und Lupinidin 1394.

**85:** Verhalten des Lupinidins gegen Aethyljodid: basisch-jodwasserstoffsaures Lupinidin; Lupininäthyljodid 1725.

**86:** Lupinenalkaloide 1696; californische Weine (Grape Brandy) 2131. Baumgartner, siehe Pfaunder (L.). Baumgartner (G.), **77:** Verdampfung 57, des Schwefelkohlenstoffs 58.

Baumhauer (E. H. v.), **81:** Diamant 1344.

**84:** Thermoregulator als Registrirthermometer zu gebrauchen 162; Untersuchung eines zu Ngawi gefallenen Meteoriten 2041.

**85:** Thermoregulator und Registrirthermometer 1998.

Baumhauer (E. H. v.) und Daniëls, **77:** Diamant 1253.

Baumhauer (H.), **77:** Aetzfiguren am Quarz 19; unterschwefels. Baryum und Calcium, Baryumnitrat 244; Leucit 1314.

**78:** Aetzversuche an Quarzkry stallen 6, 1213.

**79:** Aetzungsversuche an Boracit 1190 f.; Kalkspatthwillinge 1191;



- Zinnwaldit, Aetzfiguren 1222; Har-  
motom-Schliffe 1231.
- 80:** Boracit 1418; Perowskit 1477 f.
- 81:** Krystallform von Strichninsulfat 945.
- 82:** Krystallform des Nephelins 1552.
- 85:** mikroskopische Untersuchung eines Buntkupfererzes 2267; Boracit 2277.
- 86:** Untersuchung von Cloanthit und Speiskobalt 2228; siehe Hirschwald (J.).
- Baumstark (F.), **85:** Methode zur Untersuchung des Gehirns: Nuclein, Cholesterin, Neurokeratin, Protagon 1831, Phosphorgehalt des Pferdegehirns 1832.
- Baur (A.), **79:** Dimethylparadiphenylendiaminthioharnstoff 347; siehe Meyer (R.), siehe Kelbe (W.).
- Baur (C.), **83:** Strahlung des Steinsalzes 117.
- Baur (H. vom) und Städel (W.), **83:** Dimethylxylydine 708 f.; Dimethyl-m-monochloranilin, Dimethyl-m-phenetidin 709.
- Baur (R.), **84:** Apparat zur Kohlensäurebestimmung 1691; Bestimmung von Chlorkalk 1735.
- Bauschinger, **80:** Veränderung der Festigkeit des Eisens 1250.
- Bauschinger (J.), **77:** Cemente 1163.
- Baxter (W.), **86:** Ammoniumsulfat als Dünger 2104.
- Baye, **77:** Waschapparat 1107.
- Baye (Ch.), **85:** Goldpurpur 2219.
- Bayer (Fr.), **82:** neue  $\beta$ -Naphtholmonosulfosäure: Croceinscharlach, Croceingelb 1489; braune und rothe Farbstoffe 1490.
- 84:** Azofarbstoffe aus Benzidin-sulfosäuren 1880 f.
- Bayer (H.), **78:** Cholalsäure aus Menschengalle 1004.
- 79:** Säuren der menschlichen Galle 965 f.
- Bayer (K. J.), **85:** mafsanalytische Bestimmung der Thonerde 1928.
- 86:** mafsanalytische Bestimmung der Thonerde 1930.
- Bayeres de Torres (José de), siehe Drouin (A.).
- Bayle (P.) und Pontiggia (R.), **80:** Bleichen vegetabilischer Stoffe 1371.
- Bayley (Th.), **78:** Beziehung zwischen der Farbe des Kupfers und seiner Salze 159; Einwirkung von Filtrirpapier auf Metallsalzlösungen 1054 f.; Bestimmung von Kupfer, Zink und Nickel in Legirungen 1066.
- 79:** katalytische Wirkung einiger Metalloxyde auf Wasserstoffhyperoxyd 180 f.; Nickel- und Kobaltoxyde 266 f.; Spritzflasche 1086.
- 80:** Farbeigenschaften und Beziehungen der Metalle Kupfer, Nickel, Kobalt, Eisen, Mangan, Chrom 209; Drehung des Zuckers 214 f.; optische Kupferbestimmung 1192; Filterpumpe 1241.
- 81:** Farbeigenschaften und -beziehungen der Metalle der Eisen-  
gruppe (Nickel, Kupfer, Kobalt) 225 f.; Kaliumsaccharat 981.
- 82:** Beziehungen zwischen Atomgewicht und physikalischen Eigenschaften 15.
- 83:** Färbung der rohen Chlorwasserstoffsäure 280.
- 86:** Gebrauch d. Nitrometers 1915 f.
- Bayley (W. S.), siehe Ramsen (J.).
- Bazarow (A.), **83:** Oxydation des Schwefels durch Luft 1393.
- 84:** chemische Affinität 17.
- Beam (W.), **83:** Analysen von Gesteinen aus dem Yellowstone Nationalpark, Nordamerika (Obsidian, Quarztrachyt, Trachyt, Thon) 1930.
- Beamer (M.), **78:** Bestimmungen von spec. Gewichten 25.
- Beamer (Miles) und Clarke (F. W.), **79:** Anilinsalze 413; pikrinsaures Lithium 515.
- 80:** Zersetzung sulfosaurer Salze 906.
- Beauey (M.), **84:** Verarbeitung goldhaltiger Mineralien 1718.
- Beaumetz (Dujardin) und Bardet (G.), **85:** hypnotische Wirkung des Acetophenons 1849.
- Beauregard (L.), **78:** Forellenstein 1284.
- Béchamp (A.), **77:** Fuchsin im Wein 1204.
- 78:** Gährung 1016; Sproßpilzschleim 1029.
- 79:** Alkoholgährung und Sauerstoff 1007; lösliche Bestandtheile der Hefe 1008 f.
- 80:** Chloroform, Bildung 472; Krystallinse, Vorkommen von Eiweißkörpern 1036.
- 81:** Chloroform 376; f. Gährung (Viscose) 1138; B des Fuchsins im Wein 15

- 82:** Wasserstoffsperoxyd gegen Fibrin 1132; Hämoglobin und Hämatosin gegen Wasserstoffsperoxyd 1205; Mikrozyklen als Ursache der spontanen Gährungen der thierischen Stoffe 1233; Wasserstoffsperoxyd gegen organische Substanzen 1235; Mikrozyklen des Magensaftes: Wirkung gegen Zucker, Casein, Albumin 1245 f.; Pepsin und Mikrozyklen 1246.
- 83:** Galactozymase aus Frauenmilch 1466.
- 84:** optische Inaktivität der löslichen Cellulose 303.
- 85:** optische Inaktivität der Cellulose 340; Mikrozyklen und Vibrionen (Mikroben) 1873.
- Béchamp (A.) und Eustache (G.), **77:** Eier gegen Fäulnis 1026.
- Béchamp (J.), **77:** Säureanhydrid gegen Oxyde und Basenanhydride 664; Zersetzung eines Gemisches von Natriumnitrat, -acetat und -phosphat 1021.
- 79:** Eiweißkörper der Hydroceleflüssigkeit 875; Alkohol in thierischen Geweben 957 f.
- 80:** Alkohol in thierischen Geweben 1095.
- 82:** Aehnlichkeit der Albuminoide mit Alkaloiden und Ptoleinen gegenüber Reagentien 1116.
- Béchamp (J.) und Baltus (E.), **78:** Einwirkungen verschiedener Eiweißkörper auf den thierischen Organismus 1011 f.
- 80:** Albuminoide gegen den Organismus 1122 f.
- 81:** Nefrozymase 1070.
- Béchamp (J.) und Dujardin (A.), **85:** Abscheidung der Jequirity-Zymase aus dem Samen von *Abrus precatorius* 1818; Entwicklung der Mikrozyklen der Jequirity-Körner 1873 f.
- Bechi, **84:** Nachweis von Baumwollensamenöl im Olivenöl 1667.
- Bechi (E.), **78:** über das Auftreten von Borsäure in den toskanischen Marmoren 229.
- 79:** Hofmannit 1242.
- 80:** Datolith 1439; Diallag 1458; Andesin 1470; italienische Gesteine 1492; Gabbro 1500.
- Bechi (G. y.), **79:** Löslichkeit von Theerbestandtheilen in Toluol und Alkohol 77 f.; Toluylsuccinimid 437; Succinyltoluidine 629 f.
- 81:** Studien über Alkaloide 902.
- 82:** Chinardin 1093; Chinin und Chinidin 1106; siehe Noelting (E.).
- Beck, siehe Will (W.).
- Beck (C.), **77:** Dioxydiphenylmethan und Derivate 583; Diäthoxybenzophenon 585.
- 78:** Dioxydiphenylmethan 591.
- Becke, **84:** Krystallform von Sulfo-phenylglycocol 1206.
- Becke (F.), **77:** optische Constanten der Rohrzuckerkrystalle 180; Fahlerz 1269; Zinnstein, Holzzinn 1276; Vivianit 1299; Skapolith 1314; Gabbro 1360.
- 78:** Evansit 1230; Vorkommen von Akmit 1252.
- 79:** Chabasit 1230; krystallisirter Sandstein 1245.
- 80:** Picinit 1457.
- 81:** Krystallform von Tribrompropionsäure 688; Euklas 1379; Pseudomorphosen 1413; Gneis (Diorit, Hornblende) 1422.
- 82:** Pseudomorphose nach Olivin (Pilit) 1584; Contactmetamorphismus einer Stufe von Canzacoli 1592; Schwerspathkrystalle der Teplitzer Quelle 1632.
- 83:** mikroskopische Unterschiede zwischen Bronzit und Augit 1888.
- 84:** Aetzversuche an Bleiglanz, Verwachsungen zwischen Fahlerz und Zinkblende 1907; Aetzversuche an Zinkblende 1907 f.
- 86:** Aetzfiguren von Kobaltnickelkies (Linnéit) 2232 f.; Aetzfiguren von Magneteisen, Franklinit und Spinell 2241; Analyse von Barytocalciten und Alstoniten 2250; Krystallform von Bronzit 2278.
- Becke (F.) und Sadebeck (A.), **77:** Glaukodot, Danaït 1260.
- Becke (F.) und Wegscheider (R.), **82:** Gabbrogestein von Niederösterreich 1605 f.
- Becke (van der), **80:** Verseifung 1365 f.
- Becke, (W. v. d.), siehe Krauch (C.).
- Beckenkamp, **81:** Krystallform von  $\beta$ -Dinitrodiphenylsäure-Methyläther 842.
- Beckenkamp (J.), **82:** Wärmeausdehnung des Gypses 101.
- 86:** Elasticitätscoefficienten von Chrom- und Eisenaun 421; krystallographische Untersuchung des Chino-

- lin-p-sulfofenylbetaïns 930; Einfluss des Wasser- und Alkoholgehaltes auf die Krystallform der Cholsäure 1411 f.; Verbindung von Cholsäure mit Alkoholen 1412; Krystallform von Chinolin-p-sulfofenylbetaïn 1592; Krystallform von Papaverinalkylhaloidsalzen 1717 f.; Krystallform von Chinidin-Alkoholaten 1735.
- Becker, **85**: bacterioskopische Wasseruntersuchung 1893.
- Becker (A.), **81**: Drehungsvermögen des Asparagins und der Asparaginsäure 142 f.; Olivinknollen im Basalt 1433.
- 83**: Erklärung der dunklen Umrandungen der Hornblende und des Biotits in massigen Gesteinen 1918.
- 84**: Untersuchung von Quarz 1915.
- 85**: Schmelzbarkeit des kohlensauren Calciums 463.
- 86**: Schmelzbarkeit des kohlensauren Calciums 2301 f.
- Becker, (F.), **78**: Undecylensäure 735 f.; Wägung im Vacuum 1039; Antimonbestimmung in Erzen 1052.
- 80**: Bienenwachsprüfung 1230; Butterprüfung 1231; Anhydridgehalt der rauchenden Schwefelsäure 1288.
- 82**: Bestimmung der Chlorsäure 1264.
- 85**: Anwendung einer Lösung von saurer schwefligsaurer Thonerde zur Reinigung der Rübensäfte 2144.
- 86**: Reinigung der Zuckersäfte mittelst schwefligsaurer Thonerde 2124 f.; siehe Englert (R.).
- Becker (Fr.), **83**: Reduction chlor-sauren Alkalis behufs quantitativer Bestimmung der Chlorsäure 1530.
- 85**: Titration von Tannin mittelst Methylviolett 1961.
- Becker (G. F.), **79**: Reduction der Wägungen auf den luftleeren Raum 1021.
- 85**: Form der vulkanischen Aufschüttungskegel, Elasticitätsgrenze der Larven 2302.
- 86**: Untersuchung der metamorphischen Gesteine der Kreideformation in Californien 2303.
- Becker (G. P.), **86**: neues Gesetz der Thermochemie (Verwandschaft) 174 f.
- Becker (H.), **82**: Mononitrotoluidin aus Dinitrotoluid 536; siehe Claus (Ad.), siehe Städel (W.).
- Becker (P.), **77**: Santoninvergiftung 1010.
- 82**: Darstellung und Verhalten des m-Mononitrodiphenylmethans, (Amido- und Dinitrodiphenylmethan) 488 f.; siehe Baeyer (Ad.); siehe Michaelis (A.).
- Beckers, siehe Stutzer (A.).
- Beckett (G. A.), siehe Macnab (W. M.).
- Beckmann (E.), **81**: Baryumaluminate und lösliche Baryumhaloidsalze 217 ff.
- 82**: Baryumaluminate, Barythydrat und basische Haloidsalze des Baryums 279 f.
- 83**: Aluminate und basische Haloidsalze des Baryums 349.
- 86**: Darstellung von Knallquecksilber und Aufbewahrung von salzsaurem Hydroxylamin 528 f.; Verhalten von Diphenylacetoxim gegen Phosphorpena- und -oxychlorid: Benzanilchlorid (Benzophenylimidchlorid) 670; Titration des Zuckers 1972; Reactionen auf Atropin und Veratrin 1978; Methode zum Absprengen von Glas 2013.
- Beckmann (E. O.), **78**: Dialkylsulfone 531 f.; Aethylendiäthylsulfid und dessen Sulfoxyd, Dialkylsulfide gegen Salpetersäure 533; Oxydation von Sulfiden 534.
- Beckurts (A.), **83**: ferricyanwasserstoffsäures Strychnin 1340 f.; ferrocyanwasserstoffsäures Strychnin, Oxystrychnin aus demselben 1341.
- Beckurts (H.), **77**: Metatoluolsulfosäure 850.
- 81**: Carbonate des Magnesiums 212 f.; Rum 1306 f.
- 82**: Unterscheidung der Ptomaine von den vegetabilischen Alkaloiden 1115.
- 83**: Phenacetolin als Indicator in der Alkalimetrie, Anwendung des Phenolphthaleins als Indicator 1517; Nichtanwendbarkeit von Phenolphthalein, Anwendbarkeit von Phenacetolin als Indicatoren für ammoniakalische Flüssigkeiten 1538; Leuchten des Phosphors bei Gegenwart von Bleisalzen 1541.
- 84**: Verhalten von ferrocyanwasserstoffs: Strychnin an der Luft, Darstellung von Salzen des gebromten Strychnins 1388; Darstellung arsenfreier Salzsäure 1565; Methode zur Ausmittelung des Arsens 1579; Anwendung von Salzsäure im Marsh'schen Apparat 1579 f.; Arsenprobe

- 82:** Wasserstoffsuperoxyd gegen Fibrin 1132; Hämoglobin und Hämatosin gegen Wasserstoffsuperoxyd 1205; Mikrozymen als Ursache der spontanen Gährungen der thierischen Stoffe 1233; Wasserstoffsuperoxyd gegen organische Substanzen 1235; Mikrozymen des Magensaftes: Wirkung gegen Zucker, Casein, Albumin 1245 f.; Pepsin und Mekrozymen 1246.
- 83:** Galactozymase aus Frauenmilch 1466.
- 84:** optische Inaktivität der löslichen Cellulose 303.
- 85:** optische Inaktivität der Cellulose 340; Mikrozymen und Vibrionen (Mikroben) 1873.
- Béchamp (A.) und Eustache (G.), **77:** Eier gegen Fäulnis 1026.
- Béchamp (J.), **77:** Säureanhydrid gegen Oxyde und Basenanhydride 664; Zersetzung eines Gemisches von Natriumnitrat, -acetat und -phosphat 1021.
- 79:** Eiweißkörper der Hydroceleflüssigkeit 875; Alkohol in thierischen Geweben 957 f.
- 80:** Alkohol in thierischen Geweben 1095.
- 82:** Ähnlichkeit der Albuminoide mit Alkaloiden und Ptomainen gegenüber Reagentien 1116.
- Béchamp (J.) und Baltus (E.), **78:** Einwirkungen verschiedener Eiweißkörper auf den thierischen Organismus 1011 f.
- 80:** Albuminoide gegen den Organismus 1122 f.
- 81:** Nefrozymese 1070.
- Béchamp (J.) und Dujardin (A.), **85:** Abscheidung der Jequirity-Zymase aus dem Samen von *Abrus precatorius* 1818; Entwicklung der Mikrozymen der Jequirity-Körner 1873 f.
- Bechi, **84:** Nachweis von Baumwollensamenöl im Olivenöl 1667.
- Bechi (E.), **78:** über das Auftreten von Borsäure in den toskanischen Marmmen 229.
- 79:** Hofmannit 1242.
- 80:** Datolith 1439; Diallag 1458; Andesin 1470; italienische Gesteine 1492; Gabbro 1500.
- Bechi (G. y.), **79:** Löslichkeit von Theerbestandtheilen in Toluol und Alkohol 77 f.; Toluylsuccinimid 437; Succinyltoluidine 629 f.
- 81:** Studien über Alkaloide 902.
- 82:** Chinaldin 1093; Chinin und Chinidin 1106; siehe Noelting (E.).
- Beck, siehe Will (W.).
- Beck (C.), **77:** Dioxydiphenylmethan und Derivate 583; Diäthoxybenzophenon 585.
- 78:** Dioxydiphenylmethan 591.
- Becke, **84:** Krystallform von Sulfophenylglycocol 1206.
- Becke (F.), **77:** optische Constanten der Rohrzuckerkrystalle 180; Fahlerz 1269; Zinnstein, Holzzinn 1276; Vivianit 1299; Skapolith 1314; Gabbro 1360.
- 78:** Evansit 1230; Vorkommen von Akmit 1252.
- 79:** Chabasit 1230; krystallisirter Sandstein 1245.
- 80:** Ficinit 1457.
- 81:** Krystallform von Tribrompropionsäure 688; Euklas 1379; Pseudomorphosen 1413; Gneis (Diorit, Hornblende) 1422.
- 82:** Pseudomorphose nach Olivin (Pilit) 1584; Contactmetamorphismus einer Stufe von Canzacoli 1592; Schwerspalthkrystalle der Teplitzer Quelle 1632.
- 83:** mikroskopische Unterschiede zwischen Bronzit und Augit 1888.
- 84:** Aetzversuche an Bleiglanz, Verwachsungen zwischen Fahlerz und Zinkblende 1907; Aetzversuche an Zinkblende 1907 f.
- 86:** Aetzfiguren von Kobaltnickelkies (Linnéit) 2232 f.; Aetzfiguren von Magneteisen, Franklinit und Spinell 2241; Analyse von Barytocalciten und Alstoniten 2250; Krystallform von Bronzit 2278.
- Becke (F.) und Sadebeck (A.), **77:** Glaukodot, Danaït 1260.
- Becke (F.) und Wegscheider (R.), **82:** Gabbrogestein von Niederösterreich 1605 f.
- Becke (van der), **80:** Verseifung 1365 f.
- Becke, (W. v. d.), siehe Krauch (C).
- Beckenkamp, **81:** Krystallform von  $\beta$ -Dinitrodiphenensäure-Methyläther 842.
- Beckenkamp (J.), **82:** Wärmeausdehnung des Gypses 101.
- 86:** Elasticitätscoefficienten von Chrom- und Eisenalaun 421; krystallographische Untersuchung des Chino-

- lin-p-sulfobenzylbetaïns 930; Einfluss des Wasser- und Alkoholgehaltes auf die Krystallform der Cholsäure 1411 f.; Verbindung von Cholsäure mit Alkoholen 1412; Krystallform von Chinolin-p-sulfobenzylbetaïn 1592; Krystallform von Papaverinalkylhaloidsalzen 1717 f.; Krystallform von Chinidin-Alkoholen 1735.
- Becker, **85**: bacterioskopische Wasseruntersuchung 1893.
- Becker (A.), **81**: Drehungsvermögen des Asparagins und der Asparaginsäure 142 f.; Olivinknollen im Basalt 1433.
- 83**: Erklärung der dunklen Umrandungen der Hornblende und des Biotits in massigen Gesteinen 1918.
- 84**: Untersuchung von Quarz 1915.
- 85**: Schmelzbarkeit des kohlen-sauren Calciums 463.
- 86**: Schmelzbarkeit des kohlen-sauren Calciums 2301 f.
- Becker, (F.), **78**: Undecylensäure 735 f.; Wägung im Vacuum 1039; Antimonbestimmung in Erzen 1052.
- 80**: Bienenwachsprüfung 1230; Butterprüfung 1231: Anhydridgehalt der rauchenden Schwefelsäure 1288.
- 82**: Bestimmung der Chlorsäure 1264.
- 85** Anwendung einer Lösung von saurer schwefligsaurer Thonerde zur Reinigung der Rübensäfte 2144.
- 86**: Reinigung der Zuckersäfte mittelst schwefligsaurer Thonerde 2124 f.; siehe Englert (R.).
- Becker (Fr.), **83**: Reduction chlor-sauren Alkalis behufs quantitativer Bestimmung der Chlorsäure 1530.
- 85**: Titration von Tannin mittelst Methylviolett 1961.
- Becker (G. F.), **79**: Reduction der Wägungen auf den luftleeren Raum 1021.
- 85**: Form der vulkanischen Aufschüttungskegel, Elasticitätsgrenze der Larven 2302.
- 86**: Untersuchung der metamor-phischen Gesteine der Kreideformation in Californien 2303.
- Becker (G. P.), **86**: neues Gesetz der Thermochemie (Verwandschaft) 174 f.
- Becker (H.), **82**: Mononitrotoluidin aus Dinitrotoluol 536; siehe Claus (Ad.), siehe Städel (W.).
- Becker (P.), **77**: Santoninvergiftung 1010.
- 82**: Darstellung und Verhalten des m-Mononitrodiphenylmethans, (Amido- und Dinitrodiphenylmethan) 468 f.; siehe Baeyer (Ad.); siehe Michaelis (A.).
- Beckers, siehe Stutzer (A.).
- Beckett (G. A.), siehe Macnab (W. M.).
- Beckmann (E.), **81**: Baryumaluminate und lösliche Baryumhaloidsalze 217 ff.
- 82**: Baryumaluminate, Barythydrat und basische Haloidsalze des Baryums 279 f.
- 83**: Aluminate und basische Haloidsalze des Baryums 349.
- 86**: Darstellung von Knallquecksilber und Aufbewahrung von salzsaurem Hydroxylamin 528 f.; Verhalten von Diphenylacetoxim gegen Phosphorpenta- und -oxychlorid: Benzanilchlorid (Benzophenylimidchlorid) 670; Titration des Zuckers 1972; Reactionen auf Atropin und Veratrin 1978; Methode zum Absprengen von Glas 2013.
- Beckmann (E. O.), **78**: Dialkylsulfone 531 f.; Aethylenäthylsulfid und dessen Sulfoxyd, Dialkylsulfide gegen Salpetersäure 533; Oxydation von Sulfiden 534.
- Beckurts (A.), **83**: ferricyanwasserstoffsäures Strychnin 1340 f.; ferro-cyanwasserstoffsäures Strychnin, Oxystrychnin aus demselben 1341.
- Beckurts (H.), **77**: Metatoluolsulfosäure 850.
- 81**: Carbonate des Magnesiums 212 f.; Rum 1306 f.
- 82**: Unterscheidung der Ptomaine von den vegetabilischen Alkaloiden 1115.
- 83**: Phenacetolin als Indicator in der Alkalimetrie, Anwendung des Phenolphthaleins als Indicator 1517; Nichtanwendbarkeit von Phenolphthalein, Anwendbarkeit von Phenacetolin als Indicatoren für ammoniakalische Flüssigkeiten 1538; Leuchten des Phosphors bei Gegenwart von Bleisalzen 1541.
- 84**: Verhalten von ferrocyano-wasserstoffs: Strychnin an der Luft, Darstellung von Salzen des gebromten Strychnins 1388; Darstellung arsenfreier Salzsäure 1565; Methode zur Ausmittelung des Arsens 1579; Anwendung von Salzsäure im Marsh'schen Apparat 1579 f.; Arsenprobe

der Pharmacopoe 1581; Prüfung der Ameisensäure auf Essigsäure 1624 f.; Extraction der Alkaloide aus Leichentheilen 1644; Prüfung der Butter auf fremde Fette 1677.

**85:** Untersuchung der Bestandtheile verschiedener Ranunculaceen: Anemonencampher, Anemonin, Anemonsäure 1812 f.; Prüfung von Natriumdicarbonat auf einen Gehalt an Monocarbonat 1925.

**86:** Bestimmung des Phenols, Prüfung roher Carbonsäure und von Acid. carbol. liquefactum 1961 f.; Scheidung von Brucin und Strychnin 1979; Vorkommen von chloresäuren Salzen im Salpeter 2052; siehe Otto (R.); siehe Schönfeldt (P.).

Beckurts (H.) und Freytag (W.),

**86:** Prüfung des Jodkaliums 1911.

Beckurts (H.) und Haubner (Fr.),

**85:** Bromderivate des Strychnins und Brucins 1690 f.: Monobromstrychninmethyljodid 1690, Monobromstrychninmethylammoniumhydroxyd, Trihydromonobromstrychnin, Monobromstrychnindibromid, Dibromstrychnin, Base  $C_{21}H_{19}BrN_2O_2$ , bromwasserstoffs. Brucindibromid 1691.

Beckurts (H.) und List (O.), **86:** Verhalten der Alkaloide gegen Chamäleonlösung 1975.

Beckurts (H.) und Otto (R.), **77:** Dichlorpropionitril und  $\alpha$ -Dichlorpropionsäure 341; Propionsäure aus Propionitril,  $\alpha$ -Dichlorpropionsäure; Dichloradipinsäure, mit der Hydromuconsäure isomere Säure, Monochloracrylsäure 698; Pyrotraubensäure Carbacetoxylsäure 699.

**78:** Darstellung von Sulfuryloxychlorid 206 f.; Einwirkung von Schwefelsäuremonochlorhydrin auf Toluol 385; Einwirkung von Schwefelsäuremonochlorhydrin auf Xylol 387; Einwirkung von Schwefelsäuremonochlorhydrin auf Monochlorbenzol 416; Einwirkung von Schwefelsäuremonochlorhydrin auf Monobrombenzol 417; Tiophenol gegen Schwefelsäurechlorhydrin 553; Darstellung von p-Toluoldisulfid 572; Einwirkung von Phosphorchlorid auf Brenztraubensäure 700 f.; aromatische Sulfone 859.

**81:** Silbersalze von gechlorten Essigsäuren 670 f.; Krystallform von dichloressigs. Calcium 673; Dichlor-

acetylchlorid gegen glyoxyls. Kalium 680; glyoxyls. Calcium 681.

**85:** Verhalten der Silbersalze der halogensubstituirten Säuren der Reihe  $C_nH_{2n}O_2$  beim Erhitzen 1320 bis 1322: Bildung von Aethylidenmilchsäure, Hydracrylsäure,  $\beta$ -Chlorpropionsäure,  $\beta$ -Brompropionsäure 1320; Brenztraubensäure,  $\alpha$ -Dichlorpropionsäure,  $\alpha$ -Dichlorpropionsäure-Brenztraubensäureanhydrid,  $\alpha$ -Brommilchsäure 1321; Glycerinsäure 1322.

Beco (J.), **78:** Zinkindustrie in den Vereinigten Staaten 1107.

Becquerel, **77:** Ströme zwischen Flüssigkeiten 154.

**78:** Herstellung galvanischer Kobaltüberzüge 1115.

Becquerel (E.), **79:** photographische Platten für weniger brechbare Strahlen empfindlich 168.

**80:** Papierdiaphragma und Aetzkalkalien bei den Ketten 145.

**81:** galvanische Combination 91; discontinuirliche Spectra phosphorescirender Körper 132.

**85:** Untersuchung über Phosphorescenzlicht 330 f.

**86:** Verhalten von Eisen, Kobalt, Nickel bei hoher Temperatur 185; Phosphorescenz von Schwefelcalcium 395; Phosphorescenz der Thonerde, Bestimmung der Lichtemission von Körpern 397.

Becquerel (H.), **77:** magnetische Drehung der Polarisationsene 190.

**79:** temporärer Magnetismus beim Nickel, Kobalt, Eisen 142 f.; elektromagnetische Drehung der Polarisationsene für Gase 144; Aenderung der Fortpflanzungsgeschwindigkeit von circularpolarisirtem Licht durch Magnetismus, Einfluss des Erdmagnetismus auf die Polarisationsene 145.

**80:** magnetische Drehung der Polarisationsene in Gasen 177 f.

**81:** magnetische Eigenschaften eines Nicleleisens 107; Magnetismus des Ozons 108.

**82:** Magnetismus der Meteoriten von Santa Catharina 1644.

**83:** Ströme, welche durch Bewegung von Gold, Platin und Kohle in Flüssigkeiten entstehen 209; photographische Studien im ultraröthen Theile des Sonnenspectrums 241 f.; Absorptionsspectra und Emissionsspectra von Metaldämpfen, Ab-

sorptionsspectra von Erdmetallen 243 f.; ultraroth Emissionsspectra der Metalldämpfe 244; Auslöschung der Phosphorescenz unter dem Einflusse der ultraroth Strahlen 253.

**84:** Untersuchung über die Banden im ultraroth Theil des Sonnenspectrums, Bestimmung der Wellenlängen von Banden und Linien im ultraroth Spectrum glühender Metalldämpfe 291; Wellenlängenbestimmungen im ultraroth Sonnenspectrum 291 f.

**85:** Beziehungen zwischen dem Absorptionsvermögen und der Emission der Phosphorescenzstrahlen für Uranverbindungen 329 f.; elektromagnetische Drehung der Polarisationssebene des Lichtes in Schwefelkohlenstoff 344.

**86:** Spectrographie im Ultraroth 303; Variation der Absorptions- und Phosphorescenzspectra 305 f.

Becquerel (der ältere), **77:** Electrocapillare Erscheinungen 156.

Bedall (K.) und Fischer (O.), **81:** Oxychinolin ( $\alpha$ -Chinophenol) und Derivate 915 f.; Amido-, Cyanchinolin 917.

**82:** Chinolinsulfosäuren,  $\alpha$ -Oxychinolin 1081.

Bedson (P.), **77:** Parabromphenyl-essigsäure und Derivate 759.

**80:** Derivate der Phenyllessigsäure 854 f.

Bedson (P.) und King (A. J.), **80:** o-Acetamidobenzoësäure 842 f.

Bedson (P. P.) und Williams (W. C.), **81:** specifisches Brechungsvermögen von Körpern im festen und gelösten Zustande 110.

Beek (J. C. van), **84:** Untersuchung über die Filtration von Flüssigkeiten durch Membranen 1472.

Beend (A. L.), **86:** Reduction von Eisenoxydlösungen 410 f.

Beer (A.), **82:** Itamalsäure: Paraconsäure und Aconsäure aus Itamono-brombrenzweinsäure und Itadibrombrenzweinsäure 865 f.

Beetz (W.), **77:** Elektrolyse mittelst einer Aluminiumanode und Magnesiumanode 165.

**78:** elektromotorische Kraft und innerer Widerstand von Thermoelementen 135; Electricitätserregung beim Contact fester und gasförmiger Körper 138 f.

**79:** Wärmeleitungsvermögen der Flüssigkeiten 97 f.

**80:** Natur der galvanisirten Polarisation 157 f.

**81:** Elasticität und Leitungsvermögen der Kohle 95.

Beetz (W. v.), **84:** Modification des Daniell'schen Elementes als Normaleinheit zur Bestimmung der elektromotorischen Kräfte 236.

**85:** galvanische Trockenelemente 232.

Behagel v. Adlerskron (H.), **77:** Dinittrosalicylsäure, Dimetanittrosalicylsäureäther 750; siehe v. Adlerskron.

Béhal (A.), **85:** Darstellung von Oenanthylchlorid, Monochlorönanthyliden, Oenanthyliden, Amylmethylketon und der Säure  $C_5H_{10}O_2$  aus Oenanthol 1634; Trennung des Kupfers von Cadmium 1939.

**86:** Nachweis von Salpetersäure und Chlorsäure 1917.

Behla (G.), **85:** Darstellung von p-Monochloranthracencarbonsäure, p-Dichloranthracen, Monobromanthracencarbonsäure 1553; Phenanthren gegen Phosgen 1553 f.

Behr (A.), **77:** Aconitsäure 720.

**82:** wasserfreier Traubenzucker 1121.

**83:** Raffination und Reinigung von Stärkezucker 1736 f.

**85:** Zellstoff und Glucose aus Holz 2184.

Behrend, **85:** Zersetzung der Eiweißkörper in Pflanzentheilen durch gespannten Wasserdampf 1807.

Behrend (P.) **77:** Sulfurylchlorid 210; Alkohole gegen Sulfurylchlorid 516.

**85:** Chemie der Malzbereitung 2155; Veränderung der Albuminoide verschiedener Körnerfrüchte und Erdäpfel durch Dämpfen 2160.

Behrend (P.), Märcker (M.) und Morgen (A.), **80:** Zusammenhang des specifischen Gewichts mit dem Stärke- und Trockensubstanzgehalt der Kartoffeln und Methode der Stärkebestimmung 1216 f.

Behrend (P.) und Morgen (A.), **79:** Gährung und stickstoffhaltige Körper 1010 f.

**80:** Trockensubstanz der Milch 1232 f.

Behrend (R.), **81:** Sulfurylchlorid gegen Dimethylamin (Tetramethylsulfamid) 405.

- 82:** Demethyl- und Diäthylamido-sulfurylchlorid gegen Ammoniak und Amine: Dimethyl-diäthylsulfamid 994, 995; Dimethylsulfamid 994; Dimethyl-p-tolylsulfamid, Tetraäthylsulfamid 995; Dimethylamidossulfurylchlorid gegen Wasser: Dimethylsulfamin-säure 995 f.
- 83:** Einwirkung von Sulfurylchlorid auf secundäre Amine, Dimethylamidossulfurylchlorid gegen Zinn und Salzsäure, gegen Zinkstaub 622; Acetessigäther gegen Harnstoff 1078.
- 84:** Verhalten von Harnstoff gegen Acetessigäther 502.
- 85:** Einwirkung von Harnstoff auf Acetessigäther, Harnsäurederivate, Uracilderivate 654.
- 86:** Condensation substituierter Harnstoffe mit Acetessigäther, Condensationsproduct des Phenylharnstoffs, Spaltung desselben mit Salzsäure: Carbanilidsäureäther 549; Derivate des Carbanilidsäureäthers, Condensationsproduct des Diphenylharnstoffs 550; Darstellung des Uramidocrotonsäureäthers 550 f.; Brom-methyluracil aus Dibromoxymethyluracil 561 f.; Darstellung von Dichloroxymethyluracil, Reduction desselben zu Chlormethyluracil 562; Oxydation von Dibromoxymethyluracil: Dibrombarbitursäure 562 f. Verhalten derselben gegen Bromwasser: Tribromacetylharnstoff; Oxydation von Dichloroxymethyluracil: Dichlorbarbitursäure und Barbitursäure 563 f.
- Behrens, **84:** Rutil als mikroskopischer Einschluss im Diamant 1898; Untersuchung eines zu Ngawi gefallen Meteoriten 2041.
- 86:** mikrochemische Reactionen 1891.
- Behrens (H.), **81:** Diamant 1344; siehe Jacobsen.
- Behrens (T. H.), **86:** mikrochemische Untersuchung der Mineralien im Dünnschliff 2220.
- Behrmann (A.) und Hofmann (A. W.), **84:** Untersuchung der Amide der Citronensäure und ihre Umwandlung in Pyridinverbindungen 1161 f.: Citrotriamid, Citrodiaminsäure, Citromonoaminsäure 1161; Citrazinsäure 1162; Dichlor-, Dioxypyridincarbon-säure,  $\gamma$ -Pyridincarbon-säure 1163.
- Beilby (G.), **83:** spezifisches Gewicht eines Paraffins 72 f.
- 84:** Ammoniakgewinnung aus bituminösen Schiefern 1721.
- 85:** Gasthermometer 1997.
- Beilby (G. T.), **85:** Luftthermometer 1996: Apparat zur Abscheidung von festem Paraffin aus Oel durch Abkühlung 2188.
- Beile (A. M.), **80:** Zuckergehalt des Blutes 1096 f.
- Beilstein (F.), **78:** Perchlorphenolchlorid 543 f.; Scheidung von Zink und Nickel 1064.
- 80:** Dinitrotoluidin 543 f.
- 82:** Petersburger Rhabarber: Bestimmung der Chrysophansäure und des Emodins 1168.
- 83:** Petroleumprüfung 1599 f.; Prüfung des Petroleums auf Güte und Feuergefährlichkeit durch Destillation, Untersuchung von amerikanischem und kaukasischem Petroleum 1600; Apparate zur Untersuchung des Erdöles 1755 f.; Prüfung des Erdöles durch fractionirte Destillation, Untersuchung von amerikanischem und kaukasischem Erdöl, Zusammensetzung des Erdöles von Baku 1756.
- 85:** Prüfung des Petroleums 2177.
- Beilstein (F.) und Jawein (L.), **79:** Conserviren der Bunsen'schen Elemente 134; Trennung des Mangans vom Eisen 1045; Zinkbestimmung, Cadmiumbestimmung 1052.
- 81:** Eisen vom Mangan 1186; Bestimmung von Zink und Cadmium 1190.
- Beilstein (F.) und Kurbatow (A.), **77:** Trichlor- und Tetrachlorbenzole 401; Dinitrochlor- und Nitroparadichlorbenzol gegen Schwefelwasserstoff: Tetranitrophenylsulfid, Chlornitrophenylmercaptop, Dichlordinitrophenylsulfid 425, 426; Chloraniline, Chlorbenzole und Chlornitrobenzole 458; Dichloraniline 459.
- 78:** Untersuchungen über Tri- und Tetrachlorbenzole 416; Verhalten aromatischer Chlornitroderivate gegen Schwefelalkalien 430 f.; Darstellung und Derivate der drei noch fehlenden möglichen Dichloraniline, der drei Trichloraniline 462 f.; Siedepunkt und Schmelzpunkt des Dichloranilins (1, 3, 5), Nitration des symmetrischen Dichloranilins, Chlornitroaniline 463 f.; Darstellung von Chlorphenylendiamin 465.



- 79:** Chlornitrobenzole gegen Schwefelwasserstoff 320 f.; Phtalsäure aus Bromnaphthalin 391; Nitrophtalsäure aus Nitronaphthalin, Aldehyd derselben, Brom- und Jodwasserstoff gegen Nitrophtalsäure 397; Chlor- und Chlornitroaniline 416; Nitrophtalsäure und deren Aldehyd 705.
- 80:** Kohlenwasserstoffe des kaukasischen Petroleum 435, des amerikanischen 435 f.; Dinitronaphthaline, Oxydation, Constitution 496 f.; Dinitrobenzoesäure 846.
- 81:** kaukasisches Petroleum 1316.
- 82:** Rohpetroleum von Tzarsky 397. Beilstein (F.) und Wiegand (E.), **82:** Darstellung von Propylen 399 f.; Reactionen des Aethylenbromürs 434 f.; Verhalten von Propylenbromiden gegen Silberoxyd 439; Aceton gegen Acetylchlorid; Mesityloxyd 754; Aethylenbromid gegen Silberoxyd 754; Isodibrombernsteinsäures Baryum gegen Silberoxyd; Brenztraubensäure 851; ätherisches Oel von *Angelica archangelica* 1179; Erechthidöl, Erigeronöl, Majoranöl (Sesquiterpenhydrat) 1180.
- 83:** Alkylamine gegen Schwefelsäureanhydrid: Monoäthylsulfoaminsäure und Salze 1233 f.; diäthylsulfoaminsäures Baryum, Anhydro-Triäthylsulfoaminsäure, monomethylsulfoaminsäures Baryum 1234; Untersuchung des Ozokerits der Insel Tschelaken, Isolirung eines Kohlenwasserstoffs (Leken) aus diesem Ozokerit 1764.
- 84:** neue Bildungsweise der Brenztraubensäure 1108; Untersuchung über die Isomerie der Angelicasäure und Tiglinsäure 1139 f.
- 85:** ungesättigte Verbindungen der Fettreihe: Methenyltriallyläther, Croton-, Tiglin-, Angelicasäure 576 f. Beilstein (Th.), **78:** Chlorirung von m-Chloracetanilid 462.
- 80:** Platintiegel, Abnahme derselben beim Erhitzen 1145.
- Bein (S.), **86:** Bestimmung von Fluor 1907 f.; Trennung des Zinks von den Sesquioxiden 1939; Untersuchung von Asphalt 1994.
- Beketoff, **80:** Vereinigung von Natriumoxyd mit Kohlensäure 110.
- 82:** Verh. des Kaliums gegen Kaliumhydrat, Darstellung von Kaliummonoxyd 263 f.
- 83:** Verhalten von Zink gegen Cadmium- und Kupferlösung, von Eisen gegen Nickelsalze, Verdrängung des Broms aus Bromsilber durch Chlor 12.
- 84:** Bildungswärme des Lithiumoxyds 210.
- Beketoff (N.), **79:** Wärmecapacität des mit Palladium legirten Wasserstoffs 91; Hydratationswärme des wasserfreien Natriumoxyds und Verhalten desselben gegen Wasserstoff, Verhalten von Natrium gegen Natriumhydroxyd 123.
- Beketow (N.), **81:** doppelte Zersetzungen 14; Kaliumoxyd 204.
- 83:** Darstellung und Untersuchung des wasserfreien Natriumoxyds, Verdrängung von Natrium durch Wasserstoff, Einwirkung von Kohlenoxyd auf Natriumoxyd 345 ff.
- Bel (J. A. le), **77:** Butylene (Aethylvinyl und Isobutylen) 363; Triäthylmethylstibin 888.
- 78:** rechtsdrehender Amylalkohol 525.
- 79:** Scheidungsgrenze des Alkohols vom Wasser 488 f.; Amylalkohol 491; Methylpropylcarbinol 491 f.
- 81:** Propylglycol, Propylenoxyd 512.
- 82:** geometrische Formeln der Maleinsäure und Fumarsäure 851.
- 83:** Amylalkohol in Gährungsflüssigkeiten 1500.
- Bel (J. A. le) und Greene (W. H.), **78:** Darstellung von Pseudobutylen, (Dimethyläthylen) 373; Einwirkung von Methylalkohol auf Zinkchlorid 388; Einwirkung von Chlorzink auf Methylalkohol 518.
- 79:** Hexamethylbenzol 376; Chlorzink gegen Butylalkohole 489.
- Bel (J. A. le) und Wassermann (M.), **85:** Reduction der sechsatomigen Alkohole: Bildung von Diisopropyl, normalem Hexan bei der Reduction von Mannit-Jodid 1211.
- Béla Lengyel, **84:** Darstellung von Hydroxylamin 355 f.
- Beletzky, **80:** Torf gegen Phosphorit 1437.
- Belfield, **83:** Unterscheidung von Schweinefett und Talg 1646.
- Belgrand, **82:** Wirkung des Wassers auf Bleiröhren 1383.
- Bell (C.), **79:** Asche der Weizenkleie 915.

- 82:** Demethyl- und Diäthylamidosulfurylchlorid gegen Ammoniak und Amine: Dimethyldiäthylsulfamid 994, 995; Dimethylsulfamid 994; Dimethyl-p-tolylsulfamid, Tetraäthylsulfamid 995; Dimethylamidosulfurylchlorid gegen Wasser: Dimethylsulfaminsäure 995 f.
- 83:** Einwirkung von Sulfurylchlorid auf secundäre Amine, Dimethylamidosulfurylchlorid gegen Zinn und Salzsäure, gegen Zinkstaub 622; Acetessigäther gegen Harnstoff 1078.
- 84:** Verhalten von Harnstoff gegen Acetessigäther 502.
- 85:** Einwirkung von Harnstoff auf Acetessigäther, Harnsäurederivate, Uracilderivate 654.
- 86:** Condensation substituierter Harnstoffe mit Acetessigäther, Condensationsproduct des Phenylharnstoffs, Spaltung desselben mit Salzsäure: Carbanilidsäureäther 549; Derivate des Carbanilidsäureäthers, Condensationsproduct des Diphenylharnstoffs 550; Darstellung des Uramidocrotonsäureäthers 550 f.; Brommethyluracil aus Dibromoxymethyluracil 561 f.; Darstellung von Dichloroxymethyluracil, Reduction desselben zu Chlormethyluracil 562; Oxydation von Dibromoxymethyluracil: Dibrombarbitursäure 562 f. Verhalten derselben gegen Bromwasser: Tribromacetylharnstoff; Oxydation von Dichloroxymethyluracil: Dichlorbarbitursäure und Barbitursäure 563 f.
- Behrens, **84:** Rutil als mikroskopischer Einschluss im Diamant 1898; Untersuchung eines zu Ngawi gefallen Meteoriten 2041.
- 86:** mikrochemische Reactionen 1891.
- Behrens (H.), **81:** Diamant 1344; siehe Jacobsen.
- Behrens (T. H.), **86:** mikrochemische Untersuchung der Mineralien im Dünnschliff 2220.
- Behrmann (A.) und Hofmann (A. W.), **84:** Untersuchung der Amide der Citronensäure und ihre Umwandlung in Pyridinverbindungen 1161 f.: Citrotriamid, Citrotridiaminsäure, Citromonoaminsäure 1161; Citrazinsäure 1162; Dichlor-, Dioxypyridincarbon-säure,  $\gamma$ -Pyridincarbon-säure 1163.
- Beilby (G.), **83:** spezifisches Gewicht eines Paraffins 72 f.
- 84:** Ammoniakgewinnung aus bituminösen Schiefern 1721.
- 85:** Gasthermometer 1997.
- Beilby (G. T.), **85:** Luftthermometer 1996: Apparat zur Abscheidung von festem Paraffin aus Oel durch Abkühlung 2188.
- Beile (A. M.), **80:** Zuckergehalt des Blutes 1096 f.
- Beilstein (F.), **78:** Perchlorphenolchlorid 543 f.; Scheidung von Zink und Nickel 1064.
- 80:** Dinitrotoluidin 543 f.
- 82:** Petersburger Rhabarber: Bestimmung der Chrysophansäure und des Emodins 1168.
- 83:** Petroleumprüfung 1599 f.; Prüfung des Petroleums auf Güte und Feuergefährlichkeit durch Destillation, Untersuchung von amerikanischem und kaukasischem Petroleum 1600; Apparate zur Untersuchung des Erdöles 1755 f.; Prüfung des Erdöles durch fractionirte Destillation, Untersuchung von amerikanischem und kaukasischem Erdöl, Zusammensetzung des Erdöles von Baku 1756.
- 85:** Prüfung des Petroleums 2177.
- Beilstein (F.) und Jawen (L.), **79:** Conserviren der Bunsen'schen Elemente 134; Trennung des Mangaus vom Eisen 1045; Zinkbestimmung, Cadmiumbestimmung 1052.
- 81:** Eisen vom Mangan 1186; Bestimmung von Zink und Cadmium 1190.
- Beilstein (F.) und Kurbatow (A.), **77:** Trichlor- und Tetrachlorbenzole 401; Dinitrochlor- und Nitroparadichlorbenzol gegen Schwefelwasserstoff: Tetranitrophenylsulfid, Chlornitrophenylmercaptan, Dichlordinitrophenylsulfid 425, 426; Chloraniline, Chlorbenzole und Chlornitrobenzole 458; Dichloraniline 459.
- 78:** Untersuchungen über Tri- und Tetrachlorbenzole 416; Verhalten aromatischer Chlornitroderivate gegen Schwefelalkalien 430 f.; Darstellung und Derivate der drei noch fehlenden möglichen Dichloraniline, der drei Trichloraniline 462 f.; Siedepunkt und Schmelzpunkt des Dichloranilins (1, 3, 5), Nitration des symmetrischen Dichloranilins, Chlornitroaniline 463 f.; Darstellung von Chlorphenylendiamin 465.

- 79:** Chlornitrobenzole gegen Schwefelwasserstoff 320 f.; Phtalsäure aus Bromnaphthalin 391; Nitrophthalsäure aus Nitronaphthalin, Aldehyd derselben, Brom- und Jodwasserstoff gegen Nitrophthalsäure 397; Chlor- und Chlornitroaniline 416; Nitrophthalsäure und deren Aldehyd 705.
- 80:** Kohlenwasserstoffe des kaukasischen Petroleums 435, des amerikanischen 435 f.; Dinitronaphthaline, Oxydation, Constitution 496 f.; Dinitrobenzoesäure 846.
- 81:** kaukasisches Petroleum 1316.
- 82:** Rohpetroleum von Tzarsky 397.
- Beilstein (F.) und Wiegand (E.), **82:** Darstellung von Propylen 399 f.; Reactionen des Aethylenbromürs 434 f.; Verhalten von Propylenbromiden gegen Silberoxyd 439; Aceton gegen Acetylchlorid; Mesityloxyd 754; Aethylenbromid gegen Silberoxyd 754; Isodibrombernsteinsäures Baryum gegen Silberoxyd: Brenztraubensäure 851; ätherisches Oel von *Angelica archangelica* 1179; Erethidöl, Erigeronöl, Majoranöl (Sesquiterphenhydrat) 1180.
- 83:** Alkylamine gegen Schwefelsäureanhydrid: Monoäthylsulfoaminsäure und Salze 1233 f.; diäthylsulfoaminsäures Baryum, Anhydro-Triäthylsulfoaminsäure, monomethylsulfoaminsäures Baryum 1234; Untersuchung des Ozokerits der Insel Tscheleken, Isolirung eines Kohlenwasserstoffs (Leken) aus diesem Ozokerit 1764.
- 84:** neue Bildungsweise der Brenztraubensäure 1108; Untersuchung über die Isomerie der Angelicasäure und Tiglinsäure 1139 f.
- 85:** ungesättigte Verbindungen der Fettreihe: Methenyltriallyläther, Croton-, Tiglin-, Angelicasäure 576 f.
- Beilstein (Th.), **78:** Chlorirung von m-Chloracetanilid 462.
- 80:** Platintiegel, Abnahme derselben beim Erhitzen 1145.
- Bein (S.), **86:** Bestimmung von Fluor 1907 f.; Trennung des Zinks von den Sesquioxiden 1939; Untersuchung von Asphalt 1994.
- Beketoff, **80:** Vereinigung von Natriumoxyd mit Kohlensäure 110.
- 82:** Verb. des Kaliums gegen Kaliumhydrat, Darstellung von Kaliummonoxyd 263 f.
- 83:** Verhalten von Zink gegen Cadmium- und Kupferlösung, von Eisen gegen Nickelsalze, Verdrängung des Broms aus Bromsilber durch Chlor 12.
- 84:** Bildungswärme des Lithiumoxyds 210.
- Beketoff (N.), **79:** Wärmecapacität des mit Palladium legirten Wasserstoffs 91; Hydratationswärme des wasserfreien Natriumoxyds und Verhalten desselben gegen Wasserstoff, Verhalten von Natrium gegen Natriumhydroxyd 123.
- Beketow (N.), **81:** doppelte Zersetzungen 14; Kaliumoxyd 204.
- 83:** Darstellung und Untersuchung des wasserfreien Natriumoxyds, Verdrängung von Natrium durch Wasserstoff, Einwirkung von Kohlenoxyd auf Natriumoxyd 345 ff.
- Bel (J. A. le), **77:** Butylene (Aethylvinyl und Isobutylen) 363; Triäthylmethylstibin 868.
- 78:** rechtsdrehender Amylalkohol 525.
- 79:** Scheidungsgrenze des Alkohols vom Wasser 488 f.; Amylalkohol 491; Methylpropylcarbinol 491 f.
- 81:** Propylglycol, Propylenoxyd 512.
- 82:** geometrische Formeln der Maleinsäure und Fumarsäure 851.
- 83:** Amylalkohol in Gährungsflüssigkeiten 1500.
- Bel (J. A. le) und Greene (W. H.), **78:** Darstellung von Pseudobutylen, (Dimethyläthylen) 373; Einwirkung von Methylalkohol auf Zinkchlorid 388; Einwirkung von Chlorzink auf Methylalkohol 518.
- 79:** Hexamethylbenzol 376; Chlorzink gegen Butylalkohole 489.
- Bel (J. A. le) und Wassermann (M.), **85:** Reduction der sechsatomigen Alkohole: Bildung von Diisopropyl, normalem Hexan bei der Reduction von Mannit-Jodid 1211.
- Béla Lengyel, **84:** Darstellung von Hydroxylamin 355 f.
- Beletzky, **80:** Torf gegen Phosphorit 1437.
- Belfield, **83:** Unterscheidung von Schweinefett und Talg 1646.
- Belgrand, **82:** Wirkung des Wassers auf Bleiröhren 1383.
- Bell (C.), **79:** Asche der Weizenkleie 915.

- Bell (Ch.), **77**: schleims. Aethylamin 438; Aethylpyrrol und Derivate 439.
- Bell (Ch. A.), **78**: Pyrrol und seine Derivate 620 f.; siehe Watts (C. W.).
- 80**: Succinimid gegen Zinkstaub 800.
- Bell (Ch. A.) und Lapper (E.), **77**: Pyrrol aus Ammoniumsaccharat und Aethylpyrrol aus Aethylamminsaccharat 719.
- Bell (C. A.) und Teed (F. L.), **80**: Dampflichtbestimmung 34 f.
- Bell (C. J.), **79**: saures zuckersaures Kali gegen Wärme 667 f.
- Bell (Carter J.), siehe Carter Bell (J.).
- Bell (Graham), **80**: Selen und das Photophon 193 f.
- Bell (H. S.), **79**: Stahlbereitung 1096.
- Bell (James), **83**: Milchanalyse zu gerichtlichen Zwecken, Analyse von saurer Milch 1643 f.; Chemie der Nahrungsmittel 1732 f.
- Bell (J. Carter), **77**: Alaun im Mehl 1091.
- 79**: Jodsäurereaction 1072.
- 81**: Milchprüfung 1225.
- 82**: verschiedenes Verhalten eisenhaltiger Verbindungen gegen Schwefelwasserstoff 1374; Aschebestimmungen von Thee 1451.
- 83**: Bieranalysen 1629; siehe Carter Bell (J.).
- Bell (J. L.) **77**: Eisengewinnung 1109.
- 78**: Ausscheidung von Kohlenstoff, Silicium, Schwefel und Phosphor im Bessemer-Convertor 1103; Entphosphorung des Eisens 1103.
- Bell (L.), **85**: Methode einer quantitativen Spectralanalyse 317 f.; Absorptionsspectrum der Untersalpetersäure 324; optische Eigenschaften der Malon- und Weinsäure 339 f.; spectroscopische Bestimmung des Lithiums 1925.
- 86**: Ultraviolettes Spectrum des Cadmiums 303; optische Eigenschaften der Aepfel- und Weinsäure 312 f.
- Bell (L.) und Stead, **77**: homogenes Eisen 1113.
- Bellamy (F.), **77**: Salze 20; siehe Lechartier (G.).
- 80**: Schwefel und neutrales schwefligsaures Natrium 256.
- 82**: Sicherheitsrohr für Gasentwickelungsapparate 1350.
- 85**: Einwirkung glühender Metalle auf ein Gemenge von Acetylen und Luft 665.
- Bellati (M.), **85**: Messung starker Ströme 231; siehe Naccari (A.).
- Bellati (M.) und Romanese (R.), **82**: specifische Wärme und Umwandlungswärme des Silberjodids und mehrerer Doppelsalze desselben 99 f.
- 84**: specifische Wärme und Umwandlungswärme von Silberjodid und einigen Doppelsalzen desselben 170 f.
- 85**: Bestimmung der Umwandlungswärme des rhomboëdrischen Kaliumnitrats in das prismatische 200.
- Bellenot (G.), siehe Perkin (W. H. jun.).
- Bellesme (Jousset de), **79**: Fuchsinwirkung 997.
- Belli (L.) siehe Wallach (O.)
- Bellier, **85**: Nachweis von Sulfocuchsin im Wein 2153.
- Bellmann (Th.) **84**: Einwirkung von Benzylchlorid auf Isatösäure, Oxydation von Acetylsatin 898; Einwirkung von Phosphorpentachlorid auf Komenaminsäure 1164 f.; Monochlor- $\gamma$ -oxypiccolinsäure 1164; Monochlorkyaminsäure, Methyloxyppyridon 1165; siehe Meyer (E. v.).
- Belloni (C.), siehe Menozzi (A.).
- Bellucci (G.), **78**: Nichtvorkommen von Wasserstoffhyperoxyd in Pflanzensäften 948.
- 79**: Ozonisierung durch ätherische Oele, Blumen u. s. w. 192; Wasserstoffsuperoxyd in Pflanzensäften 897 f.
- 81**: Entfärbungsvermögen von Schwefelwasserstoff 160.
- Belohoubek (A.), **79**: Propylenglycol 496.
- 80**: Löslichkeit organischer Substanzen 74; böhmischer Thee 1070; Wasser für Brauereien u. s. w. 1355; Graphit 1401 f.; Quellwässer Böhmens 1527.
- 81**: Platindrahtnetzaufsatz 1233.
- 84**: Nachweis von Harzgehalt in ätherischen Oelen 1667; Verhalten von Wasser gegen Bleiröhren 1715 f.
- Bemmelen (M. van), **78**: Absorptionskraft des Bodens 1141 f.
- Bemmelen (J. M. van), **79**: Diffusionsversuche mit Alkaliphosphaten 83 f.
- 80**: Zusammensetzung von Oxydhydraten 229 f.

- 81:** Kieselsäure, Zinn-, Metazinn- säure- und Manganhyperoxydhydrate, Verbindungen mit Säuren, Salzen und Alkalien 148 f.
- 82:** Hydrate des Beryll oxyds und Magnesiums 275 f.
- 83:** Eisengehalt der Leber in einem Falle von Leukämie 1448.
- Bémont (G.), siehe Étard (A.).
- Benade (C.), siehe Storck (F.).
- Benard, **77:** Wassergehalt von Wolle, Baumwolle, Flachs und Hanf 1230.
- Bénard und Girardin (J.), **81:** Kleberbestimmung im Mehl 1215.
- Benas (Th.), **84:** mafsanalytische Bestimmung des Zinkoxyduls mit Jodlösung 1605; Beschreibung von Zinnoxydulsalzen und Doppelsalzen des Zinnoxiduls 1606.
- Benckiser (Th.), siehe Nietzsche (R.).
- Benda, siehe Nowak.
- Bender, **86:** pneumatische Beleuchtung 2153; siehe Bernthsen (A.).
- Bender (C.), **83:** Dichte einer Salzlösung berechnet aus ihrer Molekülzahl 60 ff.
- 84:** correspondirende Salzlösungen 117 f.
- Bender (C. J.), **85:** Darstellung von Cocain, Cocaicin (Cocainin?) und von Erythroxylin 1713; Eigenschaften des Colchicins, Reactionen des Alkaloids 1802.
- 86:** Darstellung und Nachweis von Colchicin 1810.
- Bender (F.), siehe Bernthsen (A.).
- Bender (F.) und Schultz (G.), **86:** Di-p-amidostilbendisulfosäure 1591; Di-p-amidostilben 1592.
- Bender (G.), **80:** Phenole gegen Chlorkohlensäureäther 614 f.
- 81:** p-Monoamidostyrol 466.
- 86:** substituirte Chlorstickstoffe: Verbindung  $C_7H_5NO_2Cl_2$  aus Anhydro-o-amidophenylkohlenensäure 774;  $C_6H_5NCl(COCH_3)$  aus Acetanilid 774 f.;  $CIN=[-CO-CH_2-CH_2-CO-]$  aus Succinimid,  $C_6H_5CONHCl$  aus Benzamid 775; neue Kohlensäureester: Isomere Dinaphtylenketonoxycle 1222 f.; Kohlensäure-Diphenyl-, -p-Ditoly-, Dithymyl-, -o-Mononitrophenyläthyl-, -o-Monoamidophenyläthyläther 1223; Anhydro-o-amidophenylkohlenensäure (= Oxy-carbanidophenol = Oxy-methenylamidophenol) 1224.
- Bender (R.), **77:** Mineralquellen des Laacher Sees 1383.
- 79:** Metallcompositionen 1091.
- Bendix (J.), **77:** Technik des Mangans 1117.
- 78:** Ueber o-Oxyphenylsulfonharstoff 552; siehe Eisenmann (R.).
- 80:** Cholesteringehalt des menschlichen Gehirns 1090; siehe Lifser.
- Benecke (E. W.) und Cohen (E.), **80:** geognostische Beschreibung Heidelbergs 1495 f.
- 83:** Mikroklin und Plagioklas aus dem Birkenauer Thale bei Heidelberg 1898.
- Benecke (F.), **85:** Nachweis des Kornradesamens in Mahlproducten 1807.
- Benedict (B. G.), **82:** Anwendung von Phosphor zu Sprengstoffen 1411.
- Benedikt (R.), **77:** Phloroglucin gegen Brom (Phlorobromin) 570.
- 78:** Mononitrobrencatechin 553 f.; Pentabromresorcin und Tribromresorcinon: Tetrabromdiresorcin 560; Trinitrosophloroglucin 570.
- 79:** Tribromphenolbrom 510 f.; Pentabromresorcin, Tribromresorcinon, Diresorcin 522 f.
- 80:** Bromoxylderivate des Benzols 642 f.
- 81:** Bromderivate des Chinons 635.
- 83:** Chlor- und Bromoxylderivate des Benzols: Constitution des Tribromresorcinons 893 f.; Trichlorresorcinbrom 894; Monochlordibromresorcin-Chlorbrom und Derivate 894 f.; Trichlorphenolchlor 895; Trichlorphenolbrom 895 f.; Tribromphenol gegen Chlor, Untersuchung eines Handels-Trichlorphenols 896; Dinitroresorcin 917 (Anm. 4).
- 84:** Unterscheidung der Eosine des Handels 1620; siehe Hazura (R.), siehe Weselsky (P.).
- Benedikt (R.) und Hazura (K.), **84:** Untersuchung und Derivate von Morin 1449 f.
- 85:** Untersuchung des Morins 1737.
- Benedikt (R.) und Hübl (A. v.), **81:** Dinitroresorcin, Nitroamidoresorcin 551; Trinitroresorcin, Dinitroamidoresorcin, Mono- und Dinitrodiazoresorcin 552; Tetranitrodiresorcin 553.
- Benedikt (R.) und Julius (P.), **84:** Darstellung eines neuen Resorcinblaus 982 f.; Diazoresorfin, Orcin gegen Natriumnitrit 983; Unter-

- suchung und Derivate der  $\alpha$ -Diresorcin: Acetyldiresorcin, Hexanitrodiresorcin 1018; Dekabromdiresorcin, Diresorcinphthalein 1019; Acetyldiresorcinphthalein, Diresorcinphthalin 1020; Darstellung von Resorcinblau 1887 f.
- Benedikt (R.) und Schmidt (M. v.), **83**: Halogenderivate von Phenolen: Tribromphenol gegen Brom, Tribromresorcin, Tribromphloroglucin gegen Jodkalium: Monobromdijodphloroglucin 896; Pentachlorphenol gegen Chlor: Hexachlorphenolchlorid 897.
- 84**: Halogenderivate von Phenolen 965.
- Benedikt (R.) und Zsigmondy (R.), **85**: Bestimmung des Glycerins 1956 f.; Bestimmung des Glycerin gehaltes der Fette 1957; Nachweis eines Fettzusatzes im Wachs 1972.
- 86**: Bestimmung des Glycerins in Lösungen 2160; in Fetten und Ölen 2160 f.
- Benjamin (M.), **79**: Wasserbad, Bürettenklammer, Trockenschrank 1086.
- Benker, siehe Lasne.
- Bennert, **85**: Dampfdichtebestimmung des Traubensäure-Aethyläthers 1378; siehe Anschütz (R.), siehe Cooke (J. P.).
- Bennett (W. Z.) und Hill (H. B.), **79**: Mucochlorsäure,  $\alpha$ -Dichloracrylsäure 606 f.
- Benoist (L.), **84**: Gährung in den Indigoküpen 1849 f.; siehe Collin (Ch.), siehe Miquel (P.).
- Benoit (J. R.), **84**: Normaletalons des gesetzlichen Ohm 248.
- Benoit (R.), **80**: Temperaturregulator 86; siehe Mascart.
- Benrath (C.), **77**: Zusammensetzung von Gläsern 1165.
- Benrath (H. E.), **79**: Glas 1119.
- Benrath (H. E.) und Jacoby (H.), **85**: Untersuchung von Mosaikwürfeln aus der Sofienkirche in Konstantinopel 2110.
- Ben-Saude (A.), **82**: Anomalien des Analcims 1566; Krystallsystem des Perowskits 1572.
- 83**: doppeltbrechende Steinsalzwürfelchen 1846.
- 84**: Krystallisation von Chlorkalium und Chlornatrium 3; siehe Saude (A. Ben).
- Bensemann (R.), **82**: Analyse einer Soolquelle in Kammin 1629.
- 83**: Analyse der Chocolate 1631.
- 84**: Cacao- und Chocladeanalysen 1666; Untersuchung der Fette 1678.
- 85**: Vorkommen von Spiralgefäßen in den Cacaobohnen, Cacao- und Chocladenanalysen 1984.
- 86**: Analysen von Malzextracten 1984; Extract- und Glycerinbestimmung im Wein 1985; Schmelzpunktbestimmung von Fettsäuren 1997; Einfluss des Sonnenlichts auf Kulturbutter 2000; Extractionsapparat 2011; Untersuchung von Malzextract 2140.
- Bente (F.), **77**: Gasgebläse 1099.
- 86**: Phosphatanalyse 1921.
- Bentley, **78**: Opium aus Shanghai 872.
- Benz, siehe Merz (V.).
- Benz (G.), **82**: Aethylalkohol und Aethyläther gegen Anilin und o-Toluidin in Gegenwart von Chlorzink: Amidoäthylbenzol und Aethyl-o-amidotoluol 538 f.
- 83**: Ueberführung von  $\alpha$ - und  $\beta$ -Naphtol in Naphtylamine mittelst Chlorcalciumammoniak (Chlorzinkammoniak) 740 bis 742; Gewinnung der Dinaphtylamine durch Erhitzen von Naphtylamin und Naphtol mit Chlorcalcium 742 f.; Derivate der Dinaphtylamine 743.
- Benzinger (E.), siehe Kämmerer (H.); siehe Michaelis (A.).
- Beran (A.), **85**: Verhalten von Octyl- und Caprylalkohol gegen Anilin und von Octylalkohol gegen o-Toluidin in Gegenwart von Chlorzink 918 bis 923; o-Amidooctylbenzol (p-Phenocetylamin) 918; Formylphenocetylamin (p-Formylamidooctylbenzol), p-Acetylphenocetylamin, o-Benzoylphenocetylamin, p-Monojodoctylbenzol 919; p-Octylbenzonitril, p-Octylbenzoesäure, p-Amidocaprylbenzol (p-Phenocaprylamin) 921; p-Benzoylphenocaprylamin, p-Jodcaprylbenzol, Amidooctyltoluol (Toluocetylamin) 922; Acetyl- und Benzoyltoluocetylamin, Jodoctyltoluol 923; siehe Wurster (C.).
- Berberich (V.), **84**: Gefrierapparat 1690.
- Berdell (Th.), **78**: Lionit 1200.
- Berdez (J.) und Nencki (M.), **86**: Farbstoffe der melanotischen Sarkome: Phymatorrhusin, Hippomelanin 1846 f.

Berend (L.), **78**: Identität des Rhamnoolcits mit Isodulcitol 529.

**81**: Brom- und Chloräthylchinolinbromid 918.

**84**: Darstellung neuer Alkine: Tetramethylallylalkin, Benzoylalkin, Tetraäthylallylalkin (Hydrooxylallyltetraäthylidiamin) 598; Trimethylen-diäthylalkin 599; Einwirkung von Paraldehyd auf Xylidin (Dimethylchinaldin) 790; Darstellung von isomeren Dimethylchinolinen 1377.

**85**: Eigenschaften des 1, 4-Dimethylchinolins und des 1, 4-Tetrahydrodimethylchinolins 986; Darstellung von Trimethylchinolin aus Pseudocumol 995 f.

Berendes (J.), siehe Schmidt (E.).

Berg (A.), siehe Klein (D.).

Berg (H.), siehe Claesson (P.).

Berg (P.), **77**: Borsäurebestimmung 1051.

Berg (P. v.), **86**: Trennung des Zinks von Eisen, Kobalt, Nickel 1940; siehe Thoms (G.).

Berg und Nepp, **77**: Knochenbrennofen 1211.

Bergemann, **84**: Analyse umgewandelter Leucite 2001 f.

Berger (E.), **84**: Phenylcyanamid gegen Acetamid: Basen  $C_{99}H_{17}N_{11}$  und  $C_{39}H_{15}N_{11}$  490.

Berger (F.), **79**: Orthololyguanidine 335 f.

**80**: Glycolylmonophenylguanidin 426.

**81**: Phenylcyanamid gegen Acetamid 327.

**84**: Darstellung von Phenylcyanamid 490; siehe Hönig (M.).

Berger (J.), **77**: homologe Terephthal-säureäther 768; Cymolsulfosäurederivate: Cymolsulfamid, Cymolsulfinsäure 861.

Bergeron, **77**: giftige Wirkung der Kupferverbindungen 1007.

Bergeron (G.) und Clouet (J.), **77**: Wirkung des Fuchsin 1012; Fuchsin 1236.

Bergeron (G.) und L'Hôte (L.), **80**: Fehlerquellen bei der Prüfung auf Alkaloide 1210.

Berggren (A. F.), **77**: Leitungsfähigkeit von Lösungen 162.

Berglund (E.), **78**: Amidosulfosäure und deren Salze 210, 211.

**83**: Trennung von Kupfer und Zink durch Schwefelwasserstoff 1579 f.

**84**: qualitative Trennungsmethode von Zinn, Antimon und Arsen 1583 f.

**85**: Trennung von Chlor und Brom 1900 f.; Bestimmung von Chlor neben Brom 1901; Scheidung von Arsen, Antimon und Zinn 1940 f.; Bromgehalt im Meerwasser 2313 f.

Bergmann (E.), **83**: Vorkommen und Bedeutung der Ameisensäure und Essigsäure in den Pflanzen 1392 f.

Bergmann (F.), **83**: Identität von Nonylsäuren verschiedenen Ursprungs 1114; siehe Fresenius (H.).

Bergström, siehe Jansson.

Bering (J.), **83**: Asbestappeschalen als Ersatz der Sandbäder 1656.

Beringer (J. J. und C.), **83**: volumetrische Bestimmung des Kupfers 1578.

Berju (G.), **84**: Derivate des Amidoazobenzols 835 ff.: Acetylamidoazobenzol 835; Monomethylamidoazobenzol, Acetylmonomethylamidoazobenzol, Dimethylamidoazobenzol, Azobenzol-trimethylammoniumjodid, Benzyli-denamidoazobenzol 836; Dibromamidoazobenzol, Carbamidoazobenzol, Azobenzolmonophenylthioharnstoff, Thiocarbamidoazobenzol 837.

Berkel (A. v.), **86**: Imprägnirung von Holz mit Kieselflußsäure resp. Wasser-glas 2171.

Berlien (J. E.), **80**: Rohspiritus, Reinigung 1352.

Berlinerblau (J.), **84**: Einwirkung von Chlorcyangas auf o- und p-Amidophenetol: o-Aethoxyphenylcyanamid 976; p-Aethoxyphenylcyanamid, p-Aethoxyphenylharnstoff, o-Aethoxyphenylharnstoff 977; p-Aethoxyphenylthioharnstoff, o-Phenetolcyanamidnatrium und -silber 978; Einwirkung von Monochloracetal auf Trimethylamin, Darstellung von Muscarinäthyläther, Dehydromuscarin 1397.

**86**: Darstellung von Methylrhodaninsäure, Condensation von Rhodaninsäure mit Methylal 533.

Bernard (Cl.), **77**: glycogene Function der Leber, Zuckerbildung in der Leber 980.

**78**: Gährung 1014 f.

Bernard (J.) siehe Livon (Ch.).

Bernard (P.), **83**: Präparirung von Kalbfellen, welche als Ersatzmittel für Seehunds- und Astrachanfelle dienen sollen 1781.

Bernath (J.), **77**: Noseanphonolith 1365.  
 Bernbeck (C.), **77**: Farrum albuminum solum 265.  
 Bernhardt (B.), **79**: Stafsfurter Industrie 1107 f.  
 Bernhardt, **84**: Morphinbestimmungen im Opiumpulver und Opiumextract 1631.  
 Bernhardt (A.), **87**: Bestimmung des Albumins 1088.  
 Bernhardt (W.), **80**: Alkaloid der Hundspetersilie 1001.  
 Bernhart (C.), siehe Perkin (W. H. jun.).  
 Bernhart (K.), siehe Comstock (W. J.).  
 Bernheimer (O.), **79**: Tetramethyl- und -äthylammoniumjodid 324 f.  
**80**: organische Nitroprusside 396; Kaffee 1069 f.  
**82**: Glutarimid gegen Zinkstaub, gegen Chlorphosphor 862.  
**83**: Spartein 1338; Chinolin aus Berberin, Hydroberberinjodmethyl, Berberinjodmethyl, Hydroberberin gegen Jod 1353; siehe Nasini (R.).  
 Bernheimer (O.) und Nasini (R.), **83**: Brechungsvermögen und chemische Constitution organischer Verbindungen 238 f.  
 Bernthsen (A.), **77**: Benzenylisodiphenylamidin 486; Thiamide der Fettsäuren gegen Schwefelwasserstoff (Acetothiamid) 668; Benzothiamid, Thiobenzaldehyd, Benzothianilid 745; Benzodiphenylthiamid, Formothianilid 746.  
**78**: Amidino und Thiamide einbasischer organischer Säuren 744 f.; Darstellung von Thiamiden 672 f.  
**79**: Imidothioäther 316 f.; jodwasserstoffsaurer Benzimidothioäthyläther 438.  
**80**: Succinimid gegen Zinkstaub 800; hydroschwefligsaures Natrium und Anwendung zur Sauerstoffbestimmung im Wasser 1146 f.  
**81**: unterschweflige (hydroschweflige) Säure 160 f.; Nomenclatur von Kohlensäurederivaten 311 f.  
**82**: Formel der unterschwefligen Säure 230; Mononitrotoluidin 536 f.; luftfreie Kohlensäure zur Stickstoffbestimmung 1302.  
**83**: Untersuchung des Methylenblaus 1818 ff.; Methylenweiss aus Methylenblau, Thiodiphenylamin

1819; Methylthiodiphenylamin, Aethylthiodiphenylamin, Methylenblau aus Tetramethyldiamidodiphenylamin 1820.

**84**: Constitution des Methylphenylacridiniumhydroxyds 683; Untersuchungen über das Thiodiphenylamin als Muttersubstanz des Lauth'schen Violetts und des Methylenblau 760 bis 764:  $\alpha$ -Dinitrodiphenylaminsulfoxyd, Mononitrodiphenylaminsulfoxyd,  $\beta$ -Dinitrodiphenylaminsulfoxyd 761;  $\alpha$ -Dinitroacetyldiphenylaminsulfoxyd, Violett aus  $\alpha$ -Dinitrodiphenylaminsulfoxyd 762; Violett aus  $\beta$ -Dinitrodiphenylaminsulfoxyd 763; Pentamethylamidothiodiphenylamidindijodmethylat, Constitution des Lauth'schen Violetts und des Methylenblau 764; Chinolinbasen 779 f.; Untersuchung des Juglons 1448; Untersuchung von Methylenblau und verwandten Farbstoffen 1868 bis 1871.

**85**: Acridine 929; Eigenschaften des Methylphenylacridiniumhydroxyds 940; Methylenblau 2223 f.; Methylenroth und Salze, Methylenviolett (Dimethylthionolin), Methylenazur 2224 f.; Leukomethylenviolett und -methylenazur 2225; Salze des Methylenazurs 2226; Thionol (Dioxythiodiphenylimid) und Salze 2226 f.; Leukothionol 2227; Thionolin und Salze 2228 f.; Absorptionsspectra der Methylenblaufarbstoffe 2229; siehe Hefs (W.).

**86**: pyrogene Zersetzung des Anilins: Isobenzidin 875 f.; Derivate desselben 876 f.; Darstellung von Dio-diamidodiphenylamin und Di-p-dinitrodiphenylamin 877 f.; Synthese des Thiodiphenylamins aus o-Amidophenylmercaptan und Brenzkatechin 880; Methylenblau 893; Pyrogene Bildung von Phenazin (Azophenylen) 1067; Constitution der Safranine als Phenazinderivate: Ableitung des Phenosafranins vom einfachsten Toluylenroth (Diamidophenazin) 1115 f.; Verhalten des Leukophenosafranins, Constitution substituierter Safranine 1116; Safraninfarbstoffe 1120.  
 Bernthsen (A.) und Bender (F.), **82**: Styrolderivate 409; Darstellung von  $\beta$ -Bromäthylbenzol 444; Nitrioltriphenylmethan aus Benzenylisodiphenylamidin 551 f.



- 83:** Nitrilbasen aus organischen Säuren und Aminen: Nitrilotriphenylmethan (Phenylacridin), Methylacridin, Acridin 678 f.; Chinolintricarbonsäure 679; Salze des Phenylacridins, Verhalten desselben gegen Jodmethyl, Methylphenylacridiniumhydroxyd, Salze desselben 680 f.; Hydrophenylacridin und Derivate 681 f.; organische Säuren gegen Amine 682; Hydroacridin gegen salpetersaures Silber 683.
- 84:** Acridine 678 f.
- Bernthsen (A.) und Drews (A.), **80:** Titerstellung des hydroschwefligsauren Natriums 1147.
- Bernthsen (A.) und Fränckel (N.), **84:** Darstellung von Mononitrodiphenylsulfoxid und Amidothiodiphenylamin 1869 f.
- Bernthsen (A.) und Friese (G.), **82:** Dithiourethane (Phenylsulfimidverbindungen) 390; Tetraphenylthioharnstoff 390 f.; Äthylphenyldithiurethanjodalkyle 391.
- Bernthsen (A.) und Hefs (W.), **85:** Darstellung von Ammoniumbasen aus Chinolinbasen 957 bis 960: Methylchinaldiniumhydroxyd, Methylflavoliniumhydroxyd 958 f.; Benzylchinoliniumhydroxyd, Verhalten desselben beim Erhitzen; Methylchinoliniumhydroxyd 959; Dimethyldichinolylin 960.
- Bernthsen (A.) und Klinger (H.), **78:** Charakter der Verbindungen von Jodalkalien mit Thioharnstoff 365 f.
- 79:** Thioharnstoff-Benzoylchlorid 345 f.
- Bernthsen (A.) und Osann (A.), **86:** Krystallform von Methylphenylacridiniumjodid 894, von Methylphenylacridiniumhydroxyd und Methylacridin 895.
- Bernthsen (A.) und Schweitzer (H.), **86:** Phenazin (Azophenylen) als Muttersubstanz von Farbstoffen der Toluylenrothgruppe 1067 bis 1072: Bildung des Toluylenroths (Dimethyldiamidomethylphenazin, Leukotoluylenroth) 1068 f.; Diazotirung des Will'schen Toluylenroths (Dimethylamidomethylphenazin), Reduction des letzteren 1069; Darstellung des einfachsten Toluylenblaus (Amidomethylindoamin) 1069 f., des einfachsten Toluylenroths (salzsaures Diamidomethylphenazin) 1870; Diazotirung des letzteren: Methylphenazin 1070 f.; Darstellung von Monoamidomethylphenazin 1071; Verhalten des Methylphenazins gegen rauchende Salpetersäure 1071 f.; Oxydation von p- und m-Phenylendiamin 1072.
- Bernthsen (A.) und Semper (A.), **85:** Darstellung von Juglon 1671 f.: Acetyljuglon, Jugloxim, Oxydation des Juglons und Acetyljuglons (Juglonsäure) 1672; Salze der Juglonsäure und Constitution als Dinitrooxyphtalsäure 1673.
- 86:** Constitution der Juglonsäure (Dinitro- $\alpha$ -oxyphtalsäure) und des Juglons ( $\alpha$ -Oxy- $\alpha$ -naphthochinon) 1680 f.
- Bernthsen (A.) und Szymanski (F.), **80:** Benzylmonophenylamidin gegen Natriumamalgam 555 f.
- Bernthsen (A.) und Traube (J.), **84:** Darstellung von Butylacridin und Acridylbenzoesäure 679 ff.; Untersuchungen über die Acridine, Trinitrophenylacridin, Dinitrophenylacridin 678; Methylacridin, Dimethylacridiniumhydroxyd, Trinitroacridincarbonensäure 679.
- Bernthsen (A.) und Trompeter (H.), **78:** Darstellung von Amidinen 749 f.; Basen aus  $\alpha$ -Toluyldiamin und Benzonitril 750.
- Berry (N. A.), **86:** Analyse einer Kupferschlacke 2044.
- Berry (R. A.), **81:** Baryumnitrat 206.
- Bersch (J.), **86:** Gewinnung von Tresteressig 2138.
- Berson, **86:** Einfluss der Temperatur auf die Magnetisirung 286.
- Bert (L.), **80:** Staub führender Regen 1509.
- Bert (P.), **77:** putrides Blut 1082.
- 78:** Wirkung der verschiedenen Lichtstrahlen auf Pflanzen 939 f.; Form, in der die Kohlensäure im Blute und in den Geweben sich findet 995 f.; Anästhesie durch Stickoxydul und Sauerstoff 1007.
- 81:** Anästhetica 1065.
- 83:** Anästhesie durch Einathmung eines Gemenges von Stickoxydul und Sauerstoff 1484; Wirkung verschiedener Mischungen von Chloroformdampf und Luft 1486 f.
- 84:** Untersuchung über Milchsucker 1404.

Bert (P.) und Regnard (P.), **82**: Wasserstoffsuperoxyd gegen Fermente und andere organische Substanzen 1234 f.

Berthelot, **77**: Isomorphismus 18; Aequivalent und Atomgewicht 20; Aetherbildung 26; Siedepunktbestimmung 55; Wasserstoffentwicklung 64; Stickoxyd 68; Verflüssigung von Gasen 69; Princip der größten Arbeit 88; Wärmeentbindung bei chemischen Reactionen 89; calorimetrische Apparate, specifische Wärme von Flüssigkeiten 93; Bildungswärme des Ozons 103; Verbrennungstemperatur 104; Bildungswärme der Chlorsäure und Chlorate 107; Zersetzung des Kaliumchlorats, Bildungswärme der Bromsäure 108; Bildungswärme der Hypobromite, der unterbromigen Säure, der Jodsäure und deren Salze 109; der Halogensäuren, Verbrennungswärme des Schwefels 112; Bildungswärme der Schwefelsäure und der Sulfate, des Bromwasserstoffs 113, des Jodwasserstoffs, der Wasserstoffsäure, Zersetzungswärme des salpetersauren Ammoniaks 114; Verdampfungswärme des Salpetersäurehydrats, Bildungswärme der Salpetersäure, der Essigsäure, des Essigsäureanhydrids, Verdampfungswärme von Flüssigkeiten 118; Bestimmung der Schmelzwärme 124; thermische Verhältnisse des Chlorals, Bildungswärmen der Propylaldehyde 125; Zusammenstellung der thermochemischen Daten 126; Aequivalente, Gesetze von Dulong und Petit 143, 146, 147; Apparate zur Anwendung der elektrischen Ueberströmung 169; Drehung des Metastyrolens 189; Ozonbildung und Stickstoffassimilirung 202; kritischer Punkt, Verflüssigung von Gasen 221; directe Oxydation des Stickstoffs, Bildung des salpetrigs. Ammoniaks 226; Acetylen 362; Benzol gegen Jodwasserstoff 370; Trehalose, Melzitose, Lactose 904; gasanalytische Methoden, Brom in der Gasanalyse 1033; Säuren gegen Lackmus 1034; Benzol im Leuchtgas 1215.

**78**: Metallchloride gegen die Aetherification 14; Verflüssigung von Sauerstoff und Wasserstoff 15; Schmelzpunkte des Salpetersäuremonohydrats, des Chloroforms, des wasserfreien Chlorals, der krystallisirten Phosphor-

säure  $\text{PO}_4\text{H}_3$  35; Siedep. der festen Kohlensäure 36; Sieden von Gemengen 53; Bestimmung der specifischen Wärmen und der Schmelzwärme des Galliums 71; Genauigkeit thermochemischer Untersuchungen 79 f.; Lösungswärmen und Verbindungswärmen einiger Körper 92, 93; Neutralisationswärme der Ueberchlorsäure 94; Bildungswärmen der Erdphosphate 96, des Kohlenoxychlorids und Kohlenoxysulfids 98, 99; gegenseitige Verdrängung des Sauerstoffs, Chlors, Broms und Jods aus Verbindungen mit Metallen, Metalloiden und Wasserstoff 101 bis 112; Zersetzung der Wasserstoffsäuren durch Metalle 112, 113; Zersetzung von Chlorwasserstoff durch Quecksilber, gegenseitige Verdrängung der schwachen Säuren 113, 114; Hydrogenisation des Benzols 383; Gährung 1014 f.; Explosion in Steinkohlengruben 1168.

**79**: Schmelzwärme und Wärmecapacität des Glycerins 95; Lösungswärmen, Wärmeabsorption der Kupferchlorürlösung 105; Verbrennungswärme und Bildungswärme des Ammoniaks 114, des Cyans, Verbindungswärme des Cyans mit Wasserstoff 115; Bildungswärmen der vom Aethylen und Amylen sich ableitenden Wasserstoffsäuren-Aether, Bildungswärme des Diamylens 116; thermochemische Untersuchung der Amalgame der Alkalimetalle 117; Bildungswärme des Kupferchlorürs 118; Verhalten von Selen-, Chlor- und Bromwasserstoff gegen Quecksilber 123 f.; thermische Reaction des Kupferhydrats 124; Verhalten des Chlorals gegen Wasserdämpfe 128 f.; Ozon und elektrisches Effluvium 141; Drehung der Polarisationssebene durch Styrolen 168; Ozon und der Einfluss der elektrischen Ueberströmung 193 f.; Selenwasserstoff und Schwefelwasserstoff gegen Quecksilber 203; Untersuchung einer Kohle aus Holzmark 229 f.; schwefelhaltige Kohlenwasserstoffverbindung 230; Constitution der Amalgame der Alkalimetalle 303 f.; Säuren gegen Gold unter Einwirkung des galvanischen Stromes 306; Alkoholbildung aus Zucker 851; Theorie der Gährung 1001 f.; lösliches Gährungserment der Hefe 1009; schwefelhaltige Krystalle aus Gufs-

eisen 1105; explosive Substanzen 1114; Portweinanalysen 1139.

**80:** chemische Beständigkeit der Materie in tönenden Schwingungen 12 f.; Dampfdichte des Jods 29; Thermochemie 83 f.; Rolle der Zeit bei der Bildung von Salzen: langsame Umwandlungen 85; Messung der Verbrennungswärme von Gasen 90; Lösungswärme des Chlors 103 f.; Wasserstofftrichlorid 104; Kältemischungen 105 f.; Bildungswärmen von Halogenverbindungen 108 f., der Ueberschwefelsäure, von Ozon, Wasserstoffhyperoxyd 109; Bildungswärme von Kupferverbindungen 110 f., von Chlorhydraten der Metallchloride 111; thermische Untersuchung des Atakamits 112 f.; Verbrennungswärme des Schwefels, Verdampfungswärme des Schwefelsäureanhydrids, des Schwefelkohlenstoffs, Bildungswärme desselben 117; Verbrennungswärmen und Bildungswärmen des Cyans 117 f., des Kohlenoxyds, Bildungswärmen der Oxyde des Stickstoffs, von Nitraten und Ammoniaksalzen, Wärmeentwicklungen bei Oxydationen durch Salpetersäure und explosive Umwandlungen des Ammoniumnitrits 118 f.; Bildungswärmen von Cyanverbindungen 121; Verbrennungswärmen 122 f., Verbrennungswärmen und Bildungswärmen von Kohlenwasserstoffen 123; Verbrennungswärmen und Bildungswärmen der Haloidverbindungen des Methyls und Aethyls 125 f., des Dimethyls 126 f.; Lösungswärme des gasförmigen Methyläthers 127; thermische Untersuchung des Aethylamins und Trimethylamins 133; chemische Masse der Elemente und Bildungswärme ihrer Verbindungen 133 f.; gegenseitige Verdrängung der Halogene 136; Beständigkeit des Wasserstoffsuperoxyds 136 f., Verhalten gegen Silberoxyd, Bildungswärme desselben 137; Wärmeentwicklungen bei der Umsetzung des Wasserstoffsuperoxyds in Gegenwart von Alkalien und der Derivate des Baryumsuperoxyds 137 f.; Dissociation des Chloralhydrats 140 f.; Verbindung von Metallchloriden mit Chlorwasserstoff 233 f.; Katalyse des Wasserstoffsuperoxyds 250; Wirkung des Silbers und des Silberoxyds auf Wasserstoffsuperoxyd 251; Zersetzung

des Kaliumpermanganats durch Wasserstoffsuperoxyd 252 f.; Wasserstoffsuperoxyd und neutrales Jodkalium 254 f.; Bildung der Ueberschwefelsäure 257 f.; Darstellung des Chlors 262 f.; Verbindung von Wasserstoff mit Stickstoff 266; Baryumsuperoxydhydrat 284; Oxydation des Quecksilbers 356; höhere Silberoxyde 359 f.; Synthese von Blausäure 392 f.; Epichlorhydrin, Constitution 608; Identität von Arabinose und Lactose 1019 f.; Lactose, Bohrzucker 1020; Gasanalyse 1243.

**81:** Grenzen der Elektrolyse 99; Chlor 174; Uebersalpetersäure 185; Bildungswärme des Eisenoxyduloxys 246 f.; Kupferoxychlorid (Atakamit), Bildungs- und Umsetzungswärme 261 ff.; Quecksilber gegen Sauerstoff 293; Aethylperoxyd, Wasserstoffsuperoxyd 504; Zersetzung ameisensaurer Salze 668; Saccharose 982; Messung der Bildungswärme organischer Verbindungen 1075; Messung der Verbrennungswärme durch Detonation 1075 f.; Verbrennungen durch Stickoxyd 1113; thermochemische Untersuchung des magnetischen Eisenoxys 1114; Bildungs- und Zersetzungswärmen der Ueberchlorsäure und ihrer Salze, Wärmecapacitäten und Bildungswärmen der Ueberchlorsäurelösungen 1116 f.; Einwirkung von Wasserstoffsäuren auf Salze mit dem nämlichen Halogen 1122; gegenseitige Verdrängung der Wasserstoffsäuren 1123 f.; Verbrennungswärme von Schwefelkohlenstoff 1125; thermische Substitutionswerthe der Halogene für Wasserstoff-, Methyl- und Aethylverbindungen 1126; Bildungswärme von Benzol, Naphtalin und Anthracen 1126 f.; thermochemische Untersuchung des Aethylenoxyds 1128; thermochemische Untersuchungen von Aethylamin, Trimethylamin, Cyanwasserstoff und der Cyanide 1128; Bildungswärme von Glycochlorhydrin, von Chloralalkoholat und -hydrat 1131; Explosion von Acetylen, Cyan und Stickoxyd (Stickdioxyd), von Arsenwasserstoff 1132; Dissociation (Dampfdichte) des Jods 1137; Bestimmung von Chlor neben Acetylen oder Blausäure 1197.

**82:** Absorption von Wasserstoff und Sauerstoff durch Phosphor 120 f.;

Bildungswärme zweier Bleikaliumjodide 127; thermische Untersuchung von Quecksilberhaloïddoppelsalzen 129 f.; von sauren Quecksilberhaloïdsalzen 130; Neutralisationswärmen der Wasserstoffsäuren 130 f.; thermische Untersuchung der Isomerie des Quecksilberjodids 131; thermische Untersuchung der Doppelzersetzen der Quecksilberhaloïdsalze 131 f.; thermische Untersuchung der gegenseitigen Verdrängung der Säuren von Quecksilberoxyd 132 f.; Vergleichung der elektromotorischen Kräfte mit der bei der Elektrolyse geleisteten chemischen Arbeit, die elektromotorischen Kräfte der Elemente Zink-Kohle und Zink-Platin 157; Grenzen der Elektrolyse 157 f.; Elektrolyse des Wasserstoffsperoxyds 159; Zersetzung des Cyans 372; Harnstoff und Thioharnstoff aus Kohlenoxysulfid und Ammoniak 383; Vereinigung von Aethylen mit Wasserstoff 398; Aethylperoxyd 646; Zersetzung der Formate 815.

**83:** Absorptionsvermögen von Wasserstoff und Sauerstoff für Platin 74 f.; Lösungswärme und Zersetzungstemperatur des Kalium- und Natriumthiosulfats 146 f.; Kraft der explosiven Stoffe 154; Bildungswärmen der Silberhaloïdsalze 159 f.; thermische Untersuchungen von Quecksilbersalzen 160, der Doppelhaloïdsalze des Silbers und Kaliums 160 f., der Haloïdsalze des Silbers (Doppelzersetzen) 161 f.; rückläufige Verdrängung der Halogene untereinander (Umsetzungswärmen) 163 f.; thermische Untersuchung des Mangansperoxyds und einiger Reactionen von Superoxyden 167 f., der Chromate, der Chromsäure, der Chlorchromsäure 168 bis 171; thermische Untersuchung der Sulfite und Metasulfite des Kaliums 172 bis 175; Elektrolyse von Wasserstoffsperoxyd 220; Zersetzung des Kaliumsulfits beim Glühen 289; Reactionen zwischen Schwefel und Kohlenstoff, sowie deren Oxyden und Salzen, in Beziehung auf die Theorie des Schießpulvers 332 bis 336; Zersetzung des Cyans 472; Bildung von Harnstoff 491; Vereinigung von Wasserstoff mit Aethylen 503; Färberei der Alten mit Purpur (aus Pseudo-Demokritos: Physika kai Mystika) 1789.

**84:** Temperaturmaßstab und Molekulargewichte (verschiedene Ausdehnung verschiedener Gase bei steigender Temperatur) 156 f.; thermochemische Werthe 163; Lösungswärme von Kalium- und Natriumthiosulfat 202; Grundsatz des Arbeitsmaximums 222; Gesetz von der Aequivalenz der elektrolytischen Prozesse 263.

**85:** Alchemie 4; chemische Umsetzungen zwischen Chromsäure, Phosphorsäure, Borsäure, Cyanwasserstoffsäure, Phenol 10; Einwirkung von Brom auf Chlorwasserstoffsäure und concentrirte Metallchloridlösungen unter Bildung von Molekülverbindungen 40; thermische Wirkung der Alkalien auf Phenolalkohole, Phenolaldehyde und aromatische Säuren 167 ff.; thermische Untersuchung von Phenolen und Chinonen 171 f.; Temperaturmaßstab und Molekulargewichte 179; Fortpflanzungsgeschwindigkeit der Detonation in festen und flüssigen Explosivstoffen 179 ff.; Aufnahme von Brom durch Chlorwasserstoff und concentrirte Lösungen von Chloriden: Bildung von Perbromiden 203; langsame Sublimation des Schwefels 382; perlmutterglänzende Modification des Schwefels 390; Zersetzungswärme des Phosphortrifluorids 443 f.; Bestimmung des Phosphors bei Gegenwart von Fluor 444; Verdampfung von Quecksilber 564; Constitution aromatischer Kohlenwasserstoffe 698; Fixirung des freien atmosphärischen Stickstoffs durch Thonboden 1786 f.; Aufnahme von Stickstoff aus der Luft bei Culturboden 2122.

**86:** Chemie der Aegypter 11 f.; thermochemische Untersuchung von Phosphaten 208 f.; thermische Verhältnisse des Schwefelantimons 210; mehrfache Zustände des Schwefelantimons 210 f.; reciproke Wirkungen und Gleichgewichtszustände zwischen Salzsäure, Schwefelwasserstoff und Antimonsalzen 211; thermochemische Reactionen zwischen Ammoniak und Magnesiasalzen 213 ff.; thermochemische Einwirkung der Alkalien auf Phenole, Neutralisationswärmen von aromatischen Säuren (und Tetrinsäure) 221; Verbindung von Brom mit Chlorwasserstoff 329; Thermochemie der Zersetzung der Ammo-

- niumsalze 340; Verdampfung des Schwefels und Quecksilbers 467; molekulare Verbindung von Dextrose und Lävulose, Constitution der Melitose (aus Raffinose und Eucalyn) 1766; Bestimmung des organischen Kohlenstoffs in Sanden und Thonen 1996; siehe auch Berthelot (M.).
- Berthelot und André, 84:** Vegetationsvorgänge, Vertheilung der stickstoffhaltigen und mineralischen Substanzen in den Pflanzen 1431; Studien über Salpeterbildung in den Pflanzen 1432.
- 85:** Studien über die Vegetation 1786; Carbonate und Kohlensäure in den lebenden Pflanzen 1789; Abscheidung und quantitative Bestimmung der Oxalsäure aus Pflanzen 1805; Verlauf der Vegetation in einer einjährigen Pflanze 1985 f.; Ammoniakbestimmung, Bestimmung des Gesamtstickstoffs 1985; der Salpetersäure 1986.
- 86:** Tension des Ammoniumdicarbonats 100 f.; Diffusion und Dampfspannung des sauren kohlen-sauren Ammoniaks vom pflanzenphysiologischen Standpunkte aus 159 f.; Verdrängung des Ammoniaks durch andere Basen 339 f.; Verhalten von Harnstoff, Asparagin und Oxamid gegen Säuren und Basen 1291; Vorkommen und Bildung der Nitrats im Pflanzenreich, Bildung der Oxalsäure während der Vegetation verschiedener Pflanzen 1805; Untersuchung der stickstoffhaltigen Substanzen der Ackererde 1808 f.; Bestimmung der löslichen und unlöslichen Oxalate in Pflanzentheilen 1966; Bestimmung des Ammoniaks im Boden 1995, 2091 f.
- Berthelot, Coulier und d'Almeida, 77:** Aräometer 47.
- Berthelot und Guntz, 80:** Absorptionswärme von Chlor durch Kohle (scheinbar negative Verbindungswärme) 209 f.; gegenseitige Verdrängung des Fluorwasserstoffs durch andere Säuren und dabei constatirte Verdrängungswärme 220 f.; thermische Gleichgewichtszustände zwischen Chlorwasserstoffsäure und Fluorwasserstoffsäure 221 f.
- 86:** Absorption des Chlors durch Kohle (Wärmetönung) 206 f.
- Berthelot und Ilosvay, 82:** thermische Untersuchung von durch Schmelzung bereiteten Doppelsalzen 116 f.
- Berthelot und Ogier, 80:** Verbrennungs- und Bildungswärme des Dipropargyls und Benzols 125.
- 81:** Verbrennungswärme durch Detonation 1076; Wärmecapacität von Methylen-, Aethylidenchlorid und Methylal 1095 f.; thermochemische Untersuchung von Estern der Ameisensäure 1127; Bildungswärmen des Diallyls 1129; Verbrennungs- und Bildungswärmen von Methylen- und Aethylenchlorid, von Aldehyd und Methylal 1130; Verdampfungs-, Schmelz- und Lösungswärmen 1131.
- 82:** spezifische und Verdampfungswärme von Essigsäuredampf resp. Essigsäure, Molekularwärme der Untersalpetersäure 113.
- 83:** thermische Untersuchung der untersalpetrigsauren Salze 171 f.; untersalpetrigsaures Silber 304 bis 307.
- Berthelot und Péan de Saint-Gilles, 78:** Versuche über Aetherrification 10 f.
- Berthelot und Vieille, 80:** Knallquecksilber 358 f. Zersetzung des Knallquecksilbers 1305.
- 81:** Knallquecksilber, Zersetzung 322 f.; Fortpflanzungsgeschwindigkeit der Explosion 1086; Zersetzungswärme des Schwefelstickstoffs 1114; Bildungswärme des Kaliumperchlorats 1116; Verbrennungs- und Bildungswärme von Diazobenzolnitrats 1131.
- 82:** Fortpflanzungsgeschwindigkeit der Explosion explosiver Gasgemische 56.
- 83:** undulatorische Bewegung von Gasen (Explosionswelle) 150 f.; Zersetzungswärme des Stickstoffselenids 155.
- 84:** Druck bei der Explosion detonirender Gasgemische 90 f.; relative Schnelligkeit der Verbrennung explosiver Gasgemische 92 f.; Dichte und Druck explosibler Gasgemische 93 f.; Wärmecapacität von Gasen (Cyan, Kohlendioxyd) sowie Wasserdampf bei hoher Temperatur 183 f.; Verbrennungswärme von Kohlenarten und organischen Verbindungen (Cellulose, Kohlehydrate) nach neuer Methode 204 f.

- 85:** Untersuchung über detonierende Gasmischungen 177 ff.; neues Verfahren zur Messung der Verbrennungswärme von Kohle und organischen Verbindungen 191.
- 86:** Verbrennungs- und Bildungswärme fester Kohlenwasserstoffe 225; Verbrennungswärme von Zuckerarten, Kohlehydraten und mehratomigen Alkoholen 226.
- Berthelot, Vieille und Sébert, **85:** Fortpflanzungsgeschwindigkeit der Detonation in Explosivstoffen (von Schießwolle, Nitromannit, Nitroglycerin, Dynamit und Panclostit) 2103 f.
- Berthelot und Wefner, **84:** Bildungswärmen des Mono-, Di- und Tribromphenols 225.
- 85:** Bestimmung der Neutralisationswärmen der mehrwerthigen Phenole 166; Neutralisationswärme der Oxybenzoesäuren 172 f., von Mellitsäuren, Mekonsäure und Acrylessigsäure 173 f.; Bestimmung der Bildungswärmen der gebromten Substitutionsproducte mehrwerthiger Phenole, der Verbindungswärme des Chinons mit Wasserstoff 209; Bestimmung der Wärmeentwickelungen bei der Bildung und Umwandlung der Oxybenzoesäuren, und bei der Umwandlung derselben in einander 210 f.
- 86:** Neutralisationswärmen der Oxybenzoesäuren, der mehratomigen Phenole; thermische Versuche mit Phenolsulfosäure (Aseptol) 222; thermische Untersuchung der isomeren Oxybenzoesäuren, Bildungswärme der Bromsubstitutionsproducte mehrwerthiger Phenole 230.
- Berthelot (M.), **78:** Beständigkeit des Ozons 197; Bildung des Wasserstoffhyperoxyds, des Ozons und der Ueberschwefelsäure 201 f.; Darstellung von Ueberschwefelsäureanhydrid 203 f.; Einwirkung von Electricität, Wärme und Licht auf binäre Verbindungen 204; Darstellung eines Hydrats der Bromwasserstoffsäure 216; Verh. von Ozon gegen salpetrige Säure 221.
- Berthold (V.), **83:** Nachweis von Weizenmehl im Roggenmehl auf mikroskopischem Wege 1746.
- 84:** Unterscheidung von Roggen- und Weizenmehl 1655.
- Bertin (A.), **78:** optische Structur des Eises 167 f.; optische Eigenschaften von Gelatineblättchen 168.
- 79:** idiocyklophanische Krystalle, Interferenzerscheinungen 158.
- 80:** Herstellung luftleerer Räume und Messung der Verdünnung 62.
- Bertoni (G.), **79:** Darstellung von Hydroxylamin 211.
- 82:** Darstellung der Ester durch Wechselzersetzung: Salpetrigsäure-Methyläther und -Aethyläther aus Methyl- resp. Aethylalkohol und Amylnitrit 646; p-Nitroso-m-kresol, p-Nitro-m-kresol 686.
- 84:** Analyse der Quellen von Acqua rossa 2035 f.
- 85:** Aetherification durch doppelte Umsetzung 1156 ff.: Nitrosoäther des Aethylenalkohols (Salpetrigsäure-Aethylenäther) 1156; Nitrosoäther des Trimethylcarbinols (des tertiären Butylalkohols, Salpetrigsäure-Trimethylcarbinoläther), Nitrosoäther des Allylalkohols (Salpetrigsäure-Allyläther) 1157 f.; Salpetrigsäure-Nitroallyläther 1158.
- 86:** Aetherification auf kaltem Wege: Darstellung der Nitrosoäther des Glycerins, des Aethylens 1161 f.; Nitrosoäther von Fettalkoholen, Aetherification durch doppelte Umsetzung 1162; Salpetrigsäureäther des Dimethyläthylcarbinols 1208, des  $\alpha$ -Propylenglycols 1208 f., des Methylhexylcarbinols 1209 f.; siehe Körner (G.).
- Bertoni (G.) und Raimondi (C.), **82:** physiologische Wirkung des Hydroxylamins 1221.
- Bertoni (G.) und Troffi (F.), **83:** Salpetrigsäure-Propyl- und -Isobutyläther, Geschwindigkeit der Nitrication von Alkoholen, pyridinartige Base aus Nitrilen, Schwefelsäure und Glycerin 853.
- 84:** Umwandlung des normalen Propyl- und des Isobutylalkohols in ihre Nitrosoäther (sogenannte Nitrication) 905 f.
- Bertram, **83:** Krystallform des  $\beta$ -Benzanishydroxamsäure-Aethyläthers 727; siehe Pieper (R.).
- Bertram (J.), **78:** Analysen getrockneter Früchte 1163.
- Bertram (R.), **82:** krystallographische Untersuchung organischer Substanzen 368.

- 84:** kristallographische Untersuchung organischer Substanzen 463.
- Bertrand (A.), **80:** Löslichkeit des Calciumcarbonats in Ammoniaksalzen 286; Löslichkeit des phosphorsauren und arsensauren Bleies 329; Titanchlorid und Säurechloride 332 f.; Alkohole gegen salpetrigsaures Silber und Jod- oder Bromäthyl 603 f.; Chloride des Titans, Zinns und Antimons gegen Essigsäure und Titanchlorid, gegen Acetylchlorid 765; Titanchlorid gegen Säurechloride 940 f.; Sauerstoff im Baryumsuperoxid 1151, 1176; siehe Finot (E.); siehe Richard (A.).
- 81:** Jodal 588; Nitrate in Carbonate durch Oxalsäure 1174; Apparat zur Stickstoffbestimmung 1175; Bestimmung von Natriumsulfat 1181.
- 83:** Bestimmung der Phosphorsäure in Phosphaten mittelst Molybdänsäure bei Anwesenheit von Kieselsäure 1542.
- Bertrand (A.) und Finot (E.), **80:** Antimonsulfoclorid 335; Nebenprodukte bei der Bromäthylarstellung 474; Alkohol gegen Brom und Phosphor 603.
- Bertrand (E.), **77:** Schwingungsrichtung doppelbrechender Krystalle 179; Topas 1305; Leukophan 1327; Friedelith 1340.
- 78:** nadelförmige Krystalle auf Metacinnabarit 1206; Chlornatrium aus Natronseen Aegyptens 1218 f.; Leadhillit, Susannit 1223.
- 79:** Büschel in den einaxigen Krystallen 154; optisches Verhalten von Rubinen 1187.
- 81:** Schwartzembergite (Bleioxychlorojodür) 1366; Hydrocerussit 1370; Serpierit 1372; Connellit 1374; Aragoit 1409.
- 82:** Thaumazit 1581.
- 83:** optische Untersuchung von arsenfreien Pyromorphiten und phosphorfreien Mimetesiten 1868; Untersuchung von künstlich hergestelltem Baryt, Cölestin und Anhydrit 1842.
- 84:** optische Identität der Beudantite (Corkit, Dernbachit) 1948; Untersuchung von Fayalit 1954; optisches Verh. (Anal.) von Eudnophit 1976, 1978; optisches Verhalten der Mineralien der Nephelingroup 1959; Vorkommen von Molybdomenit, Kobaltomenit 1998 f.
- 85:** verschiedene Polarisationsprismen 335; Krystallform von Kobaltoxyd  $\text{Co}_3\text{O}_4$  501; siehe Cloizeaux (A. des); siehe Gonnard (F.).
- 86:** optische Eigenschaften (Krystallform) von  $\beta$ -Monobromnaphthalin 650.
- Bertrand (E.) und Cloizeaux (A. des), **83:** Beschreibung und kristallographische Untersuchung des Serpierits von Laurium 1857.
- Bertrand (E.) und Damour (A.), **82:** Zinkaluminat von Laurium 1539.
- Berwerth (F.), **77:** Chondrodit 1306; Glimmer 1316.
- 79:** Nephrit 1228.
- 80:** Tangiwai 1453; Nephrit 1465.
- 82:** Zusammensetzung der Hornblenden 1558 f.
- 84:** Untersuchung von Nephritbeilen 1968.
- Berwerth (F. J.), **79:** Bromierung von Eiweiß, Horn und Fischbein 871.
- Besancè (L. A. de), **80:** siehe Tribouillet (V.).
- Bessel-Hagen, **81:** Quecksilberluftpumpe 1232.
- Besthorn (E.), siehe Fischer (E.).
- Besthorn (E.) und Fischer (O.), **83:** Dampfdichte des Flavolins, Mononitroflavolin 731; Flavenol und Derivate 731 f.; Oxydation des Flavenols: Lepidincarbonsäure, Picolintricarbonsäure 732 f.; Constitution von Flavenol und Flavolin (Phenyllepidin) 733; neue Base aus Diphenylamin, Eisessig und Chlorzink 734; Farbstoffe aus Chinolinderivaten (Acridin) 1798.
- Betley (R.), siehe Wolff (J.).
- Bettel W.), **81:** Aufschließung von Silicaten 1177; Bestimmung von Schlacken und Oxyden im Roheisen 1186.
- 82:** Bestimmung des Stickstoffs als Ammoniak 1303.
- Betteli (C.), **81:** Lupinin aus *Lupinus albus* 1015; siehe Pesci (L.).
- Bettendorf, **78:** Quarztrachytanalyse 1286.
- 79:** Titanomorphit 1238.
- Bettendorf (A.), **77:** Adrenn: Vanadinsäure von Thonerde 1058.
- 84:** Analyse von Glaukophan 1971 f.
- Bettink (H. Wefers), siehe Wefers Betting (H.).

- Betting und Difsel (van), **84**: Reaction der Ptomäine 1649.
- Betty (S. C.), **78**: Ölsaures Wismuth 295.
- Beutell (A.), **84**: Untersuchung der schlesischen Kalinatronfeldspathe 1983 ff.
- Beutnagel, **83**:  $\alpha$ -m-o-Dibrombenzoesäure 1126 f.; m-Monobrom- $\beta$ -o-amidobenzoessäure 1127; Anthranilsäure aus den Monobromnitrobenzoesäuren aus m-Monobrombenzoesäure 1128; siehe Burghard.
- Bevan (E.), **77**: wasserhaltige Chlornatriumkrystalle 242.
- 84**: Chemie der Cellulose 1408.
- Bevan (E. J.), **78**: Apparat für fractionirte Destillation unter vermindertem Druck 40; di- und trithionsaure Salze 204 f.; siehe Crofs (C. F.).
- Revan (E. J.) und Crofs (C. F.), **80**: Jutebastfaser 1064.
- 81**: Bastfasern 1008; Cellulose gegen Schwefelsäure 1009; Natron direct aus Sulfat 1269.
- Beveridge (J.), **86**: technische Darstellung von Aluminiumsulfat 2064.
- Bewad (J.), **84**: Löslichkeit von neutralem und saurem Lithiumcarbonat in Wasser 379.
- 85**: Verlauf der Bildung von kohlsauren alkalischen Erden 461 f.
- Beyer und Kegel, **84**: Darstellung von Dinitrophenol-p- und -o-sulfosäure 1888 f.
- 85**: Darstellung zweier neuen Naphtolmonosulfosäuren, Darstellung und Trennung der isomeren  $\beta$ -Naphtholdisulfosäuren 2234.
- 86**: braune, rothe, violette und blaue Azofarbstoffe aus Sefraninen 2198.
- Beyer (A.), **83**: Untersuchung der Carvole und Schwefelwasserstoff-Carvole aus Krauseminzöl, Kümmelöl und Dillöl 938.
- Beyer (B.), **80**: Isophtalsäure 862 f.
- 82**:  $\gamma$ -o-ononitroisophtalsäure,  $\gamma$ -Monoamidisophtalsäure und Salze 924 f.;  $\gamma$ -Diazoisophtalsäure,  $\gamma$ -Monooxyisophtalsäure 926;  $\gamma$ -Monochlorisophtalsäure und Salze 926 f.
- Beyer (C.), **83**: Phenylloxyacetimidöther und Derivate desselben 871 f.
- 85**: Darstellung von  $\alpha$ - $\gamma$ -Dimethylchinolin durch Erhitzen von Anilin, Aceton und Nitrobenzol 986 f.; Darstellung von  $\gamma$ -Methylchinolin (Chinolepidin) 987; Ursachen der Bildung von Dimethylchinolin bei der Einwirkung von Aceton auf Anilin 989; Bildung von Lepidincarbonensäure bei der Oxydation des  $\alpha$ - $\gamma$ -Dimethylchinolins 989; Untersuchung von Derivaten der Mandelsäure 1484 bis 1486: salzs. Phenylloxyacetimidöther, Cyanhydrin des m-Mononitrobenzaldehyds, Imidoäther,  $C_{10}H_{12}N_2O_4$  und salzsaures Salz, m-Mononitromandelsäureäther, Amid der m-Mononitromandelsäure 1485; m-Mononitromandelsäure 1486, Herstellung von Chinolinabkömmlingen 2085.
- 86**: Synthese von  $\alpha$ - $\gamma$ -Dimethylchinolin 933 f.; Salze desselben 935; Phtalon, Monosulfosäure desselben 936 f.; Dimethylloxychinolin,  $\alpha$ -Methylchinolin- $\gamma$ -monocarbonensäure aus  $\alpha$ - $\gamma$ -Dimethylchinolin 937 f.; Synthese des Cincholepidins ( $\gamma$ -Methylchinolins) 938 f. des  $\gamma$ -Phenylchinaldins 939 f.; Einwirkung von Aceton auf Anilin 1640.
- Beyrich (C.), **78**: Bleichung der vegetabilischen Faser 1173.
- Bezold (W. v.), **84**: Brechung von Stromlinien an der Grenze verschiedener Mittel 273 f.
- 85**: Strömungsfiguren in Flüssigkeiten, wichtig für Diffusionsvorgänge 106.
- Biard (L.), siehe Pellet (H.)
- Bibra (E. v.), **77**: Silber 1122.
- 78**: Weingrünmachen neuer Fässer 1163.
- Bichat (E.), **79**: magnetische Drehung der Polarisationssebene in Schwefelkohlenstoff und Zinnchlorid 144.
- 86**: Zersetzung von traubensaurem Natrium-Ammonium 1.
- Bichat (E.) und Blondlot (R.), **83**: Potentialdifferenzen verschiedener Flüssigkeiten 205 f.
- 85**: Messung der Potentialdifferenz zwischen zwei Flüssigkeiten 246.
- 86**: Apparate für absolute elektrometrische Messungen 241.
- Bicket (J. H.), **79**: Dissociation von Farbstoffsalzen 1152 f.; siehe Mills (E. J.).
- Bidaut, **78**: Nachweis der Borsäure 1052.
- Biddle (C. J.), **79**: Podophyllum-Untersuchung 936.
- Biddle (J.), **78**: Analyse der Wurzel von Epilobium angustifolium 971.



- Bidet (A.), 86:** Apparat zur Darstellung von Sauerstoff 324; siehe Naudin (L.).
- Bidwell (S.), 81:** Selen und das Photophon (Telephotographie) 96.
- 83:** Methode zur Widerstandsmessung 209; Widerstand von Selenzellen 214 f.; elektrischer Widerstand von Kohlencontacten 215.
- 84:** Hall'sches Phänomen 274.
- 85:** Volta'sche Elemente mit festen Elektrolyten 235; Ursache der Lichtempfindlichkeit der Selenzellen 248 f.; Verlängerung eines Eisenstabes durch Magnetisirung 297 f.
- 86:** Rheostat 239; Elektrolyse von Salzlösungen 275; Tragkraft von Elektromagneten 284; Längenänderungen an Stäben von Eisen, Stahl und Nickel bei der Magnetisirung, magnetische Torsion von Eisen- und Nickeldrähten 284 f.
- Bidwell (Shelford),** siehe Shelford Bidwell.
- Bieber (D.), 77:** Mandelöl, Pfirsichkernöl, Wallnussöl 1220.
- Biechele (M.), 80:** Gewürze 1069.
- Biedermann (A.), 86:** Darstellung des Thiophenols der Thiophenreihe aus  $\alpha$ -Thiophensulfonsäure: Thiénylmercaptan 1193 f., des  $\alpha$ -Naphtols der Thiophenreihe: Oxythionaphten 1194 f.; Darstellung und Derivate von  $\beta$ -Thiophenalddehyd,  $\beta$ -Acetothiönon 1632 f.
- Biedermann (A.) und Jacobson (P.), 86:** Thiophten (Naphtalin der Thiophenreihe) 1225 f.
- Biedermann (H.),** siehe Schmidt (E.).
- Biedermann (J.), 86:** Darstellung von p-Oxybenzylalkohol 1226 f., von Essigsäure-p-Oxybenzyläther und Anisalkohol 1227.
- Biedermann (R.), 77:** Harnstoff gegen Phthalsäureanhydrid 347; Phthalyltoluyl- und -phenylendiamine 763; Industrie der Baryum-, Strontium-, Calcium- und Magnesiumverbindungen 1153; Aluminium- und -verbindungen 1154.
- 79:** Brenner aus Glas 1085.
- Biedermann (R.) und Döbner (O.), 77:** organische Säuren 1158.
- Biedermann (R.) und Gabriel (S.), 77:** Brennen von Ziegelsteinen 1162.
- Biedert, 83:** Conservirung der Milch 1277.
- 85:** Abscheidung des Caseins aus Muttermilch 1989.
- Biefel, siehe Poleck.**
- Biefel (R.) und Poleck (Th.), 80:** Kohlendunst- und Leuchtgasvergiftung 1125.
- 84:** Leuchtgasvergiftung 1808.
- Biehl (J.), 82:** Bestimmung des Alkaloidgehaltes der Chinarinden 1314; kaukasische Vaseline 1466.
- Biehringer, 82:** Verhältniss zwischen specifischem Gewicht und Druck der Gase 55.
- Biel, siehe Limpricht (H.).**
- Biel (J.), 77:** Chlorderivate des Alkohols 398.
- 79:** Petroleumsorten (Kerosine) 1146.
- 80:** Thenardit 1422.
- 84:** Verfälschung des Jodoforms des Handels mit Pikrinsäure 569; Untersuchung des Brennwerthes russischer Erdöle 1817; Untersuchung über Kerosine und Kerosinlampen 1819 f.
- 85:** Eiweissstoffe des Kephirs: Lactosyntoxid; Kephirgährung 1784.
- 86:** Eiweisskörper des Kumys und Kefirs 1791; Untersuchung eines Harnsteins 1859.
- Bielefeld (A.), 86:** Trennung der thierischen und Pflanzenfasern 2172.
- Bielefeldt (M.), 79:** Derivate des Iodurols 373 f.
- Bielschowski (O.),** siehe Will (W.).
- Bienert (J.), 82:** Kitt für Aquarien, Stein, Holz, Glas 1464; schwarze Tinte 1516.
- 83:** Colloxylin 1779 f.
- Bienstock (B.), 84:** Untersuchung der Bacterien der Fäces 1534.
- Biermann, 81:** Wirkung des Siliciums auf Eisen bei der Stahlbereitung 1245.
- Biermann (E. W. L.), 78:** Darstellung von Manganlegirungen und Manganbronze 1104.
- Biewend (K.) und Wunderlich (F.), 78:** Darstellung von Aluminiumsulfat 1133.
- Biginelli, 85:** Einwirkung von Chlor auf  $\alpha$ -Monobromnaphtalin und von Brom auf  $\alpha$ -Monochlornaphtalin 763.
- Bignon (A.), 85:** Gewinnung von Cocain in Peru 1714 f.; Gehalt der frischen Cocablätter an Cocain 1716.

- Betting und Ditsel (van), **84**: Reaction der Ptomaine 1649.
- Betty (S. C.), **78**: ölsaures Wismuth 295.
- Beutell (A.), **84**: Untersuchung der schlesischen Kalinatronfeldspathe 1983 ff.
- Beutnagel, **83**:  $\alpha$ -m-o-Dibrombenzoesäure 1126 f.; m-Monobrom- $\beta$ -o-amidobenzoessäure 1127; Anthranilsäure aus den Monobromnitrobenzoesäuren aus m-Monobrombenzoesäure 1128; siehe Burghard.
- Bevan (E.), **77**: wasserhaltige Chlornatriumkrystalle 242.  
**84**: Chemie der Cellulose 1408.
- Bevan (E. J.), **78**: Apparat für fractionirte Destillation unter vermindertem Druck 40; di- und triethionsaure Salze 204 f.; siehe Crofs (C. F.).
- Revan (E. J.) und Crofs (C. F.), **80**: Jutebastfaser 1064.  
**81**: Bastfasern 1008; Cellulose gegen Schwefelsäure 1009; Natron direct aus Sulfat 1269.
- Beveridge (J.), **86**: technische Darstellung von Aluminiumsulfat 2064.
- Bewad (J.), **84**: Löslichkeit von neutralem und saurem Lithiumcarbonat in Wasser 379.  
**85**: Verlauf der Bildung von kohlensauren alkalischen Erden 461 f.
- Beyer und Kegel, **84**: Darstellung von Dinitrophenol-p- und -o-sulfosäure 1888 f.  
**85**: Darstellung zweier neuen Naphtolmonosulfosäuren, Darstellung und Trennung der isomeren  $\beta$ -Naphtholdisulfosäuren 2234.  
**86**: braune, rothe, violette und blaue Azofarbstoffe aus Sefraninen 2198.
- Beyer (A.), **83**: Untersuchung der Carvole und Schwefelwasserstoff-Carvole aus Krauseminzöl, Kümmelöl und Dillöl 938.
- Beyer (B.), **80**: Isophtalsäure 862 f.  
**82**:  $\gamma$ -o-ononitroisophtalsäure,  $\gamma$ -Monoamidisophtalsäure und Salze 924 f.;  $\gamma$ -Diazoisophtalsäure,  $\gamma$ -Monoxyisophtalsäure 926;  $\gamma$ -Monochlorisophtalsäure und Salze 926 f.
- Beyer (C.), **83**: Phenylloxyacetimidoläther und Derivate desselben 871 f.  
**85**: Darstellung von  $\alpha$ - $\gamma$ -Dimethylchinolin durch Erhitzen von Anilin, Anilin und Nitrobenzol 986 f.; Darstellung von  $\gamma$ -Methylchinolin (Chino-
- lepidin) 987; Ursache von Dimethylchinolinwirkung von Aceton: Bildung von Lepidine der Oxydation des chinolins 989; Unterdervaten der Mandelsäure 1486: salzs. Phenylloxy Cyanhydrin des mandelsäure, Imidoäther, salzsaures Salz, m-Mandelsäureäther, Amid der mandelsäure 1485; mandelsäure 1486, Chinolinabkömmling **86**: Synthese von chinolin 938 f.; Salz Phtalon, Monosulfat 936 f.; Dimethylloxythylchinolin- $\gamma$ -mon- $\alpha$ - $\gamma$ -Dimethylchinolin des Cincholepidins: 938 f., des  $\gamma$ -Phenyl-Einwirkung von A 1640.
- Beyrich (C.), **78**: vegetabilischen Farbstoffe 8.  
Bezold (W. v.), **84**: Stromlinien an der dener Mittel 273 f.  
**85**: Strömungskurven, wichtig für 106.
- Biard (L.), siehe I Bibra (E. v.), **77**: **78**: Weingrün: 1163.
- Bichat (E.), **79**: der Polarisation: kohlenstoff und **86**: Zersetzung Natrium-Ammon: Bichat (E.) und Potentialdifferenzen Flüssigkeiten 20.  
**85**: Messung zwischen zwei 1 **86**: Apparat metrische Mess: Bicket (J. H.), Farbstoffsalzen (E. J.).
- Bidaut, **78**: N 1052.
- Biddle (C. J.) Untersuchung Biddle (J.), **78** von Epilobium

monochlormalonsäureäther, Carbonsäureäther 1019; Halogensubstituierte Fett- gegen Chloressigäther: Methyl, Anilin gegen  $\alpha$ -Brom-äther und  $\beta$ -Chlor- $\alpha$ -ionsäureäther 1022; Synthetischer Ketonsäuren: Säureäther,  $\beta$ -Benzoyl-äureäther, Benzoyliso- re, o-Mononitrobenzoyl-äther 1122.

Benzoylisobornsteinsäure Conrad (M.).

A.) und Emmert (A.), Methyläthyltricarbonsäure propionsäure-Methyläther mmalonsäureäther 795;

Propenyltricarbonsäure: weinsäure 795 f.; Äthyl- tricarbonsäure aus Mono- tricarbonsäureäther, Methyltricarbonsäureäther um und Alkohol: Pro- carbonsäure 796; Benzyl- carbonsäureäther gegen Monochlorbenzylmalonyl-

A.) und Rach (C.), 84:

des Acetylentetracar- s 1084 ff.; Dicarbin- äreäther, Dinatrium- er, Dinatriumacetylen- äreäther 1085; Mono- tricarbonsäureäther, Acetylentetracarbonsäure- Butonhexacarbonsäure- äthyltricarbonsäure- untersuchung von Di-o- carbonsäureäther 1198 ff.; Benzoylmalonsäureäther Nitrobenzoylbrommalon- tylentetracarbonsäure carbintetracarbonsäure- ung von o-Nitrobenzö- 1200.

ung von symmetrischer steinsäure (Hydroxypro- methyl- tra- 101 f.

85

Hydroxy- chonsäure- äreäther

carbonsäure

Acetyl-

Acetyl-

- Bigourdan, **81**: Spectrallinien des Lichtbogens einer Jamin'schen Lampe 123.
- Bihu (G. F.), **82**: Herstellung von Campher 1465.
- Bikfalvi (K.), Nappendruck (R.) und Verefs (J.), **81**: Wirkung von Nicotin, Pikrotoxin, Muscarin, Aconitin, Chinin, Veratrin, Curare 1066.
- Bill (J. H.), **77**: Doppelzersetzung von Bromkalium und Chlornatrium im Organismus 971.
- Billet, **84**: Hefenkraftmesser 1692.
- Billeter (O.) und Steiner (A.), **85**: Toluylessenöl (m-Toluylendithiocarbimid) 650 f.
- Billière (F.), **80**: Phylloxera 1067.
- Billings (G. H.), **78**: Eisenlegirungen 1105.
- Billitz (G.), siehe Lunge (G.).
- Billitz (G.) und Heumann (K.), **83**: Pyrosulfurylchlorid 295.
- Billwiller (J. S.), **86**: neues Gerbeverfahren mittelst Aluminiumsulfat 2178.
- Biltz (E.), **77**: schwefels. Magnesia, Prüfung auf Alkalien 1055; Zuckerprobe des Harns 1087.
- 80**: Jodoformreaction 1208.
- Bimmermann (E. H.), **79**: Umwandlung der Stärke und ihrer Spaltungsprodukte im Organismus 959.
- Bimswanger (J.), **85**: galvanisches Element 233.
- Binder, siehe Nölting (E.).
- Binder (F.), **77**: Zimmtsäurederivate, Phenylmilchsäure 787.
- 79**: Dimethylparaphenylendiaminharnstoffe 346 f.; siehe Fittig (R.); siehe Prud'homme (M.).
- Binder (O.), **77**: Oxalsäure 697; Schwefelsäuregehalt der Oxalsäure 1080.
- Bindewald (C.), **86**: Darstellung von Benzolazo- $\alpha$ -naphтол 1065 f.;  $\alpha$ - und  $\beta$ -Naphтоchinonphenylhydrazid 1066.
- Bindewald (H.), siehe Zincke (Th.).
- Bineau, **79**: Dissociation des Schwefelammoniums 130.
- Bindschedler (R.), **80**: Safranin 581 f.
- 83**: gemeinschaftliche Oxydation aromatischer Mono- und Diamine 720 bis 723; Dimethylphenylengrün und Leukobase 721; Tetramethylphenylensafranin, Dimethylphenylensafranin **722**; Phenylensafranin 722 f.; Reduction der Safranine 723.
- Bindschedler und Busch, **78**: Fluorescein und daraus gewonnene Farbstoffe 561; Darstellung des Resorcins im Großen 1137; Resorcin und Eosin 1184 f.; Regenerierung der Chromsäure bei der Alizarinfabrikation 1190; Alizarinblaubereitung 1191.
- 80**: Helvetiagrün 1383.
- 81**: Farbstoffe aus Azoderivaten des Resorcins 1332.
- Bing (J.), **80**: Nitrate in Rohstoffen 1070 f.
- Bingel (E.), **82**: Herstellung von Schmierseifen 1472.
- Binon (J.), **83**: Beschickungen von Zinköfen 1675 f.
- Binz (C.), **77**: Weingeist im Organismus 977; Wirkung des Santonins 1010.
- 79**: Reduction des Kaliumchlorats durch Eiter, Hefe, Fibrin 1000.
- 81**: Wirkungen von Chlor, Brom, Jod, Jodsäure als Antipyreticum 1061; Wirkung des Natriumnitrits 1062.
- 82**: Wirkung des Ozons auf Blut, Bestimmung des Ozongehaltes im Blute 1204.
- Binz (C.) und Schulz (H.), **79**: Giftigkeit des Arsens 227 f.; Arsengiftwirkung 993 f.
- 81**: Arsenwirkung 1063.
- Biot, **78**: Rotation des Borneols 646.
- Bjorkmann, **77**: Vigorit 1160.
- Bird (G. B.), **86**: Quecksilberoxydhydrat 469; Analyse eines reinen Zinks 2021.
- Bird (M.), **86**: Analyse eines Thurignits 2275.
- Birkenbine, **83**: Martit vom Cerro de Mercado, Mexico 1913 f.
- Birnbaum (K.), **79**: neues Salz einer Iridiumbase 308 f.; Kleberbrot 1136 f.; Veränderung eines eisernen Gasleitungsrohres 1144.
- 84**: Analysen des Wassers von Freyersbach 2032 f.
- Birnbaum (K.) und Gaier (J.), **80**: Jod gegen Silbersalze 755.
- Birnbaum (K.) und Lurie (G.), **80**: Resorcin und Harnstoff 647 f.
- 81**: Phenylkohlenensäureäther 680.
- Birnbaum (K.) und Mahn (M.), **79**: wasserfreies Calciumoxyd gegen trockene Kohlenensäure 238 f.
- Birnbaum (K.) und Reinherz (H.), **82**: benzoësaures, salicylsaures, phthal-saures Silber gegen Jod: m-Jodbenzoëssäure, p-Dijodbenzol, Monojod-salicylsäure, Dijodsalicylsäure 899.

Birnbaum (K.) und Wittich (C.), **80**: Verhalten der schwefligen Säure gegen Erdalkalien 257.

Birner, **82**: Herstellung von Prefshefe, Anwendung von Asparagin 1450.

Birnie (S.), **83**: Zersetzung des oxalsauren Eisenoxyduls im Stickstoff- und Wasserstoffstrome 1045 f.

Biscaro (G.), **85**: volumetrische Chlorbestimmung 1899; siehe Spica (G.).

Bischof (C.), **77**: Bindevermögen der Thone, Kaoline 1160; Technologie der Thone, feuerfeste Ziegel 1161.

**78**: Bauxit von Mühlbach 1217.

**85**: Untersuchung des Thons von Briesen 2111.

**86**: Untersuchung zweier Eisenberger Thone und eines Thons von Briesen 2087.

Bischof (G.), **77**: kohleensaures Blei 272; Reinigung des Wassers 1104.

**78**: Bildung von Ammoniak bei der Filtration von Wasser durch schwammiges Eisen 1041; Stickstoffbestimmung in Wässern 1313.

**79**: Bleibestimmung 1055.

Bischof (J.), **81**: Wasserstoffzündmaschinen 1235.

Bischof (K.), **80**: Schmelzbarkeit der Gemische von Magnesia, Kalk, Thonerde, Phosphorsäure, Kieselsäure, Eisen 1361.

Bischof (O.), siehe Wallach (O.).

Bischoff, siehe Weyl (Th.).

Bischoff (A.), siehe Liebermann (C.).

Bischof (A.) und Guthzeit (M.),

**81**: Propenyltricarbonsäure ( $\beta$ -Methyläthyltricarbonsäure) 748.

Bischoff (C.), **80**: Kobalterz in Schiefen 1313.

**81**:  $\beta$ -Acetoiso- und  $\beta$ -Acetobuttersäure 744.

**83**: Verteilung von Giften im Organismus des Menschen in Vergiftungsfällen 1483; Umwandlung von arseniger Säure in Arsenwasserstoff unter dem Einflusse von Schimmelpilzvegetationen 1551; mikroskopische Prüfung auf Oxalsäure bei Vergiftungen 1605 f.; Kleesalz (vierfach-oxalsaures Kali) 1606; amerikanische Thone 1709; schweflige Säure im Piccardanwein 1741; Untersuchung von nach dem Brech Weinstein-Tanninverfahren gefärbten Baumwollgarnen, Beschwerden der Schafwolle 1789.

Bischoff (C. A.), **80**: Synthese drei- und vierbasischer Säuren 751 f.

**83**: Natriumchloformalonsäureäther, Acetylentetracarbonsäureäther 1019; Anilin gegen halogensubstituierte Fettsäuren, Anilin gegen Chloressigäther: Dihydrooxindol, Anilin gegen  $\alpha$ -Brompropionsäureäther und  $\beta$ -Chlor- $\alpha$ -hydroxypropionsäureäther 1022; Synthese aromatischer Ketonsäuren: Benzoylmalonsäureäther,  $\beta$ -Benzoylisobornsteinsäureäther, Benzoylisobornsteinsäure, o-Mononitrobenzoylmalonsäureäther 1122.

**86**:  $\beta$ -Benzoylisobornsteinsäure 1502 f.; siehe Conrad (M.).

Bischoff (C. A.) und Emmert (A.),

**82**:  $\beta$ -Methyläthyltricarbonsäure aus  $\beta$ -Chlorpropionsäure-Methyläther und Natriummalsäureäther 795; Brom gegen Propenyltricarbonsäure: Dibrombrenzweinsäure 795 f.; Aethoxyäthyltricarbonsäure aus Monochloräthyltricarbonsäureäther, Monochloräthyltricarbonsäureäther gegen Natrium und Alkohol: Propargylpentacarbonsäure 796; Benzylmonochlorformalonsäureäther gegen Ammoniak: Monochlorbenzylmalonylamid 966.

Bischoff (C. A.) und Rach (C.), **84**:

Untersuchung des Acetylentetracarbonsäureäthers 1084 ff.; Dicarbin-tetracarbonsäureäther, Dinatriummalsäureäther, Dinatriumacetylentetracarbonsäureäther 1085; Monoäthylacetylentetracarbonsäureäther, Monochloräthylacetylentetracarbonsäureäther, Butonhexacarbonsäureäther, Dichloräthyltricarbonsäureäther 1086; Untersuchung von Di-o-nitrobenzoylmalonsäureäther 1198 ff.; Mono-o-nitrobenzoylmalonsäureäther 1198; Mono-o-nitrobenzoylbrommalonsäureäther, Acetylentetracarbonsäureäther 1199; Dicarbin-tetracarbonsäureäther, Darstellung von o-Nitrobenzoesäureanhydrid 1200.

**85**: Darstellung von symmetrischer Dimethylbornsteinsäure (Hydropyrocinchonsäure), Dimethylacetylentetracarbonsäureäther 1401 f.

**86**: Synthese der symmetrischen Dimethylbornsteinsäure (Hydropyrocinchonsäure) aus Propenyltricarbonsäureäther,  $\alpha$ - $\beta$ -Dimethyläthyltricarbonsäure 1370 f.; Synthese aus Acetessigäther 1371, aus Dimethylacetylentetracarbonsäureäther 1371 f.

- Bischoff (G.), **86**: Wasserprüfung mit Peptongelatine 1904.
- Bischoff (H.), **79**: Farbstoffe der Caryophyllinen 901.
- Bischof (E. P.), **77**: spec. Gewicht von Salzen 45.
- 78**: spec. Gewicht des Kalium-methylsulfofocarbonats 25.
- Bissinger und Henking, **86**: Untersuchung von gemahlenen schwarzen Pfeffern 1968.
- Bissinger (Th.), **83**: Untersuchung der Pilze: *Lactarius piperatus* (Pfefferschwamm) und *Elaphomyces granulatus* (Hirschtrüffel) 1414.
- Bistrzyki (A.) und Kostanecki (St. v.), **85**: neues Isomeres des Euxanthons (Isoeuxanthon); Darstellung des Isoeuxanthons, des Ditolylcarbolactons und der  $\beta$ -Resorcylsäure, Schmelzpunkt der p-Orsellinsäure 1648.
- Bittmann (C.), siehe Reichhardt (H.).
- Bittner (A.), **80**: Geologie von Bosnien-Herzegowina 1503.
- 84**: Krystallform von Magnesit 1931.
- Bizio (G.), **80**: Diffusion und physiologisches Vorkommen von Kupfer im Organismus 1086; Civillina 1529 f.; Mineralwasser von Valgrande 1530.
- 81**: Glycogen der Avertebraten 1039.
- 82**: Glycogen 1127.
- 85**: Einwirkung von Silberlösung auf pflanzliche Oele, Prüfung des Olivenöls 1969.
- Bizio (J.), **83**: Zersetzung verdünnter Oxalsäurelösungen 1044 f.
- Bizzarri (D.), **85**: Darstellung des Umbelliferons 1511 f., eines isomeren Oxycumarins 1512; siehe Campani (G.).
- Bizzarri (D.) und Campani (G.), **83**: Elektrolyse von Glycerin und Erythrit in alkalischer Lösung 857 f.
- 86**: Vorkommen und Analyse von gediegenen Arsen 2223.
- Bizzozero (G.) und Sanguirigo (C.), **81**: Blutserum 1045.
- Blaas, **82**: Krystallform von Mononatriumglycerinat 649.
- Blaas (J.), **81**: Pseudomorphose 1412.
- 83**: Botryogen 1855; krystallographische Untersuchung und Analyse des Römerits 1856.
- 84**: Krystallform von Voltait, Metavoltin, Analyse von Römerit 1935 f.; siehe Pichler (A.).
- Bladin (J. A.), **84**: Verhalten der Einwirkungsproducte von o-Diaminen (o-Phenylendiamin, m-p-Toluyldiamin) auf Cyan 671 bis 674; Cyan-p-toluidin und Derivate 696; Einwirkung von Cyangas auf die drei Toluidine: Cyan-p-, Cyan-o-, Cyan-m-toluidin und Derivate 696 f.
- 85**: Verhalten der o-Diamine gegen Cyan 585; Verbindungen aus Dicyanphenylhydrazin 1117 f.: Säure  $C_6H_5N_4CCO_2H$ , Aether und Salze derselben 1117, Amid  $C_6H_5N=[N=N-N=C(COONH_2)-]$ , Verbindung  $C_6H_5N=[N=N-N-N=CH-]$  1118.
- 86**: Einwirkung von Cyan auf Phenylhydrazin 1078; Derivate des Dicyanphenylhydrazins; neue Carbonsäure (Phenylmethyltriazolcarbonsäure) und Derivate 1087 ff.; Derivate des Triazols und Tetrazols 1089; siehe Widman (O.).
- Blaikie (J. A.) und Crum-Brown, **78**: Salze des Trimethylsulfins 518.
- 79**: Trimethylsulfid 485 f.
- Blair, **78**: Darstellung von Eisenschwamm 1099.
- Blair (A.), **79**: Silicium und Phosphor in Eisen und Stahl 1039.
- Blair (A. A.), **77**: Chrom- und Aluminiumbestimmung im Stahl 1061.
- 81**: kohlenstoffhaltiger Rückstand aus Stahl mittelst Kupferchlorid-Chlorammonium 198.
- 85**: Werthbestimmung des holzessigsauren Kalks 1928.
- Blake (F. H.), **84**: Vorkommen von Vanadinit 1941.
- Blake (J.), **81**: molekulare Eigenschaften und Wirkungen chemischer Verbindungen 1060.
- 82**: Werthigkeit des Berylliums 15; Zusammenhang zwischen Isomorphismus, Atomgewicht und giftiger Wirkung der Metallsalze 1222.
- 83**: giftige Wirkung der Metallsalze 1484.
- 86**: toxische Wirkung der Kalisalze 1863.
- Blake (L. J.), **82**: Verdampfen von elektrisirtem Wasser 137.
- 83**: Elektrizitätserregung durch Verdampfung 191.
- Blake (W. P.), **83**: Vorkommen von Blei im Bleiglanz der Grube Jay Pould, Idaho 1828; Vorkommen von Türkis in den Dragoonbergen, Arizona 1865.

- 84:** Krystallbildungen von Gold 1902; Vorkommen von Columbit 1994.
- 86:** Beschreibung und Analyse eines Meteoriteins von Green County, Tennessee 2329 f.
- Blakie (A.), siehe Brown (Crum).
- Blanc (F. le), **82:** Beziehungen zwischen thermischen Werthen 134.
- Blanchard, **77:** Zinnerze 1277.
- Blanchard (E.), **80:** Phylloxera 1067.
- Blanchard (V.), **80:** Chlorkalkgoldbad 1398.
- Blanchet (C.), **80:** Thapsia garganica 1079.
- Blanchier und Bochefontaine, **78:** Wirkung und Ausscheidung der Salicylsäure 1011.
- Blank (A.), siehe Knorr (L.).
- Blankenhorn (A.), **78:** Lüften des Mostes 1162 f.
- Blankenhorn (E.), **77:** Alkohole gegen Sulfocycansäure 516; siehe Gamgee (A.).
- Blarez, siehe Hanriot.
- Blarez (Ch.), **86:** Sättigungscapazität der Phosphorsäure 139 f.; Neutralisationswärme der Arsensäure beim Sättigen mit Kalk, Strontian-, Barytwasser und Magnesia 218 f.; Neutralisationswärme der Arsensäure durch Kalk- und Strontianwasser 366; Titration der schwefligen Säure 1914; Erkennung der Theerfarbstoffe im Wein 1986 f.
- Blarez (Ch.) und Deniges (G.), **86:** Nachweis von Theerfarbstoffen im Wein 2130 f.
- Blas (M.), **79:** Salicylsäure im Bier 1075, 1140 f.; Bierconservirung 1141.
- Blas und Miest, **82:** Gewinnung von Metallen mittelst Electricität 1352.
- Blaerna (P.) und Cannizzaro (S.), **82:** Molekularvolum bei kritischer Temperatur 27.
- Blasius (E.), **84:** Wärmeausdehnung der Krystalle 4.
- 85:** Zersetzungsfiguren (Aetzfiguren) an Krystallen 3; siehe Kundt (A.).
- Blattner, siehe Lunge (G.).
- Blattner (G.), **85:** Gewinnung von Ammoniak (Chlorgewinnung beim Ammoniaksoodaprocfs) 2057 f.; siehe Michler (W.).
- Blau (F.), **86:** Zersetzung der Brombenzole durch Natriummethylat in methylalkoholischer Lösung: Monobrombenzol, p-Dibrombenzol 631; symmetrisches Tribrombenzol (neues Dibromphenol) 631 f.; siehe Weidel (H.).
- Bleekrode, **83:** Analyse der Asche des Keloet, des Raee, des Ternate 1934 f.
- Bleekrode (L.), **78:** Elektricitätsleitung und Elektrolyse einfacher Verbindungen 148.
- 80:** Eiskrystalle 223 f.
- 84:** Brechungsindices von verflüssigten Gasen 284.
- Bleibtreu (K.), **83:** Analyse des Gesteines der Hohenburg bei Berkum, Siebengebirge 1930; Einschlüsse im Basalt 1933.
- Bleile, **80:** Zuckerbestimmung 1234.
- Blendermann (H.), **82:** Bildung und Zersetzung des Tyrosins im Organismus: Tyrosinhydantoin, Oxyhydroparacumarsäure im Harn 1213 f.
- Bleunard (A.), **78:** über eine Verbindung von Trimethylamin mit Schwefelkohlenstoff 437.
- 79:** Zerlegung von Hirschhorn 879.
- 80:** Hirschhorn 1037; Legumin 1042.
- 81:** Glucoprotein 994.
- 82:** Albuminoide, Glucoproteine und Leuceine gegen Brom; Oxy-leucein 1132.
- Bleunard (A.) und Vrau (G.), **82:** Einwirkung von Jod auf Naphtalin 428.
- Blitz (R.), **84:** Herstellung von Holzzellstoff 1832.
- Blochmann (R.), **81:** Nichtleuchten der Bunsen'schen Flamme 117.
- 84:** Bestimmung der Kohlensäure in Gasgemischen 1588.
- 86:** Kohlensäuregehalt der atmosphärischen Luft 1797 f.; Kohlensäurebestimmung 1798.
- Block (J.) und Tollens (B.), **86:** Untersuchung der Methylhydroxyglutarsäure und der entsprechenden Lactonsäure  $C_6H_8O_4$  1376 f.; Cyanvalerolacton 1377.
- Bloem (F.), siehe Baeyer (A.).
- Blomén (E.), **85:** amidartige Derivate der  $\alpha$ - und  $\beta$ -Naphtylsulfosäure,  $\alpha$ -Naphtylsulfosäureanilid,  $\beta$ -Naphtylsulfosäureanilid,  $\alpha$ - und  $\beta$ -Naphtylsulfosäure-Aethylamid,  $\alpha$ - und  $\beta$ -Naphtylsulfosäure-Naphtylamid 1605.
- Blomgrén (A.), **82:** Augitanalyse 1556.

Blomstrand (C. W.), **79**: Alshedit 1237.

**80**: Alshedit 1477; Polykras 1478. **81**: Arktolith 1406.

**83**: Sättigungscapazität der Grundstoffe (Schwefel),  $\alpha$ -Platosäthylsulfchlorid (Platosemidiäthylsulfchlorid) und Salze 31 f.;  $\beta$ -Platosäthylsulfchlorid, Platoschwefelamyl 32; Constitution der Chlorsäuren 280.

**84**: Untersuchung von Uranpecherz, Uranin, Thoruranin, Brögggenit, Cleveit 1938 f.

**86**: Sauerstoffsäuren des Jods 330; Zusammensetzung der Thone von Hainstadt 407.

Blondeau, **78**: Gährung 1014 f.

Blondeau (Ch.), **77**: septische Keime der Luft 1018.

Blondel, **83**: Verwendung von Schwefelwismuth zum Färben (Drucken) von Baumwollgeweben 1787 f.

Blondel (E.), **82**: Xylidinponceau aus Diazoxylol und  $\beta$ -Naphtoldisulfosäure 1485 f.

Blondlot (R.), **77**: Diamagnetismus des Wasserstoffs 174.

**79**: Elektrizitätsmenge und Polarisation 134.

**80**: elektrische Eigenschaft des Selens 175.

**86**: Verbindung des Kupfers mit Stickstoff 445; siehe Bichat (E.).

Blount (B.), **86**: Darstellung von borsaurem Calcium 387 f.; Untersuchung eines Kupferkieses 2232.

Bloxam (A. G.), **85**: angebliche Reduction von Blei- und Silberchlorid durch Kohlenoxyd 456.

**86**: Löslichkeit des Schwefels in Alkohol 331.

Bloxam (C. L.), **83**: Silbercyanitrat 472; Umwandlung von Nitroglycerin in Glycerin 858 f.; Quecksilberoxyd-Cyanquecksilber-Silber 1581; Cyankalium gegen Ferricyankalium, Reactionen von Cyansilber, Ferrocyan-silber und Ferricyansilber, Cyansilber-Ferricyansilber, Auffindung von Cyansilber neben Chlorsilber durch das Mikroskop 1596; Prüfung auf Silbercyanid 1597; Nachweis von Harnstoff durch Umwandlung in Cyanursäure 1598; Prüfung auf Alkaloide (Brucin, Striehnin, Narcotin, Chinin, Cinchonin, Morphin) 1611.

**84**: Verbindung von salpeters. Silber mit Cyansilber, krystallinisches

Cyansilber 475; Bestimmung von Mangan im Eisen 1599 f.; Vorkommen von Strontium- und Baryumsulfat im Kesselstein 1807.

**85**: normales Chromphosphat 522; Fällung von Eisen und Chrom als Phosphate 1877 f.

**86**: Darstellung von eisensaurem Kali 411; Nachweis von Calcium neben Strontium, quantitative Bestimmung des Calciums 1929; Wasseranalyse 1929 f.

Bloxam (W. Popplewell), siehe Popplewell Bloxam (W.).

Blügel (A.), **79**: Potaschefabrikation 1107.

Blümcke (A.), **84**: Apparat zur Bestimmung des specifischen Gewichtes concentrirter Gaalösungen 73 f.; specifische Wärme des Urans 169; specifische Wärme verschiedener Glas-sorten 171; specifische Wärme des Wassers 174, wässeriger und alkoholischer Lösungen von Metallchloriden 174 ff.

Blümcke (Ad.), **85**: Verbesserung der Flüssigkeits-Thermostaten 119; Eis-calorimeter 120; spec. Wärme stark concentrirter Natronlaugen 131 f.; Abhängigkeit der spec. Wärme einiger Wasser-Aethylalkohol-Gemische von der Temperatur 132 f.; Frostbeständigkeit von Ziegelsteinen 2112.

Blümlein (F.), siehe Plöchl (J.).

Blümlein (F. O.), **84**: Einwirkung von Bromacetophenon auf Acet-Form-, Benzamid 1050; Darstellung von Bromderivaten in der Reihe des Naphtalins, von Tetrabromphtalsäure aus o-Xylol 1233 ff.; Pentabrom- $\alpha$ -naphtol 1233; Tetrabrom- $\alpha$ -naphtochinon, Dibromphtalsäure 1234; Tetrabrom-o-xylol, Tetrabromphtalsäure, Tetrabromfluorescein 1235.

Blum (L.), **85**: Bestimmung des Siliciums im Eisen 1923; Gewinnung der Phosphorsäure beim Thomas-Stahlproceß 2063.

**86**: Trennung des Mangans von Eisen 1934; Aufschliessung von Thomasschlacken (Phosphatgewinnung) 2104.

Blum (L.) und Schliwa (R.), **86**: Aufschliessung von Thomasschlacken: Phosphatgewinnung 2105 f.

Blum (R.), **79**: Pseudomorphosen 1243.

Blumberg (T.), **78**: Ecbolin, Ergotin und Pikrosclerotin 915.



- Blumenbach (E.), siehe Dragendorff (G.).
- Blumenthal, siehe Ramdohr.
- Blumenthal (M.), **86**: Darstellung reiner, nicht organisirter Fermente (Pepsin, Chymosin, Pankreatin, Diastase) 1879.
- Blumenthal (Th.), **81**: Apparat zur Darstellung von Dextrin 1235.
- Blunt (T. P.), **80**: Licht gegen chemische Reagentien 1138 f.
- 85**: Nachweis der Salpetersäure im Wasser 1909; siehe Downes (A.).
- Blunt (Th.), **86**: Condensation von Gasen an Oberflächen (Contactwirkung) 233.
- Blyth (B. Wynter), **77**: Theeblätter 1089.
- 78**: Schmelz- und Verflüchtigungspunkt von Körpern 871; Umwandlung der Albuminkörper der Milch und des Käses in Fette 1145.
- 79**: Milchuntersuchung, Alkaloide in der Milch 1129 f.
- Blyth (H. G.), **85**: Gewinnung von Bleiweiß 2079 f.
- Blyth (W.), **80**: Apparat zum Ausziehen von Substanzen mit flüchtigen Lösungsmitteln in offenen Schalen 1243.
- Boas (F.), **81**: blaugrüne Farbe des Wassers 125.
- Boasson, siehe Nölting.
- Boasson (J.), **85**: violette und blaue schwefelhaltige Farbstoffe aus Amidazoverbindungen 2216.
- Boasson (J. B.), siehe Nölting (E.); siehe Vignan (L.).
- Bobbs (C. E.), **82**: volumetrische Bestimmung des Wismuths 1296 f.; siehe Pattison Muir (M. M.).
- Bobliqua, siehe Box.
- Bochefontaine, **80**: Conium maculatum, Wirkung 1125.
- 81**: Wirkung von Methylcodein und Codäthylin 931.
- 82**: physiologische Wirkungen des Oxyäthylchinolinammoniums 1227.
- 83**: giftige Wirkungen des Chinins und Cinchonins 1497; siehe Sée (G.).
- Bochefontaine und Coninck, (Oechaner de), **85**: Wirkung des Collidinhexahydrats 1851.
- Bochefontaine und Doassans, **80**: Thalictrum macrocarpum, Wirkung 1124.
- Bochefontaine, Férís (B.), und Marcus, **83**: Doundakin aus der Doundakérinde, physiologische Wirkungen der Doundakérinde und des Doundakins 1489.
- Bochefontaine und Rey (Ph.), **81**: Wirkung von Erythrina corallodendron 1068.
- Bochefontaine und Tiryakian, **78**: physiologische Wirkungen des Coniins 897 f.
- Bock (J.), siehe Engler (C.).
- Bock (M.), siehe Epstein.
- Bock (R.), siehe Claus (A.).
- Bockhart, **85**: Darstellung von Blutserumquecksilber 1781.
- Bocklisch (O.), **85**: Ptomaine aus Flusbarschen: Darstellung einer giftigen Base, des Neuridins, Dimethyl- und Trimethylamins 1731; Untersuchung der Ptomaine aus Häringen 1731 f.; Isolirung von Cadaverin, Putrescin (Dimethyläthylendiamin?), Gadinin, Trimethylamin und Methylamin; Vorkommen von Dimethylamin und Cholin in der Häringlake 1732.
- Bockorny (Th.), siehe Löw (O.).
- Bode (F.), **77**: Varec, Schwefelsäurefabrikation 1137; Verwendung von Schwefelsäurerückständen 1140; Platinapparate 1141; Hargreaves' Procefs 1151.
- 79**: Schmelzprocefs für Schwefelkiese 1105 f.
- Bode (F. R.), **78**: Verschmelzen nickelhaltigen Magnetkieses zu Kragerö 1106.
- Bodenbender, **85**: Bildung und Bestimmung des Invertzuckers 2142.
- 86**: Saccharin 2075.
- Bodenbender (H.), **85**: Prüfung von Zucker, Melassen u. a. m. auf Invertzucker 1798 f.
- Bodewig (C.), **77**: Hydrocyanarbo-diphenylimid 346; Nitrochlor- und Nitrobrombenzole 423; phenolschwefelsaures und paraphenolsulfosaures Kalium, Krystallform 558; resorcinmonoschwefelsaures und hydrochinonmonoschwefels. Kalium 565; Chloralid 700; Dichloracrylsäure 704.
- 78**: Krystallform von Bromaliden 690 f.; Krystallform des Benzenylisodiphenylamidins 744, des Benzodiphenylamids 745, einer Base  $C_{15}N_{13}$  746, des Aethenylisodiphenylamidins, des Benzodiphenylthioamids 747 f., des Acetothioamids 748.

**79:** jodwasserstoffsaurer Benzimidothioäthyläther 317; Krystallform von Benzoylcyanid 331; Cyanakrylnil 331 f.; Krystalle der Naphtalinpikrinsäure, Krystallform des Diphenyls 376; Krystallform von Tetrachlorbenzol 386; Benzolhexachlorid 387; Tribrommononitrobenzol, Chlordinitrobenzole 393; p-Dichlordinitrobenzole, Tetrabromdinitrobenzol 394; Monochlortrinitrobenzol 394 f.; p-Mononitrotoluol, o-Dinitrotoluol 395;  $\beta$ -Dinitronaphtalin 397; p-Nitroanilin 416 f.; Benzolsulfomonochloranilid 417; Triäthylbenzylammoniumperjodid 435; o-Tolubenzaldehydin 437; Benzenyltolylsulfophenylamidin, Benzoylsulfophenylimidchlorid, jodwasserstoffsaurer Benzimidothioäthyläther 438; Diphenylamin 442; Azobenzol 465; Isatin 477 f.; Hydro- und Isohydrobenzönanhydride 507; Nitrochlorphenol, Dinitrochlorphenol 512; Dibrompyrotraubensäure 609; Dibrombernsteinsäurediäthyl- und -methyläther 628 f.; Benzoësäure, Benzoësäurephenyläther 675; Benzoësäureanhydrid, Hippursäure, Benzoësäureglycoläther 676; Nitrobenzoësäuren und Aethyläther derselben 677; Phenylmonobrompropionsäure 709 f.; Phenyldibrompropionsäure, Phenyldibrompropionsäuremethyl- und -äthyläther 710; Dibenzoylphenylglycerinsäureäther 722; Benzoylbenzoësäuren 726 f.; Diphensäure 727; Krystallform aromatischer Sulfosäuren 737.

**81:** Chloroxaläthylintribromid, Chloroxaläthylinplatinchlorid 416; Krystallform von Monobromcampher und Borneol 626; Krystallform von Acetamidderivaten 669; Krystallform von Bernsteinsäureanhydrid 709; Krystallform von Traubensäure-Dimethyläther 715; Krystallform von Maleinsäureanhydrid, Maleinsäure und saurem maleins. Natrium 716, von Fumarsäure-Dimethyläther 717; Krystallform von saurem citracons. Calcium 731, von Itaconsäureanhydrid 732; Krystallform von o-Nitrochlorbenzoësäure 770; Krystallform von m-Nitrophenylglyoxylamid 796, von Phthalsäureanhydrid 798; Krystallform von Cinchoninchlorid 937; Krystallmessungen von Tropidin- und Tropinchloroplatinat 956.

**83:** Krystallform des Acetfurfural-essigäthers 963 f., des Acetbenzal-essigäthers 964; Bestimmung des Schwefels in Magnetkiesen 1521 f.; Bestimmung der Borsäure in Borsilicaten, Trennung der Kieselsäure von Borsäure 1551 f., Ueberführung von Eisenoxydhydrat in Eisenoxyd 1564; Analysen von Magnetkiesen 1833; Analyse des Danburits von Scopi, Graubündten 1881 f.

**84:** Krystallform von  $\alpha$ -Phenylmethylglycol 952; Analyse von Datolith 1951; Analyse von Danburit 1957 f.; Untersuchung von Heulandit und Epistilbit 1977.

**85:** Untersuchung des Colemanits 2276 f.; Analyse von Nephrit 2294; Formelberechnung für Heulandit und Epistilbit; Wasserverlust der Zeolith 2295.

Bodewig (J.), siehe Coste (W. la).

Bodländer (G.), **83:** Krystallform des hydrochinonmonosulfosauren Kaliums 1249; Ausscheidung von aufgenommene Weingeist aus dem menschlichen Körper 1442; siehe Ungar (E.).

**84:** optisches Drehungsvermögen isomorpher Mischungen aus den Dithionaten des Bleies und Strontiums 300 f.

**86:** Analyse der Handelspeptone 2002.

Bodländer (G.) und Traube (J.), **86:** Unterscheidung von Eiweißkörpern, Leim und Peptonen 1789.

Bodmer (R.), siehe Stokes (A. W.).  
Body (M.), **84:** Scheidung der Metalle 1697.

Bodýnski (J.), **84:** Abänderung des Wheatstone'schen Rheostaten 233.

Böck (K.), siehe Liebermann (C.).

Böckel (H.), siehe Müller (R.).

Böcker, **83:** Salze der m-Nitroamidobenzoësäure und der Monochlornitrobenzoësäure 1124; Salze der Monochloramidobenzoësäure 1124 f.

Böcker und Fröchtling (L.), **83:** di-m-nitrobenzoës. Baryum 1123.

Böcker (A.), siehe Hübner (H.).

Böcker (F.), siehe Kalmann (W.); siehe Meißel (E.); siehe Oser (J.).

Böcking (E.), **80:** Aethylmethyloxyessigsäure 812.

Böckmann (F.), **82:** Bestimmung des Schwefels in Pyriten 1266; Zuckerbestimmung in Fabriken 1323.

**81:** Celluloid 1322.

- Bödeker (K.), **81**: Lycopodin 976.
- Bögel (O.), **79**: Reinigung von Zuckerkalk und Rohrzucker 1135.
- 81**: Apparat zur Bestimmung des Zuckers im Rohrzucker 1235.
- Böhm, **84**: Abscheidung von Cholin und Gossypose aus Baumwollsamenspreiskuchen 1795.
- Böhm (A.), **80**: Pseudomorphose 1486.
- 83**: Beschreibung der Gesteine vom Wechsel, Centralalpen 1924.
- Böhm (J.), **77**: Stärkebildung 924; Wasserbewegung in transpirierenden Pflanzen, Verfärbung grüner Blätter im Sonnenlicht 925.
- 78**: im Holze enthaltene Gase 941 f.; Stärkebildung 945.
- 79**: Function vegetabilischer Gelfäse 881.
- 80**: Druckkräfte in Stammorganen 1047.
- 81**: Ursache der Wasserbewegung und der geringen Lufttension in transpirierenden Pflanzen 1003.
- 82**: Schwefelwasserstoffbildung aus Schwefel und Wasser 225 f.
- 83**: Verhalten von vegetabilischen Geweben, von Stärke und Kohle gegen Gase 1388 f.; Stärkebildung aus Zucker in Chlorophyll- und Etiolinkörnern 1390 f.; Aufnahme von Zuckerlösung durch die Wurzeln 1391.
- Böhm (M.), siehe Engler (C.).
- Boehm (R.), **80**: Glycogen und Milchsäure im Muskel 1089.
- 85**: Nachweis von Cholin in *Boletus luridus*, *Amanita pantherina*, Speisemorchel (*Helvella esculenta*), Baumwollsamens, Bucheckern in der menschlichen Placenta; Wirkung des Cholins und Muscarins 1850; Untersuchung der Hutzpilze: *Boletus luridus*, *Amanita pantherina* 1851 f.; Muscarin und Cholin in diesen Pilzen 1852.
- Boehm (R.) und Hoffmann (F. A.), **79**: Einwirkung von deßbrinirtem Blute auf Glycogenlösungen 959 f.
- 80**: Zuckerbildung in der Leber 1091 f.
- Boehm (R.) und Külz (E.), **85**: Untersuchung des giftigen Bestandtheils der essbaren Morchel (*Helvella esculenta*): Helvellasäure 1851.
- Böhme (E.), **85**: Prüfung der Ziegelsteine auf ihre Wetterbeständigkeit 2111 f.
- 86**: Festigkeit verschiedener Thonrohre 2087.
- Böhme (E. P.), **84**: Schweißbarkeit verschiedener Eisensorten 1709.
- Böhmer (C.), **81**: Diazophenolverbindungen 480 bis 483.
- 82**: Untersuchung von Gemüsearten auf ihren Gehalt an Eiweißstoffen und nicht eiweißartigen Stickstoffverbindungen 1157 f.; Absorption von Stickoxyd 1270 f.
- 83**: Bestimmung der Salpetersäure als Stickoxyd 1539.
- Böhnke-Reich (H.), **85**: Ozokerit (Mineralwachs) 2188.
- Böhringer (Ch.), siehe Forst (C.); siehe Körner.
- Böhringer (C. T.), **86**: Darstellung von o-Mononitroamido-p-methoxybenzol und Derivaten, von „technischen“ Alkaloiden 2067.
- Boeke (T. D.), **80**: Arsen in organischen Substanzen 1167 f.
- Böklen (H.), **83**: Optische Detailstudien am Amethyst 1839.
- Boekmann (O.), **84**: elektrischer Widerstand des Mikrophonkohlencontactes 251.
- Börnstein (E.), **82**: Methylantrachinon, Methylantracen 793.
- 83**: Anthracencarbonsäure aus Methylantrachinon 1225; Chlorid und Amid der Anthracencarbonsäure Di-, Tetra- und Hexahydroanthracencarbonsäure 1226.
- 85**: Darstellung von Glycerinsäure 1343.
- 86**: Darstellung von Glycerinsäure aus Glycerin und Quecksilberoxyd 1170; siehe Herzfeld (A.).
- Börnstein (E.) und Herzfeld (A.), **85**: Oxydation der Lävulose: Glycolsäure, Trioxybuttersäure; Structur der Lävulose 1740.
- Börnstein (R.), **77**: photoelektrische Ströme 155; Einfluß des Lichtes auf den Widerstand der Metalle 160.
- Bösler (M.), **81**: Cuminoïn und Derivate 605; Anisoïn, Anisil, Anisilsäure 606; Dimethyldioxybenzophenon 607.
- Bösler (Magnus), **82**: o-Tolylydrazin 608 f.
- Boessneck (E.), **82**:  $\alpha$ -Naphtoylcyamid aus  $\alpha$ -Naphtoylchlorid und Quecksilbercyanid,  $\alpha$ -Naphtoylformamid,  $\alpha$ -Naphtoylameisensäure 988.
- Boessneck (P.), **83**:  $\alpha$ - und  $\beta$ -Methylnaphtalin 574: Derivate der  $\alpha$ -Naphtoesäure:  $\alpha$ -Naphtoylcyamid,  $\alpha$ -Naphtoylameisensäure,  $\alpha$ -Naphtylglycol

- säure, Naphtylessigsäure 1217;  $\alpha$ -Naphtylacetamid,  $\alpha$ -Naphtyläthendiphenyldiamin,  $\alpha$ -Naphtylmethendiphenyldiamin 1218.
- 85:** Condensation von Chloralhydrat mit Dimethylanilin 1295 f.; Dimethylamidophenyl-oxytrichloräthan, Methylderivat des Pentaphenyläthans 1295.
- 86:** Condensation tertiärer aromatischer Amine mit Chloralhydrat: p-Dimethylamidobenzaldehyd aus Dimethylanilin 818; p-Diäthylamidobenzaldehyd aus Diäthylanilin 819; Acetyl-o-tuluylendiamin 845; Acetylazimidotoluol und Azimidotoluol 846.
- Böttcher (E.), **83:** elektromotorische Wirksamkeit von Quecksilberchloridlösung in Zink-Kohle-Elementen 207.
- 85:** elektromotorische Kraft der Leclanché-Elemente 245.
- Böttcher (W.), **83:** o-Mononitrophenol-Acetyläther, Darstellung und Reduction 904; Darstellung des  $\alpha$ -Mononitro- $\beta$ -naphtol-Benzoyläthers 904 f.; Reduction desselben: Benzoyl- $\alpha$ -amido- $\beta$ -naphtol und Benzenyl- $\alpha$ -amido- $\beta$ -naphtol 905; Darstellung des  $\alpha$ -Mononitro- $\beta$ -naphtol-Acetyläthers 905; Reduction desselben: Acetyl- $\alpha$ -amido- $\beta$ -naphtol und Aethenyl- $\alpha$ -amido- $\beta$ -naphtol 906; Anhydrobenzamidophenol aus o-Benzoylamidophenol, Darstellung des o-Benzoylamidophenols 911 f.;  $\alpha$ -Nitroso- $\beta$ -naphtol-Benzyläther 912.
- 84:** Untersuchung der Anhydroderivate von Amidophenoläthern: Anhydrobenzamidophenol, o-Benzoylamidophenol, o-Mononitrophenolacetat,  $\alpha$ -Nitro- $\beta$ -naphtolbenzoat, Benzoyl- $\alpha$ -amido- $\beta$ -naphtol, Benzenyl- $\alpha$ -amido- $\beta$ -naphtol 979;  $\alpha$ -Nitro- $\beta$ -naphtolacetat, Acetyl- $\alpha$ -amido- $\beta$ -naphtol, Aethenylamidonaphtol,  $\alpha$ -Nitroso- $\beta$ -naphtolbenzyläther 980.
- Boetsch, **86:** Oxalsäures Antimonalkali als Beizmittel 2184.
- Bötsch (K.), **80:** Aethylsalicylalkohol 613; Harze gegen Zinkstaub 1082.
- 81:** unvollständige Verbrennung von Kohlenoxyd-Sauerstoff- und Chlor-Sauerstoff-Wasserstoff-Gemischen 1110 ff.
- Böttger, **83:** Spiegelversilberung 1682.
- 85:** Versilberung von Hohlglas 2110; siehe Gibbs.
- Böttger (H.), **84:** Natriumsulfuret (Natriummono-, di-, tri-, tetra- und -pentasulfid) 376 f.; Constitution der Alkalipolysulfide 377 f.; Einwirkung von Bleihydroxyd auf Natriumtetra- und -pentasulfid 378; Einwirkung von Schwefel auf Natriummerkaptid 925, auf Schwefeläthyl 926.
- Böttger (R.), **77:** Zucker im Glycerin 1079; Buchenholztheer- und Steinkohlentheerkreosot 1082; salicylsäures Kalium gegen Eisenoxydsalze 1083.
- 78:** Nachweis der Blausäure mit Guajak und Kupfer 1071; Ueberziehung von Kupferplatten mit Eisen 1110.
- 79:** galvanisches Platiniren von Metallen 1100.
- 80:** Entzündungstemperatur von Sauerstoff und Schwefelkohlenstoff 138; Einwirkung von Jod auf Phosphor und Acetylen Silber 266; Kupferoxyferrocyanür 394 f.; Dextrin, Reduction 1007; Goldchlorid als Reagens gegen Ozon 1150 f.; Manganreaction 1181; Nachweis des Cyankaliums 1202; Gewinnung des Goldes aus cyanhaltigen Rückständen 1270; Antimon, Darstellung 1279; Braustein als Ozonüberträger 1282; Leuchtgas, Entzündung 1360.
- 81:** Ueberziehung mit Messing, mit Tombak 1255.
- Böttger (R.) und Battandier, **80:** Glaswolle 1244.
- Böttiger (P.), **84:** Azofarbstoffe aus Tetraazodiphenylsalzen und  $\alpha$ - oder  $\beta$ -Naphtylamin 1879 f.
- Boettinger (C.), **77:** Absorption von Kohlenoxyd 238; Harnstoff gegen Glyoxal (Acetylenharnstoff) 349; Glyoxylsäure 696; Glycerinsäure 701; Brenztraubensäure, Uvitoninsäure, Anilbrenztraubensäure 702; Uvitinsäurederivate 787.
- 78:** Dissociation des Salmiaks 191; Verhalten von Harnstoff gegen Blausäure und Salzsäure 352; Untersuchung des gelben Acetylenharnstoffs 353 f.; Bildung von Glyoxylsäure 354; Einwirkung von Thionylchlorid auf Anilin 462; neue Base aus Benzalchlorid und Anilin 482; Einwirkung von Jodwasserstoff auf Acetthioaldehyd 612; Einwirkung von Fünffach-Schwefelphosphor auf organische Säuren 672; Einwirkung von Schwefelwasserstoff auf Glyoxylsäure 687 f.;

Anilin gegen Glyoxylsäure 691; Identität der Thiomilchsäure aus  $\alpha$ -Chlorpropionsäure und aus Brenztraubensäure 697; Anilbrenztraubensäure 832 f.; Sulfo-p-brombenzoesäure 848.

**79:** Anilin gegen Benzalchlorid 414; Thiobenzaldehyde 556; glycolsaures Calcium 602; Amidoglyoxylsäure 602 f.; Glyoxylsäure 603; Destillation der Glycerinsäure 610 f.; Mesoxalsäure gegen Silberoxyd und Schwefelsäure 613.

**80:** Glyoxylsäure 770; Mesoxalsäure 787; Uvitoninsäure 820 f.; Uvinsäure 822; Oxyuvitonsäure 876 f.; Chinolin 947; Phlobaphen, Eichenroth, Lohgerberei 1060 f.

**81:** Pyrrol aus amidoglyoxyls. Calcium 419; Brenztraubensäure gegen Benzonitril 695; Brenztraubensäure-äthyläther 696; Condensationen der Brenztraubensäure 696 f.; Hydruvinsäure 697; Uvitonsäure, imidobrenztraubens. Salze 698; Uvitaminsäure 699; Oxyäthylidensuccinaminsäure und Oxyäthylidenbernsteinsäure (Methyltartronsäure) aus Brenztraubensäure 711 f.; Tartronsäure aus Glyoxylsäure 712; Picolin- und Pyridin-carbonsäure 752 f.; Synthesen aromatischer Säuren mittelst Brenztraubensäure:  $\alpha$ -Diphenyl-,  $\alpha$ -Ditolyl-,  $\alpha$ -Diäthylphenylpropionsäure 768 f.; Dibromatrolactinsäure 816 f.; Methyl-dibromatrolactinsäure 817; Aniluvitoninsäure 833 f.; Zucker der Eichenrindengerbsäure, Lävulin 992.

**82:** Thioschwefelsaures Natrium gegen Brenztraubensäure 993 f.

**83:** Schwefelmilchsäure (Dithiodilactylsäure) 1049 f.; Brenztraubensäure gegen Phenole: Diphenopropionsäure und Derivate 1050 f.; Dipyrrogallopropionsäure und Derivate 1051 f.; Anhydridipyrrogallopropionsäure 1052; Anilbrenztraubensäure und brenztraubensäures Anilin 1052 f.; gebromte Anilbrenztraubensäure 1053 f.; Aniluvitoninsäure gegen Brom, Methylchinolin aus Bromwasserstoffsäure-Aniluvitoninsäure 1219; Dibrom- und Dehydrotetrabromeichenrindengerbsäure 1230; Verhalten von Phlobaphen, Tribromphlobaphen, Eichenrindengerbsäure 1231.

**84:** Beziehungen zwischen Benzol und Pyridin, Spaltungsproducte der Uvitamin- und Uvitonsäure 529 f.;

Condensation zu Pyridinderivaten, Einwirkung von Brom auf imidobrenztraubensäures Ammonium 638 f.; Bildung von Uvitoninsäure, Eigenschaften, Salze der Picolinmonocarbonsäure 639, der Pyridindicarbonsäure und Pyridintricarbonsäure (Trimesinsäure) 640; Verhalten der Brenztraubensäure gegen Anilin 1108 f.; Reaction der Pyrotritisäure gegen Brom 1171 f.; Acetylierung der Gallussäure und des Tannins und ihre Anwendung auf Gerbmaterien 1294; Darstellung von Digallussäure 1294 f.; Untersuchung von Rindengerbsäuren 1296 f.; Tetrabromhemlockgerbsäure, Hemlockroth 1296; Bromfichtengerbsäure, Bromfichtenroth, Terrajaponica-Gerbsäure, Eichenrindengerbsäure 1297.

**85:** Darstellung von Thiomilchsäure 1339; Bildung einer Säure als Nebenproduct bei der Darstellung von Brenzweinsäure 1386; analytische Befunde über Pyridintricarbonsäure 1443; Reaction der  $\alpha$ - $\gamma$ -Pyridindicarbonsäure 1420; siehe Otto (R.).

Bogdanow (S.), **83:** Analyse tertiärer Thone und von Löss von Zwenigrodsch, Perm 1900 f.

Bogomeletz (J.), **84:** Untersuchung des Verhaltens von Strontium- und Calciumsalzen zu Ammoniumsulfat und -oxalat 1391 f.

Bogomolez, **78:** Darstellung von Trimethylenbromür aus Allylbromid 415.

Bogomolez (J.), **80:** Chloracetylchloride gegen Zinkmethyl 475; Zinkmethyl gegen gechlortes Acetylchlorid 768.

**81:** Chloracetylchloride gegen Zinkmethyl 889.

Boguski (J.), **85:** Herstellung von Aluminiumbronze 2050.

Boguslawski (G. v.), **81:** Meteoriten von Stållalen 1457.

Bohland (K.), **85:** Bestimmung des Stickstoffs im Harn 1992 f.

**86:** Stickstoffbestimmung im Hundeharn 2004; siehe Pflüger (E.). Bohland (K.) und Pflüger (E.), **85:** Bestimmung des Stickstoffs im Harn 1993.

Bohlig (C.), **77:** Reinigung von Kesselwasser 1134; Sodafabrikation 1147.

**79:** Reinigung von Kesselspeisewasser 1102 f.

Bohlig (E.), **78**: Mineralwasseranalysen 1043 f.

**79**: Wasseranalysen 1026.

**84**: über die Löslichkeit des Glases in kochendem Wasser 1554.

**85**: Verhalten des Kaliumcarbonats zu Silbernitrat 565 f.; mafsanalytische Bestimmung des Chlors 1900.

**86**: Abdampfen von Flüssigkeiten in glühenden Metallschalen 1890; Bieranalyse: Bestimmung des Alkohols 1983 f.

Bohlig (E.) und Dittenberger, **85**: Reinigung von saturirtem Dünnsaft 2145.

Bohlig (E.) und Heyne (G. O.), **83**: Reinigung des Kesselspeisewassers 1750.

Bohlig (R.), **79**: Bindung der Magnesia in Salzgemischen 239 f.

Bohu (C.), **77**: Barometer 1101.

Bohn (René), siehe René Bohn.

Bohn (René) und Heumann (K.), **84**: Verhalten von Azophenolen: o-Azophenol, p-Azophenol 856; Trichlor-o-azophenol 857.

Bohr (C.), **86**: Abweichungen des Sauerstoffs vom Boyle-Mariotteschen Gesetz 84 f.

Bohr (Chr.), **86**: Sauerstoffaufnahme des Blutfarbstoffes 1843.

Boie (H.), siehe Frerichs (F.).

Boileau (P.), **77**: intermolekulare Arbeit 87.

Boillat (Fr.), **82**: Untersuchung von antiseptischen Mitteln: Eiweißmetallverbindungen, Eiweißphenol, p-Kresol, Chlorkohlenstoffe, Bromtoluole, Pyrogallol-Dimethyläther, Jodoform 1240.

Boillot (A.), **83**: Verbindungswärme des Sauerstoffs mit dem Kohlenstoff 155.

**84**: Verbindungswärme von Wasserstoff und Sauerstoff 206.

Boisbaudran (Lecoq de), **77**: Gallium 251, 1064.

**78**: Atomgewicht des Galliums, Legirung desselben mit Aluminium 251; Legirung von Gallium mit Aluminium 1107; Rhabdophan 1228.

**79**: eigenthümliches Alaunoktaëder, Gleichgewicht zwischen der Krystallfläche und der Mutterlauge, Löslichkeit, Definition 3; Lösungstreifen des Alauns 4; Absorptionsspectra der Erbiumsalze, Spectra der Didympräparate 165; Spectrum des

Ytterbiums 242; Spectra der Erden aus Samarskit, Samarium 244; Untersuchung der Erbinerde 246.

**81**: Reactionen und Verhalten von Galliumsalzen 221 f.; Galliumchloride 223 f.

**82**: Zersetzung des wasserhaltigen Galliumchlorids 287 f.; Zersetzung des Galliumchlorürs durch Wasser 288.

**83**: Doppelsulfat des Iridiums mit Kalium 437 bis 439; Verfahren zur Filtration sehr feiner Niederschläge 1524; Trennung des Galliums von Rhodium 1571 f.; Verhalten des Rhodiums gegen Ammoniumsulfid und gegen Schwefelwasserstoff, Trennung des Galliums von Iridium 1572, von Ruthenium, Osmium, Arsen und Selen 1572 f.; von Tellur, Kieselsäure, Molybdän, Vanadin 1573; von Wolfram 1573 f.; von Phosphorsäure Titan, Tantal, Niob, Terbium, Ytterbium, Scandium, der Erde Y<sub>a</sub>, Fluor 1574; empfindliche Reactionen der Iridiumsalze 1583; schwefelsaures Iridium-Kalium 1583 f.

**84**: Trennung von Cer und Thorium 1594; Trennung des Galliums von der Borsäure 1600 f.; Trennung des Galliums von der Weinsäure, Untersuchung über das Gallium 1601; Löslichkeit von Ferrocyanallium 1602.

**85**: Spectrum des Samariums 318; Spectrum des Ammoniaks 321 f.; neue Art von Metallspectren 382 f.; Einwirkung des Wasserstoffhyperoxyds auf die Oxyde des Cers und Thoriums 493 f.; Legirungen des Galliums und Indiums 496 f.

**86**: Aequivalente des Terbiums 47; Atomgewicht des Germaniums 47 f.; Spectra der seltenen Erden 307 bis 310; Fluorescenz von Wismuth- und Manganverbindungen 311; Fluorescenz von Thonerde und Magnesia 397; Fällung der seltenen Erden mit Kaliumsulfat 402; Reinigung der Yttererde 404; Zusammensetzung der Erde des Holmiums: neues Element Dysprosium 404 ff.; Untersuchung der Mosandrinerde 408; Identität des Austriums und Galliums 407; siehe Smith (Lawrence); siehe auch Lecoq de Boisbaudran.

Boisbaudran (Lecoq de) und Jungfleisch (E.), **78**: Ausziehung des

- Galliums aus Erzen 252 f.; Eigenschaften des reinen Metalles und seiner Verbindungen 253 f.
- Boiteau, **79**: Einfluss des Schwefelkohlenstoffs auf die Wurzeln des Weinstockes 916.
- 80**: Phylloxera 1067.
- Boiteau (O.), **80**: Phylloxera 1068.
- Boivin (J. E.) und Loiseau (M. M. D.), **84**: Gewinnung des Zuckers aus Melasse 1791.
- Bókay (A.), **77**: Verdaulichkeit von Nuclein und Lecithin 981.
- 80**: Sputa 1118.
- Bokelberg, **86**: Rostschutzverfahren 2021.
- Bokorny (Th.), siehe Loew (O.).
- Bolas (Th.), **82**: technische Verwendung von Calciumverbindungen 1403.
- Bollert (A.), **83**: Derivate des Anthraamins 749 bis 751; siehe Liebermann (C.).
- Bolton (F. J.), **83**: Gewinnung von kohlen-saurem Strontium 1696.
- Bolton (F. J.) und Wanklyn (J. A.), **82**: Reinigung von Leuchtgas durch Superphosphat 1392.
- Bolton (H. C.), **77**: Aufschliessung von Mineralien 1035; Bestimmung von Mineralspecies 1249.
- 78**: Wirkung organischer Säuren auf Mineralien 1197 f.
- 80**: Filtrirmethoden 1141; Bestimmungsmethode von Mineralien 1396 f.
- 82**: chemische Literatur 3.
- 83**: Prüfung von Mineralien durch organische Säuren, Gesteine und Mineralien gegen Citronensäure 1522; Zersetzlichkeit der Mineralien durch Citronensäure 1825.
- 85**: Katalog chemischer Zeitschriften 3; Uran und seine Verbindungen 536.
- 86**: Abkürzungen der Journale, Fortschritte in der Chemie 12; Darstellung der Hyperoxyde des Kaliums und Natriums 388 f.
- Bolton (H. C.) und Grosjean (B. J.), **77**: Mineralien gegen Säuren 1249.
- Bolton (S. F.), **86**: Gewinnung von Aetznatron und Salzsäure 2052.
- Boltzmann (L.), **77**: Wirkungssphäre der Molekularkräfte 30; Gasmoleküle 62; mechanische Wärmetheorie 87.
- 78**: Beziehung zwischen dem zweiten Hauptsatz der mechanischen Wärmetheorie und der Wahrscheinlichkeitsrechnung 64; Ausdehnungsgesetz von Gasen 69.
- 79**: Gleichgewicht von Gasmolekülen, Diffusionsphänomene 90.
- 80**: Energievertheilung 82 f.; Wirkung des Magneten auf den Strom 173.
- 81**: Eigenschaften der Atome 1098.
- 82**: Gasdiffusion 87.
- 83**: spezifische Wärme gasförmiger zweiatomiger Verbindungen 137.
- 84**: das bei chemischen Verbindungen zu gewinnende Arbeitsquantum 151 f.; kinetische Gastheorie 153; Wärmestrahlung, Beziehung zur mechanischen Wärmetheorie, zur elektromagnetischen Lichttheorie 166.
- 85**: Versuch der Begründung einer kinetischen Gastheorie auf anziehende Kräfte 116.
- 86**: Beobachtungen am Bunsen'schen Eis-calorimeter 184; Untersuchung des Euchlorins 329.
- Bombicci (L.), **78**: Datolith 1237; Hatchettin 1277.
- Bon (G. le), **82**: Wirkung verschiedener Antiseptica 1241; glycerinborsaures Calcium und Natrium als Antiseptica 1241 f.; Wirkung von Antiseptics 1433 f.
- Bondi (S.), siehe Weinreb (C.).
- Bondonneau, **77**: Jodstärke 899.
- 84**: Bestimmung des Wassers in stärkeartigen Substanzen 1408.
- Bondonneau (L.), **84**: Stärkeprüfung 1803 f.
- Bondzynski (S.), siehe Ginsberg (J.).
- Boner (H.), siehe Meyer (R.).
- Bong (E. G.), **80**: Sulfide aus Sulfaten 1300; bituminöse Schiefer 1368.
- Bong (G.), **77**: Ferrocyanverbindungen 330.
- 78**: Ausschlussung von Silicaten 1054; blaue Färbung von Hochofenschlacken und der Rohsoda 1128 f.; Nachweis von Mangan 1129; Bläuen gelb brennender Porcellanerde 1139; Cyanpurpur 1179.
- Bongartz (J.), **83**: Atomgewicht des Antimons 34.
- 84**: Titrirung von Phosphorsäure 1575.
- 86**: Aethenyltrisulfid 1178; Verbindungen der Aldehyde, Ketone und Ketonensäuren mit Thioglycol-

- säure und Thiocetäure: Dithiobenzaldehydessigsäure, Dithiozimmtaldehydessigsäure und Derivate 1307; Dithioketonessigsäuren 1307 f.; Thio- und Dithiobrenztraubensäureessigsäure, Dithioacetaldehyde, Benzylidendimethylsulfon 1308.
- Bonhöfer (O.), siehe Lellmann (E.).
- Bonné (J.), **77**: Benzoylacetessigäther 689.
- Bonnefin (F. A.), **79**: Apparate zum Filtriren u. s. w. 1086.
- Bonnefoy, **79**: südböhmische Graphitlager 1180.
- Bonnet (C. P.), **84**: Extraction von Gold und Silber aus den Erzen 1718 f.
- Ronney, **77**: Lherzololith 1364.
- Bonney (F. G.), **80**: Serpentine 1500 f.
- Bonney (T. G.) und Houghton (F. T. S.), **80**: Minetten 1499.
- Bonnier (G.) und Mangin (L.), **84**: Untersuchung über die Athmung chlorophyllhaltiger Pflanzen im Dunklen, Einfluß des Lichtes auf die Respiration chlorophyllfreier Pflanzen 1431.
- 85**: Aenderungen der Respiration der Pflanzen 1787 f.; Chlorophyllentwicklung bei Ausschluss der Athmung 1796.
- 86**: Chlorophyllwirkung 1807.
- Bonny, **80**: Feuergas-Analyse 1361.
- Bonome (A.) und Mazza (G.), **84**: biologische Wirkungen von Bromoform, Aethylbromid und Aethylenbromid 1510.
- Bonz (R.), **85**: Derivate des Aethylthiophens 1196 f.: Tribromäthylthiophen, Dibromäthylthiophen 1196; Dichloräthylthiophen, Monojodäthylthiophen, Dinitroäthylthiophen 1197; Darstellung von Thiophendicarbonsäure 1378; Untersuchung zweier Dibromthiophensäuren und ihrer Derivate: Dibrom- $\beta$ -thiophensäure, Dibrom- $\alpha$ -thiophensäure 1379 f.
- Boon Mesch (van der), **83**: Analyse der Asche das Keloet 1934 f.
- Booth (J. C.), **84**: Dehnbarmachung von Gold 1719.
- 85**: Reinigung von Gold und Silber 587.
- Borchers (W.), **78**: Bestimmung der freien und halbgebundenen Kohlensäure in Mineralwässern 1053 f.; Wasseranalysen 1297.
- 83**: Bestimmung von Chlor- und Cyanoferrocyan- und Rhodanwasserstoffsäure neben einander 1531 f.
- Borden (J. L.), siehe Wood (J.).
- Bordet, siehe Cailliet (L.).
- Bordet (L.), **81**: Theer aus Korkholz 1322; siehe Bardy (Ch.).
- Bordet (S.), **80**: Methylalkohol 1353.
- Borgmann (E.), **82**: Glycerinbestimmung im Wein 1329.
- 83**: Verhältniß zwischen Glycerin und Alkohol im Wein 1408; Alkoholbestimmung in zähen Flüssigkeiten 1602; Spritzflasche für heißes Wasser 1656; Einfluß der Zusammensetzung der Moste auf das Verhältniß zwischen Glycerin und Alkohol in den Weinen 1738; Schwefelsäure in Sherryweinen 1740; Glycerin und Alkohol im Bier 1741 f.; Prüfung von Gewürzen 1748 f.
- 86**: Untersuchung von mit Hansen'schen Hefen erzeugten Bieren 1873; siehe Fresenius (R.); siehe Neubauer (C.).
- Borgmann (J.), **80**: Abhängigkeit der elektrischen Leitungsfähigkeit der Kohle von der Temperatur 154.
- 83**: Erwärmung des Eisens bei der Magnetisirung 229 f.
- Borgmann (O.), **85**: Benzylverbindungen 677 f.; siehe Gabriel (S.).
- Boricky, **86**: mikrochemische Reactionen 1891.
- Boricky (E.), **77**: Nephelinpikrit 1365.
- 78**: Gesteine einer Felswand bei Libschitz 1285 f.
- 79**: chemisch-mikroskopische Analyse der Mineralien 1022; dioritischer Quarzsyenit 1249.
- Borisch (F.), **79**: Constitution der Zimmtsäureadditionsproducte 593.
- Boris-Montblit, siehe Claus (A.).
- Bornemann, **77**: Chlorjod, Bromjod und Chlorbrom 214.
- Bornemann (E.), **84**: Darstellung von o-, m- und p-Toluylaldehyd, Derivate von m-Toluylaldehyd: m-Xylylidenphenylhydrazin, m-Xylylidenanilin, m-Methylmandelsäurenitril, m-Methylmandelsäure, m-Toluylanilidoessigsäurenitril 1040; m-Toluylanilidoessigsäureamid, m-Toluylanilidoessigsäure, m-Toluylanilidoessigsäure, o-Nitro-m-toluylaldehyd, Dinitro-m-toluylaldehyd, m-Methylzimmtsäure 1041.



- 86:** Einwirkung von Hydroxylaminchlorhydrat auf Zimmtaldehydcyanhydrin: Zimmtaloxim, Phenylvinylöxäthylenamidoxim 540; Chinolinsynthese: Bildung von p-Phenanthrolin bei der Darstellung von p-Mononitrochinolin und Nitroanilin 895 f.
- Bornemisza** (G. Baron v.) und **Kopal** (W. v.), **85:** Darstellung von Kohlensteinen 2171.
- Bornetti** (F.), **86:** Dichtemaximum von Wasser 76.
- Borns** (H.), **77:** Paradibromsulfofenzolsäure 825.
- Bornträger** (A.), **79:** Urochloralsäure und Chloralharne 983 f.
- 80:** Harn, Chininharne, Morphin im Harn 1117; Ammoniak-Soda-Process 1292.
- 81:** Salicylsäure im Harn 1228.
- 83:** Fällbarkeit von Invertzucker aus unreinen Rohrzuckerlösungen und von Harnzucker durch Bleiessig, Zuckerharn gegen Bleiessig 1737.
- 86:** Kaliumditartrat als Urmas für Normalalkalilaugen 1896; Prüfung der direkten Methoden zur Weinsäurebestimmung in Weinhefen und Weinsteinen 1967; Filtrirapparat 2011; siehe Kütz (E.).
- Bornträger** (H.), **78:** neuer Indicator für die Alkalimetrie 1055; Veraschung von Mehl 1088.
- 80:** Hämatoxilin 1142 f.; Aloë in Elixiren, Liqueuren und Bier 1229.
- 81:** krystallisiertes Selen 172.
- 83:** arsen- und selenfreie Schwefelsäure 1685; Gewinnung des Selen im Großen 1686.
- 85:** Fabrikation von Schwefelsäure 2060; Verlust an Salpetersäure bei der Schwefelsäurefabrikation 2061 f.; Düngerwerth einer Thomas-schlacke 2127.
- 86:** Verbesserungen bei der Schwefelsäurefabrikation 2047.
- Borodin** (A.), **77:** Harnstoffbestimmung 1097.
- Borodin** (J.), **83:** krystallinische Nebenzpigmente des Chlorophylls 1397 f.
- Borrella** (G.), **85:** Untersuchung von anisassuren Salzen 1479.
- Borrodaille**, **79:** Gasregulator 1085.
- Borsche** (G.), **78:** Bereitung von Kaliumsulfat aus Kieserit und Chlorkalium, aus Kainit und Schönit 1126.
- Borsche** (G.) und **Brünjes** (J.), **82:** Verarbeitung von Kainit 1401.
- Borschtschoff**, **78:** Rüben-gallerte 1034.
- Borsig** (A.), **82:** Entphosphorung des Roheisens 1366.
- Bosanquet** (R. H. M.), **83:** Theorie des Magnetismus 226.
- 84:** Normal-Tensionsgalvanometer 232.
- 85:** Abnahme des Momentes eines permanenten Magneten 296; Elektromagnetismus von Ringen 296 f.; neue Theorie des Magnetismus 297.
- 86:** elektromagnetische Untersuchungen 285.
- Bosch**, siehe **Calder** (E. J. P.).
- Bosetti** (E.), **83:** Bestandtheile des officinellen Veratrins: krystallisiertes Veratrin (Cevadin) und Veratridin 1350 f.; Cevidin, Veratoin, Veratridin, veratrumsaures Veratrin 1351 f.
- Bosshard** (E.), **83:** Ammoniakbestimmung in Pflanzensäften und Pflanzenextracten, welche Asparagin oder Glutamin enthalten 1608 f.; siehe **Schulze** (E.).
- 84:** Verhalten von Amidosäuren und Asparagin gegen Alkalien 1087; siehe **Schulze** (E.).
- 85:** Kjeldahl'sche Stickstoffbestimmung im Asparagin, Leucin, Tyrosin 1948 f.; siehe **Schulze** (E.); siehe **Steiger** (E.).
- Bostwick** (A. E.), **84:** Einfluss des Lichtes auf den elektrischen Widerstand der Metalle 252.
- 85:** Absorptionsgefäß für schwach absorbirende Lösungen 322.
- Both** (E.), **85:** Chemisch-mechanische Untersuchung zweier Bodenarten 2119.
- Bothamley** (C. H.), **80:** Gase im Wasser 1148.
- 81:** Quellen von Harrogate 1450 f.
- 82:** Mikroorganismen in Salzlösungen 1244; siehe **Reynolds** (R.).
- Bott** (D. B.), **78:** Weidenrinde 969.
- Bott** (W.), **85:** Hempel'sche Methode der Gasanalyse 1891 f.
- Bottler** (C.), siehe **Claus** (A.).
- Bottomley** (J.), **77:** Eibenbaumblätter 945.
- 78:** colorimetrische Versuche 159.
- 79:** colorimetrische Versuche 1024.
- 80:** colorimetrisches Verhalten von Kobalt und Nickel 1185 f.
- 85:** Anwendung chemischer Gleichungen 5.



**86:** Titanate des Baryts und Strontians 452 f.; Darstellung kristallisierter Carbonate (Mineralien) 2247 f.; siehe Lévy (A. M.); siehe Verneuil (A.).

Bourgoin (C.) und Reboul, 77:  
Tetrabromäthan 521.

Bourgoin (E.), 77: Allylen 363; Pyroweinsäure gegen Brom; Bromcitrapyroweinsäureanhydrid, Bromcitraconsäureanhydrid 713; Acetylen-tetrabromür 714.

**78:** Löslichkeit von Salicylsäure und Benzoësäure in Wasser 58; Dibrenzweinsäureketon 627.

**79:** Löslichkeit der Benzoësäure und Salicylsäure 77; Bromcitronensäure 651.

**80:** Darstellung von Malonsäure 780 f.; Elektrolyse 781 f.; Brom gegen Malonsäure 782.

**81:** Malonsäure gegen Brom und Wasser 701 f.

**82: Cyankalium gegen Trichlor-**  
**essigsäure 818.**

**84:** Löslichkeit des Quecksilberjodids in Wasser und Alkohol 443; siehe Reboul (E).

Bourjau (O.), **80**: Kesselstein 1358.  
Bourquelot (E.), **85**: Bestandtheile  
des Invertzuckers, spezifisches Dre-  
hungsvermögen desselben in Bezug  
auf seine Zusammengesetztheit, Ver-  
halten von Dextrose und Lävulose  
bei der Gärung 1741 f.; „selective“  
Gährung: Verhalten der Hefe gegen  
gewisse Zuckerarten, Vergärung von  
Dextrose und Lävulose, von Maltose  
und Lävulose 1860; Vergärung von  
Glucose 1861.

**86:** selective Gärung eines Gemisches von zwei Zuckerarten 1871; siehe Dastre (A.).

Bourquin, siehe Nencki (M.).

Baurquin (A.), **84**: Einwirkung von Chlorzink auf o- und p-Oxybenzaldehyd 1039 f.

Bourrée, 77: Targlasfabrikation  
1166.

244: Rotha: ...omhyperoxyd  
...phosphors

phosphors.  
unbestim-

1044; ...  
und Stahl ...

1983.

1000

1

**80:** Kaffee 1069; Quellen von Onoto, Mariara und Trincheras 1537.

**81:** Zersetzung der Salpetersäure bei der Vegetation 1005; Kaffeebaum 1018; Jadeit 1394.

**82:** Gehalt von Regen- und Schneeproben der Alpen an Salpetersäure und Ammoniak 1619; Analyse eines Quellwassers von Coconuco, Columbien 1638.

**83:** Cacao und Chocolate 1408; Analyse eines Graphits von Karsoh (?) 1828; Kohlen, Harze und bituminöse Stoffe 1906; Kohlenanalysen 1907; Analysen bituminöser Stoffe und fossiler Harze 1909.

**Boussingault (J.), 78:** physikalische Functionen der Blätter 939.

**80:** Baryumsuperoxyd 284; Zucker-  
gährungen 1129.

**81:** beschleunigte Alkoholgärung  
1138.

Boutigni, **80**: Phylloxera 1067.

Boutigny (P. H.), 80: sphäroidaler Zustand der Materie 81.

Boutmy (H.), 79: thermochemische Untersuchung des Nitroglycerins 121 f.; Wärmewirkung des Nitroglycerins 1115; siehe Brouardel.

**Bouton (A.),** siehe Grandeau (H.).

Boutroux, **86**: Gährung der Glucose:  
Oxyglyconsäure 1874 f.

Boutroux (L.), **78**: saure Milchgäh-  
rung 1031 f.

**80:** Gluconsäure 1131 f.

**83: Brotgärung 1505.**

**Bouty, 79:** Wirkung elektrolytischer Niederschläge 142; siehe Cailletet.

**Bouty und Foussereau, 85:** Widerstandsmessung bei Elektrolyten 260.

Bouty (E.), 80: thermoelektrische Kraft von Metallen 160 f.

**82:** Polarisation der Elektroden und die Leitungsfähigkeit von Flüssigkeiten 161 f.

**84:** elektrische Leitungsfähigkeit  
sehr verdünnter Salzlösungen 262;  
Abhängigkeit der Leitungsfähigkeit  
sehr verdünnter Salzlösungen von  
der Temperatur 263 f.; Leitungsfähig-  
keit verdünnter Salzlösungen von  
organischen Substanzen 264.

6: Leitungsfähigkeit des Chlormms 265 f.; Gesetz der elektrischen Leitungsfähigkeit von Salzlösungen in Abhängigkeit von der Concentration 266 f.; Leitungsfähigkeit von Mischungen neuer Salzlösungen 270.

- Bottomley (J. T.), **79**: Wärmeleitfähigkeit des Wassers 97.
- 84**: Abänderung des Daniell'schen Elementes 237.
- 85**: Versuche über die Condensation von Gasen (kohlenensäurehaltige Luft) an Glasoberflächen 62; Wärmeverlust durch Strahlung und Convection 126; Leitungswiderstand einer neuen Legirung: Platinoid 258; Darstellung von Platinoid 2048.
- 86**: Apparat zur Verbindung des Recipienten mit der Luftpumpe 2010.
- Bouchard (Ch.), **86**: Gifte im normalen Organismus 1853.
- Bouchardat, **77**: Chinidin, Cinchonidinsulfat 889.
- Bouchardat und Girard, **77**: Aureosin und Rubeosin 1234.
- Bouchardat (G.), **77**: Drehung des Mannits und seiner Derivate 188.
- 78**: Verwandlung des Valerylens in ein Terpilien 375.
- 79**: Hydrate von Kautschin 576, und Diisopren 577; Umsetzungen von Diisopren 577 f.; Weinsäure gegen Schwefelsäure 637 f.
- 80**: Cymol aus Divaleryl 448.
- 81**: Monobromamylen gegen Schwefelsäure (Diäthylacetone) 389.
- 85**: Darstellung von Aethylen-glycol, Gehalt desselben an Diäthylenalkohol, Bildung von Monobromäthylenbromür 1165; Darstellung von Glycolmonochlorhydrin 1166 f.; Verhalten desselben gegen Brom 1166; siehe Richet (R.); siehe Willm (Ed.).
- Bouchardat (G.) und Lafont (J.), **85**: Untersuchung des Citronenöls: Kohlenwasserstoffe  $C_{10}H_{16}$ ; Citren und Terpene 1821.
- 86**: Isomerisation des Terpentins (Terebenthens) durch Eisessig und Chromsäure: Camphen und linksdrehendes Terpilien 610 f.; Verhalten des Terpentins gegen Eisessig: Terpilien, Terebthenmonoacetat (Borneolacetat) und Derivate 611 f.; Terpilienmonoacetat und Derivate 612; monoatomige Alkohole (ein Terpinol und zwei Camphenole) aus Essigsäureäthern des Terpentins 1232 f.; Darstellung eines inactiven Borneols aus Tereben, eines inactiven Terpilienols aus Kautschin 1667 f.; Verhalten des französischen Terpentins gegen Eisessig 1668.
- Boucheron, **81**: Vorkommen von Harnsäure 1054.
- 85**: Vorkommen der Harnsäure in Secreten (Speichel) 1831.
- Bouchut (E.), **77**: Frauenmilch 1185; siehe Wurtz (A.).
- Boudet, **84**: Leitungsfähigkeit der verdünnten Luft 255.
- Boudet de Paris, **86**: neue photographische Reproductionsmethode 2217.
- Boudreaux, **82**: Nickelgalvanoplastik 1356.
- Boué (A.), **77**: Dolomitisirung und Serpentinisirung 1356.
- Bougarel (Ch.), **77**: Erythrophyll, Acide phyllique 930.
- Bouilhet, **81**: Elektrometallurgie 1240.
- 82**: Methoden der Galvanoplastik 1354 ff.
- Bouilhon (E.), **86**: Bestimmung der Trockensubstanz im Wein 1984 f.
- Boulé (L.), **86**: Conservirung des Hopfens für die Bierbrauerei 2140 f.
- Bouloumié (P.), **79**: Wirkung des salicylsauren Natriums 996.
- Boulton (S. B.), **85**: Holzconservirung 2193.
- Bouniard (B.), **77**: Frischhofen 1213.
- Bouquet de la Grye, **82**: Dichtigkeit des Meerwassers 1619 ff.; Salzgehalt des Meerwassers 1621; siehe Grye (Bouquet de).
- Bourbouze, **84**: Löthen von Aluminium 1699.
- 86**: Legirung von Zinn und Aluminium 2018 f.
- Bourcart, siehe Gräbe (C.).
- Bourcart (R.), **79**: Ammoniak gegen Anthrachinonsulfosäure 768 f.
- 80**: Amidoanthrachinon 934.
- 84**: Darstellung von Chinolin 1742 f.; Färben mit Anthragallol 1849; Farbmateriellen der Kattundruckerei 1850; Indigodruck 1851.
- 85**: Bleicherei von Baumwollengewebe 2203; siehe Nölting (E.).
- Bourdilliat (E.), **83**: Zellstoff 1775.
- Bourdon (K.), **85**: Titrirapparat 2004.
- Bourgeois (E.), siehe Spring (W.).
- Bourgeois (L.), **79**: Darstellung von Chromaten 255.
- 82**: künstliche Kalkspath-, Witherit- und Strontianitkrystalle 1533; künstliche Meionit- und Wollastonitkrystalle 1552.

- 86:** Titanate des Baryts und Strontians 452 f.; Darstellung krytallisirter Carbonate (Mineralien) 2247 f.; siehe Lévy (A. M.); siehe Verneuil (A.).
- Bourgoin (C.) und Reboul, **77:** Tetrabromäthan 521.
- Bourgoin (E.), **77:** Allylen 363; Pyroweinsäure gegen Brom; Bromcitrapyroweinsäureanhydrid, Bromcitraconsäureanhydrid 713; Acetylen-tetrabromür 714.
- 78:** Löslichkeit von Salicylsäure und Benzoësäure in Wasser 58; Dibrenzweinsäureketon 627.
- 79:** Löslichkeit der Benzoësäure und Salicylsäure 77; Bromcitracou-säure 651.
- 80:** Darstellung von Malonsäure 780 f.; Elektrolyse 781 f.; Brom gegen Malonsäure 782.
- 81:** Malonsäure gegen Brom und Wasser 701 f.
- 82:** Cyankalium gegen Trichlor-essigsäure 818.
- 84:** Löslichkeit des Quecksilber-jodids in Wasser und Alkohol 443; siehe Reboul (E.).
- Bourjau (O.), **80:** Kesselstein 1358.
- Bourquelot (E.), **85:** Bestandtheile des Invertzuckers, spezifisches Drehungsvermögen desselben in Bezug auf seine Zusammensetzung, Verhalten von Dextrose und Lävulose bei der Gährung 1741 f.; „selective“ Gährung: Verhalten der Hefe gegen gewisse Zuckerarten, Vergährung von Dextrose und Lävulose, von Maltose und Lävulose 1860; Vergährung von Glucose 1861.
- 86:** selective Gährung eines Gemisches von zwei Zuckerarten 1871; siehe Dastre (A.).
- Bourquin, siehe Nencki (M.).
- Bourquin (A.), **84:** Einwirkung von Chlorzink auf o- und p-Oxybenz-aldehyd 1039 f.
- Bourrée, **77:** Hartglasfabrikation 1166.
- Boussingault, **77:** Baryumhyperoxyd 244; Rothamsted 1031; phosphors. Ceroxyd für die Phosphorsäurebestimmung 1044; Manganbestimmung im Eisen und Stahl 1061; brasilianisches Meteoreisen 1398.
- 78:** Milch des Kuhbaumes 963; Chromstahl 1104 f.; kohlenstoffhaltiges Nickel, nickelhaltiger Stahl 1106.
- 80:** Kaffee 1069; Quellen von Onoto, Mariara und Trincheras 1537.
- 81:** Zersetzung der Salpetersäure bei der Vegetation 1005; Kaffeebaum 1018; Jadeit 1394.
- 82:** Gehalt von Regen- und Schneeproben der Alpen an Salpeter-säure und Ammoniak 1619; Analyse eines Quellwassers von Coconuco, Columbien 1638.
- 83:** Cacao und Chocolate 1408; Analyse eines Graphits von Karsoh (?) 1828; Kohlen, Harze und bituminöse Stoffe 1906; Kohlenanalysen 1907; Analysen bituminöser Stoffe und fossiler Harze 1908.
- Boussingault (J.), **78:** physikalische Functionen der Blätter 939.
- 80:** Baryumsuperoxyd 284; Zucker-gährungen 1129.
- 81:** beschleunigte Alkoholgährung 1138.
- Boutigni, **80:** Phylloxera 1067.
- Boutigny (P. H.), **80:** sphäroidaler Zustand der Materie 81.
- Boutmy (H.), **79:** thermochemische Untersuchung des Nitroglycerins 121 f.; Warmewirkung des Nitroglycerins 1115; siehe Brouardel.
- Bouton (A.), siehe Grandeau (H.).
- Boutroux, **86:** Gährung der Glucose: Oxyglyconsäure 1874 f.
- Boutroux (L.), **78:** saure Milchgäh-rung 1031 f.
- 80:** Gluconsäure 1131 f.
- 83:** Brotgährung 1505.
- Bouty, **79:** Wirkung elektrolytischer Niederschläge 142; siehe Cailletet.
- Bouty und Fousseeau, **85:** Wider-standsmessung bei Elektrolyten 260.
- Bouty (E.), **80:** thermoelektrische Kraft von Metallen 160 f.
- 82:** Polarisation der Elektroden und die Leitungsfähigkeit von Flüssig-keiten 161 f.
- 84:** elektrische Leitungsfähigkeit sehr verdünnter Salzlösungen 262; Abhängigkeit der Leitungsfähigkeit sehr verdünnter Salzlösungen von der Temperatur 263 f.; Leitungsfäh-keit verdünnter Salzlösungen von organischen Substanzen 264.
- 86:** Leitungsfähigkeit des Chlor-kaliums 265 f.; Gesetz der elektrischen Leitungsfähigkeit von Salzlösungen mittlerer Concentration 266 f.; Lei-tungsfähigkeit von Mischungen neu-traler Salzlösungen 270.

- Bouverie (C. J.), **85**: Ursachen der Bewegung des Camphers auf Wasser 1658 f.
- Bouvet (A.), **77**: Comprimirung von Sauerstoff und Wasserstoff 67.
- 78**: elektrochemische Vorgänge unter hohem Druck 154.
- Bouvette (d'Otreppe du), **81**: Trimethylcarbinol gegen Chlor 512.
- 82**: Einwirkung des Chlors auf tertiäres Butylchlorid 441.
- Boverton-Redwood, **86**: Petroleum 2155.
- Bovet (V.), **79**: antiseptische Wirkung der Pyrogallussäure 1019 f.
- Bower (G.), **80**: Ueberzug von Eisenoxydoxydul auf Eisen 1250.
- Bowie (Hamilton C.), **79**: täglicher Eiweißbedarf 951.
- Bowman Macleve (W.), **80**: Anästheticum 1122.
- Bowrey (J.), **77**: Ziegenmilch 1185.
- Bowrey (J. J.), **78**: Alkalöide aus *Urechitis suberecta* 974 f.
- Box, Auberin, Bobliqua und Le-play, **77**: Eisenphosphat 1154.
- Boyd Kinnear (J.), **82**: Bestimmung der Salpetersäure und salpetrigen Säure 1268.
- Boyes (F.), siehe Hübner (H.).
- Boymond (M.), **79**: Natriumhypophosphit, Darstellung 225.
- Boys (C. V.), **84**: magnetoelektrische Erscheinung 278 f.
- Boys (C. Vernon), siehe Vernon-Boys (C.).
- Brace (W. B. de), **85**: magnetische Drehung der Polarisationsebene 344 f.
- Brackebusch (F.), siehe Post (J.).
- Brackelsberg (A.), **85**: Verhalten des Phosphors zu Eisen und Schlacke bei der Reduction der Eisenverbindungen 2030 bis 2032.
- Brackett, siehe Hayer.
- Bradbury (C. M.), **83**: Analyse eines Topaskrystalles aus Maine 1872; Analyse des Spessartins von Amelia County, Virginia 1880 f.
- 84**: Analyse von Spessartin 1957.
- Bradbury (T.), siehe Siebold (L.).
- Bradbury (W. A.), **78**: Bestimmung des Schwefels in Coaks 1045.
- Bradford (S. S.), **83**: Nachweis von Baumwollsamensöl im Olivenöl 1635.
- Bradley (W. P.), **86**: Thiénylglyoxylsäure und Derivate 1375 f.; Thiénylisonitrosoessigsäure und -amidoessigsäure 1376.
- Brady und Martin, **79**: Nitrometer 1106.
- Bräuning, **78**: Scheidung von silberhaltigem Kupfer, Fabrikation von Kupfervitriol zu Oker 1109; siehe Wimmer.
- Braga (J. F.), **80**: Haarfärbemittel 1376.
- Braham (Ph.), **79**: Bürette 1083.
- 80**: Quecksilberoxydsulfat 357; krystallisirendes Silbersulfat 360.
- Braithwaite (J. O.), **85**: Eigenschaften natürlicher Campheröle 1821; siehe Maylor (W. A. H.).
- Brakeley (J.), **79**: Gaultheriaölgewinnung 914.
- Brame (C.), **81**: Verdampfen von Quecksilber, Amalgamen, Jod, Brom, Schwefel 63; Wirkung der Blausäure 1064; Nachweis des Arsens 1174.
- Brame (Ch.), **82**: Coagulation von Eiweiß durch Blausäure, Hygroskopicität des ameisensauren Ammoniums 372.
- 84**: Verlust an Stickstoff bei der Gährung der Dünger 1764.
- 85**: Schwefelkrystalle 382.
- Brand, **86**: Verwendung von saurem schwefligsaurem Kalk in der Zuckerfabrikation 2126.
- Brand (A.), **85**: Vorgänge bei Stahlschmelzprocessen 2023 bis 2026; Puddeleisen, Spiegeleisen 2023; Zusammensetzung der verschiedenen Producte und Tiegelmassen 2024 und 2025; chemisch reines Eisen 2026.
- 86**: Antimonnickel als Hüttenproduct 2224 f.
- Brandenburg (R.), siehe Brunner (H.).
- Brandes, **85**: Gewinnung von grobkörnigem Kochsalz 2070.
- Brandl (J.), **82**: Mineralien der Kryolithgruppe 1531 f.
- Brandrowski (E.), **77**: Aethylendicarbonensäure 711.
- Brandt, siehe Claus (A.).
- Brandt (F.), **77**: Anilinschwarz 1241.
- Branyl (E.), **82**: Hämoglobinbestimmung im Blute, Polarisations-Spectrophotometer 1346.
- Branson (F. W.), **79**: Chemie der Aloë 947.
- Brard, **82**: neues galvanisches Element 140 f.
- 83**: Erzeugung eines Electricität liefernden Brennmaterials 1755.

Brafs (N.), **86**: Acetamido- und Amidobenzol - m - azodimethylanilin aus Acet-p-phenylendiamin 1014.

Brafs (W.), siehe Wallach (O.).

Brassack, **77**: Varec 1137.

Brasse (L.), **84**: Nachweis von Amylase in Pflanzenblättern 1436.

**85**: Umwandlung ungekochter Stärke in Zucker (durch Diastase, Amylase) 1758 f.

Brauer, **78**: Darstellung von Trimethylcarbinolamin aus Isobutyljodid 437.

Brauer (E.), **83**: Verbesserungen an Wagen 1653.

Braun (F.), **77**: Abweichungen vom Ohm'schen Gesetz in metallisch leitenden Körpern 161.

**78**: Elektricitätsentwicklung als Aequivalent chemischer Prozesse 130; unipolare Elektricitätsleitung am Psilomelan 146.

**82**: Elektricitätsentwicklung als Aequivalent chemischer Prozesse 143 ff.; chemische Affinität und elektromotorische Kraft 144 ff.

**83**: unipolare Leitung fester Körper 214.

**85**: Thermoëlectricität geschmolzener Metalle 250 f.

Braun (Hermann), **85**: Fehlerquellen bei der Titration des Harnstoffs mit Mercurinitrat 1951 f.

Braun (J.), **84**: Darstellung von Aluminium 1699.

Braun (O.), **83**: Petroleumprober 1600, 1755.

**84**: Reinigen des Wollfettes, Darstellung von Lanolin 1823.

Braun (W.), **85**: Reinigung von Kupfer 2041.

Brauner (B.), **77**: Arsenbestimmung 1046; Kobaltbestimmung 1065.

**78**: Be = 13,8 paßt nicht in das periodische System 71.

**81**: Atomgewicht des Berylliums 4; Vorkommen und Bildung von freiem Fluor (Certetrafluorid) 173; Cer und Didym 220.

**82**: Stellung der seltenen Erdmetalle im periodischen System 21; Ceritmetalle (Cer- und Didymverbindungen) 282 bis 286; Vanadinoxchlorid-Platinchlorid aus Vanadinsäure 351 f.

**83**: Atomgewicht des Tellurs, basisches Tellursulfat, Tellurkupfer 34; Ceritmetalle 354 bis 357; Darstellung des Didyms 354 f.

**85**: Reindarstellung und Atomgewichtsbestimmung des Cers 32 f.; Ceritmetalle 477.

Brauner (B.) und Watts (J. J.), **81**: spezifische Volumina von Oxyden 35.

Brauner (H.), **79**: Isobutyljodid gegen Silbercyanat 490.

Braungart (R.), **82**: schwedischer Hopfen 1450.

Braunlechner (A.), **80**: Zinktitration 1187.

Brauns (F.), siehe Zincke (Th.).

Brauns (P.), **84**: Untersuchung von Nitro- $\beta$ -naphtochinonanilid, von isomeren Nitro- $\beta$ -naphtochinon-o-toluididen 1067 f.

Brauns (R.), **84**: Krystallform von Dichinolin 1380.

**85**: optische Anomalien der Krystalle 305.

**86**: Krystallform von apophyllensaurem Baryum 1383; Anwendung von Methylenjodid zur Trennung der Gesteinsbestandtheile 2220; Vorkommen von Manganit 2243; Aetz- und Schlagfiguren von Sylvin, Bromkalium und Jodkalium 2245.

Brauser (P.), **83**: Anwendung einer Mischung von Theer und Graphit zum Ausstreichen der Kessel 1749.

Brautlecht (J.), **83**: mikroskopische Untersuchung von Wasser auf Mikroorganismen 1526.

Brax (K.), **82**: Analyse von finnischen Beryll 1561 f.

Brecht (F. E.), **86**: Untersuchung eines Rohzuckers, bei dessen Herstellung schweflige Säure verwendet worden war 2126.

Bredt (J.), **80**: Lactone 718, 759.

**81**: Fettsäuren gegen Salpetersäure 658 f.; Isocaprolacton, Methyl-oxyglutarsäurelacton 738; Silbersalz einer einbasischen Lactonsäure 739.

**82**: Salpetersäuren gegen Fettsäuren mit der Isopropylgruppe: Methyloxybernsteinsäure, Nitrovaleriansäure, Dinitroisopropan 796 f.

**84**: Untersuchung von Camphoronsäure 1265 f.; Salze der Camphoronsäure 1265; Ester der Camphoronsäure, Constitution derselben 1266.

**85**: Darstellung von Camphoronsäure als Camphansäure 1525.

**86**: Acetylävulinsäure 1363; Einwirkung von alkoholischer Chlor- oder Bromwasserstoffsäure auf Isocapro-

- lacton:  $\gamma$ -Chlor- und  $\gamma$ -Bromisocapro-  
säure, auf Camphansäure und sauren  
Camphersäure-Aethyläther 1664 f.
- Bredt (J.) und Fittig (R.), **79**: Ver-  
halten der Brenzterebinsäure 661.
- Breguet (A.), **80**: photophonische  
Selenempfänger 194.
- Breidenbend (P.), siehe Antweiler.
- Breinl (F.), **81**: violettrother Farb-  
stoff aus Corallin 1331.
- Breitenlohner (J.), und Harlacher,  
**77**: Elbwasser 1104.
- Breithaupt, **78**: Kathetometer 1095.
- Breithaupt (A.), **78**: Aufbewahren  
des Hopfens 1160.
- Brelaz (G. L.), siehe Pictet (R. P.).
- Bremer (G. J. W.), **80**: inactive  
Apfelsäure 803 f.
- 84**: Abhängigkeit des specifischen  
Drehungsvermögens organischer Ver-  
bindungen von dem Lösungsmittel  
301.
- 85**: Eigenschaften der inactiven  
Apfelsäure aus Fumarsäure 1373;  
siehe Mulder (E.).
- Breneman (A.), **83**: Bestimmung  
von Kohle im Gußeisen 1554; Appa-  
rate für schnelle Gasanalyse 1659.
- Breneman (A. A.), **84**: Vergleich  
der Flüssigkeiten bei Nefeler's  
Ammoniakprobe 1570.
- Branken (O.), **79**: Schmieröle 1147 f.
- Bréon (R.), **80**: Untersuchungsmethode  
der Felsgemengtheile 1480.
- 86**: Bildung von Anorthit und  
Labrador 2290.
- Brereton Baker (H.), **83**: Versuche  
über Verbrennung in trockenen Gasen  
61 f.; siehe Baker (H. Brereton).
- Brès (Madeleine), **82**: Untersuchung  
der Milch von Galibis-Frauen 1213.
- Bresch (R.), **82**: Chemismus, Magne-  
tismus und Diamagnetismus im Lichte  
mehrdimensionaler Raumanschauung  
165 f.
- Breslauer (M.), **79**: Epichlorhydrin  
gegen Eisenchlorid und Kaliumacetat  
500 f.
- Bretet (H.), **80**: Extracte narcotischer  
Pflanzen 1072.
- Breton (H.), siehe Raoult (F.).
- Breuer (A.), **77**: Hydrobenzöine 542;  
siehe Zincke (Th.).
- Breuer (A.) und Zincke (Th.), **78**:  
über den Kohlenwasserstoff  $C_{16}H_{10}$   
aus Styrolenalkohol 400 f.; Hydroben-  
zöine 534 f.; Styrolenalkohol 535 f.
- 79**: Hydrobenzöine 505 f.
- 80**: Chinon  $C_{16}H_{10}O_2$ , Aminderivate  
747 f.
- 81**: Acetylcarbinol-Essigäther 505;  
Acetylcarbinol-Benzoesäureäther 506;  
Oxydation von Benzoylcarbinol (Man-  
delsäure, Mandelsäure Methyläther)  
516; Oxydation des Oxychinons  
 $C_{16}H_8(OH)O_2$  654.
- Breuil (de la Tour du), **81**: Schwefel  
aus Gangarten 1257.
- Brevans (J. de), **85**: Nachweis von  
Caramel in Weinen 1979.
- Brewer (W. H.), **85**: Verfestigung  
von Thonschlamm und Gesteinspulver  
2302 f.
- Brewer Lee (R.), **83**: Bestimmung  
der Nitrate im Wasser 1527.
- Brewster (B. E.), **83**: Analyse des  
Quarzits von La Motte Peak 1839.
- Brezina (A.), **77**: Miargyrit (Kenn-  
gottit) 1266; Leonhardt, Laumontit  
1331.
- 79**: basisches Kupfersulfat, Herren-  
grundit 1193 f.; Autunit 1202 f.
- 80**: Kalkapathzwillinge 1418;  
Schneebergit 1480; Meteorit aus  
Kalumbi 1540; aus Amerika 1542.
- 81**: Krystallform von Dinitrodi-  
azoresorcin 552; Krystallform von  
Tribromacetamid 673; Krystallform  
von  $\alpha$ -Dicholin 922, von salz. Tetra-  
hydrocinchoninsäure 973; Pseudo-  
meteorit 1456.
- 82**: Krystallform von Tetrahydro-  
cinchoninsäurederivaten 1111 f.; die  
Meteoriten von Mocs, Siebenbürgen  
1641; die Meteoriten der mexikani-  
schen Wüste 1643 f.
- 83**: Methodik der Krystallbestim-  
mung 1; krystallographische Unter-  
suchung des salzsauren  $\gamma$ -Dipyridyls,  
des Dipyridyl-Quecksilberchlorids,  
des salpetersauren  $\gamma$ -Dipyridyls, des  
 $\gamma$ -Dipyridyl-Methyljodids, des salz-  
sauren Isonicotin-Quecksilberchlorids  
674 bis 676; Krystallform des neu-  
tralen chlorwasserstoffsauren Pseudo-  
phenanthrolins 744, des Pseudo-  
phenanthrolin-Dijodmethyls 745, der  
Chlorwasserstoffsäure-m-Dipyridyldi-  
carbonsäure 747; Krystallform des  
Monoacetylpicamars 947, des Dibrom-  
acetylpicamars 947 f.; Krystallform  
des chlorwasserstoffsauren Mononitro-  
oxychinolin-Platinchlorids 1349, des  
chlorwasserstoffsauren Pyridin-Platin-  
chlorids, des chlorwasserstoffsauren  
 $\beta$ -Aethylpyridin-Platinchlorids 1350;



krystallographische Untersuchung des Uranothallits von Joachimsthal 1853 f.; der Meteoritenfall von Alfanello, Provinz Brescia 1952.

**84:** Krystallform von Oxyhydrochinon 984; Krystallform von Hydrocinchoninsäure und Hydrocinchoninsäure-Jodmethylat 1282.

**85:** Krystallmessung an Salzen des Dichinolyls 1022; Krystallform von brenztraubens. Calcium 1375; Katalog der Wiener Meteoritensammlung 2322 f.; Entstehung und System der Meteoriten 2323.

**86:** Krystallform von  $\alpha$ -(Pya-Pya-) Monoxydichinoly 967, von Diacetyl- $\alpha$ -dioxy (Pya-Pya-) dichinoly 969; Krystallform von Chlorwasserstoffsäure - Chinolinbenzmonocarbonsäure und dessen Chloroplatinat 898; Krystallform von Weisspiefsglanzerz (Valentinit) 2238; Vorkommen und Krystallform von Tellurit 2241; Notizen über nordamerikanische Meteoriten 2329.

Briant (L.), **86:** Ausfällung der phosphorsäuren Ammonmagnesia 1930.

Brieger (L.), **77:** flüchtige Bestandtheile der menschlichen Excremente 1004.

**78:** Phenolausscheidung durch den Harn 991; flüchtige Bestandtheile der menschlichen Excremente 1003.

**79:** Eiweißfäulnis 872 f.; Skatol 972 f.; siehe Baumann (E.).

**80:** Skatol, Trennung von Indol 1105 f.; Kynurensäure gegen Brom 1106; Brenzkatechin, Hydrochinon und Resorcin im Thierkörper 1108 f.; Menschenharn 1115; Chylurie 1117.

**81:** jauchiger Eiter des Menschen 1047.

**82:** Taurobetaïn aus Taurin 1001.

**83:** giftige Basen (Peptoxine) aus Fleisch im ersten Fäulnisstadium 1359; zwei neue Basen aus fauligem Fleisch 1359 f.

**84:** Auftreten von Cholin, Muscarin bei der Fäulnis, Darstellung von Gold- resp. Platindoppelsalzen des Neurins 1498; Darstellung von Aetherschweifelsäuren aus Harn 1495; Untersuchung über Spaltungsproducte von Bacterien 1532.

**86:** Darstellung von zwei neuen pathogenen Ptomainen: Tetanin und isomeres Piperidin 1756 f.; angebliches Vorkommen von Trimethylamin im

Mutterkorn 1823; Darstellung verschiedener Basen (Mytilotoxin) aus der Miesmuschel 1841.

Briem (H.), **78:** Aschengehalt der Rübensäfte 1150.

**80:** Leuchtgas aus Maische 1351. Brierley (J. T.), **86:** Vanadintrioxydsulfat durch Elektrolyse 454 f.; krystallisierte Salze aus Hypovanadin-sulfat und metavanadinsäuren Alkalien 455 ff.

Briggs (R.), **81:** Beziehungen der Luftfeuchtigkeit zur Gesundheit 1030.

Brignone (G.), **84:** Analyse von Wasser der Insel Pantelleria 2036.

Brilliant (J.), **82:** toxische Wirkungen des Phosphors und des Phosphorwasserstoffs 1225.

Brillouin, **83:** Bestimmung des Ohm 211.

Brin (A.), **83:** Bereitung von Weinen aus Rüben 1741.

Brin (A. und L.), **81:** Sauerstoff aus der Luft 1256.

**86:** Apparat zur Erzeugung von Sauerstoff aus Luft 2011.

Brin (Q. L.), **82:** Neuerungen an Gasbrennern 1350.

Brink, siehe Ten-Brink.

Brise (R.), **84:** Austausch von Chlor, Brom und Jod zwischen anorganischen und organischen Halogenverbindungen 470 ff.

Brito (P. S.), **84:** Entdeckung von Jod neben grossen Mengen Brom 1565.

Britton (B.), **82:** volumetrische Eisenbestimmung 1287 f.

Britton (J. B.), **77:** Wasser in den Steinkohlen 1035.

Britton (N. L.), **81:** Brauneisenstein 1364.

Brix (R.), **81:** Copaivabalsam (Mara-caibobalsam), Copaivasäure 1028.

Broadbent (G. V.), siehe Wiley (H. W.).

Broadhead (G. C.), **77:** Göthit 1280; Schwerspath 1294.

Broch (O. J.), **81:** Volum und spec. Gewicht des Wassers 42; Gewicht der Luft 44.

Brochers (W.), **81:** Bestimmung von Chlor-, Cyan- und Rhodanwasserstoffsäure 1165.

Brochocki (Th. von), **86:** Anwendung von Chlorkalk 2182.

Brochon (E.), **83:** Gewinnung von Glycerin aus den Seifenwässern 1761 f.

- Brook, **83**: Verwendung des beim Schwefelregenerationsverfahren erhaltenen Kalkschlammes zur Sodagewinnung 1892.
- Brodie (B. C.), **78**: theoretische Betrachtungen 22.
- 79**: Betrachtungen über das Chlor 53.
- Brögger, **83**: Krystallform des Thoriums 409.
- Brögger (M. C.), **84**: Krystallform von Kalkspath 1929.
- Brögger (W. C.), **78**: Ekdemit 1236; Astrophyllit 1246 f.; Mosandrit 1273.
- 79**: Atakamit-Messungen 1190; Kjerulfinkrystalle 1203 f.; Thulitkrystalle 1208; Natrolith, Thomsonit 1232; Aeschynit 1238 f.
- 80**: Olivinfels 1500.
- 83**: Mineralien der Pegmatitgänge von Moss, Norwegen 1924.
- 84**: Messungen von Xenotim 1946; Krystallform von Gadolinit 1951.
- 86**: Krystallform der Dextropimar-säure 1531 f.; siehe Kjerulf (Th.).
- Brögger (W. C.), und vom Rath (G.) **77**: Enstatit 1321.
- Broek (E. van den), **77**: quaternäre Gesteine 1368.
- Broeker (J.), **77**: Chinarindendecoc-tum 939.
- Brömme (W.), **86**: m-Cyanbenzoë-säure 1439.
- Bröfslers (J.), **81**: selbstentzündliches Phosphorwasserstoffgas 189.
- Broglie, siehe Claus.
- Broglie (A.), **77**: Phosphenylchlorid, Zersetzung 869.
- Broglie (E.), **77**: neue Kette 151.
- Brogniart (C.) und Cornu (M.), **80**: Phylloxera 1067.
- Brokie, **80**: elektrische Lampe 1245.
- Brones (B. v.), **83**: neuer Explosivstoff (Bronolith) 1705 f.
- Brongersma (H.), **82**: Doppelbrechung des Glases unter der Wirkung der elektrischen Influenz 191.
- 83**: Doppelbrechung des Glases und Schwefelkohlenstoffs unter elektrischem Einfluß 240.
- Bronner, **79**: Abtreiben des Silbers und Bestimmung desselben 1056; Gagat-Analyse 1240.
- Broockmann, **84**: Analyse von Grod-deckit 1976, 1978; Analyse von Kersantit 2015 f.
- Broockmann (K.), **82**: Bestimmung der Phosphorsäure 1273.
- 83**: Titrierung der Phosphorsäure mittelst Uranlösung 1543; Analysen der „grünen Schiefer“ von Mitterberg, Salzburger Alpen 1925; siehe Groddeck (A. v.); siehe Polstorff (K.).
- Broom (R.), **86**: Contraction von Salzlösungen beim Mischen mit Wasser 110 f.
- Brosche (F. X.), **81**: Ammoniak aus Melasse 1304.
- Brouardel (P.) und Boutmy (E.), **80**: Ptomaine 1001.
- 81**: Unterscheidung der Ptomaine von den Alkaloiden 975; Leichenalkaloide (Ptomaine) 1058.
- Brouardel (P.) und L'Hôte, **82**: Vergiftung mit chloresurem Kalium 1223.
- Brougham und André, **80**: elektrische Lampe 1245.
- Broun (P. H.), **83**: Aethoxy-m-toluylsäure aus o-Diazo-m-toluylsäure 1151 f.; siehe Remsen (Ira).
- Brown (A. J.), **86**: chemische Wirkung von Bacterium aceti 1885, von Essigmutter (Bacterium xylinum) 1885 f.
- Brown (Crum), siehe Blaikie (A.).
- Brown (Crum) und Blaikie (A.), **81**: „unterschweflig.“ und schwefligs. Trimethylsulfid 856; dithions. Trimethylsulfid 857.
- Brown (C.) und Letts (E. A.), **78**: Dimethylthetin 681 f.
- Brown (E. O.), **86**: jodometrische Bestimmung des Kupfers in Erzen 1944.
- Brown (F. D.), **77**: Homologe und Isomere 22.
- 79**: fractionirte Destillation nicht mischbarer Substanzen und mischbarer 62 f.; Erhaltung constanter Drucke und Temperaturen 90.
- 80**: fractionirte Destillation 39.
- 81**: Molekularanziehung 27; Affinität und Valenz 28; Volum von Flüssigkeitsgemischen 37 ff.; Destillation mischbarer Flüssigkeiten (Schwefelkohlenstoff und Tetrachlorkohlenstoff) 378 f.; Kühlschlänge, Siedepunkte von Mischungen 1233.
- 82**: fractionirte Destillation, Siedepunkt von Mischungen 68; Thermometrie 96 f.
- Brown (H. T.), **86**: Maltodextrin 1782.
- Brown (H. T.) und Heron (J.), **79**: Stärke und Diastase 838 f.

- 80:** Stärke gegen Pankreasferment, sowie das Ferment des Dünndarmes 1006 f.; hydrolytische Wirkungen des Pankreas und Dünndarmes 1120 f.
- Brown (H. T.) und Morris (G. H.), **85:** Bildung von Maltodextrin 1757; Umwandlung der Stärke durch Diastase 1757 f.; Eigenschaften des Maltodextrins (Maltans) 1758.
- Brown (J.), **86:** Theorie der Volta-schen Wirkung 259.
- Brown (Th.), **86:** Ammoniumsulfat als Dünger 2104.
- Brown (T. M.), **78:** Aufschließung von Eisenerzen 1080.
- Brown (Th. M.), **80:** Silicium in Eisen und Stahl 1168 f.
- Brown (W. G.), **78:** spectroscopische Untersuchung des Sipylits 258 f.
- 85:** Analyse eines Zinnsteins 2270.
- 86:** Quarzzwillinge 2239; künstliche Kupfer- und Kupferoxydulkristalle, kristallisiertes Bleicarbonat 441.
- Brown (W. H.), siehe Seymour (F. J.).
- Brown (W. L.), **86:** Analyse von Chromfarben 1935.
- Brown (W. Lee), siehe Lee Brown (W.).
- Brown-Sequard, **81:** Wirkung des Chloroforms auf die Hautnerven 1065.
- Browne (G. M.), siehe Michael (A.).
- Browne (G. W.), **85:** Sicherheitsgasbrenner 1998.
- Browne (W. H.), **81:** Fernwirkung 11.
- Browne (W. R.), **80:** Fernwirkung 14.
- 81:** Fernwirkung 11.
- Bruce (J. D.), **84:** Silberhydroxyd 448; Analyse von Zinkblende 1908; Analyse von Zinnstein 1917.
- Bruce-Warren (T. F. B.), **82:** Fett in Absätzen von Dampfkesseln 1452.
- Bruckner (B.), **83:** die chemische Beschaffenheit der Stärkekörner 1385 f.
- Bruder, siehe Holden.
- Brücke (E.), **77:** Beiträge zur chemischen Statik 29; übermangansaures Kalium, Absorptionsspectrum 1062.
- 79:** Abstammung des Ammoniaks im destillierten Wasser 209.
- 83:** Alkophyr und die Biuretreaction (Peptonreaction) 1384 f.
- Brücke (E. von), **86:** Guanin-Reaction 569.
- Brückner, **77:** Cylinderofen für Silbererze 1121.
- Brückner (A.), **80:** Benzamidobenzoë-säuren 843 f.
- Brügelmann (G.), **77:** krystallisirter Baryt, Strontian und Kalk 243; Arsen-säure- und Phosphorsäurebestimmung 1045; Bestimmung von Phosphor, Schwefel und Chlor in organischen Substanzen 1049; maßanalytische Bestimmung der Schwefelsäure 1050; Reinigung von Baryumsulfat 1054.
- 78:** Darstellung und krystallographisches Verhalten von krystallisiertem Kalk, Baryt und Strontian 238 f.; krystallisiertes Zinkoxyd 283.
- 80:** Eigenschaften der alkalischen Erden und des Zinkoxyds 235 f.
- 82:** Isomorphismus 2; Krystallisation von Gemischen von Kobaltchlorür und Nickelsulfat, Verwandtschaft 8; Bestimmung des specifischen Gewichtes fester Körper 34.
- 83:** Untersuchungen über den Isomorphismus und das Zusammenkrystallisiren: Gesetz von der combinirten Krystallisation 6.
- 84:** Isomorphismus und Zusammenkrystallisiren von Salzen 6 f.; Oxydation von Natriumthiosulfat mittelst Kaliumpermanganat 341.
- 86:** Gesetz des Isomorphismus 4.
- Brühl (J. W.), **77:** Dampfdichtebestimmung 1031.
- 79:** Dampfdichtebestimmung 48; Beziehung der chemischen Constitution organischer Körper zur Dichte und zum Brechungsexponenten 154 f.; Reinigung des Quecksilbers 294; Divaleryl 638.
- 80:** Beziehungen zwischen den physikalischen Eigenschaften der Körper und ihrer chemischen Constitution 5 f.; Brechungsvermögen gesättigter isomerer Substanzen 6 f.; physikalische Eigenschaften und chemische Constitution der Körper 180 f.
- 81:** Molekularrefraction isomerer Körper 114; optische und thermische Eigenschaften flüssiger Kohlenstoffverbindungen 115; Constitution des Benzols 352; thermische und optische Eigenschaften flüssiger organischer Verbindungen 1108 f.; Nichtexistenz von Doppelbindung 1110.

- 82:** Zusammenhang zwischen thermischen und optischen Eigenschaften flüssiger organischer Verbindungen 134; Erhaltung von Bronzedenkmälern 1360.
- 86:** ältere und neuere Dispersionsformeln, Molekularrefraction organischer flüssiger Körper von großem Farbenzersetzungsvermögen 293; vermeintlicher Einfluß mehrfacher Bindungen von Kohlenstoffen auf das Lichtbrechungsvermögen 299 f.
- Bruel (G.), **83:** Eisenoxysalze gegen salicylsaures Natrium, volumetrische Bestimmung des Eisens 1564 f.
- Brüll (A.), **77:** Nitroglycerin 1159.
- Brüning, siehe Meister.
- Brünjes (F.), **78:** Verarbeitung von Kainit und Kieserit auf Kaliumsulfat 1127.
- Brünjes (J.), siehe Borsche (G.).
- Bruère, **80:** Cymol 444.
- Brugman (W. F.), **86:** Bestimmung des Schwefels im Roheisen 1913.
- Brugnatelli (L.), **86:** Vorkommen von Eisenkies 2229.
- Bruhns (W.), **86:** Vorkommen und Analyse von Bronzit 2278; Analysen von Porphyriten 2306 f.
- Bruin (C. A. Lobry de), siehe Lobry de Bruin (C. A.); siehe Bruyn (C. A. Lobry de).
- Brullé und Leclerc, **81:** Ammoniak aus Wässern oder Fäcalmassen 1259.
- Brullé (R.), **79:** Verwerthung von Düngstoffen 1124.
- Brumlen (L.), **80:** Bleiweiß 1303.
- Brun (A.), **80:** Dolomit 1419; Stypticit 1424.
- 83:** Analyse eines Boronatrocalcits aus Chile 1849; Analyse eines Ripidoliths vom Mont Blanc 1886; Wasserbestimmungen von Pinitten aus der Auvergne 1894; Analyse des Desmins vom Viescher Gletscher 1895; Analyse des Orthoklases und des Albits vom Mont Blanc 1898; Analyse eines Perowskits vom Rynpfischwäng, Zermatt 1905.
- Brun (J.), **77:** Saharasaand 1367.
- 80:** Blitzstrahl gegen Kalkstein 1506; Wüstensaand 1507; Seewasser, Färbung 1512.
- Brunck, **78:** Alizarinblau aus Mononitroalizarin 1192.
- Brunck (H.) und Gräbe (C.), **80:** krystallisirtes Eisenoxydhydrat 321.
- 82:** Natriumdisulfitverbindung des Alizarinblaus (lösliches Alizarinblau, Alizarinblau S.) 792 f.
- Brunck und Vischer, **79:** dem Carbazol homologe Verbindung 449.
- Bruneau, siehe Miron.
- Bruneau (G.), siehe Rousseau (G.).
- Bruneau (L.), **80:** Ferrocyanalkium im Thierkörper 1109.
- Brunel (O.), **84:**  $\beta$ -Äthyl-naphtalin, Darstellung aus  $\beta$ -Monobrom-naphtalin, Eigenschaften, Derivate 558 f.
- Brunnemann, siehe Limpricht (H.).
- Brunnemann (C.), **80:** Phenolsulfosäure 909; m-Hydrazobenzolsulfosäure 909 f.; Azoxybenzolsulfosäure 910 f.
- 85:** Bestimmung der Phosphorsäure in den basischen Entphosphorungsschlacken 1918.
- Brunnemann (C.) und Seyfert (F.), **85:** Stickstoffbestimmung nach Kjeldahl 1949.
- Brunner, **80:** assimilirbare Phosphorsäure, Bestimmung 1163.
- 81:** Doppelsuperphosphat aus Wetzlar 1291.
- 82:** Darstellung der Superphosphate in Wetzlar 1429.
- Brunner (C.), **79:** Kresolmonosulfosäure 758 f.
- 81:** Toluidinhydrochinon gegen Kaliumdicarbonat: Homooxysalicylsäure 796 f.; siehe Senhofer (C.).
- Brunner (D. B.), siehe Hoskinson (W. S.).
- Brunner (H.), **79:** Desoxalsäure 651 f.
- 82:** Nitrokörper gegen Phenole in Gegenwart von wasserentziehenden Mitteln; Resorcin gegen Nitrobenzol 1493 f.
- 85:** Azoresorcin und Azoresorufin 1068; Reinigung von Phosphaten 2065 f.
- Brunner (H.) und Brandenburg (R.), **77:** Chloräthylenchlorür gegen Natrium 399; Dimethylanilin, Benzylchlorid gegen Brom 468; Diphenylamin und Orthotoluidin gegen Brom 469; Anilin, sowie Anilin und Toluidin gegen Brom (Fuchsin) 469.
- 78:** Auftreten von Wasserstoff bei Einwirkung von Natrium auf Chloräthylenchlorür 412; Einwirkung von Brom auf Dimethylanilin 466 f.
- Brunner (C.) und Chuard (E.), **85:** Darstellung von  $\beta$ -Monoamidoalizarin, Constitution des Alizarinblaus 1289.

- 86:** phylochemische Studien, Glycobernsteinsäure in Pflanzen 1804.
- Brunner (H.) und Krämer (Ch.), **84:** Einwirkung von Bromwasserstoff-Salpetersäure auf organische Substanzen (Phenole und Amine), Bildung von Farbstoffen 468 f.; Azoresorcin und Azoresorufin: Darstellung, Constitution 857 bis 862; Diacetylazoresorufin 859; Hydroazoresorufinäther 860; Tetrahydroazoresorufindichlorhydrat, Dibromazoresorcinbromhydrat, Hexabromazoresorufinbromhydrat 861; Trinitroazoresorcin, Hexanitroazoresorufin 862; Untersuchung der p-Monoamidophenolsulfosäure und der α-Monoamidoresorcinsulfosäure 1329 f.; o-Monoamidoresorcinsulfosäure 1330.
- Brunner (H.) und Robert (W.), **85:** drei neue Farbstoffe aus Nitrosoresorcin und Nitrosoresorcin 2245 f.
- Brunner (Ph.), **86:** Diundecylensäure, Monojod- und Monobromundecylsäure 1411; siehe Skraup (Zd. H.).
- Brunner (R.), **81:** Nachweis von Schwefel und Nitrobenzol 1167.
- Brunner (Th.), siehe Krafft (F.).
- Bruns (H. D.), **78:** Zusammensetzung des Silaonits 1202.
- Brunswig (H.), **86:** Derivate des Acetothienons 1642 f.; Zimmtsäurethienylketon und Bromderivat 1643.
- Brunton, **85:** chemische Veränderungen durch Mikroorganismen 1825.
- Brunton (T. Lauder), **85:** physiologische Wirkung von Brucin und Bromstrychnin 1849.
- Brunton (T. Lauder) und Cash (Th.), **81:** Wirkung des Ammoniaks und seiner Salze 1064.
- Brunton (Th. Lauder) und Cash (J. Th.), **83:** Beziehungen zwischen chemischer Constitution, physiologischer Wirkung und Antagonismus 1483.
- Brunton (T. L.) und Fayrer (J.), **78:** Mittel gegen Schlangengift 1014.
- Brunton (R. H.), **81:** Paraffin, Brennöle 1319.
- Brush (G. J.), **81:** Onofrit, Guadalcazarit 1348.
- Brush (G. J.) und Dana (E. S.), **78:** neue natürlich vorkommende Manganphosphate 1230 f.
- 79:** Manganspath 1192; Manganphosphate 1200 f.; chloritartiger Körper 1223; Chabasit 1230 f.
- 80:** Childrenit und Eosphorit 1432; Danburit 1443; Spodumen 1459.
- Brush (G. J.) und Penfield (S. L.), **83:** Beschreibung und Analyse des Scovillits von Scoville, Connecticut, 1863.
- Brush (G. L.), siehe Penfield (S. L.).
- Brustlein, **84:** Gase im Stahl 1708.
- Bruylants, **79:** ätherisches Oel von Rosmarinus officinalis 944 f.
- Bruylants (G.), **78:** Pimarsäure 834; ätherisches Rainfarn- und Baldrianöl 980.
- 79:** Darstellung von Brom- und Jodwasserstoff 206.
- Bruyn (C. A. Lobry de), **83:** Einwirkung von Kaliumalkoholaten auf o-Dinitrobenzol 471; Einwirkung von Cyankalium auf m-Dinitrobenzol: Oxyäthylnitrobenzonitril, Oxymethylnitrobenzonitril 611 bis 614; Einwirkung von Cyankalium auf o- und p-Dinitrobenzol 614 f.
- 84:** Einwirkung von Blausäure auf Aldol, Darstellung von Isodialdan 1032; Untersuchung von Propenylglycolsäure 1094 f.; Darstellung von Propionylbromid, -cyanid, Dipropionylevanid 1104.
- 85:** Condensation von Acrolein mit Cyankalium, Kaliumoxyhydrat, Schwefel-, Salz- und Cyanwasserstoffsäure 1296.
- 86:** Darstellung von Knallquecksilber 529; siehe auch Lobry de Bruin (C. A.).
- Bryan (T.), **77:** goldführender Speiskobalt 1261.
- Brynych (J.), **80:** Hefezellen 1130.
- Bubnoff, **78:** Analyse russischer Weizen- und Roggensorten 961.
- Bubnow (N. A.), **83:** Schilddrüse des Menschen und des Rindes 1491; Thyreoprotine aus der Schilddrüse 1491 f.; Einfluss des Eisenoxydhydrates und der Eisenoxydulsalze auf künstliche Magenverdauung und Fäulnisse mit Pankreas 1499; Vertheilung von Eisenoxydulsalzen im Gastrointestinaltractus nach der Einfuhr von Eisenoxydhydrat 1500.
- Buch, siehe Merz (V.).
- Buch (K.), **84:** Umwandlung von Phenolen in Amine 963 f.; Phenyl-p-tolylamin, Di-p-tolylamin, Di-p-tolyl oxyd 964; siehe Zega (A.).
- Buchan (A.), **85:** spec. Gewicht von Aether 1162.

- Buchanan (J.), **85**: Bestimmung der thermoelctrischen Stellung der Kohle 252.
- Buchanan (J. Y.), **77**: Luft im Meerwasser 207.
- 78**: Kohlensäuregehalt des Seewassers 45.
- 81**: Manganconcretionen im Meer-schlamm 1441.
- Buchka, **78**: Reduction von Acetophenon 628.
- 84**: Acetyl-derivate des Hämat-oxylins und Brasilins 1446.
- Buchka (K.), **81**: Gallein und Cöru-lein 573, Derivate 574 f.; Gallin, Gallol und Derivate 576 f.; Anhydropyro-gallolketon 577.
- 85**: Einwirkung von Chlorschwefel auf Natriumacetessigäther (Acetessig-äthersulfid) 1351; siehe Hübner (H.).
- Buchka (K.) und Erck (A.), **85**: Darstellung von Brasilinderivaten: Tetraacetylbrasilin, Triacetylbrasilin, Monobromtetraacetylbrasilin, Mono-brombrasilin, Tribromtetraacetylbrasilin, Tetrabrombrasilin, Brasilein 1801.
- Buchler, siehe Claus (Ad.).
- Buchner (E.), **85**: Einfluss des freien Sauerstoffs auf Gährungen: Entwickelung der Pilzsporen, Bacterium Fitz, Glycerinbildung, Kohlensäuremenge, Einfluss von Wasserstoff 1859.
- Buchner (E.) und Curtius (Th.), **85**: Verhalten von Diazoessigsäure-Aethyläther gegen Toluol, gegen o-Xylol und Benzol 676 f.; Benzal-dibenzoylessigsäure-Methyläther und dessen Natriumverbindung 1447; Benzaldibenzoylessigsäure und Salze 1447 f.; Ketonsäuren aus Aldehyden und Diazoessigäther 1446 bis 1448; Benzoylessigäther 1446; Benzaldiben-zoylessigäther, Dinatriumbenzaldiben-zoylessigäther 1447.
- 86**: Zersetzungsproducte der Ge-latine: Dijodvinylamin, Diazoxy-acrylsäure 1795 f.
- Buchner (G.), **82**: Eisenalbuminate 1135 ff.; Nachweis des Albumins 1137.
- 83**: Doppelsalze der Pyrophosphor-säure gegen Schwefelammonium 1518 f.
- 84**: Zuckerbestimmung im Harn 1650.
- 85**: Reaction des Siliciumwasser-stoffs mit concentrirter Silberlösung 458; Ozongehalt des Aethers 1162.
- Buchner (M.), **78**: Weinstein- und Aschengehalt der Weine 1161.
- 79**: Wachsverfälschung 1149.
- 80**: Kino, Catechu, Gambir 1062.
- 81**: Prüfung von Bienenwachs 1069; Bogheadkohle 1408.
- 82**: Analyse des Wassers des Lindenbrunnens in Zlaten, Steier-mark, 1631.
- 84**: vegetabilisches Wachs 1465.
- Buchner (O.) und Tschermak (G.), **77**: deutsche Meteoriten 1393.
- Buchstab (M.), **84**: m-Azo- und m-Hydroazophenetol 862.
- Buckney (E.), **78**: Azoxyloluidin 507.
- Buckney (E. B.) und Thomson (A. L.), **77**: Trichloressigsäureanhydrid 684.
- Budde (E.), **80**: Clausius'sches Ge-setz und Bewegung der Erde im Raume 148.
- Büchner (E.), siehe Fittig (R.).
- Büchner (E. W.), **79**: Ultramarin 1155 f.; Ultramarinblau, Temperatur in den Ultramarinöfen 1156.
- Büchslcr (M.), **84**: Untersuchung des Pferde-Oxyhämoglobins 1483 f.
- Bücking (H.), **77**: Glycosaminchlor-hydrat 438; Acetanilid 679; Meta-nitrobenzoesäure und paranitrobenzoe-saures Baryum 735; Eisenglanz und Titaneisen 1272; Astrophyllit 1318.
- 78**: Freieslebenit 1209 f.; Eisen-glanz und Titaneisen 1211; Türkise 1229 f.; Epidot 1238; Walnewit 1247; Augitandesite, Dolerit und Basalt 1289.
- 79**: krystallisirter Sandstein 1244 f.
- 80**: Dolerit 1504.
- 82**: analoge und antiloge Mine-ralien 1.
- 83**: Zwillingsbildungen am Bronzit von Ultenthal 1888.
- 85**: mikroskopische Untersuchung von Kalait-Pseudomorphosen 2299.
- 86**: Krystallform von Topas 2262.
- Bülow (C.), **86**: Phenylhydrazide der Aepfel-, Wein-, Schleim- und Phenyl-essigsäure 1080 f.; Oxalsäuremono-phenylhydrazid-Aethyläther, Benzil-monophenylhydrazin 1081; Darstel-lung und Derivate des Phthalylacet-essigäthers 1515 f.; Verhalten des-selben gegen Phenylhydrazin 1516 f., gegen Zinkstaub: Benzylacetessig-äther-o-carbonsäure und Derivate 1517 f.; siehe Fischer (E.); siehe Knorr (L.).

- Bunte, 83:** Apparat zur Bestimmung von Ofengasen 1659.
- Bürger (J.),** siehe **Krafft (F.)**.
- Bütschli (O.), 85:** Paraglycogen im Enteroplasma der Gregarinen 1846.
- Bufalini (G.), 83:** Verhalten des Blutes eines mit Viperngift Vergifteten im Thierkörper 1490.
- 84:** Untersuchung der antiseptischen Eigenschaften der Gallenbestandtheile 1487; Blausäurevergiftung 1510.
- 85:** Darstellung von Jodhämmin 1836; physiologische Wirkungen der Ammoniaksalze und des Hydroxylamins 1849; Wirkung des Krötengiftes 1852; Curarewirkung des Tetraäthylammoniumjodids 1854.
- 86:** Vergiftung mit Jequirity 1867.
- Bufalini (G.) und Tassi (Fl.), 84:** Einfluss einiger Alkaloide auf die Muskeleirregbarkeit 1508; Vergiftung durch Jequirity 1510.
- Buff, siehe Kuchler.**
- Buff (H.), 77:** Diathermansie des Steinsalzes 101.
- Bugajew und Wolkow, 84:** Verhalten des secundären Butylalkohols beim Erhitzen 1176 f.
- 86:** Verhalten des secundären Butylalkohols beim Erhitzen 1174.
- Buhe (A.), 81:** Heizen mit Leuchtgas 1313.
- Buisine (A.), 84:** Cerylalkohol und Cerotinsäure aus dem Schafschweiss 1480.
- 86:** Untersuchung des Hammelschweißes 1855; siehe **Duvillier (E.)**; siehe **Violette (Ch.)**.
- Buisson, 82:** volumetrische Bestimmung des Bleies 1297.
- Bukowski (G.), 86:** Beschreibung einer neuen Jodquelle bei Wola Dobinska 2322.
- Bull, 80:** Kaliumcalciumchlorat, Zersetzbarkeit 1299.
- 83:** Verfahren der directen Eisenerzeugung 1666.
- Bullmann (C.), 84:** Analyse von Granat 1956.
- Bullock (Ch.), 79:** Veratrum viride, Alkaloide 827.
- Bunge (B.), 80:** Cyangas, Wirkung 1125.
- Bunge (G.), 79:** Kalisalze gegen Blut 960.
- 84:** Untersuchung über die Assimilation des Eisens (Hämatogen) 1482 f.; Analyse der anorganischen Bestandtheile des Muskels 1505.
- Bunge (G.) und Schmiedeberg (O.), 77:** Hippursäurebildung im Thierkörper 975.
- 78:** Abscheidung von Hippursäure und Benzoësäure aus Geweben 1087.
- Bunge (N.), 78:** Rübengummi 1155.
- Bunge (N. A.), 81:** Elektrolyse der Ameisen- und der Mellithsäure 101.
- Bunge (P.), 83:** chemisch-analytische Schnellwege 1653.
- Bungener (H.), 82:** Bieranalysen 1449.
- 84:** Untersuchung der bitteren Substanzen des Hopfens (Lupulin) 1455 f.; Untersuchung über Bierhefe 1530.
- 86:** Untersuchung der bitteren Substanz des Hopfens (Lupulinsäure) 1819; siehe **Gräbe (C.)**.
- Bungener (H.) und Fries (L.), 83:** Stickstoffbestimmung organischer Substanzen, Bestimmung des Stickstoffs im Bier und in der Gerste 1589; Bestimmung des Stärkegehaltes der Gerste 1621; Einfluss von Salicylsäure auf die Verzuckerung von Stärke 1742 f.
- Bunsen (R.), 78:** unvollkommene Verbrennung von Kohlenoxyd-Wassergasgemischen 21; Trennung von Arsen und Antimon 1050 f.; arsens. Ammonium-Magnesium 1051.
- 82:** Analyse der Hauptstollenquelle zu Baden-Baden 1630.
- 83:** Verdichtung von trockener Kohlensäure an Glasflächen 76 ff.
- 84:** Absorption der Kohlensäure an blanken Glasflächen 94.
- 85:** capillare Gasabsorption 62 ff.; Kohlensäurehydrat 66; Gasanalysen 67.
- 86:** Gasabsorption an Glasflächen 157 f.
- Bunte (H.), 77:** Leuchtgasreinigung 1214.
- 78:** Bürette für Gasanalysen 1041, 1096.
- 81:** Heizversuche, Rauchgasanalysen 1158.
- 82:** Reinigung von Leuchtgas durch Superphosphat 1392.
- 84:** Versorgung der Städte mit Heizgas 1811.
- 86:** Untersuchung von Gaskohlen 2152.
- Bunte (H.) und Laurent (J.), 80:** Brenneranalysen 1360.

- Buonaccorsi di Pistoja (Graf A.), Steffen (L.) und Drucker (J.), **82**: Gewinnung von Zuckerkalk aus Melasse 1439.
- Burch (G. J.), **85**: Reflexion des Lichtes an Flammen 301.
- Burcker (E.), **78**: Trennung des Eisens vom Uran 1060.
- 81**: Benzoylpropionsäure 832.
- 82**: Phenylpropylketon gegen Chlorchromsäure: Benzoylpropylaldehyd, Benzoylpropionsäure 753; Bernsteinäureanhydrid gegen Benzol und Chloraluminium: Benzoylpropionsäure und Salze, Benzhydrylpropionsäure, Benzylpropionsäure 961 ff.
- Burckhardt, siehe Baeyer (A.).
- Burckhardt (A. E.), **82**: Blutserum hungernder Thiere 1203 f.
- Burckhardt (G. A.), **77**: Oxyterephthalsäure und Derivate 768.
- Burckhardt (J. B.), siehe Baeyer (A.).
- Burckhardt (R.), **85**: Darstellung von Fluoresceinen der Maleinsäure 1275 f.: Dimethylmaleinfluorescein, Diacetylmaleinfluorescein 1275;  $\alpha$ -Naphtholmaleinfluorescein,  $\beta$ -Naphthol gegen Fumarsäure; Phenol, p-Kresol, Orcin und Thymol gegen Maleinsäure 1276; siehe Lunge (G.).
- Burcq, **82**: Kupfersulfat als Desinfektionsmittel und Antisepticum 1435.
- Burdon Sanderson, siehe Sanderson (Burdon).
- Burg (E. A. van der), **80**: Morphin 954; Leberthran 1128; Leberthranbestimmung 1230.
- 81**: Zersetzbarkeit und Nachweis von Cyanverbindungen 1197.
- 83**: Analyse der Asche des Krakatau (Krakatoa) 1934 f.
- Burg (O.), **80**: Picen und Derivate aus Braunkohlentheer 470 f.; siehe Liebermann (C.).
- Burg (V.), **83**: Kupfer als Präservativmittel gegen die Cholera 1490.
- Burgenstein, **81**: Schwefelquelle von Deutschaltenburg 1446.
- Burger (H.), **78**: spectroscopische Untersuchungen über die Constitution von Lösungen 180 f.
- Burghard, **83**: p-Monobrombenzoesäure, o-Monobrom-m-nitrobenzoesäure, p-Monobrom-m-amidobenzoësäure 1130.
- Burghard und Beutnagel, **83**: p-m-Dibrombenzoesäure 1130.
- Burghardt (C. A.), **77**: Kupfererze auf Gängen 1355.
- 78**: Verhalten von Eisenpyriten gegen Wasser 273; Bildung der Kupfererze 1212; Dioptas 1239.
- 83**: Untersuchung von sprödem Kautschuk, Vulcanisirung und Entschwefelung des Kautschuks 1768.
- Buri (E.), **78**: ätherisches Oel von Thymus Serpyllum 981 f.; Elemisäure 983 f.
- 79**: Japantal 1149.
- 80**: Schmelzpunkt von Fetten 38.
- 82**: Piperinsäure gegen Natriumamalgam:  $\alpha$ - und  $\beta$ -Hydropiperinsäure, Brom- $\beta$ -hydropiperinsäure, Piperhydronsäure 968 f.
- Burkart, siehe Gietl (v.).
- Burkart (A.) und Jobst (J. v.), **83**: Anwendung von Cotoin gegen die asiatische Cholera 1488.
- Burkhard (G.), **85**: Anwendung von Lackmoïd als Indicator 1890.
- 86**: Apparat zur Bestimmung der Kohlensäure in Saturationsgasen 2012.
- Burkhardt, **77**: Chabasit 1328.
- Burkhardt (J. B.), siehe Feez (W.).
- Burkli, siehe Dünkelberg.
- Burnard, Lack und Alger, **78**: Einführung einer Salpeterlösung in die Schwefelsäurekammer 1121.
- Burney (W.), siehe Humpidge (J. S.); siehe Remsen (Ira.).
- Burow (Fr.), **83**: Herstellung von Prefshefe 1738.
- Burton (B. J.), **83**: Diphenylweinsäureamid 992.
- Burton (B. S.), **81**: Phosphoroxojodid  $P_3J_4O_8$  193 f.
- 82**: Monopropyl- und Dipropylacetessigsäure, Dipropyllessigsäure, Dipropylketon 653; Diäthyllessigsäure aus Diäthyl- $\beta$ -oxybuttersäure, Diäthylacetessigsäther gegen Chlorphosphor 654.
- Burton (C. J.), siehe Japp (F. R.).
- Burton (Th.), siehe Carnelley (Th.).
- Busatti (L.), **84**: Vorkommen von Flussspath 1922; Analyse von Wollastonit 1965, 1971 f.; siehe Funaro (A.).
- Busch, siehe Bindschedler.
- Busch (J.), **78**: Einwirkung von alkoholischem Kali auf Tetrachloräther 521.
- Busch (W. Ch. A.), **78**: Rhizome von Podophyllum peltatum 976.



- Busse, **81**: Jodwismuth-Trimethylamin 402.  
**85**: Anwendung von Phenolzink gegen Fäulnis und Schwamm 2135.  
 Busse (E.), **78**: Analyse von Bronzemünzen 1066.  
 Busz, **85**: kristallographische Identität des Traubensäure-Methyläthers aus Rechts- und Linksweinsäure-Dimethyläther mit jenem aus Traubensäure 1376.  
 Busz (C.), **84**: Messungen an Schwer-spathkrystallen 1934.  
**85**: Untersuchung von Schwer-spathkrystallen 2280.  
 Butlerow (A.), **77**: Isodibutylen, Isodibutol, Octylsäure, Keton  $C_7H_{14}O$  367; Methylisopropylcarbinol, Amylalkohol (Dimethyläthylcarbinol) 533; Methylisocrotyloxyd 534.  
**78**: Darstellung von Isotributylen 373.  
**79**: Isotributylen 364 f.  
**80**: Isotributylen 440.  
**81**: Eis unter kritischem Druck 52; Erhitzung des Eises 1073.  
**82**: Erklärung der Anomalien der Analysenresultate von Petroleumkohlenwasserstoffen, Benzol und Anilin, Inconstanz der Atomgewichte 4; Oxydation von Isodibutylen: Oxocetenol, Oxocetylsäure 401 ff.  
**83**: chemische Anomalien 33; siehe Rizza (B.); siehe Wischnegradsky (A.).  
 Butlerow (A.) und Wischnegradsky, **78**: Chinabasen 876.  
 Buttner (W.), **85**: Apparat zur Extraction von Knochen 2184.  
 Byasson (H.), **78**: Trichloracetal 520; Analyse der Blätter von *Ilex paraguayensis* 963.  
**80**: Metachloral aus Chloral 696.  
**84**: Untersuchung der Chininsalze 1633.  
 Byk (S.), **79**: Eutschwefeln von Rhodan-guanidin 334 f.  
 Byrne Power (J.), **82**: Stickstoffaus-scheidung durch die Haut 1187.

## C.

- Cabell (J. M.), **84**: Phosphorigsäure-anhydrid 358; Einwirkung des Schwefelwasserstoffs auf metallisches Silber 449.  
 Cabella (A. G.), **84**: Darstellung von Phenylzimmtsäure-Methyläther 1299 f.  
 Cabot (S.), **77**: Heptan 366.  
 Cagnassi (M.), **79**: Bestimmung des specifischen Gewichtes von Flüssigkeiten 43.  
 Cagnoli, **84**: therapeutische Anwendung des Naphtalins 1512.  
 Cagnoli (M.), **85**: physiologische Wirkungen des Nitroglycerins und Triacetins 1852.  
 Cahem, **77**: Eisengewinnung 1110.  
 Cahn (A.), **81**: Chemie des Auges 1042.  
**86**: Untersuchung des Magensaftes bei acuter Phosphorvergiftung und bei Salzhunger 1870.  
 Cahn (E. L.), **86**: Darstellung von vier isomeren Methylanthragallolen aus Gallussäure und den drei Toluylsäuren 1287 ff.; Dimethylanthrachryson 1662.  
 Cahours (A.), **77**: Sulfanverbindungen der Fettreihe 514; Homologe des Eugenols, Methylpropylprotocatechusäure und Homologe 580.  
 Cahours (A.) und Demarçay (E.), **78**: Einwirkung wasserfreier Oxalsäure auf Alkohole 517.  
**79**: Zinnpropyle und Zinnbutyle 774 f.; Zinnamyle 776 f.; Säuren der Fette 1148 f.  
**80**: Säuren aus Neutralfetten 760.  
**82**: zweibasische Fettsäuren aus rohen Fettsäuren, Trennung von Sebacin- und Korksäure durch die Methyläther 794 f.  
 Cahours (A.) und Étard (A.), **79**: Verhalten des Nicotins beim Erhitzen 789 f.  
**80**: Thiotetrapyridin, Isodipyridin 951 f.  
**81**: Nicotin gegen Selen: Hydrocollidin, Isodipyridin, Collidin (Propylpyridin) 928.  
 Cail, siehe Mauméné.  
 Cailletet, **77**: Stickoxyd, Sumpfgas, Verflüssigung 221; Aethan 361; Acetylenverflüssigung 362.  
**78**: Nachweis von Weinsäure in der Citronensäure 1080.  
**82**: Compressionspumpe für die Verflüssigung von Gasen 56; Anwendung des Aethylens zur Erzeugung von Kälte 117.  
**83**: Apparat zur Verflüssigung von Gasen 73; Apparate zur Erzeugung sehr niedriger Temperaturen 114.

Cailletet und Bouty, **85**: Leitungsfähigkeit des festen Quecksilbers und anderer Metalle bei niederen Temperaturen 256 f.

Cailletet (B.), **77**: Verbrennungsproducte eines Schweißofens 1210.

Cailletet (L.), **77**: Acetylen- und Aethanverflüssigung 68; Condensation von Sauerstoff und Stickoxyd, von Luft und Wasserstoff 69; Manometer 1097.

**78**: flüssige und feste Luft, Apparat zur Verflüssigung der Gase 42; Verbrennungsproducte der Feuerung eines Schweißofens 1167.

**79**: Zusammendrückbarkeit der Gase 69 f.

**80**: Zusammendrückung von Gasmischungen 45 f.; Messung hoher Drucke 62.

**84**: Verflüssigung des Methans 196; Verflüssigung von Wasserstoff 322; flüssiges Aethylen und Methan als Kältemittel 330.

**85**: Verfahren zur Verflüssigung von Gasen (Sauerstoff) 59; Verflüssigung des Aethylens und Methans, Anwendung dieser verflüssigten Gase zur Condensirung des Sauerstoffs 147.

Cailletet (L.) und Bordet, **82**: Verbindung von Phosphorwasserstoff mit Wasser, mit Kohlensäure, mit Schwefelkohlenstoff 14 f.; Verbindung von Schwefelwasserstoff mit Wasser, Ammoniumhydroxyd 15.

Cailletet (L.) und Hautefeuille (P.), **81**: Verflüssigung von Gasgemischen 45; Dichte des flüssigen Sauerstoffs, Stickstoffs und Wasserstoffs 46; Zustandsänderung in der Nähe des kritischen Punktes 54.

Cailletet (L.) und Mathias, **86**: Dichten verflüssigter Gase und ihrer gesättigten Dämpfe 65 f.

Caillol (O.), siehe Cazeneuve (P.). Caillol de Poncy (O.) und Livon (Ch.), **82**: Veränderung der Organe bei chronischer Arsen- und Antimonvergiftung 1226.

Cairn (A.), **84**: Mehluntersuchung 1655.

Calderon, **78**: Krystallform der  $\beta$ -Nitromesitylsäure 793, der  $\alpha$ -Brommesitylsäure 794, der  $\beta$ -Brommesitylsäure 795; Ophite 1248.

**79**: Isodiphenylsäure-Methyläther 378.

**80**: Krystallform von Diphenylsäure-Methyläther 463.

**81**: Krystallform von Diphenylsäure-Methyläther 842.

Calderon (L.), **77**: Dichten von Lösungen des Resorcins 46; Neutralisations- und Lösungswärmen des Resorcins 103; optische Constanten der Rohrzuckerkrystalle 179; Resorcin 560.

**80**: Krystallmessung organischer Verbindungen 370 f.; Zinkblende 1405; siehe Groth (P.).

Caldwell (G. C.), **83**: volumetrische Bestimmung der Phosphorsäure durch molybdänsaures Ammonium 1542.

**85**: Fettbestimmung in der Milch 1987 f.

Calder (F. J. P. von), **77**: Bürettenhalter, Filtrirgestelle, Klemmen, Schrauben 1101.

**83**: Corrosionsflächen am Flussspath, Kernbildung an einem Flussspath 1847.

**86**: Universalprojectionsapparat 287.

Calliburcès (P.), **84**: Einfluss pneumatischer Behandlung auf die Gährung von Zuckersäften 1519 f.; Abdampfapparat für Zuckersäfte 1795.

Calliefs (Fr.), siehe Claus (A.).

Calm, siehe Merz (V.).

Calm (A.), **79**: Dampfdichten wässriger Säuren 54 f.; Cholestrophan, Parabansäure 351.

**82**: Anilin gegen Amylalkohol: Amidoamylbenzol und Abkömmlinge 544 f.; Naphthylamine aus  $\alpha$ - und  $\beta$ -Naphthol 567 f.; Salze und Chlorid der p-Dichlorazobenzolmonosulfosäure 1002.

**83**: Resorcin gegen Anilin: m-Oxydiphenylamin und Salze desselben 918 f.; Diphenyl-m-phenylendiamin und Derivate 919 f.; Hydrochinon gegen Anilin: p-Oxydiphenylamin, Diphenyl-p-phenylendiamin und Derivate 921; p-Ditolyl-p-phenylendiamin 922.

**84**: Einwirkung von p-Amidodimethylanilin auf fette und aromatische Aldehyde: p-Benzylidenamido-dimethylanilin 1037; siehe Philip (M.); siehe Meyer (V.).

Calm (A.) und Heumann (K.), **80**: p-Dichlor-, p-Dibromazobenzol 572 f. Calman (A.), siehe Bamberger (E.); siehe Perkin jun. (W. H.).

- Calmels (G.), 84:** Einwirkung von Cyanüren auf Alkyljodide 477 f.; Einwirkung von Jodalkylen auf Knallsilber:  $\beta$ -Nitroäthylen,  $\beta$ -Nitropropylen, Nitrilene 479 f.; Einwirkung von Salzsäure auf Knallsilber 480; Untersuchung über das Gift der Batrachier 1509 f.; siehe Hardy (E.).
- Calmels (G.) und Gossin (E.), 85:** Spaltung des Cocains, Bildung von Ecgonin, Salze des Ecgonins 1715; Condensation des Ecgonins mittelst Schwefelsäure, Darstellung von Isotropin, Constitution von Isotropin, Ecgonin und Cocain 1716.
- Calzecchi-Onesti (F.), 86:** Elektrizitätsleitung von Metallpulvern 250.
- Camachil und Henriot, 77:** Behandlung der Melasserückstände 1191.
- Camerer, 80:** Stoffwechsel 1086.
- Camerer (W.), 82:** Stoffwechsel bei Kindern 1186.
- 84:** Untersuchung des Stoffwechsels von Kindern 1475; Bestimmung des Stickstoffs im Urin 1679.
- Camerlander (v.), 86:** Vorkommen von Korunden in Hornblendeesteinen 2236.
- Cameron (Ch. A.), 78:** Bestimmung des Bleies als Jodat 1067.
- 79:** Aufnahme des Selen durch Pflanzen 891.
- 80:** Wasser gegen Quecksilbersulfat 357.
- 81:** Austerabfallwasser (Seewasser) aus der Dubliner Bucht 1299.
- 82:** Anwendung von Chininjodat und -bromat als Arzneimitteln 1227.
- 84:** Nichtzersetzung organischer Flüssigkeiten durch die Luft in einem Grabgewölbe 1524 f.
- Cameron (Ch. A.) und Davy (E. W.), 78:** Einwirkung der Wärme auf selensaures Ammonium 212.
- 81:** Selenverbindungen des Quecksilbers 294; Selenocyanverbindungen des Quecksilbers 295 f.
- Cameron (M.), siehe Jolly (W.).**
- Campani (G.), 77:** Mangan der Pflanzenaschen 928.
- 78:** Hippursäure-Amylather 775.
- 81:** Alkaloide aus *Lupinus albus* 1014.
- 84:** Vorkommen des Mangans in den Pflanzen 1436; siehe Bizzarri (D.).
- Campani (G.) und Bizzarri (D.), 80:** Tartronsäure 787; Hippursäurebutylather 839 f.
- 82:** Glycerin gegen übermangansaures Kalium: Tartronsäure 647 f.; saures tartronsaures Mangan 648.
- Campari (G.), 83:** Nachweis von Kalium neben Magnesia und Natron 1557.
- Campbell (A.), 84:** Peltier'sches Phänomen 246.
- Campbell (J. L.), 81:** Grüneisenerz (Dufrenit) 1378.
- Campbell (L.), siehe Mills (E. J.).**
- Campe, 84:** Universallack für Metall, Papiar, Holz 1830.
- Campell (G.), 84:** Universalgalvanometer, Foucault'sches Pendel, Wärmeleitung in Metallstäben 309.
- Candolle (C. de), 80:** gefärbter Regen 1510.
- Cannizzaro und Valenti, 77:** Santonsäurechlorid, -bromid, -jodid 810.
- Cannizzaro (S.), 80:** Wasser-Untersuchung 1529.
- 83:** Zersetzung der santonigen Säure in Propionsäure und Dihydrodimethylnaphtol, Constitution der santonigen Säure 1227.
- 85:** Santonin, Santoninsäure, Santonsäure und Photosantoninsäure als Derivate eines Dimethyltetrahydronaphtalins 1656.
- 86:** kinetische Gastheorie 165; siehe Blaserna (P.).
- Cannizzaro (S.) und Carnelutti, 78:** Isomere des Santonins 828 f.
- 79:** santonige Säure 913 f.
- 80:** Isomere des Santonins 894 f.; santonige Säure 895; Santonsäure 895 f.; Dimethylnaphtol aus santoniger Säure 1005.
- 82:** santonige Säure, Salze und Derivate 970 f.; isosantonige Säure und Derivate 971 f.; Dimethylnaphtol aus santoniger und isosantoniger Säure 972 f.; Dimethylnaphtalin, Santonol 973.
- Cannizzaro (S.) und Fabris (G.), 86:** Einwirkung des Lichtes auf Santonin in essigsaurer Lösung: Isophotosantoninsäure und Derivate 1524 f.; Constitution von Santonin, Photo-, Isophoto- und Pyrophotosantonlacton 1525.
- Cannizzaro (S.) und Valente (E.), 78:** Derivate des Santonins 821 f.
- Cannizzaro (S.) und Valenti (L.), 80:** Isomere des Santonins 894.
- Canstein (E. R. v.), 78:** Kartoffeln 960 f.

- Cantani (A.), **77**: Blutzucker der Diabetiker 994, 1087.
- Cantoni (C.), **80**: intramolekulare Räume der Flüssigkeiten 84.
- Cantoni (C.) und Gerosa (G.), **83**: dynamischer Werth einer Caloria 112 f.
- Canu (S. Allain le), siehe Allain le Canu (S.).
- Canzoneri (F.), **80**: p-Xylenolmethyläther 863.
- 82**: Dibrom- und Monobromnaphthalin 449; Acetyl- und Nitrosoverbindung des Naphtalins 449 f.
- 83**: Harz von *Thapsia garganica* 1427; siehe Paternò (E.).
- Canzoneri (F.) und Oliveri (V.), **84**: Einwirkung von alkoholischem Kali auf Dibrombrenzschleimsäure 1149 f.; Monobrombrenzschleimsäure 1149, Dibrombrenzschleimsäure 1150.
- 86**: Umwandlung des Furfurans in Pyrrol, Constitution beider, Synthese des  $\alpha$ -Naphthylamins aus Anilin und Furfuran 722.
- Canzoneri (F.) und Spica (G.), **82**: Tribromtoluchinon, Tribromtoluhydrochinon, Tribromtoluchinonanilid 780; Dibromtoluchinon, Tribromtoluchinon aus Kresol 781; neuer Fettalkohol aus *Tarchonatus camphoratus* 1176.
- 84**: Einwirkung von Aceton auf Acetonamid resp. Formamid 1048, von Mesityloxyd auf Acetamid (Oxyhydrocollidin 1049; Condensation von Acetessigäther mit Amiden der Fettreihe 1118 f.; Lutidinmonocarbon säureäther 1118; Einwirkung von Acetamid auf Acetessigäther bei Gegenwart von Aluminiumchlorid: Acetyl- $\beta$ -imidobuttersäureäther 1119 f.
- 85**: Darstellung von Tetramethylpiperidin durch Reduction von Dehydrotriacetonamin 1683; Condensation von Acetessigäther mit Formamid 1684.
- 86**: Synthese eines Oxyäthyllutidins aus Acetessigäther und Chlorzinkammoniak 771 f., von Lutidinmonocarbonsäure-Aethyläther aus Acetessigäther und Formamid 772 f.; Einwirkung von Ammoniak auf Ketone 1646.
- Capanema (G. S. de), **81**: Arbeiten mit Schwefelwasserstoff 1322.
- Capaun-Karlowa, **80**: Zeiodelith 1317.
- Capellini (G.), **77**: Schwerspath 1294.
- Capitaine (G.), **77**: Schmelzöfen 1213.
- Cappa, **81**: volumetrische Chlorbestimmung 1165.
- Capparelli (A.), siehe Amato (D.).
- Capranica (S.), **78**: Retinapigment 1012.
- 80**: Guanidinreactionen 433 f.
- 81**: Gallenfarbstoffe 1047.
- Capranica (St.), **83**: Reactionen auf Gallenfarbstoffe 1457; Kreatinin im Schweiß, Identität der Säure des Schweißes mit Kryptophansäure 1482.
- Capranica (St.) und Colasanti (G.), **83**: Wirkungen des Wasserstoffsperoxyds auf den Organismus 1483.
- Capron (J. R.), **80**: Intensität der Spectrallinien 201.
- Capstick (J. W.), siehe Carnelley (Th.).
- Caraven-Cachin (A.), siehe Sudour (E.).
- Carcin, **77**: Desinfection durch verkohlte Stoffe 1180.
- Carette (H.), **85**: Verhalten der Sebinsäure bei der Oxydation 1443.
- 86**: Pyroweinsäure durch Oxydation von Stearinsäure 1401.
- Carey (E.), **83**: Gewinnung von Natriumdicarbonat 1693.
- Carey (E.) und Hurter (F.), **82**: Reinigung der Soda 1399.
- 85**: Gewinnung von Ammoniak 2056 f.
- Carey (F.), Gaskell (H.) und Hurter (F.), **85**: Darstellung von Salzsäure 2073 f.
- Carey (G.) und Hurter (F.), **84**: Herstellung von Soda und Chlorverbindungen aus Chlornatrium 1732 f.
- Carhart (H. S.), **84**: elektromotorische Kraft des Daniell'schen Elementes 240.
- Carl (F.), **79**: Diisäthionsäure 734 f.
- 81**: Isäthionsäure in Sulfoessigsäure 859.
- Carles (P.), **82**: Jod und Phosphor im Leberthran 1230 f.
- 83**: Zusammensetzung des Hühner-eiweiß 1380; Modification der Gehaltsbestimmung des Jodkaliums nach Personne-Kaspar 1558.
- 86**: Prüfung der ätherischen Oele auf Alkohol 1993.
- Carleson (J.), **77**:  $\alpha$ - und  $\beta$ -Naphthalsulfosäurechlorid gegen Amine 862.

- Carleton-Williams (W.), **77**: Diisobutyl, Chloroctyl 366; Octylalkohol, Isocaprylsäure 367.  
**79**: Diisobutylderivate 362 f.; siehe Carnelley (Th.).
- Carmichael (H.), **86**: quantitative Bestimmung des Arsens mittelst der Kupferblechprobe 1923 f.
- Carnegie (A.), **85**: Analyse der Gase natürlicher Gasquellen 2169 f.
- Carnelley (Th.), **77**: Schmelzpunktsbestimmung 52; Ditotyl, Oxydation, Constitution 384.  
**78**: Schmelzpunkte binärer Verbindungen 34.  
**79**: Einfluss des Atomgewichts auf die physikalischen Eigenschaften 17 f.; Dampfdichte des Zinnchlorürs 49; Zusammenhang des Schmelzpunktes mit den Ausdehnungscoefficienten der Elemente 55.  
**80**: Verdampfung ohne Schmelzung, heißes Eis 40; Benzol und Toluol gegen Hitze 441 f.  
**82**: Beziehungen zwischen Schmelzpunkt und chemischer Constitution 4 f.; Schmelzpunkt des Queck Silberchlorids 104.  
**84**: Beziehungen der physikalischen Eigenschaften der Elemente 39 f.; Vorkommen der Elemente in der Natur in Rücksicht auf das periodische Gesetz 40 f.; Vorkommen der Elemente in verbundenem Zustande in der Natur 41; Farbe der chemischen Verbindungen als Function der Atomgewichte des sie bildenden Elemente 42 f.; Schmelzpunkte von Chlor und Bromberyllium 389.  
**85**: Untersuchungen über die Richtigkeit des periodischen Gesetzes 27 f.; Analogie der Functionen der Elemente mit organischen Radicalen in ihren verschiedenen Verbindungen 28 f.  
**86**: Ursachen des periodischen Gesetzes 16; siehe Shaw (F. W.).
- Carnelley (Th.) und Burton (Th.), **84**: Pyrometer 161.
- Carnelley (Th.) und Capstick (J. W.), **84**: Theorie der Farbe chemischer Verbindungen 44.
- Carnelley (Th.) und Carleton-Williams (W.), **80**: Schmelzpunkte unorganischer Substanzen 37; Siedepunkte von Metallsalzen 38.
- Carnelley (Th.) und Mackie (W.), **86**: Bestimmung organischer Substanz in der Luft 1951 f.
- Carnelley (Th.) und O'Shea (L. T.), **77**: Zinntetrabromid 278.  
**78**: Zinntetrabromid 295.  
**81**: Beziehung zwischen Schmelzpunkt und Bildungswärme 1108.  
**84**: Bestimmung der Schmelzpunkte unorganischer Substanzen 177.
- Carnelley (Th.) und Schleselman (J.), **86**: p-Monoamidodiphenylsulfosäure und daraus abgeleitete Farbstoffe 1586 f.; Phenol-p-diazodiphenylsulfosäure und Homologe 1587.
- Carnelley (Th.) und Thomson (A.), **85**: Darstellung einiger Bromderivate von Diphenyl, Tolybenzol und Ditotyl 765 ff.
- Carnelley (Th.) und Williams (W. C.), **78**: Bestimmung hoher Siedepunkte 36.  
**79**: hochgelegene Siedepunkte 58 f.
- Carnelutti, siehe Cannizzaro (S.).
- Carnelutti (G.), **80**: Aethylnaphtalin 460 f.
- Carnelutti (G.) und Nasini (R.), **80**: Alkannin 1058.  
**81**: Drehungsvermögen von Santoninderivaten 143.
- Carnelutti (G.) und Valente (L.), **80**: Zuckerbestimmungen im Harn 1015.
- Carnelutti (J.) und Nasini (R.), **80**: optisches Drehungsvermögen der Santoninderivate 218 f.
- Carnot (A.), **77**: Kalibestimmung 1051.  
**78**: Gehalt des basischen salpetersauren Wismuths an Blei 294; volumetrische Bestimmung des Kaliums 1056; Nachweis von Blei im Magisterium Bismuthi 1067.  
**79**: Schwefelwasserstoff in der Analyse auf trockenem Wege 1024; Mallardit, Luckit 1194.  
**80**: Mallardit 1424; Diadochit 1437.  
**81**: Eisenoxyd von Thonerde und Chromsäure 1187; Phosphoreisen (Rhabdit) 1411.  
**83**: Reaction auf Gold, Goldsalze gegen Phosphorwasserstoff, colorimetrische quantitative Bestimmung des Goldes 1582.  
**84**: Untersuchung des Phosphorgehaltes der Kohlen, Zusammenhang zwischen chemischer Constitution und der componirenden Pflanzenart der Kohlen 1996.

- 86:** Trennung und Bestimmung von Kupfer, Cadmium, Zink, Nickel, Kobalt, Mangan, Eisen 1948 f.; Trennung von Antimon und Zinn 1949. Carnot (A.) und Proromant (P. M.), **85:** Bestimmung des Cadmiums 1939.
- Carnot (Ad.), **82:** Untersuchung und Anwendung von Chromoxydphosphat 307; Chrombestimmung 1285.
- Carnot (Ad.) und Richard, **83:** Calciumsilicophosphat, entstehend bei der Entphosphorung des Eisens 343 f.
- Carnot (A. D.) und Richard, **83:** Analyse von blauen Krystallen einer basischen Schlacke von Joef 1675.
- Caro, **77:** Chrysoïdine 489.
- 81:**  $\beta$ -Naphthol ( $\beta$ -Naphthyl- und  $\beta$ -Dinaphthylamin) 570.
- 84:** Darstellung der Diazoverbindung aus p-Phenylendiamin mit salpetriger Säure 820 f.
- Caro und Schraube, **77:** Phenylazophenylazophenylenoxydhydrat 487.
- Caro (H.), **78:** Darstellung von Nitroalizarin 1190 f.
- 85:** Darstellung von Auraminen und von Farbstoffen aus denselben 2248 f.; siehe Bayer (A.); siehe Gräbe (C.).
- Caro (H.) und Gräbe (C.), **78:** Rosolsäure aus dem technischen Fuchsin und Aurin 595; Dioxybenzophenon aus Aurin 631.
- Carotti (E. C.) und Claparède (A. F. R. D.), **80:** trockene Milch 1344 f.
- Carpène (A.), **82:** Herstellung von Schaumweinen 1448.
- Carpenter (F. W.), **79:** Porphyrroxin und Sanguinarin aus Sanguinaria 936.
- Carpenter (H. S.), siehe Hehner (O.).
- Carpenter (H. S.) und Nicholson (W. O.), **84:** Untersuchung des Wassers auf Bakterien 1561 f.
- Carpenter (J.), siehe Oros (Ch.).
- Carpenter (R. F.), **86:** Löslichkeit des Silberchromats 1898; Titration der salpetrigen Säure in dem Gasgemisch aus Bleikammern 1917.
- Carpenter (W. L.), **83:** Umwandlung von Oelsäure in Palmitinsäure 1115; fabrikmäßige Umwandlung von Oelsäure in Palmitinsäure, Anwendung der rohen Palmitinsäure als Kerzenmaterial 1763.
- 84:** Apparate und Operationen zur Umwandlung der flüssigen Fettsäuren in feste 1823.
- Carpentier (J.), **84:** elektrische Meßapparate 733.
- 85:** Einrichtung am Chromsäureelement 233; Bestimmung und Classification der Farben 301; siehe Clamond.
- Carrara (G.), **86:** Toxikologie des Antipyrins, Tallins und Kairins 1865.
- Carré (F.), **77:** elektrisches Licht 1212.
- Carré (H.), **82:** Zerstörung von Parasitenkeimen in Fleisch durch Kälte 1438.
- Carrington Bolton (H.), siehe Bolton (H. C.).
- Carrot, **81:** Cuprein 1350.
- Carstanjen (E.), **77:** Constitution des Benzols 368; Chinone gegen schwefligsaures Kali: Hydrothymochinon 645, Oxythymochinon 645, 649, 650; Cymophenol und Derivate (Thymochinon, Monochloreymohydrochinon) 650.
- 81:** Phloron und Xylochinon 640 f.
- Carstanjen (E.) und Ehrenberg (A.), **82:** Einwirkung von Säuren auf Knallquecksilber 373 f.
- Carter (O. C. S.), **83:** qualitative Trennung von Zink, Nickel und Kobalt 1570 f.
- 85:** Nachweis von Antimon 1919; Verfälschungen der Oele, Bestimmung der Strengflüssigkeit 1968; Untersuchung verfälschter Oele 2183 f.
- Carter Bell (J.), **80:** ungegohrener Wein 1068.
- 84:** Bleiweißgewinnung 1739; siehe Bell (J. Carter).
- Carvés, **83:** Sodaindustrie 1694.
- Casali, **78:** Zusammensetzung des Hatchettins 1277.
- 84:** Untersuchung von Milch auf Chloralhydrat 1624.
- Casali (A.), **79:** Galle im Harn 1081 f.
- 80:** Schwefelsäure im Wein 1353.
- 81:** Ptomaine (Gallensäuren) 975.
- Casamajor (P.), **77:** Fehler der Titrationemethode 1032; Bürette 1098; Zuckerlösungen 1195.
- 78:** Ariometer 24; Löthrohrchemie 1038; Löthrohrblasebalg 1096.
- 79:** Clerget'sche Formel für die Drehung von Zuckerlösungen 167 f.; technische Zuckerbestimmung 1135.
- 80:** spezifische Drehung und Concentration 215; Stärkezucker im Rohrzucker 1213; Thierkohle gegen Zuckersäfte 1348.

- 81:** Saccharimetrie 1210; Stärke-zucker im Rohrzucker 1212; Butter, Oleomargarin 1222.
- 82:** Titrirung des Kupfers und Bleies 1298 f.; Bestimmung des Zuckers 1324; Filtrirapparat, Filtrirscheiben 1349; Analysen von Rüben und Sorghumrohr 1440.
- 83:** Sieben und Auswaschen des Asbestes für Filtrirzwecke 1524; Nachweis von Stärke-zucker im raffinierten Rohrzucker 1619.
- 85:** Ursachen der Bewegung des Camphers auf Wasser 1658 f.; Erzeugung der Jodidbeschläge mittelst Jodsilber 1878; Zuckeranalyse 1978.
- 86:** Filtrirapparate 2010 f.
- Case (W. E.), **86:** Umwandlung von Wärme in elektrische Energie (neues Element) 262.
- Casella (L.), **86:** blauschwarze Azofarbstoffe aus Naphtolsulfosäuren und Amidoazokörpern 2198; Azohydrazimide 2198 f.
- Caseneuve (P.), siehe Cazeneuve (P.).
- Casiccia (V.), **83:** Vergiftung durch das Extract von Cannabis indica 1489.
- Cash (J. Th.), siehe Brunton (T. Lauder).
- Caskell, siehe Armstrong.
- Cassel (R.), **85:** elektrolytische Gold-extraction aus Erzen 2043 f.
- Cassius (C.), **77:** Schwefelkohlenstoff, Mittel gegen Phylloxera 238.
- Casson-Dormoy, **77:** Puddelofen 1213.
- Castaing (P.), **80:** pyro- und metaphosphorsaures Uranoxyd 353.
- Castan (F.), **78:** Bestimmung des Natriums im Salpeter 1056 f., von Kali und Phosphorsäure in Handelsproducten 1057.
- Castaneo (C.), **85:** elektromotorische Kraft und Polarisation der Combination Kupfer-Meerwasser-Zink 245.
- Casteö (J.), **80:** Fabrikation der Citronensäure 1289.
- Casthélaz, **80:** Farbstoffe aus Phtalsäure 1386.
- Casthelaz (C.), **85:** Darstellung von Mercur- und Mercuritannat 1553.
- Casthelaz (Ch.), **84:** Untersuchung von Handels-Phenolen 1830.
- Casthélaz (J.), **82:** Conservirung der Jodtinctur 235.
- Casthelaz (M. J.), **84:** Verfälschung des Brechweinsteins 1133 f.
- Castner (H. Y.), **86:** Gewinnung von Alkalimetallen 2017.
- Castrén, **82:** Analysen von Augit und Hornblende 1555 f.
- Catta (J. D.), **80:** Phylloxera 1068.
- Cathrein (A.), **81:** Krystallform des Diosphenols 579; Dolomit 1368; Wildschöner Schiefer 1421.
- 81:** Identität von Leukoxen und Titanomorphit mit Titanit 1571 f.
- 83:** Chrysoberyll (Alexandrit) von der Tokowaia 1841; Diallaganalysen 1890 f.; mikroskopische und chemische Untersuchung des Saussurits 1899; Analysen von Saussurit verschiedener Fundorte 1899 f.; Unterschied von Zoisit und Epidot 1900.
- 84:** Krystallform von Fahlerz 1910; Krystallform von Magneteisen 1918; Leucoxen oder Titanit als Umrandung von Magneteisen 1918 f.; Krystallform von Kalkspat 1929; Vorkommen von Scheelit 1937; Krystallform von Vesuvian 1952; Krystallform von Granat 1955; Krystallform von Hornblende 1968 f.; Krystallform von Orthoklas 1979; Pseudomorphose von Skapolith nach Granat, Analyse 2000.
- 85:** Analyse von Augiten 2293; Umwandlungsproducte von Granaten: Pseudomorphosen von Epidot, Oligoklas, Hornblende, Saussurit, Chlorit nach Granat, Analyse von Oligoklas 2300.
- 86:** Krystallform des Phenylcumarins und Cumarins 1523 f.; Verwachsungen zwischen Magneteisen und Titaneisen 2237; Analyse, Krystallform von Magneteisen 2242; Vorkommen von Brucit 2243; Vorkommen von Granat 2269; Vorkommen von Kokkolith 2281; Vorkommen und Krystallform von Orthoklas 2288 f.; Untersuchung von Gabbro 2308.
- Catillon (A.), **77:** Wirkungen des Glycerins 1009.
- 81:** Peptone 1001.
- Cattaneo (C.), **83:** thermische Eigenschaften von Monochlortoluol und Benzylchlorid 124.
- Cauderay (J.), **83:** Apparat zur Messung der Intensität galvanischer Ströme 201.

Causse, **86**: Einwirkung von schwefeliger Säure auf metallisches Kupfer 441f.

Causse (H.), **86**: Verbindungen von Chloral mit Resorcin 1266f.

Cavazzi (A.), **82**: Bestimmung von Jod neben Chlor und Brom 1266; Absorption von Stickoxyd 1271.

**83**: Bestimmung des Broms bei Gegenwart großer Mengen von Chloriden 1533f.; Prüfung auf Jod neben Chlor und Brom 1534; Analyse des Meteoriten von Alfanello, Provinz Brescia 1952.

**84**: Einwirkung von Phosphorwasserstoff auf Wismuthchlorid (Phosphorwismuth) 441f.

**85**: Reaction von Aluminium gegen Natronlauge (Natriumaluminat) 476f.; Wismuthcitrat, -phosphat, -arsenat 550f.; Wismuthantimonate 551f.; Einwirkung von Phosphorwasserstoff auf Goldtrichlorid: Goldphosphid 568f.

**86**: Einwirkung von Phosphorwasserstoff auf schweflige Säure 342f.; Darstellung von Kupferchlorür 443f.; Explosionswirkung von unterphosphorigsaurem Natrium auf Natriumnitrat 2078.

Cavendou, siehe Girard (Ch.).

Caventou, siehe Pelletier.

Cawley (J.), **81**: Actinismus 134; siehe Griffiths (Th.).

Cay (Leroy W. Mc), **83**: Bestimmung organischer Substanzen im Wasser 1526; Anwesenheit von Eisen und Kupfer in der rohen Salzsäure 1533; volumetrische Methode zur Bestimmung des Arsens 1546f.

**84**: Analysen von Arseniden und Arsenosulfuriden 1904; siehe auch Mc Cay (Leroy W.); siehe Lindgreen (W.).

Cayley (A.), **77**: Anzahl der einwertigen Radicale  $C_nH_{2n+1}$  21.

Cazeneuve, **80**: Hippursäurebestimmung im Harn 1238.

Cazeneuve (P.), **77**: Hämatin 998, 999.

**79**: Glycolsäure aus essigsaurem Kupfer 602; Zucker im Blut 962; Wirkung des Phosphors auf die Harnausscheidung 993; Zuckerbestimmung im Blute 1076f.

**81**: Campher-Aldehyd 628; Harnsäureausscheidung bei Vögeln 1053.

**82**: Chlor gegen Campher: zwei neue Monochlorcampher 769f.; zwei neue Dichlorcampher 771.

**83**: Acetylen aus Jodoform 503; Monochlorcampher 997f.; Monochlornitrocampher 998.

**84**: Bildung von Acetylen aus Jodoform 517; Einwirkung von Metallpulvern auf Jodoform, Bildung von Jodmethyl und Methylenjodür neben Acetylen 569; Darstellung von Trichlorcampher 1063; Untersuchung von Monochlornitrocampher 1063f.; spezifisches Drehungsvermögen des Monobromnitrocamphers 1064; Nachtheile der Gypsfilter zur Sterilisierung fermentöser Flüssigkeiten 1536.

**85**: Ursache der Explosion bei der Darstellung des Stickoxyduls 416f.; Nachweis von Sulfofuchsin im Wein 2153; Darstellung von  $\alpha$ - und  $\beta$ -Monochlorbromcampher 1657; Camphinsäure 1658.

**86**: Mononitrocampher 1667; Erkennung der Theerfarbstoffe (Fuchsin) im Wein 1986f.

Cazeneuve (P.) und Caillol (O.).

**77**: Caffein 880; Piperin 891; digesto-distillateur à déplacement continu 1098.

Cazeneuve (P.) und Catton (S.), **81**: denaturirter Alkohol 1305.

Cazeneuve (P.) und Diderot, **82**: normaler Dichlorcampher 771f.

Cazeneuve (P.) und Imbert, **80**: Chloralhydrat und Campher 725.

Cazeneuve (P.) und Lépine (R.), **85**: physiologische Wirkung von Dinitronaphtol, Dinitronaphtolsulfosäure und Amidoazo-o-toluolsulfosäure, von rocellinsulfos. Natrium, Sulfofuchsin und Safranin 1849.

Cazeneuve (P.) und Linossier (G.), **85**: reducirende Eigenschaften des Pyrogallols 1257f.; Verhalten einer Dextrinlösung beim Durchleiten eines elektrischen Stromes 1750.

Cazeneuve (P.) und Livon (Ch.), **77**: Verhalten des Harns 1027.

Cazeneuve (P.) und Morell (J.), **85**: kristallographische Eigenschaften und Beziehungen von Campher-substitutionsproducten 567; kristallographische Untersuchung von Campherderivaten:  $\alpha$ -Monochlorcampher, Monobromcampher, Monojod- und Monocyancampher; Dichlorcampher,



Monochlorbromcampher, Monochlor-nitrocampher, Dibromcampher, Monobromnitrocampher 1857.

Cazin (A.), **77**: Spectrum des elektrischen Funkens in comprimierten Gasen 181.

Cech (C. O.), **77**: Chloraltoluidid, Chloralanilid 474; Monochloracetanilid 682; Dichloracetanilid = Chloralmonoanilid, Dichloracetoluidid, Dichloräthylacetamid 683; Taurin im Organismus der Vögel 977; Digestionsöfen 1100; chemische Industrie der Staatseisenbahn im Banate, technologische Apparate 1103; Oxalsäure 1157; Salicylsäure gegen Brutpest 1179; Viridinsäure im Kaffee 1206.

**78**: Einwirkung von Trichlormilchsäure auf Harnstoff 353; über die Addition von Blausäure an Benzoylanilid 476; russische Methbrauerei 1156; Anwendung von wildem Hopfen 1160.

**80**: Farbstoff aus *Rubus Chamaemorus* 1058; Frucht- und Waldbeereweine 1068; Hopfen 1069; Kaffeeöl 1082; Schlafsucht der Seidenraupe 1086; faulendes Hühnerei 1094; Desinfection eiternder Wunden 1340 f.; russische Weine 1354; Mineralquellen von Apatovac 1528.

**81**: Werthbestimmung des Hopfens 1214.

Ceck (C. O.) und Dehmel (B.), **78**: über einen dem Melamin isomeren Körper 347.

Cech (C. O.) und Schwebel (P.), **77**: Isocyanphenol (Isocyanphenyl) 549, 682; Dichloroessigsäure 682.

Cellérier (C.), **81**: Molekulargeschwindigkeiten in Gasen 1073.

**82**: Molekulargeschwindigkeiten in Gasen 55.

Celli (A.) und Marino-Zuco, **86**: Untersuchung des Grundwassers von Rom 1883 f.

Cely (Laurent), **83**: Reinigung des Eisens von Schwefel, Phosphor, Silicium, Arsen, Stickstoff und Kohlenstoff durch feuchten Wasserstoff 1672.

Cenette, **85**: Carminbereitung 2253 f.

Ceresole (M.), **82**: Acetessigäther gegen Natriumnitrit: Nitrosoacetessigäther, Nitrosoaceton, Acetessigsäure 758 f.; acetessigsaures Baryum, Methylacetessigsäure, Dimethylacet-

essigsäure, Benzylacetessigsäure und Salze, Nitrosobenzylaceton, Methylisobutylketon 860 f.

**83**: Violursäure 499; Aether der Isonitrosoacetone 977; Diäthylacetessigsäure 1110 f.

**84**: Untersuchung und Derivate von Benzoylaceton und Isonitrosobenzoylaceton 1051; siehe Meyer (Vict.).

Ceresole (M.) und Koeckert (G.), **84**: Untersuchung von  $\alpha$ - $\beta$ -Diisonitrosobuttersäure 1114 f.

Cerny (J.), **85**: Antikesselsteincomposition 2162.

Certes (A.), **80**: Glycogen in Infusorien 1091; Osmiumsäure in der Analyse 1144.

**83**: Organismen des Wassers 1511.

**84**: Wirkung hohen Drucks auf den Vorgang der Fäulniß 1525.

Certes (A.) und Cochlin (D.), **84**: Verhalten der Hefe gegen Druck 1531.

Cervello (V.), **82**: Adonidin aus *Adonis vernalis* 1170; physiologische Wirkungen des Paraldehyds und Chloralhydrats 1227.

**83**: physiologische Wirkungen des Paraldehyds und des Chloralhydrats 1486.

**84**: Untersuchung von *Adonis cupaniana* 1458; Untersuchung über die Wirkung des Neurins 1512.

**85**: Zusammensetzung des Handels-Neurins 1205; Darstellung von Adonidin aus *Adonis cupaniana* 1814; physiologische Wirkung des Neurins 1852; Wirkung des Trimethyloxäthyl- und Trimethylvinylammoniumhydrats 1854.

Cervello (V.) und Valenti (S.), **85**: Wirkung des Morphins bei gleichzeitiger Anwendung von Paraldehyd 1852.

Cesaro (G.) und Despret (G.), **84**: Analyse von Richellit 1948.

Chabrie (C.), **86**: Fluorsilicate des Aluminiums und Berylliums 399 f.

Chadwick (J. Th. und W.), **80**: Aluminiumsulfat 1302.

Chairy, **84**: Wirkung chemischer Agentien auf die Tyrotrix-Bactérie 1535 f.; Untersuchung von Regenwasser 2031.

Challand, **84**: Einwirkung von Hydroxylamin auf Benzochinon 967.

Challice (S. R.), **79**: Chininreaction 794.

- Chamberlain (J. Ch.), siehe Austen (P. T.).
- Chamberland (Ch.), **79**: neuer Bacillus 1017.
- 84**: Filter aus porösem Porcellanthon 1687.
- Chamberland (Ch.) und Roux (E.), **83**: Abnahme der Giftigkeit der Pest-Bakterien unter dem Einflusse antiseptischer Substanzen 1511.
- Chambrier, **80**: Elektromagnet 179.
- Chamewski (St.), **84**: Fettbildung aus Kohlehydraten 1473.
- Champion (P.) und Pellet (H.), **77**: Molybdänflüssigkeit 1043; Schiefbaumwolle 1759.
- 80**: Beziehung des Zuckers zu den Mineralbestandtheilen der Rüben 1347 f.
- Chance (A.), **83**: Schwefelregeneration, Verwendung des bei diesem Prozesse erhaltenen Kalkschlammes zur Sodagewinnung 1692.
- Chancel, **83**: Darstellung von Propyljodid 592.
- Chancel (G.), **77**: Farbstoffe des Weins 1202.
- 78**: Nitropropionsäure, propylsalpetrige Säure 691; äthylsalpetrige, methylsalpetrige Säure 692.
- 82**: Apparat zur Bestimmung des specifischen Gewichts permanenter Gase 49; alkylsalpetrige Säuren (Dinitroverbindungen der Fettreihe) 453 f.
- 83**: alkylsubstituirte Acetessigäther gegen Salpetersäure 1078 f.; Dinitroäthylkalium aus Methylacetessigäther, Dinitropropylkalium aus Aethylacetessigäther, Dinitrobutylkalium aus Normalpropylacetessigäther, Dinitrobutan 1079.
- 84**: Anwendung der Einwirkung von Salpetersäure auf Ketone zur Aufklärung ihrer Constitution 1048.
- 85**: Reaction der secundären Alkohole 1956.
- Chancel (G.) und Permentier (F.), **84**: Alkalien gegen Schwefelkohlenstoff 371 f.; Löslichkeit des Schwefelkohlenstoffs in Wasser 372.
- 85**: Löslichkeit von Schwefelkohlenstoff, von Chloroform in Wasser 90; Hydrat des Chloroforms 721 f.
- Chandelon (Th.), **82**: Trichlorphenol aus unterchlorigsaurem Natrium und Phenol 671 f.; volumetrische Bestimmung des Phenols 1310.
- 83**: Phenol gegen alkalisches unterchlorigsaures Natrium: Chlorphenole 897 f.
- 84**: Peptonisation der Eiweißkörper 1421 f.; Nachweis von Strychnin und anderer Alkaloide in Vergiftungsfällen 1641 f.
- 85**: Theorie der Verdauung: Umwandlung des Fibrins in Syntonin, Reaction des Pepsins aus Syntonin, Zymogen 1826.
- Chandler (B. F.) und Munsell (C. E.), **82**: Milchverfälschungen 1436.
- Chanlaroff (M.), **82**: Thiacetsäure gegen Schwefelcyanäthyl: Acetylthiocarbaminsäureäther 815 f.
- Chanlaroff (M. B.), **84**: Untersuchung von Butyrolacton (aus Oxäthylacetessigäther) und  $\alpha$ -Aethylbutyrolacton (aus Oxäthyläthylacetessigäther) 1057 f.;  $\alpha$ -Aethyl- $\gamma$ -oxybuttersäure 1058.
- Chapeautot (P.), **84**: Darstellung eines Glycosids aus Boldoa fragrans 1409.
- Chaper, **84**: Diamant auf primärer Lagerstätte 1899.
- Chaper (M.), siehe Friedel (C.).
- Chaperon (G.), **81**: elektrochemische Vorgänge 91.
- 86**: thermoelektrisches Verhalten einiger Substanzen 253; siehe Lalande (F. de).
- Capman (E.), **81**: Löthrohrreactionen 1153.
- Chapman Jones (H.), **80**: schwarze Substanz aus dem Schwefel 255; Natriumpolysulfide 282 f.
- Chapoteaut (P.), **82**: ätherisches Oel von Santalum album 1181 f.; Untersuchung des Magensaftes: Pepsin 1232.
- Chappel (L. N.), **84**: Analyse von Chloropal 1990.
- Chapuis und Linossier, **78**: Gehalt des käuflichen basischen Wismuthnitrats an Blei 294; Nachweis von Blei im Magisterium Bismuthi 1067.
- Chappuis (E.), **81**: Ozon gegen septische Keime 1141.
- Chappuis (J.), **80**: Absorptionsspectrum des Ozons 207.
- 81**: Leuchten des Phosphors 116.
- 82**: Absorptionsspectrum der Uebersalpetersäure 187, des Ozons 187 f.; siehe Hautefeuille (P.); siehe Vincent (C.).

- Chappuis (J.) und Rivière (Ch.), **83**: Brechungsindices der Gase 236.
- 86**: Brechungsvermögen der Luft 289; Brechung des Lichts in Kohlensäure und Cyan 290.
- Chappuis (P.), **79**: Verdichtung der Gase auf Glasoberflächen 73.
- 81**: Absorption von Kohlensäure durch Pfaffenhutholzkohle 66.
- 83**: Wärmeerzeugung bei der Absorption von Gasen durch feste Körper und Flüssigkeiten 139 bis 146.
- Chardonnet (de), **81**: Absorption der ultravioletten Strahlen (Gelatine) 129.
- 82**: Reflexion des Lichts von glatten Oberflächen 168.
- 83**: Sehen der ultravioletten Strahlen und die Absorption in dem Auge 251.
- Charles (J. J.), **81**: Gase der Lebergalle 1042.
- Charles (Ph.), **85**: Gehaltsbestimmung von Jodkalium 1903 f.
- Charlon (E.), **77**: Zinnerze 1277.
- Charpentier (P.), **85**: volumetrische Braunsteinprüfung 1937.
- Chasanowitz (L.) und Hell (C.), **85**: Einwirkung von Brom auf Eugenol (Dibrom Eugenoldibromid und Dibrom-eugenol) 1274 f.
- Chase (H. S.), **83**: Darstellung von künstlichem Leder 1780.
- Chase (R. L.), siehe Norton (L. M.).
- Chase Palmer, **82**: m-Toluolmonosulfamid gegen Oxydationsmittel: Sulfobenzaminsäure (m-Sulfamidobenzoösäure) 1011 ff.; Zimmtsäure gegen rauchende Schwefelsäure: p- und m-Sulfozimmtsäure, deren Sulfamide, p-Sulfamidozimmtsäureamid, p-Sulfamidobenzoösäure 1028 ff.; p-Sulfamidozimmtsäure 1029 f.
- Chastaing, **82**: Verbindungen von Morphin mit Basen, Einwirkung von Salpetersäure auf Morphin, Löslichkeit des krystallisierten Morphins 1100; Jaborandin aus Pilocarpin, Zersetzungen beider Alkaloide 1114.
- 83**: Pilocarpin gegen Brom, Dibrompilocarpin 1355.
- 85**: Chlorirung des Pilocarpins: Dichlorpilocarpinchlorhydratdichlorid, Dichlorpilocarpin, Monojodpilocarpin, Darstellung von Pilocarpin-äthylhalogenverbindungen: Pilocarpinäthyljodid, Pilocarpinäthylbromid, Isoamylderivate, Monojodpilocarpin-äthyljodid 1724; Eigenschaften desselben 1725.
- Chastaing (B.), **81**: Metallverbindungen des Morphins 928.
- Chastaing (P.), **77**: chemische Wirkungen des Lichts 192.
- Chatard (Th. M.), **84**: Methode zur Aufschließung von Silicaten und ihre Anwendung zur Bestimmung der Alkalien darin 1390; siehe Clarke (F. W.).
- 86**: Vorkommen und Analyse von Lucasit (Vermiculit) 2275; Analysen von Olivinfels und seinen Bestandteilen 2308 f.
- Château (L.), **81**: Apparate für die Ammoniakbereitung 1259.
- Chateau (Th.), **80**: Oel aus Hammelfüßen 1128.
- Chatelier (H. le), **82**: mikroskopische Untersuchung von Portlandcementen 1419 f.
- 83**: Chlorosilicat des Calciums 344; Zusammensetzung des gebrannten Gypses 350 f.; hydraulische Kieseisäure 1687; Erklärung der Erhärtung des Gypses, der Cemente und der Kitte durch die Bildung übersättigter Lösungen 1697.
- 84**: chemisches Gleichgewicht 26; Zersetzung von Salzen durch Wasser 129 f.; Zersetzung von Doppelsalzen (Kupfersalzen) durch Wasser 130; Dissociation des Chlorhydrats 227 f.; Calciumboratchlorid (Calciumchloroborat) 382 f.; Calciumchloroferrit 383; Zersetzung der Cemente durch Wasser 1755.
- 85**: Gesetze des chemischen Gleichgewichts 16 ff.; Gesetze der Lösung für Flüssigkeiten und Gase 85 f.; Zersetzung des Quecksilbersulfats, des Antimonchlorürs durch Wasser 111 f.; Anwendung der Gesetze des chemischen Gleichgewichts auf die Dissociation des Chlorhydrats 216 f.
- 86**: Salze für das chemische Gleichgewicht: Princip der Aequivalenz 21 ff.; Thermodynamik und Chemie 166 f.; numerische Gesetze des chemischen Gleichgewichts 169 f.; elektromotorische Kraft von Thermoelementen bei verschiedenen Temperaturen 252; Thermoelectricität des Jodsilbers 252 f.; siehe auch Le Chatelier; siehe Mallard.
- Chaudé (A.), siehe Herran (A.).

- Chaudet, **83**: Papierfabrikation 1777.  
 Chautard (P.), **86**: Monojodaldehyd 1622 f.; Oxytri- und Oxypentaldin 1623; Nachweis von Aceton in thierischen Flüssigkeiten 1971; siehe Olermone (Ph. de).  
 Chauveau (A.) und Kaufmann, **86**: Beziehungen von Glycogen, Glucose, Glycogenie zur Wärmeproduction 1832.  
 Chauvin, **86**: elektromagnetische Drehung der Polarisationssebene im Kalkspath 315.  
 Chavanne (J.), **86**: Vorkommen von Laterit 2313; siehe Gnélat (L.).  
 Chéroukoff siehe Scheschukow; siehe Lwow.  
 Cheesmann (L. M.), **82**: Abhängigkeit des specifischen Magnetismus von der mechanischen Härte 167.  
 Chemin (J.), **86**: Anwendung von Mineralstoffen in der Weißgerberei 2177 f.  
 Cheney (M. S.) und Richards (E. S.), **77**: Nickel von Eisen 1065.  
 Chervet (A.), **83**: Capillar-Elektrometer 200 f.  
**85**: Abhandlung über Capillar-constanten (Auflösung eines Salzes in Wasser 85).  
 Chester (A. H.), **77**: Variscit 1301; Meerschäum (Sepiolith) 1320.  
**78**: krystallisirtes Gold und Gold-amalgam 308; Variscit 1230.  
 Chevalier (F.), **84**: Beize für Faserstoffe 1845.  
 Chevalier (J.), **86**: Analyse der Nervensubstanz 1839 f.  
 Chevreul, **79**: krystallisirtes Chlorophyll 901.  
**82**: Reduction der Nitate zu Nitriten im Boden 1422.  
**84**: Auflösung der Alkalien des Glases durch das Wasser 261; Gesichtswahrnehmung in Beziehung zum Contrast der Farben 282.  
 Chevreul (E.), **77**: alkalische Doppelchloride 242.  
**80**: Function der Blätter 1047.  
**83**: weiße Substanz aus Guano 1721.  
 Chevron, **80**: australischer Guano 1336 f.  
 Chevron (L.), **83**: Untersuchung der bei der Diffusion von Rüben entstehenden brennbaren Gase 1733.  
 Chiappe und Mallesci, **77**: Jodkalium 1144.  
 Chibret und Izarn, **86**: Nachweis von Leukomainen im Harn 1757.  
 Chicandard (G.), **83**: Brotgährung 1504 f.  
**85**: neues Gesetz der elektrochemischen Zersetzungen 282; Untersuchung der Brotgährung (Bildung von Leucin) 1862.  
**86**: Theorie der Elektrolyse 275.  
 Chipmann (R. B.), **78**: Grossularanalyse 1240.  
 Chipman (W. W.), **84**: Flußeisenerzeugung 1707 f.; Herstellung von Erzstahl 1708.  
 Chittenden (H.), **77**: Fleisch von Hippoglossus Americanus 1014.  
 Chittenden (R. H.), **80**: Hypoxanthin aus Eiweiß 1034.  
**83**: Vertheilung des Arsens im menschlichen Körper 1485; siehe Kühne (W.); siehe Johnson (S. W.).  
 Chittenden (R. H.) und Cummins (G. W.), **84**: Verdaulichkeit des Fischfleisches 1474.  
**85**: Einfluss der Galle, der gallensauren Salze und der freien Gallensäuren auf die amylolytische und proteolytische Wirkung der Fermente 1836 f.; Wirkung des Speichels auf Stärke bei Zusatz von Taurocholsäure und Glycocholsäure, Wirkung des Pepsins bei Zusatz von Galle, Wirkung des Trypsins bei Zusatz von Galle 1837.  
 Chittenden (R. H.) und Donaldson (H. H.), **80**: Arsenbestimmung 1165 f.  
**81**: Bestimmung des Arsens 1174.  
 Chittenden (R. H.) und Ely (J. S.), **82**: Einfluss der Peptone auf die diastatische Wirkung des Speichels 1232.  
**83**: Alkalinität und diastatische Wirkung des menschlichen Speichels 1497.  
 Chittenden (R. H.) und Griswold (W. L.), **81**: Wirkung des Speichels 1071.  
 Chittenden (R. H.) und Lambert (S. W.), **82**: basisches Wismuthnitrat, Arsengehalt und Verhalten im Organismus 247.  
 Chittenden (R. H.) und Smith (H. E.), **84**: Untersuchung der Palmitinsäure und Palmitine 1191 f.  
**86**: diastatische Wirkung des Speichels 1868 f.

- Chlopinsky, **84**: physiologisch-chemische Untersuchung des Pikrotoxins 1644 f.
- Chludskinsky (W.), **85**: Zusammensetzung des Vlieses verschiedener Schafracen 2201.
- Chopin (G.) siehe Michailow (W.).
- Choulant und Wappler (F.), **77**: Miargyrit (Kenngottit) 1267.
- Chrapowicki, **81**: tertiäres Butyljodür gegen Natrium (Hexamethyläthan) 351.
- Christ (Ad.) siehe Claus (Ad.).
- Christel (G.), **83**: Nachweis und Bestimmung der Pikrinsäure 1605; efflorescirendes Salz beim sogenannten Rohziegelbau 1712.
- Christenn (G.), **77**: Milchanalyse 1094.
- Christensen (A.), **81**: Werthbestimmung des Pilocarpins 957 f.; Chininbestimmung 1209 f.
- 82**: Quassia aus Quassia amara und Picraena excelsa 1116 f.
- Christensen (O. T.), **81**: Chlorpurpureochromchlorid 234; Luteochromchlorid 235; Chromammoniakverbindungen (Roseochromsalze) 235 bis 241, (Xanthochromverbindungen) 242 bis 243.
- 83**: Oxyde des Mangans, Salze des Manganoxys 365 bis 370.
- 85**: Darstellung von Chrom-, Mangan- und Kobaltcyanverbindungen 586 f.
- 86**: Chemie des Mangans (Manganfluoriddoppelsalze) 419 ff.
- Christiani (A.), **78**: Verhalten von Phenol, Indol und Benzol im Thierkörper 989.
- Christiani (A.) und Baumann (E.), **78**: Ort der Bildung der Phenolschwefelsäure im Thierkörper 990.
- Christiansen (C.), **81**: Wärmeleitungsvermögen von Luft 1100.
- 83**: Abhängigkeit der Wärmeleitung der Luft von der Temperatur, Emissions- und Absorptionsvermögen der Wärme 117; Messung des Brechungsverhältnisses gefärbter Flüssigkeiten 233.
- 84**: Wärmeemission . unebener Oberflächen 166; optische Eigenschaften von fein vertheilten Körpern (Spiegelglaspulver) 282 f.
- 85**: optisches Verhalten von Kienrufs und Hydrophan, Bestimmung des Brechungsverhältnisses eines Pulvers 303.
- Christie, **85**: Ersatz von Kulkoth und Natriumarseniat in der Färberei durch Aluminiumalginat 2198.
- Christie (W. H. M.), **77**: Halbprismen-Spektroskop 181.
- Christofle, **80**: Verarbeitung von Nickelerzen 1262.
- Christomanos (A. C.), **77**: spezifisches Gewicht fester und flüssiger Körper, besonders des Jodtrichlorids 46; Absorptionswärme von Chlorwasserstoff 199; Jodtrichlorid 200, 217, 219; Chromeisensteinanalyse 1058; Chromeisen 1279.
- Christy (S. B.), **79**: Zinnober-Bildung 1183.
- Chroustchoff (P.), **79**: thermochemische Untersuchung der Bernsteinsäure und Salze 108.
- 82**: Lösungswärme von Salzmischen 115.
- Chrutschoff (K. v.), **81**: Glaseinschlüsse in gefritzten Gesteinen 1417.
- 84**: Untersuchung von Cordierit 1973; Zirkonpyroxengranitporphyr 2011 f.; Untersuchung von Leucitgestein 2023.
- 85**: Untersuchung von Granit 2303.
- 86**: Neubildung von Quarz und Tridymit 1239 f.; Vorkommen und Analyse von Zirkonen 2240; Vorkommen von Spinell 2241; mikroskopisches Verhalten secundär gebildeter Glaseinschlüsse in Gesteinen 2303; mikroskopische Untersuchung von Granitporphyr 2306.
- Chruschtschow, **83**: Lösungswärme von Salzmischungen 149.
- Chrystal (W. J.), **81**: Bestimmung des Kaliums 1179.
- Chuard (E.) siehe Brunner (H.).
- Church, **77**: Flussspath 1287.
- 78**: pflanzlicher Albinismus 951.
- 79**: pflanzlicher Albinismus 886.
- 85**: Analyse von Kalait 2299 f.
- Church und Davis, **77**: Zerstörung von Leder durch Leuchtgas 1215.
- Church (A. H.), **77**: antikes Zinn 277; Colein 933; Lactuca sativa, Chondrus crispus, Nasturtium officinale 949; Fagus sylvatica, Ulmus campestris, Triticum sativum 950; Serpentin 1321.
- 78**: Chlorophyll 953; mechanische Trennung von Mineralien 1040.
- 80**: pflanzlicher Albinismus 1047.

- 81:** Capthee 1019; Töpferer, Porcellan 1275; Demantoid 1381.
- 86:** pflanzlicher Albinismus 1805. Church (J. H.), **80:** Temperatur in den Schächten des Comstockganges 1491.
- Churchill, **84:** Herstellung von Marsalawein 1796.
- Chwolson (O.), **77:** Leitungswiderstand 158.
- Ciamician (G. L.), **77:** Harze und Harzsäuren gegen Zinkstaub 960.
- 78:** Spectren der chemischen Elemente und ihrer Verbindungen 173 f.; Einfluß des Drucks und der Temperatur auf die Spectren von Gasen und Dämpfen 174 f.; Elemiharz 984.
- 79:** Spectren der Elemente 160 f.; Einfluß der Dichte und Temperatur auf die Spectren von Dämpfen und Gasen 163 f.; Destillation von Ammoniakgummiharz mit Zinkstaub 947.
- 80:** spectroscopische Untersuchungen 205 f.; Aldehydharz 695 f.;  $\beta$ -Carbopyrrolsäure 811 f.; Aldehydharz 1082 f.
- 81:**  $\alpha$ - und  $\beta$ -Homopyrrol,  $\alpha$ - und  $\beta$ -Carbopyrrolsäuren,  $\alpha$ - und  $\beta$ -Homocarbopyrrolsäuren 423 f.
- 86:** Constitution des Pyrrols 720 f.; Umwandlung des Pyrrols in Pyridin (Chlor- und Brompyridin) 722 f.; Beziehungen zwischen Pyrrol- und Indolderivaten: Chinolinderivate aus Methylketol ( $\alpha$ -Methylindol) 723; Reduction von Chinon durch das Sonnenlicht 1669; siehe Goldschmiedt (G.); siehe Weidel (H.).
- Ciamician (G. L.) und Danesi (L.), **81:** Monobrompyrocoll 423.
- 82:** Pyrocoll gegen Brom (Dibrompyrocoll) 487, gegen Phosphorpentachlorid (Perchlorpyrocoll) 487 f.;  $\alpha$ -Trichlorcarbopyrrolsäure gegen Salpetersäure (Dinitropyrocoll, Nitrocarbopyrrolsäure) 489.
- Ciamician (G. L.) und Dennstedt (M.), **81:** Monochlorpyridin (Isochlorpyridin) 419 f.; Pyrrolkalium, Pyrrolroth 420; Methylenchlorid, Homopyrrolkalium gegen Chloroform 422; Trimethylpyrrol und Isomere 425 f.; Siedepunkte von Homologen des Pyrrols 426; Furfuronitril (Cyanfurfur), Furfurylamin 429; Pyromucamid 725.

- 82:** Bromoform gegen Pyrrolkalium: Monobrompyridin 482 f.; Kohlenstofftetrachlorid gegen Pyrrolkalium 483 f.; Dihydropyridin 484; Pyrrolkalium gegen Monochlorkohlensäure-Aethyläther, gegen Allylbromid, gegen Jod (Tetrolharnstoff, Allylpyrrol) 484 f.; Dihydropyrrol aus Pyrrol 486 f.; Citraconsäureimid 865.
- 83:** Pyrrolerivate 652; Einwirkung von Chlorcyan auf Pyrrolkalium (Cyanpyrrol) 652 f.; Acetyl- und Pseudoacetylpyrrol (Pyrrolketoncarbonsäure) 653 bis 656; Pseudoacetylpyrrol gegen Brom 656 f.; Darstellung von Pyrrolin aus Pyrrol, Nitrosopyrrolin 657 bis 659.
- 84:** Einwirkung organischer Säureanhydride auf Pyrrol 614 bis 618; Nomenclatur für Pyrroyl, Pyreryl, Pyrriyl, Pyrrolen, Umwandlung von Pseudoacetylpyrrol in Pyrrolmethylacetoxim 614; Pyrrolylcinnamylketon, Pyrrolylcarbon- (Pyrrolylglyoxyl-) oder Pyrrolcarboketonsäure 615; Darstellung von Methylpyrrol, Pseudoacetylmethylpyrrol, Dipseudoacetylpyrrol (Pyrrolendimethylketon), Dipseudo-cinnamylpyrrol 616; Pseudobenzoylpyrrol (Pyrrolphenylketon), Darstellung, Benzoylpyrrol, Einwirkung von Phtalsäure-Anhydrid auf Pyrrol 617; Pyrrolenphtalid, o-Pyrrolenoxymethylbenzoesäure (Pyrrolenphenylcarbinol-o-carbonsäure) 618; Einwirkung von Hydroxylamin und kohlensaurem Natrium auf Pyrrol, Bildung des Körpers  $C_4H_5N_2O_2$  620; Einwirkung von Essigsäureanhydrid auf Pyrrol 623 f.; Pseudoacetylpyrrol, Einwirkung von Benzoesäure-Anhydrid auf Pyrrol, Condensationsproducte der Verbindungen mit Aldehyden, Einwirkung von Phtalsäureanhydrid auf Pyrrol, Bildung des Körpers  $C_{11}H_9NO_2$  624.
- 85:** Einwirkung organischer Säureanhydride auf Pyrrol, Formel des Reactionsproductes von Pseudoacetylpyrrol mit salzs. Hydroxylamin 798.
- 86:** Pyrrolkalium, Anwendung desselben zur Abscheidung des Pyrrols aus Thieröl 721.
- Ciamician (G.) und Magnaghi (P.), **85:** Bildung von Tetrachlorpyrimidin aus Alloxan 658; Einwirkung von Chlorkohlendioxyd auf Pyrrolkalium: Carbonylpyrrol und Dipyrrolketon

795 ff.; Bildung von Pyrilmethylketon (Pseudoacetylpyrrol) beim Erhitzen von Acetylpyrrol 797; Verhalten des Carbonylpyrrols beim Erhitzen: Dipyrilketon, Pyrrolylpyrrol 797 f.; Darstellung von Basen aus Pyrrol und Methylpyrrol: Pyrrolidin und Derivate 799 ff.; Butin (Pyrrolylen) 800; Pyrrolin und Methylpyrrolin 802.

**86:** Ueberführung des Alloxans in Tetrachlorpyrimidin 561; Identität von Pyrrolylen mit Butin, Untersuchung zweier Pyrrolylentetrabromide 576 f.; Condensationsproducte von Pyrrol mit Alloxan 727 f.

Ciamician (G. L.) und Silber (P.), **82:** Carbazolderivate, Carbazolsäure 549 f.

**83:** Zersetzung des Körpers  $C_5Cl_7NO$  659; Synthese des Pyrocolls 659 f.; Pyrocollderivate 661 bis 665: Tetrachlorpyrrol,  $\alpha$ -Dichloracrylsäure und Mono- sowie Dichlormaleinimid aus Perchlorpyrocolloctochlorid 662 f.; Dichlormaleinsäure 664.

**84:** Derivate der  $\alpha$ -Carbopyrrolsäure 620 bis 623: Salze und Ester der  $\alpha$ -Carbopyrrolsäure 621;  $\alpha$ -Tribromcarbopyrrolsäure - Methyläther,  $\alpha$ -Tribromcarbopyrrolsäure 622; Pseudoacetyl- $\alpha$ -carbopyrrolsäure-Methyläther, Pseudoacetyl- $\alpha$ -carbopyrrolsäure 623; Einwirkung von unterbromigsauren und unterchlorigsauren Alkalien auf Pyrrol 625; Bildung eines blauen Farbstoffes aus Pyrrol und Isatin 626; Synthese des Pyrocolls 627; Derivate des Succinimids 1125 f.: Dichlormaleinimid, Tetrachlorpyrrol 1125; Dibrommaleinimid, Monobromfumarimid, Dibrommaleinsäure 1126; Untersuchung der  $\alpha$ -Carbopyrrolsäure 1150 ff.; Tribrom- $\alpha$ -carbopyrrolsäure 1151; Pseudoacetyl- $\alpha$ -carbopyrrolsäure 1152; neue Bildungsweise der  $\alpha$ -Carbopyrrolsäure 1152 f.

**85:** Einwirkung von unterbromigsauren und unterchlorigen Alkalien auf Pyrrol (Tribrompseudoacetylpyrrol) 794 f.; Einwirkung von Jod auf Pyrrol bei Gegenwart ätzender Alkalien 795; Verhalten des Dipseudoacetylpyrrols gegen rauchende Salpetersäure (Mononitropyrrolendimethylketon) und Kaliumpermanganat, Reinigung des rohen Acetylpyrrols, Verhalten des reinen Acetylpyrrols beim Erhitzen

mit Acetanhydrid 798; Darstellung von Monobrompyridin und Ueberführung desselben in Pyridin 810 f.; Darstellung von Pyrilmethylketonsulfosäure aus Pseudoacetylpyrrol 1573 f.; Producte der Nitrirung des Pyrilmethylketons 1636 bis 1638:  $\alpha$ -Mononitropyrilmethylketon 1636; Krystallform desselben,  $\alpha$ -Monoamidopyrilmethylketon, Dibrommaleinimid, Dinitropyrrol, Dinitropyrilmethylketon 1637 f.;  $\beta$ -Mononitropyrilmethylketon, Pyrilmethylketon, Darstellung und Oxydation von Dipseudoacetylpyrrol (Pyrilendimethyldiketon) und Mononitropyrreilendimethyldiketon 1638; Herstellung von Tetrajdopyrrol (Jodol) 2081 f.

**86:** Verhalten einer alkoholischen Lösung von Nitrobenzol gegen das Sonnenlicht: Bildung von Anilin und Chinaldin 660 f.; Nitroderivate der Pyrrolreihe: Nitrirung von Pyrreilendimethyldiketon (Dipseudoacetylpyrrol): Mononitropyrreilendimethyldiketon 715; Nitrirung der  $\alpha$ -Carbopyrrolsäure: Dinitropyrrol 715 f.; Synthese des Pyrrols aus Jodol, Verhalten von Tetrachlorpyrrol und Tetrajdopyrrol 721 f.; Einwirkung von unterchlorigsauren und unterbromigsauren Alkalien auf Pyrrol 723; disubstituirte Pyrrollderivate: Oxydation von Pyrreilendimethylketon (Dipseudoacetylpyrrol) 723 f.; Carbopyrreilglyoxylsäure (Pyrrolketondicarbonensäure) und Derivate, Pyrrolldicarbonensäure 724 f.; Oxydation von Pyrilmethylketon- $\alpha$ -carbonensäure (Pseudoacetyl- $\alpha$ -carbopyrreilensäure): Carbopyrreilglyoxylsäure und Pyrrolldicarbonensäure 725 f.; Constitution von disubstituirten Pyrrolderivaten 726 f.; Darstellung von Pyrrolalloxan 728 f.; N-Monomethylpyrrolalloxan, Verhalten des Pyrrolalloxans gegen Kalilauge: Verbindung  $C_7H_6N_2O_3$  729; Silber- und Methylverbindung der letzteren 730; Constitution des Pyrrolalloxans und der Verbindung  $C_7H_6N_2O_3$  (Pyrreilmesoxylharnstoff und Pyrreilmesoxylamid) 730 f.; Einwirkung von Essigsäureanhydrid auf die Homopyrrole (Methylpyrrole) 736 ff.; Darstellung derselben aus Thieröl 736 f.; Einwirkung von Essigsäureanhydrid auf das Gemenge beider: Methylpyrreilmethylketon (Pseudoacetylmethylpyrrol,

- Pseudoacetylhomopyrrol) und Acetyl-methylpyrrole 737 f.; Oxydation von Pyrrolendimethylketon: Carbopyrrolglyoxylsäure, Verhalten der letzteren gegen schmelzendes Kali: Pyrroldicarbonensäure 738.
- Cintolesi, **77**: Tropfenbildung 85.
- Ciotto (Fr.), **84**: Nachweis von Strychnin bei einem Vergiftungsfall 1641.
- Ciotto (Fr.) und Lussana (F.), **85**: Alkaloide aus verdorbenem Mais 1732 f.; alkaloidartige Substanz aus Weizen, Nichtexistenz des Pellagrozins 1732.
- Citron (H.), **86**: Verhalten von Urin gegen Essigsäure 1854.
- Ckiani-Bey, **84**: antiseptische Eigenschaften des Schwefelkohlenstoffs 1777 f.
- Ckiani-Bey (A.), **82**: Verwerthung von Alkoholrückständen 1445.
- Claassen (E.), **80**: Phytolaccin 1082.
- 82**: Orthoklas von Michigan 1568.
- 83**: Ursache der polyedrischen Eindrücke im Eisenglanz von Lake Superior 1837; Analyse eines Eisenspaths vom Ufer des Lake Superior 1853.
- 85**: Identität des Vaciniins mit Arbutin, Vorkommen desselben in den Beeren von *Vaccinium macrocarpum* 1761 f.; Reactionen und Bestimmung des Vanadiums 1930 f.; Vanadinoxid, Vanadinsulfid, Vanadinsäure, Scheidung des Vanadiums von Chrom 1931.
- 86**: Löslichkeit des Schwefelmannigams in schmelzendem Kaliumsulfid 419; Bestimmung von Vanadin und Chrom in Eisenerzen 1937.
- Claassen (H.), **78**: Pentabrom- und Pentachlorresorcin 559 f.; Pentabromresorcin 578.
- Claes (F.), **78**: Veränderlichkeit der Lage der Absorptionsstreifen einiger Körper durch verschiedene Lösungsmittel 177.
- Claesson (P.), **77**: Zersetzlichkeit der Alkalisulfide 239; Mercaptanverbindungen 519; Rhodanessigsäure, Senfölessigsäure, Thioglycolsäure, Carbaminthioglycolsäure, Trimethylsulfinjodid 681; silberthioglycols. Ammonium mit salpeters. Silber 682; Monosulfoglycolsäure (Thioglycolsäure) und Derivate 693; Aethylsulfinsäure, Aethylsulfonsäure, Aethylsulfon 815.
- 79**: Sulfate des Methyl- und Aethylalkohols 486 f.; Aetherschwefelsäuren mehrwerthiger Alkohole 735 f.
- 80**: Chlorsulfonsäureäther 905 f.
- 81**: Farbenreactionen von Sulfhydraten 534; Rhodanessigsäure 674; Carboimidocarbamindithioglycolsäure, Rhodanuressigäther, Rhodanuressigsäure 675; Dithioglycolsäure 678; Toluoltrisulfosäure und Derivate 860; Arabinose und Lactose 984.
- 83**: Bestimmung des Schwefels in organischen Körpern 1594 f.
- 84**: Sulfurirung von Toluol, Bildung von m-Toluolsulfosäure 1330; Verhalten von m-Toluolsulfosäure gegen rauchende Schwefelsäure ( $\beta$ - und  $\alpha$ -Toluoldisulfosäure) 1332.
- 85**: Darstellung und Verhalten des Cyanurchlorids 600 f.; Cyanurjodid 601; Darstellung von Melaminen und Cyanursäureester 601 f.; Constitution von Cyanamid, von Dicyandiamid, von Methyl-, Aethyl- und Phenylcyanamid 631 f.; siehe Klaisen (P.).
- Claesson (P.) und Berg (H.), **80**:  $\alpha$ -Toluoldisulfosäure 921 f.
- Claesson (P.) und Lundvall (C. F.), **80**: Methyl- und Aethylsulfat gegen Amine und Ammoniak 514 f.
- Claesson (P.) und Wallin (K.), **79**: Toluolsulfosäuren 752 f.
- Claisen (L.), **77**: Phenylglyoxalsäure (Benzoylcarbonsäure) 761.
- 79**: Benzoylcyanid und Phenylglyoxylsäure 700 f.
- 81**: Benzoylbromid 395; Acet- und Benzaldehyd gegen Acetessigäther 580; Benzaldehyd gegen Malonsäureäther: Acet-Aethylidenessigäther, Acet-Benzylidenessigäther, Benzylidenmalonsäureäther 581.
- 86**: Verhalten von  $\alpha$ - und  $\beta$ -Naphthol gegen Acet- und Benzaldehyd: substituirte und homologe Acetale 1625 f.
- Claisen (L.) und Antweiler (P. J.), **80**: Trichloracetylcyanid, Isotrichlorglycerinsäure 766 f.; Cinnamylameisensäure 879 f.
- Claisen (L.) und Claparède (A.), **81**: Ketone aus Benzaldehyd mit Aceton und Mesityloxyd 621; Mono- und Dibenzylidenacetone 622; Benzylidenacetophenon 623; Cinnamylameisensäure 832.



- Claisen (L.) und Crismer (L.), **83**: Benzalmalonsäureäther 968 f.; Benzalmalonsäure 969; Salze und Derivate derselben 969 f.; Malonsäureäther 970.
- Claisen (L.) und Matthews (F. E.), **82**: Verbindung von Cyanwasserstoff mit Chlor- und Bromwasserstoff 372 f.
- 83**: Verbindungen des Cyanwasserstoffs mit Halogenwasserstoffen 472; Acetessigäther gegen Aldehyde: Acetisobutylidenessigäther, Acetamylidenessigäther, Acettrichloräthylidenessigäther 963; Acetfurfuralessigäther 963 f.; Acetbenzalessigäther ( $\alpha$ -Acetzimmtsäureäther), Benzalacetäthylessigäther 964; Benzalacetdiäthylessigäther 964 f.
- Claisen (L.) und Moritz (E.), **80**: Propionylameisensäure 792 f.
- Claisen (L.) und Morley (F. H.), **78**: Darstellung von Phenylglyoxylsäure 782.
- Claisen (L.) und Ponder (A. C.), **81**: Furfurilidenaceton, Monobenzylidenaceton 624.
- 84**: Condensation des Acetons mit aromatischen Aldehyden und Furfurol 1049.
- Claisen (L.) und Shadwell (J.), **78**: Synthese der Pyrotraubensäure 697 f.
- 79**: Synthese des Isatins 476 f.
- Claisen (L.) und Thompson (C. M.), **79**: m-Nitro- und m-Amidophenylglyoxylsäure 703 f.
- Clamond (Ch.), **84**: Gasbrenner 1685.
- Clamond und Carpentier (J.), **85**: Verbesserungen an der Thermo säule 252.
- Clamont (C.), **82**: Neuerungen an Gasbrennern 1350.
- Claparède (A.), **82**: Condensationen zwischen Aldehyden und Ketonen 763; siehe Claisen (L.).
- Claparède (A.) und Smith (W.), **83**: Untersuchung eines Nebenproductes der Aurin-Fabrikation: Oxalsäure-Phenol (Phenylorthooxalsäureäther) 943 f.
- Claparède (A. F. R. D.), siehe Carotti (E. C.).
- Clar, **82**: Olivin von Gleichenberg 1547.
- Clar (C.), **83**: Trachyt von Gleichenberg (Steiermark) gegen Kohlensäure 1929.
- Clar (O.) und Gaier (J.), **82**: Titrirung von Schwefelsäureanhydrid und rauchender Schwefelsäure 1267.
- Clark (A. W.), **78**: Berechnung des Gewichtes von Niederschlägen 1039.
- Clark (E. S.), **83**: Unschrädlichkeitsmachung der sich bei der Entzündung von Sprengstoffen in Bohrlöchern entwickelnden Gase 1705.
- Clark (J.), **83**: Trennung von Kobalt und Nickel 1569 f.
- 84**: Analyse von Tabaksblättern 1455; Reduction der Metalle 1705.
- 85**: Bestimmung des Schwefels in Pyriten 1905 f.
- Clark (J.) und (W.), **78**: Reinigung des Leuchtgases von Schwefelkohlenstoff 1165 f.
- Clark (J.) und Henderson, **79**: Wirkung des Phosphorwasserstoffs auf den thierischen Organismus 993.
- Clark (J. W.), **77**: Diaphragmenströme 154; Blitzspectren 183.
- 80**: Flüssigkeiten und Gase bei ihrer kritischen Temperatur 44 f.; Oberflächenspannung der flüssigen schwefligen Säure 80.
- 84**: Reinigung des Quecksilbers durch Destillation im Vacuum 442 f.
- 85**: Bestimmung der Wärmecapacität von Thermometern 118 f.; Verhalten von Schwefel- und Selenzellen 249 f.; elektrische Leitung von geschmolzenem Quecksilberjodid und Quecksilberchlorid 276; Einfluss des Druckes auf die elektrolytische Leitung und Zersetzung verdünnter Schwefelsäure 284 f.; einige Fälle elektrolytischer Zerlegung 286.
- Clark (Latimer), siehe Muirhead.
- Clark (Th. R.), **86**: Anwendung von Naphta in der Sämischergerberei 2177.
- Clark (W. J.), **78**: galluss. und gerbs. Eisen 819.
- 79**: gallussaures Eisen 684 f.
- 80**: dialysirtes Eisen 322.
- Clarke (F. W.), **77**: Molekularvolumen der Haloïdverbindungen von Alkalimetallen 42; specifisches Gewicht von Salzen 43, 45; Fluoralkalien 241; Kobaltjodat 267; Metallfluoride 268; Gold- und Platinfluoride 304; Aufschliessung von Mineralien 1034; Sylvanit 1264.
- 78**: Bestimmung von specifischen Gewichten 25; elektrolytische Bestimmung des Quecksilbers 1068.
- 79**: specifische Gewichte 30 f.

- 81:** Studium der Chemie in den vereinigten Staaten 2; Atomgewichte der Elemente 6; Titrierung der Weinsäure, Aepfelsäure, Citronensäure 1206.
- 82:** Anilin-, Chinin-, Atropinsalz und Tetramethylammoniumverbindung der tartrantimonigen Säure 857 f.
- 83:** Wiederberechnung der Atomgewichte 33; spec. Gewicht anorganischer Verbindungen 51.
- 84:** Wiederberechnung der Atomgewichte 48.
- 86:** Analyse von Lepidomelan 2272; Vorkommen und Analyse von Lithion- und Eisenlithionglimmer 2272 f., von Damourit und Muscovit 2273, von Kryophyllit und Annit 2274; Analyse von Albit 2290; siehe Beamer (M.); siehe Dudley (W. L.).
- Clarke (F. W.) und Chatard (T. H.), **84:** Analysen von Halotrichit und Alunogen 1935.
- Clarke (F. W.) und Chatard (T. M.), **84:** Analyse von Allanit 1952; Analyse von Damourit, Margarit 1961; Analyse von Prochlorit 1963; Untersuchung von Nephrit, Pektolith 1967, 1971 f.; Analyse von Sausurit 1988; Analyse von Halloysit 1989 ff.; Analyse von Fulgurit 2008.
- Clarke (F. W.) und Diller (J. S.), **86:** Analyse eines Apatits 2258 f.; Vorkommen, Untersuchung und Analyse von Türkis 2259 f.; Untersuchung und Analyse eines Topases und seiner Zersetzungsproducte (Damourit) 2260 f.; Untersuchung des Muttergesteins der Türkise 2291.
- Clarke (F. W.) und Evans (Ch. S.), **84:** Untersuchung der Antimontartrate 1131 ff.; Antimontriweinsäure, Antimontritartrat, Antimondiweinsäure, Antimonditartrat, Antimonmonotartrat 1132; Anilinantimontartrat 1133.
- Clarke (F. W.) und Joslin (O. T.), **83:** Phosphid des Iridiums, Verhalten von Platin gegen Phosphor 439.
- Clarke (F. W.) und Kebler (E. A.), **81:** oxals. Chromoxydbaryum 230; Chromooxalate 682.
- 83:** Modificationen des Cadmiumjodids 388 f.
- Clarke (F. W.) und Owens (M. E.), **80:** Uranoxydnatron gegen substituierte Essigsäure 764; Fehlerz 1407.
- 81:** cyans. Kalium gegen Platinchlorid, gegen das Magnus'sche Salz, Platinsulfocyanid und Strychnin 305; Uransalze substituierter Essigsäuren 670.
- Clarke (F. W.) und Perry (N. W.), **83:** Gunnisonit von Gunnison City, Colorado 1910.
- Clarke (F. W.) und Riggs (R. B.), **86:** Analysen von Mineralien der Nephelingroup (Eläolith, Cancrinit, Sodalit, Hydronephelit) 2270 f.; Analyse und Bildung von Cimolite 2291.
- Clarke (F. W.) und Stallo (Helena), **80:** Antimontartrate 805 f.
- Clarke (F. W.) und Stern (D.), **81:** Quecksilberchromate 297 f.
- Clarke (J.) und Dudley (L.), **78:** selencyansaure Doppelsalze 332.
- Classen (A.), **77:** Trennung von Calcium und Mangan 1055; Manganbestimmung als Sulfur 1082; Eisen von Mangan, Kobalt, Nickel und Zink 1064; Mangan-, Kobalt-, Nickel-, Zink-, Silber-, Kupfer-, Cadmium- und Bleibestimmung 1067.
- 79:** quantitative analytische Methode 1021; Eisenoxyd und Thonerde von Mangan 1045 f.; Mangan von Zink 1050 f.; Trennung von Kobalt, Nickel und Zink 1053.
- 81:** Elektrolytische Bestimmungen und Trennungen 1151 f.
- 82:** elektrolytische Fällung von Metallen 1254.
- 84:** quantitative Analyse durch Elektrolyse 1539 bis 1542, 1543.
- 85:** elektrolytische Bestimmung von Metallen 1883.
- Classen (A.) und Bauer (O.), **83:** Anwendbarkeit von Wasserstoffhyperoxyd in der analytischen Chemie zur Oxydation von Schwefelwasserstoff und Schwefelmetallen: Bestimmung von Chlor-, Brom- und Jodwasserstoffsäure neben Schwefelwasserstoff 1527 f., von Metallen aus der durch Kochen ihrer Schwefelverbindungen mit Salzsäure entwickelten Schwefelwasserstoffmenge, der schwefeligen Säure in Sulfaten 1528.
- Classen (A.) und Ludwig (R.), **85:** quantitative Analyse durch Elektrolyse 1881 f.; Bestimmung von Antimon 1881; Trennung des Antimons von Zinn und Arsen 1882; Dynamomaschine zu elektrolytischen Versuchen, Trennung des Eisens von

Mangan und Aluminium, Trennung des Mangans und Aluminiums von Nickel, Kobalt und Zink, Bestimmung des Kupfers 1883.

**86:** quantitative Analyse durch Elektrolyse: Bestimmung von Antimon, Arsen, Zinn, Quecksilber, Wisnuth 1893 f.

Classen (A.) und Reis (M. A. v.), **81:** elektrolytische Abscheidungen von Metallen und Metalloiden 1152.

Claudet (J.), **85:** Zellstoffgewinnung 2195.

Claudon (E.), **84:** Versuche mit Colonnenapparaten 1688.

Claus (A.), **77:** Verhalten von Anthrachinon 654; Chlormaleinsäureäther gegen Kaliumcyanid 711.

**78:** Bildung und Zersetzung organischer Cyanide 320 f.; Entstehung der Dichloressigsäure aus Chloral 677; Nachweis von Wasser in Alkohol 1074.

**79:** freie Weinsäure im Wein 1075, 1141.

**80:** Cymol und Derivate 444; Nitrobenzoesäure 841; Cymolsulfosäure 924; Homocinchonidin und Cinchonidin, Verschiedenheit derselben 973 f.

**81:** Affinitätsgröfse des Kohlenstoffs 311; Acetyl- und Benzoyldiphenylamin, Verhalten gegen Phosphorpentachlorid 473; Dichloressigäther gegen Cyankalium 673; p- und  $\beta$ -Cymolsulfosäuren 863; Chinolinformel 909 f.; Cinchonidin und Homocinchonidin 943.

**82:** Constitution des Benzols 407; Formel des Naphtalins 427; Bromaniline gegen Natrium 511; Phosphorpentachlorid gegen Acetyl- und Benzoyldiphenylamin 546; über die aus den Additionsproducten von Chinolin und Halogenalkylen entstehenden Basen 1074.

**83:** p-Cymolsulfosäuren 1282; Vorkommen freier Weinsäure in Weinen 1627; Bestimmung der freien Weinsäure im Wein 1627 f.

**84:** Constitution des Methylphenylacridiniumhydroxyds 682 f.; Erythroxyanthrachinonsulfosäure 1345.

**85:** Darstellung des Propylens 666; Zusammenstellung der Ammoniumbasen aus Halogenalkyladditionsproducten des Chinolins 960.

**86:** Verhalten aromatischer Ketone gegen Schwefelsäure 1646; gemischte

Methylketone aus aromatischen Kohlenwasserstoffen und Acetylchlorid 1647 f.; Trichloroxynaphtochinon, Trichlornaphtochinonanilid und -toluidid 1677; Chlorirung von Dichlor- $\alpha$ -naphtochinon: Dichlor- $\alpha$ -naphtochlorochinon 1677 f.; Chinhydrone aus Dichlor- $\alpha$ -naphtochinon 1678.

Claus (A.) und Albersheim, **82:**  $\beta$ -Mononitroanthrachinonmonosulfosäure und Salze 1024;  $\alpha$ - und  $\beta$ -Mononitroanthrachinonmonosulfosäure gegen Natriumamalgam, Schwefelwasserstoff:  $\alpha$ - und  $\beta$ -Monoamidoanthrachinonmonosulfosäure 1025 f.

Claus (A.) und Andreae, **77:** Resorcin gegen Oxalsäure 561.

Claus (A.) und Bätke (C.), **80:** Chinalkaloide und Anilin 978 f.

Claus (A.) und Becker (H.), **83:** Tri- und Dinitrotoluol 616 f.

Claus (A.) und Broglie, **78:** Cyanform 341.

Claus (A.), Boris-Monblit und Lange, **81:** Resorcin gegen Oxalsäure: Resorcinoxalein 548, Pentaresorcinoxalein, Tetranitroresorcinoxalein, Resorcinoxaleintrisulfosäure 549.

Claus (A.) und Bock (R.), **80:** Homocinchonidinäthylverbindungen 975 f.

Claus (A.) und Bottler (C.), **81:** Toluylchinine 964.

Claus (A.) und Brandt, **84:** Darstellung naphtylirter Acridine aus Benzoyl- $\beta$ -naphtylphenylamin und Benzoyldi- $\beta$ -naphtylamin 681 ff.

Claus (A.) und Buchler, **78:** Homocinchonidin 878 f.; Chinabasen 879 f.

Claus (A.) und Callieffs (Fr.), **78:** Einwirkung von Cyankalium auf Dichlorbernsteinsäureäther 708.

Claus (A.) und Christ (Ad.), **86:** Gebromte p-Cymolsulfosäuren 1572 f.

Claus (A.) und Collischonn (Fr.), **86:** Untersuchung des neuen, aus Propylbromidchinolindibromid erhaltenen ( $\gamma$ -)Monobromchinolins 908 bis 911; Salze, Derivate 909 f.; andere Darstellungweise, Oxydation: Oxalylanthranilsäure und Monobrompyridindicarbonsäure 910 f.; Const. 911; Additionsproducte der Halogenverbindungen des Chinolins mit Halogenen 925 bis 930: Propylbromidchinolin 926; Propyljodidchinolin 926 f.; Propylchloridchinolin 927; Halogenadditionsproducte des Propylbromidchino-

- line 928, Propyljodidchinolins 929, des Propylchloridchinolins 930; neues Monobromchinolin 930.
- Claus (A.) und Cratz (C.), **80**: p-Cymolsulfosäuren 446.
- Claus (A.) und Dannemann (M.), **80**: Cinchonidinäthylverbindungen 974 f.
- Claus (A.) und Dehne (M.), **82**:  $\epsilon$ -Dichlornaphtalin gegen Salpetersäure: Dichlordinitronaphtalin, Monochlorphthalsäure 1021 f.; Monochlor- $\beta$ -naphtol gegen Salpetersäure: Monochlorphthalsäure, verschiedenes Verhalten der  $\alpha$ - und  $\beta$ -Naphtolmonosulfosäuren 1022.
- Claus (A.) und Diernfellner (C.), **81**: Bromnitroanthrachinone und Derivate 651 f.
- Claus (A.) und Elbs (K.), **80**: Amarinderivate 711 f.
- 82**: Benzylchlorid gegen Dime-thylamarin 565 f.
- 83**: Monobenzylamarin 739 f.
- 85**: Untersuchung des p-Cymylphenylketons 1645 f., des p-Cymylphenylcarbinols; Bildung von Anthracen, zweier m-Xylylphenylketone und zweier Methylantracene 1646.
- Claus (A.) und Engelsing (H.), **82**: Anthrachinonmonosulfosaures Natrium 1022; Anthrachinonmonosulfosäure gegen Natriumamalgam: Anthracenhydrir- und Anthracensulfosäure 1022 f.;  $\alpha$ - und  $\beta$ -Mononitroanthrachinonmonosulfosäure gegen Schwefelsäure: Dioxymononitroanthrachinonmonosulfosäure, deren Anhydrid und saurer Schwefelsäureäther 1026 f.; Aethermonooxymononitroanthrachinonsulfosäure 1027.
- 83**:  $\alpha$ -Mononitroanthrachinonmonosulfosäure gegen Schwefelsäure: Aetheroxyamidoanthrachinonmonosulfosäure 1293 f.; Dioxymonoamidoanthrachinonmonosulfosäure 1294 f.
- Claus (A.) und Erler (M.), **86**: Einwirkung von Brom auf Diphensäure 1512 bis 1515: Monobromdiphensäure 1513 f.; Dibromdiphensäure 1514; Mono- und Dibromdiphenylketon 1514 f.
- Claus (A.) und Feist (P.), **86**: Darstellung und Derivate von  $\alpha$ -Naphtylmethylketon:  $\alpha$ -Naphtylglyoxylsäure 1650 f.
- Claus (A.) und Fickert (E.), **86**: Oxydation von p-Xylylmethylketon: p-Xylyl- $\beta$ -ketonsäure (o-m-Dimethylbenzoylessigsäure) 1649 f.
- Claus (A.) und Gadebusch, **86**: Oxalylanthranilsäure und Monobrompyridindicarbonsäure aus y-Monobromchinolin 910 f.
- Claus (A.) und Glafsner (R.), **83**: Dinitrostrychnin, Kakostrychnin, wechselnde Zusammensetzung von Strychnin verschiedener Herkunft 1342.
- Claus (A.) und Glyckherr (Fr.), **83**: Benzylamidobenzoëssäure und Formylbenzylamidobenzoëssäure aus Chinolinbenzylchlorid 1322.
- Claus (A.) und Graeff, **77**:  $\alpha$ -Nitronaphtalinsulfosäuren gegen Natriumamalgam, Nitrobenzolsulfosäuren 819.
- Claus und Halberstadt, **83**: m-p-Dinitrobenzoëssäure 1124.
- Claus (A.) und Hansen (H.), **80**: Cymol und Derivate 444 f.
- Claus (A.) und Happ, **85**: Darstellung von Chinolinsulfobetaïnen vermittelt Chinolin-p-sulfosäure 1534.
- Claus (A.) und Helpenstein (J.), **81**: Dibrombernsteinsäureester gegen Ammoniak 709.
- Claus (A.) und Hemmann (G.), **83**: Benzidintetracarbonsäure, Anhydrid und Salze derselben 1161 f.
- Claus (A.) und Hertel (A.), **81**: Anthrachinonderivate 651.
- Claus (A.) und Himmelmann (P.), **80**: Benzylchmolin 947 f.
- 81**: Reduction von Chinolin 920.
- Claus (A.) und Hirzel (H.), **86**: Einwirkung von Kalilauge auf quaternäre, vom Anilin abstammende Alkylammoniumjodide (Abspaltung des kohlenstoffreichsten Alkylrestes): Methyläthylanilin aus dem auf drei verschiedene Arten dargestellten Methyläthylpropylaniliniumjodid, Methyläthylpropyl-, Aethylpropyl-, Methyläthylanilin und Derivate 820 f.
- Claus (A.) und Hoch (B.), **86**: Einwirkung von Phosphorpentachlorid auf Phthalsäureanhydrid (Phthalyl- und -tetrachlorid) 1449 ff.
- Claus (A.) und Howitz (H.), **84**: Untersuchung von Alkylderivaten des Anilins 685 ff.
- Claus (A.) und Huetlin (E.), **85**: Darstellung von Alkylhalogenadditionsproducten des Papaverins 1695 f.: Papaverinmethyljodid, Papaverinäthyljodid und -bromid 1695; Papaverinäthylchlorid, Papaverinäthylammoni-

- umhydroxyd, Papaverinbenzylchlorid, Bildung von alkylirten tertiären Basen 1696.
- Claus (A.) und Istel (E.), **82**: Chinolin gegen Brom, Jod, Schwefelkohlenstoff, Schwefel: Tetrabromchinolin 1076 f., Dibromtetrahydrochinolin, Chinolindijodid 1077.
- Claus (A.) und John, **85**: cyanwasserstoffs. Salze organischer Basen (des Chinolins und seiner Alkylderivate) 961 f.; Verhalten von Chinolinbenzylbetain gegen Kalilauge (Benzylcholinlincarbonsäure) 962.
- Claus (A.) und Kautz (H.), **85**: Chlorderivate des o-Xylols 737 f.
- Claus (A.) und Kemperdick, **80**: Aethylderivate des Cinchonins 976.
- Claus (A.) und Knyrim (M.), **85**: Untersuchung der  $\alpha$ -Naphthol- $\beta$ -monosulfosäure 1606 bis 1608: Dichlor- $\alpha$ -naphthol, Trichlor-naphthalin 1606;  $\alpha$ -Dichlor-naphthochinon, Monochloranilidonaphthochinon (Monochlor-naphthochinonanilid),  $\alpha$ -Monochloroxynaphthochinon; Structur des  $\alpha$ -Dichlor-naphthochinons, des Dichlor- $\alpha$ -naphthols und der  $\alpha$ -Naphthol- $\beta$ -monosulfosäure 1607 f.
- Claus (A.) und Kohlstock (H.), **85**: allotrope Modification des Amarins 940; Darstellung von Amarinsilber, Diamarinsilbernitrat und von Alkylderivaten des Amarins 943 bis 946: Monobenzylamarin 944; Benzylamarinbenzylchlorid, Benzylamarinäthyljodid, Benzylamarinäthylchlorid 945; Aethylbenzylamarin, Methylbenzylamarin, Benzylamarinmethyljodid 946.
- Claus (A.) und Kramer (Th.), **85**: Nitro- und Amidoderivate des Chinolins 966 bis 969: o- und m-Mononitrochinolin,  $\alpha$ -Dinitrochinolin 966;  $\beta$ -Dinitrochinolin, o-Mononitrochinolinchlorhydrat, p-Mononitrochinolin, o-Amidochinolin, salpeters. m-Mononitrochinolin 967; Salze des  $\alpha$ -Dinitrochinolins,  $\alpha$ -Diamidochinolin 968; Salze des  $\beta$ -Dinitrochinolins,  $\beta$ -Diamidochinolin 969.
- Claus (A.) und Küttner (P.), **86**: versuchte Darstellung von Betainen aus Chinolin-o-sulfosäure 1593; Einwirkung von Brom auf Chinolin-o- und -p-sulfosäure 1593 f.
- Claus (A.) und Lade (A.), **81**: o-Nitrobenzoesäure gegen Brom 770.
- Claus (A.) und Lindhorst (R.), **80**: Dichlorhydrin gegen Brom 608 f.
- Claus (A.) und Lippe (H. v. d.), **83**: Oxydation des Pentachlornaphtalins 606.
- Claus (A.) und Lischke (G.), **81**: Chlorisocrotonsäureester gegen Cyankalium 706 f.
- Claus (A.) und Lupp, **82**: Dibenzylamarin gegen Halogenalkyle, Constitution des Amarins und Lophins 566 f.
- Claus (A.) und Mac-Houl, **82**: Anthrachinonmonosulfosäures Natrium gegen Salpetersäure,  $\alpha$ -Mononitroanthrachinonmonosulfosäure und Salze 1023 f.
- Claus (A.) und Mallmann (Fr.), **78**: Darstellung der o-Azobenzoësäure 508.
- Claus (A.) und Mallmann (P.), **81**: Jod-, Brom-, Chlormethylchinin 962; Dijodmethyl-, Jodäthyljodmethyl-, Jodmethyljodäthyl-, Jodäthyl-, Methyl-, Jodmethyl-Methylchinin 963.
- Claus (A.) und Mann (F.), **85**: Darstellung von o-Methyläthylbenzol 685.
- Claus (A.) und May (O.), **81**: Azophthalsäure 803 f.
- Claus (A.) und Merck (E.), **83**: cyanwasserstoffsaure Salze von Aninen 623 bis 624; Aethylcinchonidin-, Aethylchinin - Aethylstrychnineyanid 625.
- Claus (A.) und Mercklin (H.), **85**: Darstellung von Dichlorhydrin-Aluminiumchlorür 1612; Phenol-Aluminiumchlorür, Resorcin-Aluminiumchlorür, Diphenyl- und Triphenylpropan 1613.
- Claus (A.) und Mesnil (H. du), **81**: Dichinolin 921; Dipyridintetracarbonsäure aus Dichinolin 922.
- Claus (A.) und Mielcke (P.), **86**:  $\alpha$ -Naphtholdi- und -trisulfosäure nebst Derivaten 1585 f.; Tetrachlornaphtalin 1586.
- Claus (A.) und Moser (J.), **78**: Darstellung von m-Azosulfobenzoesäure 495.
- Claus (A.) und Muchall (Th.), **85**: Vereinigung von Chinolinmonocarbonsäure (Cinchoninsäure) mit Halogenen: Chinolinsäuredibromid, Chinolincarbonsäuredijodid 963; Bromverbindung des Chinolinbenzylbetains 964; Bildung von Mononitrochinolin bei der Sublimation von Chinsäure (Dioxynitrochinolin) 969; Untersuchung der Cinchoninsäure, Verbindung derselben mit Benzylbromid, Chinolinbenzylbetain 1533 f.

- Claus (A.) und Müller (H.), **80**: Methylderivate des Cinchonins 976.
- Claus (A.) und Müller (P. Fr.), **85**: Darstellung von  $\beta$ -Dichlornaphtochinon aus  $\varepsilon$ -Dichlornaphtalin 1670 f.;  $\beta$ -Monooxymonochlornaphtochinon und Salze,  $\beta$ -Monochlornaphtochinonanilid,  $\beta$ -Monochlornaphtochinon-otoluidid und -p-toluidid, Verhalten der Monochlorphtalsäure beim Erhitzen mit Kalk 1671.
- Claus (A.) und Neuhöffer (G.), **77**: Sulphydantoïn, Sulphydantoïnsäure 358.
- Claus (A.) und Nicolaysen (C.), **84**: Verhalten von Methylphenylacridiniumhydroxyd 683.
- 85**: Oxydation von Phenylacridin und von Derivaten desselben mit Kaliumpermanganat 934 bis 936: Bildung von Phenylchinolindicarbonsäure, Phenylchinolinmonocarbonsäure, Phenyl-o-amidobenzoësäure 935; Eigenschaften von salzs. Phenylacridin 936.
- 86**: Phenylacridin 995.
- Claus (A.) und Oehler (H.), **82**:  $\alpha$ -Naphтол gegen Schwefelsäure:  $\alpha$ -Naphтолmonosulfosäure,  $\alpha$ -Naphтолdisulfosäure 1018 f.;  $\alpha$ -Naphтолmonosulfosäure gegen Chlorphosphor:  $\alpha$ -Naphтолmonosulfochlorid,  $\alpha$ -Monochlornaphtol, Dichlornaphtalin 1019 f.;  $\alpha$ -Naphтолphosphorsäureäther 1021.
- Claus (A.) und Pieszcsek (E.), **86**: Oxydation von o-Dialkylbenzolen mit übermangansaurem Kali: o- und m-Xylol, o-Aethyltoluol, o-Cymol 593; Derivate des o-Aethyltoluols 594.
- Claus (A.) und Poppe, **77**: Mellithsäure 802.
- Claus (A.) und Rautenberg (P.), **81**: Jodmethyl- und Jodäthyl-Dimethylanilin, Dimethylanilin gegen Amylbromid 457; Methylamylanilin 458.
- Claus (A.) und Richter (C.), **84**: Einwirkung von Phosphorpentachlorid auf Benzoyl- $\beta$ -naphthylphenylamin und Benzoyldi- $\beta$ -naphthylamin 775 f.
- Claus (A.) und Riemann (P.), **83**: Dichlor-o-kresol und Dichlor-p-kresol, Oxydationsproducte derselben (Trichlortolu- und Trichlorhydrotoluchinon) 925 bis 927.
- Claus (A.) und Risler (E.), **81**: rothe Verbindung aus Benzidin 466; Tetrabrombenzidin 467.
- Claus (A.) und Ritzefeld (C.), **85**: Untersuchung der Halogenalkyladditionsproducte des Narceins: Narceinäthylbromid, Narceinäthylchlorid, Narceinäthylnitrat und -oxalat, Narceinmethyljodid, Narceinmethylchlorid, Narceinmethylnitrat 1702; Narceinbenzylchlorid, Narceinbenzylhydroxyd, tertiäre Alkylnarceine: Methylnarcein, Benzylnarcein, Base  $C_{17}H_{23}NO_{10}$  1703.
- Claus (A.) und Röhre (R.), **86**: Dinibrobrucin 1747 f.; Kakotelin, Brucin gegen Salpetersäure, Brucinmethyljodid, Brucininitrat 1748.
- Claus (A.) und Roques, **82**: p-Bromanilin gegen Natrium und Normalpropylbromid 512.
- 83**: Verhalten von p-Monobromanilin gegen Natrium und gegen Natriumpropylbromid: secundäres Propylanilin (Propylphenylimid) 700 f.
- Claus (A.) und Schaare (H.), **82**: Phosphorpentachlorid gegen Benzoyldiphenylamin: Benzoyldichlordiphenylamin 546 f.
- Claus (A.) und Scherbel (L.), **85**: Additionsproducte des Amarinsilbers und einfach substituirte Derivate des Amarins 946 bis 950: Amarinsilberalkylhalogenverbindungen, Alkylamarinalkylhalogenverbindungen 946 f.; Amarinsilber-Methyljodid, Amarinsilber-Aethyljodid, Amarinsilber-Benzylchlorid, Amarinsilber-Isopropylbromid, Methylamarin, Aethylamarin 947 f.; Aethylamarin-Aethyljodid, Lophin, Monobenzoylamarin und Salze 948; Benzoylamarin-Benzoylchlorid, Dibenzoylamarin, Benzoylamarin-Benzylchlorid, Benzylbenzoylamarin 949; Benzylamarin-Benzoylchlorid, Benzoylbenzylamarin, Benzoylamarin - Methyljodid und -Aethyljodid, Amarinformel 950.
- Claus (A.) und Schmidt (Em.), **86**: Nitrirung der (1,3)-Xylol-p-sulfosäure (drei Nitroxylol- und zwei Dinitroxylolsulfosäuren) 1558 ff.
- Claus (A.) und Schmidt (O.), **86**: Einwirkung von Phosphorpentachlorid auf  $\beta$ -Naphтол- $\beta$ -disulfosäure (Dichlornaphtol und Trichlornaphtalin) 1564 f.
- Claus (A.) und Schneider (E.), **83**: Mononitroanthrachinon- $\alpha$ -disulfosäure, Anthrahydrochinon- $\alpha$ -disulfosäure 1295.

- Claus (A.) und Schnutz, **77**: Anthrachinon 654.
- Claus (A.) und Schulte im Hof (J. A.), **86**: o-Cuminsäure aus Cumol- $\beta$ (Cumol-o)sulfosäure 1767 f.
- Claus (A.) und Schweitzer (H.), **86**: Chlorderivate von Kresolen und Toluquinonen: Darstellung von Dichloro-kresol 1247; Oxydation und Constitution desselben: Di-, Tri-, und Monochlortoluchinon 1247 f.; Darstellung von Dichlor-m-kresol 1248; Oxydation desselben: Tri- und Dichlortoluchinon 1248 f.
- Claus (A.) und Spruck (L.), **82**: Oxydation des Pentachlornaphtalins 448.
- Claus (A.) und Stegelitz (P.), **84**: Darstellung von Tetrahydroäthylchinolin 1374 f.; Darstellung von  $\alpha$ -Dichinoly 1379.
- 86**: Chinolin-p-sulfobenzylbetaïn und Derivate 1592 f.
- Claus (A.) und Stein (G.), **77**: Epichlorhydrin 525.
- Claus (A.) und Steinberg (A.), **83**: Einwirkung von Natrium und Methyljodid auf m-Monobrom-p-toluidin, Acet-m-brom-p-toluid, Dimethyl-p-bromphenylamin (Methyl- und Dimethyl-p-toluidin) 693; Verhalten von Dimethyl-p-bromanilin beim Erhitzen mit Natrium und Aether 694; Acet-m-brom-p-toluid, m-Brom-p-toluidin 708.
- Claus (A.) und Sternberg (A.), **82**: Brom-p-toluidin gegen Natrium und Jodmethyl 511 f.
- Claus (A.) und Stüsser (Th.), **80**: Cymol und Derivate 445 f.
- Claus (A.) und Tenner, **82**: Dibrombernsteinsäureäther gegen Ammoniak: Bromamidobernsteinsäure, Diamidobernsteinsäure 850.
- Claus (A.) und Tonn (L.), **85**: Darstellung der  $\beta$ -Cumolsulfosäure ( $\beta$ -Isopropylbenzolsulfosäure), des  $\beta$ -Cumolsulfosäurechlorids 1604, des  $\beta$ -Cumolsulfamids 1605.
- Claus (A.) und Tosse (Fr.), **83**: Verbindungen von Chinolin mit Halogenalkylen: Chinolinäthylbromid, Chinolinäthylchlorid, (Chinolinäthyl-nitrat), Chinolinamylbromid 1314; Chinolinbenzylchlorid 1315.
- Claus (A.) und Trainer (E.), **86**: Einwirkung von Chlorwasserstoff auf gleiche Moleküle Aldehyd und Methylalkohol: Monochloräthylmethyläther, Dichloräther und Dimethylacetat 1624 f.; Verhalten von Äthyl-, Isobutyl- und Isoamylalkohol bei derselben Reaction, Einwirkung von Acetaldehyd auf Phenol,  $\alpha$ - und  $\beta$ -Naphtol 1625.
- Claus (A.) und Treupel (W.), **80**: Benzylderivate des Cinchonins 976.
- Claus (A.) und Völler (F.), **81**: Chlormaleinsäureäther gegen Ammoniak 719.
- Claus (A.) und Völtzkwow, **81**: Monochloressigsäure-Anilid und -Toluidid, Phenylsenfölg gegen Eisessig, Monochloracetanilid 324.
- Claus (A.) und Volz (O.), **85**: Untersuchung der  $\beta$ -Naphtol- $\alpha$ -sulfosäure ( $\alpha$ -Naphtol-o-sulfosäure,  $\beta$ [1] $\beta$ [2]-Naphtolsulfosäure) 1808 f.: Salze dieser Säure,  $\beta$ [1] $\beta$ [2]-Monochlornaphtol,  $\beta$ [1] $\beta$ [2]-Dichlornaphtalin 1608; Dinaphtylenäther 1609.
- Claus (A.) und Wagner (H.), **82**: gemischte Dibrombernsteinsäureäther 848 f.
- Claus (A.) und Wasowicz (D. v.), **77**: Cyancrotonsäure, Crotaconsäure 716; isomere Brombrenzweinsäure 717.
- Claus (A.) und Weifs (R.), **78**: Einwirkung von Cyankalium auf Dichloressigsäure 678.
- Claus (A.) und Weller (W.), **81**: Cinchoninsäure aus Äethyl- und Bromäthylcinchonidin, Amylcinchonidin 944.
- Claus (A.) und Wenzlik (C.), **86**:  $\beta$ -Heptachlornaphtalin 1679;  $\beta$ -Pentachlornaphtochinon 1679 f.; Tetrachlornaphtochinonderivate 1680.
- Claus (A.) und Wimmel (C.), **80**: Dibromcymol 492 f.
- Claus (A.) und Witt (C.), **85**: Einwirkung von Salpetersäure auf Amarin 940 bis 943; salpeters. Amarin und Dinitroamarin 941; salzs. Dinitroamarin, Dinitroamarinchloroplatinat, Diamidoamarin 942; salpeters. Mononitroamarin, Mononitroamarin 943.
- Claus (A.) und Wollner (R.), **85**: Darstellung von Methyl-p-xylylketon 1644 f.; Isoxylylsäure (o-Allo-m-Dimethylbenzoesäure), Methylphtalsäure, p-Xylylglyoxylsäure, Dimethylbenzaldehyd, Dimethylzimmtsäure 1645.

- Claus (A.) und Zech, **85**: Anlagerung von zwei Atomen Halogen an Halogenalkyl-Additionsproducte des Chinolins 962 f.; Chinolinbrombenzylatdibromid 962; Chinolinbrombenzylatdidiodid, Chinolinchlorbenzylatdichlorid, Chinolinchlorbenzylatdibromid, Bromadditionsproduct von Chinolinäthylnitrat 963.
- Claus (A.) und Zimmermann (O.), **81**:  $\beta$ -Naphtholsulfosäure gegen Phosphorpentachlorid:  $\beta$ -Naphtholsulfosäureäther- $\beta$ -naphtholsulfos. Kalium, tetraanhydronaphtholsulfos. Kalium 877;  $\beta$ -naphtholätherdisulfos. Kalium, Aetherypyrophosphorsäure - dinaphtholsulfos. Baryum, sulfonaphtholätherphosphors. Baryum, Monochloronaphtholätherphosphorsäure 878.
- Claus (C. F.), **82**: basische Ofenfutter zur Entphosphorung des Roheisens 1369.
- 84**: Gewinnung von Schwefel aus Schwefelwasserstoff 1722 f.; Gewinnung von Strontiumhydroxyd 1735 f.; Gewinnung von Schwefelzink und Strontiumhydroxyd 1736.
- Claus (F.), siehe Wallace (W.).
- Claus (W.), **84**: Darstellung von Chrysophenol aus Chrysanilin 766.
- Clausbruch (Cramer v.), **83**: Verarbeitung der Oberharzer Bleierzschließe 1678.
- Clausius (R.), **77**: mechanische Wärmetheorie 87.
- 78**: mechanische Arbeit durch Diffusion von Gasen 65; Ausdehnungsgesetz von Gasen 69.
- 80**: mittlere Weglänge der Gasmoleküle 55 f.; Verhalten der Kohlensäure in Bezug auf Druck, Volum, Temperatur 56 f.; Zusammendrückbarkeit der Gase 62; Vergleichung der elektrodynamischen Grundgesetze mit der Erfahrung 148 f.
- 81**: Dampfdruck und Dampfvolum 55.
- 83**: Verhalten der Kohlensäure gegen Druck, Volum und Temperatur 78.
- 86**: kinetische Gastheorie 164.
- Clausnitzer (C.), **86**: photochemigraphisches Verfahren 2216 f.
- Clausnitzer (Fr.), **78**: Darstellung von Schwefelselenoxytetrachlorid 207 f.; Einwirkung von Sulfuryloxychlorid auf die Chloride des Titans, Antimons, Zinns und Siliciums, miselungene Versuche der Darstellung von Sulfuryloxybromid, von Schwefeloxytetrabromid 208 f.
- 79**: Schwefeloxychloride 205.
- Clausnitzer (F.) und Mayer (A.), **80**: Fettgehalt der Milch 1233.
- Clausnitzer (F.), **81**: Glycerinbestimmung im Bier 1218.
- Claverie (Ch.), **85**: Magnetisirung von Stahlnadeln durch die Entladung von Condensatoren 298.
- Clayden (A. W.), **86**: Bestimmung des Quecksilbervolums in einem fertigen Thermometer 179.
- Clayden (W.) und Heywon (Ch. T.), **77**: Indiumspectrum 1034.
- Clayton (J.), siehe Attout (P. A.).
- Clayton (J. E.), **86**: Vorkommen von Selenquecksilber (Tiemannit) 2225.
- Cleef (G. Doyer van), siehe Doyer van Cleef (G.).
- Clémantot (L.), **82**: Härten des Stahls durch Druck 1374.
- 85**: Härten von Stahl 2028; siehe Freymy.
- Clemence (A. B.), **83**: Bestimmung der Kohle im Stahl 1554.
- 84**: Platintrichter zur Bestimmung von Kohlenstoff im Stahl 1691.
- Clement (J. M.), **81**: Bleichen mit Kaliumdichromat und permanganat 1323.
- Cleminshaw (E.), **85**: Vorlesungsversuche über Spectralanalyse 352.
- Clérault, **77**: Corrosionen an Dampfkesseln 1106.
- Clerc, **85**: Bestimmung des Kohlenstoffs im Eisen 1921.
- Clerc (F. L.), **77**: Zinkhochofen 1117.
- Clerk (Dugald), **86**: Explosion von Gasmischungen 84; spezifische Wärme der Gase bei hohen Temperaturen 187 f.
- Clermont (A.), **78**: Trichloressigsäureanhydrid 678.
- 83**: Aether der Trichloressigsäure 1031.
- 85**: Darstellung von Trichloressigsäure 1330; Bildungswärme des Trichloressigsäure-Aethyläthers und des Trichloracetylchlorids 1330 f.
- Clermont (P. de), **77**: Sulfocyanäthyl und -amyl 431.
- 79**: Ammoniumsalsze gegen Schwefelmetalle 1052.
- Clermont (Ph. de) und Chautard (P.), **82**: Oxydation des Pyrogallols: Purpurgallin, Pyrogallochinon, Deri-



vate des Purpurogallins 682 ff.; Pyrogallol und Gummi arabicum gegen Sauerstoff der Luft 684.

**85:** Darstellung von Jodaceton und Dijodaceton 1632.

**86:** Verhalten von Chinon gegen Chloracetyl 1670 f.; Brenzkatechin-, Pyrogallo- und Phlorochinon 1671.

Clermont (Ph. de) und Frommel (J.); **78:** Dissociation von Metallsulfiden 125; Magnesia als Gegengift gegen Arsen 1012; Scheidung des Arsens von anderen durch Schwefelwasserstoff fällbaren Metallen 1051 f.

**79:** Wasser gegen Metallsulfide 181 f.; Aurin 542.

Clermont (Ph. de) und Guiot (H.); **77:** Schwefelmangan 256; Metallsulfide 259; Schwefelmangan gegen Chlorammonium 1063.

Cleve, **79:** Orthitanalysen 1209.

Cleve (P. P.); **86:** Einwirkung von Benzaldehyd auf Hydroazobenzol: Benzyldenbenzidin 1035.

Cleve (P. T.); **77:** Dichlornaphtaline 411.

**78:** Zusammensetzung von Lanthan- und Didymverbindungen 250 f.; Derivate des  $\eta$ -Dichlornaphtalins 420 f.; Nitrierung der  $\beta$ -Naphtalinsulfosäure 856 f.;  $\delta$ -Dichlornaphtalin 857.

**79:** Scandium im Gadolinit 244; Erbiererde, Thulium, Holmium 244 f.; Zinnchloridverbindungen seltener Erden 286;  $\epsilon$ -Trichlornaphtalin,  $\delta$ -Nitronaphtalinsulfosäure,  $\delta$ -Dichlornaphtalin 390.

**80:** Thulium 304; Erbiererde 304 f.; Cholsäure 1101 f.

**81:** Oxydation der Cholsäure: Biliansäure 1048.

**82:** Atomgewicht des Yttriums, Trennung desselben vom Terbium, Yttriumoxyd 15; Untersuchung des Didyms und Lanthans 286 f.; Choloindansäure; Cholsäure gegen Salpetersäure: Pseudocholoindansäure; Biliansäure gegen Salpetersäure: Cholesterinsäure 1208.

**83:** Atomgewicht von Lanthan 36, von Didym 37, von Yttrium 37 f.; Herstellung von reinem Samariumoxyd und verschiedener Derivate des Samariums 361 f.

**84:** Isomorphismus bei ungleicher Zusammensetzung 397.

**85:** Verbindungen des Didyms (Oxyde und Salze) 480 bis 484; Verbindungen des Samariums (Oxyde und Salze) 485 bis 491; Einwirkung des Wasserstoffhyperoxyds auf die Hydrate der selteneren Erden (Darstellung von Peroxyden) 491 ff.

**86:** Untersuchung über das Samarium 403;  $\gamma$ -Mononitronaphtalinsulfosäure und Derivate 1578 f.

Clewing (C.), **78:** Verbindungen der Pyrotraubensäure mit Sulfiten der Alkalien und alkalischen Erden 698 f. Clifton (R. B.), **77:** Contacterregung 149.

**78:** elektromotorische Kraft in Ketten 131.

Cloëtta (A.) und Schaer (E.), **81:** Nachweis des Phenols im Harn 1203.

Cloëz, **78:** Eläomargarinsäure 737 f.; Eläostearinsäure und Eläolsäure 738.

Cloëz (Ch.), **81:** Krystallform der Citronensäure 748.

**82:** Verhältnisse von Kali zur Gesamttalkalimenge in natürlichen Wässern 1260.

**83:** Pentachloraceton 978; symmetrisches Dichloraceton gegen Chlor 978 f.

**84:** Analyse des Mineralwassers von Dives 2036.

**85:** Wasserstoffentwickelungsapparat 2008.

**86:** gechlorte Acetone 1639; siehe Vigier (F.).

Cloëz (S.), **77:** Kohlenwasserstoffe aus Spiegeleisen 361; Kupfer im Rehblut 1006.

**78:** Einwirkung von Wasser auf Manganeisen 367; Verhalten von Chlornatrium in Lösung gegen Magnesiumdicarbonat 1128; Pelagosit 1221; natürliche Soda 1222 f.

Cloizeaux (A. des), **77:** Isomorphismus von  $HgJ$  und  $HgJ_2$  18; Doppelbrechung des Quecksilberjodürs 179; Krystallform von Wismuthnitrat 279; Quecksilberjodür 299.

**80:** Krystallform des Magnesiums 286.

**81:** Korund, Beryll, Cordierit 1355 f.; Barytocalcit 1368; Serpierit 1372; Hedyphän 1375; Jadeit 1395; Chalkomenit 1411.

**83:** Messungen von Pachnolith und Thomsenolith 1848; krystallographische Untersuchung von Euklaskrystallen aus Brasilien 1873.

- 84:** optische Untersuchungen an Auripigment 1907; Krystallform von Manganocalcit 1931; optische Eigenschaften des Rothbleierzses 1936; krystallographische und optische Eigenschaften von Herderit 1946; optisches Verhalten von Prehnit 1978; siehe Bertrand (E.); siehe Descloizeaux.
- Cloizeaux (A. des) und Bertrand (E.), **81:** optische Untersuchung von Hübnerit 1937.
- Cloizeaux (A. des), Damour (A.), Friedel (C.) und Garasin (E.), **82:** Chalkomenit 1580 f.
- Cloizeaux (A. des) und Jannettaz (E.), **81:** Analyse von Nephelin 1959; Analyse von Oligoklas 1986.
- Cloizeaux (A. des) und Terrill, **81:** Kobaltnickelkies 1352.
- Closset (M.), **84:** Fleischconservierung 1787.
- Closson, **84:** physiologische Wirkungen des Aspidospermins 1509.
- Closson (J. B.), **81:** Magnesia aus Dolomit 1262.
- Cloud (F. C.), **77:** Kupferbestimmung in Hochofenschlacken 1068.
- Clouet, **78:** Arsen in Stärkezucker und Wein 1148.
- Clouet (J.), **77:** Celluloid 1223; siehe Bergeron (G.); siehe Dépierre (J.).
- Clowes (F.), **85:** Beschreibung von Sandsteinen 2310 f.
- Coale (R. D.), siehe Remsen (J.).
- Coale (R. D.) und Remsen (Ira), **81:** Sulfamin-m-toluylsäure, Oxydation: Sulfoisophtalsäure 883 f.; Anhydrosulfaminisophtalsäure, sulfaminisophtals. Salze 884 f.; Oxydation von  $\alpha$ - und  $\beta$ -Xylolsulfosäureamid 885.
- Cobell (J. M.), **84:** Analyse von Infusorienerde 1914.
- Cobenzi (A.), **80:** Ellagsäure 892. **82:** Trennung des Wolframs von Antimon, Arsen und Eisen 1280; siehe Schmitt (C.); siehe Skraup (Zd. H.); siehe Weidel (H.).
- Coblentz (V.), **85:** Einwirkung von Nelkenöl auf einige Metalle 1822 f.
- Cobley (Th. H.), **80:** Verarbeitung von Strohdünger 1330 f. **83:** Dünger (Rofsguano) 1722; Apparat zur Behandlung von Faserstoffen für Zwecke der Papierfabrikation 1775 f.
- Coccone (M.), **85:** Einfluss verschiedener Filtersubstanzen auf die Reinigung von Trinkwasser durch Filtration 2131 f.
- Cochenhäusen (E. v.), **86:** Reinigung und Analyse des Wassers 2108 ff.
- Cocheteux (A.), siehe Krutwig (J.).
- Cochin (D.), **78:** Darstellung und Zersetzungen von Diplatinophosphorchlorür 315 f. **79:** lösliches Gährungsferment der Hefe 1009. **80:** Hefe im Vacuum 1129 f., alkoholische Gährflüssigkeit, lösliches Ferment 1130. **83:** Verhalten der Bierhefe bei Abschluf und Zutritt der Luft 1508 f.; siehe Certes (A.).
- Cock (H.), **83:** amerikanische Thone 1709.
- Cocx (C. W.), **79:** Löslichkeit des Kalkes in Wasser 238.
- Coellen (Th.), **78:** Sulfo-p-chlorbenzoesäure 848.
- Cohen (E.), **77:** Titaneisen 1273. **78:** Meteorit von Zsadány 1317. **79:** Vanadinit-Analyse 1203; Vorkommen des Eklogits 1252. **80:** glasartige Laven 1505. **81:** Amphibolandesitbimsstein 1432. **83:** Arseneisensinter von Schriesheim an der Bergstraße 1869; Analyse des Pinitoids von der Bergstraße 1903 f.; Bestimmung des specifischen Gewichtes von Lösungen 1917; Gesteine aus den Vogesen: Augitgranit und Augitgneis 1924 f.; Pseudometeorit 1951. **84:** Fundstätten der südafrikanischen Diamanten 1898; Untersuchung von Jadeit 1967, 1971 f. **85:** Untersuchung von Labradorfels 2307; siehe Benecke (E. W.).
- Cohen (F.), siehe Meyer (A. B.).
- Cohen (J. B.), **86:** Capillarconstanten von Benzol und Homologen, Anwendung derselben zur praktischen Bestimmung der Kohlenwasserstoffe im Steinkohlentheer 104 f.; Verhalten von metallischem Natrium und Aluminium gegen trockenes Salzsäuregas 388; siehe Schuster (A.); siehe Pechmann (H. v.).
- Cohn, **78:** Züchtung von Bacillen 1018 f. **84:** chemischer Dünger 1762.
- Cohn (E.), **84:** Gültigkeit des Ohm'schen Gesetzes für Elektrolyte 280.

- Cohn (E.) und Arons (L.), **86**: Dielektricitätsconstante 245 f.
- Cohn (F.), **84**: durch Gährung der Milch erzeugte Genußmittel 1783; Untersuchung über die Resorptions- und Ausscheidungsverhältnisse des Mangans im Organismus 1511 f.
- Cohn (L.), **80**: Phthalylhydroxylamin 506 f.
- Cohn (S. H.), **83**: Erzeugung von Mineralfarben 1794.
- Cohné (S.), **80**: Formeln zur Berechnung der Alkohol-Volumprocente 1206.
- Cohnfeld (S. G.), **85**: künstliche Holzmasse durch Imprägniren von Abfällen mit Chlorzink und Chlormagnesium 2193 f.
- Colami und Krüger, **77**: Verzuckern durch Salzsäure 1188.
- Colasanti (G.), **83**: Verhalten von Harnsäure gegen Glycerin 495; Glycerin als Lösungsmittel für Harnsäure 1652; siehe Capranica.
- Cole (Granville), siehe Granville Cole.
- Cole (G. A. J.), siehe Judd (J. W.).
- Coleman (J. J.), **79**: Abkühlung und Verflüssigung leicht flüchtiger Kohlenwasserstoffe 103.
- 84**: Kälteerzeugungsapparate 1694.
- 85**: Verflüssigung von Gasen, Wirkung starker Kälte sowie hoher Temperatur 61; Anwendung von Eisen in Eisenvitriollösung bei Batterien 232; Luft- und Wasserstoffthermometer 197.
- 86**: Bestimmung der Viscosität von Oelen 1997; Reinigung der Flüsse und Abwässer 2111.
- Coleman (J. J.) und Kendrick (J. G. Mc.), **85**: Conservirung von Fleisch, Sistirung von Gährung und Fäulnis, Tödtung von Bacterien und Mikroben (Conservirung von Nahrungsmitteln durch Kälte) 1869.
- Colin, **80**: Milzbrandbacterien 1133.
- Colley und Vakovitsch, **80**: Synthese der Saccharose 1021.
- Colley (R.), **82**: dielektrische Polarisation in Elektrolyten 139.
- 85**: Methoden zur Erzeugung elektrischer Schwingungen 244.
- 86**: Verhältniß zwischen der elektrostatischen und der elektromagnetischen Einheit der Electricitätsmenge 251.
- Collie (J. N.), **81**: Cölestin 1371.
- 84**: Einwirkung von Ammoniak auf Acetessigäther 1116 ff.; Paramidoacetessigäther, Kupferacetessigäther 1116; Acetylparamidoacetessigäther, Hydroxylutidinmonocarbonsäure, Dihydrocollidindicarbonsäure - Aethyläther 1117; Collidindicarbonsäure-Diäthyläther, Paramidoacetessigsäure-Amyläther 1118; siehe Letts (E. A.).
- Collie (J. N.) und Letts (E. A.), **78**: Einwirkung von Methylsulfid auf halogenisirte Essigsäure-Aethyläther 685.
- Collier (P.), **79**: Zusammensetzung von Eupatorium perfoliatum 936.
- 81**: Zucker der Sorghohirse 1303; Platin 1347; Uranothorit 1361.
- Collin (Ch.) und Benoist (L.), **85**: Herstellung der Waidküpe 2239 f.; Reincultur des Ferments Desmobacterium hydrogeniferum 2240 f.
- Collin (H.), siehe Nölting (E.).
- Collineau (A.), siehe Savigny (E.).
- Collins (J. H.), **77**: Moosbildung bei Metallen und Mineralien 301; Graminit 1339.
- 78**: Duporthit 1271 f.
- 80**: Penwilit 1477.
- 81**: Zinkblende 1349.
- 84**: Analyse von Gilbertit 1989; siehe Groddeck (A. v.).
- Collischon (F.), **85**: Analyse eines Hypersthens 2309.
- Collischonn (F.), siehe Claus (A.).
- Colmann (H. G.) und Perkin jun. (W. H.), **86**: Producte der trockenen Destillation von tetramethylencarbon-saurem Kalk: Ditetramethylenketon, Tetramethylenaldehyd (Acetyltetramethylen) 1357 f.
- Colombo (C.), siehe Paternò (E.).
- Coloriano, **86**: krystallisirte Arseniate (Adamin) 364 ff.; Analyse von Staurolit 2262.
- Colson, **85**: Bestimmung der Bildungswärme einiger Phthalate 174 f.
- 86**: Beziehungen zwischen Chemie und Physik: Gesetzmäßigkeiten zwischen Dichte und specifischer Wärme bei Xylolderivaten 12 f.; Ausdehnungscoefficient, Wärmeäquivalent, Dichte, Bildungswärme von Isomeren 13; praktische Lehre für die Darstellung isomerer Benzolderivate, Schwierigkeit des Nachweises von Isomeren bei Flüssigkeiten 14.
- Colson (A.), **79**: Schwefelbestimmung 1032.
- 80**: Schwefel und Wasser 255 f.; Phosphorsäure aus Phosphaten 1288;

Zurückgehen von Superphosphaten 1334 f.

**81:** Diffusion von Eisen und Kohle, Chlorsilber und Chlornatrium, Silber und Chloralkalien, Schwefeleisen und Kupfer, Kalk und Eisen in einander, Verh. von Platin gegen Kohlenstoff 79.

**82:** Diffusion fester Körper, Kohle in Eisen und Porcellan, Platin- und Eisensilicium 87 f.; Siliciumcarburet 257; Sulfid und Oxsulfide des Siliciums 258; Kohlenstoff-Siliciumverbindungen 1034 f.

**83:** Mesitylbromide 594 f.; Mesitylen gegen Brom: Mesitylenglycerin 872 f.; isomeres Mesityltribromhydrin 873.

**84:** Darstellung von Xylolderivaten: o-Xylenglycol, o-Xylylenbromid, o-Xylylenchlorid 534 f.; Darstellung von m-Xylolderivaten: m-Xylylenbromid, m-Xylenglycol, m-Xylylenchlorid 537 f.; Verseifung aromatischer Aether (Xylylenbromüre) durch neutrale Körper 950 f.; Xylylenbromamylin, Einwirkung von Phosphorpentachlorid auf aromatische Aether: Tolylenglycolmonoäthyläther, Benzylmethyläther 951; Untersuchung von Phthalalkohol (o-Xylenglycol, o-Xylolglycol, Phthalglycol), Halogen-derivate 953 f.

**85:** Mesitylen-, Xylol- und Xylol-derivate 682 ff.; Darstellung der von den Xylenen abstammenden Alkohole: o-Xylolmonobromid (Monobrom-o-xylol), m-Xylolmonobromid (Monobrom-m-xylol) und Umwandlung derselben in die Alkohole, o- und m-Tolylalkohol 1219.

**86:** Bildungswärme einiger Phthalate 230; Eigenschaften des Durylen-tetrachlorids, Chlorirung des Hexamethylbenzols 642 f.; siehe Schützenberger (P.); siehe Robinet (G.) Colson (A.) und Gautier (H.), **85:** Einwirkung von Phosphorpentachlorid auf aromatische Kohlenwasserstoffe (Xylole, Toluol) 582.

**86:** Chlorirung von Aethylenchlorür: Tri- und Tetrachloräthan 628 f.; Chlorirung aromatischer Kohlenwasserstoffe: m-Xylylendichlorid, o-Xylylpentachlorid 640; p-Xylylenhexachlorid 640 f.; m-Xylylenhexachlorid, p-Xylylendichlorid; Verhalten von p-, o- und m-Xylylentetrachlorid und von o-Xylylpentachlorid beim

Kochen mit Wasser 641; Durylen-tetrachlorid, Durenyltrichlorid, Durenylglycerin 642.

Combemale, siehe Mairet (A.).

Combes, **82:** Einwirkung von Kaliumpermanganat auf oxalsaures Ammonium, Nichtexistenz von  $\text{NH}_2$  und  $\text{NH}$  469.

Combes (A.), **83:** Base aus Crotonaldehyd 649 f.

**84:** Anwendung der Friedel-Crafts'schen Reaction mittelst Aluminiumchlorid auf gechlorte Aldehyde, Verhalten von Chloral gegen Benzol 530.

**86:** Einwirkung von Aluminiumchlorid auf Acetylchlorid: Acetylaceton 509; Reduction des letzteren zu Isoamylglycol, Verhalten gegen Phosphorpentachlorid 510.

Comey (A.), **84:** Darstellung von Phenylthienylketon und Derivaten 1052; siehe Meyer (V.); siehe Michael (A.).

Comey (A. M.), siehe Jackson (C. L.) Comings (G. R.), **83:** massanalytische Bestimmung des Silbers 1581.

Common (A. A.), **82:** Glasversilberung 1418.

Comstock (C. B.), **81:** Wärmeausdehnung des Zinks 1086.

Comstock (W.), siehe Baeyer (Ad.).

Comstock (W. J.), **79:** Fahlerz 1186. **80:** Uranpfecherz 1413; Tantalite 1478.

**81:** Onofrit 1348; siehe Allen (O. D.); siehe Remsen (J.).

Comstock (W. J.) und Königs (W.),

**84:** Untersuchung über Cinchoninchlorid und Cinchen, Chinen, Cinchonidinchlorid, Chininchlorid, Oxydation von Cinchen, Trioxylepiden 1391; Dibromcinchonin 1391 f.

**85:** Successive Einwirkung von Phosphorchlorid und alkoholischem Kali auf Chinaalkaloide 1706 f.: Cinchen („Cinchoniden“), Cinchenmethyliodid 1706; Conchininchlorid (Chinidinchlorid), „Conchinen“ (Chinen), Apochinen und Bildung einer zweiten Base 1707.

Comstock (W. J.), Königs (W.) und Bernhart (K.), **85:** Untersuchung des Apocinchens 1707 bis 1709: Methylapocinchen, Aethylapocinchen, Jodhydrat und Jodmethylat des Apocinchens, Cinchoninsäure, Methyl- und Aethylapocinchensäure 1708

Oxyapocinchen, Constitution des Apocinchens und Cinchonins 1709.

**86:** Dehydrocinchen aus Dehydrocinchonin und aus Cinchen 1736 ff.; Salze von Dehydrocinchen und Cinchen, Cinchendiabromid 1738.

Conechy (E. G. M.), **80:** Sublimationstemperatur des Arsens 39; Schmelzpunkt des Arsens 276.

Conen (J.), **79:** Derivate des Citronensäure-Triäthyläthers 663 f.

Coninck (Oechsner de), **80:** Dimethylresorcin 648 f.

**84:** Auffassung des Brucins als Tetrahydrochinolinderivat 1389; siehe auch Oechsner de Coninck; siehe Bochefontaine; siehe Marcus.

Conrad (C. P.), **79:** Antimonsäurehydrate 287 f.

Conrad (M.), **77:** Acetessigsäureamyläther, Aethylacetessigsäureamyläther 689; Dibromacetessigätherdibromür, Acetdichloressigäther, Aethylchloracetat, Aethacetinonochloressigäther, Acetdichloressigsäureisoamyläther, Aethacetchlororessigsäureisoamyläther 690; Acetbernsteinsäureäther,  $\beta$ -Acetopropionsäure,  $\beta$ -Methylacetsuccinsäureäther 691; Metallacetessigäther 692.

**78:** Aethoxacetyläthoxacetsäureäther 687; Identität der  $\beta$ -Acetopropionsäure mit Levulinsäure 718; phenylirte Fettsäuren 743.

**79:** substituirte Malonsäuren 612 f.

**80:** Synthesen mittelst Malonsäureester 887.

**82:** Dibromacetessigesterdibromid (Tetrabromacetessigester), Diäthylacetessigester aus Naträtthylacetessigester 845.

Conrad (M.) und Bischoff (C. A.), **80:** Synthesen mittelst Malonsäureester 782 f., 885 f.

Conrad (M.), Bischoff (C. A.) und Guthzeit (M.), **81:** Synthesen mittelst Malonsäureester 702 f.

**82:** Synthesen mittelst Malonsäureester 830.

Conrad (M.) und Guthzeit (M.), **81:** Dimethylbarbitursäure, Dimethylmalonsäure 686.

**82:** Barbitursäurederivate 394 f.; Monochlormalonsäure, Imidodimalonamid, Amidomalonylamid 830 f.; Natriummalonsäureester gegen Chloroform: Dicarboxylglutaraconsäureäther, Glutaconsäure 862 f.

**83:** Dichlordibromacetessigäther 1058 f.; Dichlordibromaceton, Natriumchloracetessigäther, Succinylsuccinsäureäther 1059; Mono- und Dichlordiäthylacetessigäther 1060; Dicarboxyltetracarbonsäureäther 1097.

**84:** Einwirkung von  $\alpha$ - $\beta$ -Dibrompropionsäure auf Malonsäureäther, Darstellung von Trimethylentricarbonsäureäther 1083 f.; Trimethylentricarbonsäure, Trimethylendicarbonsäure 1084; Darstellung halogensubstituierter Lävulinsäureester 1141 f.: Monobrom-, Monochlorlävulinsäureester 1142; Synthese des Mono- und Dicarboxylglutaraconsäureäthers aus Malonsäureäther und Chloroform 1145 ff.; Glutaraconsäure, Isaconitsäureäther, Dicarboxylglutaraconsäure 1146; Methylglutaraconsäure, Benzylglutaraconsäure 1147.

**85:** Zersetzung der Galactose und Arabinose durch verdünnte Säuren 1745 f.; Verhältniß der gebildeten Lävulinsäure, Ameisensäure und Huminsubstanzen 1746; Zersetzung des Rohrzuckers durch verdünnte Säuren 1746 ff.

**86:** Einwirkung von Kohlenoxychlorid auf Kupferacetessigäther: Dehydroverbindung des Carbonyldiacetessigäthers 1331; Verhalten der letzteren gegen Ammoniak: Dimethylpyridondicarbonsäureäther und Derivate 1331 f.; Einwirkung von Monochlorlävulinsäureäther auf Natriummalonsäureäther:  $\alpha$ -Carboxyl- $\beta$ -acetylglutaraconsäure,  $\beta$ -Acetylglutaraconsäure 1363 f.; quantitativer Verlauf der Zersetzung von Dextrose, Lävulose und Milchsücker durch verdünnte Säuren (Inversion des Rohrzuckers) 1773 ff.; Entstehung (und Zusammensetzung) der Huminsubstanzen aus Zuckerarten 1808.

Conrad (M.) und Hodgkinson (W. R.), **77:**  $\beta$ -Phenylpropionsäurebenzyläther (Hydrozimmtsäurebenzyläther), Buttersäurebenzyläther, Phenylvaleriansäurebenzyläther 656.

**78:** Synthese phenylirter Fettsäuren 740 f.

Conrad (M.) und Limpach (L.), **78:** Darstellung einfach und zweifach organisch substituierter Acetessigäther 706.

Conrad (W.), **77:** Hippursäure 797.

**81:** blauer Farbstoff aus Nitroso-dimethylanilin 1330.

- Conradin (C.), **79**: Leimung des Papiers 1150.
- Conroy (J.), **78**: Spectrum des von übermangans. Kalium reflectirten Lichtes 181.
- 81**: metallische Reflexion 137.
- 83**: Intensität des von Metalloberflächen reflectirten Lichtes 255.
- 84**: Reflexion des Lichtes von metallischen Oberflächen 299.
- 86**: Polarisation des Lichtes durch Reflexion am Kalkspath 300.
- Conroy (M.), **81**: Olivenöl (Baumwollensamenöl) 1222.
- 83**: Saft der Frucht von Citrus limetta 1409.
- Conroy (W.), **84**: Bestimmung von Morphinum im Opium 1631.
- Constam (E. J.), **81**: siehe Goldschmidt (H.); siehe Meyer (V.).
- Contamine (G.), siehe Corenwinder (B.).
- Conte (J. le), **80**: glycogene Function der Leber 1091.
- 83**: Kohlensäuregehalt der Atmosphäre 1385 f.; Zinnoberlagerstätte bei den Steamboat Springs, Nevada 1922 f.
- 84**: Theorie der Entstehung der Erzgänge 2006.
- Conte (J. le) und Rising (W. B.), **82**: Lagerungsverhältnisse des Zinnober von Sulphur Bank, Californien 1598.
- Contejean (Ch.), **78**: Natrongehalt der Pflanzen 949.
- 79**: Vorkommen von Kalkpflanzen neben Kieselpflanzen 891.
- Cook (C. S.), **85**: Spectrohysgrometer 2002.
- Cook (E. H.), **82**: Kohlensäuregehalt der atmosphärischen Luft; Quellen desselben 1140 f.
- 83**: Kohlensäuregehalt der Atmosphäre 1386.
- 85**: Anwendung von Wasserstoffsuperoxyd in essigs. Lösung zur Entdeckung und Bestimmung von Jod 1901 f.; Beseitigung des Hüttenrauchs 2009 f.
- Cooke (J. P.), **77**: Antimon- und Halogenverbindungen 284; Filtration 1033; Apparat zur Schwefelwasserstoffbereitung 1102.
- 78**: Atomgewicht des Antimons 8.
- 80**: Atomgewicht des Antimons 333; Oxydirbarkeit salzsaurer Lösungen des Antimons 334; weinsaures Silber-Antimonyl 805.
- 81**: Atomgewicht des Antimons 3; Oxydirbarkeit von Antimonchlorurlösungen 280; Löslichkeit von Chlor- und Bromsilber in Wasser (Atomgewichtsbestimmung des Antimons) 300 f.
- 83**: Veränderlichkeit der Atomgewichte 34; Methode zur Berechnung der Correcturen für Druck und Temperatur bei der Gewichtsbestimmung 1523 f.
- Cooke (J. P.) und Bennet (W. Z.), **81**: Siedepunkt des Antimonjodürs, Differentialluftthermometer 1074.
- Cookson, **77**: Bleiweiß 1156.
- Cooley (R. C.), **84**: Aspirator 1686.
- Cooper, **85**: Sodaentwickler in der Photographie 2256.
- Cooper (A. J.), **86**: Nachweis von Metallen im Trinkwasser 1905 f.
- Cooper (H. P.), **81**: krystallinische Orthophosphorsäure 192 f.; siehe Fletcher (F. W.).
- Cooper (W. J.), siehe Wanklyn (J. A.).
- Coppola (M.), **78**: Salicin und Amygdalin 929.
- Coppet (L. C. de), **79**: Wärmeentbindung von wasserfreiem schwefels. Natrium und Wasser 125.
- 83**: Löslichkeit von Chlor-, Brom- und Jodkalium, sowie von Chlor-, Brom- und Jodnatrium 88 f.
- Coppinger (S. R. W.), **78**: Wärmeleitung des Eises, Untersuchung 76.
- Coppola (F.), **83**: Ptomaine aus Blut 1357; Verhalten der Fluorbenzoesäuren im thierischen Organismus 1473.
- 84**: Bildung von Ptomainen aus faulendem Blut 1398; physiologische Wirkungen des Antipyrins 1509.
- 85**: Bildung der Fäulnisalkaloide 1732; physiologische Wirkungen des Pyridincholins, Pyridinneurins und Pyridinmuscarius 1853.
- 86**: Einfluß der Polymerie auf die physiologische Wirkung der Körper 1861.
- Coppola (M.), **78**: elektrolytische Untersuchungen über Glycoside 152.
- 79**: Rotheisenstein- und Eisenglanz-Bildung 1187.
- 80**: Stereocaulon vesuvianum 1078.
- 82**: Atranorsäure und Bernsteinsäure aus Stereocaulon vesuvianum 1175.

- Coquillion (J.), 77:** Dissociation von Kohlenwasserstoffen 381; Kohlenwasserstoffbestimmung 1078; Entzündung von Grubengas 1107.
- 78:** Verhalten der Kohlenwasserstoffe gegen glühenden Palladium und Platindraht 367.
- 79:** Wasserdampf gegen Kohlenoxyd 230.
- Coranda, 80:** Ammoniak im menschlichen Organismus 1112.
- Cordel (O.), 80:** Knochenkohle 1346.
- Cords (A.) und Deininger (A.), 80:** Kesselstein 1359.
- Corenwinder, 86:** Bestimmung des Kaliums in Düngern 1997.
- Corenwinder (B.), 78:** Gasaustausch von Blättern, Kirschlorbeerblätter 944 f.
- 80:** Banane 1066.
- 82:** Untersuchung der in verschiedenen Boden cultivirten Zuckerrüben 1159.
- Corenwinder (B.) und Contamine (G.), 77:** Zuckerrüben 1174.
- 79:** Potascheprüfung 1107.
- 80:** Zuckerbildung in Rüben 1065.
- Corleis (E.), 86:** Schwefelverbindungen des Wolframs (Sulfowolframate) 432 ff.
- Cormick (C. Mc), siehe Mc Cormick (C.).**
- Corminas (E.), 86:** elektromotorische Kraft von Natrium-Kohle 260.
- Corne (J.), 82:** Leuchten des Phosphors 244; Darstellung der Unterphosphorsäure 246.
- Cornelius (H.) und Homolka (B.), 86:** Darstellung der Hydroazoline aus Hydroazobenzol und Keton säureestern oder Aldehyden: Benzhydroazin und Derivate 1022.
- Cornelius (H.) und Pechmann (H. von), 86:** Synthese des Orcins aus Acetondicarbonsäureäther 1277 f.; Dioxypyhenyllessigsäure und Derivate 1278 f.
- Cornevin (Ch.), 86:** Giftwirkung verschiedener Cytisus-Arten 1866.
- Cornil (V.), 80:** Cantharidinvergiftung 1127.
- Cornil (V.), Jürgens (R.) und Heschl, 77:** Methylanilin gegen amyloiddegenerirte Körpertheile 1089.
- Cornu (A.), 78:** ultravioletter Theil des Sonnenspectrums 185 f.
- 79:** Interferenzerscheinungen 153; Wellenlängen der Strahlen im Spectrum einiger Metalle 165 f.; ultraviolettes Spectrum 166 f.
- 80:** normales Sonnenspectrum 194 f.; Begrenzung des Spectrums am ultravioletten Ende 213.
- 81:** circuläre Doppelbrechung 140.
- 84:** Spectrallinien des Sonnenlichtes 289.
- 85:** Spectrallinien, die sich von selbst umkehren (Spectralanalyse) 318 f.
- 86:** Construction von Wasserstoffröhren zu Untersuchungen über elektrische Entladungen 281; Trennung der tellurischen Banden von den solaren 303.
- Cornu (M.), siehe Brogniart (C.).**
- Cornwall (B.), 80:** Vorkommen von Gallium 327.
- Cornwall (H. B.), 77:** Indium 253.
- 80:** Haltbarkeit einer Chlorammoniumlösung 1156; Zinkblende 1405.
- 82:** Löthrohrreagentien 1255.
- 86:** Butteruntersuchung 2000 f.
- Cornwall (H. B.) und Wallace (Sh.), 86:** Butteruntersuchung 2000.
- Coromilas (L. A.), 77:** Elasticitätsverhältnisse im Gyps und Glimmer 73.
- Corsi (A.), 79:** Prehnit 1232 f.
- 81:** Pollux 1398.
- 82:** Zirkon im Euphotid, im Granit von Elba 1527; Pleonast im Grünstein von Elba 1529.
- 83:** Mikrolithe von der Insel Elba 1905 f.; Pyrrhit von den Azoren 1906.
- Cortazar, 78:** Metallurgie des Quecksilbers 1113.
- Corvin (J.), 85:** Füllmassen zur Füllung der Doppelwandung von Stubenöfen 2163 f.
- Corwin (F. M.), 78:** Verhalten von Calomel gegen mechanische Agentien 302.
- Cosack (J.), 79:** Tuluidinderivate 432.
- 80:** o- und m-Toluidinderivate 539 f.
- 84:** Methode der Stickstoffbestimmung in salpeterhaltigen Düngemitteln 1612.
- Cosiner (C.), 81:**  $\alpha$ -Naphthylaminderivate: Formo- und Benzoyl- $\beta$ -naphthalid, Monobrom- $\beta$ -naphthylamin und Derivate,  $\beta$ -Naphthylacetnaphthalid,  $\beta$ -Naphthylurethan 476; Mono- und Di- $\beta$ -naphthylsulfoharnstoff,  $\beta$ -Naphthylsenföhl,  $\beta$ -Naphthylsulfurethan, Mono- $\beta$ -naphthylharnstoff 477.

Cossa (A.), **77**: Ebullioskop 1100; Molybdänglanz 1265; Periklas 1271; Predazsit 1289.

**78**: Vorkommen von Didym, Cer und Lanthan 245; Trennung von Cäsium und Rubidium 1058; natürlicher Kaliumalaun, Liparit, Lava 1225 f.; Gas einer Grube auf Vulcano 1292.

**79**: Ceritmetalle enthaltende Mineralien 241; Absorptionsspectra von Mineralien 241 f.; Vorkommen von Cer, Lanthan, Didym 1179; Serpentinanalysen 1224; Asche und Lava des Aetna vom Jahre 1878 1254 f.

**80**: Vorkommen von Ceritmetallen 293; Didymwolframat 293 f.; Korund 1409; Rutil 1412; Granat 1443.

**81**: Serpentine 1390; Pyroxen, Augit 1391; Diallag 1392; Desmin 1399; Labrador 1403.

**82**: Hieratit von Vulcano 1531.

**83**: Analyse eines Diallags von Casone Braccia, Veltlin 1891; dem Saussurit ähnlicher Feldspath vom Murettopafs, Veltlin 1900.

**84**: Isomorphismus des Didym- und Bleimolybdat 395 f.

**86**: krystallisiertes Cerwolframat und -molybdat 401 f.; Didym- und Bleimolybdat 402.

Cossa (A.) und Arzruni (A.), **82**: Chromturmalin vom Ural 1544 f.; Entstehung des Serpentin vom Ural 1598 f.

Cossa (A.) und Pecile, **77**: Fluor-magnesium 251.

Cossa (A.) und Zecchini (M.), **80**: neutrales Cerwolframat 294.

Coste, **80**: Phylloxera 1068.

Coste (W. la), **82**: Monobromchinolin gegen Pyroschwefelsäure:  $\alpha$ - und  $\beta$ -Monobromchinolinmonosulfosäure und Salze 1030 ff.; p-Bromanilin, Dibromanilin, p-Chloranilin, p-Dichloranilin, Dinitroanilin, p-Amidodiphenyl gegen Nitrobenzol, Glycerin und Schwefelsäure: Bromchinolin, Dibromchinolin, Chlorchinolin, Dichlorchinolin, Dinitrochinolin, Phenylchinolin 1074 f.; Jodmethyladditionsproducte von Bromchinolin und Chinolin gegen Silberoxyd und Alkalien: Monobromchinolinmethyloxyd, Monobromchinolinmethylhydroxyd, Dibromchinolinmethylhydroxyd, Chinolinmethyloxyd 1073 f.; Chinolinbenzcarbonsäuren aus Cyanchinolin 1074;

Monobromnitrochinolin, Monobromamidochinolin 1075.

**83**: p-Mononitrochinolin, p-Monoamidochinolin 1315; p-Dimethylamidochinolin 1315 f.; o-Mononitrochinolin, m-Phenanthrolin und Oxyphenanthrolin aus m-Mononitroanilin 1316.

**84**: Gewinnung von Chinolindisulfosäuren 1743 f.

**85**: Dampfdichtebestimmung mittelst der Luftverdrängungsmethode 44; Feststellung zweier Isomere in dem als einheitlich betrachteten m-Chlorchinolin 964; siehe La Coste (W.); siehe Michaelis (A.).

Coste (W. la) und Bodewig (J.), **84**: Untersuchung und Derivate von m-Chlorchinolin 1376.

**85**: Oxydation von m-Chlorchinolinmethylchlorid mit Kaliummanganat 964 ff.: Methylformyl-o-amidochlorbenzoesäure, Methylpseudochlorisatin 965.

Coste (W. la) und Michaelis (A.), **78**: Organoarsenverbindungen 867 f.

Costelo (D.), **77**: Gummigut 947.

Costerus (J. C.), **80**: Einfluß der Salzlösungen auf die Lebensdauer des Protoplasmas 1049.

Costobadie (H. A.), **85**: Drucken mit künstlichem Indigo (Propiolsäurepaste) 2241.

Cotton, **77**: Fuchsin im Wein 1204. Cotton (S.), **84**: Einwirkung von Zink auf Chloralhydrat 1027.

**85**: Verhalten des Chloralhydrats gegen Oxydationsmittel (Quecksilberoxyd) 1294 f.; Chloroform, Bromoform und Jodoform gegen Kaliumpermanganat und Chromsäure 1295; siehe Cazeneuve (P.).

Couley (R.), **86**: Reduction von Eisen-erzen 2022.

Coulrier, siehe Berthelot.

Councler (C.), **77**: Borsäureallylather, Dibenzyl aus Benzylalkohol 867.

**78**: Bildung von Boroxychlorid 230; Verhalten von Aethylenglycol gegen Borchlorid, von Isopropylalkohol gegen Borsäureanhydrid 523; Methylhexylketon aus Caprylalkohol 530; Organometallverbindungen 862.

**79**: Fluorborsäureäthylen 229.

**80**: Kohlensäure-Methyläther 436 f.; Kohlensäureäther 595.

**82**: Analyse der Asche von Aster Amellus 1171 f.



- 83:** Aschengehalt der Blätter von in Wassercultur und von auf festem Boden gewachsenen Bäumchen 1394 f.
- 85:** Gerbstoffgehalt verschiedener Gerbmittel 2200; siehe Nobbe (F.).
- Councler (C.) und Schröder (J.).
- 82:** reducirende Wirkungen des Tannins 1471.
- Courant (E.) und Richter (V. v.).
- 85:** Einwirkung von Sulfurylchlorid auf Natriummercaptopid (Aethyldisulfid) 1161.
- Court (J.), siehe Schmidt (E.).
- Courtois (C. H.), **78:** Alizarinlacke 1192.
- Courtonne (H.), **77:** Löslichkeit des Rohrzuckers in Wasser 903.
- 82:** Erstarrungspunkt der Mischungen von Naphtalin und Stearinsäure 102 f.
- 86:** Apparat zum Trocknen von Zuckern, Syrupen u. s. w. 2009.
- Coutolenc (G.), **81:** Verdampfung des Glycerins 508.
- 80:** Quecksilberpumpe 1240.
- Couty, **82:** Kaliumpermanganat gegen das Gift der Bothrops 1223; Wirkung des Curare; Analogien und Unterschiede in den physiologischen Wirkungen von Curare und Strychnin 1228.
- Couty, Guimaraes und Niobey, **84:** Untersuchung der Wirkung des Kaffees auf die Zusammensetzung des Blutes 1510.
- Couty und Lacerda (de), **79:** Curare 928.
- Cowardins (S. P.), **83:** Kohlenoxydjodid 337.
- Cowles, **85:** Gewinnung von Aluminium 2016.
- Cowles (E.) und Cowles (A.), **85:** Reduction und Schmelzen von Mineralien 2010.
- 86:** Gewinnung von Zink vermittelst Elektricität 2020.
- Cowles (E. H.) und Cowles (A. H.), **86:** Reduction von Mineralien und Herstellung von Legirungen mittelst Elektricität, Darstellung von Aluminium 2015 f.
- Cowles (E. H.), Cowles (A. H.) und Mabery (C. F.), **85:** elektrischer Ofen zur Reduction von Oxyden des Siliciums, Bors, Aluminiums und anderer Metalle 2013.
- 86:** elektrischer Schmelzofen; Legirungen: Herkulesmetall, Aluminiummessing und -silber 2015.
- Cownley (A. J.), **78:** Londoner Badeswässer 1313; siehe Paul (B. H.).
- Cowper (R.), **81:** Alkohol gegen Quecksilbernitrat 503 f.
- 82:** Glas gegen einige Reagentien 1258 f.; Analyse von Eisenrost 1374.
- 83:** Verhalten des Chlors zu Metallen 279.
- Cowper (R.) und Lewes (Vivian B.), **84:** Oxydationsproducte des Phosphors durch trockene Luft bei niederer Temperatur 358.
- Cox (E. T.), **80:** Antimonoxyd 1416.
- Crafts, siehe Meier.
- Crafts, (J. M.), **78:** Luftthermometer, neue Form, Anwendung zur Bestimmung hoher Siedepunkte 67.
- 80:** Dichten des Chlors, Broms, Jods 27, 28; Dichten von Ammoniak, Kohlensäure, Chlorwasserstoff 30 f.; Erhöhung des Nullpunktes von Quecksilberthermometern 88; Aenderung des Ausdehnungscoefficienten des Glases 87 f.
- 82:** Bereitung der Quecksilberthermometer 94; Vergleichung des Quecksilberthermometers mit dem Wasserstoffthermometer, Natronglas-thermometer 95 f.
- 83:** Dichte des Chlors bei hohen Temperaturen 48; Siedepunkte und Dampfspannungen von Quecksilber, Schwefel und einigen Kohlenstoffverbindungen 130 f.
- 84:** abnorme Ausdehnung der Gase 89; Gebrauch von Quecksilberthermometern zur Bestimmung von Schmelz- und Siedepunkten 158 bis 161; siehe Ador (E.); siehe Friedel (C.); siehe Meier (Fr.).
- Crafts (J. M.) und Meier (Fr.), **80:** Bestimmung hoher Temperaturen 88.
- 81:** Dichte des Joddampfes 47.
- Craig (G.), **82:** Bestimmung des Schwefels im Eisen 1266.
- Craig (W.), **80:** Aloë 1080.
- Cramer (T.), **82:** Ernährungsweise der Vegetarier vom physiologischen Standpunkte 1185.
- Cramer-Dolmatow (A.), **84:** specifisches Gewicht gasförmiger Verbindungen 70; Bildung der Elemente durch Condensation von Wasserstoffgas 167.
- Cramer von Clausbruch, siehe Clausbruch (Cramer v.).
- Crampton (C. A.), **82:** Bestimmung des Zuckers 1324; siehe Richardson (Cl.).

- Cratz (C.), siehe Claus (A.).  
 Creath (A. S. Mc.), **77**: Kohlenstoffbestimmung im Eisen und Stahl 1056.  
**83**: Analyse des Martits vom Cerro de Mercado, Mexico 1914.  
 Credner (H.), **77**: Alaunstein 1297; Turmaline 1306.  
**82**: Gangtheorien 1598.  
**84**: Untersuchung von Nephritbeilen 1967 f.  
 Creighton (W. H.), **78**: Bestimmung von spec. Gewichten 25.  
 Crespi (P.), **81**: monobromanissaure Salze 775; Dibromanissaure und Salze 776.  
**83**: Löslichkeit des Strychnins 1340.  
 Cresti (L.), **77**: Reaction auf Kupfer 1067.  
**78**: Thermoregulator für Luftbäder, Beschreibung 68.  
 Creutz (J.), **84**: Verwerthung von Zink aus Kiesabbränden, aus Pyritrückständen 1700.  
 Creydt (R.) und Tollens (B.), **86**: Bestimmung der Raffinose 1973 f.  
 Crié (L.), **79**: Amylomycin 905.  
**81**: Phosphorescenz von Pflanzen 1007.  
 Crismer (L.), **84**: Anwendung von flüssigem Paraffin 1558; Anwendung des neutralen Kaliumchromats zur Darstellung titrirter Jodlösungen 1566; volumetrische Bestimmung des Eisens und der Stannosalze 1596; siehe Claisen (L.).  
 Cripier (W. R.), **82**: Analysen des Holzes von *Mangifera indica*, *Shorea robusta*, *Butea frondosa* 1157.  
 Cripps (R. A.), **84**: krystallisiertes Natronhydrat 376.  
 Crispo (D.), **83**: Bestimmung des Stickstoffs in Düngern 1590.  
**84**: Entfärbung von Zuckersyrup 1794.  
 Croft (H. H.), **82**: Klapperschlangengift gegen Jodjodkaliumlösung 1231.  
 Croix (Actiengesellschaft), **79**: kohlen-saures Kali 1107.  
 Croix (W. de la), **84**: Einfluss der Verdünnung auf die Geschwindigkeit der Umsetzung von Acetamid mit Säuren 23 ff.  
 Crommydis (Z.), **77**: organische Säuren gegen Wasserstoff (Glycol-säure) 657.  
 Cronquist (A. W.), **84**: Untersuchung einer Kohle von Ranuun 1996.  
 Cronquist (W.), **79**: Verunreinigungen des Branntweins 1138.  
 Crook (W. G.), **79**: Carbonsäurelösung gegen Fette 1076.  
 Crooke (J.), **85**: Gewinnung von Silber und Kupfer aus Kupferstein 2038 f.  
 Crookes (W.), **79**: strahlende Materie 145 f.  
**80**: Wärmeleitung in verdünnter Luft 99 f.  
**81**: Constitution der Materie (Ultragaz-Zustand) 2; Zähigkeit von Gasen 65; discontinuirliche Spectra phosphorescirender Körper 130 f.  
**83**: Spectrum des Phosphoreszenzlichtes 248.  
**84**: Phosphoreszenzspectra (strahlende Materie) 293.  
**85**: Spectroskopie der strahlenden Materie (Yttrium und Samarium) 331 f.; Spectrum einer Mischung von Samarium- und Yttriumerde 332.  
**86**: Spectra der seltenen Erden (Erbium, Yttrium, Terbium) 307 bis 310; Vorkommen eines neuen Elementes im Samarskit 403; Zerlegbarkeit der Yttererde, des Samariums und Gadoliniums 403 f.; Theorie einer Fractionirung durch partielle Fällung 1892 f.  
 Crookes (W.), Odling (W.) und Tidy (C. M.), **81**: Londener Trinkwasser 1449.  
 Cros (C.) und Vergeraud (A.), **83**: Erzeugung von directen positiven Bildern auf Papier 1823 f.  
 Cros (Ch.), **79**: photographische Platten für weniger brechbare Strahlen empfindlich 168.  
 Cros (Ch.) und Carpenter (J.), **81**: photographischer Farbendruck 136.  
 Crossa (F.), siehe Fileti (M.).  
 Crosby (W. O.), **80**: Pinit 1473.  
 Crofs (C. F.), **78**: Berechnung des Gewichtes von Niederschlägen 1039; Bestimmung des Eisens 1060.  
**79**: Rückbildung von Hydraten 179.  
**81**: Wasseraufnahme durch entwässerte Salze oder Oxyde 150; Kohlensäure der Athemluft 1030; Federwage 1232.  
**83**: Sulfittstoffherstellung, Prüfung auf Lignose im Sulfittstoffe 1775.  
**84**: Hydratation entwässerter Salze und Oxyde 14; siehe Bevan (E. J.).  
 Crofs (C. F.) und Bevan (E. J.), **82**: Schmelzpunktsbestimmungen 103;

- Kohlenstoff und Pseudokohlenstoffe 248 f.; Untersuchung der Jutefaser, Verhalten derselben gegen Chlor, Bastose, Bastine 1149 f.; Wechselbeziehungen zwischen . organischer Chemie und den Erscheinungen des Lebens 1185; Apparat zur Schmelzpunktabbestimmung 1349.
- 83:** Cellulose gegen Salpetersäure: Oxycellulose, Oxycellulose gegen Salpetersäure-Schwefelsäure 1366; Lignification, Lignose (Mairougallol) 1393 f.; Sacculminverbindungen 1394; Cellulose gegen Salpetersäure: Hydrocellulose und Oxycellulose 1777.
- 84:** Phenylhydrazin als Reagens auf Oxycellulose 1624; Beiz- und Appreturmittel, Gelalignosin und Albulignosin 1839.
- 85:** Bestimmung des Kohlenstoffs in Cellulosen (Apparat zur Bestimmung des Gemenges von Kohlensäure und Kohlenoxyd) 1982; Vorgänge bei der Hydratation der Cellulose, Nachweis von Espartogras und Strohcellulose im Papier 2194.
- Crofs (C. F.), Bevan (E. J.) und Witz, **84:** Untersuchung von Cellulose und Oxycellulose 1832 f.
- Crofs (C. F.) und Higgin (A.), **79:** Einwirkung einiger Metalloide auf Wasser 177 f.
- 82:** Chromoxydsulfat 305.
- 83:** Zersetzung des Wassers durch Schwefel 287 bis 289.
- Crofs (C. F.) und Suguira (S.), **78:** Halogene gegen Metalloxyde 290.
- Crofs (Ch. J.), **77:** Derivate des normalen primären Heptylalkohols 530.
- Crofs (F.), **82:** Jutefaser, Bastose 1469; siehe Suguira (S.).
- Crofs (J.) und Wells (G. J.), **84:** Extraction von Silber, Blei, Kupfer, Zink 1717.
- Crofs (W.), **83:** Hypersthen als Bestandtheil von Andesit und Augitan- desiten 1930 f.
- 84:** Untersuchung von Topas, Nevadit 1950; Untersuchung von Sanidinen 1981.
- 86:** Vorkommen von Topas in Rhyolithen 2261; Bildung desselben 2261 f.; Zusammensetzung eines Grana- ts (Spessartin) 2269; Analysen von Rhyolithen 2310; siehe Iddings (J. P.).
- Crofs (W.) und Eakins (L. G.), **86:** Vorkommen und Analyse eines neuen Zeoliths: Ptilolit 2288; Analyse von Augitan- desit 2311.
- Crofs (W.) und Hillebrand (W. F.), **82:** Topas, Zirkon und Phenakit von Colorado 1543 f.; Phenakit von Colorado 1549; Zeolithe, Kalkspath, Aragonit und andere Mineralien vom Table Mountain in Colorado 1562 f.
- 83:** krystallographische Unter- suchung und Beschreibung der Zir- kone von Pike's Peak, Colorado 1839.
- 84:** Untersuchungen der Mine- ralien der Kryolithgruppe 1922 ff.; Analyse von Glimmer 1961; Analyse von Kaolin 1988.
- Croullebois, **77:** Lösungswärme der Schwefelsäure 119.
- Crova (A.), **78:** Messung hoher Tempe- raturen 67; spectrometrische Unter- suchung verschiedener Lichtquellen 158 f.
- 80:** Spectropyrometer 89; Wärme- intensität der Sonnenstrahlen 102 f.; Spectropyrometer 199 f.
- 81:** optische Messung hoher Tempe- raturen, Spectrophotometer 117.
- 83:** Spectrophotometer 232.
- 85:** Vergleichung von Lichtinten- sitäten, Gebrauch diffundirender Schirme von photometrischen Mes- sungen 302.
- Crova (A.) und Garbe (P.), **85:** Messung und Registrirung der Ladung von Accumulatoren 253.
- Crow (J.), **78:** Allylisopropylalkohol 627.
- Crow (J. K.), **77:** Allylaceton gegen Natrium 627.
- 80:** Butylallylmethylcarbinol 610 f.
- Crum Brown, siehe Brown (Crum); siehe Blaikie (J. A.).
- Cugini (G.), **77:** Boletus luridu 954.
- 78:** Ernährung der Pflanzen 940 f.
- Cuisinier (L.), **82:** Malto-Iso- oder Lacto-saccharin, Malzsäure 1123.
- 84:** fabrikmäßige Gewinnung von Maltose 1803.
- 86:** Umwandlung der Stärke in Glucose durch die Glucose 1782; Cerealose 2143 f.; Glucose und Maltase 2144.
- Cullinan (E. jun.), **84:** Chemie des Leinsamens 1453.
- Cumenge, **82:** Asphalt von Trinidad 1579.
- Cumenge (E.) und Friedel (C.), **80:** Guejarit 1409.



Cumenge (E.) und Fuchs (E.), **79**: Goldvorkommen 1247 f.

Cumenge (E.) und Wimmer (R.), **83**: Verarbeitung von Kupferkiesen beim „Dötsch-Proceß“ 1876 f.

Cummins (G. W.), siehe Chittenden (H.).

Cundall (J. Tudor), siehe Ramsay (W.).

Cuno (E.), siehe Wittgen (B.).

Curatolo (F.), **84**: Darstellung von Sulfosäuren des Phenylcumarins 1345 f.

Curci (A.), **83**: physiologische Wirkungen des Oxyacanthins 1488.

**86**: Wirkungen von Alkali- und Erdalkalisalzen auf den thierischen Organismus 1863; physiologische Wirkung des Berberins und des Monochlorcamphers 1865.

Curie, **86**: spezifisches Inductionsvermögen und Leitungsfähigkeit der Dielektrica (dielektrische Krystalle), Beziehung zwischen der Leitungsfähigkeit und der Wärmeabsorption 247.

Curie (J.), siehe Friedel (C.).

Curie (J. und P.), **80**: elektrisches Verhalten hemiedrischer Krystalle 3.

**81**: Elektrizität durch Zusammendrücken hemimorpher Krystalle 87.

Curie (P.), siehe Desains (P.).

Currier, **84**: Scheidetrichter 1687.

Curtis (J. St.), **84**: Silber- und Bleiablagerungen in Eureka 2008.

Curtius (Th.), **81**: Pentathionsäure und Salze 169 f.; Benzoylchlorid gegen Glycocollsilber 769.

**82**: Reindarstellung der Hippursäure, Glycocoll aus Hippursäure 903 f.; Glycocollsilber gegen Benzoylchlorid: Hippursäure, Hippurylamidoessigsäure (Hippurylglycocoll), Salze und Amid,  $\gamma$ -Säure 904 bis 907.

**83**: Acetyl-glycocolläther gegen Alkohol und Chlorwasserstoff: Chlorwasserstoffsäure-Glycocolläther 1039 f.; Glycocolläthyläther, Glycocollimidanhydrid 1040; Benzoyldiamidoacetyl-amidoessigsäure, Hippurylharnstoff, Acetursäure 1041.

**84**: Diazo- und Diazoamidverbindungen der Fettreihe 794 bis 797; Diazoessigsäure-Methyl-, -Aethyl-, -Amyläther, Salpetrigsäure-Glycocolläthyläther 795; Hydrazinessigsäureäther, Diazoamidoessigsäureäther 796; Diazoacetamid 797; Ueberführung der Amidosäuren der Fettreihe in

ihre diazotirten Ester als allgemeine Reaction zu ihrer Erkennung 1086 f.; Untersuchung von Acetursäure (Acetyl-glycin) 1098 bis 1101; Synthese von Hippursäure und Hippursäureäther 1205.

**85**: Diazoverbindungen der Fettreihe 1028 bis 1032; Ester der Diazoessigsäure 1028; Diazoacetamid, Dijodacetamid 1029; Pseudodiazoacetamid, Pseudodiazoacetamidammonium 1030; Salze des Pseudodiazoacetamids 1031 f.; Verhalten der Diazoessigsäure-Methyl- und -Aethyläther beim Erhitzen (Bildung von Azinbernsteinsäureestern) 1033.

**86**: Diazoverbindungen der Fettreihe 981 bis 987: Diazoessigsäure- und Diazosuccinaminsäure-Aethyläther 981; Diazobernsteinsäure-Diäthyläther 981 f.; Verhalten von schwefels. Diazobenzol und schwefelsaurem m-Diazobenzoessäure-Aethyläther gegen Baryt- resp. Kalihydrat, Diazoverbindungen aus den Chlorhydraten der Amidosäureäther oder Aminbasen der Fettreihe 982; Unterschiede zwischen den Diazoverbindungen der Fett- und aromatischen Reihe 983; Darstellung von Diazoessigsäureestern 984 f.; Diazoverbindungen aus Glycocoll- und Asparaginsäureestern, Nitrile von Amidofettsäureestern 985 f.; Darstellung von Diazoessigsäure-Aethyläther 986 f.; Diazoessigsäure-Methyläther 987 f.; Diazoacetamid, Diazosuccinaminsäureester 988; Verhalten von Aldehydammoniak gegen salztrige Säure 988 f.; Zersetzungen der Diazoverbindungen der Fettreihe, Bestimmung des Diazostickstoffs 989; Verhalten von Diazoessigsäther gegen organische Säuren 989 f., gegen Flußsäure 990, gegen Jod 990 f.; Dijod- und Dibromsuccinaminsäure-Aethyläther aus den Diazoverbindungen 991; Verhalten von Diazoessigsäther gegen Aldehyde (Ketonsäureester) 991 f.; gegen Ketone 992, gegen aromatische Kohlenwasserstoffe 992 f., gegen Anilin (Anilidoessigsäureester) 993 f.; gegen Benzamid, Phenylhydrazin, Acetyl-Benzoylchlorid und Phosphorpentachlorid 994; Oxydation der fetten Diazoverbindungen 994 f.; Reduction 995;  $\alpha$ - und  $\beta$ -Azinbernsteinsäure und Derivate 995 f.; Azindiphenyl,

- Azindiphenyldicarbonsäure, Pseudo-diazoacetamid, Pseudodiazoacetamidammonium 997; siehe Buchner (E.).
- Curtius (Th.) und Koch (Fr.), **85**: Derivate der Diazobernsteinsäure 1033 bis 1036: salzsaurer Asparaginsäure-Monoäthyl- und -Diäthyläther, sowie -Dimethyläther, Diazobernsteinsäure-Aethyl- und -Methyläther 1034; Bildung von Fumarsäureestern, Diazo-succinaminsäure-Aethyläther, Fumaramid 1035; Azinbernsteinsäure-Methyläther, Azinbernsteinsäure 1036.
- 86**: Derivate der Diazobernsteinsäure: Diazo-succinaminsäure 1342; Malaminsäure 1342 f.; Fumaraminsäure, Benzoylmalaminsäure, Dijod- und Dibromsuccinaminsäure 1343.
- Curtius (Th.) und Lederer (G.), **86**: Einwirkung von Glyocoll auf Aldehyde: Benzylamin aus Benzaldehyd 850.
- Curtmann, **85**: Nachweis der Salpetersäure im Wasser 1910; Nachweis von Salicylsäure 1960.
- Curtmann (Ch. O.), **81**: Nachweis von Kalium (Lithium, Cäsium, Ammonium) 1178.
- Custer (E.), **79**: Mono- und Diamylanin gegen Chlorkohlensäureäther 404 f.
- Cuyper (E. de), siehe Tamine (R.).
- Cuzner (A. T.), **84**: Mehluntersuchung 1655.
- Cyon (E. de), **78**: physiologische Wirkung des Borax 987 f.
- Czapek (F.), **82**: Bestimmung der Oxalsäure im Harn 1345.
- Czapski (S.), **84**: thermische Veränderlichkeit der elektromotorischen Kraft galvanischer Elemente 242 f.
- Czarnomski (N. v.), siehe Kelbe (W.).
- Czczetka, **84**: Maltometer 1799.
- Czczetka (G.), **85**: Anwendung einer Lösung von Permanganat in concentrirter Schwefelsäure bei der Kjeldahl'schen Stickstoffbestimmungsmethode 1947.
- Czimatis (L.), **82**: Tolylphosphorchlorür, Xyllylphosphorchlorür gegen Zinkalkyle: gemischte aromatische tertiäre Phosphine und deren Verbindungen mit Schwefelkohlenstoff 1049 bis 1053: p-Dimethyltolylphosphin und -phosphinoxid 1050; p-Trimethyltolylphosphoniumverbindungen 1050 f.; p-Monomethyldiäthylphosphoniumjodid, Dimethyloxylylphosphin, Diäthylxyllylphosphin, Monomethyldiäthylxyllylphosphoniumverbindungen, Triäthylxyllylphosphoniumjodid 1051; Dimethylphenylphosphin und Verbindungen, p-Dimethyltolylphosphin-Schwefelkohlenstoff 1052; Dimethylxyllylphosphin, Dimethyläthylphenylphosphin 1053; siehe Michaelis (A.).
- 83**: gemischte tertiäre Phosphorbasen: p-Dimethyltolylphosphin, p-Trimethyltolylphosphoniumjodid-Quecksilberchlorid, p-Trimethyltolylphosphoniumtrijodid, p-Monomethyldiäthyltolylphosphoniumjodid, m-Dimethylxyllylphosphin 1305; p-Trimethyltolylphosphoniumjodid, p-Triäthyltolylphosphoniumjodid, Dimethylphenylphosphindichlorhydrat, Trimethylphenylphosphoniumjodid 1306; Trimethyltolylphosphoniumjodid, p-Jodmethyldimethyltolylphosphoniumjodid, p-Bromäthylmethylylphosphoniumbromid 1307; p-Bromäthyl-dimethyltolylphosphoniumtribromid 1307 f.
- Czyrniański (E.), **85**: chemisch-physische Theorie (Uratome) 4 f.

## D.

- Dabney (Ch. W.), **83**:  $\alpha$ -m-Mononitrosalicylsäure 906;  $\alpha$ -m-Monoamidosalicylsäure 906 f.;  $\alpha$ -Benzoyl-m-amido-salicylsäure und Salze derselben 907; Dinitrobenzoylamidophenol, Darstellung, Verhalten und Salze 907 f.; Dinitrobenzoylamidophenol gegen Chlorkohlensäure: Di-o-nitroamidophenol (Isopikraminsäure) 908.
- Dabney (Ch. W. jun.) und Herff (B. v.), **85**: Apparat für Stickstoffbestimmungen 2007.
- Dabney (W.) und Herff (W. von), **84**: Untersuchung von Methoden zur Stickstoffbestimmung 1609 f.
- Dacomo (G.), **84**: Untersuchung von Trichlorphenol und Derivaten 985 f.; Propionyl-, Butyryl-, Valeryl-, Benzoyl-, Phthalyltrichlorphenol 986; Darstellung der mono-, di- und trichloressigs., der monochlorcrotons, trichlormilchs., trichlorbutters., dibrombrenztraubens. Salze von Chinin, Codein, Anilin, p-Toluidin und Naphtylamin, Bestimmung ihrer Löslichkeit in Aether 1384 f.
- 85**: Einwirkung des Lichtes auf Jodoform 348; Eigenschaften des

- Trichlorphenols 1234; Darstellung von Trichlor-m-nitrophenol und Derivaten 1242 f.; m- und o-Mononitrobenzoyltrichlor-nitrophenol, m-Mononitrobenzoyltrichlorphenol 1242; Trichlor-m-nitrophenolkalium, Trichlor-m-nitrophenolmagnesium, Trichlor-m-nitrophenolbaryum, Trichlor-m-amidophenol 1243; Darstellung von Derivaten des Tribrom-m-nitrophenols 1243 f.; o- und m-Mononitrobenzoyltribrom-m-nitrophenol, Tribrom-m-nitrophenolammonium 1243; Tribrom-m-nitrophenolbaryum, Tribrom-m-nitrophenolmagnesium, Tribrom-m-nitrophenolkalium, Tribrom-m-amidophenol 2144.
- 86:** Zersetzung von Jodoform durch das Licht 316; Extraction der China-Alkaloide mit wässrigen Säuren 1731; Untersuchung des ätherischen Extractes von Aspidium filix mas 1821 f.; siehe Guareschi (J.).
- d'Aschiardi, siehe Grattarola.
- Daelen (R. M.), siehe Rollet (A.).
- Daelen und Torby, **86:** mikroskopische Untersuchung von Eisen- und Stahlsorten 2030 f.
- Dafert, **85:** Absorptionserscheinungen der Ackererde 2120.
- Dafert (E. W.), **85:** Untersuchung des Wassers der Ahr 2314 f.
- Dafert (F. W.), **83:** Amylbenzol aus Benzotrichlorid 545 f.; Amylbenzol aus Benzylidenchlorid 546 bis 548; Perjodide aromatischer Basen 686 bis 689; Jodadditionsproduct des Chinolins 689 f.; Nichtbildung von Perjodiden aus primären aromatischen Basen 690.
- 84:** Oxydation von Mannit 938 bis 941; Identität von Mannitose mit Lävulose 939.
- 85:** Stärke aus Klebhirse, Panicum miliaceum var. candidum glutinosum 1760; Stickstoffbestimmungsmethode nach Kjeldahl und ihre Fehlergrenzen 1947.
- 86:** Oxydation des Mannits 1213 f.; Untersuchungen über die Stärke; Erythrogranulose (Erythrodextrin) 1782.
- Dafert (F. W.) und Kreusler, **85:** Eigenschaften der Stärke aus Klebreis, Oryza sativa glutinosa 1760.
- Dahl, **83:** Trennung der von den  $\beta$ -Naphtholsulfosäuren abgeleiteten Azofarbstoffe 1809 f.; violette Farbstoffe aus Diazoazobenzoldisulfosäure und  $\beta$ -Naphthylamin 1810; Dinitro- $\alpha$ -naphtholmonosulfosäure 1816; Farbstoffe aus Phenylamidoazobenzolsulfosäuren 1817.
- 84:** Herstellung von Azofarbstoffen aus Naphthylaminsulfosäuren 1875 f.; Herstellung von orange bis rothen Azofarbstoffen aus einer neuen  $\alpha$ -Naphtholmonosulfosäure 1876; Trennung von Azofarbstoffen 1878.
- 85:** geschwefelte Azofarbstoffe aus Thio-p-toluidin,  $\gamma$ -Naphthol und den Naphthylaminsulfosäuren; Trennung der isomeren  $\beta$ -Naphthylaminsulfosäuren 2231 f.; neue  $\beta$ -Naphthylamin- und  $\beta$ -Naphtholsulfosäure, rothe Farbstoffe aus diesen mit Diazonaphthionsäuren und Naphtholsulfosäuren 2232; Trennung der Azofarbstoffe aus  $\beta$ -Naphthylamin- und  $\beta$ -Naphtholsulfosäuren, Trennung der  $\beta$ -Naphthylaminsulfosäuren, Sulfurierung des  $\beta$ -Naphthylamins 2233.
- 86:** Darstellung blauer Rosanilinfarbstoffe 2188 f.; Disulfosäuren der benzylirten Rosaniline 2191 f.; Induline 2194; Azofarbstoffe aus Thioanilin und Thio-p-toluidin 2199, aus Naphtholsulfiden 2199 f.
- Dahl (C. F.), **86:** Gewinnung von Zellstoff 2174 f.
- Dahlem (J. P.), **77:** Tannin gegen Pilze 1083.
- Dahl (F.), **79:** Kjerulfän 1204.
- Dahl (Tellef), **79:** Norwegium 283 f.
- Dahm (C.) und Gasiorowski (K.), **86:** Condensationsproducte aus Carbodiimiden und o-Diaminen: Carbodi-phenylimid gegen o-Toluylendiamin: Carbo-o-toluylendiphenyltetraamin 784 f.; Carbodi-p-tolylimid gegen o-Toluylendiamin: Carbo-o-toluylen-di-p-tolyltetraamin 785.
- Dahm (G.), **80:** Alkoholgehalt im Wein und Bier 1224.
- 82:** Bestimmung des Alkoholgehaltes von Flüssigkeiten 1309.
- Daise (V. L. Ch.) und Possioz (A. L.), **85:** Darstellung von osmotischem Super-Kalksaccharat 2144 f., von osmotischem, dreibasischem Kalksaccharat 2145.
- Dale (R. S.), **78:** Verhalten des Isodulcits gegen Jodwasserstoffsäure und Salzsäure 530.
- 85:** Zersetzung in Capillarröhren 14.

Dale (R. S.) und Schorlemmer (C.), **77**: Rosanilin und Leukanilin aus Aurin 487; Aurin in Rosanilin, Leukanilin, Rosolsäure 601.

**78**: Formel des Aurins 595.

**79**: Pimelinsäure 668.

**80**: Safranin 582; Aurin 667 f.

**81**: Suberon und Derivate 613.

**88**: Verbindungen von Phenolen mit Aminen: Rosanilinaurin 875 f.; Anilinphenat, Dioxypheylketon aus Aurin 876.

Dalican, **80**: Bestimmung des Stearins und Öleins im Talg 1230 f.

**82**: Butteruntersuchung 1341.

Dalmer (K.), **78**: Feldspathspseudomorphosen 1278 f.

Dalmon, **85**: Arbutin 1761.

Dal Sie (G.), **79**: persisches Insectenpulver, Säure daraus 937; siehe Sie (G. dal).

Dambergis (A. K.), siehe Gabriel (8).  
D'Amélio, **77**: Conservirung von Fischen 1183.

Damien, **80**: Prüfung der Landolt-schen Formel 186.

Damien (B. C.), **81**: brechende Kraft von Flüssigkeiten 110 f.

**85**: elektromotorische Kraft von Ketten mit einer Flüssigkeit 245.

Damköhler (H.), siehe Otto (R.).

Damm (G.), siehe Städel (W.).

Damm (G.) und Schreiner (L.), **82**: Farbstoffe aus Resorcin und mehrbasischen Fettsäuren, Kohlehydraten 1494 f.

Damoiseau (A.), **80**: Phosphor gegen Brom- und Jodwasserstoff 272 f.

**81**: Chlormethyl und Essigsäure gegen Chlor und Brom 376.

**85**: Darstellung von Natriummonosulfid 460 f.

Damour (A.), **77**: Vietinghoft (Samarakit) 1347; brasilianisches Meteor-eisen 1389.

**79**: Gahnitanalyse 1189; Olivin 1212 f.; Freyalith 1237.

**80**: Chromgranat 1443; Venasquit und Ottrelith, Trennung 1452.

**81**: Serpierit 1372; Jadeit 1394; Erythrozinik, Chalkomenit 1411; Pseudomorphose 1412.

**82**: Calciumaluminiumferrosilicat von Nantes 1571.

**83**: Analyse des Jeremejewits 1849 f.; qualitative Analyse des Serpierits von Laurium 1857.

**84**: Analyse von Rhodizit 1927;

Analyse von Utahit 1935; Analyse von Goyazit 1948; Analyse von Jadeit 1967, 1971 f.; Analyse von Eudnophit 1978, 1978; Analyse von Perowskit 1993; siehe Arzruni (A.); siehe Bertrand (E.); siehe Cloi-zeaux (A. des); siehe Gonnard (F.); siehe Descloizeaux.

Damour (A.) und Rath (G. vom), **80**: Trippkeit 1438; Kentrolith 1476.

Damsky, siehe Goldstein.

Damsky (A.), **86**: Untersuchung der  $\beta$ -Thiophensäure 1359 f.

Dana, **78**: Garnieritformel 1270.

Dana (A. G.), **85**: Krystallform und Analyse von Gahnit 2274 f.; Analyse von Epidot 2288 f.

Dana (E.), **77**: Aethylidenimidargen-tonitrate 432.

Dana (E. S.), **77**: Quarz und Kalk-spath 1274; Granaten aus „Trapp-gesteinen“ 1313.

**79**: Livingstonit 1186.

**81**: Hiddenit (Spodumen) 1392.

**83**: japanischer Antimonglanz 1832; kristallographische Unter-suchung des Monazits von Milhollands Mill, Nordcarolina 1862; kristallo-graphische Untersuchung des Monetits von den Inseln Mona und Moneta 1863.

**84**: Krystallform von Tysonit 1922; Beschreibung eines Apatit-krystalles 1942; Untersuchung von Herderit 1945 f.; Krystallform von Allanit 1952.

**86**: neue Krystallflächen an Schwe-fel 2222; Krystallform des Kupfers, des Goldes 2224; Krystallform von Rothzinkerz 2236; Krystallform von Diaspor 2243; Krystallform von Columbit 2294; Katalog der Meteoriten-sammlung des Peabody-Museums, Yale College, New Haven 2325; siehe Brush (G. J.); siehe Penfield (S. L.).  
Dana (E. S.) und Penfield (S. L.), **86**: Beschreibung und Analysen zweier amerikanischer Meteorsteine aus Utah und Missouri 2331 f.; neues Mineral: Hanksit 2250 f.

Dana (J. D.), **79**: Anorthitpseudomorphosen 1244; Nomenclatur und Systematik der Petrographie 1246; Pelchaares-Analysen 1256.

**84**: Genesis nordamerikanischer Brauneisensteine 1921; siehe Wadsworth (E.).

**85**: Verwitterung der Quarzite 2311.

- 86:** Vorschläge für die Nomenclatur der verschiedenen Arten des Metamorphismus und der porphyrischen Structur der Gesteine 2301.
- Danchell (F. L. H.), **79:** Apparate zum Filtriren u. s. w. 1086.
- Danckwerth und Sanders, **80:** künstlicher Kautschuk 1369.
- Danesi (L.), **79:** Essigsäure gegen Chromsäure 596.
- 82:** Monobrompyridin 482; siehe Ciamician (G. L.); siehe Fuaro (A.); siehe Mauro (F.); siehe Sestini (F.).
- Dangel (St. v.), siehe Weiske (H.).
- Daniels, siehe Baumhauer (E. v.).
- Danilewski (Danilewsky) (A.), **78:** Protalbin 933.
- 80:** Eiweiß 1033 f.; Spaltungsproducte der Eiweißkörper 1034; Pepton 1043.
- 81:** Constitution der Eiweißkörper 993; Myosin, Syntonin 996; Glutinoïd, Chondronoïd 997; Peptonisation, Syntoprotalbumin-, Protalbumin- und Glycoprotalbumingruppe 999; Anwendung von Azofarbstoffen 1032.
- 82:** Constitution der Eiweißkörper 1132.
- 83:** Casein 1382; Abhängigkeit der Contractionsart der Muskeln von den Mengenverhältnissen einiger ihrer Bestandtheile (Myosin und Bündelgerüst) 1428.
- 84:** Untersuchung der Eiweißkörper, Myosin, Myostroin 1416; Untersuchung über Casein, Zersetzungsproducte der Eiweißkörper 1418; Verbreitung der aromatischen Gruppe im Pflanzen- und Thierreich 1471 f.; siehe Schipiloff (C.).
- Danilewski (A.) und Radenhausen (P.), **80:** Eiweißkörper der Milch 1036 f.
- Danilewsky (B.), **81:** Verbrennungswärme von Eiweißkörpern und Peptonen 993.
- 86:** Wärmeproduction und Arbeitsleistung des Menschen 1429.
- 86:** Kraftvorräthe der Nahrungsstoffe 1832.
- Dannecy (Guyot), **83:** Werthbestimmung der Kaliumsulfocarbonate 1556 f.
- Dannemann (M.), siehe Claus (A.).
- Dannenberg (E.), **77:** Colchicin 1086.
- 86:** Nachweis von Blutflecken bei Gegenwart von Eisenrost (Hämidinkrystalle) 2007.
- Dantine, **78:** Bestimmung des dreibasisch-phosphors. Kalks in der Knochenkohle 1152 f.
- Danzebrink (H.), **86:** Absorption und Brechung 306 f.
- Darby (S.), **80:** Fluid-Meat 1118.
- D'Archiardi (A.), **77:** Schwerspalth 1294.
- Daremborg (G.), **78:** Ozonbestimmung in der Luft 1044.
- Darmstädter, siehe Jaffé.
- Darton (N. H.), **83:** Vorkommen von Hayesin in New Jersey, Analyse des Hayesins 1849.
- Darton (Nelson H.), **84:** Untersuchung von Trinkwasser 1560.
- Darwin (F.), **78:** Analogieen des Thier- und Pflanzenlebens 939.
- Dastre (A.) und Bourquelot (E.), **84:** Versuche über die Assimilation der Maltose 1477.
- Dathe (E.), **77:** Trappgranulite (Di-allaggranulite) 1358.
- 82:** Granulite von Bayern und Finnland 1604.
- 84:** Variolitconglomerate 2028 f.
- Datt (D.), **77:** Morphin-, Narcotin-, Codein-, Thebain-, Papaverin- und Narceinsalze gegen oxydirende Agentien 881.
- Daubrawa (H.), **77:** Trihydroxylantimonsäure und Autimonoxychlorid SbOCl<sub>3</sub> 287; Triäthylantimoniat 288.
- Daubrée, **77:** Eisenoxydulbildung im Siemensofen 1211; Diamant 1256; Chabasit. Phillipsit 1330; Feldspathe 1337; brasilianisches Meteoreisen 1389; Experimente an Meteoriten 1390; arabischer Meteorit 1393; Meteoreisen von Ovisak 1396.
- 79:** Quellen der Phosphorsäure 1179; Einwirkung der Gase auf feste Körper 1272 f.; Meteorit von Teilleul 1277.
- 83:** kohliger Meteorit von Noga, Argentinien 1954.
- 84:** Untersuchung des bei Großliebenthal gefundenen Meteoriten 2039; Untersuchung eines bei Veramine gefundenen Meteoriten 2040 f.; siehe Grye (Bouquet de la).
- Daubrée (A.), **78:** Entstehung von Spalten und Verwerfungen; Wärmeentwicklung in Gesteinen 1281; Kalkstein mit Eindrücken ähnlich Meteoriteneindrücken 1315; Eisen von Ovisak 1321, von Santa Catharina 1322.



- 80:** geologische Probleme 1489; Regenwasseranalyse 1509; Pseudometeoriten 1538; Meteoritenfalle 1539.
- 81:** Neubildung von Schwefel 1345; Halbschwefelkupfer (Cuprein) 1350; Zinnkies 1350 f.; Jadeit 1394; künstliche Verglasungen von Gesteinen 1416 f.; Meteorit von Louans, von Cohahuila 1457.
- Daumesnil (A. P. G.), **80:** Ueberziehen der Metalle mit Emaille 1249.
- Dauzivilé (E. St.), **81:** Glucose aus Holz 1303.
- Davenport (B. F.), **84:** Filtrirmethode 1687.
- David (J.), **78:** Trennung von Oelsäure und Stearinsäure 1081.
- 82:** Bestimmung von Glycerin in Fetten 1345.
- David (R.), siehe Prunier (L.).
- Davidoff (O.), **86:** Einwirkung von Aethylenbromid auf bernsteinsaures Kali: Bernsteinsäure-Aethyläther 1342.
- Davidson (E. P.), **86:** Analyse von Stilbit 2287.
- Davies (E.), **80:** Bor 280.
- Davies (G. W.), siehe Smith (W.).
- Davies (R. H.), **78:** Hederasäure 960; Bestimmung der Stickstoffverbindungen in käuflicher Schwefelsäure 1046.
- Davis, siehe Church.
- Davis (G. E.), **77:** Eisenerzanalysen 1057.
- 78:** Verhalten des Arsens beim Bleikammerproceß, Verlust an Salpetersäure beim Bleikammerproceß 1121.
- 79:** Wasserstoffhyperoxyd 194.
- 80:** salpetrige Säure in den Dämpfen der Bleikammern 1286 f.
- 83:** Reinigung von Steinkohlengas für den Fall der Verwendung als Heizmaterial, Kohlenwasserstoffe aus Steinkohlengas, Absorption derselben durch Alkohol 1753.
- 84:** Condensation von Benzol in den Kohlengasen 1815; Untersuchung von Rohbenzol 1829 f.
- 85:** Prüfung von Rohbenzol auf seinen Handelswerth 2190.
- 86:** Geschichte der Darstellung kaustischer Soda 2053; Verarbeitung von Gastheer auf Gas 2152.
- Davis (G. W.), siehe Smith (W.).
- Davis (J. L.), **77:** spezifisches Gewicht von Salzen 44.
- Davis (R. H.), **81:** englische Alaunquelle 1449.
- Davis (W.), **78:** Verschmelzung kieselhaltiger Eisenerze 1099.
- Davy, **77:** Vibrionen- und Bacterienstaub 1106.
- Davy (E.), **78:** Verhalten von Nitroprussidsalzen gegen Chlor 332.
- Davy (E. W.), **78:** Nachweis von Phenol 1078.
- 79:** Nitrification 220.
- 80:** Nitrificirung organischer Substanzen 1133.
- 81:** Nitroprussidverbindungen von Alkaloiden 902.
- 82:** Titrirung von Nitriten 1269; siehe Cameron (C. A.).
- Davy (Marié), siehe Marié-Davy.
- Daw (F. R. W.), **81:** Kupferwismuthglanz 1352.
- Dawis (C. L.), **81:** Mutterkorn 958.
- Day (D. T.), **86:** Zersetzung des Aethylens durch Wärme (Polymerisation) 574; Oxydation von m-Xylol-sulfamid 590.
- Day (W. C.), siehe Morse (H. N.); siehe Remsen (J.).
- Deacon (H. W.) und Gaskell (H.), **82:** Reinigung der Soda 1399.
- Dean, **82:** Nitroextriu 1410.
- Deane (L. M.), **85:** Löslichkeit von Ferricyanmangan in Salzsäure 1937.
- 86:** Roheisen- und Stahluntersuchung: Phosphorbestimmung 1932 f.
- Death (J.), **78:** Bildung von Ammoniak bei der Filtration von Wasser durch schwammiges Eisen 1041.
- Debray, **78:** Darstellung von Reddinit 1233.
- 81:** Dissociation von Ammoniumsulfhydrat 1135.
- 82:** Compressionspumpe von Cailletet für die Verflüssigung von Gasen 56.
- 84:** Verflüssigung von Wasserstoff 322.
- Debray und Joannis, **84:** Erscheinungen bei der Oxydation des Kupfers 425 f.; Dissociationsspannung des Kupferoxyds 426 bis 429.
- Debray (H.), **78:** Dissociationerscheinungen bei festen Körpern 117; Darstellung von Bleisäureoxyd 290 f.
- 79:** Darstellung der Alkalimetalle durch Reduction der Alkalihydrate mittelst Eisen 233 f.
- 80:** Legirungen des Rhodiums mit Blei und Zink 368 f.

- 82:** Reactionen des Quecksilberchlorids (Quecksilberoxychloride) 355; Aluminiumsulfat 1408.
- 83:** Erstarren von Lösungsmitteln 83; Ceroxyd 353 f.; Verhalten von Schwefelkupfer gegen alkalische Sulfomolybdate 378; neue Rhodiumverbindung 439 f.
- 85:** Goldpurpur 567; siehe Deville (H. St.-Claire); siehe Röföler (H.).
- Debrun (E.), **79:** Elektrocapillarthermometer 90.
- Debrunner (G. H.), **79:** Kohlenstoff im Stahl 1096 f.
- Debrunfaut, **78:** Invertin 1032.
- Debus (H.), **82:** Theorie des Schiefspulvers 1412 ff.
- Decaisne (E.), **77:** Giftigkeit der Kupfersalze 1008.
- Decastro (J. W.), siehe Mebus (E. A.).
- Decaux (M.), **84:** Empfindlichkeit von Farbstoffen 283.
- Dechan, siehe Maben (T.).
- Dechan (M.), **85:** Gallein als Indicator 1889.
- 86:** Analyse einer Mischung von Jodiden, Bromiden und Chloriden 1910.
- Dechan (M.) und Maben (T.), **85:** Vorkommen von basisch fettsauren Salzen in Seifen 2184.
- Dechant (J.), **84:** Berechnung der Brechungsindices condensirter Gase 285.
- 85:** Brechungsindices condensirter Gase 303.
- Decharme (C.), **78:** vermuthliche Bildung von Eis beim Verdunsten von Aether 41.
- 83:** elektrochemische Figuren 225; Vorlesungsversuche: Wasserkristalle 260 f.
- 84:** Darstellung der Nobili'schen Ringe 275.
- Dechen (H. von), **81:** Bimssteinsande 1432.
- Dechend (V.), **78:** abwaschbare Gypsabgüsse 1123.
- Deering (W.), siehe Abel (F. A.).
- Deering (W. H.), **79:** Dissociation des Joddampfes 50.
- 84:** Bestimmung des Eisens 1596; spezifisches Gewicht des Bakupetroleums 1818; Untersuchung von Fetten und Oelen auf Fettsäuren 1825 f.
- De Forcrand, siehe Forcrand (de).
- Defresne **79:** Ptyalin und Diastase 1019.
- Defries (C.), **82:** Neuerungen an Gasbrennern 1350.
- Dege (C.), **82:** Untersuchung des Flusses der Seife, Kalkseife 1461 f.
- Degen (J.), **86:** Indole aus Methylphenylhydrazinderivaten der Ketone 1147 bis 1152: Pr 1n, 2-Dimethylindol 1147 f.; Pr 1n, 2-Methylphenylindol 1148 f.; Pr 1n, 2, 3-Dimethylindol-carbonsäure 1149 f.; Pr 1n, 2, 3-Dimethylindoleessigsäure 1150 f.; Pr 1n, 2, 3-Trimethylindol 1151 f.; Pr 1n, 3-Dimethylindol 1152.
- Degener, **86:** Klärung von Rübensäften, Nachweis von Invertzucker 2123.
- Degener (P.), **78:** Phenol aus Benzolsulfosäure 538; Verhalten von Benzolsulfosäure gegen Alkalien 839; Titrirung des Phenols 1078 f.
- 79:** Benzolsulfosäuren gegen Alkalien 737.
- 81:** Reductionsvermögen der Zuckerarten 980 f.; Phenacetolin als Indicator 1156.
- 82:** Reductionsvermögen des Traubenzuckers 1443 f.
- 83:** Bestimmung des Zuckergehaltes der Rüben 1620; Kalksaccharate, Einfluss von Chloriden auf die Ausscheidung des Saccharates 1734.
- 84:** Melasseentzuckerungsverfahren 1789.
- 85:** Umkehrung der Rotationsrichtung bei Asparaginsäure durch kohlen saure Alkalien 340; Untersuchung von Fabrikabflusswässern 1898; Bildung und Bestimmung des Invertzuckers, Saftreinigungsverfahren für Zucker 2142; Einfluss des Bleiessigs auf das optische Verhalten einiger Nichtzuckerbestandtheile der Rübensäfte 2142 bis 2144: Asparagin 2142; Glutaminsäure, Aepfelsäure, Arabinsäure, Weinsäure, Saccharin, Eiweiß 2143; Anwendung des Alkohols 2143 f.
- Degener (P.) und Huck, **85:** Zersetzbarkeit des dreibasischen Kalksaccharats 2145.
- Degener (P.) und Lach (J.), **85:** Bildung von Wasserstoffsuperoxyd und Ozon in feuchter Knochenkohle 2052.
- Degener (P.) und Schweizer, **86:** Nachweis von Invertzucker neben Rohrzucker 1973.
- Deggeler (A.), siehe Lunge (G.).

- Dehagrin, **78**: Anthracenproduction 1171.
- Dehaynin, **77**: Anthracen und Alizarin 1243.
- Dehérain, siehe Porion.
- Dehérain (P. P.), **83**: Düngungsversuche für Mais und Kartoffeln mit verschiedenen Düngern 1722 f.; Düngungsversuche mit salpeters. Natrium und salpeters. Kalium für Kartoffelcultur 1723.
- 84**: Düngung mit Superphosphat 1762 f.; Fabrikation von Stalldünger 1763; Untersuchung von anäroben Gährungen des Stalldüngers 1764; Cultur der Zuckerrübe 1788; Buttersäuregährung in den Diffusionsgefäßen der Zuckerfabrikation 1789.
- 85**: Zunahme des Bodens an Stickstoff durch Gras- und Leguminosenbau 2122.
- Dehérain (P. P.) und Maquenne (L.), **80**: Zerlegung der Kohlensäure bei künstlicher Beleuchtung 1046.
- 81**: elektrische Ausströmungen (Zerlegung von Wasserdampf) 100.
- 82**: Reduction der Nitrate zu Nitriten im Boden 1421 f.
- 83**: Gährung des Zuckers durch Ackererde 1501; Mikroorganismus der Ackererde, Gewinnung der Buttersäure aus vergohrener Zuckerlösung 1713.
- 85**: Abgabe der Kohlensäure und Aufnahme des Sauerstoffs durch die Blätter, Einfluß der Temperatur auf die Pflanzenathmung 1788.
- 86**: Absorption der Kohlensäure durch die Blätter 1801.
- Dehmel (B.), **79**: Hippursäurebildung im Organismus 980; reducirende Substanz im Pflanzenfresserharn 988 f.; siehe Cech (C. O.).
- Dehn, **78**: Verhütung von Kesselstein 1116.
- Dehne (M.), siehe Claus (Ad.).
- Dehnst (J.), siehe Liebermann (C.).
- Deichmüller (A.), **81**: diabetische Acetonurie 1054.
- Deichmüller (A.), Szymanski (F.) und Tollens (B.), **85**: Vorkommen von  $\beta$ -Hydroxybuttersäure im diabetischen Harn 1842.
- Deininger (H.), **86**: Reinigung von Rohspiritus 2135.
- Deininger (H.) und Schulze (E.), **84**: Reinigung saurer Speisewässer 1806 f.
- Deite (C.), **80**: Fettindustrie 1365.
- Delachanal, **80**: Wasser von Bagnoles 1583 f.; siehe Vincent (A.) und (C.).
- Delachanal (B.), **83**: Untersuchung der Asphaltsorten vom Todten Meere 1909 f.
- Delachanal (B.) und Mermet (A.), **77**: Schwefelbestimmung 1048.
- 79**: Schwefelbestimmung 1032.
- Delacharlouney (P.), siehe Marguerite-Delacharlouney (P.).
- Delafond, **82**: Stahldarstellung aus phosphorhaltigem Roheisen zu Creusot 1369 f.
- Delafontaine (M.), **77**: Didym, Thorium, Erbium, Terbium 251; Samarskit (Niob- und Tantal säure) 288; Hermannolith, Niobit, Samarskit 1346.
- 78**: Terbium und seine Verbindungen 255 f.; Philippium 257 f.; Entdeckung und Eigenschaften des Decipiums 259; Zusammensetzung, Spectrum des Didyms, des Cerits, wahrscheinlicher Gehalt an einem neuen Elemente 260; Vorkommen von Ytterbinerde im Sipylit von Amherst 261; Identität des Mosandrum mit Terbium 262.
- 80**: Gadolinit und Samarskit 296 f.; Euxenit 297 f.; Decipium 298 f.
- 81**: Decipium und Samarium 220 f.
- Delalande, **78**: Darstellung von Campholsäure 650.
- Delamare (J.), **77**: trockene chemische Reinigung der Wolle 1229.
- Delarue (E.), **81**: Ueberführung von Stärke in Zucker 986 f.
- Delattre, **83**: Verwerthung der Waschwässer der Wolle 1784.
- Delattre (C.), **81**: Zersetzung von Dicalciumphosphat durch Wasser 206.
- Delaunay (G.), **81**: Wirkung des Strychnins 1066.
- Delbrück, **78**: Schlempehefe 1156.
- 79**: Spiritus aus Kartoffeln 1113.
- 85**: Ursache des Rothwerdens der Weißbiere 2155.
- Delbrück und Frühling, **85**: Wetterbeständigkeit von Cementen 2116.
- Delbrück (M.), **83**: Bakterien gegen Alkohol und gegen Schwefelsäuren 1737.
- 86**: Gährung der Dickmaischen 2139.
- Delbrück (M.) und Heinzelmann (G.), **80**: Gährung von Dickmaischen 1130 f.
- Delesse, **79**: Kohlensäureexplosion 1115.

- 80:** Anreicherung in Bleierzen 1248; Explosion durch Kohlensäure in einer Kohlengrube 1507 f.
- 81:** Wasser von Savoyen 1448.
- Delffs (H.), **80:** Schwefelwasserstoff gegen schwere Metalle bei Gegenwart organischer oder Mineralsäuren 1144 f.
- Deligny (E.), **86:** Reinigung von Kupferniederschlägen aus Cementwässern 2042.
- Dellespierre, siehe Wattine.
- Delong, **78:** Carbonisiren der Pflanzefaser 1174.
- Delory, **79:** Anilinschwarz 1161 f.
- Delpierre (J.), **85:** Verwendbarkeit der flüssigen Kohlensäure 2070.
- Delvaux (G.), **81:** Kobalt von Nickel 1188.
- Del-Zanna, siehe Guareschi.
- Demant (B.), **79:** Glycogenzersetzung im Muskel 953; Extractivstoffe der Muskeln 973 f.; Eiweißkörper im Muskel 974.
- 80:** Serumalbumin in Muskeln 1037; Harnstoffgehalt der Muskeln, Fötus 1095.
- 86:** Untersuchung der Leber neugeborener Hunde 1838; Einfluss des Strychnins und Curare auf den Glycogengehalt der Leber und der Muskeln 1865 f.
- Demarçay (E.), **77:** Acetessigäther gegen Brom, Chlor und Fünffach-Chlorphosphor 690; mit Dichlorsorbinsäure isomere Säure, Monochlor-methylcrotonsäure, Monochloräthylcrotonsäure, Chlorvinyl dimethylelessigsäure, Monochlorisopropylcrotonsäure, Monochlorpropylcrotonsäure 691; Acetvaleriansäureäther, Hexensäure, Hexylsäure (? acide hexique), Pentylsäure, Pentensäure, Tetrylsäure, Tetrensäure 692.
- 78:** Bromirung von Isobutylacetessigäther 728 f.
- 79:** Tetrylsäure, Pentylsäure, Hexylsäure, Isohexylsäure 624 f.; Homologe der Oxyheptylsäure 625 f.
- 80:** Schwefelstickstoff 288 f.; Darstellung von Acetonitril 412; Tetrylsäure 803.
- 81:** Schwefelstickstoffchloride 186 f.
- 82:** Flüchtigkeit von Metallen im Vacuum 261.
- 83:** alkalische Telluriete, Tellurmethyljodid 302; Thoriumsulfat gegen Wasser 409 f.
- 84:** Anwendung einer Inductionspirale mit kurzen, dicken Drähten beim Studium der Metallspectra 292.
- 85:** Verstärkung der Temperatur der Inductionsfunken bei spectrokopischen Beobachtungen 317; Trennung des Titans von Niob und Zirkon 1929 f.; Farbenreaction des Rhodiums 1943.
- 86:** Spectrallinien von Didym- und Samariumerden 311; siehe Cahours (A.).
- Demel (B.), **79:** Eiweißstoffe in Futtermitteln 1122.
- Demel (W.), **79:** Doppelnitrosulfurete des Eisens 249 f.; zweifach-saures Zinkphosphat 273 f.; arsensaures Zink und Cadmium 274.
- 80:** Arseniate des Zinks und Cadmiums 327.
- 82:** Elementaranalyse schwer verbrennlicher Substanzen 1303; Doppelrit von Aussee 1578; Verunreinigung des Oderwassers durch Abwässer einer Zuckerfabrik 1627; Analyse des Trinkwassers von Troppau 1633.
- 83:** Analysen von Abwässern schlesischer Zuckerfabriken 1726.
- Demole (E.), **77:** Esterbildung 323; Tartronsäure aus Dinitroweinsäure 701.
- 78:** Einwirkung von gasförmigem Sauerstoff auf Dibromäthylen, auf flüssiges Tribromäthylen 411; Einwirkung von unterbromiger Säure auf Dibromäthylen 413.
- 79:** Octacetylsaccharose und Octacetyldiglucose 857 f.
- 80:** Einwirkung von Sauerstoff auf ungesättigte Verbindungen 384 f.; Dibromäthylen 474 f.
- Demole (E.) und Dürr (H.), **78:** Oxydation von Halogenderivaten der Fettreihe durch freien Sauerstoff 408.
- Demski (H.), siehe Morawski (Th.).
- Demski (H.) und Morawski (Th.), **85:** Bestimmung von Harzölen in Mineralölen 2179 f.
- Demuth (R.), **85:** Darstellung von  $\beta$ -Methylacetothienon 1635; Mononitromethylacetothienon, Methylacetothienon und Methylthiophencarbonsäure aus  $\gamma$ -Methylthiophen 1636.
- 86:** Darstellung von  $\gamma$ -Thioxen 1183; Oxydation von  $\gamma$ -Methylacetothienon: Thiotolenmonocarbonsäure 1183 f., von Monojod- und Monobromäthylacetothienon:  $\beta$ - $\beta$ -Thiophendicar-

- bonsäure, Monobromäthylthiophen 1184 f.;  $\beta$ - $\beta$ -Methylacetothiophen 1643 f.
- Denaro (A.), **84**: Darstellung von Dichlorvinylmethyläther 930.
- 85**: Darstellung zweier isomerer  $\beta$ -Naphtholazobenzole 1070, und  $\alpha$ -Naphtholazobenzole 1071.
- 86**: angebliche Zersetzung der Kieselsäure durch das Licht 316; Dichlorpyroschleimsäure 1364; siehe Oliveri (V.).
- Denaro (E.), siehe Scichilone (S.).
- Denayrouz (L.) und Jabloschkoff (P.), **77**: Theilbarkeit des elektrischen Lichts 167.
- Denegri (A. und G.), **78**: Darstellung von Indium 284.
- Deniges (G.), siehe Blarez (Ch.).
- Denle (W.), **86**: thermoöktrisches Verhalten von Flüssigkeiten 253 f.
- Dennig (A.), **83**: spectralanalytische Messungen der Sauerstoffzehrung der Gewebe 1430.
- Dennstedt (M.), **78**: Orthothioameisensäure-Benzyläther 673.
- 80**: p-Bromanilinderivate 527 f.; Orthothioameisensäure - Benzyläther 761.
- 85**: Härten von Gypsabgüssen 2113.
- 86**: Vorschlag zur Nomenclatur der Pyrrollderivate 714 f.; siehe Ciamician (G.).
- Dennstedt (M.) und Zimmermann (J.), **85**: Darstellung von Pyridin durch Einwirkung von Methylenjodid auf Pyrrolnatrium 793 f.
- 86**: Einwirkung von Phthalsäureanhydrid auf die C-Monomethylpyrrole ( $\alpha$ - und  $\beta$ -Homopyrrol): isomere Säuren  $C_{18}H_{11}NO_3$  738 ff.; Einwirkung von Paraldehyd auf Pyrrol 740 ff.; Bildung eines höheren Pyrrols 740, von C-Aethylpyrrol 741; Ueberführung des letzteren in N-Acetyl-C-Aethylpyrrol und C-Acetyl-C-Aethylpyrrol 742; Condensationsproduct des C-Acetyl-C-Aethylpyrrols mit Benzaldehyd: C-Aethylcinnamylpyrrol 743; Einwirkung von Essigsäureanhydrid auf C-Dimethylpyrrol: N-Acetyl-C-Dimethylpyrrol und C-Acetyl-C-Dimethylpyrrol 743 f.; Einwirkung starker Salzsäure auf C-Aethylpyrrol (= Dihydronicolin) und auf Dimethylpyrrol 744, auf die C-Monomethylpyrrole: Dihydropyridin 744 f.; Darstellung eines höheren Pyrrols aus Thieröl, Condensation des Pyrrols mit Ketonen und Acetessigsäureäthern 745; Reduction des C-Acetylpyrrols (Pyrrylmethylketon, Pseudoacetylpyrrol) 745 f.; Bildung von Pyrrylmethylpinakon und Pyrrylmethylalkohol, Reduction des Pyrrolenphtalids 746; Verhalten von Pyridin gegen Essigsäureanhydrid 767, gegen Acetylchlorid: Dehydracetsäure 767 f.; Einwirkung von Acetylchlorid auf Picolin 768.
- Denys (J.), **86**: Wirkung des Strychnins 1865.
- Denza, **83**: der Meteoritenfall bei Alfianello, Provinz Brescia 1952.
- Denzel (J.), **78**: Bromirung von Chloräthyl, von Aethyldienchlorid 409 f., von Aethylbromid 411.
- 79**: Siedepunkte der Chlorbrom- und Bromsubstitutionsproducte des Aethans und Aethylens 56; Aethylen-substitutionsproducte 385.
- 84**: Untersuchung über die wirklichen Bestandtheile von Secala cornutum 1462 f.
- Dépierre (J.), **177**: Anthracen und Alizarin 1243.
- Dépierre (J.) und Clouet (J.), **84**: Wirkung von Licht auf gedruckte Farben 1848 f.
- Dépierre (J.) und Spiral (P.), **83**: Materialien der in der Zeugdruckerei verwendeten Walzen 1681.
- Depouilly (P. J.) und Droux (L.), **82**: Gewinnung von Glycerin aus Seifenunterlagen 1462.
- Deprez (M.), **83**: elektrische Bussole 200; elektromotorische Kraft einer dynamoelektrischen Maschine 208.
- 86**: Instrument zur beliebigen Erzeugung einer bestimmten Elektrizitätsmenge 242; Kraftübertragung durch dynamo-elektrische Maschinen 2014.
- Derby (O. A.), **83**: Fundorte der Diamanten in Brasilien 1827; Bildung der brasilianischen Martite 1914.
- 84**: Gewinnung von Gold 1719; Vorkommen von Gold 1902 f.; Biegsamkeit des Itacolumits 2010.
- 85**: Untersuchung des Meteoreisens von Santa Catarina (Brasilien) 2326 f.
- De-Regibus (C.), **85**: Wassergehalt der grauen und weißen Gehirnssubstanz des Menschen 1994.
- Deregibus (R.), **86**: Dithionate von Alkaloïden 1704 f.

- Derome (P.), **79**: Phosphorsäure von Eisenoxyd und der Thonerde 1039.
- Deros (A.), **83**: Bestimmung von Zink und Blei in Eisenzen durch Elektrolyse 1514.
- Dervin (E.), **83**: Darstellung von Phosphoroxychlorid 324 f.
- 84**: Phosphorsulfide (Sesqui-, Tetra- und Pentasulfid) 363 f.
- Desains (P.), **77**: Drehung des Quarzes 186; Wärmevertheilung im Spectrum des elektrischen Lichts 102.
- 82**: Anordnung der Wärme in dem dunklen Theil des Sonnenspectrums 178.
- 83**: Vertheilung der Wärme im Sonnenspectrum 242.
- Desains (P.) und Curie (P.), **80**: Wellenlängen des glühenden Platins und Kupfers 196.
- Descamps (A.), **78**: Darstellung und Verhalten von Metallarseniden 231 f.; Kobaltcyankalium 282.
- 79**: Kobaltcyanverbindungen 325.
- 81**: Mangan-, Kobalt- und Chromcyanverbindungen 316 ff.
- Descamps (M.), **78**: Kobaltcyanür 331.
- Descloizeaux, **83**: Krystallform von Stahlkrystallen 1671.
- 86**: Quarzkrystalle 2239; siehe Cloizeaux (des).
- Descloizeaux (A.), **77**: Humit 1309; Antophyllit 1326; Barytfeldspath 1335; Anorthit in Meteoriten 1397.
- 78**: Adamin 1234 f.; doppelbrechende Lamellen in Granatkrystallen 1239.
- 86**: Krystallform von Xenotim 2257, von Descloizit 2260; Krystallform von Phuakit 2268; Krystallform von Hiddenit 2281; neue Flächen von Orthoklas 2289.
- Descloizeaux und Damour (A.), **77**: Homilit 1306.
- 79**: Cabrerit 1198.
- Descloizeaux (A.) und Velain, **78**: Palagosit 1221.
- Deshayes, **78**: Best. des Mangans in Eisensorten 1062.
- Deshayes (V.), **79**: Zusammensetzung und Eigenschaften des Eisens 1091.
- 81**: Metallurgie (Gold, Eisen, Silber) 1239 f.
- Designolle, **81**: Goldgewinnung 1239.
- Deslandres (H.), **85**: dritte Bande im Spectrum des Wasserdampfs 319; Bandenspectrum des Stickstoffs 321.
- 86**: Spectrum des Stickstoffs 304.
- Despret (G.), siehe Cesaro (G.).
- Desruelles (L.), **79**: Adhäsion des Stickstoffs an passives Eisen 247.
- Dessau (B.), **86**: Metallniederschläge bei elektrischen Entladungen in Vacuumröhren 281.
- Dessauer (Ph.), **83**: Sulfidstoffe und die Natroncellulose 1775.
- Destrem (A.), **78**: Einwirkung von Benzoylchlorid auf Leucin 740; Reduction und Oxydation der Cholsäure 1006.
- 80**: Alkohole gegen Baryt und Kalk 591 f.
- 82**: Baryum- und Calciumalkoholate 642 ff.; Glycerinbaryum, Glycerincalcium, Alkohol  $C_4H_{11}O$  aus Glycerincalcium, Derivate (Hexylenderivate) 643 ff.
- 84**: Zersetzung von Benzin, Toluidin, Anilin durch den Inductionsfunkten 272; siehe Schützenberger (P.).
- Destrem (M. A.), **78**: Darstellung einer Verbindung von Phenylamin mit Kupferchlorür 459.
- Détierre (J.), **77**: Indigo 1233.
- Detlefson (E.), **86**: Demonstration von Diffusionsvorgängen 159.
- Detmer (W.), **82**: Gährung amyllum- und diastasehaltiger Flüssigkeiten, Einfluss von Säuren und Alkalien auf die Gährung 1253.
- Detsinyi, **78**: Donauschlamm 1294 f.
- Dettmer, **83**: m-Monobrom-o-nitrobenzoesäuren,  $\alpha$ -m-Monobrom-o-diazoamidobenzoesäure 1126.
- Deutecom (B.), **80**: Aufschliessung der Pyrite 1154 f.
- Deutsch (A.), **79**: homologe Ester der Orthoameisensäure 595 f.; siehe Gabriel (S.).
- Deventer (Ch. M. van), **85**: Einwirkung von Natronlauge auf Chloralhydrat 1294; siehe Hoff (J. H. van't).
- Devillard (P.), **84**: Analyse einer Hydroceleflüssigkeit 1506.
- Deville, **80**: Nickel von Kobalt 1184 f.
- Deville (H. St. Claire), **77**: Verflüssigung von Gasen 69; Dissociation und Gesetze von Avogadro und Dulong u. Petit 143, 145, 146.
- 79**: Verhalten des Chlorals gegen Wasserdämpfe 129; Dichtebestimmungen des neutralen Ammoniumsulfhydrats 130 f.

- 80:** Diffusion von Gasen 66; Apparat zur Bestimmung hoher Temperaturen 88; Dissociation des Chloralhydrats 141 f.
- Dewille (H. St. Claire) und Debray (H.), **78:** Dissociation der Oxyde der Platingruppe 123; neue Palladiumverbindung 316.
- 79:** künstlicher Laurit 1184.
- 80:** Schwefelplatin, Platineisen 362.
- 82:** Legierungen von Zink mit Platinmetallen 1886 ff.
- Dewille (H. Sainte-Claire) und Troost (L.), **80:** Dampfdichten des Selen und Tellur 30.
- Dewar (J.), **77:** Leukolinderivate 445; Pyrrol 446.
- 79:** Cyanwasserstoff im elektrischen Flammenbogen 321.
- 80:** Erniedrigung des Gefrierpunktes des Wassers durch Druck 35 f.; kritischer Punkt gemischter Dämpfe 45; Flammenbogen 200; Chinolinsäure 948 f.
- 84:** Verflüssigung des Sauerstoffs und der Luft 324 f.
- 85:** Apparat zur Verflüssigung von Gasen (Sauerstoff u. s. w.) für Vorlesungszwecke, kritische Temperatur und Druck von Gasen und Flüssigkeiten 60; siehe Ansdell (G.); siehe Liveing (G. D.).
- Dewar (J.) und Scott (A.), **80:** Dampfdichten von Kalium, Natrium, Kaliumjodid 34.
- 83:** Atomgewicht des Mangans 38; Molekulargewicht von Triäthylamin 47, von Tetraäthylammoniumbromid, von Hexylen 48; Dampfdichte von Platinchlorid, Eisenchlorid, Manganchlorid, Chlorsilber, Jodsilber, Chlorblei, Jodkalium, Chlorrubidium und Jod 48.
- Dewey (F. P.), **79:** Trennung des Zinns, Arsens und Antimons 1041; Lithiophililit 1201.
- Dézaunay (V.), siehe Andouard (A.).
- Diaconoff, **82:** spezifische und Verdampfungswärme von Alkoholen 106.
- Diakonow (Diakonoff) (D.), **85:** Bestimmung der Verbrennungswärme organischer Körper 120 f.; Heberbarometer 2002.
- Dianin: **83:** Phenol gegen übermangans. Kalium: Diphenol 875.
- Dianin (A. P.), **82:**  $\alpha$ - und  $\beta$ -Dinaphthol gegen Phosphorsäureanhydrid: Oxydinaphtylene 721 f.; Thymol und Cymophenol gegen schwache Oxydationsmittel:  $\alpha$ - und  $\beta$ -Dithymol 722 f.
- Dianin (W.), **80:** Phenol gegen Chlorkalk 623.
- Dibbits (H. C.), **79:** Wasserverlust des Chlorcalciums 132.
- Dibdin (W. J.), **81:** Härtebestimmung des Wassers 1163.
- 84:** Neuerungen in der photometrischen Praxis 1807.
- 85:** photometrische Messungen von Normalflammen 302.
- Dick (A.), **83:** Legirung von Kupfer, Zink und Eisen (Deltametall) 1682.
- 84:** Verarbeitung von Kupfer-Zinn- und Kupfer-Zinklegierungen 1713 f.
- 85:** Gewinnung von Deltametall 2045 f.; Anwendung desselben 2046.
- Dick (G. A.), **82:** Metalllegierungen, Lagermetall 1360.
- 83:** Härten von Kupferzink- und Kupferzinnlegierungen durch kleine Mengen von Eisen 1681.
- Didier (P.), **85:** Cer- und Lanthansulfür 494; Cerchlorür und -oxychlorid 494 f.; Cersilicat 496.
- 86:** krystallisierte Cerwolframate und -molybdate 400 f.
- Diebner (F.), **85:** Zusammensetzung der Kesselessenz 2162.
- Dieck (E.) und Tollens (B.), **79:** Kohlenhydrate der Topinamburknolle 847 f.
- Diéff (W.), **83:** Nebenproduct bei der Darstellung des Allyldimethylcarbinols 863 f.
- Diehl, **77:** Halogenderivate des Anthracens, Anthrachinons und Alizarins 418.
- 79:** Paraleukanilin 450.
- 85:** Bestimmung von Eisen und Mangan 1934 f.
- Diehl (C. L.), **80:** Eisenalbuminat 1039.
- 82:** Darstellung von unterphosphorig. Eisenoxyd 291.
- 83:** Analyse von Succus Liquiritiae 1622.
- Diehl (L.) und Einhorn (A.), **85:** Darstellung von Dicinnamenylvinylketon und von Cinnamenylvinylmethylketon 1303 f.; Darstellung von o-Mononitrozimmettaldehyd und p-Mononitrozimmettaldehyd 1304 f., Condensation von o-Mononitrozimmettaldehyd mit Aceton 1305 f.; o-Dinitrozinn-

- amenylvinylketon, o-Mononitrocinnamenylvinylmethylketon 1305; o-Mononitrocinnamenylacrylsäure, o-Amidocinnamenylacrylsäure und Acetyl-derivat, o-Mononitrodicinnamenylvinylketon 1306.
- Diehl (Th.), **78**: Halogenderivate des Anthracens 424; Halogenderivate des Alizarins 602 f.; Verhalten von Tri- und Tetrabromanthrachinon gegen schmelzendes Natron 611; Chlor- und Bromderivates des Anthrachinons 655 f.; Verhalten von Tri-, Tetra- und Pentabromanthrachinon gegen Aetzalkalien 664.
- Diehl (Th.) und Merz (V.), **77**: Oxy-naphtochinon (Naphtalinsäure) 651. **78**: Umwandlung von Amidodüim-diorescin in ein Trioxychinon, Ni-trirung von Diacetylresorcin 652; Dibromnaphtochinon, Bromnaphtalin-säure 654 f.; Bromirung von Diamido-naphtol 655 f.; Trinitronaphtol 1187.
- Diehl (W.), **80**: Bestimmung des Bleies 1189 f. **82**: Volumetrische Bestimmung von Hyperoxyden 1290. **83**: Bestimmung des Chlors neben Rhodanverbindungen 1532; Bestim-mung von Mangan neben kleinen Mengen von Eisen 1567. **85**: Darstellung und Eigenschaften des reinen Mangans 519 f.
- Dienheim-Brochocki (Th. v.), **80**: Chlorozon 1371.
- Diernfellner (C.), siehe Claus (A.).
- Dieterich (C.), **77**: künstliche Butter 1181.
- Dieterich (E.), **77**: Zucker und Amy-lin von Dextrin 1087. **80**: Canthariden 1004; Canthari-din 1107. **84**: Löslichkeit des Canthari-dins 1644; Untersuchung von ent-öltem Mutterkornpulver 1656; Prü-fung des Cacaoöles 1666. **85**: Untersuchung des Olivenöls (Elaidinprobe und Salpetersäureprobe) 1969.
- Dieterici, **86**: Temperatur des Gar-brandes von Porzellan 2085.
- Dieterle (W.) und Hell (C.), **84**: Untersuchung von Adipinsäure aus Ricinusöl 1159 f.
- Dietrich, **77**: Szmikit 1296; siehe Schröckinger (J.). **86**: Prüfung von Olivenöl auf Verfälschungen 2162.
- Dietrich und Ducommun, **85**: Un-tersuchung der Abiétinsäure und Pi-marsäure 1561.
- Dietrich (E.), **77**: Amylin im Bier 1197. **85**: Eigengewichte reiner Oele 2183; siehe Harnack (E.).
- Dietrich (F.), **78**: Darstellung von Weinsäure und ihren Salzen 1136. **80**: Weinsäure, Regeneration 1289.
- Dietrich (G. W.), **78**: Dietrichit 1226; Posepny, Muckit und Neudorf 1276 f.
- Dietrich (H.), **80**: Hartbleianalyse 1190 f.; Wasser von Krynica 1527. **81**: Bleibestimmung 1192.
- Dietrich (J.), **85**: Nachweis von Alofin 1967; siehe Dragendorff (G.).
- Dietrich (P.), **85**: Verarbeitung von Rohphosphaten 2067 f.
- Dietrich (W.), **81**: quantitative Spec-tralanalyse 117; Intensitätsverhältnis der Natriumlinien 121.
- Dietzell (B. E.), **82**: Auftreten freier salpetriger Säure bei Fäulnis, Be-handlung von Düngermitteln 1236.
- Dietzsch (C.), **84**: Untersuchung con-densirter Milch 1675.
- Dietzsch (O.), **82**: Milchuntersuchung mittelst des Lactobutyrometers 1343. **84**: Analyse von Milch 1672.
- Dieulafait, **79**: Lithium im Meer-wasser 236. **81**: Borsäure 201; Bauxit 1363. **84**: Vorkommen von Rubidium, Cäsium und Lithium in Rüben 1773. **85**: Theorie der Borsäure-xhala-tionen in Norditalien 2311; Borsäure-gehalt verschiedener Wässer 2313.
- Dieulafait (L.), **77**: Borsäure 233; Strontian im Meerwasser 1370. **78**: Vorkommen von Ammoniak-salzen im Meerwasser, in den Salz-ablagerungen verschiedener Perioden, dem Gyps und den diesen begleiten-den Substanzen 218 f.; erste Quelle der Strontium- und Baryumverbin-dungen 1199; Meerwasser 1292. **80**: Kupfer in Pflanzen 1056; Ver-breitung von Lithium, Kupfer und Zink 1398 f.; Serpentinfels 1501. **82**: Ophite, Lherzolithe und Dio-rite der Pyrenäen 1606; Nachweis von Lithion und Borsäure im Todten Meere, Verbreitung der Borsäure 1626; Analyse des Mineralwassers von Schinznach 1631; Nachweis von



Lithium und Strontium im Mineralwasser von Contrexeville 1833.

**83:** Verbreitung einzelner Elemente: Zink in Dolomiten 1825 f.; Ammoniak, Mangan und Salpetersäure in Dolomiten, Verbreitung von Lithium, Strontium und Borsäure — Mangan im Meerwasserabsatz 1826; Bemerkungen zu der Arbeit von A. Gorgeu: künstlich erzeugte Sulfate 1842.

**84:** Spuren von Mangan in Marmerarten und Cipollinen 1897; Bildung der natürlichen Phosphate 1941 f.; Untersuchung über die Verschiedenheit der Fruchtbarkeit von Flusssätzen 2031 f.

Dijew (W.), **86:** Einwirkung von Silberacetat auf den Tetrabromessigester des Diallylcarbinols 1302.

Diller (J. D.), **86:** Entstehung von Olivinfels (Peridotit) 2308.

Diller (J. S.), **83:** Anatas als Zersetzungsproduct von Titanit 1841.

**84:** Untersuchung von Fulgurit 2007 f.; siehe Clarke (F. W.).

Dimmock (A. F.), siehe Dunstan (R.).

Dirks (V.), **82:** Bestimmung der Myronsäure (Senföl) in Cruciferensamen und Oelkuchen 1425 f.

Dirvell (Ph.), **79:** Trennung von Nickel und Kobalt 1054.

**80:** Kobalt von Nickel 1184.

Dirvell (Ph. J.), **86:** Trennung des Goldes und Platins von Zinn, Arsen und Antimon 1951.

Discalzo (G.), **85:** Darstellung von Monothymylphosphorsäurechlorid, Monothymylphosphorsäure 1628; Dithymylphosphorsäurechlorid, Dithymylphosphorsäure, Phosphorsäure-Thymyläther gegen alkoholisches Kali 1629; siehe Mazzara (G.).

Disqué (L.), **78:** Urobilin 1002 f.

**80:** Bilirubin 1104.

Dissel (van), siehe Bettink.

Dissel (W. J. van), siehe Wefers Bettink (H.).

Ditscheiner, **77:** Bromdichromazin 555; Krystallmessungen von Phlorobromin. 570.

**78:** Krystallform des p-Azophenols 501; Krystallform der Pimelinsäure 734; Krystallform der Berberonsäure 896, der Oxycinchomeronsäure 897.

**79:** Krystallmessung einer Base aus Valeraldehyd und Anilin 415.

**82:** Krystallform von Mononitro-eugenol 679.

**83:** Krystallform des Trichlorphenolchors 895.

**85:** Krystallform des Dinitrodimethylamidophenols 870.

Ditscheiner und Friedländer, **78:** Krystallform des Pentabromacetons 626.

Ditscheiner (L.), **83:** Krystallform der Monoamidoresorcinmonosulfosäure 1253.

Ditte (A.), **77:** Constitution der Materie 19; selenige und tellurige Säure 213; Borsäure 234; Calciumsulfatdoppelsalze 246; Chlorcalcium 249; Schwefelcadmium 269; Wismuthnitrat 280; Eisen von Uran und Chrom 1057.

**78:** Versuche über Zersetzung der Metallsalze und die Umkehrung der Reactionen bei Gegenwart von Wasser 18; Einwirkung der Halogenwasserstoffsäuren auf Quecksilbersulfat, sowie der Schwefelsäure auf Quecksilberhaloidverbindungen 302 f.

**79:** Nitrate gegen starke Salpetersäure 221 f.; Halogenwasserstoffsäuren gegen Quecksilbersulfat, Schwefelsäure gegen Quecksilberhalogenüre 294.

**80:** Kältemischungen 104 f., 106 f.; Chlor und Chlorwasserstoff gegen Bleichlorid 328 f.; Uranfluoride 353 f.

**81:** Einwirkung von Salzsäure auf Metallchloride 154 f.; Salzsäure gegen Chlorblei 265 f.; Verbindung des Jodbleies mit Jodkalium 266 f.; Bleioxydjodid 268 f.; Bleisuperoxyd gegen Jodkalium und Jodnatrium 269 f.; gegen Jod 270; Lösung des Silbers bei Gegenwart alkalischer Jodüre 303; Kaliumsilberjodid, Quecksilber und Gold gegen Jodkalium 304; Wirkung von Bleioxyd auf die Jodide der Alkalien 1119.

**82:** Wechselwirkung von Salzen, Wagnerit und Apatit 10; Chlorhydratkryrstalle 235; krystallisirte Barium-, Strontium- und Calciumnate 330 ff.; Zersetzung von Bleisalzen und Bleioxyd durch Alkalien 337 ff.; Einwirkung saurer und alkalischer Lösungen auf Zinnoxidul 343 ff.; Einwirkung der Alkalisulfide auf Zinnsulfür, Zinnsulfid und Zinnselenid (Sulfo- und Selenostannate) 346 ff.; Reactionen der Zinnoxidul-

salze, Silbermetastannat, Nachweis des Zinns 1301.

**83:** Darstellung krystallisierter Borate auf nassem Wege 341 ff.; Einwirkung der Alkalien auf Bleioxyd und Bleisalze 392; Einwirkung der Salzsäure auf Zinnsulfür 401 bis 403; Eigenschaften des Schwefel-, Selen- und Tellurzinns 403 f.; zinn-saure Salze 404 f.; krystallisierte Vanadate 417 bis 419; Darstellung von künstlichem Apatit und Wagnerit 1867, von dem Apatit analogen Bromophosphaten, Bromoarseniaten und Bromovanadinaten 1867 f., von dem Wagnerit analogen Bromoarseniaten, von dem Apatit entsprechenden Jodophosphaten, Jodoarseniaten und Jodovanadinaten 1868.

**84:** Uranverbindungen, Bleiuranat 419 f.; Einwirkung von Schwefelkalium auf Kupfersulfid (Bildung von Doppelsulfiden) 434 ff.; Einwirkung des Schwefelkaliums auf Quecksilbersulfid 443 bis 447; fabrikmäßige Darstellung von Zinnober 446; Darstellung von dem Apatit entsprechenden Fluorarseniaten und Fluorvanadinaten 1939 f.

**85:** Vanadium, Vanadinsäure 557 ff.; Einwirkung einiger Reduktionsmittel auf Vanadinsäure 560 f.; Verbindungen des Silbernitrat mit den Nitraten der Alkalimetalle 566 f.

**86:** Einwirkung von Schwefelkalium auf Antimontrisulfid 370 ff.; Verhalten des Schwefelantimons 372 f.; Verbindungen der Vanadinsäure mit anorganischen Säuren 457 ff.; Ammoniumvanadate 459 ff.; Einwirkung der Vanadinsäure auf einige Ammonsalze 461 ff.; Einwirkung der Wasserstoffsäuren auf Vanadinsäure 463 f.; Einwirkung der Haloidsalze der Alkalien auf Vanadinsäure 464 ff.; Verbindungen der Alkalinitrate mit Silbernitrat 480. Dittenberger, siehe Bohlig (E.).

Dittler, **83:** blaue schwefelhaltige Farbstoffe aus Nitrosoaminen 1800 f.

**84:** Herstellung wasserlöslicher blaugrüner Farbstoffe 1866.

Dittler (F.), siehe Michaelis (A.).

Dittmar, **84:** Anwendung von Nickelgefäßen beim Arbeiten mit caustischen Laugen 1557 f.; Einwirkung von Alkalien auf Metalle und Legierungen 1729 f.

**86:** Zersetzung von Chlorschwefel durch Wasser 2169; siehe Ostermayer (E.).

Dittmar (A.), **86:** Frostbeständigkeit von Kalkmörtel 2089 f.

Dittmar (M.), **85:** Einwirkung von Chlorjod auf Alkaloide 1679 bis 1681; Bildung von Chlorjodadditionsproducten der Alkaloide und von Trichlorjodverbindungen derselben 1679; Pyridinchlorjod, Pyridintrichlorjodidchlorhydrat; Chinolinchlorjod, Chinolintrichlorjodidchlorhydrat, Jodstickstoffchinolin; p-Toluchinolinchlorjod,  $\beta$ -Naphtochinolinchlorjod, Oxymethylchinolinchlorjod, Cinchonsäurechlorjodidchlorhydrat, Chinaldin- und Carbostyrylchlorjod, Dichinolinchlorjod, Piperidinchlorjod, Monojodantipyrin, Verbindung  $C_{11}H_{11}JN_2O \cdot JCl$ ; Pyrrolechlorjod; Dijodsubstitutionsproduct des o-Oxychinolins 1680; Monojodkynurin; Dijodtetrahydrochinolin; Jodkairin; Verhalten von Morphin, Theobromin und Caffein gegen Chlorjod 1681; siehe Ostermayer (E.).

Dittmar, (O.), **85:** Benutzung einer Nicholson'schen Senkwage zur Strommessung 231.

Dittmar (W.), **81:** spec. Gewicht von Flüssigkeiten 42.

**83:** Wage 1653; Zusammensetzung des Meerwassers, Gehalt desselben an Kohlensäure 1940, Absorptionsfähigkeit von Meerwasser gegen atmosphärische Luft 1940 f.

**84:** Logarithmentafeln für analytische Zwecke 1684.

**85:** Tensionsthermometer und Pyrometer 1997.

Dittmar (W.) und Robinson (H.), **77:** organische Materien in Trinkwässern 1072.

Dittrich (E.), **78:** Methyltaurin 838; siehe Perger (H. v.).

Ditzler (F.), **86:** Einwirkung von Kaliumchromat auf Morphin 1707 f., auf Chinin, Strychnin, Brucin 1708; Chromate des Strychnins 1739 f.; siehe Flückiger (F. A.).

Divers (A.), **84:** Formel der Knallsäure 478.

Divers (E.), **81:** Schwefelsäure aus japanischem Schwefel 1346; Chrom-eisen 1362; Natriumalaun 1373.

**82:** der Proceß in der Leclanché'schen Kette (Bildung von Chlorzink-

ammon) 146 f.; japanesische Meteoriten 1642.

**83:** Darstellung von Hydroxylamin aus Salpetersäure 303 f.

**84:** Schwefelregeneration aus Soda-rückständen 1724.

**85:** Ammoniumnitrat gegen Metalle 411; Constitutionsformel der Knallsäure 597; Eintritt von Selen in Salzsäure 2056.

**86:** Constitution des Schwefeltrioxyds 334; Ausfällung des Selen durch schweflige Säure 337.

Divers (E.) und Haga (Tamemasa), **84:** Silberhyponitrit und Darstellung alkalischer Hyponitrite 356.

**85:** Hydroxylaminbildung aus Zinnchlorür mit Stickoxyd und Salpetersäure 414 ff.; Bildung von untersalpेत्रigsaurem Kalium beim Einleiten von Stickoxydgas in eine alkalische Lösung von Zinnoxidulhydrat 419 ff.; Zersetzung der Nitrosulfate in Hyponitrite und Sulfite durch Einwirkung von Alkalimetallen 421 f.; Nitrosulfate der Alkalien 422.

Divers (E.) und Kawakita (M.), **84:** Einwirkung von Salzsäure auf Knallquecksilber 478; Zersetzung des Knallsilbers durch Salzsäure 478 f.

**85:** Einwirkung von Salzsäure auf Knallsilber 596 f., auf Kalium- und Silberfulminat 597.

Divers (E.) und Shimose (M.), **83:** Einwirkung von Schwefelsäureanhydrid auf Tellur: Tellursulfoxyd 299 f.; neues Telluroxyd 300 bis 302; Reaction von Tellurverbindungen 1537; Untersuchung eines Bleikammerab-satzes 1686.

**84:** Untersuchung des Selen-sulfoxyds 349 f.; Reaction zwischen Salzsäure und Selen-sulfoxyd, Bildung von Selen-selenochlorid 350 f.; Eigenschaften und Verhalten des Selenchlorürs (Selen-selenochlorids) 351 f.

**85:** Trennung des Selen von Tellur 1907.

Divers (E.) und Shimidzu (T.), **83:** Analyse einer orangerothen Varietät des Schwefels (sedi-rin-seki) 1828.

**85:** ungesättigte Sauerstoffsalze und die Reaction des Phosphoroxychlorids mit Sulfiten und Nitriten 360 ff.; Valenz des Schwefels 363, des Stickstoffs 364; Einwirkung der Pyroschwefelsäure auf Metalle (Quecksilber, Kupfer, Zinn) 396 f.; Wechsel-

wirkung zwischen seleniger Säure und Schwefelwasserstoff, sowie zwischen schwefliger Säure und Selenwasserstoff 402 ff.; Darstellung von Hydroxylamin 412 ff.; Constitution der flüssigen Untersalpetersäure 428 f.; Darstellung von schwefels. Quecksilberoxydul 564; Bestimmung von Metallen in Sulfiden 1879.

Divers (E.) und Teikichi, **85:** neuer Kohlenwasserstoff des Rohpetroleums 664.

Divers (E.) und Tetsukichi Shimidzu, **84:** Darstellung von arsenfreiem Schwefelwasserstoff mittelst Magnesiumhydrosulfid 338; Sulfide und Hydrosulfide des Calciums 386 bis 389; Theorie der Bildung des Calciumthiosulfats 388.

**86:** Sulfite des Quecksilbers 470 bis 478.

Divine (S. R.), **85:** Darstellung eines Sprengstoffes 2103.

**86:** Sprengstoff aus chloresaurem Kali und Nitrobenzol (Rackarock) 2076.

Dixon (G. F.), siehe Young (A. L.).

Dixon (H.), **86:** Verbrennung des Cyans 238; Verhalten eines Gemisches von Kohlenoxyd und Sauerstoff gegen den elektrischen Funken 381 f.; Einwirkung des Wasserdampfes auf Kohlenoxyd 382 f.; unvollständige Verbrennung des Kohlenoxyds 383 f.; Theorie der Verbindung von Wasserstoff mit Sauerstoff 384 f.; Verbrennung von Wasserstoff- und Kohlenoxydmischungen 385.

Dixon (H. B.), **82:** Vereinigung von Kohlenoxyd und Sauerstoff durch den elektrischen Funken 249; Schnelligkeit der Explosion einer Mischung von Kohlenoxyd mit Sauerstoff 249 f.

**84:** Explosion von Kohlenoxyd mit Sauerstoff bei Gegenwart oder Abwesenheit von Wasserstoff 89 f.

**86:** vermeintliche Diffusion von Gasen durch Quecksilber 84.

Dixon (H. B.) und Lowe (H. F.), **85:** Zersetzung des Kohlen-säuregases durch den elektrischen Funken 288.

Dixon (W. A.), **80:** Verarbeitung von Nickelerzen 1262.

**81:** Futterpflanzen 1285.

**83:** Analyse des Monazits vom Vegetable Creek, Neusüd-wales 1862 f.; Analyse einer pinitähnlichen Substanz vom Hanging Rock, Neusüd-wales 1894.

**86:** Charakter einer Säure 322 f.  
Doassans, siehe Bochefontaine.

Doassans (E.), siehe Hanriot (M.).  
Dobb (Th.), **85:** Analyse der fetten Öle 1967.

Dobbie (J. J.), siehe Gray (P. and A.);  
siehe Ramsay (W.).

Dobbie (J. J.) und Hutcheson (J. B.),  
**84:** Apparat zur Bestimmung des spezifischen Gewichtes fester Körper 68 f.

Dobbie (J. J.) und Ramsay (W.),  
**79:** Tricarbonsäure des Pyridins aus Chinin 801 f.

Dobbin (L.), **80:** tertiäres Butyljodid, Reactionen 476; siehe Frankland (E.).

Dobbin (L.) und Masson (O.), **85:** Darstellung von Trimethylsulfindibromjodid 1169 ff.; Trimethylsulfplatinchlorid, Trimethylsulfhydroxyd, Trimethylsulfindichlorjodid, Chlorjod gegen Trimethylsulfchlorid, Trimethylsulfchlorbromjodid 1170; Trimethylsulfdichlorbromid, Trimethylsulftrichlorid, Halogene gegen Trimethylsulfinsulfat 1171.

**86:** Einwirkung der Halogene auf Salze des Tetramethylammoniums: Tetramethylammoniumbromid und -chlorid gegen Jod 698; Tetramethylammoniumjodid gegen Brom: Tetramethylammoniumdibromjodid 698 f.; Tetramethylammoniumjodid gegen Chlor: Tetramethylammoniumdichlorjodid, Tetramethylammoniumbromid gegen Chlorjod 699; Tetramethylammoniumbromid und -chlorid gegen Brom und Chlor, Tetramethylammoniumsulfat gegen Brom und Chlor 700; Tetraäthylphosphoniumjodid gegen Brom 700 f.

Dobble (J. J.), **84:** Analyse von Saponit 1964.

Dobrowslawin (A.), **86:** Desinfektionsöfen 2115.

Docte (G. le), **80:** Prüfung der Rübensäfte 1351.

Dodge (J. A.) und Sideuer (C. F.),  
**84:** Analyse von Syenit 2012.

Döbner (O.), **77:** Oxyketone 626.

**78:** Farbstoffe aus aromatischen Aminen und Benzotrichlorid 452 f.

**79:** Tetramethyldiamidodiphenylmethan 417 f.; Phenol gegen Benzotrichlorid 509 f.

**80:** Phenole und tertiäre aromatische Basen gegen Benzotrichlorid 615 f.; Phtalanil gegen Benzoylchlorid

724 f.; Sulfosäure aus Malachitgrün 1383.

**81:** Benzoylverbindungen: Benzobrenzcatechin und Derivate 614 f.; m-Benzoylbenzoesäure 774.

**82:** Benzotrichlorid gegen primäre und sekundäre aromatische Amine: Diamidotriphenylcarbiol und Diamidotriphenylmethan 552 ff.

**83:** Condensationsproducte von Benzotrichlorid mit Phenolen und aromatischen Aminen, Benzaurin 694; siehe Biedermann (R.); siehe Stackmann (W.).

Döbner (O.) und Leymann (H.),  
**83:** Diäthylanilin gegen Benzotrichlorid: Diäthylanilingrün 694 f.; Benzoyldiäthylanilin 695.

Döbner (O.) und Miller (W. v.),  
**81:** Methylchinolin 923.

**82:** Salze und Derivate des Chinaldins (Methylchinolins), Nitrochinolincarbonensäure 1092 f.; Constitution des Chinaldins 1093.

**83:** Chinaldin 1323; Tetrahydrochinaldin, Methylhydrochinaldin, Chinaldinjodmethyl, o-Methylchinaldin, Hydro-o-methylchinaldin, Methylhydro-o-methylchinolin, p-Methylchinaldin, Hydro-p-methylchinaldin, m-Methylchinaldin 1324; Chinaldinsäure ( $\alpha$ -Chinolincarbonensäure) 1325 f.; Chinaldine der Formel  $R-C_6H_4N$ , Zinnmitanilin, Phenylchinolin 1326.

**84:** Untersuchung von Chinaldinbasen 780 bis 786; Monoäthylanilin und Tetrahydrochinaldin, Nebenproducte bei der Darstellung von Chinaldin, Nitrirung des Chinaldins 780; o-Nitrochinaldin, o-Amidochinaldin, m-Nitrochinaldin, m-Amidochinaldin 781;  $\beta$ -Chinaldinmonosulfosäure 782; o-Chinaldinmonosulfosäure, p-Chinaldinmonosulfosäure, o-Oxychinaldin, Tetrahydro-o-oxychinaldin, o-Methoxychinaldin, Tetrahydro-o-methoxychinaldin 784; p-Oxychinaldin,  $\beta$ -Oxychinaldin, Trimethylchinaldin 785;  $\alpha$ -Naphtochinaldin,  $\beta$ -Naphtochinaldin 786; Darstellung von Homologen des Chinaldins 786 bis 789; Darstellung der drei isomeren Chinaldincarbonensäuren 1279 ff.: p-Chinaldincarbonensäure 1279; m-Chinaldincarbonensäure 1280; o-Chinaldincarbonensäure 1281.

**85:** Darstellung von Methylchinolinen 975 bis 978:  $\beta$ -Methylchinolin,

- $\beta$ -Methylchinolincarbonsäure** 976; Dimethylchinolin,  $\beta$ -Chinolinmonocarbonsäure 977; Darstellung einiger Derivate des  $\alpha$ -Methylchinolins (Chinaldins) und  $\gamma$ -Methylchinolins (Lepidins): Benzylidenlepidin 977 f.; Darstellung eines Trimethylchinolins aus Chinakdin 996.
- 86:** Derivate des  $\alpha$ -Phenylchinolins: Oxydation und Reduction desselben; Benzoylanthransäure und Tetrahydro- $\alpha$ -phenylchinolin 944; Salze des  $\alpha$ -Phenylchinolins 944 f.; Nebenprodukt bei dessen Darstellung:  $\alpha$ -Phenylchloräthylat und Derivate 945 f.
- Döbner (O.) und Stackmann (W.), **77:** Benzoylphenol 583.
- Döbner (O.) und Weifs (G.), **81:** Benzoanilin und Derivate 461; Benzophenylverbindungen 461 f.; Benzophenol 462.
- Döbner (O.) und Wolff (W.), **79:** Dibenzohydrochinon 563.
- Döll (E.), **78:** wässriger Ursprung des Goldes 1201; Pseudomorphosen 1277 f.; Meteorsteine von Sokol-Banja 1318 f.
- 80:** Diamant 1401.
- 82:** der Meteoritenfall von Mocs, Siebenbürgen 1639 f.
- 83:** Pseudomorphosen: Strahlkies nach Zinkblende, Zinnober nach Fahlerz, Eisenkies nach Strahlkies und Magnetkies, Zinkblende nach Bleiglanz und Baryt, Quarz und Rotheisenstein nach Granat 1912; Speckstein nach Quarz und Dolomit 1912 f.
- 84:** Pseudomorphose von Eisenkies nach Kupferkies, von Fahlerz nach Kupferkies 1999 f.
- 86:** Pseudomorphosen von Eisen- und Arsenkies nach Turmalin 2297; Unterscheidung der Brust- und Rückenseite von Meteoriten 2325.
- Döll (E.) und Woldkirk (J. N.), **86:** Untersuchung des Pegmatits von Pisek 2306.
- Doelter, **84:** Untersuchung von Hornblendemelaphyr 1969.
- 86:** Analyse eines Wolframs 2256.
- Doelter (A.), **84:** optisches Verhalten von Apatiten 1942.
- Dölter (C.), **77:** Fassait, Augite 1323; Eruptivgebilde 1356.
- 78:** Analysen von Mineralien der Augitgruppe 1250 f.; Spodumenanalysen 1252 f.; Petalit 1254; Producte des Vulcans Monte-Ferru 1287.
- 79:** Eisenoxydul in Silicaten 1042; Arfvedsonit, Glaukophan, Gastaldit, Krokydolith 1228 f.; Retinit 1242.
- 80:** Augitgruppe 1454.
- 81:** Vesuvian 1380; Hauyn, Nosean 1384.
- 82:** Anwendung des Elektromagneten zur mechanischen Trennung der Felsgemengtheile 1588 f.; Pyroxenit (Basalt) von den Capverdischen Inseln 1613.
- 83:** Analysen von Augiten aus Gesteinen der Capverdischen Inseln 1888 f.; Formeln von Augiten 1889.
- 84:** optische Eigenschaften von Turmalin 1950; optisches Verhalten der Vesuviane 1952 f.; Untersuchung von Nephelin 1959; Darstellung künstlicher Pyroxene 1965 f.
- 85:** Untersuchung von Pyroxen 2292.
- 86:** Zusammensetzung von Magnetkies 2231 f.; künstliche Bildung von Wollastonit 2279; Bildung von Pektolith 2287; Experimente behufs Nachahmung von Contactwirkungen 2302 f.
- Dölter (C.) und Hussak (E.), **84:** Schmelzversuche an Vesuvian 1953; Schmelzversuche mit Granatvarietäten 1956; Schmelzversuche an Gesteinen 2007.
- Döring (A.), **80:** Descloizit, Brakebuschit 1428.
- Dogiel (A.), **85:** Eiweiskörper der Frauen- und Kuhmilch 1782 f.; Caseine beider Milcharten 1783.
- Dogiel (G.), **81:** Arsenwirkung 1062.
- Dogiel (J.), **79:** Reactionen einiger Eiweiskörper 876.
- 82:** Theorie der Arsenwirkung 1225.
- Dohrandt (F.) und Schmidt (C.), **77:** Suspensionsschlamm des Amudarja 1381.
- Dolgopolow (M. O.), **79:** spezifisches Gewicht des Euklaes 1207.
- Dolliak, **83:** Vorkommen von Mehlstaub im Schiefspulver 1704.
- Dolmatow, siehe Cramer-Dolmatow.
- Domac (J.), **81:** Hexylen aus Mannit und Derivate 348 f.
- 82:** Einwirkung von Unterchlorsäure auf Hexylen 403 ff.; secundärer Hexylalkohol 405.

- Domalip (K.), **77**: Widerstand von Flüssigkeiten 162.
- 80**: Magnetismus und negative Entladung 168.
- Domeyko, **80**: Guano von Mejillones 1387 f.
- Domeyko (J.), **80**: Phosphate und Borophosphate aus Guano 1434.
- 81**: Mineralogie Perus und Argentiniens, Wismuthmineralien Boliviens, Perus und Chilis 1343; Huantajayit 1365; Natriumsalpeter (Tarapacait) 1367; Krönkit 1372; Pseudomorphose 1413.
- Donald (G.), siehe Mills (E. J.).
- Donald (J. T.), **84**: Analyse von Samarskit 1994.
- Donald (W. J. A.), **84**: Gerben mit Dichromat 1835.
- Donaldson (H. H.), siehe Chittenden (R. H.).
- Donath, **80**: Thonerde in Eisenoxyd, Trennung des Silbers vom Blei 1394.
- Donath (E.), **78**: Invertin 1083 f.
- 79**: Erkennung freier Säuren 1023; Erkennung der Chromate und der freien Chromsäure 1047; Bestimmung von Kobalt und Nickel 1054; Tafelglascomposition, Spiegelglasanalysen 1119.
- 80**: Jod von Chlor und Brom 1151; arsen- und antimonhaltige Verbindungen, Aufschließung 1168; Bestimmung von Mangan, Kobalt und Nickel 1183; Kobalt von Nickel 1184; Verhüttung geschwefelter Nickelerze 1259.
- 81**: Bestimmung von Chrom und Mangan neben Eisen und Aluminium 1184; Bestimmung von Thonerde neben Eisenoxyd 1184 f.; Arsen und Vanadin im käuflichen Natron 1261.
- 83**: Regenerirung von chromoxydhaltigen Flüssigkeiten und Zinnabfällen 1699; siehe Schöffel (R.).
- Donath (E.) und Jeller (R.), **86**: rasche Bestimmung des Eisens in einem geglühten Gemenge von Eisenoxyd und Thonerde 1932.
- Donath (E.) und Mayrhofer (J.), **81**: Nachweis von Kobalt und Nickel 1188; Scheidung des Cadmiums 1191; Reactionen des Glycerins 1202.
- 83**: Beziehungen zwischen dem Quotienten aus Atomvolum und Atomgewicht zur Affinität, gleiches specifisches Volum chemisch ähnlicher Elemente 25 f.
- Donath (Ed.), **84**: Erzeugung von Patina auf Bronzen 1698.
- Donath (J.), **77**: Hydroxylamin 228; salza. Hydroxylamin gegen Fehling'sche Lösung 430.
- 79**: specifische Wärme des Uranoxydoxyduls 91 f.; Baryumamalgam 236 f.; specifische Wärme des Uranoxyduloxys 292.
- 81**: Wirkung des Chinolins 918, 1065.
- 86**: Dehydromorphin (Pseudomorphin, Oxymorphin, Oxydimorphin) und Derivate 1709 f.; Morphinreactionen 1976.
- Donker, Treumann und Dragendorff, **78**: Theobromin in den Cacaoschalen 872.
- Donkin (W. F.), **86**: neue Quecksilberluftpumpe 2010.
- Doremus (C. A.), **85**: Apparat zur Harnstoffbestimmung nach Kühne 2007.
- Doremus (Ch. A.), **81**: Leuchtgas aus Holz 1314 f.
- Dorn (E.), **78**: elektrische Ströme beim Durchströmen des Wassers durch Röhren 129.
- 80**: Fortführung der Elektrizität durch strömendes Wasser 163.
- 81**: Größe der Gasmoleküle 8.
- 85**: physikalische Vorlesungsversuche 351 f.
- Dorn (E.) und Edlund (E.), **77**: Diaphragmenströme 154.
- Dorn (L.), **77**: Fumar- und Maleinsäure 711.
- Doroschenko (S.), **85**: aromatische Kohlenwasserstoffe des kaukasischen Petroleums 674 f.
- Dorp (W. A. van), siehe Hoogewerff (A.); siehe Hoogewerff (S.).
- Dorsch (R.), **84**: Darstellung von Bromisatosäure 898.
- 86**: Halogenderivate der Isatosäure 1434 bis 1437: Monobromisatosäure 1434; Mono-, Di- und Tribromnitroanthranilsäure, Monochlor- und Dibromisatosäure 1435; Mono- und Dichlorisatosäure, Mono- und Dichloranthranilsäure, Monobromnitroisatin 1436 f.
- Doss (B.), **86**: Analysen von Labradoren 2290; Untersuchung der basaltischen Laven und Tuffe der Provinz Hauran und vom Direct et-Tulul 2303.
- Dott (D. B.), **78**: Darstellung von Salpetrigsäure-Amylather 526; Berberinchlorhydrat 895.

- 80:** Löslichkeit des Morphinmekonats 74; Berberinchlorhydrat 999.
- 81:** Löslichkeit von Morphinsalzen 931; Silber- und Bleisalze der Meconsäure 936.
- 82:** Löslichkeit von Morphinsalzen 1100; Identität der Methyilmorphine aus Morphinalkalimetallverbindungen mit Codein 1102.
- 83:** Formen des Morphiums im Opium 1410.
- 84:** Verhalten von bromwasserstoffs. Codein 1389; Darstellung von Salzen des Narcotins 1389 f.
- 86:** milchsaures Morphin 1708; Löslichkeit des Salicins 1785.
- Dotto-Scribani (F.), **79:** Darstellung des zweibasischen Chinincitrats 796.
- Doublet, **80:** Phylloxera 1068.
- Doubrava (S.), siehe Mach (E.).
- Dougall (A. Mc.), **79:** Mehlexplosionen 1136.
- Dougherty (G. T.), **84:** Bestimmung von Antimon und seine Trennung von Blei 1584.
- Douglas, siehe Hunt.
- Douglas (J.), **79:** Rosenwasser aus Rosenöl 931.
- Douglas (J. C.), **81:** Zink-Geschrei 1248.
- Douglas (S. T.), siehe Vaughan (V. C.).
- Douglas (Th.), **78:** Gewinnung des Cyans aus Gaskalk 1123.
- 79:** Chromgrün 1153.
- Douglass (J. N.), **86:** Kohlen für Bogenlicht 2152.
- Doumer, **85:** optisches Verhalten verschiedener vegetabilischer Öle 2183.
- Doumer und Thibault, **85:** Spectralanalyse der Öle 1885.
- Dowling (T. A.) und Hardman (J.), **80:** Holzconservirung 1372.
- Downes (A.), **80:** Actinometrie 189 f.
- 81:** organische Substanz des Flußwassers 1441.
- 86:** Wirkung des Sonnenlichtes auf Mikroorganismen 1881.
- Downes (A.) und Blunt (T. B.), **78:** Einfluß des Lichtes auf die Entwicklung von Bacterien 222; Einfluß des Sonnenlichtes auf Fäulnisorganismen 1026; Zersetzung von Oxalsäure durch Sonnenlicht 1080.
- 80:** Zersetzung von Wasserstoff-superoxyd 250.
- Doyer van Cleff (G.), **81:** Farbenveränderungen von Chromoxydulsalzlösungen 228 f.; Wasserverlust von Chromoxydsalzen 230.
- Dragendorff, **77:** Bestandtheile des Mutterkorns 944; Bier, Prüfung auf Hopfen und Colchicin 1197.
- 78:** Analyse von Rhabarber 965 f.; Werthbestimmung der Zittwersamen 967 f.; Analyse der Blätter von *Celastrus obscurus*, des *Tschukings* 972 f.; Zwiebeln von *Erythronium dens canis* 975; Verhalten einiger Körper bei seiner Alkaloidbestimmung 1082 f.; Verhalten fetter und ätherischer Öle gegen Reagentien 1086; Prüfung des Harns auf Carbonsäure 1093; siehe Donker; siehe Weigelin.
- 79:** Mannitbildung bei der Milchsäuregärung 854; chemische Bestandtheile und botanische Eigenthümlichkeit der Pflanzen 885; Untersuchung von *Paeonia peregrina* 929 f.; krystallinisches Harz aus *Pinus Pumilio* 946.
- 81:** Bieruntersuchung (Hopfensurrogate) 1219; Phosphor im Harn und in den Fäces 1230.
- Dragendorff (G.), **82:** Analyse der Blätter von *Meneclyon tinctorium* (Metarabinsäure) 1174; Alkaloide der Quebrachorinde, Pereirorinde, Gelsemiumwurzel und Vergleich derselben mit den Strychnosalkaloiden 1316 ff.; Fäulniss- und Leichenalkaloide 1322 f.; Nicotinbestimmung im Tabak 1335.
- 84:** Nachweis von Morphin im Harn 1632; physiologische Wirkungen und Nachweis von Alkaloiden 1635 bis 1640.
- 85:** Analyse brasilianischer Kaffeesorten 1984.
- 86:** Nachweis von Chloralhydrat im Organismus 1963 f.; Nachweis von Convolvulin und Jalapin im Organismus 1982.
- Dragendorff (G.) und Basiner (A.), **82:** Anemone, Anemonia, Cardol und deren Beziehungen zum Cantharidin 1318 f.
- Dragendorff (G.) und Blumenbach (E.), **86:** Verhalten von Thallin und Antipyrin 1983.
- Dragendorff (G.) und Dietrich (J.), **86:** Aloin 1982.
- Dragendorff (G.) und Jacobsen (W.), **86:** Nachweis des Phenols im Organismus 1962 f.

- Dragendorff (G.) und Podwissotzky, **77**: Mutterkorn, Bestandtheile 943.
- Dragendorff (G.) und v. Benteln (C.), **82**: Solaninvergiftung, Solanidin 1325 f.; Nachweis des Solanins in Arten von Solanum und Scopolia: Scopolin 1326.
- Dragendorff (G.) und Rosen (H. v.), **86**: Untersuchung von Lobelia nicotianaefolia 1982 f.
- Dragendorff (G.) und Salomonowitsch (S.), **86**: Myocotonin 1982.
- Dragendorff (G.) und Spohn (H.), **84**: Alkaloide aus Aconitum lycotonum 1394 f.; Lycaconitin, Lycaconin, Myocotonin 1395.
- Dragoumies (E. J.), **77**: Temperaturbestimmungen 92.
- Draisma von Valaenburg (S.), siehe Valaenburg (S. Draisma von).
- Dralle (Chr.), **84**: Bildung von Phtalsäure bei der Oxydation von Purpurin und Chinizarin 1073; Untersuchung von Hämatoxylin und Brasilin 1402, 1446; siehe Schall (C.).
- Draper (C. N.), **85**: Löslichkeit des Ferricyanmangans 1937.
- 86**: Prüfung von Lithiumsalzen auf Schwefelsäure 1928 f.
- Draper (H.), **77**: Sauerstoff in der Sonne 183; Sauerstoff und Stickstoff in der Sonne 207.
- 85**: Fehlerquellen bei Anwendung von Schwefelkohlenstoffprismen zu spectrometrischen Untersuchungen 317.
- Draper (H. N.), **77**: Löslichkeit von Aether in Chlorwasserstoffsäure 76.
- 84**: Darstellung von Schwefelwasserstoff 337.
- 86**: Einwirkung des Ammoniaks auf Silbernitrat 480 f.
- Draper (J. O.), **78**: Anwesenheit von Sauerstoff in der Sonnenatmosphäre 185.
- Draper (J. Ch.), **80**: Sonnenlinien 199.
- Draper (J. W.), **77**: Photographie des Infraroths 195.
- 81**: Phosphorographie, Linien im Ultraroth 117.
- Draper (N.), **85**: Anwendung des Lackmoids als Indicator, Empfindlichkeit der Carminsäure 1889.
- Draper (W.), **80**: neue Lichteinheit 188.
- Drasche (E.), **84**: Analyse von Quarzporphyr 2012, von Olivindias 2019, von Melaphyren 2020, von Basalt 2022, von Augitandesit 2024; siehe John (C. v.); siehe Pfiwoznik (E.).
- Drasche (R. v.), **79**: Schwefelwasserstoffquellen Japans 1272.
- Drechsel (E.), **77**: kohlenaurer und carbaminsaurer Kalk 245; Cyanamid aus cyansauren Salzen 343; carbaminsaure Salze 674; Silberbestimmung 1069; Extractionsapparat, Scheidetrichter 1100.
- 78**: Wasserstoffhyperoxyd 200.
- 79**: elektrolytische Versuche 141 f.; Harnstoffpalladiumchlorür 342 f.; krystallisirte Eiweißverbindungen 874 f.; Harnstoff im Blute 960 f.
- 80**: Xanthinkörper aus Eiweiß 1034 f.; Harnstoffbildung 1110.
- 81**: krystallisirtes Guanin 345; Gallensäurereaction 1048.
- 82**: Ammonplatindiammoniumverbindungen 161; neue Gehirnstoffe 1220; Löslichkeit von Quecksilberchlorür in salpetersaurem Quecksilberoxyd 1300.
- 83**: Phtalylamidoessigsäure (Phtalylglycocol, Phtalursäure) und Salze derselben 1162 f.; Leucin und Taurin gegen Phtalsäureanhydrid 1163; Versuche in zugeschmolzenen Röhren in kleinem Maßstabe 1524; Modification der Pettenkofer'schen Gallensäurereaction 1647.
- 84**: Darstellung von Phenolätherschwefelsäure durch Elektrolyse mittelst Wechselstromes 270 f.
- 86**: Elektrolyse der normalen Capronsäure 279; elektrolytische Versuche (Harnstoff, Phenolsulfosaure) 279 f.; Vorkommen von Jecorin in der Leber des Frosches 1839.
- Drechsel (E.) und Krüger (R.), **80**: Cyanamid 413 f.
- Drechsel (E.) und Möller (H.), **78**: Carbokomensäureäther 735; Carbo-gallussäureäther 813.
- Drechsler (A.), **80**: Prüfung ätherischer Oele 1228 f.
- Drecker (J.), **83**: Ausdehnungsarbeit von Flüssigkeitsgemischen 82.
- Dreher (E.), **81**: Phosphorescenz der „leuchtenden Materie“ (Schwefelcalciumoxydsulfid?) 132.
- 82**: Entstehung der Phosphorescenz der sogenannten „leuchtenden Materie“ 190 f.



- Dreifus (E.), **82**: Kaliumbestimmung in Düngerproben 1283.
- Drenkman, **86**: Polarisation von Rohrzucker 1123.
- Dreschfeld (J.), **77**: Tinctionsflüssigkeit für mikroskopische Untersuchungen 1085.
- Dreser (H.), **86**: Beitrag zur Chemie der Netzhautstäbchen 1840.
- Dressel (L.), **77**: Mineralquellen von Ecuador 1390.
- Drevermann, **82**: Alkaliphosphate aus Schlacken und Phosphoriten 1397 ff.
- 85**: Aufarbeitung unreiner Phosphate 2068.
- Drevermann (A.), **78**: Zersetzung des Zuckerkalkes 1148; Abscheidung des kristallinen Zuckers aus der Melasse 1151.
- Drews (A.), siehe Bernthsen (A.).
- Drews (Ad.), siehe Graebe (C.).
- Drewsen (S.), **81**: Bestimmung der Phosphorsäure in Superphosphaten 1168.
- Drewsen (V.), **80**: Werthbestimmung des Zinkstaubes 1186 f.
- 82**: p-Kresol gegen Phtalsäureanhydrid und Schwefelsäure: Parakresolphtaleinanhydrid, Parakresolphtalinanhydrid 690 f.; Dimethyldioxybenzophenon, Methylerthoxyanthrachinon 692.
- Drewsen (V. B.), **82**: Zimmtsäure gegen Salpetersäure: p-Nitrozimmtsäure, p-Nitrozimmtsäuredibromid, p-Nitrophenylpropionsäure, p-Nitrophenylpropionsäuredibromid 944 f.; p-Nitrophenylacetylen, p-Nitroacetophenon, p-Nitrochlorstyrol, p-Amidoacetophenon 946 f.
- 83**: o-Mononitrobenzylidenaceton,  $\alpha$ -Methylchinolin aus o-Mononitrobenzylidenaceton 1323; siehe Baeyer (A.).
- Dreyer, Rosenkranz und Droop, **77**: Wassertrahlpumpe 1101.
- Dreyfus, **85**: Zusammensetzung eines Phosphates 2066.
- Dreyfus (S.), siehe Griffiths (A. B.).
- Dreyfufs (E.), **81**: Bestimmung der Chlorsäure in Bleichsalzen 1163 f.
- 83**: Bestimmung des Stickstoffs in Düngern 1589 f.
- 84**: Constitution des Chlorkalkes 331 ff.; Fabrikation der reichen Superphosphate 1766 ff.; Phosphatanalyse 1767 f.
- Droeze (J. H.), **77**: Löslichkeit des Gypses in Wasser und Salzlösungen 74.
- Droop, siehe Dreyer.
- Drosdoff (W.), **77**: Resorption von Pepton, Rohrzucker und Indigachwefelsäure 979; Blut der vena portae und vena hepaticae 991.
- Drossbach (J.), **86**: Darstellung von Di- und Trinitro-o-xytol 597.
- Drouin (A.), **82**: Extraction von Blei, Silber, Kupfer, Kobalt und Nickel auf nassem Wege 1382 f.
- Drouin (A.) und Bayeres de Torres (José de), **78**: Gewinnung von Kupfer und Silber 1112.
- Droux (L.), siehe Depouilly (P. J.).
- Drown (Th.), **79**: Reinigung des Roheisens 1095.
- Drown (Th. M.), **81**: Bestimmung des Schwefels durch Brom 1166.
- 82**: Schwefelverbindungen in der Kohle 1392; siehe Muhlenberg (N. H.); siehe Ochsenius (C.).
- Drown (Th. M.) und Shimer (P. W.), **82**: Analyse von Eisenerzen, welche Phosphorsäure und Titansäure enthalten 1291.
- Drown (Th. M.), **81**: Bestimmung des Siliciums und Titans im Roheisen und Stahl 1177.
- Drown (Th. N.) und Shimer (W.), **80**: Silicium und Titan im Roheisen und Stahl 1169 f.
- Drucker (J.), siehe Buonaccorsi di Pistoja (Graf A.).
- Drueding (Ch. C.), **78**: Analyse der Wurzelrinde des Baumwollstrauches 971.
- Druggin, **81**: Cinchonidin von Chinin 1210.
- Dryer (Ch. R.), **83**: Nachweis von Zinn durch Brucin 1578.
- Drygin, **78**: Chininharnstoff, Chinidinbarnstoff, Cinchonichin 882.
- 79**: Chinichin 820.
- Drygin (A.), **81**: salzs. Chininharnstoff 961.
- Dubernard, **85**: volumetrische Bestimmung des Kaliums 1923 f.
- Dubke (A.), **86**: Entfernung der Knochenkohle bei der Zuckerfabrikation 2126.
- Dubois (Ch.) und Padé (L.), **85**: physikalische Eigenschaften mehrerer Fette, Prüfung von Butter 1829; Löslichkeit roher Fettsäuren in Benzol und absolutem Alkohol 2178.

- 84:** Untersuchung der Cacaobutter 1831.
- Dubois (E.), **82:** Campher gegen Sulfurylchlorid: Chlorcampher 770.
- Dubois (R.), **77:** Luftpumpe 1098.
- Duboscq (Th.) und Duboscq (A.), **85:** Fransensaccharimeter 1998.
- Dubourg (E.), siehe Gayon (M.).
- Dubreuil, siehe Naux.
- Dubrunfaut, **79:** Maltin, Diastase 1019.
- 80:** Zuckerbildung aus Stärke 1006; Bier 1354.
- 82:** Fabrikation von Maltose 1124.
- Duckworth (Ch. W.), **86:** Kenntnisse vom Sauerstoff und der Zusammensetzung des Wassers bei den Chinesen 322.
- Ducla, **77:** Aluminiumsalze 1144.
- Duclaux, **77:** Oberflächenspannungen wässriger Lösungen von Alkohol und fetten Säuren 85.
- 80:** Eiweißkörper gegen Bacillusarten 1132.
- 86:** Oxydationsvorgänge durch den Einfluss des Lichtes 505.
- Duclaux (E.), **78:** Spannkraft der Dämpfe aus einem Gemenge zweier Flüssigkeiten 36, 39.
- 82:** Fermente des Käses 1251.
- 84:** Untersuchung der Eiweißkörper der Milch 1488; Verfahren zur Analyse der Milch 1488 f.; Wirkung des Labfermentes auf die Milch 1489 f.
- 85:** Reinigung flüchtiger organischer Verbindungen 581; Versuche über Keimung 1792; Einfluss des Sonnenlichtes auf die Lebensfähigkeit der Mikroben: Thyrotrix-Bacterie 1874 f.; Mikrococcen, Lebensfähigkeit der Mikrobenkeime 1875.
- 86:** Untersuchung der Butter 1831 f.; Ursache des Ranzigwerdens 1832; Prüfung der Fettsäuren auf Reinheit 1965.
- Ducommun, siehe Dietrich.
- Dueretet, **78:** Veränderung der Chromsäurekette 134.
- 83:** Universalgalvanometer ohne Schwingungen 201.
- 85:** Galvanometer 230; Apparat zur Bereitung fester Kohlensäure 456.
- Dueretet (E.), **79:** elektrische Lampe 1083.
- 84:** neues Galvanometer 232; Apparat zum Auffangen von schneeiger Kohlensäure 370.
- 85:** Bürette 1966.
- Dudgeon (P.), **83:** Vorkommen von Linarit bei Martingarth, Dumfries 1857.
- Dudley (L.), **81:** flüchtige Oele 1222; siehe Clarke (J.).
- Dudley (W. L.), **77:** spezifisches Gewicht von Salzen 43.
- 80:** Gallussäure, Pyrogallussäure und Tanningegen pikrinsaures Ammon 1209; Böttger'sche Zuckerprobe 1213 f.
- 82:** Schmelzen von Iridium 1388 f.
- Dudley (W. L.) und Clarke (F. W.), **80:** Graphit 1402.
- Dühring (U.), **80:** Gesetz der correspondirenden Siedetemperaturen 49, 50, 51.
- Dünkelberg und Burkli, **77:** städtisches Canalwasser 1178.
- Dünschmann (M.) und Pechmann (H. v.), **85:** Constitution der Acetondicarbonsäure, Aethyl- und Benzylacetondicarbonsäureäther 1394; Darstellung von Citronensäure aus Acetondicarbonsäure 1395.
- Dürkopf (C.), **84:** Aldehydcollidinhexahydrür 657.
- 85:** Reductions- und Oxydationsprodukte des Aldehydcollidins 833 ff.; Methyl- und Dimethylcopellidin 834 f.; Darstellung von Methylpyridinmonocarbonsäure 835 f.
- Dürr (H.), siehe Demole (E.).
- Dürre (E. F.), **83:** Wärmeverhältnisse des Hochofenbetriebes 1675.
- Dufet (A.), **86:** Natriumsalze der Pyro- und Unterphosphorsäure 353; siehe Joly (A.).
- Dufet (H.), **78:** Veränderung des Brechungsindex in isomorphen Salzgemischen 163 f.
- 80:** Brechung isomorpher Salzgemische 185 f.
- 83:** Veränderung der Brechungsexponenten von Wasser und Quarz 236 f.
- 84:** Aenderungen der Brechungsindices des Quarzes, optische Eigenschaften isomorpher Mischungen 286.
- 86:** Aenderung der Brechungsindices mit der Temperatur bei Wasser, anorganischen und organischen Substanzen 291 ff.; Molekularrefraction 293 f.
- Duflot (P.), siehe Viol (A.).
- Dufour (H.), **77:** Polarisation 158.
- 81:** chemisches Actinometer 134; phosphorescirende Tafeln 1275.

- 83:** Differentialthermometer<sup>2</sup> 113.  
**Dufour (J.), 86:** Lösliche Stärke 1809.  
**Dugald Clerk,** siehe Clerk (Dugald).  
**Duggan (J. B.), 82:** Harnstoffbestimmung 1304.  
**85:** diastatische Wirkung des Malzextractes auf Stärke: Kornstärke, Arrow-root (Pfeilwurz), Einfluß von Natron und Schwefelsäure auf die Maltosebildung 1865; Einfluß der Diastasemenge auf die Umwandlung der Stärke, antiseptische Eigenschaften von Verbindungen (gegen *Bacillus subtilis*) in Bezug auf ihre Constitution 1866 f.; antiseptische Wirkung von Oxybenzoesäuren, Phenolen und Alkoholen 1867.  
**86:** absolute Neutralität (Inversion des Rohrzuckers durch organische Säuren) 23 ff.  
**Duhem (P.), 86:** Dampfdruck 91.  
**Duisberg (C.), 82:** Acetessigäther gegen Brom, Ammoniak, Salzsäure: Mono-, Di-, Tri-, Tetra-, Pentabromacetessigäther 841 f.; Oxytetrolsäure und Salze 843; Paraamidooacetessigäther 844; Carbacetessigäther 845.  
**83:** Identität von Oxytetrolsäureäther und Succinylbernsteinsäureäther, von Oxytetrolsäure und Chinonhydrodicarbonsäure, Succinylbernsteinsäureäther 1112; Kupferbromacetessigäther 1112 f.; Acetessigäther gegen Brom 1113; siehe Pechmann (H. v.).  
**85:** Darstellung von p-Toluylamido-p-methyloxyindol und Derivaten 1148 ff.; Diacetyl-p-toluylamido-p-methyloxyindol, Nitroso-p-toluylamido-p-methyloxyindol, Bildung eines Farbstoffes, Methylinol 1149; dichloressige p-Toluidin, Darstellung von Monoacetyl-p-toluyl-p-methylpseudoimesatin, Acetyl-p-methylpseudoimesatin, Constitution des p-Toluyl-p-methylmesatins 1150; Acetyl-p-methylmesatinsäure, Acetyl-p-methylmesatinsäure-Aethyläther, Monoäthyl-p-toluyl-p-methylpseudoimesatin, Äthyl-p-methylpseudoimesatin 1151 f.  
**Dujardin (A.),** siehe Béclamp (J.).  
**Dujardin-Beaumetz, 86:** vegetabilische und Fettnahrung 2148; siehe auch Beaumetz (Dujardin).  
**Dujardin-Beaumetz und Restrepo (A.), 81:** Wirkung von Cedrin und Valdivin 1067.  
**Dulitz, 85:** Zusammensetzung des Kinetits 2105.  
**Dulk (L.), 85:** Beziehungen von Gravitation zum Atomgewicht 27.  
**86:** Gravitation und Atomgewicht 55 f.  
**Dumas, 77:** Verflüssigung von Gasen 69.  
**78:** Dichte des flüssigen Sauerstoffs 42; Atomgewicht der Elemente 304 f.  
**80:** Occlusion von Wasserstoff in Magnesium und Aluminium 286; Explosion durch Kohlensäure in einer Kohlengrube 1508.  
**82:** Kohlensäuregehalt der Luft 1140; Zusammenhang zwischen giftiger Wirkung der Metallsalze, Isomorphismus und Atomgewicht 1222.  
**83:** Entdeckung der künstlichen Soda 1892.  
**Dumcke (O.),** siehe Schrader (E.).  
**Dumond (T. S.), 83:** Benzoesäure aus Benzö, Harn und Toluol 1122 f.  
**Dumont (G.), 84:** neue Kette mit Kupfervitriol 237.  
**Dumreicher (O. v.), 80:** Zinnchlorür und Stickstoffsauerstoffverbindungen 267 f.  
**82:** Einwirkung von Aluminiumchlorid auf Benzolhalogenderivate 442 f.  
**Dunant (P. L.),** siehe Fol (H.).  
**Dunham (G. M.), 81:** Thenardit 1371.  
**Dunn (J. D.), 82:** Manganoxyde 302 f.  
**Dunn (J. T.), 77:** Glycerin verzögert Affinitätswirkungen 30; englisches Grubenwasser 1388.  
**78:** Indicatoren für die Alkalimetrie 1055.  
**81:** Löslichkeit von schwefliger Säure in Schwefelsäure 162.  
**82:** Löslichkeit der schwefligen Säure in Schwefelsäure 228.  
**Dunnackie (J.), 77:** feuerfeste Ziegel 1161.  
**Dunnington (F. P.), 80:** spezifische Gewichtsbestimmung 22 f.  
**81:** Mikrolith 1407.  
**82:** Analyse von Orthit 1545 f.; Columbitanalyse 1573.  
**83:** Fällung von Kupfer als Kupferoxyd 1579; Filtrirwage zum automatischen Auswaschen von Niederschlägen 1657; Analyse des Monazits von Amelia Court House (Virginia) 1862.  
**Dunstan (R.), 79:** Salpetersäure im Trinkwasser 1107.

Dunstan (R.) und Dimmoek (A. F.), **79**: Malzextract 919 f.

Dunstan (W.), **86**: Vorkommen von Kaliumnitrit im Kaliumhydrat 2051 f.

Dunstan (W. B.), **84**: Bemerkungen über Metaldehyd 1026.

Dunstan (W. B.), **80**: Absorption ultravioletter Strahlen 213 f.; Stahlanalyse 1179 f.

**82**: Glycerin und andere polyatomige Alkohole, sowie Zuckerarten, Phenole gegen Borax 647.

**83**: Glycerin und polyatomige Alkohole gegen Borax 858.

Dunstan (W. R.) und Ransom (F.), **83**: Einwirkung des Chlors auf Natriumcarbonat 281.

**84**: Isolierung der Alkaloide aus der Wurzel von Atropa Belladonna 1643 f.

**85**: Extraction der Alkaloide aus den Wurzeln und Blättern von Atropa Belladonna 1966.

Dunstan (W. B.) und Short (F. W.), **83**: quantitative Bestimmung der Alkaloide von Nux vomica 1416 f.; Trennung von Strychnin und Brucin 1615 f.; Apparat für kontinuierliche Extraction 1657.

**84**: Darstellung von Logenin 1409; Untersuchung von Strychnos nux vomica 1463.

Duparc, siehe Soret (Ch.).

Dupetit (G.), **82**: giftige Substanzen aus eisbaren Schwämmen 1157; siehe Gayon (U.).

Duponchel, **85**: Anwendung von Calciumsulhydrat gegen parasitäre Krankheiten 1849 f.

Dupré, **80**: Diffusion des Weinfarbstoffes 1224.

**83**: Untersuchung des Antikesselsteinmittels „Lapidolyd“ 1749.

**86**: Bestimmung des Sauerstoffs im Wasser 1906; siehe Majendie.

Dupré (A.), **77**: Harnstoffbestimmung 1097.

**78**: Gallium 254 f.; Sulfopropionsäure 694; Sulfoessigsäure 695; Mehlpfeifung 1088; Untersuchung von Butter 1145.

**79**: Alkohol in thierischen Geweben 957; Untersuchung des Spiritus Aetheris Nitrosi 1065.

**80**: Wasseranalysen 1139; Farbenwechsel beim Titrieren 1145; Alaun in Brod und Mehl 1221.

**82**: Permanganatprüfung bei Wasseruntersuchungen 1260 f.

**85**: Zusatz von Kaliumdichromat zur Salpetersäure der Bunsen'schen Batterie 233; Bestimmung des im Wasser gelösten Sauerstoffs 1898.

Dupré (A.) und Hake (H. W.), **79**: Kohlenstoffbestimmung in organischen Verbindungen 1057.

**81**: Kohlenstoffgehalt der Luft 1175.

Dupré (F.) und Hake (C. N.), **72**: Kainit 1109.

**80**: Schönit (Kainit) 1298.

Duquesnel (H.), **82**: Darstellung von krystallisiertem Hyoscyamin 1094 f.

Durand (E.), **77**: Borax in Californien 1151.

Durand (M.), **78**: Gallein und Cörolein 1186 f.

Durham (W.), **78**: chemische Verbindungen, Lösungen und Suspension sind Aufösungen der nämlichen Kraft 22.

**81**: Affinität und Atomigkeit 27.

Dureaus (G.), **84**: Verarbeitungen von Melasse 1792.

Durin, **77**: Umwandlung der Melasse 1191.

**78**: Bildung von Glucose aus Saccharose 920.

Durin (E.), **83**: Fettsäuren im Torf und Moos von Aven 1769.

Duter, **80**: elektrische Ausdehnung 169 f.

**84**: Versuche mit einem cylindrischen Stahlmagneten 278.

Dutt (U. R.), **83**:  $\alpha$ -Naphtonitrilmonosulfosäure,  $\alpha$ -Naphtonitril 1290 f.

Duvillier, **79**: Methylamido- $\alpha$ -buttersäure 616 f.

Duvillier (E.), **77**: Platin aus Rückständen 304.

**78**: Aethyloxybuttersäure, Methyl-oxybuttersäure, Aethyloxyvaleriansäure 705; Thiooxybuttersäure und Thiooxyvaleriansäure 706.

**79**: Methyl-oxybuttersäureäther, Methyl- und Aethyloxybuttersäure 627; Dimethylacrylsäure 644.

**80**: homologe Glycoxyamine 420 f.; Amide der  $\alpha$ -Oxybuttersäure 789 f.;  $\alpha$ -Methylamidocaprönsäure 815 f.

**82**: Untersuchung über die Kreatinengruppe ( $\alpha$ -Butyro-, Isovalerokreatinin) 380.

**83**:  $\alpha$ -Methyl- und  $\alpha$ -Aethylamidocaprocyamidin,  $\alpha$ -Oxybutyrocyamin, Aethylamidobutyrocyamidin 485;  $\alpha$ -Methylamidocaprönsäure und  $\alpha$ -Aethylamidocaprönsäure 1094.

- 84:** Darstellung von  $\alpha$ -Aethylamidopropionsäure 1104 f.
- 85:** Kreatininderivate:  $\alpha$ -Aethylamidopropioncyamidin 639; Darstellung von  $\alpha$ -Diäthylamidobuttersäure 1429 f.
- 86:** neues Kreatinin: Aethylglyocyamidin aus Cyanamid und Aethylglyocoll, Bildung von Kreatinen und Kreatininen 554.
- Duvillier (E.) und Buisine (A.), **79:** Aethylamine 402; Amine in der Melasse 1135 f.
- 80:** salpetersaures Tetramethylammonium, Tetramethylammoniumbromid und -jodid 513 f.; Tetramethylammoniumchlorid 514.
- 81:** Amine des käuflichen Trimethylamins 410.
- Duvillier (E.) und Malbot (H.), **83:** Salpetersäure-Aethyläther gegen Ammoniak 853 f.
- 85:** Einwirkung von Ammoniak auf Salpetersäure-Methyläther 787 f.
- Dwars (B. W.), **79:** Chinaalkaloide 794; Bestimmung von Strychnin neben viel Chinin 1072.
- Dworkowitsch (P.), siehe Sabanejeff (A.).
- Dybowski (B.), **85:** Wasserproben aus Kamtschatka 2320 f.
- Dyckerhoff (K.), **77:** Acetophenonderivate, Chlorderivat, Sulfoeyanat;  $\alpha$ ,  $\beta$ -Dichlorätyrol 629.
- Dyckerhoff (R.), **83:** Verfälschungen von Cement 1798.
- Dyer, **80:** Zinn in Nahrungsmitteln 1344.
- Dyer (B.), **86:** Bestimmung von Eisenoxyd und Thonerde in Phosphaten 1931.
- Dyer (J. O.) und Mixter (W. E.), **86:** Halogenderivate des Oxanilids: Trichlor-, m-p-Tetrachlor-, p-Dibrom- und p-Dijodoxanilid 800 f.; m-Dichloroxanilsäure 801; p-Monobromoxanilsäure 801 f.; p-Monojodoxanilsäure 802.
- Dyer (Thiselton), **85:** chemische Veränderungen durch Mikroorganismen 1825.
- Dymond (T. S.), **84:** Bestimmung von Aethylnitrit in salpetersäure-ätherhaltigem Alkohol 1619.
- Dyson (G.), **83:** Verbindungen von Phenolen mit Aminen: Toluidinphenat, Naphtylaminphenat, Anilin- $\beta$ -naphtat, Toluidin- $\beta$ -naphtat, Rosanilinphenat, Xylidin- $\beta$ -naphtat 876; Rosanilinaurin, Anilinaurin 877; siehe Meyer (V.).
- Dyson (S.), **83:** Kohlenstofftetrabromid, Bromoform und Chlorobromform aus einem Nebenproducte der Brombereitung 1683.
- 84:** Austreibung von Ammoniak und Aminen aus Salzen durch Magnesia 1722; Prüfung von Gaswasser 1811 ff.; siehe Thorpe (T. E.).
- Dzierzon, **85:** Gewinnung von Honigwein (Meth) 2140 f.

## E.

- Eachran (D. M.), **84:** Reinigung von Rübensäften 1794.
- Eakins (L. G.), **86:** Analysen von Gadolinit und Allanit 2264; Analyse eines Granats (Spessartin) 2269; Analyse eines Meteoreisens 2385; siehe Cross (W.).
- Early (W.), **77:** Lievrit 1309.
- Eastman (J. R.), **84:** Untersuchung eines Meteoreisens von Grand Rapids, Michigan 2042 f.
- Eaton (A. Knowlton), **78:** mechanische Scheidung von Silber und Blei 1113.
- Eaton (H. W.), **82:** Maximum der Magnetisirung der diamagnetischen und schwach paramagnetischen Körper 167 f.
- Ebell (P.), **77:** Aufnahmefähigkeit des geschmolzenen Glases für chemische Verbindungen 1164; Lösung von Natriumsulfat und mehrfach geschwefelten Alkalien in Glas 1165.
- 79:** Schwefelverbindungen in Gläsern 1118.
- 82:** Wasserstoffsuperoxyd als Bleichmittel 1473 f.
- 83:** Ultramarin hoher Vertheilung und Schlemmbarkeit, verglichen mit colloidalen Metallsulfiden 398 f.; Gläser 399.
- 84:** Untersuchung über das Rothwerden der Carbonsäure 955.
- 86:** Analyse des Bleisuperoxyds 1942.
- Eber (J. M.), **77:** Schellack 1220.
- Eberhard (A.), **84:** Untersuchung eines bei Sewrjukwo gefundenen Meteoriten 2040.
- Ebermayer, **78:** Kohlensäuregehalt des Bodens und der Luft 1142.

- 79:** Monsselin zum Filtriren 1086.  
 Ebermayer (E.), **77:** Vergoldung mittelst Blutlaugensalz 1127; Töpfergeschirr 1161.  
**86:** Sauerstoffgehalt der Waldluft 1800.  
 Ebermeyer, **85:** Versilberung 2042.  
 Ebert (G.), **82:** Vergleich der isomeren Aethylcumarinsäure und Aethylcumarsäure, Coumarin gegen Basen, Aethylcumarinsäure aus Coumarin 951 ff.; Aethylcumarsäure aus o-Cumarsäure, Verhalten beider Säuren gegen Oxydationsmittel, gegen Natriumamalgam: Aethylmelilotsäure 952; Verhalten gegen Brom: Dibromid  $C_{11}H_{12}Br_2O_3$ , Methylcumarsäure, Methylcumarinsäure gegen Brom 953.  
**84:** Untersuchung von Coumarin, Coumaron, o-Cumarsäure 1248 f.;  $\beta$ -Monobromcoumarin,  $\alpha$ -Dibromcoumarin, o-Cumarsäure 1248; Coumaron, Monobromcoumaron 1249; siehe Fittig (B.).  
 Ebert (H.), **85:** Beweis für die Constitution des Succinylbernsteinsäureäthers als Chinontetrahydrür p-dicarbonensäureäther 1437 bis 1439; Succinylbernsteinsäurediäthyl- und -dimethyläther 1437; Dinitroso-cinylbernsteinsäureäther, Chinondihydrüddicarbonensäureäther,  $\alpha$ -Oximidopropionsäureäther, Oximidätherbernsteinsäure 1438; neutrale und basische Salze der Oximidätherbernsteinsäure, Oximidobernsteinsäure, Calciumsalz und Äthyläther 1439.  
 Ebert (R.), **84:** Analyse von Enstatitporphyrit 2013 f.  
 Ebner (E. v.), **85:** Unterschied krystallinischer und anderer anisotropischer Structuren 1.  
 Ebrard (R.), siehe Graebe (O.).  
 Ebstein (W.), **85:** Condensation von Zimmtaldehyd mit Acetessigäther 1353 bis 1357; Benzylidendihydrocollidindicarbonensäureäther, Benzylidencollidindicarbonensäureäther, Benzylidencollidindicarbonensäure 1354; Lutidinricarbonensäure und Salze 1355; Lutidin und Salze, Benzylidencollidin 1356;  $\alpha$ -Pyridindicarbonensäure aus Lutidin 1357.  
 Eccher dall' Eco (A.), **80:** elektromotorische Kraft von Metallen in verschieden concentrirten Lösungen ihrer Salze 151.  
 Echols (W. H.), **81:** Bildungs- und Dissociationstemperatur des Quecksilberoxyds 1138.  
 Eckart (J.), **78:** Conservirung von Fischen und Fleisch 1146.  
 Eckenbrecher (C. v.), **80:** Phonolith 1501 f.  
 Eckenbrecher (E. von), **84:** Vegetationsversuche zur Bestimmung des Werthes von Düngemitteln 1771.  
 Eckenroth (H.), **85:** Diphenyl-, Ditolyl- und Dinaphtylbarnstoffe; Aldehyd gegen Phosgen 644; Einwirkung von Aldehyd und Paraldehyd auf Phosgen 1298.  
**86:** Darstellung von Phenolharstoff aus Diphenylcarbonat 548; Salol (Salicylsäure-Phenyläther) 1440.  
 Eckhard (F.), **80:** Chloralhydrat 1124.  
 Eckmann (C. D.), **83:** Extraction von Farbhölzern (Campecheholz) 1792 f.  
 Eckstrand (A. G.), **78:** Hydrochinonphtalein 566 f.; Nitrirung und Amidirung von Dinitronaphtol 600 f.; siehe Pettersson (O.).  
 Eddy (H. T.), **83:** Uratome, kinetische Theorie 112.  
 Edelberg (M.), **80:** Fibrinferment gegen den Organismus 1123.  
 Edelmann (M. Th.), **80:** Feuchtigkeitsgehalt der Luft 1141.  
**81:** spec. Gewicht von Gasen 45; Apparat zur Bestimmung des specifischen Gewichtes von Gasen 1234.  
 Edelmann (Th.), **79:** Hygrometer 1084.  
 Eder, **81:** Thee 1019.  
 Eder (J. M.), **77:** Silber gegen Ferricyankalium und -blei 328; Salpetersäurebestimmung 1040.  
**78:** Löslichkeit von Silbersalzen in Alkohol 60; Bestimmung der Salpetersäure in Trinkwässern 1042; Gerbstoffbestimmung 1163.  
**79:** Nitrocellulosen 833 f.; Einwirkung des Lichtes auf ein Gemisch von Chromsäure und Leim oder Kohlenhydraten und Albumin 868 f.; Thee-Untersuchung 917 f.; chinesischer Thee 1142 f.  
**80:** Zerstörung von Eisensalzen im Lichte 190; photographisches Photometer 198; chemisches Photometer 198 f.; Photochemie 199; Kaliumferrooxalat 770 f.; Pyroxylin 1005; wässriger Firniß 1368 f.; Photochemie des Bromsilbers, Bromsilber-

- Gelatine-Emulsionsverfahren 1388 f.; Kaliumferrooxalatentwickler 1392; Eisensalze und Hydrochinon in der Photographie 1393; Eisenchlorid gegen das Licht 1394; Bromammonium 1395.
- 81:** Zersetzung von Eisenoxysalzen im Lichte 135; Bromammonium 178; Silberverbrauch bei Emulsionstrockenplatten 1340; Gelatine- und Collodium-Emulsionen, photographisches Gummi-Eisen-Verfahren 1341.
- 85:** spectrographische Untersuchung von Normal-Lichtquellen (Bromsilbergelatine) 345; chemische Wirkungen des Lichtes auf Cyanverbindungen u. s. w. 347 f.; Verhalten der Silberhaloidverbindungen gegen das Sonnenspectrum; photographische Sensibilisatoren 349 f.; Fortschritte in der Photographie 2256 f.; Anwendung von Phenylhydrazin in der Photographie 2257; Untersuchung von Normal-Lichtquellen mittelst Amylacetat 2257 f.; Lichtempfindlichkeit verschiedener Präparate (Silbergelatineemulsionen) bei verschiedenen Lichtquellen 2258 f.; Verhalten der Silberhaloidverbindungen gegen das Sonnenspectrum 2259.
- 86:** Photographie des Spectrums mit sensibilisirten Bromsilberplatten 302 f.; Wirkung von Farbstoffen auf das Verhalten von Brom- und Chlorsilber gegen das Sonnenspectrum, Absorption und photographische Sensibilisirung 316 f.; Fortschritte in der Photographie 2216.
- Eder (J. M.) und Meyer (L.), **80:** Bestimmung von Eisenoxydul bei Gegenwart organischer Säuren und Rohrzucker 1180 f.
- Eder (J. M.) und Pizzighelli (G.), **81:** Photochemie des Chlorsilbers (Chlorsilber-Gelatine-Emulsion) 1337 ff.
- Eder (J. M.) und Ullm (G.), **82:** Verhalten von Quecksilberjodid gegen Natriumthiosulfat 356 f.
- Eder (J. M.) und Valenta (A.), **80:** Eisenoxalate 324 f., 1394.
- Eder (J. M.) und Valenta (E.), **81:** Eisenoxidoxalate 682.
- Eder (J. M. v.), **80:** Photochemie des Silbers 219 f.
- Edinger (E.), **83:** Reaction der lebendigen Magenschleimhaut und des Pankreas 1498.
- Edison, **78:** Mikrotasimeter 67.
- Edison (T. A.), **79:** Verhalten der Metalle im Vacuum bei hoher Temperatur 178.
- 80:** elektrische Lampe 1245.
- Edison (T. E.), **79:** Erhitzen der Metalle im Vacuum 1090.
- Edlefsen, **86:** Reactionen des  $\beta$ -Naphthochinons 2072.
- Edler (E.), **85:** Derivate des Pseudocumols und Pseudocumidins 681 f.
- Edlund (E.), **78:** elektrische Ströme beim Durchströmen von Wasser durch Röhren 129, 130.
- 80:** Erklärung der elektrischen Ströme, die beim Strömen von Flüssigkeiten durch Röhren entstehen 149.
- 81:** elektrische Leitungsfähigkeit des Vacuums 98.
- 82:** Durchgang der Elektrizität durch stark verdünnte Gase 154 f.
- 83:** Wärmeveränderungen an den Polplatten eines Voltameters beim Durchgange eines elektrischen Stromes 204 f.; elektrischer Widerstand der Gase 212 f.; Elektrizitätsleitung durch verdünnte Luft 213.
- 84:** atmosphärische Elektrizität 226; Elektrizitätsleitung durch den luftleeren Raum 254 f.
- 85:** Durchgang der Elektrizität durch verdünnte Gase 293 f.; Uebergangswiderstand in dem galvanischen Lichtbogen 295 f.
- 86:** elektromotorische Kraft des elektrischen Funkens 282; siehe Dorn (E.).
- Edwards (A. M.), **84:** Phosphoreszenz des Diamanten 307.
- Edwards (Ch.), **84:** Reinigung von Eisen und Stahl 1705.
- Effront (J.), **84:** Darstellung und Derivate von Isobutyl-o-amidotoluol 734 bis 740: Isobutyl-o-kresol, Isobutyl-o-jodtoluol, Nitrotolylisobuttersäure, Nitrotolylpropionsäure 735 f.; m-Isobutyltoluol, Tolypropionsäure, Trimellithsäure, Isobutyl-o-formoluid 736; Isobutyl-o-tolunitril, Isobutyl-o-toluylsäure, Di-o-toluisobutylthioharnstoff, o-Toluisobutylsenfö 737; Dimethyl-o-toluisobutylamin; Untersuchung von m-Isobutyl-o-amidotoluol 738; Isobutyl-o-formoluid, Isobutyl-o-tolunitril, Isobutyl-o-toluylsäure, Di-o-toluisobutylthioharnstoff 739; Toluisobutylsenfö 740.
- 85:** Einwirkung von Anilin auf Mannit 1210 f.

- Egasse (E.), **82**: Apparat zur Darstellung von Wasserstoff 1351.
- Egestorff (G.), **85**: Trennung des Eisens vom Zink beim Aufarbeiten von Pyritrückständen 2020.
- Egger (E.), **79**: Oxydation der Cholsäure 968 f.
- 81**: Bestimmung des Fettgehaltes der Milch 1225; Adelheidquelle von Heilbrunn 1443.
- 82**: Milchuntersuchung 1342; Analyse der Schwefelquelle von Seon 1629 f.
- 84**: Verhältniss von Alkohol zu Glycerin im Bier 1665.
- 85**: Prüfung des Weines auf Zucker 1974 f.; Nachweis von Salpetersäure in Weinen 1975; Verhalten der Flaschengläser gegen Weinsäure, Salzsäure und Schwefelsäure 2108 f.
- Eggertz (von), **80**: Phosphor in Eisen und Eisenerzen 1158.
- Eggertz (V.), **83**: colorimetrische Bestimmung des Kohlenstoffgehaltes im Eisen 1873; Phosphorbestimmung im Eisen 1874 f.
- Egleston, **82**: Apparate zur Goldausscheidung in Californien 1385.
- Egleston (T.), **77**: Borsäure in Eisenerzen 1108; Silberextraction 1123.
- 80**: Entsilberung des Bleies 1267.
- 83**: Beschaffenheit tellurhaltigen Kupfers, Analysen von Kupferstein, Schwarzkupfer und raffiniertem Kupfer 1676; Fortschritte der Gold- und Silbergewinnung 1679.
- 84**: Extraction von Gold- und Silbererzen 1702; Amalgamation von Silbererzen 1719.
- Egli (K.), **85**: Untersuchung der beiden isomeren Thiotolene (Methylthiophene) 1195 f.; Tribrommethylthiophen,  $\beta$ -Thiophensäure,  $\beta$ -Thienylglyoxylsäure,  $\alpha$ -Thiophensäure 1196; Verhalten von benzolsulfs. Ammonium bei der trockenen Destillation 1591.
- Egli und Spiller, **85**: Hydroxylaminentwickler für Bromsilbergelatine 2257.
- Egoroff (N.), **82**: Absorptionsspectrum der Atmosphäre 188.
- 85**: Absorption des Sauerstoffs 324.
- Ehstädt (P.), siehe Hofmann (A. W.).
- Ehlinger, **86**: Bestimmung des Santonins in der Wurmseedpflanze 1826.
- Ehmann (G.), siehe Petterson (O.).
- Ehrenberg, **84**: Petroleumprüfungsapparate 1692.
- Ehrenberg (A.), **83**: Zersetzung des Knallquecksilbers 473; Apparat zur Prüfung des Erdöles auf Entflammbarkeit 1660, 1755.
- 84**: Zersetzung von Knallquecksilber durch Salzsäure: Fulminursäureverbindungen 480 ff.
- 85**: Darstellung von Natriumfulminat 595 f.; Knallquecksilber, Constitution der Fulminursäure 607 ff.; Einwirkung der Halogene auf Silberfulminat: Chlor und Bromfulminursäure 609 f.; Pipette zur elementaranalytischen Verbrennung von Gasen 1892.
- 86**: Untersuchung der in giftiger Wurst enthaltenen Fäulnisbasen (Ptomaine) 1875 f.; Bildung von gasförmigem Stickstoff bei Fäulnisprocessen 1876 f.; siehe Carstanjen (E.).
- Ehrenstein (S. v.), **86**: Reinigung der Rübensäfte 2125.
- Ehrenwerth (J. v.), **78**: Directe Darstellung des Eisens aus den Erzen 1099.
- 80**: Entphosphorung des Roh-eisens 1251.
- 83**: Regenerierung der Hochofengase 1675.
- 84**: Wassergas als Brennstoff 1811.
- Ehrhard (A. C.), **79**: Untersuchung von *Phytolacca decandra* 931.
- Ehrhard (W.), siehe Fischer (E.).
- Ehrhardt, siehe Remy.
- Ehrhardt (E. F.), **86**: Stabilität der Terpenhydrochloride und der Terpene im Gaszustande: Dampfdichte von Pinen- und Camphenmonohydrochlorid, von Pinen und von Camphen 649.
- Ehrhardt (O.), **85**: Bestimmung der spec. Wärme und der Schmelzwärme bei hohen Temperaturen, Beschreibung der hierzu benutzten Apparate und der Ausführung der Einzelbeobachtungen 127 f.
- Ehrhardt (W.) und Fischer (E.), **78**: Einwirkung von Phenylhydrazin auf Bromäthyl 493 f.
- Ehrlich (A.), **82**: m-Toluidin und Derivate 532 f.; m-Tolylglycocoll und Derivate 533.
- 83**: o-Tolylhydantoin 498 f.; o-Tolylglycocoll 1041 f.; o-Tolylglycocolltoluidid,  $\alpha$ -m-Xylilglycocoll,  $\alpha$ -



m-Xylylglycocollylid 1042; Diazobenzolsulfosäure als Reagens zur Prüfung pathologischer Harn 1650 f. Ehrlich (L.), **77**: Benzylacetessigäther, Methylphenyläthylketon, Dibenzyl-essigsäure 689.

**85**: Gewinnung von Gallium 496. Eichbaum (F.), **86**: Anwendung von Walfett und Fischtalg in der Seifenfabrikation (Kerseeife) 2158 f.

Eichhorn, **77**: humusreiche Erden gegen Salze 1172.

Eichhorn (A.), **80**: elektrisches Thermometer 1241.

Eichler (E.), **79**: Octylverbindungen 494 f.

Eijkmann (J. F.), **84**: über die Bestimmung des Harnstoffs 1615 f.; Apparat zur Bestimmung von Harnstoff 1692.

**85**: Darstellung der wesentlichen Bestandtheile von *Illicium religiosum*: Shikimen, Shikimol 1817; Piperonylsäure, Shikiminsäure, Shikimpikrin 1818.

**86**: Hydrastin 1727; Shikiminsäure in *Illicium anisatum* 1812 f.; Vorkommen von Zimmtsäure in *Enkianthus japonicus* 1813; Untersuchung japanischer Oleaceen: Phyllirin 1823; Gift von *Tetradon chrysops* und *Tetradon pardalis* 1841; siehe auch Eykmann (J. F.).

Eiloart (A.), **84**: Reactionen von Chinin, Narcotin, Morphin mit Bromwasser 1633.

**86**: Extractionsapparate 2011; siehe Johnson (G. St.).

Eilsart (A.), **85**: Bildung von Kohlenoxyd beim Ueberleiten von Kohlen-säure mit Schwefelkohlenstoffdampf über glühendes Kupfer 456 f.; Schwefeldioxyd gegen Kohle, Absorptionsmittel für Schwefelkohlenstoffdampf 457.

Einhorn (A.), **83**: Derivate der o-Mononitrozimmtsäure: o-Mononitrophenyl- $\beta$ -brompropionsäure 1178; Lacton der o-Mononitrophenyl- $\beta$ -milchsäure 1178 f.; o-Mononitrostyrol 1179; o-Mononitrophenyl- $\beta$ -milchsäure 1179 f.; Lacton der o-Mononitrophenyl- $\beta$ -milchsäure gegen Ammoniak: o-Mononitrophenyl- $\beta$ -alanin 1180 f.; o-Mononitrophenyl- $\beta$ -acetylalanin, Lactam des o-Mononitrophenyl- $\beta$ -acetylalanins und des o-Mononitrophenyl- $\beta$ -alanins 1181.

**84**: Reduction von o-Nitrophenyl- $\beta$ -milchsäure 886 f.; Oxydihydrocarbo-tyril 886; Py-3-oxy-3, 2-dihydrocarbo-tyril, p-Amidophenyl-lactamid 887; Darstellung von o-Mononitrobenzaldehyd 1038; Condensation von o-Mononitrozimmtsäure mit Aldehyd (o-Mononitrocinnamylacrolein) 1047; Darstellung substituierter und reducirter Chinolinderivate 1745.

**85**: Darstellung von Trichloräthylidenchinaldin 1310 f.: Säure  $C_{12}H_{11}NO_3$  1310; Chinaldehyd, Nachweis von Dimethyl- und Tetramethylchinolin im Rohchinaldin. Trimethylchinolinaldehyd 1311.

**86**: Synthese von Phenyl-dihydrochinolymethan 953 f., von p-Nitrophenyl-dihydrochinolymethan 954; Verhalten von Chinaldin gegen Chloral: Py-1-( $\omega$ -trichlor- $\alpha$ -oxy-)propylchinolin; Verhalten desselben gegen Natronlauge: Py-1-chinolyl- $\alpha$ -oxypropionsäure und Py-1-chinolylacrylsäure 1511 f.; Oxydationsproducte der beiden letzteren Körper Py-1-Chinolylacetaldehyd und Chinolin-(Py)- $\alpha$ -aldehyd 1512; siehe Diehl (L.).

Einhorn (A.) und Hefs (W.), **84**: Darstellung von p-Isopropyl-o-nitrophenylmilchsäure- $\beta$ -lacton, o-Nitrocumethylacrylsäure, p-Isopropyl-o-nitrophenyl- $\beta$ -brompropionsäure, p-Isopropyl-o-nitrophenyl-lactamid 1062; p-Isopropyl-o-nitrophenylmilchsäure, p-Isopropyl-o-nitrostyrol, o-Nitrocuminaldehyd, Diisopropylindigo 1063.

Einhorn (A.) und Lauch (R.), **86**: Einwirkung von unterchloriger Säure auf Chinolin u. borsaures Chinolin 907.

Einhorn (A.) und Prausnitz (G.), **84**: Darstellung von p- und m-Nitrophenyl- $\beta$ -milchsäureäther 1246.

Einhorn (M.), **86**: Nachweis von Zucker im Harn 2006.

Eisenberg (J.), **82**: Mesidinderivate: Mesitylenfö, Mono- und Dimesitylthioharnstoff 540 f.; Di- und Trimesitylguanidin, Mesityläthylsulfurethan, Mesitylurethan, Mesitylcyanat, Dimesitylharnstoff 541; Phtalmesidil und Abkömmlinge, Succinmesidil 542.

Eisenberg (L. J.), **80**: ferrocyanwasserstoffs. Amine 395; Trimethylamin, Reindarstellung 512.

Eisenmann (R.), **82**: Apparat zur Reinigung des Spiritus durch Ozon 1351.

Eisenmann (R.) und Bendix (J.), **86**: Filtration von Spiritus 2135.

Eisfeldt (H.), **78**: Einfluss des Dextrans auf die Untersuchung der Rohzucker 1146 f.

Eisfeldt (H.) und Follenius (O.), **78**: optische Bestimmung der Saccharose im Rübensaft 1150.

Eitner, **78**: Ellagsäure 819.

**85**: Bestimmung des Zuckers im Leder 1894

Eitner (W.), **77**: Einfluss des Wassers auf den Gerbproceß 1185; Schwefelsäure in der Gerberei, Peoto-Epilatoire 1187.

**81**: Herstellung von Leder, Gerbrühen 1824.

**82**: Algarobilla zu Gerbereizwecken 1471 ff.

**83**: Schnellgerbverfahren 1780.

**85**: Gewinnung, Reinigung und Anwendung des japanesischen Fischöls, des Sardellenthrans und des Fischtalgs 2179; Gerbstoffgehalt verschiedener Gerbmittel 2200.

Ekelund (A.), **80**: Kalkspath 1418 f.

Ekin (C.), **80**: Güte des Wassers 1149.

**81**: Nachweis des Stickstoffs als salpetrige Säure 1162.

Ekman, **83**: Bestimmung der organischen Substanz im Wasser mittelst Chamäleonlösung 1525 f.

Ekman (C. D.), **83**: Sufstoff, Cellulose aus Flachs 1775.

Ekstrand, **77**: Trinitronaphtol 580.

Ekstrand (A. G.), **77**: Retensulfosäuren 865; Retendisulfosäure 866.

**79**: Nitronaphtoesäure 726.

**84**: Derivate der  $\alpha$ -Naphtoesäure 1276 ff.: Dinitro- $\alpha$ -naphtoesäure, Dinitro- $\beta$ -naphtoesäure, Monochlor- $\alpha$ -naphtonitril, Monochlor- $\alpha$ -naphtoesäure 1277; Dichlor- $\beta$ -naphtoesäure 1278; Darstellung und Untersuchung von Naphtylendinaphtylsulfoxid, Dinaphtylsulfoxid 1343 f.; Dinitrodinaphtylsulfid 1344.

**85**: Retistenchinon 708 f.; Untersuchung der Nitro- $\alpha$ -naphtoesäuren 1538 bis 1540: Mononitro- $\alpha$ -naphtoesäure (Schmelzp. 215°) und Salze, Amido- $\alpha$ -naphtoid 1539; Mononitro- $\alpha$ -naphtoesäure, Monoamido- $\alpha$ -naphtoesäure 1540; Untersuchung der Nitro- $\beta$ -naphtoesäure 1540 bis 1542; Mononitro- $\beta$ -naphtoesäure 1540; isomere Monoamido- $\beta$ -naphtoesäuren,

isomere Mononitro- $\beta$ -naphtoesäuren 1541 f.; Constitution der ( $\alpha_1$  —  $\alpha_1$ )-Nitro- $\alpha$ -naphtoesäure, der ( $\alpha_1$  —  $\alpha_2$ )-Nitro- $\alpha$ -naphtoesäure, der ( $\alpha_1$  —  $\alpha_2$ )-Monochlor- $\alpha$ -naphtoesäure, Chlornitro- $\alpha$ -naphtoesäure, Chlordinitronaphtalin, Amidosäure aus Chlornitro- $\alpha$ -naphtoesäure, Chloramido- $\alpha$ -naphtoid 1542; Constitution der Chlornitro- $\alpha$ -naphtoesäure 1543.

**86**: Derivate der Naphtoesäuren: Amido- $\alpha$ -naphtoid (Naphtostyryl), Trinitronaphtoesäure 1496; Dichlornaphtostyryl 1496 f.; Monobrommononitro- $\alpha$ -naphtoesäure, Monobrom-, Monochlor-, Dibromnaphtostyryl 1497 f.; Acetonaphtostyryl, Oxy- $\alpha$ -naphtoesäure, Naphtolacton 1498; Dinitro- $\alpha$ -naphtoesäure 1499; Mononitroamido- $\alpha$ -naphtoesäure 1499 f.; Trinitro- $\alpha$ -naphtoesäure, Mononitro- $\alpha$ -naphtamid 1500.

Ekumina (M.), **80**: saure Reaction todtor Gewebe 1090.

Elander (S. U.), **80**: Harnstoff gegen aromatische Sulfochloride 424.

Elbel (K.), **86**: Derivate der Normethylopiansäure: Normethylnitroopiansäure 1492; Normethyl-o-anhydroamidohepiminsäure und Derivate 1492 f.; Normethylnitroopiazid 1493 f.; Normethylamidoopiazid, Normethylnitrohepiminimid 1494; Normethylnitrohepiminsäure 1494 f.

Elbers (A.), **85**: Verbindungen von Hydrazinen mit Keton- und Aldehydsäuren (von primären und secundären aromatischen Hydrazinen mit Phenylglyoxylsäure, Glyoxylsäure, Mesoxalsäure und Glyoxal) 1084 bis 1088: Phenylhydrazinphenylglyoxylsäure 1084; Benzylidenphenylhydrazin, Phenylhydrazidophenyllessigsäure, Aethylphenylhydrazinphenylglyoxylsäure 1085; Aethylphenylhydrazinphenylglyoxylsäureamid, Methylphenylhydrazinphenylglyoxylsäure 1086; Methylphenylhydrazinphenylglyoxylsäureamid, Benzylidenmethylphenylhydrazin, Phenylhydrazinglyoxylsäure, Phenylhydrazidoessigsäure 1087; Aethylphenylhydrazinglyoxylsäure, Aethylphenylhydrazidoessigsäure, Phenylhydrazinmesoxalsäure, Aethylphenylhydrazinglyoxal 1088; Einwirkung von Benzaldehyd auf salze. Anilin, Benzaldehyd und salze. Anilin gegen Zinnchlorid 1297.

- Elbers (A. D.), **78**: Darstellung von Schlackenwolle 1139 f.
- 85**: Verwerthung von Hochofenschlacken 2032 f.
- Elbers (H. D.), **83**: Gewinnung reiner Silicate aus der Hochofenschlacke 1687.
- Elborne (W.) und Wilson (H.), **85**: Untersuchung der Rinde von *Colubrina reclinata* 1815.
- Elbs (E.), siehe Claus (A.).
- Elbs (K.), **83**: Einwirkung von Chlorpikrin auf Benzol, Phenol und Naphthalin, von Triphenylmethanbromid auf Ammoniak 466 f.
- 84**: Reactionen des Triphenylmethylobromids, Bildung von Triphenylmethylobromid, Triphenylacetoneitril, Triphenyläthylamin, Phenylendiphenylmethan 582; Amidoderivate des Triphenylmethans 748 bis 751; Einwirkung von Ammoniak auf Triphenylmethylobromid 748; Triphenylmethylobenzylamin, Triphenylmethylanilin 749; Nitrosotriphenylmethylanilin 750; Triphenylmethyl-o-toluidin 751.
- 85**: Synthesen mittelst Aluminiumchlorid aus Kohlenwasserstoffen 583 f.
- 86**: o-Dinitrostilben aus o-Nitrobenzylchlorid, p-Monobrombenzylalkohol und p-Monobrombenzoesäure-Aethyläther aus p-Monobrombenzylbromid 670 f.; Darstellung von Homologen des Benzophenons, Reduction der Ketone zu secundären Alkoholen, Darstellung der  $\beta$ -Pinalkone, Synthese von Anthracenen 1644; Homologe des Anthrachinons aus homologen Benzoylbenzoesäuren, Naphtanthracen; Naphtanthrachinon 1681; siehe Claus (A.).
- Elbs (K.) und Bauer (F.), **86**: Darstellung und Untersuchung des p-Dinitrostilbens: Eigenschaften Löslichkeit 671; p-Dinitrostilbendibromid und Verhalten gegen Kaliumacetat; p-Dinitrohydrobenzoindiacetat, Verhalten beim Erhitzen: p-Dinitrotolan; Einwirkung von Kalilauge auf o-Nitrobenzylchlorid 672.
- Elbs (K.) und Larsen (E.), **84**: Darstellung von p-Xylylphenylketon 1053 f.
- Elbs (K.) und Olberg (G.), **86**: Darstellung und Derivate von Di-p-xylylketon (Di-p-xylylcarbinol,  $\alpha$ - $\alpha$ - $\beta$ -Trimethylantracen) 1650.
- Elbs (K.) und Steinicke (G.), **86**: Derivate des  $\alpha$ -Naphtylphenylketons 1651 f.
- Elbs (K.) und Tölle (E.), **85**: Darstellung von Triphenylessigsäure 1558 bis 1560; Salze der Triphenylessigsäure, Baryumsalz der Triphenylessigmonosulfosäure 1559; Oxydation des rohen triphenylessigs. Aluminiums 1560.
- Elbs (K.) und Wittich (O.), **85**: Einwirkung von Aluminiumchlorid auf ein Gemisch von Chlorpikrin und Toluol: Di- und Tritolylmethan, Dimethylantracen 676.
- Elder (H. M.), siehe Rodwell (G. F.).
- Eliasberg (S.), **85**: elektrolytische Trennung von Zink und Cadmium 1938 f.
- 86**: Anwendbarkeit des Wasserstoffsperoxyds zur maßanalytischen Bestimmung des Schwefels 1911.
- Elion (H.), **83**: Aethylacetessigäther gegen Acetylchlorid: Aethyldiacetyl-essigäther 1080; Natriumacetessigäther gegen Acetylchlorid: Diacetessigäther 1080 f.
- 84**: Darstellung von wasserfreiem Aethylnatriumacetessigäther und des Hydrats 1122 f.; Reinigung von Acetessigäther 1123 f.; Untersuchung von Diacetyl- und Aethyldiacetyl-essigäther 1124 f.
- Elisakoff (G.), **81**: Leucinsäure 743.
- Elkan (Th.), **86**: p- und m-Aldehydophenoxyessigsäure 1303 f.; Phenoxyessigsäure-p- und -m-carbonsäure 1304 f.; Phenoxyessigsäure-p- und -m-acrylsäure; o-, m- und p-Acrylaldehydophenoxyessigsäure 1305; Phenoxyessigsäure-o-, -m- und -p-vinylmethylketon; o-, m- und p-Aldoximphenoxyessigsäure 1306; Vanillin-oxyessigsäure 1306; Vanillinsäure-oxyessigsäure (o-Methoxyphenoxyessigsäure-p-carbonsäure) 1307.
- Ellenberger und Hoffmeister, **83**: Nachweis von Salzsäure im Magen-inhalte durch organische Farbstoffe, phenolhaltiges Kienholz gegen Salzsäure, Milchsäure gegen organische Farbstoffe 1593.
- Elliot (A. H.), **81**: Apparat zur Untersuchung von Gasgemischen 1234.
- 83**: Apparate für schnelle Gasanalyse 1659.
- 84**: Anthracen unter den Destillationsproducten des Wassergastheeres 1830.

- Elliot (J. F.), siehe Norton (L. M.).  
 Elliot (S.), **78**: Farbstoff des Safrans 967.  
 Ellis (C. J.), **84**: Gewinnung von Natriumsulfat 1734.  
**86**: Untersuchung von Oelen 1998.  
 Ellis (G. E. R.), **86**: Bestimmung der Härte von Wasser 1904.  
 Ellis (W. H.), **82**: Analyse des Wassers vom Ontariosee 1026.  
 Elsässer (E.), **78**: Elektrolyse mit Wasserstoffentwicklung an beiden Polen 153.  
**79**: Verhalten geschmolzener Legierungen gegen den elektrischen Strom 142.  
**83**: spezifische Volumina von Estern der Fettreihe 71 f.  
 Elsbach (L.), **82**:  $\beta$ -Naphtochinon-p-toluidid,  $\alpha$ -Naphtochinon-p-toluidid 783;  $\beta$ -Naphtochinon-o-toluidid,  $\alpha$ -Naphtochinon-o-toluidid,  $\beta$ -Naphtochinonäthylanilid,  $\alpha$ -Naphtochinonäthylanilid,  $\alpha$ -Dinaphthodichinon aus Äthylanilin und  $\alpha$ -Naphtochinon 784.  
 Elsner (F.), **78**: Bieranalysen 1159.  
**84**: Prüfung des Honigs 1671; Weinuntersuchungsmethoden 1798.  
**85**: Vorkommen von Spiralfäßen in der Cacaobohne 1984.  
 Elster, **82**: künstliche Patina 1361.  
 Elster (J.) und Geitel (H.), **82**: Elektrizität der Flamme 138 f.  
**83**: Elektrizitätserregung beim Contact von Gasen und glühenden Körpern 192; trockene Accumulatoren 203.  
**85**: unipolare Leitung erhitzter Gase 289.  
 Eltekoff, **78**: Synthese von Olefinen 366 f.; Untersuchung des bei 51° siedenden Valerylens 368.  
 Eltekoff (A.), **77**: Äthylenbildung 362; Amylen, Isopropyläthylen, Isopropylacetylen 364, 365; Äther gegen Schwefelsäure 518; Methylisocrotyloxyd 533; Isobutyraldehyd, Äthylvaleryloxyd 534.  
**78**: Verhalten von Diamylenbromür gegen Wasser und Bleioxyd 374; Verhalten der Halogenderivate der Olefine gegen Wasser und Bleioxyd 409.  
**80**: Atomwanderung bei Kohlenwasserstoffen 379; Isobutyljodid gegen Bleioxyd 476; siehe Lagermark (H.).  
 Eltekow [Eltekoff (?)] (A.), **83**: Äther der Formel  $C_nH_{2n}O$  846 ff.: (Methylisopropylketon), Trimethyläthylenoxyd, Isopropyläthylenoxyd 847; Methyläthyläthylenoxyd 847 f.; Isobutyläthylenoxyd, Dimethyläthylenoxyd, Methylpropyläthylenoxyd (Trimethyläthylen) 848 (Methylbutyläthylen 848 f.); Tetramethyläthylenoxyd 849.  
 Eltzbacher (F.), siehe Anschütz (R.).  
 Ely (J. S.), siehe Chittenden (R. H.).  
 Emerson (B. K.), **82**: Datolith von Connecticut 1545; Prehnit von Connecticut 1567; Paragenesis der Mineralien im Diabas von Connecticut 1585 f.; Diabas von Connecticut 1603.  
 Emerson (J. E.), siehe Stoney (O. J.).  
 Emerson (W. H.), **86**: Oxydation von p-Xylolsulfosäure 590 f.; Oxydation von Mononitromesitylen: p-Mononitromesitylsäure, von Mesitylensulfosäure und Mesitylensulfamid 592 f.; Analyse von Augitperidotit (Pikrit) 2309.  
 Emerson-Reynolds (J.), **77**: Lievrit 1309.  
**78**: Meßapparat für das Laboratorium-Spektroskop 1095.  
 Emich (F.), **83**: Biguanid 486 f.: Äethylbiguanidkupfersulfat, Äethylbiguanid und Verbindungen 487 f.  
**85**: Verhalten der Gallensäuren (Glyco- und Taurocholsäure) zu Leim und Leimpepton 1837 f., zu Eiweiß 1838; Selbstreinigung der Wasser 2312; siehe Maly (R.).  
 Emmerich, **83**: Verunreinigungen der Zwischendecken von Wohnräumen durch organische Substanzen 1662.  
 Emmerling (A.), **77**: pflanzenchemische Vorgänge 923.  
**79**: Eiweißbildung in Pflanzen 889 f.  
**80**: Darstellung von Bromkohlenoxyd 279 f.; acetolartiger Körper aus Traubenzucker 1017.  
**81**: zurückgegangene Phosphorsäure 1289.  
**84**: Eiweißbildung in der grünen Pflanze 1411 f.; Untersuchung der chemischen Vorgänge in der Pflanze 1427 ff.  
**85**: Titration der löslichen Phosphorsäure in Superphosphaten 1914; Analyse des Gases aus Bohrlöchern bei Apenrade 2311.

**86:** Verhalten von Harnstoff, Harnsäure und Ammoniumsulfat gegen salpetrige Säure 547; Bestimmung der löslichen Phosphorsäure in Superphosphaten 1922; Untersuchung von Futtermitteln 2097 f.; Einfluss des Beregnens auf Gras und Heu 2098 f. Emmerling (A.) und Loges (G.), **81:** Traubenzucker gegen Kalihydrat 993.

**83:** Traubenzucker und Rohrzucker gegen Kalihydrat: Acetol 979 f.

Emmerling (A.) und Wagner (R.), **80:** Acetol und Monobromacetol 714 f.

Emmerling (O.), **79:** Phosphorverbindungen der Metalle 232 f.; Abietinsäure 733.

Emmert, **83:** Butonhexacarbonsäureäther 1019.

Emmert (A.), siehe Bischoff (C. A.).

Emmert (A.) und Friedrich (R.), **82:** Äthylendiäthyldiketon,  $\gamma$ -Diäthylbutyrolacton,  $\gamma$ -Diäthylxybuttersäure 761.

Emmert (A.) und Reingruber (Fr.), **82:** Dimethylnaphtaline im Steinkohlentheer 431 f.

Emmerton (F. A.), **82:** Eisenanalyse 1289.

Emo (A.), **82:** Bestimmung der specifischen Wärme und der Dichte von Glycerinlösungen 107 f.

**83:** specifische Wärme des Glycerins 124; elektrische Entladung in erwärmter und feuchter Luft 193; siehe Pagliani.

**85:** Widerstände der hauptsächlichsten Metalldrähte 258.

Endemann, **80:** Kupfersalze gegen Bromwasserstoffsäure 1193.

Endemann (E.), **84:** Bestimmung des Phenols 1622.

Endemann (H.), **80:** antiseptische Eigenschaften der Borsäure 1136; Ultramarin 1380.

**84:** Fällung von Kupferoxydul durch Zucker bei Gegenwart von Glycerin 1621 f.

Endemann (H.) und Prochazka (A.), **80:** Millon'sche Base 1145.

Engel (G.), **80:** Phylloxera 1067; Farbstoffe aus Infusorien 1376.

Engel (P.) und Ville (J.), **81:** Löslichkeit der kohlens. Magnesia in kohlensäurehaltigem Wasser 214.

Engel (R.), **80:** unterphosphorigsaures Platinoxydul 361 f.; Phenol im thierischen Haushalte 1105.

**81:** kohlens. Kalium aus Magnesium-Kaliumcarbonat 1265.

**83:** allotropische Modificationen des Arsens 330 f.

**84:** Acidamine, Bildung von Lactamin und Äthylidenlactamin 600; Constitution der Glyoxylsäure und Mesoxalsäure 1095.

**85:** über die Bildung von Ozon 374; Löslichkeit des kohlens. Calciums und Baryums in Wasser 463 f.; wasserfreies Magnesiumcarbonat 465; Bildung der basischen Carbonate des Magnesiums 465 ff.; Löslichkeit des Magnesiumcarbonats durch Kohlenensäure 468 f., bei verschiedenen Temperaturen 469 f.; Molekularverbindung von Magnesiumcarbonat mit Kaliumdicarbonat 470 ff.; Löslichkeit des Guanidinsulfocyanats 639; Darstellung von monochlorglycols. Blei, Krystallwassergehalt von cyanessigsaurem Manganoxydul 1332.

**86:** Löslichkeit von Chloriden bei Gegenwart von Chlorwasserstoffsäure 152 ff.; Verbindung des Magnesiumcarbonats mit saurem Kaliumcarbonat 397; Chlorwasserstoffverbindungen des Chlorzinks 439 f.; Hydrate des Chlorzinks 440; Löslichkeit des Kupfersulfats bei Gegenwart von Ammoniumsulfat 443; Verbindung des Zinnchlorids mit Salzsäure (Chlorzinnssäure) 446; Darstellung eines krystallisirten Kaliumalkoholats 1163 f.; Löslichkeit des neutralen und sauren Ammoniumoxalats 1310 f., von Kaliumoxalat 1311; Anwendung des Poirrier'schen Blauers als Indicator 1896 f.; Prüfung und Anwendung von Methylorange 1897; siehe Moitessier.

Engel (R.) und Girard (de), **80:** Bildung von Acetal 604, 694.

Engel (R.) und Moitessier (A.), **79:** Dissociation des Chloralhydrats 125; Dissociationsspannung und Dichte des Chloralhydrats 127; Dissociation des Schwefelammoniums 130; Verhalten eines Gemisches von Schwefelwasserstoff und Ammoniak gegen Kohle 131 f.

**80:** Dissociation des Butylchloralhydrats 700 f.

**81:** Dissociation von Ammoniumcarbamat 331; Dissociation von Am-

- moniumcarbamat 1134, von Ammoniumsulfhydrat 1135.
- Engel (R.) und Ville (J.), **85**: Indicatoren zur Bestimmung caustischer Basen bei Gegenwart von Carbonaten (Indigsulfosäure und Wasserblau) 1891; Bestimmung der Kohlensäure in Carbonaten 1922 f.
- 86**: Verhalten des Poirrier'schen Blaues als Indicator für Körper mit schwach sauren Eigenschaften: Säuren, Phenole, Alkaloide u. s. w. 1896.
- Engel (W.), **85**: Darstellung eines neuen Cumidins und von Derivaten desselben: Acetcumidid, Cumenol 901; Mononitroacetcumidid, Mononitrocumidin, Dinitroacetcumidid, Dinitrocumidin, Monocumyl- und Dicumylharnstoff, Dicumylsulfharnstoff 902; Cumylsenfö 903.
- Engelbrecht (Th.), siehe Ladenburg (A.).
- Engelcke (J.), **83**: isäthionsaures Baryumdiäthylisäthiondischwefelsaures Baryum, dimethylisäthiondischwefelsaures Natrium 1235; diäthylisäthiondischwefelsaures Natrium, benzolmonosulfosaures Natrium gegen Schwefelsäure und Alkohol 1236.
- Engelhardt (H.), siehe Otto (R.).
- Engelhorn (F.), **79**: Methacrylsäure gegen Bromwasserstoff 621 f.; Additionsproducte der Hydrosorbinsäure und Sorbinsäure 659; siehe Stahl (K.).
- Engelmann, **85**: Aethylidendibenzoylessigäther, versuchte Darstellung von Diphenylpicolindicarbonsäureäther 832.
- Engelmann (F.), **85**: Einwirkung von Homologen des Acetaldehyds auf Acetessigäther 1357 bis 1362; Hydroparvolindicarbonsäureäther, Parvolindicarbonsäureäther, Parvolindicarbonsäure, Parvolin 1358; Hydroisopropylutidindicarbonsäureäther, Lutidindicarbonsäureäther, Lutidindicarbonsäure 1359; Lutidin, Hydroisobutylutidindicarbonsäureäther, Isobutylutidindicarbonsäureäther, Isobutylutidindicarbonsäureäthersäure 1360; Isobutylutidindicarbonsäure, Isobutylutidin 1361; Aethylidendibenzoylessigäther, Schwefelsäure gegen Benzoylessigäther 1362.
- Engelmann (Th.), **78**: Dolomit des Binnenthals und von Campo longo 1221 f.; grüner Turmalin von Campo longo 1237.
- Engelmann (Th. W.), **81**: Sauerstoffausscheidung pflanzlicher und thierischer Organismen 1003.
- 82**: Sauerstoffausscheidung von Pflanzenzellen 1139.
- 83**: Farbe und Assimilation der Pflanzen 1396 f.; thierisches Chlorophyll 1490 f.
- 84**: Untersuchung der Lichtabsorption und -assimilation in den vegetabilischen Zellen 1429.
- Engels, **80**: Atlasdynamit 1311.
- Engelsing (H.), **84**: Farbstoffe, Fruchttäher, Vanillin aus Anthrachinonabkömmlingen 1889; siehe Claus (Ad.).
- Engländer (P.), siehe Levy (S.).
- Engler (C.), **78**: zwei neue Bildungsweisen des Tetraphenyläthans 405 f.; Thiobenzpinakon und Thiobenzophenon 537; Derivate des Acetophenons 627 f.
- 80**: Apparat zur Prüfung des Petroleums 1246; Petroleum, Entflammungstemperatur 1364.
- 83**: Rohöl der Terra di Lavoro 1764 f.; Prüfung des Bentheimer Asphalts auf seine Tauglichkeit zur Leuchtgas-, Leuchtöl- und Paraffinfabrikation 1766.
- 85**: Nitrirung von Acetophenon (o-Mononitroacetophenon) 1639 f.; Explosion von Ruß- oder Holzkohlenstaub 2106 f.; Leuchtkraft, Siedetemperatur und Entflammungspunkt des Petroleums 2173; Analyse eines russisch-kaukasischen Brennpetroleums 2174; Apparat zur Bestimmung der Zähigkeit der Oele 2183.
- 86**: Explosionen in Rußöfen 2083 f.; Erdöl und seine Producte (Gas der Oelgasquellen von Pittsburg) 2155 f.; Gewinnung und Verarbeitung des Erdöls von Baku 2156.
- Engler (C.) und Bock (J.), **85**: Vorkommen von Cumol, Pseudocumol und Mesitylen im pennsylvanischen Petroleum 680 f.
- Engler (C.) und Böhm (M.), **86**: Vaseline 2167 f.
- Engler (C.) und Haafs (R.), **81**: Prüfung des Petroleums 1199 f., 1200 f.
- Engler (C.) und Hassenkamp (E.), **85**: Derivate von Dibromacetophenon: Dibrom-m-nitroacetophenon,

- Isindileucin, Methyloisindileucin, Hydroisindileucin 1639.
- Engler (C.) und Levin (J.), **85**: Vorkommen des Pseudocumols und Mesitylens im russisch-kaukasischen, von Cumolen im elsässischen, galizischen und italienischen Petroleum 681.
- 86**: Eigenschaften des kaukasischen und des amerikanischen Erdöles 2154 f.
- Engler (C.) und Riehm (P.), **85**: Untersuchung der durch Einwirkung von Aceton auf Anilin entstehenden Base ( $\alpha$ - $\gamma$ -Dimethylchinolin) 987 f.; Einwirkung von Acetophenon auf Anilin (Diphenylchinolin) 988 f.; Darstellung von  $\alpha$ - $\gamma$ -Dimethylchinolin aus Aceton und Mesityloxyd 989 f.
- 86**: Einwirkung von Aceton auf Anilin 1640; Einwirkung von Ammoniak auf Ketone 1646.
- Englert (R.) und Becker (F.), **86**: Reinigung von Zuckerkäften mit hydroschwefeliger Säure 2123 f.
- Engström (N.), **79**: Erdmannit 1207; Orthithanalysen 1209 f.; Vasit 1212; Tritonit-Analysen 1213; Arrhenit-Analyse 1238.
- Enklaar (J. E.), **82**: Diffusion anorganischer Salze 90 ff.
- Eötvös (R.), **86**: Zusammenhang der Oberflächenspannung von Flüssigkeiten mit ihrem Molekularvolumen 81 ff.; Molekülverbindungen 83.
- Eppinger (O.), **80**: Aethyldiacetonamin 722 f.
- Epstein und Bock (M.), **82**: Prehnitanalysen 1568.
- Epstein (L.), **85**: Einrichtung von Accumulatoren 253.
- Epstein (W.), **85**: Synthese eines Lutidins; Salze desselben 820 f.
- Erb (L.), siehe Janovsky (J. V.).
- Erck, **79**: Chromsäureelement mit constanterem Strom 134.
- Erck (A.), siehe Buchka (K.).
- Erckmann (G.), **85**: Dissociationsspannung des Ammoniumcarbamats 221 f.
- Erdmann (E.), **79**: Soolquellen zu Helsingborg 1271; siehe Fittig (R.).
- 82**: Zimmtsäure gegen Schwefelsäure: Distyrensäure, Distyrol, Distyrolbromid 938 f.
- Erdmann (E.) und Schultz (G.), **82**: Hämatein und Hämatoxylin 1152 f.
- 83**: Hämatoxylin aus Blauholz-extract, Hämatein aus Hämatoxylin 1793.
- Erdmann (E. O.), **80**: wasserfreier Milchzucker 1023.
- Erdmann (H.), **84**: Darstellung von Phenylmononitroäthylen aus Zimmtsäure 592; Einwirkung rauchender Salpetersäure auf Phenylisocrotonsäure: Phenylnitroäthylen 1268; Darstellung von Phenylparaconsäure-Aethyläther, Phenylitalaläthersäure 1283 f.
- 85**: Methylthiophen aus Brenzweinsäure und seine Derivate: Thiophensäure, Tribrommethylthiophen, Tetrabrommethylthiophen, Tribromthiophensäure 1183; Einwirkung verdünnter Schwefelsäure auf Phenylcrotonsäuren 1529 bis 1531; Phenylmethacrylsäure 1529; Methronol, Phenylisocrotonsäure 1530; Säure  $C_{10}H_{10}O_2$  1531; Verhalten der Nitrophenylparaconsäuren beim Destilliren, Darstellung von p-Mononitrophenylparaconsäure, p-mononitrophenylitalals. Baryum 1545 f.; Darstellung einer Benzallävulinsäure und eines Benzylvalerolactons 1547; Umwandlung der Lactonsäuren in Lactone und Einwirkung von Natriumäthylat auf Isocapro lacton 1654 bis 1656; Phenylbutyrolacton, Isocapro lacton, Pseudo-brenzterebinsäure, Isocapro lactoid, brenzterebins. Calcium 1655; Oxyssäure  $C_{14}H_{20}O_4$  1656; siehe Fittig (R.); siehe Volhard (J.).
- Erdmann (J.), **78**: Veränderlichkeit des Rothweinfarbstoffs 1162.
- Erdmenger, **80**: Portlandcement 1313.
- Erede (L.), **84**: Wirkungen des weingeistigen Extracts von Piscidia erythrina 1514.
- Erfurt (J.), **77**: schwarzes Papier 1225.
- Erhard (Th.), **81**: elektrische Eigenschaften des Indiums 95.
- Erhard (Th.) und Schertel (A.), **80**: Schmelzpunkte von Gesteinen 1493.
- Erhard (Th.) und Stelzner (A.), **79**: Topas 1207.
- Erhardt, siehe Merz (V.).
- Erhart (A.), **77**: Azulin 1233.
- Erhart (E.), **85**: Darstellung von brenztraubens. Glycidäther 1339 ff.: Verbindungen desselben mit Metall-oxyden, Dibrombrenztraubensäure

1340; Identität des Glycidäthers mit Glycevinssäure und Pyruvin 1341.

Erich (A.), siehe Weisbach (A.). Erikson (L. J.), **82**:  $\alpha$ -Acetthialdehyd aus Thialdin, Constitution des Thialdins 500.

Erlenmeyer (E.), **77**: Constitution des Eugenols 580; Hydroxylsäuren der Fettreihe, Verhalten; Gährungscapronsäure, Normalheptylsäure 669; acryls. Natrium 703.

**78**: Aethylen, Aethylenbromür und Glycol 371; Acrylsäure, Verh. gegen Kaliumhydrat, Reactionen, Aethylenmilchsäure 695 f.; ungeformte Fermente 1035.

**79**: Aldehydammoniak gegen Blausäure 329; Constitution der Zimmtsäureadditionsproducte 593; Destillation der Diäthylglycolsäure 657.

**80**: Phenylmilchsäure 870 f.; Phenylbrommilchsäure 871 f.

**81**: Amidoiso- und Imidoisocapronitril 324; Dimethylguanidine, Diäthyl-, o-Toluidinguandine 329; halogenisirte und hydroxylisirte Säuren (Brom- und Dibromacrylsäure, Tribrompropionsäure) 657; Pyrotraubensäure aus Glycerinsäure und Weinsäure 695; Phenyl- $\beta$ -chlorpropionsäure, Phenyl-dichlorpropionsäure, Phenylvinyläther, p-Nitrophenylchlormilchsäure 807; Löslichkeit von Phosphaten 1173; Zurückgehen der Phosphorsäure in Superphosphaten (Aluminiumtriphosphat), oxals. Magnesium 1289.

**82**: Zimmtsäurederivate: Phenyl-dichlorpropionsäure, Phenylchlormilchsäure und Phenylbrommilchsäure gegen Chlor- und Bromwasserstoff; Zimmtsäure gegen Unterbromigsäure 937.

**83**: Constitution der Nitrosoamine 622 f.; Nichtbildung von Zimmtsäure aus Brom- oder Chlorstyrol, Phenylpropionsäure gegen Natrium 1172; Methylenblau 1821.

**85**: Bildung der Brenzweinsäure aus Brenztraubensäure 1385 f.; Rosanilinfarbstoffe, violette und blaue Farbstoffe aus Aminen und Nitrosaminen 2220 f.; siehe Melikoff (P.).

Erlenmeyer (E.), Fischer (F.) und Lipp (A.), **78**: Aethylenmilchsäure aus Aethylencyanhydrin 696.

Erlenmeyer (E.) und Heinrich (O.), **77**: Manganphosphate 255; Zersetzung der Manganphosphate 1063.

**78**: phosphorsaure Salze des Eisens und Aluminiums 269 ff.

Erlenmeyer (E.), Kayser (A.) und Fischer (F.), **79**: Trimethylenbromür 385.

Erlenmeyer (E.) und Lipp (A.), **82**: Phenyl- $\alpha$ -amidopropionsäure (Phenylalanin) und Salze, Phenyl- $\beta$ -amidopropionsäure, Phenyl- $\beta$ -brompropionsäure, Synthese des Tyrosins (p-Oxyphenyl- $\alpha$ -amidopropionsäure) 936 f.

**83**: Tyrosin aus p-Monoamidophenylalanin 1186 f.; Salze des Tyrosins 1188; Derivate der Zimmtsäure: Phenyläthylaldehyd, Phenylglycidssäure (Phenyl oxyacrylsäure), Phenylglycerinsäure 1188 f.; Phenylchlormilchsäure 1189 f.; Phenyl- $\alpha$ -amidopropionsäure (Phenylalanin), Phenyl- $\alpha$ -hydroxypropionitril 1190; Phenyl- $\alpha$ -hydroxypropionitril gegen Ammoniak: Phenyl- $\alpha$ -amidopropionitril und Phenyl- $\alpha$ -imidopropionitril 1190 f.; Phenyl- $\alpha$ -amidopropionsäure 1191 f.; Verhalten der Phenyl- $\alpha$ -amidopropionsäure bei der trockenen Destillation: kohlen-saures Phenyläthylamin und Phenyl-lactimid, Phenyläthylamin 1192 f.; p-Monosulfophenylalanin 1194; p-Mononitrophenylalanin 1194 f.; p-Monoamidophenylalanin 1195 f.; p-Oxyphenylmilchsäure, p-Mononitrophenylmilchsäurenitrat 1197; p-Monoamidophenylmilchsäure 1197 f.

Erlenmeyer (E.) und Müller (C. L.), **82**:  $\alpha$ - $\beta$ -Dibrombuttersäure gegen Kali:  $\alpha$ - und  $\beta$ -Bromcrotonsäure, Bromhydroxybuttersäure, Crotonsäure gegen Unterchlorigsäure 832.

Erlenmeyer (E.) und Passavant (S. C.), **79**: Nitrile aus Aldehydammoniak und Blausäure 327 f.

Erlenmeyer (E.) und Rosenhek (J.), **85**: Bildung von Carbostyryl durch Einwirkung von unterchloriger Säure auf Chinolin 990.

**86**: Einwirkung von unterchloriger Säure auf Chinolin und substituirte Chinoline 907 f.; Di- und Trichlorchinolin, Mono- und Trichlorcarbostyryl, Verhalten von Chinanisol gegen unterchlorige Säure 908; Phenyljodhydracrylsäure (Phenyl- $\beta$ -hydroxy- $\alpha$ -jodpropionsäure) 1458.

Erlenmeyer (E.) und Stockmeier (H.), **86**: neue Monobromzimmtsäuren 1457.



**Reinmayer jun. (E.), 86:** Identität der Phenylglycidssäure mit Phenylpyrosäure 1458 f.

**Erlor (M.),** siehe Claus (A.).

**Ernst (A.),** siehe Schlösser (E.).

**Ernst (C.), 85:** elektrolytische Gold-extraction aus Erzen 2043 f.

**Ernst (C. Ritter von), 81:** Sauerstoff-gebläse 1314.

**Ernst (F.), 86:** Tetrahydrothiophendicarbonsäure 1185 f.; versuchte Darstellung eines Anthracens der Thiophenreihe: Einwirkung von o-Tolylsäurechlorid resp. Benzoylchlorid auf Thiophen bei Gegenwart von Chloraluminium: Thiophenketone, Reduction der Thiänylgyoxylsäure, Thiänylgyoxylsäure und Thiänylessigsäure 1186.

**Erpf (Th.), 86:** neuer Kupolofen 2023.

**Errera (G.), 83:** Einwirkung von Chlor auf Cymol 543 f.

**84:** Einwirkung von Chlor auf Cymol aus Campher, Bildung von Monochlorcymol und 2 isomeren Cumylchloriden, Darstellung von Cumyläthyläther, p-Methylallylbenzol (p-Propylentol) 538 f.; Untersuchung des p-Methylallylbenzols (p-Propylentols), Verhalten gegen Bromwasserstoffsäure, Darstellung von Allylbenzol ( $\alpha$ -Phenylpropylen) aus Monochlorpropylbenzol, Verhalten 539 f.; Untersuchung und Derivate von ( $\alpha$ -p-Aethylphenol 1005 f.

**85:** Darstellung einiger Nitroderivate des Resorcins 1253 bis 1255: Trinitrodibenzoylresorcin, Mononitro- und Dinitroresorcin 1253; Mononitrodibenzoylresorcin, Mononitromonobenzoylresorcin, Mononitrodiacetylresorcin 1254; Dibromnitroresorcin 1255.

**86:** Nachweis von Stilben 614; Darstellung und Untersuchung der drei Phenyl(normal)propylchloride (Monochlorpropylbenzole) 644 f.; Verhalten von Phenylpropylendibromid (Dibrompropylbenzol, Phenylallyldibromid) gegen alkoholisches Kali: Phenylallyl-Aethyläther, Methylphenylacetylen 646.

**Errera (L.), 82:** Nachweis von Glycogen in Mucorineen 1156.

**85:** Reservestoffe der Pilze 1791; Nachweis des Glycogens in Bierhefe 1873.

**Esbach, 80:** Eiweißbestimmung im Harn 1238.

**Esbach (G.), 79:** Harnstoffbestimmung im Harn 1080.

**80:** Einfluss des Rohrzuckers und der Glucose auf die Stickstoffbestimmung im Harnstoff und Harn 1204 f.

**Escales (R.), 85:** Verhalten von Benzolsulfinsäure beim Kochen mit salzs. Phenylhydrazin 1112 bis 1114: Benzoldisulfoxyd (Oxyphenyldisulfür), Phenylbenzolsulfazid 1112, benzolsulfins. Phenylhydrazin, Eigenschaften des Phenylbenzolsulfazids 1113 f.

**Escales (R.) und Baumann (E.), 86:** Verbindungen des Phenylmercaptans mit Ketonensäuren:  $\alpha$ -Thiophenyl- $\alpha$ -oxypropionsäure 1298; Dithiophenylphenylessigsäure 1298 f.;  $\beta$ -Dithiophenylbuttersäure-Aethyläther 1299;  $\beta$ -Thiophenylcrotonsäure 1299 f.;  $\gamma$ -Dithiophenylvaleriansäure 1300.

**Eschellmann (G.), 82:** Darstellung von Salzsäure (basisches Calciummagnesiumsulfat) 1391 f.

**Eschellmann (G.), 84:** Ursachen des Salpeterverbrauchs in der Schwefelsäurefabrikation 1727; siehe Muspratt (E. K.).

**Escherich (C.),** siehe Michler (W.).

**Escosura (L. de la), 86:** elektrolytische Bestimmung des Quecksilbers in Erzen 1946.

**Esilmann (A.),** siehe Spence (P.).

**Espenschied (J. F.), 81:** grünblauer Farbstoff aus Methylidiphenylamin 1332; grüne und violette Farbstoffe 1333.

**Efsner (J.), 81:** Amylbenzol 357 f.

**Efsner (J. Ch.), 84:** Einwirkung von nascerendem Wasserstoff auf Acetamid 1093; siehe Oechsner de Coninck.

**Efsner (J. C.) und Gossin (E.), 84:** Einwirkung von Acetylchlorid auf Toluol bei Gegenwart von Aluminiumchlorid, Darstellung von m-Acetyltoluol 531 f.; Einwirkung von activem und inactivem Amylchlorid, sowie Amylen auf Toluol bei Gegenwart von Aluminiumchlorid, Darstellung von m-Amyltoluol 532; Einwirkung von Benzoylchlorid auf Isoduro: Benzoylisoduro, Phenylisodurylglycolsäure, Benzylisoduro, Phenylisodurylcarbinol-Benzoesäureäther, Benzoylbenzoltetracarbonsäure 541 ff.

**Estcourt, 77:** Butter 1096.

- Estcourt (C.), **79**: See- und Flußwasser-Analysen 1261.
- Étard und Richet (Ch.), **83**: Bestimmung der Extractstoffe und des Reductionsvermögens des Harns 1650.
- Étard (A.), **77**: Reduction der Nitrate zu Nitriten 239; Chromoxydsalze 261; chromsaure Salze 262; organische Körper gegen Chromylchlorid 326; Pentan gegen Chromylchlorid (Monochlorbutylaceton) 627; Bildung von Chinonen mittelst Chromylchlorid, Nitrochinon, Hydrochinonäther, Nitro-oluchinon 643; chloranils. Natron, Anthracen und Naphtalin gegen Chromylchlorid 644.
- 78**: Darstellung von Doppelsulfaten der Sesquioxyde 267 f.; Einwirkung von Chromoxychlorid auf organische Verbindungen 319; Darstellung von Amylen 375.
- 79**: Doppelverbindungen der Sulfate der Sesquioxyde 254; schweflige Säure gegen Cyankalium 322.
- 80**: Stellung des Bors unter den Elementen 4; Ueberborsäure 280; Bildung aromatischer Aldehyde 710.
- 81**: Chromoxychlorid gegen organische Substanzen 234; schwefligs. Kupferoxydoxydul 260; Glycerin gegen Salmiak (Glycolin) 509; Glycolin (Hydroxypicolin) 977.
- 82**: Cuproso-Cuprisulfite 333 ff.; isomere Cuprosulfite und Derivate derselben 335 f.; o-Toluidin gegen Benzaldehyd: Benzylen-o-toluidin, Methylphenanthridin 533 f.
- 83**: Hydronicotin 1337 f.; Oxytrinitotin 1338.
- 84**: Löslichkeit der Chloride, Bromide, Jodide der Erdalkalien und einiger schwerer Metalle 128 f.; siehe Cahours (A.); siehe Gal (H.); siehe Gautier (A.).
- Étard (A.) und Bémont (G.), **85**: Verhalten von Ferrocyanalkalium beim Erhitzen, gegen Salmiak, Ferrocyanammonium 588; Darstellung und Verhalten von Glaukoferrocyanür 588 f.
- Étard (A.) und Moissan (H.), **80**: Darstellung von Selenwasserstoff 261.
- Étard (A.) und Olivier (L.), **82**: Reduction von schwefelsauren Salzen durch Algen 1144.
- Étard (A.) und Rémont (G.), **84**: Verbindung der Ferrocyanwasserstoffsäure mit Aether 475; Zersetzung der Ferrocyanwasserstoffsäure 475 f., von Ferrocyanammonium, Nitroprussidnatrium 476.
- Etti (C.), **78**: Catechin 953 f.; Farbstoffe des Cayenneorleans 959; Hopfengerbsäure 964; Kinoïn 984; Gährung der Bitterstoffe des Hopfens 1160.
- 80**: Eichenrindengerbsäure 898 f.
- 81**: Catechin 1012.
- 82**: Vanillin gegen Pyrogallol, Phloroglucin, Resorcin: Pyrogallovanillin, Phloroglucivanillin 752.
- 83**: Eichenrindengerbsäure 1228 f.; Phlobaphen und Eichenroth 1229; neue Eichenrindengerbsäure  $C_{20}H_{16}O_8$ , 1229 f.; Anhydride derselben 1230.
- 84**: Untersuchung des Verhaltens der Gallusgerbsäure und der Eichenrindengerbsäure 1297 f.; Vorkommen von Kinoïn im malabarischen Kino 1449.
- Ettingshausen (A. v.), **80**: Geschwindigkeit der Elektricität 173.
- 82**: Bestimmung der Diamagnetisirungszahl des Wismuths in absolutem Maße 167.
- 84**: elektromotorische Kraft des Clark'schen Elements 240.
- Ettingshausen (A. v.) und Nernst (W.), **86**: Hall'sches Phänomen 256.
- Etzweiler, siehe Merz (V.).
- Etzweiler und Wójcik, **83**: Einwirkung von Brom auf Ferro- und Ferricyankalium (Tribromtricyan) 594.
- Eugling (W.), **85**: Casein der Kuhmilch und die Labfermentwirkung: Caseinicalciumphosphat; Käse 1782.
- Eugster (E.), siehe Schulze (E.).
- Eustache (G.), siehe Béchamp (A.).
- Eustis (W. C.), **83**: Analyse des Hydrargillits (Gibbsits) von Marianna, Brasilien 1845; Analyse eines Kieselkupfers von der Ivanhoe Grube, Arizona 1879.
- Evans (C. S.), **83**: spec. Gewicht von weins. Antimonylsilber 51; Antimontartrate 1085 f.; Baryumantimontartrate. Natriumantimontartrate, Silberantimontartrate 1086; siehe Clarke (F. W.).
- Evans (F. P.) und Ramsay (W.), **84**: Untersuchung und Darstellung von Selenchloriden (Selenmono- und -tetrachlorid, Selendichlordibromid) 352 ff.
- Evans (P. N.), siehe Anschütz (R.).

Everhart (E.), siehe Leeds (A.).  
 Evershed (F.), siehe Green (A. G.).  
 Evershed (S.), **86**: Differential-Widerstandsthermometer 181.  
 Ewald (A.), **86**: polari-spektroskopische Untersuchungen an Blutkrystallen 1844.  
 Ewald (A.) und Krukenberg (O. Fr. W.), **83**: Guaninablagerung bei Fischen 1493 f.  
 Ewald (C. A.), **83**: Milchsäure, Leucin und Tyrosin im Magen 1497.  
**85**: Kohlensäuregehalt des arteriellen Blutes beim Fieber 1832.  
 Ewald (H.), **78**: Hydrocörolignonkalium, Hexamethoxyldiphenyl 593.  
 Ewan (P. Mac), **85**: Eigenschaften der natürlichen Campheröle 1821.  
 Ewer und Pick, **84**: Darstellung violetter bis blauer Farbstoffe aus p-Mononitroaminen 1859; Herstellung von Chrysanilin 1867 f.  
**85**: Methylenweiß und Tetramethyldiamidodiphenylamin aus p-Amidodimethylanilin 2216 f.; violette und grünblaue Farbstoffe aus aromatischen Aminen (Dimethylanilingrün, Hydrazodimethylanilin) 2217; Darstellung von gelben bis braunen Farbstoffen aus Harnstoffen, Cyansäure u. s. w. mit aromatischen Aminen und tetraalkylirten Diamidobenzophenonen 2219 f.; Darstellung von Farbstoffen aus tetraalkylirten Diamidobenzophenonen mit Phenolen 2248.  
**86**: Darstellung von Diazofarbstoffen 1022.  
 Ewing, siehe Mac-Gregor (J. G.).  
 Ewing (A. L.), **85**: Erosion von Kalksteinen 2303 f.  
 Ewing (J. A.), **81**: Thermoelektricität von Eisendrähnen 92.  
**82**: Einfluss der Coërsitivkraft auf die Magnetisirung von Eisen und Stahl 166.  
**83**: Coërsitivkraft und magnetische Empfänglichkeit von Eisen und Stahl 227.  
**84**: vorübergehende elektrische Ströme in Eisen- und Stahlleitern 279.  
**86**: thermoöktrische Eigenschaften des Eisens 253.  
 Exner (F.), **77**: Diffusion der Dämpfe durch Flüssigkeitslamellen 64.  
**78**: galvanische Polarisation von Platin in Wasser 140, 141; Elektrolyse des Wassers, neue Theorie 150.

**80**: Theorie des Volta'schen Fundamentalversuches 145 f.; Theorie des galvanischen Elementes 146 f.; Ursachen der Elektricitätserrregung beim Contact heterogener Metalle 150 f.; Theorie der inconstanten Elemente 156 f.  
**81**: galvanische Elemente, Leitung von Brom und Jod 89 f.  
**85**: Bestimmung der Gröfse der Moleküle aus der Dielektricitätsconstante 35 bis 39.  
 Exner (F.) und Goldschmidt (G.), **78**: Einfluss der Temperatur auf das galvanische Leitungsvermögen von Flüssigkeiten 144.  
**79**: Einfluss der Temperatur auf das galvanische Leitungsvermögen der Flüssigkeiten 136 f.  
 Eykmann (J. F.), **81**: Illicium religiosum (Sikimin) 1021.  
**82**: Alkalofide van Macleya cordata, Sanguinarin und Macleyin 1113 f.; Asebotoxin aus Andromeda japonica 1170 f.  
**83**: Untersuchungen japanischer Pflanzen: Bestandtheile der Blätter von Andromeda japonica: Asebotoxin, Asebotin, Aseboquercetin, Asebofusicin 1410; Scopolein und Scopolin aus Scopolia japonica 1410 f.; Macleyin aus Macleya cordata, Chelidonin aus Chelidonium majus, Nandinin und Berberin aus Nandina domestica, Berberin aus Orixia japonica 1411; Bestandtheile von Skimmia japonica: Skimmin 1411 f.; Salpetrigsäure-Aethyläther als Reagens auf Phenol 1604.  
**84**: Alkaloide und Bitterstoffe einiger japanischer Pflanzen 1396; Reaction auf Phenol oder Thymol 1622; siehe Eijkmann (J. F.).  
 Eymonnet, siehe Lépine (R.).  
 Eymormet (L.), **83**: Bestimmung von Phosphorsäure im Urin 1648.  
 Eynern (v.), siehe Fittig (R.).  
 Eyquem, **77**: Stahl 1114.  
 Eyster (G. S.), **84**: Circularpolarisation linksdrehender Lösungen 300.  
**85**: qualitative Bestimmung der Basen ohne Schwefelwasserstoffgas 1877.

## F.

Fabinyi (R.), **78**: Diphenoläthan 591 f.; Dibenzoyldiphenoläthan 592.



Fabre, **78**: Darstellung von Aluminiumsulfat 1133.

**80**: Phylloxera 1068.

Fabre (C.), **80**: Platinotypie 1393 f.

Fabre (Ch.), **86**: thermochemische Untersuchung der Selenide des Kaliums und Natriums 226 f.; Bildungswärme des Selenwasserstoffs 227; Bildungswärmen von krystallisierten und amorphen Selenverbindungen der Metalle 227 f.; thermische Untersuchungen von Ammonium- und Lithiumselenverbindungen 228; thermische Untersuchung der Selenverbindungen der Erdalkalimetalle 229; Umwandlungswärme des Selen aus dem glasigen in den krystallinen Zustand 231; krystallisierte Selenide des Kaliums und Natriums 337 f.; Selenide der Erdalkalimetalle 338 f.

Fabris (G.), siehe Cannizzaro (S.).

Fahlberg (C.), **79**: Toluolsulfamide 754.

**82**: eisenfreies Aluminiumsulfat aus Bauxit 1406 f.

**85**: Darstellung von „Saccharin“ 2098; siehe Remsen (J.).

Fahlberg (C.) und Iles (M. W.), **78**: Bestimmung von Schwefel in organischen Verbindungen 1044 f., in Kiesen 1045.

**79**: Schwefelbestimmung 1032 f.

Fahlberg (C.) und List (A.), **86**: Darstellung des Saccharins (Benzoesäuresulfimid) 2074 f.

Fahlberg (C.) und Remsen (J.), **79**: Oxydation von Orthotoluolsulfamid 754 f.

Fahneijelm (O.), **77**: weißer Cement 1163.

Failger (G. H.) und Willard (J. T.), **86**: Extractionsapparat 2011.

Fairley (T.), **77**: Bildungswärme des Sauerstoffmoleküls 104; Wasserstoff-superoxyd gegen Metalle und Oxyde 207; Natriumhyperoxyd 241; Uranverbindungen 297.

**81**: Quellen von Northallerton 1452 f.

**83**: Gasbrenner 1655.

**86**: Bestimmung des Schwefels im Leuchtgas 1903; Prüfung von natürlichen Farbstoffen auf Verfälschungen mit Rosanilinfarbstoffen 2188.

Falck (C. Ph.), **81**: Fleisch 1301.

Falck (E.), **85**: Einwirkung von Chlorkohlensäure-Aethyläther und Carbo-nylchlorid auf Benzenylamidoxim

1132 f.; Benzenylamidoximkohlensäure-Aethyläther, Benzenyazoximcarbinol 1132; Carboonyldibenznylamidoxim 1133.

**86**: Umwandlungsproducte des Benzenylamidoxims und Carbonyldibenznylamidoxims: Benzenylimidoximcarbinol (Benzenylazoximcarbinol) 1097 f.; Benzenyläthylimidoximcarbonyl, Dibenznylamidoximäthyläther 1098 f.; Chloralbenzenylamidoxim, Benzenyluramidoxim 1099.

Falck (F.), **81**: Verhalten von Fermenten im Organismus 1069 f.

Falck (F. A.), **79**: Pelletierin 791.

**81**: Wirkungen von Laudanin, Laudanosin, Kryptopin, Muscarin und Curare 1066; Harnstoffbestimmung 1199.

**84**: physiologische Wirkungen des  $\alpha$ -Isopropylpiperidins 652.

**85**: anästhesirende Wirkung des Cocäthylins 1719; Einfluss des Alters auf die Wirkung der Arzneimittel: Strychnin 1848 f.

**86**: physiologisches Verhalten von  $\alpha$ -Propylpiperidin (Coniin) 1657; physiologische Eigenschaften des Dipiperidyls 1692; physiologische Eigenschaften des Cocäthylins 1702; Einfluss des Alters auf die Strychninwirkung 1845.

Falck (B.), **85**: Polarisation von Metallen in Kaliumsulfat, Chlorkalium-, Bromkalium-, Jodkaliumlösungen 259.

Falkner (A.), siehe Kraft (F.).

Fallenstein (O.), siehe Petry (T.).

Fallières (E.), **83**: Bestimmung von Schwefelkohlenstoff im Sulfocarbonat 1556.

**84**: Methode zur Gehaltsbestimmung der Sulfocarbonate 1589.

**85**: Bestimmung des Jods im Jodkalium, Bestimmung des Eisens 1903. Famintzin (A.), **80**: Zerlegung der Kohlensäure 1045.

**83**: Studien über Krystalle gegenüber Krystalliten 2.

**84**: Darstellung einer den organisierten Membranen nabestehenden Membran aus Kieselsäure 1425 f.; Schichtenbildung, Bildung myelinartiger Gebilde 1426.

Famintzin (A.) und Przybytek (D. S.), **86**: Untersuchung des Blütenstaubes von Pinus sylvestris 1816.

Fano, **81**: Pepton und Trypton gegen Blut und Lymphe 1037.

- Faraday (F. J.), **84**: Entwicklung der Bacteriologie 1529.
- 86**: Mikrobiologie, Abfallwasser 1879 f.; Mikroorganismen im Trinkwasser 2314.
- Farley (Th.), **79**: Glycerin als Lösungsmittel 498 f.
- Farquharson (J.), **82**: verbundene Stahl- und Eisenplatten gegen Salzwasser 1373.
- Farrer (Miss E. M.) und Pickering (Sp. U.), **86**: Hydratisierung (KrySTALLISATIONSWASSER) von Salzen (MANGANCHLORÜR) 148 f.
- Farrington (Th.), **85**: Mikroorganismen im Wasser 2312.
- Farsky (F.), **81**: Kalidüngung für Rüben, Düngsalze von Staßfurt 1295.
- Fasbender (H.), **86**: Gewinnung reiner Kohlensäure aus Kalkofengasen 2050.
- Fasbender (G.), **80**: Untersuchung tierischer und pflanzlicher Nahrungsmittel 1217 f.
- 81**: Eiweiß in Nahrungs- und Futtermitteln 1214.
- 83**: Bestimmung des Stickstoffs in Düngern 1590; siehe Stutzer (A.).
- Fasbender (R.), **78**: Doppelsalze des schwefels. Calciums mit anderen Salzen 239 f.
- Fatio (V.), **80**: schweflige Säure gegen Phylloxera 1326.
- 82**: Apparat zur Desinfection mit schwefliger Säure 1435.
- Faucheux (L.), **80**: Melassen, Reinigung 1349 f.
- 81**: Sodafabrikation 1266.
- 82**: Nutzbarmachung industrieller Rückstände 1352.
- Faucou, **83**: Vernichtung der Phylloxera durch Inundation 1713.
- Fauconuier (Ad.), **80**: Einfluss des Rohrzuckers auf die Stickstoffentwicklung bei der Harnstoffbestimmung im Harn 1202 f.
- 82**: ein zweites Anhydrid des Mannits (Anhydrid des Mannitans) und Derivate 654 f.
- 84**: zweites Anhydrid des Mannits (Isomannid) 941 f.
- 85**: Reduction des Mannits durch Ameisensäure (Mono- und Diameisensäureäther des Mannitans, Isomannid) 1210.
- Faulenbach (C.), **83**: Bestimmung der Stärke in Nahrungsmitteln 1620 f.; löslicher Kohlehydrate neben Stärke 1621.
- Faure und Kefler, **84**: Herstellung künstlicher Steinmassen 1758.
- Faure (C.), **81**: Secundär-Batterie 92.
- Faust (A.), **85**: Darstellung von p-Nitrobenzaldehyd 2091.
- Favé, **77**: sphäroidaler Zustand 86.
- 78**: Erklärung von Farbe, Absorption, Phosphoreszenz und Fluoreszenz 161.
- Favier (P. A.), **85**: Vermeidung der Hygroskopicität der Nitrates im Schießpulver 2103.
- Favorsky, **85**: Crotonylen 666 f.
- 86**: Einwirkung von Phosphorpentachlorid auf Aethylmethyl- und Methylpropylketon 1639.
- Favre (A.) und Soret (Ch.), **81**: Gaylussit 1369.
- Fayol, **83**: Ursache der Selbstentzündung der Steinkohlen 1755.
- Fayrer (J.), siehe Brunton (T. L.).
- Fawsitt (C. A.), **85**: Darstellung von Holzgeist in Schottland 2089; Holzdestillation in Schottland 2191.
- 86**: Verwendung der Kohlensäure in Spiritusbrennereien 2050; Untersuchung verschiedener Sorten Chlorschwefel, Verwendbarkeit zum Vulcanisiren von Kautschuk 2169.
- Febve (P.), **81**: Quendöl 1028.
- Feder, **78**: Verhalten des Salmiaks im thierischen Organismus 992 f.
- Feder (L.), **81**: Thiernahrung 1030.
- Feder (L.) und Voit (E.), **80**: Harnstoffbildung 1112.
- Fedorow, **81**: Gesetzmäßigkeiten in den Atomgewichten 8.
- Feer (A.), siehe Graebe (C.).
- Feer (A.) und Koenigs (W.), **85**: Derivate des Methyltetrahydrochinolins (Kairolins) 983 bis 986: Mononitrosokairolin, Mono- und Dinitrokairolin 984; Amidokairolin, Base  $C_{10}H_{13}N_2O \cdot 5H_2O$ , Dimethylhydrochinoliniumhydroxyd 985; Derivate des Carbostyrls und des 1-Oxypyridins 993 bis 995: Methylcarbostyryl, Methylcarbostyrylmonosulfosäure, Trichlorchinolin 993; Mononitrocarbostyrylsilber, Mononitrocarbostyrylmethyläther, Monoamidcarbostyrylmethyläther 994; Methoxypyridincarbon-säure (Methoxychinolinsäure) 995.
- 86**: Darstellung von 1-Oxypyridin (Pyridon) aus Oxychinolinsäure, von letzterer aus Amidcarbostyrylmethyläther 768 f.

- Feez (W.), Schraube (C.) und Burkhardt (J. B.), **79**: Chlor und Brom in organischen Verbindungen 1061 f.
- Fegraus, **77**: Fehlerz 1269.
- Fehling (H. v.) und Hell (C.), **81**: deutsche Quellwässer 1443.
- Fehrenbach (G.), siehe Nobel (A. B.).
- Fehrmann (A.), **82**: Darstellung von Bleihyperoxyd 337.
- Feichtinger, **82**: Papieruntersuchung 1470 f.
- 83**: Ursache der sauren Reaction von mit Harzleimung versehenen Papieren, schwefelsaure Thonerde gegen Alkohol und gegen Aether 1778.
- Feil, siehe Freymy (E.).
- Feilitzsch (v.), **78**: hydrodynamische Luftpumpe 1095.
- Feist (F.), **86**: Krystallform des Calciumsalzes der einbasischen ungesättigten Säure,  $C_6H_8O_8$ , aus  $\alpha$ -Isobutylhomoparaconsäure und der  $\beta$ -Isobutylhomoparaconsäure 1397; Krystallform von Mikrolith 2294.
- Feist (P.), siehe Claus (A.).
- Feitelberg, siehe Meyer (H.).
- Feldhaus (S.), **85**: Darstellung der Hämkrykristalle beim Blutnachweis 1836.
- Fellner, **77**: Eläolith 1315.
- Fels (J.), **77**: Chromerze 1154; Diorrexin 1159.
- Feltgen (M.), siehe Servais (E.).
- Feltz (V.), **77**: comprimirt Luft gegen Organismen, Bacterien gegen Chloroform 1027; typhöses Blut 1028.
- Feltz (V.) und Ritter (E.), **77**: giftige Wirkung der Kupfersalze 1007, 1008; Fuchsinwirkung 1012.
- Fennema (R.), siehe Verbeck (R. D. M.).
- Fenton (H.), **78**: Einwirkung von unterchloriger Säure auf Harnstoff 352.
- 79**: unterchlorig- und unterbromigsaures Natrium gegen Stickstoffverbindungen 312.
- Fenton (H. J. H.), **79**: Phosgen gegen Ammoniak 341.
- 82**: Darstellung von Cyanamid, Zusammensetzung von Cyanamidsilber 381.
- 86**: Umwandlung des Ammoniumcarbamats im Ammoniumcarbonat und umgekehrt, Umwandlung des Harnstoffs in Ammoniumcarbonat 547; Nachweis von Brom neben viel Chlor mittelst Carbaminsäure 1909.
- Fenton (J. H.), **81**: Weinsäurereaction 1205.
- Féris (B.), siehe Bochefontaine.
- Ferko (M.), siehe Willgerodt (C.).
- Fernandez (P.), **84**: Arsenvanadinsäure 442.
- Fernandez (V.), **77**: Selenwismuthglanz (Frenzelit, Guanajuatit), Silanit 1265.
- Fernbach (A.), **80**: Glycerin gegen Natrium 607.
- Fernet (E.), **80**: Entladungen in verdünnten Gasen 167 f.
- Fernholz (J.), siehe Habel (L.).
- Ferrari (P.), **83**: saures schwefelsaures Kali gegen Aether-Alkohol (Bestimmung der Weinsäure) 1607.
- Ferrini (E. R.), **83**: Quotientengalvanometer 200.
- Ferrini (R.), **80**: elektrische Leitungsfähigkeit von Kohlenstäbchen 154.
- Feser, **78**: Apparate zur Werthbestimmung der Milch 1145.
- Festing, siehe Abney.
- Feuerlein (C.), **79**: Phenylcyanamid, Phenylguanidin 345; siehe Rathke (B.).
- Feuerlein (G.), siehe Herzfeld (A.).
- Feufner (K.), **81**: Krystallform von  $\gamma$ -Pyridincarbonsäure-Chloroplatinat 973; siehe Bamberger (E.).
- Fevre (A.), **83**: Mono- und Dinitrosorsorcin und Derivate 916 f.; siehe Krafft (F.).
- Feyerabend (G.), **78**: Gewinnung von chroms. Blei 1134.
- Feyerabendt (G.), **77**: Seifenfabrikation 1152.
- Fiala (F.), **85**: Darstellung von gemischten Aethern des Hydrochinons 1255 f.: Methylisoamylhydrochinon, Aethylpropylhydrochinon 1255; Aethylisobutylhydrochinon, Aethylisoamylhydrochinon, Propylisobutylhydrochinon 1256; Darstellung von Derivaten des Methyläthylhydrochinons 1256 f.: Tetrachlormethyläthylhydrochinon, Dibrommethyläthylhydrochinon 1258; Dinitromethyläthylhydrochinon 1257.
- 86**: gemischte Aether des Hydrochinons, Derivate des Methyläthylhydrochinons 1267.
- Fiala (Fr.), **84**: Darstellung gemischter Aether des Hydrochinons: Methyläthylhydrochinon 985; Methylpropylhydrochinon, Methylisobutylhydrochinon 986.

- Fickert (E.), siehe Claus (A.).  
 Fiebach (P.), **84**: Bürette 1687.  
 Ficinus, **80**: Alkaloid der Hundspetersilie 1001.  
 Ficinus (O.), **78**: Darstellung von Ferrum oxydatum sacchar. solub. 264.  
**79**: Darstellung reiner Weinsäure 637.  
 Fiedler, **80**: Absorption von Phosphorsäure und Kali durch Chilisalpeter 1321 f.  
 Field (A. W.), siehe Jackson (O. L.).  
 Field (F.), **77**: Wismuthreaction 1047; Ludlamit 1299.  
**78**: Begleitmineral des Cronstedtita 1271.  
**81**: Jod im Harn 1230.  
 Field (Fr.), **82**: Platinjodid als Reagens auf organische Stoffe im Trinkwasser 1260.  
 Field (L.), **84**: feste und flüssige Beleuchtungsmaterialien 1807.  
 Fielding (E.), siehe Bassett (H.).  
 Fievez (Ch.), **80**: Spectren der Gase 201.  
**81**: Magnesium-Spectrum (Verschwinden von Spectrallinien) 118 f.; Verbreiterung der Wasserstofflinien 119.  
**82**: Studium des Sonnenspectrums 177.  
**84**: Veränderungen in der Brechbarkeit der Wasserstoff- und Magnesiumlinien 293 f.; Verbreiterung und Umkehrung der Spectrallinien 294 f.  
**85**: Einfluß eines starken Magnetfeldes auf den Charakter von Spectrallinien 319.  
 Figuier (A.), **84**: Verbindungen in verschiedenen Gassäulen und Bildung chemischer Verbindungen aus Gasgemischen unter dem Einfluß des Effluvioms 273.  
**86**: Bildung von Salpetersäure und Cyan in der Flamme 177; Bildung von Cyanammonium durch das Effluviom 281.  
 Fikentscher, **77**: Verarbeitung des Lepidoliths 1152.  
 Fikentscher (Fr.), siehe Städel (W.).  
 Filehne (W.), **79**: Morphinwirkung 996.  
**81**: Arsenwirkung 1062.  
**83**: Wirkung der Oxychinolin-derivate auf den Organismus 1317; Wirkung des chlorwasserstoffsäuren Piperidins, des Dimethyltetrahydrochinoliniumchlorids, der sauren Sulfate von Methyl- und Aethyltetrahydrochinolin auf den Organismus 1322.  
 Filehne und Rothaas, **82**: antiseptische Wirkungen der Monophenylborsäure 1242.  
 Fileti (M.), **78**: Bittermandelöl und Kirschchlorbeeröl 982.  
**79**: Reduction von Amygdalin 332; Perbromanthracen aus dem Cinchonin 814.  
**80**: Cumophenol aus Cumidin 664.  
**81**: Dissociation von Quecksilberchlorür 6; Amido- und Nitrocuminsäure 824; Cinchonin gegen Zinkstaub 964; Gasanalyse 1157 f.  
**83**: Skatol aus monoamido- und mononitrocumins. Baryum 821; Indol aus Skatol und Cumidin 822.  
**84**: Darstellung von Cuminalkohol, Cumyläther 954 f.  
**86**: Umlagerungen der Propylgruppe in Cumin- und Cymolderivate (Cumenylacrylsäure) 604 f.; Oxyisopropylbenzoesäure aus Cumyldichlorid, Cumonitril, Homocuminsäure, Propylphenylglycolsäure und Propylbenzoylameisensäure 605; Darstellung von Cuminäther (Cumyläther) 1232; Darstellung von o-Isopropylphenol 1250 f.; Acetylderivat, Methyl- und Aethyläther 1251 f.; Monobrom-o-isopropylphenol 1251 f.; Dibrom-, Nitroso-, p- und o-Mononitro-o-isopropylphenol 1252; p-Monobrom-o-nitro- und o-Monobrom-p-nitro-o-isopropylphenol 1253; o-Isopropylphenolmonocarbonsäure 1253 f.; o-Isopropylphenoldicarbonsäure, o-Isopropylphenolglycolsäure, Phosphorsäureäther des o-Isopropylphenols, o-Monobromcumol 1254; Monobromterephthalsäure 1455; Cuminsäureamid, Cumonitril 1471 f.  
 Fileti (M.) und Crosa (F.), **86**: Darstellung von Monochloreymol aus Thymol, Oxydation desselben mit Salpetersäure 646 f.; Darstellung und Oxydation von Monobromcymol 647 f.  
 Fileti (M.) und Piccini (A.), **79**: Diäthylamin aus chlorwasserstoffsäurem Aethylamin 402; Phenyläthylamin 439.  
 Fileti (M.) und Schiff (R.), **77**: Diäthylcyanamid, Chloralcyanamid 343.

- Filhol (E.), **81**: Schwefel gegen Natriumsulfid 162; granitische Feldspathe 1402.
- Filhol (E.) und Senderens, **81**: Schwefel gegen Silber-, Blei- und Kupfersalze 152; Trinatriumdiphosphat 193.
- 82**: neutral reagirende Alkaliphosphate und -arsenate 264 f.
- 83**: thermische Untersuchung der Einwirkung von Schwefel auf die Oxyde der Alkalimetalle 175; Einwirkung des Schwefels auf die alkalischen Phosphate 314 f.
- Filipow (M.), **85**: therapeutische Bedeutung von Sauerstoff und Ozon 1853.
- Filsinger (F.), **78**: Darstellung von Wolframsäure und Wolfram 1113.
- 79**: Branntwein 1137 f.
- 80**: Prüfung des Cacaoöls 1228; Fette in der Butter 1232.
- Finch und Willoughby, **85**: Schwefelsäurebildung 2060.
- Fink (J.), **85**: Einfluss des Druckes auf den Leitungswiderstand von Elektrolyten 279.
- Finkener, **83**: basischer Proceß der Entphosphorung des Roheisens 1667 f.; Analysen von basischen und sauren Futtern, Schlacken, Roheisen und Stahl 1668.
- 84**: Untersuchung von kaukasischem Petroleum 1818.
- 86**: Prüfung von Olivenöl 1999; Untersuchung von Seifenpulver 2157 f.
- Finkener (R.), **78**: Zusammensetzung der Niederschläge von Phosphormolybdänsäure mit Alkalien 1048 f.
- 86**: Verhalten des Strontiumdihydrats gegen trockene Kohlensäure 394.
- Finkler, siehe Pflüger.
- Finkler (D.), **82**: Stoffwechsel des fiebernden Organismus 1202.
- Fino (V.), **83**: Analyse eines Rhodnits von Viù, Provinz Turin 1891.
- Finocchi (E.), **81**: Oleandrin (Pto-  
maïn?) 1067.
- Finot (E.), **77**: Gas der Hundsgrotte 1368; siehe Bertrand (A.).
- Finot (E.) und Bertrand (A.), **80**: Krystallisation von Salzen 2.
- Finzelberg (H.), siehe Holtz (J. F.).
- Firnis (G.), **82**: Bestimmung von Chloriden im Harn 1345.
- Fischedick (F. H.), **86**: Di- (und Tri-) strychnincitrat 1740.
- Fischel (W.), **85**: Nachweis von Pepton im bebrüteten Hühnerrei, von Eiweiß-pepton in Uterusfibromen 1829.
- Fischer (B.), **84**: Darstellung von Diazoamidobenzol 818; siehe Schill (E.); siehe Wallach (O.).
- Fischer (B.) und Philipp (O.), **85**: Indicator für Alkalimetrie, speciell für saure Endreaction (Dimethylamidoazobenzol) 1890 f.
- Fischer (B.) und Proskauer (B.), **84**: Desinfection mit Chlor und Brom 1776 f.
- Fischer (C.), **79**: Dimethylanilin, Condensationsproducte 418 f.
- Fischer (E.), **77**: primäre, secundäre und tertiäre Amine, Unterscheidung, Ferrocyanide von Aminen 449; Hydrazinverbindungen 494.
- 78**: Einwirkung von Chlor auf Naphtalin 391; über Chlorderivate des Naphtalins 420; Diäthylhydrazin 490 f.
- 79**: Hydrazinverbindungen 454 f.; Nachweis von Nitrosoaminen durch die Hydrazinprobe, Diäthylhydrazin, Triäthylazoniumjodid, Azoniumjodid 461.
- 80**: Resorcin gegen Phenanthrendisulfosäure 649 f.; Furfurolderivate 704 f.; o-Hydrazinbenzoesäure 844 f.; Phenanthrendisulfosäure 932; Arsen, Scheidung und Bestimmung 1164.
- 81**: o-Aethyl- und o-Nitrosoäthylamidozimmtsäure 808; o-Hydrazinzimmtsäure, o-Diazozimmtsäure 809; Caffeinderivate: Bromcafein 902; Amidocafein, Aethoxycafein, Hydroxycafein, Diäthoxyhydroxycafein, Dimethoxyhydroxycafein 903; Apocafein, Hypocafein 904; Caffolin, Caffursäure, Hydrocaffursäure 905; Bromtheobromin 906; Bestimmung und Trennung des Arsens 1174.
- 82**: Tolandijodid 451; Acetylfuroin, Monobromfuroil, Furoilsäure aus Furoil, Dibromfuroilsäure aus Dibromfuroil 742 f.; Benzfuroin, Benzfuroil, Benzfuroilsäure 743; Caffolin 1087; Constitution des Caffeins und verwandter Körper, Acetylcecaffin 1087 f.; Theobrominderivate, Acecaffin 1088; Darstellung von Xanthin aus Guanin 1088 f.; Darstellung von Theobromin aus Xanthin, Formeln des Xanthins, Theobromins und Guanins 1089.



**83:** Benzdiacetonamin, Benzdiacetonalkamin 650 f.; Triacetonin 651 f.; Umwandlung des Tropins in Tropidin, Triacetonmethylenalkamin 652; Phenylhydrazinphenylglyoxylsäure und Phenylhydrazinlävulinsäure 805; Bildung von Methylenblau als Reaction auf Schwefelwasserstoff 1535; Analyse des Cuspidins vom Vesuv 1904.

**84:** Harnsäure und Methylharnsäuren, Untersuchung ihrer Constitution 509 bis 512; Trioxymethylpurin, Dichloroxymethylpurin, Trichlormethylpurin, Diäthoxychloromethylpurin, Triäthoxymethylpurin 509; Oxymethylpurin, Dichloroxydimethylpurin, Oxydimethylpurin, Aethoxychloroxydimethylpurin, Dioxydimethylpurin 510; Diäthoxyoxydimethylpurin, Trioxydimethylpurin, Oxy- $\beta$ -dimethylharnsäure, Cholestrophan, Trimethylharnsäure 511; Tetramethylharnsäure, Darstellung, Verhalten 512; Triacetonamin und Homologe 611 bis 614; Nitrosotriacetonin 611; Methyltriacetonin, Umwandlung in Monojodtetramethylpiperidin, Pseudotriacetonin 612; Darstellung von Vinyltriacetonin 612 f.; Reduction von Benzaldiacetonamin zu Benzaldiacetonalkamin 613; Benzaldiacetonin 614; Constitution der Hydrazine 863 f.; Triäthylazoniumjodid, Diäthylphenylazoniumbromid 863; Dibenzoylphenylhydrazin 864; Verhalten von Zuckerarten gegen Hydrazin 1402 f.; Phenylglucosazon, Phenylgalactosazon, Phenylsorbinazon, Phenyllactosazon, Phenylmaltoazon 1403; Phenylhydrazin als Reagens auf Aldehyde und Ketone 1623 f.

**85:** Untersuchung von Nocerin 2275 f.

**86:** Untersuchung von Isoglucosamin: Darstellung von Phenylglucosazon aus Rohrzucker 708 f.; Reduction des Phenylglucosazons mit Zinkstaub in Eisessiglösung: essigsaures Isoglucosamin 709; andere Salze des Isoglucosamins 709 f.; freies Isoglucosamin, Regenerierung von Glucosazon mittelst Phenylhydrazin 710; Reduction von Phenyllactosazon, von Hydrazinderivaten der gewöhnlichen Aldehyde und Ketone (Proteinkörper aus Kohlehydraten) 711; Eigenschaften des Phenylhydrazins 1074; Darstellung und Eigenschaften des Methylphenylhydrazins 1074 f.; Ver-

halten der drei Methylindole gegen Aldehyde, Säureanhydride und Diazokörper: Methylketol, Methylindol, und Skatol gegen Benzaldehyd und Paraldehyd 1130 f., gegen Phthalsäureanhydrid 1131; Constitution des Acetylmethylketols 1131 f.; Acetylmethylindol, Methylketol gegen Diazobenzolchlorid: Methylketolazobenzol 1132; allgemeine Methode zur Darstellung von Indolderivaten aus Hydrazinverbindungen der Ketone und Aldehyde 1132 bis 1135, aus Azetessigäther u. Hydrazinen 1135 f., Synthese von Indolderivaten 1136 bis 1140; Bildung zweier isomerer Indolderivate aus Methyläthylketonphenylhydrazin, Verhalten der Hydrazinderivate der fetten Aldehyde gegen Chlorzink 1136; Indolderivate aus den Hydrazinverbindungen der Ketonensäuren (Brenztraubensäure, Lävulinsäure, Acetessigäther) 1136 f.; Ersatz des Chlorzinks durch Mineralsäuren und andere Metallchloride bei der Indolsynthese 1137; Nomenclatur und allgemeines Verhalten der Indolderivate 1138 f.; Zusammenstellung aller seither aus Hydrazinverbindungen dargestellten Indolderivate 1139 f.; Indole aus Phenylhydrazinderivaten der Ketone 1140 bis 1147; Darstellung und Untersuchung von Methylketol 1140; Äthylindol, Pr 2, 3-Dimethylindol und Derivate 1140 f.; Pr 2, 3-Methyläthylindol 1141; drei isomere Phenylindole 1142; Pr 2, 3-Diphenylindol 1142 f.; Skatol (Pr 3-Methylindol) 1143 f.; Pr 2-Indolcarbonensäure 1144 f.; Pr 2, 3-Methylindol-essigsäure 1146;  $\alpha$ -Naphthylhydrazin und Salze 1090 f.;  $\alpha$ -Naphthylhydrazinbrenztraubensäure, Benzyliden- und Aceton- $\alpha$ -naphthylhydrazin 1091;  $\beta$ -Naphthylhydrazin und Salze 1092; siehe Ehrhard (W.); siehe Penzoldt (F.).

Fischer (E.) und Besthorn (E.), **82:** Hydrazinverbindungen: Diphenylsulfcarbazon aus Diphenylsulfcarbazon 604; Diphenylsulfcarbodiazon 605; Phenylsulfsemicarbazid aus rhodanwasserstoffsäurem Phenylhydrazin 606; Phenylsulfcarbizin und Derivate 606 f.

Fischer (E.) und Bülow (C.), **85:** Derivate des Benzoylacetons 1643 f.; Dibenzoylacetone, Dibenzoyldiacetyl-

- äthan, Benzoylacetamin 1643; Methyldiphenylpyrrazol, o-Mononitrobenzoylacetone gegen Phenylhydrazin, Phenylacetylacetone, Methylphenylbenzylpyrrazol, Darstellung von Benzoylacetone und Phenylacetylacetone 1644.
- Fischer (E.) und Ehrhard (W.), **79**: Aethylderivate des Phenylhydrazins 461 f.
- Fischer (E.) und Hefs (O.), **84**: Synthese von Indolderivaten 888 bis 893: Methylpseudoisatin, Methylindol, Methylindolcarbonsäure, Aethylpseudoisatin 889; Reduction von Aethylphenylnitrosoamin, Aethylphenylhydrazinbrenztraubensäure, Aethylindolcarbonsäure 891; Diphenylhydrazinbrenztraubensäure, Phenylindolcarbonsäure 892; Phenylindol 893.
- Fischer (E.) und Jourdan (F.), **83**: Verbindungen der Brenztraubensäure mit dem Phenyl- und Methylphenylhydrazin: Phenylhydrazinbrenztraubensäure und ihr Aethyläther 804 f.; Phenylhydrazinbrenztraubensäure gegen Natriumamalgam: Phenylhydrazinpropionsäure, Methylphenylhydrazinbrenztraubensäure 806.
- Fischer (E.) und Koch (H.), **83**: Phtalylacetessigsäure - Aethyläther 1216 f.
- 84**: Darstellung von Trimethylen-diamin, Eigenschaften, Salze 806.
- 86**: Harnstoffe des Trimethylen- und Aethylendiamins 695 bis 698: Darstellung von Trimethylen-diamin, Verhalten desselben sowie des Aethylendiamins gegen Metallsalze 696; Trimethylen-carbamid 696 f.; Trimethylen-diurethan 697; Trimethylen-di-carbamid 697 f.; Aethylen-carbamid und -diurethan 698.
- Fischer (E.) und Kuzel (H.), **83**: o-Hydrazin-zimmtsäure 796 f.; Indazol 797 f.; o-Hydrazinhydrozimmtsäure 798; Amidohydrocarbostyryl aus hydrazinhydrozimmtsulfosaurem Natrium 798 f.; Aethylamidohydrocarbostyryl 799; Monoäthyl-, Diäthyl- und Nitrosomonoäthyl- o - amidozimmtsäure 807; Aethylchinazolmonocarbonsäure 807 f.; Aethylchinazol aus Aethylchinazolmonocarbonsäure, Salze des Aethylchinazols 808; Aethylchinazolmonocarbonsäure gegen Brom: Monobrom- und Dibromäthylchinazolmonocarbonsäure 809; o-Aethylamidohydrozimmtsäure 816 f.; Mononitrosoäthyl-o-amidohydrozimmtsäure 817; Aethylhydrocarbostyryl aus Aethyl-o-hydrazinhydrozimmtsäure 817 f.; Hydrocarbostyryl, Carbostyryl und Hydrazinbenzoesäureanhydrid gegen Mineralsäuren 818; Benzoylacetone aus Benzoylacetessigäther 983 f.; o-Mononitrocinnamylacetessigsäure - Aethyläther aus o-Nitrocinnamylchlorid 1221; o-Mononitrocinnamylmethan, o-Mononitrocinnamylacetone 1222; Acetonylchinolin 1222 f.; Methylchinolin aus Acetonylchinolin und aus o-Mononitrocinnamylacetessigsäure - Aethyläther, Cinnamylacetessigsäure-Aethyläther 1223.
- Fischer (E. u. O.), **78**: Triphenylmethan und Rosanilin 478 ff.; Constitution des Aurins 594 f., der Rosolsäure 596.
- 79**: Bittermandelölgrün 1166 f.
- 80**: Orthorosanilin, Rosanilin, Pararosanilin 565.
- 81**: Benzol gegen Chloroform und Aluminiumchlorid 353; Triphenylcarbinol 354.
- Fischer (E.) und Reese (L.), **83**: Caffeinderivate aus Chlorocaffein, Diäthoxyhydroxycaffein, Destillation von Amalinsäure: Desoxyamalinsäure 1336; Bromguanin, Bromxanthin aus Bromguanin 1337.
- Fischer (E.) und Renouf (E.), **82**: o- und p-Hydrazinbenzoesäure und Derivate 607 f.
- Fischer (E.) und Schlieper (A.), **86**: Methylphenylhydrazin 1074 f.
- Fischer (E.) und Tafel (J.), **85**: o-Hydrazine der Zimmtsäure 1093 bis 1105: Indazol, Aethylchinazol (Aethylmethylisindazol), Indazol-essigsäure, Monomethylindazol, Diazoacetophenonsulfos. Natrium, Hydrazinacetophenonsulfosaures Natrium 1093; Methylindazolsulfos. Natrium, Constitution des Aethylmethylisindazols, o-Nitrosoäthylamidozimmtsäure, Aethylisindazolessigsäure, o-Nitrosoäthylisindazolessigsäure, Monobromäthylisindazol, o-Hydrazin-zimmtsäure 1094; Salze des Indazols, Nitrosoindazol, Monobromindazol, Dibromindazol 1095; Nomenclatur der Indazolderivate, Iz-2-Aethylindazol 1096; Iz-3-Methylindazol, methylindazolsulfos. Natrium 1097; Salze

des Iz-3-Methylindazols, Nitroso-Iz-3-methylindazol 1098; Iz-2-Aethyl-Iz-3-Methylindazol, Iz-2, 3-Dimethylindazol, Indazolessigsäure 1099 f.; o-Hydrazinzimmtsäure, diazozimmtsulfos. Natrium, indazolessigs. Kupfer 1100; Indazolessigsäurechlorid, Nitroso-indazolessigsäure, Monobromindazol-lessigsäure 1101; Monobromindazol-carbonsäure, Dibromindazol, Aethylisindazolessigsäure (Aethylchinazol-carbonsäure) 1102; Iz-1-Aethyl-Iz-3-Methylisindazol (Aethylchinazol), o-Monoäthylamidoacetophenon, o-Nitrosomonoäthylamidoacetophenon, Iz-1, 3-Dimethylisindazol 1103; Monobromäthylisindazolessigsäure (Monobromäthylchinazolcarbonsäure), Oxydation derselben durch Chromsäure zu einem Aldehyd  $C_{10}H_7N_2OBr$ , Monobromäthylisindazolcarbonsäure 1104; monobromäthylisindazolcarbonsaures Natrium, Monobromäthylisindazol 1105.

Fischer (E.) und Troschke (H.), **79**: Aethylhydrazinderivate 457 f.

**80**: Lophin 713 f.

Fischer (Eugen), **80**: Phenole gegen Disulfosäuren 615.

Fischer (F.), **77**: Thermometer und Pyrometer 92; Eisbereitung 1105; Trinkwasser 1131; Brunnenwasser von Lauterberg 1133; Reinigung von Kesselwasser 1135; Trockenapparat für Bleiweiß 1156; pyrometrische Methoden 1210; Rauchgase eines Potascheofens 1211.

**78**: Pyrometer, Aufführung 67.

**79**: Bestimmung der Verbrennungswärme 90; Untersuchung der atmosphärischen Luft 1037; Bestimmung des Sauerstoffs 1087; Gase beim Leblanc'schen Sodaproceß 1109; Heizversuche, Rauchgasanalysen 1144.

**80**: trockene Destillation des Holzes 1064; Analysen von Industriegasen 1249; Zink 1284 f.

**83**: Untersuchung der Canalgase von Hannover 1724 bis 1726; Reinigung von Kesselspeisewasser 1749; Einfluß der künstlichen Beleuchtung auf die Luft geschlossener Räume 1751; Leuchtgasheizung 1753.

**84**: Verwendung der Elektrizität in der chemischen Industrie, Abscheidung der Metalle auf elektrolytischem Wege 1696; Verbrennungswärme der Steinkohlen 1816.

**85**: elektrolytische Gewinnung von Metallen und Chlor 2012; Darstellung von Glasuren und Glasflüssen (Zellen- und Grubenschmelz) 2111; Untersuchung der Gase aus Generatoren 2164; Untersuchung der Röstgase beim Rösten von Feinkies und der Röstgase eines Stückiesofens 2164 f.; Zusammensetzung von Gloverthurngasen, Apparat zur Bestimmung des Brennwerthes der Kohlen 2165.

**86**: Calorimeter 184; siehe Erlensmeyer (E.); siehe Müller (A.).

Fischer (Ferd.), **83**: sogenannte flammenlose Verbrennung 152 f.; die Rauchgase einer Dampfkesselfeuerung, Beurtheilung einer Feuerung durch die Rauchgasanalyse 1750; Methode der Untersuchung von Leuchtgas 1752 f.; Betrieb von Gaskraftmaschinen durch Generatorgase 1753.

Fischer (G.), **79**: Orthoamidphenol gegen Oxydationsmittel 515.

Fischer (H.), **79**: Fixirung der Farben-  
nünancen 1179; Kawakawa, Nephrit 1228.

**80**: Schalenblende 1405; Berthierit 1406; Chromeisen 1413; Beauxit 1414; Aluminit 1424; Arseniosiderit 1431; Monazit, Kryptolith, Kakoxen 1432; Svanbergit 1437; Fayalit 1441; Sodolith, Lasurstein 1446; Stilpnomelan 1454; schlackiger Augit 1457; Nephrit, Jadeit, Chloromelanit 1465 f.; Karpholith, Anthosiderit und Klipsteinit 1474; Bowlingit, Isopyr 1476.

**81**: resorcini- und -monosulfos. Salze 874 f.; monojodresorcindisulfos. Salze 876; archäologische Steinobjekte 1343; Nephrit 1394.

**83**: Neuerungen in der Gespinnstfabrikation 1777; Natronthonerdeaugit aus Birma 1890; mikroskopische Untersuchung von Nephriten 1892.

**84**: Untersuchung von Nephritbeilen 1967 f.

Fischer (H.) und Rüst (D.), **83**: mikroskopisches und optisches Verhalten der fossilen Kohlenwasserstoffe, Kohlen und Harze, Arsengehalt einer Ruhrkohle 1906.

Fischer (J.), **78**: Mittel zur Verhütung von Kesselstein 1116.

Fischer (Max), **81**: Verwandtschaft 28.

**82**: Verwandtschaft 8.

Fischer (O.), **77**: Monobenzoyldimethylanilin, Dimethylanilinpht-

und Derivate 470; Monobromdimethylphthalateinchlorhydrat 471; Base  $C_{23}H_{26}N_2$ , Dimethylanilinsalicyl 472; Säureamide gegen salpetrige Säure 655; (Bildung von Nitrosoacetparatoluid, Nitrosoformanilid, Nitrosooxanilid) 666.

**78:** über die Basen  $C_{23}H_{26}N_2$ , Condensation tertiärer aromatischer Basen 453 f.; Einwirkung von Säurechloriden auf tertiäre aromatische Basen 454.

**80:** Condensationsproducte tertiärer Amine 526; Diamidotriphenylmethan 560 f.

**81:** Condensationsproducte aromatischer Amine 448 bis 454: Phtalgrün 449; Bittermandelölgrün 451; Dimethylanilin gegen Aldehyde 452; p-Nitrobittermandelölgrün 453.

**82:** Condensation von Aldehyden mit primären aromatischen Basen 555 bis 558: Diamidotriphenylmethan 556; Diortholeukanilin 557; Rosanilin 558; Condensation des o-Nitrobenzaldehyds mit Dimethylanilin: Tetramethyltriamidotriphenylmethan 559 f.; Nicotinsäure, (Pyridinsulfosäure, Cyanpyridin) aus Pyridin 1086 f.; Cyanpyridin 1087; Farbstoffe aus p-Nitrobenzaldehyd und aromatischen Basen, Di- u. Triphenylpararosanilin 1498; p-Nitrodiamidotriphenylmethan 1498 f.; Rosanilin 1499.

**83:** Methylacridin 683;  $\alpha$ -Oxychinolinderivate:  $\alpha$ -Oxyhydromethylchinolin 1316; chlorwasserstoffsaures  $\alpha$ -Oxyhydromethylchinolin (Kairin) 1316 f.;  $\alpha$ -Oxyhydroäthylchinolin, chlorwasserstoffsaures  $\alpha$ -Oxyhydroäthylchinolin (Kairin A),  $\alpha$ -Aethoxychinolin,  $\alpha$ -Aethoxyhydrochinolin,  $\alpha$ -Aethoxyhydromethylchinolin, Kairocoll 1317;  $\alpha$ -Oxychinolin aus Theerchinolin 1318; grünblaue Farbstoffe aus Trichlorbenzaldehyd und Dialkylanilinen 1799 f.; Leukobase aus Dimethylanilin 1800.

**84:** Darstellung von Tetraäthyl-diamidotriphenylmethan 759; Bezeichnung der im Benzolkern substituierten Chinolinabkömmlinge 776; Darstellung wasserlöslicher blaugrüner Farbstoffe aus Trichlorbenzaldehyd 1862 f.; Analyse von Rohnephrit 1968, 1971 f.

**85:** Eigenschaften des Flavanilins 1013 f.: Acetflavanilid, Flavenol, Flavochinolin 1013; Nitrirung des

Flavolins, Mononitroflavin, Constitution des Flavolins, Flavanilins und Flavenols 1014.

**86:** Reduction von Hydrobenzamid: Benzylidendibenzylimid und Benzylamin 882; Reduction von Flavanilin mit Natrium und Alkohol 959; siehe Bedall (K.); siehe Besthorn (E).

Fischer (O.) und Fränkel (A.), **86:** Synthese und Salze von Diphenylchinolymethan 959 f.

Fischer (O.), Gerichten (E. v.) und Hegel (S.), **86:** Dioxyphenanthren-derivate aus Morphin und Codein 1711 ff.

Fischer (O.) und Germann (L.), **83:** Skatol durch Erhitzen von Anilin und Chlorzink mit Glycerin 826 f.; die Leukobase des Methylviolett, Acetyltetramethylpararosanilin gegen Salzsäure 1803.

Fischer (O.) und Greiff (P.), **80:** Paraleukanilin, Synthese aus p-Nitrobenzaldehyd 562 f.

Fischer (O.) und Hepp (E.), **86:** Einwirkung von Diazoverbindungen auf Pyrrol, Aethyl-, Phenyl-,  $\alpha$ -Dimethylpyrrol und  $\alpha$ -Pyrrolcarbonsäure (normale Azofarbstoffe und Diazokörper) 731 bis 736: Pyrrolazobenzol 731 f.; Pyrroldisazodibenzol, Methylpyrroldisazodibenzol 732; Pyrrolazo-p-toluol 732 f.; Pyrroldisazodi-p-toluol, Aethylpyrroldisazodi-p-toluol, Pyrrolazo- $\alpha$ -naphtalin, Pyrroldisazodi- $\alpha$ -naphtalin 733; Pyrrolazo- $\beta$ -naphtalin 733 f.; Pyrroldisazodi- $\beta$ -naphtalin, Pyrroldisazobenzol- $\beta$ -naphtalin (Pyrroldisazo- $\beta$ -naphtalinbenzol), Phenylpyrrolazobenzol 734; Pyrrolazo-p-dimethylamidobenzol 734 f.; Aethylpyrrolazo-p-toluol, Aethylpyrroldisazodi-p-toluol 735; Aethylpyrrolazo- $\beta$ -naphtalin 735 f.; Einwirkung von Diazobenzolchlorid auf  $\alpha$ -Carbopyrrolsäure und  $\alpha$ - $\alpha$ -Dimethylpyrrol 736; Untersuchung aromatischer Nitrosoamine: p-Nitrosomethylanilin 781 f.; p-Nitrosomethylphenylnitrosoamin, p-Nitromethylphenylnitrosoamin 782; p-Nitrosoäthylanilin 782 f.; p-Nitrosoäthyl-o-toluidin, p-Nitrosodiphenylamin, Nitrosophenylhydrazin, Nitrosobenzylanilin 783.

Fischer (O.) und Körner (G.), **83:** das Methylviolett des Handels, grüner Farbstoff aus Methylviolett 1803 f.;

Acethylpentamethylparaleukanilin, Pentamethylparaleukanilin, violetter Farbstoff aus Pentamethylparaleukanilin, Jodmethylat des Pentamethylparaleukanilins 1804.

**84:** Einwirkung von Chloroform auf Diphenylamin, Darstellung von Acridin 676; Chrysanilin (Phosphin) der Fuchsinerschmelze 766 ff.; Auffassung des Chrysanilins als Diamidophenylacridin, Chrysophenol 766; Phenylacridin des Chrysanilin 767; Umwandlung aus o-Di-p-triamidotriphenylmethans in Chrysanilin 768; Synthese des Hexamethylparaleukanilins 771 f.; Darstellung von m-Chinolinbenzencarbonsäure 1268 f.; Tetrahydrochinolin-m-carbonsäure, Methyltetrahydrochinolin-m-carbonsäure 1269.

Fischer (O.) und Kohn (C. A.) **86:** Derivate des B 1-Oxychinolins 913 bis 918: Oxyhydromethylchinolinjodmethylat, Methoxyhydromethylchinolin und Salze 914 f.; Methoxyhydromethylchinolinjodmethylat, Methoxyhydromethylchinoliniumhydroxyd 915; Oxyhydroäthylchinolinjodäthylat, Aethoxyhydroäthylchinolin (Aethylkairin), Aethoxyhydroäthylchinoliniumhydroxyd, Oxyhydromethylchinolinbenzylchlorid, Benzylxyhydromethylchinolin, Acetoxyhydroäthylchinolin 916 f.; Benzoylkairin, Oxyhydroäthylchinolin 917 f.; Dinätroäthoxyhydroäthylchinolin 918.

Fischer (O.) und Loo (H. van), **84:**  $\beta$ -Dichinolylin 1380 f.; ana-Chinolin-carbonsäure 1381.

**86:** Derivate des  $\beta$ -Dichinolylins 971 bis 974:  $\beta$ -Dichinolylinjodäthylat, Verhalten des  $\beta$ -Dichinolylins gegen Brom, gegen Schwefelsäure:  $\beta$ -Dichinolyldisulfosäure 972; Oxydation mit Chromsäure: ana-Chinolinmonocarbonsäure 972 f.; Pyridylchinolin monocarbonsäure 973 f.

Fischer (O.) und Ostermaier (H.), **81:** p-Mononitrobenzaldehyd 453.

Fischer (O.) und Renouf (E.), **84:** Darstellung der Pyridinmonosulfosäure aus Pyridin, Darstellung von  $\beta$ -Oxypyridin 631 ff.; Umwandlung in Aethoxypyridin, Acetoxypyridin 633; Chinolinderivate 776 bis 779: Chinolinsäure,  $\alpha$ -Oxyhydroäthylchinolin 776; ( $\alpha$ )-o-Aethoxychinolin 777; Aethoxyhydroäthylchinolin (Aethyl-

kairin) 778; Untersuchung von Chinolin- und Pyridinderivaten 1368 ff.: o-Oxyhydroäthylchinolin 1368; Kairin, Aethoxychinolin, Aethoxyhydroäthylchinolin, Monobromäthoxyhydrochinolin 1369; Aethylkairinmonobromid,  $\beta$ -Oxypyridin 1370; Darstellung von o-Oxychinolinderivaten 1376 f.: Amido-o-oxychinolin 1376; Chinolinochinon, Dioxychinolin 1377.

Fischer (O.) und Riemerschmid, **82:** o- und m-Chinolinmonosulfosäure, o- und m-Oxychinolin, m-Cyanchinolin 1081 f.

Fischer (O.) und Riemerschmid (C.), **83:** Pyridinmonosulfosäure 1239 f., Salze derselben,  $\beta$ -Pyridindibromid 1240.

Fischer (O.) und Roser (L.), **80:** Monoamidotriphenylmethan 559 f.

Fischer (O.) und Rudolf (Ch.), **82:** Flavanilin, Flavenol, Flavolin aus Acetanilid 1491 ff.

Fischer (O.) und Schmidt (C.), **84:** Condensation von o-Nitrobenzaldehyd, von Vanillin mit Dimethyl- resp. Diäthylanilin 756 bis 759: o-Mononitrotetramethyldiamidotriphenylmethan 756 f.; o-Nitromalachitgrünfarbbase, o-Amidotetramethyldiamidotriphenylmethan 757; o-Amidomalachitgrün, o-Mononitrotetraäthyldiamidotriphenylmethan, o-Amidotetraäthyldiamidotriphenylmethan 758.

Fischer (O.) und Täuber (E.), **84:** Untersuchung über Flavanilin, Oxydation von Flavenol 764 ff.: Picolintricarbonsäure 764; Pyridintetracarbonsäure 765.

**85:** Untersuchung des Harmins und Harmalins, der Alkaloide von Peganum harmala 1727 bis 1729: Harminmethyljodid, Methylharminalmoniumhydrat, Harmol, Harmolchlorid, Harminsäure, Base  $C_8H_8N_2$  1728; Harmalinmethyljodid, Harmalol, Harmalinsulfosäure 1729.

Fischer (O.) und Willmack (C. A.), **84:** Darstellung von p-Chinolinmonosulfosäure aus Sulfanilsäure, p-Cyanchinolin 1389;  $\gamma$ -Methyl- $\alpha$ -chinolinmonosulfosäure,  $\alpha$ -Oxy- $\gamma$ -methylchinolin und Derivate 1340.

Fischer (O.) und Ziegler (J.), **80:** Triamidotriphenylmethan (Pseudo-leukanilin) 563 f.

Fischer (O. W.), **84:** Untersuchung der Zinnverbindungen aus Aethyl-

und Derivate 470; Monobromdimethylphthalenchlorhydrat 471; Base  $C_{22}H_{26}N_2$ , Dimethylanilinsalicyl 472; Säureamide gegen salpetrige Säure 655; (Bildung von Nitrosoacetparaloid, Nitrosoformanilid, Nitrosooxanilid) 666.

**78:** über die Basen  $C_{22}H_{26}N_2$ , Condensation tertiärer aromatischer Basen 433 f.; Einwirkung von Säurechloriden auf tertiäre aromatische Basen 434.

**80:** Condensationsproducte tertiärer Amine 526; Diamidotriphenylmethan 560 f.

**81:** Condensationsproducte aromatischer Amine 448 bis 454; Phtalgrün 449; Bittermandelölgrün 451; Dimethylanilin gegen Aldehyde 452; p-Nitrobittermandelölgrün 453.

**82:** Condensation von Aldehyden mit primären aromatischen Basen 555 bis 558; Diamidotriphenylmethan 556; Diortholeukanilin 557; Rosanilin 558; Condensation des o-Nitrobenzaldehyds mit Dimethylanilin; Tetramethyltriamidotriphenylmethan 559 f.; Nicotinsäure, (Pyridinsulfosäure, Cyanpyridin) aus Pyridin 1086 f.; Cyanpyridin 1087; Farbstoffe aus p-Nitrobenzaldehyd und aromatischen Basen, Di- u. Triphenylpararosanilin 1498; p-Nitrodiamidotriphenylmethan 1498 f.; Rosanilin 1499.

**83:** Methylacridin 683;  $\alpha$ -Oxychinolinderivate:  $\alpha$ -Oxyhydromethylchinolin 1316; chlorwasserstoffsäures  $\alpha$ -Oxyhydromethylchinolin (Kairin) 1316 f.;  $\alpha$ -Oxyhydroäthylchinolin, chlorwasserstoffsäures  $\alpha$ -Oxyhydroäthylchinolin (Kairin A),  $\alpha$ -Aethoxychinolin,  $\alpha$ -Aethoxyhydrochinolin,  $\alpha$ -Aethoxyhydromethylchinolin, Kairocoll 1317;  $\alpha$ -Oxychinolin aus Theerchinolin 1318; grünblaue Farbstoffe aus Trichlorbenzaldehyd und Dialkanilinen 1799 f.; Leukobase aus Dimethylanilin 1800.

**84:** Darstellung von Tetraäthyl-diamidotriphenylmethan 759; Bezeichnung der im Benzolkern substituierten Chinolinabkömmlinge 776; Darstellung wasserlöslicher blaugrüner Farbstoffe aus Trichlorbenzaldehyd 1862 f.; Analyse von Rohnephrit 1968, 1971 f.

**85:** Eigenschaften des Flavanilins 1013 f.: Acetflavanilid, Flavenol, Flavochinolin 1013; Nitrirung des

Flavolins, Mononitroflavolin, Coastitution des Flavolins, Flavanilins und Flavenols 1014.

**86:** Reduction von Hydrobenzamid: Benzylidendibenzylimid und Benzylamin 882; Reduction von Flavanilin mit Natrium und Alkohol 959; siehe Bedall (K.); siehe Besthorn (E).

Fischer (O.) und Fränkel (A.), **86:** Synthese und Salze von Diphenylchinolylmethan 959 f.

Fischer (O.), Gerichten (E. v.) und Hegel (S.), **86:** Dioxypheanthren-derivate aus Morphin und Codein 1711 ff.

Fischer (O.) und Germann (L.), **83:** Skatol durch Erhitzen von Anilin und Chlorzink mit Glycerin 826 f.; die Leukobase des Methylviolett, Acetyl-tetramethylpararosanilin gegen Salzsäure 1803.

Fischer (O.) und Greiff (P.), **80:** Paraleukanilin, Synthese aus p-Nitrobenzaldehyd 562 f.

Fischer (O.) und Hepp (E.), **86:** Einwirkung von Diazoverbindungen auf Pyrrol, Aethyl-, Phenyl-,  $\alpha$ -Dimethylpyrrol und  $\alpha$ -Pyrrolcarbonsäure (normale Azofarbstoffe und Diazokörper) 731 bis 736; Pyrrolazobenzol 731 f.; Pyrroldisazodibenzol, Methylpyrroldisazodibenzol 732; Pyrrolazo-p-toluol 732 f.; Pyrroldisazodi-p-toluol, Aethylpyrroldisazodi-p-toluol, Pyrrolazo- $\alpha$ -naphtalin, Pyrroldisazodi- $\alpha$ -naphtalin 733; Pyrrolazo- $\beta$ -naphtalin 733 f.; Pyrroldisazodi- $\beta$ -naphtalin, Pyrroldisazobenzol- $\beta$ -naphtalin (Pyrroldisazo- $\beta$ -naphtalinbenzol), Phenylpyrrolazobenzol 734; Pyrrolazo-p-dimethylamidobenzol 734 f.; Aethylpyrrolazo-p-toluol, Aethylpyrroldisazodi-p-toluol 735; Aethylpyrrolazo- $\beta$ -naphtalin 735 f.; Einwirkung von Diazobenzolchlorid auf  $\alpha$ -Carbopyrrolsäure und  $\alpha$ - $\alpha$ -Dimethylpyrrol 736; Untersuchung aromatischer Nitrosamine: p-Nitrosomethylanilin 781 f.; p-Nitrosomethylphenylnitrosoamin, p-Nitromethylphenylnitrosoamin 782; p-Nitrosoäthylanilin 782 f.; p-Nitrosoäthyl-o-toluidin, p-Nitrosodiphenylamin, Nitrosophenyldiazin, Nitrosobenzylanilin 783.

Fischer (O.) und Körner (G.), **83:** das Methylviolett des Handels, grüner Farbstoff aus Methylviolett 1803 f.;

Acethylpentamethylparaleukanilin, Pentamethylparaleukanilin, violetter Farbstoff aus Pentamethylparaleukanilin, Jodmethylat des Pentamethylparaleukanilins 1804.

**84:** Einwirkung von Chloroform auf Diphenylamin, Darstellung von Acridin 676; Chrysanilin (Phosphin) der Fuchainschmelze 766 ff.; Auffassung des Chrysanilins als Diamidophenylacridin, Chrysophenol 766; Phenylacridin des Chrysanilin 767; Umwandlung aus o-Di-p-triamidotriphenylmethans in Chrysanilin 768; Synthese des Hexamethylparaleukanilins 771 ff.; Darstellung von m-Chinolinbenzcarbonsäure 1268 ff.; Tetrahydrochinolin-m-carbonsäure, Methyltetrahydrochinolin-m-carbonsäure 1269.

Fischer (O.) und Kohn (C. A.) **86:** Derivate des B 1-Oxychinolins 913 bis 918: Oxyhydromethylchinolinjodmethylat, Methoxyhydromethylchinolin und Salze 914 ff.; Methoxyhydromethylchinolinjodmethylat, Methoxyhydrodimethylchinoliniumhydroxyd 915; Oxyhydroäthylchinolinjodäthylat, Aethoxyhydroäthylchinolin (Aethylkairin), Aethoxyhydrodiäthylchinoliniumhydroxyd, Oxyhydromethylchinolinbenzylchlorid, Benzyl oxyhydromethylchinolin, Acetoxyhydroäthylchinolin 916 ff.; Benzoylkairin, Oxyhydroäthylchinolin 917 ff.; Dinistroäthoxyhydroäthylchinolin 918.

Fischer (O.) und Loo (H. van), **84:**  $\beta$ -Dichinolylin 1380 ff.; ana-Chinolin-carbonsäure 1381.

**86:** Derivate des  $\beta$ -Dichinolyilins 971 bis 974:  $\beta$ -Dichinolylinjodäthylat, Verhalten des  $\beta$ -Dichinolyilins gegen Brom, gegen Schwefelsäure:  $\beta$ -Dichinolylindisulfosäure 972; Oxydation mit Chromsäure: ana-Chinolinmonocarbonsäure 972 ff.; Pyridylchinolin monocarbonsäure 973 f.

Fischer (O.) und Ostermaier (H.), **81:** p-Mononitrobenzaldehyd 453.

Fischer (O.) und Benouf (E.), **84:** Darstellung der Pyridinmonosulfosäure aus Pyridin, Darstellung von  $\beta$ -Oxyppridin 631 ff.; Umwandlung in Aethoxyppridin, Acetoxyppridin 633; Chinolinderivate 776 bis 779: Chinolinsäure,  $\alpha$ -Oxyhydroäthylchinolin 776; ( $\alpha$ -)o-Aethoxychinolin 777; Aethoxyhydroäthylchinolin (Aethyl-

kairin) 778; Untersuchung von Chinolin- und Pyridinderivaten 1368 ff.: o-Oxyhydroäthylchinolin 1368; Kairin, Aethoxychinolin, Aethoxyhydroäthylchinolin, Monobromäthoxyhydrochinolin 1369; Aethylkairinmonobromid,  $\beta$ -Oxyppridin 1370; Darstellung von o-Oxychinolinderivaten 1376 ff.: Amido-o-oxychinolin 1376; Chinolinochinon, Dioxychinolin 1377. Fischer (O.) und Riemerschmid, **82:** o- und m-Chinolinmonosulfosäure, o- und m-Oxychinolin, m-Cyanchinolin 1081 f.

Fischer (O.) und Riemerschmid (C.), **83:** Pyridinmonosulfosäure 1239 ff., Salze derselben,  $\beta$ -Pyridindibromid 1240.

Fischer (O.) und Roser (L.), **80:** Monoamidotriphenylmethan 559 f.

Fischer (O.) und Rudolf (Ch.), **82:** Flavanilin, Flavenol, Flavolin aus Acetanilid 1491 ff.

Fischer (O.) und Schmidt (C.), **84:** Condensation von o-Nitrobenzaldehyd, von Vanillin mit Dimethyl- resp. Diäthylanilin 756 bis 759: o-Mononitrotetramethyldiamidotriphenylmethan 756 ff.; o-Nitromalachitgrünfarbbase, o-Amidotetramethyldiamidotriphenylmethan 757; o-Amidomalachitgrün, o-Mononitrotetraäthylamidotriphenylmethan, o-Amidotetraäthylamidotriphenylmethan 758.

Fischer (O.) und Täuber (E.), **84:** Untersuchung über Flavanilin, Oxydation von Flavenol 764 ff.; Picolintricarbonsäure 764; Pyridintetracarbonsäure 765.

**85:** Untersuchung des Harmins und Harmalins, der Alkaloide von Peganum harmala 1727 bis 1729: Harminmethyljodid, Methylharminammoniumhydrat, Harmol, Harmolchlorid, Harmalinsäure, Base  $C_8H_9N$ , 1728; Harmalinmethyljodid, Harmalol, Harmalinsulfosäure 1729.

Fischer (O.) und Willmack (C. A.).

**84:** Darstellung von p-Chinolinmonosulfosäure aus Sulfanilsäure, p-Cyanchinolin 1389;  $\gamma$ -Methyl- $\alpha$ -chinolinmonosulfosäure,  $\alpha$ -Oxy- $\gamma$ -methylchinolin und Derivate 1340.

Fischer (O.) und Ziegler (J.), **80:** Triamidotriphenylmethan (Pseudo-leukanilin) 563 f.

Fischer (O. W.), **84:** Untersuchung der Zinnverbindungen aus Aethyl-

alkohol 1350f.; Darstellung von  $\alpha$ -Dichinolin 1379.

**85:** Darstellung von Diphenylin aus Azobenzol 917; Untersuchung des Dichinolyls (Dichinolylin) aus Diamidodiphenyl (Diphenylin) 1021 bis 1024; Darstellung des Dichinolyls 1022; Salze desselben, Monojodmethyldichinolyl, Bromadditions- und -substitutionsproduct des Dichinolyls 1023; Dichinolyldisulfosäure 1024; siehe Skraup (Zd. H.).

Fischer (W.), **81:** Oligoklas 1403.

**85:** Tension der über flüssiger und der über fester Substanz (Wasser und Benzol) gesättigten Dämpfe 91 ff.; Verdampfungs- und Schmelzwärme von Eis, von Benzol 92 f.

Fischer (W. W.), **78:** über Manganchloride 277.

**79:** Bleitetrachlorid 279f.

Fischli (H.), **78:** Constitution des Brenzcatechins 553.

**79:** Paratoluylsäure und Terephthalsäure 685 f.; Bromterephthalsäure 686. Fitschenko (Tischtschenko), **84:** Einwirkung von Halogenwasserstoff auf Oxymethylen 1026.

Fittbogen, **78:** Wasserverdunstung und Assimilationsthätigkeit der Pflanzen 940.

Fittica (F.), **77:** vierte Nitrobenzoesäure 369; Nitrobenzaldehyd, der vierten Nitrobenzoesäure entsprechend 612; isomere (vierte) Nitrobenzoesäuren, Amidobenzoënitrobenzoesäuren 737; citronengelbe Nitrobenzoesäuren, Benzoënitrobenzoesäure, aus der vierten Nitrobenzoesäure 738; Nitrozimmtsäuren 739.

**78:** Erklärung der Isomeren in der aromatischen Reihe 382; isomere Nitrobenzoesäuren 752; citronengelbe Nitrobenzoesäuren 757.

**80:** Nitrophenole 623f.

**81:** Studium der Chemie in den vereinigten Staaten 2; viertes und fünftes Mononitrophenol 540.

**83:** Darstellung des vierten Monobromphenols 898 f.; Verhalten desselben gegen Salpetersäure 899 f., gegen Kali 900.

**84:** viertes Monobromphenol 966.

**85:** Darstellung eines vierten Monobromphenols 1234.

**86:** Darstellung und Untersuchung eines zweiten Monobrombenzols

und des vierten Monobromphenols 630 f.

Fittig (R.), **77:** Diphenylmethan = Fluoren 383; Pyren 390; ungesättigte Säuren (Maleinsäure, Fumarsäure, Itacon-, Citra- und Mesaconsäure) 658; Itadibrombrenzweinsäure, Aconsäure, Methacrylsäure 659; Crotonsäure Methacrylsäure, Fumarsäure, Maleinsäure 711; Säuren aus Römisch-Camillenöl: Isobuttersäure, Methacrylsäure, Angelicasäure, Tiglinsäure 715; Xeronsäure 727.

**78:** Formel der Harnsäure 360f.

**79:** Bildung ungesättigter Kohlenwasserstoffe 593; Säuren aus Römisch-Camillenöl 638 f.; ungesättigte Säuren, Aethylcrotonsäure 657 f.

**80:** Lactone 759f.

**81:** ungesättigte Säuren 735 bis 743; Synthesen nach Perkin 837;  $\alpha$ - und  $\beta$ -Isatropasäure 850 f.; Atronsäure, Atronol, Isatronsäure 852; Atronylensulfosäure, Atronsulfon 853.

**82:** ungesättigte Säuren, Lactonbildung 795.

**83:** Delta-Lactone und Lactone gegen Wasser 996; Bildung und Verhalten des Lactone 1028; Perkin'sche Synthesen 1116.

**84:** Verhalten von Capro- und Valerolacton gegen Natriumalkoholat 1059 f.

**85:** Verlauf der Perkin'schen Reaction 1322; Condensation von Acetessigäther mit zweibasischen Säuren (Bernstein- und Brenzweinsäure) 1352 f.: Aethyläther  $C_{10}H_{16}O_3$ , Säure (isomere Carboxyprotritisäure)  $C_8H_8O_3$ , 1352; Säure  $C_8H_{10}O_3$ , 1353; Constitution der Vinaconsäure als Vinylmalonsäure und der Säure  $C_8H_8O_3$  als Vinyllessigsäure 1394; siehe Bredt (J.); siehe Hillebrand (W.F.); siehe Rühlmann (M.).

Fittig (R.) und Binder (F.), **79:** Additionsproducte der Zimmtsäure 712 f.

Fittig (R.) und Büchner (E.), **77:** Parabromanilin 460; Chlorbromanilin, Bromnitrobenzol 461.

Fittig (R.) und Ebert (G.), **82:** Cumarindibromid gegen Kali: Cumarilsäure, Hydrocumarilsäure 953 f., Cumarilsäure gegen Kalk: Cumaron 954.

Fittig (R.) und Erdmann (E.), **79:** Polymerisirung der Zimmtsäure 711 f.



- Fittig (R.) und Erdmann (H.), **83**: Synthese des  $\alpha$ -Naphtols 940 f.
- 85**: Verhalten der Phenylparaconsäure bei der langsamen Destillation (Synthese des Naphtols) 1278 f.
- Fittig (R.) und Eynern (v.), **85**: Untersuchung der Methronsäure und Carbopyrotritisäure, Darstellung der Säure  $C_8H_{10}O_5$  1353.
- Fittig (R.) und Gebhard (F.), **77**: Fluoranthren (Idryl), Diphenylketoncarbonsäure 390.
- 78**: über Verbindungen des Fluoranthrens 399 f.
- Fittig (R.) und Hillebrand (W. F.), **78**: Chinasäure 775.
- Fittig (R.) und Hjelt (E.), **81**: normales Caprolacton 739.
- Fittig (H.) und Jayne (H. W.), **82**: Benzaldehyd gegen Isobuttersäureanhydrid: Phenylloxypivalinsäure 967 f.; Butenylbenzol 968.
- Fittig (R.) und Köbig (J.), **79**: Römisch-Camillenöl 945.
- Fittig (R.) und Krafft (O.), **81**: Terpenylsäure und Derivate 740.
- Fittig (R.) und Landolt (A.), **77**: Ita-, Citra- und Mesaconsäure, Citra- und Mesadibrombrenzweinsäure 717.
- Fittig (R.) und Liepmann (H.), **79**: Derivate des Fluorens 377 f.; Fluoranthren 380; Oxydation der Isodiphenylsäure 727.
- Fittig (R.) und Marburg (R.), **85**: Darstellung eines Dibromids der Vinaconsäure 1394.
- Fittig (R.) und Pagenstecher, **79**: Isotropasäure 717 f.
- Fittig (R.) und Röder (F.), **83**: Vinylmalonsäure 1093 f.; Monobromäthylmalonsäure, Butyrolactoncarbonsäure, isomere Crotonsäure aus Vinylmalonsäure 1094.
- Fittig (R.), und Schmitz (A.), **78**: Untersuchung des Diphenylmethans 395 f.; Phenanthrenchinon und Diphenylketon 637.
- Fittig (R.) und Schneegans, **83**: die Natriumsalze der Fettsäuren gegen Valeraldehyd und Oenanthol 1117.
- Fittig (R.) und Slocum (F. L.), **83**: Synthese nach Perkin: Phenylangelicasäure 1116 f.
- Fittig (R.) und Stuart (Ch.), **83**: Synthesen nach Perkin: Zimmtsäure, Phenylcrotonsäure 1116.
- Fittig (R.) und Wurster (C.), **79**: Atropa- und Isotropasäure 714 f.
- Fitz (A.), **77**: Schizomycetengährung 1019; Glyceringährung 1021.
- 78**: Buttersäure aus Stärke 703; Schizomycetengährung 1017 f.
- 79**: Spaltpilzgährung 1012 f.
- 80**: Gährung des Glycerins 605 f. Doppelsalze der Fettsäuren 762 f.; Spaltpilzgährungen 1181.
- 81**: Normalvaleriansäure 721.
- 82**: Reincultur von Spaltpilzen, Gährung mit *Bacillus butylicus* 1249 f.
- 83**: Vergährung von Zucker, Milchzucker, Mannit, Dulcit und glycerinsaurem Calcium durch einen Spaltpilz 1506.
- 84**: Spaltpilzgährungen 1518 f.; Sterilisiren von Flüssigkeiten im Dampfkessel 1537.
- Fitz (A.) und Sansoni (F.), **81**: Doppelsalze niederer Fettsäuren 660 f.
- Fitzgerald (G. F.), **79**: Dampfspannung 65.
- 81**: Eigenschaften der Materie im Gaszustande 64.
- 85**: Drehung der Polarisations-ebene des Lichtes 345.
- Fizeau, **77**: Gesetze von Dulong und Petit 146.
- 78**: Bestimmung der Wellenlänge der unsichtbaren Wärmestrahlen des Sonnenspectrums jenseits des Rothas 79.
- Flack und Guillem, **77**: Entsilberung des Bleies 1122.
- Flavard, siehe Lépine (R.).
- Flawitzky (F.), **77**: Isopropyläthylen 533; Valeral und Methylisopropylketon aus Isopropyläthylglycol; Methylisopropylketon aus Trimethyläthylglycol 534; Valeral, Methylisopropylketon 626.
- 78**: Darstellung von isomerem Amyljodid und Isopropyläthylen 376; Abscheidung eines Terpens aus russischem Terpentinöl, Formel der rechtsdrehenden Camphene, des Terebenthens, des Australens und der inactiven Terpene 389; Verhalten des Propylenglycols beim Erhitzen mit Wasser 409; Verhalten der Glycole gegen verdünnte Schwefelsäure 522; Propylenglycol 524; Oxydation von Amylenglycol und Amylen 526; Formel des Camphers 639.
- 79**: Terpinol 567 f.; Isoterpen 573 f.; Terpenhydrat 574.
- 80**: Terpen und Derivate 449 f.

- 81:** Terpen (links- und rechtsdrehendes) aus Citronenöl 357.
- 82:** Werthigkeit und Molekularrefraction der Terpene 173; Verhältnisse der RotationsgröÙe der Polarisationssebene 194.
- 83:** chemische Wechselwirkung der elementaren Atome 32.
- Flawitzky (F.) und Kriloff (P.), **77:** Valerylen 366; Isopropylacetylen 626.
- 78:** Isopropylacetylen aus Amylenbromür 374; Bildung von Aceton und Milchsäure bei der Oxydation des Valerylens 376.
- Flawitzky (N.), **80:** Gesetz der Aenderung der spezifischen Wärme der Gase und Dämpfe 94 f.
- Flechner (R.), **82:** Extraction von Kupferkiesen 378.
- Flehsig (E.), **83:** Identität von Cellulosezucker mit Dextrose 1363.
- 84:** Futterwerth von Körnern und Stroh von Lupinen 1761.
- 85:** Untersuchung von Lupinen-, Bohnen- und Maissorten 2124; siehe Schulze (B.); siehe Weiske (H.).
- Fleck, **80:** constante Natriumflammen 208.
- Fleck, (H.), **80:** Fuchsin im Fleisch 1230; Durchlässigkeit des Bodens 1321; Anemoskop 1359.
- 81:** Werthbestimmung des Bleisuperoxyds 1193; Luftbad 1236; Wasser des todtten Meeres 1442.
- 82:** der Werth der chemischen Weinanalyse 1332.
- 83:** Nachweis von Arsenik in Verbrauchsgegenständen 1548 f.
- 84:** Nachweis von Salpetersäure in Geweben 1572 f.; Arsengehalt des rohen Schwefels. Ammoniaks 1581.
- 85:** Verkauf und Untersuchung arsenhaltiger Stoffe 1918.
- 86:** analytische Unterscheidung von Pikrinsäure und Dinitrokresol 1964.
- Fleck (R.), **82:** Analyse eines Quellwassers von Gruben bei Meissen 1629.
- Fleckel (O.), **80:** Potasche aus Schwefels 1298.
- Fleischer, **81:** Prüfung der zurückgegangenen Phosphorsäure 1287.
- 82:** Bestimmung der wirksamen Phosphorsäure in Superphosphaten 1430.
- Fleischer (A.) und Hankó (W.), **77:** xanthogens. Salze, trockne Destillation 675.
- Fleischer (A.) und Nemes (G.), **77:** Salpetersäure gegen Carbanilid 348.
- Fleischer (E.), **84:** Wirkung des Chlorcalciums und der concentrirten Schwefelsäure als Trockensubstanz im Exsiccator 1684.
- Fleischer (M.), **83:** chemisch-geologische Studie über das Keldinger Moor 1715; Düngung und Meliorung des Moorbodens 1720.
- 86:** Bestimmung des Feinheitsgrades gemahlener Thomasschlacke 2038 f.
- Fleischer (M.), König (A.) und Kilsing (R.), **83:** Verhalten schwerlöslicher Phosphate im Moorboden und gegen schwache Lösungsmittel 1720.
- Fleischl (E. v.), **85:** Circularpolarisation der Flüssigkeiten 337 f.; Spectropolarimeter zu saccharimetrischen Bestimmungen 338.
- Fleischmann (L.), **79:** Alkohol in ätherischen Oelen und Chloroform 1064 f.
- Fleischmann (W.), **77:** Milch 1183.
- Fleischmann (W.) und Morgen (A.), **83:** Untersuchung der Scherffschen Flachsenmilch 1728 f.
- Fleisner (F.), **80:** Tribenzylphosphinoxid 942 f.; Halogene in Chloraten, Bromaten und Jodaten 1153; siehe Lippmann (E.).
- Fleitmann (Th.), **79:** Walzen und Hämern des Kobalts und Nickels 1097.
- 80:** zinkhaltiges Nickel 1263.
- 82:** Bindung von schwefiger Säure aus Röstgasen 1394 f.
- 85:** Darstellung von Nickellegierungen 2046 f.
- Fleming (H.), **81:** Glycerin aus Seifenlauge 1319.
- Fleming (J. A.), **77:** Inductionsströme in Elektrolyten 164.
- 85:** über das Daniell'sche Element 236 f.
- Fleming-White (J.), siehe Loring-Jackson.
- Flemming (H.), **82:** Gewinnung von Glycerin aus Seifenunterlaugen 1462, 1463 f.
- Flemming Stark (J.), siehe Stark (J. Flemming).
- Flessa (R.), **84:** Untersuchung der Bromderivate des  $\beta$ -Naphthols und der Phalsäure 1231 ff.; Pentabrom- $\beta$ -naphthol, Tetrabrom- $\beta$ -naphthochinon,

- Tribromphtalsäure, Tribromphtalsäureanhydrid 1232; Salze der Tribromphtalsäure 1233.
- Fletcher (F. W.), **78**: Doppeljodid von Wismuthtrijodid mit jodwasserstoffsaurem Chinin 294 f.
- 80**: Bestimmung kleiner Mengen Arsen 1164 f.
- 81**: Bromwasserstoff 176.
- 85**: Bildung von Chininmonohydrat 1703.
- 86**: Chininhydrat 1731.
- Fletcher (F. W.) und Cooper (H. P.), **82**: Wismuthoxyjodid 340.
- Fletcher (J.), **79**: Darstellung des Schwefelwasserstoffs 203; Einfluss des Wassers auf Bleiröhren 1261.
- 80**: Wasseranalysen 1535.
- 86**: Verhalten der in der Thomasschlacke enthaltenen Phosphorsäure gegen verschiedene Lösungsmittel 2107.
- Fletcher (L.), **80**: Ausdehnung der Krystalle durch die Wärme 96; Krystallformen von Schwefel, Wismuth, Kupfer, Silber, Gold 1402, Nagyagit 1403, Bealgar 1404.
- 81**: Krystallform von Propionyl- und Butyrylcumarin 824; Zirkon 1361.
- 82**: Krystallformen und spezifisches Gewicht von Tesseralkies (Skutterudit) 1522; Zwillingsgesetze des Kupferkieses 1524.
- 83**: Ausdehnung der Krystalle durch die Wärme 1; die Zwillingsgesetze des Kupferkieses 1833 f.
- 85**: Krystallform von Cumarinderivaten der  $\alpha$ - und  $\beta$ -Methyl-o-oxyphenylacrylsäure, der  $\alpha$ - und  $\beta$ -Methyl-o-oxyphenylcrotonsäure und der  $\alpha$ -Methyl-o-oxyphenylangelicasäure 1511.
- 86**: Krystallform des Phosphortetroxyds 344; Krystallform von Methylidiphenylglyoxalin 1659, von Imabenzil 1661.
- Fletcher (L. B.), **85**: Bestimmung der B.-A.-Widerstandseinheit 243.
- Fletcher (R.), **83**: Spongilla fluviatilis im Bostoner Leitungswasser 1527.
- Pletcher (Th.), **80**: Gasheizung 1360.
- 82**: Verbrennung ohne Flamme 1452.
- 84**: Verwendung von Kohlengas für Heizzwecke 1811.
- 86**: Wasserverdampfung 2150.
- Fletcher Moulton (J.), siehe Spottiswoode (W.).
- Fleury (G.), **77**: Amylalkoholäther in der Analyse 1079.
- 83**: Zersetzung einer verdünnten Oxalsäurelösung 1044.
- Fliehe (P.) und Grandeau (L.), **77**: Blätter von *Pinus laricio austriaca* 948.
- 79**: Papilionaceae 886.
- Fliefsbach (P.), **86**: continuirliche Entfärbung und Filtration von Flüssigkeiten durch carbonisirte Faserstoffe 2113.
- Flight (W.), **80**: natürliches Silber und Gold 359.
- 81**: quecksilberhaltiges Silber 1346; Waschgold 1347.
- 82**: Untersuchung alter Metalllegirungen 1357 f.; englische Meteoriten 1641 f.; australische Meteoriten 1644 f.
- 83**: Analysen von Kupferkiesen 1834; Analyse und Vorkommen von Evigtokit 1848; Analyse des Liskeardits von Chyandour, Cornwall 1869 f.; Feldspathe und Wollastonit gegen Lösungen von Natriumhydroxyd und Natriumcarbonat 1895; Analyse des Meteoriten von Alfanello, Provinz Brescia 1952 f.
- Flink (G.), **84**: Molekularvolumina von flüssigem und festem Benzol, sowie von Phenol 84.
- 86**: Einteilung und Analysen der Diopside 2279 f.; Vorkommen und Krystallform von Schefferit und Rhodonit 2281 f.; Analysen von Schefferit 2282.
- Floodquist (W.), **85**: Gewinnung von Zellstoff 2194 f.
- Floël (O.), **86**: Wirkung der Kalium- und Natriumsalze auf die glatte Musculatur 1863.
- Florio (F.), **83**: Löslichkeit des Morphins 1343; Salze des Morphins 1343 f.
- Flory, **82**: Vorkommen von Gold in Guyana 1522.
- Flowers (Hiland), **79**: Milchsaft von *Lactuca canadensis* 946.
- Flückiger und Power (B.), **80**: Miticham-Pfeffermünzöl 1080.
- Flückiger (F. A.), **77**: Drehung ätherischer Oele 189, 955, 1091; Parillin (Sarsaparilla-Sarkonin) 906; Parigenin, Saponin, Cyclamin 907; Chinapflanzungen 939; Gurjunharz 967.
- 78**: Einwirkung des Lichtes auf gelöste Alkaloide (Quiniretin) 890 f.; Prüfung von Wein und Himbeersaft auf Fuchsin 1090.

**80:** Buchblätter 1081; Nachweis des Schwefelkohlenstoffs im Senföl 1202.

**81:** Mastixöl 1027; Perubalsam 1029; Ilang-Ilang-(Cananga-)Öl 1319.

**82:** Bestimmung der Alkaloide der Chinarinde 1313.

**83:** Bildung eines von einer Polykohlensäure sich ableitenden Kaliumcarbonats 345.

**84:** Untersuchung von Kümmelöl 1467 f.; Anwendung von Phenolphthalein als Indicator 1546 f.; Industrie der ätherischen Öle 1821.

**85:** Reactionen des Antipyrins (Az-Methyl-Py-1 Methyl-3 Oxychinizins) 1082; Bestimmung des Morphins im Opium 1961; Prüfung des Rosenöls (türkisches Rosenöl) 1972; zur Geschichte der Soda 2073.

**86:** Geschichte des Camphers 1666; Verhalten von Cocain und Atropin gegen Wasser 1704; Vorkommen von Mangan in Pflanzen 1804; Wurm-samen 1825 f.; Bestimmung des Santonins 1826; Untersuchung des Thallins (Tetrahydro-p-methoxychinoline) 931; Nachweis und Verhalten von Atropin, Hyocyamin und Homoatropin 1977; Prüfung auf Strychnin und Brucin 1978 f.

Flückiger (F. A.) und Ditzler, **86:** Chininhydrate, Chininbenzolverbindung 1731.

Flückiger (M.), **85:** reducirende Substanzen des normalen Harns 1841 f.; Glykuronsäure im Harn 1842.

Foakes (J. E.), **83:** Laboratoriums-Filterpresse 1658.

Fock (A.), **80:** Brechung isomorpher Mischungen 185.

**81:** Krystallform von Thalliumsalzen (Isomorphie) 271 f.; Krystallform von Methylphenylharnstoffchlorid und Diphenyldimethylharnstoff 335; Krystallform von Di- und Trinitrodiphenylbenzol 400; Krystallform von Diacetylhydrazobenzol 486; Krystallform von *o*-Diphenol 569; Krystallform von Teraconsäure 737; Krystallform von Hyoscinsalzen 950.

**82:** Krystallform des Kaliumsulfats 264; Krystallform des Baryumaluminats 280; krystallographische Untersuchung von Cyansilbercyan-kalium 372; Krystallform des Isobromnitrodiphenyls 451; krystallographische Untersuchung von Iso-

dinitrodiphenyl, Isonitroamidodiphenyl, *o*-Mononitrodiphenyl 467; krystallographische Untersuchung des schwefelsauren Diphenyls 551; krystallographische Untersuchung des *o*-Azotoluols 602 f., des Toluols 603; Krystallform: *o*-geochlor-, Diacetyldichlor- und Trichlorbromhydrochinon 680; krystallographische Untersuchung des Dichlorchinons, Tetrachlorchinons, Chlorbromchinons 777; krystallographische Untersuchung von Teraconsäure,  $\gamma$ -Acetobuttersäure, Natriumacetat, oxyvaleriansaurem Silber 794; krystallographische Untersuchung der Mononitrovaleriansäure 797; krystallographische Untersuchung des ameisensauren Natriums 814; Krystallform des aconsauren Natriums 866; Krystallform der  $\gamma$ -Acetobuttersäure 870 f.; krystallographische Untersuchung des Hydromucosaurensäurehydrids 879 f.; krystallographische Untersuchung der Abietinsäure 990; Krystallform des Aethylphenylsulfons, Aethyl-p-tolylsulfons 1011, des p-Toluolsulfosäure-Aethyläthers 1013, des p-Thiotolylsulfosäure-Tolyläthers (p-Toluoldisulfoxyds) 1013 f.; Krystallform von Cinchonidin- und Chinolin-derivaten 1109 f.

**83:** Krystallform der Mononitrovaleriansäure 1089; Krystallform des Terpenylsäure-Aethyläthers 1111 f.

**84:** Krystallform von *o*-Azotoluol 848, von Amidazotoluol 849.

**85:** Beschreibung eines neuen Thermoregulators 119; Krystallform des Isobenzalphetalimidins 972; Krystallform des Pyrocinchonsäureanhydrids 1405; Krystallform von Ferulaaldehyd 1765.

**86:** Krystallform von Cyanurchlorid, Trimethylcyanurat 515, von Trimethylsulfocyanurat, Trimethylisocyanurat 516, von Isotriäthylcyanurat 518, von Isodiäthylcyanursäure 519; Krystallform von bromwasserstoffsäurem Glucosamin 708; Krystallform von Pyrrylmethylpinakon 746; Krystallform des Benzenylamidoxims und Benzenylamidoximbenzyläthers 1096; Krystallform von m-Xylorcin 1281; Krystallform der Adipinsäure 1381; Krystallform des Kreosolcarbonsäure-Methyläthers 1445 f.; Krystallform des Monoamidohemipinphe-

- nylhydrazids 1482; siehe Groth (P.); siehe Köbig.
- Focke, **86**: Nachweis von Mineralöl in fetten Oelen und Walfett 1999.
- Focke (H.), **84**: Abscheidung von  $\text{Cu}$  und Morphin aus fett-  
**80**:  $\text{Cu}$ -erischen Massen 1832 f.
- Focke (P.), **84**: Apparat zur Bestimmung von Kohlenoxyd im Blute 1690.
- Fodor (J.), **83**: mikroskopische Untersuchung von Trinkwasser 1527.
- Fodor (J. v.), **81**: Nachweis von Kohlenoxyd in der Luft 1175; Kohlenoxyd im Blute 1226.
- 83**: Nachweis von Kohlenoxyd durch neutrale Palladiumchlorürlösung 1555.
- Fodor (S. v.), **80**: Kohlenoxyd in der Luft 1172.
- Föhr, **83**: Analyse eines dolomitischen Kalksteins vom Bieleberg, sächsischem Erzgebirge, 1850 f.
- 85**: quantitative Spectralanalyse (Lithium) 1926; Verhüttung von Erzen (Silberfeintreiben) 2042.
- Föhr (C. F.), **82**: Eisenbestimmung in Erzen 1286.
- 83**: quantitative Bestimmung sehr kleiner Silbermengen auf trockenem Wege 1581.
- 84**: Analyse von Hornblende 1870 ff.; Analyse von Natrolith 1977 f.; Analysen der Phonolithe des Hegaus 2021 f.
- Föhr (K. F.), **81**: Phonolithe 1427.
- Föhr (K. Fr.), **84**: Extraction von Erzen durch Brom 1717.
- Fölsing (A.), **84**: Siedepunkte der Aetherester der Glycolsäure und Salicylsäure 194; Einwirkung von Bromwasserstoff auf die Aetherester von Oxyssäuren (Glycolsäure, Salicylsäure) 909 f.
- Föppl (A.), **86**: Geschwindigkeit des elektrischen Stromes 251; Bestimmung des Maximums der Polarisation 271.
- Förster (J.), **79**: Reinigung der Kohlensäure 1107.
- Förster (K.), **82**: Furfurol im Fuselöl 652; Furfurol aus Gährungsproducten von Candis- und Stärkezucker, Nachweis des Furfurols 1233 f.; Fuselöreaction 1234.
- Förster (M.), **80**: o-Monoamidophenetol 636 f.
- Förster (M. v.), **84**: Versuche mit gepresster Schiefsbaumwolle 1750.
- 86**: Versuche mit Schiefsbaumwolle 2077 f.
- Förster (P.), **82**: Farbstoffe der Gelbbeeren, Kapern, der Raute 1512.
- Förster (W.), **78**: Zuckerraffination 1149 f.
- Förstner (H.), **77**: Natronorthoklas 1334.
- 81**: Wurtzit 1350; Cossyrit 1393.
- 83**: Analyse des Plagioklasbasaltes der Insel Ferdinandea 1931.
- 84**: Untersuchung der Feldspathe von Pantelleria 1981 ff.; optisches Verhalten der Feldspathe 1983, Analysen von Gesteinen der Insel Pantelleria 2025 f.
- Foex (G.), **80**: Phylloxera 1067.
- Fol (H.), **84**: Methode zur Uebertragung sterilisierter Flüssigkeiten 1537 f.; photographischer Apparat 1891.
- Fol (H.) und Dumant (P. L.), **85**: Reinigung von Wasser 2132 f.
- Folbacci, **80**: Holz, Unverbrennlichkeit 1372.
- Folgen (J. C.), **85**: Flüchtigkeit des Camphers an der Luft 1659.
- Folkard, siehe Heisch.
- Folkard (O. W.), **78**: Berechnung des Gewichtes von Niederschlägen 1039.
- 81**: Doppelsalz von Calcium- und Natriumsulfat 206.
- 84**: Molekülverbindungen des Calciumoxyds mit Schwefelwasserstoff 383; Constitution des Chlorkalks 384.
- Folkard (W.), **82**: Verunreinigungen und Untersuchung des Trinkwassers 1259.
- Follenius (O.), siehe Eifseldt (H.).
- Follows (Harold), siehe Griffiths (A. B.).
- Fontaine (H.), **86**: Kraftübertragung durch dynamoelektrische Maschinen 2014.
- Fontaine (W. F.), **83**: Beschreibung des Spessartins von Amelia County, Virginia 1880 f.; Analyse eines Helvins 1882.
- Footo (A. E.), **82**: Zirkonzwillinge von Canada 1527; Sphen von Canada 1571.
- 86**: Opalgruben in Mexico 2239.
- Footo (H. C.), **84**: Apparat zur elektrolytischen Bestimmung von Kupfer 1691.
- Forbes (G.), **86**: Combination von Thermosäule und Galvanometer siehe Young (J.).

- 80:** Buchblätter 1081; Nachweis des Schwefelkohlenstoffs im Senföl 1202.
- 81:** Mastixöl 1027; Perubalsam 1029; Ilang-Ilang-(Cananga-)Öl 1319.
- 82:** Bestimmung der Alkaloide der Chinarinde 1313.
- 83:** Bildung eines von einer Polycarbonsäure sich ableitenden Kaliumcarbonats 345.
- 84:** Untersuchung von Kümmelöl 1467 f.; Anwendung von Phenolphthalein als Indicator 1546 f.; Industrie der ätherischen Öle 1821.
- 85:** Reactionen des Antipyrins (Az-Methyl-Py-1 Methyl-3 Oxychinizins) 1082; Bestimmung des Morphins im Opium 1961; Prüfung des Rosenöls (türkisches Rosenöl) 1972; zur Geschichte der Soda 2073.
- 86:** Geschichte des Camphers 1666; Verhalten von Cocain und Atropin gegen Wasser 1704; Vorkommen von Mangan in Pflanzen 1804; Wurm-samen 1825 f.; Bestimmung des Santonins 1826; Untersuchung des Thallins (Tetrahydro-p-methoxychinolins) 931; Nachweis und Verhalten von Atropin, Hyoscyamin und Homoatropin 1977; Prüfung auf Strychnin und Brucin 1978 f.
- Flückiger (F. A.) und Ditzler, **86:** Chininhydrate, Chininbenzolverbindungen 1731.
- Flückiger (M.), **85:** reducirende Substanzen des normalen Harns 1841 f.; Glykuronsäure im Harn 1842.
- Foakes (J. E.), **83:** Laboratoriums-Filterpresse 1658.
- Fock (A.), **80:** Brechung isomorpher Mischungen 185.
- 81:** Krystallform von Thalliumsalzen (Isomorphie) 271 f.; Krystallform von Methylphenylharnstoffchlorid und Diphenyldimethylharnstoff 335; Krystallform von Di- und Trinitrodiphenylbenzol 400; Krystallform von Diacetylhydrazobenzol 486; Krystallform von *o*-Diphenol 569; Krystallform von Teraconsäure 737; Krystallform von Hyoscinsalzen 950.
- 82:** Krystallform des Kaliumsulfats 264; Krystallform des Baryumaluminats 280; krystallographische Untersuchung von Cyansilbercyan-kalium 372; Krystallform des Isobromnitrodiphenyls 451; krystallographische Untersuchung von Isodinitrodiphenyl, Isonitroamidodiphenyl, *o*-Mononitrodiphenyl 467; krystallographische Untersuchung des schwefelsauren Diphenyls 551; krystallographische Untersuchung des *o*-Azotoluols 602 f., des Toluols 603; Krystallform des *o*-geochlor-, Diacetyldichlor- und Trichlorbromhydrochinon 680; krystallographische Untersuchung des Dichlorchinons, Tetrachlorchinons, Chlorbromchinons 777; krystallographische Untersuchung von Teraconsäure,  $\gamma$ -Acetobuttersäure, Natriumacetat, oxyvaleriansaurem Silber 794; krystallographische Untersuchung der Mononitrovaleriansäure 797; krystallographische Untersuchung des Ameisensäuren Natriums 814; Krystallform des  $\alpha$ -Acetobuttersäuren Natriums 866; Krystallform der  $\gamma$ -Acetobuttersäure 870 f.; krystallographische Untersuchung des Hydromuconsäureanhydrids 879 f.; krystallographische Untersuchung der Äbittensäure 990; Krystallform des Äthylphenylsulfons, Äthyl-p-tolylsulfons 1011, des p-Toluolsulfonsäure-Äthyläthers 1013, des p-Thiotolylsulfonsäure-Tolyläthers (p-Toluoldisulfoxyds) 1013 f.; Krystallform von Cinchonidin- und Chinolin-derivaten 1109 f.
- 83:** Krystallform der Mononitrovaleriansäure 1089; Krystallform des Terpenylsäure-Äthyläthers 1111 f.
- 84:** Krystallform von *o*-Azotoluol 848, von Amidazotoluol 849.
- 85:** Beschreibung eines neuen Thermoregulators 119; Krystallform des Isobenzalphetalimidins 972; Krystallform des Pyrocinchonsäureanhydrids 1405; Krystallform von Ferulaaldehyd 1765.
- 86:** Krystallform von Cyanurchlorid, Trimethylcyanurat 515, von Trimethylsulfocyanurat, Trimethylisocyanurat 516, von Isotriäthylcyanurat 518, von Isodiäthylcyanursäure 519; Krystallform von bromwasserstoffsäurem Glucosamin 708; Krystallform von Pyrrylmethylpinakon 746; Krystallform des Benzenylamidoxims und Benzenylamidoximbenzyläthers 1096; Krystallform von m-Xylorcin 1281; Krystallform der Adipinsäure 1381; Krystallform des Kreosolcarbonsäure-Methyläthers 1445 f.; Krystallform des Monoamidohepimiphe-

- nylhydrazids 1482; siehe Groth (P.); siehe Köbig.
- Focke, **86**: Nachweis von Mineralöl in fetten Ölen und Walfett 1999.
- Focke (H.), **84**: Abscheidung von und Morphin aus fett-  
**84**: arischen Massen 1632 f.
- Focke (P.), **84**: Apparat zur Bestimmung von Kohlenoxyd im Blute 1690.
- Fodor (J.), **83**: mikroskopische Untersuchung von Trinkwasser 1527.
- Fodor (J. v.), **81**: Nachweis von Kohlenoxyd in der Luft 1175; Kohlenoxyd im Blute 1226.
- 83**: Nachweis von Kohlenoxyd durch neutrale Palladiumchlorürlösung 1555.
- Fodor (S. v.), **80**: Kohlenoxyd in der Luft 1172.
- Föhr, **83**: Analyse eines dolomitischen Kalksteins vom Bieleberg, sächsischem Erzgebirge, 1850 f.
- 85**: quantitative Spectralanalyse (Lithium) 1926; Verhüttung von Erzen (Silberfeintreiben) 2042.
- Föhr (C. F.), **82**: Eisenbestimmung in Erzen 1286.
- 83**: quantitative Bestimmung sehr kleiner Silbermengen auf trockenem Wege 1581.
- 84**: Analyse von Hornbleude 1970 ff.; Analyse von Natrolith 1977 f.; Analysen der Phonolithe des Hegaus 2021 f.
- Föhr (K. F.), **81**: Phonolithe 1427.
- Föhr (K. Fr.), **84**: Extraction von Erzen durch Brom 1717.
- Fölsing (A.), **84**: Siedepunkte der Aetherester der Glycolsäure und Salicylsäure 194; Einwirkung von Bromwasserstoff auf die Aetherester von Oxyssäuren (Glycolsäure, Salicylsäure) 909 f.
- Föpl (A.), **86**: Geschwindigkeit des elektrischen Stromes 251; Bestimmung des Maximums der Polarisation 271.
- Förster (J.), **79**: Reinigung der Kohlensäure 1107.
- Förster (K.), **82**: Furfurol im Fuselöl 652; Furfurol aus Gährungsproducten von Candis- und Stärkezucker, Nachweis des Furfurols 1233 f.; Fuselöreaction 1234.
- Förster (M.), **80**: o-Monoamidophenetol 636 f.
- Förster (M. v.), **84**: Versuche mit gepresster Schiefsbaumwolle 1750.
- 86**: Versuche mit Schiefsbaumwolle 2077 f.
- Förster (P.), **82**: Farbstoffe der Gelbbeeren, Kapern, der Raute 1512.
- Förster (W.), **78**: Zuckerraffination 1149 f.
- Förstner (H.), **77**: Natronorthoklas 1334.
- 81**: Wurtzit 1350; Cossyrit 1393.
- 83**: Analyse des Plagioklasbasaltes der Insel Ferdinandea 1931.
- 84**: Untersuchung der Feldspathe von Pantelleria 1981 ff.; optisches Verhalten der Feldspathe 1983, Analysen von Gesteinen der Insel Pantelleria 2025 f.
- Foex (G.), **80**: Phylloxera 1067.
- Fol (H.), **84**: Methode zur Uebertragung sterilisierter Flüssigkeiten 1537 f.; photographischer Apparat 1891.
- Fol (H.) und Dumant (P. L.), **85**: Reinigung von Wasser 2132 f.
- Folbacci, **80**: Holz, Unverbrennlichkeit 1372.
- Folgen (J. C.), **85**: Flüchtigkeit des Camphers an der Luft 1659.
- Folkard, siehe Heisch.
- Folkard (C. W.), **78**: Berechnung des Gewichtes von Niederschlägen 1039.
- 81**: Doppelsalz von Calcium- und Natriumsulfat 206.
- 84**: Molekülverbindungen des Calciumoxyds mit Schwefelwasserstoff 383; Constitution des Chlorkalks 384.
- Folkard (W.), **82**: Verunreinigungen und Untersuchung des Trinkwassers 1259.
- Follenius (O.), siehe Eifsfeldt (H.).
- Follows (Harold), siehe Griffiths (A. B.).
- Fontaine (H.), **86**: Kraftübertragung durch dynamoelektrische Maschinen 2014.
- Fontaine (W. F.), **83**: Beschreibung des Spessartins von Amelia County, Virginia 1880 f.; Analyse eines Helvins 1882.
- Footo (A. E.), **82**: Zirkonzwillinge von Canada 1527; Sphen von Canada 1571.
- 86**: Opalgruben in Mexico 2239.
- Footo (H. C.), **84**: Apparat zur elektrolitischen Bestimmung von Kupfer 1691.
- Forbes (G.), **86**: Combination von Thermosäule und Galvanometer 254; siehe Young (J.).

- Forchhammer, **84**: Analyse von grönländischem Eisen 2044 f.
- Forchheimer, **85**: Zusammenhang zwischen Erwärmung und Dehnung von Eisen, Stahl, Kupfer, Messing 131.
- Forcrand, **79**: Nitroëssigsäureäther 600.
- Forcrand (de), **79**: Aethylultramarin 1158.
- 80**: Hydrate von Methyl-, Aethyljodid, Chloroform und Aethylbromid 472 f.
- 82**: Hydrat des Schwefelwasserstoffs und des Selenwasserstoffs 226 f.
- 83**: thermische Untersuchung der Natriumalkoholate 176 f., des Baryumalkoholats, Natriumglycolats, Kaliumphenats 177, der Glycolsäure sowie ihres Natrium- und Ammoniums Salzes 177 bis 179, der Glycolate 179 bis 182; Berechnung thermischer Werthe 182 f.; Umwandlungswärme des Glycolids in Glycolsäure 183; Bildungswärme der Glycolsäure aus Glycolid, Hydratationswärme des Glycolids 1044.
- 84**: Lösungswärme des Glyoxals 202; Lösungs-, Hydratations-, Neutralisations- und Bildungswärmen der Natriumsulfite und -disulfite 222 f.; Bildungswärmen von Salzen des Kaliums und Natriums mit Säuren des Schwefels 223 f.; Bildungswärmen der Glyoxaldisulfite des Natriums, Kaliums und Baryums 225 f.; Darstellung von Glyoxal, Bildungswärme von Glycolsäure, von Glycolid 1029.
- 85**: Bestimmung der Neutralisationswärme der Glyoxylsäure 175; thermische Untersuchung des Ammoniumsulfits und -disulfits 204 f., des Glyoxaldisulfits des Ammoniums 205 ff., des Natriummethylats 207 f., Bildungswärme von Alkoholaten der Alkalimetalle 208 f.; Krystallwassergehalt und einige thermische Werthe des Glyoxalammoniumdisulfits 1296; Darstellung von Glyoxylsäure 1332 f.
- 86**: Bildungswärme einiger Alkoholate 299; Dihydrat des Baryts (thermochemische Versuche) 390 ff.; Verbindungen des Methylalkohols mit schwefelsaurem Kupfer 1162, mit Baryumoxyd 1162 f.; Natriumglycerinat 1171.
- Forcrand (de) und Ballin, **78**: substituirte Ultramarine 1177.
- Forel, siehe Nölting (E.).
- Forel (F. A.), **80**: Temperatur des Seewassers 1512.
- Forquignon (L.), **80**: Schmiedeeisen 1253.
- 81**: Schmiedeeisen 1244.
- 84**: Ueberführung von Gußeisen in Schmiedeeisen 397; siehe Lepiant (G.).
- Forrer (K.), **83**:  $\alpha$ -Monochlorzimmtsäure aus Phenylchlormilchsäure 1175 f.
- 84**: Untersuchung von Indirubin (Indigpurpurin) 901 ff.; Indirubinweiß, Indileucin 902; Triacetylindileucin 903; Darstellung von Dichloräthylbenzol aus Phenylessigsäurealdehyd, p-Mononitrophenylessigsäurealdehyd 1045; siehe Gnehm (B.).
- Forsling (S.), **86**: neue  $\beta$ -Naphthylaminsulfosäure und Derivate 1582 f.
- Forssmann (L. A.), **77**: Einfluss des Lichtes auf den Widerstand des Selen 160.
- Forst (C.) und Böhringer (Ch.), **81**: Hydrochinidin (Hydroconchinin) 939 ff.; Cinchotin und Salze 967 f.; Hydrocinchonidin 969.
- 82**: Hydrochinidin und Salze, Chinidin 1105; Präexistenz von Cinchotin, Hydrochinidin und Hydrocinchonidin in Rinden, Cinchonin, Oxydation von Hydrochinidin und Hydrocinchonidin, von Chinidin 1108; Chitenidin und Salze 1108 f.
- Forster, **77**: Kohlensäureausscheidung im Organismus 971.
- Forster (E.), **81**: spezifisches Brechungsvermögen von Salzen 110.
- Forster (F.), siehe Meyer (V.).
- Forster (J.), **81**: Frauenmilch 1050.
- 83**: Einfluss von mit Borsäure conservirten Speisen auf den menschlichen Organismus 1724.
- Forster (W. G.), **84**: Herstellung von Hopfenextract 1800 f.
- Forster-Morley (H.), siehe Morley (H. Forster).
- Fort (J. A.), **83**: physiologische Wirkungen des Kaffees 1489.
- Forth (H.), **86**: Schädlichkeit der Antimonbeizen für Strumpfwaren 2184.
- Fossati (E.), **84**: Versuche mit der Davy'schen Sicherheitslampe 314.
- Fossek (W.), **81**: Condensationsproducte des Isobutyraldehyds 593.
- 82**: Isobutyraldehyd gegen Zinkchlorid, Zinntrichlorid, Phosphortrichlorid, Kali 740 f.



**83:** acetonfreier Isobutyraldehyd 950; Isobutyraldehyd gegen alkoholisches Kali: Diisopropylglycol 950 f.; Derivate des Diisopropylglycols 951.

**84:** Synthese zweierwerthiger Alkohole aus Aldehyden 910 f.; Methylisopropyläthylenglycol 910; Isobutylisopropyläthylenglycol 911; Untersuchung von Diisopropylglycol 946 ff.; Kohlenwasserstoff  $C_8H_{18}$  947; acetonfreier Isobutyraldehyd 1080; Einwirkung von Phosphortrichlorid auf Propion-, Isobutyryl-, Isovaler-, Benzaldehyd 1036 f.; Darstellung von Oxyphosphinsäuren 1359 ff.; Oxyisomylphosphinsäure 1360; Oxyisobutylphosphinsäure 1361.

**85:** Oxyphosphinsäuren 1628.

**86:** alkylsubstituierte Oxyphosphinsäuren 1607 ff.

Foster, **83:** Gewinnung von Ammoniak bei der Coaksbereitung 1754.

Foster (C. Le Neve), **77:** Borsäure 1050.

Foster (G. C.), **83:** Bestimmung des Ohm 210.

**85:** Wheatstone'sche Brücke und eine Methode zur Messung kleiner Widerstände 229.

Foster (M.), **85:** chemische Veränderungen durch Mikroorganismen 1825.

Foster (W.), **78:** unterbromigs. Alkalien gegen Ammoniumsalsze, Harnstoff und Oxamid 219.

**80:** Ammoniak der Gaswässer 1156 f.

**83:** Stickstoffgehalt der Durhamkohle, trockene Destillation derselben 1684.

Foth (G.), siehe Limpricht (H.).

Foulkes Lowe (Th.), siehe Lowe (Foulkes Th.).

Foullon (H. B. v.), **82:** Analysen böhmischer Kohlen 1576.

**83:** Fünfling von gediegenem Kupfer aus Schneeberg, Sachsen 1828; Egleston's Theorie der Bildung von Goldnuggets auf secundärer Lagerstätte 1829; Untersuchung des Uranpecherzes von Stony Point, Nordcarolina und seiner Verwitterungsproducte (Gummit, Uranophan), Trennung von Calcium und Uranoxyd 1843 f.; Zusammensetzung des Uranothallits von Joachimsthal 1854; Analysen der Chloritoidschiefer von Kaisersberg bei St. Michael ob Leoben

1926; Analyse des Meteoriten von Alfianello, Provinz Brescia 1952 bis 1953.

**84:** Untersuchung von Tellur 1901; Antimonglanz in halbkugeligen Aggregaten 1906 f.; mineralogische Beschreibung von Zinnerzen 1917; Krystallform von Magnesit 1931; Analysen der cordieritführenden Auswürflinge des japanischen Vulkans Asamayama 2027.

**85:** Krystallform des Papaverins 1696 f., des Brompapaverins, des Hydrochlorids, Hydrobromids, Hydrojodids, Nitrats, sauren Sulfats, Pikrats und des Zinkdoppelsalzes des Papaverins 1697, des Papaverinäthylbromids 1698.

**86:** Krystallform von Baryt- und Strontianhydrat 390; Krystallform von Papaverinverbindungen 1715 f., 1717; Krystallform von Papaveraldin- und Tetrahydropapaverinderivaten 1719 f.; Graphitanalysen 2221 f.; Bildung von Kalkspath 2249; Vorkommen und Analyse von Langit 2254; Untersuchung der Grauwacken von Eisenerz (Blaseneckgneifs): Analysen von Sericitschiefer, Gneifs und Quarzit 2304; siehe John (C. v.).

Fouqué und Lévy (Michel), **83:** Krystallformen der Mesitylbromide 595.

Fouqué (F.), **79:** Hyperthen im Bimssteinpulver 1226.

**80:** Santorin 1505.

Fouqué (F.) und Lévy (M.), **78:** Darstellung und Schmelzbarkeit der Feldspathe 1260 f.; Entglasung, künstlicher Nephelin und Leucit 1261; perlsteinähnliche Modificationen verschiedener Gesteine, Darstellung perlithähnlicher Massen 1286.

Fouqué (F.) und Lévy (A. M.), **79:** Diamantkrystalle 1180.

**80:** Baryum-, Strontium- und Bleifeldspathe 1470; mikroskopische Untersuchung der gesteinsbildenden Mineralien und der Gesteine 14, 89 f.; Lava 1506.

**81:** Vorkommen von Diamant 1344; Diabase, Dolerite 1427; Basalt 1433; Experimente mit Meteoriten 1456.

Fourcade (A.), **81:** Stearinsäure, (Marseiller-)Seifen, Oelsäure 1319.

Fourmont (F.), **84:** Entdeckung von Chloraten in Lösungen 1565.

Foussereau, siehe Bouty.

Foussereau (G.), **82**: der elektrische Widerstand des Glases bei niederen Temperaturen 150.

**83**: elektrischer Leitungswiderstand des Glases, einiger isolirender Substanzen 215.

**84**: elektrisches Leistungsvermögen anhydrischer Salze in geschmolzenem und festem Zustande 252 f.; elektrische Leitungsfähigkeit des destillirten Wassers und Eises 261.

**85**: Leitungswiderstände schlecht leitender Körper 259; Leitungswiderstand des Alkohols 277.

**86**: Aenderung des Leistungsvermögens durch die Zersetzung von Chloriden mit Wasser 270 f.

Fox (W.), **83**: Brauchbarkeit fetter Oele als Schmiermittel 1632; Nachweis von Baumwollsaamenöl im Olivenöl 1632 f.

**86**: Glycerinbestimmung im Leinölfrucht 2160; siehe Wanklyn (J. A.).

Fox (W.) und Wanklyn (A.), **84**: Bestimmung der Buttersäure in der Butter 1676.

Fox (W.) und Wanklyn (J. A.), **86**: Glycerinbestimmung 1885.

Foye (M. H.), siehe Woodward (C. J.).

Fraas (O.), **77**: indisches Steinsalz 1284; Vivianit 1299.

**83**: Vorkommen von Phosphorit im Aveyronthale 1867.

**84**: Erstarrungsformen vulkanischer Bomben 2027.

Fraatz, siehe Grodeck (A. v.).

Fränckel (N.), siehe Bernthsen (A.).

Fränkel (A.), siehe Fischer (O.).

Fränkel (A.) und Röhmnn (F.), **80**: Phosphorvergiftung bei Hühnern 1125 f.

Fränkel (Nahemi), **85**: Darstellung von Derivaten des Thiodiphenylamins 915 bis 917; Benzoylthiodiphenylamin 915, Thiodiphenylurethan, Thiodiphenylcarbaminchlorid, Dithiotetraphenylharnstoff 916; Thionol 917.

Franc (C. A.), **85**: Aetzen von indigoblau gefärbten Stoffen 2241 f.

Franchimont (A. P. N.), **77**: angebliches Gefrieren des Aethers 54; Glucose und Levulose 901.

**78**: aromatische Kohlenwasserstoffe aus Betulin 956.

**79**: Krystallwasser des Zinkacetats, Darstellung von Essigsäureester 598;

Zucker aus Tunicin 832 f.; Farbstoff aus dem Sandel- und Caliaturholz 902 f.; Betulin 910.

**81**:  $\alpha$ -Dinitrodimethylanilin 458 f.; Sulfoessigsäure 859; Cellulose gegen Essigsäureanhydrid 985.

**82**: Vorlesungsversuche: Demonstration der Zerlegung der Molekeln des Sauerstoffs, Wasserstoffs und Stickstoffs in zwei Atome 213 ff.; Löslichkeit von Quecksilberhalogenen in Benzol 408; Essigsäureanhydrid, sowie Propylchlorid gegen Epichlorhydrin: Glycerindichlormono- und -triacetin 650; Acetylchlorid aldehyd 731; Chloracetyl gegen Aldehyd: Aethylidendiacetat, Benzoylchlorid und -bromid gegen Aldehyde und Aceton 732; Verhalten des Paraldehyds 735; Sumatra-Honig von Apis indica 1229 f.

**83**: Nitramide der Fettreihe 470 f.; Mononitrodimethylamin, Diäthylharnstoff, Nitramide gegen wasserfreie Salpetersäure, Mono- und Dimethylharnstoff, Mono- und Dimethylacetamid gegen wasserfreie Salpetersäure, Diacetamid 636 f.; Oxycellulose gegen Essigsäureanhydrid und Chlorzink 1366; Cellulose und Stärke gegen Brom 1366 f.

**84**: Untersuchung der Einwirkung wasserfreier Salpetersäure auf Amide, Harnstoff, salpeters. Monomethyl- und Dimethylharnstoff, unsymmetrischen Dimethylharnstoff, Trimethylharnstoff, Tetramethylharnstoff 501; Dimethylamidoameisensäure - Aethyläther, spezifisches Gewicht und Siedepunkt 502; Bildung von Dimethylhydrazin durch Reduction von Mononitrodimethylamin 583; Einwirkung der Salpetersäure auf die zweibasischen Säuren der Oxalsäurereihe 1075; Untersuchung des symmetrischen Dimethylsulfamids 1308.

**85**: Einwirkung der wasserfreien Salpetersäure auf Aminosäuren und Amide 1313 bis 1316: Dinitrodimethylloxamid, symmetrisches Malondimethylamid 1314; Dinitromalondimethylamid, symmetrisches Succindimethylamid, Succintetramethylamid, Mononitrodimethylamin, symmetrisches Isosuccindimethylamid 1315; Dimethylmalonsäure, symmetrisches Dimethylmalondimethylamid, Dimethylmalontetramethylamid 1316; Wirkung

- wasserfreier Salpetersäure auf zweibasische Fettsäuren 1316 f.
- 86:** Einwirkung von Salpetersäure auf die zweibasischen Säuren, auf Methylmalonsäure 1289 f., auf Allylmalonsäure 1290.
- Franchimont (A. P. N.) u. Klobbie (E. A.), **86:** Einwirkung von Salpetersäure auf die Methyl- und Aethylamide der Aethylsulfosäure (Aethylsulfonmethyl- und -äthylnitramid) 1534 f.
- Franchimont (A. P. N.) und Wigmann, **79:** Versuche mit Lactucon 946.
- Franchis (G. de), **85:** Beziehungen zwischen Ausflugschwindigkeit, spec. Wärmen und Molekulargeschwindigkeit der Gase 56 f.
- 86:** spezifische Wärme und Molekulargeschwindigkeit der Gase 83 f.
- Francis (E.), **77:** bittere Casava 1090; Stickstoffbestimmungsapparat 1096; Kesselsteine 1195.
- Francis (E. E. H.), **85:** widerstandsfähiges Filtrirpapier 1879 f.
- Francke (G.), **83:** Stärkebestimmung in Körnerfrüchten 1622.
- Francke (H.), **86:** Metallthermometer 2009.
- Francksen (A.), **84:** Darstellung von Phenpropylamin (Amidopropylbenzol) und Derivaten 726 bis 729; Diphen-, Monophenpropylthioharnstoff, Phenpropylsenfö, Diphen-, Monophenpropylharnstoff 727; Diphenpropylguanidin, Phenyldiphenpropylguanidin, Triphenpropylguanidin, Carbodiphenpropylimid 728; Phenpropylcyanür 729.
- Frank, **85:** Verarbeitung von Thomasschlacken auf Phosphatdünger 2064.
- 86:** commerciale Verhältnisse bei den aus basischen Schlacken hergestellten Düngemitteln 2034; siehe Wedding.
- Frank (A.), **77:** Kaliindustrie 1143.
- 78:** Gewinnung von Brom 1119 f.; Carbonisiren der Wolle 1175 f.
- 83:** Gewinnung poröser Steinmassen 1711; Anwendung des Broms als Desinfectionsmittel 1723.
- Frank (E.), **81:**  $\beta$ -Chlormilchsäure 693; Glycerinsäure 694.
- 84:** Untersuchung der desinficirenden Kraft einiger Mittel in Gasform 1777.
- Frankland, **84:** Elektrolyse verdünnter Schwefelsäure und von Salzhhydraten 269.
- 85:** chemische Veränderungen durch Mikroorganismen (Fermente) 1824 f.; *Bacillus ureae* 1825.
- Frankland und Thorne, **78:** Leuchtkraft des Benzols 1187.
- Frankland (C.), **77:** Ansteckungstoffe aus Cloaken 1177.
- Frankland (E.), **80:** Zinkäthyl gegen Azobenzol und Benzonitril 937 f.; Flußwasser 1519 f.
- 83:** Ladung und Entladung der Accumulatoren, Occlusion von Sauerstoff und Wasserstoff 203 f.
- 85:** Zersetzungen durch Mikroorganismen, Pflanzen- und Thierleben 1868 f.; siehe Halcrow (Lucie).
- Frankland (E.) und Dobbin (L.), **78:** Darstellung von Aethylen aus Jodäthyl 370.
- Frankland (E.) und Graham (C. C.), **80:** Dinitroäthylsäure 772; Zinkäthyl gegen Nitrile 938 f.
- Frankland (E.) und Lawrence (A.), **79:** Bleiteträthyl 771; Zinnteträthyl 773 f.
- Frankland (E.) und Louis (D. A.), **80:** Zinkäthyl gegen Nitrile 939.
- Frankland (E.) und Tompkins (H. K.), **80:** Zinkäthyl gegen Benzylcyanid 938.
- Frankland (P. F.), **80:** Naphtylazosalicylsäure 848 f.
- 84:** Löslichkeit von Blei und Zink in Wasser 1701; Zusammensetzung und Leuchtkraft des Kohlen-gases 1809 f.
- 85:** Entfernung von Mikroorganismen aus Wasser 2132; Leuchtkraft der Kohlenwasserstoffe (Aethan, Aethylen, Propan, Methan) 2167; Mikroorganismen im Wasser 2312.
- 86:** Bacteriengehalt der Luft in England 1882 f.; Vervielfältigung von Mikroorganismen in Fluß-, Brunnen- und Abfallwasser 1883.
- Frankland (P. F.) und Jordan (F.), **83:** Untersuchung der bei der Umwandlung von Gras in Heu entstehenden Gase 1715 f.
- Frankland (P. F.) und Turner (T.), **83:** Phenol gegen Allyljodid und Zink: Propylphenol 932 f.
- Franks (A. D.), **85:** Holzconservirung mittelst Kalkmilch 2192.
- Franz (M.), **80:** elektrische Lampe 1245.

- Franzen (A.), siehe Knorr (L.).  
 Franzénau (A.), **84**: Krystallform von Hornblende 1969.  
 Fraser (A. T.), **80**: Löthrohrversuche 1142.  
 Fraude (G.), **78**: Aspidospermin 916 f.  
**79**: Phtalein des Orthokresols und Derivate 538 f.; Aspidospermin 830; Verhalten desselben gegen Ueberchlorsäure 830 f.; Ueberchlorsäure als Reagens auf Alkaloide 1071.  
**80**: o-Kresolphtalein 678; siehe Baeyer (A.).  
**81**: Resorcinartrein, Resorcincitrin 549 f.; Quebracherinde 1020.  
 Fraulbaum (A.), **86**: Reinigung der Mineralöle 2156 f.  
 Frazier (B. W.), **82**: Axinit von Pennsylvania 1550.  
 Frear (W.), **85**: Kleberbestimmung im Getreide 1983.  
 Frear (W.) und Mac Donnel (H. B.), **86**: Bestimmung der Phosphorsäure in Düngern 1987.  
 Frecheville (R. J.), **85**: Gewinnung des Goldes in Japan 2044.  
 Frebault (A.) und Destrem (A.), **77**: Zersetzung von Calciumphosphat 249.  
 Freda (G.), **80**: Incrustation der Vesuvlava 1506.  
**83**: Analyse von Monticellit (?) 1876; Analyse eines Humits vom Monte Somma 1878; Analyse eines blaugefärbten Augits 1889; Analyse oberflächlich zersetzter Leucitkristalle vom Monte Somma 1915.  
 Freda (J.), **84**: Untersuchung von Kieselkupfer 1955.  
 Freda (P.), **78**: Bildung von Ammoniumnitrit beim Verdampfen von Wasser 221; Constitution der natürlichen Gerbsäure 817 f.  
**79**: Digallussäure 728.  
 Fredericq (L.), **77**: Kohlensäuregehalt des Blutes und Serums 989, 990.  
**78**: Häemocyanin 1000 f.  
**80**: Paraglobulin neben Serumalbumin im Blutserum 1234.  
**81**: Drehungsvermögen des Paraglobulins 144; Serum des Pferdeblutes 1046; Serin 1047.  
 Fredholm (L.), **82**: Neuerungen an Gasbrennern 1350.  
 Freemann (S. H.), **82**: Elektricitäts-erregung bei der Verdunstung von Flüssigkeiten 137.  
 Freer (P. C.), siehe Perkin (W. H. jun.).  
 Freestone (J. W.), **86**: Gewinnung von Glycerin und Fettsäuren 2160.  
 Freharme (J.), **79**: Erstarren von Fetten 1148.  
 Fremery (M.), **84**: Arsenwolframsäure und Salze derselben 417 f.; isomere Arsenwolframsäure 418.  
 Fremy, **78**: Verseifung der Fette durch Schwefelsäure 1169.  
 Fremy und Olémandot, **77**: irisierende Glasfläche 1168.  
 Fremy (E.), **80**: Steinkohlen 1481.  
**86**: Untersuchung der Ramiefaser 2173.  
 Fremy (E.) und Feil, **77**: Korund 1271.  
 Fremy (E.) und Urbain, **81**: chemische Bestandtheile des Pflanzenskelettes 1008.  
**82**: Vasculose aus Hollundermark 1150; Harzsäuren, Ulminsäure aus Vasculose 1151.  
**84**: Bleichen von Pflanzenfasern 1838.  
**85**: Studien über die Skelette der Pflanzen: Untersuchung der Cutose 1802 f.; Stearocutinsäure und Oleocutinsäure 1802; Zusammensetzung dieser Körper 1803.  
 Fremy (L.), **77**: Chlorophyll besteht aus Phylloxanthin und Kaliumphyllocyanat 929.  
 French (A.), **79**: Bleirauch-Analysen 1098.  
**81**: Analysen von Bleirauch 1250.  
 French (A.), Wilson (H. J. und J. W.), **81**: Apparat zur Condensation des Bleirauchs 1250.  
 French (W.), **85**: Darstellung von Wein und Essig aus Äpfeln 2154.  
 Frenzel (J.), **83**: Hexylalkohol, Darstellung und Derivate 862 f.; Derivate des Hexylamins: hexylsulfo-carbaminsaures Hexylamin und Dihexylsulfoharnstoff, Hexylsenföhl und Monohexylsulfoharnstoff 863.  
 Frenzel, **84**: Analyse eines Nephritbeils und von Rohnephrit 1968, 1971 f.  
 Frenzel (A.), **77**: Luzonit 1270; arsenige Säure, Quecksilberchlorid 1273; Sarawakit 1286; Arsenwismuth 1291; Magnesia-Alaun 1297; Antimonocker 1349.  
**78**: Pelagosit 1221.  
**79**: Wismuthglanz 1184; Heliotrop-Analyse 1188; Eisensulfate 1194 f.; Wapplerit-Fundort 1198.

- 80:** Lautit 1404; Bleiglanzkrystalle, Spiauterit und Zinkblende 1405; Kieselinter 1410; Mehlquarz, Kieselconcretionen 1411; Thenardit, Cölestin 1422; Keramohalit 1424; Kaolin 1471; Gilbertit 1473; Pseudoapatit 1485 f.
- 81:** Lautit 1349; Tritochorit 1375.
- 82:** Leucit aus Aegypten 1553; Silicate von Alexandria 1570.
- 83:** Analyse des Alloklasses von der Elisabethgrube bei Oravicza 1831; Analyse des Rezbanyits 1834 f.; Uebersicht der Schwefelbleiwismuthverbindungen 1835; Türkisanalysen 1865.
- 86:** Analyse von „Skarn“ 2285; siehe Meyer (A. B.).
- Frenzel (A.) und Schwarz (A.), **80:** Alaunstein 1424 f.; Urusit 1427; Vanadinblei 1429; Tritochorit 1429 f.; Pikroamin 1452 f.
- Frenzel (J.) und Weyl (Th.), **85:** Fällung des Caseins aus Kuhmilch 1989.
- Frerichs (F.), **77:** Succinylchlorid gegen Benzanilid 709; Analyse organischer Verbindungen 1032; volumetrische Stickstoffbestimmung 1034.
- 80:** Apparat zur Bestimmung des spezifischen Gewichts von Salzen 1241; siehe Hübner (H.).
- Frerichs (F.), Boie (H.) und Stromfeld (H.), **78:** Dextrin und Traubenzucker enthaltende Mehlpäpate 1155.
- Frerichs (F.) und Rabe, **77:** Nitraniline gegen Jodcyan (Carbotetranitroimidobenzole) 462.
- Frerichs (F.) und Smith (F.), **78:** Didym- und Lanthanverbindungen 245 f.
- Fresenius (H.), **81:** Löslichkeit des Schwefelcadmiums in Schwefelammon 1191; spec. Gewicht von Karthoffeln 1214.
- Fresenius (H.) und Bergmann (F.), **80:** Kobalt und Nickel 1185; elektrolitische Silberbestimmung 1193 f.
- Fresenius (R.), **77:** Kaliumplatinchlorid 1052; Kupfer- und Schwefelbestimmung in Kiesen 1067; Ferrocyanuran und -kupfer 1068; Quelle von Alsmannshausen 1383; Birresborner Quelle 1384.
- 78:** Bestimmung des Schwefels in Kiesen und Abbränden 1044; Werthbestimmung des Zinkstaubes 1064; Schlangenbader Mineralwasser 1298 f.; Hunyadi János-Bittersalzquellen 1303 f.
- 80:** Schwefel in Schwefelkiesen 1153 f.; Vaseline 1367.
- 82:** Bestimmung der Phosphorsäure 1273; Kaliumbestimmung als Kaliumplatinchlorid 1282; Analyse der im Werkkupfer vorhandenen fremden Metalle 1299 f.; Analyse des Oberbrunnens zu Salzbrunn, Schlieren 1628.
- 84:** Analyse des Wassers der Stettiner Stahlquelle 2034.
- 85:** neue Reaction auf Titansäure 1929; Grenzwerte für Cement 2115; Untersuchung von Cementen 2115 f.
- 86:** Bestimmung der Arsensäure in Mineralwässern 1924; Bestimmung der Borsäure in dem Wiesbadener Kochbrunnen 1925; Trennung des Goldes und Platins von Zinn, Arsen und Antimon 1951; Verbesserung an Verbrennungsöfen 2009.
- Fresenius (R.) und Borgmann (E.), **83:** Analysen reiner Naturweine 1628; Untersuchung von Traubenweinen und Obstweinen 1739.
- 84:** Analysen reiner Naturweine 1665.
- Fresenius (R.) und Fresenius (W.), **84:** Untersuchung von Cement, hydraulischem Kalk, Schlackenmehl, Schlacke 1754 f.
- 85:** Untersuchung und Grenzwerte von Portlandcement 2116.
- Fresenius (R.) und Hintz (E.), **85:** Analyse von Zinnhärtlingen 1940.
- Fresenius (W.), **78:** Krystallform unterphosphors. Salze 224 f.; Phillipsit 1257 ff.
- 81:** Nachweis des Arsens 1174.
- 83:** Arsengehalt des Glases, Nachweis von Arsen nach dem Verfahren von Fresenius und Babo 1547 f.; Bestimmung der Gesamt-Weinsäure im rohen Weinstein 1606.
- 85:** Nickeltiegel zum Schmelzen von Aetzkalken 2000.
- 86:** Neugestaltung des titrimetrischen Systems 1896; siehe Haushofer (K.).
- Fresnel (A.), **84:** Circulation von geschlossenen Strömen um die Axe eines Magneten 275.
- Freudenreich (E. v.), **86:** Bacteriengehalt der Luft auf dem Lande 1881 f.; Bestimmung der Bacterien in der Luft 1882.
- Freund (A.), **81:** Trimethylen 347; Trimethylenalkohol 512.

- 82:** Propylen und Isopropylen (Trimethylen) 400 f.; Trimethylen und Trimethylenalkohol 647.
- Freund (L.), **83:** Amidonaphtalindisulfosäuren, Farbstoffe aus Amidonaphtalindisulfosäuren 1810.
- 84:** Darstellung von Azofarbstoffen aus Amidonaphtalindisulfosäuren und Naphtoldisulfosäure 1877 f.
- Freund (M.), **84:** Darstellung von Malonsäurederivaten 1109 bis 1112: Malonamid 1109; Dimethylmalonamid, Malonanilid, Monophenylmalonamid, Malonanilsäure 1110; Dimethyldiphenylmalonamid, Äthylmalonamid 1111; Salze der Äthylmalonsäure, Malontribromanilid 1111 f.; Dibrommalonamid, Dibromdimethylmalonamid 1112; Darstellung von Tartronsäure-Äthyläther 1114.
- Freund (M.) und Will (W.), **86:** Hydrastin aus Hydrastis canadensis 1822.
- Frey (H.), **85:** Basicität der Unterschwefelsäure 396.
- Freydl (J.), **83:** Destillation von Seignettesalz mit Kalk 1084 f., von citronensaurem Natrium mit Kalk 1085.
- Freytag (B.), **79:** Propionsäure-Derivate 603.
- Freytag (W.), siehe Beckurts (H.).
- Fricke (W.), siehe Hübner (H.).
- Fridolin, **84:** Untersuchung der Chebulinsäure aus den Früchten von Terminalia Chebula 1443 f.
- Fridolin (A.), **84:** vergleichende Untersuchung verschiedener Gerbstoffe 1445 f.
- Fried (C.), **80:** ätherische Oele, Reaction 1228.
- Friedburg (L. H.), **83:** Absorption von Stickstoffdioxid durch Schwefelkohlenstoff 307 f.; Schwefelkohlenstoff 337; siehe Grothe (O.).
- Friedel, **79:** Circularpolarisation des Alaus 4.
- 85:** Krystallform des Dimethylamin-Iridiumchlorids und Dimethylamin-Rhodiumchlorids 1614.
- Friedel und Crafts, **79:** Chloracetophenon aus Chloracetylchlorid 561.
- Friedel (A.), Crafts (J.) und Ador (E.), **77:** Synthese von Ketonen und Säuren 625.
- Friedel (C.), **77:** Monochlormethyläther 518.
- 79:** Pyroelektricität von Topas, Zinkblende, Quarz 133.
- 80:** Pyroelektricität von Topas, Blende und Quarz 175.
- 83:** Analyse des Brucits von Cogne, Valle d'Aosta 1844.
- 84:** Verbrennung von Diamant, Atomgewicht des Kohlenstoffs 366; Isomorphismus von Didym- und Bleimolybdat 396.
- 85:** Dissociation des Chloralhydrats 1294; siehe Cloizeaux (A. des); siehe Cumenge (E.).
- Friedel (C.) und Balsohn (M.), **79:** Oxydation von Äthylbenzol 368; Acetophenon aus Monobromstyrol 390.
- 80:** Triäthylbenzol, Oxydation 456 f.; Brom gegen Diphenylmethan 493 f.; Diphenylmethanmonobromid (Benzhydropbromid) gegen Ammoniak 494; Diphenyleessigsäure 891.
- 81:** Acetophenon 354; Ditolyläthylen 359 f.
- Friedel (C.) und Chaper (M.), **82:** Dawsonit von Toscana 1536 f.
- Friedel (C.) und Crafts (J. M.), **77:** Darstellung von Kohlenwasserstoffen und Ketonen 320.
- 78:** Oxydation von Benzol und Toluol durch Aluminiumchlorid 384; Synthese der Benzoesäure, von Benzolsulfonsäure, von  $\beta$ -(o)-Benzoylbenzoesäure 739; Synthese von Ketonen 740; Leuchtgas aus Aluminiumchlorid und Petroleum 1166.
- 80:** Penta- und Hexamethylbenzol 455.
- 81:** Homologe der Benzoylbenzoesäure: p-Toluy- und Duroylbenzoesäure 844 f.
- 82:** Einwirkung von Aluminiumchlorid auf organische Verbindungen (Hexamethylbenzol, Triphenylmethan) 371; Synthese des Triphenylmethans 425 f.
- 84:** Bildung von Ditolylmethan und Dimethylantracen aus Methylenchlorür und Toluol, von Diphenylmethan und Anthracen aus Methylenchlorür und Benzol, von Dimethylantracen aus Xylenchlorid und Aluminiumchlorid 530 f.; Umwandlung von Naphtalintetrahydrärsulfosäure in Naphtalintetrahydrür 1340 f.; Gewinnung von Kohlenwasserstoffen 1341.
- 85:** Einwirkung von Aluminiumchlorid auf aromatische Kohlenwasserstoffe 673 f.; quantitative Analyse von Gemischen aromatischer Kohlen-

- wasserstoffe, Trennung der vier isomeren Kohlenwasserstoffe  $C_8H_{10}$  1953 f.; Tetrabromxylol, Tribromäthylbenzol, Pentabromäthylbenzol 1953, Tetrabromphthalsäuren 1954.
- Friedel (C.), Crafts (J. M.) und Ador (E.), **79**: Durol, Substitutionsproducte 372 f.
- 84**: Methode der allgemeinen Darstellung aromatischer Kohlenwasserstoffe, Bildung von Benzolpentacarbonsäure bei der Oxydation von Pentamethylbenzol, Bildung von Triphenylcarbinol und Triphenylcarbinol-Methyläther aus Benzol mit Tetrachlorkohlenstoff 528.
- Friedel (C.) und Curie (J.), **83**: Pyroelektricität des Quarzes 198 f.
- 85**: Pyroelektricität des Topases 228.
- Friedel (C.) und Ladenburg (A.), **80**: Aethylreihe des Siliciums 937.
- Friedel (C.) und Roux (L.), **85**: Einwirkung von Aluminiumchlorid auf Aluminium bei erhöhter Temperatur 473 f.
- Friedel (C.) und Sarasin (E.), **81**: Orthoklas 1401.
- 83**: künstliche Darstellung von Albit, Analcim und Orthoklas 1897 f.
- Friederici, **80**: Kjerulfins 1435; Barsowit 1475; siehe Bauer (M.).
- Friederici und Bauer (M.), **82**: Metaxit von Reichenstein 1555.
- Friederici (Th.), **78**: m-Nitro-p-trichloracetoluid 679 f.; m-Nitro-p-valeryltoluid 680; Oxydation von Dinitroacetoluid, Dinitrotoluidin 755 f.
- 84**: Untersuchung der Destillationsproducte von der Knallquecksilberfabrikation 1752.
- Friedl (W.), **85**: Analyse eines Stauroliths 2288.
- Friedheim (C.), **86**: Bestimmung des Schwefels in Sulfiden 1911.
- Friedländer, **78**: Krystallform des  $\alpha$ -brommesitylens. Baryums 795; Krystallform eines Baryumsalzes mit 5 Mol. Propionat und 1 Mol. Acetat 1020 f.
- 80**: Krystallform von o-Mononitrozimmtsäure-Aethyläther 582; siehe Ditscheiner.
- Friedländer (C.) und Herter (E.), **78**: Wirkung der Kohlensäure auf den thierischen Organismus 1007 f.
- 79**: Wirkung des Sauerstoffmangels auf den thierischen Organismus 949 f.
- Friedländer (E.), **83**: Derivate des  $\alpha$ - und  $\beta$ -Naphthols: Phenyl- $\beta$ -naphthylamin und Phenyl- $\alpha$ -naphthylamin 941; p-Tolyl- $\beta$ -naphthylamin und Derivate 941 f.; p-Tolyl- $\alpha$ -naphthylamin 942; o-Tolyl- $\beta$ -naphthylamin und Derivate 942 f.; o-Tolyl- $\alpha$ -naphthylamin 943.
- Friedländer (F.), siehe Tiemann (F.).
- Friedländer (L.), siehe Tiemann (F.).
- Friedländer (P.), **77**: disulfammonsaures Kalium 212; benzolsulfins. Diazobenzol 493; Diphenylenketon 635; Dichloracetanilid 684; Trinitrobenzoessäure 743; Diphenylglycolsäure 804; Diphenylenketon, Diphenylenessigsäure, Dibromdiphenylenglycolsäure 805.
- 79**: isomorphe Vertretung von Kupfer und Baryum 10; Krystallform des Arsenjodürs 228; Trinitrobenzol 394; Trinitrotoluol 395 f.; Trinitromesitylen 396; Isodinitrodiphenylmethan 397; Pikramid 417; benzolsulfinsaures Diazobenzol 451; Isoindol 475; Fluorenalkohol 504 f.; Trinitroanisol 514; Anthrachinon 587; Senfölessigsäure 600; propionsaures Baryum 603; Doppelsalz von propionsaurem und essigsaurem Baryum 604; Cinchoninsäure 805.
- 81**: p-Nitrozimmtsäureäther gegen Salpetersäure (Dinitrozimmtsäureäther?) 807 f.; Krystallform von Cinchen 940.
- 82**: kristallographische Untersuchung organischer Substanzen 366 f.; o-Amidobenzaldehyd aus o-Nitrobenzaldehyd, aus Antranil 750 f.; Acetyl-o-amidobenzaldehyd 751; Krystallform der  $\alpha$ -Ditolylpropionsäure 981.
- 83**: p-Mononitrobenzaldoxim 972 f.
- 84**: p-Amidobenzylecyanid, Ueberführung in p-Amidophenyllessigsäure, Reduction von m-Nitrophenylnitroacrylsäureäther zu m-Amidobenzylecyanid 490 f.
- 85**: Darstellung von Indophenin und Dibromindophenin aus Thiophen 1152.
- Friedländer (P.) und Göhring (C. F.), **83**: Chinolinderivate aus o-Monoamidobenzaldehyd 1309 f.; Chinolin, Chinalin,  $\alpha$ -Phenylchinolin,  $\beta$ -Phenylchinolin, Methylchinolin- $\beta$ -carbonsäure-Aethyläther, Oxychinolin-

methylketon, Oxychinolinphenylketon 1310.

**84:** Darstellung und Derivate von o- und m-Monoamidobenzaldehyd 1038 f.; Einwirkung von o-Amidobenzaldehyd auf Malonsäure:  $\beta$ -Carbostyrylcarbonsäure;  $\alpha$ -Chlor- $\beta$ -chinolincarbonensäure,  $\alpha$ -Aethoxy- $\beta$ -chinolincarbonensäure 1039.

Friedländer (P.) und Henriques (R.), **81:** o-Mononitrobenzaldehyd 601; o-Mononitrobenzylalkohol 602.

**82:** Reduction des o-Mononitrobenzaldehyds: Anthranil und Derivate, o-Amidobenzylalkohol, Amidobenzaldehyd 749 f.

Friedländer (P.) und Lazarus (M.), **85:** Nitrirung von m-, o-Mononitrozimmtsäure und anderer Zimmtsäurederivate 1507 bis 1510:  $\omega$ -3-Dinitrostyrol,  $\alpha$ -3-Dinitrozimmtsäureäther, m-Nitrophenyläthoxydibromnitroäthan 1507; m-Nitrophenylmethoxydibromnitroäthan, Salze der m-Diamidohydrozimmtsäure,  $\beta$ -Nitro-o-amidozimmtsäure,  $\alpha$ -Nitro-o-amidozimmtsäure 1508;  $\alpha$ - und  $\beta$ -Nitrocarbostyryl,  $\alpha$ -Nitroamidozimmtsäureäther,  $\gamma$ -Nitro- und  $\gamma$ -Amidcarbostyryl, Nitro-p-amido- $\omega$ -nitrostyrol 1509; Acetylderivat desselben 1509 f.

Friedländer (P.) und Mähly (J.), **83:** Isoindol, Dinitrozimmtsäure-Aethyläther gegen Zinn und Salzsäure: p-Monoamidophenylamphinitril 819 f.; Dinitrozimmtsäureäther 1184 f.; Dinitrozimmtsäure, Dinitrostyrol, Verhalten der Dinitrozimmtsäureäther beim Umkrystallisiren aus Methyl- oder Aethylalkohol 1185; Diamidozimmtsäure 1186.

**85:** Nitrirung des p-Mononitrozimmtsäureäthers 1505 bis 1507:  $\alpha$ -4-Dinitrozimmtsäureäther, p-Nitrobenzaldoxim 1505; p-Nitrophenyl- $\alpha$ -nitro- $\beta$ -milchsäureäther, p-Nitrophenyl- $\beta$ -äthoxynitropropionsäuremethylether und -äthyläther 1506;  $\omega$ -4-Dinitrostyrol 1506 f.

Friedländer (P.) und Ostermaier (H.), **81:** Carbostyryl, Aethylcarbostyryl 810; Oxycarbostyryl, Aethyloxycarbostyryl 811.

**82:** Derivate des Carbostyryls: Oxalylanthranilsäure (Carboxalylsäure); Carbostyryl und Oxycarbostyryl gegen Chlorphosphor: Monochlorchinolin 610; Tetrahydrochinolin,

Aethylcarbostyryl, Dihydroäthylcarbostyryl, Methylcarbostyryl, Phenylcarbostyryl; Dichlorchinolin gegen Kali: Monochloräthylcarbostyryl, Monochlorcarbostyryl 611.

Friedländer (P.) und Weinberg (A.), **82:** Carbostyrylnatrium und -silber gegen Jodäthyl: Aethylcarbostyryl und ein Polymeres; Carbostyryl aus o-Monoamidozimmtsäure-Aethyläther, o-Monoamidohydrozimmtsäure, Hydrocarbostyryl 612; Aethylcarbostyryl gegen Natriumamalgam, gegen Brom: Dihydroäthylcarbostyryl, Hydrocarbostyryl-Aethyläther, Tetrahydroäthylcarbostyryl, Monobrommethylcarbostyryl 613; Monobromcarbostyryl, Mono- und Dibromcarbostyryle 613 f.; Trichlorchinolin 614; Constitution des Carbostyryls: Monoamidozimmtsäure-Aethyläther gegen Chlorzink und Alkohol, Bildung von Aethylcarbostyryl (Aethoxychinolin); o-Nitrohydrozimmtsäure-Aethyläther gegen reduzierende Mittel: Hydrocarbostyryl-Aethyläther, Aethylhydrocarbostyryl: Aethylamidozimmtsäure gegen Natriumamalgam: Aethylamidohydrozimmtsäure, Lactam und Lactim der Amidohydrozimmtsäure 614 f.; Monochlorchinoline, Monochlorcarbostyryle, Dichlorchinoline 615; Oxycarbostyryle (Dioxychinoline),  $\gamma$ -Monobromcarbostyryl 616;  $\gamma$ -Monochlorcarbostyryläther,  $\alpha$ -Oxychinophenol (Benzooxycarbostyryl) 617;  $\alpha$ -Chlorchinophenol 618.

**85:** Derivate des Carbostyryls 990 bis 993: Darstellung von Py-1-Aethoxychinolin, Aethyl- und Methylpseudocarbostyryl 990 f.; Py-1-Jodchinolin, Phenylchinolinamin 992; p-Monobromphenylchinolinamin, Base  $C_9H_8N(NC_6H_5)_2$  993.

Friedländer (P.) und Wleügel (S.), **83:** Anthranilmonocarbonensäure 701 f.; Monobenzoylanthranil, Constitution des Anthranils 702.

Friedmann (A.), **85:** Gase in Blasenbildungen starker Puddel-Eisenbleche 2027.

Friedrich (A. R.), **80:** Brommethacrylsäure 790.

Friedrich (R.), **81:** Dichloraldehydhydrat 588; dichloressigs. Kalium 672.

**82:** Zersetzung isomerer monohalogenisirter Crotonsäuren, sowie  $\alpha$ -Methyl- $\beta$ -chlorcrotonsäure durch Alkalien: Tetrolsäure 834.



- 83:** Derivate der Monochlorcrotonsäuren:  $\beta$ -Aethoxycrotonsäure 1056 f.; Tetrolsäure aus den  $\beta$ -Chlorcrotonsäuren, Constitution der  $\beta$ -Chlorisocrotonsäure 1057;  $\alpha$ -Methyl- $\beta$ -äthoxycrotonsäure aus  $\alpha$ -Methyl- $\beta$ -chlorcrotonsäure 1057 f.;  $\alpha$ -Monochlorcrotonsäure aus Butylchloral und aus  $\alpha$ - $\beta$ -Dichlorbuttersäure, Constitution des Butylchlorals 1058; siehe Emmert (A.).
- Friedrichs, siehe Greiner.
- Fried (G. P.), siehe Micklewood.
- Fries, **80:** Umsetzung zwischen schwefelsaurem Natron und Kalk 1295.
- Fries (H. H.), **86:** Einwirkung von Cyanurchlorid auf  $\alpha$ -Naphthylamin: einfach- und zweifach- $\alpha$ -naphthylamidirtes Cyanurchlorid,  $\alpha$ -Trinaphthylmelamin 544; Einwirkung von Cyanurchlorid auf  $\beta$ -Naphthylamin, Toluylendiamin und Phenylhydrazin 544 f.; Toluidyl- und Anilylmelamin 545.
- Fries (L.), siehe Bungener (H.).
- Friese (G.), **81:** Chinolin, weins. und salicyls. Chinolin 918; siehe Bernthsen (A.).
- Friese (v.), **77:** Phosphorzinn 1121.
- Frische (P.), **84:** Untersuchung nitrirter p-Kresylbenzyläther aus Mono- resp. Dinitro-p-kresol: Mononitrokresylbenzyläther 1001; Dinitrokresylbenzyläther, Kresyl-p-mononitrobenzyläther, Mononitrokresylnitrobenzyläther, Dinitrokresylnitrobenzyläther 1002.
- Frischmuth (W.), **84:** Aluminiumdarstellung 1703.
- Friswell (R. J.) und Green (A. G.), **85:** Amidoazobenzol aus Diazoamidobenzol 1048 f.; Diamidoazo- und Diamidotolualazobenzol (Crysoidine) 1049; Oxyazo- aus Azoxybenzol 1050.
- 86:** Constitution des Diazoamidobenzols (Diazobenzolanilid), Darstellung von Methyl- und Benzylidiazamidobenzol 1029 f.
- Friswell (R. J.) und Greenaway (A. J.), **77:** Thalliumplatincyamid 314.
- Fritsch (H.), **78:** Erregung der Elektrizität durch Druck und Reibung 129.
- Fritsch (K. v.), **79:** Reinit 1196.
- Fritsch (P.), siehe Baeyer (A.).
- Fritzsche (G.), **86:** Reinigung von Rübensäften 2124.
- Fritts (G. E.), **83:** neue Form der Selenzelle 204.
- Fritts (Ch.), **85:** Selenzellen 248.
- Fritz (H.), **80:** Zähigkeit der Metalle und ihr Aequivalent 4.
- 84:** Beziehung zwischen Atomgewicht, specifischer Wärme, specifischem Gewicht und Schmelztemperatur 168 f.
- Fritzsche (P.), **79:** Phenoxacetsäure 694 f.
- Fröchtling (L.), **83:** Di-m-nitrobenzoesäure 1123; siehe Böcker.
- Fröhlich (E.), **84:** Derivate des Pseudocumidins 721 bis 726: Phtalpseudocumid 721; Phtalbenzopseudocumid, Phtalbenzopseudocumidsäure, Benzopseudocumidin 722; Benzopseudocumenol, Phtalpseudocumidamid, Methylphtalpseudocumidamid 723; Allylphtalpseudocumidamid, Phtalpseudocumidsäure, Phtalbenzopseudocumidsäure 724; Benzopseudocumidinderivate, Dimethylbenzopseudocumidinjodmethylat, Einwirkung von Benzoylchlorid auf die Phtalverbindungen der drei Toluidine, Phtal-o-toluidsäure 725; Phtal-m-, Phtal-p-toluidsäure, Phtalbenzo-p-toluid, Phtalbenzo-p-toluidsäure, Constitution des Pseudocumidins 726.
- Fröhlich (J.), **80:** elektrodynamische Elementargesetze 148.
- 83:** Bestimmung des Ohm 211.
- 84:** Ausföhrung von absoluten Widerstandsmessungen 248.
- Fröhlich (O.), **83:** Widerstand des elektrischen Lichtbogens 218.
- Frölich (O.), **84:** Einwirkungsproducte von Stickoxyd auf Brom 357.
- 86:** Magnetisierungsformel 282; siehe Geuther (A.).
- Fromme (C.), **79:** Einfluss der Concentration auf die elektromotorische Kraft 134; Volumzunahme beim Härten des Stahls 247; Härten des Stahls 1096.
- 81:** elektromotorische Kraft galvanischer Combinationen 90; temporärer Magnetismus des weichen Eisens 107.
- 83:** elektrisches Verhalten von Platin, Palladium, Gold, Gaskohle und Aluminium in Bunsen'scher Chromsäurelösung und in Salpetersäure 208; magnetische Experimentalarbeiten 228.
- 84:** Molekularzustand des Eisens (Härtung des Stahls) 38 f.

- 86:** Polarisationserscheinungen 272 f.  
 Frommel (J.), siehe Clermont (Ph. de).  
 Frommüller, **77:** Leuchtgasfabriken 1215.  
**79:** Scoparin, Spartein 914.  
 Frommüller (C.), **78:** Doppelsalze des Talliumcyanürs und ein neues Talliumcyanürcyanid 291 f.  
 Frost, **85:** Ausscheidungsverfahren für Zucker 2142.  
 Frost (B.), **84:** Untersuchung von Terebin- und Teraconsäure, Terebilensäure 1170 f.  
 Frost (R.), **82:** krystallisiertes unterchlorigs. Calcium 270.  
 Frühling, siehe Delbrück.  
 Frühling (J.), **82:**  $\gamma$ -Oxybuttersäure aus Trimethylenalkohol, Trimethylenbromhydrin, Trimethylecyanhydrin,  $\gamma$ -Butyrolacton 838 f.  
 Frühling (R.) und Schultz (Julius), **77:** Betain 694.  
 Frutiger (G.), **86:** Ureometer 2013; siehe Prevost (J. L.).  
 Fubini(S.) und Santangelo la Seta, **83:** Einfluss des citronensauren Eisens auf die Harnstoffausscheidung 1470.  
 Fubini (S.) und Spallita (F.), **83:** Einfluss des Jodoforms auf die Harnstoffausscheidung 1470 f.  
 Fuchs (D.), **82:** Milchuntersuchung 1343.  
 Fuchs (E.), siehe Cumenge (E.).  
 Fuchs (E.) und Saladin (E.), **82:** Analysen von anamitischer Steinkohle 1577.  
 Fuchs (Fr.), **80:** Messungen elektromotorischer Kräfte 152; Interferenzphotometer 187.  
**82:** Neuerungen an Spectralapparaten 1350; siehe Pinner (A.).  
 Fuchs (K.), **86:** Randwinkel einander berührender Flüssigkeiten 133 f.  
 Fuchs (Th.), **77:** Flysch (Lava) 1366.  
 Fudakowski (H.), **78:** Milchezucker und andere Zuckerarten 921 f.  
 Fudakowsky, **80:** Drehungsvermögen der Lactose 1019.  
 Füller, **77:** Chromsäurekette 151.  
 Fürbringer (P.), **78:** Erkennung von Quecksilber in thierischen Substanzen 1091.  
**79:** Kochen von eiweißhaltigen, sauren Harnen 1080.  
**81:** Blut gegen Quecksilber 1046.  
 Fürst (E.), **78:** Bildung von Monochloressigsäure bei der Einwirkung von Unterchlorsäureanhydrid auf Aethylen 371.  
**81:** Chloressäure aus Unterchlorsäure und Kaliumpermanganat 176; Aethylen gegen Unterchlorsäureanhydrid 347.  
 Fürstenau (C.), **80:** Anhydridgehalt der rauchenden Schwefelsäure 1155.  
 Fürth (A.), **83:** Isonitrososäuren:  $\alpha$ -Isonitrosovaleriansäure, o- und p-Aldehydosalicylsäure gegen Hydroxylamin: o- und p-Aldoximsalicylsäure 1024.  
 Fürth (H.), **81:** Berberonsäure 761.  
**83:** Kohlenwasserstoff  $C_{16}H_{12}$  aus Coccinin und Carmin, Coccinin gegen Acetylchlorid 1497.  
 Fues, **84:** Thermometer zur Bestimmung des Einflusses der Zusammensetzung des Glases auf die Depressionserscheinungen 158.  
 Fuefs (R.), **82:** Wärmeausdehnung des Hartgummis 37.  
**86:** anomale Erscheinung an einen Luftthermometer 179 f.  
 Fuller, siehe Thomas.  
 Fullerton (H. B.), **77:** spezifisches Gewicht von Salzen 43.  
 Fulton (H. B.), **86:** Entfernung des Arsens bei der Kupfergewinnung aus Pyriten 2044.  
 Funaro, **84:** Analyse von Wollastonit 1965.  
 Funaro (A.), **77:** Mangan von Eisen 1064.  
**78:** Mutterlauge und Mutterlauge nsalz der Saline von Volterra 1312 f.  
**80:** Oliven 1067.  
**81:** trockene Destillation des bernsteins. Calciums 708; Magnetkies 1351; Frigidit 1353.  
**82:** Analysen italienischer Futterstoffe 1423 ff.; siehe Sestini (F.); siehe Sestini (L.).  
 Funaro (A.) und Busatti (L.), **83:** Analyse des Aphrosiderits von Bottino bei Serravezza 1887; Analyse des Wollastonits von St. Vito, Sardinien 1888.  
 Funaro (A.) und Danesi (L.), **80:** Succinin 799.  
 Funke (W.), siehe Wolff (E.).  
 Furry (F. E.), **84:** Untersuchung des Verhaltens der Jodsäure als Indicator 1547.

## G.

Gabriel (L.), **84**: Bildung von Verbindungen durch Druck 35 f.

Gabriel (S.), **77**: Disulfocyanbenzol 373; Orthoameisensäure-Aethyläther, Orthothioameisensäure-Phenyläther 670; siehe Biedermann (R.); siehe Michael (A.).

**78**: substituierte Phtalanile 789 f.

**79**: Cyankalium gegen Salze einiger Diazoverbindungen 451 f.

**80**: Base aus Phtalimid 861 f.

**81**: p-Nitrophenylessigsäure 781; Condensationsproducte aus Phtalsäureanhydrid 798 f.; Acetophenon-carbonsäureanhydrid, Phenoxy-methylenphtalyl, Phenoxacetophenon-carbonsäure, Kresoxymethylenphtalyl 799; o-Tribenzoylenbenzol, Methylenphtalyl 800; p-Kresoxacetsäure 823.

**82**: Synthese und Constitution der Nitrosomethylnitrobenzole 460 ff.; m-Nitrobenzylalldoxim und Derivate, m-Nitrophenylmethylacetoxim 462; o-Amidobenzaldehyd aus Nitrosomethyl-o-amidobenzol 748 f.; Derivate des p-Amidobenzylcyanids und der Phenylessigsäure 916 bis 921: Nitrosomethyl-m-nitro-p-diazobenzolchlorid, Nitrosomethyl-m-nitrobenzol 918; Dihalogennitrosomethylbenzole, Dihalogenzimmtsäuren 921; m-p-Diamidohydrozimmtsäure, m-Brom-p-acetamidohydrozimmtsäure 933; m-Brom-p-amidohydrozimmtsäure, Diazoamidobromhydrozimmtsäure, m-Bromhydrozimmtsäure, o-Bromzimmtsäure, o-Bromhydrozimmtsäure, m-Diazozimmtsäure 934; m-Cumarsäure, m-Bromzimmtsäure, m-Bromhydrozimmtsäure; p-Diazozimmtsäurechlorid, p-Bromzimmtsäure 935.

**83**: Nitrosooxindol, aromatische Isonitroverbindungen: o-Mononitrophenylnitrosoessigsäure-Aethyläther 609; Phenylisonitrosoessigsäure-Aethyläther 609 f.; m-Mononitrobenzalldoxim und Derivate 610 f.; m-Monoamidobenzalldoxim 973; m-Monoamidobenzaldehyd 973 f.; innere Anhydride einer  $\beta$ -Isonitrosopropion-o-benzoesäure und der Phenylmethylacetoxim-o-carbonsäure 1214 f.; innere Anhydrid der Dibromphenylmethylacetoxim-o-carbonsäure 1215 f.

**84**: Phtalacenderivate 567 f.: Phtalacenoxyd, Monobromphtalacen, Monobromphtalacenoxyd, Dinitrophtalacen 567; Oximidophtalacen, Phtalacensäure 568; Einwirkung von Phtalsäureanhydrid auf Acetessigäther 1239 ff.; Phtalacen, Phtalacencarbonsäure, Hydrophthalacencarbonsäureäther 1240; Dioximidophtalacencarbonsäure, Hydrophthalacencarbonsäure 1241: Darstellung von Derivaten der Phtalylessigsäure 1272 ff.: Methylenphtalid 1272; Methylenphtaliddibromür, Acetophenoncarbonsäure, Methylenphtalidoxyd 1273; Brommethylenphtalid, Brommethylenphtaliddibromür, Benzylidenphtalid, Benzylidenphtaliddibromür 1274.

**85**: Synthese von Isochinolinderivaten aus Benzylidenphtalid, 971 bis 975: Darstellung von Benzylidenphtalid, Nitrobenzylidenphtalid, Isobenzalphtalid, Isobenzalphtalimidin 972; Verbindung  $C_{11}H_{10}NCl$  und eine isomere 973; Verbindung  $C_{11}H_{11}N$ , (3) Phenyl (1, 4) Dichlorisochinolin, (3) Phenyl (1) chlorisochinolin, (3) Phenyl (4) chlorisochinolin, (3) Phenylisochinolin 974; (3) Phenyltetrahydroisochinolin, Darstellung von  $\alpha$ -Toluylenhydrat-o-carbonsäure und ihres Lactons 975; Untersuchung des Benzylidenphtalids 1492 bis 1499: Dinitrobenzylidenphtalid (Benzylidenphtaliddinitrür) 1492; Mononitromethylbenzol (Phenylnitromethan), Mononitrobenzylidenphtalid 1493; Desoxybenzoïncarbonsäureamid, Phtalimidylenbenzyl (Benzalphtalimidin), Desoxybenzoïncarbonsäureäthylamid,  $\alpha$ -Lacton der Benzylphenylacetoxim-o-carbonsäure 1494; Benzalphtaläthimidin, Monobrombenzalphtalimidin (Phtalimidylbrombenzyl), Monochlorbenzalphtalimidin, Oxynitrobenzylphtalimidin, Mononitrobenzalphtalimidin 1495; Mononitrobenzalphtalimidinsäure 1496; o-Dibenzylcarbonsäure, Monobrombenzylidenphtalid, Benzylphtalimidin, Benzylnitrosophtalimidin Isobenzylidenphtalid (Isobenzalphtalid) 1497;  $\beta$ -Desoxybenzoïn-o-carbonsäure,  $\beta$ -Toluylenhydrat-o-carbonsäure, Lacton der  $\beta$ -Benzylphenylacetoxim-o-carbonsäure, Isobenzalphtalimidin 1498; Phtalmethimidylessigsäure, Methylamidobenzoylessig-o-carbonsäure, Formel der Phtalimi-

- 86:** Polarisationserscheinungen 272 f.  
 Frommel (J.), siehe Clermont (Ph. de).  
 Frommüller, **77:** Leuchtgasfabriken 1215.  
**79:** Scoparin, Spartein 914.  
 Frommüller (C.), **78:** Doppelsalze des Talliumcyanürs und ein neues Talliumcyanürcyanid 291 f.  
 Frost, **85:** Ausscheidungsverfahren für Zucker 2142.  
 Frost (B.), **84:** Untersuchung von Terebin- und Teraconsäure, Terebilensäure 1170 f.  
 Frost (R.), **82:** krystallisiertes unterchlorigs. Calcium 270.  
 Frühling, siehe Delbrück.  
 Frühling (J.), **82:**  $\gamma$ -Oxybuttersäure aus Trimethylenalkohol, Trimethylenbromhydrin, Trimethylencyanhydrin,  $\gamma$ -Butyrolacton 838 f.  
 Frühling (R.) und Schultz (Julius), **77:** Betain 694.  
 Frutiger (G.), **86:** Ureometer 2013; siehe Prevost (J. L.).  
 Fubini (S.) und Santangelo la Seta, **83:** Einfluss des citronensauren Eisens auf die Harnstoffausscheidung 1470.  
 Fubini (S.) und Spallita (F.), **83:** Einfluss des Jodoforms auf die Harnstoffausscheidung 1470 f.  
 Fuchs (D.), **82:** Milchuntersuchung 1343.  
 Fuchs (E.), siehe Cumenge (E.).  
 Fuchs (E.) und Saladin (E.), **82:** Analysen von anamitischer Steinkohle 1577.  
 Fuchs (Fr.), **80:** Messungen elektromotorischer Kräfte 152; Interferenzphotometer 187.  
**82:** Neuerungen an Spectralapparaten 1350; siehe Pinner (A.).  
 Fuchs (K.), **86:** Randwinkel einander berührender Flüssigkeiten 133 f.  
 Fuchs (Th.), **77:** Flysch (Lava) 1366.  
 Fudakowski (H.), **78:** Milchezucker und andere Zuckerarten 921 f.  
 Fudakowsky, **80:** Drehungsvermögen der Lactose 1019.  
 Füller, **77:** Chromsäurekette 151.  
 Fürbringer (P.), **78:** Erkennung von Quecksilber in thierischen Substanzen 1091.  
**79:** Kochen von eiweißhaltigen, sauren Harnen 1080.  
**81:** Blut gegen Quecksilber 1046.  
 Fürst (E.), **78:** Bildung von Monochloressigsäure bei der Einwirkung von Unterchlorsäureanhydrid auf Aethylen 371.  
**81:** Chlorsäure aus Unterchlorsäure und Kaliumpermanganat 176; Aethylen gegen Unterchlorsäureanhydrid 347.  
 Fürstenau (C.), **80:** Anhydridgehalt der rauchenden Schwefelsäure 1155.  
 Fürth (A.), **83:** Isonitrososäuren:  $\alpha$ -Isonitrosovaleriansäure, o- und p-Aldehydosalicylsäure gegen Hydroxylamin: o- und p-Aldoximsalicylsäure 1024.  
 Fürth (H.), **81:** Berberonsäure 761.  
**83:** Kohlenwasserstoff  $C_{14}H_{12}$  aus Coccinin und Carmin, Coccinin gegen Acetylchlorid 1497.  
 Fues, **84:** Thermometer zur Bestimmung des Einflusses der Zusammensetzung des Glases auf die Depressionserscheinungen 158.  
 Fufes (R.), **82:** Wärmeausdehnung des Hartgummis 37.  
**86:** anomale Erscheinung an einem Luftthermometer 179 f.  
 Fuller, siehe Thomas.  
 Fullerton (H. B.), **77:** spezifisches Gewicht von Salzen 43.  
 Fulton (H. B.), **86:** Entfernung des Arsens bei der Kupfergewinnung aus Pyriten 2044.  
 Funaro, **84:** Analyse von Wollastonit 1965.  
 Funaro (A.), **77:** Mangan von Eisen 1064.  
**78:** Mutterlauge und Mutterlaugensalz der Saline von Volterra 1312 f.  
**80:** Oliven 1067.  
**81:** trockene Destillation des bersteins. Calciums 708; Magnetkies 1351; Frigidit 1359.  
**82:** Analysen italienischer Futterstoffe 1423 ff.; siehe Sestini (F.); siehe Sestini (L.).  
 Funaro (A.) und Busatti (L.), **83:** Analyse des Aphrosiderits von Bottino bei Serravezza 1887; Analyse des Wollastonits von St. Vito, Santeramo 1888.  
 Funaro (A.) und De Succi 799.  
 Funke (W.)  
 Furry (F.)  
 Verhalte  
 1547.

**G.**

Gabriel (L.), 84: Bildung von Verbindungen durch Druck 35 f.

Gabriel (S.), **77**: Disulfocyanbenzol 373; Orthoameisensäure-Aethyläther, Orthothioameisensäure - Phenyläther 670; siehe Biedermann (R.); siehe Michael (A.).

**78:** substituirte Phtalanile 789 f.

**79:** Cyankalium gegen Salze einiger Diazoverbindungen 451 f.

**80:** Base aus Phtalimid 861 f.

**81:** p-Nitrophenyllessigsäure 781; Condensationsprodukte aus Phtal-säureanhydrid 798 f.; Acetophenon-carbonsäureanhydrid, Phenoxy-methylenphtalyl, Phenoxacetophenon-carbonsäure, Kresoxymethylenphtalyl 799; o-Tribenzyloxybenzol, Methylen-phtalyl 800; p-Kresoxacetsäure 828.

**82:** Synthese und Constitution der Nitrosomethylnitrobenzole 460 ff.; m-Nitrobenzylaldehyd und Derivate, m-Nitrophenylmethylacetoxim 462; o-Amidobenzaldehyd aus Nitrosomethyl-o-amidobenzol 748 f.; Derivate des p-Amidobenzylecyanids und der Phenylacessigsäure 916 bis 921: Nitrosomethyl-m-nitro-p-diazobenzolchlorid, Nitrosomethyl-m-nitrobenzol 918; Dihalogennitrosomethylbenzole, Dihalogenbenzaldehyde, Dihalogenzimmtsäuren 921; m-p-Diamidohydrozimmtsäure, m-Brom-p-acetamidohydrozimmtsäure 933; m-Brom-p-amidohydrozimmtsäure, Diazoamidobromhydrozimmtsäure, m-Bromhydrozimmtsäure, o-Bromzimmtsäure, o-Bromhydrozimmtsäure, m-Diazozimmtsäure 934; m-Cumarsäure, m-Bromzimmtsäure, m-Bromhydrozimmtsäure; p-Diazozimmtsäurechlorid, p-Bromzimmtsäure 935.

**83:** Nitrosooxindol, n. tische  
Isositroverbindungen. Nitro-  
phenylnitrosoessigsä. 10

609: Phenyl

Author's address: *University of Twente, Enschede, The Netherlands*

and T

1992



1



---

**84** : Phtalacenderivate 567 f.: Phtalacenoxyd, Monobromphtalacen, Monobromphtalacenoxyd, Dinitrophtalacen 567; Oximidophtalacen, Phtalacensäure 568; Einwirkung von Phtalsäureanhydrid auf Acetessigäther 1239 ff.; Phtalacen, Phtalacencarbonsäure, Hydrophthalacencarbonsäureäther 1240; Dioximidophtalacencarbonsäure, Hydrophthalacencarbonsäure 1241; Darstellung von Derivaten der Phtallylessigsäure 1272 ff.: Methylenphtalid 1272; Methylenphtaliddibromür, Acetophenoncarbonsäure, Methylenphtalidoxyd 1273; Brommethylenphtalid, Brommethylenphtaliddibromür, Benzylidenphtalid, Benzylidenphtaliddibromür 1274.

**85:** Synthese von Isochinolinderivaten aus Benzylidenphthalid, 971 bis 975: Darstellung von Benzylidenphthalid, Nitrobenzylidenphthalid, Isobenzalphthalid, Isobenzalphthalimidin 972; Verbindung  $C_{11}H_9NOCl$  und eine isomere 973; Verbindung  $C_{11}H_{11}N$ , (3) Phenyl (1, 4) Dichlorisochinolin, (3) Phenyl (1) chlorisochinolin, (3) Phenyl (4) chlorisochinolin, (3) Phenylisochinolin 974; (3) Phenyltetrahydroisochinolin, Darstellung von  $\alpha$ -Toluylenhydrat- $\alpha$ -carbonsäure und ihres Lactons 975; Untersuchung des Benzylidenphthalids 1492 bis 1499: Dinitrobenzylidenphthalid (Benzylidenphthalid-dinitrür) 1492; Mononitromethylbenzol (Phenylnitromethan), Mononitrobenzylidenphthalid 1493; Desoxybenzoincarbonsäureamid, Phthalidmethylbenzyl (Benzalphthalimidin), Desoxybenzoicarbonsäurethylamid,  $\alpha$ -Lacton der Benzylphenylacetoxim- $\alpha$ -carbonsäure 1494; Benzalphthalimidin, Monobrombenzalphthalid (Phthalimidylbromid), Monochlorbenzalphthalimid, Monobenzylphthalimid, Monophthalimidin, Phthalimidin, Phthalimidin.

carbonsäure,  
lid, Benzyl-  
phthalimidin  
benzylphthal-  
imidin-*o*-carbam-  
drat-*o*-carbam-  
Benzylphenyl-  
säure, Isobenzal-  
Phthalimidin  
imidolbenzylamid-  
mel der 1<sup>er</sup>

dylessigsäure 1499; Methylenphtal-methimidin, Cyanbenzylidenphtalid 1500 f.; Darstellung von Zimmtsäure- und Stilbendinitrür 1504 f.

**86:** Synthese des Isochinolins aus Isuvitinsäure (Phenylessig-o-carbonsäure) 918 f.; Derivate und Salze desselben 919 bis 923: Mono- und (1, 3) Dichlorisochinolin 919; Homo-o-phtalimid 919 f.; (1, 3)-Monochloroxy-, (1, 3)-Monochlormethoxy-, (3)-Monochlorisochinolin 920 f.; (1, 3, 4)-Methoxyphenylchlor-, (3, 1)-Phenäthoxy-, (1, 3)-Aethoxychlorisochinolin 921; (1, 3)-Methoxychlor-, (1, 3)-Oxychlorisochinolin 922; Eigenschaften und Salze des Isochinolins 923; Isochinolinderivate: (3)-Phenyl-(1)-chlorisochinolin 950; (3, 1, 4)-Phenylloxynitroisochinolin aus Isobenzalphtalimidin, (3, 1, 4)-Phenylmethoxynitroisochinolin 951; (3, 1, 4)-Phenylloxymidoisochinolin 951 f.; (3, 1, 4)-Phenylchlornitroisochinolin 952; (3, 4)-Phenylamidoisochinolin 952 f.; (3, 1)-Phenylloxäthylisochinolin 953; Einwirkung von salpetriger Säure auf Aethindiphtalid: Aethindiphtaliddinitrür, Nitroäthindiphtalid 1412 f., von Untersalpetersäure auf Aethylidenphtalid: Aethylidenphtaliddinitrür 1413, von alkoholischem Ammoniak auf Aethylidenphtalid: Propiophenon-o-carbonsäureamid 1413 f.; auf Aethylidendibenzoyldicarbonsäure: Pyrrolidibenzoesäure (?) 1414; Di- u. Trimethylhomo-o-phtalimid, Homo-o-phtalmethylimid 1470 f.

Gabriel (S.) und Borgmann (O.), **83:** m-Mononitrophenylessigsäure aus m-Mononitrobenzylchlorid 1146 f.; o-Mononitrophenylessigsäure aus o-Mononitrobenzylchlorid 1147.

Gabriel (S.) und Damborgis (A. K.), **80:** Nitrodiphenylsulfosäuren 929 f.

Gabriel (S.) und Deutsch (A.), **80:** Diphenylmonosulfosäure, Derivate 927 f.

Gabriel (S.) und Herzberg (M.), **83:** p-Mononitrobenzaldoxim 972 f.; p-Monoamidobenzaldoxim und Derivate, p-Amidobenzaldehyd und Derivate 973; im Phenylkern substituirte Zimmt- und Hydrozimmtsäuren: o-Monochlorzimmtsäure, o-Monochlorhydrozimmtsäure, o-Monojodzimmtsäure, o-Monojodhydrozimmtsäure 1173; p-Acetamidzimmtsäure, Dinitroacetamidostyrol, Mononitroacet-

amidozimmtsäure 1174; m-Mononitro-p-amidozimmtsäure 1174 f.; m-p-Diamidozimmtsäure, Monabromacetamidostyrol 1175.

Gabriel (S.) und Koppe (M.), **86:** Verhalten des Phenylnitromethans gegen rauchende Salzsäure, gegen alkoholische Natronlauge: Phenyl-natriumnitromethan; Verhalten der Dinatriumverbindung des Nitrobenzyl-oxyphthalids gegen Bromwasser: Phenylidibromnitromethan 667; Verhalten gegen Jod: Verbindung  $C_7H_5NO$  667 f.

Gabriel (S.) und Meyer (R.), **81:** Dinitrophenylessigsäure und Derivate 781 bis 785.

Gabriel (S.) und Michael (A.), **78:** Einwirkung wasserentziehender Mittel auf Säureanhydride 322 f.

**79:** Benzylmethylglycolsäure 724.

Gabriel (S.) und Steudemann (H.), **82:** m-Nitro-p-amidohydrozimmtsäure aus p-Amidohydrozimmtsäure durch Nitration der Acetylverbindung 931 f.; m-Nitrohydrozimmtsäure, m-Amidohydrozimmtsäure 933.

Gabriel (S.) und Zimmermann (J.), **79:** Dinitrohydrozimmtsäure 708 f.

**80:** Diinitrohydrozimmtsäure 869 f.

Gabriel-Pouchet (A.), **85:** Bildung des Choleraalkaloïds durch Cholera-bacillen 1876.

Gachassin-Lafite, **80:** Phylloxera 1067.

Gadd (M.), siehe Hjelt (E.).

Gadebusch, siehe Claus (A.).

Gadsden (H. A.), **84:** Darstellung von Aluminium 1699.

Gaechtgens (C.), **77:** Zersetzung des Leims durch Kochen 922.

**80:** Ammoniakausscheidung 1113.

Gänge (C.), **80:** Rothwein, Prüfung 1354.

Gaess, **77:** Anthrachinon 654.

**84:** Herstellung neuer Azofarbstoffe mittelst einer  $\alpha$ -Naphtholmonosulfosäure 1876.

Gaethgens (C.), **84:** Isolirung eines Alkaloïds aus den Leichen theilen eines mit Morphin Vergifteten 1644.

Gaffield (Th.), **81:** Färbungen von Glas 1279.

Gaffky, siehe Koch (R.).

Gaglio (G.), **83:** Bildung der Oxalsäure im thierischen Organismus 1474.

**86:** Verhalten von Kohlenoxyd resp. Oxalsäure im thierischen Organismus 1840.

- Gaier (J.), siehe Birnbaum (K.); siehe Clar (O.).
- Gaiffe (A.), **78**: modifiziertes Braunsteinelement 133; Platindrahtfabrikation 1114; Herstellung galvanischer Kobaltüberzüge 1114 f.
- 80**: Abänderung am Thomsonschen Galvanometer 155.
- 81**: Coërcitivkraft des elektrolytisch abgeschiedenen Kobalts und Nickels 108.
- 85**: Galvanometer mit krummlinigem Rahmen 230; elektromotorische Kraft des Volt-Etalon 236.
- Gail (Fr.), siehe Städel (W.).
- Gaillet und Huet, **86**: Wasserreinigungsgesetz 2108.
- Gaines (R. H.), **83**: Salpetrigsäureanhydrid 307.
- Gal (H.), **82**: Diffusion von Alkohol 87.
- 83**: Diffusion von Alkohol 104 f.; Amide gegen Zinkäthyl: Zinkacetamid, Zinkbutyramid, Zinkcarbamid, Zinkoxamid 1020; Zinkäthyl gegen Amine und Phosphine 1298 f., gegen Nicotin, Chinolin und sauerstoffhaltige Alkaloide 1297.
- Gal (H.) und Etard (A.), **78**: Dihydro- und Trihydrostrychnin 910 f.
- 79**: Strychnin 820 f.
- Gal (H.) und Werner (E.), **86**: Neutralisationswärmen von Fettsäuren 219, von zweibasischen und Oxy-säuren 219 f., von Glycerin- und Camphersäure 221.
- Galbraith, **79**: mafsanalytische Chrombestimmung 1046.
- Galbraith (W.), **77**: Phosphorbestimmung im Eisen 1055; Kohlenstoffbestimmung im Eisen 1056; Chromgehalt von Eisen und Stahl 1059.
- Galippe, **83**: Kupfergehalt von Getreide, Mehl und Brot 1623; Kupfergehalt verschiedener Cacaosorten 1632.
- Gall (H.), **82**: Bestimmungen von Glucose mit verschiedenen Saccharimetern 193.
- 85**: Vorgänge in den Schwefelsäurekammern 2081.
- Galland (N. J.), **82**: Neuerungen in der Bierbrauerei 1449.
- Galle (C.), **83**: Synthese aromatischer Kohlenwasserstoffe 554 bis 558; Dimethylmono-, Dimethylidi-, Dimethyltetraäthylbenzol 554; Tetraäthylbenzol und Derivate 555 f.; Hexaäthylbenzol 557.
- Galle (J. G.) und Lasaulx (A. v.), **79**: Meteoritenfall bei Gnadenfrei 1274 f.
- Gallia (J.), **83**: der Meteoritenfall von Alfanello, Provinz Brescia 1952.
- Gallinek (A.) und Richter (V. v.), **85**: Darstellung von Sulfosäuren der Hydrazine 1091 bis 1093: p-Hydrazinbenzolmonosulfosäure 1091; o-Hydrazintoluolmonosulfosäure, Verhalten von p-Tolyldiazin beim Erhitzen mit Schwefelsäure 1092 f.
- Gallois (N.), siehe Hardy (E.).
- Galloway (R.), **82**: Bestimmung des Coakegehaltes der Kohle 1281.
- Galloway (R.) und O'Farrel (Fr. J.), **83**: Dampfanlage für eine Laboratoriumseinrichtung 1656.
- Galloway (W.), **79**: Kohlendunst bei der Explosion von Kohlenminen 1143 f.
- 81**: Einfluss des Kohlenstaubes bei Grubenexplosionen 1440.
- 82**: Einfluss des Kohlenstaubes bei Grubenexplosionen 1396.
- Galton (F.), **77**: Thermometer 91.
- Gamgee (A.), **80**: Protagon 1107.
- Gamgee (A.) und Blankenhorn (E.), **79**: Protagon 971.
- Gamper (J.), **77**: Halloysit, Allophan 1338.
- 78**: Lazulith 1229; Anorthitanalysen 1287.
- Gamroth (A.), **77**: Paleopikrit 1364.
- Gans, **84**: Herstellung metallhaltiger Farbstoffe 1888.
- 85**:  $\beta$ -Naphthol- $\gamma$ -disulfosäure 2100.
- Gans (J.), **84**: Reinigung von Zuckersäften 1794.
- Gantter (F.), **80**: Extractionsapparat 1246.
- 83**: Weinfarbstoff 1740; siehe Hell (C.).
- Gantter (F.) und Hell (C.), **80**: Korksäure 824 f.
- 81**: Azelaänsäure 762 ff.; Trennung der Azelaänsäure von Korksäure 765.
- 82**: Korksäure gegen Brom und Phosphor: Mono- und Dibromkorksäure, Suberconsäure, Oxy- und Dioxykorksäure 890 f.
- 84**: Untersuchung von Pimelinsäure aus Ricinusöl 1166 ff.
- Garbe (P.), **84**: Wärmeentwicklung im Stromkreise 239; siehe Crova (A.).
- Gard, **80**: Phylloxera 1087.
- Gard (E.), **78**: Analysen von Gufsnickelproben 1106.

Gard (W. E.), **77**: käufliches Nickel 267.

**78**: Bestimmung des Kohlenstoffs im käuflichen Nickel 1065.

Gardiner (W.), **84**: Entdeckung von Tannin in vegetabilischen Zellen 1628.

Garnier, siehe Schlagdenhauffen.

Garnier (J.), **78**: Formel des Garnierits 270.

**80**: neucaledonische Erze 1261; schmiedbares Nickel 1262.

**81**: Reinigung von Rohkupfer 1249.

**85**: Gewinnung von Kupfer aus Kupfererzen und Rohsteinen 2040.

Garnier (L.), **84**: Hochofenschlacke als Mittel gegen die Phylloxera 1713.

**86**: physiologische Rolle des Lungengewebes beim Ausathmen der Kohlensäure 1837.

Garreau und Machelart, **80**: Saxifraga 1072.

Garrigou, **77**: französisches Mineralwasser 1387.

Garrod (A. B.), **83**: Harnsäurebildung im Thierkörper 1467 f.

**84**: Untersuchung über die Harnsäure 1493 f.

Garside (Th.), **80**: Nickel 1262.

Gartenmeister (R.), **85**: Siedepunkte, spec. Gewichte und spec. Volumina von normalen Fettsäureestern 1313.

**86**: Siedepunkte, spec. Volumina und Ausdehnung normaler Fettsäureester 72 bis 76.

Garton (W.), **80**: Stärkefabrikation 1357.

Garzarolli-Thurnlackh (K.), **81**: Chlorigsäureanhydrid, Euchlorin 174; Chloral gegen Zinkäthyl und Zinkmethyl: Trichloräthylalkohol 582 f., Trichloräthyläther, Trichloräthyl-essigsäure 583; Trichlorpropylalkohol 584; Butylchloral gegen Zinkäthyl: Trichlorbutylalkohol, Trichlorbutyl-essigsäure 585.

**82**: Zinkäthyl gegen Trichlorbutylalkohol 1043 bis 1047: Zinkäthyltrichlorbutylalkohol, Trichlorbutylalkohol und Derivate 1044, Monochlorerotylalkohol, Trichlorbuttersäure 1045, Monochloridibrombutylalkohol, Monochlorcrotonsäure, Essigsäure-Monochlorerotyläther 1046 f.

**84**: Einwirkung von Butylchloral auf Zinkmethyl, Darstellung und Untersuchung von Methyltrichlorpropylcarbinol 1030 ff.; Methyltrichlorpropylketon, Methylmonochloral-

lylcarbinol, Methylmonochlorallylcarbinacetat, Methylmonochlorallylcarbinchlorid, Methylmonochloridibromallylcarbinchlorid 1031.

Garzarolli-Thurnlackh (K.) und Hayn (K. v.), **81**: chlorigs. Salze 175.

Garzarolli-Thurnlackh (K.) und Popper (A.), **84**: Einwirkung von normalem Zinkpropyl auf Butylchloral, Darstellung von Zinkisobutyl 1032.

Garzarolli-Thurnlackh (K.) und Schacherl (G.), **85**: Untersuchung des Chlormonoxys 379.

Gascogne, **86**: Düngersanalyse 1997.

Gasiorowski (K.), siehe Dahm (C.); siehe Merz (V.).

Gasiorowski (K.) und Merz (V.), **85**: Darstellung der Nitrile aus Formylverbindungen 625 f.

Gasiorowski (K.) und Wayss (A. F.), **85**: Darstellung der Chlor- und Bromverbindungen von aromatischen Kohlenwasserstoffen 725 f.; Einwirkung von Reductionsmitteln auf Diazoverbindungen 1032 f.

Gaskell (A.), **86**: Reinigung von Natriumdicarbonat 2058.

Gaskell (H.), siehe Carey (F.), siehe Deacon (H. W.).

Gaskell (H.) und Hurter (F.), **84**: Darstellung von Natriumdicarbonat 1733.

Gasparin (P. de), **81**: Befruchtung des Ackerbodens durch Flüsse (Isère, Durance) 1280 f.; Phosphorsäure in Vulkangesteinen 1438, 1440.

**82**: Analyse französischer Superphosphate 1427 f.

**83**: Bestimmung der Phosphorsäure in der Ackererde 1622 f.; Vernichtung der Phylloxera durch Inundation 1713.

**84**: Bestimmung der Phosphorsäure in der Ackererde 1579; Assimilation, Bestimmung der Phosphorsäure 1770 f.; Untersuchung der natürlichen Phosphate 1942.

**85**: Verwendung complementärer Dünger für bestimmte Böden 2126.

Gassend und Quantin, **80**: Stickstoffbestimmung nach Will-Varrentrapp 1198 f.

Gastiger, **84**: Einwirkung von Diazobenzochlorid auf Monoäthyl-p-toluidin, Darstellung von Diazotoluolmonoäthyl-p-toluidin, m-Mononitro-



- diazobenzol-Monoäthyl-p-toluidin, p-Mononitrodiazobenzol-Monoäthyl-p-toluidin 818.
- Gastine, **84**: Bestimmung von Schwefelkohlenstoff in der Luft 1588 f.
- Gaswindt (A.), **81**: Verfälschungen von Rosenöl 1221.
- Gatehouse (J. W.), **77**: Stickstoffdarstellung 219; Kochsalz im Bier 1092.
- Gattermann, **84**: Analyse von Glimmerdiorit 2015.
- Gattermann (L.), **83**: Salze des symmetrischen Tribromanilins 696 f.
- 84**: Tolantetetrachlorid (Dichlortoluol) 582.
- 85**: Darstellung von Derivaten des m-Mononitro-p-toluidins 883 ff.: m-Nitro-p-acettoluid 883; m-Mono- und Dinitro-p-äthyltoluidin, Aethyltoluylendiamin (m-Amido-p-äthyltoluidin), Nitroso-m-dinitro-p-äthyltoluidin 884; Trinitro-p-äthyltoluidin, m-Mononitro- und m-Monoamido-p-methyltoluidin, m-Dinitro-p-methyltoluidin, Nitroso-m-dinitro-p-methyltoluidin, Trinitro-p-methyltoluidin 885; Eigenschaften der  $\alpha$ - und  $\beta$ -Thiophensäure 1376; Darstellung von Thiënon aus Thiophen mit Phosgen und beim Destillieren von  $\alpha$ - und  $\beta$ -thiophens. Calcium 1636; Apparat zur volumetrischen Stickstoffbestimmung 2007.
- 86**: Einwirkung halogensubstituierter Amine auf Phenylcyanat: Dichlormethylamin und Phenylcyanat 530; Bromacetamid u. Phenylcyanat: Monobromphenylacetylharnstoff, Monochloräthylamin, Dichlormethylamin und Isocyanursäure 531; siehe Meyer (V.).
- Gattermann (L.) und Hager (H.), **84**: Darstellung von Aethylendiphenylnitroamin 691, Reduction zu Aethylendiphenyldiamin, Darstellung von Aethylenditoluylennitroamin und Aethylenditoluylendiamin 692.
- Gattermann (L.) und Kaiser (A.), **85**: Darstellung von p-Monochlor-m-mononitrotoluol und p-Monochlor-toluidin 736; Constitution der von metasubstituierten Aminen sich ableitenden Chinolinderivate, Darstellung von m-Monochlor-p-toluchinolin 978 f.
- Gattermann (L.), Kaiser (A.) und Meyer (V.), **85**: Untersuchung der Structurformel des Thiophens (isomere Thiophensäuren) 1185 f.
- Gattermann (L.) und Römer (M.), **86**: Einwirkung von Acetylchlorid auf halogensubstituierte Thiophene 1180 ff.: Monobromacetothiënon und Derivate, Monobromthiophensäure 1181; Monojodacetothiënon und Derivate, Monojodthiophensäure 1181 f.; Monochloracetothiënon und Derivate, Monochlorthiophensäure 1182.
- Gattermann (L.) und Wrampelmeyer (E.), **85**: Verhalten von p-Phenylendiaminchlorhydrat gegen Kohlenoxychlorid (p-Phenylencyanat, -harnstoff, -urethan) 595.
- Gaudchaux-Picard, **78**: Carbonisiren von Pflanzenfaser 1174.
- Gaudin, **78**: atomistische Structur einiger Mineralien 1199.
- Gaudin (M. A.), **79**: Structurformeln für Harmotom, Feldspath, Turmalin 1179; Harmotom und Stilbit 1231.
- Gauduin und Gramme, **77**: elektrisches Licht 1212.
- Gaugain (J. M.), **77**: Einfluss von Wärme auf die Magnetisirung 173.
- 78**: magnetische Untersuchungen 157.
- Gaulard (L.), siehe Montblanc (C. d.).
- Gaule, **85**: physiologische Wirkung des Oxykomazins 1078.
- Gauthier, **79**: elektrische Lampe 1083.
- Gauthier (V.), **85**: Unterscheidung des Eieralbumins vom Serumalbumin 1990.
- Gautier (A.), **78**: Catechine 954 f.; Gerbsäurebestimmung im Wein 1088 f.; umgeschlagene Weine 1161.
- 79**: krystallisirtes Chlorophyll 900 f.
- 80**: Cyanmethyl 397; Oenoglucin 658.
- 81**: Unterscheidung von Alkaloiden und Ptomainen 1058; Ptomaine des lebenden Organismus 1059.
- 82**: Entwicklung der Chemie der Ptomaine 1116: lösliches und unlösliches Pepsin 1246 f.
- 84**: Darstellung von Xanthin und Methylxanthin 514; Anwendung von Porzellanfiltern zur Sterilisirung von Flüssigkeiten auf kaltem Wege 1536; Vorkommen von Blei in Nahrungsmitteln 1787 f.
- 85**: Untersuchungen über „Leukomaine“ 1730 f.; Vorkommen von Hydrocollidin in den Fäulnisproducten von Proteinstoffen 1731; Constitution

Gard (W. E.), **77**: käufliches Nickel 267.

**78**: Bestimmung des Kohlenstoffs im käuflichen Nickel 1065.

Gardiner (W.), **84**: Entdeckung von Tannin in vegetabilischen Zellen 1628.

Garnier, siehe Schlagdenhauffen.

Garnier (J.), **78**: Formel des Garnierits 270.

**80**: neucaledonische Erze 1261; schmiedbares Nickel 1262.

**81**: Reinigung von Rohkupfer 1249.

**85**: Gewinnung von Kupfer aus Kupfererzen und Bohsteinen 2040.

Garnier (L.), **84**: Hochofenschlacke als Mittel gegen die Phylloxera 1713.

**86**: physiologische Rolle des Lungengewebes beim Ausathmen der Kohlensäure 1837.

Garreau und Machelart, **80**: Saxifraga 1072.

Garrigou, **77**: französisches Mineralwasser 1387.

Garrod (A. B.), **83**: Harnsäurebildung im Thierkörper 1467 f.

**84**: Untersuchung über die Harnsäure 1493 f.

Garside (Th.), **80**: Nickel 1262.

Gartenmeister (R.), **85**: Siedepunkte, spec. Gewichte und spec. Volumina von normalen Fettsäureestern 1313.

**86**: Siedepunkte, spec. Volumina und Ausdehnung normaler Fettsäureester 72 bis 76.

Garton (W.), **80**: Stärkefabrikation 1357.

Garzarolli-Thurnlackh (K.), **81**: Chlorigsäureanhydrid, Euchlorin 174; Chloral gegen Zinkäthyl und Zinkmethyl: Trichloräthylalkohol 582 f., Trichloräthyläther, Trichloräthyl-essigsäure 583; Trichlorpropylalkohol 584; Butylchloral gegen Zinkäthyl: Trichlorbutylalkohol, Trichlorbutyl-essigsäure 585.

**82**: Zinkäthyl gegen Trichlorbutylalkohol 1043 bis 1047; Zinkäthyltrichlorbutylalkohol, Trichlorbutylalkohol und Derivate 1044, Monochlorerotylalkohol, Trichlorbutter-säure 1045, Monochlordibrombutylalkohol, Monochlorerotonsäure, Essigsäure-Monochlorerotyläther 1046 f.

**84**: Einwirkung von Butylchloral auf Zinkmethyl, Darstellung und Untersuchung von Methyltrichlorpropylcarbinol 1030 ff.; Methyltrichlorpropylketon, Methylmonochloral-

lylcarbinol, Methylmonochlorallylcarbinacetat, Methylmonochlorallylcarbinchlorid, Methylmonochloridibromallylcarbinchlorid 1031.

Garzarolli-Thurnlackh (K.) und Hayn (K. v.), **81**: chloriga. Salze 175.

Garzarolli-Thurnlackh (K.) und Popper (A.), **84**: Einwirkung von normalem Zinkpropyl auf Butylchloral, Darstellung von Zinkisobutyl 1032.

Garzarolli-Thurnlackh (K.) und Schacherl (G.), **85**: Untersuchung des Chlormonoxys 379.

Gascogne, **86**: Düngeranalyse 1997.

Gasiorowski (K.), siehe Dahm (C.); siehe Merz (V.).

Gasiorowski (K.) und Merz (V.).

**85**: Darstellung der Nitrile aus Formylverbindungen 625 f.

Gasiorowski (K.) und Wayss (A. F.), **85**: Darstellung der Chlor- und Bromverbindungen von aromatischen Kohlenwasserstoffen 725 f.; Einwirkung von Reductionsmitteln auf Diazoverbindungen 1032 f.

Gaskell (A.), **86**: Reinigung von Natriumdicarbonat 2058.

Gaskell (H.), siehe Carey (F.), siehe Deacon (H. W.).

Gaskell (H.) und Hurter (F.), **84**: Darstellung von Natriumdicarbonat 1733.

Gasparin (P. de), **81**: Befruchtung des Ackerbodens durch Flüsse (Isère, Durance) 1280 f.; Phosphorsäure in Vulkangesteinen 1438, 1440.

**82**: Analyse französischer Superphosphate 1427 f.

**83**: Bestimmung der Phosphorsäure in der Ackererde 1622 f.; Vernichtung der Phylloxera durch Inundation 1713.

**84**: Bestimmung der Phosphorsäure in der Ackererde 1579; Assimilation, Bestimmung der Phosphorsäure 1770 f.; Untersuchung der natürlichen Phosphate 1942.

**85**: Verwendung complementärer Dünger für bestimmte Böden 2126.

Gassend und Quantin, **80**: Stickstoffbestimmung nach Will-Varrentrapp 1198 f.

Gastiger, **84**: Einwirkung von Diazobenzochlorid auf Monoäthyl-p-toluidin, Darstellung von Diazotoluolmonoäthyl-p-toluidin, m-Mononitro-

- diazobenzol-Monoäthyl-p-toluidin, p-Mononitrodiazobenzol-Monoäthyl-p-toluidin 818.
- Gastine, **84**: Bestimmung von Schwefelkohlenstoff in der Luft 1588 f.
- Gaswindt (A.), **81**: Verfälschungen von Rosenöl 1221.
- Gatehouse (J. W.), **77**: Stickstoffdarstellung 219; Kochsalz im Bier 1092.
- Gattermann, **84**: Analyse von Glimmerdiorit 2015.
- Gattermann (L.), **83**: Salze des symmetrischen Tribromanilins 896 f.
- 84**: Tolantetrachlorid (Dichlortolnol) 582.
- 85**: Darstellung von Derivaten des m-Mononitro-p-toluidins 883 ff.: m-Nitro-p-acetoluid 883; m-Mono- und Dinitro-p-äthyltoluidin, Aethyltoluylendiamin (m-Amido-p-äthyltoluidin), Nitroso-m-dinitro-p-äthyltoluidin 884; Trinitro-p-äthyltoluidin, m-Mononitro- und m-Monoamido-p-methyltoluidin, m-Dinitro-p-methyltoluidin, Nitroso-m-dinitro-p-methyltoluidin, Trinitro-p-methyltoluidin 885; Eigenschaften der  $\alpha$ - und  $\beta$ -Thiophensäure 1376; Darstellung von Thiënon aus Thiophen mit Phosgen und beim Destilliren von  $\alpha$ - und  $\beta$ -thiophena. Calcium 1636; Apparat zur volumetrischen Stickstoffbestimmung 2007.
- 86**: Einwirkung halogensubstituierter Amine auf Phenylcyanat: Dichlormethylamin und Phenylcyanat 530; Bromacetamid u. Phenylcyanat: Monobromphenylacetylharnstoff, Monochlordiäthylamin, Dichlormethylamin und Isocyanursäure 531; siehe Meyer (V.).
- Gattermann (L.) und Hager (H.), **84**: Darstellung von Aethylendiphenylnitroamin 691, Reduction zu Aethylendiphenyldiamin, Darstellung von Aethylenditoluylennitroamin und Aethylenditoluylendiamin 692.
- Gattermann (L.) und Kaiser (A.), **85**: Darstellung von p-Monochlor-m-mononitrotolnol und p-Monochlor-toluidin 736; Constitution der von metasubstituirten Aminen sich ableitenden Chinolinderivate, Darstellung von m-Monochlor-p-toluchinolin 978 f.
- Gattermann (L.), Kaiser (A.) und Meyer (V.), **85**: Untersuchung der Strukturformel des Thiophens (isomere Thiophensäuren) 1185 f.
- Gattermann (L.) und Römer (M.), **86**: Einwirkung von Acetylchlorid auf halogensubstituirte Thiophene 1180 ff.: Monobromacetothiënon und Derivate, Monobromthiophensäure 1181; Monojodacetothiënon und Derivate, Monojodthiophensäure 1181 f.; Monochloracetothiënon und Derivate, Monochlorthiophensäure 1182.
- Gattermann (L.) und Wrampelmeyer (E.), **85**: Verhalten von p-Phenylendiaminchlorhydrat gegen Kohlenoxychlorid (p-Phenylencyanat, -harnstoff, -urethan) 595.
- Gaudchaux-Picard, **78**: Carbonisiren von Pflanzenfaser 1174.
- Gaudin, **78**: atomistische Structur einiger Mineralien 1199.
- Gaudin (M. A.), **79**: Strukturformeln für Harmotom, Feldspath, Turmalin 1179; Harmotom und Stilbit 1231.
- Gauduin und Gramme, **77**: elektrisches Licht 1212.
- Gaugain (J. M.), **77**: Einfluss von Wärme auf die Magnetisirung 173.
- 78**: magnetische Untersuchungen 157.
- Gaulard (L.), siehe Montblanc (C. de).
- Gaule, **85**: physiologische Wirkung des Oxykomazins 1078.
- Gauthier, **79**: elektrische Lampe 1083.
- Gauthier (V.), **85**: Unterscheidung des Eieralbumins vom Serumalbumin 1990.
- Gautier (A.), **78**: Catechine 954 f.; Gerbsäurebestimmung im Wein 1088 f.; umgeschlagene Weine 1161.
- 79**: krystallisirtes Chlorophyll 900 f.
- 80**: Cyanmethyl 397; Oenoglucin 658.
- 81**: Unterscheidung von Alkaloiden und Ptomainen 1058; Ptomaine des lebenden Organismus 1059.
- 82**: Entwicklung der Chemie der Ptomaine 1116: lösliches und unlösliches Pepsin 1246 f.
- 84**: Darstellung von Xanthin und Methylxanthin 514; Anwendung von Porzellanfiltern zur Sterilisirung von Flüssigkeiten auf kaltem Wege 1536; Vorkommen von Blei in Nahrungsmitteln 1787 f.
- 85**: Untersuchungen über „Leukomaine“ 1730 f.; Vorkommen von Hydrocollidin in den Fäulnisproducten von Proteinstoffen 1731; Constitution

und Umwandlung der Eiweißkörper 1775.

**86:** Entstehung der Ptomaine 1754; Darstellung von sechs neuen Leukomainen: Pseudoanthin und Kreatinderivate 1754 f.; Beziehungen der Leukomaine, der Ptomaine und der Bakterien zur Entstehung von Krankheiten 1756.

Gautier (A.) und Étard (A.), **82:** Fäulnis der Proteinsubstanzen 1236 bis 1240; Auftreten von Phosphorwasserstoff, Carbylaminen bei der Fäulnis 1237; Darstellung der Ptomaine 1238 f.; Glucoprotein, Parvolin, Hydrocollidin 1239 f.

**83:** Producte der Eiweißfäulnis (Skatol, Hydrocollidin, Amidostearinsäure, Glucoprotein) 1378 f.

**84:** Vorkommen der Carbylamine unter den Fäulnisproducten der Eiweißkörper 1510.

Gautier (F.), **86:** weißes Gufseisen aus grauem 2028.

Gautier (H.), **85:** Einwirkung von Chlor auf Chloral im Sonnenlichte 1294; Darstellung von p-Monochlormonoacetylbenzol 1638 f., von o- und m-Chloracetylbenzol 1639.

**86:** Tetrachlorkohlenstoff aus Chloral 1623; Mono-, Di und Trichloracetophenon 1645 f.; siehe Colson (A.).

Gavazzi (A.), **83:** Einwirkung von gasförmigem Phosphorwasserstoff auf Platinchlorid 437.

Gavazzi (P.), **77:** vulkanische Producte 1366.

Gawalowski (A.), **77:** Natriumpalladiumchlorür 1053; Filtrirpapier 1087.

**78:** Aufbewahrung fester Chromsäure 274.

**79:** volumetrische Gehaltsbestimmung der Kohlensäure in Gasmischen 1041 f.; Scheibler'sches Calciometer 1083; Calibriren großer Maßgefäße 1084; Aufarbeitung des Satzpulvers der Blutlaugensalzfabriken 1105.

**80:** Analyse der Scheiderückstände bei der Zuckerfabrikation 1215; fremde Farbstoffe im Weine 1225.

**82:** Bestimmung der Gerbsäure 1312.

**83:** Anwendung eines Gemenges der alkoholischen Lösungen von Phenolphthalein und Methylorange als Indicator in der Alkalimetrie und

Acidimetrie 1518; Verbesserungen an Extractionsapparaten 1657; Scheidetrichter, Fettbestimmungsapparat 1658; Modification des Erdmann'schen Schwimmers, Heberbürette 1659; Aufbewahrung von Eisenvitriol 1660; Druckflasche zur Verzuckerung der Stärke 1661.

**84:** Platinfilter, Aetherschälchen 1687; Flaschen zur Bestimmung des Rahmgehaltes der Milch 1692.

**85:** krystallisirtes Ammoniummagnesiumphosphat 473; Octaëder von schwefelsaurer Thonerde 476; Seifenanalyse 1958; Saug- und Druckapparat 2000; Reagentienflaschen, Nachfußbürette 2003; Modification am Zulkowsky'schen Azotometer 2006; Gasentwicklungsapparat, Exsiccatorröhre 2008; Verwerthung von Osmosewasser als Düngemittel 2128 f.

Gawalowski (A.) und Kellermann, **84:** Analyse von Urkalk 1930.

Gawrilow, **83:** Zusammensetzung einer Humussubstanz aus russischem Tschernosem des Gouvernements Tula 1715.

Gay (J.), **79:** Absorption des Stickoxyds durch Eisenoxydsalz 212.

**85:** Absorption des Stickoxyds durch Eisenoxydsalze 417 f.

Gayon (U.), **77:** Eier gegen Fäulnis 1026; krystallisirbarer Zucker in amorphem 1190; Gährung von Früchten 1208.

**78:** inactiver Zucker aus Rohzuckern und Melasse 920 f.; Gährung, Inversion von Rohzucker durch niedere Organismen 1016; Glucosen der Colonialzucker und Melassen 1152.

**80:** Invertzucker 1022.

**81:** Mucor circinelloides 1146.

**84:** Stalldüngergährungen, Rein-culturen von Mikroben 1764.

Gayon (U.), und Dupetit (G.), **82:** Reduction salpetersaurer Salze durch Mikroorganismen 1235 f.; Isolirung der Anaëroben 1236.

**86:** Verhinderung der Gährung durch Wismuthsubnitrat 1877.

Gayon (U.) und Dubourg (E.), **86:** Ausscheidung von Stickstoffverbindungen (Albumin) durch Hefe, neues diastatisches Ferment aus Mucor 1884.

Gé (G.), **82:** Milchzuckersalpetersäureäther 1121 f.

Geary, siehe Roswag.

Gebhard (F.), siehe Fittig (R.).

- Gebhardt (W.), **84**: substituirte Thioharnstoffe aus Senfölen und secundären Aminen: Methylphenylthioharnstoff, Aethyldiphenylthioharnstoff, Phenylmethyl-p-Tolylthioharnstoff, Phenyläthyl-p-Tolylthioharnstoff, Phenylmethyl- $\beta$ -Naphthylthioharnstoff 506; Methylphenylthioharnstoff, Aethyldiphenylthioharnstoff, Triphenylthioharnstoff, Methylphenylthioharnstoff, Aethylphenylthioharnstoff, Methylphenylthioharnstoff, Aethylphenylthioharnstoff, Darstellung, Verhalten 507; Einwirkung von Ammoniak und Aminen auf Thioharnstoffe 664, von Aminen auf von Diaminen abstammende Thioharnstoffe 664 f.; Nichtbildung von Toluylessenöl aus Tolylendithioharnstoff resp. Tolylendiphenyldithioharnstoff 665; Einwirkung von Senfölen, Isocyanssäureäthern, Rhodanwasserstoffsäure und Cyansäure auf secundäre Amine (substituirt Thioharnstoffe und Harnstoffe) 665 bis 669.
- Geddes (P.), **78**: Sauerstoffausscheidung durch Plattwürmer im Sonnenlichte 1012 f.
- Gee (W. W.) und Stroud (W.), **80**: Abänderung des Bunsen'schen Calorimeters 90.
- Geer (G. de), **82**: Mineral von Upsala-As 1582.
- Geheeb (A.), **77**: bleihaltiger Spirit. formic. 1014.
- 79**: Tschuking 933 f.
- Gehmacher (A.), **86**: Krystallform von Zirkon 2240.
- Gehring (G.), **86**: Monochloressigsäure-Normalbutyläther 1302.
- Geibel, **78**:  $\beta$ -Nitromesitylsäure 797.
- Geigy (R.), siehe Königs (W.).
- Geigy (R.) und Königs (W.), **85**: Darstellung von m-Mononitrobenzophenon, m-Monoamidobenzophenon, m-Oxybenzophenon, o-Mononitrobenzophenon, o-Monoamidobenzophenon, o-Mononitrodiphenylmethan, o-Mononitrobenzylchlorid 1642; Phenylchinaldinketon, Phenylchinaldin und Phtalon desselben 1643.
- Geikie (A.), **84**: Analysen von Olivindias 2019.
- Geinitz (E.), **78**: Variolit 1284.
- 79**: Pseudomorphosen 1243.
- Geinitz (E. F.), **81**: Pseudomorphose 1414.
- Geisenberger (E.), siehe Müller (W.).
- Geissler und Vogel (H.), **80**: Fett und Trockenrückstand der Milch 1232.
- Geissler (A.), **85**: Quecksilberluftpumpe 2003.
- Geissler (C.), **81**: Brenzterebinsäure 735.
- Geissler (E.), **78**: Bestimmung der Säuren in Oelen 1086, 1168; Bieranalysen 1159.
- 80**: Sodagehalt der Potaschen 1175; Phosphorsäure im Bier 1227 f.; Prüfung fester Oele auf Mineralöle 1228.
- 81**: Citronenöl, Pomeranzenöl 1026; Werthbestimmung der Prefshefe 1145; Prefshefe 1220; Wirkungswerth der Hefe, Malz- und Weizenmehlextract 1310.
- 82**: Nachweis von Stärke Zucker im Rohrzucker 1324; Analysen von Porter, Gesundheitsbieren und Malzextract 1449.
- 83**: Analysen von Pfeffersorten 1631.
- 85**: Bestimmung des Fettes in der Milch 1988; Werthbestimmung von Pepsinpräparaten 1991; siehe Hofmann (G.).
- Geissler (H.), **78**: Apparate zur Werthbestimmung der Milch 1145.
- Geismann (C.), siehe Nölting (E.).
- Geitel (A.), siehe Yssel de Schepper (H.).
- Geitel (H.), siehe Elster (J.).
- Gelder (H. v.), **79**: alkaloidartige Stoffe aus Cadavern 831.
- Geldern (H. v.), **77**: colchicinähnliches Alkaloid 1086.
- Gélis, **79**: Antichlor 1150.
- 83**: Sulfocarbometer zur Bestimmung des Schwefelkohlenstoffs in Sulfocarbonaten 1660.
- Gélis (A.) und Thommeret-Gélis, **82**: Bestimmung von Schwefelkohlenstoff in Alkalisulfocarbonaten 1282.
- Gemmel (J. W.), **86**: Magnetisirung von Eisen und Stahl 285.
- Gemperlé (J.), **84**: Darstellung von Amidogene (Sprengpulver) 1747 f.
- Gendré (A. v.), siehe Hermann (L.).
- Gendre (P. le), **85**: Vergiftungen durch putride Gifte 1855.
- Genth, siehe Lewis (H. C.).
- Genth (A.), **80**: Gersdorffit 1404; Jamesonit 1406.
- Genth (C.), **86**: Modus der Harnstoffausscheidung 1852, der Stoffwechseluntersuchung 1852 f.

Genth (C.) und Pfeiffer (E.), **86**: Nährwerth von Fleischpeptonen 1835.

Genth (F. A.), **77**: Tellur 1256; Calaverit 1264; Coloradoit 1265; Volborthit 1302; Lennilit, Delawarit, Cassinit 1335.

**78**: Gediegen Tellur aus Colorado 1200; Formel des Calaverits, Kulu-merit, Formel des Coloradoits 1202; Analysen des Coloradoits 1202 f.; Fundort von Hessit 1203; Vorkommen von Tellurocker 1215; Magnolit, Ferrotellurit 1226 f.; natürliches Eisensulfid, Volborthit 1227; Roscoelith 1273 f.

**80**: Gummit 1415; Phosphuranlyt 1433; Pyrophyllit 1472; Uranotil 1475.

**82**: Hiddenit 1558.

**83**: Analyse eines Kupfernickels von Silver Cliff, Colorado 1829; Analyse einer Zinkblende von Cornwall, Pennsylvania 1832; Analyse und Krystallform eines Hüttenproductes von Argo, Colorado 1832 f.; Korund und seine Umwandlungsproducte 1835 bis 1837; Analyse des Spinells von Carter Grube, Nordcarolina 1836, von Feldspath, Glimmer und Oligoklas, Unionville, des Glimmers von Bradford, Alabama, von Margarit, Nordcarolina, Pennsylvania 1836 f.; Analyse des Titaneisens von Bradford, Alabama 1838; Allanitanalysen 1873 f.; Analysen von Talk und Anthophyllit aus Castle Rock, Pennsylvania 1887; Analyse des Berylls von Alexander County, Nordcarolina 1894; Analyse des Prehnits von Cornwall, Pennsylvania 1895; Umwandlungen von Orthoklas in Albit, Analysen des Orthoklases von Delaware County, Pennsylvania 1896; Analyse des Pyrophyllits von Drifton, Pennsylvania 1903; Pseudomorphose von Talk nach Magnetit 1915.

**84**: Analyse von Herderit 1945.

**85**: Vorkommen von gediegen Zinn 2264; Analyse von Joséit (Tetradymit) und Arsenkies 2266; Analysen von Sulfosalzen: Galenobismutit, Silberwismuthglanz, Cosalit, Beegerit, Fahlerz, Polybasit 2268 f.; Vorkommen von Titaneisen 2270; Analyse eines Ankerits 2278; Umwandlungsproducte des Dolomits: Brucite, Deweylit, Serpentin 2278 f.; Zusammensetzung des Herderits 2281; Analyse eines Annabergits (Nickelblüthe) 2285, eines

Vanadinit 2286; Analyse eines Topases 2287; Analyse von Kieselzink 2289; Pseudomorphosen von Muskowit nach Nephelin 2290; Untersuchung von Stilpnomelan 2292; Analyse von Orthoklas 2296, von Plagioloklas und Titanit 2297.

**86**: Beschreibung und Analyse eines Meteoreisens von Tennessee 2330 f.

Genth (F. A.) und Keller (H. F.), **83**: Gahnitanalysen 1842 f.

Genth (F. A.) und Rath (G. vom), **85**: Vorkommen von Jodsilber 2275;

Untersuchung von Vanadinaten: Vanadinit, Endlichit, Descloizit 2286 f.

Genth jun. (F. A.), **83**: Analyse des Granits von Wilkes County, Nordcarolina 1836 f.; Analyse des Albits von Delaware County, Pennsylvania 1896.

Gentil (C.), **85**: Darstellung von  $\beta$ -Naphtochinolinsulfosäure 1605 f.;  $\beta$ -Oxynaphtochinolin 1606.

Genzken (U.), siehe Michaëlis (A.). Geoghegan (E. G.), **77**: Salze des Gehirns 1000.

**79**: Cerebrin 971 f.

Georges, **86**: Nachweis von Peptonen im Blut und Harn 2002.

Georges (de), **77**: Verwüstungen durch Phylloxera 1181.

Georgi (M.), **77**: Uranocircit 1302.

Georgievics (G. von), **85**: Einwirkung von Ammoniak auf Anthragallol 1290 f.; Anthragallolamid 1290; neues Dioxyanthrachion, Anthragallolsulfosäure 1291.

Geppert (J.), **82**: Apparate zur Gasanalyse 1257 f.

**78**: spec. Gewicht einiger Verbindungen 25.

Gerard (A. W.), **78**: Piturin 915.

**84**: Harnstoffbestimmungsapparat 1693.

Gerber (M.), **81**: Atomgewichte der Elemente (Prout's veränderte Hypothese) 7; siehe Rosenstiehl (A.).

**83**: Atomgewichte und Prout'sche Hypothese 33; Methoden der Zuckergewinnung aus den Melassen 1735 f.

**85**: über die Prout'sche Hypothese 29.

Gerber (N.), **77**: Chromoxydverbindungen 259.

**80**: Kindernahrungsmittel 1119; condensirte Milch 1232.

- 83:** Erzeugung von künstlichem Fettkäse 1730.
- Gerdes (B.), **82:** über die bei der Elektrolyse des carbaminsauren und kohlensauren Ammoniums entstehenden Platinbasen 160 f.
- Gergens (E.), **77:** Giftigkeit der Chromsäure und der Chromate 1008.
- Gerhard, **85:** Gewinnung von Magnesium 2014.
- Gerhard (F.), **85:** Darstellung von arsenfreiem Schwefelwasserstoff 387.
- Gerhardt, **82:** Gallenfarbstoffreaktionen 1345.
- Gerhardt (C.), **83:** Leucin und Tyrosin in den Fäces Ictericus 1652.
- Gerichten (E. v.), **77:** Ohlrocymol, Chlortoluylsäuren, Oxytoluylsäure 405; Cymolsulfosäure? 861; Eklogite 1359.
- 78:** Oxydation des Chloreymols aus Thymol 420; Nitrirung von Chlor- und Bromcymol, festes Nitrocymol 435; Basalt- und Doleritanalysen 1288.
- 80:** Phtalylchlorid 859 f.; Apophyllensäure, Constitution 957 f.
- 81:** Codein gegen Phosphorchlorid 931 f.; Mono- und Dichlorcodein, Chlorbromcodein, Nitrocodein 932; Cotarninabkömmlinge: Bromtarconin 932 f.; Nartin 933; Tarnin, Cupronin, Cuprin 934; Bromapophyllensäure, Dibromapophyllin 935 f.
- 82:** Pyridinbetain und Derivate 490 f.; Chinolinbetain 491; Codein 1101; Cotarnin und Derivate: Tarconiumverbindungen 1102 ff.; Tarconsäure, Tarnin, Cupronin 1103; Nartinsäure (Nartin), Constitution des Bromtarconins und Cotarnins 1104.
- 86:** Trimethylpyridon- und Phenyl-dimethylpyridondicarbonsäureäther 1332; siehe Fischer (O.).
- Gerichten (E. v.) und Rösler (W.), **78:** Identität von Oxytolylsäure aus Cymol mit Oxytolylsäure aus Sulfolylsäure 785.
- Gerichten (E. v.) und Schrötter (H.), **81:** Morphin gegen Zinkstaub: Phenanthrenchinolin 931.
- 82:** Aethocodein, Aethobromcodein, Aethocodäthylin 1100; Destillation von deren Methylammoniumbasen, Methyläthylpropylamin 1101.
- Gericke (H.), siehe Krämer (G.).
- Gerlach (G. Th.), **77:** Ammoniak-sodaproceß 1150.
- 84:** physikalische Eigenschaften von reinem Glycerin 930 f.
- 85:** Eigenschaften und Verhalten von Alkohol und Alkohol-Wasser-Mischungen, Mischungen von Glycerin und Wasser, Schwefelsäure mit Wasser, sowie Aether mit Alkohol 110; physikalische Eigenschaften des Glycerins, neues Vaporimeter 1172; Vaporimeter 2002; Bestimmung des Siedepunktes von reinem Glycerin 2089 f.; spec. Gewicht der Glycerinlösungen, Volumveränderung des Glycerins durch Wärme 2090.
- 86:** specifisches Gewicht von Salzlösungen 67 f.
- Gerlach (Th.), **78:** Abscheidung des Schwefels aus schwefelhaltigen mineralischen Massen 1117 f.
- Gerland, **77:** Rübenschnittel 1189; Heizwerth der Braunkohlen 1218.
- Gerland (B. W.), **77:** Sulfate des Vanadintetroxyds 290; Ammoniumvanadinat 292; Vanadiumbestimmung, Titerstellung von Permanganat 1057.
- 78:** Auffindung und Untersuchung einer Reihe von Erden in einem hauptsächlich aus vanadins. Kupfer und Blei bestehenden Mineral 262; Sulfate des Vanadinpentoxyds 295.
- 85:** oxals. Antimonoxydalkali als Fixirmittel 2213.
- Gerland (E.), **77:** Erfindung des Aräometers 46.
- 78:** Kathetometer 1095.
- 83:** Contactelektricität 204.
- German (L.), siehe Fischer (O.).
- Germeil-Bonnaud (J. B.), **79:** farbige Photographien 1177.
- Gerner (H.), **80:** Vulkanisiren von Kautschuk und Gummi 1369.
- Gernez, **84:** Zerlegung der durch Compensation optisch inactiven Substanzen 303.
- Gernez (D.), **77:** Zustand der Salze in Lösungen 78; übersättigte Lösungen 78.
- 78:** übersättigte Lösungen, explosive Körper, überhitzte Flüssigkeiten, Beziehungen 21; Beseitigung des unregelmäßigen Siedens über einander geschichteter Flüssigkeiten 37; Allgemeine Eigenschaften übersättigter Lösungen 58.
- 79:** Destillation von Flüssigkeiten unter dem Einfluß der statischen Elektricität 60 f.
- 82:** Erstarrungsgeschwindigkeit des Phosphors 104 f.

- 83:** Erstarrungsdauer des über-schmolzenen Schwefels 284 bis 287.
- 84:** Erstarren des Schwefels 333 f.; Uebergang des octaëdrischen Schwefels in den prismatischen (krystallinische Ueberhitzung) 334 ff.
- 85:** Uebergang des prismatischen Schwefels in den octaëdrischen 382 bis 386; vermeintliche Identität des perlmutterglänzenden Schwefels mit dem octaëdrischen 390 f.
- 86:** krystallinische Ueberschmelzung des Schwefels 331.
- Gerosa (G.), siehe Cantoni (C.).
- Gerosa (G. G.), **82:** Bestimmung der Wärmecapazität des Wassers 105 f.
- Gerrard, **78:** Doppeljodid mit Wis-muthtrijodid mit jodwasserstoffsaurem Chinin 295; Galläpfeltinctur 969.
- Gerrard (A. W.), **78:** Duboisin 894 f.; Piturin 915.
- 80:** Tonga 1079.
- 82:** Gelsemin 1116; Atropingehalt der Tollkirsche 1168 f.
- 83:** Gelsemin und Salze desselben 1353 f.
- 84:** Darstellung, Untersuchung von Jambosin 1447 f.; Reaction von Atropin und anderer Alkaloide 1643.
- 86:** Ulexin 1752 f.; Verhalten des Atropins gegen Calomel und Mercuronitrat 1977 f.
- Gerresheim (H.), **79:** ammoniakalische Quecksilberverbindungen 301 f.
- Gerson, **86:** Filtrirapparat für Wasser 2111.
- Gerson (G.), **86:** Umwandlung des Cyanhydrins der Brenztraubensäure in Derivate der  $\alpha$ -Cyanpropionsäure und der Isosuccinaminsäure 1318 ff.
- Gerson (G. H.), **83:** Beiträge zur Spüljauchen-Rieselkunde 1726.
- Gerstmann, **86:** Wirkung der Capillarität auf die Zusammensetzung von Flüssigkeiten 103 f.
- Gerver (F.), siehe Kühn (G.).
- Geuns (J. van), **86:** Einwirkung des Pasteurisirens auf die Milch 2116 f.
- Geuther (A.), **78:** Diäthylglyoxy-lsäure-Aether und -amid 691.
- 80:** Synthese von Kohlenstoffsäuren 748 f.; Ameisensäurebildung 760; Monochlortetracrylsäure 790.
- 81:** AffinitätsgröÙe des Kohlenstoffes 311.
- 83:** gelbe und rothe Modification des Bleioxydes 390 bis 392; Abkömmling des Mannits in einer käuflichen Buttersäure 864 f.; Phenol und Kresol gegen Dreifach-Schwefelphosphor 875; Constitution des Acetessigäthers 1065; Derivate der Dischwefelsäure 1239.
- 84:** Schwefigsäurehydrat, saures und neutrales Kaliumsulfid, Kaliumpyrosulfid 339 f.; Zerfall des Chlorids der äthylschwefligen Säure bei der Destillation 347; Einwirkung von Bleihydroxyd und Silberoxyd auf Natriumpentasulfid und Natriumthio-sulfat 378 f.; Calciumoxysulfide 384 f.; Constitution der aus Schwefelstrontiumlösungen erhaltenen Krystalle von sogenanntem Strontiumdisulfid resp. -oxysulfid, Constitution der Polysulfide und Polyoxyde 385; Formel des Wasserstoffhyperoxyds und -persulfids 386; Derivate des Isodichlor-äthyläthers 928 ff.: Essigsäure-Isodi-äthyläther 928; Propionsäure-, Buttersäure-, Ameisensäure-, Benzoësäure-Bernsteinsäure-Isodiäthyläther 929.
- 85:** Notizen über Acetylacetessig-äther 1351.
- Geuther (A.) und Bachmann (A.), **83:** Aldehyd-Aethylchlorid, Acetale 468 f.
- Geuther (A.) und Frölich (O.), **80:** Synthese von Kohlenstoffsäuren 748 f.
- Geuther (A.) und Hergt (O.), **84:** Darstellung eines neuen Phosphor-säureäthers 1351 f.
- Geuther (A.) und Laatsch (H.), **83:** Darstellung und Zersetzungsproducte des Aethylidenoxychlorids 467 f.; Zersetzungen des Aldehyd-Aethylchlorids 468.
- Geuther (A.) und Rübenkamp (R.), **84:** Untersuchung der gemischten Acetale, Darstellung von Aldehyd-methylchlorid 1027, von Aethyliden-estern aus Aethylidenacetochlorhydrin und Silbersalzen 1028.
- Geuther (A.) und Wackenroder (B.), **78:** Einwirkung von Natrium auf Aethoxacetsäureäther 687.
- Gevekoht (H.), **82:** Nitrobenzoylchloride gegen Natriumacetessigäther: isomere Nitrobenzoylacetessigäther, isomere Mononitroacetophenone, o-Monoamidoacetophenon 766.
- 83:** Nitroacetophenone, o-Mono-nitrobenzoylacetone, Derivate des o-Mononitroacetophenons (Monochlor-o-nitrostyrol) 983.
- Geyer (W.), siehe Morton (H.).
- Giacomo (J.), **84:** Nachweis von Zucker im Harn 1681.



- Giacosa (P.), **79**: Phenoxacetsäure, Pyrogallotriglycolsäure 699 f.; Wirkung des Amylnitrits auf das Blut 963 f.; oxybaldriansaures Calcium bei der Gährung 1014.
- 80**: Salireton 613.
- 81**: volumetrische Bestimmung des Phenols 1204.
- 82**: Hülle der Froscheier 1230.
- 83**: Abrotin aus *Artemisia abrotanum* (L.) 1356; Glaskörper des menschlichen Auges 1449; Verhalten der Nitrile (Benzonitril, Phenylacetonitril, Acetonitril, Propionitril) im Organismus 1473; Vergiftung mit *Amanita Pantherina* 1488; Muscarin aus *Amanita Pantherina* und *Amanita Muscaria* 1488 f.; *Epicometis hirsutella* 1496.
- 85**: giftige Cyanverbindungen 1851; Verhalten der Nitrile im Organismus 1852.
- 86**: neuer Farbstoff im Harn des Menschen 1855; physiologische Wirkung und Constitution einiger aromatischer Substanzen 1864; Anwendung einer Lösung von Quecksilberchlorid in Molken als Antisepticum 1877; siehe Nencki (M.).
- Giacoso (P.), **83**: Keime der Luft in großen Höhen 1511.
- Giannetti (C.), **82**: Mono- und Diisobutylanilin 543 f.
- 86**: Colorimeter 2008.
- Gibbons (W.), **83**: ölsaures Uran 1115.
- Gibbs (J. W.), **78**: Gleichgewicht ungleichartiger Substanzen 23.
- 79**: Dampfdichtebestimmungen 55.
- Gibbs (W.), **77**: Stickstoffdarstellung 219; Platinowolframsäure, Platinomolybdänsäure, Phosphorwolframsäure 294; Arsenwolframsäure 296.
- 80**: Phosphor- und Arsenwolframsäuren 341 f.
- 81**: complexe anorganische Säuren (Phosphormolybdänsäuren und Salze) 281 ff.; Sulfomolybdate 282; Osmiumaminverbindungen (Osmylditetraminverbindungen) 808 ff.
- 82**: Phosphor- und Arsenmolybdänate 324 f.
- 83**: complexe Molybdän- und Wolframsäuren 382 bis 384.
- 85**: über complexe anorganische Säuren (Phospho- und Arseniovanadate, -wolframate, -molybdate) 527 bis 536; Verbindungen des Tellurdioxyds mit Wolframsäure 536.
- 86**: complexe Metallsäuren 454; Chlorplatinphosphorsäuren und analoge Verbindungen der Platinmetalle 493 f.
- Gibertini (A. und D.), **83**: Form der Schwefelsäure im Weine 1408 f.
- Gibier (P.), **83**: Apparat zur Erzeugung niederer Temperaturen 114.
- Gibson, **78**: Einwirkung von Aethylen auf Trichlorjod 412.
- Gibson (A.), **84**: Galazyme (künstlicher Kumys) 1780 f.
- 85**: Untersuchung der Calabarbohnen-Extracte 1810.
- Giermánski (P.), **80**: Flußwasser 1522.
- Gies (Th.), **80**: Carbonsäure, Wirkung 1124.
- Giese (W.), **82**: das elektrische Leitungsvermögen der Flammengase 153.
- Giesel (E.), **86**: Verhalten des Cocains gegen Chamäleonlösung 1975.
- Giesel (F.), **78**: Plastilina 1139; siehe Liebermann (C.).
- Gietl (v.) und Burkart, **79**: Cotorinden 927.
- Giglioli (J.), **78**: Oxydation des Mannits 529.
- 79**: Keimfähigkeit verschiedener Samen 885.
- 81**: Arsenwasserstoff und Schimmelpilze 1009.
- Gilbert, **78**: Einfluss von Düngern auf Kartoffeln 960.
- 79**: Düngungsversuche 1124; siehe Mahrenholz; siehe Hanriot.
- Gilbert (H.), **77**: Quellen des Stickstoffs 1172.
- 84**: Untersuchung von Kraftfutter und Palmkernmehl, einem Futterstoff 1774.
- 85**: Bestimmung des Wassergehaltes der krystallisirbaren Borsäure 1920.
- Gilbert (J. H.), **80**: Bodenkunde 1317.
- 85**: Entwicklung und Wirkung des Chlorophylls 1797 f.; siehe Lawes (J. B.); siehe Lawes (J. P.).
- Gilchrist (P. C.), siehe Thomas (S. G.).
- Gilchrist-Thomas (S.), siehe Thomas (S. Gilchrist).
- Gildemeister (L.), siehe Schliwa (R.).
- Giles (W. B.), **85**: technische Darstellung von Ferrisulfat 1879.
- Giles (W. B.) und Shearer (A.), **84**: Modification der Titrimethode von Sulfiten 1568.

- 85:** Dichtigkeit der wässerigen schwefigen Säure 1906 f.
- Gilhausen (v.) und Gontard, **83:** Ausstreichen der Gährbottiche mit schwefigsaurem Calcium 1738.
- Gill (J. M.), **86:** Citronensäurederivate des p-Toluidins: Citro-p-toluidid, Citro-p-ditoluid 843; Citro-p-ditoluidsäure 843 f.; Citro-p-toluidsäure 844.
- Gillavry (Th. H. Mac), **77:** Fermente aus dem Processus vermiformis des Kaninchens 981.
- Gilles (F. W.), **85:** Darstellung eines Sprengstoffes aus Melasse 2102 f.
- Gilm (H.), **78:** Borsäureflamme, Apparat für spectralanalytische Versuche 190 f.
- Giltay (E.), **84:** Hämatoxylin als Reagens auf Cellulose 1408.
- Giltay (J. W.), **85:** neues Elektrodynamometer 231.
- 86:** Wasserzersetzung mit einer dynamoelektrischen Maschine 275.
- Gimingham (J. O. H.), **80:** Löthrohr für Glasarbeiten 1246.
- Gimingham (Ch. L.), **84:** Modification von Sprengel's Luftpumpe 1684 f.
- Ginsberg (J.) und Bondzynski (S.), **86:** Untersuchung der Rhodaninsäure: Verhalten gegen Alkalien: Thioglycolsäure, Disulfidglycolsäure, Ferridithioglycolsäure 531; Verhalten der Benzylidenrhodaninsäure gegen Schwefelsäure: Benzylidenrhodaninoxysulfonsäure gegen Barytwasser: Sulfhydrylzimmtsäure 532.
- Ginsky (F.), **80:** Lagermetalle, Analysen 1248 f.
- Gintl, **77:** Manganbronze 1120.
- 79:** Geraniumöl 941.
- Gintl (W.), **77:** elektrisches Licht in der Photographie 1247; böhmische Wasser 1384.
- 78:** Quelle bei Brück 1301.
- 80:** krystallisirtes Berlinerblau 394 f.
- 81:** Bestimmung von Lithium 1181.
- 85:** Bestimmung des Kohlenstoffs im Eisen 1921; siehe Zepharovich (V. v.).
- Gintl (W.) und Reinitzer (F.), **83:** Bestandtheile der Blätter von Fraxinus excelsior: Fraxinusgerbsäure 1412.
- Gintl (W. F.), **79:** Brunnenanalyse zu Marienbad 1264.
- 81:** Wasser von Marienbad 1445.
- 82:** Analyse von Quellen in Langenbruck bei Franzensbad 1632 f.
- 84:** Berechnung des Handelswerthes von Potaschen 1390.
- Giovannozzi (G.), **82:** Dimethylnaphtalin 432.
- Girard, **77:** saccharimetrische Methoden 1192; Bestimmung des reducirenden Zuckers 1195.
- 80:** Phylloxera 1067; siehe Boucharlat.
- Girard und de Laire, **82:** Trennung und Reindarstellung des Ortho- und Pararosanilins 554 f.
- Girard und Pabst, **78:** Darstellung von Nitrosylsulfat 223; Darstellung von Amidoazobenzol 469; Nitrosofluorescein 562; Nitroalizarin (Alizarinorange) 667.
- Girard (A.), **79:** Bildung von Hydrocellulose 835; Hydrocellulose 1116.
- 81:** Hydrocellulose 985; Dünste von Paris 1300.
- 82:** Analyse von Weinen aus Traubensaft und Trester 1164; Bestimmung des Gerbstoffes im Weine 1333 f.
- 83:** Zuckerbildung in den Blättern der Zuckerrübe 1733.
- 84:** chemische Zusammensetzung und Nährwerth des Weizenkornes 1452; Zuckerbildung in der Rübe, Verarbeitung der Nematoden der Zuckerrübe 1788; Mehlintersuchung (Vorkommen eines Fermentes im Getreide) 1804; Nährwerth des Weizenkornes 1805 f.
- 85:** Untersuchung der Brotgährung (Gase aus Süßteig und aus Sauerteig) 1862.
- 86:** Entwicklung der Zuckerrübe 2121 f.
- Girard (Ch.), **78:** Einwirkung von Azoxybenzid und Azobenzid auf Monoaminchlorhydrate 1182.
- 80:** Lävulose aus Saccharose 1018.
- 85:** Titirung von Zucker mit Fehling'scher Lösung 1977; Nachweis von Sulfocuchsin im Weine 2153; siehe Willm (Ed.).
- Girard (Ch.) und Caveendou, **78:** Einwirkung von Azoxybenzid auf Monoamine 1182.
- Girard (Ch.) und Pabst (A.), **80:** Anilin gegen Chloride 526 f.; Bleikammerkrystalle 1287 f.
- 81:** Bleikammerkrystalle 1298.
- 83:** färbende Eigenschaften neuer Azoderivate: der p-Diazobenzolmonosulfosäure, der Diazonaphtalinsulfosäure, des Diazodinitrophenols 776.

- 85:** Absorptionsspectra verschiedener Farbstoffe 323 f.
- Girard (H.), **85:** Verhalten des Ammoniaks gegen Kalisalze (Sulfat) 458 f.; Nachweis des Kaliums 459.
- Girard (J. de), **80:** Propylacetal und Isobutylacetal 695.
- 82:** Aldehyde und Propylacetal gegen Jodphosphonium 732.
- 84:** Einwirkung von Phosphorwasserstoff resp. Jodphosphonium auf Aldehyde 1356 bis 1359; Tetrahydroxyäthylidenphosphoniumjodür 1356; Tetrahydroxypropylidenphosphoniumjodür, Tetrahydroxyamylidenphosphoniumjodür 1357; Tetrahydroxyönanthylidenphosphoniumjodür, Dichloralphosphin 1358; Dibutylchloralalphosphin 1359.
- 85:** Verhalten von Phosphoniumjodid gegen Aethylenoxyd (Aethylenjodür 1167; Jodphosphonium gegen Aether, Alkohol und Propylalkohol (Aethyljodid und Propyljodid) 1168.
- 86:** Dichloralphosphinhydrat 1611 f.; Propionyldichloralalphosphin 1612; siehe Engel (R.).
- Girardin (J.), siehe Bénard.
- Giraud (E.), **79:** Indigo gegen hydro-schwefligsaures Natrium 472.
- 80:** Indolin 586; siehe Montgolfier (J. de); siehe Wehrlin (E.).
- Giraud (H.), **86:** Uebergang von geschmolzenem in krystallinisches  $\alpha$ -Triphenylguanidin 552; mafsanalytische Bestimmung des Antimons bei Gegenwart von Zinn 1949 f.
- Giraud (V.), siehe Aubert (L.).
- Girdwood (G. P.), **80:** durchsichtige Goldkryställchen 361.
- Gisevius (P.), **84:** Untersuchung der Trennungsmethoden der Gesteinsbestandtheile, Multiplicatorvolumenometer 2005.
- Gismann und Adler, **79:** Analyse schwer oxydirbarer Substanzen 592.
- Gismann (R.), **82:** Durol gegen Oxydationsmittel, gegen Brom: Durylsäure, Dinitrodurylsäure, Monobromdurol 955 f.
- Giudice (G.), **84:** Darstellung reiner Salzsäure 1565.
- Giunti (M.), **79:** Kupferoxyd in Fledermaus excrementen 1000 f.
- 81:** Milchanalyse 1225; Fledermausguano 1295.
- 82:** Gehalt des Fledermausguano an Kupfer 1345.
- Gladding, **86:** Kalibestimmung bei Gegenwart von Sulfaten, Nitraten, Magnesia 1928.
- Gladding (Th.), **84:** Trennung von Harzen und Fetten 1678.
- Gladding (T. S.), **81:** Bestimmung der Kohlensäure 1176.
- 82:** Bestimmung der Phosphorsäure 1273; Bestimmung „zurückgegangener“ Phosphorsäure 1275 f.; Harzbestimmung in Fettsäuren 1338; Apparat zur Stickstoffbestimmung 1348.
- 83:** Bestimmung der Phosphorsäure als Magnesiumpyrophosphat 1542 f.
- 84:** Zurückgehen der Phosphorsäure in Düngemitteln 1769 f.
- Gladky (P.), **86:** Untersuchung der Steinkohlen vom Flusse Lunwa 2151 f.
- Gladstone, **80:** Refraktionsäquivalent des Kohlenstoffes 185.
- Gladstone (G.), **85:** Berechnung des Refraktionsäquivalentes des Fluors aus den Eigenschaften der Fluorverbindungen 308.
- Gladstone (J. H.), **77:** Elemente auf den Weltkörpern 1353.
- 81:** Refraktionsäquivalente für Kohlenstoff, Wasserstoff, Sauerstoff und Stickstoff 112; spezifische Refraction und Dispersion in isomeren Körpern 112 f.; Refraktionsäquivalent des Cumarins 824, der  $\alpha$ - und  $\beta$ -Methyl-o-oxyphenylacrylsäure-Methyläther und des  $\alpha$ -Aethyl-o-oxyphenylacrylsäure-Aethyläthers 827.
- 84:** Refraktionsäquivalente organischer Verbindungen 289.
- 85:** Refraktionsäquivalente 306; Berechnung der Refraktionsconstanten und Dispersionsäquivalente der Alaune 308 ff.; Berechnung der Refraktionsäquivalente von Indium und Gallium 310 f.
- 86:** spezifische Refraction und Dispersion der ätherischen Oele 295 bis 298; physikalische Untersuchung des Trimethylen dicarbonsäure-Diäthyläthers 1369; siehe Perkin (W. H. sen).
- Gladstone (J. H.) und Tribe (A.), **77:** Kupfer-Zink-Element 153; elektrische Leitungsfähigkeit organischer Verbindungen 163.
- 78:** Wirkung Ihres Kupfer-Zink-Elementes auf Alkalisalze 153 f.; Wirkung Ihrer Kupfer-Zinkkette 191 f.

- 79:** trockene Zinkkupferelemente 135; nascirender und occludirter Wasserstoff gegen Salpetersäure und Schwefelsäure 183; Darstellung von Zinkmethyl 770 f.
- 80:** Aluminiumalkohole 379 f.; Aluminiumjodidreaction 1178.
- 81:** Elektrolyse durch Wärme ( $\text{AgCl}$ ,  $\text{AgJ}$ ,  $\text{CuCl}_2$ ) 101; Aluminiumalkohole, Cetyl- und Allylalkohol gegen Aluminiumjodid 889.
- 82:** die Chemie der Accumulatoren von Planté und Faure 148; Zersetzung des Aluminiumäthylats, -amylats, -phenylats, -kresylats, -thymolats, - $\alpha$ - und - $\beta$ -naphthylats beim Erhitzen: Amyläther, Phenyläther, Diphenylketon 1035 f.; p- und m-Kresyläther 1037 bis 1040; p- und m-Kresolketon 1040;  $\beta$ -Naphthyläther, Chryseudiene 1041;  $\beta\beta$ -Dinaphtyl (Isodinaphtyl) 1042.
- 83:** Elektrolyse von Schwefelsäure (Ueberschwefelsäure) 222; schwammiges Blei gegen chloresaures und salpetersaures Kalium 390; Verhalten von Rohrzuckerlösungen beim Kochen mit dem Kupferzinkpaare und beim Erhitzen für sich 1362; Nachweis von Hydroxylamin durch das Nefeler'sche Reagens 1538; Wiedergewinnung von Jod aus den Rückständen organischer Jodide 1594; Reaction auf Alkohol 1601.
- 84:** Chemie der Accumulatoren von Planté und Faure 243; Elektrolyse verdünnter Schwefelsäure, sowie von Salzhydraten 269; Darstellung von Methan aus Jodmethyl 516 f.
- 85:** Nichteintritt der Zersetzung von o- und p-Monobromtoluol durch den elektrischen Strom 286.
- 86:** Aluminium-o-kresylate (Aluminium-o-Kresyläther) 1599 f.
- Gläser (G.), siehe Weidel (H.).
- Gläser (M.), **85:** Einwirkung des Kaliumpermanganats auf unterschwefligsaures Natron 520 f.
- 86:** Oxydation des thioschwefelsauren Natriums durch Chamäleonlösung 418 f.
- Glan (P.), **77:** Photometer 175.
- 78:** Einfluss der Dichte eines Körpers auf die Menge des von ihm absorbirten Lichtes 176 f.
- 80:** optische Eigenschaften reflectirender Flächen 196; Spectroteleskop 202 f.
- Glasenapp (M.), **78:** schwarze Farbe aus Schwefelblei und Leinölrnife 1195.
- 81:** Spence-Metall 1263.
- Glaser, siehe Graebe (C.).
- Glaser (C.), **85:** Bestimmung der Phosphorsäure in Düngern (Anwendung von Ammonoxalat zur Lösung von Phosphorsäure) 1917.
- Glaser (F. C.), **84:** Reinigung arsen-säure- oder arsenigsäurehaltiger Salzlösungen von Arsen 1728 f.
- 85:** Herstellung von Zinkoxyd 2078.
- Glaesner (R.), siehe Claus (A. d.).
- Glatzel (P.), **77:** Ausdehnung fester Körper 96.
- Glazebrook (R. F.), **82:** Doppelbrechung der Linsen 191.
- 83:** Vergleichung verschiedener Normalwiderstandsrollen 243; Einfluss der Feuchtigkeit auf die Brechung des polarisirten Lichtes durch Glas 335.
- Glazebrook (R. F.) und Sargant (E. B.), **84:** Werth der B-A-Widerstandseinheit 247.
- Glazebrook (R. T.), **78:** Bestimmung der optischen Constanten des Aragonits 167.
- 86:** Einfluss der Feuchtigkeit der Luft auf die Brechung des polarisirten Lichtes 300.
- Gleichmann, **82:** unverbrennliche Gewebe 1470; siehe Michaelis (A.).
- Gleichmann (L.), **82:** Dimethyl- und Diäthylphenylphosphin gegen Aethylenbromid: Bromäthyl dimethylphenylphosphoniumbromid, Aethylen-tetramethyldiphenylphosphoniumbromid 1058 f.
- Glenck (K.), **81:** Anilinschwarz 1335.
- Glendinning (H.), siehe Smith (M.).
- Glock (G.), siehe Liebermann (C.).
- Glocker, **80:** Bouteillenstein 1502.
- Glover (J.), **82:** Verwendbarkeit von kupfer- und antimonhaltigem Blei für Schwefelsäurekammern 1383.
- Glyckherr (Fr.), siehe Claus (A. d.).
- Gnehm (R.), **84:** Darstellung von Tetrachlorindigo aus Dichlor-o-nitrobenzaldehyd 1037 f.; Dichlor-o-amidobenzaldehyd, Dichlorchinaldin 1038.
- Gnehm (R.) und Forrer (K.), **77:** Toluoldisulfosäure 855.
- Gnehm (R.) und Wyss (G.), **77:** Diphenylaminderivate 478.
- Gnétat (L.) und Chavanne (J.), **83:** Chromeisen 1680 f.; Wolfram-eisen, Phosphorkupfer 1681.

- Gobley, **77**: Gehirn 999.
- Gockel(A.), **85**: Beziehungen zwischen der Peltier'schen Wärme und dem Nutzeffect galvanischer Elemente 241 f.
- Godard (L.), **85**: Diffusion der Wärme 126.
- Godeffroy (R.), **77**: Resorcin gegen chroms. Kalium und Ferricyankalium 564; Chinaalkaloide gegen Cyankalium 888; Xanthium spinosum 948; Kunstbutter 1182.
- 78**: Cäsium- und Rubidiumdoppelsalze 237 f.
- 80**: Thallium-Rubidiumchlorid 284.
- 82**: Analyse des Wassers vom Gmundener See 1623; Analyse des Wassers vom Heiligen Brunnen in Gmunden, des Bades St. Johann im Pongau 1631.
- Godefroy, **83**: Einwirkung von Chlor und Kaliumdichromat auf Alkohol 464 f.
- Godefroy (L.), **84**: krystallisierte Doppelverbindungen von Chromchlorid mit anderen Chloriden (Kaliumchromchlorid) 402 f.; Regulator für Quecksilberluftpumpen 1684.
- 85**: Hydrate des Chromchlorids 523 f.
- 86**: Darstellung einiger gechlorten Aether: Monochlorvinyläthyläther, Monochlordibromdiäthyläther, Di- und Trichloräthyläther 1173; Dichlorvinyläthyläther, Tetrachloräthyläther, Trichlorvinyläthyläther, Pentachloräthyläther 1174.
- Godfrey, **77**: Puddelofen 1213.
- Göbel, siehe Städel (W.).
- Göbel (E.), **80**: Darstellung von Bromwasserstoff 266.
- Göbel (F.), **83**: Bestimmung der Essigsäure im essigsauren Kalk 1605.
- Göbel (W.), **79**: Ammoniak des Leuchtgases, Reinigung des Gases 1144.
- Göhrling (C. F.), **85**: Darstellung von m-Mononitrobenzaldehyd, Verbindung desselben mit Aldehyd, m-Mononitrozimmettaldehyd, Verbindung von p-Mononitro- $\beta$ -phenylmilchsäurealdehyd mit Aldehyd, p-Mononitrozimmettaldehyd 1297; p-Mononitro- $\beta$ -phenylmilchsäure 1298; siehe Friedländer (P.).
- Göppert, **80**: Saftsteigen 1047.
- Göppert (H. R.), **78**: Bernstein, Copal 1275.
- 85**: Entwicklung und Bekämpfung des Hausschwammes 1816.
- Görges (Th.), **79**: Alkaleszenz des Harnes 989 f.
- Göring (R.), siehe Laubenheimer (A.).
- Göring (Th.), **77**: Parabromphenylpropionsäure gegen Schwefelsäure 858; Sulfophenylpropionsäure, Metasulfophenylpropionsäure 860; Parabrommetasulfophenylpropionsäure 861.
- 84**: Gewinnung von concentrirter Essigsäure 1742.
- Goës (B.), **80**: Diimidonaphtol gegen Anilin und Tolidin 692 f.
- Göfsmann (C. A.), **79**: Einfluss der Düngerarten auf das Zuckerrohr 915; Untersuchung der Pflanze „Amber Cane“ 916.
- Götschmann (Th.), **79**: Methyl- und Dimethyldiacetonamin 409 f.
- Götter (H.) und Michaelis (A.), **78**: Verhalten von Phosphorylchlorid gegen Wasser oder phosphonylige Säure 865.
- Göttig (Ch.), **77**: Salicylsäureglycerinäther 525; Darstellung von Aldehyden: Aethylsalicylaldehyd, Salicylaldehyd 611.
- 86**: wasserhaltige Natriumsulfide 389; Verhalten des Essigsäure-Aethyläthers gegen Kalium- und Natriumhydrosulfid 1164 f.
- Götz (H.), **86**: Leitungswiderstand von Metalldrähten 249.
- Götz (H.) und Kurz (A.), **86**: Leitungsvermögen gespannter Drähte 249.
- Götz (J.), **85**: Untersuchung südafrikanischer Gesteine 2305 f.; Analyse von Hornblende, Epidot, Otreolith, Andalusit 2306.
- 86**: Krystallform von Diopsid 2279.
- Götz (J.) und Werveke (L. van), **81**: Wildschönauer Schiefer (Rutil) 1421.
- Gohring (C. F.), siehe Friedländer (P.).
- Goldammer (D. A.), **86**: thermodynamische Fläche des Wassers 168 f.
- Goldberg, **81**: Alkohole gegen Chloralk 502; siehe Schmitt (R.).
- Goldberg (A.), **79**: Diazosalicylsäure in p-Jodsalicylsäure und p-Oxysalicylsäure 679 f.
- 83**: Stickstoffbestimmung in Nitro-, Azo- und Diazoverbindungen 1587 f.
- Goldhammer (D.), **85**: elektrische Entladungen in verdünnten Gasen 290 f.

- Goldmann (E.), **85**: Schicksal des Cysteins im Thierkörper: Abscheidung von Mercaptursäure 1839 f.
- Goldschmidt (A.), **78**: Untersuchung und Formel des Salpetersäure-Aethylidenimidsilbers 436; Amylidenimidsilbernitrat 438; m-Azotoluol 504 f.; siehe Liebermann (C.).
- Goldschmidt (E.), **84**: Vorkommen von Viandit in Kieselintern 1914.
- Goldschmidt (H.), **80**: akustische Methode der Dampfdichtebestimmung 35; Chloruntersalpetersäure 268.
- 81**: Unterchlorsalpetersäure 185; Valenz des Phosphors, Einwirkung von Phosphorpentachlorid auf Metalle 188; Kohlenstoffchloride gegen Silber (Ungleichwerthigkeit der Kohlenstoffaffinitäten) 375; Glyoxalin 413; Methylglyoxalin 414.
- 82**: Siedepunkt des Phosphorpentasulfids 246 f.; Synthesen von Benzolkohlenwasserstoffen aus Benzol und Toluol 408 f.; Indol aus Strychnin 1104.
- 83**:  $\beta$ -Diphenylglyoxim, Monoisomernitrosophenanthrenchinon 989; Monoisomernitrosoanthrachinon 990.
- 84**: Einwirkung von Hydroxylamin auf Chinone 967 f.; Benzochinonoxim (p-Nitrosophenol),  $\beta$ -Naphtochinon- $\beta$ -oxim ( $\beta$ -Nitroso- $\alpha$ -naphtol),  $\beta$ -Naphtochinon- $\alpha$ -oxim ( $\alpha$ -Nitroso- $\beta$ -naphtol), Einwirkung von Hydroxylamin auf  $\alpha$ -Nitroso- $\beta$ -naphtol 968; Verhalten von Carvol gegen Hydroxylamin (Carvoxim), Phenylhydrazin (Carvolphenylhydrazid) 1065 f.
- 86**: primäre, durch Reduction von Aldoximen und Acetoximen gewonnene Amine: Carvylamin aus Carvoxim 1092; Benzylamin aus Benzaldoxim 1092 f.; Benzhydrylamin aus Benzophenoxim, Isobutylamin aus Isobutylaldoxim 1093; Magenverdauung des Pferdes 1869 f.; Ferment im Pfortendarm 1888 f.; Ferment mit diastatischer Wirkung in der Atmosphäre 1889; siehe Reinitzer (B.).
- Goldschmidt (H.) und Constam (E. J.), **83**: Pyridinbasen des Steinkohlentheers, Cespitin 665 f.
- Goldschmidt (H.) und Hönig (H.), **86**: Monochlornitrotoluole und Monochlortoluidine 663 ff.: Nitrirung und Amidirung von p-Monochlortoluol: Monochlordinitrotoluol, p-Monochloro-nitrotoluol, p-Monochlor-o-toluidin, p-Monochlor-m-nitrotoluol, Dichlor-
- und p-Monochlor-m-toluidin 664; Nitrirung u. Amidirung von o-Monochlortoluol: o-Monochlormononitrotoluol, o-Monochlortoluidin 665.
- Goldschmidt (H.) und Koreff (R.), **85**: Darstellung von Phenyl- und p-Tolylcamphenylamin aus Campheroximanhydrid, Base  $C_{10}H_{19}N$ , Constitution des Campheroximanhydrids als Campholensäurenitril 1659; salzsaures Hydroxylamin gegen Monobrom-,  $\alpha$ - und  $\beta$ -Dibromcampher 1659 f.
- Goldschmidt (H.) und Meyer (Vict.), **82**: Dampfdichtebestimmung permanenter Gase 47 f.; Bestimmung der Gasdichte 48 f.
- 83**:  $\alpha$ -Diphenylglyoxim 989.
- Goldschmidt (H.) und Schmidt (H.), **84**: Einwirkung von Hydroxylamin auf Thymoquinon, Toluchinon,  $\alpha$ -Naphtochinon: Nitrosothymol, Nitroso-o-kresol,  $\alpha$ -Nitroso- $\alpha$ -naphtol 969; Diisomernitrosonaphtalinhydranhydrid,  $\alpha$ -Nitroso- $\beta$ -naphtol und  $\beta$ -Nitroso- $\alpha$ -naphtol gegen Hydroxylamin 970.
- 85**: Untersuchung der Nitroso-phenole 1269 bis 1271: Nitroso-p-xylenol (Phloronoxim), Mononitrop-xylenol, Monoamido-p-xylenol, Constitution der o-Nitrosonaphtole als Naphtochinonoxime, Reduction von  $\alpha$ -Nitroso- $\beta$ -naphtol und  $\beta$ -Nitroso- $\alpha$ -naphtol-Methyläther 1270 f.; Darstellung von Monoamidothymol, Methylhydroxylamin gegen  $\beta$ -Naphtochinon 1271.
- Goldschmidt (H.) und Schulhof (L.), **85**: Darstellung von Camphylamin aus Camphoroximanhydrid (Campholensäurenitril) 911 f.
- 86**: Camphylamin, Darstellung, Salze 865 f.; Camphylcarbaminsäure 866; Benzoylcamphylamin, Camphylphenylthioharnstoff, Camphylthiocarbaminsäure 867; Camphylsenfö 867 f.
- Goldschmidt (H.) und Zürcher (R.), **84**: Untersuchung von Camphoroximanhydrid (Campholensäurenitril) und Isocamphoroxim (Campholensäureamid) 1064 f.
- 85**: Feststellung der Constitution von Nitrosylchlorid-Hesperiden 1145 f.: Benzoylhydrochlorcarvoxim 1145; Bromprodukt des Hydrochlorcarvoxims, Constitution des Nitrosoterpens 1146.

Goldschmidt (L.), **77**: Essigsäuregehalt des Essigs 1080.

Goldschmidt (Th.), **77**: Zinn 1121.

Goldschmidt (V.), **77**: Wägung durch das Mikroskop 1034.

**78**: Goldprobe 1069.

**81**: Couzeranit (Mizzonit) 1382; Feldspathe 1400 f.; Plagioklas 1404; Eläolithsyenit 1423; Untersuchungsmethode der Gesteine 1415.

**83**: Indicatoren zur Bestimmung des specifischen Gewichtes von Flüssigkeiten 1917.

**84**: Löthrohrreactionen der Zeolithe 1975.

**86**: Krystallformen der Mineralien 2 f.; Bestimmung des specifischen Gewichtes von Mineralien 2220 f.

Goldschmidt (G.), **77**: Idryl (Fluoranthren) 388; Brassidinsäure 728.

**78**: Idryl 399; Idrialin 650 f.; Ammoniakgummiharz aus Marokko 983.

**79**: Idrialin 365 f.

**80**: Idryl (Fluoranthren), Derivate 468 f.

**81**: p- und Iso-Benzylidiphenyl 360 f.; Phenylbenzophenon 361; Benzylfluoren 363; Mono- und Dinitropyren 400.

**82**: bernsteinsaures Calcium aus der Rinde von Maulbeerbäumen 1152.

**83**: Pyrenchinon und Derivate: Pyrenhydrochinon, Dibrompyrenchinon, Tribrompyrenchinon 1013; Carbonyldiphenyloxyd aus Trisalicylsalicylsäure, aus Tetrasalicylid, sowie aus p-oxybenzoesäurem Calcium, Diphenylenoxyd aus p-oxybenzoesäurem Calcium 1137; Papaverin gegen übermangansaures Kalium, gegen Salzsäure, Papaverin gegen schmelzendes Kali: Dimethylhomobrenzcatechin und Protocatechusäure 1347.

**84**: Untersuchung von Papaverin 1389.

**85**: Zusammensetzung des Papaverins 1696; Brompapaverin, Salze und Doppelsalze des Papaverins, Papaverinmethyljodid 1697; Papaverinäthylbromid, Papaverinbenzylchlorid, Papaverinbenzylplatinchlorid 1698; Oxydation des Papaverins mit Kaliumpermanganat: Veratrumsäure, Hemipinsäure,  $\alpha$ - resp.  $\alpha\beta$ -Pyridintricarbonsäure (Carbocinchomeronsäure) und Papaverinsäure 1698 f.; Eigenschaften und Salze der Papa-

verinsäure, Mononitropapaverinsäure, Pyropapaverinsäure 1699; Structur der Papaverinsäure, Untersuchung des Papaveraldins, Salze desselben, Papaveraldin-Phenylhydrazid 1700; Bildung vom Meconin, Darstellung von Dimethoxycinchoninsäure, jodwasserstoffsäure Dioxycinchoninsäure, jodwasserstoffsäures Papaverolin, Papaverolin, Phenylhydrazid der Papaverinsäure 1701; Constitution des Papaverins 1702.

**86**: Verhalten mehrfach gebromter Benzole gegen Natrium: p-Dibrombenzol 632 f.; m-Dibrombenzol, symmetrisches Tribrombenzol 633; Umwandlungsproducte des Papaverins: Papaveraldin und Derivate 1718 ff.; Reduction des Papaverins: Dimethoxylochinolin, Tetrahydropapaverin und Derivate 1720 f.; Pseudopapaverin 1721; siehe Barth (L.); siehe Weidel (H.).

Goldschmidt (G.) und Ciamician (G.), **77**: Dampfdichtebestimmung 48.

Goldschmidt (G.) und Herzig (J.),

**82**: trockene Destillation des anis-sauren, o-, m- und p-oxybenzoesäuren Calciums 910.

Goldschmidt (G.) und Schmidt (M. v.), **81**: Quecksilbergewinnung: Stuppfett 1251.

Goldschmidt (G.) und Wegscheider (R.), **83**: Pyren-derivate: Chlorpyrene 577 f.; Pyrenmono- und -disulfosäure 579; Pyrenmonocyanür, Pyrenmonocarbonsäure 580.

Goldschmidt (G.) und Weidel (H.), **77**: Quassiin 931.

Goldsmith (E.), **77**: Sonomaft 1297; Hexagonit 1326.

**78**: Lavendulan 1235.

**79**: Asphalt 1241; Stibianit 1243.

Goldstein, **81**: Benzophenon aus Benzoesäure-Phenyläther 614; Bestimmung des Glycogens 1213.

**82**: Siedepunktsregelmäßigkeiten von Kohlenwasserstoffen 109; Siedetemperaturen gesättigter Kohlenwasserstoffe nicht normaler Structur 397 f.

**83**: specifische Atomwärmen der Elemente 117 f.

Goldstein und Damsky, **85**: Steighöhen der Lösungen von Chlor-, Brom- und Jodkalium 85.

Goldstein (E.), **80**: Entladungen in verdünnten Gasen 166 f.

- 81:** Elektrizitätsentladung in verdünnten Gasen 104.  
**82:** elektrische Entladung in verdünnten Gasen 164; Bandenspectrum der Luft 184.  
**84:** elektrische Entladung im Vacuum (Leitungsfähigkeit des Vacuums) 256.  
**85:** elektrische Leitung im Vacuum 290.  
Goldstein (M.), **78:** isomere Nitrophenole 545; Dibrom-o-nitrophenol 547; Dinitrophenol aus o-Nitrophenol 590.  
**79:** Siedetemperatur der normalen Aethane 56.  
**80:** Oxydation der Ketone 714.  
**81:** Avogadro's Gesetz, Ausströmungsgeschwindigkeiten von Gasen 63 f.  
**82:** Waschapparat für Flüssigkeiten 1349.  
Golebeff (P.), **84:** Reduction des Isodinitrobenzils 1056.  
Goll (O.), siehe Nietzsche (R.).  
Goltschke, **77:**  $\beta$ -Nitrosalicylsäure,  $\beta$ -Nitroamidobenzoësäure 749.  
Goltzsch (H.), **82:** Neuerungen an Spectralapparaten 1350.  
Golubeff (P.), **78:** Nitrirung von Desoxybenzoïn 633 f.  
**79:** Desoxybenzoïnderivate 561.  
**80:** Dinitrodesoxybenzoïne 720.  
**81:** Dinitrodesoxybenzoïn, Isomere 615 f.  
**85:** Reduction des Isodinitrobenzils 1649.  
Gonnard (F.), **83:** Glimmerdiorit (Vaugnerit) von Vaugneray, Département Rhône, Beschreibung eines dem Eukrit verwandten Gesteines von Saint-Clement, Puy de Dome 1928.  
**84:** Analyse von Fahlerz 1911; Verwachsungen an Flußspathkristallen 1922; Untersuchung von Chlorophyllit 1974; Untersuchung von Zeolithen 1975.  
Gonnard (F.), Damour (A.) und Bertrand (E.), **82:** Dumortierit 1571.  
Gontard, siehe Gilhausen (v.).  
Gooch (F. A.), **78:** Trocknen von Niederschlägen 1039.  
**80:** Phosphorsäure - Bestimmung 1160; tubulirte Tiegel 1243.  
**85:** Filter von leicht löslichem und leicht flüchtigem Material (Anthracen) 1880; Trennung des Titans von Aluminium 1928 f.  
**86:** Filtration mit Asbest im Siebtiegel 1898; Filter von Anthracen, Trennung von Titan und Aluminium (Eisen) 1932; Analyse von Fayalith 2267.  
Goodwin (W. L.), **82:** Löslichkeit des Chlors in Salzlösungen 73.  
Goossens (B. J.), **82:** metallische galvanische Kette, Thermosäule 141.  
Goppelsröder, **78:** künstliches und natürliches Alizarin 1191 f.  
Goppelsröder (F.), **77:** Elektrolyse der Benzolderivate 166; Wein 1092; schwefelsaures Anilinschwarz 1237.  
**82:** Anwendung der Elektrolyse in der Färberei und Druckerei 156; Bildung von Farbstoffen auf der Faser auf elektrolytischem Wege 1477 ff.  
**84:** Bildung von Oxy- und Chloroxycellulose 1833; Bildung von Farbstoffen auf elektrolytischem Wege 1845 ff.  
**85:** Darstellung und Fixirung von Farbstoffen durch Elektrizität 2216.  
**86:** Darstellung und Fixirung von Farbstoffen mittelst Elektrolyse 2186.  
Gorboff (A.) und Kefser (A.), **83:** Natriumisobutylat gegen Jodoform:  $\beta$ -Dimethylacrylsäure 860; Dimethylacrylsäure 1090.  
**84:** Spaltung der Dimethacrylsäure beim Erwärmen 1140.  
**85:** Apparat zur Fractionirung unter vermindertem Druck 2002.  
Gorceix, **80:** Pseudomorphose 1485; Glimmerschiefer 1493.  
**84:** Analyse von Hydrargillit 1921, von Wavellit 1948.  
Gorceix (H.), **81:** brasilianische Diamantlager 1345.  
**84:** Vorkommen und neue Lagerstätte von Diamanten 1899; Analyse von chromhaltigem Glimmer 1961, von Pyrophyllit 1990.  
**86:** Vorkommen und Analyse von Xenotim 2257.  
Gordon (J. E. H.), **78:** spezifisches Inductionsvermögen einiger Dielektrica 147; siehe Knott.  
Gore (G.), **78:** thermoelektrische Eigenschaften von Flüssigkeiten 135; Apparat für Gasabsorption 1097.  
**80:** Capillarelektrometer 155; elektromotorische Kraft von Kaliumchlorid, -bromid, -jodid, -cyanid 155 f.; thermoelektrisches Verhalten von Salzlösungen 173 f.



- 81:** Einfluß des Stromes auf die Diffusion (Osmose), thermoëlektrisches Verhalten wässeriger Lösungen 101.
- 82:** elektrolytische Diffusion von Flüssigkeiten, Elektrolyse von Kupfersulfatlösung 161.
- 83:** Einwirkung reduciend wirkender Gase und Flüssigkeiten auf Metalllösungen 336 f.; Linkswinsäure 1084.
- 84:** thermoëlektrische Wirkung von Metallen in verschiedenen Elektrolyten 245; Beziehungen zwischen der chemischen Corrosion von Metallen und dem galvanischen Strom, neue Erscheinungen bei der Elektrolyse, Leitungswiderstand von Kathoden 267; elektrolytischer Niederschlag von Kohle, Bor und Silicium 268; Elektrolyse von Silberfluorid-chlorat und -perchlorat 268 f.; Abscheidung von Kohlenstoff aus anorganischen oder organischen Verbindungen 366 ff.; Absorption von Jod durch Aluminium 391; Ammoniakbestimmung im Trinkwasser 1560 f.
- 85:** Reduction von Metalllösungen durch Gase 102; Uebergangswiderstand in elektrolytischen und Volta'schen Zellen 281; Einwirkung von Fluorwasserstoffsäure auf Ammonium- und Kaliumdichromat 522.
- 86:** Peltier'scher Effect bei verschiedenen Temperaturen 256; Oberflächenwiderstand in elektrolytischen Zellen, Beziehungen desselben zu thermoëlektrischen Strömen 273 f.; Abhängigkeit des Uebergangswiderstandes von der chemischen Natur der Elektrolyte 274 f.
- Gorgu (A.), **77:** Manganhyperoxydhydrat 253.
- 79:** krystallisiertes Manganhyperoxyd 264 f.
- 82:** basische Manganoxysulfate 304 f.
- 83:** schwefligsaures Manganoxysulfat, Mangansulfat 370 bis 372; Darstellung von krystallisiertem Hausmannit, Baryt, Cölestin und Anhydrit, Löslichkeit der Sulfate in Chloriden 1842; Darstellung von künstlichem krystallisiertem Rhodonit und Tephroït 1876; künstliche Darstellung und Analyse von Spessartin 1881.
- 84:** künstliche Darstellung und Untersuchung von Fayalit 1953 f.; Analyse von Friedelit, Pyrosomalith 1962 f.; künstlicher Wollastonit 1965; künstliche Pseudomorphose von Opal nach Fayalit 2000.
- 85:** Darstellung von krystallisiertem Kobaltoxyd  $\text{Co}_3\text{O}_4$  500 f.
- 86:** neue Darstellung von Salzsäure, Chlor und Jod 327 ff.; Doppelsulfate der Thonerde mit Alkalien 398 f.
- Gorkom (van), **83:** Analyse der Asche des Lamongan, Analyse vulcanischer Asche von Arosbaja auf Madoera 1934 f.
- Gormann (Ch. S.), **78:** Beseitigung der Alkaliverluste bei der Darstellung von Kalium- und Natriumchromat 1127 f.
- Gortalow (A.), siehe Saytzeff (A.).
- Gortaloff (A.) und Saytzeff (A.), **86:** Synthese des Methylpropylcarbinols 1216 f.; Eigenschaften und Derivate desselben 1217.
- Gorup-Besanez (v.), **77:** Glutaminsäure in Wickenkeimlingen 928.
- 78:** diastatisches Ferment der Gerste 1036; Schönbornquelle bei Kissingen 1298 f.
- Goslich (O.), **77:** Dibromsulfobenzolsäure 825.
- Gosselin (E.), **77:** Densimeter 45.
- Gossens (B. J.), **86:** Schmelzpunkt des Eises bei niedrigem Druck 194 f.
- Gossin (E.), **85:** Zersetzung des Jodycans durch Schwefelsäure 586; siehe Calmels (G.); siehe Efsner (J. C.).
- Gofsmann (A.), siehe Wallach (O.).
- Gostynski (L.), **80:** Galvanometer 155.
- Goth (A.), siehe Weyl (Th.).
- Gottfried, siehe Sachsenröder.
- Gottheil (G.), **80:** Eupittonsäure 1384.
- Gottlieb (E.), **83:** Zusammensetzung und Verbrennungswärmen von Hölzern 1773 f.; Verbrennungswärme der Cellulose und der Baumwollenkohle 1774.
- Gottschalk (Fr.), **84:** pneumatische Wanne 1689.
- Gottstein (L.), **82:**  $\beta$ -Acetoisobuttersäure,  $\beta$ -Acetobuttersäure gegen Natriumlacton:  $\alpha$ - und  $\beta$ -Methylvalerolacton (Caprolactone) 869 f.
- 84:** Analyse von englischem Flaschenglas 1753.
- Gottwalt (E.), **80:** Filtration von Eiweißlösungen durch thierische Membranen 1032 f.; Eiweißstoffe der Nieren 1036.

- Goulier (C. M.), **77**: Siphonbarometer 1101.
- Gousiorowski (K.) und Merz (V.), **84**: Bildung von Nitrilen und Carbonsäuren aus aromatischen Aminen 658.
- Gouy, **77**: Intensität farbiger Flammen 175; Flammenspectren 182.
- 78**: Durchsichtigkeit farbiger Flammen, Eigenschaften farbiger Flammen von Metallverbindungen 160.
- 79**: photometrische Untersuchungen gefärbter Flammen 157.
- 83**: Bewegungen und Deformationen dünner Elektroden 220; Polarisation des gebeugten Lichtes 255.
- 84**: Beugungserscheinungen des Lichts 299.
- 86**: Lichtgeschwindigkeit im Schwefelkohlenstoff 288; Beugung des Lichtes 300.
- Govaerts (C.), **79**: Juglans regia in der Medicin 931.
- Govi (G.), **77**: Undurchsichtigkeit von glühenden Metallen 176; Absorption von Lösungen 184; Wärmeentwicklung der Meteoriten 1393.
- Gowan (G. Mc.), **84**: Untersuchung der Methylsulfosäure und ihrer Derivate 1305 ff.: Methylsulfochlorid, Methylsulfamid, Methylsulfanilid, Trichlormethylsulfosäure 1305; Dichloroxymethylsulfochlorid, Dichloroxymethylsulfanilid, Trichlormethylsulfonilid 1306; Dichlormethylsulfochlorid, Dichlormethylsulfoamid, Dichlormethylsulfinsäure 1307.
- Gozdorf (G. A.), **86**: Production und Messung von Gold, Silber, Kupfer, Blei 2044 f.
- Graanboom (J.), **82**: chemische Zusammensetzung einiger menschlicher Organe bei verschiedenen pathologischen Zuständen 1229.
- Grabfield (J. P.), **83**: spezifisches Gewicht von Eisenchlorür und -chlorid, von Chromchlorür und -chlorid 51.
- Grabowsky, **78**: Verbindungen von Naphtalin mit Chloral 391.
- 84**: Gewinnung und Verarbeitung von Ozokerit 1827 f.
- Gradmann (A.), siehe Michler (W.).
- Gräbe (C.), **78**: Alizarinblau aus Nitroalizarin und Glycerin 605 f.
- 79**: Paraleukanilin 450; Alizarinblau 550.
- 80**: Carbazol, Methylcarbazol, Aethylcarbazol 549 f.; Aethylcarbazolin, Acetylcarbazolin 550; Nitro- und Chloriderivate 551 f.; Reaktionsfähigkeit der Naphtole 688 f.; Alizarinblau, Derivate 744 f.
- 81**: Phosphorchlorür 193; Aether des Naphtalins 570 f.
- 83**: Formel des Acridins 683; schwefligsaures Acridin 683 f.; Acridinoctohydrür 684; Dioxydiphenylketonoxyd, ein Isomeres des Euxanthon, aus Diamidocarbodiphenylenoxyd 993 f.; Vorkommen von Euxanthon im Purré (Jaune indien) 994.
- 84**: Darstellung von Acridin aus o-Tolylanilin, Methylacridin aus o-Tolylamin 676 f.; Triacetylleukaurin 1024; Reduction von Phtalimid, Darstellung von Phtalidin 1228 f.; Nitrosophtalidin 1229; Synthese von Anthrachinolin 1378 f.; Methode der Stickstoffgährung in organischen Verbindungen 1807.
- 85**: Controle der zu Schmelzpunktsbestimmungen benutzten Thermometer 137; Bezeichnung der durch Reduction aus Phtalimid entstehenden Base mit Phtalimidin statt Phtalimid 900; Oxydation der Dinitronaphtolsulfosäure (Naphtolgelb): Bildung von  $\beta$ -Sulphophtalsäure 1602; Fluoresceinsulfosäure  $C_{20}H_{11}O_6$ ,  $SO_3H \cdot H_2O$ ,  $\beta$ -Oxyphthalsäure 1603; siehe Brunck (H.); siehe Caro (H.).
- Gräbe (C.) und Bourcart, **79**: Alizarinsulfosäure 769 f.
- Gräbe (C.) und Bungener (H.), **79**: Chrysen 381 f.; Desoxybenzoin aus Phenylessigsäurechlorid 561.
- Gräbe (C.) und Caro (H.), **77**: Rosolsäure und Derivate 597.
- 80**: Acridin, Oxydation 545 f.
- Gräbe (C.) und Drews (Ad.), **84**: Untersuchung von Dinitro- $\beta$ -naphtol 1016 f.; Dinitro- $\beta$ -naphtylamin, Dinitronaphtalin 1017.
- Gräbe (C.) und Ebrard (R.), **82**: Methylendiphenylenoxyd aus Euxanthon, Methyl-, Aethyl-, Benzoyläther des Euxanthon, Euxanthon-Magnesium, versuchte Synthese des Euxanthon aus Carbodiphenylenoxyd 768.
- Gräbe (C.) und Feer (A.), **86**: Darstellung und Derivate von o-Dioxybenzophenon 1652; Darstellung von  $\alpha$ - und  $\beta$ -Naphtylenphenylen- und

- von Tolnylenphenylenketonoxyd 1652 f.; Constitution der Euxanthonsäure 1653.
- Gräbe (C.) und Glaser, **85**: Darstellung einer Fluoresceinsulfosäure  $C_{20}H_{11}O_4 \cdot SO_3H \cdot H_2O$  1603.
- Gräbe (C.) und Guye (Ph.), **82**: Bestimmung der organischen Substanzen im Rhönwasser 1261.
- 83**: Naphtalinhydrüre 572 bis 574.
- 84**: Bildung von Diphtalyl 1056 f.
- 86**: Darstellung von Diphtalyl aus Phtalsäure- resp. Thiophtalsäureanhydrid mit Phtalid 1528; Mononitrodiphtalyl 1528 f.; Oxy- und Tetrachlordiphtalyl, Diphtalylimid 1529.
- Gräbe (C.) und Knecht (W.), **77**: Phenylnaphtylcarbazon 449 f.
- 80**: Phenylnaphtylcarbazon, Phenylnaphtylcarbazolin 553 f.
- Gräbe (C.) und Liebermann (C.), **79**: künstliches Alizarin 1174.
- Gräbe (C.) und Mann (W.), **82**: Diazobenzol, Diazotoluol,  $\alpha$ - und  $\beta$ -Diazonaphtalin gegen Schwefelwasserstoff: Diphenylidisulfid 584 f.
- Gräbe (C.) und Mensching (C.), **80**: Diphensäureanhydrid 891 f.
- Gräbe (C.) und Pictet (A.), **84**: Darstellung von Methylphtalimid 1229 f.
- Gräbe (C.) und Rée (A.), **86**: Derivate der  $\beta$ -Sulphophtalsäure:  $\beta$ -Oxyphthalsäure und Derivate 1564 f.;  $\beta$ -Monochlorphthalsäure und Derivate 1565 ff.
- Gräbe (C.) und Schmalzigaug (H.), **82**: Diphtalyl (Dioxystilbendicarbonsäurelacton), Stilbendicarbonsäure, Diphtalylaldehydsäure 768 f.
- 83**: Phtalsäureäther 1160 f.; Phtalsäure-Aethyläther, Phtalsäure-Methyläther, Tetrachlorphthalsäure-Aethyläther 1161.
- 85**: Untersuchung des Diphtalyls 1647 f.; Diphtalylbromid, Diphtalylsäure, Diphtalylchlorid, Diphtalyl-lactonsäure und -dilactonsäure 1647; Hydrodiphtalyl-lactonsäure 1648.
- Gräbe (C.) und Walter (J.), **81**: Picen 373.
- Gräbe (C.) und Zschokke (B.), **84**: Untersuchung von Thiophtalsäureanhydrid 1230 f.; Thiofluorescein 1231.
- Gräff (F.), **81**: Mononitronaphtonitril 326.
- 82**: Einwirkung der Salpetersäure auf  $\alpha$ - und  $\beta$ -Naphtonitril, Constitution des Naphtalins 380.
- 83**: Einwirkung rauchender Salpetersäure auf Naphtonitrile (Nitronaphtonitrile) 483; Mononitronaphtalincarbonensäuren: Mononitro- $\alpha$ -naphtoesäure (Schmelzpunkt 241,5°), Salze und Aether derselben, Mononitro- $\alpha$ -naphtoesäure (Schmelzpunkt 255°) 1223 f.; Mononitro- $\beta$ -naphtoesäure, Salze und Aether derselben 1224 f.
- 84**: Untersuchung von Mononitro- $\alpha$ -naphtoesäure 1278.
- Gräff (E.), **85**: Verhalten des m-Mononitroanilins und einiger Mononitroluidine gegen reducirende Substanzen (Hydrazoanilin, Azoxyltoluidin) 878 ff.; Oxyazotoluidin 879 f.; Azotoluidin 880.
- Gräfsler (Fr.), **79**: Amidoazobenzol als Farbstoff 1174.
- 82**: Azofarbstoffe aus Diazoazobenzolsulfosäuren und Phenolen 1489.
- 84**: Herstellung von Farbstoffen aus anilinhaltigen Abfallwässern 1872.
- Graetz (L.), **80**: Wärmestrahlung und absolutes Emissionsvermögen des Glases 100 f.
- 81**: Wärmeleitung von Gasen 1099.
- 83**: Wärmeleitungsfähigkeit von Flüssigkeiten 115 f.
- 85**: Wärmeleitungsfähigkeit von Flüssigkeiten 125.
- 86**: Leitungsfähigkeit von festen Salzen unter hohem Drucke 265.
- Grätzel (A.), **77**: Kreosot und Phenol 1081.
- 78**: Pitakall 600.
- Graff (W.), **86**: Reinigung von Wollfett 2163.
- Graham, **80**: Chemie der Brotbereitung 1358; siehe Armstrong (H. E.); siehe Mc Donald Graham (A.).
- Graham (C.), **77**: Bier 1197.
- Graham (C. C.), siehe Frankland (E.); siehe Japp (F. R.).
- Graham Bell, siehe Bell (Graham).
- Graham (J. A.), **87**: Ueberziehung von Eisen mit Blei 1697; Herstellung von Sulfstoffs 1831.
- 85**: Ueberziehen von Eisen mit Blei 2033.
- Graham (N. C.), siehe Armstrong (H. E.).
- Graham-Young (Th.) und Pettigrew (J.), **85**: Zellstoffgewinnung 2195.
- Grahl (H.), siehe Krockner.
- Grailich, **84**: Krystallform von essigsaurem Uranyl-Strontium und essigsaurem Uranyl-Calcium 421.

- Gram (Ch.), **85**: Darstellung von Asclepiadin aus *Asclepias curassavica* und *incarnata*, sowie *Vincetoxicum officinale* 1849.
- 86**: vermeintliche Umwandlung von Cholin in Neurin 1753; Entstehung der Ptoäine: Verwandlung von Cholin in Neurin 1887.
- Gramme, siehe Thénard (A.).
- Gramont (A. de), **83**: Propylen-acetal 857.
- Gramp (Fr.), **77**: Verbrennung von Zink und Cadmium 200.
- Grandeau (H.), **82**: Zersetzung der Phosphate mit Alkalisulfaten 278 f.
- 85**: Bildung krystallisirter Phosphate oder reiner Metalloxyde beim Erhitzen der Phosphate mit Kaliumsulfat 435 f.
- 86**: krystallisirte Doppelphosphate 357 ff.
- Grandeau (H.) und Bouton (A.), **77**: Mistel 951.
- Grandeau (L.), **77**: Hafer 1209.
- 78**: Einfluß der atmosphärischen Elektrizität auf die Fructification der Pflanzen 940.
- 79**: Einfluß der atmosphärischen Elektrizität auf die Ernährung der Pflanzen 883 f.; siehe Fliche (P.).
- Grand' Eury (C.), **82**: Bildung der Steinkohle 1575.
- Grandhomme, **80**: physiologische Wirkungen der Theerfarben und organischen Rohstoffe 1123.
- Grandval (A.), siehe Lajoux (H.).
- Grandval (A.) und Lajoux (H.), **85**: Bestimmung kleiner Mengen Salpetersäure in der Luft, im Wasser und Boden 1909.
- Granville Cole, **80**: Metallcomposition 1283.
- Grasset, **85**: physiologische Wirkung des Cocaïns 1850.
- Grasset und Amblard, **81**: Wirkung des Morphins 1066.
- Grasset (J.), **84**: anästhesirende Wirkung des Cocaïns 1510.
- Grassi, **86**: neues Luftthermometer 180.
- Gratama (W. D.), **84**: Doppelsulfid des Aluminiums und Kaliums 390.
- Grattarola, **77**: Eisenspath 1289; Hydrocastorit 1325; Anthophyllit 1326.
- Grattarola (G.), **77**: Andalusit 1304; Pseudomorphosen 1352.
- 79**: Heulandit, Pseudonatrolith 1231.
- 80**: Lithofellinsäure 831; Beccarrit 1411 f.
- 81**: Rosterit 1396.
- Grattarola (G.) und d'Archiardi, **77**: Magnetkies 1262.
- Graumann (L. v.), **84**: Vorkommen von Türkis 1947; Vorkommen von Wollastonit 1965.
- Graves (E. E.), siehe Plimpton (R. T.).
- Grawitz (S.), **77**: Zinnober 1156.
- 78**: Schwarzfärbung salzsaurer Anilinsalze durch doppelchromsaurer Kali 462; Anilinschwarz 468; Amidoderivate des Alizarins 667; Gewinnung von Nitroalizarin 1191.
- 79**: Chromverbindungen zu Anilinschwarz 1162.
- 86**: Priorität der Entdeckung des nicht vergrünenden Anilinschwarz 2192.
- Gray (A.), **83**: Bestimmung der Intensität eines kräftigen magnetischen Feldes 227.
- Gray (Ass), siehe Trumbell (H.).
- Gray (J. M.), **82**: Verhältniß zwischen spezifischer Wärme und Molekulargewicht 111.
- Gray (Th.), **82**: die elektrischen Widerstände einiger Glasorten 149 f.
- 86**: Normal-Sinus-Galvanometer 240.
- Gray (Th. und A.), **84**: Reflexionsgalvanometer 232.
- Gray (Th. und A.) und Dobbie (J. J.), **84**: elektrischer Widerstand von verschiedenen Flintglassorten 252.
- Grayling, **86**: Ursache der blauen Farbe bei faulendem Holz 2171.
- Graziadei (B.), **84**: Wirkungen des Kairins 1511.
- Green (A. G.), **85**: Einwirkung von Zinkäthyl auf organische Verbindungen 1613; siehe Friswell (R. J.); siehe Morley (H. Forster).
- Green (A. G.) und Evershed (F.), **86**: Titration der salpetrigen Säure mit Anilin 1916 f.
- Green (E. M.), **86**: Isolirung des Traubenzuckers aus dem Harn 2006.
- Green (G.) und Rideal (S.), **84**: Methode der Bestimmung der salpetrigen Säure 1571.
- Green (J. R.), **86**: Eiweißkörper des Milchsaftes der Pflanzen 1803.
- Green (W. D.), **86**: Harnstoffbestimmung 1956 f.; siehe Marshall (J.).

- Green (W. M.), **86**: Untersuchung des Theeaufgusses unter verschiedenen Bedingungen 1818.
- Greenaway (A. J.), siehe Frishwell (R. J.).
- Greene (F. G.), **78**: Bestimmung des Caffeins in der Guarana 871 f.
- Greene (F. V.), **80**: Alkaloid aus *Baptista tinctoria* 999 f.
- Greene (F. W.), **86**: Darstellung von Oel und Eiweißstoffen aus Korn 2161.
- Greene (H.), **77**: Aethylenoxyd 522.
- Greene (W. H.), **78**: Darstellung von Hexamethylbenzol 389; Einwirkung von Chlorzink auf Aethylalkohol 519, von Natron auf Jodäthyl 520.
- 79**: Dioxyäthylmethylenäther 490 f.; Amylnitrit 491.
- 80**: Dioxäthylmethylenäther und Methylenchlorid 473; Saligenin 612 f.; Benzoesäureanhydrid 839.
- 83**: neue Form des Ureometers 1661.
- 84**: Bildung von Dibenzyl aus Benzol und Aethylenchlorür mit Aluminiumchlorid 551; Darstellung von Saligenin 952; Darstellung von Diäthoxymethylen, von Methylenchlorid 1026; Verhalten des Acetobenzoesäureanhydrids gegen Chlorwasserstoff und Chlor 1198.
- 86**: Dioxyäthylmethylen (Methylenäthyläther) 1172; Gasabsorptionsröhre 2011; siehe Bel (J. A. le).
- Greenfell (J. G.), **79**: Erkennung der Disociation der Elemente 10.
- Greenish (H. G.), **78**: Ceriumoxalat 245.
- 79**: Analyse von Rhabarbersorten 922; Rhabarber gegen Jod 923 f.
- 80**: *Nigella sativa* 1077 f.
- 82**: Kohlehydrate von *Fucus amylaceus* 1127 f.
- 83**: Bitterstoffe von *Nerium odoratum* 1416.
- Greenish (H. J.), **81**: Cap-Thee, Bush-Thee, Honig-Thee: Cyclopin, Cyclopiaroth, Cyclopi fluorescin, Oxy-cyclopin, Oxylopiaroth 1019; *Fucus amylaceus*, *Nerium odoratum* (Neriodorin, Nerioderoïn) 1021; *Nigella sativa* (Melanthigenin) 1022.
- Greenish (Th.), **80**: *Araroba* 1058; indisches Bilsenkraut 1073.
- 84**: Untersuchung der Wurzel von *Perezia fructuosa* 1461.
- Gréhan, **80**: Kohlenoxydwirkung 1125.
- Gréhan und Quinquaud **83**: Kohlenoxydvergiftung 1486; Bestimmung von Chloroform im Blute anästhesirter Thiere 1640.
- 84**: Untersuchung über den Ort der Harnstoffbildung 1493.
- Gréhan (N.), **78**: Bildung von Kohlenoxydhämoglobin 1007.
- 86**: Ausführung des Priestleyschen Versuches: Athmung und Assimilation 1830.
- Gréhan (N.) und Peyrou, **85**: Zusammensetzung der in den Pflanzenblättern enthaltenen Gase 1798.
- Greiff (P.), **79**: Farbstoff aus Chloranil 1169.
- Greiff (Ph.), **80**: Dibromamidobenzoesäure 846; siehe Fischer (O.).
- Greiner und Friedrichs, **86**: neue Quecksilberluftpumpe 2010.
- Greiner (A.), **86**: neuer Kupföfen 2023.
- Greiner (E.), **84**: Titirapparat 1693.
- Greiner (J.), **85**: Bürette mit Kegelschluß 2004.
- Grenfell (J. G.), **79**: übersättigte Lösungen 78.
- Gresecke, **84**: Analyse von grönländischem Eisen 2044 f.
- Greshoff, **84**: Farbstoffe aus *Bixa orellana* 1459.
- Gresler, **84**: Herstellung basischer Ziegel 1708.
- Gresly (J.) und Meyer (F.), **82**: Mesithylen gegen Phtalsäureanhydrid in Gegenwart von Chlorammonium: Mesithylenphtaloylsäure 980.
- Gresly (L.), **86**: Reduction von Homologen der o-Benzoylbenzoesäure (Phtaloylsäuren) mit Zink und Salzsäure: p-Toluylphtalid und Homologe; mit Zinkstaub und Ammoniak: Homologe der o-Benzylbenzoesäure 1526 f.; Verhalten der Phtaloylsäuren gegen Zinkstaub und gegen Schwefelsäure: Homologe des Anthracens und des Anthrachinons 1527 f.; Einwirkung von Benzol auf Phtalide: Triphenyl- und p-Tolyldiphenylmethancarbonsäure 1533.
- Grete, **79**: Nichtbildung salpetriger Säure beim Schütteln von Luft mit Wasser, Manganoxydhydrat und Magnesiumcarbonat 221.
- Grete (E. A.), **78**: Reduction der Salpetersäure 1048.
- 79**: Analyse von Hornabfällen, Wolle u. s. w. 1060.

**80:** Extractbestimmung im Weine 1223.

**83:** Bestimmung der Phosphorsäure in eisen- und thonerdehaltigem Materiale 1544; siehe Zöller (Ph.). Greuel (G.), **85:** Löslichkeit von Jod in fetten Oelen 382.

Greville (H. Leicester), **84:** Abscheidung von Schwefelkohlenstoff aus Leuchtgas 1807 f.

Greville Williams, siehe Williams (Greville).

Grevingk (E.), **84:** Nitroderivate des m-Xylols 586 ff.; isomeres Dinitroxylol, Trinitroxylol, m-Mononitroxylidin 586; symmetrisches m-Diamidom-xylol, Triamidoxylol 587;  $\alpha$ -Mononitro-m-xylol 588.

**86:** Azoderivate des m-Xylenols: Phenylazo- und Sulfophenylazo-m-xylol 1043.

Grewingk und Uexküll (v.), **85:** Krystallform des Aconitins, des bromwasserstoffsäuren, chlorwasserstoffsäuren und jodwasserstoffsäuren Salzes 1722.

Grewingk (C.), **84:** Untersuchung eines Stück Meteoreisens von Sanarka 2040.

Griepentrog (H.), **86:** neue Synthese von Triphenylmethan und Di-*tolylphenylmethan* 614 f.

Grierson (J. A.), **86:** Verdauungsvermögen verschiedener Pepsinpräparate 1871.

Grieff (P.), **77:** Chrysoidine 489; Diazoverbindungen gegen Amine (Azoamidoverbindungen) 504; Orthoazobenzoessäure 508.

**78:** Einwirkung von Diazosulfosäuren auf Phenole 483 f.; Einwirkung von Cyan auf m- und o-Amidobenzoessäure 756 f.; Uramidobenzoessäure, Nitroamidobenzoessäuren, Oxy-nitrobenzoessäuren 772 f.; m-Diamidobenzol und Toluyldiamin gegen salpetrige Säure, Vorkommen von salpetriger Säure im Speichel 1047; Farbstoffe aus Diazoverbindungen und Phenolen 1183.

**79:** Diazobenzol gegen Ferricyanwasserstoffsäure, Nitroprussidwasserstoffsäure und Uebermangansäure 452; Oxyazobenzol, Azobenzolnaphtylaminsulfosäure 464 f.; Säure aus Asparagin 629; Oxybenzetaïn aus Amidosalicylsäure 682; Trimethylsulfanilsäure 748 f.

**80:** o-Benzglycocyamidin und Derivate 419 f.; Amidophenole gegen Jodmethyl 629 f.;  $\beta$ -Naphtholdisulfosäuren 931 f.

**81:** Azofarbstoffe aus Diazosäuren und Phenolen: m-Benzoessäureazophenol 490; m-Benzoessäureazo-phenolsulfosäure, m-Benzoessäureazoresorcin 491;  $\beta$ -Naphtolazo-m-benzoessäure 492;  $\beta$ -Naphtolsulfosäureazom-benzoessäure,  $\beta$ -Naphtol- $\alpha$ -disulfosäureazo-m-benzoessäure 493;  $\beta$ -Naphtol- $\alpha$ -disulfosäureazo-m-benzoessäure-sulfosäure 494;  $\beta$ -Naphtolazooanisäure,  $\beta$ -Naphtolsulfosäureazooanisäure 495;  $\beta$ -Naphtol- $\alpha$ -disulfosäureazoanisäure,  $\beta$ -Naphtolazohippursäure ( $\beta$ -Amidonaphtolsulfosäure,  $\beta$ -Amidonaphtol- $\alpha$ -disulfosäure), 496; Benzidindisulfosäure 870; Tetrazodiphenyldisulfosäure 871.

**82:** p-Diazobenzolmonosulfosäure gegen primäre aromatische Mono- und Diamidoverbindungen 585 ff.; Azoamidobenzolmonosulfosäure, Diazobenzolmonosulfosäure, Azo-p-sulfoxybenzolphenol 586; Azoamidobenzoldisulfosäure, Diazoazobenzoldisulfosäure, Azobenzoldisulfosäure 587; Azo-o-amidotoluol-p-benzolmonosulfosäure, Azo-m-amidotoluol-p-benzolmonosulfosäure, Azo- $\alpha$ -amidonaphtalin-p-benzolmonosulfosäure, Azo- $\beta$ -amidonaphtalin-p-benzolmonosulfosäure 588; Diamidonaphtaline 589; Azo- $\alpha$ -amidonaphtalinsulfo-p-benzolsulfosäure, Azimidobenzol 590; Azo-m-phenyldiamin-p-benzolmonosulfosäure, Triamidobenzol 591;  $\beta$ -Azimidobenzoessäure 591 f.;  $\gamma$ -Azimidobenzoessäure, Azo- $\delta$ -diamidobenzoessäure-p-benzolmonosulfosäure, Triamidobenzoessäure 592; p-Oxybenzoessäure gegen p-Diazobenzolmonosulfosäure: Azo-p-sulfoxybenzol-p-oxybenzoessäure 593; Constitution der Azimidoverbindungen, Dinitro- und Nitrouramidobenzoessäuren, Amidouramidobenzoessäuren gegen Alkalien, Azimidouramidobenzoessäuren 594 f.; Cyan gegen Pikraminsäure: Aethyl-oxy-carbimidamidodinitrophenol 677; Uramidodinitrophenol, Dinitrophenylguanidin, Dinitrophenylmethylguanidin, Constitution des Harnstoffs 678.

**83:** Einwirkung aromatischer Amine auf Cyancarbimidamidobenzoessäure: Glycocyamine 485 f.; Diazover-

bindungen: Azotriplebasen: Azo-(Benzol-Phenylendiamin-Benzol) 762 f.;  $\alpha$ - und  $\beta$ -Azo-(Benzol-Phenylendiamin-p-Toluol) 763; Azo-(p-Toluol-Phenylendiamin-Benzol) 763 f.; Azo-(p-Toluol-Phenylendiamin- $\beta$ -Naphthalin) 764; Azo-(p-Sulfoxybenzol-Phenylendiamin-Benzol) 764; Azo-(m-Benzoesäure-Phenylendiamin-Benzol) 764 f.; Azo-(Dibenzol-Phenylendiamin) 765 f.; Azo-(Dibenzol-Toluylendiamin), Azo-(p-Sulfoxybenzol-Benzol-Phenylendiamin), Azo-(Sulfoxybenzol-Benzol-Toluylendiamin) 766; Azoquardrupelverbindungen: Azo-(Dibenzol-Phenylendiamin-Benzol) 767.

**84:** Bildung von Perbromiden der Diazoverbindungen, Triazozobenzol 794; Diazotirung und Azotirung der Phenole, Azo-p-sulfoxybenzol-p-oxymbenzoesäure 804; Verhalten von p- und o-Mononitrophenol gegen Diazoverbindungen 805; Untersuchungen über Diazoverbindungen 818 bis 821: p-Amidodiazobenzoesäure 819; Amidodiazobenzol 820; Darstellung von Triamidazobenzoesäure 842; Darstellung von Di-m-uramidonitrobenzoesäure und Di-m-diuramidonitrobenzoesäure 1204 f.; Untersuchung von Amidophenylazonaphtholdisulfosäure 1874; Herstellung eines Farbstoffes aus p-Phenylendiamin 1875.

**85:** Darstellung von Acidammoniumbasen: isomeres Oxalamidotrimethylphenylammonium 837 f.; m-Succinamidotrimethylphenylammonium 838; Untersuchungen über Diazoverbindungen 1024 bis 1027: Monochlor-, brom-, -fluorbenzoesäuren, m-Monofluorhippursäure, o-Monofluorzimmtsäure 1024; m-Azonitromethanbenzoesäure, m-Azoacetessigbenzoesäure, m-Azomalonenbenzoesäure, m-Amidodiazobenzolimid 1025; Diazoverbindung dieser Base, m-Amidohydrodiazobenzol (m-Amidophenylhydrazin) 1026; salzs. Diazobenzol-Zinnchlorid, p-Diphenol 1027; Derivate der Cyancarbidamidobenzoesäure resp. des Dicyanamidobenzoyls 1461 bis 1464: Carboxamidocarbimidamidobenzoesäure, Oxalamidamidobenzoesäure, Oxalamidobenzoesäure, Dimethylamidodicarbimidamidobenzoesäure 1461; Imidophenylbenzglycococamidin, Cyancarboxamidobenzoesäure, Carboxamidobenzoesäure, Ur-

amidobenzoesäure, Methyluramidobenzoesäure 1462; Aethylamidouramidobenzoesäure, Hydroxylamidocarbimidcarboxamidobenzoesäure, Carboxamidocyanamidobenzoyl, Carbosulfamidocyanamidobenzoyl, Carboxylecyanamidobenzoyl 1463; Carbimidamidobenzoyl, Methylamidocarbimidcyanamidobenzoyl, Carboxylphenylbenzglycococamidin, p-Amidophenylbenzglycococamidin 1464.

**86:** neue Untersuchungen über Diazoverbindungen 1005 bis 1010: Umsetzungen des Diazobenzolimids (Triazobenzol) 1005 f., des m-Diazobenzoesäurelimids (Triazobenzoesäure) 1006 f.; p- und o-Monochlor-m-amidobenzoesäure 1007; Einwirkung der salpetrigen Säure auf aromatische Diamidverbindungen: m-Diazobenzol- oder Tetraazobenzolverbindungen 1007 f.; m-Tetraazobenzol und Salze 1008; m-Tetraazonitrophenol, Diazotirung von p-Phenylendiamin: p-Monoamidodiazobenzol 1009; p-Tetraazobenzol 1009 f.

Grieffs (P.) und Harrow (G. H.), **86:** Vorkommen von Cholin (Sinkalin, Neurin oder Amanitin) im Hopfen 788; Nachweis von Cholin im Hopfen und Bier 1802.

Grieffshammer (O.), **79:** Gluconsäure 852 f.

Grieffsmayer, **81:** Gypsen des Weines 1307.

Grieffsmayer (V.), **77:** Peptone der Würze 922; Bier 1197; Weinuntersuchung 1203.

**78:** Säuregehalt der Biere, Calciumdisulfid in den Brauereien, Maischverfahren 1158; Bestimmung des Glycerins im Bier, Chlornatriumgehalt der englischen Biere 1160.

**79:** Maischverfahren 1138.

**80:** Lupulin 1000 f.; Alkohol- und Extractbestimmung im Wein 1223 f.; Bestimmung des Würze- und Bierextractes 1226; Glycerin in dunklen Bieren 1227; Bierbrauerei 1354.

Griffith (A. B.), **82:** Entstehung der Diamanten 1519 f.

Griffith (W.), **85:** Reinigung von geschmolzenem Eisen 2021.

Griffiths (A. B.), **82:** australischer Guano 1432.

**83:** Aldehydnatur des lebenden Eiweißes 1373 f.; Einfluss von Eisensalzen und Phosphaten im Boden auf

- das Wachsthum der Pflanzen 1389 f.; Asche von Pflanzen aus eisensulfathaltigem Boden 1390; Zusammensetzung der Asche vom *Fucus vesiculosus* und *Fucus serratus* 1412 f.; Leber der *Sepia officinalis* 1495; Untersuchung amerikanischer Käsesorten 1731; Analyse eines grauen Schwefelkupfers aus Neuschottland 1833; Wolfram, Titan und Selen im Brauneisenstein von Casa Brauca, Südportugal 1845; Bestandtheile eines braunen Pulvers aus Höhlen bei der Kapstadt, Südafrika 1863; Analyse eines Syenits aus der Umgegend von Dresden 1927; Analyse der Soole von Stoke Prior, Worcestershire 1946.
- 84:** Untersuchung über das Chlorophyll, Wirkung des schwefelsauren Eisens auf Pflanzen 1438; Nachweis von Phenol in *Pinus sylvestris* 1461; Ferrosulfat als Dünger für Bohnen und Weizen, Vorkommen niederer Organismen im Stalldünger 1763.
- 85:** Aufnahme von Kohlenstoff durch Platin beim Schmelzen 571; Untersuchung der Kephelopoden-Leber (*Sepia officinalis*): Ferment aus der Sepia-Leber 1845; Harnsäure und Guanin in der grünen Drüse des *Astacus fluviatilis* 1846; Werth des Ferrosulfats als Düngemittel 2127.
- 86:** Wirkung der Salicylsäure auf Fermente 1877; Lebenskraft der Sporen parasitischer Pilze, antiseptische Eigenschaften des Ferrosulfats 1877 f.; Verwendung von Eisensulfat als Dünger 2107 f.; Untersuchung paraffinreicher Schiefer, Analyse von Braunkohlen 2296; Analyse eines Porphys 2306; Analyse eines Trachyts 2310.
- Griffiths (A. B.) und Dreyfus (S.), **86:** Vorkommen von Zinkspat 2248.
- Griffiths (A. B.) und Follows (Harold), **85:** Untersuchung des Bejanus'schen Organs von *Anodonta* 1845.
- Griffiths (Th.) und Cawley (J.), **80:** Schwefelzink 1284.
- Grigorjew, **83:** Lager von mineralischem Dünger im Gouvernement Riazan, Untersuchung von dort vorkommendem Sandstein und Sand 1721; siehe Schöne (E.).
- Grigorjew (P.), **82:** russische Sandsteine als Dünger 1432.
- Grigorjew (P.), **80:** Chondrit 1540.
- 83:** Analysen der Moskauer Wässer (Quellen von Mytischtschy, Quelle von Sokolniki, Fluß Jausa, Brunnen von Chodynak) 1947 f.
- Grimaldi (G. P.), **85:** Wärmeausdehnung von Flüssigkeiten (Aether) 129.
- 86:** Abhängigkeit der Wärmeausdehnung von Flüssigkeiten (Aethyläther) vom Druck 126 f.; Wärmeausdehnung einiger Flüssigkeiten 182 f.; Wärmeausdehnung des Thiophens 203 f.
- Grimaldi (P.), **84:** Compressibilität des Aethers 110.
- 85:** Veränderung der Temperatur des Dichtemaximums des Wassers mit dem Druck 47 f.
- Grimaux (E.), **77:** Synthese und Constitution von Körpern der Harnsäuregruppe, Brenztraubensäureharnstoffe 353; Tarttronsäure aus Dibrompyrtraubensäure 701.
- 78:** Darstellung von Alloxantin 361.
- 79:** Synthese von Barbitursäure 352 f.; Biuretoxamid 354; Pseudoharnsäure, Xanthinin 359.
- 81:** Morphinäther (Codeine): Codäthylin, Dicrodäthin 929; Acetyloxycodein, Dicrodomethin, Methylcodein (Methocodein) 930; Synthese eines stickstoffhaltigen Colloids 993.
- 82:** Pyridin, Chinolin gegen Brom: bromwasserstoffsäures Pyridindibromid, bromwasserstoffsäures Chinolindibromid, Chinolintetrabromid 1072; Morphinäther 1100; Constitution und Synthese der Eiweißkörper 1131; Asparaginsäureanhydrid gegen Harnstoff 1132.
- 83:** Phenylchinolin 1326.
- 84:** organische und anorganische Colloide (Ureide der Brenztraubensäure, lösliche Kieselsäure) 147 f.; Coagulation der Colloidsubstanzen 149 f.; Untersuchung von Eisenoxydäthylat und colloidalem Eisenoxydhydrat 924 f.; Einwirkung von Phosphorpentachlorid auf Amidobenzoensäure, Darstellung des Colloids der Amidobenzoensäure 1200 f.; Darstellung eines colloiden eiweißähnlichen Körpers aus m-Amidobenzoensäure 1412.
- 85:** Constitution der Eiweißkörper 1775.
- Grimaux (E.) und Adam (P.), **77:** Dichlormilchsäure 700.



- 79:** Brom gegen Dichlorhydrin 499.
- 80:** Brom gegen Epichlorhydrin 475 f.; Dichlormilchsäure 780; Synthese der Citronensäure 817 f.
- 81:** Acroleinchlorhydrat (Monochlorpropionsäurealdehyd) 588 f.; Acroleindibromid (Dibrompropionsäurealdehyd) 589 f.; Synthese der Citronensäure 748.
- Grimaux (E.) und Lefèvre (L.), **86:** synthetische Dextrine aus Traubenzucker und Galactose 1780.
- Grimaux (E.) und Tscherniak (J.), **79:** Darstellung von Malonsäure 611 f.
- Grimmer (H.), **81:** Stickstoffgehalt der Malzwürzen 1309.
- Grimshaw (H.), **77:** Diamyl 368.
- Grinaud, **80:** französische Bronzen 1272.
- Grieswold (W. L.), siehe Chittenden (R. H.).
- Grittner (A.) und Szilasi (J.), **86:** Bestimmung des Harzes in Seifen und Fettsäuren 1994.
- Griveaux (F.), **83:** elektrochemische Energie des Lichtes 258.
- Grobert (J. de), siehe Pellet (H.).
- Grocco (P.), **86:** Ausscheidung des Kreatinins im Harn 1853 f.
- Groddeck (A. v.), **82:** Talkschiefer von der Lahn, vom Rhein, den Alpen (Sericitschiefer) 1600 f.
- 83:** Gesteine von Mitterberg, Salzburger Alpen: „grüne Schiefer“ 1925.
- 84:** Topasfels als begleitendes Gestein von Zinnerzlagern 1917; Analyse von Topas 1950; Untersuchung von Topasfels 2010; Untersuchung von Kersantit 2015 f.
- 86:** Vorkommen von Zinnerz 2241; Umwandlung von Quarz in Topas 2299 f.; 2304.
- Groddeck (A. v.) und Brookmann (K.), **84:** Calciumphosphatkrystalle in basischer Schlacke 1703.
- Groddeck (A. v.) und Collins (J. H.), **84:** Analyse von Turmalinen 1951.
- Grodeck (A. v.) und Fraatz, **82:** Sericit von Werlau 1553.
- Grodzki (M.), **81:** Triäthylthioharnstoff 337; Tetraäthylthioharnstoff, Tetraäthylthiouramdisulfür 338.
- 83:** Nachweis von Acetal 1604.
- 84:** Valerolacton im Holzessig 1060; siehe Krämer (G.).
- Gröger (M.), **80:** Sulfochromite 310 f.
- 81:** Sulfochromite 231 f.; Bestimmung des Schwefels der Pyrite 1187; Entglasung 1277 f.
- 82:** Bestimmung von Neutralfett in Fettsäuregemengen 1344.
- 84:** Schwimmer zur Demonstration von Gewichtsveränderungen bei chemischen Vorgänge 313.
- 85:** Oxydation der Talgfettsäuren mit Kaliumpermanganat: Säure  $C_{26}H_{52}O_2$  1444; siehe Bauer (A.).
- Groinigg (J.), **86:** Analyse von schwedischem Bier 1984.
- Groll (A.), **86:** Nitrirung von Dimethyl- und Diäthylanilin 827 ff.: p- und m-Mononitrodimethylanilin, p- und m-Mononitrodioäthylanilin 828; m-Monoamidodimethylanilin 828 f.; m-Monoamidodioäthylanilin 829.
- Gronemann, **83:** Legen und der Käfer Dendang 1496.
- Gronow, siehe Limpricht (H.).
- Groot (de), siehe Martin (K.).
- Groot (J. de), **83:** Nachweis rother Farbstoffe 1637.
- Groshans (A. J.), **82:** Gesetz über die Proportionalität der Dichten der Körper bei den Siedepunkten mit den Summen ihrer Atome 34.
- 79:** Eigenschaften analog zusammengesetzter Körper 47 f.
- 83:** wässrige Lösungen 85.
- 84:** Verhältnisse der Atomgewichte und Dichten der Körper 46 ff.; Densitätszahlen von Metallen 48; Beziehungen der Dichte von Körpern zu ihren Atomgewichten 67.
- 85:** neues, dem Gesetz von Avogadro, und von Dulong und Petit analoges Gesetz 31; Gesetz der Densitätszahlen in Bezug auf Lösungen 48 ff.; Zusammenhang des Gesetzes der Densitätszahlen mit den spezifischen Gewichten krystallwasserhaltiger Salze 51 ff.; Berechnung der Siedepunkte; Beziehungen zwischen Siedetemperatur und Schmelztemperatur 148.
- 86:** Anwendung des Gesetzes der Densitätszahlen auf die Thermochemie 175 f.; Zusammenhang zwischen absolutem Siedepunkte, Densitätszahlen und Molekularvolum 195.
- Grosheintz (H.), **77:** krystallisierte phosphorige Säure 229; Glycol 521.
- Grosjean (B. J.), **79:** Bestimmung der Weinsäure in Weinhefe, Weinstein 1070.

- 83:** Krystallwasserverlust der Citronensäure 1083; Bestimmung von Citronensäure in Fruchtsäften 1083 f.; Metaweinsäure aus Weinsäure 1084; Kaliumtartrat gegen Calciumsulfat; Calciumtartrat gegen Kaliumsulfat; Calcium-Kaliumsulfat, Bestimmung der freien Schwefelsäure in der Weinsäure, der Weinsäure durch citronensaures Kalium 1700; siehe Bolton (H. C.).
- Grosjean (H.), **79:** Pectin und Zuckerstoffe im Futter 1123.
- Grosjean (J.), **78:** Bildung von Ammoniak bei der Filtration von Wasser durch schwammiges Eisen 1041.
- Grofs, siehe Pohl.
- Grofs (C. F.), **83:** Eisenoxydhydrat 362.
- Grofs (F.), **85:** Darstellung von Phenyl-oxyäthenylamidoxim und Derivaten 1140 bis 1145: Acetylphenyl-oxyäthenylamidoxim, Phenyl-oxyäthenylazoximäthenyl, Diacetylphenyl-oxyäthenylamidoxim 1141; Acetylphenyl-oxyäthenylazoximäthenyl, Benzoylphenyl-oxyäthenylamidoxim, Benzoylacetylphenyl-oxyäthenylamidoxim 1142; Phenyl-oxyäthenylamidoxim-äthyläther, Phenyl-oxyäthenylamidoximbenzyläther, Phenyl-oxyäthenyluramidoxim 1143; Phenyl-oxyäthenyluramidoxim, Phenyl-oxyäthenylphenyluramidoximäthyläther, Phenyl-oxyäthenylamidoximkohlenensäure-Äthyläther, Carbonylderivat des Phenyl-oxyäthenylamidoxims 1144; Bildung von Phenyläthenylamidoxim 1145.
- Grofs (L.), siehe Hilger (A.).
- Grofs (Th.), **77:** elektrolytische Ströme durch Salze 161.
- 79:** Schwefel ist kein Element 202 f.
- 85:** neue Entstehungsweise galvanischer Ströme durch Magnetismus 247.
- 86:** Entstehung von galvanischen Strömen durch Magnetismus 263.
- Grosse (A.), **86:** Drahtbandrheostat 239.
- Große-Bohle (A.), **80:** Senarmontit 1410.
- Großer (B.), **81:** ätherisches Oel von *Coriandrum sativum* 1026.
- Großheintz (A.), **78:** Auftreten von Pseudobutylen und Isobutylen bei der Darstellung von Methylallyl nach Wurtz 373; Darstellung von Allylbromid 415.
- 79:** Tetraallylammoniumbromür 402 f.; Triallylamin 403; Bromäthylen bei der Darstellung des Glycols 495 f.
- Großmann (J.), **78:** Bestimmung von unterschwefliger Säure neben schwefliger 1045.
- 79:** Bestimmung von schwefelsauren und unterschwefligsauren Salzen 1033.
- 80:** Bestimmung der Sulfate 1155 f.
- Großmann (L.), **83:** Verhältniß der inneren Reibung zur galvanischen Leitung der Flüssigkeiten 212.
- Großmann (M.), **84:** selen- und arsenfreies basisches Wismuthoxyd 440.
- Grosso (F.), **84:** Bestimmung der Löslichkeit des  $\alpha$ - und  $\beta$ -Naphthols in verschiedenen Lösungsmitteln 1010 f.
- Grote (A. v.), Kehler (E.) und Tollens (B.), **81:** Lävulinsäure 722 f.
- Grote (A. v.) und Tollens (B.), **77:** Lävulinsäure 714.
- 81:** Lävulinsäure aus Dextrose 723.
- Grote (C.), **80:** Colophonium im Perubalsam 1229.
- 81:** Colophonium im Copaivabalsam 1221.
- Groth (P.), **77:** Bromjodnitrophenol 549; Gold 1256; Amethyste 1273; Arsenwismuth 1291; Pseudophit, Pennin 1319.
- 78:** Krystallform des Fluoranthens 399; hemiëdrische Formen am Speiskobalt 1204; Zinkblende, Plumbomanganit, Youngit 1206; Krystallform des Pseudobrookits 1215, des Manganits 1218; Krystallsystem des Leukophans 1254 f.
- 80:** Wismuthglanz 1404: Apophyllit 1466.
- 81:** Krystallform von Methylphenylharnstoffchlorid und Diphenyldimethylharnstoff 335; Krystallform von Triphenylmethan 360; Fluoranthen 373; Krystallform von Triphenylcarbinol und Triphenylacetonitril 518; Krystallform von Triphenyllessigsäure 853; Baryumnitrat 1368; Pseudomorphose 1412.
- 82:** Krystallform des Parakresolphaleinanhydrids 691.
- 83:** krystallographische Untersuchung der Cuminsäure und der

- Oxypropylbenzoesäure 463, des oxypropylsulfobenzoesäuren Kaliums 464; Krystallform des schwefelsauren Tetrahydrochinolins 1320; die natürlichen Fluorverbindungen: Fluellit, Kryolith 1846, Pachnolith, Chiolith, Prosovit, Thomsenolith, Balstonit, Arksutit, Hagemannit, Gearksutit, 1847; das färbende Princip des rothen Molybdänbleies 1860; krystallographische Untersuchung eines Cordierits aus Brasilien 1893 f.
- 84:** Isomorphismus von Dibrom-p-kresol und Dichlor-p-kresol 998: Krystallform des polymeren Phenylsulfonäthyläthers 1319, von Diphenylsulfonäthylamin 1320, von phenylsulfonessigsaurem Kupfer 1321, von Phenylsulfonessigsäure - Aethyläther 1322.
- 86:** Isomorphie von Lutidin mit  $\beta$ -Picolinchloroplatinat 770; Zusammensetzung von Braunit 2238.
- Groth (P.), Calderon (L.), Hoff (J. H. v. ant'), Howe (A.) und Fock (A.), **80:** Platojodonitrite 363 f.
- Grothe (O.), **78:** Nitrirung der m-Jodbenzoesäure 753.
- 81:** Homoatropin 949.
- 82:** Neuerungen an Gasbrennern 1350.
- Grothe (O.) und Friedburg (L. H.), **83:** Verhinderung des Nachweises von Ammoniak mit dem Nessler'schen Reagens durch Chlormagnesium 1538.
- Grothmann (Rud.), siehe Lellmann (Eug.).
- Grotian (O.), **77:** Viscosität und Leitungsvermögen 164.
- Grotowsky (L.), **78:** Paraffin 1166.
- Grottrian (O.), **79:** Analogieen zwischen der Fluidität und dem galvanischen Leitungsvermögen 140.
- 83:** elektrisches Leitungsvermögen einiger Cadmium- und Quecksilbersalze 215; siehe Wüllner (A.).
- Grousilliers (H. v.), **85:** Herstellung von Aluminium 2014.
- 86:** Gewinnung von Aluminium 2018.
- Grouven (H.), **78:** Darstellung von Ammoniak aus dem Stickstoff der Bruch- und Grünlandsmoore 1126.
- 82:** Apparat zur Stickstoffbestimmung 1348.
- 83:** Stickstoffbestimmungsmethode auf Grund der Verbrennung organischer Substanzen in überhitztem Wasserdampfe 1586 f.
- 85:** Entschwefelung der Sodarückstände 2074.
- Grove (W. R.), **78:** Spectren der Entladung in Geißler'schen Röhren 175.
- Groves (Ch. E.), **80:** Dumas'sche Stickstoffbestimmung 1199.
- 82:** Darstellung von  $\alpha$ - und  $\beta$ -Naphtochinon 781 f.;  $\alpha$ -Naphtolorange 782.
- 83:** Darstellung von  $\beta$ -Naphtochinon, Nitroso- und Amido- $\beta$ -naphtol, Nitro- $\beta$ -naphtochinon, Amido- $\beta$ -naphtochinon 1066; siehe Stenhouse (J.)
- Groves (R. H.), **81:** Nachweis von Aloë 1223.
- Grube (L.), **77:** Nitrohydroxybenzoesäure 742.
- Gruber, siehe Musculus.
- Gruber (M.), **78:** Einwirkung von salpetriger Säure auf Protocatechusäure 771.
- 79:** Oxytartronsäure 683 f.
- 80:** Stickstoffausscheidung 1087; Einfluß des Borax auf die Eiweißzersetzung 1088 f.
- 81:** Kohlenoxyd in Wohnräumen 1261.
- 82:** Harnstofftitrirung 1303.
- 83:** Entwicklung elementaren Stickstoffes im Thierkörper 1434 f.
- 84:** Nachweis und Giftigkeit von Kohlenoxyd 1586 f.; Bestimmung der Chloride im Menschen und Hundeharn 1680; siehe Weidel (H.).
- Gruber (O. v.), **84:** Verarbeitung von Bleikammerkrystallen auf Schwefelsäureanhydrid 1728.
- Grubl, **83:** Beleuchtung der Teleskope durch elektrisches Licht 1654.
- Grübler (G.), **81:** krystallinisches Eiweiß aus Kürbissamen 994.
- Gründler (J.), **84:** Ausscheidung von Jod im menschlichen Harn nach äußerlicher Anwendung von Jodoform 1498.
- Grüne (H.), **86:** Untersuchung der Azoopiansäure (Anhydro-o-mono-amidohemipinsäure): Derivate 1490; Monoamidohemipinsäure und Derivate 1490 f.; Diazo- und Mononitrohemipinsäure und Derivate 1491; siehe Liebermann (C.).
- Grüneberg, **78:** Fabrikation von Kunstdünger, Potasche und Salpeter 1144.

- Grüneberg (G.) und Vorster (J.), **83**: Herstellung von Soda 1889.
- Grüneberg (H.), **77**: Potasche 1143.
- 78**: chemischer Theil der Pariser Ausstellung des Jahres 1878 1098; Darstellung von Strontiumcarbonat 1133.
- 80**: Schwefelkohlenstoff-Fabrikation 1279.
- 81**: technische Darstellung von Kaliumsulfat 1266.
- 82**: Schönit aus Kainit 1397.
- Grüneberg (R.), **80**: Kainit 1299.
- Grünhut, **85**: krystallographische Untersuchung von Isobutylutidincarbonensäure 1361.
- 86**: Krystallform von Dichloroxymethyluracil 562, von Dibrom- und Dichlorbarbitursäure 563, von Nitro-uracilcarbonensäure 566.
- Grünhut (L.), **84**: krystallographische Beziehungen zwischen Andalusit und Topas 1949 f.
- 85**: Krystallform von Topas 2288.
- Grüning (W.): **82**: Untersuchung von *Nymphaea alba* und *Nuphar luteum*, *Nupharin* 1156; *Nuphargerbsäure*, *Nymphaeagerbsäure* 1157 f.
- 83**: Darstellung von Bromwasserstoffsäure 283 f.; Prüfung von Chininum hydrobromatum auf fremde Chinaalkaloide 1614.
- Grünling, **81**: Krystallform des Monochlorchinons 631; Krystallform von Atrolactinsäure und Phenylmilchsäure 815.
- 82**: Krystallform des Phenylbutyrolactons 959.
- 84**: Krystallform von o-Azoäthylbenzol 851.
- 85**: Krystallform des Bromcamphersäureanhydrids 1534, der Camphansäure 1535, von Cinchen („Cinchoniden“), Cinchenmethyliodid 1706, von Chinen („Conchinen“) und dessen Chlorzinkdoppelsalz 1707.
- 86**: Krystallform von Sparteinmonohydrojodid 1694, von jodwasserstoffsäurem Sparteinäthyljodid 1695.
- Grünling und Miers, **84**: Krystallform von Dibrom-p-kresol und Dichlor-p-kresol 998.
- Grünling (F.), **83**: krystallographische Untersuchung des Triphenylguanidins 490; krystallographische Untersuchung des Allantoins 498; Krystallform des o-Azoäthylbenzols 786; Krystallform des p-Monobromphenols 900 f.; Krystallform des Phenylbutyrolactons 984; Krystallform des Monochlorchinons, des Chinons, des m-Dichlor-m-dibromchinons 1004; Krystallform des Glyceronsäureanhydrids 1094 f.; Krystallographische Untersuchung des Hämatoxylin 1404.
- 84**: Vorkommen von Schwerspath im Dolomit 1934.
- Grützner (P.), **86**: elektrolytische Wirkungen von Inductionströmen 277.
- Gruner, **83**: Oxydirbarkeit verschiedener Eisen- und Stahlsorten durch feuchte Luft, Meerwasser und angesäuertes Wasser 1672.
- Gruner (H.), **84**: Salpeter-Lagerungsverhältnisse in Südamerika 1924 f.
- Gruner (L.), **77**: Eisen- und Stahlindustrie 1109.
- 78**: künstliche Diopsidbildung 1250.
- 79**: metallurgische Prozesse 1090.
- 83**: Kupfergewinnung im Bessemer-Converter 1677.
- Grunmach (L.) und Pernet, **82**: Vergleichung von Quecksilberthermometern mit dem Luftthermometer 96.
- Grupe (A.), Ollech (A. v.) und Tollens (B.), **82**: Phosphatanalyse mittelst Citronensäure 1275.
- Grupe (A.) und Tollens (B.), **80**: Phosphorsäure, Bestimmung der zurückgegangenen 1163.
- 81**: Bestimmung der assimilirbaren Phosphorsäure 1171, 1172.
- Gruson (H.), **84**: Herstellung von Maische, Hefe und Malzmilch 1799.
- Grye (Bouquet de la), **77**: Pelometer zur Wasseruntersuchung 1369.
- 78**: Ermittlung des suspendirten Schlammes im fließenden Wasser 1117: siehe Bouquet de la Grye.
- Grye (Bouquet de la), und Daubrée, **84**: Untersuchung von Bimsstein 2027.
- Gscheidlen (R.), **77**: Schwefelcyanverbindung im Harn 1001.
- 78**: Bestimmung des Zuckers in der Milch 1077 f.
- Guard (A.), **81**: Bestimmung des Kupfers mittelst Sulfür 1193.
- Guareschi (J.), **77**: Pentaphenylchloräthan 403; Nitronaphtalinderivate, Bromnaphtalin 429; Tribromacetamid 684; Succinsäureamid, Amidomalylureid, Malyureidsäure 709.

- 78:** anomale Dampfdichte 118; Einwirkung von übermangansaurem Kalium auf schwefelhaltige organische Verbindungen 358 f.; Constitution des Carbothialdins 359; Oxydation von Thialdin und Sulfaldehyd 838.
- 79:** Auftreten von Blausäure 321; Aethylidensulfosäure 735; Podophyllin 913.
- 80:** Podophyllin 1063.
- 83:** Naphtalinderivate: Dibromnaphtaline 601 f.; Dibromphtalsäure 602; Dibromnaphtochinon, Dibromphtalid 603; Dibrommononitronaphtalin 603 f.; Mononitronaphtalintetramide 604; Monobromphtalsäure 604 f.; Monobrommonoamidonaphtaline 604 bis 606; Localisation des Arsens im Organismus bei Vergiftungen 1485.
- 84:** Naphtalinderivate (Bromnaphtaline) 552; Oxydation von Acetaldehyd: Aethylidenoxysulfure 1028; Carbovaleraldin, Sulfocarbamindisulfur 1029; Dichlornaphtochinon aus  $\alpha$ -Dichlornaphtalin 1067.
- 85:** Bromderivate des Naphtalins und des Naphtochinons 760 ff.; Einwirkung von Chromsäure auf  $\alpha$ -,  $\beta$ - und  $\gamma$ -Dichlornaphtalin 762 f.; Untersuchungen über das Gelsemin 1724.
- 86:** Brom- und Chlorderivate des Naphtalins, Oxydation von  $\gamma$ -Dichlor- und  $\gamma$ -Dibromnaphtalin:  $\alpha$ -Monochlor- und  $\alpha$ -Monobromphtalsäure 658 f.; substituirte Phtalide (p-Dichlorphtalid) aus Naphtalinderivaten, substituirte Naphtochinone 1446 ff.; neue ( $\alpha$ -) Monochlorphtalsäure 1453; Sulfosäuren aus Strychnin 1740 f.; siehe Albertoni (P.).
- Guareschi (J.) und Dacomo (G.), **85:** Darstellung von Dichlormononitrochinon, Trichlormononitropropionylphenol, Dichlornitrochinon, Monochlormononitrochinonanilid 1663; Trichlormononitrophenol, Propionyltribromphenol, Dibromnitrochinon, Propionyltribrommononitrophenol, Propionylphenol 1664.
- Guareschi (J.) und Del-Zana, **79:** Isoamylsuccinat 628.
- Guareschi (J.) und Mofso (A.), **83:** Isolirung der Ptomaine 1357 f.; Alkaloid aus Ochsenblutfibrin, physiologische Wirkung der Ptomaine aus gefäultem Menschenhirn, Methylhydantoïn aus frischem Fleisch 1358.
- 84:** Untersuchung von Ptomainen 1399.
- Gubbe (O.), **85:** optisches Drehungsvermögen des Invertzuckers 339.
- Gucci (P.), **84:** Einwirkung von Alkohol und Schwefelkohlenstoff auf m-Phenylendiamin (Sulfocarbonylphenylendiaminsulfocarbonat) 693 f.; Trennung von Kupfer und Cadmium 1604.
- 85:** Einwirkung von Schwefelkohlenstoff auf m-Phenylendiamin: Sulfocarbonyl-m- und Disulfocarbonyltri-m-phenylendiamin 867 f.
- 86:** Einwirkung von Schwefelkohlenstoff auf m-Phenylendiamin: Disulfocarbonyl-m-phenylendiamin 812 f.; Disulfocarbonyl-m-phenylendiamin-Di-m-phenylendiamin 813; Trennung des Nickels vom Kobalt 1938 f.; siehe Barbaglia (G. A.).
- Guckelsberger (G.), **82:** Untersuchung von verschiedenem Ultramarin 1480 bis 1483.
- 83:** Ultramarin 1794.
- Guébbard (A.), **82:** Bestimmungäquivalentialer Linien auf elektrochemischem Wege, elektrochemische Ringfiguren 164 f.
- 83:** elektrochemische Figuren 225.
- 84:** Polarisirung durch die Ablagerung von Bleisuperoxyd auf Platinelektroden 259 f.
- Gümbel, **83:** Analyse des Serpentin vom Föhrenbühl, bayerische Oberpfalz 1919.
- Gümbel (C. W.), **78:** Sericit 1246; dem Hygrophililit, Naktit und Kaolin verwandte Substanzen 1268 f.; Manganknollen vom Meeresgrunde zwischen Japan und den Sandwichinseln 1293.
- 79:** Versteinerungsmaterial der Kohlenpflanzen der Tarentaise 1245; Analysen von Phonolith, Analcim, Hisingerit 1253; Aetnaasche, Analyse 1255.
- 80:** Chalcidon 1411; Magnesit 1420; Phyllite 1493 f.; Porphyrgesteine 1496.
- 81:** Wassersteine (Enhydros) 1358 f.; Andesit (südamerikanische Vulkangesteine) 1428.
- 82:** Bildung der Styrolithen 1590 f.; Analyse von libyschen Fulguriten 1526 f.
- 84:** mikroskopische Structur der Kohlenarten 1995 f.; Lösungsversuche

## Günsberg

- mit Moluskenschalen 2002 f.; Beschreibung von Fulgurit 2007.  
 Günsberg (R.), **78**: Calorimeter 159;  
 Gährungszeit in den Brennerien 1158.  
 Günther (C.), **77**: Umkehrung der Natriumlinien 184.  
 Günther (O.), **81**: Analyse von Rohzink 1189.  
 Güntz (E.), **83**: Analyse des Guano der Aves-Inseln 1721.  
 Günzburg (A.), siehe Tscherniak (J.), Günzburg (U.) und Tscherniak (J.), **82**: Darstellung von Schwefelcyan- und Ferrocyankverbindungen 1409.  
 Gürcke (O.), **80**: Hydroxylaminderivate 501 f.  
 Gürich (G.), **82**: Gesteine der niederschlesischen Thonschieferformation 1601.  
 Gürke (O.), **85**: Darstellung von Gallein 1276 f., von Cörulein 1277, gechlorter Galleine und gechlorter Cöruleine, Gewinnung von Gallein aus Gallussäure 2246.  
 Guérin, **83**: Bestimmung von Phosphorsäure im Urin 1648.  
 Guérin (G.), **80**: Deplacirungsapparat 1245; siehe Lépine (R.).  
 Guérout (P.), **82**: Neuerungen in der Bierbrauerei 1449.  
 Guerout (A.), **77**: Elektrolyse der schwefeligen Säure 166.  
 Gütsfeld, **81**: Monobenz-p-amidoschwefeligen Säure 166.  
 phenol 530; p-Mononitrophenolbenzoat, p-Mononitrophenolbenzoat, p-Mononitrobenz-p-amidonitrophenol, Mononitro-p-amidonitrophenol, Mononitro-p-amidonitrophenol 531.  
 Guglielmo (G.), **84**: Diffusionscoefficienten von Wasserdampf in Luft und Wasserstoff 143 f.; Bestimmung der elektromotorischen Kraft und des Widerstandes der Elemente 240; elektromotorische Kraft und Widerstand des elektrischen Funkens 255; Modification der Quecksilberluftpumpen 1685; siehe Naccari (A.).  
 Guibert, **77**: Wirkung von Morphin und Chloroform 1013.  
 Guibourt, **80**: Unterscheidung des Rosenöls von anderen Oelen 1229.  
 Guichard, **81**: Extractionsapparat 1236.  
**83**: Bestimmung des Schmelzpunktes 1654.  
 Guignard, siehe Thomas.  
 Guignet, **77**: brasilianisches Meteor-eisen 1389.  
 Guignet (Ch. E.), **80**: Torf 1482.  
**85**: Untersuchung der Cellulosenitrate 1760 f. (Verhalten der Cellulosebaumwolle gegen Alkalien); Collo-diumwolle 1761; Vorkommen des Glycyrrhizins in verschiedenen Pflanzengarten 1772; Darstellung von Glycyrrhizin 1773; Darstellung von Chlorophyllverbindungen 1794.  
 Guignet (Ch. Er.), **86**: Elektrocapillarwirkungen (Krystallisation durch Diffusion) 161 f.  
 Guignet (E.), **77**: Kaolin 1338.  
 Guillard, **83**: Bestimmung von schwefeliger Säure und Untersalpetersäure in Gasgemischen 1536.  
 Guillaume (C. E.), **83**: elektrolytische Condensatoren (Polarisation der Elektroden) 225.  
 Guillem, siehe Flack.  
 Guillemak, siehe Secours (F.).  
 Guillemaire und Letecour, **77**: Grünfärben durch Chlorophyll 1232.  
 Guillemin (G.), **85**: Darstellung von Kobalt-Kupferlegierungen 2048.  
 Guillochin, siehe Personne.  
 Guimaraes (G.), **86**: Theorie der Elektrolyse 275.  
 Guimares, **82**: physiologische Wirkung des Kaffees 1228.  
**83**: physiologische Wirkung des Kaffees 1489 f.; siehe Couty.  
 Guimet (E.), **78**: Ultramarin, Uebergang von Grün durch Blau in Roth, Selen- und Tellurultramarin 1178.  
 Guinochet (E.), **83**: aconitsaure Salze 1095 f.  
 Guiot (H.), siehe Clermont (P. de).  
 Guiterman, siehe Weisbach (A.).  
 Gukassianz (P.), **78**: Resorcin gegen Oxalsäure 560.  
 Guldberg (C. M.), **83**: Berechnung der kritischen Temperaturen 135 f., Guldberg (C. M.) und Waage (P.), Guldberg (C. M.) und Waage 22 f.  
**79**: chemische Affinität 22 f.  
 Guldensteeden-Egeling (C.), **82**: Guldensteeden aus Myriapoden (Fontaria) 1231.  
 Gumpert (Fr.), **84**: Bildung von Dibenzyamid und Dibenzyimidoxyl 436 f.  
**85**: Phenylisocyanat gegen Alkohole und Phenole (Phenylcarbaminsäure-Ester), gegen Isatin (Carbanilidoisatin, Carbanilidoisatinsäure) 592 f.; Phenylisocyanat gegen Anthraxisäure, Essigsäureanhydrid, Chlor, Brom 593 f.  
 Gundelach (C.), **77**: zweiatomiger Phenol aus Xylol (Betaorcin?) 567.

Gundelach (Ch.), siehe Michael (A.).  
Gunn (H. H.), **78**: Phosphorit 1228.  
Gunning (J. W.), **77**: sauerstofffreie Medien 927.

**78**: Fäulnis 1021 f.; Lösungsvermögen der Melasse 1152.

**79**: Sauerstoff und Gährungsver-suche 1004 f.

**84**: hygienische Untersuchung des Wassers 1562.

Gauter (E.), **84**: Identität der Monobrompseudocumolsäure mit der Monobromxylylsäure, Monobrom-p-xylylsäure 1242.

Guntz, **83**: Lösungswärme des Fluorwasserstoffs in Wasser, Neutralisationswärmen der Fluorwasserstoffsäure 166; Bildungswärmen der Kaliumfluoride, der Natriumfluoride 167.

**84**: thermische Untersuchung der Gleichgewichtszustände des Fluorwasserstoff-Fluorkaliums in Lösungen 216 f.; Bildungswärme der Chloride und Oxychloride des Antimons 217; Lösungswärmen des kristallisierten Antimonfluorids in Wasser resp. wässriger Fluorwasserstoffsäure 217 f.; Umwandlungswärme des prismatischen Antimonoxys in octaëdrisches 218; Bildungswärme der Fluoride des Silbers, Magnesiums und Bleies 218 f.; Zusammenstellung der Bildungswärmen von Metallfluoriden 219 f.

**85**: Bestimmung der Bildungswärme des Antimonbromids und -jodids 202; Bestimmung des Antimons als  $Sb_2O_3$  1920.

**86**: Verhalten von Brechweinsteinlösungen gegen starke Säuren 1352 f.; siehe Berthelot.

Guntz (A.), **86**: Verhalten von Fluorblei gegen die Chloride der Nichtmetalle 364.

Gunzburg (H.), siehe Tscherniak (J.).

Gurkt, **77**: Bleiglanz 1263.

Gurkt (A.), **77**: Roheisen, Schmiedeeisen und Stahl 1111.

**80**: Verarbeitung von Zink- resp. Galmeirückständen 1264; Verschmelzen kupferarmer Erze 1265; geologische Probleme 1489.

**81**: Zink aus Rückständen 1248.

Gurraud, **80**: Einfluss des Lichtes, Schattens und des Humus auf die Vegetation der Waldbäume 1047.

Gustavson, siehe Adrianowsky (A.).

Gustavson (C.), **81**: Chlorkohlenstoffe in Brom- und Jodkohlenstoffe 377 f.  
Gustavson (G.), **77**: Bromierung aromatischer Kohlenwasserstoffe mittelst Aluminiumbromid 400.

**78**: Grund der eigenthümlichen Wirkung des Aluminiumbromids bei der Bromierung aromatischer Kohlenwasserstoffe 380 f.; Bildung von Isopropylbenzol bei der Einwirkung von Propyl- und Isopropylbromür auf Benzol bei Gegenwart von Aluminiumbromid 384.

**79**: Cymol gegen Aluminiumchlorid und -bromid 369.

**80**: Aluminiumchlorid und -bromid gegen organische Verbindungen 380 f.; Bromkohlenstoffe aus Chlorkohlenstoffen 471 f.; Einwirkung von Bromaluminium auf Kohlenwasserstoffe 472.

**81**: Lösung von Jodaluminium in Schwefelkohlenstoff 315; Verhalten von fetten Kohlenwasserstoffen gegen Aluminiumchlorid 345 f.

**83**: Reactionen mit Aluminiumchlorid (Benzol) 466; Umwandlung des primären Propyls in das secundäre Bromaluminium 513 f.; Wirkung von Chlor- und Bromaluminium auf aromatische Kohlenwasserstoffe 532; Darstellung gebromter aromatischer Kohlenwasserstoffe aus Petroleum 593; Vorkommen von alkoholischem Wasserstoff in einer Humussubstanz 1715; Nachweis aromatischer Kohlenwasserstoffe im Erdöl 1759.

**84**: Einwirkung von Bromaluminium auf Aethylen, Aethylbromid, Methylbromid und Acetylchlorid 515 f.

**85**: Lösungswärme des Aluminiumbromids 207.

**86**: Verhalten des Aethylens gegen Bromaluminium bei Gegenwart von Bromwasserstoffsäure 574 f.; Verhalten organischer Verbindungen (aromatische Kohlenwasserstoffe) gegen die Haloidsalze des Aluminiums, Darstellung von Aethylenjodid, Jodoform, Aethylen- und Aethylidenbromid 588 f.; Bestimmung des Kohlenstoffgehaltes der Ackererde 1896.

Guthrie, **77**: Wasserdampfspannung 58; Barometer 1099.

Guthrie (Fr.), **77**: Kryohydrate 76.

**78**: Einfluss der Temperatur auf den Durchgang der Gase durch Ca-

- mit Moluskenschalen 2002 f.; Beschreibung von Fulgurit 2007.
- Günsberg (R.), **78**: Calorimeter 159; Gährungszeit in den Brennereien 1158.
- Günther (C.), **77**: Umkehrung der Natriumlinien 184.
- Günther (O.), **81**: Analyse von Rohzink 1189.
- Güntz (E.), **83**: Analyse des Guano der Aves-Inseln 1721.
- Günzburg (A.), siehe Tscherniak (J.).
- Günzburg (U.) und Tscherniak (J.), **82**: Darstellung von Schwefelcyan- und Ferrocyanverbindungen 1409.
- Gürcke (O.), **80**: Hydroxylaminderivate 501 f.
- Gürich (G.), **82**: Gesteine der niederschlesischen Thonschieferformation 1601.
- Gürke (O.), **85**: Darstellung von Gallein 1276 f., von Cörulein 1277, gechlorter Galleine und gechlorter Cöruleine, Gewinnung von Gallein aus Gallussäure 2246.
- Guérin, **83**: Bestimmung von Phosphorsäure im Urin 1648.
- Guérin (G.), **80**: Deplacirungsapparat 1245; siehe Lépine (R.).
- Guérout (P.), **82**: Neuerungen in der Bierbrauerei 1449.
- Guerout (A.), **77**: Elektrolyse der schwefligen Säure 166.
- Gütsfeld, **81**: Monobenz-p-amidophenol 530; p-Monoamidophenolbenzoat, p-Mononitrophenolbenzoat, m-Mononitrobenz-p-amidonitrophenol, Mononitro-p-amidophenol 531.
- Guglielmo (G.), **84**: Diffusionscoefficienten von Wasserdampf in Luft und Wasserstoff 143 f.; Bestimmung der elektromotorischen Kraft und des Widerstandes der Elemente 240; elektromotorische Kraft und Widerstand des elektrischen Funkens 255; Modification der Quecksilberluftpumpen 1685; siehe Naccari (A.).
- Guibert, **77**: Wirkung von Morphin und Chloroform 1013.
- Guibourt, **80**: Unterscheidung des Rosenöls von anderen Oelen 1229.
- Guichard, **81**: Extractionsapparat 1236.
- 83**: Bestimmung des Schmelzpunktes 1654.
- Guignard, siehe Thomas.
- Guignet, **77**: brasilianisches Meteor-eisen 1389.
- Guignet (Ch. E.), **80**: Torf 1482.
- 85**: Untersuchung der Cellulose-nitrate 1760 f. (Verhalten der Schiefbaumwolle gegen Alkalien); Colloidumwolle 1761; Vorkommen des Glycyrrhizins in verschiedenen Pflanzen 1772; Darstellung von Glycyrrhizin 1773; Darstellung von Chlorophyllverbindungen 1794.
- Guignet (Ch. Er.), **86**: Electrocapilarwirkungen (Krystallisation durch Diffusion) 161 f.
- Guignet (E.), **77**: Kaolin 1338.
- Guillard, **83**: Bestimmung von schwefliger Säure und Untersalpetersäure in Gaagemischen 1536.
- Guillaume (C. E.), **83**: elektrolytische Condensatoren (Polarisation der Elektroden) 225.
- Guillem, siehe Flack.
- Guillemak, siehe Secours (F.).
- Guillemare und Letecour, **77**: Grünfärben durch Chlorophyll 1232.
- Guillemin (G.), **85**: Darstellung von Kobalt-Kupferlegirungen 2048.
- Guillochin, siehe Personne.
- Guimaraes (G.), **86**: Theorie der Elektrolyse 275.
- Guimares, **82**: physiologische Wirkung des Kaffees 1228.
- 83**: physiologische Wirkung des Kaffees 1489 f.; siehe Couty.
- Guimet (E.), **78**: Ultramarin, Uebergang von Grün durch Blau in Roth, Selen- und Tellurultramarin 1178.
- Guinochet (E.), **83**: aconitsaure Salze 1095 f.
- Guiot (H.), siehe Clermont (P. de).
- Guterman, siehe Weisbach (A.).
- Gukassianz (P.), **78**: Resorcin gegen Oxalsäure 560.
- Guldberg (C. M.), **83**: Berechnung der kritischen Temperaturen 135 f.
- Guldberg (C. M.) und Waage (P.), **79**: chemische Affinität 22 f.
- Guldensteeden-Egeling (C.), **82**: Blausäure aus Myriapoden (Fontaria) 1231.
- Gumpert (Fr.), **84**: Bildung von Dibenzamid und Dibenzimidoxd 486 f.
- 85**: Phenylisocyanat gegen Alkohole und Phenole (Phenylcarbaminsäure-Ester), gegen Isatin (Carbanilidoisatin, Carbanilidoisatinsäure) 592 f.; Phenylisocyanat gegen Anthranilsäure, Essigsäureanhydrid, Chlor, Brom 593 f.
- Gundelach (C.), **77**: zweiatomiges Phenol aus Xylol (Betaorcin?) 567.



Gundelach (Ch.), siehe Michael (A.).  
Gunn (H. H.), **78**: Phosphorit 1228.  
Gunning (J. W.), **77**: sauerstofffreie Medien 927.

**78**: Fäulnis 1021 f.; Lösungsvermögen der Melasse 1152.

**79**: Sauerstoff und Gährungsver-suche 1004 f.

**84**: hygienische Untersuchung des Wassers 1562.

Gunter (E.), **84**: Identität der Monobrompseudocumolsäure mit der Monobromxylylsäure, Monobrom-p-xylylsäure 1242.

Guntz, **83**: Lösungswärme des Fluorwasserstoffs in Wasser, Neutralisationswärmen der Fluorwasserstoffsäure 166; Bildungswärmen der Kaliumfluoride, der Natriumfluoride 167.

**84**: thermische Untersuchung der Gleichgewichtszustände des Fluorwasserstoff-Fluorkaliums in Lösungen 216 f.; Bildungswärme der Chloride und Oxychloride des Antimons 217; Lösungswärmen des kristallisierten Antimonfluorids in Wasser resp. wässriger Fluorwasserstoffsäure 217 f.; Umwandlungswärme des prismatischen Antimonoxys in octäedrisches 218; Bildungswärme der Fluoride des Silbers, Magnesiums und Bleies 218 f.; Zusammenstellung der Bildungswärmen von Metallfluoriden 219 f.

**85**: Bestimmung der Bildungswärme des Antimonbromids und -jodids 202; Bestimmung des Antimons als  $Sb_2O_3$  1920.

**86**: Verhalten von Brechweinsteinlösungen gegen starke Säuren 1352 f.; siehe Berthelot.

Guntz (A.), **86**: Verhalten von Fluorblei gegen die Chloride der Nichtmetalle 364.

Gunzburg (H.), siehe Tscherniak (J.).

Gurlt, **77**: Bleiglanz 1263.

Gurlt (A.), **77**: Roheisen, Schmiedeeisen und Stahl 1111.

**80**: Verarbeitung von Zink- resp. Galmeirückständen 1264; Verschmelzen kupferarmer Erze 1265; geologische Probleme 1489.

**81**: Zink aus Rückständen 1248.

Gurraud, **80**: Einfluss des Lichtes, Schattens und des Humus auf die Vegetation der Waldbäume 1047.

Gustavson, siehe Adrianowsky (A.).

Gustavson (C.), **81**: Chlorkohlenstoffe in Brom- und Jodkohlenstoffe 377 f.  
Gustavson (G.), **77**: Bromierung aromatischer Kohlenwasserstoffe mittelst Aluminiumbromid 400.

**78**: Grund der eigenthümlichen Wirkung des Aluminiumbromids bei der Bromierung aromatischer Kohlenwasserstoffe 380 f.; Bildung von Isopropylbenzol bei der Einwirkung von Propyl- und Isopropylbromür auf Benzol bei Gegenwart von Aluminiumbromid 384.

**79**: Cymol gegen Aluminiumchlorid und -bromid 369.

**80**: Aluminiumchlorid und -bromid gegen organische Verbindungen 380 f.; Bromkohlenstoffe aus Chlorkohlenstoffen 471 f.; Einwirkung von Bromaluminium auf Kohlenwasserstoffe 472.

**81**: Lösung von Jodaluminium in Schwefelkohlenstoff 315; Verhalten von fetten Kohlenwasserstoffen gegen Aluminiumchlorid 345 f.

**83**: Reactionen mit Aluminiumchlorid (Benzol) 466; Umwandlung des primären Propyls in das secundäre mittelst Bromaluminium 513 f.; Wirkung von Chlor- und Bromaluminium auf aromatische Kohlenwasserstoffe 532; Darstellung gebromter aromatischer Kohlenwasserstoffe aus Petroleum 593; Vorkommen von alkoholischem Wasserstoff in einer Humussubstanz 1715; Nachweis aromatischer Kohlenwasserstoffe im Erdöle 1759.

**84**: Einwirkung von Bromaluminium auf Aethylen, Aethylbromid, Methylbromid und Acetylchlorid 515 f.

**85**: Lösungswärme des Aluminiumbromids 207.

**86**: Verhalten des Aethylens gegen Bromaluminium bei Gegenwart von Bromwasserstoffsäure 574 f.; Verhalten organischer Verbindungen (aromatische Kohlenwasserstoffe) gegen die Haloidalsalze des Aluminiums, Darstellung von Aethylenjodid, Jodoform, Aethylen- und Aethylenbromid 588 f.; Bestimmung des Kohlenstoffgehaltes der Ackererde 1996.

Guthrie, **77**: Wasserdampfspannung 58; Barometer 1099.

Guthrie (Fr.), **77**: Kryohydrate 76.

**78**: Einfluss der Temperatur auf den Durchgang der Gase durch Ca-

- pillarröhren 44; Kryohydrate und Kryogene 55, 56; Scheidung des Wassers von krystallisierten Körpern durch einen trockenen Luftstrom, Einfluß von Glycerin auf die Farbe einiger Salze 57.
- 83:** über Molekularconstanten, Amalgamirung 11.
- 84:** Mischungen von Flüssigkeiten, 123; Molekülverbindungen 124; Kryo- und Subkryohydrate von Ammoniak und Aminen 133 f.; „Legierungen“ von Metallen und Salzen mit niederem Schmelzpunkt (Eutectia) 134 ff.; Verhalten von Legierungen und Lösungen 1696.
- 85:** Molekularäquivalente 42.
- Guthrie (F. B.), **85:** Löslichkeit der Sulfate, Chromate und Carbonate von Baryum, Strontium, Calcium, Blei in geschmolzenem Natriumnitrat 112.
- Guthzeit (M.), **80:** Octylacetessigäther 827 f.
- 81:** cetylsubstituierte Fettsäuren: Cetyllessigsäure, Cetylmalonsäure, Dicytylmalonsäure, Dicytylessigsäure 765 f.; siehe Bischoff (A.), siehe Conrad (M.).
- Gutknecht, **78:** Arsenkies 1205.
- Gutknecht (G.), **80:** Magnetkies 1405.
- Gutknecht (H.), **79:** Nitrosoäthylmethylketon gegen Oxydationsmittel, Methylamidäthylketon 560 f.; Diagnose primärer, secundärer und tertiärer Fettalkohole 1065.
- 80:**  $\alpha$ -Nitrosopropionsäure 773.
- 81:** Dimethylketin 418; Base aus Nitrosomethyläthylketon 611 f.
- Gutmann (G.), **81:** Wirkung des Aspidospermins 1067.
- Guttmann (Oscar), **83:** englische Explosivstoff-Industrie 1706.
- 85:** Eigenschaften des Arlberger Dynamits 2104.
- Gutzeit, **79:** Alkohole in Pflanzen 905 f.
- Gutzkow (F.), **80:** Verwerthung des Natriumsulfats zur Natrongewinnung 1294.
- 84:** Apparat zur Destillation von Silberamalgam 1718.
- 85:** Scheidung von goldhaltigem Silber nach Reynold 2043.
- Guyard, **79:** Trennung von Chlor, Brom und Jod 1031.
- Guyard (A.) und Tamm (H.), **78:** Bildungsweisen von Phtalsäure 788 f.
- 79:** Zähflüssigkeit des Glycerins 181; Oxalsäure gegen Chlorate, Bromate und Jodate 183 f.; Dijodür des Kaliums 234 f.; Uralium 309 f.; Oxydhydrate 323 f.; Ferrocyankupferammoniak und Oxyferrocyanakupferammoniak 324; Carminaphta 1171 f.
- 82:** Bleijodid zur Titrirung von Schwefelsäure und Sulfaten 1256; Bestimmung der Salpetersäure und salpetrigen Säure 1268; Trennung von Aluminium und Titansäure von Eisen 1291; Nickelbestimmung als Disulfid 1293; Bestimmung und Trennung des Zinks 1293 f.; Titrirung von Zink 1294; Bestimmung des Kupfers als Sulfür 1298; Metallurgie des Bleies und Silbers in Colorado 1384.
- 83:** Jodstickstoff 308 bis 312; Jodammonium, Ammoniumjodat 309; Nachweis von Mangan im Zink des Handels, in der Zinkasche und im Galmei, von Wismuth im Blei durch Elektrolyse 1514; Anwendung der Borsäure und des Hämatins in der Alkalimetrie 1518 f.; Salpetersäure-Molybdänsäure 1520.
- 84:** Jodstickstoff 357; Verbindung von Jodstickstoff mit Kupferjodid 434; Bildung und Vorkommen von Furfurol 1034; Verhalten von Gerbsäure gegen Luft 1295 f.; Ausfällung von Kalk mit Ammoniumoxalat 1391; Einwirkung von Glucose auf Weinsäureanhydrid 1404; Bestimmung des Stickstoffs in der Ackererde 1611; Bestimmung der assimilirbaren Theile des Bodens 1780; siehe auch Tamm (H.).
- Guye (Ph. A.), **84:** Einwirkung von Jodwasserstoffsäure und Phosphor auf Phtalsäure und Terephtalsäure, auf Phenyllessigsäure, auf Di- und Triphenylmethan, Darstellung und Eigenschaften von Naphtalinhydruren 468; siehe Graebe (C.).
- Guyot (E.), **80:** Euklas 1439.
- Guyot (M. P.), **86:** Röstung von Alunit 2064.
- Guyot (P.), **78:** Phosphorite 1228.
- 82:** Zusammensetzung des Alaunsteins von Tolfa 1405 f.; Analysen von afrikanischer Steinkohle 1576.
- Guyot Dannecy, siehe Dannecy (Guyot).
- Gylling (H.), **84:** Analyse von Andesin 1986.

## H.

Haacke (A.), **84**: Verwendung der Kieselguhr in der Technik 1728.

Haag (J.), **79**: Wallnufsölreaction 1147.

Haanel, **86**: Erzeugung von Jodid-beschlägen bei der Löthrohranalyse 1891.

Haarhaus, **81**: Dinitroanhydrobenzamidophenol (Anhydrobenzamidodinitrophenol) 533; Dinitro-o-amidophenol-Benzoyl 534.

Haarmann (R.), siehe Tiemann (F.).  
Haarmann und Reimer, **84**: Darstellung von Glucovanillin 1746 f.

Haas (B.), **78**: neue Mostwage 1090.  
**81**: Fuchsin (Orseille, Persio) im Wein 1216.

**82**: Bestimmung der schwefligen Säure im Wein 1332.

**83**: vergleichende Zuckerbestimmungen nach der Fehling'schen, Sachsse'schen und polarimetrischen Methode 1616 f.

Haas (R.), **80**: kritischer Druck 222; Apparat zur Prüfung des Petroleums 1246.

**81**: Entzündung von Stroh, Sägespänen u. s. w. durch Salpetersäure 1273.

Haafs (R.), **84**: sauerstoffreichere Peroxyde des Zinks und Cadmiums 423 f.; siehe Engler (C.).

Haasz (R.), **85**: Selbstentzündung von Stroh und Heu 2107.

Habel (L.), **81**: Chlor im Harn 1229.  
**84**: Färbung von Cyankalium und Blausäurelösungen 475.

Habel (L.) und Fernholz (J.), **80**: Chlorbestimmung im Harn 1236 f.

Haber (C.), **80**: Schwefel- und Kupferkies 1284.

Haberland, **81**: Jodwismuth-Tetramethylammonium 403.

Haberlandt (F.), **77**: Sojabohne 1175.

Habermann (J.), **77**: Dampflichtbestimmung 47; Methyläther des Resorcins 564; Glucose 901; Glycyrrhizin 908, 931.

**78**: Derivate des Dimethylhydrochinons 565; Analyse des Meteoriten von Tieschitz 1317.

**79**: Glycyrrhizin und Derivate 866, 908.

**80**: Elektrolyse organischer Substanzen 175; Glycyrrhizin, Parazucker-

säure; Diacetyl-, Mononitro- und Monobromglycyrretin; Glycyrrhizinharz 1029 ff.; Glycyrrhizin 1061 f.

**83**: basisches Kupfersulfat, basische Sulfate 396 f.; Arbutin 1367.

**84**: Untersuchungen über basische Salze (Sulfate, Nitrate und Chloride des Kupfers, Kobalts, Nickels, Zinks, Cadmiums) 319 ff.; Untersuchung von Diäthylalizarinäther 1017 f., von Arbutin 1410; Darstellung von Fagin aus Bucheckern 1445; Regulirbrenner 1685; Waschflasche für Gase, Absorptionsapparat für Ammoniak 1689.

**86**: Elektrolyse organischer Substanzen 278.

Habermann (J.) und Hönig (M.), **81**: Zuckerarten gegen Kupferoxydhydrat 981.

**82**: Kupferoxydhydrat gegen verschiedene Zuckerarten, Glycolsäure 1119.

**83**: Geschwindigkeit der Oxydation von Rohrzucker, Invertzucker, Traubenzucker und Fruchtzucker durch Kupferoxyd 1362.

**84**: Verhalten der Zuckerarten gegen Kupferoxyd 1403 f.

Habermann (S.), **84**: Untersuchung von Acetonhydrochinon 986.

Habermehl (H.), **81**: Magnetkies 1351.

Haccins (Ch.), **85**: Herstellung von Kefir 2135.

Haddock (A. G.), **80**: Kupfer in Nahrungsmitteln oder thierischen Bestandtheilen 1192; Spiegel beim Titriren 1243.

**84**: Anwendung von Kaliumpermanganat in der Analyse 1548.

Hadelich (W.), **81**: Weißwein 1018.

Haebler (Th.), **84**: Einwirkung des Bleichens, Beizens, Färbens auf die Festigkeit der Gewebe 1840.

Hädicke, **86**: Bildung von Galactose bei der Inversion 1779.

Haedicke (H.), **81**: Selbstentzündung der Steinkohle 1260.

Hänisch (E.) und Schröder (M.), **85**: Reduction der schwefligen Säure mittelst Kohle 2059.

Hänlein (H.), **77**: spec. Gewicht von Samen 1174; siehe Nobbe (F.).

Hänsch, siehe Schmidt; siehe Schmidt (F.).

Haerlein, **83**: Leimung des Papiers 1778.

Härlin, **82**: Papieruntersuchung 1471.  
Hässelbarth, **80**: Molybdänoxytrichlorid 337.

Hässelbarth (P.), **78**: geeignetste Verbindungsform des Stickstoffs für die Gerste 1143.

Häufsermann (C.), **77**: Phtalsäure 763.

**78**: Geschichte der Anilinfabrikation 1170.

**79**: Dimethylanilin 1159.

Hafemann (W.), siehe Harnack (E.).

Haga (H.), **77**: Absorption der strahlenden Wärme durch Wasserdampf 102; Diaphragmenströme 154.

**78**: elektrische Ströme beim Durchströmen von Wasser durch Röhren 130.

**82**: Berechnung des mechanischen Wärmeäquivalents 94; Amalgamationsströme 141 f.

**86**: Fortführung der Wärme durch den Strom 254 f.

Haga (Tamemasa), siehe Divers (E.).

Haga (T.) und Kawakita, **81**: Chromeisen 1362.

Hagemann (G. A.), **86**: Molekularvolumina (Contraction und Wärmetönung) von Säuren und Basen 77 f.

Hagemann (J.), **77**: spec. Gewicht von Quecksilberacetat 45.

Hagemann (H.) und Witter (H.), **78**: Prefshefe 1159.

Hagemann (W.), **82**: Conservirung von Butter 1436.

Hagen (A.), siehe Liebermann (C.).

Hagen (D. v.), siehe Zincke (Th.).

Hagen (D. v.) und Zincke (Th.), **83**: Anilidoderivate des Toluchinons: Dianilidotoluchinon, Dianilidotoluchinonanilid, Anilidotoluchinon, Anilidooxytoluchinon, Anilidoäthoxytoluchinonanilid, Anilidooxytoluchinonanilid 1001; Anilidomethoxytoluchinonanilid, Dioxytoluchinon 1002.

Hagen (E. B.), **82**: Spannungen des Quecksilberdampfes 65.

**83**: Wärmeausdehnung des Natriums, des Kaliums und deren Legirung 124 f.

Hagen (M.), **85**: Darstellung von Lupanin aus den Samen von *Lupinus angustifolius* 1725 f.; Eigenschaften und Salze desselben 1726 f.; Methyl-lupaninammoniumjodid und weitere Methylverbindungen, Nichtvorkom-

men des Lupinins und Lupinidins in *Lupinus angustifolius* 1727.

Hagen (O.), **86**: Analyse von Sprengstoffen 1992 f.; Beständigkeit von Explosivstoffen gegen Hitze 2080.

Hagen (R.) und Seltsam (F.), **82**: Darstellung von Knochenleim 1438.

Hagenbach (E.), **77**: Aufleuchten, Phosphoreszenz und Fluoreszenz des Flußspaths 177.

**79**: Stocke'sches Gesetz 150.

**80**: Sprengwirkungen des Eises 36; falsche blaue Fluoreszenz im Glase 192; Explosion durch Eis 1305.

**83**: Stokes'sches Gesetz der Fluoreszenz 254.

**86**: Fortpflanzung der Elektrizität im Telegraphendraht 251.

Hager (H.), **77**: Colophonium im Schellack 1089; Gift der Cobra de Capello 1090; Buchsin im Bier 1198.

**78**: Bestimmung der Glucose mit essigsaurem Quecksilberoxyd 1077; Weinuntersuchung 1089.

**79**: spezifische Gewichtsbestimmung von Fetten 317.

**80**: Kaffeesurrogate 1070; Unterscheidung der Farbenreactionen mit Salicyl-, Carbol-, Gallussäure und Tannin gegen Eisenchlorid 1209; Mineralsäuren in Schnell- und Branntweinessig 1209 f.; Kaffeeverfälschung 1221; Prüfung des chinesischen Thees 1222; Säuregehalt in Schmierölen, Prüfung des Cacaoöls 1228; Verfälschungen des Bienenwaxes 1230; Verhalten eiweißhaltiger Harne gegen Salzsäure und Pikrinsäure 1237.

**81**: Thee 1019; Trennung von Kalium und Natrium 1181; Trennung der Magnesia von Kalk und Eisenoxyd 1182; Fuselöl im Alkohol 1202; Reaction auf Glycerin 1202 f.; Prüfung von Schmierölen 1220; Kunsthonig 1223.

**82**: mikroskopischer Nachweis von Arsen 1277 f.; Bestimmung von Nicotin, Brucin und Berberin 1319 f.; Prüfung des Malzextracts 1334 f., des Honigs 1341, der Milch 1343; Nachweis von Morphin im Harn 1346; Colorimeter 1351.

**83**: Prüfung auf salpetrige Säure, Salpetersäure und Chlor 1522; salpetersaures Quecksilberoxydul als Reagens auf Ammoniak, Coniin und Anilin 1538; Prüfung von concentrirter Schwefelsäure auf Arsen 1549;

Prüfung von Buchentheerkreosot 1604; Löslichkeit des benzoësauren Natrons in Weingeist 1607; Reactionen des Chinolins, Unterscheidung des Chinolins von Cinchoninsalzen 1611; Prüfung von Copaivabalsam auf Verfälschungen und Verunreinigungen 1633; ätherische Oele gegen verdünnten Weingeist, Prüfung von Thymianöl 1635.

**84:** Darstellung von p-Mononitrophenylurethan, Reduction zu p-Amidophenylurethan 688; Umwandlung von Phenylen-p-amidourethan in p-Benzoylamidophenylurethan, Darstellung von o-p-Dinitrophenylurethan 689; Bildung von Tetranitrodiphenylamin, Darstellung von p-Mononitro-o-imidophenylharnstoff, Reduction zu p-Amido-o-imidophenylharnstoff 690; chemische Prüfungsmethode auf Arzneistoffe 1549; Papierdütenprobe zum Nachweis von Gasen 1557; Darstellung von arsenfreiem Schwefelwasserstoffgas 1567; Prüfung auf Salpetersäure und salpetrige Säure 1571; Methode des Arsennachweises 1580; Prüfung von Wismuthaubinitrat auf Arsen 1580 f.; Methode zur Prüfung des Brechweinsteins auf Arsen 1581; Reagens auf Natrium-, Ammonium-, Lithiumsalze 1590; Verhalten des Mandelöles bei der Elaidinprobe 1666.

**85:** Urethanderivate des Diphenylamins 642 f.; Darstellung von Pikramid durch directe Nitrierung von p-Monobromanilin 862; Diphenylaminsulfat als Reagens auf freies Chlor 1898 f.; Erkennung von Chlor und Brom mittelst  $\alpha$ -Naphthollösung 1899; Verhalten der Alkalihalogene gegen Permanganat 1902; Diphenylaminreaction auf Nitrate und Nitrite, Anwendung des Phenols und  $\alpha$ -Naphthols für den Nachweis der Salpetersäure 1910; Arsennachweis 1919; Nachweis von Terpentinöl in ätherischen Oelen 1972; Unterscheidung des natürlichen Kirschchlorbeer-, Bittermandel- und Senföles von den Kunstproducten 1972 f.; Prüfung von Spiritus 1974; Honigproben 1981; Darstellung von künstlichem Honig aus Stärke 2140.

**86:** Verwendbarkeit des Kalium- oder Ammoniumsulfocarbonats in der Analyse 1890; Kramatomethode zum

Arsennachweis, Vorkommen von Zinn in Salzsäure 1922; Prüfung des Aluminiumsulfats auf freie Schwefelsäure 1930; Nachweis von Terpentinöl in Oelen und Balsamen 1993; Desinfection von Wohnräumen 2115; Nachweis von Süßholz im Bier, Trennung des Glycyrrhizins von Hopfen 2142; siehe Gattermann (L.).

Hague (A.), **84:** Untersuchung von Hornblende 1970.

Hague (A.) und Iddings (J. P.), **84:** Analysen von Gesteinen der Vulkane von Nordcalifornien, Oregon, Washington 2024.

Hahn (E.), **78:** Siedepunkt und Schmelzpunkt des Hexachlorkohlenstoffs 415; siehe Städel (W.).

Hahn (E.) und Städel (W.), **79:** Apparat zur Regulierung und Variirung des Luftdrucks bei Destillationen, Siedepunktsbestimmungen u. s. w. 56.

Hahn (O.), **80:** Meteorite 1538.

**82:** Gallertmeteoritenfälle aus dem Jahre 1848 1639.

Haines (R.), **81:** Trinkwasseruntersuchung 1258; Philadelphit 1386.

**84:** Analyse von Serpentin 1964; siehe Lewis (H. C.).

Haines (Reuben), siehe Reuben-Haines.

Hairabeth (A. B.) u. Ibraillan, **84:** Untersuchung der Magnetisirungsfunktion von Eisenringen 278.

Haifs (A.), **82:**  $\alpha$ -Ditolylpropionsäure, Salze und Derivate 981 ff.; p-Ditolyläthan, Ditolylketon 981 f.; Diphenyläthanthricarbonsäure, Diphenyläthandicarbonsäure, Diphenyläthan 983.

Haitinger (L.), **78:** Darstellung von Nitrobutylen 429.

**81:** Nitrobutylen, Nitroamylon 398; Chelidonium majus 1020.

**82:** Pyridin im käuflichen Amylalkohol 481; Pyroglutaminsäure und Pyrrol aus Glutaminsäure 862.

**83:** Phenolnatrium gegen Schwefel: Dioxyphenyldisulfid 886 f.; Oxyphenylmercaptan 887; o-Anisolsulfosäure aus Dioxyphenyldisulfid-Dime-thyläther 888.

**85:** Einwirkung von Ammoniak auf Dehydracetsäure: Oxylutidin,  $C_7H_5NO$ , Säure  $C_6H_5NO_2$ , Umwandlung der Dehydracetsäure in Pyridinderivate 1437; siehe Lieben (A.).



- Haitinger (L.) und Lieben (A.), **84**: Untersuchung über Chelidonsäure 1175 ff.; Xanthochelidonsäure, Hydrochelidonsäure 1176; Pimelinsäure, Hydroxanthochelidonsäure 1177; Untersuchung der stickstoffhaltigen Derivate der Mekonsäure 1177 f.; Methyloxyppyridin 1177; Methylammonchelidonsäure, Phenylammonchelidonsäure 1178.
- 85**: Untersuchung der Chelidonsäure 1421 bis 1426: Komansäure, „Pyron“ 1422; Ammonchelidonsäure, Dibromoxyppyridin, Methylammonchelidonsäure, Dibrommethylammonchelidonsäure, Dibrommethyloxyppyridin, Phenylammonchelidonsäure, Phenylloxyppyridin, Oxyppyridin (Pyridon) 1423; Methyloxyppyridin 1424; Dibrommethyloxyppyridin, Methyloxyppyridinmethyljodid, Platindoppelsalz des Methyloxyppyridinmethylumchlorids, Monochlorpyridin 1425; Jodpyridin, Methoxyppyridin 1426.
- Hake, **80**: Carnallit-Verarbeitung 1296 f.
- Hake (C. N.), siehe Dupré (F.).
- Hake (C. W.), siehe Dupré (F. W.).
- Hake (H. W.), siehe Dupré (A.); siehe Kingzett (C. T.).
- Halász (A.), **84**: Dichte des Salzsäuregases 61.
- Halberstadt (W.), siehe Claus (A.).
- Halberstadt (W.), **81**: p-Nitrobenzoesäure, o-p-Dinitrobenzoesäure gegen Brom 771.
- 82**: Vanadintrichlorid 352.
- 83**: Trennung der Vanadinsäure von Baryum, Calcium, Zink und Blei 1577 f.; Vanadinsäure gegen Oxalsäure und oxalsäure Alkalien, Unterscheidung der Vanadinsäure von Phosphorsäure und Arsensäure 1578.
- 84**: Bestimmung des Atomgewichts von Platin 54 f.
- Halberstadt (W.) und Reis (M. A. v.), **81**: Hämatein 1013.
- Halcrow (Lucie) und Frankland (E.), **80**: Flußwasser 1519.
- Halenke und Möslinger, **84**: Mehluntersuchung 1655.
- Haliburton (W. D.), **85**: Vorkommen des Chitins bei den Mollusken 1830 f.; Untersuchung des Knorpels einiger Avertebraten (Sepia und Limulus) 1845.
- Hall (C. W.), siehe Peckham (S. F.).
- Hall (E. H.), **80**: Wirkung des Magneten auf den elektrischen Strom 172 f.; Wirkung des Magneten auf den Strom, elektromotorische Kraft 173.
- 81**: „Rotationalcoefficient“ in Nickel und Kobalt 104.
- 83**: magnetische Ablenkung des Stromes in verschiedenen Metallen 225.
- Hall (F. P.), **83**: Einwirkung organischer Säuren auf Blei und Zinn, Analysen von Stanniolsorten 1681.
- Hall (L. B.), siehe Remsen (J.).
- Hall (L. B.) und Remsen (J.), **77**: Mesitylensulfosäure, Oxydation 857; Parasulfaminmesitylensäure 858.
- 79**: Oxydation von Cymolsulfamid 760 f.
- 80**: Oxydation von Mesitylensulfamid 922 f.
- Hallberg (C. S.), **83**: Mutterkornpräparate 1415.
- Haller (A.), **77**: Chlorchromsäure gegen Anthracen 327, 386.
- 78**: Jodcampher 643; Cyancampher, Bromcyancampher 644.
- 79**: Jod- und Cyancampher 565.
- 81**: Umsetzungen des Cyancamphers 327; Cyansäureborneoläther 328.
- 82**: Campholurethan und Derivate 393; Kohlensäure-Borneoläther 776; Natriummalsäureäther gegen Chlorcyan: Cyanmalonsäureäther und Salze 831; ätherisches Oel von Satureja montana 1182.
- 84**: Darstellung von linksdrehendem Campholurethan und Kohlensäureborneoläther aus Nagai-Campher 500 f.
- 85**: Darstellung des Benzoylessigäthers und des Cyanacetophenons 1522.
- 86**: Untersuchung des Cyancamphers 540 f.; Verhalten von Harnstoff, Aethyl-, Diäthyl- und Thioharnstoff, Aethylisocyanat und Aethylisocyanurat gegen alkoholisches Kali 548 f.; Identität von chinesischem Camphol (N'gai-Campher), Bangphien-Camphol und Matricariacampher mit Baldriancamphol 1666; siehe Heckel (E.).
- Haller (A.) und Held (A.), **82**: Natriumacetessigäther gegen Chlorcyan: Acetylcyanessigäther 845 f.
- Haller (S.), **84**: Einwirkung von Alkohol auf Diazokörper und zwar auf schwefelsaures Diazocumol aus festem

- Cumidin, Darstellung von Cumenyl-äthyläther,  $\beta$ -Naphtoläthyläther 797 f.
- 85:** Identität des technischen ( $\psi$ -) Cumidins mit Pseudocumidin und Constitution desselben 903 ff.; Darstellung von Pseudocumidinderivaten: diazopseudocumolsulfins. Natrium, Pseudocumylhydrazinsulfins. Natrium 903; Pseudocumylhydrazin, Durylonitril 904; Derivate des  $\psi$ -(Pseudo-) Cumylchinizins 1082 bis 1084:  $\psi$ -Cumylzinacetessigäther,  $\psi$ -Cumylmethyloxychinizin,  $\psi$ -Cumyldimethyloxychinizin ( $\psi$ -Cumylantipyryn), Isositroso- $\psi$ -Cumylantipyryn 1083; Isositroso- $\psi$ -Cumylmethyloxychinizin, Isositroso- $\psi$ -Cumylmethyldioxychinizin 1084; Untersuchung der Sylvinsäure und Pimarsäure 1582 f.
- Hallervorden (E.), **79:** Verhalten des Ammoniaks im Organismus 982 f.
- 80:** Ammoniakausscheidung im Urin 1113 f.
- Halliburton (W. D.), **84:** Untersuchung der Eiweißkörper des Serums 1481.
- Hallock (E. J.), **77:** Ammoniak-Soda-fabrikation 201.
- 81:** Derivate des Phenetols 535; Columbit 1407.
- Halse (W. E.) und Steiner (J.), **77:** Traubenzucker im Stärkezucker 901; optisch inaktiver Zucker 902.
- Halske, siehe Siemens.
- Hallwachs (W.), **84:** elektromotorische Kraft, Widerstand und Nutzeffect von Ladungssäulen (Accumulatoren) 243 f.
- 81:** Potentialverstärker 239.
- Hamberg (A.) und Pettersson (O.), **86:** Apparat zur Bestimmung des Stickstoff- und Sauerstoffgehalts des Meerwassers 2012.
- Hamberg (N. P.), **86:** Verhalten von arseniger Säure gegen faulende Leichentheile 2002 f.
- Hamburger, siehe Uries (H. de).
- Hamburger (E. W.), **78:** Aufnahme und Ausscheidung des Eisens durch den thierischen Organismus 1010.
- 80:** Aufnahme und Ausscheidung des Eisens 1095.
- Hamburger (H. J.), **83:** Bestimmung des Harnstoffs im Harn 1651 f.
- 84:** Einwirkung chemischer Verbindungen auf die Blutkörperchen 1482; Bestimmung des Harnstoffs im Harn 1616.
- 86:** Untersuchung der Hemialbuminose 1792; siehe Mulder (E.).
- Hamburger (S.), **84:** Analyse durch Fabrikgase beschädigter Pflanzen 1695; siehe Liebermann (C.).
- Hamkop (G.), siehe Kraut (K.).
- Hamlet (W. M.), **81:** Verhalten von Bacterien gegen Gase, Salze und organische Verbindungen 1142 f.; Bestimmung des Fettes in der Milch 1225.
- Hamlet (W. M.) und Plowright, (Ch. B.), **77:** Oxalsäuren in Pilzen 929.
- Hammarbacher, **84:** Untersuchung über die Bildung von Aetherschwefelsäuren im Organismus 1494.
- Hammarsten, **78:** Pepsinpräparate 939.
- Hammarsten und Rolbert, **82:** Farbenreactionen des Thymols 1311.
- Hammarsten (C.), **79:** Fibrinogen 876.
- Hammarsten (O.), **80:** Casein 1037 f.; Fibrinogen 1038 f.
- 81:** Dehydrocholsäure 767 f.
- 82:** Metalbumin (Pseudomucin) und Paralbumin aus Ovariaflüssigkeiten 1137.
- 83:** Fibrin und seine Entstehung aus Fibrinogen 1380 f.; Casein (Nucleoalbumine) 1381 f.
- 84:** mucinartige Substanzen 1422 ff.; Trennung und quantitative Bestimmung von Serumalbumin und Globulinen 1652 f.
- 85:** Untersuchungen über Casein 1781 f.; Schwefelgehalt des Caseins, des Eieralbumins und des Leims 1782; Fibrinogen 1834.
- 86:** Mucin und mucinähnliche Substanzen 1796.
- Hammer, **86:** Benzolöthrohr 2008.
- Hammerbacher (F.), **81:** menschlicher Speichel 1070.
- 84:** Einfluss von Pilocarpin und Atropin auf die Milchbildung 1492; Einfluss verschiedener Substanzen auf die Oxalsäure-Ausscheidung im Harn 1497 f.
- Hammerl (H.), **79:** spezifische Wärme von Chlorwasserstofflösungen 93 f.; Lösungswärme des Kohlenoxyds in saurer Kupferchloridlösung 106; Untersuchung der Kältemischung aus Chlorcalcium und Schnee 106 f.
- 80:** spezifische Wärme der Lösungen von Kali und Natron 93 f.;

Lösungswärme des Cyans 103; Wärmeentwickelungen bei der Einwirkung von Wasser auf Siliciumfluorid und Borfluorid 138.

**82:** Hydratbildung von kohlen-saurem Natrium 13 f.; Regenbogen, gebildet durch Flüssigkeiten von verschiedenem Brechungsexponenten 168.

**83:** Anwendbarkeit des Kupfer-voltameters zu Stromstärke-Messungen 205.

Hammerschlag, **77:** Chabasit 1328.  
Hammerschlag (W.), **77:** Anthracen, Bromderivate 419.

**78:** Anthrachinoncarbonsäure 815 ff.

**86:** Chlor- und Bromderivate des Anthracen: Dichloranthracentetrabromid, Dichlordibromanthracen, Dichlordibromanthracentetrabromid, Dichlortetrabromanthracen 657; Dichloranthracentetrachlorid 657 f.; Tetrachloranthracen, Dichloranthrachinon 658.

Hammerschmidt (F.), **83:** Mikro-structur des Anhydrits, des Gypses und der Uebergangsstadien des Anhydrits in Gyps 1854 f.

Hammond (J.), **78:** Reinigung des Leuchtgases 1165.

Hampe, **82:** elektrolytische Fällung des Bleies 1297; Analyse von Feuerblende vom Harz 1525.

Hampe (W.), **77:** Atomgewicht des Kupfers 21, 1067.

**78:** Bestimmung des Oxyduls im Kupfer 1065; Bestimmung des Zinks in seinen Erzen 1107 f.

**83:** Bestimmung des Mangans 1565 f.

**84:** Methode zur Einstellung alkali-metrischer Flüssigkeiten und von Chamäleonlösung 1548; Analyse von Sprengstoffen 1612 f.; Apparat zum Ausziehen von Nitroglycerin aus Dynamit 1749.

**85:** maßanalytische Bestimmung des Mangans 1936 f.; Fällung des Zinks aus ameisensaurer Lösung durch Schwefelwasserstoff 1938; Zusammensetzung des raffinierten Bleies vom Harz 2037; Zusammensetzung dreier Mansfelder Kupfersorten (übergares Kupfer, dichtgepoltes Raffinad, zähe gepoltes Raffinad) 2040 f.

Hampton (F.), **80:** Phosphorpentajodid 275.

Hanamann (J.), **77:** Weinanalysen 1201.

**78:** böhmische Bierwürze 1158.

Hanausek (E.), **84:** Verhalten des Mandelöles bei der Elaidinprobe 1666; Methode zum Färben von Bernstein 1828.

Hanausek (T. F.), **83:** Stärkekörner des Kastanienmehles 1746.

**84:** mikroskopischer Nachweis des Kastanienmehles 1655.

**85:** mikroskopischer Nachweis von Steinnußpulver 2130.

Hand (A.), **86:** Metameriefrage beim Benzol: Identität von m-Monobrom-m-nitro-p-toluidin und m-Mononitro-m-brom-p-toluidin 578 f.; Ueberführung des m-Brom-p-acetoltoluidins in m-Monobromtoluol und m-Brom-m-toluidin 579 f.; Darstellung der salpetersauren o- und m-Diazobenzoësäure 1038 f.; Ueberführung derselben in die Perbromide und der letzteren in die Monobrombenzoësäuren 1040; viertes Monobromphenol (p-Monobromphenol) 1234 f.

Handl (A.), **79:** Apparat zur Erhaltung eines constanten Gasdrucks 71.

**85:** Hydrodensimeter 1996.

**86:** pneumatisches Densimeter 64; siehe Pribram (R.).

Handl (A.) und Pribram (R.), **77:** Siedepunktsbestimmungen 56.

Handmann (R.), **83:** Ersatz der Salpetersäure im Bunsen'schen Element 202.

Hanekop, **86:** Analyse von Ammonium carbonicum albiissimum 2059.

Hanemann, **77:** Succinaphtil und Derivate 710.

Hanemann (L.), siehe Hübner (H.).

Hanhardt, **80:** Tolandichlorid 495.

Hanhart, **79:** Tetramethyldiamidodiphenylmethan 417 f.

Hanhart (U.), **82:** Verhalten von Benzotrichlorid gegen Kupfer: Tolandichloride 445 f.

Hankel (W.), **77:** Ströme durch Bestrahlung 154; Photoelektricität des Flussspaths, Gypses, Diopsids, Orthoklases, Albits und Periklins 155; Polarisationsstrom 158; Magnetismus von Nickel und Kobalt 172.

**79:** thermoelektrische Untersuchungen 133.

**80:** Umwandlung der Schwingungen der strahlenden Wärme in Elektrizität 101; Umwandlung von



Wärme in Elektrizität 161 f.; photo- und thermoelektrische Eigenschaften des Flusaspaths 176 f.

**81:** Elektrizität durch Zusammenpressen hemimorpher Krystalle 87.

**83:** thermoelektrische Eigenschaften von Mineralien 198; Thermo-, Actino- und Piezoelektrizität des Bergkrystalls 199.

**84:** Elektrizität bei Gasentwicklungen 235.

**85:** Thermoelektrizität des Bergkrystalls 228.

Hankó (W.), **79:** Stickstoffbestimmung 1060; siehe Fleischer (A.).

Hannan (R.), **85:** Darstellung eines Sprengmittels 2104.

Hannay, **77:** Kohlengriefs, Verhalten zum Ackerboden 1175.

Hannay (J. B.), **77:** Entwässerung von Hydraten 139; Calciumsulfatdoppelsalze 247; Manganbestimmung 1063; Opal 1274.

**78:** Einwirkung des Broms auf Schwefel, Verhalten der Schwefelbromide 209 f.; Reaction zwischen Jodtrichlorid und Schwefelwasserstoff 217; Mangansuperoxydhydrat 1061; Arsenargetit 1204; Plumbomanganit und Youngit 1206; Bowlingit 1270.

**79:** Ausfluß von Salzlösungen durch Capillarröhren 88; Dissociation hydratwasserhaltiger Doppelsalze 132; Einwirkung des Broms auf Schwefel 205 f.; Jodtetrachlorid 207; Analyse eines Erzes aus Ballarat 1184.

**80:** kritische Temperatur des Alkohols 42; Zustand der Flüssigkeiten bei ihrer kritischen Temperatur 43 f.; künstliche Diamanten 276 f.; magnetische Beimengungen von Mineralien 1400.

**81:** Constitution der Materie 3; kritische Temperatur 54; Absorption von Gasen durch feste Körper 71; künstliche Diamanten 1344.

**82:** Absorption von Gasen durch feste Körper 58; Grenze des flüssigen Zustandes 61.

Hannay (J. B.) und Hogarth (J.) **79:** Auflöslichkeit von Körpern in Gasen 76.

**80:** Löslichkeit fester Körper in Gasen 40 f.

Hannimann, **77:** Dithiodimethylanilin, Carbotetradimethylanilin, Formonyltridimethylanilin 470.

Hannin (F.), siehe Rindell (A.).

Hanowsky (C.), **84:** Einwirkung des Wasserstoffsuperoxyds auf Eisen-, Mangan- und Chromverbindungen 1562 f.

Hanriot, **77:** Chlorhydrin, Dioxybuttersäurenitril 525.

**78:** Darstellung von Trimethylglyceramin 441; Reduction von Chlorhydrin, von Acetylchlorhydrin 523 f.; Einwirkung von Salzsäure auf Glycerin 525.

**79:** Glycerin, Derivate 497 f.; Epichlorhydrin 500.

**81:** Aldehyd gegen Salzsäure: Aethylidenoxychlorür, Aethylidenacetochlorhydrin 586.

**82:** Salzsäure gegen Aldehyd: Aethylidenoxychlorür 651 f.; Natriumäthylat gegen Aethylidenoxychlorür 652.

**83:** Strychnin gegen übermangansaures Kalium: Säure  $C_{11}H_{11}NO_3 \cdot H_2O$  1340; Dinitrostrychnin, Nachweis von Strychnin 1341; Diamidostrychnin 1341 f.; Bildung von Strychnin aus unreinem Brucin 1343.

**84:** Untersuchung von Strychnin, Dinitro-, Diamido-, Nitrostrychnin 1388.

**85:** Darstellung von Wasserstoffhyperoxyd 376 f.; Verhalten desselben bei der Destillation unter vermindertem Druck 377 f.; Bestimmung, Eigenschaften desselben 378; Einwirkung des Wasserstoffhyperoxyds auf organische Verbindungen (Kohlenwasserstoffe, Strychnin) 378 f.; Verhalten organischer Fettsäuren beim Erhitzen mit Aetzkalk 1313.

**86:** Zersetzung der Säuren der Fettreihe in der Hitze 1289.

Hanriot und Blarez, **83:** Verhalten der Salzlösungen des Strychnins, des Dinitro- und Diamidostrychnins gegen Säuren 1339 f.

Hanriot und Doassans (E.), **80:** Macrocarpin und Thalictin 1000.

Hanriot und Oeconomides, **81:** Metaldehyd 587.

**82:** Löslichkeit, Dissociation, Molekulargewicht, Formel, Verhalten des Metaldehyds 734 f.

Hansel (V.), **78:** Rutilkrystalle 1214; Bleihornerz 1223.

**84:** Untersuchung steiermärkischer Diabase 2019.

Hansemann (G.), **77:** photoelektrische Ströme 155.

**84:** Diffusion von Gasen (Diffusometer) 137 f.; siehe Kirchhoff (G.). Hansemann (O.), **81:** Quecksilberprobe für Stupp 1252.

Hansen, siehe Wallach.

Hansen (A.), **86:** Vermeidung der Reduction der Phosphorsäure aus der Schlacke 2023.

Hansen (E. Ch.), **81:** *Saccharomyces apiculatus* 1145.

**82:** Untersuchung der Luft von Carlsberg auf Organismen, Untersuchung der Luft in Brauereien 1244 f.

**83:** Physiologie und Morphologie der alkoholischen Fermente, Biertrübung 1508.

**84:** Methode zur Unterscheidung von Bierhefe und Pilshefe 1530 f.

Hansen (H.), siehe Claus (A.); siehe Schrodt (M.).

Hansen (Jens.), **86:** neuer Kupolofen 2023.

Hanssen (A.), **84:** Jodmethylbrucin, Oxydation von Brucin 1389; Nachweis von fremden Fetten im Butterfett 1677.

**85:** Oxydation von Brucin mittelst Chromsäure 1694 f.; Darstellung von Brucinmethylhydrat, Constitution des Brucins, Verhalten von Strychnin bei der Oxydation mit Chromsäure 1695.

**86:** Mononitro- und Monoamidobrucin 1746 f.

Hantzsch (A.), **80:**  $\alpha$ -Naphthylamin in  $\alpha$ -Naphthylmethyläther 556 f.; p-Oxyphenetol 639 f.;  $\beta$ -Naphthol gegen Trimethylamin 693 f.

**81:** Acetessigäther gegen Aldehydammoniak 586 f.; Collidindicarbonsäure-Diäthyläther 587.

**82:** Pyridinartige Verbindungen aus Aldehydammoniak und Acetessigäther (Dihydrocollidindicarbonsäure-Diäthyläther und Derivate) 491 ff.; Collidindicarbonsäure-Diäthyläther und Derivate 492; Collidindicarbonsäure und Salze 493; Collidinmonocarbonsäureäther und Derivate, Dihydrocollidin 494; Tetrahydrocollidin 495; Lutidin-, Picolin- und Pyridincarbonsäuren, Constitution der Collidindicarbonsäure 495 ff.

**83:** Synthese von Pyridinderivaten mittelst Acetessigäther: Hydrocollidindicarbonsäure-Diäthyläther und Derivate 667; Collidindicarbonsäure und Derivate 667 f.; Collidinmono-

carbonsäure-Aethyläther, Hydrocollidin 668; Oxydation der Collidindicarbonsäure 669 f.; Synthese von Pyridinderivaten mittelst Acetessigäther 1019; Acetessigäther und Monochloracetessigäther gegen rauchende Salpetersäure 1039; Acetessigsäure-Methyläther gegen Aldehydammoniak: Dihydrocollidindicarbonsäure-Methyläther 1068 f.; Dihydrocollidinmonocarbonsäure-Methyläther, Collidindicarbonsäure-Methyläther 1069; Acetessigäther gegen o-Monoamidophenol: Anhydro-o-amidophenolacetessigäther 1069 f.; Condensationsprodukte des Acetessigäthers: Verbindung  $C_{18}H_{22}O_9$  1070 f.; Isodehydracetsäure (Mesitenlactoncarbonsäure) 1071 f.; Salze und Derivate der Mesitenlactoncarbonsäure 1072 ff.; Mesitenlacton 1074; Oxymesitenlactoncarbonsäureäther 1075; Oxymesitendicarbonsäure 1075 f.; Homomesaconsäure 1077 f.

**84:** Darstellung von  $\gamma$ -Phenylpyridin aus Phenyllutidindicarbonsäure 627 ff.; Spaltungsprodukte von Pyridinverbindungen 633 bis 638; Darstellung von Pseudolutidostyryl 633; Oxydation von Methylpseudolutidostyryl: Methylloxaminsäure 635; Phenyllutidindicarbonsäureäther und -monocarbonsäureäther, Phenyllutidinmonocarbonsäure 636; Methylcarboxyphenyllutidylidumdehydrid 637; methylieres Pseudostyryl des Phenylpicolins 638; Spaltungsprodukte von Pyridinverbindungen 646 bis 650; Derivate des Collidindicarbonsäure-Diäthyläthers 646; Methylcarbocollidylidumdehydrid, Methylcarbocollidylidumdehydrid, Methylpseudolutidostyryl 648; Mononitromethylpseudolutidostyryl 650; Schmelzpunkt des Methylpseudolutidostyryls 655.

**85:** Constitution der synthetisch erhaltenen Pyridinderivate und die der Isocinchomeronsäure 815 ff.; Lutidintricarbonsäure,  $\alpha\alpha$ -Dimethylpyridin 816; Constitution der synthetischen Hydrocollidinderivate 830 ff.; Dihydrocollidindicarbonsäureäther 831; Benzylidendiacetessigäther, Dehydrobenzylidendiacetessigäther, Collidindicarbonsäure-Aethyläther 832.

**86:** Ammoniumderivate von Säureäthern des Pyridins und Collidins;

- Methylbetaïn (Ammoniumhydrat) der Nicotinsäure 761 f.; Betaïn der Colidinmonocarbonsäure, der Pyridinmonosulfosäure 762, der  $\alpha$ -Lepidin- $\beta$ -monocarbonsäure 762 f.; Isomerie der Pyridindicarbonsäuren 1389 f.; allgemeine Synthese der höher molekularen Furfurankörper:  $\beta$ -Methylcumarilsäure und Derivate 1418 ff.;  $\beta$ -Methylcumaron 1420; Einwirkung von Phosphorpentasulfid und von Ammoniak auf aromatische Furfuran-derivate (Methylthiocumarilsäureäther, Methylcumarilamid) 1422 f.; Einwirkung von Monochloracetessigäther auf mehrwerthige Phenole (Resorcin): Oxycumaronderivate (m-Oxymethylcumarilsäure) 1423 f.; Benzoldifurfuranderivate 1424 f.; Constitution und Bildung von Nitransäure 1671.
- Hantzsch (A.) und Lang (E.), **86**:  $\beta$ -Methylcumarilsäure, Dimethylcumarin und Derivate 1420 f.; Dime-thylcumaron 1421.
- Hantzsch (A.) und Loewy (R.), **86**: Chinonderivate aus Succinylobernsteinsäureäther: Dioxychinondicarbonsäureäther (Dioxychinonterephthal-säureäther) und Salze 1394 f.; Dioxychinondicarbonsäure-Diäthyläther und Salze 1671 f.
- Hantzsch (A.) und Pfeiffer (G.), **86**: Furfurankörper der Phenanthrenreihe: Methyl- $\alpha$ - und - $\beta$ -naphtofuran und -carbonsäuren 1421 f.
- Hantzsch (A.) und Weifs (L.), **86**: symmetrische Pyridintetracarbonsäure 1391 f.; hieraus entstehende symmetrische  $\beta$ - $\beta^1$ -Pyridindicarbonsäure 1392.
- Happ, siehe Claus (A.).
- Happ (J.), **84**: Darstellung von p-Chinolinmonosulfosäure aus Sulfanilsäure 1339.
- Harada (T.), **82**: das Luganer Erup-tivgebiet, Quarzporphyr 1604.
- Harburg, siehe Leune.
- Harcourt (A. G. Vernon), **83**: siehe Vernon Harcourt (A. G.).
- Harcourt (W.), **82**: Aerorthometer 1347.
- Harding (A.), **81**: Bromwasserstoff-säure 176.
- Hardmann, **79**: Hullit 1223.
- Hardmann (E. T.), **78**: mechanische Trennung von Mineralien 1040.
- Hardmann (J.), siehe Dowling (T. A.).
- Hardtmuth (Fr.), **78**: Dimethyl-acetsuccinsäureäther, Dimethylsuccin-säure 726 f.
- Hardtung (E.), siehe Post (J.).
- Hardy (E.) und Calmels (G.), **86**: Constitution und Derivate des Pilocarpins: Pilocarpinsäure, Pilocarpi-din und Jabonin 1749;  $\beta$ -Pyridin- $\alpha$ -milchsäure, Hydroxäthylpyridin, Ja-borin, Jaborinsäure,  $\beta$ -Pyridintartron-säure, Nicotinsäure 1750 f.; Additions-producte des Pilocarpins, Salze der Pilocarpinsäure 1751 f.
- Hardy (E.) und Gallois (N.), **77**: Strophantus hispidus, Strophantin 945.
- Hare (R.), **79**: Metaxit, Pikrolith, Chrysotil 1224; Hornblendeschiefer, Syenit 1248.
- 80**: Serpentin 1453.
- Hargreaves (J.), **80**: Bereitung von Natriumsulfat 1295.
- 81**: Natriumsulfat 1269.
- Hargreaves (John) und Robinson (Thom.), **82**: Verarbeitung von An-timonerzen 1361.
- Harlacher, siehe Breitenlohner (J.).
- Harland, siehe Wigner.
- Harland (R. H.), **82**: Bestimmung des Zuckers 1324.
- Harley (J.), **80**: Aethusa Cynapium 1076.
- Harmet (H.), **81**: Zink, Zinkweifs 1248.
- Harmsen (W.), **80**: Nitroxylsulfosäure 921 f.
- 83**: gelbe, orange und rothe Farb-stoffe,  $\beta$ -Oxynaphtoesäure 1797.
- Harnack (E.), **77**: Ditaïn = Ditamin 935; Wirkung des Ditaïns 1011.
- 78**: Ditaïn 892 f.
- 80**: Ditaïn, Identität mit Echita-min 985; Physostigmin im Calabarin 1124.
- 81**: Kupferverbindungen des Al-bumins 996.
- 84**: Untersuchung des Pfeilgiftes 1513; Jodbestimmung im Harn 1680.
- 86**: Pilocarpidin und Jaboridin 1748 f.; Pilocarpidin aus Jaborandi-blättern, Jaboridin 1822.
- Harnack (E.) und Dietrich (Ed.), **85**: Wirkung des Rubidium- und Cäsiumchlorids auf den quergestreiften Muskel des Frosches 1853.
- Harnack (E.) und Hafemann (W.), **83**: pharmakologische Studien am isolirten Froschherzen 1487.

- Harnack (E.) und Merck (E.), **85**: Darstellung von Pilocarpidin 1810 f., von Jaboridin, physiologische Wirkung des Pilocarpidins 1811.
- Harnack (E.) und Meyer (H.), **80**: Pilocarpin und Jaborin 993 f.; Jaborandialkaloide 1124.
- 81**: Alkaloide der Jaborandiblätter 958.
- Harnack (E.) und Zabrocki (R.), **82**: Erythrophlein aus Erythrophleum guineense; Erythrophleinsäure, Manconin 1155; physiologische Wirkungen des Erythrophleins 1228.
- Harper (D. N.), siehe Penfield (S. L.).
- Harperath (L.), **84**: Fällung des Zuckers mit Dolomit 1792.
- Harras (B.), **79**: Elfenbeinimitation 1134.
- Harres (W.), **83**: Mineralien des körnigen Kalkes von Auerbach an der Bergstrasse, Analyse eines Speiskobalts 1830.
- Harrington (B. J.), **80**: Pyroxen 1458.
- 84**: Analyse von Meneghinit, von Tennantit 1911.
- Harrison (G.), **86**: Zusammensetzung des Spiegelamalgams 469.
- Harrison (J. B.), **77**: Diathermansie des Steinsalzes 101.
- Harrow (G.), **78**: Diacetsuccinsäureäther 731 ff.
- 80**: Pyrotitarsäure 822 f.; siehe Tilden (W. A.).
- Harrow (G. H.), siehe Griefs (P.).
- Harst (S. J. van der), **84**: Untersuchung des giftigen Bestandtheiles der Blätter von *Taxus baccata* 1463 f.
- Hart (B.), **84**: Bestimmung des Antimons im Brechweinstein 1584 f.
- Hart (E.), **83**: Piscidia aus *Piscidia erythrina* 1418; Hahn für chemische Apparate 1656.
- 84**: Methode zur qualitativen Entdeckung von Chlor, Brom, Jod in Mischungen 1563 f.; Laboratoriumsapparate 1688.
- 85**: Entdeckung von Jod, Brom und Chlor 1902.
- Hart (E.) und Remsen (J.), **77**: isomere Paranitrotoluolsulfosäuren 850.
- Hart (P.), **81**: Schwefelwasserstoffapparat 1235.
- 84**: Concentrationsapparate für Schwefelsäure 1728.
- 86**: Geschichte der Darstellung kaustischer Soda 2052 f.
- Hart (Th.), **85**: Ursachen der Bewegung des Camphers auf Wasser 1658 f.
- Hart (W. B.), **83**: Färbung der rohen Chlorwasserstoffsäure 280; siehe Smith (W.).
- Hartge, **84**: Untersuchung von Chinidin 1635 f.
- Hartig, **85**: Zerstörung des Holzes durch den Hausschwamm 2192.
- Hartig (E.), **84**: Specksteingasbrenner 1685.
- 85**: Festigkeit des Sulfit-Zellstoff-Papiers 2195.
- Hartl (G.), **82**: Herstellung von Stearinkerzen, Stearinsäure 1460 f.
- Hartland (W. H.), **86**: Reinigung des Wassers mittelst Luft 2111.
- Hartley (O. N.), **86**: Ursachen des Verblässens von Wasserfarben 2185 f.
- Hartley (W. N.), **77**: Flüssigkeits-einschlüsse in Mineralien gegen Wärme 87; Einschlüsse der Mineralien (Topase) 1251; Gesteinsschliffe, negative Krystalle 1252.
- 79**: Lichtabsorption durch ätherische Oele 149.
- 80**: Nachweis von Cymol in Terpenen 1208 f.
- 81**: Molekularstruktur und Absorptionsspectra von Kohlenstoffverbindungen (Naphtalin, Anthracen, Phenanthren) 126 f.; Absorptionsspectrum des Ozons, Absorption der Sonnenstrahlen durch atmosphärisches Ozon 127.
- 82**: Photographien der ultravioletten Spectren der Elemente 180 f.; Umkehrung der Metalllinien in überexponirten Spectral-Photographien 181; Beziehung der Molekularstruktur von Kohlenstoffverbindungen zu ihren Absorptionsspectren 188 f.; Photographie der Spectren in Beziehung zu neuen Methoden der quantitativen chemischen Analyse 201 f.; Cerverbindungen, Reaction auf Cer 281.
- 83**: ultraviolette Spectra der Elemente 245; ultraviolette Emissionsspectra von Elementen, Spectrum des Berylliums, Spectrum von Bor und Silicium 246.
- 84**: Bestimmung des Atomgewichtes von Beryllium 49; Ursache der Verbreiterung der Spectrallinien 295; Absorptionsspectra der Alkaloide 298; Gährung 1518; Untersuchungen über photographirte Spectra 1551.

- 85:** Einfluß der Atomanordnung auf die physikalischen Eigenschaften der Verbindungen, Constitution des Benzols 27; Absorptionsspectra der Alkaloide 325 f.; Beziehung zwischen der Molekularstruktur und der Absorption von Kohlenstoffverbindungen (Kohlenwasserstoffen und Aminen) 329; Vorträge über Gährung 1863.
- 86:** Spectra von Erbium und Didym 311; siehe Lettsom (W. G.).
- Hartley (W. N.) und Adeney (W. E.), **83:** Diffractionsspectra 245.
- Hartley (W. N.) und Huntington (A. K.), **81:** Absorptionsspectra von Terpenen und ätherischen Oelen 128.
- Hartmann und Hauers, **85:** Apparat zur Gehaltsbestimmung von Essig und Essigsäure 1958.
- Hartmann (A.), **78:** Phosphorit von Estremadura 1228.
- Hartmann (C.), **78:** Roheisen 1098.
- Hartmann (O.), **77:** Propylenglycol 524; Paraoxybenzoesäurederivate 754.
- Hartmann (W. A.), **85:** elektrolytische Gewinnung von Kupfer und Schwefelsäure 2038.
- Hartmann (W. E. A.), **80:** Schwefelwasserstoff für technische Zwecke 1279.
- Hartshorn (G. T.), siehe Hill (H. B.); siehe Jackson (C. L.).
- Hartung, siehe Steinle.
- Hartwich (C.), **79:** Untersuchung der Birnengallen 940; Gambir-Catechu 945.
- Hartwig (E.), **79:** Keton im Weinöl 1113.
- 81:** Weinöl 1305 f.
- Hartz (J. D. A.), **84:** Darstellung von Atropin aus Datura Stramonium 1386.
- Harvey (C.), **83:** Werthbestimmung von Chlor in Bleichpulvern mittelst Eisenchlorürlösung 1529; Bestimmung der Chromsäure in Chromaten und Dichromaten 1560; schnelle volumetrische Bestimmung von Mangan-superoxyd 1566.
- Harvey (L.), **80:** Phosphorsäure im Trinkwasser 1163.
- Harvey (Sidney), siehe Sidney-Harvey.
- Harz, **83:** mikroskopische Untersuchung von Trinkwasser 1527.
- Harz (C. O.), **78:** Spergulin 960.
- 79:** Spergulin 904; mikroskopische Untersuchung des Brunnenwassers 1028.
- Harz (K.), **85:** Darstellung von Chinolinderivaten aus Propionaldehyd und den drei isomeren Toluidinen 997 bis 1004;  $\alpha$ -Aethyl- $\beta$ -methyl-p-toluchinolin 997 f.; Tetrahydro- $\alpha$ -äthyl- $\beta$ -methyl-p-toluchinolin 998 f.;  $\alpha$ -Aethyl- $\beta$ -methyl-p-toluchinolindibromid,  $\alpha$ -Aethyl- $\beta$ -methyl-p-dibromtoluchinolin 999;  $\alpha$ -Aethyl- $\beta$ -methyl-p-toluchinolinsulfosäure 999 f.; Hydroxy- $\alpha$ -äthyl- $\beta$ -methyl-p-toluchinolin, Mononitro- $\alpha$ -äthyl- $\beta$ -methyl-p-toluchinolin und Dinitroverbindung 1000; Amido- $\alpha$ -äthyl- $\beta$ -methyl-p-toluchinolin,  $\alpha$ -Aethyl-p-toluchinolin-monocarbonsäure 1001;  $\alpha$ -Aethyl-p-toluchinolin und Salze desselben, Aldehyd  $C_{15}H_{13}NO$  1002;  $\alpha$ -Aethyl- $\beta$ -methyl-m-toluchinolin, Tetrahydro- $\alpha$ -äthyl- $\beta$ -methyl-m-toluchinolin 1003; Tetrahydro- $\alpha$ -äthyl- $\beta$ -methyl-o-toluchinolin 1004.
- Hasebrock (K.), **82:** Einfluß chemischer und anderer Agentien auf die Blutgerinnung 1202 f.
- Hasenclever (H.), **80:** deutsche Soda-Industrie von 1880, technische Analyse und Beurtheilung der Mondschen Schwefellaugen 1293.
- Hasenclever (R.), **78:** deutsche Sodafabrikation im Jahre 1878 1128.
- 79:** Beschädigung der Vegetation durch saure Gase 1106.
- 82:** Absorption der schwefeligen Säure durch Schwefelsäure 1394.
- 84:** Verarbeitung der basischen Schlacke auf Dicalciumphosphat 1711; Sodafabrikation 1732.
- Haslam (A. R.), **83:** Nachweis von Albumin im Harn 1649.
- 84:** Prüfung auf Albumin im Harn 1681.
- 85:** Verhalten des Chinins beim Eindampfen mit Kalk 1705; Verflüchtigung des Zinks 2018.
- 86:** Löslichkeit des Baryumsulfats in Brom- und Jodwasserstoffsäure 1929.
- Hassack (O.), **85:** Verhalten von basischem Kupfercarbonat gegen nasirenden Wasserstoff und gegen Natronlauge 2078 f.; siehe Arche (A.).
- Hassak (E.), **78:** Zirkonzwillinge 1214.
- Hassak (M.), siehe Jahn (K.).
- Hassal (A. Hill), **77:** Senfsamen 938.

- Hasse (G.), **77**: Synthese substituierter Phenole 545.
- Hasse (H.), siehe Limpricht (H.).
- Hasse (S.), **82**: Ernährung von Kindern im Alter von 2 bis 11 Jahren 1186.
- Hasselberg (B.), **78**: Umrechnung der Kirchhoff'schen Spectralscala auf Wellenlängen 169.
- 79**: Absorptionsspectralanalyse 1022 f.
- 81**: Spectrum des Schwefels (Wasserstoffs) 120.
- 82**: Schwefelspectrum, Chlorspectrum und Natriumspectrum in Spectralröhren 183.
- 83**: thermisches Aequivalent der Dissociationsarbeit 183; Spectrum des Wasserstoffs 248 f.
- 84**: Untersuchungen des zweiten Wasserstoffspectrums 293.
- 85**: zweites Wasserstoffspectrum 320.
- 86**: Schwefelkohlenstoffprismen 302.
- Hasselt (A. van), **80**: Feuchtigkeitsgehalt der Luft 1141; Sodagehalt der Potaschen 1175.
- Hassencamp (H.), **79**: Methylviolett-bildung 430.
- Hassenkamp (E.), siehe Engler (C.).
- Hassenpflug (H.), **83**: Analyse der Luft eines Ozokeritbergwerkes 1529.
- Hastings (O. S.), **78**: Veränderung der optischen Constanten durch die Temperatur 164.
- Haswell (A. E.), **80**: Mangan 1181; Phosphor und Silicium 1257 f.
- 81**: Titirung von Eisenoxyd 1185; Bestimmung und Scheidung des Bleies 1192.
- 83**: Titirung der Phosphorsäure mittelst Uranlösung 1543; volumetrische Bestimmung von Quecksilber 1580; Harnanalyse 1650.
- 86**: Fluorbestimmung 1908.
- Hatch (F. H.), **85**: Vorkommen eines Hypersthenandesits, Analyse des darin enthaltenen Feldspaths 2310.
- 86**: Bestimmung der löslichen Kieselsäure in Mineralien 2221; Nachweis von Hypersthen in vulcanischen Gesteinen 2278; Analyse von Andesin 2290; Untersuchung der Gesteine der Vulcangruppe von Arequipa 2303; Untersuchung von Gabbro 2308; Analyse eines Hypersthenaugitsandesits 2310 f.
- Hatschek (A.) und Zega (A.), **86**: Einwirkung von p-Toluidin auf Resorcin und Hydrochinon 1270 bis 1277; m-Oxyphenyl-p-tolylamin und Derivate 1271 f.; Di-p-tolyl-m-phenylendiamin und Derivate 1272 ff.; p-Oxyphenyl-p-tolylamin und Derivate 1274 f.; Di-p-tolyl-p-phenylendiamin und Derivate 1275 ff.
- Hatton (Fr.), **81**: Reinigung fauliger Wässer 1140; Verhalten von Bacterien gegen Luft und andere Gase 1141 f., gegen Harnstoff, Salicylsäure, Alkalioide 1142.
- Hatton (Fr.) und Hodgkinson (W. B.), **81**:  $\beta$ -Phenylpropylalkohol aus Zimmtalkohol 516.
- Hatton (G.), **86**: Herstellung von weichem Stahl, von Gußstahl in Convertern 2031.
- Haubner (Fr.), siehe Beckurts (H.).
- Haubner (J.), **81**: magnetisches Verhalten des Eisens 107.
- 86**: magnetisches Verhalten von Eisenpulvern 286.
- Haubst (P.), **77**: Schwefelsäurebestimmung 1050.
- Hauch (A.), **77**: Kupfer aus Malachit 1118.
- 78**: Verrösten der Kiesschliee in Haufen 1123.
- Hauck, **77**: Kupfer aus Vitriollauge 1120.
- Hauenschild (H.), **78**: Kalkstein mit Eindrücken ähnlich Meteoriteindrücken 1315.
- Hauer (C. v.), **78**: Eisenquelle von Oberweidlingau, Unterscheidung von Mineralquellen und Mineralbrunnen 1301 f.; Mineralquelle von Ischl 1302 f.; Offener Bittersalzwasser 1304.
- 81**: Wasser von Agram 1447.
- Hauer (E. v.), **82**: die Meteoriten von Mocs, Siebenbürgen 1641.
- Hauer (F. v.), **80**: Cölestin, Gyps 1423; Bouteillenstein 1502.
- Hauer (F. v.) und Zepharovich (V. von), **80**: Miemit 1419.
- Hauers, siehe Hartmann.
- Haughton (S.), **84**: Analyse von Glimmer (Margarodit, Lepidomelan) 1931, von Orthoklas 1979, von Albit 1986.
- Haugk (F.), **80**: Bromsilber-Gelatine-Proceß (Photographie) 1391.
- Haupt (A.), **86**: Verwendung von Thomasschlackenmehl neben anderen Düngemitteln 2106.

**Hausamann (O.), 81:** Fett in Fettsäuregemengen 1226.

**Hausemann (G.), 77:** Einfluss des Lichtes auf den Leitungswiderstand 161.

**Haushofer, 77:** unterphosphorsaure Salze 231.

**79:** Methyluramin- (Methylguanidin-) Salze 333; Nitrosodimethylamin 412.

**Haushofer (C.), 77:** Hydrocyanalidin 331; Parahydrocyanalidin 332; Diimidanisnitril 343; Diäthoxalsäure, diäthoxalsaures Baryum 719; Metanitrobenzoesäure und paranitrobenzoesaures Baryum, Orthonitrobenzoesäure 735.

**78:** Krystallform des Imidopropionitrils, des Dicyanamids 342; Krystallform des schleimsauren Natriums 727 f.

**Haushofer (E.), 78:** Krystallform von Methyluraminchlorplatinat 351 f.

**Haushofer (K.), 78:** Krystallform des zweidrittelphosphorsauren Natriums 225.

**79:** p-Nitrophenylpropionsäure-Aethyläther 708; o-Nitrozimmtsäure-Aethyläther 712; Orthoklaszwilling 1234; Labrador 1235.

**80:** Krystallform von p-Ditolylnitrosamin und Benzoylditolylamin 341; Isobutylaldehydammoniak 697 f.; essigsaures Natron, Krystallform 763 f.; isäthionsaures Baryum 771; Chlormilchsäure 775 f.; Serin 779 f.; Malonsäure 781; Derivate der Isovaleriansäure, Krystallform 809 f.; Methylcrotonsäure, Dimethylacrylsäure 810; Nitrophenyldibrompropionsäureäther 864 f.

**81:** Krystallform von Trimagnesiumsulfat 215; Uransalze der Alkalien 293; Krystallform von Guanidinverbindungen 329 f.; m-Mononitrobenzalchlorid 399; Krystallform von Dichloracetan-Natriumsulfid 608; Krystallform von Dibrompropionsäuren 687, von Bromacrylsäure und bromacrylsaurem Kalium 690; Krystallform von malonsauren Salzen 699 f., von Malonaminsäure 701; Krystallform von Jod- und  $\alpha$ - $\beta$ -Dibrombuttersäure, von Amidoisobuttersäure 705; Krystallform von lactonsaurem Calcium 747; Krystallform von p-Nitro-monobromzimmtsäureäthyläther 808; Krystallform von sulföessigsaurem Baryum 859.

**82:** krystallographische Untersuchung des sauren Calciumphosphats 271; krystallographische Messungen von Magnesiumphosphaten und -arseniaten 273 f.; krystallographische Untersuchung von Monodichromphosphat 305 f.; krystallographische Untersuchung organischer Substanzen 362 bis 366; Krystallformen des Phenylsulfosemicarbazids 606, des o-Hydrazinbenzoesäureanhydrids 607 f.; Krystallformen von saccharinsaurem Kalium, von Saccharon 1122 f.; Dolomit gegen Essig- und Citronensäure 1534 f.

**83:** Krystallform von Ammoniummonosulfomolybdat 377; krystallographische Untersuchung des Phenylimidopropionitrils 482; Krystallform des salzsauren Phenyläthylamins 703; krystallographische Untersuchung des Phenyläthylenoxyds 870, des Acetophenonacetins 871; Krystallform des schwefelsauren Diamidophenols 912; Krystallform des o-Mononitrophenylmilchsäurealdehyd-Aldehyds 970; Krystallform des Dibenzoylmethans 984; Krystallform des neutralen bernsteinsauren Kaliums 1081; Krystallform der Methyläthylamidoessigsäure, der Chlorwasserstoffsäure-Methyläthylamidoessigsäure 1089, der Schwefelsäure-Methyläthylamidoessigsäure 1089 f., des methyläthylamidoessigsauren Kupfers 1090; Krystallform der Hydro-p-cumarsäure 1171, der Dinitrohydro-p-cumarsäure 1171 f.; Krystallform von Zimmtsäurederivaten:  $\beta$ -Monobromzimmtsäure, Phenyltribrompropionsäure 1176; polymere  $\beta$ -Monobromzimmtsäure 1176 f.; Phenyltribrompropionsäure aus polymerer  $\beta$ -Monobromzimmtsäure, Benzoylimidozimmtsäure, Phenylglycerinsäure 1177; chlorwasserstoffsäures Tyrosin 1177 f.; Krystallform des Chlorwasserstoffsäure-Chinolinmonocarbonensäure-Platinchlorids 1212; Krystallform der Benzoyltetramethylen-carbonsäure 1219, der Benzoyltrimethylen-carbonsäure 1219 f.; Krystallformen dreier Modificationen der Chinaldimono-sulfosäure 1288 f.; Krystallform des  $\alpha$ -Oxyhydromethylchinolins 1316, des chlorwasserstoffsäuren  $\alpha$ -Oxyhydromethylchinolins (Kairins) 1317; Krystallform des p-Methylchinaldins 1324;

Krystallform des Saccharonnatriums, des Saccharonammoniums 1364, des Isosaccharins 1364 f., des m-Saccharins 1365.

**84:** krystallographische Untersuchung des sauren unterphosphorsäuren Calciums 360; Krystallform von o-Xyloldibromid 581, von o-Mononitrotetramethyldiamidotriphenylmethan 759, des Brillantgrüns (schwefelsaures Tetraäthyldiamidotriphenylcarbinol) 759 f., von o-Mononitrotetraäthyldiamidotriphenylmethan 760, von Hexaäthyltriamidotriphenylmethan 772, von Oxyhydroäthylchinolin 776, von salzsaurem o-Oxyhydroäthylchinolin 777, von Monobromäthoxyhydrochinolin 778, des Monobromids des Aethylkairins 779, von ( $\alpha$ -) Aethyl- $\beta$ -methylchinolin 787, von p-Monochlorchinaldin 789, von o-Oxychinaldin 789 f., von Dimethylchinaldin 790, von bersteinsäurem Baryum 1125, von Monoallylmalonsäure 1160 f., von Phenylelessigsäure 1215, von Phenylpropionsäure 1259, von o-Oxyhydroäthylchinolin 1368, von Kairin, von Monobromäthoxyhydrochinolin 1369, von Aethylkairinnonobromid 1370, von m-Saccharin 1406; Untersuchung über mikroskopische Analyse 1551.

**85:** Krystallform von Benzoyltrimethylencarbonsäure 578; Krystallform des m-Xylylenbromids 742 f.; Krystallform der  $\beta$ -Methylchinolin-carbonsäure 976; Krystallform des salpetersäuren und salzsauren  $\alpha$ -Normalpropyl- $\beta$ -äthylchinolins 1009; Krystallform der beiden isomeren  $\alpha$ (Py)-m(B)-Dichinolyline 1021; Krystallform des Malon-p-toluidinsäure-Aethyläthers 1346, des Oxyhexamethylen-dicarbonsäure-Aethyläthers 1349; Krystallform der Trimethylen-dicarbonsäure 1392; Krystallform der Diallylmalonsäure 1436; Krystallform des p-Nitrophenyl- $\beta$ -äthoxynitropropionsäure-Methyläthers, des p-Nitrophenyl- $\beta$ -äthoxynitropropionsäure-Aethyläthers 1506; Krystallform des Benzalbenzoylessigäthers 1515; Krystallform des p-Nitrobenzoylessigsäureäthyl- und -methyläthers 1521 f.; Krystallform der  $\alpha$ -Propyl- $\beta$ -chlorzimmersäure und der  $\beta$ -Methyl- $\alpha$ -chinelincarbonsäure 1538; Krystallform des p-Mononitrobenzoyltetramethy-

lencarbonsäureäthers 1547; Krystallform des Diphenylfurfurandicarbonsäurediäthyläthers 1556; mikroskopische Reactionen zur Erkennung des Baryums, Strontiums, Berylliums, Chlors, Chroms, Lithiums, Magnesiums, Molybdäns, Vanadins, Wolframs 1880.

**86:** Krystallform von Monocalciumsubphosphat 352; Krystallform der  $\alpha$ -Propyl- $\beta$ -chlorzimmersäure 1464; Krystallform von Aethenyltriamidotoluol 847; Krystallform des Lävulosecyanhydrins 1768, des Lactons der Dextrosecarbonsäure 1769, des Lactons der Arabosecarbonsäure 1771; mikrochemische Analyse 1891.

**Haushofer (K.) und Fresenius (W.), 79:** krystallographische Bestimmung unterphosphorigsaurer Salze 226.

**Haushofer (P.), 82:** krystallographische Untersuchung des Pentanatriumdisubphosphats 246; Zersetzung des Pyromorphits 336.

**Hausmaninger (V.), 83:** Veränderlichkeit des Diffusionscoefficienten zwischen Kohlensäure und Luft 104. **Haufsmann,** siehe Lauber.

**Haufsner (G.), 88:** Minjak-Lagambalsam 1425 f.

**Hautefeuille, 78:** Bildung von Ozon durch kalte Entladung 20; siehe Troost.

**Hautefeuille (P.), 77:** Albit, Orthoklas 1336.

**78:** Darstellung von Tridymit 1212 f., von Quarz 1213.

**80:** vanadsäure Salze 339 f.; Leucit 1445; Orthoklas- und Quarzgemenge 1471.

**81:** Zinkblenden (Wurtzit) 1349; siehe Cailletet (L.); siehe Troost (L.).

**Hautefeuille (P.) und Chappuis (J.), 80:** Ozon 239 f.; Umwandlung des Sauerstoffs in Ozon 240 f.; flüssiges Ozon 242 f.

**81:** Nitrification (Uebersalpetersäure) 183 f.

**82:** Rückbildung von Ozon in Sauerstoff durch elektrische Auströmung 140; flüssiges Ozon 222 f.; Darstellung und Formel der Uebersalpetersäure 242 f.

**84:** Bildung einer chemischen Verbindung aus einem Gemisch von Sauerstoff und Chlor durch das Effluviu 273.



Hautefeuille (P.) und Margottet (J.), **81**: Lithiumsilicate (Olivin, Hypersthen) 1381.

**83**: Darstellung krystallisierter Phosphate durch Anwendung von Metaphosphorsäure und Silberphosphat als Lösungsmittel 319 bis 321; Verbindung von Phosphorsäure mit Kieselsäure, von krystallisierten Silicaten der Zirkonerde, von krystallisierten Pyro- und Orthophosphaten, intermediären Phosphaten und Doppelsalzen der Phosphorsäure unter Anwendung von Metaphosphorsäure und Silberphosphat als Lösungsmittel 321 bis 323.

**84**: Löslichkeit der Kieselsäure in Phosphorsäure 374 f.; Kieselphosphorsäure 375.

**86**: Verbindungen der Phosphorsäure mit Titan-, Zirkon- und Zinn-dioxyd 446 f.

Hautefeuille (P.) und Perrey (A.), **84**: drei Modificationen des Phosphorsäureanhydrids 358 f.; Absorption von Phosphor und Arsen durch Metalle 1719.

**85**: Verhalten von Aluminiumchlorid gegen siliciumhaltiges Aluminium 474 f.; Darstellung von Oxychloriden des Aluminiums 475 f.

Havemann (Ch.), **86**: Gewinnung von Blei aus schwefelhaltigen Bleierzen 2041.

Hawes (G.), siehe Lasaulx (A. v.).

Hawes (G. W.), **77**: Eisen im Dolerit 1257; Venerit 1319.

**79**: Augit und Hornblende 1226 f.; Pseudomorphose und Anorthit 1244; Untersuchung von Diabas, Diorit, Syenit, Olivindiasbas 1251.

**81**: Gas- und Flüssigkeitsblasen im Rauchquarz 1357; Metamorphismus zwischen Granit und Schiefer 1418.

Hawliczek (J.), siehe Lippmann (E.).

Hay (M.), **83**: Pflanzenalkaloide und ihre Scheidung 1308; Alkaloid aus *Cannabis indica* 1355.

**85**: Nitroglycerin gegen alkoholisches Kali 1172 ff.; Einwirkung von Ammoniak, kohlensaurem Kalium, secundärem, phosphorsaurem Natrium, Salzsäure, Schwefelsäure, Schwefelwasserstoff, Schwefelalkalien auf Nitroglycerin 1174; Darstellung von Nitroglycerin 1174 f.; Eigenschaften 1175; quantitative Bestimmung desselben 1175 f.

Hay (M.) und Masson (O.), **85**: elementare Zusammensetzung des Nitroglycerins 1178.

Haycraft (J. B.), **84**: Einwirkung eines Secretes des Blutegels auf die Blutgerinnung 1481.

**86**: Bestimmung der Harnsäure 1957.

Hayduck (M.), **80**: Hefe 1352.

**81**: Gährungsfähigkeit der Hefe 1144 f.

**82**: Verhalten der Hefe gegen Säuren 1249; Herstellung von Presshefe, Einfluss des Alkohols auf Hefe 1450.

**84**: Untersuchung über Bierhefe 1530.

**85**: Degenerierung der Hefe, Würzezusatz zu degenerierter Hefe 1872; Bedeutung des Hopfens für die Haltbarkeit der Biere 2156 f.

Hayem (G.), **78**: Fibrinbildung im Blute 1000.

**81**: Wirkungen des Sauerstoffs 1061.

**84**: Einwirkung giftiger und medicamentöser Stoffe auf das Hämoglobin 1484.

**86**: Umwandlung des Hämoglobins in Methämoglobin 1845.

Hayes und Bracket, **86**: Reduction von p-Nitro-o-toluolsulfosäure 1040.

Hayes (H. V.), siehe Trowbridge (J.).

Hayes (H. V.) und Trowbridge (J.), **85**: Beobachtung über das Schwanken der Stromstärke an einem Registrirapparate 242.

Hayn (K. v.), siehe Garzarolli-Thurnlackh (K.).

Hazard (J.), **84**: Verhalten von gesteinsbildenden Silicaten gegen Schwefelsäure bei hohem Druck 1552.

Hazen (H. A.), **85**: Condensations-hygrometer und Psychrometer 2002.

Hazura (K.), **83**: Mononitroresorcinmonosulfosäure 1252 f.; Monoamidoresorcinmonosulfosäure 1253.

**84**: Mononitroresorcinsulfosäure 1330.

**86**: Oxydation der Leinölsäure: Linusinsäure: Bromderivate der Hanfölsäure 1404; siehe Bauer (A.); siehe Benedikt (R.); siehe Weidel (H.).

Hazura (K.) und Benedikt (R.), **85**: Darstellung von Chlor- und Bromderivaten des Phloroglucins 1259 f.; Phlorobromin, Hexabromphloroglucindibromid 1259; Tribrom-

phloroglucin, Hexahydrotrichlor-  
phloroglucin, Trichlorphloroglucin  
1260.

Hazura (K.) und Julius (P.), **84**:  
Untersuchung des Nitroresorcin-  
äthers, Resorcinäther (Diresorcin-  
äther) 981 f.

Headen (W. P.) und Sadler (B.),  
**85**: Anwendung des Marsh-Ber-  
zelius'schen Arsennachweises zu  
quantitativen Bestimmungen 1919 f.

Heaton (C. W.), **84**: Wasserunter-  
suchung 1701.

Hedebrand (A.), **82**: Chinon, Hydro-  
chinon, Toluhydrochinon gegen Anilin,  
Toluidine: Hydrochinon-Anilin, -p-  
toluidin, Toluhydrochinon-Anilin, -p-  
toluidin; Chinon gegen Nitroaniline:  
Chinon-Nitroanilide Chinondinitro-  
anilid, Toluchinon-o-Nitroanilin 778;  
siehe Zincke (Th.).

Hebebrand (A.) und Zinke (Th.),  
**83**: Chinon gegen Ammoniak 1000 f.;  
Dianilido-Chinon gegen salpetrige  
Säure, o- und p-Ditoluido-Chinon  
1001.

Hebenstreit (C.), **77**: Schwarzwälder  
Urgesteine 1357.

Hébert, **80**: Serpentinfels 1501.

Hebré (E.), siehe Varenne (E.).

Hecht (H.), **86**: Methyl- und Naphtyl-  
amide der Citronensäure 1378 f.

Hecht (O.), **78**: über die Oxydations-  
produkte des  $\beta$ -Hexylens 377; über  
Hexoylen 379; über Hexylenderivate  
aus Mannit 415 f.

**81**: Isoheptylsäure aus  $\beta$ -Hexyl-  
jodid 750 f.; Isoheptylsäureester 752.

**82**: Löslichkeit des normalen  
butters. Kalkes 831 f.; siehe Iwig (Fr.).

Hecht (O.) und Iwig (Fr.), **81**: Oxy-  
dation von Mannit 515.

Hecht (O.) und Munier (J.), **78**:  
Darstellung von Hexylenglycol 527;  
Isoheptylsäure 728.

Heckel (E.), **78**: Keimung der Pflan-  
zen 945 f.

**79**: Strychninwirkung 996 f.

**80**: Keimung 1051.

**83**: Untersuchung von Mesem-  
brianthemum crystallinum 1415.

Heckel (E.) und Haller (A.), **78**:  
Extract der Blätter von *Potalia amara*  
974.

Heckel (E.), Mourson (J.) und  
Schlagdenhauffen (F.), **82**: Unter-  
suchung von Globularien: Globularin;  
Globularetin 1164 f.

Heckel (E.) und Schlagdenhauffen  
(Fr.), **81**: m'boundou (*Strychnin*)  
1066.

**82**: Analyse der Kolanüsse von  
*Sterculia acuminata*: Caffein, Theo-  
bromin, Kolarath 1162 f.

**83**: Bestandtheile der Globularien  
(*Globularia alypym* und *Globularia*  
*vulgaris*) Globularin und Globularetin  
1413.

**84**: Untersuchung der afrika-  
nischen Kola's 1460; Alkaloid aus  
*Zanthoxylum Caribaeum* 1464.

**85**: Untersuchung der *Artemisia*  
*gallica* 1814 f.; Untersuchung der  
Wurzel von *Danais fragrans*: Danain  
und Danaidin, Untersuchung der  
Doundakérinden (Doundakin) 1815 f.;  
Guttapercha aus *Bassia Parkii* 1823.

**86**: Vorkommen von Cholesterin,  
von Lecithin in Pflanzensamen 1811.

Heckmann (J.), **83**: Natracetessig-  
äther gegen Dinitrobroombenzol: o-p-  
Dinitrophenylacetessigsäure - Aethyl-  
äther 1147 ff.; Verbindung  $C_{21}H_{18}N_6O_{15}$   
1148 f.; Kaliumverbindung derselben  
1149.

Hedde (F.), **83**: Analyse des Arago-  
nits von Leadhills 1851.

Heddle (F.), **78**: Analysen schottischer  
Feldspathe 1261 f.

**79**: gediegenes Eisen 1180; chrom-  
haltige Magneteisensande, Brucit-  
analyse 1189; Igelströmit 1190; Car-  
bonathe der Kalkspathreihe 1191;  
Hibbertit 1193; Epidotanalysen 1208;  
Granaten 1215; Margarodit 1222;  
Kämmererit 1222 f.; Serpentine und  
Serpentinabeste, Talk 1225; Diallag  
1227; Hornblendens 1228; Prehnit  
1232; Kaolin 1236.

**80**: Granaten 1442; Augite 1454;  
Hornblendens 1463.

**81**: Titaneisen 1356; Cyanit 1378;  
Epidot 1380; schottische Glimmer  
1384 f.; schottische Chlorite 1386 f.;  
Talk, Serpentin 1389; Anthophyllit  
1393; Xantholith, Abriachanit 1405 f.;  
Bergleder, Bergkork, Pilolith 1406.

**82**: schottische Mineralien 1583.

**83**: Analysen schottischer Mine-  
ralien (Iserin, Magneteisen, Martit)  
1837 f.; Analyse eines Turgits von  
der Insel Kerrera, Argyllshire 1845;  
Analysen von Andalusiten und von  
Fibrolith 1872; Zoisitanalysen, Ana-  
lyse des Withamiths (Epidots) von  
Glencoe 1873; Analyse eines Vesu-

viankrystalle von Dalnabo, Schottland, Olivinanalysen 1875; Analyse des Granats von den Leiter Musselklippen, Schottland 1880 f.; Analysen schottischer Skapolithe 1884; Analysen schottischer Steatite 1887; Analyse des Paulits von Craigh Buroch, Schottland 1888; Analyse von schottischen Orthoklasen und Oligoklasen 1898; Analyse des Pinit und Chlorophyllits vom Ufer des Burn of Craig, des Gigantoliths von Torry, Schottland 1894; Analyse des Xenoliths von der Insel Mull, Schottland 1895; Analyse eines dem Sausurit ähnlichen Minerals von Lendalfoot, Schottland 1900; Analyse eines Röhthels (eisen-schüssigen Thones) von Elgin (Schottland 1901 f., des Halloysits von Elgin, Schottland 1902; Analyse zweier Sphenvarietäten von Shinness, Schottland 1904; Analysen schottischer Mineralsubstanzen (Plinthit, Ferrit, Craigtonit, Ellonit) 1911 f.

**84:** Untersuchung von Magnet-eisen 1901, 1920; Analyse von Ilmenit 1913, von Strontianit 1933, von Babbingtonit 1967, 1971 f.; von Mesolith 1978, eines Silicats aus dem Syenit 1991, von Titanit 1992.

Hedelius (E.), siehe Pettersson (O.).  
Heen (de), **81:** Dimensionen der Moleküle 9.

Heen (P. de), **82:** Ausdehnung von Flüssigkeiten 65 f.; Beziehung zwischen Dehnbarkeit und Schmelzbarkeit, Prioritätsanspruch 101.

**83:** spezifische Wärme einiger fester organischer Verbindungen 118.

**84:** Formel für die Ausdehnung der Gase und Flüssigkeiten 101; innere Reibung (Viscosität) von Flüssigkeiten 107 f.; Diffusionscoefficienten von Salzlösungen, Apparat zur Bestimmung 145 f.; Beziehung zwischen dem Ausdehnungscoefficienten der Verdampfungs- und spezifischen Wärme der Körper in flüssigem und dampfförmigem Zustande 167 f.; Formel für die Wärmeausdehnung von Flüssigkeiten 185.

**85:** Tension gesättigter Dämpfe; Molekularwärme 74 ff.; Ausdehnung, Verdampfungswärme und spezifische Wärme von Flüssigkeiten 105; Bestimmung der Compressibilitätscoefficienten für Flüssigkeiten 106 ff.; Beziehung der Dampfspannung von

Flüssigkeiten zu der Größe ihrer molekularen Geschwindigkeit und ihrer Reibungscoefficienten 110.

**86:** innere Reibung (Viscosität) von Flüssigkeiten 117 f.; Ausdehnung der Flüssigkeiten 124 ff.; theoretische Formel für die elastische Kraft der Dämpfe als Function der Temperatur 173 f.; spezifische Wärme chemischer Verbindungen 193.

Heeren (F.), **77:** Galvanoplastik 1128.  
Heeren (Fr.), **81:** Fettgehalt der Milch (Pioskop) 1226.

Heesen und Mitchinson, **86:** Desinfektionszunder 2115.

Hefelmann (B.), **85:** Bildung von Hydrocyanocarbodiphenylimid, Thioharnstoffe gegen Quecksilbercyanid 648 f.; Darstellung von Sulfobenzid, Amidophenylsulfon, Amidoacetylphenylsulfon, Diamidoacetylphenylsulfon 1590; Monooxyphenylsulfon, Dibrommonooxyphenylsulfon, Didiazophenylsulfon, Dioxiphenylsulfon 1591.

Heffter, **84:** Stickstoffbestimmungsmethode von Kjeldahl 1610.

**86:** Reinigung der Rübensäfte 2125.

Heffter (A.), siehe Limpricht (H.).

Heffter (L.), **86:** Herstellung von trockenem Alizarin 2205 f.

Hefner-Altenbeck (F. von), **84:** Leuchtkraft einer Amylacetatflamme als Lichteinheit 281.

Hegel (S.), **86:** Tolindole aus den Verbindungen der Brenztraubensäure mit Methyl- und Aethyl-o- und -p-tolyldiazin: Darstellung von Methyl- p - tolyldiazinbrenztraubensäure 1127 f.; Umwandlung derselben in Methyl-p-tolindolcarbonsäure, Methyl-p-tolindol und Methylpseudo-tolisin 1128; Darstellung von Aethyl- p - tolyldiazinbrenztraubensäure 1128 f., von Aethyl-p-tolindolcarbonsäure, Aethyl-p-tolindol und Aethylpseudo-p-tolisin 1129; Methyl-o-tolindolcarbonsäure 1129 f.; Methyl-o-tolindol; Methylpseudo-o-tolisin 1130; siehe Fischer (O.).

Hegelmaier, **78:** Zuckerraffination 1149.

Héger (P.), **80:** Leber gegen Alkaloide 1123.

Hebner (O.), **77:** Analyse von Wasser 1036; Butterfettanalyse 1095.

**78:** Quelle bei der Capstadt 1314.

**79:** Chloroform gegen die Entwicklung der Bacterien und Umwand-

- lung der Salpetersäure in Ammoniak 221; Untersuchung der Kaffeeblätter 919; Phosphorsäurebestimmung 1038; Bestimmung des Traubenzuckers 1088.
- 80:** Zimmitrinden 1071 f.; Bestimmung von Sulfaten 1156; Alkoholprocente 1206; Zinn in Nahrungsmitteln 1343 f.; Phosphorsäure in Wässern 1508 f.
- 82:** Fettbestimmung in der Milch 1342 f.
- 83:** Analyse von Neuseelandkohle 1553; Wachsanalyse 1641 f.; Nachweis der Verfälschungen des Wachses 1642.
- 84:** Analyse von Honig 1669 f.; Bestimmung der Buttersäure in der Butter, Buttersäureanalyse 1676; Analysen von Wachsorten 1821 f.
- 85:** Bestimmung der Härte des Wassers (vorübergehende und bleibende Härte) 1897; Phosphorsäurebestimmung im Honig 1981 f.; Analyse von Fleischpräparaten 1991.
- Hehner (O.) und Carpenter (H. L.), **83:** Analyse von Sulfocarbonat 1557.
- Heide (W. van der), **85:** cumulative Wirkung des Digitalins und Helleboreins 1851.
- Heiden, **85:** Conservierung des Stickstoffs im Stalldünger 2129.
- 79:** Stickstoffzufuhr 1122.
- 81:** Absorptionsfähigkeit des Bodens 1283.
- Heidepriem (E.), **77:** spec. Gewicht und Stärkegehalt der Kartoffeln 1208.
- Heidberg (Th.), siehe Heumann (K.).
- Heidler (J.) und Rosser (J.), **85:** Galvanisiren von Eisen 2033.
- Heighway (A. E.), **77:** spec. Gewicht von Salzen 45.
- Heik, **81:** Sprengstoffe aus Nitroglycerin und Honig 1273.
- Heim (O.), **86:** Leitungswiderstand übersättigter Salzlösungen 269.
- Heim (L.), **81:** Arsenwirkung 1062.
- Heim (R.), **83:** Umwandlung von Phenolen in Nitrile: Benzonnitril, p- und o-Tolunitril 877;  $\alpha$ - und  $\beta$ -Naphtonitril 878; Phenoläther der Phosphorsäure: neutraler Phosphorsäure-Phenyläther 1303 f.; neutrale Phosphorsäureäther des o- und p-Kresols 1304; neutrale Phosphorsäureäther des  $\alpha$ - und  $\beta$ -Naphtols 1304 f.; siehe Merz (V.); siehe Weber (A.).
- Heindl (J. B.), **81:** Verbindung des Chlorcalciums mit Alkoholen 211.
- Heine (F.), **83:** Untersuchung von Kartoffelsorten 1745.
- Heine (H.), **82:** Absorption der Wärme durch Mischungen von Kohlensäure mit Luft 115.
- Heine (K.), **80:**  $\gamma$ -Oxyisophtalsäure 863 f.
- Heinecke, **84:** Versuche mit Steingutglasuren 1757.
- Heinrich, **78:** Sachsse's Methodeder Bestimmung von Dextrose und Invertzucker 1077.
- Heinrich (Ch. F.), **80:** elektrische Lampe 1245.
- Heinrich (O.), siehe Erlenmeyer (E.).
- Heinsius (A.), **84:** Verhalten der Eiweißstoffe zu Salzen 1413.
- Heintz (E.), **77:** Cacao und Chocolate 1206.
- Heintz (W.), **77:** Reduction durch Knochenkohle 237; Diacetamin-derivate, Isotriacetamin 441; Dehydrotri- und -pentacetamin, Diacetaminchlorhydrat gegen Blausäure, Amidotrimethylbutyllactid 443; Nitrosotriacetamin 444; Phoron 632;  $\beta$ -Amidopropionsäure 700.
- 78:** über Amidotrimethoxybuttersäure 443; Bildung von Amidobuttersäure, Amidotrimethoxybutyronitril und Amidotrimethoxypropylcarbamin bei der Einwirkung von Blausäure auf salzsaures Diacetamin 444 f.; über die Bildung des Vinyl-diacetamins 445 f.; über Benzal-diacetamin 446 f.; Darstellung von Vanillodiacetamin 447.
- 79:** Harnstoffchloroplatinat 341; chromsaures Triacetamin 411; Oxydation von Di- und Triacetamin 617 f.; Constitution des Triacetamins 621.
- 80:** Goldchlorid-Harnstoff 421 f.; Triacetamin gegen Jodäthyl 508 f.; Acetonin, Nichtexistenz 509 f.; schwefelhaltige Acetonbase 511; Diäthylidenlactamidäure 817.
- Heintze (O.), **85:** Krystallform und optisches Verhalten von Trinitropxylol 773 f.; Krystallform des Trimethyl-m-chlorphenylammoniumbromids und -chlorids 907; Krystallform von p-Tolyltrimethylammoniumjodid 911; Krystallform von Triäthylentriitoltriamin 929; Krystallform der Nitrodiäthyl-m-amidobenzoësäure 1454; Krystallform des isophtalsäuren

- Baryums 1502; Krystallform von Traubenzucker-Chlornatrium 1742.
- Heintzel, **84**: Prüfung von Cementen 1755.
- Heintzel (C.), **83**: Untersuchung von Portlandcement auf beigemengte Hochofenschlacke 1552 f.; Untersuchung von Portlandcement auf Verfälschung mit Schlackenmehl 1707 f.
- Heinze (R.), **78**: Ultramarinbereitung 1178.
- Heinzelmann, **83**: Hefe gegen Salicylsäure 1737 f.
- Heinzelmann und Altmann, **78**: Bestimmung der Gruppe  $\text{NO}_2$  in Nitroderivaten mit Zinnchlorür 1073.
- Heinzelmann und Spiegelberg, **79**: Pentabrombenzolsulfosäure 743 f.
- Heinzelmann (G.), **77**: isomere Nitrodisulfobenzolsäuren 843; isomere Amidodisulfobenzolsäuren 844; Diazosulfobenzolsäuren 845:  $\beta$ -Bromdisulfobenzolsäure 847;  $\alpha$ -Bromamidodisulfobenzolsäure,  $\alpha$ -Dibromamidodisulfobenzolsäure,  $\alpha$ -dibromdiazodisulfobenzolsäure. Kalium,  $\alpha$ -tribromdisulfobenzolsäure. Kalium 848; siehe Delbrück (M.).
- Heinzelman (R.), **78**: Dehydro Schleimsäure 728.
- Heinzemann, **79**: Chromsäure von der Anthracenoxydation 1172.
- Heinzerling (C.), **80**: Gerberei mit Chromsalzen 1374.
- Heisch und Folkard, **86**: Luftpyrometer 2148.
- Heisch (C.), Young (W. C.) und Wigner (G. W.), **77**: Verbrennungsproducte von Kohlengas 1032.
- Helbig, siehe Schaffner.
- Helbig (W.), siehe Schaffner (M.).
- Held (A.), **84**: Darstellung von Methyl- und Aethylacetylcyanaessigsäure-Aethyläther 1121 f.; siehe Haller (A.).
- Helkenberg (E.), siehe Tiemann (F.).
- Hell (C.), **80**: Lignocerinsäure 831 f.
- 84**: Bestimmung des Molekulargewichtes höherer Fettalkohole 56 f.; siehe Chasanowitz (L.); siehe Dieterle (W.); siehe Fehling (H. v.); siehe Gantter (Fr.).
- Hell (C.) und Gantter (F.), **81**: Bromirung zweibasischer Säuren (Mono- und Dibrombernsteinsäure) 657 f.
- Hell (C.) und Kehr (E. A.), **84**: Einwirkung von Brom auf Lävulin-säure ( $\beta$ -Acetopropionsäure) 1141.
- Hell (C.) und Lumpp (G.), **84**: Darstellung von Normalbutylmalonsäure (isomere Pimelinsäure) 1168 f.
- Hell (C.) und Medinger (E.), **77**: Säure aus Rohpetroleum  $\text{C}_{11}\text{H}_{20}\text{O}_2$ , Nonylsäure (?) 727.
- Hell (C.) und Mühlhäuser (O.), **77**: Essigsäurebromid 677.
- 78**: Essigsäuredibromid, Einwirkung von Brom auf Essigäther, auf Ameisensäure 675.
- 79**: Essigsäurebromid 596 f.
- 80**: Korksäuren 826 f.
- Hell (C.) und Rempel (B.), **85**: Derivate der Normalkorksäure 1430 bis 1432: Monobrom- und Dibromkorksäure gegen Alkalilauge 1430; Aethoxykorksäure, Oxykorksäure, Oxykorksäureanhydrid, Suberconsäure 1431; Diäthoxykorksäure, Subercol-säure (Suberconsäure) 1432.
- Hell (C.) und Ritter (Ad.), **84**: Untersuchung der Einwirkung von Halogenwasserstoffsäuren auf Wurm-samenöl 1469 f.
- Hell (C.) und Schopp (P.), **79**: Tolylendiamin 436 f.; Amydecylen-säure 671.
- Hell (C.) und Schüle (G.), **85**: Darstellung einer neuen isomeren Kork-säure, der Normal-Pentylmalonsäure 1434 bis 1436: Monobromönanthyl-säureäther, Salze der n-Pentylmalon-säure 1435; Constitution der Mono-bromönanthylsäure 1436.
- Hell (C.) und Stürcke (H.), **84**: Untersuchung von Wurmsamenöl 1470.
- Hell (C.) und Urech (Fr.), **80**: Brom gegen Fettsäuren 753 f.
- 82**: Verhalten des Schwefelkohlen-stoffs gegen Brom, Carbotrithiohexa-bromid 255 f.; Brom gegen Alkohole (Trimethyl- und Dimethyläthylcarbinol) bei Gegenwart von Schwefelkohlenstoff, Diagnose tertiärer Alko-hole 639.
- 83**: Verhalten von Carbotrithio-hexabromid 590 f.
- Hell (C.) und Waldbauer (A.), **77**: Monobromisobuttersäure gegen Kali, Aethoxyisobuttersäure, isomere Säuren aus Bromisobuttersäureäthyläther 705.
- Hell (G.), **84**: Morphinbestimmungen im Opiumpulver und Opiumextract 1631.
- Hellebreckers, siehe Köhler (H.).

- Hellen (A. zur) und Stahlschmidt (H.), **84**: Entphosphorung von Eisenerzen 1708.
- Hellhoff, **82**: Sprengstoffe aus Kohle, Torf, Pech, Paraffin und Salpetersäure 1410 f.
- Hellesen (Hellisen) (W.), **77**: neue Kette 153; Thermosäule 156; Rußvegetation an den Elektroden 167.
- Hellmann (H.), **88**: elektrische Entladung in verdünnten Gasen 195 f.
- Hellon (R.), siehe Oppenheim (A.); siehe Tscherniac (J.).
- Hellriegel, **86**: Düngung von Zuckerrüben 2122 f.
- Hellriegel (H.), **85**: Verhalten des Bodens zum Wasser 2118 f.
- Hellwich, Wiederhold und Merz, **77**: Schmieröle 1220.
- Helm (O.), **77**: Bernstein 965.  
**82**: Schwefelgehalt der Steinkohlen 1576.  
**85**: Prüfung des Rosenöls 1972.  
**86**: Beseitigung der Abfallstoffe in Danzig 2113 f.
- Helmersen (G. v.), **77**: Bernstein 1350.
- Helmhacker (R.), **77**: Gold 1258; Quarzporphyre und Diorite 1356; Diabas 1363.  
**79**: Glimmerpikrophyr 1249.  
**80**: Schröterit 1433; thonartige Mineralien 1471.  
**83**: Antimonhüttenprocesse 1677.
- Helmholz (H. v.), **77**: Entstehung galvanischer Ströme 153.  
**81**: Wesen der Elektrizität 87; Wirkung von Kräften auf magnetisch und dielektrisch polarisierte Körper 88; galvanische Polarisierung des Quecksilbers 101 f.; elektrodynamische Wage 105.  
**82**: freie und gebundene Energie bei chemischen Vorgängen 134 ff.  
**83**: Thermodynamik chemischer Vorgänge, Entropie, freie Energie 108 ff.
- Helmholtz (R. v.), **86**: Dämpfe und Nebel 91.
- Helms, **83**: Analyse des Wolframs von Inverell, Neusüdwaales, und des Scheeliths von der Victoria Reef-Gold-Grube, Neusüdwaales 1860 f.; Analyse des Gmelinites von Inverell, Schottland 1895.  
**84**: Analyse von Zirkon 1915.
- Helms (A.), **83**: Cinchocerotin 1360 f.; Cinchocerotinsäure 1361.
- Hélouis (N. A.), **82**: Darstellung von Sauerstoff und Wasserstoff 1390.
- Helpenstein (J.), siehe Claus (A.).
- Hembert (F.) und Henry (L.), **85**: Fabrikation von Wasserstoff 2050 f.
- Hemilian (V.), **80**: Naphtyldiphenylmethan, Diphenylenphenylmethan Diphenyl-p-xylylmethan 462.
- Hemilian (W.), **78**: Darstellung von Diphenylenphenylmethan 403 f., von Diphenyltolylmethan 404.  
**83**: Diphenyl-p-xylylmethan und Oxydationsproducte 562 bis 568: Methyltriphenylmethan, Methyltriphenylmethancarbonsäure 563; Methylphenylanthranol, Methylphenyloxanthranol 564; Methylphenylanthracen, Methyltriphenylmethan 565: Triphenylcarbinolcarbonsäure, Methyltriphenylcarbinolcarbonsäure 566; Triphenylmethananhydro-, Triphenylmethandicarbonsäure 567 f.
- 84**: Diphenyl-p-xylylmethan-Abkömmlinge, Oxydationsproducte 552.
- 86**: Darstellung und Untersuchung von Diphenylxylymethanen: Diphenyl-m-xylylmethan 615; Oxydation desselben mit Chromsäure: Methyltriphenylmethan und Derivate, Methyltriphenylcarbinol-o- und Methyltriphenylmethancarbonsäure 616 f.: Methylphenyloxanthranol, Diphenylphtalidmonocarbonsäure (Triphenylcarbinolanhydroidicarbonsäure) und Derivate, Triphenylmethandicarbonsäure 617 f.; Diphenyl-o-xylylmethan 618 f.; Oxydation desselben: Triphenylcarbinoldicarbonsäure und Salze 619 f.
- Hemilian (W.) und Silberstein (H.), **84**: Untersuchung von Triphenylamidomethan 751 bis 756: Monoacetyltriphenylmethylamin, Ditriphenylmethylamin, Monomethyltriphenylmethylamin 753; Dimethyltriphenylmethylamin, Monophenyltriphenylmethylamin 754; Triphenylmethylaminidiodid, Verhalten des Triphenylmethylamins gegen die Halogene 755; Monomethyl-, Dimethyltriphenylmethylamin-Jodadditionsproducte, Monophenyltriphenylmethylamin, Verhalten gegen Brom 756.
- 85**: Untersuchungen über Amidotriphenylmethan 925.
- Hemmann (G.), siehe Claus (A.).
- Hempel (W.), **77**: Gasofen 1101.  
**78**: Dichlorpropionsäureäther 693; gleichzeitige Bestimmung von Koh-

lenstoff, Wasserstoff und Stickstoff in organischen Verbindungen 1069 f.

**79:** Gase gegen Palladium 27; Wasserstoffbestimmung, Wasserstoff und Sumpfgas 1025; Nachweis des Kohlenoxydgases 1041; Gasofen 1085.

**81:** Aufschliessung von Silicaten 1177; Sauerstoffabsorption für Gasanalysen 1196; Bestimmung des Stickstoffs im Nitroglycerin, Schiefsbaumwolle, Celluloid 1201 f.; Apparat zur fractionirten Destillation 1233.

**82:** Absorption der Gase durch vulcanisirtes Gummi 1258; Bestimmung von Stickoxydul 1270; Conservirung von Gummigegenständen 1464 f.

**84:** Einfluss der chemischen Natur und des Druckes der Gase auf die Elektricitätsentwicklung der Influenzmaschine 234 f.

**85:** Influenz - Elektrisirmaschine 226; Verhalten der verschiedenen Modificationen des Kohlenstoffs gegen Eisen 453; Sauerstoffbestimmung in der atmosphärischen Luft 1892; Titration von Eisenerzen 1933; Filterpresse, Abzüge, Apparate zur Darstellung von Flußsäure, Kieselfluorwasserstoffsäure und Sauerstoff 1996.

Henatsch (W.), **80:** Bauxit 1414.

Henderson, siehe Clark (J.).

Hengstenberg (R.), **83:** Herstellung von Essig 1700.

Henius (M.), **81:** Benzil gegen Ammoniak (Imabenzil, Benzilam, Benzilimid) 654.

**85:** Ammoniakderivate des Benzils 1648.

Henke (G.), **83:** Colocyntbin aus Koloquinten 1368 f.

**86:** Untersuchung des Milchsaftes einiger Euphorbiaceen (Euphorbin) 1820 f.

Henking, siehe Bissinger.

Henne (L.), **85:** Gewinnung von Aluminium 2016.

Henneberg, siehe Pfeiffer (Th.).

Henneberg (W.) und Stohmann (F.),

**85:** Bedeutung der Cellulose-Gährung für die Ernährung der Thiere 1827.

Henneguy, **80:** Phylloxera 1068.

Hennekeler (A. v.), **85:** Zuckerfabrikation 2142.

Hennig (R.), **86:** Volumänderungen von Messing, Zink, Kupfer und Eisen 64 f.

Henniges (L.), **82:** krystallographische Untersuchung organischer Substanzen 367; krystallographische Untersuchung von Durol 418 f.; Krystallformen des Tribrommesitylens 446; Krystallform der symmetrischen Dinitrobenzoesäure und ihres Natriumsalzes 902; Krystallformen des sulfanilsauren Natriums und Baryums 1002.

Henninger (A.), **78:** Peptone 935.

**82:** Isobutylglycol aus Bordeauxwein 1164.

**84:** Reduction des Erythrits durch Ameisensäure (Ameisenäther des Erythrits), Dihydrofurfuran, Erythran 937.

**86:** Derivate des Erythrits und Ameisensäureäthers mehrbasischer Alkohole 1174 bis 1178: Erythrol (Crotonylenglycol) und Derivate, Crotonylen (Erythren) 1175; Dihydrofurfuran und Derivate 1175 f.; Anhydride des Erythrits (Erythran 1176 f.; Chlorhydrine desselben, Diäthylerythrit 1177; Ameisensäureester des Glycols und Glycerins 1177 f.; siehe Vogt (G.); siehe Wurtz (A.).

Henninger (L.), **82:** krystallographische Untersuchung des Phtalyläthylhydroxylamins 545.

Hénocque, **86:** Hämatoskop zur Bestimmung von Oxyhämoglobin 2006 f.

Henrichsen (S.), **79:** spec. Wärme des Wassers 91; siehe Wleügel (S.).

Henrichsen (W.), siehe Ostermayer (E.).

Henrijean (F.), **83:** Rolle des Alkohols bei der Ernährung 1433 f.

Henriot, siehe Camichil.

Henriques (R.), **82:** isomere Trinitrophenole aus Dinitrophenolen ( $\gamma$ -,  $\delta$ - und  $\epsilon$ -) 673 ff.;  $\beta$ -Dinitroamidophenol 674 f.; Tetranitrodioxybenzol 675; Constitution der isomeren Di- und Trinitrophenole 675 f.; Constitution der Styphninsäure 676.

**84:** Darstellung von Monoäthyl- $\beta$ -naphtylamin, Nitrirung 790 f.; Darstellung sekundärer Amidazokörper 840 f.: Benzolazoäthyl- $\beta$ -naphtylamin, Azobenzolazoäthyl -  $\beta$  - naphtylamin 840; Benzolazophenyl -  $\beta$  - naphtylamin, Benzolazoäthyl- $\alpha$ -naphtylamin, Phenylamidoazobenzol, aromatische Nitrosoverbindungen gegen Anilin 841.

**85:** Sulfosäuren von Leukanilin und Paraleukanilin, sowie der Leukobasen der Fuchsin-schmelze 2221; siehe Friedländer (P.).

Henriques (R.) und Ilinski (M.),

**85:** Darstellung der Nitrosonaphtole 1279 f.; Nitroso- $\beta$ -naphtol 1279;  $\beta$ -Nitroso- $\alpha$ -naphtol,  $\alpha$ -Nitroso- $\alpha$ -naphtol 1280.

Henry (L.), **77:** Esterbildung 324.

**78:** Theorie der Oxydation des Diallyls durch Chromsäure und Schwefelsäure, Darstellung eines neuen Kohlenwasserstoffs des Diallylens 379 f.; über Esterbildung aus gesättigten Alkoholen der Fettreihe und organischen Säuren 516; Propargylalkohol 527; Dichlorpropionsäure-äther 693.

**79:** chemische Moleküle 14; Ox-äthylchloräthylen und Oxymethyl-trichloräthylen gegen feuchte Luft 311 f.; Destillation von trichloressig-saurem Natrium 600; Verhalten der Nitromilchsäure 608 f.

**81:** Dipropargyl und Derivate 349 f.; Allyljodid, Dibromhydrin aus Glycerin 386; Monobromdiallylen 390; Brenztraubenalkohol 506; Monobromallylalkohol 512; Propargylmethyl- und -äthyläther gegen unterchlorige Säure 513.

**82:** Einwirkung von unterchloriger Säure auf  $\alpha$ -Monochlorallylchlorid 439; Epidichlorhydrin gegen Kali:  $\alpha$ -Monochlorallylalkohol und Derivate 650 f.; Epidichlorhydrin gegen Rhodankalium, gegen Salpeterschwefelsäure, gegen unterchlorige Säure, Essigsäure- $\beta$ -Monochlorallyläther 651.

**83:** Derivate des Hexylens aus Mannit 518 bis 520; Methylenbromür 581 f.; Methanderivate 582; Halogen-derivate des Aethans 582 f.; Verhalten von Aethylenchlorobromid (Aethyl-derivate) 586 f.; Verhalten von Aethylenchlorojodid und Aethylenbromojodid 587 f.; isomere Glycoläther: Hexylenpseudoxyd 854; Hexylenoxyd aus Mannit 854 f.; Aethylenderivate des Phenols: Monochloräthylenphenyläther 882 f.; Aethylenphenyläther, Monobromallylenphenyläther, Phenylpropargyläther 883; Monochloressigsäurechloräthyläther (biprimärer Dichloressigäther) 1031; Monojodessigsäurechloräthyläther 1031 f.; Monobromessigsäurechloräthyläther 1032.

**84:** Darstellung von Monobrom-methylchloroform aus Dichloräthylenbromür oder Monochlorbromäthylenbromür mit Antimonpentachlorid, Umwandlung in Dichlormonobromäthylen, Einwirkung von Monochlorjod auf Monochloräthylen, Bildung von Dichloräthyljodid 570; Umwandlung in Monochlorjodäthylen 571; Einwirkung von Monobromäthylen auf Chlorjod, Bildung von Monochlorbromjodäthan, Umwandlung in Monochlorbromäthylen 571 und Monobromjodäthylen 572; Untersuchung von unsymmetrischem Monochlor- und Monobromjodäthylen 572 f.; Darstellung von Propargyljodid, Bildung von Jodquecksilberpropargyl, Propargyltribromid, Einwirkung von Jod und amorphem Phosphor auf Propargylalkohol: Bildung von Joddipropargylphosphit 573; Vergleichung der Löslichkeit der Säuren der Oxalsäure-reihe 1101 f.

**85:** Regelmässigkeiten bezüglich der Flüchtigkeit organischer Verbindungen von gemischter Zusammensetzung 153 ff.; Zusammensetzung der Metalloxyde 357 f.; Gesetzmässigkeiten bei den Siedepunkten der chlorirten Nitrile 623; Abhängigkeit ihres Siedepunktes vom Ersatz der Methyls durch Cyan 623 f.; Darstellung von Trimethylen-, von Aethylen-cyanid 630; Darstellung von Diäthyl-oxymethan 664 f.; Methylenchlorobromür und -bromjodür 665; Darstellung von Verbindungen (Buttersäurederivaten) aus Trimethylenchlorobromür 723 ff.; Darstellung von Trimethylenjodür, Aethylenjodür, Aethylenderivaten 725; Untersuchung der primären Haloätherivate des Aethyläthers 1162 f.: Monoäthylloxyläthylen, Glycoldiäthyläther, Monojodäthyläther, Monobromäthyläther, Bildung eines Nitrils, Aethylencyanid, Monochloräthyläther, Bromäthylidenverbindung  $\text{CH}_3\text{-CHBr-O-C}_2\text{H}_5$ , 1163; physikalische Eigenschaften der gechlorten Essigsäuren und ihrer Derivate 1329 f.; Vergleich der Schmelzpunkte der Oxalsäure und ihrer Homologen (Bernstein-, Adipin-, Malon-, Brenzweinsäure) 1333; Eigenschaften der Amide der Oxalsäurereihe 1333 f., der Dimethylamide der Oxalsäure-reihe 1334; Halogensubstitutionspro-



ducte der Propionsäure 1336 f.;  $\beta$ -Monochlorpropionsäure und Chlorid, Aethyl- und Methyläther derselben, monochlorpropionsaures Chloräthyl,  $\beta$ -Monojodpropionsäure-Methyläther und -Aethyläther,  $\beta$ -Monojodpropionamid 1336; Monojodacetamid 1337.

**86:** Vierwerthigkeit des Kohlenstoffs (Nitromethan und Acetonitril) 34 f.; Flüchtigkeit der Methylverbindungen 510; Darstellung von Monojodacetanitril, Acetoxyacetanitril, Monobromacetanitril 534; Flüchtigkeit der sauerstoffhaltigen Nitrile (Cyanaeinsäure, Cyaneisigsäure-Aethyläther, Oxynitrile) 534 f.; Malonnitril 537; Flüchtigkeit der Dinitrile 537 f.; Dioxyäthylmethylen 1173;  $\gamma$ -Monojod- und  $\beta$ -Monobrombuttersäure 1324 f.; siehe Humbert (F.).

Hengen (C.), **77:** Sulfate gegen Salzsäure 211.

**78:** Einwirkung von Salzsäuregas auf Sulfate 213, auf Doppelsulfate 214; Deacon-Proceß 1119.

**79:** Doppelsalz der Chromsäure mit Eisenoxyd und Kalium 255 f., mit Ammonium 256.

**83:** Einwirkung der Salzsäure auf wasserfreie Sulfate 280.

**84:** Doppelsalze der Chromsäure mit Manganoxydul und Kali resp. Ammoniak 401.

**85:** über Doppelsalze der Chromsäure mit Manganoxydul und Kali resp. Ammoniak 521 f.; Einwirkung von Chlorwasserstoff auf schwefelsaures Wismuth 552; Verhalten der Sulfate des Antimon- und Wismuthoxyds gegen Wasser und Salzsäure 552 ff.

**86:** Einwirkung des Quecksilberoxyds auf Ammoniumchromat 478 f.; Oxydimercuriammoniumchromat 479. Hentschel (W.), **83:** Diphenylharnstoff 492 f.; phenylirte Kohlensäureäther und deren Ueberführung in Salicylsäure, phenylkohlen. Natrium 884 f.; Kohlensäure-Phenyläther, Phenylkohlenäure-Aethyläther gegen Phenolnatrium: Salicylsäure; Bildung der Salicylsäure bei dem Kolbe'schen Proceß 885; Salicylsäure und alkylierte Phenole aus Phenylkohlenäureestern, Diphenylkohlenäureester 1701.

**84:** Darstellung und Eigenschaften von Phenylcyanat 482; Darstellung von Harnstoff aus Kohlensäurephenyl-

äther 500; Zersetzung von Carbanilid in Sulfanilsäure und Amidosulfobenzoësäure 508; Darstellung von Monochloressigsäure 1093 f.

**85:** Einwirkung von Phosgen auf Anilinchlorhydrat (Phosgenphenylcyanat, Phenylcyanat-Chlorhydrat) 590; Darstellung von Chlorameisensäureäther 1325; Einwirkung von Schwefelsäure auf Carbanilid: Sulfanilsäure, Amidobenzoësulfosäure, Amidobenzoësulfosäure-Methyläther aus Carbanilsäure-Methyläther 1452.

**86:** Derivate des Carbanilsäure-Methyläthers 1300 f.; Dibromnitroanilin, Nitrocarbanilid 1301.

Henze (A.), **78:** Oxydation des Aluminiums 244 f.

Henzold (O.), **83:** Anthracen aus Benzyläthyläther 577; siehe Kräusler (U.). Hepp (E.), **77:** Azobenzylalkohol, Azophenetole 503; Aldehyde mit Nitrilen 603.

**86:** Umwandlung von Tetrabrom- und -chlorpyrrol in Jodol 721 f.; siehe Fischer (O.).

Hepp (P.), **77:** Monomethylanilin und Derivate, Natriumacetanilid 464; Methylphenylnitrosamin 465.

**78:** Additionsproducte des Trinitrobenzols mit aromatischen Körpern 434 f.

**80:** Di- und Trinitrobenzol 495.

**82:** Monojodtrinitrobenzol aus Pikrylchlorid 444; Triutroderivate des Benzols und Toluols 454 ff.; Additionsproducte von Di- und Trinitroderivaten des Benzols und Toluols mit Kohlenwasserstoffen 457 f.; Additionsproducte aromatischer Amine mit Trinitrobenzol und  $\alpha$ -Trinitrotoluol 506; Triamidobenzol und Triamidophenol 531 f.

Hepp (G.), **81:** Essigäther, Chloroform, Alkohol, Aether 1271 f.; Nachweis von Anilinroth in Orseille 1335.

**84:** Untersuchung von Pfefferminzöl auf Coniferenöle 1666.

**85:** Nachweis des Terpentinsöls in Citronenöl, Bergamott- und Pomeranzenöl 1972.

Hepp (O.), **84:** Kupferbutyrat zur Erkennung von Petroleumverfälschungen 1819.

Heppenger (J. v.), **80:** Einfluss der Concentration auf die elektromotorische Kraft des Daniell'schen Elementes 152.

Héraud (A.), **79**: neues Element 135.  
Herbich (F.), **82**: die Meteoriten von Mocs, Siebenbürgen 1641.

**83**: Vorkommen von Eisenglanzkrystallen im Amphibolandesit des Kakukhegy, Hargitagebirge, Ungarn 1837.

Herbst (E.), **83**: Untersuchung von Chocolate 1632.

**84**: Schmelzpunkt von Cacaofett 1666.

Hercher (R.), **77**: salpetrige Säure im Trinkwasser 1133.

Hercher (R.) und Wagner (P.), **81**: Prüfung von Superphosphaten („wasserlösliche“ Phosphorsäure) 1287 f.

Herz (M.), **77**: Ketone gegen Oxydationsmittel 626; Palmiton gegen Brom 628.

Herde, **84**: Analyse von Pasa 1989.

Herde (J.), **84**: Analyse von Tarnowitzit 1935.

Herff (B. v.), **81**: Ox-o-nitranilsäure, Ox-o-nitranilid, Form-o-nitranilid 439; Anhydroxanilid 440; siehe Dabney (W.); siehe Dabney (jun. Ch. W.).

Hergt (O.), siehe Geuther (A.).

Hering (C. A.), **84**: Gewinnung von Antimon und Arsen 1703 f.

**86**: Kupferschmelzprozesse 2042 f.

Hering (K. A.), **81**: Raffinieren des Kupfers 1249.

Heringa (P. M.), **78**: Kritik der Theorien der Capillarerscheinungen \* 63.

**80**: Theorie der Capillarerscheinungen 79 f.

Herlandt (A.), **78**: officinelle Pflanzen 951 f.

Herrmann (D.) und Rutley (F.), **86**: Veränderungen künstlicher und vulcanischer Gläser durch Entglasung 2303.

Herrmann (L.), **81**: Milch gegen Thon sowie Thierkohle 1049.

**84**: Wirkung der Trichloressigsäure 1515.

Herrmann (L.) und Gendré (A. v.), **86**: physiologische Wirkung der Trichloressigsäure 1866.

Herrmann (O. M.), **86**: Beschreibung eines Meteoritenfalles auf der Tynesinsel 2328 f.

Herrmann (R.), **77**: Neptunium und Metalle der Tantalgruppe 288.

**78**: Atomvolume und spezifische Gewichte organischer Verbindungen 26.

**79**: Cermetalle, spezifische Gewichte 41.

Herrmann (R. P.), **84**: Darstellung von Zink 1696.

Hermite (E.), **85**: Bleichen von Textilstoffen und Papierzeug durch Elektrolyse von Chlornatrium 2204.

**86**: Bleichen von Faserstoffen und Papierstoff 2182 f.

Hermite (V. H.), **77**: Vulcanismus 1354.

**78**: Einheit der die geologischen Erscheinungen herbeiführenden Kräfte 1281.

**79**: Hypothese eines ursprünglichen flüssigen Zustandes der Erde 1247.

Hern (A.), **86**: Darstellung von alkylirten Amidothiobenzoëssäuren und von alkylirten Diamidothiobenzophenonen 2073 f.

Hérolde, **81**: o-Anisidin, o-Methoxyphenylammoniumhydroxyd 542.

Herold (F.), **82**: Chlor- und Nitroderivate des o-Anisidins 676 f.

Heron (J.), siehe Brown (H. T.).

Herran (A.) und Chaudé (A.), **80**: Farbstoffe aus Aminen und Nitroverbindungen 1384.

Herran und Morel, **78**: Oxydation von Kohlenwasserstoffen 1134.

Herrenschmidt (H.), **85**: Extraction von Kobalt und Nickel aus Mangenerzen und Gewinnung von Nickel aus Nickelerzen 2037.

Herrera (A.), **78**: Glycosid aus den Samen der Thevetia yccali 975.

Herrmann (A.), **86**: o-Mononitrotolylglycin, Oxydihydrotoluchinoxalin 1310.

Herrmann (F.), **77**: Succinylbernsteinsäureäther 706; Succinylpropionsäureäther 707; Hydrochinondicarbonsäure 708; Salicylsäure aus Bernsteinsäureäther 746.

**82**: Succinylbernsteinsäureäther, Succinylpropionsäure, Succinylbernsteinsäure, Chinontetrahydrür, Chinonhydrodicarbonsäure-Mono- und -Diäthyläther, Chinonhydrodicarbonsäure 893 bis 898.

**83**: Succinylbernsteinsäureäther (Chinontetrahydrürdicarbonsäure-Diäthyläther, Chinontetrahydrürmonocarbonsäure-Aethyläther 1113; Chinondihydrürdicarbonsäure - Diäthyläther 1113 f.; Constitution des Chinons und Hydrochinons 1114.

- 86:** Zusammenkrystallisiren von Chinondihydro - p - dicarbonsäure-Aethyläther und Succinylobernsteinsäure-Aethyläther 8 f.; Reduction von p-Dioxyterephthalsäureäther 1394.
- Herrmann (P.) und Tollens (B.), **85:** Untersuchung des Saccharins 1753 f.; Constitution des Saccharins und der Saccharinsäure 1754; Bestimmung d. Zuckergehaltes in Rüben 1978.
- Herrmann (P.), Tollens (B.) und Kehrner, **85:** Isolirung von Dextrose aus dem Saft der Schneebeeren, von Symphoricarpos racemosus 1740 f.; Gehalt derselben an Lävulose 1741.
- Herrmann (R. P.), **85:** Elektrolyse alkalischer Zinklösungen 2017.
- Herroun (E. F.), **81:** synthetischer Harnstoff 334 f.
- 86:** Elektromotorische Kraft verschiedener Zinnzellen 260; siehe Popplewell Bloxam (W.); siehe Yeo (G. F.).
- Hertel (A.), siehe Claus (A.).
- Hertel (J.), **81:** Colchicin 956 f.; Colchicoresin, Colchicein 957.
- 82:** Nachweis des Colchicins 1320.
- 83:** Apparat zur geruchlosen Darstellung von Chlorwasser 1659.
- Herter (E.), **78:** Verhalten von Glycerin gegen Kalihydrat 524.
- 79:** Spannung des Sauerstoffs im arteriellen Blute 960; siehe Friedländer (C.); siehe Baumann (E.).
- Herth (R.), **77:** Pepton 919.
- 80:** Synthese des Biguanids 417 f.
- 84:** Untersuchung über die Hemialbumose 1420 f.
- Hertkorn (J.), **85:** Darstellung von Kieselsäureäthern der Phenole 1231 bis 1233; Kieselsäure-Tetraphenyläther (Tetraphenylsilicat), Kieselsäure-Tetraäthyläther, Diborsäure-Tetraphenyläther, Kieselsäure-Tetra-o-kresyläther 1231; Kieselsäure-Tetra-m-kresyläther, Kieselsäure-Tetra-p-kresyläther, Kieselsäure-Tetra-m-xylenyläther, Kieselsäure-Tetra-o-xylenyläther, Kieselsäure-Tetraphenisobutyläther (Tetraphenisobutylsilicat), Kieselsäure-Tetraphenisoomyläther, Kieselsäure-Tetrahyminyläther 1232; Kieselsäure-Tetracarvacryläther, Kieselsäure-Tetramenthyläther, Tetra- $\alpha$ - und  $\beta$ -naphthylsilicat 1233.
- Hertz, **83:** Spannung des Quecksilberdampfes bei niedrigen Temperaturen 1580.
- Hertz (A.), **77:** Tauchbatterie für Elemente mit zwei Flüssigkeiten 153.
- Hertz (H.), **83:** Verhalten des Benzins als Isolator und als Rückstandsbildner 191; Glimmentladung 194; elektrische Entladung in verdünnten Gasen 194 f.
- Hervé Mangon, **83:** Zusammensetzung von Mesembrianthemum crystallinum 1415.
- Herwig (H.), **77:** Polarisation 158; Widerstand von Flüssigkeiten 163; Unipolarität der Flammenleitung 165; elektrisirte Quecksilberoberflächen 169.
- 78:** Distanz der Wassermoleküle 9; Wärmeentwicklung durch Drehen der elektrischen Moleküle 137; Wärmeentwicklung bei der Magnetisirung des Eisens 156.
- 80:** Wärmeleitungsvermögen des Quecksilbers 97 f.; Elektricitätsleitung des Quecksilberdampfes 149; Einfluss der Temperatur auf die Ladungserscheinungen einer als Condensator wirkenden Flüssigkeitsquelle 158 f.
- Herz (J.), **85:** Nachweis von Alkannaroth im Weine 1975 f.; Untersuchung von Hefeweinen und von Gemischen derselben mit Traubenweinen 2151; Gehalt frischer und geschwefelter Hopfensorten, sowie der Biere an schwefliger Säure 2157 f.
- 86:** Nachweis von Alaun im Mehle 1974; Analyse von bayerischem und Lichtenhainer Bier 1984; Prüfung auf Fuchsin und Pflanzenfarben 1987; Untersuchung von gemahlenen schwarzen Pfeffern 1988; Eigenschaften fester Oele 1997; Erkennung eines Wasserzusatzes zu Milch oder Wein 1999; Vorkommen von Sprosspilzen im Käse 2118; Untersuchung von Lichtenhainer Bier 2142 f.
- Herzberg (H.), siehe Stohmann (F.).
- Herzberg (M.), siehe Gabriel (S.).
- Herzberg (W.), **85:** Erkennung freier Säure im Papier, Prüfung von Papier 1983; Papierprüfung 2197.
- Herzen (A.), **83:** Einfluss der Milz auf die Bildung des Trypsins und Rückschlag des Trypsins zu Zymogen unter dem Einflusse der Kohlenoxydvergiftung 1498 f.
- Herzfeld (A.), **79:** Stärkemehl gegen Diastase 837 f.
- 80:** acetylrte Kohlenhydrate, Octacetylglucose, Milchzucker 1011.

- 82:** Maltose, Gluconsäure, Identität der letzteren mit Dextronsäure und Maltonsäure 880.
- 83:** Maltose 1363; Gluconsäuren verschiedenen Ursprunges, Salze der Gluconsäure 1095.
- 85:** Eigenschaften des Maltodextrins 1758; Invertzuckerbildung und Bestimmung des Invertzuckers 2142.
- 86:** Chlorcalcium - Doppelverbindung aus Rohrzucker (Chlorcalcium-Saccharoseäthyläther) 1777; Bestimmung der organischen Substanz in Wässern 1905; Bestimmung von Invertzucker 1973; Anwendung von Braunkohle in der Zuckerfabrikation, Bestimmung des Invertzuckers 2123; siehe Börnstein (E.).
- Herzfeld (A.) und Börnstein (E.). **86:** Oxydation der Lävulose 1767.
- Herzfeld (A.) und Feuerlein (G.). **81:** Bestimmung der in citronensaurem Ammon löslichen Phosphorsäure 1171.
- Herzfeld (A.) und Winter (H.). **86:** Oxydation von Lävulose und Dextrose: Trioxybuttersäure 1767 f.; Chlorcalciumverbindung des Lävuloseäthers 1768, 1777.
- Herzfeld (H.), siehe Tiemann (F.).
- Herzfeld (J.), **84:** Darstellung von  $\alpha$ -Methyl- $\gamma$ -chinolinsulfosäure 1377;  $\gamma$ -Oxy- $\alpha$ -methylchinolin,  $\alpha$ -Methylchinolin- $\delta$ -sulfosäure,  $\delta$ -Oxy- $\alpha$ -methylchinolin, p-Toluchinolinsulfosäure, p-Oxytoluchinolin 1378.
- Herzig, siehe Barth.
- Herzig (J.), **78:** zwei mit der Cyanursäure isomere Säuren 334 f.
- 79:** isomere Cyanursäuren 326.
- 81:** cyans. Biuret, cyans. Harnstoff 333; Zersetzungen der Trigensäure (Collidingoldechlorid), Biuret und Harnstoff gegen Jodmethyl und Methylalkohol 334; Mono-, Di- und Tribrombenzol gegen Schwefelsäure 867; siehe Barth (L.).
- 82:** Identität des Guajol mit Tiglin-aldehyd, Guajaconsäure gegen Salzsäure 742.
- 83:** Guajacol gegen salpetrige Säure: Dinitroguajacol 915; Garboxytartronsäure 916; Guajaconsäure und Guajakharzsäure 1233.
- 84:** Untersuchung von Quercetin 1400 f.; Hexaäthyl-, Hexamethyl-, Diacetylhexaäthyl-, Diacetylhexamethylquercetin, Formel von Acetylquercetin 1401; Untersuchung und Derivate von Quercetin 1450 f.
- 85:** Darstellung einiger Phloroglucinderivate (Tribrom- und Tribromacetylphloroglucin) 1260 f.; Untersuchung von Quercitrin und Quercetin 1768 f.; Acetylquercitrin, Tribromquercetin, Tribromoctacetylquercetin, Pentabromoctacetylquercetin, Pentabromquercetin, Tribromphloroglucin, Acetylphloroglucin, Acetylprotocatechusäure, Sophoretin 1769; Sophorin, Zusammensetzung des Rhamnetins, Acetylramnetin, Methylramnetin, Methylacetylramnetin, Aethyl- und Aethylacetylramnetin, Diäthylprotocatechusäure 1770; Einwirkung von Brom auf Quercetin 1806.
- 86:** Quercitrin, Quercetin, Rhamnin, Rhamnetin 1788; siehe Goldschmidt (G.), siehe Weidel (H.).
- Herzog, **86:** Vaseline 2167.
- Herzog (M.), **84:** Schnellbleichverfahren für Öle und Fette 1826.
- 85:** Darstellung von Aluminium in den U. S. A. 2015 f.; Versilberung von Glas und Spiegelglas, Herstellung einer schützenden Metallschicht auf den Silberspiegeln 2109 f.
- 86:** Verkupfern von Metallen 2044.
- Heschl, siehe Cornil (V.).
- Hesehus (N.), **84:** Einfluss des Lichtes auf die Elektrizitätsleitung des Selen 251.
- 85:** Luftcalorimeter 120.
- Hesekiel (Ad.), **85:**  $\beta$ -Methylpyridin ( $\beta$ -Picolin) und Synthese einiger Homologen des Pyridins 818 ff.; Derivate des  $\beta$ -Pipicolins 820; Darstellung von  $\beta$ -Pipicolin ( $\beta$ -Picolinhexahydrür), Salze dieser Base 1682.
- Hesemann, **85:** Darstellung von kristallisiertem Methylviolett 927.
- Hesemann (F.) und Köhler (L.), **83:** m-Monobrom-m-nitrobenzoesäure 1128; m-Monobrom-m-amidobenzoesäure 1128 f.; Di-m-brombenzoesäure 1129; Di-m-brom-o-nitrobenzoesäure 1129 f.; Di-m-brom-o-amidobenzoesäure 1130.
- Hefs (C.), **81:** p-Amidotoluol-o-sulfhydrat und isomeres 560; p-Amidotoluol-m-sulfhydrat 561; Methenyl-, Aethenyl- und Benzenylamidotoluolmercaptan 562.
- Hess (E.) und Luchsinger (B.), **86:** toxikologische Beiträge 1861.

Hefs (F.), **79**: Nitroglycerinbestimmung 1066 f.

**80**: Aschengehalt der Schiefesbaumwolle 1210; Schiefesbaumwolle 1309 f.

**82**: Analyse von Nitroglycerin-Sprengmitteln 1307.

**83**: Bestimmung von Stickstoff in Explosivkörpern (Nitromannit, Nitroglycerin, Nitrocellulose) 1592.

Hefs (F.) und Schwab (J.), **77**: Nitroglycerin, Nitrostärke Nitromannit und Nitrozucker gegen alkoholisches Kali 524.

**79**: Stickstoffbestimmung im Nitroglycerin 1060.

Hefs (J. J.), **78**: neue Batterieform 135.

**80**: Verkupferung von Zink 1265.

Hefs (O.), **85**: Darstellung von Benzoylderivaten secundärer aromatischer Basen durch Einwirkung von Benzoylchlorid auf tertiäre aromatische Basen: Benzoylmethyl- und -äthylaniline 847 f., Benzoylmethylnaphtylamine 848.

**86**: Einwirkung von Monobromacetophenon auf Phenylhydrazin 1079 f.; siehe Fischer (E.).

Hefs (Ph.), **84**: Untersuchung über Nitroglycerin, Bickford'sche Zündschnüre, Apparat zur Beobachtung der chemischen Stabilität von Explosionsstoffen 1748.

Hefs (W.), siehe Bernthsen (A.); siehe Einhorn (A.).

Hefs (W.) und Bernthsen (A.), **85**: Darstellung von Amido- und Oxyderivaten des Phenylacridins 936 bis 940; Nomenclatur der Acridinderivate 936; Mesophenyl- $B_2$ -amidoacridin 937; Mesophenyl- $B_2$ -oxyacridin 938; Mesophenyl- $B_2$ -acetoxyacridin 939; Mesoamidophenylacridin 939 f.

Hesse (O.), **77**: Carbonsäure 811; Umetinsäure, Cladoninsäure 812; Chinaalkaloide, Untersuchung 884; Phenolcinchonidinsulfat, Chinidin 888; Alkaloide aus Pao Pereiro (Geissospermin) 894; Usnea barbata, Carbonsäure, Umetinsäure, Everninsäure, Atranorsäure, Chladoninsäure 937; Pereirorinde (Geissospermin, Pereirin) 939; Calabarbohne, Physostigmin 943; Alkaloide 1158.

**78**: Bestimmung des optischen Drehungsvermögens von Flüssigkeiten 186; Codeinreaction 873; Untersuchung von Chinارين, Chinidin, Alkaloide,

Chinabasen 874; Chininprobe, Chinaalkaloide 875; Conchininsulfat 880 f.; Cinchotenicin 885 f.; Oxydation des Cinchonins, salzsaures Cinchotenin-goldchlorid 886; Zusammensetzung des Cinchonins 889 f.; Rinde von *Crossopteryx febrifuga* 891; Ditalin, Alstonin 892; Alkaloide aus *Alstonia constricta* 893; Formeln der Alkaloide aus Sabadillsamen 909 f.; Glucose 917 f.; Phlorose 918; Cynanchol, Euphorbon 956; Phytosterin 956 f.; Lotarin, Colloturin und Loturidin 968 f.; Alstonin 969.

**79**: Amidoverbindung des Methylbrenzcatechins 521 f.; Chinasäure und Derivate 581 f.; Chinon, Chinhydron 582 f.; Alkaloide der Darjeelingrinde 793; Conchininsulfat, Fluorescenz 804; Zusammensetzung des Chinamins 819; Cuscamin und Cuscamidin 819 f.; Untersuchung der Orseilleflechte 939.

**80**: Methylchinhydron 657 f.; wasserfreies Morphinchlorhydrat 954; Prüfung des Chininsulfats 962 f.; Chinidin und Conchinin 963; Acetyl-derivate der Chinaalkaloide 963 f.; Apochinaalkaloide, Apochinin, Apocinchinin 965; Apocinchonidin, Apocinchonin, Acetylapochinaalkaloide 966; Apochinaalkaloide und Salzsäure 967; Acetyl-derivate der Hydrochlor-Apochinabasen 968; Propionylchinin 969; Cinchonin, Zusammensetzung, Platinsalze 969 f.; Cinchonidin und Homocinchonidin 971 f.; Ditanin, Echitamin, Echitammoniumhydroxyd 982 f.; Calycin 1058 f.; Chinارين, Aspidosperma Quebracho 1073; Pereirorinde, *Alstonia spectabilis*, australische *Alstoniarinde* 1074; Carobblätter 1076; Prüfung des Chininsulfates 1212.

**81**: natürliches und künstliches Codein 931; Cinchamin 942 f.; Cinchonidin und Homocinchonidin, Cinchotenidin, Hydrocinchonidin 943; Alkaloide aus Cuprearin: Cusconin, Aricin, Cinchonin 945; Aspidosperma-Quebracho 958; Platinsalze von Chinaalkaloiden 961; Cinchonidin, Homocinchonidin, Cinchonin, Chinamin, Chinamidin, Chinamicin, Apochinamin Protochinamicin 965 f.

**82**: spezifisches Drehungsvermögen der Salze des Hydrochlorapocinchonins 197; Constitution des  $\beta$ -Methyl-

morphins 1102; Alkaloide aus China cuprea: Hydrocinchonin, Hydrocinchonin 1104 f.; Hydrochinin und Salze 1105; Homochinin, Cincholin 1106; Identität von Cinchamidin mit Hydrocinchonidin 1110; Darstellung, Eigenschaften und Salze des Hydrocinchonidins 1110 f.; wasserfreier Traubenzucker 1121 Anm. (4); Phytosterin 1152; weisse und rothe Quebrachorinden von *Aspidosperma Quebracho* und *Lexopterygium Lorentzii*: Aspidospermin, Aspidospermatin, Aspidosamin, Hypoquebrachin, Quebrachin, Quebrachamin, Quebrachol 1166 f.; *Loxopterygin* 1168.

**83**: Trimethylamin-Goldchlorid 637; Chinon gegen essigs. Natrium 1003; Aether des Morphins, Nomenclatur für substituierte Morphine, Diacetylmorphin, Dipropionylmorphin 1344; Morphinmethylechlorid, Acetylmorphinmethylechlorid, Propionylcodein, Codeinmethylejodid, Acetylcodeinmethylechlorid, Methylmorphimethin 1345; Acetylmethylcodein 1345 f.;  $\alpha$ -Methylcodeinmethylejodid,  $\beta$ -Methylcodeinmethylejodid 1346; Identität des Oxydimorphins von Polstorff und Broockmann mit Pseudomorphin, Salze des Pseudomorphins 1346 f.; Diacetylpsudomorphin 1347; Chinin, Cinchonin, Conchinin, Cincholin und Diconchinin in den Cuprearinden von *Remijia pedunculata*, Cuprearinde von *Buena magnifolia* 1409; Cinchonin und Cinchonamin in der Cuprearinde von *Remijia Purdieana* 1409 f.; Hydrocinchonin, Concusconin, Cinchonamin und Concusconidin in einer Cuprearinde 1410.

**84**: Vorkommen von Chinin in China cuprea, Untersuchung und Salze von Homochinin 1392 f.; Untersuchung von *Remijia Purdieana* 1462.

**85**: Darstellung von Cuprein, Salze desselben 1710 f.; Bildung von Apochinin, Diacetylcuprein und Salze, Constitution des Chinins 1711; Cupreinmethylejodid und -chlorid, Cupreindimethylejodid, Darstellung von Homochinin 1711 f.; Diconchinin aus der Rinde von *Cinchona rosulenta*, von *Cinchona succirubra*, aus Chinoidin, Salze von Diconchinin 1712 f.; Diapocinchonin, Alkaloide der Rinde von *Remijia Purdieana* 1713; Isolierung des Opionins aus *smyrnaer*

Opium, Bildung von Opionylsäure 1734 f.; Abscheidung von Cupreol, Cinchol und Quebrachol aus dem Wachs der Chinarinden 1819 f.; Acetylcupreol 1819; Acetylcinchol, Propionylcinchol, Cinchocerotin, Oxychinoterpen 1820; optische Gehaltsbestimmung des schwefels. Chinins (Bestimmung des Cinchonidins) 1965.

**86**: Farbenreactionen von Pseudomorphin und Morphin 1710; Zusammensetzung des Pseudomorphins 1711; Papaveramin 1721; Oxyacanthin und Berbamin 1724 f.; Chininhydrat 1731 f.; Reinigung des Chininsulfats von Cinchonidinsulfat, Vorkommen von Hydrochinin im Chininsulfat 1732; Bestimmung des Cinchonidins im Chinin (Cinchonidin-Chinin) 1733 f.; Cuprein und Homochinin 1734; Lactucerin ( $\alpha$ - und  $\beta$ -Lactuceryl) 1758 ff.; Lactuon, Echicerin Euphorbon 1760; Cinchol und Cholestol 1811; Untersuchung der Rinde von China bicolora 1820; siehe Jobst (J.).

Hesse (W.), **81**: Staub in Arbeitsräumen 1238.

**84**: Methode zur quantitativen Bestimmung der Mikroorganismen in der Luft 1534 f.

Hessert (J.), **78**: Constitution des Phtalaldehyds und seiner Derivate 624; Umwandlung von Mekonin in Mekoninsäure 624 f.; Formel des Mekonins 787.

**79**: Phtalalkohol 504; siehe Baeyer (A.).

Hesz (J. J.), **80**: Vermessungen 1271 f.; Carmin 1388.

**82**: neues Löthrohr 1350.

Hétet, **77**: Reinigung bei Condensationswasser 1136.

Hétet (F.), **79**: *Sarracenia purpurea* 934.

Heubach (H.), **77**: Weingeist im Organismus 977.

Heumann (K.), **77**: leuchtende Flammen 1212; Silberultramarin 1230, 1231.

**79**: Silberultramarin 1156 f.; Kaliumultramarin 1157 f.

**80**: Nomenclatur der Azoverbindungen 571 f.; Ultramarine 1376 f., 1380.

**81**: Nichtleuchten der Bunsenschen Flamme 117; Entzündlichkeit von Oelen 1318.

**82**: Nomenclatur der Azoverbindungen: Disazoverbindungen 573 f.

- 83:** Verbrennung des Schwefels mit weißer Phosphoreszenzflamme 153.
- 84:** Petroleumprüfungsapparate 1692; siehe Billitz (G.); siehe Bohn (René); siehe Calm (A.); siehe Pier-son (A.).
- Heumann (K.) und Heidlberg (Th.), **86:** Einfluß substituierender Elemente und Radicale auf die Nüance einiger Farbstoffe (gechlorte Pararosaniline) 2189 ff.
- Heumann (K.) und Köchlin (P.), **82:** Verhalten der Chlorsulfosäure gegen Metalloide und Zinn 233 f.; Verhalten des Sulfurylchlorids gegen Metalloide, Zinn und organische Säuren 234; Benzoesäure, benzol-sulfos. Natrium, toluolsulfos. Natrium gegen Chlorsulfosäure; Benzoylchlorid, Benzolsulfochlorid, Toluolsulfochlorid 900.
- 83:** Pyrosulfurylchlorid 296, 298; Sulfurylchlorid und Chlorsulfosäure 296 f.; Thionylchlorid 297 ff.
- Heumann (R.), siehe Mentha (E.).
- Heuser, **78:** Lactoskop 1097.
- Heuser (C.), **86:** Darstellung von Siliciumkupfer 2043 f.
- Heuser (F.), siehe Anschütz (R.).
- Heuser (F.) und Klinger (H.), **85:** Untersuchung von Seleniden 2264 f.
- Heuser (E.), **83:** Gewinnung von Glas und Wasserglas 1707.
- Heusermann (O.), **77:** Phtalsäure 1158.
- 78:** amerikanische Petroleum-benzine 1166.
- Hewart, **85:** Gasanalyse 1892.
- Hewitt, **78:** Gewinnung des Schwefels aus den Sodarückständen 1131.
- Heyden (F. v.), **78:** Salicylsäure zum Conserviren von Milch, Butter, Fischen und Fleisch 1146; Salicylsäure in der Brauerei 1158; siehe Nencki.
- Heydenreich (L.), **84:** Untersuchung über das Sterilisiren von Flüssigkeiten 1537.
- Heydrich (C.), **85:** Untersuchung einiger Derivate des Triphenylamins 923 f.: Trinitrotriphenylamin, Triamidotriphenylamin, Triacetyltri- amidotriphenylamin 924.
- 86:** Derivate des Triphenylamins: Hexaphenylrosanilin (Hexaphenyltri- amidotriphenylcarbinol) 880 f.; Salze und Derivate des Triamidotriphenyl-amins 881 f.
- Heyer (C.), **82:** Rohrzucker gegen Chromsäure, Kaliumpermanganat 1120.
- 86:** Verhalten der Strontianhydrate gegen Kohlensäure 394; Existenz eines wasserhaltigen basischen Strontium-carbonats 394 f.
- Heyer (L.), **82:** Neuerungen in der Bierbrauerei 1449.
- Heymann (B.) und Königs (W.), **86:** p- und o-Oxybenzoesäure aus p- und o-kresolschwefelsaurem Kalium, Darstellung von sauren Schwefel-säure- und Phosphorsäureäthern der Phenole 1260; Oxidation von mono-o-kresylphosphors. Kalium, Salicyl-säure 1260 f., von thymylschwefels. und monothymylphosphors. Kalium: Thymooxycuminsäure 1261, von carva-crylschwefels. und monocarvacryl-phosphors. Kalium: p-Oxyisopropyl-salicylsäure 1261 f.; Umwandlung der letzteren in Propenylsalicylsäure und Isooxycuminsäure 1262 f.
- Heyne (G. O.), siehe Bohlig (E.).
- Heynsius (A.), **78:** Hühnereiweiß und Serumweiß 932.
- 85:** Fällung von Eiweiß durch schwefelsaures Ammonium 1775 f., von Globulinen, Propepton und Pep-ton durch dieses Reagens, sowie durch Natriumdisulfat 1776.
- Heyward (B. H.), **81:** menschlicher Speichel 1071; zinkhaltiger Thon 1405.
- Heywon (Ch. T.), siehe Clayden (W.).
- Hibsch (J. E.), **77:** Schwefelbestim-mung im Roheisen 1055.
- Hibsch (J. E.) und Rumler (O.), **81:** Kalkschiefer 1438.
- Hicks (W. M.), **77:** Dissociation 138.
- Hidden, **85:** Vorkommen von Quarzen 2272.
- Hidden (W. E.), **80:** Fergusonit 1479; Meteorit, Meteoreisen 1542.
- 81:** Platin 1347; Quarz 1357; Anatas 1360; Zirkon 1361; Uranpech-erz 1362; Monazit 1375; Xenotim 1376; Beryll 1396; Aeschynit, Samars-kit 1407; Meteoreisen aus Whitfield County 1458.
- 82:** Allanit von Carolina 1546; Beryll von Nordcarolina 1561; Colum-bit (Aeschynit) von Carolina 1573; Samarskit, Fergusonit, Rutherfordit 1574.
- 83:** Vorkommen von Quarzdrusen in Alexander County, Nordcarolina 1838 f.

- 84:** Untersuchung von Herderit 1944.
- 86:** Quarzkrystalle 2239; Krystallform von Zirkon, von Rutil 2240; neues Mineral: Hankait 2250 f.; Zwillinge von Molybdänblei 2256; Vorkommen, Krystallform und Analyse von Xenotim 2257; Zwillinge von Monazit, Krystallform und Eigenschaften des Herderits 2258; Vorkommen von Turmalin 2263; Vorkommen von Fayalit 2266; Vorkommen von Phenakit 2267 f.; Vorkommen von Hiddenit 2281; Notizen über zwei Meteoreisen: vom Joe Wright-Berge bei Batesville, Independance County, Arkansas, und von der Laurens County, Süd-Carolina 2332 f.; Untersuchung eines bei Fort Duncan, Maverlick County, Texas, aufgefundenen Meteoreisens 2334.
- Hidden (W. E.) und Mackintosh (J. B.), **84:** Analyse von Herderit 1944.
- Hidegh (C.), **84:** Analyse von Bournonit 1911 f., von Pyromorphit 1944, von Granat 1956; Untersuchung von Augit 1966, 1971 f.; Analyse von Desmin 1976, 1978.
- Hidegh (K.), **80:** Fahlerze 1406; Grammatit 1464.
- Hielbig (C.), **80:** Trennung und Bestimmung der Chinaalkaloide 1211.
- Hiepe, **80:** Cichorie als Verfälschung des Kaffees 1222.
- 86:** Analysen von Stallprobenmilch 1999.
- Hiepe (C.), **85:** Verfälschung des Olivenöles mit dem Oele der Samen von *Jatropha Curcas* 1970; Milchcontrole 1088; siehe Schmitt (C.).
- Hiepe (W. L.), **82:** Bestimmung kleiner Stickstoffmengen 1303.
- Higgin, siehe Potter.
- Higgin (A.), **82:** Mono- und Dibenzoylanilin und Isomere 520 f.; siehe Crofs (C. F.).
- Higgs (P.), **77:** capillarelektische Batterie 158.
- Highley (W. K.), **81:** Krystalle in Pflanzen 1009.
- Hight (A.), **77:** Nahrungswerth eines Bodens 1172.
- Hilditsch (Th.), **84:** Bestimmung des Atomgewichtes des Sauerstoffes 48 f.
- Hilgard (E. W.), **79:** Flockenbildung 88.
- 81:** Bodenanalyse 1281 f.
- 86:** Untersuchung des Alkalibodens in Californien 2096; Weinuntersuchungen, Weincultur 2130.
- Hilgenstock (G.), **82:** Zusammensetzung der Schlacken-Krystalle beim basischen Proceß 1675.
- 84:** Verhalten des Phosphors im Hochofen 1710, 1712 f.
- 85:** Verhalten von Phosphoreisen beim Schmelzen mit Gyps 2032.
- 86:** Untersuchung von Hochofenschlacke; Zustand der Phosphorsäure 2024.
- Hilger (A.), **76:** chlores. Kalium 1052; Spectroskop 1098; Magnetkies 1262; Fahlerz 1268; Keramohalit 1296; Trachyt 1365.
- 78:** Bieranalyse 1159; Brunnenwässer von Erlangen 1297.
- 79:** Solanin und Solanidin 792 f.; Farbstoff der Caryophyllinen 901 f.; Aschenanalysen von Weintrauben 916; Aethylidiacetsäure in diabetischen Harnen 1081; Weinbergsbodenanalysen 1120 f.; Malztreberanalyse 1141; Zinkblende, Quecksilber- und Antimonerzanalysen 1183; Zinkspathanalyse 1192; Analyse eines Pyromorphits 1203; Diallag und Bronzit 1227; Pinatoid 1236; Dioritanalyse 1249; Porphyranalyse 1252.
- 80:** Verwitterung der Gesteine 1491.
- 85:** Untersuchung von Zersetzungsproducten des Cyclamiretins, Zersetzung des Saponins 1803; Bestimmung des Theins im Thee 1961; Erkennung von Mutterkorn in Mehlsorten 1983; Nachweis von Salicylsäure im Bier 2158; Analyse eines Apatits 2281.
- Hilger (A.) und Grofs (L.), **86:** Untersuchung der einzelnen Organe des Weinstockes; Vorkommen von Inosit, Brenzkatechin neben organischen Säuren 1815.
- Hilger (A.) und Sendtner (R.), **77:** Zinckenit 1267.
- Hilger (J. A.), **83:** Analysen von Fleischconserven 1641.
- Hikorokuro Yoshida, siehe Yoshida (Hikorokuro).
- Hill (H.), **78:** Formel der Harnsäure 360 f.; siehe Mabery (C.).
- Hill (H. B.), **78:** Untersuchung des Pyroxanthins 364 f.
- 80:** Furfurol, Pyroxanthin 702 f.
- 81:** Furfurol, Pyroxanthin, Mucobromsäure 599; Brommucobromsäure.



- Tribromacrylsäure 600; Formeln von Dichlor- und Dibromacrylsäure 692.
- 83:** Monobrombrenzschleimsäure 1091 f.; Dibromfurfurantetrabromid, Tetrabromfurfuran 1092.
- 84:** Einwirkung von Alkalien auf Mucobromsäure 1134.
- 86:** Isomere Dibromacrylsäuren 1317; siehe Bennet (W. Z.); siehe Jackson (O. R.); siehe Mabery (C. F.).
- Hill (H. B.) und Andrews (C. W.), **81:** Dibromacrylsäure 690.
- 82:** Dibromacrylsäure gegen Bromwasserstoff: neue Tribrompropionsäure 821.
- Hill (H. B.) und Hartshorn (G. T.), **85:** Furfuranderivate 1178 f.:  $\alpha$ -Dibromfurfuran,  $\alpha$ -Dibromfurfurantetrabromid 1178;  $\beta$ -Dibromfurfurantetrabromid, Monobromfumarsäure und Monobrommaleinsäure, Tetrabromfurfuran, Dibrommaleinsäure, Tetrabromfurfurandibromid 1179.
- Hill (H. B.) und Jackson (O. R.), **80:** Mucobromsäure 797 f.
- 82:** Dibromacrylsäure aus Mucobromsäure 825.
- Hill (H. B.) und Mabery (C. F.), **81:** Dichlordibrompropionsäuren 691; Tetrabrompropionsäure 692.
- 82:** Tetrabrompropionsäure aus Dibromacrylsäure 822.
- Hill (H. B.) und Palmer (A. W.), **85:** Darstellung von  $\delta$ -Sulfobrenzschleimsäure 1574 f.: Dibromsulfobrenzschleimsäure 1574,  $\delta$ -Monobrom- $\beta$ -sulfobrenzschleimsäure,  $\beta$ -Sulfobrenzschleimsäure,  $\beta$ - $\delta$ -Dibrombrenzschleimsäure gegen Schwefelsäure 1575.
- Hill (H. B.) und Sanger (C. R.), **82:** Mucobromsäure und Mucobromsäureäther gegen Kaliumnitrit: Salze des Körpers  $C_8H_5N_3O_7$  846 ff.
- 84:** Untersuchung der bromsubstituierten Brenzschleimsäure 1147 ff.:  $\beta$ - $\gamma$ -Dibrombrenzschleimsäure 1147,  $\beta$ - $\delta$ -Dibrombrenzschleimsäure, Mono- und Dibrommaleinsäure,  $\beta$ -Monobrombrenzschleimsäure 1148,  $\delta$ -Monobrombrenzschleimsäure, Tribrombrenzschleimsäure 1149.
- 86:**  $\delta$ -Monobrombrenzschleimsäure und Derivate 1365 f.;  $\beta$ -Monobrombrenzschleimsäure, Salze und Derivate 1366;  $\beta$ - $\delta$ -Dibrombrenzschleimsäure, Salze und Derivate 1367;  $\beta$ - $\gamma$ -Dibrombrenzschleimsäure, Salze und Derivate 1367 f.; Tribrombrenzschleimsäure, Salze und Amid 1368.
- Hill (H. B.) und Stevens (E. K.), **84:** Untersuchung von Mucophenoxybromsäure 1134 f.; Phenoxybromacrylsäure, Phenoxybrommaleinsäure 1135.
- Hill (W. N.), **80:** Elektrodynamometer für starke Ströme 155; siehe Trowbridge (J.).
- Hillebrand (W. F.), **83:** Analysen des Andesits von den Buffalo Peaks, Colorado, und eines Hypersthens 1931.
- 84:** Zwillingsbildungen an Arsen-eisen 1904; Analyse von Cosalit 1911; Analyse von Hübnerit 1937 f.
- 86:** Analyse von Alanit 2264; siehe Crofs (W.); siehe Fittig (R.).
- Hillebrand (W. F.) und Fittig (R.), **77:** Chinasäurederivate 758.
- Hiller, siehe Limpricht (H.).
- Hiller (E.), **85:** Alkaloidgehalt verschiedener Lupinenarten 1807.
- Hills (R. C.), **84:** Krystallform von Kaolin 1988.
- Hillyer (H. W.), siehe Remsen (J.).
- Hilsebein (E.), **85:** Einwirkung von Phosphorchlorid auf Mekonsäure 1427 bis 1429: Monochlormekonsäure, Aethyläther und Acetylderivat derselben 1427; Pyrochlormekonsäure, Mekonblau, Mekonroth, Dihydrochlormekonsäure 1428; Oxyamylendicarbonsäure und deren Aethyläther 1429.
- Hilt, **86:** Versuche mit Sprengölapparat an Schiefsbaumwolle, Sprengelatine, Kinetit und Dynamit 2079.
- Hilt (C.), **80:** Steinkohlenziegel 1813.
- Himmelmann (P.), siehe Claus (A.).
- Himly, **77:** Tellur 213.
- Himly (C.), **78:** Nachweis von Leuchtgas im Brunnenwasser 1072; Mehlpfeifung 1088.
- Himly (C. H.) und Trützschler-Falkenstein (L. v.), **83:** Schiefs- und Sprengpulver 1704 f.
- Himstedt (F.), **84:** selbstthätiger Disjunctur 233; neue Modification der Kirchhoff'schen Methode zur Bestimmung des Ohm 247 f.
- 85:** Bestimmung des Ohm 243 f.
- 86:** Ohmbestimmung 248 f.; Verhältnisse zwischen der elektrostatischen und der elektromagnetischen Einheit der Electricität 251.
- Hinde (S. H.), **82:** neuer Explosivstoff 1411.

Hindenlang (C.), **81**: Prüfung auf Eiweiß (im Harn) 1214.

Hinkefufs (E.) und Wesel (G.), **80**: elektrische Lampe 1245.

Hinmann (O. W.), **77**: Chromsäurebestimmung 1060.

Hinrichs (G.), **79**: Meteorit 1280.

Hinsberg (O.), **82**: Oxalsäurederivate aus m-Nitro-p-toluidin und m-p-Diamidotoluol 537 f.

**83**: Anhydroamidooxalyltoluidsäure und Salze 723 f.

**84**: Untersuchung von Chinoxalinen 1383 f.: Chinoxalin, Toluchinoxalin 1383; Diphenyltoluchinoxalin, Diphenyltoluchinoxalin, Methyl-oxytoluchinoxalin, Toluylidoxychinoxalin 1384.

**85**: Darstellung von substituierten Chinoxalinen durch Einwirkung von Diaminen (m-p-Toluylendiamin) auf die Gruppe  $-CO-CO-$  enthaltende Aldehyde, Ketone und Ketonensäuren: Oxyphenyl- und  $\beta$ -Naphtyltoluchinoxalin 848 ff.; Oxycarboxyltoluchinoxalin und Derivate 849 ff.; Bildung von Chinoxalinen durch Einwirkung der Gruppe  $(CH_2Cl)CO-$  auf o-Diamine: Dihydropseudotoluchinoxalin und Derivate 851 ff.; Erkennung der Orthodiamine 1955.

**86**: Constitution der Aldehydine (Aldehydinbasen) 688 f.; Tolubenzaldehydin aus Anhydrobenzoldiamidotoluol 689; Chinoxaline 976 ff.: Dihydropseudooxytoluchinoxalin 976; Oxytoluchinoxalin 976 f.; Einwirkung von Monochloraceton auf m-p-Toluylendiamin: Methyltoluchinoxalin (Dimethylchinoxalin) 977 f.; Einwirkung von Isatin auf m-p-Toluylendiamin: Isatyltoluchinoxalin 978; p-Monoamidochinoxalin: Darstellung von p-Triamidobenzol 978 f.; Ueberführung desselben in p-Monoamidochinoxalin 979; Verh. und Salze des letzteren 980.

Hinteregger (F.), **79**: Diffusion saurer reagierender Salzgemische 85 f.; siehe Maly (E.).

Hintz, **77**: Pyren 390.

Hintz (E.), siehe Fresenius (B.).

Hintze, **85**: Krystallform des o-Azoxytoluols 1077; Krystallform der sauren Ammoniaksalze von Aepfelsäuren 1371 f.; Krystallform der Acetylpiptitzahönsäure 1675.

**86**: Krystallform von Diphenylvinylnitrit, von Mischkrystallen des-

selben mit Benzophenon, von Diphenylnitrovinylnitrit (Dinitrit) 674; Krystallform des Isobenzils 1658.

Hintze (C.), **78**: Pisanit 224; Titanit (Greenovit) 1272 f.

**82**: krystallographische Untersuchung des Chinons 777; Pseudomorphosen von Antimonglanz nach Senarmontit 1584.

**83**: krystallographische Untersuchung eines Dolomitkrystalles 1852 f.; Cuprocalcit (?) 1853; krystallographische Untersuchung eines Apatitkrystalles von Striegau, Schlesien 1866; krystallographische Untersuchung des Danburits von Scopi, Graubünden 1881.

**84**: Isomorphie und Morphotropie 8 f.; Krystallformen von Tetraphenyläthan 461, von Triphenylmethan, Triphenylbrommethan, Triphenylcarbinoläther, p-Phenylendiamin, Thioharnstoff, inactivem weinsäurem Calcium 462, von maleins. Baryum, Isobenzil 463; Krystallmessung von Tetraphenyläthanen 552; Krystallform von p-Phenylendiamin 713; krystallographische Untersuchung von linksweinsäurem und traubensäurem Natronammoniak 1128; Krystallform von inactivem weinsäurem Kalk, von rechts- und linksweinsäurem Kalk 1129; Isomorphie von Meneghinit und Jordanit 1910; Vorkommen von Apatit 1942 f.; Vorkommen von Epistilbit 1976 f.

**85**: Adularzwillung 2296; optische Untersuchung des Mikroliths 2297.

**86**: Arsenolamprit 2223; Verwachsungen von Bleiglanz und Bourmonit 2231; Vorkommen und Krystallform von Cölestin 2251 f.; siehe Anschütz (R.); siehe Schmidt (A.).

Hinze, **78**: Krystallform des  $\beta$ -Dinaphtyltrichloräthans 392.

Hiortdahl (J.), **82**: Krystallmessungen an Methylamin- und Propylamin-derivaten 474 ff.

Hiortdahl (Th.) (Hjortdahl), **82**: krystallographische Untersuchung von Salzen und Doppelsalzen gemischter, fetter und aromatischer Ammoniumbasen (Methyl- und Aethylphenylverbindungen) 510 f.; krystallographische Untersuchung von Anilinsalzen und Doppelsalzen mit Cadmium und Zinn 513 f.; krystallographische

- Untersuchung von Salzen und Doppel-salzen des Mono- und Dimethylanilins, des Mono- und Diäthylanilins 522 ff.; krystallographische Untersuchung des chlorwasserstoffsäuren p-Toluidin-Chlorzinns 535; krystallographische Untersuchung von Äethylpiperidin-chloroplatinat, Isopropylpiperidin-chloroplatinat, Isopropylpiperidinzinn-chlorid, Propylpiperidinzinnchlorid, Isobutylpiperidinchloroplatinat, Iso-butylpiperidinzinnchlorid 1085 f.; Kry-stallform von Chininäthyljodid 1109.
- 85:** Untersuchung des Colemanits 2276 f.
- 86:** Krystallform von ferrocyan-wasserstoffsäurem Methylamin und Piperidin 512 f.; Krystallform des Scheelits und künstlicher Molybdate 2256 f.; siehe Hjortdahl (Th.).
- Hiriakoff (M.) und Inostrantzeff, **78:** Meteorit von Berdjansk 1319 f.
- Hirn (G. A.), **79:** menschliche Wärme 948 f.
- 84:** Actinometer 166.
- 86:** Geschwindigkeit der Gase 164 f.
- Hirsch (A.), **80:** Chinonchlorimid 731 f.
- Hirsch (B.), **77:** Aräometer 47.
- 79:** Untersuchung von Balsamum antarthriticum Indicum 945 f.
- Hirsch (J. v.), **78:** Scheidung des Klebers von der Getreidestärke, Ge-winnung von Hefe 1154 f.
- Hirsch (R.), **78:** Einwirkung von Chlorkalk auf p-Amidophenol 501.
- 85:** Untersuchung des p-Mono-nitro-o-kresols und des Toluchinon-chlorimids 1267 f.; p-Monoamido-o-kresol, Monoamidokresolsulfosäure 1268.
- Hirschfeld (M.), **85:** Reaction auf Chloralhydrat 1957.
- Hirschfelder (J. O.), **80:** Gallenstoffe 1100.
- Hirschhausen, **84:** Untersuchung der Berberideenalkaloide, des Berbe-rins, Oxyacanthins, Hydrastins 1636 f.
- Hirschler (A.), **86:** Einfluss der Kohlehydrate und einiger anderer Körper der Fettreihe auf die Eiweiß-fäulniss 1794 f.; Fleischmilchsäure in Milz und Lymphdrüsen des Binde-s 1840; Bildung von Ammoniak bei der Pankreasverdauung des Fibrins 1870; Analyse der stickstoffhaltigen Substanzen des Thierkörpers: Eiweiß,
- Peptone u. a. w.; Pepsinverdauung 2003.
- Hirschsohn (E.), **77:** Calciumphos-phat 248; Harze, Gummiharze und Balsame 960.
- 78:** Reactionen von Harzen, Gummiharzen und Balsamen 983.
- 80:** Wachsarten 1082; Gurjun-balsam 1085.
- 81:** Verhalten von Thymol und Carbonsäure 1205.
- 84:** Ueber die Chemie der Siam-Benzoë 1470 f.; Untersuchung von Xanthorrhoeaharz 1471.
- 85:** Verhalten der Harze von Pinus sylvestris und Picea excelsa gegen Reagentien 1824.
- Hirschwald, **77:** essigsäures Xantho-purpurin 592.
- 78:** Krystallform des Bhamnodul-cits 928.
- Hirschwald (J.), **77:** Diamant 1256.
- 79:** Quarzkrystall im Quarz 1187.
- Hirschwald (J.) und Baumhauer (H.), **78:** Krystallsystem des Leucits 1240.
- Hirzel, siehe Rad (v.).
- Hirzel (G.), **85:** Kalium-Antimon-oxalat und Brechweinstein als Fixir-mittel, Wirkung des Oxalats auf Pflanzenfarben 2213.
- Hirzel (H.), siehe Claus (A.).
- Hise (C. R. van), **86:** Erscheinung des Fortwachsens an Hornblende 2282 f.
- Hitchcock (R.), **77:** Wasserzersetzung durch Kalium und Natrium 198.
- 83:** Prüfung von Wasser und Luft für hygienische Zwecke, Bemerkun-gen über Desinfection 1724.
- Hittorf (W.), **78:** Auffassung der Elektrolyse als Salze 149 f.
- 79:** Elektricitätsleitung der Gase 140 f.
- 83:** Elektricitätsleitung der Gase und Glimmerentladung im Stickstoff 195; Leuchten der Flamme 231.
- 84:** Elektricitätsleitung der Gase 257.
- Hjelmmann (J.), **82:** Augitanalyse 1556.
- Hjelt (C.), **77:** Arsengehalt der Schwefelsäure 1139.
- Hjelt (E.), **78:** Uebergang des Arsens der Pyrite in die Schwefelsäure 1122.
- 80:** Malonsäureäther 781.
- 81:** Adipinsäure, Diallyl-malonsäure

- 82:** Caprolacton; Hydrosorbinsäure, Verhalten von Monobromcapronsäure gegen Wasser: Isohydrosorbinsäure 761; Brom und Bromwasserstoff gegen Diallylmalonsäure: Dibromdilacton  $C_6H_{10}Br_2O_4$  und Lacton  $C_6H_{12}O_4$ , Siedepunkte der Lactone und der ihnen isomeren ungesättigten Säuren, Mechanismus der Lactonbildung 762; Zersetzung der Isodibromcapronsäure 868; normales Caprolacton, Isohydrosorbinsäure aus Hydrosorbinsäure 868 f.; Allylmalonsäure, Diallylmalonsäure, Diallyl-essigsäure gegen Brom, Bromwasserstoff: Lactone und Oxylactone, Carbovalerolactonsäure, Oxypropyl- und Dibrompropylmalonsäure 872 ff.; Isobutylmalonsäure, Constitution der Terebinsäure 875; Augitanalyse 1556.
- 83:** Allyläthylnitricarbonsäure 1028 f.; Allylbernsteinsäure 1029; Carbocaprolactonsäure 1020 f.; Dicarbo- caprolactonsäure 1030; Reduction des Brenzweinsäurechlorids 1092 f.; Identität von Isopropylbernsteinsäure und Pimelinsäure 1099.
- 84:** Darstellung von hydratischem Pyrotartrylfluorescein und Derivaten, Pyrotartryleosin 1022; Darstellung von Aethylidenäthylnitricarbonsäure aus  $\alpha$ -Chlorcroton- und Natriummalonsäureäther 1169 f.
- 85:** Darstellung von o-Xylen-tetrachlorid 742.
- 86:** Intramoleculare Wasserabspaltung bei organischen Verbindungen 505; Oxydation von Phtalalkohol (o-Phtalaldehyd) 1227 f.; Einwirkung von Schwefelsäure auf Phtalalkohol 1228; Phtalid aus o-Toluylsäure 1446; siehe Fittig (R.).
- Hjelt (E.) und Gadd (M.), **86:** Ueberführung von Pseudocumol in Pseudocumylenbromid, Pseudocumylenalkohol und  $\beta$ -Xylidinsäure 1232.
- Hjortdahl (Th.), **78:** Olivin 1238; Anorthitanalyse 1266; Saussuritanalyse 1267.
- 79:** Krystallsystem des Bleibromids 280; Krystallform des Quecksilberbromids 298; ätherschwefelsaure Salze 734; Krystallformen von Organozinnverbindungen 772 f.; Krystallform von Piperidinverbindungen 786 f.; Krystallformen von Chininsalzen 794 f.; Chinin, Bestimmung in Salzen 795; Atakamit 1190; Hy-persthen 1225 f.; Saussuritgabbroanalysen 1252.
- 80:** Messung von organischen Zinnverbindungen 939 f.
- 85:** Krystallform des  $\beta$ -Picolinchloroplatinates 819; Krystallform der Chloroplatinate und Jodcadmiumdoppelsalze der hydrirten  $\alpha$ -Basen von Propyl- und Isopropylpyridin 830.
- 86:** Krystallform von Conyinchloroplatinat 1687; siehe auch Hjortdahl; siehe Meinich (L.).
- Hoadley (J. C.), **82:** spezifische Wärme des Platins und Eisens 99.
- Hoch (R.), siehe Claus (A.).
- Hochstetter (F. v.), **80:** Kupferindig 1405.
- Hochstetter (H.), **84:** Untersuchung von Melilotsäure 1246 ff.; Monobrommelilotsäure 1247.
- Hock (C.), siehe Traub (C.).
- Hock (K.), **81:** Alkaloid (Digitalin)-Reactionen 129; Spectralreactionen von Alkaloiden: Digitalin, Delphinin, Belladonin 977 f.
- 83:** Chinolinresorcin 1311 f.; Hydrochinonchinolin 1312; Absorptionsspectra blau gefärbter ätherischer Oele 1422 f.; Farbstoff derselben (Azulen) 1423.
- Hock (M.), **77:** Alabaster-, Milch-, Bein-, Kryolith- und Opalglas 1169.
- Hockauf (J.), **86:** Krystallform und Analyse von Botryogen 2255.
- Hodde, **77:** Desmin 1332.
- Hodges (F.), **81:** Chlorkalk 1256.
- Hodges (N. D. C.), **79:** Radius eines Wassermoleküls 11.
- 80:** mittlere Weglänge der Moleküle 55.
- Hodgkin (J.), siehe Howard (D.).
- Hodgkinson (W. R.), **78:** Isobuttersäure-Benzyläther 812.
- 80:** Phenylessigsäure gegen Natrium 847; Phenylessigsäureäther gegen Natrium 853; Natrium gegen Isobuttersäurebenzylester 889 f.; siehe Conrad (M.); siehe Matthews (D. E.); siehe Perkin (W. H.).
- Hodgkinson (W. R.) und Matthews (F. E.), **83:** Fluorenderivate 574 bis 576.
- Hodkinson (W. R.), siehe Hatton (F.).
- Hödl (E. L.), **85:** Methoden zum Bleichen und Färben von Stroh 2201 ff.

- Högbom (A.), **84**: Doppelsalze der Wolframsäure mit Natrium und den seltenen Erdmetallen 396 f.
- Högbom (H.), **81**: Tellurfluoride 172.
- Högyes (A.), **79**: Wirkung des Jodoforms 996.
- Högyes (F.), **80**: Häminkrystalle 1099.
- Hölz (O.), **85**: Darstellung von Bromamidophenolen 1238 bis 1240: o-Monobrom-p-amidophenol 1238; o-Monobromacet-p-amidophenol, Di-o-brom-p-amidophenol, Di-o-bromacet-p-amidophenol, o-p-Dibrom-o-amidophenol, o-p-Dibromacet-o-amidophenol 1239 f.; siehe Roll (G.); siehe Städel (W.).
- Hölzer (A.), **82**: Fehlerquelle beim Polarisieren 193.
- 83**: Glycolsäure 1043 f.; siehe Meyer (Lothar).
- Hönig (L.), siehe Warburg (E.).
- Hönig (M.), **78**: Derivate des Dimethylresorcins 555 f.; Stickstoffbestimmung nach Knop 1046.
- 79**: Glucosäure aus Glucose 666 f.
- 80**:  $\alpha$ -Naphtol gegen Schwefelsäure und Oxalsäure 691 f.; Paragluconsäure 819 f.
- 85**: Einwirkung von Kaliumpermanganat auf unterschwefligsaures Natron 521; Darstellung von p-Mononitrophthalid 1489; p-Monoamidophthalid, p-Monoamido-o-toluylsäure 1490; p-Mononitro-o-oxymethylbenzoesäure, monoamido-o-oxymethylbenzoesäures Kupfer,  $\alpha$ -Mononitrophthalid, Phtalidsulfonsäure und Salze 1491 f.
- 86**: Oxydation der Lävulose: Trioxbuttersäure 1768; siehe Goldschmidt (H.); siehe Habermann (J.).
- Hönig (M.) und Berger (F.), **82**: Einwirkung von Chloroform auf Naphtalin bei Gegenwart von Chloraluminium 428 f.
- Hönig (M.) und Rosenfeld (M.), **77**: Natriumglucosat 900.
- 79**: Natriumverbindungen der Lävulose und des Milchezuckers 850 f.
- Hoënid (M.) und Schubert (St.), **85**: Bildung der Oxyulsulfosäuren von Kohlehydraten (Stärke und Cellulose) 1575 bis 1577: Celluloseeschwefelsäure und deren Baryumsalze 1575; Stärkeeschwefelsäure und deren Baryumsalze, Bildung von Dextrin, Glucose und Galactose gegen Schwefelsäure 1577.
- 86**: Dextrine aus Cellulose, Stärke und Traubenzucker 1780 ff.
- Hönig (M.) und Zatzek (E.), **83**: Einwirkung von Kaliumpermanganat auf unterschwefligsaure und schwefligsaure Alkalien, auf die Mono- und Polysulfide der Alkalien 1537; Bestimmung der Kohlensäure neben Sulfiden, Sulfiten und Thiosulfaten der Alkalien 1555 f.
- 84**: Einwirkung von Kaliumpermanganat auf Schwefelverbindungen (Thiosulfate und Sulfite) 340 f.
- 86**: Oxydation des thioschwefelsauren Natriums durch Chamäleonlösung 418.
- Höper (J. F.), **86**: Verbesserung im Dickmaischverfahren 2139.
- Höpfner (C.), **81**: Augitanderit 1430.
- Höpfner (C. H. W.), **85**: Aufhebung der Polarisation bei der Elektrolyse 2012; Natrium-, Magnesium-, Aluminiumgewinnung 2012 f.; Entphosphorung von Roheisen 2020 f.
- Hörler (H.), **79**: Entflammungstemperatur des Petroleums 1145 f.
- Hörmann (J. v.), **80**: Dichloracetone 716 f.
- 79**: Blausäure gegen Epichlorhydrin 330, 502.
- 82**: Farbstoffe aus Aminen und Epichlorhydrin 1490 f.
- Hörmann (O.), siehe Liebermann (C.).
- Hösslin (H. v.), **82**: Ernährungsstörungen in Folge Eisenmangels 1185.
- Hötte (B.), **85**: Darstellung von Phenylparamid 1560.
- 86**: Einwirkung von Phenylhydrazin auf die Anhydride organischer Säuren: Phtalylphenylhydrazin 1081 f.; Succinylphenylhydrazin 1082.
- Hof (A.), siehe Zincke (Th.).
- Hoff (J. H. van't), **77**: trichloressigsaures Kalium gegen Brom 684.
- 84**: chemische Dynamik 25 f.
- 85**: über das chemische Gleichgewicht 19; Beziehung von Verdampfung zur chemischen Zersetzung (Dissociation) 78; Dissociationsspannung des festen Bromwasserstoffhydrates 217 f.; Umwandlungsformen des Schwefels 386; siehe Groth (P.).
- Hoff (H. J. van't) und Deventer (Ch. M. von), **86**: Umwandlungstemperatur bei der Zersetzung von Salzen (Uebergangstemperatur) 231 f.

- Hoff (H. J. van't jun.), **85**: Identität der inactiven Aepfelsäuren, Krystallform des wasserhaltigen und wasserfreien sauren Ammoniumsalzes 1372; Identität der Pasteur'schen Säure mit der Aepfelsäure aus Brombernsäure, Krystallform des sauren Ammoniumsalzes einer inactiven Aepfelsäure aus Maleinsäure 1373.
- Hoffer (J.), **84**: Sauerstoffentwicklung auf elektrolytischem Wege 267 f.
- Hofferichter (P.), **79**: Trichloracetylcarbonsäure 609 f.
- Hoffmann (A.), **77**: Hippursäurebildung im Thierkörper 976.
- 86**: Verhalten der Brenztraubensäure gegen Glycocoll und Hippursäure 1321.
- Hoffmann (C.), **81**: Haarsalz (Alumogen) 1373; Lazulith 1376; Cyanit 1378; Kaolin 1404.
- 84**: Wismuthsäure und ihre Kaliumverbindungen 440 f.; Bismuthylbismuthat, Wismuthsuperoxydhydrat 441.
- Hoffmann (Chr.), **80**: Apatite 1436.
- Hoffmann (E.), **78**: Salicylsäure-natrium-, -kalium-, -lithium- und -ammoniumsalicylat 759; Infundirapparat 1096.
- 79**: Naringin 909 f.; Absorptionsspectrum des Mutterkornfarbstoffes 1073.
- Hoffmann (F. A.), **82**: Globulinbestimmung in Ascitesflüssigkeiten 1229; siehe Böhm (R.).
- Hoffmann (G.), siehe Lunge (G.).
- Hoffmann (G. Ch.), **82**: Samarskit von Canada 1573.
- Hoffmann (H.), **77**: Honigthau 928; Gährungserscheinungen 1017; Honigthau der Blätter 1176.
- Hoffmann (J.), **84**: Semiologie des Harns 1493.
- Hoffmann (L.) und Königs (W.), **83**: Tetrahydrochinolin 1319 ff.; Derivate des Tetrahydrochinolins: Nitrosotetrahydrochinolin, Tetrahydrochinolinhydrasin 1320; Tetrahydrochinolintetrazon 1320 f.; Methyltetrahydrochinolin, Tetrahydrochinolinharnstoff, Benzoyltetrahydrochinolin, Acetyltetrahydrochinolin 1321; Tribromchinolin aus Tetrahydrochinolin 1321 f.; chlorwasserstoffsäures Dibromtetrahydrochinolin, Zersetzung von Piperidin bei Rothgluth 1322.
- Hoffmann (O.), **85**: Farbstoffe aus Nitrosanaphtholsulfosäuren, sowie  $\alpha$ -Nitroso- $\beta$ - und  $\beta$ -Nitroso- $\alpha$ -naphthol mit Eisen- und Kobaltsalzen 1610.
- Hoffmann (P.), siehe Städel (W.).
- Hoffmann (R.), **77**: Ultramarinfabrikation 1231.
- 78**: Farbstoffe aus blauem und grünem oder weißem Ultramarin, deutsche Ultramarinfabrikation 1178.
- 79**: Ultramarin 1153 f.
- 85**: Zusammensetzung der „Kesselsteinlösung“ 2162; siehe Rügheimer (L.).
- Hoffmeister (G. B.), siehe Muir (P.).
- Hoffmeister (W.), **86**: Rohfaserbestimmung 2102 f.; Holzgummi 2103.
- Hoffrén (A.), **82**: Hornblendenanalysen 1556.
- Hofmann und Schoetensack, **84**: Gewinnung von Phenylcyanat 1741.
- 85**: Darstellung von Phenylcyanat 2081; Darstellung von Säureanhydriden (Essigsäure-, Propionsäure-, Buttersäure-, Benzoesäureanhydrid) 2095; Herstellung von Salicylsäure 2097 f.
- Hofmann und Schrölenack, **81**: Wirkung des Chinolins (weinsaures Chinolin) 918.
- Hofmann (A.), **80**: Halloysit 1472.
- 81**: Tremolit 1393.
- Hofmann (A. W.), **77**: Dampfdichtebestimmung 48; Isocyanphenyl gegen Schwefelwasserstoff 342; Tetraphenylmelamin, Xylidine 346; Monomethylanilin 464, 465; Diazoverbindungen gegen Diamine: Chrysoidine 489;  $\alpha$ -Naphtholsulfosäure, Diazoderivat 863; Strychninpolysulfat 892; Bericht über die Entwicklung der chemischen Industrie 1103.
- 78**: Dampfdichtebestimmung 30; Beziehung des Cedrrets (Cörlignons) zu Pyrogallussäure-Dimethyläther 567 f.; Darstellung von Aethylcedrret aus Pyrogallussäure-Diäthyläther 568; Vorkommen des Dimethyläthers einer Propylpyrogallussäure im Buchenholztheer 585; Pittakal 599; Methylaldehyd 612; Thioamide 672 f.; Zuckerraffination 1149.
- 79**: Vorlesungsversuche 169 f.; Angelylsenöl, Crotonylamin 349; Chlorphenylsenföl 349 f.; Piperidin und Pyridin 406 f.; Phenylbenzamid gegen Schwefel 445 f.; Eupittonsäure (Pittakal) 530 f.; Derivate 532 f.

**80:** Umwandlung von Methylthiocyanat 403 f.; Chlorphenylsenföf und Derivate 406 f.; Hexamethylbenzol 456; Schwefel gegen Phenylbenzamid 555; o-Amidophenylmercaptan 626 f.; Triäthylphosphin gegen Schwefelkohlenstoff 1173.

**81:** Methylpyridylammoniumhydroxyd 426; Verhalten von Aethyl-, Amyl-, Methylpyridylammoniumjodid 427 f., von Benzylpyridylammoniumchlorid, von Picolin und Lutidin 428; Amide gegen Brom (Methylacetylharnstoff) 662 ff.; Methylamin 664; Aethyl-, Methyl- und Dimethylpiperidin 924; Piperin 925; Formel des Coniins 925 f.; Dimethylconiin und Derivate, Conylen 926.

**82:** Vorlesungsversuche: Volumverhältnisse der elektrolytisch aus Salzsäure entwickelten Elementarbestandtheile, Bildung der Salzsäure aus Chlor und Wasserstoff 203; Gewichtszunahme bei der Verbrennung 204; Gleichvolumigkeit der Kohlensäure mit dem bei der Bildung verbrauchten Sauerstoff 204 f.; Gleichvolumigkeit des Schwefeldioxyds mit dem darin enthaltenen Sauerstoff, Verbrennung von Sauerstoff in Wasserstoff, von Chlor in Schwefelwasserstoff, volumetrische Beziehung zwischen flüssigem und gasförmigem Wasser, Gewicht des Wasserdampfes und der Luft 205; Dichtigkeitsmaximum des Wassers, Zerlegung des Wassers durch Natrium 206; volumetrische Analyse des Wassers, der Ammoniak 206 f.; volumetrische Beziehung des Ammoniakgases zu dem in ihm enthaltenen Stickstoff 207 f.; Anwendung verflüssigter Gase zu Vorlesungsversuchen, des flüssigen Stickoxyduls in der Zahnheilkunde, der flüssigen Kohlensäure in der Eisenindustrie 208; alternirende Oxydation und Reduction des Stickoxyds in der Schwefelsäurefabrikation 208 f.; Gleichheit der Atomwärme 209 f.; Aequivalenz von Blei und Zink 210 f.; umgekehrter Leidenfrost'scher Versuch 211; Darstellung aromatischer Senföle 378; Darstellung von Aminen aus Säureamiden 469 ff.; Septyl- und Septdecylamin 471; krystallisiertes Cumidin, Mono- und Dimethylcuminidin 542 f.; Amide der einbasischen Fettsäuren aus den Ammoniak-

salzen 802 f.; Amide der Fettsäuren gegen Brom: Acetmonobromamid 803 f., Acetmonochloramid 804, Acetdibromamid, Acetnatriumbromamidbrom 805; Homologe des Acetamids gegen Brom: Formmonobromamid, Propionmonobromamid, Propiondibromid, Propionnatriumbromamidbrom, Aethylpropionylharnstoff, Isobuttersäuremonobromamid 806; Diisopropylharnstoff, Isopropylisobutrylharnstoff, Propylbutrylharnstoff, Isobutylvalerylharnstoff, Amylacproylharnstoff, Amylisocaproylharnstoff, Sextylönanthylharnstoff, Septyloctoxylharnstoff, Octylnonoxylharnstoff, Nonyldecoylharnstoff, Septdecylstearylharnstoff 807; Zusammensetzung des Conydrins, Verhalten desselben gegen Phosphorsäureanhydrid, salzsaures Salz und Benzoylderivat 1092.

**83:** Einwirkung von Brom in alkalischer Lösung auf Amine (Coniin und coniinähnliche Base) 621 f.; die Acetverbindung des Piperidins gegen Brom: Dibrompyridin, Monobrompyridin, Pyridin 1331; Reduction von Pyridin 1331 f., von Bromverbindungen des Coniins, Tropicidin und Collidin 1332.

**84:** Phosphorstickstoffchlorid 364; Phospham 365; Einwirkung von Aethylidenchlorid auf Aethylamin und Amylamin, Bildung von Collidin 572; Bildung von Acetodiamin aus Acetamid 602 f.; Reaction zur Erkennung von Pyridin- und Chinolinbasen 627; Darstellung von primärem tetramethylirtem Amidobenzol bei der Darstellung des Pseudocumidins im Großen 729 ff.: Amidotetramethylbenzol, Dimethylamidotetramethylbenzol 729; Tetramethylbenzol, Tetramethylphenylsenföf, Tetramethylphenylsulfoharnstoff, Tetramethylphenol 730; Zersetzen der Diazoverbindung aus Amidotetramethylbenzol mit Alkohol, Darstellung von Tetramethylphenoläthyläther (Cumenyläthyläther) 731; Darstellung von Collidin aus Glycol und Salmiak 926; Untersuchung der Umwandlung der Säureamide in die Nitrile (Octonitril) 1079 f.; Untersuchung der bei der Einwirkung von Brom in alkalischer Lösung auf die Amide entstehenden Nitrile, Darstellung von Octonitril und Homologen 1190 f.; Bild-

Dinaphtylsulfonen bei der technischen Darstellung von Naphthalinsulfosäure 1343; Umwandlung von Coniin in Propylpyridin (Conyryn) 1367 f.; Constitution und Oxydation des Coniins 1368; Abscheidung von Kaffeesäure aus Schierling 1449.

**85:** Umwandlung des Phenylcyanats in ein Dicyanat 606 f.; Phenylcyanurat 607; Sulfocyanursäure-Methyläther, Sulfocyanursäure und sulfocyanursäure Salze 612 f.; die Einwirkung von Ammoniak und Aminen auf Sulfocyanursäure-Methyläther und Cyanurchlorid (Melamin und Derivate) 614 ff.; Dimethylamidocyanursäure 618; Methyl- und Aethylmelamine 619 f.; Triperidylmelamin 621; Constitution der Melamine, Isomelamine, Sulfoharnstoffe 634 f.; Cyanursäure, Isocyanursäureester 635 f.; Darstellung von Tri- und Hexaphenylamin 636; Phenylcyanamid 636 f.; Triphenylisomelamin 637; Triphenylmelamin, Diphenylorthocyanursäure 638; Darstellung von Pentamethylamidobenzol (Monoamidopentamethylbenzol), von Dimethyleumidin 908 f.; Mono- und Dimethylamidopentamethylbenzol, Isonitril des Pentamethylamidobenzols 909 f.; Nitril desselben, Petamethylbenzol, Darstellung von Pentamethylphenol und seines Methyläthers 910 f.; Pentamethylphenylsulfid, Monopentamethylphenyl- und Dipentamethylphenylsulfharnstoff 911; Untersuchung des krystallisierten Methylviolett, Identifizierung als Hexamethylparosanilin 927 f.; Hexamethylparaleukanilin 928; Einwirkung des Broms in alkalischer Lösung auf Amide 1318 f.; gechlorter Methylacetylharnstoff 1318; Aethoxacetsäure, Phenäthylamin, Phenylpropionsäureamid, Bildung von Anisidin 1319.

**86:** Cyanursäureäther: normales Trimethylcyanurat 515 f.; normales Trimethylsulfocyanurat, Trimethylisocyanurat 516; normale Dimethylcyanursäure 516 f.; Dimethylisocyanursäure (= Dimethylcyanursäure), Silbersalz 517; Dimethyläther der normalen Amidocyanursäure 517 f.; normales Triäthylcyanurat; Isotriäthylcyanurat 518; normale Diäthylcyanursäure 518 f.; Diäthylisocyanursäure, Diäthyläther der normalen

Amidocyanursäure, Aethyläther der Diamidocyanursäure 519; normales Tripropylcyanurat 519 f.; normales Triamyl- und Triphenylcyanurat, Constitution der Cyanursäure und des Melamins: Vorgang bei der Bildung des Thiammelins und der Melanurensäure, Darstellung des chlorierten Methylisocyanurats 520; Verbindung des Trimethylisocyanurats mit Quecksilberchlorid 521; Constitution der Dimethyl- und Diäthylisocyanursäure 521 f.; siehe Amsel (H.); siehe Behrmann (A.).

Hofmann (A. W.) und Miller (W. v.), **81:** isomere Mononitrokresole und Derivate, Dinitrokresol 562 f.

Hofmann (A. W.), Mylius (F.) und Ehestädt (P.), **85:** Untersuchung der Coniceine aus Conydrin (Conoxin) und Coniin 1684 bis 1689: pikrins.  $\alpha$ -Conicein und  $\beta$ -Conicein 1684;  $\alpha$ -Conicein und Salze, Bildung von Coniin, Octan und Octylamin aus  $\alpha$ -Conicein,  $\beta$ -Conicein und Salze 1685;  $\beta$ -Conicein-dimethylammoniumjodid, jodwasserstoffs. Monojodconiin, Monojodconiin, jodwasserstoffs. Conicein, Monochlorconiin, Monobromconiin 1686;  $\alpha$ -Conicein aus Bromconiin,  $\gamma$ -Conicein und Salze 1687; Dimethyloxyconiinmethyllummoniumjodid, Dimethyloxyconiin, Oel  $C_8H_{11}O$ , Tribromoxyconiin, Dibromoxyconiin, Oxyconicein, Coniceidin 1688; Tabelle der Coniinbasen 1689.

Hofmann (C. C.), **84:** Analyse von Samarskit 1994.

Hofmann (G.) und Geisler (E.), **80:** Biere, Untersuchung 1355.

Hofmann (K. B.), **85:** spectroscopische Bestimmung des Lithiums 1925 f.

Hofmann (O.), **80:** Allylacetessigäther 822.

Hofmeister (J.), **82:** Farbstofffixierung durch eiweißhaltige Substanzen an Stelle von Albumin 1474 ff.

Hofmeister, siehe Ellenberger.

Hofmeister (E.), **85:** Resorption und Assimilation 1828.

Hofmeister (F.), **77:** Untersuchung von Amidosäuren (Glycin, Sarkosin, Leucin, Asparaginsäure, Glutaminsäure, Asparagin, Tyrosin) 666; Milchsucker im Harn (Lactosurie) 1003.

**78:** Abscheidung von Eiweiß aus tierischen Flüssigkeiten 933 f.; Rück-



- bildung von Collagen aus Leim 934 f. und von Eiweiß aus Pepton 935; Semiglutin, Hemicollin, Collagen, Leimpepton, Glutin 936 f.
- 80:** Pepton 1044; Eiweiß und Peptone in Verdauungsflüssigkeiten 1235.
- 81:** Pepton 999 f.; durch Phosphorwolframsäure fällbare Substanzen des Harns 1053.
- 82:** physiologische Wirkungen der Platinbasen 1225.
- 86:** Resorption und Assimilation der Nährstoffe 1831.
- Hogarth (J.), siehe Hannay (J. B.); siehe Mills (E.).
- Hogg (Th. W.), **80:** Kohlenstoff im Stahl 1256.
- 82:** Zusammensetzung von Stahlsorten 1363.
- Hoglan (Ph.), **80:** Calomel 357.
- Hohagen (M.), **83:** Analyse eines Sulfats von Spanish Fork Canon, Utah 1859.
- Hohenhausen (J. von), **84:** Trennungsmethoden des Benzols, Toluols, Xylois aus der rohen Naphta 1829.
- Holdefleiss, **77:** Kartoffeln, Rohfaserbestimmung 1090.
- 86:** Untersuchung von Peiner Phosphatmehl 2034; Düngewerth von Melasseentzuckerungs- und Scheideschlamm 2125.
- Holden und Bruder, **77:** Eismaschine 1105.
- Holden (L. H.), **80:** *Acalia spinosa* 1076.
- Holder (J. G.), siehe Norton (L. M.).
- Holdermann (E.), **77:** Tartrate 710.
- 78:** Phosphorsäure in einer unreinen Salzsäure 213; Eisenalbuminat 264.
- 80:** reducirende Wirkung des Morphins 954 f.
- Holdich (A. H.), **84:** indirecte Bestimmung des Mangans im Spiegeleisen 1598 f.
- Holland (J.), **82:** Gießen und Formen von Iridium 1388 f.
- 84:** Legirung von Phosphor mit Iridium 1719.
- Holland (P.), **82:** Darstellung ammoniakfreien Wassers 1261.
- Holland (P.) und Phillips (H.), **84:** Bestimmung von Schwefelkohlenstoff in Benzol und Rohnaphta 1589.
- Holland (Ph.), **86:** Alkalibestimmung in Silicaten 1927 f.
- Hollemann (A. F.), **86:** Untersuchung des festen Nitrirungsproducts aus Cymol 675 f.; Verhalten gegen Schwefelsäure, Natron und gegen Zinkstaub:  $\gamma$ -Diketon,  $C_{16}H_{18}O_2$ ; Anhydro-, Imid- und Schwefelverbindung des letzteren 676.
- Hollick (F.), **85:** Gewinnung von Gold und Silber durch Amalgamation 2043.
- Hollmann (S. W.), **86:** Viscosität (Reibungscoefficient) der Luft 85.
- Hollrung, **84:** Stickstoffbestimmungsmethode von Kjeldahl 1610.
- Hollrung (M.), **86:** Bestimmung des Markgehaltes der Zuckerrüben 2120 f.
- Hollrung (M. U.), **85:** Rubellanalysen 1885.
- Hollway, **79:** Schmelzproceß für Schwefelkiese 1105 f.
- Hollway (J.), **79:** metallurgischer Proceß 1090.
- Holm (J.), **83:** Untersuchung der durch Einwirkung von Chlor und Brom auf Fluoren entstehenden Körper (Dibromfluorenketone) 576.
- Holm (J. Ch.) und Poulsen (S. V.), **86:** Nachweis einer Infection mit wilder Hefe in einer Unterhefe von *Saccharomyces cerevisiae* 1884 f.
- Holman (S. W.), **77:** Reibungscoefficient der Gase 67.
- 82:** Calibrirung von Thermometern 97; Thermometercalibrirung 1349.
- Holmann, **80:** Cupellation von Gold und Silber 228.
- 82:** spezifische Wärme des Platins und Eisens 99.
- Holmes (E. M.), **77:** „schöne Senna“ (*Cassia brevipes*) 942.
- 79:** Calabarbohnen 928 f.; Myrtus Chekan 935.
- 84:** Untersuchung von Limonien-Oel 1468.
- 86:** Beschreibung der verschiedenen Santalumarten 1829.
- Holmes (F. G.), **85:** Apparat zur Ammoniakbestimmung 2007.
- Holsermann do Rego (J.), **86:** Prüfung von Bordeauxroth 1987.
- Holst (L.), siehe Post (J.).
- Holthof, **78:** Bauxit von Mühlbach 1217.
- Holthof (C.), **77:** Phosphorbestimmung im Eisen 1055; Schnellfiltration 1097.

- 84:** Aufschliessmittel für Silicate 1552; Bestimmung von Arsen 1582; Fällung des Mangans mit Brom 1598.
- 86:** Verbesserungen an dem Schlämmapparat von Schöne 2013.
- Holton (F. A.), **85:** Erkennung und Trennung von Jod und Brom 1900; Prüfung auf Chromsäure 1933.
- Holtz (J. F.) und Finzelberg (H.), **84:** Verfälschung technischer Antimonpräparate 1584.
- Holtz (W.), **83:** Vorlesungsversuch: Wärme-Absorption der Metalle 264 f.
- 86:** Breguet'sche Spiralthermometer, Hygrometer (Vorlesungsversuche) 318.
- Holtzwich (O.), **80:** Oellacke und Firnisse 1365.
- Holz (A. L.), **77:** Magnetisierung von Eisen und Stahl 171.
- 78:** Coërcitivkraft des Magnet-eisensteins 157 f.
- Holzappel (E.), **83:** m- $\beta$ -o-Dibrombenzoesäure 1127.
- Holzborn, siehe Leuckart (E.).
- Holzhauser (W. C.), **80:** Eriodyction californicum 1077.
- Holzner, **85:** Zersetzung der Salicylsäure beim Gähren der Bierwürze 2158.
- Holzner (F.), **86:** Anwendung des Hellhoffs 2077.
- Holzner (G.), **82:** Bestimmung des Alkoholgehaltes von Flüssigkeiten 1309.
- Homann (F. W.), **77:** Quercit 535.
- Homén (Th.), **85:** elektrischer Leitungswiderstand der verdünnten Luft 294 f.
- Homeyer (J.), siehe Liebermann (C.).
- Homolka (B.), **84:** Verhalten von p- und o-Mononitrobenzaldehyd gegen Cyankaliumlösung 1038.
- 85:** Condensationsproducte der  $\alpha$ -Ketonsäuren (Brenztraubensäure) 1322 f.;  $\alpha$ -Crotonsäure, Zimmtsäure aus Phenylglyoxylsäure, Tetramethyldiamidotriphenylmethan 1322; Benzaurin 1323.
- 86:** Derivate des Cantharidins: Cantharidinsäure 1763 f.; Cantharidoxim, Cantharidoximsäure 1764; Cantharsäure, Cantharoximsäure 1764 f.; siehe Baeyer (A.); siehe Cornelius (H.).
- Homolka (B.) und Loew (W.), **86:** Verhalten von Mononitroterephthalaldehyd gegen Cyankalium: Azoxyterephthalaldehydsäure 1636 f.
- Homolka (B.) und Stolz (F.), **85:** Untersuchung der Monojodpropargylsäure 1338 f.; Monobromjodacrylsäure,  $\beta$ -Dijodacrylsäure,  $\alpha$ - $\beta$ -Dijodacrylsäure, Dibromjodacrylsäure 1338; Dibromjodäthylen, Trijodacrylsäure, Dijodbromacrylsäure 1339.
- Hondley (J. C.), **83:** Platin-Wasser-Pyrometer 114.
- Honeymann (D.), **80:** Louisit 1477.
- Honigmann (M.), **85:** Herstellung eines Eisenoxyduloxyd-Ueberzugs auf eisernen Gegenständen 2033.
- Hood (J.), **84:** Titirung von Eisen 1595 f.
- Hood (J. J.), **78:** Gesetze von chemischen Vorgängen 16.
- 79:** Gesetze der chemischen Vorgänge 21.
- 82:** Verzögerung einer chemischen Wirkung durch inactive Substanzen 11.
- 84:** Interdiffusion (freie Diffusion) von Gasen in Luft oder Wasserstoff bei Gegenwart eines Absorptionsmittels 136 f.
- 85:** Verzögerung einer chemischen Wirkung 5; Einfluss der Temperatur auf den Betrag der chemischen Umsetzung (Oxydation von Ferrosulfat durch Kaliumchlorat) 117; Titirung von Eisen mit Permanganat 1933 f.
- 86:** Theorie der fractionirten Fällung 18 f.
- Hoogewerff (S.) und Dorp (W. A. van), **77:** Oxydation von organischen Stickstoffverbindungen 325.
- 78:** Oxydation stickstoffhaltiger organischer Verbindungen durch Kaliumpermanganat 504.
- 79:** Oxydation des Chinolins 784; Oxydation des Chinins 799 f.; Tricarbonsäure des Pyridins, Salze 800 f.
- 80:** Lepidin, Methyldicarbo- und Tricarbopyridinsäure 950; Chinabasen, Oxydation 958 f.; Pyridinmonocarbonsäure, Cinchomeronsäure, Constitution 961 f.
- 81:** Methylpyridinmono- und -dicarbonsäure (Methylchinolinsäure) 754; Pyridincarbonsäuren 755; Cinchomeronsäure,  $\gamma$ -Pyridincarbonsäure 973.
- 82:** Identität des Steinkohlentheer-Chinolins (Leukolin) mit Chinolin aus Chinaalkaloiden 1078; Koh-

lensäure zur Stickstoffbestimmung 1302 f.

**83:** Lepidin und Derivate 671 f.; einchomeronsaures Kupfer 672; Bildung von Cyanin aus Chinolin 1312; Dimethylcyaninjodid 1312 f.; Diäthylcyaninjodid, Methylchinolinmethyljodid, p-Toluchinolin gegen Lepidin 1313; Strychnin gegen übermangansaures Kalium 1340; Farbstoffe aus Leukolin, Chinolin aus Chinabasen gegen Jodamyl und Kaliumhydroxyd 1808.

**84:** Darstellung cyanartiger Farbstoffe 1381 f.: Dimethylcyaninchlorid, Diäthylcyaninbromid, Dimethylmethylcyaninjodid, Diäthylisocyanin 1381; Diamylcyaninjodid, Reinigung von Chinaldin 1382; Farbstoffe aus Lepidin und Chinolin 1860 ff.

**85:** Darstellung von Isochinolin aus Steinkohlentheerchinolin 970 f.; Verhalten desselben bei der Oxydation, Constitution des Isochinolins der Cinchomeronsäure 971.

**86:** Darstellung von Monobenzylamin und Phenyläthylamin 852 f.; Derivate des Isochinolins 923 ff.; Oxydation desselben mit Kaliumpermanganat, Salze, Verhalten gegen Brom, Methyl- und Aethylisochinolinylammoniumjodid 924; Isochinolinsulfosäuren 924 f.; Reduction des Isochinolins: Tetra- und Dihydroisochinolin 925.

Hooker (S. C.), siehe Bamberger (E.); siehe Japp (F. R.).

Hooper (D.), **82:** Löslichkeit der Borsäure in Glycerin 256 f.

**86:** Optische Untersuchung des Chininsulfats 1980.

Hoorweg (J. L.), **80:** thermische Theorie des galvanischen Stromes 149 f.

Hopkins (G. M.), **81:** Laboratoriumsapparate 1237.

Hopkinson (J.), **77:** elektrostatische Capacität von Flintglas 168; Brechung optischer Gläser 179.

**80:** Wirkung des Magneten auf den Strom 173 f.

**81:** Dielektritätsconstanten von Flüssigkeiten 89.

**85:** Sitz der elektromotorischen Kräfte in einem Volta'schen Element 237.

**86:** Magnetisirung des Eisens 285 f.

Hoppe (E.), **77:** Flammenleitung 164.

Hoppe (G.), **84:** Titrirapparat für Rübensäfte 1693.

Hoppe-Seyler (F.), **77:** Palladiumwasserstoff 315; Blutfarbstoff 994; Alkoholbildung 1022; Bestimmung des Albumins in der Kuhmilch 1088.

**78:** Entwicklung von Sauerstoff aus lebenden grünen Pflanzen im Sonnenlichte 941; Oxyhämoglobin und Methämoglobin 998 f.; Fermentwirkungen 1016; Fäulnisprocesse 1023 ff., Nuclein in der Hefe 1026; Lecithin und Nuclein in der Hefe 1030; Invertin 1032.

**79:** Activirung des Sauerstoffs durch nascirenden Wasserstoff 189 f.; Chlorophyll 898 f.: Ursache der Athembewegungen 950; Synthese durch Gährung 1002 f.; Lecithin in der Hefe 1009 f.

**80:** Chlorophyll 1057.

**81:** Chlorophyll, Chlorophyllan, Chlorophyllansäure 1011; Harnstoff in der Leber von Hunden 1042; Veränderungen des Blutes bei Verbrennungen der Haut 1045 f.

**82:** Zusammensetzung des Methämoglobins 1206 f.; Einwirkung des Sauerstoffs auf Gährung und Fäulnis 1235.

**83:** Ursache der durch nascirenden Wasserstoff bewirkten Oxydationen und die Activirung des Sauerstoffs 268 bis 270; Zerlegung der Ameisensäure durch Rhodummohr und ihre Gährung durch Cloakenschlamm 269; Bildung und Zersetzung des Wasserstoffhyperoxyds, Bildung der salpetrigen Säure, Activirung des Sauerstoffs 270 bis 273; Cellulosegährung durch Cloakenschlamm 1501 f.

**84:** Abscheidung von Alkaliseifen aus dem Blutplasma und dem Chylus 1481; Einwirkung von Sauerstoff auf die Lebensthätigkeiten niederer Organismen 1516 f.

**85:** Oxydationsfähigkeit des nascirenden Wasserstoffs bei Gegenwart von Sauerstoff 373; Untersuchung des Blutfarbstoffs 1834 f.; Hämin, Hämatoporphyrin, Hexahydrohämatoporphyrin 1835; Abscheidung des Caseins aus der menschlichen Milch 1988 f.

**86:** Blutfarbstoffe 1844; Gährung der Cellulose 1873 f.

- Hoppe-Seyler (G.), **83**: physiologisches Verhalten der o-Mononitrophenylpropionsäure, zur Kenntniss der Indigo bildenden Substanzen im Harn und des künstlichen Diabetes mellitus 1472 f.
- 84**: Wirkung des Phenylhydrazins auf den thierischen Organismus 1513.
- Hopps (J.), **84**: Aenderung des elektrischen Leitungswiderstandes einer Drahtrolle 248.
- Horbaczewski (J.), **79**: Albuminoide 877 f.
- 82**: Synthese der Harnsäure 395; Verhalten des Elastins in der Pepsinverdauung: Hemi-elastin und Elastinpepton, structurloses Elastin 1138.
- 83**: Synthese der Harnsäure 495.
- 85**: Synthese der Harnsäure 653 f.; Untersuchung des Elastins, von Albuminoiden 1780.
- 86**: Stickstoffbestimmung in Harn und Milch 2004.
- Horbaczewski (J.) und Kaněra (F.), **86**: Einfluss von Glycerin, Zucker und Fett auf die Ausscheidung der Harnsäure beim Menschen 1851 f.
- Horin-Déon (P.), **80**: Invertzucker 1022.
- Horn (W.), **86**: elektrische Lampe 1245.
- Horn (W. F.), **79**: Darstellung von Phosphorsäure 226.
- Hornberger, siehe Pohn (A.).
- Hornberger (R.), **78**: Bestimmung der Alkalien in Pflanzenaschen 1058.
- 83**: Aschen der wichtigsten Waldsamen 1395.
- 85**: Gehalt und Zunahme von Sinapis alba an Trockensubstanz und chemischen Bestandtheilen 1789 f.; Düngerwerth des Adlerfarns 2128.
- Hornbostel (F.), **78**: Vermehrung des Sauerstoffs in der Verbrennungsluft 1115.
- 81**: Sauerstoffgebläse 1314.
- Hornoch (C.), siehe Janowsky (J. V.).
- Hornstein (F.), **77**: Katzenauge 1274.
- Hornstein (F. F.), **86**: Ursache des Polarmagnetismus von Magnet Eisen 2241 f.
- Hornung (G.), **77**: Copalin 1350.
- Horodam (J.), **84**: Conservirung von Leim 1787.
- Horse, **78**: Verhütung von Kesselstein 1116.
- Horseley (J.), **85**: Unterscheidung von Butterine (Oleomargarin) von Kuhbutter 2136.
- Horsin-Déon (P.), **79**: Palmzuckeruntersuchung 854; neutraler Invertzucker 854 f.
- Horst (L.), **80**: Zündhölzer 1307.
- Horstmann, **78**: Constitution des Essigsäuredampfes, Dampfdichte des mit Luft gemischten Dampfes 50, 51.
- Horstmann (A.), **77**: Affinität 22.
- 79**: relative Verwandtschaft des Sauerstoffs zu Wasserstoff und Kohlenoxyd 28.
- 81**: Dissociation (Anwendung des zweiten Hauptsatzes der Wärmetheorie auf chemische Erscheinungen 1134.
- 86**: Vergleichung der Molekularvolumina 77.
- Horwitz (A.), **86**: Melamine der Toluidine: normales o-Tritolylmelamin, p- und o-Tritolylisomelamin aus den Tolylycyanamiden, Verhalten der beiden letzteren gegen concentrirte Salzsäure: Tritolylisocyanurate; p-Tritolylmelamin 844; Pseudomonocumylsulfoharnstoff, Pseudocumylsulfoharnstoff und Pseudocumylsenfö 845.
- Hoskinson (W. S.), siehe Smith (F.).
- Hoskinson (W. S.) und Brunner (D. B.), **86**: Analyse von Stilbit 2287.
- Höte (L. L.), **85**: Zersetzung von Wasser durch chemisch reines Zink 539 f.; Darstellung von reinen Vanadinverbindungen aus Vanadinit 561 f.; Vanadylchlorid 562.
- Houck (O.), **84**: Darstellung des Sorghum-Zuckers 1405.
- Houdart, **77**: Weinanalysen 1205.
- Houdart (E.), **81**: Gyps im Wein 1218.
- 83**: Conservirung von verschnittenem Wein 1740.
- Houdé (A.), **86**: Darstellung von Spartein 1693 f.
- Houdés (A.), **84**: Untersuchung von krystallisirtem Colchicin 1396.
- Houghton (F. H.), **86**: Reinigung von Glycerin 2159.
- Houghton (F. T. S.), **80**: Olivengabbro 1499 f.; Serpentine 1500; siehe Bonney (T. G.).
- Houl, siehe Mac Houl.
- Houze (A.), **80**: Schwefelsäurefabrikation 1288; Phosphorsäure aus Phosphaten 1289.

- Houzeau, **77**: ammoniakhaltiges Brunnenwasser 1133.
- Houzeau (A.), **77**: Ammoniakbestimmung in Wässern 1038.
- 78**: volumetrische Bestimmung der Schwefelsäure 1046.
- 79**: Gravivolumeter 1084.
- 80**: Schwefelbestimmung in Pyriten 1142; Mineralquellen 1535.
- 82**: Bestimmung der Carbonate alkalischer Erde in Wässern 1262.
- 83**: Ammoniakgehalt der Regenwässer 1717.
- 85**: Bestimmung des Stickstoffs 1908.
- How, **78**: Reactionen der Alkaloide 871; Reaction auf Opiumalkaloide 1084.
- How (H.), **78**: Arsenkies 1205.
- 79**: Mordenit, Steelit 1234.
- Howard (A.), siehe Illingworth (B.).
- Howard (D.), **78**: Untersuchung von Cinchonaarten 874.
- 82**: Ultramarin 1107.
- 85**: Bestimmung des spec. Drehungsvermögens des Cupreins 1710.
- Howard (D.) und Hodgkin (J.), **82**: Homochinin aus China cuprea 1107.
- Howard (J. E.), **79**: Darjeelingrinde, Alkaloide 793 f.
- Howard (J. E.) und Trimen (H.), **83**: Einfluß der Höhe auf die Alkaloide von *C. succirubra* 1349.
- Howard (J. S.), **85**: Verarbeitung von Kupfererzen 2039.
- Howard (W. C.), **84**: Einwirkung von Brom auf bromwasserstoffsäures Thebain, Morphothebain, Thebain gegen Phosphorpentachlorid, Thebainmethyljodid, Thebainäthyljodid 1390; Thebainbenzylchlorid 1391.
- Howard (W. C.) und Roser (W.), **86**: Morphothebain und Derivate 1713 f.; Spaltungsproducte des Thebainmethylhydroxyds 1714 f.
- Howe (A.), siehe Groth (P.).
- Howe (A. B.), **78**: Additionsproducte von Aethylcrotonsäure 658.
- Howe (H. M.), **86**: Verarbeitung von Kupfererzen 2042.
- Howe (J. L.), **83**: Einwirkung von Jodcyan und Benzol auf Anhydrobenzdiamidobenzol bei 100° 724 f.; Aethylderivate des Anhydrobenzdiamidobenzols 725 f.
- 86**: Verhalten des gefällten Schwefelquecksilbers gegen Salpetersäure 1946.
- Howitt (A. W.), **84**: Analysen der Eruptivgesteine des Schiefergebirges von Omeo, Gippsland, Victoria 2014.
- Howitz (H.), siehe Claus (A.).
- Howson, **77**: Puddelofen 1213.
- Howson (B.), **77**: Einfluß des Puddeins auf das Schweißen von Eisen 1111.
- Hoyer (E.), **82**: Papieruntersuchung 1470.
- Hoyermann, **86**: Wirkung der aus basischen Schlacken hergestellten Düngemittel 2034; Wirkung der Thomasschlacke als Düngemittel 2107.
- Huber (L.), **77**: Molybdänsäure gegen Ferrocyankalium, als Reagens auf freie Mineralsäuren 1071.
- Huck, siehe Degener (P.).
- Hübl, **83**: Prüfung von Bienenwachs 1641.
- 84**: Prüfungsmethode der Fette, Oele und Fettsäuren 1823 ff.
- Hübl (A. v.), siehe Benedikt (B.).
- Hübner, **84**: Pipettbürette 1688.
- Hübner (F.), **84**: Verhalten des Mandelöls bei der Elaidinprobe 1666.
- Hübner (H.), **77**: Säurechloride gegen Anilide (Bildung von Basen) 665; isomere Nitrosalicylsäuren ( $\alpha$ - und  $\beta$ -Orthohydroxymetanitrobenzoesäure) 749; Ersetzung der Diazogruppe durch  $\text{SO}_3\text{H}$ : Meta- und Parasulfobenzoesäure 817.
- 79**: Nitrosalicylsäuren 681.
- 81**: Anhydroverbindungen aromatischer Amine 431 bis 448; Anhydro-Phenolverbindungen 530 bis 534; Malein- und Fumarsäure 716; siehe Lawrie (A. D.); s. Schwartz (E. v.).
- 83**: Di-m-nitrobenzoesäure 1123.
- Hübner (H.) und Babcock (S. M.), **79**:  $\alpha$ -Dinitrophenol aus Di-m-nitrosalicylsäure 681 f.
- Hübner (H.) und Barthlein (C.), **77**: Orthonitrobenzonitril 342.
- Hübner (H.) und Böcker (A.), **77**: Dinitrobenzoesäure (Dimetadinitrobenzoesäure), Chlorinitro-, Chloramidobenzoesäure 742.
- Hübner (H.) und Boyes (F.), **77**: Benzoylxylin,  $\alpha$ -Anhydriamidobenzoylxylyl 485.
- Hübner (H.) und Buchka (H.), **77**: Mononitroacetophenon und Monoamidacetophenon 631; Phenylglyoxalsäure (Benzoylcarbonsäure) und Derivate 761.

- Hübner (H.) und Frerichs, **77**: Nitraniline 461; Orthodiamidobenzol gegen Jodcyan (Carbotetraimidodiphenylen) 463.
- Hübner (H.) und Fricke (W.), **77**: Anhydrotoluyldiamidoxylo 486.
- Hübner (H.), Fröchtling (L.), Stromeyer (A.), Böcker, Ulrich (M.), Dettmer, Beutnagel, Lawrie, Holzapfel (E.), Hesemann (F.), Köhler (L.), Raveill, Burghard, Smith (E. F.), Wilkens (F.) und Rack (G.), **83**: substituierte Benzoesäuren 1123 bis 1133.
- Hübner (H.) und Hanemann (L.), **77**: Anhydrotoluyldiamidobenzol 485.
- Hübner (H.) und Lellmann (E.), **80**: Dijodpropylalkohol 606.
- 81**: Dijodpropylalkohol, Monojodallylalkohol 505.
- Hübner (H.) und Pichler (A.), **77**: Amylanhydrobenzoyldiamidobenzol und Derivate, Jodäthylanhydrobenzoyldiamidoäthylbenzoldijodid 486.
- Hübner (H.) und Plate (O.), **77**: Anhydrotoluyldiamidotoluol 486.
- Hübner (H.) und Schack (E. v.), **77**: substituierte Benzoesidine, Anhydrobase aus Metanitrobenzoparaloidid 485.
- Hübner (H.) und Schüpphaus (R.), **84**: Darstellung der Anhydroverbindung von Toluylendiamin 708 f.; Bromiso-o-diamidotoluol, Bromformanhydroisodiamidotoluol 708; Formanhydroisodiamidotoluol 709.
- Hübner (H.) und Simon (E.), **79**: Diäthyl- und Diamylhydrobenzoyldiamidobenzolverbindungen 446 f.
- Hübner (H.) und Stromeyer (A.), **80**: Dinitrobenzoesäure 846 f.
- Hübner (H.), Tölle (A.) und Athenstädt (W.), **84**: Einwirkung von Aethylenbromür auf Dimethylanilin und Dimethyl-p-toluidin 709 bis 713; Aethylendi-dimethyltolylamin 709; Aethylendi-methyl-p-tolylamin 710; Aethylenmethyltolylamin-dimethyltolylammoniumjodid, Triäthylentriolyltriamin, Aethylendiphenyldimethylammoniumbromid 711; Aethylendi-phenyldimethylammonhydroxyd, Aethylendi-phenyldimethylammoncarbonat 712.
- Hübner (R.), **84**: Untersuchung der Isäthionsäure und ihrer Derivate 1308 bis 1312; Monochloräthansulfosäure 1309; monoäthoxyäthansulfosaures Natrium 1310; Monoäthoxyäthansulfosäure-Aethyläther, Aethoxyäthanolmonoäthylschwefelsäure 1311; Monoäthoxyäthanschwefelsäure 1312; Darstellung von Aethern der Benzolsulfosäure 1325.
- Huecke (O.), siehe Ostwald (W.).
- Huetlin (E.), **86**: Darstellung von Papaverinalkyhaloidsalzen 1717 f.; siehe Claus (Ad.).
- Hüfner (G.), **77**: Spectrophotometer 181, 1099; Hämoglobin gegen Sauerstoff 997; Harnstoffanalyse 1078; Quecksilberpumpe 1101.
- 78**: Zusammensetzung des Pankreasfermentes 1036.
- 79**: Photometer 147; Blutfarbstoff 963; Chemie der Galle 964 f.; Absorptionsverhältniß des Oxyhämoglobins 1078.
- 80**: Haut gegen Lithiumsalze 1095; Blutfarbstoff, krystallisirtes Hämoglobin 1097; Galle 1100.
- 81**: Oxyhämoglobin 1044.
- 82**: Gasdiffusion durch Hydrophan 84 ff.; Glycocholsäure aus Galle, Verhältniß zur Taurocholsäure 1207.
- 84**: Wirkung von Kohlenoxyd und Sauerstoff auf Hämoglobin (Massenwirkung) 32 f.; Berechnung des Gehaltes einer Blutfarbstofflösung an Kohlenoxydhämoglobin 33; Ermittelung des Kohlenoxydgehaltes eines Leuchtgases 34; Untersuchung des Pferde-Oxyhämoglobins 1483 f.; Darstellung des Methämoglobins des Hundes 1485.
- 86**: Einwirkung von Wasser auf Oxyhämoglobin 1843 f.; siehe Reynolds (J. E.).
- Hüfner (G.) und Külz (R.), **83**: Beitrag zur physikalischen Chemie des Blutes: Verhalten von Hämoglobin gegen Luft und Kohlenoxyd 1451; Methämoglobin 1453.
- Hüfner (G.) und Otto (J.), **82**: Methämoglobin aus Schweineblut 1205 f.
- Hueppe, **84**: über das Sterilisieren von Flüssigkeiten 1537.
- 86**: Vorkommen von Micrococcus prodigiosus auf Käse 2118.
- Hüppe (F.), **81**: Ungeformte Fermente (Pepsin, Diastase), Verhalten 1144.

- 84:** Zersetzung der Milch durch Mikroorganismen 1783; Verhalten der Organismen der Milchsäuregärung, der Buttersäurebacillen, der Organismen der blauen Milch und der übrigen pigmentbildenden Bacterien 1783 f.
- Huet, siehe Gaillet.
- Huetlin (E.), siehe Willgerodt (C.).
- Hufschmidt (F.), **84:** Trennung des Arsens von Zinn 1582 f.
- 85:** Stickstoffbestimmung nach Dumas 1945.
- Huggenberg (C.), **78:**  $\alpha$ -Aethylacet-succinsäureäther 725; Methylbernsteinsäure 725 f.
- Huggins (W.), **80:** Wasserstoffspectrum 206; photographische Spectren 219.
- 83:** photographische Aufnahmen der Sonnencorona 1824.
- Hughes (D. E.), **81:** molekulare elektromagnetische Induction (Drehung der Moleküle) 104.
- 84:** neue Theorie des Magnetismus 276; magnetische Waage, Abhängigkeit der magnetischen Capacität von der Härte des Eisens und Stahles 277.
- Hughes (E.), **80:** Wasserstoffabsorption durch Eisen und Stahl 319.
- 83:** Theorie des Magnetismus 225.
- Hughes (J.), **86:** Analyse von Harnsubstanzen 2003.
- Hugo (L.), **84:** Atomfiguren nach Protoatomen 37.
- Hagoniot, **86:** Geschwindigkeit der Gase 165; siehe Séhert (H.).
- Hugounenq (L.), **83:** Harnstoffbildung unter physiologischen Bedingungen 1470; Modification der Bunsen'schen Harnstoffbestimmung 1597 f.
- 86:** Monochloressigsäure - Amyl-äther 1302; Alkaloide animalischer Herkunft (Ptomaine) 1754.
- Huhn (A.), **86:** Untersuchung von aromatischen Carbodiimiden:  $\alpha$ - und  $\beta$ -Carbodinaphtylimid 554 f.; Carbo-phenyl-p-tolylimid und Carbo-phenyl-o-tolylimid und Umwandlung in Phenyltolylharnstoffe, unsymmetrisches Diphenyl-p-tolylguanidin 555; unsymmetrisches Di-o-tolylphenylguanidin 555 f.; symmetrisches Diphenyl-p-tolylguanidin, symmetrisches Phenyl-di-o-tolylguanidin 556.
- Hulva, **77:** Scheidung der Rübensäfte 1190.
- Hulwa (F.), **80:** Curaçao-Guano 1337; Quellwasser 1522.
- Humbert (A.), siehe Piccard (J.).
- Hummel (J.), **78:** Diphensäure aus Phenanthrenchinon 813.
- Hummel (J. J.), **84:** Färben von Wolle mit Alizarin 1836 ff.
- Hummel (J. J.) und Perkin (A. G.), **82:** Derivate des Hämateins und Brasileins: Isohämateinsulfat, saures Isohämateinchlor- und -bromhydrin; Isohämatein; saures Isobrasileinsulfat; Isobrasileinbrom- und -chlorhydrin 1153 f.; Hämatein, Isohämatein, Brasilein, Isobrasilein 1512 bis 1516.
- Hummel (T. S.), **85:** Darstellung und Fixirung von Farbstoffen durch Elektrizität 2216.
- Humpidge, **84:** Analysen des Londoner Leucht-gases 1809.
- Humpidge (J. S.) und Burney (W.), **79:** Erbium und Yttrium 242.
- Humpidge (S.), **77:** Londoner Leucht-gas 1214.
- Humpidge (S. S.), **80:** Atomgewicht des Berylliums 290.
- Humpidge (T. S.), **83:** Atomgewicht, spec. Wärme von Beryllium 35 f.
- 84:** Verdrängung des Chlors aus Chlorsilber durch Brom 29.
- 85:** Atomgewicht des Berylliums 32.
- 86:** Atomgewicht und specifische Wärme des Berylliums 44 bis 47; Chlor- und Bromberyllium 46; kohlen-saures Beryllium-Ammonium 47; Spectra von Erbium und Didym 311.
- Hunäus, **78:** Chloralide 688 f.
- Hunäus (P.), siehe Wallach (O.).
- Hunäus (P.) und Zincke (Th.), **77:** Styrolenalkohol gegen oxydierende Agentien 539.
- Hundeshagen (F.), **83:** Versuche zur Synthese des Lecithins,  $\alpha$ -Distearin,  $\alpha$ -Distearylglycerinphosphorsäure, saures  $\alpha$ -distearylglycerinphosphorsäures Neurin 1444; Salze des Neurins, Monostearylglycerin, Diäthylglycerinphosphorsäuren 1445.
- Hungerbühler (J.), **85:** Untersuchung nicht ausgereifter Kartoffelknollen, Nachweis von Asparagin, Glutamin und von Xanthinkörpern in denselben, Analyse der Trockensubstanz 2159 f.
- Hunnius (H.), **77:** Acetophenonderivate 628.

- Hunt und Douglas, **77**: Kupfergewinnung 1119.
- Hunt (A. E.), **85**: calorimetrische Methode zur Bestimmung des chemisch gebundenen Kohlenstoffs im Stahl 1922.
- Hunt (B.), **85**: Synthese der Gallusgerbsäure 1552; Tanninbestimmung nach Löwenthal-Procter 1960 f.; Lösen von Gambir 2255; siehe Mills (E. J.).
- Hunt (J. Sterry), siehe Sterry Hunt (J.).
- Hunt (R.), **79**: Einfluss der Sonnenstrahlen auf die Vegetation 883.
- Hunt (T. Sterry), **77**: Verhältniß der Atmosphäre zu den geologischen Vorgängen 1280 f.; Venerit 1319.
- 80**: Beziehung der Atmosphäre zu den geologischen Vorgängen 1489.
- 84**: Analyse von weißem Granat 1956 f.; Untersuchung über den Verwitterungsproceß 2006 f.
- 85**: elektrischer Schmelzofen zur Reduction 1999.
- 86**: Volumgesetz und Molekulargewicht 61 f.; Gewinnung der Legierungen von Aluminium, Silicium, Bor, Kupfer, Titan 2018.
- Huntington, **82**: der mexikanische Amalgamationsproceß 1384.
- Huntington (A. K.), **85**: Verarbeitung von Wolfram, Scheelit und anderer Wolframerze 2037; siehe Hartley (W. N.); siehe Siemens (C. W.); siehe Siemens (W.).
- Huntington (A. K.) und Koch (W. E.), **84**: Verarbeitung edle Metalle führender Erze 1718.
- Huntington (O. W.), **81**: Atomgewicht des Cadmiums 6; Spectrum des Arsens 120.
- 86**: Aetzfiguren der Meteoreisen 2325 f.
- Huntington (W.), **84**: Krystallform von  $\alpha$ -Chlordibromacrylsäure 1107.
- Huntly (G. N.), **86**: Gewichtsbürette 2013.
- Huperts (A.), **85**: Herstellung von Bronzen und Weißmetall 2050.
- Huppert, **77**: Paralbumin 917, 1088.
- Hurff (G. B.), siehe Austen (P. T.).
- Hurion, **84**: elektromagnetische Drehung eines von einer Wismuthschicht reflectirten Lichtstrahles 306.
- 85**: Leitungswiderstand des Wismuths 259.
- Hurion (A.), **78**: anomale Dispersion 168.
- Hurst (G. H.), **86**: gelber Farbstoff der Algalorilla 2210 f.
- Hurter, **86**: Probeentnahme bei Erzen 1945; siehe Carey.
- Hurter (F.), **77**: Chlorkalkproceß 1128.
- 78**: Anemometer zur Angabe der Geschwindigkeit des Gasstromes 1096.
- 79**: Ferrocyan der Soda 1111.
- 81**: Eisen aus Rohsoda 1267.
- 83**: die Zukunft der Chlorindustrie 1683; Verwendung des nach dem Schwefelregenerationsverfahren erhaltenen Kalkschlammes zur Sodagewinnung 1692.
- 85**: Behandlungsarten von Flüssigkeiten mit Gasen 2051.
- 86**: Luftpyrometer 2148; siehe Carey (G.); siehe Gaskell (H.).
- Hurter, (J.), **79**: Stickoxydverbindungen bei der Schwefelsäurefabrikation 1106 f.
- Hurwitz (M. S.), **83**: Darstellung von künstlichem Leder 1780 f.
- Husemann (Th.), **77**: Krampfgifte 929; Wirkung des Bromkaliums 1009, des Ammoniaks und Trimethylamins 1010.
- 78**: Ditaïn 891.
- 79**: Chloralwirkung 992; Zündhölzchen 1116.
- 80**: Ptomaine 1001.
- 81**: Cadaveralkaloide 975 f.
- 82**: Bedeutung der Ptomaine für gerichtliche Chemie und Toxikologie 1116; Bedeutung der Ptomaine 1322.
- 83**: Ptomaine 1357.
- 84**: neueste Studien über Ptomaine 1399.
- Huskißon (P. L.), **84**: Krystallisation der Orthophosphorsäure 359 f.
- 85**: Wasserstoffperoxyd 376; Reinigung des Wismuths 550.
- Husnik (J.), **77**: Wasserfarben für Lichtdruck 1248.
- Hufs (N.), **86**: Bestimmung des Phosphors im Stahl 1919 f.
- Hussak, **86**: Krystallform des Morphins 1708 f.
- Hussack (E.), **80**: ungeschmolzene Basalte und Granite 1490.
- 82**: Entstehung der alpinen Serpentine 1596.
- 83**: mikroskopische Untersuchung eines verglasten Sandsteines von Ottendorf 1921 f.; mikroskopische Be-



- schaffenheit des Basalts und Tuffs von Ban im Baranyer Comitát, Ungarn 1932.
- 84:** Untersuchung von Cordierit 1973; Analysen der Cordierit führenden Auswürflinge des japanischen Vulkans Asamayama 2026 f.
- 85:** Cordierit als Felsgemengtheil 2302; Untersuchung von Phonolith 2303; siehe Doelter (C.).
- Hussenot (H.), **86:** Apparat zur Sublimation von Oxalsäure 1310.
- Huxson (C.), **79:** Kaffee, Thee, Cichorien 1143; siehe Bancel (C.).
- 80:** Kaffee und Cichorie 1222.
- 83:** Bedeutung der würzenden Substanzen für die Ernährung 1433; Nachweis von Blut auf gewaschenen Kleidungsstücken 1640.
- Huston (Ch.), **78:** Festigkeit und Dehnbarkeit von Eisen- und Stahlplatten 1104.
- Huston (H. A.), **83:** Löslichkeit der Phosphorsäure in Handelsdüngern in einer Lösung von Ammoniumnitrat 1719; Methoden der Bestimmung der zurückgegangenen Phosphorsäure mittelst Ammoniumcitrat 1720.
- Hutcheson (J. B.), siehe Dobbie (J. J.).
- Hutchings (W. M.), **77:** Mooskupfer, -silber 300; Aluminiumplatten 1031; Wismuthreaction 1047; Kupfergrün 1310.
- 86:** Löthrohranalyse von Silicaten 1926.
- Hutchins (C. C.), siehe Robinson (F. C.).
- Hutchinson (C.), **84:** Reinigung von Schlammwässern 1775.
- Hutchinson (C. C.), **79:** Trennung und Bestimmung des Cadmiums 1053; Benzoline als Heizmaterial 1085.
- 80:** Trennung und Bestimmung des Cadmiums bei Gegenwart von Zink und Kupfer 1188.
- Hyatt, **77:** Celluloid 1223.
- Hybeneth (F.), siehe Limpricht (H.).
- Hylius (E.), **79:** Zink im Quellwasser 1027.
- I.**
- Ibara, siehe Kellner (O.).
- Ibraillan, siehe Hairabeth A. B. Ibraillan.
- Iddings, **84:** Untersuchung von Hornblende 1970.
- Iddings (J. P.), **86:** Vorkommen, Krystallform und Analyse von Fayalith 2266 f.; siehe Hague (A.).
- Iddings (J. P.) und Cross (W.), **86:** Vorkommen und Untersuchung von Allanit 2284.
- Ide, **81:** Diäthylanthrobenzoldiamidotoluolderivate 447.
- Igelström, **86:** Analyse von Braunit 2238.
- Igelström (L. L.), **83:** Analyse des manganhaltigen Brucits von Jakobsberg, Schweden 1845; Analyse des Talktriplits von Horrajöberg, Schweden 1865.
- 84:** Untersuchung von Manganarseniaten: Manganostibiit, Hämatolith, Hämafibril 1940; Analyse von Empholit 1991.
- Ihl (A.), **85:** Farbenreactionen der Kohlehydrate mit Phenolen und mit Diphenylamin (Tabelle) 1977.
- Ihle (R.), siehe Reinhardt (H.).
- Ihlée (E.), **77:** Pyromeconsäure 717.
- Ihmori (T.), **86:** Aufnahme von Quecksilberdampf durch Platinmoor 468; siehe Warburg (E.).
- Iles (G.), **77:** chemische Energie 20.
- Iles (H. W.), **84:** Untersuchung über Zersetzung und Analyse von Schlacken 1552 f.
- Iles (M. W.), **81:** Verbindung von Chlor- und Bromblei 270 f.; Aufschliessung von Silicaten und Bleischlacken 1176.
- 82:** Manganvitriol von Colorado 1538; Dechenit von Colorado 1581.
- 83:** Analyse eines Speiskobalts von Gothic, Colorado 1830; siehe Fahlberg (C.); siehe Remsen (J.).
- Iles (M. W.) und Remsen (J.), **77:** Xylolsulfamide, Oxydation 857.
- 78:** Oxydation der p-Sulfoaminotoluylsäure 792.
- Iles (W.), **77:** Milch 1184.
- Ilgen (O.), **79:** Ultramarinfabrikation 1155.
- Ilmow (S. P.), **80:** Eiweisnachweis in schleimbaltigen Harnen 1237 f.
- Ilinski (M.), **84:** Einwirkung von Ammoniak auf Nitrosophenole 1011; Untersuchung der Nitrosonaphtole und ihrer Derivate 1011 bis 1015; Darstellung von Nitroso- $\beta$ -naphtol 1011;  $\alpha$ -Nitroso- $\beta$ -naphtolkalium,  $\alpha$ -Nitroso- $\beta$ -naphtolnatrium 1012;  $\alpha$ -

- Nitroso- $\beta$ -naphtholsilberammonium, saures  $\alpha$ -Nitroso- $\beta$ -naphtholsilber,  $\alpha$ -Nitroso- $\beta$ -naphtholmethyläther 1013;  $\alpha$ -Nitroso- $\alpha$ -naphthol 1014;  $\beta$ -Nitroso- $\alpha$ -naphthol 1015; Apparat zur Stickstoffbestimmung 1891.
- 86:** Dinitrosonaphthalin durch Oxydation von Naphthalin- $\alpha$ - $\beta$ -dioxim 679, 681; Verhalten von  $\alpha$ -Nitroso- $\beta$ -naphthol- und  $\beta$ -Nitroso- $\alpha$ -naphthol Aethyläther gegen Hydroxylamin (o-Naphthalindioxim- $\alpha$ -Aethyläther) 1285; Darstellung und Salze von o-Naphthalin- $\alpha$ -oxim- $\beta$ -imid (Nitrosoamidonaphthalin) 1285 f.; Constitution der Nitrosonaphthole 1287; siehe Henriques (R.); siehe Liebermann (C.).
- Ilinski (M.) und Knorre (G. v.), **85:** Trennung von Eisen und Thonerde 1934; empfindliches Reagens auf Kobalt (Nitroso- $\beta$ -naphthol) 1937 f.; quantitative Trennung des Kobalts vom Nickel 1938.
- Illingworth (B.) und Howard (A.), **84:** Verhalten verschieden concentrirter Lösungen von methyl-, äthyl- und amylschwefelsaurem Kalium beim Abkühlen 202 f.
- Ilosvay, **82:** Eigenschaften des Kohlenoxysulfids 254; siehe Berthelot.
- Ilsovay (L.), **85:** Bildung des Schwefels in der Natur 2263 f.
- Ilupotsky, **85:** Monochlorhexylen aus Tetramethyläthylen 668.
- Imai (U.), **77:** Gewinnung des Kupfers in Japan 1118; Uranocircuit 1302; siehe Kellner (O.).
- Imbert, siehe Cazeneuve (P.).
- Immendorf (H.), **84:** Darstellung von Borneol 1065.
- 86:** Analyse von Cölestin 2252 siehe Anschütz (R.).
- Immisch, **86:** neues Thermometer 181.
- Imperatori (L.), **86:** Gewinnung von Phosphaten aus phosphorhaltigem Eisen 2034.
- Ince (W. H.), **86:** Nachweis der Salpetersäure 1917; Extractionsapparat 2011.
- Ingenhous (P. H. B.), **79:** Diffusion von Doppelsalzen in Lösungen 84.
- Ingle (H.), siehe Wilson (A. E.).
- Innes (J.), **86:** Bestimmung des Kupfers in Erzen 1945.
- Inostrantzeff, siehe Hiriakoff (M.).
- Inostrantzeff (A. v.), **80:** Anthracite 1480.
- 86:** Schungit (Graphitoid) 2222.
- Inostrantzeff (A. v.), **85:** Untersuchungsmethode für undurchsichtige Körper (Mineralien) vermittelst des Mikroskops 2263.
- Irby (J. R. M. D.), **79:** Kalkspath 1191.
- Irrgang, **86:** Verhalten des Chlors gegen Toluol, Einfluss der Feuchtigkeit 639.
- Irving (A.), **83:** Umwandlung des Phosphorigsäureanhydrids in Phosphorsäureanhydrid und amorphen Phosphor 312 f.
- 86:** Dissociation und Contactwirkungen 232; secundärer elektrolytischer Process bei der Zersetzung von Kochsalz- und Ammoniaklösung 276.
- Irving (R. D.), **84:** Untersuchung von Hornblende 1970.
- Isambert, **78:** Verbindungswärme der Metallchloride mit Ammoniak 97; Dissociationsspannung des Chlorhydrats 123; Verh. des Baryumcarbonats in der Hitze 124, 125; Dissociation der höheren Schwefelchloride 209.
- 79:** Spannung der Kohle, welche Ammoniak absorbiert hat 131.
- 80:** Ammoniak und Palladiumchlorür und -jodür 366 f.
- 81:** Dampfspannung und Dissociation des Ammoniumsulfhydrats 1133 f., des Ammoniumcarbonats 1135 f.
- 82:** Dissociation des Ammoniumsulfhydrats 237 f.; Tension des Ammoniumcyanids 238.
- 83:** Untersuchungen über Dampfspannungen und Untersuchung der Sulfhydrate des Aethyl- und Diäthylamins 81 f.; Dissociation von Caramid, von Ammoniumsulfhydrat und Cyanammonium 102; Dissociationsspannungen des Ammoniumcyanids 184 f.; Dissociation des Ammoniumsulfhydrats, Zusammendrückbarkeit der Dämpfe 185 f.; Dissociation des Phosphoniumbromids 187 f., des Ammoniumcarbonats 188 f.; Darstellung von Phosphoresquisulfid 325 ff.; Nichtexistenz der Substanz der Phosphors  $P_2S_8$  und  $P_4S_8$  327 f., 329.
- 84:** Dampfspannungen von Flüssigkeitsgemischen 95 f.; Theorie der Dissociation, Formel für die Dampfspannung von Flüssigkeitsmischungen 227.

**85:** Darstellung des Ammoniak-gases mittelst Metalloxyde 409 f.

Isambert (F.), **85:** Einwirkung des Schwefels auf den rothen Phosphor 436 f.

**86:** Phosphorpenta- und trisulfid 361 f.; Einwirkung von Chlorwasserstoff auf metallisches Eisen 410; Einwirkung von Bleioxyd auf Chlorammonium 440 f.

Isbert (A.), **86:** Verhalten von Acetessigsäure-Aethyläther gegen Natriumalkoholat: Essigsäure 1328 f., von Aethylacetessigäther gegen Ammoniak: Amid,  $C_2H_{11}NO_2$  1329, gegen Phosphorpentachlorid: Aethylmonochlorquartenylsäure (Aethylmonochlorcrotonsäure) 1329 f.; Mono- und Dichloracetessigsäure - Aethyläther 1330; Einwirkung von Phosphorpentachlorid auf Methylacetessigsäure-Aethyläther: Mono- und Dichlormethylacetessigäther, von Natriumäthylat auf Monochloräthyl- und -methylacetessigsäure - Aethyläther: Aethoxyläthyl- und Aethoxylmethylacetessigsäure-Aethyläther 1330; Verhalten der beiden letzteren gegen alkoholisches Natron: Aethoxyläthyl- und -methylacetat 1331.

Isenbeck (A.), **77:** Tiglinsäure und Angelicasäure gegen Brom 715.

Ishi (S.), siehe Kellner (O.).

Ishikawa (J.), **80:** Gerbstoff-Materialien 1072.

Issel (A.), **80:** Datolith 1439; Skolezit 1468.

Ilsleib (M.), **80:** Hopfen, Lupulin 1068 f.

Istel (E.), siehe Claus (Ad.).

Istrati, **84:** Darstellung von Monochloräthylbenzol mittelst Aluminiumchlorid, Monochloräthylbenzolsulfosäure 581.

**85:** Monochloräthylbenzole (Benzolhexachlorid) 744 ff.; mehrfach chlorirte Aethylbenzole 747 ff.

Ives (F. E.), **85:** isochromatische Photographie 2259 f.

Iwabuchi (K.), **85:** Ultramarin aus japanesischen Materialien 2218.

Iwanoff, **77:** Ackerboden gegen Chlorlithium 1173.

Iwanoff (J.), **77:** Chlorlithium 242.

Iwaya, **78:** Manganerz von Rengersdorf 1218; siehe Weisbach (A.).

Iwig (Fr.), siehe Hecht (O.).

Iwig (Fr.) und Hecht (O.), **86:** Oxydationsproducte des Mannits: Ery-

thritsäure und Salze 1212 f.; trockene Destillation von essigsäurem und buttersäurem Silber 1290 f.; Calciumsalze der Aepfelsäure 1349.

Izarn, siehe Chibret.

## J.

Jaarsveld (G. J.) und Stockvis (B. J.), **79:** Hippursäurebildung 980 f.

Jablochkoff, **85:** neues galvanisches Element; Autoaccumulator 234 f.

Jablochkoff (P.), **77:** neue Kette 152; elektrische Kerze 1212.

**84:** neues galvanisches Element 237.

Jacksch (v.), **86:** physiologische Eigenschaften des Tetrahydropapaverins 1721; siehe auch Jaksch (v.).

Jacksch (R. v.), **81:** Gährung des Harns, Harnstoffpilz 1140.

**84:** Untersuchung über Acetonurie 1502; siehe auch Jaksch (R. v.).

Jackson (A. H.), **78:** dialysirtes Eisen 263.

**82:** Zimmtöl und Cassiaöl 1182 f.

Jackson (A. W.), **82:** Nomenclatur der krystallinischen Gesteine 1588.

**84:** Krystallform von Colemanit 1927.

**85:** Untersuchung des Colemanits 2276.

Jackson (C. L.), **77:** Brombenzylbromide 404; Base  $C_{15}H_{13}N$ , Natrium gegen Parabromanilin 480.

**79:** Brombenzylbromide 390.

**80:** p-Monobrombenzylverbindungen 480 f.; Monobrombenzylbromide 482.

**81:** Monobrombenzylbromide 396; Curcumin 989.

**85:** Darstellung von Borneol, Verhalten des Camphers gegen Natriumamalgam 1659; siehe Loring-Jackson (C.); siehe Mabery (C. F.).

Jackson (C. L.) und Comey (A. M.), **86:** Einwirkung des Fluorsiliciums auf aromatische Basen: Anilinfluorsilicium; kieselfluorwasserstoffsäures Anilin und Homologe 804.

Jackson (C. L.) und Field (A. W.), **78:** Eigenschaften einiger p-Chlorbenzylverbindungen 417 f.

**79:** Toluol gegen Brom 388.

- 80:** Toluol gegen Brom 443; Chlorbenzylverbindungen 480.
- Jackson (C. L.) und Hartshorn (G. T.), **83:** schwefelhaltige Derivate des p-Monobrombenzyls: p-monobrombenzylmonosulfosäure Salze 1276; p-Monobrombenzylmonosulfosäurechlorid, p-Monobrombenzylsulfid, p-Monobrombenzylsulfon, p-Monobrombenzylmercaptan 1277; p-Monobrombenzylmercaptid 1277 f.; p-Monobrombenzyldisulfid 1278.
- 85:** Einwirkung von Chromsuperfluorid auf Benzoësäure (Difluorbenzoësäure) 1450.
- Jackson (C. L.) und Lowery (W.), **77:** Parabrombenzylalkohol und Derivate 536.
- 81:** p-Monobrombenzylverbindungen 395 f.
- Jackson (C. L.) und Menke (A. E.), **82:** Curcumin und Derivate, Vanillin aus Curcumin 1118; Curcuma-wurzel: Curcumin und Derivate, Turmerol 1169 f.
- 83:** Einwirkung von Phosphor-trichlorid auf Anilin: Dianilidophosphorhydrat 695 f.; Borneol aus Campher 1000; Derivate des Curcumins 1401.
- 84:** Einwirkung von Phosphor-trichlorid auf Anilin, Darstellung von Phosphorigsäurediamid 684 f.; Untersuchung über die Curcuma-wurzel 1459 f.
- Jackson (C. L.) und White (J. F.), **79:** o-Brombenzylverbindungen 388 f.; Parachlorbenzylverbindungen 756 f.
- 80:** Anthracen und Phenanthren, Bildung 462 f.; o-Brom- und p-Chlorbenzylverbindungen 480; m-Monobrombenzylverbindungen 481 f.
- 81:** Anthracen und Phenanthren aus o-Brombenzylbromid 368.
- 82:** Synthese des Anthracens und Phenanthrens 432.
- Jackson (C. L.) und White (J. H.), **78:** p-Chlorbenzaldehyd, p-Brombenzaldehyd und p-Jodbenzaldehyd 622.
- Jackson (C. L.) und Wing (J. F.), **86:** Synthese aromatischer Amine aus aromatischen Sulfosäuren mittelst Natriumamid: Anilin aus benzoisulfosäurem Kalium, m-Phenylen-diamin aus benzoldisulfosäurem Kalium 776; Einwirkung von Natrium auf Tribenzylamin (Lophin), Dimethylbenzylamin und Dimethylanilin 887; Benzotrisulfosäure 1548.
- Jackson (E.), **79:** Stickoxydverbindungen bei der Schwefelsäurefabrikation 1106 f.
- 83:** Nachweis von Wasserstoffhyperoxyd durch Titansäure, von Titan in der Steinkohlenasche und in Pflanzenaschen 1560.
- Jackson (H.), **83:** Einwirkung von concentrirter Schwefelsäure auf Jodkalium 345; Farbenreaction des Brucins 1611.
- 84:** Verhalten von Glycerin gegen Arsenigsäureanhydrid, Arsenigsäure-Glyceryläther 931; Bestimmung der Härte des Wassers 1560.
- Jackson (O. R.), **81:** Methylketol 500; Hydromethylketol und Derivate 501; Tetrahydromethylchinolin aus Methylphenäthylketon 924; siehe Baeyer (A.); siehe Hill (H. B.).
- Jackson (O. R.) und Hill (H. B.), **78:** Mucobromsäure 709 f.
- Jacobowsky, **84:** Untersuchung von Lycaconitin 1640.
- Jacobs und Wahnschaffe, **84:** Analyse von Variolitconglomeraten 2029.
- Jacobsen, **85:** Anwendung von Phenylhydrazin in der Photographie 2257.
- Jacobsen und Behrens (H.), **80:** Sauerstoff im Wasser 1148.
- Jacobsen (C.), **78:** Bericht über die Arbeiter im Carlsberger Brauereilaboratorium 1157.
- Jacobsen (E.), **78:** Bleichen von Federn 1176.
- 80:** Sulfosäure des Rosanilins 934.
- 81:** Benzoësäure, Benzoësäureäthyläther 1272.
- 83:** gelbe Farbstoffe aus Chinolin und Pyridinbasen 1806; rothe Farbstoffe aus Benzotrichlorid (Benzalchlorid) und Chinolin- resp. Pyridinbasen 1806 f.; Farbstoffe aus Chinolin und Chinaldin, grüne Farbstoffe aus Hydrochinolinen und Benzotrichlorid, Trimethylchinaldin aus Cumidin, Farbstoffe aus Trimethylchinaldin 1807.
- Jacobsen (E. und R.), **83:** Bleichen der Textilstoffe 1781 f.
- Jacobsen (E.) und Reimer (C. L.), **83:** Condensation aromatischer Amine mit Milchsäure 692; Methylpyridine oder Methylchinoline gegen

Phtalsäureanhydrid, Phtalone: p-Methylchinophtalon 1308; p-Methylchinaldin 1308 f.; Pyrophtalon, Chinolingelb, Benzylidenchinaldin 1309; Chinophtalon (Chinolingelb) 1313 f.; Benzaldehyd gegen Chinaldin bei Gegenwart von Chlorzink, Benzotrichlorid gegen Chinolin und Chinaldin, Chinaldingehalt der Theerchinalone des Handels 1314.

Jacobsen (J. C.), **84**: Untersuchung über Entartung der Bierhefe 1530.

Jacobsen (O.), **77**: Löslichkeit von xylidins. Zink 75; Benzolderivate 369; Phoron-Cumol, Pseudocumol 375; xylidins. Zink 786; Xylolsulfamide 856; Kohlensäure des Meerwassers 1134.

**78**: Identität des synthetischen Cymols mit dem Camphercymol 388; über Xylenole 578 f.; isomere Oxytoluylsäuren 782 f.; Darstellung von o- und p-Xylol aus Theeröl 385 f.; Nitrierung von Mesitylsäure 796 f.; Amidirung 797; Isoxyecuminsäure aus Carvacrol 809 f.; Sulfoderivate des Xylols 849 f.; Oxydation der Xylolsulfamide 851 f.

**79**: Isocymol 370 f.; o-Sulfaminmesitylsäure 706 f.; p-Oxymesitylsäure 707 f.; Oxy-p-xylolsäure 719 f.; Oxydation von Sulfaminoluylsäure 761 f.; Mesitylsulfosäure gegen Kalihydrat 762 f.; Cymol im Thierkörper 979.

**80**: Conservirungsfähigkeit 1343.

**81**: Toluol, m-Xylol, o-Xylol, p-Xylol, Mesitylen, Pseudocumol, Durol und Isodurolo gegen Chlormethyl bei Gegenwart von Aluminiumchlorid (Penta- und Hexamethylbenzol) 353; m-Toluylsäure und Derivate 785 f.;  $\gamma$ - und  $\beta$ -Brom-m-toluylsäure 786;  $\alpha$ - und  $\beta$ -Nitro-m-toluylsäure 787;  $\beta$ - und  $\delta$ -Sulfo-m-toluylsäure 788; symmetrische Oxytoluylsäure (m-Homo-m-oxybenzoësäure) 788 f.; Oxyssäuren aus o-Xylenol: m-Homo-p-sulfaminbenzoësäure 790; p-Homo-m-sulfaminbenzoësäure, p-Homo-m-oxybenzoësäure 791; Sulfaminphtalsäure 792; Isoxylylsäure 804 f.; Quecksilber-di-p-xylyl, Di-p-xylyl 805 (1);  $\beta$ -Xylidinsäure 806; Sulfamin- und Oxyssäuren aus Mesitylen 817 f.; Sulfaminuvitinsäure 819; Sulfouvitinsäure 820; o-p-Oxyuvitinsäure 821; o-Oxymesitylsäure 823.

**82**: Isodurolo, Isodurylsäuren und das dritte Trimethylbenzol (Hemellitbol) 414 f.

**83**: Phosphorescenz des Schwefels 153 f.;  $\beta$ -m-Homosalicylsäure 1149 f.;  $\beta$ -o-Homo-m-oxybenzoësäure, Methoxytoluylsäure 1150;  $\beta$ -Methoxy-o-phtalsäure 1150 f.;  $\beta$ -Oxy-o-phtalsäure 1151.

**84**: Bromsubstitutionsproducte des o-Xylols 578 ff.: Monobrom-o-xylol, Monobrom-o-xylolsulfosäure, Quecksilberdi-o-xylol 578; Monobrom-o-toluylsäure, p-Homo-m-oxybenzoësäure,  $\beta$ -m-Homosalicylsäure, Dibrom-o-xylene 579; Tribrom-o-xylol, Tetrabrom-o-xylol, Monobrom-p-xylol und -sulfosäure 580; Mittheilungen über das o-Xylol von Wroblewski und dessen Methode zur Abscheidung von o-Xylol aus Rohxylol 713 bis 715; Mononitro-o-xylol 713; Reduction zu o-Xylidin 714; Oxydation des Nitro-o-xylols zu Nitro-o-toluylsäure 715; Untersuchung des bei der Darstellung der Benzoësäure aus Benzoharz zurückbleibenden Brenzöls 1198; Untersuchung der Oxydationsproducte des 1, 2, 4-Mononitro-o-xylols 1213 ff.;  $\alpha$ -Nitro-o-toluylsäure,  $\beta$ -Nitro-o-toluylsäure,  $\gamma$ -Nitro-o-toluylsäure,  $\gamma$ -Amido-o-toluylsäure 1214; Untersuchung der Stellung der Benzoltetracarbonsäuren 1275 f.; Pyromellithsäure, Mellophansäure, Prehnitsäure 1276.

**85**: aromatische Kohlenwasserstoffe gegen Aluminiumchlorid 670 f.; Darstellung von Monochlor-m-xylol 740 f.; Krystallisationsfähigkeit von Monobrom-p-xylol 741; Darstellung eines isomeren Dibrom-p-xylols und von Tetrabrom-p-xylol 741 f.; geschichtliche Bemerkungen über die o-Xylidine 898; Darstellung von 1, 3, 4-m-Xylenol 1269.

**86**: Kohlenwasserstoffe aus Steinkohlentheeröl: Pseudocumol, Hemellitbol, Kohlenwasserstoff  $C_{10}H_{14}$  595; Darstellung und Derivate des Hemellitbols 595 ff.; Hemellitbolsäure und Derivate 597; isomere Aethylxylene und Derivate 597 f.; Umwandlung des Durols in Hexamethylbenzol und Pseudocumol, sowie in Prehnit 598 ff.; Prehnit 598 ff.; Verhalten von Pentamethylbenzol gegen Schwefelsäure: Octomethylantracen 600; Monobrom-

- pseudocumolsulfosäure 1568; Pseudocumolsulfosäure 1568 f.; Pseudocumol- und Derivate, Dibrompseudocumolsulfosäure 1569; isomeres Pseudocumol 1570.
- Jacobsen (O.) und Ledderboge (H.), **83**: käufliches Xylidin gegen Schwefelsäure: neue Monoamidoxyloimonosulfosäure 1278 f.; Azoxyloldisulfosäure 1279 f.
- Jacobsen (O.) und Meyer (H.), **83**: Sulfamin- und Oxysäuren des Pseudocumols: Sulfaminxylylsäure 1169; Sulfaminxylidinsäure 1169 f.; Oxyxylidinsäure 1170; Sulfamintrimellithsäure und Sulfotrimellithsäure 1170 f.; Oxytrimellithsäure 1171.
- Jacobsen (O.) und Neumeister (R.), **82**: Dichloracetal gegen Brom: Bromchloralalkoholat, Monobromchloral, Metabromchloral, Monobromchloralhydrat 738; Bromchloralid 739; Monochloracetal gegen Brom: Dibromchloral, Dibromchloralhydrat, Dibromchloralalkoholat 739; Mono- und Dibromchloral gegen Acetamid, gegen Kali: Monobromchloroform, Dibromchloroform; Chloralalkoholat, Trichloracetal gegen Salzsäure 739.
- Jacobsen (O.) und Schnappaut (E.), **85**: Darstellung und Eigenschaften einiger Duroiderivate; Duroidulfosäure und Abkömmlinge 687 f.; Durenol und Derivate 688 f.
- Jacobsen (O.) und Wierss (F.), **83**: Derivate der o-Toluylsäure: Monobrom-o-toluylsäure 1143 f.;  $\alpha$ - und  $\beta$ -Mononitro-o-toluylsäure 1144;  $\alpha$ - und  $\beta$ -Monoamido-o-toluylsäure 1144 f.; Dinitro-o-toluylsäure, Mono- und Disulfo-o-toluylsäure 1145; Kresorsellinsäure 1145 f.
- Jacobsen (O.) und Weinberg (E.), **77**: gebromte m-Xyloisulfosäuren 854 f.
- Jacobsen (P.), **81**:  $\beta$ -Naphthylamin und Derivate:  $\beta$ -Monojodnaphtalin, Mononitro- $\beta$ -acetonaphtalid 478, Mononitro- und Monoamido- $\beta$ -naphtol 479; Constitution des  $\beta$ -Naphtochinons 646 f.
- 86**: Oxydation des Phenylsulfurethans: Aethoxyseñöl Spaltung des letzteren in Oxyphenylseñöl (Oxymethenylamidophenylmercaptan), Constitution des Phenylsulfurethansulfurs 546 f.; Anhydroderivate des Amido-phenylmercaptans aus Thioaniliden: Benzenylamidophenylmercaptan durch Oxydation von Thiobenzanilid 1220 f.; Aethenylamidomercaptan aus Thioacetanilid 1221 f.; Oxydationsproducte von Phenylsulfurethan und Sulfocarbanilid durch Ferricyankalium 1222; siehe Biedermann (A.): siehe Liebermann (C.).
- Jacobsen (W.), siehe Dragendorff (G.).
- Jacoby (H.), siehe Benrath (H. E.).
- Jacoby (O.), **86**: kohlenstoffreichere aliphatische Verbindungen (Capramidoxim, Derivate des Acetophenons, Zimmtsäuremethylketons und Benzils) 1106; Darstellung von Cyanhydrinen und Amidoximen (Ketoximen), von Ketonen und Diketonen 1646 f.
- Jacquelain, **78**: wismuthsaure Salze 293.
- 82**: Darstellung reiner Graphitkohle für elektrische Beleuchtung 1453 f.
- Jacquemin (G.), **85**: Darstellung von Dicyan 584; Bestimmung des Cyans und Trennung von Sauerstoff, Stickstoff und den Oxyden des Kohlenstoffs 1950.
- 86**: Nachweis und Bestimmung des Urethans 1956.
- Jacques (W.), **80**: Vertheilung der Wärme in Spectren verschieden erwärmter Körper 195.
- Jacques (W. W.), **79**: Magnetisierungscoefficienten für Wismuth und Kalkspath 143 f.
- Jaekel-Handwerk, siehe Michel (K.).
- Jäderholm (A.), **80**: Methämoglobin 1098 f.
- 84**: Untersuchung über Methämoglobin 1484 f.
- Jäger, **81**: Monophenylthiohydantoinensäure 332.
- 84**: Analyse von Leucitgestein 2023 f.
- Jäger (E.), **77**: Dithymyltrichloräthan, Dithymyläthan und Dithymyläthan 602.
- Jäger (H.), **77**: Barometer als Wage 1099.
- Jäger (J. H.), **77**: Anilin- und Toluidinrhodanür gegen Monochloressigsäure 334.
- Jäger (W.), **84**: Analyse von Enstatitporphyrit 2013 f.
- Jaekel (H.), **85**: Thiophendicarbonsäure 1200; Darstellung von  $\alpha$ -Thio-

- phendisulfochlorid und  $\alpha$ -Thiophendisulfamid 1573.
- 86:** Thiophendisulfosäure und Derivate 1540; Dicyanthiophen, Thiophendicarbonsäure und Derivate 1541.
- Jaffe, **83:** Analyse eines Feldspaths (Albits) von Kasbek, Kaukasien 1897.
- Jaffé und Darmstädter, **85:** Darstellung eines Kesselsteinmittels 2163.
- Jaffe (M.), **77:** Benzoësäure im Organismus der Vögel 978.
- 78:** Ornithursäure 831 f.; synthetische Vorgänge im Thierkörper 988 f.
- 83:** Tyrosinhydantoinsäure 1198 f.; Mannit im Hundeharn 1480; Reaction auf Kynurensäure, Tetrachloroxykynurin 1481.
- 86:** Untersuchung des durch Pikrinsäure im normalen Harn erzeugten Niederschlags 1854 f.; Salze des Kreatinins, neue Reaction des Kreatinins 1855; siehe Meyer (H.).
- Jagenburg (J.) und Leverkus (C.), **84:** Ersatz des Oelens der Waaren 1843 f.
- Jagi, **78:** Wurzel von Paeonia Moutan 976 f.; Scopolia japonica, Rinde von Evodia glauca 977.
- Jago (W.), **81:** organische Substanzen des Seewassers 1196.
- Jahn (H.), **78:** warme Quellen der Thermopylen 1313.
- 80:** Schwefelkohlenstoff gegen Phosphoniumjodid 391 f.; Mineralquellen 1536.
- 82:** Bestimmung der Dampfdichte von Brom und Chlor 51 ff.; Darstellung höherer Amine aus secundären Alkoholen 472 f.
- 83:** Folgerung aus dem elektrolitischen Gesetz Faraday's 218; Ueberführung der Kohlensäure in Kohlenoxyd 331.
- 85:** Gültigkeit des Joule'schen Gesetzes für Elektrolyte, Aequivalenz der bei der Zersetzung von Elektrolyten geleisteten Stromarbeit mit der chemischen Arbeit 250.
- 86:** elektromagnetische Kraft und Wärme 257 f.; galvanische Polarisation und Zersetzungswärme von Elektrolyten 271 f.; siehe Pebal (L.).
- Jahn (K.), **84:** Analyse eines Ueberzugs über Bleiglanz und Eisenkies 1999.
- 86:** Dampfspannungen von Lösungen organischer Verbindungen 101 f.
- Jahn (K.) und Hassak (M.), **83:** Analyse eines Eisenglanzes 1837.
- Jahn (W.), **80:** organische Verbindungen gegen Zinkstaub 390 f.
- Jahns, siehe Tollens (B.).
- Jahns (E.), **78:** Verhalten von Borax gegen Salicylsäure 760 f.
- 79:** Oel von Origanum hirtum 942 f.
- 80:** Origanum vulgare 1081.
- 81:** Strychninhydrat 945; Kämpferid, Galangin, Alpinin und Derivate 1014.
- 82:** Farbstoffe der Galangawurzel 1170; Carvacrol, Cymol aus dem ätherischen Oele von Santureja hortensis 1182.
- 83:** Löslichkeit der Harnsäure in Salzlösungen und Mineralwässern 496 f.; Agaricinsäure aus Lärchenschwamm 1399 f.; Bestandtheile des Lärchenschwammes 1400; ätherisches Oel der Thuja occidentalis, Thujaterpen und Thujol aus demselben 1425.
- 84:** Darstellung von Eucalyptol aus dem ätherischen Oele von Eucalyptus Globulus 1467.
- 85:** Vorkommen und Darstellung des Trigonellins und Cholins im Samen von Trigonella faenum graecum 1729 f.; Identität von Gossypin- und Luridinplatinchlorid mit Cholinplatinchlorid, Eigenschaften und Salze des Trigonellins, Isomerie desselben mit Pyridinbetain 1730; Untersuchung von Eucalyptus-Oel, Identität von Eucalyptol mit Cyneol 1822.
- Jahoda (B.), **85:** Zusammensetzung des Papaverins 1696 ff.
- 86:** Salze und Doppelsalze des Papaverins 1715 ff.
- Jaillet, **81:** Verbindung von Jod mit basischem Wismuthnitrat 275.
- Jaime Arbós y Tor, **83:** Pyroleine 1422.
- Jakob, **86:** Benzinlöthrohr 2008.
- Jakobj (C.), **85:** Harnstoffbestimmung nach Knop-Hüfner 1951 f.
- Jakobs, siehe Müller (A.).
- Jakoby (O.), **86:** Einwirkung von Hydroxylamin auf Capronitril: Caprimidoxim und dessen Derivate 538 ff.
- Jaksch (v.), **85:** antipyretische Eigenschaften des p-Chinanisols 1248, des salzs., schwefels. und weins. Thallins 1250; siehe auch Jacksch (v.).

Jaksch (R. v.), **80**: Milch 1102; Micrococcus Ureae 1132.

**82**: Ausscheidung von Aceton im Harn (Acetonurie) 1218; Acetessigsäure im Harn 1218; Rothfärbung des Harns durch Eisenchlorid 1346.

**83**: Acetessigsäure im Harn 1480.

**85**: Bestimmung des Acetons im Harn 1957 f.

**86**: physiologische und pathologische Lipacidurie 1858 f.; Eigenschaften des Harns nach Gebrauch von Thallin 1983; siehe auch Jacksch (R. v.).

Jäl, **82**: Titrierung unterphosphoriger Säure 1276.

James (F. L.), **84**: Versilberungsmethoden 1753 f.

James (J. R.), **80**: Pepsinsorten 1122.

James (J. W.), **79**: Chloräthylsulfosäure 734.

**82**: Chlorbromäthylen und Derivate 435; Salze der  $\beta$ -Monochloräthylsulfosäure 435 f.

**83**: flüssiges Chlorbromäthylen 588.

**84**: Einwirkung von Chlor auf Rhodanäthyl, Bildung von Chloreyan und Dichloräthylsulfoclorid 483; Einwirkung von Natrium auf die Alkylacetessigester 1120 f.: Allylmethylacetessigäther, Methylallylacetessigäther, Methyläthylacetessigäther, Äthylmethylacetessigäther, Acetylacetessigäther 1120; Acetyl-methylacetessigäther, Benzolacetessigäther, Kupferbenzoylacetessigäther 1121.

**85**: Acetessigäther 1351; Darstellung von Äthylenchlorsulfocyanid und  $\beta$ -Monochloräthylsulfosäure 1567; Darstellung von Derivaten des Taurins ( $\beta$ -Monoamidoäthylsulfosäure) 1567 bis 1569: Äthyltaurin, Allyltaurin, Phenyltaurin, Dimethyltaurin 1568; Diäthyltaurin, Methylphenyltaurin, Trimethyltaurin, Phenyltaurocyamin, Dimethyltaurocyamin 1569; Äthylenchlorschwefeleyan,  $\beta$ -Monochloräthylsulfosäure 1612.

**86**: Einwirkung von Phosphorpentachlorid auf Diäthylacetessigäther: Diäthylmono- und -dichloracetessigäther und Äthylchlorcrotonsäureäther; Verhalten der beiden ersteren gegen Natriummethylat: Methoxy- und Dimethoxydiäthylacetessigäther sowie Methoxymethyläthyl-

und Dimethoxydiäthylacetone 1335 f.; Trimethyltaurin 1537; Äthansulfonimid (Anhydrotaurin) 1537 f.

Jameson (J.), **83**: die flüchtigen Producte der Steinkohlen 1754.

Jamieson (J.), **78**: Ozon in Früchten 948.

Jamieson (Th.), **85**: für die Pflanzen wesentliche chemische Elemente 1788.

Jamin, **77**: Verflüssigung von Gasen 69.

**81**: elektrische Lampe 103.

Jamin und Maneuvrier (G.), **82**: der elektrische Lichtbogen im Schwefelkohlenstoffdampf 139 f.

Jamin (J.), **79**: magnetische Undurchdringlichkeit des Eisens 143; elektrischer Brenner 1083; elektrischer Flammenbogen als Löthrohr 1085.

**83**: kritischer Punkt von Gasen 73.

Jamin (N.), siehe Schützenberger (P.).

Janecek, **80**: Mogdad-Kaffee 1070; Futterrüben 1328 f.

Janecek (G.), **82**: Analyse von kroat. Hungerbrot und Kukuruzbrot 1451; siehe Lieben (A.).

Janke (L.), **80**: Nahrungsmittel- und Brunnenwasseranalysen 1343.

**82**: Milchuntersuchung 1341 f.

Jannasch, **78**: Augitandesitanalyse 1288.

**79**: Oligoklas 1234.

Jannasch (P.), **77**: Synthese des Durols 377.

**78**: Vorkommen von Vanillin in der Siambenzoe 622.

**82**: Dinitro-p-xylene 464; Zusammensetzung von Epistilbit und Heulandit 1565.

**83**: Bildung von Toluolderivaten 532 f.; Analyse des Ullmannits 1832; Fluorgehalt von Vesuvianen 1874 f.; Verhalten von Kalkthonerdegranaten nach dem Schmelzen, Analyse des Vesuvians vom Vesuv 1875; Granatanalysen 1880.

**84**: Eigenschaften des Monobrom-p-xylols 580; Darstellung von o-Dinitrobenzol 584; Analyse von Zinkoxyd 1912; kristallographisch-optische Eigenschaften des Boracits 1928; Analyse von Vesuvian 1953; Untersuchung von Heulandit und Epistilbit 1977; Analyse von Labrador 1986 f.; Untersuchung von Foyait 2012 f.



- 85:** Untersuchung von Klinochlor 2290 f.
- Jannasch (P.) und Kloos (J. H.), **80:** Gesteine aus der Gegend des Columbiaflusses 1502 f.
- Jannasch (P.) und Meyer (V.), **86:** Bestimmung des Kohlenstoff-, Wasserstoff- und Stickstoffgehaltes organischer Substanzen in einer Portion 1953.
- Jannasch (P.) und Stünkel (C.), **81:**  $\alpha$ - und  $\beta$ -Dinitro-p-xylyl 399.
- Jannettaz (E.), **79:** Axensystem zur Messung der Cohäsion 2: Alaunoktader 4; Apparat zur Messung der Wärmeleitungsfähigkeit 96 f.
- 82:** Wärmeleitung der Gesteine 1589.
- 84:** Bildung von Verbindungen durch Druck 35; Schichtenbildung (Schieferbildung) 36; wasserhaltiges Doppelsulfat des Kobalts und Kupfers 431; siehe Cloizeaux (A. des).
- Jannettaz (E.) und Michel (L.), **82:** Nephrit vom Baikalsee 1561.
- 83:** optische Untersuchung und Analysen von Pyromorphiten und Mimetesiten 1868 f.
- Janny (A.), **82:** Hydroxylamin gegen Ketone, gegen Pinakolin 757, gegen Acetophenon, Acetessigäther, Glycol, Aethylenoxyd, Phenole, Chinon 758: Aethylmethylacetoxim, Methylpseudobutylacetoxim, Methylphenylacetoxim 757 f.
- 83:** Acetoxime: Acetoxim gegen Salzsäure 632; Benzoylacetoxim 632 f.; Benzylacetoxim 633 f.; Salze des Acetoxims 634; siehe Meyer (V.).
- Janovsky (J.), **79:** Sternbergit 1185.
- Janovsky (J. V.), **79:** Valenz und Äquivalent 20.
- 80:** Molekulargewicht und Molekularefraktionsvermögen 7; Iserit 1478; Columbit 1479; Fowlerit 1486.
- 81:** Azobenzoldisulfosäure 486.
- 82:** Mono- und Disulfosäuren des Azobenzols 596 f.; Azobenzol-p-monosulfosäure gegen Cyankalium: Azobenzolmonocarbonsäure 598.
- 83:**  $\alpha$ -Mononitroazobenzol-p-monosulfosäure und Salze 784 f.;  $\alpha$ -Monoamidoazobenzol-p-monosulfosäure und Salze 785 f.;  $\alpha$ -(p-)Mononitroazobenzol-p-monosulfosäure 1253 f.; Hydroazo-benzol-p-monosulfosäure 1254; p-Monoamidoazobenzol-p-monosulfosäure 1255; Vergleichung der p-Monoamidoazobenzol-p-monosulfosäure aus

p-Mononitroazobenzol-p-monosulfosäure mit der p-Monoamidoazobenzol-p-monosulfosäure des Echtgelbs 1256.

**84:** Darstellung von Dinitroazobenzol-p-monosulfosäure und p-Monobromazobenzol-p-monosulfosäure 828 ff.; p-Monoamidoazobenzol-p-monosulfosäure und Azobenzol-p-monosulfosäure 1329.

**86:** Nitroazokörper und Bromsubstitutionsproducte des Azobenzols 1023 bis 1027: vier verschiedene Trinitroazobenzole 1023 f.; neues (o-) Mononitroazobenzol 1024; vier verschiedene asymmetrische Dinitroazobenzole 1025 f.; zwei Monobromazobenzole 1026 f.; Bromhydroazobenzol 1027.

Janovsky (J. V.) und Erb (L.), **85:** intermediäre Reductionsproducte von Nitroazokörpern 1060 bis 1066: Mononitroazobenzol 1060; Dinitroazobenzol (di-p- und di-m-Dinitroazobenzol) 1061; ( $\beta$ -)Trinitroazobenzol, ( $\alpha$ -)Trinitroazobenzol, Triamidobenzol (asymmetrisches), Hydroazo-di-p-diamidobenzol (Diphenin) 1062; di-p-Diamidoazobenzol und Salze, Azobenzol-p-mononitriolsäure 1063; Mononitroazobenzolmononitriolsäure, di-m-Diamidoazobenzol und Salze 1064; Dinitroazobenzolmononitriolsäure; Constitution der obigen Nitriolsäuren 1065; Reductionsproducte von Dinitrobenzolen 1066.

**86:** Brom- und Nitrososubstitutionsproducte der Azokörper: p- und m-Monobromazobenzol; Hydroazobrombenzol 1027 f.; o- und p-Mononitro-, Trinitro- und o-Di-m-nitroazobenzol, o-Monoamidoazobenzol 1028.

Janovsky (J. V.) und Hornoch (C.), **82:** Nitro- und Amidoderivate der Azobenzol-p-monosulfosäure 598.

Janovsky (J. V.) und Schwitter (H.), **83:** Vergleichung der Salze der p-Monoamidoazobenzol-p-monosulfosäure aus p-Mononitroazobenzol-p-monosulfosäure mit den Salzen der p-Monoamidoazobenzol-p-monosulfosäure des Echtgelbs 1256.

Janssen (J.), **77:** Sonnenspectrum 1247.

**79:** Wärmeleitungsvermögen von Luft und Wasserstoff 102.

**80:** photographische Bilder 220.

**85:** Bestimmung der Absorption der atmosphärischen Luft und des Wasserstoffs 324 f.

- 86:** Absorptionsspectren des Sauerstoffs 305.
- Jansson und Bergström: **83:** Analyse eines Dolomiten 1853.
- Januario (R.), **80:** Vereinigung des Wasserstoffs mit Schwefel 255.
- Japp, siehe Schultz (G.).
- Japp (F.), **79:** Phenanthrenchinon gegen Zinkmethyl 587; siehe Anschütz (R.).
- Japp (F. R.), **80:** Phenanthrenäthylhydrochinon 739; Phenanthrencarbonsäure 893 f.
- 82:** Constitution des Lophins, Amarins, Glyoxalins 789 f.; Benzil und Benzaldehyd gegen Ammoniak, Darstellung von Lophin 790.
- 83:** Paraoxalmethylin 645 f.; Lophinformel 735; Azobenzil, Ammoniak und Benzil gegen Salicylaldehyd 736; Azobenzil (Benzilam), Imabenzil, Benzilimid 990; Phenanthrenchinon gegen Aceton, Phenanthrenchinacetone, Phenanthrenchinimidacetone 1011; siehe Owens (Mary E.).
- Japp (F. R.) und Burton (C. J.), **86:** Ueberführung von Ditolanazotid (Benzoinimid) in Diphenanthrylenazotid 1073 f.
- Japp (F. R.) und Graham (C. C.), **81:** Chinolin gegen Benzoylchlorid: Dichinolylin ( $\beta$ -Dichinolin) 920.
- Japp (F. R.) und Hooker (S. C.), **84:** Einwirkung von Aldehyden und Ammoniak auf Diketone, speciell auf Benzil 1054 ff.: Dibenzoyl-di-oxy-stilbenamin, Dioxystilbendiamin 1054; Diacetyl-, Tetraacetylstilbendiamin, Diacetyldibenzoyldioxy-stilbendiamin, Tetraabenzoyldioxy-stilbendiamin 1055; Einwirkung von Furfurol und Ammoniak auf Benzil 1056.
- 85:** Einwirkung von Ammoniak- und Aldehyden auf Benzil 1648.
- Japp (F. R.) und Miller (N. H. J.), **81:** Naphtochinon gegen Benzoesäure 649.
- 83:** Benzil gegen Blausäure, Phenanthrenchinonhydrocyanid 992; Phenanthrenchinonhydrocyanid gegen alkoholische Salzsäure 992 f.
- 84:** Condensationsproducte von Aceton und Phenanthrenchinon: Diacetone-, Monacetonephenanthrenchinon, Dehydrodi- und -monoacetonephenanthrenchinon, Acetonephenanthrenchinon 1070; Acetondiphenanthrenchinon 1071.
- 85:** Additions- und Condensationsverbindungen der Diketone mit Ketonen 1649 bis 1651: Acetonbenzil 1649; Dehydroacetonbenzil, Dehydroacetonbenzilimid, Acetonbenzilimid, Verbindung  $C_{17}H_{17}NO_3$  1650; Säure  $C_{16}H_{14}O_3$ , Acetophenonbenzil, Dehydroacetophenonbenzil 1651.
- Japp (F. R.) und Raschen (J.), **86:** Verhalten von Benzophenon gegen Phosphorpentasulfid (Benzophenonidenpyrothiophosphit) 1649; Condensation von Benzil und Isopropylalkohol, von Benzoin und Äthylalkohol 1657.
- Japp (F. R.) und Robinson (H. H.), **82:** Constitution von Lophin und Amarin; p-Oxylophin 562 f., 564 f.
- Japp (F. R.) und Schultz (G.), **77:** Methylantracen 388; Phenanthren-carbonsäure, Phenanthrenchinon-carbonsäure 809.
- Japp (F. R.) und Streatfield (F. W.), **82:** Salicylaldehyd und andere Aldehyde gegen Phenanthrenchinon: Anhydrosalicyldiamidophenanthren 787; Anhydro-p-oxybenzoyldiamidophenanthren, Anhydro-o-methoxybenzoyldiamidophenanthren, Anhydrosalicyldiamidophenanthren und o-Methoxybenzenylamidophenanthrol 788; Benzochinon,  $\alpha$ - und  $\beta$ -Naphtochinon, Chrysochinon gegen Benzaldehyd und Ammoniak: Benzenylamidokresol 788 f.; Phenanthrenchinon gegen Aceton und Ammoniak: Phenanthren-Acetonchinimid, Phenanthren-Acetonchin 789.
- 83:** Phenanthroxylacetessigäther,  $\beta$ -Phenanthroxylisocrotonsäureäther 1011 f.
- Japp (F. R.) und Tresidder (R. C.), **83:** Benzil gegen Propionitril, gegen Benzonitril, Phenanthrenchinon gegen Nitrile 993.
- Japp (F. R.) und Wilcock (E.), **80:** Phenanthrenchinon gegen Benzaldehyd 737 f.
- 81:** Phenanthrenchinon gegen Benzaldehyd, Cumenylaldehyd, Furfurol, Acetaldehyd und Salicylaldehyd 653.
- Japp (F. R.) und Wilson (W. H.), **86:** Einwirkung von alkoholischem Ammoniak auf Benzoin: Benzoinam, Benzoinimid (Ditolanazotid), Benzoinidam 1653.

Japp (F. R.) und Wynne (W. P.), **86**: Verhalten von Benzil gegen Acet- und Isovaleraldehyd; Methyl- und Isobutyldiphenylglyoxalin 1659; gegen Zimmtaldehyd: Dibenzoyldi-cinnnylendiamin 1659 f.; Benzenyldi-cinnnylendiamin; Cinnamylbeuzol; Cinnidimabenzil 1660; Imabenzil 1660 f.

Jaquemart, **79**: Aethylalkohol in Flüssigkeiten 1064.

Jaquet, **82**: Fixirung von Chromgelb 1480.

Jaques (B.) und Sauval (P. A.), **78**: Imprägniren von Eisenbahnschwellen und Hölzern 1174.

Jarisch (A.), **79**: Harn und Blaseninhalt an Pemphigus Erkrankter 998.

Jarius (M.), **85**: Einfluss von Salzlösungen auf den Keimungsprocess 1793.

Jarmay (G.), siehe Mond (L.).

Jarmersted (E. v.), **79**: Scillaïn 914.

Jarmin (G.), **77**: Wolldruck 1229.

Jarolimek (A.), **83**: Spannung und Temperatur von Dämpfen 79.

**85**: Einfluss der Anlaßtemperatur auf die Eigenschaften des Stahls 2028.

Jassoy (L. W.), **83**: Prüfung des Bismuthum subnitricum auf Arsengehalt 1575 f.; Nachweis von Arsenwasserstoff durch Silberpapier 1576.

**84**: Methoden der Mafsanalyse für pharmaceutische Zwecke 1548.

Jatschewsky (L. A.), **84**: Analyse von Keramohalit 1935.

Javal (L.), **83**: Antikesselsteinextract 1749.

Jawein, **81**: Traubensäure aus Weinsäure 715.

Jawein (L.), **78**: Polymerisirung zweier Hexylene, Untersuchung des Dimethyläthyläthylens 378.

**79**: Hexylene 361; siehe Beilstein (F.).

Jaworowicz, siehe Limpricht (H.).

Jaworski (W.), **83**: relative Resorption der Mittelsalze im menschlichen Magen 1442.

**84**: Verhalten von Kohlensäure, Sauerstoff, Ozon im menschlichen Magen 1511.

Jay, **80**: Einfluss des Rohrzuckers auf die Stickstoffentwicklung bei der Harnstoffbestimmung im Harn 1203; Einfluss der Glucose 1204.

**84**: Biebricher Scharlach und Cerise als Weinfärbemittel 1796; Mittel zur Erhöhung des Trockengehaltes

des Weines, Aschenbestimmung im Wein 1798.

Jay (H.), **81**: Alkohol in Seifen 1206.

Jayne (H. W.), **81**: Säure  $C_{11}H_{10}O_4$  als Nebenproduct bei der Darstellung der Phenylisocrotonsäure 837.

**82**: Benzaldehyd gegen bernsteinsaures Natrium und Essigsäureanhydrid: Isophenylcrotonsäure, Phenylbutyrolacton, Phenylxybuttersäure, Phenylbrombuttersäure, Phenylbuttersäure, Phenylparaconsäure, Phenylitamsäure 958 f.; siehe Fittig (R.).

Jean (F.), **77**: Quebracho 952; Kali- und Natronbestimmung 1052; Abdampfapparat 1100.

**80**: Kalium- und Natriumbestimmung 1174 f.; Wasserglas-Analyse 1295 f.

**81**: Oenolin und Oenotannin im Weine 1218; Verfälschungen von Bienenwachs 1223.

**82**: Champagnermost 1445; Bestimmung von Tannin und Oenogalussäure im Weine 1311.

**85**: colorimetrisches Verfahren zur Gerbstoffbestimmung 2200.

Jean (F.) und Pellet (H.), **77**: Bestimmung von Alkalien und alkalischen Erden 1053; Chromsäurebestimmung 1061; Titration der Oxalsäure 1080.

Jeannel (G.), **86**: Löslichkeit von Chloriden bei Gegenwart von Chlorwasserstoffsäure 155.

Jeanneret (J.), **77**: Eiweiß und Gelatine gegen Pankreas 1025.

Jeanneret-Grosjean (B.), **82**: Filtration unter Druck 1349.

Jegel (B.), **78**: Mehlanalysen 1155.

Jehn (C.), **77**: Werthbestimmung des Essigs 1080.

**78**: Oxydation des Aluminiums 245.

**83**: Ziegenbutter 1492.

Jeller (R.), siehe Donath (E.).

Jellinek (G.), **86**: Untersuchung des Claus'schen Dichinolins 974 ff.: Reindarstellung 975; Constitution als Monoamidophenylchinolin, Derivate 975; Oxydation 975 f.; neue Darstellungsweise 976.

Jena (R.), **84**: Pipettbürette 1688.

Jenkins (E. H.), **77**: Absorption von Ammoniak durch Calciumsulfat 1037; siehe Johnson (W.); siehe Johnson (S. W.).

- Jenkins (J.), **80**: Miargyrit 1406.
- Jensch (E.), **86**: Versuche zur Darstellung von Tetracalciumphosphat 2036 f.; Zusammensetzung von Thomasschlacken 2037 f.; Düngung mit Eisenphosphoret 2038; chemische Zusammensetzung einiger keramischer Alterthümer (Thonanalyse) 2085 f.
- Jensen (F.), **79**: Benzoesäure aus Benzotrichlorid 1113 f.
- Jeremejew (P. v.) **77**: Kupfer 1257; Ilmenorutil 1277; Monazit 1298.
- 78**: Korund 1211; Spinelle verschiedener Färbung 1215 f.; große Topaskrystalle 1237; Heulandit 1256.
- 79**: Platinand 1180 f.; künstliche Rhodonitkrystalle 1227; Beryll 1229.
- Jeremejew (P. W.), **81**: Zinnober 1350; Brucit 1363; Aragonit 1368; Nickelsmaragd 1370; Grossular 1381; Skapolith 1382; Titanit 1406; Fossil vom weissen Meere (Pseudomorphose) 1413; Pseudomorphosen 1414.
- Jeremejew (P. W. von), **83**: krystallographische Untersuchung von Bleivitriol 1854; krystallographische Untersuchung des Caledonits von der Grube Preobrazewskoj, Ural, Vorkommen von Linarit bei Berjosowsk 1857, krystallographische Untersuchung und Vorkommen des Alunits 1857 f.; krystallographische Untersuchung von Tritanitkrystallen des Schischimber Berges, Ural 1905; Pseudomorphose von Aragonit nach Célestin (?), von Sandstein nach Kalkspath, Martit von Nižnij-Tagil, Ural 1913; Pseudomorphosen aus dem Ural: von Weissbleierz nach Bleivitriol und Bleiglanz 1914, von Weissbleierz nach Eisenkies 1914 f.
- 84**: Beschreibung großer Spinellkrystalle 1918; Krystallform von Linarit 1935.
- Jeremin, **78**: Löslichkeit des Ozons in Oxalsäurelösung 197.
- Jeremin (F.), **81**: Einfluss der Temperatur des Volta'schen Bogens auf die Sulfate des Baryums und Calciums 1132.
- Jerofejew (M.), **81**: Magneteisen 1361.
- Jerofejew (M. W.), **84**: Untersuchung von Perowskit 1993.
- Jeserich (P.), **81**: Apparate zur Stickstoffbestimmung 1235.
- 83**: Anwendung von Chlorsäure zur Zerstörung von Leichentheilen 1639.
- 85**: Luft aus hohen Regionen, Kohlensäuregehalt und Wassergehalt dieser Luft 1892 f.
- Jessen (E.), **81**: Verdauungszeit von Fleisch und ... 1433.
- Jesurun (J. A.), **86**: Abkömmlinge des m-Isocymenols (Cymenols): Methyl- und Aethyläther 1263 f.; Cymenotinsäure (Tribromcymenol) 1264; Verhalten des m-Isocymenols beim Schmelzen mit Kali:  $\alpha$ -Oxyisoptalsäure und Cumophenolcarbonsäure 1264 f.
- Jewett (J.), **79**: Trennung des Eisens von anderen Metallen durch Natriumacetat 1044.
- Jezler (Ch.), **81**: Weldonschlamm 1256.
- Joannis, **82**: Bildungswärme der Sulfocyanssäure und von Sulfocyanaten 127 f., von Ferricyanalkium 128, von Ferricyanwasserstoffsäure 129: Neutralisationswärme der Ferricyanwasserstoffsäure 128; Bildungswärme der hauptsächlichsten Palladiumverbindungen 133 f.; Krystallformen des Kaliumpalladiumchlorids und Kaliumpalladiumbromids 360.
- 85**: thermische Beobachtungen an dem Oxyde des Kupfers 201.
- 86**: thermochemische Unterschiede des Kupferoxyds 211 f.; siehe Debray.
- Joannis (A.), **81**: Bildungswärmen von Cyanverbindungen der Metalle 1118 f., von Sulfocyanaten, Lösungswärmen von Cyanverbindungen 1121; thermische Untersuchung von Cadmiumcyanid und -oxycyanid 1122.
- Jobert, **77**: Athmung eines Fisches (*Callichthys asper*) 970.
- 78**: Bereitung von Curare 968.
- Jobert (C.), **79**: Strichnosarten 928.
- Jobsen (T.), **86**: Phosphorbestimmung im Roheisen und Stahl 1933.
- Jobst (J.), **78**: Chinintannate 876 f.
- Jobst (Jul.), **80**: borsaures Chinoidin 982.
- Jobst (J.) und Hesse (O.), **77**: Cotorinde (Paracotin), Oxyleucotin, Leucotin, Paracotinsäure, Paracumarhydrin, Hydrocotin, Cotin, Cotorinetin) 940.
- 78**: Piperonylsäure 776 f.; Piperonylsäure in den Cotorinden 969.
- 79**: Cotorinden 924 f.
- Jobst (J. v.), siehe Burkart (A.).
- Jobst (P.), siehe Wagner (A.).
- Jochum (P.), **85**: Einwirkung des Natriumthiosulfats auf Kupfer, Blei,

- Thallium-, Cadmium-, Zink-, Nickel-, Mangan-, Kobalt-, Silber-, Gold-, Platin-salze 392 ff.; Apparat zur Bestimmung der technisch wichtigen Eigenschaften der Thone 2117. 101.
- Jodin, **82**: photochemische Reaction des Ferrioxalats 200.
- Jodin (V.), **77**: Zuckerbildung in Pflanzen 927.
- 83**: Rolle der Kieselsäure beim Wachstum des Mais 1392, 1716 f.
- 86**: Verhalten des Chlorophylls gegen das Licht 1807 f.
- Jodlbauer (M.), **86**: Bestimmung des Stickstoffs in Nitraten nach Kjeldahl 1914 f.
- Jödicke (F.), siehe Knorr (L.).
- Jörgensen (A.), **84**: Bildung von Askosporen bei Bier- und Pilsbefe 1531.
- Jörgensen (S. M.), **77**: Ferrinatiumphosphat 264; Platinoxyduloxyd 304; Platinchlorid gegen Silbernitrat 307; Acidperjodide der Alkaloide (Seleniate, Phosphate, Oxalate, Tartrate u. s. w.) 874.
- 78**: Darstellung von Purpureochromverbindungen 274; Purpureokobaltsalze 278 f.
- 79**: Chromammoniakverbindungen 257 f.; Kobaltammoniakverbindungen 287 f.
- 81**: Nitratopurpureokobaltsalze (Luteo-, Roseokobaltsalze) 248 bis 255.
- 82**: Chromammoniakverbindungen: Purpureoverbindungen 307 bis 310; Rhodochromsalze 311 bis 316; Erythrochromsalze 317 bis 321; Rhodiumammoniakverbindungen 360 f.
- 83**: Rhodiumammoniakverbindungen (Purpureorhodiumverbindungen), diesen ähnliche Verbindungen aus Pyridin und Rhodiumchlorid 440 bis 453; Atomgewicht des Rhodiums 453.
- 84**: Chromammoniakverbindungen: Luteochromsalze 403 bis 412; poröses Chromoxyd 406; Verhältniß zwischen Luteo- und Roseochrom-, sowie Luteo- und Roseokobaltsalzen 412 f.
- 85**: Kobaltammoniumverbindungen: Roseokobaltsalze 501 bis 509; Darstellung von Sulfatopurpureokobaltsalzen 510 ff.
- 86**: Rhodiumammoniakverbindungen (Roseo-, Purpureo- und Xanthorhodiumsalze) 494 bis 501; Pyridin-salze 1601: Platinbasen des Pyridins 1601 f., des Aethylamins 1602 f., des Methylamins 1603, des Propylamins 1603 f.
- Joffre (J.), **82**: Farbstoffreactionen auf Garn und Geweben 1346 f.
- 85**: Wirkung verdünnter Lösungen von saurem Calciumphosphat auf Pflanzen 1791.
- 86**: agriculturchemischer Werth der zurückgegangenen Phosphate 2107.
- Johannisjanz (A.), **77**: Diffusion von Flüssigkeiten 80.
- Johannson (G.), **79**: Paeonia peregrina 929.
- Johanson (E.), **77**: Alkaloide der Chinarinden 884; Chinaalkaloide 1085.
- 78**: pathologische Gebilde an Weiden 969; Conserviren thierischer Substanzen 988.
- 79**: Bestimmung der Alkaloide 780.
- 81**: Butteranalysen, Milchuntersuchungen 1224; Seuföl, Verfälschung 1312.
- 82**: Einäscherung organischer Substanzen 370; Untersuchung der Weidengallen 1149; Bestimmung des Aepfelsäuregehaltes der Vogelbeeren 1166.
- 83**: Gerbstoffbestimmung 1608; Versuche mit dem Petri'schen Desinfectionsmittel 1723; Alter der Biere 1742; Rohrzucker gegen die organischen Säuren saurer Fruchtsäfte 1747; Untersuchung eines Torfes vom nordöstlichen Ufer des Ladoga-Sees 1755; Untersuchung von Petroleumrückständen, Werth derselben als Heizmaterial, Untersuchung gefärbter Hausseifen 1761; Untersuchung von Bienert'schem Colloxylin 1780; Analyse einer Steinkohle aus Perm, Rußland 1907.
- 84**: Nachweis und physiologisches Verhalten von Colocynthin 1646 f.; Versuche über das Elaterin 1647; Untersuchung des Erdöles von Tiflis 1818; Druckzeichentinte für Wäsche 1890.
- 85**: Vaseline-Sorten 2188.
- 86**: Wasserfiltration 1904; siehe Trapp (J.).
- Johansson (J. E.), **85**: Verhalten des Serumalbumins gegen Säuren und Neutralsalze 1780 f.; Darstellung von reinem Serumalbumin 1781.
- John, siehe Claus (Ad.).

John (C.), **77**: Flysch (Lava) 1367.

**78**: Analyse von Aluminat 1224 f.; Halloysitanalyse 1269.

**79**: Bergtheer 1240; siehe Lenz (O.); siehe Stache (G.).

John (C. v.), **80**: Bouteillenstein 1502; Geologie von Bosnien-Herzegowina 1503.

**81**: Kieselsinter 1357; Quelle von Ločendol 1447.

**83**: Wasser- und Aschenbestimmungen bosnischer Kohlen 1908.

**84**: Analyse von Petroleum 1997 f., von Quarzporphyr 2012, von Diabas 2017, von Olivindiabas 2019, persischer Eruptivgesteine 2020; Untersuchung der Melaphyre von Hallstadt 2020.

**86**: Analyse eines Kupferglanzes 2229; Analyse eines Polirschiefers 2239; Analyse von Manganspath 2249; Analyse von Phosphorit 2259; siehe Stache (G.); siehe Teller (F.).

John (C. v.) und Drasche (E.), **84**: Analysen der grünen Schiefer von Mitterberg 2011.

John (C. v.) und Foullon (H. B. v.), **81**: österreichische Kohlen 1408; Wasser von Agram 1447.

Johnson, **77**: Fettextraktion 1081.

**78**: Nickelgewinnung aus Garnierit 1106.

Johnson und Matthey, **85**: Darstellung von Iridium und Phosphoriridium 2045.

Johnson (A. E.), **81**: Waschflasche 1232.

Johnson (E.), **79**: Apparate zum Filtriren u. s. w. 1086.

Johnson (E. H.), **77**: Waschflasche 1097.

Johnson (G.), **84**: Anwendung von Pikrinsäure zum Nachweis von Eiweiß im Harn 1653.

Johnson (G. St.), **77**: Kaliumtrijodid 241.

**78**: Darstellung von Ammoniumtrijodid 219; Aufnahme von Wasserstoff durch glühendes Kupfer und von Kohlsäure durch glühendes Kupferoxyd 286.

**79**: Occlusion des Wasserstoffs im Kupfer 276.

**81**: Ammoniak aus den Elementen 176, allotropische Modificationen des Stickstoffs 177.

**83**: elektrochemische Untersuchungen über den Stickstoff 197; Bildung von Ammoniak 303; Eiweiß gegen

Kalilauge: tetrathionsaures Kalium 1374 f.; ammoniakalische Kupferlösung gegen Luft 1618 f.; Nachweis von Eiweiß und Zucker im Harn durch Pikrinsäure, quantitative Bestimmung des Zuckers auf colorimetrischem Wege, Pikrosaccharimeter 1649.

**84**: Darstellung von Acetylenkupfer 517 f.; Bestimmung des Stickstoffs 1610 f.

**85**: Apparat zur continuirlichen Extraction 2008.

**86**: Vorkommen seltener Erden in der Magnesia 407; Darstellung von kristallisiertem Silbercarbonat 479 f.

Johnson (G. St.) und Eiloart (A.),

**86**: Modification der Dumas'schen Stickstoffbestimmungsmethode 1953.

Johnson (H. M.), **77**: Nitrobenzanilide gegen Brom 743; Anhydrobenzoyldiamidobenzol 865.

Johnson (J. G.), **85**: Vergiftung durch conservirte Früchte (Chlorzink- und Chlorzinvergiftung) 1855.

Johnson (J. S.), **78**: Darstellung von Polyjodiden 235 f.

Johnson (J. Y.), **85**: Darstellungsweise und Eigenschaften des Saccharins 2099 f.

Johnson (O.), **78**: Bildung von Arsenwasserstoff 1051.

Johnson (S. H.), **78**: Glucose aus Getreide 1148.

**84**: Reinigung von Trinkwasser 1774 f.

Johnson (S. W.), **77**: Salpetersäurebestimmung in Nitraten 1042.

**84**: Bestimmung des Stickstoffs in organischen Substanzen 1611.

Johnson (S. W.) und Chittenden (R. H.), **78**: Untersuchung der sauren Ammoniumsulfate 217.

Johnson (S. W.) und Jenkins (E. H.), **80**: Phosphorsäure in Düngern 1159; Stickstoffbestimmung nach Dumas, Azotometer 1199; Azotometer, Sprengelpumpe 1242.

Johnson (W.), **77**: Bataten und Mais 1208.

Johnson (W.) und Jenkins (E. H.),

**79**: Phosphorsäurebestimmung 1037 f.; Stickstoffbestimmung landwirtschaftlicher Producte 1060.

Johnson (P.), **83**: Verhüttung schwefelhaltiger Kupfererze 1676.

Johnston (W.), **81**: Milchprüfung 1226.

- Johnstone (D. E.), **82**: Darstellung von Stickoxyd 239.
- Johnstone (M. N.), siehe Kennedy (C. L.).
- Johnstone (W.), **79**: Darstellung des Schwefelwasserstoffs 203; Luftpumpe 1084; Dunstan-Quelle zu Melrose 1269 f.
- 81**: Stahlquelle von Kingstead 1449.
- Johst (W.), **83**: Brechungscoefficienten der Gemische von Anilin und Alkohol 237.
- Jolin (S.), **77**: Bromnaphtalinderivate 412; Dichlornaphtaline 414.
- 79**: Bromnaphtalinderivate 391.
- Jolles (A.), **86**: Apparat zum Auswaschen und Austrocknen von Niederschlägen 2011.
- Jolly (L.), **77**: Blutfarbstoff 998.
- 79**: Vertheilung der Phosphate im Blute 962; Eisen im Hämoglobin 963; Phosphorsäure im Gehirn und Rückenmark 970 f.; Phosphate im Muskel und in der Sehne 974 f.
- Jolly (Ph. v.), **79**: Sauerstoffgehalt der Atmosphäre 207 f.
- Jolly (W.) und Cameron (M.), **83**: Analyse des Abiachanits von Invernesshire, Schottland 1911.
- Joly, **77**: Carbonisiren von Wolle 1229; siehe Paquelin.
- Joly (A.), **82**: Neutralisation der Phosphorsäure 21.
- 83**: Zersetzung der sauren Erdalkaliphosphate 315 bis 317; krytallisirtes Bor 339 bis 341.
- 84**: Zersetzbarkeit des Monobaryumphosphats mit Wasser 380 ff.
- 85**: Unterphosphorsäure und Salze 432 ff.; neues Hydrat der Phosphorsäure 434 f.; Verbindungen der arse-nigen Säure mit der Arsensäure 448 f.; Hydrate der Arsensäure (Lösungs- und Bildungswärmen) 449 ff.; Sättigung der Phosphorsäure durch die Basen 1913 f.; Titration der Borate mit Methylorange als Indicator 1920 f.
- 86**: thermochemische Untersuchung der Unterphosphorsäure 207 f.; Einwirkung von phosphorsaurem Natron auf zweiwerthige Metallchloride 209 f.; Hydrate (und Zersetzung) der Unterphosphorsäure 347 bis 350; Darstellung reiner Phosphorsäure 353 f.; Titrirung der Phosphorsäure 354; Bildung der Dimetallphosphate und verwandter Salze 354 bis 357; Phosphate und Arseniate des Silbers 360 f.; Titrirung der Phosphorsäure 1920.
- Joly (A.) und Dufet (A.), **86**: neues Mononatriumphosphat und -arseniat 359 f.
- Joly (F. M.), **82**: Herstellung von Kerzen 1460.
- Joly (J.), **86**: Anwendung der Condensation zur Calorimetrie 183; Anwendung der specifischen Wärme für die Diagnostik der Mineralien 2219.
- Joly (N.), **82**: Glairin (Barégin) der Schwefelquellen 1231.
- 83**: Untersuchung der Organismen des schleimigen Absatzes (Glairin, Barégin) der Schwefelquellen 1940.
- Jones, **77**: Sulfatosen 1151.
- 85**: Zusammensetzung der Blockcomposition 2163.
- Jones (Chapman H.), siehe Chapman Jones (H.).
- Jones (E.), **83**: qualitative Prüfung auf Chlor, Brom und Jod 1530.
- Jones (E. J.), **84**: Verhalten der  $\alpha$ -Methylpropyl- $\beta$ -oxybuttersäure beim Erhitzen 1188 f.
- Jones (E. W. T.), **86**: Untersuchung der einzelnen Flöze des Kohlenbassins von Südstaffordshire 2295 f.
- Jones (F.), **78**: Darstellung von Borwasserstoff 229; Verhalten von Reduktionsmitteln gegen übermangans. Kalium 276 f.
- Jones (F.) und Taylor (R. L.), **81**: Borwasserstoff, Bormagnesium 200.
- Jones (G.), **77**: Carbowater 1097.
- 78**: Bestimmung von Zucker mit übermangansaurem Kalium 1077.
- Jones (H. B.), Shepard (H. W.) und Seaman (R.), **81**: Ueberziehen von Eisen mit Metallen 1246.
- Jones (H. C.), **78**: Siedepunktsbestimmung 35.
- Jones (H. W.), **79**: Salpetersäurebildung in einem Seewasseraquarium 221; Untersuchung von Buchsorten 935.
- 86**: Bestimmung des Emetins 1981.
- Jones (J.), **85**: Holzconservirung durch Phenol 2192.
- Jones (T.), **78**: Bildung von Ammoniak bei der Filtration von Wasser durch schwammiges Eisen 1041.
- Jones (W. T.), **86**: Phosphatanalyse 1932.
- Jonge (D. de), **78**: Secret der Bürzeldrüse von Gänsen und wilden Enten 1013.

- 79:** Verhalten des Phenols im Thierkörper 975 f.; Talgdrüsensecret der Vögel 999 f.
- Jonk (K.), **84:** Volumänderungen von Flüssigkeiten 64.
- Jonstorff (H. Jüpner v.), **77:** Molekularumlagerungen 30.
- Jordan (A. E.) und Turner (Th.), **86:** Zustand des Siliciums im Roheisen 2027 f.
- Jordan (F.), siehe Frankland (P. F.).
- Jordan (J. B.), **78:** Glycerinbarometer 1095.
- Jordan (O.), **80:** Bromhydrazobenzolsulfosäure 911 f.
- Jordan (P.), **78:** Darstellung von Manganeisen 1104.
- Jordan (Th. R.), **85:** Extraction von Gold und Silber aus Erzen 2043.
- Jorissen, **85:** Tanninprobe zum Nachweis thierischer Fäulnisstoffe im Trinkwasser 1897.
- Jorissen (A.), **80:** Jod in Brom und Brommetallen 1152; Fuselöl im Alkohol 1206; Alkaloide gegen Chlorzink 1210.
- 81:** Reactionen auf Morphin 1209.
- 82:** Salicylaldehyd aus *Paeonia officinalis* 1175; Nachweis von Mineral-säuren neben organischen durch Gurjun-Balsamöl 1257; Nachweis der salpetrigen Säure 1268 f.; Bestimmung von Nickel neben Kobalt 1293.
- 83:** Verhalten des Amygdalins bei der Keimung, Vorkommen des Amygdalins in Pflanzen 1390.
- 84:** reducirende Wirkung der Samen- und Diastasebildung 1434; Abscheidung von Blausäure aus Pflanzen 1443.
- 85:** Ursprung der Diastase und Reduction der Nitate in Pflanzen 1791 f.
- Jorissen (M. A.), **82:** Reaction auf Fuselöl 1234.
- Joshida (H.), **83:** der Rohstoff des japanesischen Lackfirnisses (Milchsafte von *Rhus vernicifera*) 1788 f.
- Joslin (O. T.), siehe Clarke (F. W.).
- Jossa (N. A.), **81:** Roheisenindustrie 1244.
- Jossinet, **78:** chemischer Theil der Pariser Ausstellung des Jahres 1878 1098.
- Jost (F.), **83:** Analysen gefärbter Molybdänbleie, krystallographische Untersuchung eines Molybdänbleies 1860; siehe Schichtel.
- Joubert, siehe Pasteur.
- Joubert (J.), **78:** Drehungsvermögen des Quarzes 186 f.
- 86:** traubensaures Natrium-Ammonium 1352.
- Jouglot (A.), **83:** die wichtigsten Entdeckungen in der Stahl- und Eisenerzeugung 1671.
- Joule (J. P.), **78:** mechanisches Wärmeäquivalent, Bestimmung 63.
- Joulie (H.), **79:** Zurückgehen der Phosphorsäure 1124 f.
- 84:** Verlust an Stickstoff bei der Fermentation der Dünger 1764.
- 85:** Bestimmung der Phosphorsäure in Handelsproducten 1914 f.; Aufnahme von Stickstoff aus der Luft bei Culturboden 2122; Einfluss verschiedener Zusätze auf den Stickstoffverlust bei der Fermentation des Düngers 2129.
- 86:** Fixirung des Stickstoffs im bebauten Boden 2092.
- Joulin (L.), **80:** Diffusion und Absorption von Gasen 66 f.
- 81:** Verdichtung von Gasen durch poröse Körper 66.
- Jourdan (F.), **79:** Synthese der Nonylsäure, Diheptylessigsäure 668 f.
- 83:** Benzil, Furil, Phenanthrenchinon, Isatin gegen alkoholisches Cyankalium 991.
- 85:** Synthesen von Derivaten des Hydroacridins und Acridins 929 bis 934: Darstellung von Dinitrodiphenylamin 929, von Dinitrodiphenylamin-o-carbonsäure und deren Condensation, Diamidohydroacridinketon 930; Oxyacridine, Chlordinitrodiphenylamin-o-carbonsäure, Dinitrodiphenylamin-o-carbonsäure 931; salz. Diamidohydroacridinketon 932; isomeres Diamidoxyacridin, Chlordiamidohydroacridinketon, Darstellung einer isomeren Chlordinitrodiphenylamin-o-carbonsäure 933; Chlordiamidodiphenylamin-o-carbonsäure, Dinitrodiphenylamin-carbonsäuren 934.
- 86:** Synthese von Acridin- und Hydroacridinderivaten 894; siehe Fischer (E.).
- Jourdan (T.), **77:** neue Kette 152.
- Jousselin (L.), **77:** Nitrosoguanidin 352.
- 79:** Guanidinsalze 332 f.
- Jowanowitsch (K.), **85:** Verhalten der Weinsäure bei Gegenwart von Glycerin in höherer Temperatur



- 1374 f.: Brenztraubensäureglycid und Calciumsalz 1375.
- Judd (J. W.) und Cole (G. A. J.), **84**: schottische Tachylite, Analyse von Basalt 2023.
- Jüdel (G.), **77**: Conservirung des Fleisches 1183.
- Jüllig (M.), **79**: Metallthermometer 90.
- Jünemann, **84**: Ausfällung des Zuckers aus seinen Lösungen 1791.
- Jünemann (E.), **81**: Alaun, essigs. Thonerde, Bleiweiß, Bleizucker 1269 f.
- Jüptner (H. v.), **80**: Wiedergewinnung des Silbers aus Rhodansilberrückständen 359; Nachweis des Quecksilbers 1194; Trennung des Goldes durch Cadmium 1196.
- 82**: Gleichungen zur Berechnung der einzelnen Gase bei der Gasanalyse 1258; Bestimmung von Silicium in Eisen und Stahl 1280 f.; Kohlenoxydbestimmung 1281; volumetrische Bestimmung des Bleies 1297; Untersuchung des Arguzoids 1359 f.
- 83**: Bestimmung des Gesamtkohlenstoffs in Eisen und Stahl 1553; Handhabung der Bunte'schen Gasbrette 1658.
- 84**: Untersuchung über die Größe des Nachfließens bei Büretten 1549; quantitative Wasseranalyse mittelst seiner Härtebestimmung 1559 f.
- 85**: Bestimmung des Mangans 1935; Zusammensetzung einer Hochofenschlacke, Siliciumbestimmung im Eisen 2030.
- Jürgens (Al.), **85**: Darstellung des Aconitins 1721 f.; Zusammensetzung, Krystallform und Salze des Aconitins 1722 f.; Jodaconitinhydrojodid, Jodaconitin, Bromaconitinhydrobromid, Bromaconitin, Reactionen des Aconitins, Pikraconitin 1723; Aconin 1724.
- Jürgens (R.), siehe Cornil (V.).
- Jürgensen (Chr.), **86**: Größe der Nahrungszufuhr beim Menschen 1833.
- Julhe, **85**: Härtung des Gypses 2113.
- Julian (F.), **83**: Analyse des Margarits von Hendricks Farm, Nordcarolina 1836 f.
- Julien (A. A.), **77**: Asphalt 1351.
- 78**: Aglait 1269 f.
- 79**: Aglait und Cymatolith 1227.
- 80**: Spodumen 1458 f.
- 82**: Bildung der Eisenerze 1519.
- Julius (P.), **83**: Umwandlung von Jodsilber und Chlorsilber in Bromsilber, von Chlorsilber und Bromsilber in Jodsilber 1581 f.; Exsiccatoren-Aufsatz 1657.
- 84**: Verhalten von Benzidin und Diphenylin gegen Kaliumdichromatlösung 744 f.
- 85**: Darstellung von Hydrobromapochinin, Hydrochlorapochininchloroplatinat 1709.
- 86**: Darstellung eines neuen Diamidodinaphtyls aus  $\alpha$ -Dinaphtyl, Mononitrodinaphtyl 885 f.; Dinitrodinaphtyl 886; Diamidodinaphtyl und Derivate 886 f.; Bestimmung von Anilin und Toluidin 1957 f.; Untersuchung des Magdalaroths (Naphtalinroths) 2193 f.; siehe Benedikt (R.); siehe Hazura (K.).
- Julius (V. A.), **81**: Theorie des Volta'schen Fundamentalversuches 89; siehe Korteweg (D. J.).
- Junck (C.), **84**: Untersuchung von Malzextract 1799 f.
- Jung (O.), **83**: Analyse des Granitporphyrs von Brückenberg in Schlesien 1927.
- 86**: Untersuchung und Derivate des Daphnetins: Daphneton, Daphnetilsäure, Daphnetinsäure 1785 ff.; siehe Will (W.).
- Jungck (M.), **84**: Siemens-Martin-Process 1706.
- Jungfleisch, **83**: Linksweinsäure 1084.
- Jungfleisch (E.), **77**: Traubensäure 710; Traubensäure in der Weinsäurefabrikation 1205.
- 80**: Acetylen 437.
- 84**: Zerlegung der durch Compensation optisch inactiven Substanzen 303 f.; Synthese drehender Verbindungen 304.
- 86**: Reinheit des französischen Chininsulfates 1979; siehe Boisboudran (Lecoq de).
- Junghann (G.), **79**: Geometrie der Krystalle 1.
- Junghann (N.) und Uelsmann (H.), **82**: basische Ofenfutter zur Entphosphorung des Eisens 1365.
- Jungschläger (W.), **82**: Metallgerbung 1473.
- Junker, **83**: Veränderungen verschiedener Petroleumsorten beim Brennen auf der Lampe 1760 f.
- Jurisch (K. W.), **80**: Weldon-Schlamm 1276; Rohsoda-Analysen, Causticirung von Sodalaugen 1293.

**82:** Entschwefung von Sodalaugen 1399.

Juslin (V.), **82:** Bromvaleriansäure, Amidovaleriansäure 858.

Juslin (W.), **84:** Darstellung von normaler  $\alpha$ -Oxyvaleriansäure aus  $\alpha$ -Bromvaleriansäureäther 1137 f.

Jussieu (F. de), **79:** Antimonblei-  
legierungen 287.

Just (F.), **83:** homologe Aethane aus activem Amylalkohol 501 bis 503.

**85:** Darstellung von substituirten Chinolinderivaten:  $\alpha$ -Phenyl- $\gamma$ -oxychinolin- $\beta$ -monocarbonsäure-Aethyläther und Eigenschaften der freien Säure 952 f.; Einführung stickstoffhaltiger Radicale in den Malonsäureäther und Acetylessigäther 1343 bis 1345; Anilbenzenylmalonsäureäther, Dianilbenzenylmalonsäureäther, Anilbenzenyläthylmalonsäureäther 1344; Spaltungsproducte derselben 1345; Darstellung von Diacetylfumarsäureäther aus Diacetbernsteinsäureäther 1370 f.; Herstellung von Chinolinderivaten 2088.

**86:** Darstellung von Chinolinderivaten: Benzoyl-p-toluidimidchlorid 901 f.; Benzoyl-o-toluidimidchlorid 902; Benzoyl-m-toluidimidchlorid (Benzoyl-m-toluidin) 902 f.; Benzoyl- $\beta$ - und Benzoyl- $\alpha$ -naphthylaminimidchlorid 903; Einwirkung obiger Imidchloride auf Natriummalonsäureester 903 f.; p-, o- und m-Tolilbenzenylmalonsäure-Aethyläther;  $\alpha$ - und  $\beta$ -Naphtilbenzenylmalonsäure-Aethyläther 904; Verhalten der drei Tolilbenzenylmalonsäure-Aethyläther beim Erhitzen 905 ff.:  $\alpha$ -Phenyl- $\beta$ -carbonäthyl- $\gamma$ -oxy-p-toluchinolin ( $\alpha$ -Phenyl- $\gamma$ -oxy-p-toluchinolin- $\beta$ -carbonsäure-Aethyläther) 905; Verhalten desselben gegen Alkalien:  $\alpha$ -Phenyl- $\beta$ -carboxyl- $\gamma$ -oxy-p-toluchinolin ( $\alpha$ -Phenyl- $\gamma$ -oxy-p-toluchinolin- $\beta$ -monocarbonsäure); Verhalten des letzteren beim Erwärmen:  $\alpha$ -Phenyl- $\gamma$ -oxy-p-toluchinolin;  $\alpha$ -Phenyl- $\beta$ -carboxäthyl- $\gamma$ -oxy-o-toluchinolin 906; Derivate des  $\alpha$ -Phenylchinolins:  $\alpha$ -Phenyl- $\gamma$ -oxychinolin- $\beta$ -monocarbonsäure ( $\alpha$ -Phenyl- $\beta$ -carboxyl- $\gamma$ -oxychinolin) 946 f.;  $\alpha$ -Phenyl- $\gamma$ -oxychinolin und Salze 947; Einwirkung von Phenylhydrazin auf o-Mononitroanilin, o-Mononitro-p-toluidin, Sulfanilsäure und m-Amidobenzoësäure 1084 f.; auf Methylphenyl-

und Diphenylacetoxim (Aceto- und Benzophenonphenylhydrazin), sowie Oximidomalonsäureäther 1085; auf Säureamide: Formyl-, Acetyl-, Benzoyl-, Phtalylphenylhydrazin 1085 ff.; auf Benzolsulfamid und Anhydro-sulfaminbenzoësäure 1087; Darstellung substituirter Chinolinderivate aus Imidchloriden und Malonsäure- resp. Acetessigestern 2088.

Just (L.), **82:** Verhalten der Pflanzen gegen Kohlenoxyd 1143.

Justum (J. C.), **80:** Kohlenstoff im Eisen und Stahl 1170 f.

Jutier, **79:** schlagende Wetter 1114.

Jutz (G. W.), **82:** Phenylchlorpropionsäure gegen Kali: isomere Monochlorzimmtsäuren 937 f.

Juvalta (N.), siehe Merz (V.).

## K.

Kabloukoff, **80:** Allylacetone 717 f.; siehe Markownikoff (W.).

Kablukoff (Kablukow), **85:** Darstellung des Glycids des Hexylglycerins 1208.

Kablukow (J.), **82:** Darstellung von Oxymethylen, Methylenitan 734; siehe Markownikoff (W.).

Kachler (J.), **78:** Säuren als Oxydationsproducte des Camphers 640; Borneol und Derivate 646 f.

**79:** Borneole 566 f.

**80:** Säuren aus Campher 878.

**81:** gebromte Fettkörper gegen Salpetersäure 375.

**86:** Untersuchung des Cambialsaftes der Fichte 1816.

Kachler (J.) und Spitzer (F. V.).

**80:** Camphen aus Borneolchlorid und Campherdichlorid 451 f.; Borneol 452; Hydrocamphen 454; Campherkohlen-säure 729.

**81:** Borneolkohlensäure, Campherkohlen-säure 834 ff.

**82:** Monobromcampher gegen Brom:  $\alpha$ - und  $\beta$ -Dibromcampher, Campherkohlen-säure, Dibromnitrocampher, Oxycampher, Nitrooxycampher 772 f.

**83:** Einwirkung von Salpetersäure auf Tribromanilin 581; Campher gegen Natrium: Camphersäureanhydrid 996; Darstellung von  $\alpha$ - und  $\beta$ -Dibromcampher 998;  $\alpha$ - und  $\beta$ -Dibromcampher gegen Salpetersäure, Oxycam-

- pher 999; Mononitrooxycampher 999 f.; Monoamidooxycampher 1000.
- 84:** Darstellung von Oxycampher aus  $\beta$ -Dibromcampher 1064; Identität der Campholensäure mit Oxycampher, Darstellung von Borneol 1065; Untersuchung von Camphoronsäure, Oxycamphoronsäure 1264.
- 85:** Untersuchung der Camphoronsäure 1523 bis 1525; Salze der Camphoronsäure 1523; Anhydro-Camphoronsäure 1524; Anhydro-Camphoronsäurechlorid 1525.
- Kade (B.), **79:** Chlorgegen Dibenzyl 391 f.
- Kaemmer (G.), **85:** Bestimmung der Weinsäure 1959.
- Kämmerer (H.), **77:** Bildung von Stickoxyd 199; Schwefelverbindungen in Cementen 1163.
- 85:** neue Art der Darstellung des Stickoxyds 417; Kaliumchromat als Indicator bei der Chlorbestimmung 1899 f.; Untersuchung zweier Bronzen und des Ueberzuges vom Herkules-Brunnen in Augsburg, sowie der Incrustationen des Dürer- und Hans Sachs-Denkmales in Nürnberg 2049 f.
- Kämmerer (H.) und Benzing (E.), **78:** Einwirkung von Jod auf Phenole 590 f.
- Kaeswurm (A.), **86:** Condensationsproducte aromatischer Basen mit Aldehyden: von p-Monochlorbenzaldehyd mit Dimethylanilin (Tetraäthylamidodiphenyl - p-chlorphenylmethan und -p-chlorphenylcarbinol) 778 f.; mit Diäthylanilin (Tetraäthylamidodiphenyl - p-chlorphenylmethan und -p-chlorphenylcarbinol) 779 f.; mit Diphenylamin 780; von p-Mononitrobenzaldehyd mit Diäthylanilin (Tetraäthylamidodiphenyl-p-nitrophenylmethan) 780 f.; Oxydation der letzteren Base zu einem gelbgrünen Farbstoff, Reduction zu Tetraäthylparaleukanilin, p-Acetamidomalachitgrün 781.
- Kahlbaum (G. A.), **86:** Thermoregulator 2009.
- Kahlbaum (G. W. A.), **79:** Methyläther der Säuren mit  $C_3$  und  $C_4$  604; Monochlortetracrylsäure und Monochlorcrotonsäure 623 f.
- 80:** Polymerisirung von Acrylsäure-Methyläther 773 f.
- 83:** Modification am Pyknometer 49; Abhängigkeit der Siedetemperatur vom Luftdruck 126 ff.
- 84:** Abhängigkeit der Siedetemperatur vom Luftdruck 186 bis 193; spec. Remission 193.
- 85:** Berechnung der specifischen Remissionen als Ausdruck der Beziehung zwischen Siedetemperatur und Druck 149; Dampfspannungsbestimmung 151; Brechungsindices der drei Acrylsäure-Methylester 304.
- 86:** Apparat für Tensionsbestimmungen von Dämpfen 91; Einfluss des atmosphärischen Druckwechsels auf den Siedepunkt von Verbindungen (Aethyläther) 115 ff.; Differenz von Siedepunkt und Kochpunkt, Kochpunkte der fetten Säuren 195.
- Kahn (M.), **85:** Condensation von Butyraldehyd mit Anilin 1004 bis 1008:  $\alpha$ -Normalpropyl- $\beta$ -Aethylcholinol 1004; Eigenschaften und Salze desselben 1005 f.; Disulfidverbindung des Butyraldehyds, n-Monobutylanilin (Normalbutylanilin) 1006 f.; Salze desselben,  $\beta$ -Aethyl- $\alpha$ -cholinolmonocarbonsäure ( $\beta$ -Aethylchinaldinsäure) 1007; Salze dieser Säure,  $\beta$ -Aethylcholinol 1008; Einwirkung von Isobutyraldehyd auf Anilin 1008 f.
- Kaiser (A.), **85:** isomere Mononitroacetamidobenzoësäuren und deren Reductionsproducte 1466 bis 1469: p-Acetamidobenzoësäure, m-Mononitrop-acetamidobenzoësäure 1466; m-p-Anhydroacetdiamidobenzoësäure, Anhydracetdiamidobenzol, m-Acetamidobenzoësäure 1467; p-Mononitro-m-acetamidobenzoësäure, p-Mononitro-m-amidobenzoësäure 1468; benachbarte o-Mononitro-m-acetamidobenzoësäure, benachbarte o-Mononitro-m-amidobenzoësäure 1469; siehe Gattermann (L.); siehe Meyer (V.).
- Kaiser (J. A.), **83:** Heizapparate für den Laboratoriumsgebrauch 1656; Apparate zur Ausscheidung und Bestimmung des Arsens 1660.
- 85:** Gasofen 1996.
- Kajander (N.), **80:** Lösungsgeschwindigkeit des Magnesiums 11 f.
- 81:** Lösungsgeschwindigkeit von Magnesium in Säuren 24 ff.; Lösungsgeschwindigkeit des Magnesiums (Wirkung der Kieselfluorwasserstoffsäure, Phosphorsäure und Citronensäure) 211, des kohlensauren Calciums in Säuren 212.
- Kakizaki (S.), siehe Kellner (O.).

- Kalckhoff (F. A.), **83**: Oxyphenylharnstoffe 492; harnstoffartige Verbindungen aus Amidophenolen 909 ff.; o-Monoamidophenol gegen xanthogensaures Kalium: Thiocarbamidophenol 909; Derivate des Thiocarbamidophenols 909 f.; o-Oxycarbamidophenol, o-Oxythiocarbanilid 910; Di-p-oxyphenylthioharnstoff, Darstellung und Derivate 910 f.
- Kaleczinsky (A.), **84**: Analyse von Kupferkies 1909; Analyse von Hornblende 1970 ff.
- 85**: Schwefelsäurebad und Wasserluftgebläse 2000.
- 86**: Thermoregulatoren 2009; Analyse des Eisenwassers von Rosenau 2321 f.
- Kalischer (S.), **81**: Einfluss der Wärme auf die Molekularstruktur des Zinks 257.
- 82**: Molekularstruktur von Metallen: Einfluss derselben auf die elektrische Leitungsfähigkeit 262 f.
- 83**: Elektrizitätserregung 191.
- 86**: Elektrizitätserregung bei der Condensation von Wasserdämpfen 243 f.; Selenzellen 264.
- Kalkhoff, **86**: Analyse von Proust 2235.
- Kalkowsky, **86**: Krystallform des Ammoniumdisulfowolframat 432, des neutralen Kaliumsulfowolframat 433 f.; Krystallform von Lutidinchloroplatinat 770.
- Kalkowsky (E.), **77**: grüne Schiefer 1356.
- 79**: Tenorit 1187; Staurolith im Thonschiefer 1256.
- 81**: Hercynit 1361; Genese von Gängen 1421.
- 85**: Olivinzwillinge 2289.
- Kallab (F. V.), **78**: Bildung der Thierfaser 1175.
- Kalle, **83**: Herstellung rother Farbstoffe durch gemeinschaftliche Oxydation von p-Diaminen und amidirten Aethern der Phenole 1799; blaue Farbstoffe aus den Nitrosoderivaten der tertiären aromatischen Amine 1801.
- 86**: Darstellung von Tetrachlor-, Tetrabrom- und Tetraodpyrrol und Derivaten 2086.
- Kallmann (W.), **86**: Titerstellung und Controle von Jodlösungen 1898.
- Kalman (W.), **85**: Bestimmung des Phosphorgehaltes im Roheisen und Stahl 1911; siehe Oser (J.).
- Kalman (W.) und Böcker (F.), **78**: Einfluss von Gyps auf den Boden 1142.
- Kalman (W.) und Smolka (A.), **85**: Methode zur Bestimmung des Mangans im Spiegeleisen und Ferromanganen 1936.
- Kaltenbach (F.), **78**: Lactosurie 1002.
- Kamenski (J.), **78**: Einwirkung der Halogene auf Guanidinsalze 348 f.
- Kamenski (Iwan), siehe Wallach (O.).
- Kamensky (G.), **84**: elektrische Leitungsfähigkeit von Kupfer-Antimonlegierungen 249.
- Kamerlingh Onnes (H.), siehe Onnes (H. Kamerlingh).
- Kamienski, **80**: Verarbeitung von Nickelerzen 1262.
- Kander (E.), **83**: Succinylchlorid gegen Phosphorpentachlorid 1081 f.
- Kander (G.), **86**: Eiweißkörper des Blutes 1790 f.; Scheidung von Albumin und Globulin 1791.
- Kanera (F.), siehe Horbaczewski (J.).
- Kanonnikoff, **84**: Refraktionsäquivalent des Kohlenwasserstoffs  $C_8H_{14}$  524.
- Kanonnikoff (S.), siehe Kononowitz.
- Kanonnikow (Kanonnikoff) (J.), **81**: molekulares Brechungsvermögen von Körpern mit Kohlenstoffdoppelbindung 114; Brechungsvermögen der gechlorten Aethane 313 f.
- 83**: Lichtbrechungsvermögen organischer Verbindungen 238.
- 84**: Refraktionsäquivalente der zu den beiden ersten Gruppen des periodischen Systems gehörenden Elemente 287.
- 85**: Einfluss des Aggregatzustandes, der Isomerie und der Kohlenstoffbindung auf das Lichtbrechungsvermögen eines Körpers (Menthol, Menthon, Borneol, Campher, Terpene, Isoterpene) 311 f.; Azoverbindungen mit gemischten und substituirten Radicalen (Azo-o-anisol) 1067 f.
- 86**: Azoverbindungen mit gemischten und substituirten Radicalen 1021; siehe Saytzeff (A.).
- Kanonnikow (J.) und Saytzeff (M.), **77**: Allyljodid 399; Essigsäureanhydrid 676.
- Kappel (S.), **82**: Bildung von Ozon und Wasserstoffhyperoxyd beim Leiten

- von reiner Luft durch alkalische, mit Kupfer in Berührung befindliche Lösungen 222; Bildung der Salpetersäure und salpetrigen Säure aus Ammoniak 240.
- 86:** Bildung von Wasserstoffhyperoxyd, Ozon und salpetriger Säure 327.
- Kappeler (O.), **79:** gemischte Azoverbindungen 463 f.
- Kapustin, **79:** Kohlensäuregehalt der Luft 1042.
- Karawodin (W.), **85:** Quecksilberluftpumpe 2002.
- Karetnikoff, **77:** Aethylen- und Propylenbromür gegen Silberoxalat 399, 697.
- 79:**  $\beta$ -Chlorbuttersäurealdehyd 553.
- Kariof (K.), **80:** Dipropylresorcin 646 f.; Dimethylhydrochinon 656 f.
- 81:** Ofen 1237.
- Karmarsch (K.), **77:** Volumänderungen bei Metallegierungen und Mischungen von Flüssigkeiten 46; Feingehalt des Silbers 1124.
- Karpinsky (A.), **82:** Kohlensäure im Quarz und Amethyst vom Ural 1519.
- Karschett, **80:** Eurotin 1134 f.
- Karwowsky (A.), **81:** Fledermaus-excremente 1055.
- Kasalovsky (J.), **80:** Orsat'scher Apparat zur Rauchgasanalyse 1240.
- Kasamajor (P.), **81:** Schwefelwasserstoff aus Schwefelmetallen 160.
- Kasanzeff, **78:** Zusammensetzung und Verhalten von Goldamalgam 308 f.
- Kaschirsky (M.), **77:** Glycolchlorhydrin gegen Metalloxyde 522; Methylisopropylcarbinol 533.
- 78:** Darstellung höherer Alkohole 526 f.
- 81:** zinkorganische Verbindungen gegen Bromanhydride von Fettsäuren: Pentamethyltholbromid, Heptylalkohol, Heptylene 889.
- Kaspar (O.), **81:** Titrirung von Jodkalium 1180.
- Kassner (G.), **85:** Gewinnung von Kautschuk aus *Sonchus oleraceus* 1823 f.; Wachs- und Fettgehalt dieser Pflanze 1824; Solanidin in einer Kartoffelschlempe 1966; Untersuchung der Gänsedistel (*Sonchus oleraceus*) auf mögliche Verwerthung zur Gewinnung von Kautschuk, zur Papierfabrikation und als Futtermittel 2189; Bleichen von Flüssigkeiten mittelst mangansaurem Baryt 2201.
- 86:** Kautschukgehalt der syrischen Seidenpflanze, *Asclepias Cornuti* Decaisne 2168 f.
- Kassner (S.), **85:** Kautschuk, Wachs, Fett, Farbstoffe, Futtermittel, Faser aus *Sonchus oleraceus* und *Asclepias syriaca* 2194.
- Kast (H.), **81:** Atrolactinsäure, Phenylmilchsäure 815; Atroglycerinsäure 816.
- Kastropp (A.), **77:** Phenetol 545.
- Kathreiner (F.), **77:** Gerbproceß 1185.
- 78:** Bestimmung der Gerbsäure 1176.
- Katschinsky (F. A.), **82:** Darstellung von Colloidumwolle 1473.
- Katzujama, **78:** Camellin 977 f.
- Kauder (E.), **85:** Einwirkung von Chlorphosphor auf Succinylverbindungen und Weinsäure 1364 bis 1367;  $\alpha$ - und  $\beta$ -Dichlormaleintetrachlorid, Dichlormaleinsäure und deren Anhydrid 1364; Dichlormaleinphenylimid, Fumarsäure-Methyläther 1365; Monochlormaleinchlorid, Monochlorfumarsäure, Monochlormaleinsäure 1366 f.
- Kaufmann, siehe Chauveau (A.).
- Kaufmann (Fr.), **81:** Triphenyläthylharnstoff 335.
- Kauffmann (G.), **82:**  $\beta$ -Naphтол gegen Chloroform:  $\beta$ -Naphтолaldehyd 751 f.;  $\beta$ -Oxynaphtoesäure, Dinaphтол 752.
- 83:** Triacetylverbindung des  $\beta$ -Naphтолaldehyds,  $\beta$ -Naphтосumarin 995;  $\beta$ -Naphтосumarin gegen Kalilauge: Naphтосumarsäure 995 f.
- Kautz (H.), siehe Claus (A.).
- Kawakita, siehe Haga (T.).
- Kawakita (M.), siehe Divers (E.).
- Kay (F.), **85:** Trinkbarmachung von Seewasser 2134.
- Kay (W. E.), **80:** Vanadiumsulfide 340 f.
- 81:** Vanadiumsulfide 280.
- Kayser, **77:** venetianisches Glas 1167.
- 85:** Dichte absorbirter Gaschichten an feste Körper 9 f.; siehe Städel (W.).
- Kayser (A.), siehe Erlenmeyer (E.).
- Kayser (A.), Young (A. B.) und Williams (H.), **86:** Darstellung von Soda aus Natriumsulfat 2053 f.
- Kayser (E.), **82:** nitrirte und amidirte Kresyläther 686 ff.
- Kayser (H.), **77:** Verhältniß der spec. Wärmen 93.

- 81:** Absorption von Luft, schwefeliger Säure und Wasserstoff durch Buchsbaumholzkohle 67; Adsorption von Gasen an Flächen von Glas und Metallen 68.
- 82:** Adsorption von Gasen an Gasflächen 58.
- 84:** Adsorption von Gasen an Glas 94; photographische Aufnahmen von Blitzen 1895.
- 85:** elektromotorische Kraft der Thermosäulen von Noë-Rebicek 252.
- Kayser (R.), **78:** Asche- und Extractgehalt französischer Weiß- und Rothweine 1162.
- 79:** Vernickelung von Metallen 1097.
- 81:** Kali im Wein, freie Säuren im Wein 1217; Weinanalyse 1218; Gypsen des Weines, Kalk, Magnesia und Phosphorsäure im Wein 1307.
- 82:** Glycerinbestimmung im Wein 1329 f.; Bestimmung der Weinsäure und des Weinsteines im Wein 1330; Analysen von Mosten, Weinen und Kunstweinen 1446 ff.
- 83:** Vorkommen von Rohrzucker und einigen seiner Umwandlungsproducte im Organismus von Pflanzen 1391 f.; Analyse der getrockneten Heidelbeeren 1407 f.; Beurtheilung von Wein auf Grund analytischer Daten, Untersuchung mehrerer Moste, Weine und Kunstweine 1629; Gährungsversuche mit Weinmosten 1738 f.; apulische und Chianta-Weine 1739; Unterscheidung von Aepfelwein und Traubenwein, Wein aus Ruppiner Aepfeln 1741; Zusammensetzung von Früchten und Fruchtsäften 1747; Untersuchung südfranzösischer Korinthen 1748; Wasserlack 1768.
- 84:** Untersuchung des Safrans (Crocine, Crocetin) 1456 f.; Weinanalyse 1659, 1661; über die Bestimmung der Weinsäure im Wein 1662 f.; Prüfung der Weine auf Rosanilinsalze und Rosanilinsulfosäuren 1664 f.; Analysen verschiedener Weine 1665; Weinanalysen 1797 f.; Methoden der Weinuntersuchung 1798.
- 85:** Gährungsversuche mit gegypstem Most 1974; Nachweis eines Süßholzzusatzes zum Bier 1976; Gährungsversuche mit gegypstem Weinmost 2149 f.; Bleichen und Färben von Bein 2205; Untersuchung des Chinesisch-Grüns (Lokao) 2250 f.; Darstellung und Eigenschaften und Salze der Lokonsäure 2251 f., der Lokonsäure 2252 f., der Delokonsäure 2253.
- 86:** Versilberung auf kaltem Wege 2044 f.
- Kayser, **78:** Bildung von Hydroacrylsäure aus Aethylencyanhydrin 686.
- Kebler (E. A.), **83:** spec. Gewicht von Fluorcadmium 51; Analyse des Gunnisonits von Gunnison City, Colorado 1910; siehe Clarke (F. W.).
- Keck (H.), **83:** spec. Gewicht von Bromthallium und -blei 51.
- Keefe (C. O.), siehe Simpson (M.).
- Keeler (J. E.), **84:** Absorption strahlender Wärme durch Kohlendioxyd 166 f.
- Kees (A.), **86:** Helicin, Di-o-cumarmeton 1785; siehe Tiemann (F.).
- Kegel, siehe Beyer.
- Kehlstadt (A.), **80:** Schwefel im Steinkohlentheer 1370.
- Kehrer, siehe Herrmann (P.).
- Kehrer (E.), siehe Grote (A. v.).
- Kehrer (E.) und Tollens (B.), **81:** Valeriansäure aus Lävulinsäure 724.
- Kehrer (E. A.), siehe Hell (C.).
- Kehrmann (F.), **86:** neue Classe von Verbindungen des Kobaltoxyds 412 f.
- Keil (P.), **84:** Entphosphorung des Roh- und Schmiedeeisens und des Stahles 1708.
- Keilhack (K.), **86:** Mineralquellen Islands 2323 f.
- Keiser (E. H.), **83:** Bestimmung von Schwefel in organischen Verbindungen 1594.
- 86:** Apparat zur Demonstration der volumetrischen Zusammensetzung des Stickoxyds und Stickoxyduls 321; Einwirkung von Chlor auf Pyridin 747 f.; Dichlorpyridin, Additionsproducte von Pyridin und Chlor 747; unterchlorigsaures Pyridin, Constitution des Pyridins 748; Apparat zur Luftanalyse 1901; siehe Remsen (J.).
- Keiser (G. H.), **85:** neuere Literatur der Pyridin- und Chinolinbasen 810; siehe Morse (N. N.); siehe Remsen (Ira).
- Keith, **84:** Herstellung von Oelgas 1817.
- Keith (S.), **78:** Fällung von Kupfer mit Eisen 1109; Gewinnung des Zinns von Weißblechabfällen 1111.

Kekulé (A.), **80**: Synthese der Citronensäure 818.

**83**: Dioxyweinsäure, Constitution des Benzols 532; Identität der Carboxytartronsäure mit Dioxyweinsäure (Tetraoxybersteinsäure), Dioxyweinsäure aus Nitroweinsäure 1087; carboxytartronsaures Natrium 1088; siehe Anschütz (B.).

Kekulé (A.) und Anschütz (R.), **81**: inactive Weinsäure (Trioxymaleinsäure) 715.

Kekulé (A.) und Schrötter (H.), **79**: Propyl in Isopropyl 385.

Kekulé (A.) und Strecker (O.), **84**: Untersuchung der Trichlorphenomalsäure ( $\beta$ -Trichloracetylacrylsäure) und Phenakonsäure (Fumarsäure) 1142 ff.

Kelbe (W.), **78**: Naphtylphosphorchlorid 866 f.; Naphtylarsinsäure 867.

**80**: Cymol aus Harzöl 446 f.; Abietinsäure 904 f.; Retinol, Harzessenz 1367.

**81**: Cymol (m-Isocymol, m-Isopropyltoluol) aus Harzessenz, Sulfosäure und deren Derivate 355;  $\alpha$ -m-Isocymophenol, Benzoyl- $\alpha$ -m-Isocymophenol 356; Trinitro-m-Isocymol 357; Kohlenwasserstoff  $C_{11}H_{16}$  aus Harzöl, Sulfosäure 358 f.

**82**: Derivate des  $\alpha$ - und  $\beta$ -Monobromcymols 446 f.

**83**: Einwirkung von Salpetersäure auf m-Isobutyltoluol (Isobutylbenzoesäure, m-Tolylisobuttersäure) 552; Einwirkung von Säureamiden auf aromatische Basen (Säureanilide) 684 f.; p-toluolsulfosaures Baryum 1256; m-Isocymolmonosulfosäure gegen Chlor: Tetrachlorcymol 1283; trichlorcymolmonosulfosaures Natrium 1283 f.; Trichlormonobromcymol 1284.

**86**: Abspaltung aromatischer Kohlenwasserstoffe aus ihren Sulfosäuren 587 f.; Verhalten des so gewonnenen o-Monobromtoluols und Monobromxylols gegen Salpetersäure 588; Cymol und  $C_8H_{12}$  im Harzgeist 1829; siehe Ziegler (A.).

Kelbe (W.) und Baur (A.), **83**: isomere Butyltoluole in der Harzessenz 549 bis 552; p-Butyltoluolsulfosäure, p-Tolylsulfamonsäure 551.

Kelbe (W.) und Czarnowski (N. v.), **84**: Darstellung von  $\beta$ -m-Isocymolsulfosäure, Monobrom- $\beta$ -m-Isocymolsulfosäure 1338 f.

**86**:  $\beta$ -Monobrom-m-isocymolsulfosäure 1574 f.;  $\alpha$ -Monobrom-m-isocymolsulfosäure,  $\alpha$ -Brom-m-isocymol 1575;  $\beta$ -Cymolsulfosäure 1575 f.; Constitution des  $\beta$ -Monobromcymols 1576 f. Kelbe (W.) und Koschnitzky (M.), **86**:  $\beta$ - und  $\alpha$ -Bromcymolsulfosäure und Derivate 1573 f.

Kelbe (W.) und Lwoff (J.), **83**: Methylalkohol in den Destillationsproducten des Colophoniums 1426.

Kelbe (W.) und Pathe (K.), **86**: Einwirkung von Brom auf Pseudocumolsulfosäure: isomere Monobrompseudocumole und Derivate 1570 f.; isomere Monobrompseudocumolsulfosäure und Derivate, Tetramethylbenzol (aus Monobrompseudocumol) und Derivate 1571 f.

Kelbe (W.) und Pfeiffer (G.), **86**: Oxydation des synthetischen Isobutyltoluols: p- und m-Isobutylbenzoesäure 1495 f.; Isobutylsulfosäure 1496.

Kelbe (W.) und Stein (H.), **86**: Einwirkung von Brom auf Xylolsulfosäuren 1557.

Kelbe (W.) und Warth (C.), **82**: Capronsäure aus Harzöl, Identität mit Methylpropyleessigsäure 867 f.

**83**: Amido-m-isocymol (m-Isocymidin) 710 bis 712; Salze desselben 712; Derivate des m-Isocymidins: Monoacetyl-m-isocymimid, Monobenzoyl-m-isocymimid 712 f.; Benzoylamido-m-toluylsäure, Phtal-m-isocymimid 713; m-Isocyminylearbylamin 714 f.; Harnstoffe des m-Isocymidins 714 f.; m-Isocyminyläthylguanidin 715; Nitro-m-isocymidin 715 f.; m-Isocymidinmonosulfosäure 716.

Keller, siehe Meyer (E. v.).

Keller (A.), **86**: Krystallform von m-Mononitrodimethylanilin 832.

Keller (C.), **80**: Monobromcampher 726.

Keller (E.), siehe Michler (W.).

Keller (H. A.), **82**: schwarzer Granat 1550.

Keller (H. F.), **85**: Analysen von Titaneisen 2270, von Deweylit und Serpentin 2279; siehe Genth (F. A.).

Keller (H. F.) und Keller (H. A.), **86**: Vorkommen von Kobellit 2233 f.

Keller (P.), **85**: Kyanmethin und Derivate 639 ff.

Kellermann, siehe Gawalowski (A.).

Kellermann (Ch.), siehe Raumer (E. v.).

- Kellner (C.) und Zahony (H. v.), **84**: Herstellung von Holzzellstoff 1831 f.
- Kellner (O.), **77**: Verdauung und Eiweisszerfall 989; siehe Wolff (E.).
- 79**: Eiweisskörper und Amide in Pflanzen 887 f.; Stickstoffgehalt der Pflanzen 1063 f.; Futtermittel 1122; Hopfen als Futter 1123.
- 80**: Fettbildung aus Eiweiss 1036; Verdaulichkeit des Hopfens 1327.
- 81**: Bestimmung von Eiweisstoffen 1214.
- 83**: Reiskultur 1715.
- 84**: Aufbewahren von Grünfütter in Silos 1774.
- 85**: Wirkung des Eisenoxyduls auf die Vegetation 1791; Zunahme der Sulfate in keimenden Erbsen 1793.
- 86**: Darstellung der Lupinenalkaloide 1896.
- Kellner (O.), Imai (H.) und Savano (J.), **83**: japanische Bodenarten 1714 f.
- Kellner (O.), Ishi (S.), Kozai (Y.), Ota (M.) und Voshida (H.), **86**: Bestimmung von Kali, Kalk und Magnesia im Boden, Ernährung der Erbsenpflanze durch Kali und Kalk 2091.
- Kellner (O.), Kakizaki (S.), Matsuo (M.) und Yoshii (T.), **86**: Ernährung und Entwicklung des Seidenspinners 1836.
- Kellner (O.), Makino (K.) und Ogasawara (K.), **86**: Zusammensetzung der Theeblätter in verschiedenen Vegetationsstadien 1817 f.; Verhalten von Thein 1818.
- Kellner (O.), Oschikawa (N.), Ibara, Imai (H.), Sako (A.), Savano (J.) und Tanigutschi, **83**: Untersuchung japanischer landwirthschaftlicher Producte, welche als Nahrungsmittel Verwendung finden 1747.
- Kellner (O.) und Ota (M.), **86**: Bodenabsorption 2090 f.
- Kellner (O.), Sasaki (S.) und Savano (J.), **83**: Benutzung mit Carbonsäure desinficirter Excremente als Dünger 1722.
- Kellner (O.) und Savano (J.), **85**: Veränderungen der Futtermittel beim Einsäuern in Mischen 2125 f.
- Kelly (G. A.), **81**: Verfälschung ätherischer Oele 1318.
- Kelly (O. J.), **78**: versuchte Synthese von Fettsäuren 671 f.
- Kelly (O'Neill F.), **78**: Einwirkung von Chlorkohlensäureäther auf Dichlorhydrin, Epichlorhydrin und Allylalkoholdibromür bei Gegenwart von Natriumamalgam 407.
- Kelvey (J. W. Mc.), **85**: Analyse eines Diatomeenpellits 2274.
- Kemp (W. J.), **85**: Darstellung von Schwefelwasserstoff 2074.
- Kemper (R.), **81**: Wasser von Bissendorf 1445.
- Kemperdick, siehe Claus (A.).
- Kempner (G.), **83**: Einfluss mässiger Sauerstoffverarmung der Einathmungsluft auf den Sauerstoffverbrauch der Warmblüter 1430.
- Kendall (E. D.), **83**: Apparat zur Reduction von Nitrobenzol oder Nitrotoluol durch den galvanischen Strom 1771 f.
- Kendall (J. A.), **84**: neue Methode der Elektrizitätserzeugung 244 f.; Benzolgehalt von Kohlengas 1811.
- Kendrick (J. G. Mc.), siehe Coleman (J. J.).
- Kennedy (C. L.) und Johnstone (M. N.), **81**: Boston Spa Quelle 1452.
- Kennedy (G. W.), **80**: *Aspidium marginale* Swartz 1076.
- 86**: Nicottingehalt der *Cannabis indica* 1820.
- Kennepohl (G.), siehe Weiske (H.).
- Kenngott (A.), **77**: Amesit 1319.
- 78**: Grundgestalten der Krystall-species 2.
- 80**: Magnetkies 1405 f.
- 81**: Fahlerz 1353.
- 83**: Bemerkungen über die Humitanalysen 1878; Formel von Augit und Hornblende 1888.
- 84**: Untersuchung der Matrix an brasilianischen Diamanten 1898; Untersuchung von Magnetkies 1908 f.; Analyse von Topas 1950; Beschreibung von Euklaskrystallen 1951.
- 85**: Untersuchung von Colemanit 2276 f., von Arfvedsonit und Krokydolith 2294.
- 86**: Krystallform des Eises 2236.
- Kent (W. H.) und Tollens (B.), **84**: Darstellung von Galactose und Schleimsäure 1405.
- 85**: Untersuchung des Milchezuckers und der Galactose 1743 ff.; Bildung von Dextrose bei der Spaltung des Milchezuckers, Darstellung von Phenylgalactosazon, Lävulinsäure aus Galactose, Verhalten von Inosit



- gegen Salzsäure, Darstellung von Schleimsäure aus Milchzucker, aus Galactose 1744; Spaltung des Milchzuckers in Dextrose und Galactose, Bildung von Brenzschleimsäure und Dehydroschleimsäure, Apparat zur Bestimmung des Schmelzpunktes 1745.
- Kerez (C.), **85**: Verhalten von Propylchlorid und Propyljodid gegen Aluminiumchlorid, -bromid und -jodid, Bildung von Propan und Propylen 723.
- Kerl (B.), **77**: Technologie des Kupfers 1118.
- Kern, **79**: Analyse organischer Amidverbindungen 1063.
- Kern (A.), **77**: Mono- und Dimethylanilin 464.
- Kern (E.), **84**: Untersuchung der im Kephir vorhandenen Hefepilze 1782.
- Kern (E.) und Wattenberg (H.), **81**: Fleisch- und Fettproduction 1030.
- Kern (O.), siehe Kühn (G.).
- Kern (S.), **77**: Spectrum des Davyums 182; Davyum 316; organische Körper gegen Magnesium 324; Phosphorbestimmung im Eisen 1055; Kohlenstoffbestimmung im Eisen und Stahl 1056; Wolfram, Chrom und Mangan im Eisen 1057; Schlacken, Thon, Ziegelsteine und Eisenerze 1058; Chromgehalt des Chromeisenteins 1060; Mangan in Manganeisenlegierungen 1062; Bessemerstahl 1115; Platinerze 1259.
- 78**: Wasserstoffhyperoxyd im Regenwasser 201; Zusammensetzung und Bildung des aus salpetersäurehaltiger Lösung des molybdänsauren Ammoniums sich absetzenden Niederschlages 300; Reactionen des Davyums 318; Bestimmung des Eisens als Oxyd 1060; Bestimmung des Sauerstoffs im Bessemerstahl 1102; Phosphor und Schwefel im Eisen 1103; Goldlegierungen 1114.
- 79**: Eisen- und Stahlplatten gegen Seewasser 1095; Analyse eines Manganstahls 1097.
- 80**: Bestimmung von Mangan, Kobalt und Nickel 1183; Trag- und Ausdehnungsfähigkeit von Stahlplatten 1254 f.; Siemens-Martin-Stahl 1255.
- 81**: Widerstandsfähigkeit des Stahles 1245.
- 83**: russischer Gußstahl, Analyse eines russischen basischen Stahles 1670.
- Kerneler (F.), **78**: Rothweinsäure 1162.
- Kerner (G.), **80**: Prüfung des Chininsulfates 962.
- 81**: Chininsulfat 961.
- Kerpely (A. v.), **78**: Entphosphorung des Eisens 1103.
- 80**: Siemens-Martin-Stahl 1253.
- Kerpely (R. v.), **77**: Schmiedeeisen 1111.
- Kerr (J.), **79**: elektrooptische Untersuchungen mit schlecht leitenden Flüssigkeiten 142.
- 80**: elektrooptische Untersuchungen 168.
- 83**: elektrooptische Versuche 196 f.
- 85**: elektrooptische Wirkung einer geladenen Franklin'schen Tafel 228 f.
- Kerr (W. C.), **80**: Gummit 1415.
- Kershaw (J. B. C.), **84**: Apparat zur Sauerstoffbestimmung in Gasgemengen 1690.
- Kersten, **80**: Gummit 1415.
- Kerster (O.), **85**: Abscheidung von Zink, Zinn, Antimon und Blei 2013.
- Kertscher (F.), **83**: Analysen von Augiten aus Gesteinen der Cap Verdischen Inseln 1889.
- Kessel (F.), **77**: unterschwefligsaures Kupferoxydul, Doppelsalze 273; Aethylidenoxychlorid gegen Brom 520, gegen Jod 521; zweifach- und dreifachgebromter Essigsäure-Aethyläther 678.
- 78**: Doppelsalze des unterschwefligsauren Kupferoxyduls 288; gebromte Aethyläther 520; gebromte Essigäther 676 f.; Bromessigäther gegen Ammoniak 677; Wachs von Ficus gummiflua 978 f.
- 79**: Einwirkung rother rauchender Salpetersäure auf Schwefelwasserstoff 175.
- Kefler, **80**: krystallisirter Siliciumwasserstoff 280 f.; siehe Faure.
- Kefler (A.), siehe Gorboff (A.).
- Kefler (F.), **78**: Grubenwasser der Zeche Mont Cenis bei Sodingen 1300.
- 79**: Atomgewicht des Antimons 17; Existenz der Pentathionsäure 204; Zusammensetzung der Uebermangansäure und der Permanganate 265; Atomgewicht des Antimons

- 286 f.; Quecksilbersulfidsulfat 295; Mangan in Eisenmanganlegierungen 1050.
- 81:** Titrirung von Eisenoxydul 1185.
- 82:** Wirkung von Mangansulfat beim Titrieren von Eisenoxydul 1287.
- Kefaler (J.), **86:** Normalinstrument für absolute Messungen 240.
- Kefaler (J. H.), **85:** Zusammensetzung von Paléine 2103.
- Kefaler (P.), **85:** Zusammensetzung des „Vegetocorrectif“ 2162.
- Kefaler (S.), **83:** Herstellung von harten ungefärbten oder gefärbten Kalksteinen (Marmorimitation, Ornamentensteine) 1712.
- Kett (N.), **86:** Verwendung von Thomaschlackenmehl neben Torffäcaldünger 2106.
- Kette (W.), **79:** Kartoffelstärkeabwässer 1136.
- 80:** Proteinstoffe 1356 f.
- Ketteler (E.), **77:** Dispersion und Absorption 184.
- 84:** Dispersion des Quarzes 298 f.
- Ketteler (E.) und Pulfrich (C.), **82:** Absorptionscurven farbiger Flüssigkeiten; Glan'sches Photometer 190.
- Kettner (L.), **80:** Cerit 1441.
- Keufeler (E.), **78:** Untersuchung der Senneblätter 966 f.; Frangulinsäure 967.
- Keyr, **84:** Osmose des Grünsyrups 1790.
- Khotinsky (A. M.), **82:** Neuerungen an Gasbrennern 1350.
- Kick (Fr.), **78:** Constanz der Dichte bei allmählicher Formänderung fester Körper durch Druck 23.
- Kidwood (B.), siehe Abel (F.).
- Kielmeyer (A.), **77:** Bleichen von Wolle 1229; Cochenilleroth 1243.
- 78:** Reagens auf Holzstoff 1086.
- 79:** Färberei, Druckerei, Bleichelei 1152.
- Kienlen (P.), **80:** Prüfung von Kalksteinen 1177.
- 82:** Darstellung von Selen aus Rückständen 1395 f.
- 84:** Fabrikation der Superphosphate und der präcipitirten Phosphate 1766.
- Kiepenheuer (L.), **80:** Jamesonit 1406; Skapolith 1444; Garnierit 1476; siehe Wallach (O.).
- Kiliani (H.), **80:** Glycolsäure aus Lävulose und Dextrose 768; Inulin 1007 f.; Arabinose, Identität mit Lactose 1019 f.
- 81:** lactonsaures Calcium, Gluconsäure, Zuckersäure, Lactonsäure, Schleimsäure gegen Fehling'sche Lösung 747; Inulin 987.
- 82:** Darstellung der Milchsäure aus Zucker mittelst Invertzucker 828 f.; Saccharin aus Invertzucker, saccharinsaure Salze 1122; Saccharon aus Saccharin 1122 f.; Saccharonsäure 1123.
- 83:** Glycolsäure aus Glycerin 1043; Methylglutarsäure aus Saccharon, Constitution der Saccharonsäure 1363;  $\alpha$ -Methylvalerolacton aus Saccharin, Constitution der Saccharinsäure, Salze des Saccharons und der Saccharonsäure 1364; m-saccharinsaures Calcium, m-Saccharin, m-Saccharinsäure 1365.
- 85:** Constitution der Isosaccharinsäure 1395 f.; Dioxypentenyltricarbonsäure 1395;  $\alpha$ - $\gamma$ -Dioxyglutarsäure,  $\beta$ - $\gamma$ -Dioxyglutarsäure aus Glutaconsäure,  $\alpha$ -Methoxyl- $\alpha$ - $\gamma$ - $\delta$ -trioxyvaleriansäure 1396; Untersuchung der Galactonsäure 1411 f.; Lacton  $C_6H_{10}O_6$ , Caprolacton 1412; Darstellung von Trioxysäure aus Metasaccharin 1412 f.; Krystallform, Salze derselben 1413; Darstellung des Cyanhydrins der Lävulose, Lävulosecarbonsäure (Heptolacton, Heptylsäure) 1739; Dextrosecyanhydrin 1740; Untersuchung des Isosaccharins 1754 f.; Bildung von  $\alpha$ -Methylvalerolacton, Baryumhydroxycapronat,  $\alpha$ -Propylpropiolacton, Methylpropylessigsäure 1754; Glycolsäure, Dioxypentenyltricarbonsäure, Glutarsäure, Constitution der Isosaccharinsäure 1755.
- 86:** Aethyl-n-propylessigsäure 1381 f.; Constitution der Dextrosecarbonsäure (Hexaoxyheptylsäure), Reduction derselben: Heptolacton, Oxyheptylsäure, Heptylsäure 1385 f.; Lacton der Lävulosecarbonsäure, Verhalten von Lävulosecarbonsäurecyanhydrin gegen Wasser 1386; Lacton der Lävulosecarbonsäure, Verhalten von Lävulosecarbonsäure gegen Baryt- und Kalkwasser 1665; Oxydation von Dextrosecarbonsäure: Pentoxypimelinsäure 1665 f.; Lävulosecyanhydrin und Derivate: Lävulosecarbonsäure 1768 f.; Constitution der Lävulose 1769; Einwirkung von Cyan-

wasserstoff auf Dextrose: Dextrose-carbonsäure und Derivate 1769 f.; Arabose 1770 f.; Arabonsäure 1771; Arabosecarbonsäure 1771 f.

Kiliani (H.) und Kleemann (S.), **84**: Darstellung von normalem Caprolacton, von Gluconsäure 1060.

Kiliani (H.) und Seitz (F.), **85**: Untersuchung des Metasaccharins: Bildung desselben aus Milchsucker, Bildung von normalem Caprolacton, Capronsäure, Trioxypipinsäure 1755; Constitution der Metasaccharinsäure 1756.

Kiliani (M.), **84**: Abscheidung von Zink, Blei, Kupfer aus ihren Erzen, Darstellung von Zink 1696.

**85**: Gewinnung von Zink durch Elektrolyse 2017; Kupferraffination, elektrolitische Kupfergewinnung 2038.

Killing (K.), **78**: Analyse, Verwitterung des Gneisses 1282, 1283.

Kiltl (E.), **81**: Quellen Nordböhmens 1446.

Kimball (J. P.), **84**: geologische und genetische Verhältnisse der Botheisenerzlager von Santiago 1913.

Kimich (C.), **77**: Methazonsäure, Azophenyl- und Azoparatolylmethazonsäure 697.

Kinch (E.), **84**: Aufbewahren von Grünfütter in Silos 1774.

King, **84**: Bessemer-Proceß 1240; siehe Thomas.

King (A. J.), **83**: Zuckerbestimmung nach Clerget 1617; siehe Bedson (P.).

King (C.), **79**: Kalktuffe, Thinalith 1243 f.

King (J. F.), **80**: Flußwasser 1521.

Kingsford (J.), **85**: Reinigung von Fuselöl 2154.

Kingzett, siehe Paul.

Kingzett (C. T.), **77**: Lorbeersäure und Theobromsäure aus Cacaobutter 728; Theobromsäure in der Cacaobutter 954; Oxydation ätherischer Öle 955; Sodaindustrie 1145; Desinfection durch Terpentingöl (Sanitas) 1178.

**78**: Säuren der Cacaobutter 739; Muscarin 871; Hederasäure 960.

**79**: Wasserstoffhyperoxydbildung bei der langsamen Verbrennung von Phosphor 191; Oxydation ätherischer Öle 940; sanitäre Wirkungen der Eucalyptus- und Pinusarten 940 f.;

faulende Flüssigkeiten gegen Kaliumpermanganat 1014.

**80**: Ozon und Wasserstoffsuperoxyd 247; Ozon- und Wasserstoffsuperoxydbildung bei der langsamen Oxydation des Phosphors 248 f.; faulende Substanzen 1133 f.; organische Substanz im Wasser 1149.

**81**: Bildung von Ozon und Wasserstoffsuperoxyd bei der Ozonisierung von Luft 159; Nichtbildung von Phenol aus Benzol 534.

**82**: Activierung des Sauerstoffs, Bildung des Wasserstoffhyperoxyds 221 f.; krystallisiertes unterchlorigsaures Calcium 270; Darstellung von Wasserstoffhyperoxyd mittelst Terpentingöl oder Terebinth 427.

**83**: Analysen von Asphaltpflastern 1600 f.

**84**: Einwirkung von Baryumsuperoxyd auf Camphersäureanhydrid 1272.

**86**: Untersuchung des russischen Terpentingöls 1829; siehe Paul (B. H.). Kingzett (C. T.) und Hake (H. W.), **77**: Reaction auf Campher 637.

Kingzett (C. W.), **78**: Ozon 196.

Kinkel (F.), **85**: Darstellung von m-Mononitrozimmtsäurealdehyd 1306 f.; Phenylhydrazinverbindung desselben und des Monobromnitrozimmtsäurealdehyds 1307; siehe Miller (W. v.).

Kinnear (J. Boyd), siehe Boyd Kinnear (J.).

Kinnicutt (L.), **82**:  $\alpha$ - und  $\beta$ -Bromzimmtsäure aus Zimmtsäureätherdibromid 935 f.;  $\alpha$ -Bromzimmtsäure gegen Brom:  $\alpha$ -Phenyltribrompropionsäure; Dibromstyrol 936; siehe Anschütz (R.).

Kinnicutt (L. P.), **82**: Bestimmung von Chlor und Brom in Gemengen 1264.

**83**: Darstellung von Kohlenoxyd 331.

Kinnicutt (L. P.) und Nef (J. U.), **83**: volumetrische Bestimmung der salpetrigen Säure mittelst Chamäleonlösung 1539.

Kinnicutt (L. P.) und Palmer (G. M.), **83**:  $\beta$ -Phenyltribrompropionsäure,  $\beta$ -Phenyltribrompropionsäure gegen Wasser: Dibromstyrol,  $\alpha$ -Monobromzimmtsäure, Phenyldibrommilchsäure 1168; Phenyldibromzimmtsäure 1168 f.

Kinnicutt (L. P.) und Sweetser (R. C.), **83**: Bestimmung der Halo-

- gene in den Seitenketten aromatischer Verbindungen 1945.
- Kinnicutt (S. P.), **84**: Analyse von Meteoriten vom Little Miami Thale 2042.
- Kirberg (H.), **84**: Gewinnung von Bleiweiß 1738 f.
- Kircher (G.), siehe Müller (L.).
- Kirchhoff (G.) und Hanseman (G.), **80**: Leitungsfähigkeit des Eisens für die Wärme 97.
- 81**: Leitungsfähigkeit der Metalle für Wärme und Elektrizität 93.
- Kirchhof (H.), **86**: Leitungswiderstand des Nickelindrahtes 249.
- Kirchmann (W.), **77**: Amine 430; *Heracleum asperum* 952.
- 86**: Herstellung von neutralen und überneutralen Seifen mit Sulfoleinsäure 2159.
- Kirchner (G.), **84**: Darstellung von Tetrachloranthrachinon, Tetrachloranthracen, Dichloranthracen, Dichloranthrachinon, Octochloranthrachinon 1072.
- Kirk (H.), **77**: homogenes Eisen 1112.
- Kirmis (M.), **78**: Wanderung der Ionen 150.
- Kirn (C.), **84**: Quecksilberunterbrecher 233.
- Kisielinski (E.), **77**: Dibromsuccinimid, Bromfumarimid, Bromfumar-säureamid 706.
- Kispatic (M.), **82**: Trachyte von Kroatien 1608.
- Kišpatié (M.), **81**: Opale, Halbopale 1357.
- Kissel (J.), **82**: Darstellung von Nitroäthan 452 f.; isomeres Nitroäthan, Isonitropropan, Constitution der Nitroverbindungen der Fettreihe, Einwirkung von Benzoylchlorid auf Natriumnitroäthan 453.
- 83**: Reduction von Nitroäthanen 607.
- 84**: Verhalten des secundären Isonitropropanes 583 f.; siehe Alexéeff.
- Kisföling (R.), **81**: Nicotinbestimmung 1209.
- 82**: Gehalt des Cigarrenrauches an Nicotin, die giftigen Verbrennungsprodukte des Tabaks 1163 f.; Bestimmung der Salpetersäure und salpetrigen Säure 1268; Nicotinbestimmung im Tabak 1335.
- 83**: Bestimmung des Nicotins im Tabak 1630 f.; Untersuchung des
- Aetherextractes aus Kentuckytabak 1769.
- 84**: Nicotinbestimmung im Tabak 1630.
- 85**: Darstellung einer haltbaren Lackmustinctur 1887; Bestimmung des Nicotins im Tabak 1961; Prüfung des Petroleums durch fractionirte Destillation 2177.
- 86**: Einfluß des Arsengehaltes auf das Volumgewicht der Schwefelsäure 2047; siehe Fleischer (M.).
- Kiticsán (S.), **83**: Ammoniak und Ameisensäure in Weindestillaten 1627.
- Kittary, **77**: Juchtenleder 1186.
- Kittler (E.), **82**: elektromotorische Kraft des Daniell'schen Elementes 142.
- 85**: Methode zur Messung von Stromstärken 230 f.
- Kiutaro Iwaya, siehe Lindgreen (W.).
- Kjärsku, **84**: Unterscheidung von Roggen- und Weizenmehl 1655.
- Kjeldahl, **80**: Wirkung der Diastase und des Ptyalins 1122.
- Kjeldahl (J.), **78**: Bierwürze, Bier 1157.
- 80**: Invertin 1146; Bestimmung des Rohrzuckers durch Invertin 1211; Malzzucker 1212.
- 83**: Stickstoffbestimmung in organischen Stoffen 1585 f.
- Kjerulf, **84**: Analysen, Fossilien führender Schiefer von Bergen in Norwegen 2009 f.
- Kjerulf (Th.) und Brögger (W. C.), **79**: Zinnsteinblock aus New South Wales 1188.
- Klason (P.), **86**: Cyanur (Paracyan) und seine Verbindungen 513 f.; Tri-thiocyanursäure, Melem 522 f.; Cyanurdisulfid, Cyanurtrithioglycolsäure (Rhodanuressigsäure) 523; Dithiocyanursäure, Oxycyanurdisulfid, Cyamelid und Isocyanursäure, Cyan-säure, Thiocyan-säure, Cyanursäure 524; Cyanurate 525; Erhitzungsprodukte von Rhodanammonium: rhodanwasserstoffsaurer Melamin, Melamin und Melem 541; Melon 541 f.; Melonwasserstoff (Cyanmelon), normale Melamine 542; Ammelin 542 f.; Thioammelmin, Ammelid (Melanuren-säure), Thioammelid 543; Aethyl- und Amyl-äther der Amido- und Diamidothiocyanursäure 543 f.; Toluol-disulfosäuren aus Toluol-m-sulfosäure

- 1552 f.; Dextrose aus Lichenin 1782; Methode zur Bestimmung von Schwefel und Hologen in organischen Verbindungen 1955.
- Klaufs, siehe Strohmer.
- Klaufs (A.), **78**: Bestimmung des dreibasisch-phosphors. Kalkes in der Knochenkohle 1153.
- Kleber (Ol.), **85**: Triphenylamin aus Diphenylamin und Brombenzol 923 f.
- Klebs (R.), **84**: Untersuchung von Bernstein 1997.
- Kleemann, **83**: Methylamidoessigsäure 1089.
- 85**: Anwendung gepulverter Braunkohle zum Reinigen der Zuckerlösungen 2142.
- Kleemann (R.), **82**: Luftpumpe 1349.
- Kleemann (S.), **85**: Darstellung von Diacetylcyanid 1328 f.
- 86**: Verhalten nitrirter Acetanilide und -naphtalide gegen Alkali 807 bis 810: Einwirkung von Kalilauge auf Mononitrodiacetyl- $\alpha$ -( $-p$ -)naphtylendiamin 808; auf  $o$ -,  $p$ - und  $m$ -Mononitroacetanilid,  $m$ -Mononitro- $p$ -acetylolid,  $m$ -Mononitroacet- $m$ -xyldin,  $m$ -Mononitroacetmesidin 809; auf  $o$ -Mononitro- $\beta$ -acetonaphtalid ( $\alpha$ - $o$ -Mononitro- $\beta$ -naphtylamin) 809 f.; auf Mononitrodiacet- $p$ -phenylendiamin: Mononitromonoacet- $p$ -phenylendiamin 810 f.; Verhalten der Malonsäure gegen Acetanhydrid: Säure  $C_{11}H_8O_8$  1321 f.; siehe Kiliani (H.); siehe Liebermann (C.).
- Kleemann (S.) und Wense (W.), **85**: Darstellung von  $\alpha$ -Diamidophenanthrenhydrochinon und dessen Tetraacetylderivat 1288 f.
- Klein (C.), **77**: Thomsenolith, Pachnolith, Pyrokönit 1287.
- 79**: Xenotimmessungen 1197; Eläolith 1216; Sodolith 1217; Oligoklas 1234; Natronorthoklas, Amazonstein 1235; Meteoritensammlung 1272.
- 80**: Boracit 1417 f.
- 81**: Einfluss der Wärme auf die optischen Eigenschaften des Boracits 139; Boracit 1366.
- 82**: Mineralien der Kryolithgruppe 1531 Anm.; Krystallsystem des Granata 1549.
- 83**: Krystallform des Monoacetylmonoäthylanilins 708; Krystallform des Anisbenzhydroxamsäure-Äthyläthers 727, des Anisyläthylbenzoylhydroxylamins 729; krystallographische Untersuchung des Ullmannits 1831 f.; optische Studien am Granat 1879 f.
- 84**: krystallographisch-optische Eigenschaften des Boracits 1927 f.; Krystallform von Spatheisenstein 1932; Umsetzung des Aragonits in Kalkspath 1933; Untersuchung von Leucit 1960; optisches Verhalten von Apophyllit und Analcim 1975; Krystallform von Andesin 1986; Analyse von Perowskit 1993.
- 85**: Krystallform des Thiëmons 1636.
- 86**: Krystallform von  $o$ -Mononitrobenzylanilin 790; Krystallform der Tetrahydrothiophendicarbonsäure 1185.
- Klein (C.) und Trechmann (Ch.), **77**: Tribenzhydroxylamin 457.
- 78**: Krystallform des  $\alpha$ -Benzdianishydroxylamins 447.
- Klein (D.), **78**: Einwirkung von Borax und Borsäure auf des Rotationsvermögen des Mannits, auf mehratomige Alkohole 517 f.; Verbindung von Mannit mit Borax 1052 f.
- 80**: Borwolframsäure 349 f.
- 81**: complexe Wolframsäuren (Silicoduodeciwolframate, Wolframillicate, Bordoodeciwolframate, Wolframborate, Parawolframsäure) 286 f.; Borwolframsäure und Salze 288 ff.; Natriumsalze der Borwolframsäure 290 f.; Titanwolframsäure 291 f.; Titerflüssigkeit für Gesteinsanalyse 1415.
- 82**: Gesetz des Isomorphismus 2 f.; Borwolframate 325 f.
- 83**: Vorschlag zu einer neuen Formulirung des Gesetzes von Mitscherlich über den Isomorphismus (Borwolframsäure) 6 f.; Borwolframsäuren 384; Borwolframate 384 f.; saure zuckersaure und schleimsaure Salze gegen Antimonoxyd und Antimonsäure 1096 f.
- 84**: Verbindungen des Telluridioxyds mit Säuren (basische Salze) 354 f.; Borwolframate 418 f.; Einwirkung der tellurigen Säure und Tellursäure auf Parawolframate 419; Verhalten mehratomiger Alkohole (Dulcit) gegen Borsäure und Borax sowie gegen Parawolframate 911 f.
- 86**: Verbindungen von weinsäuren Alkalien mit telluriger Säure und Citronensäure 1351 f.

- Klein (D.) und Berg (A.), **86**: Corrosionen von Dampfgeneratoren durch Zuckerlösungen 2149.
- Klein (D.) und Morel (J.), **84**: Einwirkung der Salpetersäure auf Tellur 1569 f.
- 85**: Krystallformen der tellurigen Säure, tellurigsäure Salze 405 f.; Verbindungen des Tellurdioxyds mit Salpetersäure und Schwefelsäure 406.
- Klein (E.), **86**: elektrisches Leitungsvermögen von Doppelsalzen 269 f.; bakteriologische Untersuchungen 1881.
- Klein (F.), **85**: Bestimmung des sauren weinsauren Kaliums, Berechnung des „nominellen Weinstens“ und des weinsauren Calciums 1959.
- Klein (Fr.), siehe Pinner (A.).
- Klein (J.), **79**: Desoxalsäure 652 f.; siehe Anschütz (R.).
- Klein (L.), **79**: Kohlenstoff im Roheisen 1041.
- Klein (O.), **78**: Verbindungen von Aminen mit Quecksilberchlorid 452.
- 80**: aromatische Amine gegen Quecksilberhaloide 525 f.
- Klein (W.), **84**: optische Aenderungen in Krytallen 3 f.
- Kleinert, **83**: Alkoholbestimmung bei Bieruntersuchungen 1601.
- 84**: Bestimmung des Phenols im Kreosotöl 1622.
- Kleinschmidt, siehe Städel (W.).
- Kleinschmidt (Fr.), siehe Städel (W.).
- Klemenčič (J.), **85**: Dielektricitätsconstanten einiger Gase und Dämpfe 226 f.
- Klemencie (J.), **79**: elastische Nachwirkung 89.
- Klement, **84**: Analyse von Granat 1956, von Bastonit, von Ottrelith 1961, von Phylliten 2011.
- Klement (C.), **78**: Chloritanalyse 1247; Labradoranalyse 1266.
- 83**: Wasserbad mit constantem Niveau 1658.
- 86**: Analyse von Titaneisen (Ilmenit 2237); Analyse eines Hornblendegesteins 2304; Analysen von Phylliten 2305; Analyse von Laterit 2313; Analysen einer Arkose 2313 f.
- Klemm (A.), **79**: Alkalisulfate in Phosphaten 1107.
- Klemm (G.), **82**: mikroskopische Untersuchung von Sandsteinen 1618.
- Klempe (G.), **81**: Jodbestimmung 1164.
- Klenze (H. v.), **86**: Verdaulichkeit verschiedener Käsesorten 2118 f.
- Klepl (A.), **82**: Löslichkeit des schwefelsauren Kupfers in Methylalkohol 641; Chlorkohlensäure-Methyläther 641 f.; Dissociation der Oxybenzoesäuren; Verbindung des Phenols mit Kohlensäure 671; Anhydride der p-Oxybenzoesäure 909.
- 83**: Verhalten von Salicylsäure, p-Oxybenzoesäure und m-Oxybenzoesäure beim Erhitzen 1187; Spaltung von m-Oxybenzoesäure beim Erhitzen mit Aetzbaryt, trockene Destillation der p-Oxybenzoesäure: p-Oxybenzid, Derivate des p-Oxybenzids: p-Oxybenzoesulfosäure 1138; Phenyl-p-oxybenzoesäure-Phenyläther 1138 f.; Phenyl-p-Oxybenzoesäure, p-Oxybenzonitril, p-Chlorbenzotrithlorid 1139; p-Oxybenzoyl-p-oxybenzoesäure 1140; Zweifach-p-oxybenzoyl-p-oxybenzoesäure 1141; p-Oxybenzoesäure-Phenyläther 1141 f.; Destillation der Salicylsäure: Carbonylphenyläther 1142.
- Klercker (de), **79**: anomale Dispersion, Fuchsin gegen durchgehendes Licht 151.
- Kleritj (L.), **78**: Meteorit von Sokol-Bauja 1318.
- Kletzinsky (V.), **86**: Fluorbestimmung 1908.
- Klien (P.), **78**: Manganosit 1210 f.; Diaspor 1217; Fluspath 1218; Adamin 1235; Chromgranat 1240.
- Klikowitsch (S.), siehe Lewuschew (S.).
- Klimenko, **80**: Paramilchsäure im Fleischextract 775.
- Klingel (J.), **85**: Untersuchung des p-Monoamidoacetophenons 1640 bis 1642; Salze desselben, Acetylamidoacetophenon, p-Oxyacetophenon (Acetylphenol), p-Monojodacetophenon 1640; Dimethylamidoacetophenon, Acetophenonazo- $\beta$ -naphthol, Amidoacetyltoluol, Acetylamidoacetyltoluol, Acetylkresol, Dimethylamidoacetyltoluol, Acetyljodtoluol, Monojodphthal-säure 1641 f.
- 86**: Brenzkatechin gegen o-Toluy-lendiamin: Methylphenazin und Derivate 1072.
- Klingel (P.), **84**: Darstellung von Amidooctophenon, von Acetyl-o-toluidin 1050.
- Klingemann (F.), siehe Anschütz (B.).

- Klinger, **85**: rechtsdrehende Honigsorten 1980 f.
- Klinger (A.), **84**: Analysen Württembergischer Weine 1665.
- 86**: Untersuchungen der Milch von Stallproben 2115 f., einer an Lungenseuche erkrankten Kuh 2116.
- Klinger (A.) und Zeitler (H.), **85**: Untersuchung von Traubenmost 2149.
- Klinger (H.), **77**: Trimethylsulfverbindungen 523; Thiobenzaldehyd, Trithiacetaldehyd 612.
- 78**: Thialdehyde 616 f.
- 81**: AffinitätsgröÙe des Kohlenstoffs 311.
- 82**: Natriummethylat und -äthylat gegen Nitrobenzol, Nitrotoluole: Azoxybenzol 599 f.; Trimethylsulfjodid (Trimethylsulfjodür) 646 f.; Identität des Sulfobenzols mit Benzylid-sulfid; Kaliumsulfhydrat gegen Benzalchlorid; Dithiobenzoëssäure,  $\alpha$ -Thiobenzaldehyd gegen Kaliumsulfhydrat 656.
- 83**: basische Doppelsalze 389 f.; Reduction von p-Mononitrotoluol (Toluylenazoxytoluol, Toluylenamin) 615 f.; Einwirkung von Natriumäthylat auf nitrotoluolhaltiges Nitrobenzol (Tolylazophenylcarbonsäure), Mononitrobenzol gegen Schwefeläthyl 616; Benzoylchlorid gegen Natriumamalgam: Isobenzil 994.
- 84**: Untersuchung von Siegburgit 1997.
- 86**: Untersuchung des Isobenzils 1657 f.; Reduction von Benzil durch das Sonnenlicht zu Benzilbenzoin; Verhalten von Benzil und Benzoin gegen wässrige Alkalien (Benzilsäure) 1658; Verlauf der Belichtung organischer Substanzen 1659; Analysen von Arsenolamprit 2223; siehe Bernthsen (A.); siehe Heusler (F.).
- Klinger (H.) und Pitschke (R.), **84**: Oxydation des p-Toluidins mit Ferricyankalium in alkalischer Flüssigkeit 698 f.
- 85**: Darstellung von m-Dinitroazoxybenzol und von o-Azoxytoluol, m-Dinitrooxyazobenzol 1076 f.
- Klinghammer (J. W.), **80**: Thalpotasimeter 1241.
- Klinkenberg (W.), **82**: Untersuchung der Nucleine verschiedener Futtermittel 1191 f.; Gehalt verschiedener Futtermittel an Stickstoff 1202.
- 83**: Analyse des Malzextractes, Bestimmung des Pepsins in pepsinhaltigem Malz, Untersuchung von Malzextracten 1630; Diastasemalz-extract 1742.
- 84**: Analysen reiner Saarweine 1665; siehe Stutzer (A.).
- Klinkerfues, **79**: Hygrometer 1084 f.
- Klinkhardt (A.), **82**: Dehydroschleimsäure aus Schleimsäure, Pyroschleimsäure, Chlorid und Amid der Dehydroschleimsäure, Nitropyroschleimsäure 877 ff.
- Klinowicz (M. v.), **81**: Tropfenmesser 1236.
- Klipstein (A. v.), **77**: Wawellit 1301.
- Klobb (T.), **86**: Verbindungen von Metallpermanganaten mit Ammoniak 417 f.
- Klobbie, **86**: Analyse von Hydrastin 1727.
- Klobbie (E. A.), siehe Franchimont (A. P. N.).
- Klobukow (N. v.), **85**: Zusammenhang zwischen Molekularstructur und Lichtabsorption 328; Darstellung von tetrathionsaurem Natrium 396 f.; quantitative Bestimmung des Schwefels 1905; Apparat zum Arbeiten unter Luftabschluss, Quetschbahn 2001.
- 86**: Apparate für elektrochemische Untersuchungen 242; Zersetzung des Aethylätherdampfes und des Schwefelkohlenstoffs durch den Inductionsfunken 280 f.
- Klobukowski (E.), **77**: Bestimmung der Halogene in organischen Substanzen 1073.
- Klobukowsky (W.), **77**: Azonaphtalin (Naphase) 509; Acetylrußgallussäure 805; Tetramethyl-, Teträthyl-, Hexäthylrußgallussäure 806; Protocatechussäure gegen Schwefelsäure 807.
- Klocke (F.), **78**: Aetzfiguren der Alaune 2 f.
- 79**: Gleichgewicht zwischen der Krystallfläche und der Mutterlauge, Alaunktaeder 3; Circularpolarisation des Alauns 4; optische Structur des Eises 148 f.
- 80**: Doppelbrechung regulärer Krystalle 2; optische Anomalien 2 f.; Doppelbrechung in regulären Krystallen 186 f.; Apophyllit 1466.
- 81**: Krystallform einer Phosphorverbindung aus Acetyldiphenylamin 473; Gletschereis 1355.

- Klockmann (F.), **82**: Orthoklas vom Riesengebirge 1568; Mikroklin und Albit vom Riesengebirge 1569; Ganggranite des Riesengebirges 1597 f.
- Kloos (H.), **85**: Untersuchung von Uralit 2307.
- Kloos (J. H.), **78**: Augitandesit 1288.
- 84**: Analyse von Diallag 1966, 1971 f.; krystallographische Untersuchung von Feldspathen 1979 f.; Untersuchung von Feldspathen 1987; Studien aus dem Granitgebiete des Schwarzwaldes 2008; Analyse von Pikrit 2020.
- 85**: Harmotomzwillinge 2296.
- 86**: Zusammensetzung der dunklen Hornblenden 2282; Analyse von Hornblende 2283; siehe Jannasch (P.); siehe Streng (A.).
- Klopsch (R.), **85**: Reindarstellung des durch Einwirkung von Benzoylchlorid auf  $\beta$ -Naphthylamin entstehenden Benz- $\beta$ -naphthylamids (Benzoyl- $\beta$ -naphthalids) 914 f.; Ueberführung von  $\beta$ -Naphthylamin in Di- $\beta$ -naphthylamin 915.
- Klotz, siehe Lauenstein.
- Klotz (C.), siehe Lellmann (E.); siehe Knorr (E.).
- Kluge (P.), **85**: Feststellung der Constitution des bei der Reduction von Mononitro-p-xylol mit Zinn und Salzsäure entstehenden Monochlorp-xyldins, Darstellung von Chlor- und Chlornitroderivaten des p-Xylols 899 f.
- Klunge, **83**: Reactionen des Euge-nols, weingeistige Lösungen von Ceylonzimmtöl, Cassiazimmtöl und Nelkenöl gegen Eisenchlorid 1634.
- Klunge (A.), **80**: Aloëreactionen 1085.
- Klvana, **78**: Schieferanalyse 1285 f.
- Knab (D. C.), **78**: Gewinnung von caustischen und kohlen-sauren Alkalien, von Chlor und anderen Producten 1124 f.
- Knapp (F.), **77**: Mörtel und Cemente 1163.
- 78**: Gerben mit Eisensalzen 1177.
- 79**: Ultramarin 1154 f.
- 80**: Gerberei mit Eisensalzen 1374; Ultramarin 1380; Dolerit 1504.
- 85**: Ultramarinblau aus Kieselsäure, Einwirkung von Natriumcarbonat auf Kieselsäure 2217 f.; Ultramarinblau aus Ultramarinmutter auf nassem Wege 2219.
- 86**: Herstellung von Ultramarin auf nassem Wege 2186 f.
- Knapp (H. v.) und Schultz (G.), **84**: gechlorte Chinone gegen Ammoniak und Aminbasen 637 f.
- Knebel (J.), **82**: Neuerungen in der Bierbrauerei 1449.
- Knecht (E.), **82**: isomeres Orcin (Kresorcin, Cresorcin) aus Dinitrotoluol: Kresorcin, Mononitrokresol, Dinitrokresol 698 f.; Kresorcinfluorescein und Derivate, Dibromnitrokresol aus Mononitrokresol, Monoamidokresol-Methyläther 700; homologe Resorcine (Betorcinol) gegen Phthalsäureanhydrid; Unterscheidung des Resorcins vom Kresorcin, Dinitromesitylen gegen Ammoniak und Schwefelwasserstoff: Mononitromesidin 701; Mononitromesidin gegen Natriumnitrit: Mononitromesitol 701 f.; Monoamidomesitol, Dioxymesitylen (Mesorcin), Oxyisoxylolchinon; Mesorcin gegen Phthalsäure und Schwefelsäure, gegen Schwefelsäure allein 702.
- Knecht (W.), **77**: Dampfdichte des Fluorens 383; Dampfdichte des Stilbens 384, des Retens, des Chrysens 391; Acetylamin (?) 431; Piperonal 621.
- 80**: Dampfdichtebestimmungen im Dampfe des Fünffach-Schwefelphosphors 34; siehe Gräbe (C.).
- Knecht (W.) und Unzeitig (J.), **80**:  $\alpha$ - und  $\beta$ -Dinaphtylendioxyd 689 f.
- Knietsch (R.), siehe Liebermann (C.).
- Knerr (E. B.), siehe Smith (E. F.).
- Knerr (E. B.) und Schönfeld (J.), **86**: Analyse von Glaukonit 2277; Analyse von Apophyllit und Heulandit 2287.
- Knieriem (v.), **79**: Stickstoffbestimmung im Harn 1079.
- Knieriem (W. v.), **85**: Verwerthung der Cellulose im thierischen Organismus 1827.
- Knight, **77**: Zinkweifs 1155.
- Knight (P. A.), **83**: spec. Gewicht von Chlor- und Bromcadmium 51.
- Knight (W.), **78**: spec. Gewicht des Cadmiumchlorids und einiger Doppelsalze 25.
- Knoblauch (H.), **77**: Reflexion der Wärmestrahlen von Metallen 102.
- 80**: Wärmestrahlung 101.
- 85**: Polarisationswinkel der Metalle 335 f.



Knöfler (O.), **85**: volumetrische Bestimmung der gebundenen Schwefelsäure 1907, der Erdalkalien und der gebundenen Schwefelsäure (Analyse unlöslicher Sulfate, von Kiesen, Bestimmung des Kalk- und Schwefelsäuregehaltes im Wasser) 1927 f.

Knösel (Th.), **83**: Sulfistatoff 1775.

Knoll (A.), siehe Otto (R.).

Knop (A.), **77**: Chromeisen 1279; titanhaltiges Magneteisen 1280; Pachnolith, Thomsenolith, Pyrokonit 1287; Olivin 1308; Titansäure 1311; Melanite, Pyroxen 1312; Bronzit, Augit (Chromdiopsid) 1322; Schorlomit 1340; Perowskit (Dysanalyt), Niob- von Titansäure 1347; Cimolite nach Augit 1352.

**78**: unterirdischer Zusammenhang von Donau und Aach 1293 f.

**80**: hohle Pseudomorphosen 1484 f.

**81**: Wassersteine (Enhydros) 1358.

**85**: Untersuchung der Augite vom Kaiserstuhl 2292 f.

Knop (W.), **79**: Eiweißkörper 869 f.

**82**: Analyse eines pilzkranken Zuckerrohrs 1160; Silicatanalyse 1280; Abscheidung und Nachweis der Alkalien als Fluorkieselmetalle 1282 f.

**84**: Darstellung einer concentrirten Nährstofflösung für Vegetationsversuche 1434; Untersuchung über pilzkrankes Zuckerrohr 1453; Methode der Analyse von Ackererde 1759 f.; Verhalten concentrirter Nährstofflösungen für Pflanzen 1769.

**86**: Azotometer 2012.

Knorr (L.), **82**: Reduction des Nitropiperidins: Piperylhydrazin, Dipiperyltetrazon 609.

**83**: Phenylhydrazin gegen Acetessigäther 795 f.; Piperylhydrazin und Derivate 809 ff.; Piperylsemicarbazid 811; Piperylsulfosemicarbazid 811 f.; Piperylsulfocarbazid 812; Dipiperylsulfosemicarbazid 812 f.; Piperylhydrazin gegen salpetrige Säure (Nitrosopiperidin), gegen Methyljodid (Methylpiperylazoniumjodid) 813; Dipiperyltetrazon und Salze 814; Acetessigsäure-Aethyläther gegen Anilin: Anilacetessigsäure-Aethyläther,  $\gamma$ -Oxy- $\alpha$ -methylchinolin, Anilacetessigsäure 1325.

**84**: Synthese von Pyrrolderivaten 618 ff.; Phenyl- $\beta$ -imidobuttersäure, Umwandlung in Isonitrosoanilacetone, Paraamidacetessigäther, Umwandlung

in Isonitroso- $\beta$ -imidobuttersäureäther 618; Reduction des Isonitroso- $\beta$ -imidobuttersäureäthers zu Dimethylpyrrol-dicarbonensäureäther, Dimethylpyrrol-dicarbonensäure-Monoäthyläther, Dimethylpyrrol-dicarbonensäure 619; Oxy-methylchinizinderivate, Untersuchung 874 ff.; Phenylhydrazinacetessigäther 874; Dimethyloxychinizin, o-Toluoxy-methylchinizin, o-Toludimethyloxychinizin, p-Tolylhydrazinacetessigäther, p-Toluoxy-methylchinizin, p-Toludimethyloxychinizin,  $\beta$ -Naphthooxymethylchinizin 875;  $\beta$ -Naphthodimethyloxychinizin,  $\alpha$ -Naphthooxymethylchinizin, Einwirkung von Phenylhydrazin auf Succinylbernsteinsäureäther, auf Carboketonsäuren 876; Untersuchung der Constitution der Chinizinderivate 877 bis 882: Isonitrosomethyloxychinizin, Di-Methyloxychiuizin 877; Dimethyloxychinizin, Antipyrin, Isonitrosoantipyrin 878; Nitroantipyrin, Benzylidiantipyrin 879; Methylizimethyläthylketon, Isonitrosomethyldioxychinizin, Methyldioxychinizin 880; Di- $\beta$ -Naphthylmethyloxychinizin, Dimethyloxychinizin (Diantipyrin) Dichinizinblau 881; Synthese von Furfuranderivaten aus Diacetherbernsteinsäureäther: Carbopyrotritar-säure (Dimethylfurfurandicarbonensäure), Aether und Salze 948; Diphenylfurfurandicarbonensäure, Dimethylpyrrol-dicarbonensäureäther 949; Synthese von Chinolinderivaten (Derivate der Imidobuttersäure) 1370 ff.:  $\gamma$ -Oxy- $\alpha$ -methylchinolin 1370; o-Tolyl- $\gamma$ -oxychinaldin, p-Tolyl- $\gamma$ -oxychinaldin,  $\beta$ -Naphtho- $\gamma$ -oxychinaldin 1371;  $\alpha$ -Naphtho- $\gamma$ -oxychinaldin 1372; Darstellung von Chinolinderivaten 1745 f.; Darstellung von Oxypyrazolin 1746.

**85**: Synthese von Pyrrolderivaten mittelst Diacetherbernsteinsäureäther 805 f.; Dimethyl-, Trimethyl-, Phenyl-dimethyl-, p-Tolyldimethyl-,  $\beta$ -Naphthyl-dimethylpyrrol-dicarbonensäure 806 f.; Phenyl-dimethylpyridazindicarbon-säure, Dimethylpyrrole 807; Dimethylpyrrol-di- und -monocarbon-säure und Derivate 807 ff.; Darstellung von Phenyl-dimethylpyridazin, Einwirkung von Diacetherbernsteinsäure-äther auf Hydroxylamin 1108.

**86**: p-Phenylendiimidobuttersäure aus p-Phenylendiamin und Acetessig-äther 907; synthetische Versuche mit

- Acetessigäther: Anilacetessigsäure (Acetessigsäureanilid) und Derivate 1336 f.; Oxylepidin ( $\gamma$ -Methylcarbostyryl) und Derivate, Methyllepidon (Dimethylpseudocarbostyryl) und Derivate 1337 f.; Derivate des (1)-Oxy-(2, 5)-dimethylpyrrols aus Diacetbernsteinsäureester 1338 f.; Umwandlung von Diketonen der Stellung 1, 4 in Pyrrollderivate: Dimethylpyrrolcarbonessigsäure aus Diacetylglutarsäure-Aethyläther (Constitution des Monobromlävulinsäure-Aethyläthers) 1656.
- Knorr (L.) und Antrick (O.), **84**: Einwirkung von Brom auf Anilacetessigsäure 1372 f.; Methylbromoxychinolin, Dimethylpseudochinoxyl 1372; Methylpseudochinoxyl ( $\gamma$ -Oxychinaldin), Methylchlorchinolin 1373.
- Knorr (L.) und Blank (A.), **84**: Condensation substituierter Acetessigäther mit Phenylhydrazin 882 f.: Azodimethyloxychinizin 882; Azomethyläthoxychinizin, Phenylizinacetbernsteinsäureäther, Methyloxychinizinessigsäureäther, Methyloxychinizinessigsäure 883.
- 85**: Darstellung von Methylidiphenylpyrazolcarbonsäureäther 1108 bis 1110; Methylidiphenylpyrazolcarbonsäure, Methylidiphenylpyrazol, Jodmethylat desselben 1109; Monobrommethylidiphenylpyrazol, Dihydromethylidiphenylpyrazol 1110; Einwirkung von Acetbenzalessigäther auf Phenylhydrazin 1110 bis 1112: Isomethylidiphenylpyrazolcarbonsäureäther 1110; Isomethylidiphenylpyrazolcarbonsäure, Isomethylidiphenylpyrazol, Base  $C_{16}H_{16}N_2$  1111; Jodmethylat des Isomethylidiphenylpyrazols 1112.
- Knorr (L.) und Bülow (C.), **84**: Condensation von Succinylbernsteinsäureäther mit Phenylhydrazin 883 f.; Dichinizinohydrobenzol 883; Phenylizinsuccinylbernsteinsäureäther, Diphenylizinsuccinylbernsteinsäureäther, Phenylizinchinizinohydrobenzolcarbonsäureäther, Dimethyldichinizinohydrobenzol 884; Diäthylidichinizinohydrobenzol, Dichinizinohydrobenzolblau 885; Einwirkung von Diacetbernsteinsäureäther auf Phenylhydrazin 885 f.; Phenylizindiacetbernsteinsäureäther, Di-Methyloxychinizin, Diphenylizindiacetbernsteinsäureäther 885.
- Knorr (L.) und Franzen (A.), **86**: (1, 2, 5)-Trimethylpyrrol, Derivate des (2, 5)-Dimethylpyrrols 1339; Derivate der (2, 5)-Dimethylpyrrol-(3, 4)-dicarbonsäure 1339 f.; (2, 4)-Dimethylpyrrol-(3, 5)-dicarbonsäure und Derivate 1340 f.; (2, 4)-Dimethylpyrrol-(2, 4)-Dimethylpyrrol-(3)-monocarbon-säure und Derivate 1341 f.
- Knorr (L.) und Jödicke (F.), **85**: Einwirkung von p- und o-Nitrobenzoylacetessigäther auf Phenylhydrazin 1114 bis 1116: p-Nitrodiphenylmethylpyrazolcarbonsäure - Aethyläther, p-Nitrodiphenylmethylpyrazolcarbonsäure, p-Nitrodiphenylmethylpyrazol 1114; p-Amidodiphenylmethylpyrazolcarbonsäure, o-Nitrodiphenylmethylpyrazolcarbonsäure - Aethyläther, o-Nitrodiphenylmethylpyrazolcarbonsäure, o-Nitrodiphenylmethylpyrazol 1115; Anhydrid der o-Amidodiphenylmethylpyrazolcarbonsäure 1116.
- Knorr (L.) und Klotz (O.), **86**: Reduction von Oxylepidin und Methyllepidon: Tetrahydro- und Methyltetrahydrolepidin 932 f.; Dihydroxy-lepidin 933.
- Knorre (G. v.), **83**: Wolframverbindungen 379 bis 382.
- 85**: Wolframate des Baryums, Strontiums und Calciums 525 f.; Natriumparawolframat 526 f.
- 86**: Doppelsalze der Wolframsäure (Parawolframate) 430 f.; siehe Ilinski (M.).
- Knorre (G. v.) und Olshewsky (P.), **85**: Verbindungen der Antimonsäure mit Kalium und Natrium 556 f.
- Knott, Gordon, Mac Gregor und Sunth (C. Michie), **78**: thermoelektrische Eigenschaften des Kobalts 136.
- Knott (C. G.), **80**: Materie 3.
- 82**: Contactelektricität verschiedener warmer Metalle 137.
- 84**: elektrischer Widerstand von wasserstoffhaltigem Palladium 250.
- 85**: Uebereinanderlagerung von Magnetisierungen bei Drähten von Eisen und Nickel 298.
- Knublauch (O.), **81**: Aethylen und Benzol im Leuchtgase 1201; Leuchtkraft von Benzol, Toluol, Aethylen und Aethyläther 1315.
- 82**: Darstellung der Normalschwefelsäure 1255 f.; Bestimmung des

- Ammoniaks 1271; Bestimmung von Schwefel im Leuchtgase 1305 f.
- Knudsen (L.), **85**: Beschreibung eines Apparates zur Herstellung constanter Temperaturen 119.
- Knudsen (P.), **85**: Darstellung von Phenyläthylenylamidoxim und Derivaten 1137 bis 1140; Chlorhydrat von Phenyläthylenylamidoxim 1137; Benzoylphenyläthylenylamidoxim, Acetylphenyläthylenylamidoxim, Phenyläthylenylazoximbenzenyl, Phenyläthylenylazoximäthylenyl 1138; Phenyläthylenylamidoximäthyläther, Phenyläthylenylphenyluramidoxim 1139; Phenyläthylenylphenyluramidoximäthyläther, Phenyläthylenylazoximpropenyl- $\omega$ -carbonsäure 1140.
- Knuth (P.), **77**: Tribromsulfobenzolsäure und Derivate 837; Tetrabromsulfobenzolsäure 839; Amidodibromsulfobenzolsäure 840.
- Knutsen (H.), **82**: Damourit von Fen 1554.
- Knyrim (M.), siehe Claus (A.); siehe Zimmermann (J.).
- Kobb (G.), **86**: Emissionsspectrum des Germaniums 304.
- Kobek (H.), **83**: Derivate des Thymols: p-Thymotinaldehyd 933 f.; p-Thymotinalkohol, Methyl-p-thymotinaldehyd 934; Methyl-p-thymotinsäure, p-Thymotinsäure 935; Thymodialdehyd, Thymo-p-acrylsäure und Methylthymo-p-acrylsäure 936.
- 84**: Darstellung von Thymolderivaten: p-Thymotinaldehyd, Methyl-p-thymotinaldehyd, Methyl-p-thymotinsäure 1006; p-Thymotinsäure, Thymotindialdehyd, Thymoacrylsäure, Methylthymoacrylsäure 1007.
- Kobert, **85**: toxiologische Wirkung des Caffeinmethylhydroxyds 1689; physiologische Wirkung des Lupindins 1725.
- Kobert und Liebscher, **86**: Ursache der Lupinose 1696.
- Kobert (E. R.), **82**: Einfluss verschiedener pharmakologischer Agentien auf die Muskelsubstanz 1221; physiologische Wirkungen des Eisens und Mangans 1224.
- Kobert (R.), **84**: Bestandtheile und Wirkungen des Mutterkornes 1512.
- 86**: Muscarinwirkung am Herzen 1865.
- Koblukow (N. v.), **84**: Apparat zur Dampfdichtebestimmung niedrig siedender Körper: Dampfdichtedilatometer 59 f., hochsiedender Körper: Dampfdichtearäometer 60 f.
- Koch, **78**: Alizarinblaubereitung 1191.
- 85**: Zuckergehalt von Rüben 2141.
- 86**: Analyse des Kaliumsalzes des Phtalylacetessigäthers 1516.
- Koch (A.), **77**: Steinsalz 1283; Cölestin 1294; Glaubersalz 1295; Sodalith aus Eläolith 1314; Andesin 1337.
- 78**: Analyse von Tridymit 1212; Pseudobrookit 1214 f.; Szabóit 1271; Andesit 1287.
- 79**: Farbstoffe aus Dimethylphenylendiamin 1169 f.
- 81**: Eläolith, Cancrinit 1383; Syenit 1423.
- 82**: der Meteoritenfall von Mocs, Siebenbürgen 1640.
- 83**: der Meteoritenfall von Mocs, Analyse der betreffenden Meteoriten 1952.
- 85**: Mineralien Siebenbürgens 2263; Goldvorkommnisse in Siebenbürgen 2264; Kalkapath-Vorkommnisse in Siebenbürgen 2278.
- 86**: Vorkommen von doleritischem Phonolith 2310.
- Koch (C. F. A.), **83**: Ausscheidung des Harnstoffes und der anorganischen Salze aus dem Harn unter dem Einfluß künstlich erhöhter Temperatur 1470.
- Koch (F.), **77**:  $\beta$ -Chinin (Homocinchonidin) 888.
- 78**: Andesit 1287.
- 81**: Eläolith 1383.
- 84**: Analyse einer opalartigen Substanz 1999.
- 86**: Holzgummi 1809; Analyse von doleritischem Phonolith 2310; siehe Curtius (Th.).
- Koch (G. A.), **77**: Eiskrystalle 1270.
- Koch (H.), **86**: Pyrrolazo-p-dimethylamidobenzol 734 f.; Azofarbstoffe des Aethylpyrrols: Aethylpyrrolazo-, Aethylpyrrolidiazodi-p-toluol und Aethylpyrrolazo- $\beta$ -naphtalin 735; siehe Fischer (E.).
- Koch (K.), **77**: Sericitschiefer 1357.
- Koch (K. B.), **85**: Bestimmung des Elasticitätscoefficienten von Eis 110 f.; Untersuchung über die Plasticität des Eises 111.
- Koch (K. R.), **79**: Bestimmung von Elasticitätscoefficienten 89.
- 83**: Feststellung der Fehler einer Mikrometerschraube 1654.

Koch (R.), **81**: Wirkung der Oxalate 1065.

**82**: Untersuchung der gebräuchlichsten Antiseptica und Desinfectionsmittel 1240 f.

**83**: Nachweis der Mikrokosmen im Boden, Wasser und in der Luft 1526.

**85**: bacterioskopische Wasseruntersuchung 1893.

Koch (R.), Gaffky und Löffler, **82**: Desinfection mit Wasserdampf 1435.

Koch (R.), und Wolfhügel (G.), **82**: Desinfection mit Luft 1434 f.

Koch (S.), **81**: Pikranaleim 1398.

**82**: Gelbbleierz von Utah und Arizona 1540.

Koch (Syn.), **81**: Reibung des Quecksilbers 79 f.

**83**: Reibungsconstanten des Quecksilberdampfes 79 ff.

Koch: (W. E.), siehe Huntington (A. K.).

Kochler (H.), **83**: Nitrosophenole 1772 f.

Kochs (W.), **80**: Chemismus im Thierkörper 1092 f.

**86**: Schwefelbestimmung in Eiweißkörpern 2002.

Kocke (E.), siehe Schüchtermann (H.).

Koebig, **86**: Krystallform von Benzol- und p-Toluolsulfosäure-Phenyläther von p-toluolsulfosaurem Kalium und p-Toluolsulfochlorid 1546; Krystallform von Benzol-m-disulfochlorid 1589.

Köbig und Fock, **82**: Krystallform des Thiobenzolsulfosäure-Phenyläthers (Benzoldisulfoxyds) 1001 f.

Köbig (J.), siehe Fittig (R.).

Köbrich (A.), **81**: Fäulnisalkaloïd 976.

**86**: Bestimmung des Nickels auf vernickelten Eisenwaaren 1937 f.

Köchlin, **77**: Anilinschwarz 1240.

Köchlin (A. d'Andrian), siehe D'Andrian-Köchlin (A.).

Köchlin (C.), **83**: Grünfärbung der Gewebefaser, Fabrikation von Alt-türkischroth 1786; Auffärbung mit Anilinschwarz, Färben und Drucken mit Indophenol 1787.

**84**: Fixierungsversuche mit Auramin, Jaune solide, Flavanilin 1851.

**86**: Priorität der Entdeckung von nicht vergrünendem Anilinschwarz 2192.

Köchlin (H.), **77**: Gallein 1236.

**82**: Fixirung von organischen Farbstoffen mittelst metallischer Beizen 1477.

**83**: Gallocyanine 1804 f.; Färben und Drucken mit Gallocyaninen 1805.

**84**: Bleicherei 1839; Chrombeizen 1842 f.; Färben mit Kanarin 1852.

**85**: Chrombeize 2211.

Köchlin (H.) und Witt (O. N.), **81**: Phenolblau (Indophenol) 1333.

**82**: Indophenole aus Nitrosoderivaten tertiärer aromatischer Basen und Phenolen 1495 f.

Köchlin (J.), **82**: Anwendung von Tannin in der Färberei 1474.

Köchlin (P.), siehe Heumann (K.).

Koeckert (G.), siehe Ceresole (M.).

Köhler (A.), **86**: Nitroderivate des Methyluracils: Nitrouracilcarbonsäure und deren Salze 566 f.; Nitrouracilcarbonsäureäther, Amidouracilcarbonsäure und deren Salze, Amidouracil 567; Reduction des Nitrouracilcarbonsäureäthers: Amido- und Oxyuracilcarbonsäureäther 567 f.; Oxydation des Methyluracils: Nitrouracil, Verbindung  $C_5H_2N_4O_5$ , Salze und Amidoderivat derselben 568 f.

Köhler (H.), **78**: Verhalten eines Gemenges von Kohlensäure und Schwefelwasserstoff beim Durchleiten durch glühende Röhren 227; einige Bildungsweisen des Aethylamins 436; Einwirkung von kohlens. Baryum auf Baryumäthylsulfat 837.

**79**: Quecksilberjodid 298 f.; Dichlormethylamin 401; Chlorquecksilberäthylamin 401 f.; äthylirter Präcipitat 771 f.; ätherische Oele von Eryceen 942; Apparat für Löslichkeitsbestimmung 1086.

**80**: Phosphor-Antimonchlorid 335 f.; Diphenyl aus Benzol und Phosphortrichlorid, Phosphenylchlorid 457; Phosphenylchlorür gegen Chloride 941 f.; Löslichkeit von Chinamin 980.

**84**: p-Aethoxyphenylurethan, Darstellung, Verhalten, Derivate 497 bis 500; p-Aethoxycarbanil 497; Mononitro-p-äthoxyphenylurethan, Monoamido-p-äthoxyphenylurethan, salz. Diamidophenol 498; Diazoimidoäthoxyphenylurethan, Dinitro-p-äthoxyphenylurethan, Diamido-p-äthoxyphenylurethan, Trinitro-p-äthoxyphenylurethan 499; salzsaures Triamido-

- p-äthoxyphenylurethan, Trinitroamidophenetol, salzsaures Tetraamidophenetol 500.
- 85:** Bildung von Anthracen aus roher Carbonsäure 700; Löslichkeit des Antimonoxys in alkalischer Glycerinlösung: Natriumantimonglycerid 2213 f.; Anwendung des Glycerids als Ersatz für Brechstein beim Beizen 2215; siehe Tiemann (F.).
- Köhler (H.) und Hellebrekers, **79:** Quecksilberchlorojodid 299 f.
- Köhler (H.) und Michaelis (A.), **77:** jodwasserstoffsäures Phosphoryljodid, Phenylphosphinderivate 869; Phosphoryl-äther 871; Isophosphorylsulfid (Tetraphenylphosphortrisulfid) 872.
- Köhler (L.), siehe Hessemann (F.).
- Köhler (W.), **78:** Bestimmung des Metallgehaltes von Erzen 1055; kontinuierliche Zinkgewinnung in Gebläschachteln 1107.
- Köhnlein (B.), **83:** Darstellung der Homologen des Methans 500.
- 84:** Austausch von Chlor, Brom und Jod zwischen anorganischen und organischen Halogenverbindungen 470 ff.; Analyse des Inhaltes eines Lymphangioma cavernosum 1506.
- Kölle (G.), **80:** substituierte Naphtyl-äther 689.
- Kölliker (A.), **84:** Klammer für Schmelzröhrchen 1689; siehe Wallach (O.); siehe Allen (W.).
- Könen (A. v.), **78:** Phakolith, Faujasit 1256; Bimasteinsand 1286.
- König, **81:** phosphor-molybdänsäures Ammon 1169.
- 83:** Lebensmittelcontrole 1623.
- 84:** Untersuchung von Butter 1784 f.; siehe Petermann.
- König (A.), **80:** Bestimmung der Phosphorsäure 1158.
- 81:** galvanische Polarisation des Quecksilbers 101 f.; Bestimmung der Phosphorsäure 1168; Absorptionsvermögen von Moorböden 1282.
- 82:** Ersetzung der Salpetersäure in galvanischen Elementen durch Wasserstoffsuperoxyd 141; Beziehungen zwischen galvanischer Polarisation und Oberflächenspannung des Quecksilbers 161; Absorptionsfähigkeit von Böden, besonders Moorböden 1423; siehe Fleischer (M.).
- König (F.), **81:** Gährung der Weinsäure und des weins. Calciums 1139; Fuchsin im Wein 1216; Durchlässigkeit des Bodens für Schwefelkohlenstoff, Phylloxera 1283.
- 82:** Bernsteinsäure aus Ammoniumtartrat durch Fäulnisbakterien 848.
- König (G.), **77:** Bischofit 1285; Thomsenolith, Pachnolit, Pyrokonit, 1287; Amazonenstein 1333.
- König (G. A.), **77:** Zirkon 1275; Astrophyllit, Arfvedsonit, Zirkon 1317; Titansäure 1318; Hexagonit (Grammatit) 1326; Arfvedsonit 1327.
- 78:** Strengit 1234; Zoisit 1237 f.; Grossularvarietäten 1239 f.; Protovermiculit, Jefferisit 1247 f.; Enstatit 1248.
- 79:** Randitanalyse 1192; Thomsenit 1232; Leidyit 1233.
- 80:** Chromometrie 1140 f.
- 81:** Alaskait 1354; Beegerit 1355; Jarosit 1373.
- 82:** Einwirkung der Holzkohle auf Goldchloridlösungen 358 f.; Goldchlorid gegen Holzkohle und Lampenrufs 1384; Monazit von Virginia 1541; Orthit von Virginia 1545.
- 86:** Analyse eines Silberkupferglanzes (Stromeyerit) 2229 f.; neues Vorkommen von Beegerit 2233.
- König (H.), **79:** Oxyadipinsäure 662.
- König (J.), **77:** Kraftfuttermittel 1174.
- 80:** Verseifung 1365 f.
- 81:** Bestimmung der Salpetersäure 1167.
- 83:** Bestimmung des Stickstoffs in salpeterhaltigem Guano und in schwach salpeterhaltigen Düngemitteln 1590 f.; Stickstoffbestimmung im Peugano 1591; Reinigung fauliger Abfluswasser 1726.
- 84:** Phosphorsäurebestimmungen 1576.
- 85:** Untersuchung, Fabrikation von Knochenmehl 2130 f.; Erkennung einer Verfälschung mit Hornmehl 2131.
- 86:** Untersuchung von Fleischpeptonen 2119.
- König (J.) und Krauch (C.), **80:** Sauerstoff im Wasser 1147 f.
- König (J.) und Mutschler (L.), **77:** Bestimmung des im Wasser gelösten Sauerstoffs 1035.
- König (W.), **83:** optische Eigenschaften der Platincyanüre 254.
- 85:** Bestimmung der Reibungscoefficienten einiger Körper 109; Einfluß magnetischer, sowie elektrischer

- Kräfte auf die Reibung 109 f.; siehe Hoffmann (L.).
- Königs (E.), **85**: Bestimmung des spec. Gewichtes verschiedener Butter- und Talgsorten 1971.
- Königs (W.), **77**: Benzolsulfurylazid 492; Benzolsulfinsäure und Aethylsulfinsäure gegen Diazoverbindungen 493.
- 78**: versuchte Darstellung von  $C_{18}H_{16}N_2S_3O_5$  und  $C_{21}H_{22}N_2S_3O_6$ , Benzolsulfinsäure-Salpetrigsäureanhydrid 846 f.
- 79**: Pyridinbasen 408; Chinolin aus Allylanilin 782; Dicarboxypyridinsäure 784; Nitrochinolin, Chinolsäure 784 f.; Amidolepidin 785; Oxydation des Cinchonins 805 f.; Chinolin, Oxy-cinchoninsäure 806 f.
- 80**: Synthese des Chinolins 946 f.; chlorhaltige Base aus Cinchonin 970 f.
- 81**: Alkaloide 902; Reduction von Chinolin (Tetrahydromono- und Tetrahydrodichinolin) 918 f.; Base aus Cinchoninchlorid, Picolindicarbonsäure 919; Cinchen aus Cinchoninchlorid, Apocinchen, Oxyapocinchen 940; Chinin, Cinchonin, Trennung von Piperidin und Pyridin 941; siehe Baeyer (A.); siehe Comstock (W. J.); siehe Feer (A.); siehe Geigy (R.); siehe Heymann (B.).
- Königs (W.) und Geigy (R.), **84**: Pyridinderivate 641 bis 646: Verschiedenheit der Oxychinolinsäure und Ammonchelidonsäure, Oxypyridinmonocarbonsäure 641; Oxypyridin, Dibromoxypyridin 642; Pyridindisulfosäure 643; Trichlorpyridin, Dichlorpyridin 644; Dichloroxyäthylpyridin, Dichloroxypyridin, Dioxypyridin 645; Pyridinmonosulfosäure 646.
- Königs (W.) und Körner (G.), **83**: Oxycinchoninsäure, Aethoxycinchoninsäure 1212 f.; Oxycinchoninsäure-Aethyläther, Aethoxycinchoninsäure-Aethyläther 1213; Oxychinolinsäure 1214.
- Königs (W.) und Nef (J. N.), **86**: Py-3-Phenylchinaldinsäure und Py-3-Phenylchinolin aus Py-3-Phenylchinaldin 947 bis 950: Ueberführung des Py-3-Phenylchinaldins in das Phtalon 948; Oxydation des letzteren: Py-3-Phenylchinaldinsäure und Salze 948 f.; Verhalten der Py-3-Phenylchinaldinsäure beim Erhitzen: Py-3-Phenylchinolin und Derivate 849 f.; Nebenprodukte bei der Darstellung des Py-3-Phenylchinaldins: Acridin, o-Amidobenzophenon gegen Chlorzink 950.
- Köppe (C.), **80**: Wasserfilter 1245.
- Köppel (M.), **82**: Sicherheitssprengstoff 1411 f.
- Köppen, siehe Schmidt.
- Köppen (E. v.), **79**: Spiegeleisen 1093.
- Köpsel (A.), **85**: elektromagnetische Drehung der Polarisationssebene des Natriumlichtes in Schwefelkohlenstoff 343 f.
- Körner, **77**: Bromjodnitrophenol 549; Dibromnitrophenol, Bromdinitrophenol 548.
- Körner und Böhringer (C.), **83**: Alkaloide aus der Angusturarinde: Cusparin und Gasipein 1355.
- Körner (G.), **81**: Methylchinolin, Cyanin 937; Apparat zur Verzeihung schlagender Wetter 1236.
- 84**: Chinoxalin, Toluchinoxalin, p-Monochlor-, p-Monobrom-, p-Mononitrochinoxalin, p-Methoxylchinoxalin 688; siehe Fischer (O.); siehe Königs (W.).
- Körner (G.) und Bertoni (G.), **81**: Isomere der Vanillinsäure:  $\alpha$ -Methylresorcinameisensäure 780;  $\alpha$ -Methylhydrochinonameisensäure 781.
- Körner (G.) und Menozzi (A.), **81**: Tyrosin gegen Kali 823.
- 83**: Amidosäuren gegen Methyljodid und Kalihydrat: Leucin gegen Methyljodid und Kalihydrat: Trimethylleucinjodid 1026 f.; Leucinbetainhydrat 1027.
- Körner (H.), **78**: Untersuchung des p-Dipropylbenzols und einiger Derivate 393.
- 82**: p-Dipropylbenzol und Derivate 419.
- Körner (M.), siehe Weddige (A.).
- Körner (W.), **78**: Olivil und Betulin 956.
- Koeth-Sörgenloch (Daal von), **83**: Anbauversuche mit Runkelrüben 1716; Weinbergadung 1723.
- Köttstorfer, **79**: Butterbestimmung 1075 f.
- Köttstorfer (J.), **78**: Jod im Meerwasser 1043.
- Kohlmann (B.), **83**: Flaschenbürette für pharmaceutische Zwecke 1519.
- Kohlrausch (F.), **77**: Totalreflectometer 177.
- 79**: elektrisches Leitungsvermögen wässriger Lösungen von Hydraten

- und Salzen der leichten Metalle 137 f.
- 80:** Methoden und Instrumente zur Widerstandsmessung in Elektrolyten 154 f.
- 84:** elektrische Leitungsfähigkeit des im Vacuum destillirten Wassers 261 f.
- 85:** Leitungsfähigkeit von Elektrolyten in äußerst verdünnten Lösungen 271 ff.; Einfluß der Temperatur auf das elektrische Leistungsvermögen 273; Leitungsfähigkeit des Wassers 276.
- 86:** Strommesser 240.
- Kohlrausch (F. und W.), **84:** elektrochemisches Aequivalent des Silbers 1696.
- 86:** elektrochemisches Aequivalent des Silbers 251 f.
- Kohlrausch (O.), **78:** Scheidung des Rübensafts mit Thonerdehydrat 1151.
- 81:** Dialyse des Tannins 1324.
- Kohlrausch (W.), **82:** elektrisches Leistungsvermögen von Chlorsilber, Bromsilber, Jodsilber 151 f., von Schwefelsäure und Pyroschwefelsäure, Dichtigkeit der concentrirten Schwefelsäure 152 f.
- Kohlstock (H.), siehe Claus (Ad.).
- Kohn (C.), siehe Nölting (E.).
- Kohn (C. A.), siehe Fischer (O.); siehe Smith (W.).
- Kohn (O.), siehe Nölting (E.).
- Kohn (S.), **78:** Zersetzung von Eiwefskörpern 934.
- Kohner (A.), **86:** Bestimmung des Cadmiums, Trennung desselben von Kupfer 1940 f.
- Kohnstein (B.), **85:** Ermittlung der freien Schwefelsäure im Essig 1958.
- 86:** Analyse des Leders, des Traubenzuckers in demselben 2003.
- Kohnstein (B.) und Simaud (F.), **85:** Bestimmung der freien Säuren in Gerbebrühen 2198 f.
- Kokscharow (N. N.), **81:** Beryll 1396.
- Kokscharow (N. v.), **77:** Skorodite 1300; Glimmer 1315; Waluweit 1317; Perowskit 1341.
- 78:** Waluweit 1247.
- 79:** Formen der russischen Eisenkiese 1184; Breunneritmessungen 1192; Eudialyt 1237 f.
- 82:** Messungen von Pachnolith 1532; Gelbbleierz von Sachsen, Vauquelinit (Laxmannit) von Beresowsk 1540; Datolith vom Harz 1545; Olivin vom Süduräl 1547; Krystallformen der Hornblende 1559.
- 83:** Messungen von Pachnolithkrystallen 1847 f.
- 84:** Vorkommen von Türkis 1947; Untersuchung von Wollastonit 1965, 1971 f.
- Kokscharow (N. v., jun.), **82:** Beryll vom Ural 1561.
- Koláček, **84:** elektrisches Leistungsvermögen von Flüssigkeiten 260.
- Koláček (F.), **86:** Goldblattelektroskop 239.
- Kolář (O.), **81:** Stephanit 1355.
- Kolb (J.), **77:** Kesselstein 1135.
- Kolbe (C.), **82:** Bromadditionsproducte der Crotonsäuren und der Methacrylsäure: Dibromisobuttersäure, Bromoxybuttersäure, Brommethacrylsäure 834 f.; Bromcrotonsäure, Dioxybuttersäure 836.
- Kolbe (H.), **77:** Jodwasserstoffsäure 214.
- 78:** Cyanoform 340; innerlicher Gebrauch von Salicylsäure 759, 1010.
- 79:** saure und Doppelsalze der Unterschwefelsäure 203 f.
- 80:** Di- und Tricarbinole 944; Holzsubstanz und Salicylsäure 1063 f.
- 81:** Entwicklungsgeschichte der theoretischen Chemie 2; Vertheilung der Atome in der Molekel 10.
- 82:** Entwicklungsgeschichte der theoretischen Chemie 3; Constitution des Isatogensäureäthers 635; Kohlensäure und Kohlenoxyd als Conservierungsmittel von Nahrungsmitteln 1241.
- 83:** Bemerkung zu der Abhandlung von Lachowicz „Zur chemischen Statik“ 10; die realen Typen der organischen Verbindungen 461; Constitution des Isatins und Indigokörper 826, des Acetylisatins und der Acetylisatinsäure 827; Synthese der Salicylsäure 885; Darstellung von Phenetol und Anisol 892 f.; antiseptische Eigenschaften der Kohlensäure 1724.
- 84:** chemische Nomenclatur 12; Untersuchung von Isatin, Stickstoffbenzoylcarbonsäure (Isatosaure) 894; Stickstoffphenylcarbonsäure - Aethyläther, Oxydation von Indigblau, Untersuchung über die Constitution des Isatins, Oxydation des Isatins zu Isatosaure 895; salzsaure Anthranilsäure-

- Aethyläther, Anthranilsäure-Aethyläther, Anthranilsäureamid, Anthranilsäureanilid, Nitroisotansäure 896;  $\alpha$ -Diamidobenzoësäure;  $\alpha$ -Nitrosalicylsäure 897; Darstellung von Anthranilsäure 1200.
- Kolbe (H.) und Meyer (E. v.), **80**: antiseptische Wirkung der Salicylsäure 1136 f.
- Kolbe (W.), **78**: Kohlenwasserstoffe aus Harzöl 368.
- Kolenko (B.), **85**: Untersuchung von Eruptivgesteinen: Liparit, Trachyt, Andesit, Basalt 2308.
- Kolenko (B. von), **84**: Pyroelektricität des Quarzes 234.
- 86**: Pyroelektricität von Krystallen 247.
- Koletzky (O.), **86**: Herstellung von Pergamentpapier 2176.
- Koll (A.) und Sohn (G.), **83**: Noir imperial 1793 f.; Bleu imperial 1794.
- Koller (R.), **83**: Granit von Rastenberg, Oesterreich unter der Enns 1926.
- Kollert (J.), **84**: Elektricität der Flamme 235 f.
- 86**: neues Galvanometer 240.
- Kollrepp (A.), **86**: Derivate der gechlorten p-Nitrophenole 1236 bis 1243: o-Monochlor-p-nitrophenol 1236 f.; o-Monochlor-p-amidophenol und Salze 1237 f.; Dichlor-p-nitrophenol und Salze 1238; Dichlor-p-amidophenol und Salze 1238 f.; Mono- und Dichlorchinon 1239; Monochlorchinonchlorimid 1239 f.; Dichlorchinonchlorimid 1240; Monochloramidophenolsulfosäure und Salze 1240 f.; Monochlordiazophenolsulfosäure und Salze 1241 f.; p-Diazochlorbromphenol und Salze 1242 f.
- Kolotow (H.), **85**: Verhalten von festem Oxymethylen gegen substituirte Amine 1292 f.: Aethylmethylenamin 1292, Phenylmethylenamin (Dimethyldiphenyldiamin), Teträthylmethyldiamin 1293.
- Kolotow (S.), **85**: Verhalten des Oxymethylens zu Aminen (Mono-, Di-, Triäthylamin und Anilin): Aethyl- und Phenylmethylenamine 776 ff.
- 86**: Einwirkung von Oxymethylen auf Amine 688.
- Komarek (C.), **80**: Zinkoxyd aus Zink 1282.
- Kommrath (H.), **77**: chemische Verwandtschaft 22.
- Komnenos (T.), **83**: Malonsäure gegen Paraldehyd und Essigsäureanhydrid: Crotonsäure, Aethylendiessigsäure ( $\beta$ -Methylglutarsäure) und -anhydrid 961; Crotonsäure aus malonsauren Alkalien und Aldehyd, Malonsäure-Aethyläther gegen Acetaldehyd und Essigsäureanhydrid: Aethylidenmalonsäureäther und Aethylidendimalonsäureäther, Hydroxyäthylmalonsäure 962; Propylidenessigsäure und Propylidendiessigsäure ( $\beta$ -Aethylglutarsäure) 962 f.; Malonsäureäther gegen Chloral: Trichloräthylidenmalonsäureäther, Fumarsäure aus Dichloressigsäure und malonsaurem Silber 963.
- Kondakow, **83**: Analyse der hellgelben Concretionen aus feuerfestem Thone von Bachmut 1711 f.
- Kondakow (J.), **85**: Einwirkung von Chlor auf Trimethyläthylen: Methylisopropenylcarbinol 667 f.
- 86**: Verhalten von Trimethyläthylen und Isopropylacetylen gegen Chlor 576.
- Konic (J. S.), **84**: Absorptionsspectra der Körper der aromatischen Reihe 298.
- 85**: Absorptionsspectrum des Benzoldampfes 326 f.
- Konigel-Weisberg (J.), **79**: Chlor gegen Baryt- und Strontianhydrat 237.
- Koninck (L. de), **85**: Nachweis des Chlor neben Brom und Jod 1899.
- Koninck (L. L. de), **78**: constante Chlorentwicklung 212 f.; Kaolinit 1268.
- 79**: schmelzende Alkalien gegen Platin 1042; Davreuxit 1237.
- 80**: Darstellung von Chlorwasserstoff 264 f.; Bromlösung zur Oxydation 1153; Manganspath 1420; Karpholith 1474.
- 81**: Brombromkalium zur Analyse 1154; Nachweis von Kali 1178.
- 86**: Definition von Normallösungen 1896.
- Koninck (L. L. de) und Thiriart, **81**: phosphors. Thonerde 1169.
- Koninck und Ghilain, **78**: Bestimmung des Siliciums im Bessemerstahl 1101.
- Kononowitz (Kononowisch) (N.), **84**: Untersuchung von Isopropylallyldimethylcarbinol (sogenanntem Allyldimethylpropylcarbinol) 944 f.



- 85:** Darstellung von Isopropylalldimethylcarbinol 1212.
- Kononowitz und Kanonnikoff (S.), **84:** Bestimmung des Brechungsvermögens von Isopropylalldimethylcarbinol-Methyläther 945.
- Konowaloff, **84:** Wärmeentwicklung bei der Mischung von Flüssigkeiten 201.
- Konowaloff (D.), **80:** Pseudobutylene 437 f.; Isodibutylene gegen Salpetersäure 439 f.; Isobutylalkohol gegen Schwefelsäure 609.
- 81:** Isodibutylene, Nitrierung 399.
- 82:** Pyrosulfurylchlorid 232.
- 83:** thermische Untersuchung des Pyrosulfurylchlorids 158 f.; Pyrosulfurylchlorid 293 ff.
- 84:** Dampftensionen unzersetzter siedender Lösungen 96; Dampftension von wässrigem Allylalkohol 98; Darstellung von Pyrosulfurylchlorid 346 f.
- Konowalow (D.), **81:** Dampfspannungen und Sieden von Flüssigkeitsgemischen 56 bis 60.
- 85:** Versuche über die Contactwirkungen bei Dissociationserscheinungen 223 ff.; siehe Menschutkin (N.).
- Konowalow (Konowaloff) (M.), **85:** Nononaphten, Nononaphtylene 669; kaukasisches Erdöl, Nononaphten und seine Derivate 2175 f.
- Konther (F.), **85:** Verhalten von Cölestin, Schwerspath oder Gyps beim Eintragen in geschmolzenes Chlornatrium 2077.
- Koosen (J. H.), **84:** neue constante Kette 238.
- Kopal (W. v.), siehe Bornemisza (G. Baron).
- Kopfer (F.), **78:** Elementaranalyse mit Platin im Sauerstoffstrom 1070.
- Kopp (A.), **78:** Verarbeitung des Anthracens und Darstellung des künstlichen Alizarins 1187 f.; technische Herstellung des Nitroalizarins 1190 f.
- 81:** Kreosot 548; siehe Michael (A.).
- Kopp (H.), **77:** Fahlerz 1268.
- 78:** Molekulargewichtsbestimmung 52.
- 79:** Atomgewichtsfeststellungen und Isomorphismus 15.
- 82:** Isomorphismus 1 f.
- 83:** spec. Volume von Flüssigkeiten 66.
- 84:** Krystallisation gemischter Salze 5.
- 86:** Molekular- und Atomvolum (Essigsäure, Ameisensäure-Methyläther, Fettsäureester) 79; Beziehungen zwischen der spezifischen Wärme und der chemischen Zusammensetzung bei starren organischen Verbindungen 187.
- Koppe (A.), **82:** neues Löthrohr 1350.
- Koppe (M.), siehe Gabriel (S.).
- Koppe (P.), siehe Tiemann (F.).
- Koppel (W.), **82:** Lagermetall 1360.
- Koppeschaar (W. F.), **85:** Prüfung des Chininsulfates 1703 f.; Bildung von Doppelsalzen des Chinins mit Cinchonidin 1704; Gehaltsbestimmung des schwefels. Chinins, Trennung des Chinins von Chinchonidin 1965.
- 86:** Untersuchung des käuflichen Chininsulfats 1979.
- Koral (M.), **86:** Geschwindigkeit der Inversion des Rohrzuckers durch Benzoësäure und die Oxybenzoësäuren 1776.
- Koreff (R.), **86:** Derivate des  $\beta$ -Naphthochinons ( $\beta$ -Naphthochinondioxim und Salze) 1676 f.; siehe Goldschmidt (H.).
- Korn, **79:** Wasserbad, Bürettenklammer, Trockenschrank 1086.
- Korn (O.), **83:** optische Eigenschaften von Varietäten des Cyanits 1872; kristallographische Untersuchung und Analyse eines Vesuvians von Kedabek, Kaukasien 1874.
- 84:** Amidodioxynaphtalin aus Mononitro- $\beta$ -naphthochinon, Nitro- $\beta$ -naphthochinonanilid 1067;  $\beta$ -Dinaphtyldichinon und Derivate 1069 f.
- Korn (Th.), **85:** Zusammensetzung der „Kesselsteinlösung“ 2162.
- Kornatzki (O.), **83:** p-Monobromtoluoldisulfosäure und Salze derselben 1256 f.; p-Monobromtoluoldisulfosäure gegen Salpetersäure: p-Monobromdisulfobenzoësäure, Dibrommononitrotoluolmonosulfosäure, Mononitrotoluoldisulfosäure, Salze und Derivate 1257 f.; Toluoldisulfosäure aus p-Monobromtoluoldisulfosäure und Salze 1259; Mononitrotoluoldisulfosäure aus Toluoldisulfosäure 1259 f.; o-Mononitrotoluol-p-monosulfosäure, Azotoluoldisulfosäuren: o-Azotoluoldi-p-sulfosäure, p-Azotoluoldi-o-sulfosäure 1260; p-Azotoluoldi-m-sulfosäure 1260 f.; o-Azotoluoldi-m-sulfosäure

- 1261, Dibrom-p-azotoluoldi-o-sulfosäure 1262 f.; Tetrabrom-o-azotoluoldi-p-sulfosäure 1263.
- Korschelt (A. O.), **78**: japanisches Reisbier 1160.
- Korschelt (O.), **77**: Phosphorsäurebestimmung 1043.
- 82**: Analyse von japanischen Cementerden 1426.
- 83**: Gewinnung eines weissen Glases 1706 f.
- 84**: Verseifung der Fette 1823.
- Korteweg (D. J.), **77**: Gasmoleküle 62.
- 80**: Veränderung des Volums dielektrischer Körper 172.
- Korteweg (D. J.) und Julius (V. A.), **81**: elektrische Ausdehnung bei Glas und Kautschuk 88; Beseitigung von Röstgasen der Fabriken 1239.
- Koschnitzky (M.), siehe Kelbe (W.).
- Kosmann, **82**: Verwerthung schwefeliger Säure mittelst Schwefelcalcium 1395.
- 85**: Untersuchung mehrerer Thone 2117 f.
- 86**: Schwefelkiesabbrände, Rohzink 2019; Herstellung von Kohlen- und Erzsteinen, von Eisen und Stahl aus Erzen mittelst Melasse 2021.
- Kosmann (B.), **84**: Gewinnung von Zink durch Elektrolyse 1899; Vorkommen von Markasit 1908; Analyse von Zinkspath, Untersuchung von Zinkmanganspath 1932.
- Kosmann (C.), **77**: Pflanzenfermente 1028.
- Kossel, **86**: Analyse stickstoffhaltiger Substanzen des Thierkörpers 2003.
- Kossel (A.), **78**: chemische Wirkungen der Diffusion 61.
- 79**: chemische Wirkung der Diffusion 83; Pepton 876 f.; Nuclein aus Hefe 1010.
- 80**: Pepton 1044; Nuclein der Hefe 1063; Phenoläther im Körper 1109.
- 81**: Hypoxanthin, Darstellung aus Nuclein, Verbreitung im Thier- und Pflanzenreich 1056; Nucleine 1057.
- 82**: Nuclein-Bestimmungen für verschiedene Organe 1192, bei verschiedenen Ernährungszuständen 1192 f.; Hefenuclein, Guanin aus Nuclein, Harnstoff aus Nuclein 1193; Bestimmung des Xanthins und Hypoxanthins aus Nuclein 1193 f.; Darstellung des Hypoxanthins aus Hefe 1194 f.; Zer-  
setzung des Xanthins und Hypoxanthins 1195.
- 83**: phenolsulfosaures (kresolsulfosaures) Baryum-chinäthons. Baryum aus Harn nach Einfuhr von Phenetol 1289 f.
- 84**: Vorkommen von Guanin, Xanthin, Hypoxanthin im embryonalen Organ und in Geschwülsten 514; peptonartiger Bestandtheil des Zellkernes der Gänseblutkörperchen, Histon 1422.
- 85**: Adenin aus dem Pankreas, der Milz und der Pilshefe 1829 f.; Adenin in Theeblättern 1830.
- 86**: Chemie des Zellkernes: Nuclein, Adenin aus Pankreas 1836 f.; Cyanverbindungen im Thierkörper 1837.
- Kossmann (C.), **77**: Glycose aus Glycerin, Cellulose und Gummi 524.
- Kossmann (R.), **86**: Apparat zur Erwärmung von kreisenden Flüssigkeitsströmen 2009.
- Kostanecki (St. v.), **85**: Einführung der Carboxylgruppe in die Phenole 1223 f.; Kresoreincarbonsäure, Pyrogallolcarbonensäure 1224.
- 86**: Synthese von Dimethylresorcin (p-Xylorcin,  $\beta$ -Orcin) aus m-Dinitrop-xylol 1279 f.; m- und p-Mononitrop-xylidin, m-Mononitro- und -amido-p-xylol 1280; Derivate des p- und m-Xylorcins 1281; Uebergang von Euxanthon in Euxanthinsäure im thierischen Organismus 1855; siehe Bistrzycki (A.); siehe Liebermann (C.).
- Kostanecki (St. v.) und Niementowski (St.), **85**: Synthese der Nitrococcussäure (Trinitrokresotinsäure) 1481 f.; Darstellung von Mononitroxytoluylsäure aus p-Homooxysalicylsäure, von Dimethylanthrarufin 1482 f.; Darstellung der drei Dioxymethylanthrachinone, Acetyldimethylanthrarufin, Dimethylanthracen aus Dimethylanthrarufin, Dimethylanthraflavinsäure 1652; Dimethylbenzodioxanthrachinon 1652 f.
- Kostanezki, **83**: Pyroxilin 1779.
- Kostitscheff, **80**: Phosphate des Bodens 1923.
- Kotiers (W.), **86**: Analyse des Wassers einer neuen Jodquelle 2322.
- Kottmann (G.), **82**: Chlorstrontium zur Scheidung und Reinigung der Säfte der Zuckerfabriken 1442 f.;

- Zuckergewinnung mittelst des Strontianverfahrens 1443.
- Kowalewsky (N.), **85**: Uranylinitrat als Reagens auf Albuminstoffe 1989 f.
- Kowalewsky (S.), **77**: Elektrolyse von Kupfervitriol 166.
- Kozai (Y.), siehe Kellner (O.).
- Kraaz (R.), siehe Tiemann (F.).
- Krämer, **82**: Gewinnung von Benzol, Naphtalin und Anthracen aus Petroleumrückständen 1465.
- Krämer (Ch.), **84**: Untersuchung von Azoresorcinfarbstoffen 1884 bis 1887; siehe Brunner (H.).
- Krämer (G.), **77**: Eisen von Mangan im Spiegeleisen 1064; Essigsäure 1157.
- 78**: Industrie der Alkohole und organischen Säuren 1134.
- 80**: Werthbestimmung des Methylalkohols 1207.
- Krämer (G.) und Gericke (H.), **78**: Denaturirung von Alkohol 1156.
- Krämer (G.) und Grodzki (M.), **78**: Gewinnung von flüchtigen Fettsäuren aus den Mutterlaugen des essigsauren Natriums 1135; Untersuchung der Mutterlaugen des holzessigs. Natrums 674; Holzöle 675.
- 80**: Methylierung des Anilins 1381.
- Krätzer (H.), **86**: Bleichen von Knochenfett 2165.
- Krafft (F.), **77**: Perchlorirung von Fettkörpern, Perchlormesol 399; Trichlorphenomalsäure = Trichlorhydrochinon 567; Ricinus 955.
- 78**: Undecolensäure 736 f.; Undecylsäure 737.
- 79**: Laurinsäure 672; Tridecylsäure aus Myristinsäure 672 f.; Pentadecylsäure, Margarinsäure 673.
- 80**: Aldehyde der Fettreihe 701 f.
- 82**: volumchemisches Verhalten und Darstellung von höheren Kohlenwasserstoffen 43 ff.; Margarylmethylketon, Palmitylmethylketon, Pentadecylmethylketon, Tridecylmethylketon, Undecylmethylketon aus den Baryumsalzen und essigs. Baryum; Pentadecylsäure, Tetradeceylsäure (Myristinsäure) Caprinsäure, Nonylsäure (aus Caprylmethyl- und Rautenölketon) 760.
- 83**: höhere Olefine (Dodecylen 529, Hexa-, Octadecylen 530) und Derivate 529 f.; Darstellung höherer Alkohole der Fettreihe aus den Aldehyden: Decylalkohol 865; Dodecylalkohol, Tetradeceylalkohol, Hexadecylalkohol 866; Octadecylalkohol 866 f.
- 84**: spezifisches Gewicht normaler Kohlenwasserstoffe der Methanreihe beim Schmelzpunkt (Erstarrungspunkt) 180 f.; Darstellung höherer Olefine: Dodecyliden, Tetradeceyliden, Hexadecyliden, Octodecyliden 525 f.; Abscheidung von Hexadecyl- und Octadecylalkohol aus Cetylalkohol 949; Bemerkung über Cetylessigsäure 950.
- 86**: Höhere Normalparaffine: Diheptyl, Dioctyl, Dinonyl, Didecyl, (Eicosan), Dicetyl (Ditriacontan) 569 ff.; hochmolekulare aromatische Kohlenwasserstoffe und Ketone: Hexadecyl- oder Cetylbenzol und Derivate 608; Octodecylbenzol und Derivate 608 f.; Pentadecylphenylketon, Hexylphenylketon und Derivate 609; Hexyldiphenylmethan (Diphenylheptan) und Derivate, Heptylbenzol (Phenylheptan) 610; Polymerisation der Undecylen-säure 1411.
- Krafft (F.) und Brunner (Th.), **84**: Untersuchung des kautschukartigen Körpers aus Ricinusöl 1464 f.
- Krafft (F.) und Bürger (J.), **84**: Untersuchung der höheren Homologen des Acetylchlorids, Laurylchlorid, Myristylchlorid 1191.
- Krafft (F.) und Falkner (A.), **80**: Stearinaldehyd 702.
- Krafft (F.) und Fèvre (A.), **80**: Palmitinaldehyd 702.
- Krafft (F.) und Lützeltschwab, **83**: „höhere“ Normalparaffine 500.
- Krafft (F.) und Staufer (B.), **82**: Amide und Nitrile höherer Fettsäuren 379.
- Krafft (O.), **77**: Teracrylsäure aus Terpenylsäure 723; Diaterpenylsäure 727; siehe Fittig (R.).
- Krajewitsch (K.), **84**: Leitungsfähigkeit des Vacuums 255.
- 85**: Gesetze für die Spannkraft der Gase (Luft) 57.
- Krakau, **78**: Untersuchung der Styrole verschiedener Störaxarten 385.
- Krakau (A.), **80**: Additionsproducte des Chinolins 948.
- 81**: Benzylchinon 910.
- 85**: Einwirkung von Aetzalkalien auf Cinchonin, Cinchonidin, Chinin und Chinidin 1705.

- 86:** Zersetzung von Cinchonin, Cinchonidin, Chinin und Chinidin durch wässrige Alkalien: Lepidin ( $\gamma$ -Methylchinolin) 1738 f.
- Kramberger (M.), **80:** Pilarit 1441 f.
- Kramer (E.), **80:** Diorit (Diorittuff) 1497.
- Kramer (Th.), siehe Claus (Ad.).
- Kramer (J. G.), **77:** Chlorbenzol gegen Hitze 401; Monochlordiphenyl 414; Phenol gegen Glühhitze 545.
- Kramps (J. M. A.), siehe Aronstein (L.).
- Krandauer, **77:** Bier 1197.
- Kranzfeld (J.), **86:** Aloin aus Socotra Aloë (Socaloin) 1762; siehe Bamberger (E.).
- Kratschmer, **82:** Bestimmung des Schmelzpunktes der Fette 1338.
- 85:** Verwendbarkeit des broms. Natriums in der Mafsanalyse 1866 f.; Apparat zur Kohlensäurebestimmung 2006.
- Kratschmer und Sztankovánszky, **82:** Titrirung der Phosphorsäure 1271.
- Kratschmer (F.), **81:** Bestimmung des Glycogens 1213; siehe Seegen (J.).
- Kratter (J.), **80:** Adipocire 1128.
- Krauch, **77:** Trachyt 1365.
- Krauch (C.), **78:** ungeformte Fermente in Pflanzentheilen 1035 f.; Surrogate im gemahlten Kaffee 1163.
- 80:** Holzfaser, Bestimmung 1325 f.; siehe König (J.).
- 81:** Aufschließung von Haaren, Wollstaub u. s. w. 1231.
- 82:** Untersuchung der Ammenmilch 1213; Ferment aus Wicken-samen 1253.
- 83:** Bestimmung des Fuselöles im Branntwein 1602; Wirkung von zink-sulfat- und kochsalzhaltigem Wasser auf Boden und Pflanzen 1714.
- Krauch (C.) und v. d. Becke (W.), **82:** Holzfaserbestimmung 1339.
- Kraus (C.), **77:** Trockenrückstand von Weinen 1092.
- 78:** Chlorophyll 945.
- Kraus (F.), **80:** Bestimmung von Gold und Silber in Legirungen 1270 f.
- 81:** Magnesia im Harn 1229.
- Krause (A.), **79:** p-Phenylendiamin-derivate 430 f.
- Krause (G.), **84:** Abzugsraum für Laboratorien 1686.
- Krause (H.) und Salomon (G.), **79:** Xanthinkörper aus Eiweiß 873.
- Kraushaar (C.), **77:** Sodarückstände 1148; Calciumsulfhydrat als Enthaa-rungsmittel 1149.
- 78:** Regeneration des Schwefels aus Sodarückständen 1130 f.
- Kraufs (G.), **85:** Säuregehalt von Pflanzensäften der Blätter, Wurzeln und Stengel, Säuregehalt bei den Crassulaceen, Bedeutung der Säure im Pflanzenorganismus 1790 f.
- Kraut (K.), **77:** Fettkörper 1220.
- 78:** Cuminalkohol in Cymol 534.
- 79:** Gebrauch chemischer Formeln 20 f.; Quecksilberjodid 299; Filtrir-papier und Filtriren 1023.
- 80:** Belladonin 991; Magnesia alba 1300.
- 81:** Jodwismuthverbindungen von Aminen 401 bis 405; Geschichte des Tropins 956; Entzündung von Stroh, Sägespänen u. s. w. durch Salpeter-säure 1273.
- 82:** Zusammensetzung des Chlor-kalkes, Einwirkung von Chlor auf Lithionhydrat (Chlorlithion) 265 f.; Zusammen- und Zersetzung der Magnesia alba 274; Darstellung von Aethylendiamin 476 f.; Geschichte des Tropins 1093.
- 83:** Constitution des Chlorkalkes 282 f.; Veränderungen des Flufs-wassers durch die Efluvien der Stafs-furter Industrie 1663.
- 85:** Einwirkung der Salpetersäure auf Quecksilberjodid 564 f.
- 86:** Darstellung von Chromammo-niakverbindungen 430; Untersuchung von Ammonium carbonicum albissimum (modo anglico) 2059; Feuers-gefahr durch Salpetersäure 2084.
- Kraut (K.), Schlösser (E.) und Hamkop (G.), **86:** Verhalten von bleihaltigem Zink beim Umschmelzen 2019 f.
- Kraut (K.) und Schwartz (Y.), **84:** Untersuchung von Hipparaffin 1207.
- Krauthausen, **77:** Phosphorsäure 233.
- Krebs (G.), **84:** Beweis des Avoga-dro'schen Satzes 55; Vorlesungs-ver-suche über die Beziehung zwischen dem durch Reflexion und dem durch Brechung erzeugten polarisirten Licht 309 f.; Ozonapparate 1690.
- Krech (G.), **83:** photometrische Unter-suchungen 232.
- Krechel (G.), **83:** Bestimmung freier Fettsäuren in Oelen 1635 f.

- Kreckeler (K.) und Tollens (B.), **85**: Darstellung der  $\gamma$ -Methylhydroxyglutarsäure und deren Lactonsäure  $C_6H_8O_4$  1409 f.
- Kreckeler, **86**: Verhalten der Ketone der Thiophenreihe gegen Schwefelsäure 1180.
- Kreckeler (K.), **86**: Darstellung von Isobutyrothienon, Verhalten desselben gegen Hydroxylamin: Isopropylthienylacetoxim, beim Oxydiren:  $\beta$ -Thiophensäure, gegen Schwefelsäure: Thiophenmono- und -disulfosäure 1188; Propiothienon, Aethylthienylacetoxim, Oxydation des Propiothienons:  $\beta$ -Thiophensäure, Verhalten gegen Schwefelsäure:  $\beta$ -Thiophenmonosulfosäure, Verhalten des Acetothienons gegen concentrirte Schwefelsäure 1189; Synthese von  $\beta$ -Methylpenthiophen aus  $\alpha$ -Methylglutarsäure 1195 f.; Verhalten und Derivate desselben, Methylacetopenthiophen 1197; Verhalten von Benzylmethylketon, Acetophenon und Isobutyrothienon gegen concentrirte Schwefelsäure und Pyroschwefelsäure 1644 f.
- Kreis, siehe Meyer (V.).
- Kreis (E.), **81**: Kohlenoxydvergiftung 1063.
- Kreis (H.), **84**: Methoden der fractionirten Destillation 195; Nitrirung von Thiophenderivaten 920 f.; Monojodmononitrothiophen, Dibromdinitrothiophen 921; siehe Meyer (V.); siehe Meyer (R.).
- Krell (G.), **80**: Methylalkohol 1353.
- Kremel (A.), **84**: Verhalten des Mandelöles bei der Elaidinprobe 1666.
- 86**: Säure- und Esterzahlen von Balsamen, Harzen und Gummiharzen 1994.
- Kremers (P.), **79**: physikalisch-chemische Untersuchungen 10.
- Krenner (J.), **78**: Zinnober 1206; Krystallform von Weisbleierz 1222.
- 80**: Tellursilber 1402 f.
- 85**: Untersuchung des Allaktits 2282.
- Krenner (J. A.), **77**: Bunsenin (Tellurmineral) 1264; Pachnolith, Thomseolith, Pyrokonit 1287; Kryolith 1288; Bleivitriol 1295.
- 83**: Natronerdeaugit (Nephrit) aus Birma 1890.
- 84**: Krystallform von Meneghinit 1909, von Semseyit 1910; Analyse von Meneghinit 1911; Krystallform von Manganocalcit 1931; Untersuchung von Szaboit 1964, von Avasit 1999.
- 85**: Krystallform von Auripigment, Antimonglanz und Realgar 2266 f.
- 86**: Krystallform der Mineralien der Kryolithgruppe 2245; Untersuchung von Nephriten aus Birma, Krystallform der wichtigsten Augit- und Hornblendearten 2277.
- Kresner (G.), **78**:  $\alpha$ -Methylacetsuccinsäureäther 721.
- Krestownikoff, **77**: Acrolein, Ueberführung in  $\beta$ -Chlorpropionsäure 610.
- 79**:  $\beta$ -Chlorpropionsäurealdehyd 552 f.; Isotrichlorhydrin 553.
- 80**:  $\beta$ -Chlorpropionsäurealdehyd, Oxydation 696 f.; siehe Markownikoff.
- Krestownikoff (G.), **77**: Isobernsteinsäureäthyläther 705; Isobernsteinsäure, Chlorpropionsäureäther gegen Cyankalium 706.
- Kretschmar (M.), **85**: Bestimmung von Eisen und Thonerde 1934.
- Kretschy (M.), **78**: Trisulfo-m-oxbenzoesäure 848 f.
- 79**: Kynurensäure gegen concentrirte Salzsäure 671 f.
- 81**: Kynurensäure, Kynurin 1056.
- 83**: Kynurin und Kynurensäure gegen übermangansaures Kalium: Kynursäure 1481 f.
- 84**: Oxydation der Kynurensäure zu Kynursäure, Identität mit Carbostrylsäure 1266, mit Oxalyl-o-amidobenzoësäure 1267; Untersuchung über die Kynurensäure und Kynursäure 1245 f.; siehe Barth (L.).
- Kretschmar (M.), **77**: natürliche und künstliche Butter 1182.
- Kreusler, **86**: Assimilation und Athmung der Pflanzen 2099; siehe Daffert (F. W.).
- Kreusler (U.), **79**: Will-Varrentrapp'sche Methode bei Proteinsubstanzen 1059.
- 84**: Temperaturregulator für Leuchtgas 161; quantitative Bestimmung des Stickstoffs 1607 ff.; Verfahren zum Extrahiren und Auswaschen von Filtrirpapier 1687; Kühlvorrichtung, Apparat zur selbstthätigen Extraction mit Aether 1688; Apparate zur Reduction von Gasmenen auf Normaldruck 1689.
- 85**: Luftanalysen 408; Digestionsofen zur Stickstoffbestimmung, Ver-

- wendung von Kalkwasser als Sperrflüssigkeit bei Gasometern 2007.
- 86:** Aufarbeitung von Uranrückständen 1941.
- Kreusler (U.) und Henzold (O.), **84:** Untersuchung über die durch die Löslichkeit des Glases hervorgerufenen Fehler bei Analysen 1554.
- Kreusler (U.) und Landolt (H.), **84:** Untersuchung der Stickstoffbestimmungsmethode von Grouven 1765.
- Kreutz (F.), **77:** Augitandesit 1366.
- 84:** Krystallform von oxalsaurem Glyoxalisäure 609, von Oxalpropylisäure 610; mikroskopische Untersuchung von Vesulaven 2026.
- 86:** Krystallform des oxalsauren Glyoxalisäure 711.
- Kreuz (F.), **84:** Ozokerit und Naphta 1410.
- Kreuzhage (C.), siehe Wolff (E.).
- Kreuzhage (C.) und Wolff (E.), **84:** Bedeutung der Kieselsäure für die Entwicklung der Haferpflanze 1762.
- Kreysler (E.), **85:** Darstellung von Phenoläthern der Phosphorsäure 1228 f.; Phosphorsäure-Triphenisobutyläther (Triphenisobutylphosphat), Phosphorsäure-Triphenisoamyläther (Triphenisoamylphosphat), Phosphorsäure-Tri-o-xylenylphosphat, Phosphorsäure-Tri-m-xylenylphosphat, Phosphorsäure-Tricarvacrylphosphat (Tricarvacrylphosphat) 1228; Phosphorsäure-Trithymyläther (Trithymylphosphat) 1229; Monochlor-dithymylphosphat, Phosphorsäure-Natriumdithymyläther (Natriumdithymylphosphat); Darstellung von Isobutylbenzonitril, p-Isobutylbenzoesäure, Isoamylbenzonitril, Isoamylbenzoesäure, o-Xylnitril, o-Xylsäure (p-Xylsäure) 1229; m-Xylnitril, m-Xylsäure, Carvacronitril, p-Propyl-o-tolylsäure, Essigsäure-Phenyläther, Benzoesäure-Phenyläther, Benzoesäure-Phenisobutyläther und -Phenisäure, Thiophosphorsäure-Triphenyläther (Triphenylthiophosphat) 1230.
- Krieg (M.), **85:** Zeitlicher Verlauf der galvanischen Polarisation 281 f.
- Krieger (G.), **77:** Reinigung der Knochenkohle von Kalk 1142.
- Kriloff, siehe Flawitzky (F.).
- Krinos (G.), **77:** Xylidinsäure in Trimellithsäure 787.
- Krippendorff (Fr.), **85:** Darstellung von Oxykomazin 1077 bis 1082; Salze des Oxykomazins 1078 f.; Bildung von Amidooxypyridin 1079; Salze des Amidooxypyridins 1080; Constitution des Oxykomazins, Komazinsäure und Salze 1081; Einwirkung von Ammoniak auf Amidopyromekonsäure 1081 f.
- Krocker, **81:** Bestimmung von Lupinenalkaloiden 1207.
- Krocker und Grahl (H.), **81:** Düngung mit Phosphorsäure (Hafer, Buben, Kartoffeln) 1290.
- Krönke, **77:** Entsilberung von Erzen 1122.
- Kronberg (H.), **81:** Anhydracetdi-amidotoluol, Abkömmlinge 444 f.
- Kronecker (F.), **82:** Hippursäurebildung beim Menschen 1200 f.
- Kronecker (H.), **85:** toxikologische Prüfung von  $\alpha$ -,  $\beta$ - und  $\gamma$ -Conicein, von Coniin, Conoxin und Octylamin 1689.
- Kronfeld (E.), **84:** Constitution von Oxynaphtochinonimid, Untersuchung von Amidonaphtochinonimid, p-Toluidonaphtochinonimid 1068.
- Kropf (C.), **77:** Eismaschine 1105.
- Krosz (G.), **77:** Wirkung des Bromkaliums 1009.
- Krosz (J.), **79:** Brunnenwasser zu Husum 1264.
- Krouchkoll, **83:** Immersions- und Emersionsströme 209.
- 85:** elektrische Polarisation von Metallröhren 247.
- Krouchkoll (M.), **84:** Amalgamation von Platin, Aluminium und Eisen 443.
- Kroupa (G.), **81:** Reagens auf Ammoniak 1158.
- 83:** volumetrische Bestimmung von Quecksilber 1580.
- 85:** Bürette mit Kegelschlüssel 2004.
- 86:** Quecksilberprobe 1946.
- Krüger (R.), **82:** Azofarbstoffe aus Diazoazobenzolsulfosäuren und Phenolen 1487 ff.
- 84:** Azofarbstoff aus einer neuen  $\beta$ -Naphthaldialsulfosäure 1878 f.
- Krüger, siehe Colami.
- Krüger (A.), **85:** Darstellung zweier isomerer Monochlor-o-xylene, Mono-

- chlor-o-xylolsulfosäuren 738 f.; isomere Monochlor-o-toluylsäuren 739; isomere Monochlorphtalsäuren 740.
- Krüger (P.), **85**: Derivate des Benzenylamidoxims 1125 bis 1127; Salze 1125 f., Aether (Methyl-, Aethyl- und Benzyläther), Benzenylalkyloximidchloride (Benzenylalkyloximidchloride), Benzenylmethoximchlorid 1126; Benzenyläthoximchlorid, Benzenylbenzylloximchlorid, Benzenylphenyluramidoxim, Benzenylphenylthiouramidoxim 1127.
- 86**: Benzenylamidoxim 1097; Benzenyläthoximchlorid gegen Anilin 1101; siehe Tiemann (F.).
- Krüger (R.), **86**: Bestimmung der verticalen Intensität eines magnetischen Feldes 282 f.; siehe Drechsel (E.).
- Krüfs, **82**: Neuerungen am Spectralapparat 1349 f.
- Krüfs (G.), **82**: Absorptionsspectra der Lösungen gemischter Substanzen 68 f.
- 83**: Schwefelverbindungen des Molybdäns 375 bis 378.
- 84**: Einfluss der Temperatur auf spectralanalytische Beobachtungen 293; Schwefelverbindungen des Molybdäns: Sulfomolybdänsäuren 414 f.; höhere Sauerstoffverbindungen des Kupfers (Kupferperoxyd) 429 f.; Darstellung von Nitrilen, von Benzonitril und Zimmtsäurenitril, Schmelzpunkt von Thioceinnamid 486.
- 85**: innere Molekularbewegung 40; Zusammenhang zwischen den Absorptionsspectren und der Molekularstruktur organischer Verbindungen 327 f.; quantitative Spectralanalyse 1884; spectralanalytisches Verfahren zur Titerstellung der Lösungen von Permanganat 1885.
- 86**: Oxyde des Goldes 482 ff.; Universalapparat für qualitative und quantitative Spectralanalyse 2007.
- Krüfs (G.) und Oeconomidis (S.), **83**: Absorptionsspectra organischer Verbindungen 252 f.
- Krüfs (G.) und Solereder (H.), **86**: Reducirbarkeit anorganischer Sulfosalze (Sulfomolybdate und Molybdänoxysulfide) durch Wasserstoff 435 f.
- Krüfs (H.), **84**: Apparate zur Schmelzpunktbestimmung von Fetten 1689.
- 85**: Spectralapparate 317.
- Krug (O.), **78**: Destillation von Theer mit Kalk 1171.
- Kruis (C.), **85**: Verhalten einiger Zuckerarten gegen Fehling'sche Lösung, Dextrosebestimmung 1977.
- Krukenberg (C. Fr. W.), **80**: Hämo-cyanin 1099 f.
- 84**: Untersuchung über die Hyaline 1424; Darstellung von Chondroitinsäure 1424 f.; Darstellung von Cornein 1425.
- 85**: Conchiolin aus den Eierschalenballen einiger Mollusken, Vorkommen des Chitins bei den Cephalopoden 1830.
- 86**: Skeletine; Hyalogene (Neossin) 1796; siehe Ewald (A.).
- Krukenberg (Fr. W.), **86**: Löslichkeit des Chitins 1796 f.
- Krupp (Fr.), **80**: elektrische Lampe 1245.
- Kruse (J.), **77**:  $\alpha$ -Amidonitrobenzoesäure 749; siehe Plate (D. O.).
- Krusemann (H. D.), **77**: Reduction der Lävulose 901.
- Krusemark (P.), **81**: Citra- und Mesadibrombrenzweinsäure 729 f.
- Krusper (St. v.), **80**: Wage 1242.
- Krutwig (J.), **81**: Chlor gegen Silber-salze anorganischer Säuren 153.
- 82**: Chlor gegen Silberacetat: Monochloracetylchlorid 816; Nachweis des Silbers in der Bleiglätte, Silberplumbit 1302.
- 84**: Methode zur Trennung von Jod und Chlor 1564 f.
- Krutwig (J.) und Cocheteux (A.), **83**: Einfluss von Salzsäure bei der Titration eisenoxydulhaltiger Lösungen und dessen Beseitigung 1564.
- Kubacska (H.), **83**: Analyse eines Arseneisensinters von Schriesheim an der Bergstrasse 1869.
- Kubel, **84**: Schwefelwasserstoffapparat 1690.
- Kubel (W.), **82**: Löslichkeit der Magnesia in Magnesiacetat, „Sinodor“ 816.
- 86**: neue Methode zur Darstellung von Bleiweiß 2064 f.
- Kubierschky (C.), **85**: Verbindungen der Thiophosphorsäuren 437 ff.
- Kubli (M.), **85**: Chrysophansäure und Chrysophan in der Rhabarberwurzel 1812; Untersuchung einer Quelle bei Kreslawka 2318.
- Kuchler und Buff, **83**: gelbe, rothe und braune Azofarbstoffe 1811.



- Kuckein (F.), **82**: Stoffverbrauch beim hungernden Huhn 1185.
- Kuckert (O.), **85**: Einwirkung von Methyl- und Diäthylamin auf Acetessigäther 1351 f.; Verbindungen  $C_7H_{13}NO_2$ ,  $C_{11}H_{21}NO$ , und  $C_{10}H_{19}NO$ , 1352.
- Küch (R.), **84**: mikroskopische Untersuchung der Gesteine des westafrikanischen Schiefergebirges 2008.
- 86**: Vorkommen und Untersuchung von Hypersthen 2277 f.; Analysen von Quarzpyroxenandesit und Dacitperlit 2311.
- Kügelgen (A. v.), **84**: Untersuchung von Sanguinarin und Chelidonin 1839 f.
- Kügler (K.), **83**: Maticocampher 1000.
- 84**: Untersuchung des Korkes von *Quercus suber* (Phellonsäure) 1461 f.
- Kühmaier (F.) und Wannieck (J.), **85**: galvanisches Element 232 f.
- Kühn, **86**: Icterogen (Ursache der Lupinose) 1896.
- Kühn (B.), **84**: Darstellung substituierter Phenylharnstoffe aus Phenylcyaniden mit Säureamiden, Amidosäuren und Hydrazinen: Phenylbenzoylharnstoff, Phenylpropionylharnstoff, Phenyl- und Diphenylacetylharnstoff, Phenyluramidobenzoëssäure, Phenylmethylhydantoïn, Diphenylsemicarbazid 508.
- 85**: Einwirkung von Phenylisocyanat (Carbanil) auf Amidoverbindungen: Bildung substituierter Harnstoffe 845 f.
- Kühn (G.), Gerver (F.), Schmöger (M.), Thomas (A.), Kern (O.), Struve (R.) und Neubert (O.), **83**: Verdaulichkeit der Weizenkleie und des Wiesenheus 1718.
- Kühn (J.), **81**: Ophite (Diabase) 1426.
- Kühne, siehe Doremus (C. A.).
- Kühne (K. H.), **85**: Darstellung von Phosphorbleibronze 2047.
- Kühne (W.), **83**: Hemialbumose im Harn bei Osteomalacie 1384.
- Kühne (W.) und Chittenden (R. H.), **83**: die nächsten Spaltungsproducte der Eiweißkörper: Antipepton, Antialbumin, Hemialbumin, Hemialbumose, Hemipepton, Antialbumose, Antialbumid 1375 f.
- 84**: Untersuchung über Hemialbumose 1421.
- 86**: Globulosen 1792; Untersuchungen über Peptone 1793.
- Kühnemann, **77**: Hopfenöl 959.
- Kühnemann (G.), **78**: Bestandtheil des Hopfens 1160.
- 79**: Apparat zum Filtriren u. s. w. 1086.
- Kühnscherf (A.), **82**: Neuerungen in der Bierbrauerei 1449.
- Külz (E.), **77**: Diabetes 981; Blutzucker 994; Inosit im Harn Gesunde 1002.
- 81**: Glycosurie 1032; Leberzucker 1038; Glycogengehalt der Leber 1039; Glycogen des Hühnchens, der Muskeln, aus Eiweiß, Drehung der Glycogens 1040; Urochloresäure 1059; Urobutylchloralsäure 1060; Bestimmung des Glycogens 1213.
- 82**: Bildung der Urochloresäure und Urobutylchloralsäure aus Chloralhydrat und Butylchloralhydrat in Organismus, Drehungsvermögen der Cystins 1190; Abscheidung von Glycogen aus wässrigen Lösungen 1127.
- 83**: synthetische Vorgänge in Organismus: Bildung von Phenylglycuronsäure 1439 f.; gepaarte linksdrehende Glycuronsäuren im Harn nach Einfuhr von Hydrochinon, Resorcin, Thymol und Terpinolol linksdrehende Harn 1440.
- 84**: Untersuchung über die Formel der Cystins 1478; Vorkommen von Pseudooxybuttersäure in diabetischen Harn 1503 f.; Wirkung und Schicksal des Trichloräthyl- und Trichlorbutylalkohols im Thierorganismus 1514 f.
- 85**: Erkennung von  $\beta$ -Oxybuttersäure im diabetischen Harn 1993 f. siehe Boehn (R.).
- Külz (E.) und Bornträger (A.), **81**: Glycogen, Formel, Verhalten gegen Mineralsäuren 1040; Bestimmung des Glycogens 1213 f.
- Külz (R.), **83**: Molekulargewicht der Hämoglobins und des Kohlenoxydhämoglobins aus Schweineblut 1453.
- Laserpitin, Acetylaserpitin, Nitrolaserpitin 1361; Laserol 1362.
- 84**: Darstellung der Urochloresäure und Urobutylchloralsäure 1495.
- 85**: Untersuchung der activen  $\beta$ -Oxybuttersäure aus Harn 1349; siehe Hüfner (G.).
- Kümmel (W.), **77**: Plug'sche Platinfarbe 1232.
- Künzen, **77**: Nickel- und Kobaltverbindungen 1117.



Kues (W.) und Paal (C.), **85**: Darstellung von  $\beta$ -Benzoylisobornsteinsäure, einer Phenylhydrazin- und Isosnitrosoverbindung derselben und der Phenylhydrazinbenzoylpropionsäure 1546.

**86**: Synthese von Oxythiotolen (Thiotenol) 1189 f.; von Thiotolen (Methylthiophen) 1190; Tribromthiotolen (Tribrommethylthiophen) 1190 f.;  $\alpha$ -Phenylthiophen und Derivate 1230 ff.; Diphenacylmalonsäure 1530 f.; Diphenacylessigsäure 1531.

Küsel (A.), **86**: Constitution der Aniluvitoninsäure ( $\alpha$ -Methylchinolin- $\gamma$ -carbonsäure) 1501.

Küstel, **82**: Gewinnung von Gold aus Gold- und Silbertellur 1385.

Küttner (P.), siehe Claus (Ad.).

Kugler (F. H.), **84**: Darstellung von ( $\alpha$ )-Aethyl- $\beta$ -methylchinolin 787 f.

Kuhara (M.), **78**: Wurzel von Lithospermum Erythrorhizon 977.

**79**: Lithospermum Erythrorhizon 934.

**80**: volumetrische Wismuthbestimmung 1191 f.

**81**: isomeres Phtalimid 800; Phtalaminsäure 801.

**82**: Phtalimid 923; siehe Remsen (J.).

Kuhlmann (F.), **80**: Explosion einer Platinblase 1249.

Kuhlo (E.), **80**: elektrische Lampen 1245.

Kuhn (N. A.), **78**: Zimmtblätteröl 981.

Kuhn (O.), **84**: Methode zur Untersuchung des Kupfers 1604 f.

Kuijper (H. F.), **83**: Alkohol im Gehirn und der Leber Ertrunkener 1639.

Kukla (A.), **81**: Apparat zur Bestimmung der Kohlensäure in Saturatedgasen 1234.

Kuklin (E.), **83**: spezifische Wärme und Verdampfungswärme der Naphta von Baku 126.

Kulibin (C. N.), **83**: krystallographische Untersuchung eines Grossulars vom Flusse Wiluj, Ostsibirien 1880; krystallographische Untersuchung eines russischen Perowskits 1905.

Kulibin (S. N.), **79**: Euklas 1207.

Kulinsky (J.), **85**: Prüfungsmethoden der ätherischen Oele 1972.

Kulisch (P.), **85**: Einwirkung des Phosphorwasserstoffes auf Metallsalzlösungen 431 f.

**86**: Stickstoffbestimmung nach Kjeldahl in Weinen, Mosten, Hefe, 1955; Fette im Wein 2131.

Kumpf (E.), **82**: Bestimmung der Absorption von Chlor durch Chlornatriumlösungen 72 f.

Kumpf (G.), **84**: Vorkommen von o-Mononitrobenzylchlorid im Nitrirungsproduct von Benzylchlorid 585 f.; Darstellung von o- und p-Mononitrobenzyljodid 586; Untersuchung von Nitrophenylbenzyl- und Nitrophenyl-p-nitrobenzyläther: p-Mononitrophenylbenzyläther, o-Mononitrophenylbenzyläther,  $\alpha$ -Dinitrophenylbenzyläther,  $\beta$ -Dinitrophenylbenzyläther 971; Pikrinsäure-Benzyläther, Phenyl-p-nitrobenzyläther, p-Mononitrophenyl-p-nitrobenzyläther, o-Mononitrophenyl-p-nitrobenzyläther,  $\alpha$ -Dinitrophenyl-p-nitrobenzyläther,  $\beta$ -Dinitrophenyl-p-nitrobenzyläther, Pikrinsäure-p-nitrobenzyläther 972; nitrirte Phenylbenzyläther und nitrirte Benzylchloride, Untersuchung 973.

Kunde (M.) und Teuthorn (G.), **83**: Bestimmung der Alkalien bei Gegenwart von Phosphorsäure und Borsäure 1558.

Kundt (A.), **77**: Diffusion der Dämpfe 64; Wärmeleitung der Gase 98.

**78**: Einfluss der Lösungsmittel auf die Absorptionsspectren gelöster absorbirender Medien 177.

**80**: Einfluss des Druckes auf die Oberflächenspannung an der gemeinschaftlichen Trennungsfäche von Flüssigkeiten und Gasen 46 f.; Dispersionsanomalien 184.

**81**: Doppelbrechung in bewegten reibenden Flüssigkeiten (fetten Oelen, Gummi, Collodium, Canadabalsam, Leim) 139 f.

**83**: Methode zu Untersuchungen von Verwachsungen im Quarz 9; Thermo-, Actino- und Piezoelektricität von Krystallen 200; Veränderung der Doppelbrechung durch elektrische Kräfte beim Quarz 239 f.

**84**: elektromagnetische Drehung der Polarisationsenebene des Lichtes durch Eisen, Kobalt und Nickel 304 f.

**85**: Drehung der Polarisationsenebene des Lichtes im Eisen 344.

**86**: Doppelbrechung durchsichtiger Metallspiegel 300 f.; elektro-

- magnetische Drehung der Polarisations-ebene des Lichtes im Eisenchlorid 315.
- Kundt (A.) und Blasius (E.), **86**: Pyroelektricität der Krystalle 248.
- Kundt (A.) und Röntgen (W. C.), **79**: elektromagnetische Drehung der Polarisations-ebene 144.
- 80**: elektromagnetische Drehung der Polarisations-ebene des Lichtes in Gasen 178.
- Kunheim, **84**: Reinigung von Gaswasser 1813.
- Kunheim (H.) und Zimmermann (H.), **84**: Gewinnung von Ferrocyanverbindungen 1740 f.
- Kunkel (A. J.), **81**: Vorkommen von Eisen nach Blutextravasationen 1043.
- 86**: Grundwirkung von Giften auf die quergestreifte Muskelsubstanz 1861.
- Kuntze (F.), **80**: Drehthermometer 1241.
- Kuntze (O.), **80**: Verkieselung 1414; Geysirquellen Nordamerikas 1454.
- 84**: Entstehung der sogenannten Urgesteine 2009.
- Kunz (G. F.), **84**: Lagerstätte von Sapphir und Rubin 1913; Beschreibung von Andalusitkrystallen, Untersuchung von Topas, Beschreibung von Turmalinkrystallen 1950; Analyse von Granat 1956.
- 85**: Untersuchung des Meteor-eisens vom Berg Glorieta (Neumexico) 2324 f.
- 86**: Vorkommen von gediegenem Antimon 2222 f.; Beschreibung von im Flußbett des Jenny's Creek, Wayne County, West-Virginia, aufgefundenen Meteor-eisenmassen 2333 f.; Beschreibung von Meteor-eisenmassen vom Glorieta-Mountain, Neu-Mexico 2334 f.
- Kunz (G. J.), **83**: Vorkommen von Topaskrystallen zu Stoneham, Maine 1872; Bernstein von Harrisonville, New Jersey 1909.
- Kunz (H.), **85**: Alkaloidgehalt des Extractum Belladonnae und Bestandtheile der Atropa Belladonna: Bili-neurin (Cholin) 1809; Chrysatropasäure, Leukatropasäure 1810.
- Kupelwieser (F.), **83**: neuere Fabrikationsmethoden von Eisen und Stahl 1871.
- Kupelwieser (P.), siehe Thomas (S. G.).
- Kupferberg (H.), **77**: Oxybenzoesäuren, Phenoldi- und -tricarbonsäure 751.
- Kupferschläger, **81**: Molybdänlösung zur Analyse 1173.
- 84**: Analyse molybdänhaltiger Mineralien 1551 f.
- 85**: Reinigung der rohen Schwefelsäure 2062.
- Kupfer, **77**: schwarzes Gold 1259.
- Kupffer (A.), **78**: Darstellung von reinem übermangansaurem Zink 284.
- Kupferschläger, **79**: theerartige Producte im Ammoniak 1033 f.
- 81**: Cadmium vom Zink 1190.
- Kurbatow (A.), **83**: Chlorirung von Naphta (Trichlormesitylen) 501; siehe Beilstein (F.).
- Kurz (A.), **84**: Vorlesungsversuch über die spezifische Wärme der Luft 311 f.
- 86**: Formel für die Ausdehnung des Wassers zwischen 0 und 20° 42; siehe Götz (H.).
- Kuschel (J.), **81**: Ueberführungszahlen der Ionen für Lithium-, Kalium- und Natriumverbindungen 100.
- Kutscheroff (M.), **79**: Oxydation der Cholsäure 968.
- 81**: Acetylenkohlenwasserstoffe gegen Wasser und Bromquecksilber 346; Monobromäthylen, Verhalten 381 f.; Oxydation von chols. Baryum: Cholsäure 1048.
- 82**: Hydratation der Acetylenkohlenwasserstoffe 398.
- 83**: Allylenkohlenwasserstoffe (Allylen) gegen Quecksilberoxydsalze 1297 f.
- 84**: Einwirkung von Acetylenkohlenwasserstoffen auf Quecksilbersalze 518 bis 521.
- Kutscherow (M. G.), **83**: Einwirkung der Kohlenwasserstoffe der Acetylen- und Äthylenreihe auf Quecksilberoxydsalze 512 f.
- Kux, (A.), **85**: Luftpumpen 2003.
- Kuzel (H.), siehe Fischer (E.).
- Kyle (J. J. J.), **78**: Wasser des Rio de la Plata, des Parana, des Uruguay 1295 f.
- Kynaston (J. W.), **80**: Aluminiumsulfat aus Bauxit 1301 f.
- 83**: Abscheidung von Eisenoxyd aus schwefelsaurer Thonerde 1697 f.
- 86**: Aufarbeitung der Sodarückstände (Gewinnung von Schwefel und Calciumsulfaten) 2056 f.

## L.

Laar (C.), **79**: Sulfanilsäure 745 f.

**81**: Azophenyldi-p-sulfosäure ( $\alpha$ -Azobenzoldisulfosäure) 873.

**82**: Nachweis von Salpetersäure und Chlorsäure mittelst Diphenylamins und Anilins 1255.

**84**: Untersuchung von Stinkmar-mor 1930.

**85**: Möglichkeit mehrerer Struc-turformeln für dieselbe chemische Verbindung 6.

**86**: Hypothese der wechselnden Bindung 15.

Laatsch (H.), siehe Geuther (A.).

Laatsch (L.), siehe Wagner (P.).

Labadie de Lalande, siehe La-lande (Labadie de).

Labord, **83**: physiologische Wirkung des Cinchonamins 1350.

Laboudsky, **82**: Zersetzung des Gufseisens durch Quecksilberchlorid 289.

Lacerda, **78**: Ferment des Schlangen-giftes 1037.

Lacerda (de), **81**: Wirkung des Ma-niocsaftes, Schlangengift und Antidot 1068; siehe Couty.

Laceur, **80**: Rheumpapier 1144.

Lach (B.), **83**: Verhalten des Hy-droxylamins gegen Säureanhydride, Lactone, ungesättigte Säuren, hy-droxylirte Aldehyde und Thioalde-hyde, Salicylaldehyd, Aldoxime 1025 f.

**84**: Verhalten von Aldoximen gegen Säurechloride und -anhydride, Acetyl-o-oxybenzonitril, Acetyl-p-oxy-benzonitril, Oenanthonitril, Diacetyl-glyoxim 844.

Lach (J.), siehe Degener (P.).

Lachanalle (de), siehe Vincent (C.).

Lachmann (G.), **79**: Chlor gegen Orthotolylsenföhl 350 f.

Lachowicz (Br.), **83**: zur chemischen Statik 10; Octylen 521, Kohlenwasser-stoffe der Sumpfgasreihe und deren Derivate (Diisocamyl 521, Dioctyl 523) 521 bis 524; Dichlorphenanthron Monochlorphenanthron, Phenanthron 1012; Phenanthrenchinon gegen Phos-phortrichlorid 1013; die Bestandtheile des galizischen Petroleums 1760.

**84**: Reduction von Dichlorbenzil und von Tolantetrachlorid 1056; Bil-dungsweise von Säureanhydriden der Fett- und aromatischen Reihe 1077 f.

**85**: Einwirkung von Säurechlori-den (Propionyl- und Bernsteinsäure-chlorid) auf Silber- und Bleinitrat 1317 f., auf Carbonate der Schwer-metalle und auf Oxyde derselben 1318.

Lachowicz (Br.) und Nencki (M.),

**85**: Untersuchung des Parahämo-globins, Zusammensetzung der Hämo-globinkristalle 1836.

Lack, siehe Burnard.

La Coste (W.), **80**: Arsinobenzoësäure 945 f.

**81**: p-Benzarsinsäure und Derivate 897 f.; benzarsenige Säure und Der-ivate 898; Tolyarsenverbindungen 899; dibenzarsenige Säure 900; Tri-benzarsinsäure 900 f.; tribenzarsenige Säure (Arsentribenzoësäure), Aethyl-arsenverbindungen 901; Mono- und Dibromchinolin 914.

**86**: Darstellung von Monojod-chinolin 911 f.; Eigenschaften und Verhalten 912; Salze und Derivate 912 f.; Monojod-o-methylchinolin 913; siehe Coste (W. la).

La Coste (W.) und Michaelis (A.), **80**: aromatische Arsenverbindungen 944 f.

La Coste (W.) und Valeur (Fr.), **86**:  $\alpha$ - und  $\beta$ -Chinolindisulfosäure 1594 f.;  $\alpha$ - und  $\beta$ -Oxychinolinsulfo-säure 1595.

Lacroix (A.), **86**: Vorkommen und Analyse von Karpfösiderit 2254.

Ladd (E. F.), **86**: Zusammensetzung und Verdaulichkeit verschiedener Futterstoffe 1834; Verdauung mit Pepsinlösung 1867.

Ladd (W.), **78**: Beschreibung der Batterie von Byrne 134.

Lade (A.), siehe Claus (A.).

Ladenburg (A.), **77**: Valenz des Stick-stoffs 21; Constitution des Benzols 369; Benzyltriäthylammoniumverbin-dungen 477; condensirte Amine aus der Orthoreihe (Methenyltoluylendia-min und Homologe) 482; Oxythymo-chinon 650.

**78**: Bestimmung des absoluten Siedepunktes 36, 1038; absoluter Siedepunkt der schwefigen Säure, des Chlors und des Aethers 36; salz-saures o-Diamin gegen Bittermandelöl 327; Aldehydine 457.

**79**: Diisobutylamin 403 f.; Nitro-sodibutylin, Triisobutylamin 404; Tropid aus Troposäure 719; Syn-these des Atropins 821 f.; Tropidin 822.

**80:** Tropeine, Salicyltropein 986 f.; Hyoscyamin 990 f.; Duboisin 991; Daturine, Hyoscyamin, Hyoscin, Pseudotropin, Tropidin 991 f.

**81:** mydriatisch wirkende Alkaloide 946; Alkamine (Alkine), Alkamine 946 f.; Hyoscinsalze 950; Hydrotropinsalze, Tropidin 950 f.; Metatropin, Valerylenbromür gegen Trimethylamin 951; Collidin gegen Jodwasserstoff, Piperidinderivate 952 f.;  $\alpha$ -Methyltropin und Derivate, Tropiliden, Tropilen 954; Tropidin,  $\beta$ -Methyltropin 955.

**82:** Entwicklungsgeschichte der theoretischen Chemie 3; Constitution des Benzols 407; Pirylen aus Dimethylpiperidein-Jodmethyl 1086; mydriatisch wirkende Alkaloide, Geschichte des Atropins 1093; Oxydation des Propylens durch Salpetersäure, Constitution des Tropidins (Aethylenhydromethylpyridin) und Tropins (Hydromethylpyridinäthylalkohol), Dibrommethylpyridin 1096; Nitrotropein 1096 f.; Alkine: Benzoylpiperäthylalken, Phenylglycolylpiperpropylalken, Acetylperpropylalken-Goldchlorid 1097; Cinnamyltriäthylalken-Goldchlorid, Benzoylconyläthylalken-, Diäthylpropylalkin-Chlormethyl-Platinchlorid; Alkinjodüre: Piperpropyl- und Piperäthylalkinjodür, Triäthylalkinjodür; Alkidine: Triäthylalkidin (Vinyläthylamin) 1098; Propylendipiperidin, Aethenteträthylidamin 1099.

**83:** Vorlesungsversuche: Quecksilberwanne und Stative zur Ausführung von Gasanalysen 259; Gewichtssynthese des Wassers 259 f.; Darstellung der Chlorhydrine, des Glycolchlorhydrins 591 f.; Pentamethylen-diamin 626 f.; Synthese des  $\gamma$ -Aethylpyridins (Lutidins), Salze und Oxydation desselben 669 f.; chlorwasserstoffsäures Piperidin gegen Methylalkohol, Dimethylpiperidin gegen Salzsäure, Piperilen 1332; Atropin und Derivate 1338; Tropinjodür (Hydrotropinjodür gegen Zinkstaub und Salzsäure: Hydrotropidin, Methyltetrahydroäthylpyridin?) 1339.

**84:** Darstellung von Chlormonoxyd in der Vorlesung 313 f.; Abscheidung von mit dem  $\alpha$ -Isopropylpiperidin identischen Coniin aus technischem Coniin 652; Verhalten aromatischer

Diamine (p-Phenylendiamin) gegen salpetrige Säure 674 ff.; Reduction von Pyridin 1365; Synthese von homologen Pyridin- und Piperidinbasen 1365 f.; Darstellung von Piperäthylalkinbromür und -chlorür, Aethylen-dipiperidylamin 1383.

**85:** Imine: Pentamethylidamin, Pentamethylenimin 778 f.; Ortsbestimmungen in der Pyridinreihe (Cinchomeronsäure, Isonicotinsäure, Picolinsäure) 814 f.; Darstellung von Piperidin aus Pentamethylendiamin 817; Darstellung von  $\alpha$ - und  $\gamma$ -Aethylpyridin und von  $\alpha$ - $\gamma$ -Diäthylpyridin durch Erhitzen von Pyridinäthyljodid 828 f.; Untersuchung der beim Erhitzen von Pyridinpropyljodür und -isopropyljodür entstehenden Propylpyridine 829 f.; Darstellung von Dimethylpiperidein 1682; Vorschlag der Benennung „Cocäthylin“ für die Base  $C_{10}H_{19}NO$ , 1719.

**86:** specifisches Drehungsvermögen der Piperidinbasen 312; neues Argument für die Prismenformel des Benzols: Beziehungen des Succinylbernsteinsäureesters zum Dioxtyrephthal säureester 579; Reduction von Trimethylencyanür: Pentamethylen-diamin (und Salze) 701; Reduction von Aethylencyanür: Tetramethylen-diamin und Pyrrolidin 701 f.; Reduction von Benzylcyanid: Phenyläthylamin, von Cyanäthyl: Propylamin 702, von Aethylendiamin 703; Identität des Pentamethylendiamins mit dem Cadaverin 703; Untersuchung einiger Pyridinbasen 746; Ueberblick über die substituirten Piperidinbasen 1683 ff.; Synthese des Coniins ( $\alpha$ -Propylpyridin) aus  $\alpha$ -Allylpyridin 1686 ff.; siehe Friedel (C.).

Ladenburg (A.) und Engelbrecht (Th.), **77:** Thymolderivate 576.

**78:** Aldehydine 456 f.

Ladenburg (A.) und Laun, **85:** Synthese des Piperidins (Pentamethylenimins) aus Pentamethylendiamin, Nitrosopiperidin 1681 f.

Ladenburg (A.) und Merck (E.), **86:** Verhalten und Krystallform des Morphins 1708 f.

Ladenburg (A.) und Meyer (G.), **80:** Daturin 991; Homatropin (Oxytoluyltropein), Phälyltropein, Oxybenzoyltropein 987.

- Ladenburg (A.) und Roth (C. F.), **84**: Identität des aus Pyridin und Piperin gewonnenen Piperidins 1365; Untersuchung von Pseudotropin 1386, von Belladonin 1387.
- 85**: Untersuchung des käuflichen Picolins ( $\alpha$ - und  $\beta$ -Methylpyridin), Darstellung von  $\alpha$ - und  $\beta$ -Methylpiperidin 821 f.; Lutidine ( $\alpha\alpha'$ -Dimethylpyridin) aus Thieröl 823 ff.; Lutidinsäure 824;  $\alpha$ - $\gamma$ -Hydrolutidin 824 f.
- 86**: drittes Lutidin aus den Thierbasen 771.
- Ladenburg (A.) und Rügheimer, **78**: Aldehydine 454 f.
- Ladenburg (A.) und Rügheimer (L.), **79**: Toluylendiaminderivate 435 f.
- 80**: Tropasäure 872 f.
- Ladenburg (A.) und Schrader (L.), **84**: Darstellung von Isopropylpyridinen:  $\gamma$ -Isopropylpyridin,  $\alpha$ -Isopropylpyridin 651 f.;  $\alpha$ -Isopropylpiperidin 652.
- Ladenburg (A.) und Struve (O.), **77**: Valenz des Stickstoffs 21; Benzyltriäthylammoniumverbindungen 477.
- Ladureau, **77**: Fuchsin 1237.
- Ladureau (A.), **82**: Düngung mit Rückständen von der Zuckerbereitung (Vinsasse) 1432.
- 83**: schweflige Säure in der Atmosphäre von Lille 289.
- 84**: Harnstoff in Ammoniumcarbonat überführendes Ferment 1684.
- 86**: Inversion von Saccharodiose durch ein Ferment 1776 f.
- Ladureau (M. A.), **82**: Einfluß der Fettkörper bei der Keimung 1142.
- Lafaurie (J.), **80**: Phylloxera 1068.
- Lafean (A. H.), **81**: Löslichkeit von Alkaloiden 902.
- Laffont (M.), **86**: Einfluß der Anästhesie durch Stickoxydul auf verschiedene Functionen des Organismus 1861.
- Lafitte (P.), **83**: Verhalten des Weinstockes 1408.
- Lafitte (P. de), **80**: Phylloxera 1068.
- Lafon (Ph.), **85**: Einwirkung von Ammoniumselenit auf Codein und Morphin 1695; Reactionen von Digitalin 1770 f.
- Lafont (J.), siehe Bouchardat (G.).
- Lagarde, siehe Thoutet.
- Lagarde (H.), **82**: Wärmeleitung von Mineralien und Felsarten 114; Intensität der Spectrallinien des Wasserstoffs 182.
- 85**: Spectrum des Wasserstoffs 320.
- Lagermark, **79**: Synthese der Tetrolsäure 624.
- 81**: Tetrolsäure 707.
- Lagermark (G.) und Eltekoß (A.), **77**: Acetylen und Allylen gegen Schwefelsäure 362.
- 79**: Crotonaldehyd aus Acetylen, Vinylalkohol 555 f.
- 80**: Isomeres der Pyrotetrolsäure 816 f.
- Lagorio, **86**: Krystallform von Hämin 1846.
- Lagorio (A.), **80**: Andesite 1502.
- 81**: Gesteine der Krym 1430.
- Lagrange (P.), **83**: Bestimmung von Glycose im Rohrzucker 1618.
- Lagus, siehe Wiik (F. J.).
- Laiblin (R.), **77**: Oxydation von Nicotin 879.
- 79**: Nicotin, Darstellung, Salze, Derivate 787 f.
- 80**: Nicotin gegen Brom 950 f.
- 84**: Darstellung von  $\beta$ -Amidochinolin 779.
- Laidler, **86**: Gebrauch des Nitrometers 1916.
- Laire (de), siehe Girard.
- Lajoux (H.), siehe Grandval (A.).
- Lajoux (H.) und Grandval (A.), **82**: Quecksilbersalze der Salicylsäure 908 f.
- Lake (R.), **78**: Nickelgewinnung aus Garnierit 1106.
- Lalande (F. de), **85**: Benutzung eines Aräometers zur Messung elektrischer Ströme 231.
- Lalande (F. de) und Chaperon (G.), **83**: neue Kette mit nur einer Flüssigkeit 201 f.
- Lalande (Labadie de), **80**: Phylloxera 1067.
- Laligant (R.), siehe Sanlaville (M. E.).
- Lallien, **80**: Glycerin im Bier 1227.
- Lamansky (J.), **80**: Fluorescenz 191.
- Lamansky (S.), **79**: Einwirkung des Spectrums auf fluorescirende Flüssigkeiten, Stokes'sches Gesetz 150; Phosphorescenz und Fluorescenz 151.
- 83**: Schmieröle 1763.
- Lamattina, **81**: Assimilation des Stickstoffs durch die Pflanzen 1004.



- Lambert, **83**: Nachweis von Bordeauxroth im Rothwein 1628.
- Lambert (S. W.), siehe Chittenden (R. H.).
- Lambling (E.), **83**: Bestimmung des Hämoglobins 1640.
- Lambotte (A.), **85**: Gewinnung des Zinns aus Weisblechabfällen 2018.
- Lambotte Doucet (A.), **80**: technische Verwerthung der Sulfide 1283.
- Lambrecht (W.), **86**: versendbares Gefäßbarometer 2010.
- Lami, **79**: Milchproduction 1129.
- Lampert (F.), **86**: Derivate des Trichlor-p-amidophenols 1243 bis 1247: Darstellung des Trichlor-p-amidophenols 1243 f.; Trichlordiazophenol 1244; Verhalten des letzteren gegen Alkohol: neues Trichlorphenol 1244; Verhalten und Derivate desselben 1244 f.; Verhalten und Derivate des aus Phenol dargestellten Trichlorphenols 1245 f.; unsymmetrisches Tetrachlorbenzol, Trichlordiazophenolsulfosäure 1246; Trichlorjodphenol und Derivate 1246 f.
- Lamy (A.), **78**: Löslichkeit in Wasser bei verschiedenen Temperaturen 61.
- Lamy (F.), **77**: Naphtalinfärberei 1221.
- Lan, **79**: Metallurgie auf der Pariser Ausstellung 1878 1090.
- Landauer (J.), **77**: Löthrohranalyse 1031.
- 78**: Wandlungen des Absorptionsspectrums des Safranins 180.
- 81**: Chrysoidin und verwandte Azofarbstoffe 129.
- Landberg, **82**: Blei- und Silberproduction 1383 f.
- Landerer, **82**: Einfluss von Kochsalz auf die Blutgerinnung, Transfusionen 1203.
- Landerer (H.), **77**: Phosphorescenz von Chininsulfat und -valerat 886; Trinkwasser in Griechenland 1133.
- Landerer (X.), **77**: Smirgel 1058.
- Landero (C. F. de), **85**: Untersuchung des Meteorsteins von Fomatlan (Mexico) 2325 f.
- Landero (de) und Prieto (Raoul), **86**: chemische Verbindungsgesetze 20 f.
- Landgrebe (O.), **77**: Toly- und Phenylcyananidine 344.
- 78**:  $\beta$ -Dicyantriphenylguanidin,  $\beta$ -Dicyanditolyphenylguanidin, Ditolylparabansäure, Dicyantritolyguandin 350; Ditolylparabansäure, Ditolylguanidin und Ditolylloxamid 351; Oxydation von Ditolylparabansäure 361.
- Landmann (B.), **83**: Bestimmung von Essigsäure im Weine 1627; Destillationsapparat für Alkoholbestimmungen 1660; siehe Michaelis (A.).
- Landolph (F.), **77**: organische Körper gegen Fluorbor 324.
- 78**: Borfluorwasserstoff 230; Verbindungen von Fluorbor mit Ketonen, Aldehyden und Kohlenwasserstoffen 320; Einwirkung von Fluorbor auf Aethylen 370; Kohlenwasserstoff  $C_{12}H_{18}$  395; Anethol 587; Verbindung von Furfurol mit Benzaldehyd 621; Fluorbor gegen Campher 640.
- 79**: Fluorwasserstoffborsäuren 228 f.; Fluorboraceton, Boraceton, Fluorboräthylen 560; Analase organischer fluor- und borhaltiger Verbindungen 1062 f.
- 80**: Anethol 665 f.
- 83**:  $\alpha$ -Fluorboraceton gegen Wasser: Acetonmono- und -difluorhydrat, Bestimmung des Fluors 1298 f.
- Landolt, **85**: Einfluss elektrischer Ströme auf Zuckerlösungen 2141 f.; Versuch der Entfärbung der Zuckersäfte mittelst Electricität, Bildung und Bestimmung des Invertzuckers 2142; siehe Lunge (G.).
- Landolt (A.), siehe Fittig (R.).
- Landolt (H.), **77**: optisches Drehungsvermögen 186; Sodaindustrie 1144.
- 80**: Umkehrung der Rotationsrichtung optisch-activer Substanzen 215.
- 81**: Drehungsvermögen organischer Substanzen 141.
- 82**: Molekularrefraction flüssiger organischer Verbindungen 170 f.
- 83**: Existenzdauer der Thiochwefelsäure in wässrigen Lösungen 289 f.; Neuerungen an Polaristrobometern 1661.
- 84**: Darstellung fester schneeartiger Kohlensäure 370; optisches Verhalten des in der Melasse gefundenen Leucins und Tyrosins 1793.
- 85**: Zeitdauer der Reaction zwischen Jodsäure und schwefliger Säure 23 f.; Natriumlampe 1998; Combination von Wasserbad mit Heißwassertrichter, Berieselungsapparat, Sublimationsvorrichtung 2000.

- 86:** optisches Drehungsvermögen des Picolins 312; spezifisches Drehungsvermögen von bromwasserstoffs. Glucosamin 707 f.; siehe Kreusler (U.).
- Landolt (H.) und Antrick, **86:** Zeitdauer der Reaction zwischen Jodsäure und schwefliger Säure 25 bis 32.
- Landolt (L.), siehe Lunge (G.).
- Landrin (E.), **78:** Ursache der Löslichkeit von Oxiden und citronensauren Salzen in citronensaurem Ammonium 727.
- 82:** Metalloxyde und Hydroxyde gegen citronensaures Ammonium 880 ff.; Calciumaluminat in Cementen 1420.
- 83:** Kieselsäuren gegen Kalkwasser 1686; hydraulische Kieselsäure 1687; der Kalk von Theil (Calciumsilicat), Puzzo-Portland 1708; Puzzolanerden 1708 f.
- 84:** Erhärtung des Cements 1755 f.; Erhärtung des Wassermörtels 1756 f.
- Landriset (A.), siehe Marcet (W.).
- Landsberg, **79:** Zink aus Blende 1097 f.; siehe Stahl (K.).
- Landsberg (E.), **80:** Morphin im Organismus 1123.
- Landsberg (L.), **86:** Darstellung von m-Methoxy-p-nitrobenzaldehyd aus m-Chlor-p-nitrobenzylbromid, Ueberführung desselben in Vanillin 2070 f.; siehe Baeyer (Ad.).
- Landsberg (M.), **82:** Phtalimid und Salze 811 f.; phtalaminsäure Salze 812 f.; Salze des Succinimids 813; Aethylsuccinimid 814.
- Landshoff (L.), **78:** Methylderivate des  $\alpha$ -Naphthylamins 472 ff.
- 83:**  $\beta$ -naphthylaminsulfosaure Salze 1292 f.; Farbstoffe aus denselben 1293; Naphthylaminsulfosäuren aus  $\beta$ -Naphtholsulfosäuren, Azofarbstoffe aus Naphthylaminsulfosäure 1810; siehe Tiemann (F.); siehe Liebermann (C.).
- Landwehr (H. A.), **81:** Mucin der Galle, der Submaxillardrüse, der Weinbergschnecke, Achrooglycogen 998.
- 83:** Mucin und Metalbumin 1382; thierisches Gummi 1447.
- 84:** Darstellung und quantitative Bestimmung des Glycogens 1479 f.
- 85:** Resorption des Fettes: Mucin, Gummi, Globulin, Pankreas, Magensaft 1228 f.
- 86:** Reagens auf die Hydroxylgruppe 511 f.
- Lang (E.), **85:** Darstellung von Diisobutylketin 1634.
- 86:** Einwirkung von Zinkalkylen auf Malonsäureäther: Phloroglucin-tricarbonsäureäther 1322 f.; Einwirkung von Monochloracetessigäther auf Phloroglucinatrium: m-a-Dioxy-methylcumarilsäure 1425; Oxybenzodimethylidifururandicarbonsäureäther, Benzotrimethyltrifurfuran und -tricarbonsäure 1426; siehe Hantzsch (A.).
- Lang (H. O.), **80:** Granatanalysen 1442, 1490.
- 81:** Sedimentärgesteine von Göttingen 1438.
- Lang (J.), **84:** Untersuchung von Bauxit 1921.
- 85:** Untersuchung des Gleichgewichtszustandes der Reactionen von Salzsäure gegen Antimonsulfür und von Schwefelwasserstoff gegen Antimonchlorür 19 bis 23.
- Lang (V. v.), **77:** Drehung der Polarisationsenebene durch Quarz 186.
- 78:** parallelepipedisches System 1; Verbindung des Spectralapparates mit dem Achsenwinkelapparat für krystalloptische Arbeiten, optische Constanten des Gypses 166 f.; Krystallform des Dibromfluorens 819; Krystallform des Cinchotenidins 888, des Platindoppelsalzes 889.
- 79:** optische Axen des Gypses 153; Cinchonidin und Homocinchonidin 815.
- 81:** anomale Dispersion von Cyanin 130; Doppelbrechung des Aragonits 138; Krystallform von Mononitropyrrogallol 559; Krystallform von  $\beta$ -Dichinolin 923; Krystallform von Chinindithyljodid 937, von salzs. Chininsäure 939.
- 82:** Krystallform des Monochloraldehydhydrats 736, des polymeren Monochloraldehyds 737; Krystallform des Opiansäure-Methyläthers 928, der sauren  $\alpha$ - und  $\beta$ -Hemipinsäure-Methyläther, des sauren Hemipinsäure-Aethyläthers 928 f.
- 83:** Krystallform des Diisopropylglycols 951; Krystallform der  $\alpha$ -Methyl- $\beta$ -Aethylacrylsäure (Homotiglinsäure) 960, des Butylchloralhydrats 961; Krystallform des Iovanillins 974.

- 84:** Krystallform von Diisopropylglycol 946.
- 85:** elektromotorische Kraft des galvanischen Lichtbogens 295.
- Langbeck (H. C.), **81:** Nitrophenol als Indicator 1156.
- Langbeck (H. W.), **78:** Verhalten von Calomel gegen Zucker 302.
- 84:** Entdeckung der Verfälschungen ätherischer Oele 1667.
- Langbeck (W.), **79:** Mehlexplosionen 1136.
- Langbein (E.), **86:** elektrolytische Bestimmung des Nickels (Trennung von Mangan) 1937.
- Langbein (G.), **79:** Jodfabrikation 1104; Salpeter 1109.
- 81:** Auflösen von Schwefelkobalt und -nickel auf dem Filter 1189; Spritzflasche für Brom 1236.
- Lange, **78:** Zuckerraffination 1149; siehe Claus (A.).
- Lange (A.), **79:** Diphenylthiohydantoin 357 f.; siehe Liebermann (C.).
- Lange (G.), **79:** Sodaindustrie 1109.
- Lange (M.), **85:** Ursachen der Rosanilinbildung beim Nitrobenzolverfahren der Fuchsinfabrikation 925 bis 927.
- 86:** neue Synthese gemischter Azofarbstoffe aus aromatischen Diaminen: Einwirkung von Tetraazodiphenyl auf Naphtionsäure 1021 f.; Diazoanhydrosulfosäuren aus Tetraazoverbindungen 1022.
- Lange (O.), **77:** Tricyanwasserstoff 327; Glycerin in Aceton 524.
- 85:**  $\alpha$ - und  $\gamma$ -Picolin (-Methylpyridin), sowie einige ihrer Verbindungen 817 f.; siehe Roth (C. F.).
- Lange (R.), **82:** Analysen von Löfs von Lemberg 1618; siehe Lippmann (E. v.).
- Lange (W.), **78:** Siliciumverbindungen in Pflanzen 948 f.
- Langelli (T.), **86:** Darstellung von Trimethylpropylammoniumjodid 703; Salze desselben, Zersetzungsproducte des Hydrats beim Destilliren 704.
- Langemann (L.), **86:** Krystallform von Harmotom, Phillipsit und Desmin 2286 f.
- Langenbeck (K. W.), **84:** Darstellung von Chinin- und Atropinantimontartrat 1133.
- Langer (C.), **82:** Gesetzmäßigkeiten bei der Substitution aromatischer Amine (Anilinderivate) 504 f.
- 84:** Krystallform von Zinnstein 1917; Vorkommen von Tarnowitzit 1933.
- Langer (C.) und Meyer (Vict.), **82:** Bestimmung der Dampfdichte von Chlor- und Brom bei hoher Temperatur 50 f.
- 85:** Versuche über die Dampfdichte von Gasen bei Weisgluth 45 f.
- Langer (J.), **84:** isomere Thiophensulfosäure, Dibromthiophendisulfosäure, Thiophendisulfosäure 913; Darstellung einer isomeren Thiophensulfosäure 1312 f.;  $\beta$ -Thiophensulfchlorid,  $\beta$ -Thiophensulfamid, Dibromthiophendisulfosäureanhydrid 1313.
- 85:** Untersuchung der isomeren Sulfosäuren des Thiophens 1569 bis 1573; Dibromthiophensulfchlorid und -sulfamid,  $\beta$ -Thiophensulfosäure,  $\beta$ -Thiophendisulfchlorid aus Dibromthiophendisulfosäureanhydrid 1570;  $\beta$ -Thiophendisulfamid, Dibromthiophendisulfchlorid und -disulfamid, dibromthiophensulfos. Natrium und Ammonium 1571; dibromthiophendisulfos. Blei, Dibromthiophendisulfosäure, Monojodthiophendisulfosäure, Thiophendisulfosäure, Thiophendisulfamid,  $\beta$ -Thiophenmonosulfosäure 1572;  $\beta$ -Thiophendisulfosäure und Baryumsalz 1573.
- Langer (L.), **81:** Menschenfett 1069.
- Langer (Th.), **77:** Wasser für Brauzwecke 1198.
- 83:** Werthbestimmung des Malzes 1630.
- Langer (Th.) und Schultze (W.), **80:** Kohlensäurebestimmung im Biere 1226.
- Langfeldt, **81:** Reinigung von Trinkwasser 1260.
- Langfurth (A.), **83:** amerikanischer Kunstkäse 1730 f.; siehe Limpricht (H.).
- Langgaard (A.), **80:** *Scopolia japonica* 1078.
- 81:** japanische und chinesische Aconitknollen 1019; Alkaloide (Rotoïn, Scopoleïn) der japanischen *Belladonna* wurzel 1023.
- Langlebert (A.), **82:** therapeutische Verwendung von *Convallaria majalis* 1172.
- Langley, **77:** Gußstahl 1115.
- 84:** Reaction auf Pikrotoxin 1645.
- Langley (J. W.), **84:** chemische Verwandtschaft 17; Gesetz der chemischen Massenwirkung 29 f.



Langley (M.), **82**: Vertheilung der Energie in dem Sonnenspectrum eines Metallgitters 177 f.

Langley (S. P.), **81**: actinische Wage (für Wärmemessungen) 97.

**84**: Wellenlängen und Brechungsverhältnisse im unsichtbaren Theile des Spectrums 289 ff.

**85**: Durchgang des Lichtes durch Drahtnetze 302; Refractionsindices von Steinsalz 304.

**86**: Beobachtungen über unsichtbare Wärmespectren und Aufsuchung bisher unbekannter Wellenlängen (Wärmemaximum) 303.

Langley (S. B.), **83**: Absorption des Lichtes durch die Atmosphäre 242 f.

Langlois (M.), **84**: Definition der Gase 37 f.

Langlois (Marc.), **86**: physikalische Eigenschaften des Quecksilbers 468.

Lankester (Rey), **85**: chemische Veränderungen durch Mikroorganismen 1825.

Languetin (A.), **82**: Fabrikation von Magnesia und Zinksalzen aus Dolomit und Zinkcarbonat 1403 f.; Soda aus Kochsalz und Dolomit 1404.

Lapper (E.), siehe Bell (Ch. A.).

Lapraik (W.), siehe Russel (W. J.).

Larmor (J.), **85**: molekulare Theorie der galvanischen Polarisation 282.

Laroche (J. P.) und Prat (J. P.), **80**: Nickelsulfat aus Nickelerzen 1261.

Larroque (F.), **83**: Mikrothermometer 113.

Larsen (E.), siehe Elbs (K.).

Larsen (G.), **78**: Trennung von Zink und Kupfer 1064.

Lasaulx (A. v.), **77**: Tridymit 1274; Jodobromit, Flußspathe 1286; Aërinat 1339.

**78**: Krystallform des Tridymits 1212; Jodobromit 1219; Desmin 1256; Saccharit 1267; Diabas-Diorit, Diabasporphyrit, Olivinabbro, metamorphische und eruptive Gesteine aus dem Silur, Trachytanalyse 1284; Quarztrachyt 1286.

**79**: Schwefelablagerungen Siciliens 1180; Eisenglanzkrystalle 1187; Szaaböit 1227 f.; Titanomorphit 1238.

**80**: Vesuvian 1440 f.; Serpentin 1453; Gismondin 1469; Schlammvulkane 1507; Kryokonit 1538 f.

**81**: Zeolith (Analcim) 1397; Herschelit 1398; Mesolith, Brevicit

1400; Albit 1402; Anorthit (Cyclopit) 1403; Schlanit (Harz) 1409.

**82**: Vesuvian vom Johnsberge 1547; Identität von Titanomorphit mit Titanit 1572; Untersuchung eines angeblich meteorischen Staubes 1639.

**83**: Mikrostruktur des Rutils und dessen Umwandlung zu Titaneisen 1840 f.; chemische Zusammensetzung der Titaneisen 1841; krystallographische Untersuchung eines Cordierits vom Laacher See 1893.

**84**: Krystallform von Jodwasserstoff-Cynen 545, von Schwefel 1900; Zwillingverwachsungen an Kupfer 1901 f.; Krystallform von Osmiridium 1902; Monstrositäten an Eisenkies 1906; Messungen an Schwerspathkrystallen 1934; Untersuchung von Lazulith 1947, von Kelyphit 1955, von Glaukophan 1971; Krystallform von Pikranalcim 1976; Untersuchung des zu Santa Rosa, Columbien, aufbewahrten Meteorisens 2045 f.

**85**: optisches Verhalten und Mikrostruktur des Korunds 2269; siehe Galle (J. G.); siehe Wiik (F. J.). Lasaulx (A. v.) und Hawes (G.), **77**: Perlsteine 1365.

Lasch (K.), **84**: Methode zur Bestimmung von Traubenzucker oder Invertzucker 1649.

Laskowsky (N.), siehe Sabanin (A.).

Lasne und Benker, **81**: Verluste von Stickdioxyd in der Schwefelsäurefabrikation 1264.

Laspeyres (H.), **77**: Luftpumpenverschlufs 1101; Aragonit, Strontianit 1290; Leadhillit (Maxit) 1292; Glauberit 1293; Topas 1305; Augit 1325; Analcim 1327; Orthoklas 1333.

**78**: Adamin 1235.

**79**: Epidot 1207 f.

**80**: Quarz 1411; Aragonit 1421; Epidot 1440; Sericit 1451.

**83**: krystallographische Untersuchung und Analyse eines Mangan-eisenolivins 1876.

**84**: Wurtzit als Ueberzug von Antimonglanz 1908; Krystallform von Weißspießglanzerz 1914.

**86**: Krystallform von  $\alpha$ -Propylpyridinchloroplatinat 1687.

Laspeyres (H.) und Sorger, **84**: Analyse von Trachyt 2025.

Laspeyres (W. H.), **77**: Manganphosphate 254.

- Lassar (O.), **77**: Wirkung irrespirabler Gase 1011.
- Latin (G.), **80**: Eupatorin 1077.
- Latour und Source (Magnier de la), **77**: Quercetagetin 936.
- Latschenberger (J.), **84**: Verfahren zum Nachweis und zur Bestimmung des Ammoniaks in thierischen Flüssigkeiten 1505, 1682 f.
- Latschenberger (J.) und Schumann (O.), **79**: Chlorbestimmung in thierischen Flüssigkeiten 1030.
- Latschinoff (P.), **77**: Cholestensäure, Oxycholestensäure, Dioxycholestensäure 729.
- 78**: Oxydation des Cholesterins und der Cholsäure 1006 f.
- 79**: Oxydation der Cholsäure 866 f.
- 80**: Cholecamphersäure 881 f.; Cholsäure 1100 f.
- 82**: Cholansäure und Isocholansäure 1208; Cholecamphersäure aus Cholansäure 1209.
- 85**: Darstellung zweier Säuren aus Galle: Cholsäure und Choleinsäure, Oxydation beider: Biliansäure und Cholansäure; Dehydrocholeinsäure 1838.
- 86**: Isocholansäure und Isobiliansäure 1849; Cholansäure und Biliansäure 1849 f.; Choleinsäure 1850; Choloïdan- und Pseudocholoïdansäure 1850 f.
- Laube (G.), **86**: Bestimmung kleiner Mengen von Chlornatrium neben viel Chlorkalium 1928; Prüfung der Knochenkohle 1992; Speiseapparat für Spirituslampen 2008.
- Laube (G. C.), **77**: Phonolithpechstein 1365.
- 83**: Vorkommen von Schwerspath im Quellschachte von Teplitz 1854.
- Laubenheimer (A.), **77**: Nitrochlor- und Nitrobrombenzole 423.
- 78**: Einwirkung von Ammoniak auf Dinitrochlorbenzol 329; o-Dinitrobenzolderivate 433.
- 82**: Verhalten des Monochlordinitrobenzols gegen schwefligsaures Natrium (Monochlornitrobenzolsulfosäure) 458 f.; siehe Will (H.).
- Laubenheimer (A.) und Göring (R.) **77**: Hydrocyancarbodiphenylimid 346.
- 80**: Hydrocyancarbodiphenylimid 418 f.
- Lauber und Haufsmann, **82**: Rhodanaluminium 1407 f.; Bleicherei mit schwefliger Säure 1474; Indigo-färberei 1500 f.; Alizarinblau 8 1511 f.
- Lauber und Steinheil, **82**: Vanadin für Anilinschwarz 1500.
- Lauber (C.) und Weinreb (C.), **85**: neue Darstellungsweise von chloresurem Chromoxyd als „Oxydationsbeize“ für Cachoufarben und Dampfchrombraun 2210.
- Lauber (E.), **83**: historische Entwicklung der Türkischrothölsfabrikation, Türkischrothölsfärberei 1792.
- Lauch (R.), **85**: Darstellung von Additionsproducten organischer Verbindungen mit Unterchlorigsäure 581 f.; siehe Einhorn (A.).
- Lauder Brunton (T.), siehe Brunton (T. Lauder).
- Lauenstein und Klotz, **78**: Derivate des Tetraphenyläthans 406.
- Lauer (Ch.), siehe Schröder (M.).
- Lauffer (E.), **78**: Trennung des Quarzes von der Kieselsäure 1054.
- 82**: Melaphir vom Thüringer Wald 1606; Kalkmangel von Korbiskrug 1616.
- Laugier, **81**: Phylloxera 1018.
- Laugier (E.), **81**: Prüfung von Schmierölen 1220.
- Laujorrais, **77**: Wirkung von Kaliumdichromat 1030, 1144.
- Lauke (W.), **86**: Reinigung von Rübensäften 2124.
- Laun, **86**: Synthese des Coniins 1688; siehe Ladenburg (A.).
- Laun (W.), **84**: Darstellung aromatischer Alkine 1382 f.; Methylphenyläthylalkin, Diäthylphenylalkin, Methylpropylphenylalkin 1382; Benzal-dipiperil 1383.
- Laur (F.), **79**: Aluminiumsulfat aus Bauxit 1112.
- Laur (Fr.), **82**: heiße Quelle von Forez 1634.
- Laur (P.), **81**: galvanische Combination 91.
- 82**: Reduction von Silbererzen 1384.
- Laurent, **79**: Beschreibung einer Prismencombination 156.
- Laurent (E.), **85**: Nachweis des Brotermentes (*Bacillus panificans*) bei der Brotgährung, Vorkommen des *Bacillus* in der Kleie, in Weizen- und Roggenmehl, fadenziehendes Brot 1863; Nichtbildung von Bacterien aus normalem Pflanzengewebe 1875; Bildung der Diastase 1875 f.

- 86:** Nützlichkeit der Mikroben des Bodens für das Wachsthum der Pflanzen 2096.
- Laurent (J.), siehe Bunte (H.).
- Laurent (L.), **78:** neues Saccharometer 1097.
- Laurie (A. P.), **83:** Verhältniſſe der Atomgewichte der Elemente zu ihren Verbindungswärmen mit Chlor, Brom und Jod 155.
- 86:** elektromotorische Kraft eines galvanischen Elementes, Bildungswärme von Jodzink 229; Bestimmung der Verbindungswärme von Zink mit Jod aus der elektromotorischen Kraft von Zinnzellen, elektromotorische Kraft einer Kette Platin-Cadmium 261; elektromotorische Kraft von Zellen mit Aluminiumelektroden 261 f.
- Lauterbach, **81:** Dinitronaphtolsulfosäure 880; Mononitroamido-, Diamido-, Diimidonaphtolsulfosäure 881.
- Lauterbach (F.), **78:** neue Bildungsweise des Nitroäthans 429.
- Lauterborn (F.), **81:** Aluminium aus Kryolith 1242.
- 85:** Gewinnung von Aluminium 2016 f.
- Lauth, siehe Rosenstiehl.
- Lauth (C.), **77:** Anilinschwarz-Homologe 1240.
- 81:** Ultramarin 1325.
- 83:** Fabrikation von blauem Porzellan 1709.
- Lauth (Ch.), **83:** Pyrometer von Bouillier 114.
- 84:** Herstellung von Porzellangufswaren 1757.
- Lauth (Ch.) und Vogt (G.), **86:** Pyrometer 2148.
- Laval (C. G. P. de), **86:** Laktokrit (Apparat zur Bestimmung des Fettgehaltes der Milch) 2013.
- La Valle (G.), **80:** Tribrommononitrobenzol 477 f.; Monojoddinitrobenzol 478; Dijodmononitrobenzol 478 f.
- 86:** krystallographische Untersuchung des Carbonylpyrrols und Pyrrolcarbamids 723; Krystallform des Chloroplatinats des Pyridins 747; siehe Valle (G. la).
- Lavandier (Ch. de), siehe Pellet (H.).
- Laverré (A.), **80:** Phylloxera 1088.
- Law, **82:** Härten des Stahls durch Druck 1374.
- Lawes (J. B.), **77:** Fütterungsversuche 1174.
- 81:** Gleichgewicht zwischen Bildung und Zersetzung der Kohlensäure 1002.
- 84:** Fruchtbarkeit 1758.
- Lawes (J. B.) und Gilbert (J. H.), **83:** Aschen der Schlachthiere 1491; Wiesengraabau 1716.
- 84:** Einfluß von Düngemitteln auf die Zusammensetzung der Asche von Weizenkörnern und Weizenstroh 1772 f.
- 85:** Untersuchung des Stickstoffgehaltes des Ackerbodens 2120 bis 2122; Erschöpfung des Ackerbodens 2120; Aufnahme des Stickstoffs durch die Saat, durch Gramineen, Leguminosen und Pilze 2121; Trifolium repenz, Prairieböden, Weideland 2122.
- Lawes (J. B.), Gilbert (J. H.) und Warington (R.), **83:** Beitrag zur Chemie der sogenannten Zauberringe (im Wiesengras) 1389.
- Lawrence (G. M.), **83:** Analyse des Spinells von Shimersville 1836.
- Lawrie (A. D.), **77:** Dibrombenzoesäuren, Tribrombenzoesäure, Dibromsalicylsäure 733.
- 78:** Einwirkung von Kalihydrat auf Sulfocybenzoesäure 764.
- 83:** m-Monobrom- $\beta$ -o-amido-benzoesäure 1127.
- Lawrence (A.), siehe Frankland (E.).
- Laws (H.), **77:** spec. Gewicht von Salzen 43.
- Lawson (R.), **78:** Hyoscyamin 913.
- Lawson (T. A.), **85:** Einwirkung von Diazoverbindungen auf  $\beta$ -Naphtylamin 1038 bis 1043; Verhalten von Azo- $\beta$ -amidonaphtalin- $\beta$ -benzolsulfosäure und von m-Nitrobenzoldiazo- $\beta$ -naphtylamin beim Kochen mit Säuren, Benzoldiazo- $\beta$ -naphtylamin 1039; Acetylbenzoldiazo- $\beta$ -naphtylamin, Benzoylbenzoldiazo- $\beta$ -naphtylamin 1040; Salze eines Naphtylendiamins, Einwirkung von Amylnitrit auf  $\beta$ -naphtylamin ( $\beta$ -Naphtalindiazo- $\beta$ -naphtylamin 1041; Dibrom- $\beta$ -naphtylamin 1042; Verhalten des  $\alpha$ - $\beta$ -Naphtylendiamins gegen Phenanthrenchinon (Phenanthrennaphtochinoxalin), Diphenylnaphtochinoxalin 1043; siehe Zincke (Th.).
- Lazarus (M. J.), **84:** Verhalten der Brenztraubensäure gegen p-Toluidin 1109.
- 85:** Trennung zweier Flüssigkeiten durch fractionirte Destillation

- im Wasserdampfstrom 160 f.; Trennung flüssiger organischer Verbindungen (Jodthiolen, Jodthioxen) 581; siehe Baeyer (A.); siehe Friedländer (P.).
- Lea, **77**: Lennilit, Delawarit, Cassinit 1335.
- Lea (A. Sheridan), **83**: Lab-ähnliches Ferment aus Withania coagulans 1509 f.
- 84**: Labferment in Withania coagulans 1531.
- Lea (C.), **85**: Verhalten von Chlor-, Brom- und Jodsilber gegen verschiedene Farbstoffe 2260.
- Lea (M. C.), **77**: Lichtempfindlichkeit der Silbersalze 194, 195.
- 78**: Ammonium-Silberjodid 307; Einwirkung des Lichtes auf Chlor- und Bromsilber 1068.
- 80**: Eisensalze in der Photographie 1392 f.
- Lebaigue (E.), **79**: continuirliche Dialyse 1087.
- 82**: spec. Drehungsvermögen von Saccharose und Glycose 1324.
- Lebedeff (A.), **82**: Ernährung mit Fett; Fettanalyse 1199.
- 83**: Ursprung des Fettes bei der acuten Fettbildung 1437; Aufnahme der Fette 1438 f., der Leinölsäure 1439.
- Lebedew (G.), **78**: Rhodonit 1254.
- Lebedinsky (W.), **81**: Allyldiisopropylcarbinol 513;  $\beta$ -Diisopropyläthylmilchsäure 514.
- Le Bel (J. A.), **80**: Methylpropylcarbinol 609.
- 86**: Untersuchung des Erdöls von Béchéveli und Tschungnelek 2156.
- Leblanc (J. A. L.), **84**: Gewinnung von Fett 1823.
- Le Bon (G.), siehe Bon (G. le).
- Le Bon (G.) und Noel (G.), **80**: Tabakrauch 1071.
- Le Canu (J. Allain), siehe Allain le Canu (J.).
- Lecarme (R.), **81**: Titanwolframsäuren 291 f.
- Lecco (M. T.), **86**: Untersuchung von mit Sublimat vergifteten Speisen 1947; siehe Meyer (V.).
- Lechartier (G.), **79**: Wasseruntersuchung, Bestimmung des Stickstoffs 1029; Conserviren grüner Futtermittel 1123.
- 80**: organische Substanz im Wasser 1200 f.; Phosphorsäuregehalt der Gesteine 1492.
- 81**: Veränderungen des Grünfutters beim Aufbewahren 1008; Buchweizen 1018.
- 84**: Bestimmung der Phosphorsäure in der Ackererde 1578 f.; Untersuchungsmethode für Ackererde 1759; Kalidünger 1762; Untersuchung französischer Phosphate 1768 f.; Bestimmung der Phosphorsäure 1770 f.
- 86**: Feuergefahr durch Salpetersäure 2084; Einfluss der Magnesia auf die Portlandcemente 2089; Untersuchung von Cidersorten 2133.
- Lechartier (G.) und Bellamy (F.), **77**: Zink im Thier- und Pflanzenreich 1006; Alkoholbildung 1021.
- Lechartier (L.), **79**: alkalische Pyrogallussäure gegen Stickoxyd 212.
- Le Chatellier (H.), siehe Chatellier (H. le); siehe Mallard (E.).
- Lecher (E.), **78**: Untersuchung der Wärmecapacität der Mischungen aus Methylalkohol und Wasser 72.
- 79**: Verbindungswärmeder Kohlen- säure und Ammoniak zu carbamins. Ammonium 121.
- 80**: chemischer Rückstofs 13 f.
- 81**: Absorption der Sonnenstrahlung in der Atmosphäre durch Kohlen- säure 125.
- 82**: Absorption strahlender Wärme durch Wasserdampf und Kohlen- säure 114 f.
- Lecher (E.) und Perntner (J. M.), **80**: Absorption der strahlenden Wärme durch Wasserdampf 102.
- Leclerc, siehe Brullé.
- Le Conte (J.), siehe Conte (J. le).
- Lecoq de Boisbaudran, **82**: violetter Farbstoff aus auf Mehlkleister sich entwickelnden Organismen 1155 f.; Abscheidung und Trennung des Galliums von anderen Metallen 1294 f.; siehe auch Boisbaudran (Lecoq de).
- Lecrenier (A.), siehe Spring (W.).
- Lecroy (W. Mc. Cay), siehe Cay (Leroy W. Mc.).
- Ledderboge (H.), siehe Jacobsen (O.).
- Ledderhose (G.), **78**: Chitin 929 f.
- Ledebur, **84**: Methode zur Manganbestimmung 1597.
- Ledebur (A.), **77**: Eisen gegen Schwefelsäure 1108; Hartgusseisen 1114.
- 78**: Vermehrung des Silicium- gehaltenes geschmolzenen Gusseisens beim Stehen an der Luft 1103.

**81:** Schmelzwärme von Metallen und Legierungen 1241; Verarbeitung manganhaltiger Eisenerze 1242.

**82:** Sauerstoff- und Kohlenstoffbestimmung im Eisen, colorimetrische Manganbestimmung im Eisen oder Stahl 1288; Theorie der Manganhochöfen 1375.

**83:** Bildungsverhältnisse von Kohlensäure und Kohlenoxyd beim Leiten von Luft über glühende Holzkohle 1553; Verhältniß der Kohlensäure zum Kohlenoxyd beim Verbrennen von Kohlensäure 1754.

**84:** Ursachen des Verbrennens von Eisen und Stahl 1706 f.; Lösung von Sauerstoffverbindungen durch flüssige Schlacke, chemische Zusammensetzung von Schlacken 1713.

**85:** Bestimmung des Titans in Eisen und Eisenerzen 1929; Schädlichkeit des Sauerstoffgehaltes einiger Metalle und Legierungen 2014; Kupolofenschmelzen 2019; Verhalten des Mangans beim Tiegelschmelzen des Stahls 2022 f.

**86:** Saigerungserscheinungen beim Flußeisen, Definition von Graphit, Cementkohle und gebundener Kohle 2023 f.

Leducur (P. H.), **85:** Entladungselektrometer 229.

Lederer, **85:** Untersuchung von Nocerin 2275 f.

Lederer (G.), siehe Curtius (Th.).

Lederer (L.) und Paal (C.), **85:** Synthese von Pyrrolderivaten aus Acetophenonacetessigäther: Pyrrolcarbonsäuren 802 f.; Methylphenylpyrrolcarbonsäure, Dimethylphenylpyrrolcarbonsäure-Aethyläther, Methylphenylallylpyrrolcarbonsäure 803; Methylphenylpyrrolcarbonsäure, Methylphenyl-o- und p-tolylcarbonsäure 804; Methylphenyl- $\alpha$ - und - $\beta$ -naphthylpyrrolcarbonsäure 805.

Ledieu (A.), **82:** Bewegung der Gasmoleküle 5.

**83:** elektrochemische Figuren 225.

Ledingham (L. N.), **84:** Gewichtsvoltameter 232.

Leduc, **86:** Veränderungen des Magnetfeldes 286.

Leduc (A.), **84:** Bestimmung der Stärke des Magnetfeldes in absolutem Maße 277.

**85:** Leitungswiderstand von Wis-muth und Wismuthlegierungen 258.

Lee Brown (W.), **84:** Probirofen 1811.

**86:** Untersuchung des Wassers zur Kesselspeisung 1905.

Lee (Ch. Tennant), **84:** Prüfung von Indigo 1620.

Lee (R. Brewer), siehe Brewer Lee (R.).

Leeds, siehe Schönbein.

Leeds (A. R.), **77:** Chlorcalcium und Chlormagnesium in der Spectroskopie 1034; Zinkbestimmung 1064; Löthrohranalysenapparate 1098; Hypersthen, Diallag 1322; Feldspathe 1337; Norit, Diorit 1362.

**78:** Ozon und die Atmosphäre 195; Wasseruntersuchung des Passaiffusses 1042 f.

**79:** Einwirkung verschiedener Lichtquellen auf Jodide 182 f.; Darstellung des Ozons durch Phosphor und Ozonentwicklung bei der Krystallisation syrupförmiger Jodsäure 190 f.; Löslichkeit des Ozons in Wasser 191; Ozonentwicklung bei der Einwirkung von Säuren auf Kaliumpermanganat 182; Sauerstoffgehalt der Atmosphäre 208; Bildung von Phosphorwasserstoffausfeuchtem Phosphor 224; Oxydation des Kohlenoxyds zu Kohlensäure 230; Ozonwirkung auf die Farben der Pflanzen 897; Haltbarkeit einer Chlorammoniumlösung 1033; Destillation von Ammoniak 1034; salpetrige Säure im Trinkwasser 1036; Ozon gegen Zuckersyrup 1135.

**80:** Wirkung des Lichtes auf lösliche Jodide 188 f.; Einwirkung des Lichtes auf lösliche Jodide, Actinismus des Sonnen- und Tageslichtes 235; Ozonreaction 243; Ozon und Wasserstoffsuperoxyd 247; Ozonisation der Luft durch Phosphor 249 f.; Untersalpetersäure gegen Kohlenwasserstoffe 386; Tannin gegen Licht 892; Zuckersyrup und Ozon 1024; Veränderlichkeit der Salmiak- und Tanninlösungen 1202.

**81:** Wasserstoffsuperoxyd 118; Bildung von Ozon und Wasserstoffsuperoxyd bei der Ozonisation von Luft 158 f.; organische Substanzen gegen Untersalpetersäure 315 f.; Benzol, Naphtalin, Anthracen, Anilin und p-Toluidin gegen Wasserstoffsuperoxyd 352; Verfälschungen von Nahrungsmitteln in Amerika 1301 f.; Trinkwasser Nordamerika's 1455.

- 82:** Acroleinharnstoff 382 f.; Verbindungen aromatischer Amine (Anilin und Toluidine (mit Metallsalzen 500 ff.; Diphenylaminacrolein 545 f.
- 83:** Ueberführung des Kohlenoxyds in Kohlensäure durch activ gemachten Sauerstoff 275; Oenanthureid 491 f.; Oenantholanilin, Oenantholxylin, Oenantholnaphthylamin 709 f.; Cryptidin 710; Untersuchung des bei der Destillation von Bicinusoil im Vacuum bleibenden Rückstandes 1421; Bestimmung der organischen Substanzen im Trinkwasser durch Normalsilberlösung 1528; Bestimmung des diätetischen Werthes von Kindernährmitteln 1747; Methoden der Seifenuntersuchung, Schema für eine Seifenanalyse 1761.
- 84:** Atomistik des Sauerstoffs (Bildung von Ozon, Wasserstoffsuperoxyd und Ammoniumnitrit) 36 f.; Ozon und Wasserstoffhyperoxyd 330; Acroleinharnstoff 502; Bestimmung der organischen Substanzen im Trinkwasser 1561; physikalische und chemische Analyse von Mehl 1654 f.; Analyse der Muttermilch 1675; Schema für Seifenanalysen 1678; Analysen des Wassers des Passaicflusses 2032.
- Leeds (A. R.) und Everhart (E.), **80:** Wasser und Silberoxyd gegen Benzolhexachlorid und Naphthalintetrachlorid 477.
- 82:** Analyse des Senfes 1164, 1337 f.
- Lefèvre (L.), siehe Grimaux (E.).
- Leffmann (H.), **80:** Zersetzung des Wassers 222.
- 81:** Absätze von Geysirquellen (Pealit, Geysirit) 1356.
- 83:** Analysen von Wasser und Absätzen der Geysirquellen des Yellowstone National Park, Nordamerika 1950.
- 84:** Butteranalyse 1676.
- Lefort (J.), **77:** wolframsaures Alkali 1079.
- 78:** wolframsaure Salze der Sesquioxide 300 ff.
- 79:** wolframsaure Salze 289 f.
- 80:** Quecksilbernachweis in Wässern 1195.
- 82:** Einwirkung der Arsensäure und Phosphorsäure auf Natriumwolframate 325.
- Lefort (J.) und Thibault (P.), **82:** Einfluß von Gummi arabicum auf die Fällung von Metallsalzen durch Schwefelwasserstoff 1259.
- Lefort (J.) und Wurtz (F.), **77:** Emetin 891.
- Lefort (L.), **81:** Arsensäure und Phosphorsäure gegen Natriumwolframate 285 f.; Metawolframsäure, Metalutewolframsäure 286.
- Lefranc, **86:** Zuckergewinnung aus Melasse, Syrup u. s. w. 2127.
- Legal (E.), **83:** Aceton und Acetessigsäure gegen Nitroprussidnatrium 1648; Prüfung auf Kreatinin im Harn 1649.
- Léger (E.), **85:** Phenolphthalein als Indicator bei der Bestimmung von Säuren in Alkaloidsalzen 1891; siehe Loison (A.).
- Le Georand de Tromelin (G.), **83:** aperiodisches Galvanometer 201.
- Legler (L.), **81:** Aether- oder Lampensäure 665.
- 82:** Theobrominbestimmung in Cacao und Chocole 1335 f.
- 83:** unvollkommene Verbrennung des Aethers: Aethersäure 849; Verbindung  $C_{11}H_{33}O_{21}$  849 f.; Bestimmungsmethoden des Methylaldehyds 1602 f.
- 84:** über die Prüfungsmethoden der fetten Oele 1668.
- 85:** Producte der langsamen Verbrennung des Aethyläthers 1163 ff.; Hexaoxymethylen-diamin, Hexaoxymethylenhyperoxyd, Hexamethylenamin, Hexamethylenamindibromid, Ozon gegen Aethylen 1164, gegen Aether 1165; Vorkommen von Spiralfäßen in der Cacao-Bohne 1883 f.
- 86:** Glyceriubestimmung im Wein 1985.
- Legrip und Petit (A.), **77:** Caffein aus Thee und Guarana 880.
- Legrip (L.), **83:** zuckerhaltige Harne 1478.
- Legros (E.), siehe Spring (W.).
- Lehmann, **78:** Knochenbildung 987.
- Lehmann (A.), **79:** Ultramarin 1153 f.
- 80:** Phylloxera 1068.
- 81:** Bestimmung von Gerbsäure 1206.
- Lehmann (C.), **84:** Wirkung der Alkalien auf den respiratorischen Stoffwechsel 1508.
- Lehmann (E.), **85:** Vorkommen und Verbreitung des Amygdalins und Laurocerasins in den Drupaceen und Pomaceen, Spaltung und Umwand-

lung dieser Glycoside im Pflanzenorganismus 1799 bis 1801; fettes Oel und Saccharose als Begleiter des Amygdalins, Eigenschaften des Laurocerasins, Philoridzin 1800; Saccharin in Pomaceen-Samen 1801.

Lehmann (F.), siehe Pfeiffer (Th.).  
Lehmann (G. W.) und Mager (W.).

**85:** Arsenbestimmungsmethode bei der Kupferuntersuchung 1920.

Lehmann (J.), **78:** Bestimmung von Fett und Casein in der Milch 1092 f.; pyrogene Quarze 1214.

**81:** Datolith 1379; Diopside 1391.

**84:** Entstehung der altkrystallinischen Schiefergesteine 2009; siehe Wein (E.).

Lehmann (K.), **82:** Wirkung hoher Sauerstoffdrücke auf thierische Gebilde 1221.

Lehmann (K. B.), **84:** Untersuchung über die Resorption von Salzen 1474 f.; Einfluss von comprimirtem Sauerstoff auf die Lebensprocesse der Kaltblüter und einige Oxydationsvorgänge 1508.

**86:** blaues Brot 1974.

Lehmann (O.), **77:** Wachsthum der Krystalle 4; Umwandlung physikalisch isomerer Modificationen 11; Anomalien der Krystallstruktur 13; Morphotropie 18; physikalische Isomerie 31, 40; isomere Modificationen des Dibromfluorens 416; Tribrenzhydroxylamin 457; Krystallform von Hydrobenzoinchloriden 542; Paranitrophenol, Dimorphie 549; Dimorphie des Hydrochinons 566.

**79:** Tetramethyldiamidotriphenylmethan 1167.

**80:** physikalische Isomerie organischer Verbindungen 376 f.

**81:** mikrokrytallographische Untersuchungen, Krystallanalyse 1; mikrokrytallographische Untersuchung von Triphenylmethan 360; Krystallform von Benzylidenacetophenon 623.

**82:** mikrokrytallinische Untersuchungen organischer Substanzen 368 f.

**83:** mikrokrytallographische Untersuchungen: Krystallisation gemischter Lösungen anorganischer Körper 2 bis 4; Trichitenbildung 5; kombinierte Krystallisation 6; Krystallisation des Jodeilbers im Moment der Erstarrung 8; mikrokrytallographische

graphische Untersuchungen organischer Verbindungen 461.

**84:** Krystallisationserscheinungen 7 f.; elektrische Entladung in Gasen 257.

**85:** Formänderungen der Krystalle 1 f.; physikalische Isomerie und Trichitenbildung 2; Elektrolyse von Jodsilber 283; mikrokrytallographische Untersuchung organischer Verbindungen 572 bis 575.

**86:** mikrophysikalische Untersuchungen: Mischkrystalle, Zwillingsbildung 9; Färbung von Krystallen 9 f.; Krystallwachsthum, Krystallisationsverzug, Mikrophotographie 10; Aenderung der Löslichkeit durch Druck, Farbstoffabsorption durch quellbare Körper, Löslichkeit an verschiedenen Krystallflächen, Steighöhen in mikroskopisch engen Capillaren, mikroskopische Bestimmung der Dampftension, der thermischen Ausdehnung von Flüssigkeiten, der Compressibilität, der Elasticität von Krystallen, flüssige Kohlensäure als Druck-erzeuger, Anwendung von Eisenoxyduloxylösung als wärmeleitende Flüssigkeit, Dissociation von Magnesiumplatinocyanür, Krystallisation von Anilin-Kobaltchlorür 11; mikrophysikalische Untersuchungen: Dimorphie organischer Verbindungen, optische Erscheinungen an gepresstem Kautschuk 503; Mischkrystalle, Zwillingsbildung durch Wärme, gefärbte Krystalle, Erklärung der Siede- und Krystallisationsverzüge, Krystallisationskraft, Dissociation von Magnesiumplatinocyanür, Verbindungen von Kobaltchlorür mit aromatischen Basen, Mikrophotographie, Aenderung der Löslichkeit mit dem Druck; Farbstoffabsorption, ungleiche Löslichkeit an verschiedenen Krystallflächen, Bestimmung der Oberflächenspannung von Flüssigkeiten, der Elasticität von Krystallen 504; Leitungsvermögen von geschmolzenem Eisenoxyduloxyl 505; labile und stabile Modification von Jochinolinmethylechlorid 913; krytallographische Untersuchung der Nitrate der beiden isomeren Dimethylsafranine 1119 f.; siehe Wüllner (A.).

Lehmann (Th.), **84:** Bestimmung der Alkalien im Harn 1680 f.; siehe Petri.

Lehmann (Th.) und Petri (J.), **85**: Untersuchung des Liebermannschen Phenolfarbstoffs 2243 f.; Ueberführung desselben in einen neuen Farbstoff, Anwendung des letzteren als Indicator 2244 f.

Lehmann (V.), **81**: Nachweis von Blei, Silber und Quecksilber in Organen 1227 f.

**82**: Vertheilung und Ausscheidung des Bleies aus dem Organismus 1224.

**83**: Nachweis von Quecksilber in thierischen Substanzen 1638.

**85**: Abscheidung von Xanthin, Hypoxanthin und Guanin aus dem Nuclein der Hefe 1872.

Lehmayer (A.), **80**: Magnesit 1420.

Lehne (A.), **80**: Naphtalin gegen Benzhydrol und Benzoylchlorid 461 f.; p-Ditolylnitrosamin 540 f.; Ditolyldihydrazin 569; Monobenzoylditolyldihydrazin 570.

Lehner (F.), **85**: Darstellung von Bronzefarben 2219.

Lehrfeld (Th.), **81**: Dibrombernsteinsäure und Dibrombernsteinsäureäther gegen Ammoniak 710 f.

Leidié, **84**: Zerlegung der durch Compensation optisch inactiven Substanzen 303.

Leidie (E.), **82**: Löslichkeit der Rechts- und Links-Weinsäure, der Traubensäure 79 f.

Lelarge und Amiaux, **85**: Darstellung von Nitrocolle 2104.

Lellmann (E.), **82**: physikalische Isomerie von Dibromdiamidodibenzoyldiphenyl 20; Ueberführung der rhodanwasserstoffs. Phenylendiamine in Phenylenthioharnstoffe 391 f.; Bromnitro- und Bromamidoderivate des Diphenyls 450; p-Tolylbenzenyltoluylenamidin 507; Thioharnstoffe aus den drei Phenylendiaminen 531; Brom- und Nitroderivate des Benzoyldiphenylamins 547 f.; Nitroderivate des Benzoyl-p-ditolylamin 549.

**83**: Umlagerung der Cyansäureverbindungen der drei Phenylendiamine: isomere Phenylendiharnstoffe 716 f.; Darstellung isomerer aromatischer Diamine 717 f.; m-p-Toluylen-thioharnstoff, m-p-Toluylendiharnstoff 718; Einwirkung von Senfölen auf die Diamine: Diphenyl-m-p-toluylendithioharnstoff 718 f.; Diäthyl-m-p-toluylendithioharnstoff 719; Diallyl-m-p-toluylendithioharnstoff 719 f.;

Diallyl-m- und p-phenylendithioharnstoff, Diphenyl-p-phenylendithioharnstoff 720; Nitro- und Amidoderivate des Benzolsulfoanilids und des Benzolsulfo-p-toluids: Benzolsulfo-o-nitroanilid, Benzolsulfo-m-nitroanilid, Benzolsulfo-p-nitroanilid 1245 f.; Benzolsulfo-m-nitro-p-toluid 1246 f.; Benzolsulfo-m-dinitro-p-toluid, Benzolsulfo-o-amidoanilid 1247; Benzolsulfo-m-amido-p-toluid 1247 f.

**84**: Constitution des Benzols auf Grund von Untersuchungen der isomeren o-, m-, p-Mononitroaniline 529; Constitution des Monochlornitrotoluols 575 f.; Nitrirung von  $\alpha$ -Acetnaphtalid 772 ff.: Mononitroacetnaphtalid 772;  $\alpha$ -,  $\beta$ - und  $\gamma$ -Nitronaphtylamin,  $\alpha$ -Nitrobenzoylnaphtalid, Benzoylnaphtyldiamin,  $\delta$ -Nitroacetnaphtalid, Benzoyl-o-nitronaphtalid 773;  $\beta$ -Nitroacetnaphtalid,  $\gamma$ -Nitronaphtylamin,  $\gamma$ -Nitroacetnaphtalid, Dinitroacetnaphtalid, Reduction des  $\beta$ -Dinitronaphtalins 774.

**85**:  $\gamma$ -Dinitro-p-xylol und dessen Isomere 772 f.; Constitution der drei Dinitro-p-xylene 773; allgemeine Methoden zur Bestimmung der Constitution aromatischer Diamine 859 f.; Reduction des m-Mononitro-o-toluidins mit Zinn und Salzsäure, Darstellung von Thioharnstoffen aus einem isomeren o-Toluyldiamin, o-Toluylen-thio- und Diallyltoluylendithioharnstoff 882 f.

**86**: Verhalten von  $\alpha$ - $\beta$ -o-Naphtyldiamin gegen Allyl- und Phenylsenfö: Diallyl- und Diphenylnaphtyldithioharnstoff 871 f.; siehe Hübner (H.). Lellmann (E.) und Bonhöffer (O.), **86**: Einführung der Carboxylgruppe in aromatische Kohlenwasserstoffe mittelst Diphenylharnstoffchlorid und Aluminiumchlorid (Benzoyldiphenylamin) 510.

Lellmann (E.) und Grothmann (R.), **84**: Darstellung von Salicylsäurederivaten 1208 ff.: Monobromnitrosalicylsäure, Monobromamidosalicylsäure, Bromsalicylsäure 1208; Dibromsalicylsäure, isomere Bromnitrosalicylsäure 1209; Bromnitrophenol, Dibromnitrophenol, Dibromamidophenol 1210.

Lellmann (E.) und Klotz (C.), **85**: isomere Dichlortoluole und Dichlorbenzoesäuren 730 bis 734.



- Lellmann (E.) und Bamy (A.), **86**: Mononitroacetnaphtalide: Darstellung von p- und o-Mononitro- $\alpha$ -acetnaphtalid, Reduction des letzteren zu Naphtylenäthénylamidin 677; Ueberführung in o-Mononitro- $\alpha$ -naphtylamin, in o-Mononitro- $\alpha$ -naphtol,  $\beta$ -Mononitronaphtalin und o( $\alpha$ - $\beta$ -)Naphtylendiamin, Darstellung desselben o-Naphtylendiamins aus  $\alpha$ -Mononitro- $\beta$ -acetnaphtalid 678; Verhalten der beiden Mononitroacetnaphtalide gegen Essigsäureanhydrid: p- und o-Mononitro- $\alpha$ -diacetnaphtalid, Darstellung des neuen  $\beta$ -Mononitronaphtalins aus  $\beta$ -Mononitro- $\alpha$ -naphtylamin, Reduction desselben zu  $\beta$ -Naphtylamin 679; Tabelle 680; Verhalten der Diazochloride gegen Kupferchlorür (Sandmeyer'sche Reaction) 1046 f.; Darstellung von  $\beta$ -Naphtalindiazobromid-Kupferbromür und  $\beta$ -Naphtalindiazochlorid-Kupferchlorür 1047.
- Lellmann (E.) und Stickel (C.), **86**: Amidine aus aromatischen Diaminen 788 bis 792; Versuche zur Darstellung der drei isomeren Benzyldiamine (Bildung von o-Trinitrotri- und o-Dinitrotribenzylamin) 788 f.; Darstellung von o-Mononitrobenzylanilin 789 f.; o-Dinitrotribenzylanilin 790; Ueberführung des o-Mononitrobenzylanilins in Benzoyl-o-nitrobenzylanilin 790 f.; Reduction des letzteren zu Benzoyl-o-amidobenzylanilin und zu Phenylbenzylbenzylamidin, Darstellung von o-Mononitrobenzyl-p-toluidin, Ueberführung in Acetyl-o-nitrobenzyl-p-toluidin 791; Reduction des letzteren zu p-Tolylbenzyläthénylamidin, Reduction von o- und p-Mononitrobenzylchlorid, Benzylenimid 792.
- Lellmann (E.) und Würthner (E.), **85**: Aethylen- und Trimethyldiamin und Harnstoffderivate derselben 784 f.; chemisches Verhalten aromatischer Diamine, Darstellung von substituirten Dithioharnstoffen 854 bis 858; Darstellung von Monoadditionsproducten der Phenylendiamine mit Cyansäure-Phenyläther 858 ff.; Darstellung eines neuen (des vierten) (m-) Mononitro-o-toluidins 881 f.
- Lemaire, siehe Verstraet.
- Lembach und Schleicher, **83**: schwefelhaltiger Farbstoff aus Diäthylanilinzobenzol-p-sulfosäure 1815 f.
- Lemberg (J.), **78**: Gesteinsumbildungen bei Predazza und Monzoni 1281 f.
- 83**: Bildung und Umwandlung von Silicaten, Verwendung kaustischer Lösungsmittel zur Trennung von Gesteinsbestandtheilen 1871; Untersuchung von in Basalt eingeschlossenen Sandsteinen (Buchiten) und ihrer Verwitterungsproducte 1919 bis 1921; Buchite gegen kohlen-saures Natrium 1921; Analysen des Phonoliths von Marienfels bei Aussig und seiner Zersetzungsproducte 1929; natürliche Gläser (Tachylit, Palagonit, Hyalomelan, Perlstein, glasiger Melaphyr) gegen Kalium- und Natriumcarbonat 1933 f.
- Lemoine (G.), **77**: Dissociation des Jodwasserstoffs, Einwirkung des Lichtes auf Jodwasserstoff 138, 194; chemisches Gleichgewicht zwischen Wasserstoff und Jodgas 139.
- 81**: Wirkung des Lichtes im Vergleich mit der Wärmewirkung bei chemischen Vorgängen 133; Sulfoxyphosphite mittelst Phosphorsulfid  $P_4S_8$  194 f.; Einfluss des Druckes bei der Dissociation 1133.
- 82**: Theorie des chemischen Gleichgewichtes, Massenwirkung 3.
- 83**: Zersetzung der Oxalsäure durch Eisenchlorid unter dem Einfluss des Lichtes 258; Subsulfure des Phosphors 328 f.
- 84**: Darstellung von Phosphoroxysulfiden 362 f.; Untersuchung der höheren Kohlenwasserstoffe des amerikanischen Petroleum: Octan, Nonan, Decan 524 f.
- 86**: Wechselwirkung zwischen Ferrisalzen und Oxalsäure unter dem Einfluss der Wärme 236.
- Lemström, **82**: Augitanalyse 1557.
- Lencauchez (A.), **78**: Verdichtung der Zinkdämpfe in Gebläseöfen 1107.
- Lengyell (Béla), siehe Béla Lengyel.
- Lenk, **78**: Bleistiftfixirpapier 1175.
- Lentz (A.), siehe Quaglio (J.).
- Lenz (O.), **79**: Laterit 1256.
- Lenz (R.), **77**: Widerstand von Holoïdverbindungen 162.
- 78**: Widerstand verdünnter Lösungen von Verbindungen des Kaliums, Natriums, Ammoniums und Wasserstoffs 141.
- 83**: galvanisches Leitungsvermögen alkoholischer Lösungen von Metallsalzen und der Pikrinsäure 217 f.

- 84:** Anwendung des Telephons zu Temperaturmessungen 161; elektrischer Widerstand des auf verschiedene Weise gereinigten Quecksilbers 250.
- Lenz (R.) und Restzoff (N.), **84:** Einfluß der Temperatur auf den Widerstand des Quecksilbers 251.
- Lenz (W.), **77:** Parajodbenzolsulfosäure 824; Fluorbenzolsulfosäure 825.
- 79:** Fluorbenzolsulfosäure 744 f.
- 80:** Glycerinbestimmungen 1208.
- 82:** Untersuchung der Vaseline-sorten (Mineralfette) 1338; Nachweis von Aloë 1339; Milchanalyse 1342.
- 83:** Formeln zur Feststellung von Mischungsverhältnissen für Lösungen 82 f.; Reinigung arsenhaltigen Schwefelwasserstoffgases 1535; Unbrauchbarkeit der Gehaltsbestimmung des Jodkaliums nach Personne-Kaspar 1558; Bestimmung des Fuselöles im Branntwein 1605; Anwendung von Chlorsäure zur Zerstörung von Leichentheilen 1639.
- 84:** Untersuchung des Pfeffers 1457; Reinigung des Schwefelwasserstoffgases von Arsen 1567; Untersuchung von Honig 1671.
- 85:** Titrierungen organischer Substanzen mit Permanganat 1943 f.
- 86:** Farbreactionen einiger Alkalöide in der Kalischmelze 1974 f.
- Leo (H.), **77:** substituierte Thiamide (Thiobenzanilid, Thiobenzotolidid) 668.
- 81:** Bildung des Stickstoffs im Organismus 1032.
- 85:** Fettbildung und Fetttransport bei Phosphorintoxication 1826.
- Leod (Mc.), **83:** Apparat zur Verdampfung von Flüssigkeiten im Vacuum 78 f.; Spannung des Quecksilberdampfes 81.
- Leod (H. Mc.), **80:** Ozon und Wasserstoffsuperoxyd 246 f.
- 86:** Elektrolyse verdünnter Schwefelsäure 275.
- Leon (M. A. Mendes de), siehe Mendes de Leon (M. A.).
- Leone (T.), **81:** Mononitrocymoldisulfosäure 870.
- 82:** Synthese von Amylnaphtalin 432.
- 84:** Untersuchung von  $\alpha$ - und  $\beta$ -Naphtoylamid 1278 f.
- 85:** Mikroorganismen im Wasser 2312.
- Leone (T.) und Longi (A.), **86:** Untersuchung des Oliven-, Sesam- und Baumwollsamensöls 1827.
- Leone (T.) und Oliveri, **85:** Verhalten der Pyridinsulfosäure bei der Destillation: Pyridin,  $\beta$ -Dipyridyl (Dipyridin) 1573.
- Leonhard (A. V.), **85:** Vorkommen von Haarkies 2267.
- Leonhardt (A.), **86:** Azophosphine aus Nitroderivaten des Anilins und Toluidins mit Amidobenzoessäure 2197.
- Leonhardt (A.) und Schultz, **85:** Verhalten der  $\beta$ -Naphtholschwefelsäure gegen Schwefelsäure 2235.
- Leonhardt (O.), **83:** Verzinken des Eisens, Verbleiung eiserner Gegenstände 1679; Fleischpulver 1732.
- Leontjeff, **82:** Analyse von Hornblende 1557.
- Lepel (F. v.), **77:** Purpurin 1085; Spectrum des Saftes rother Rüben 1091.
- 78:** Aenderung der Absorptionsspectren in verschiedenen Lösungsmitteln 180.
- 79:** Fuchsin im Wein 1075; Universalstativ für das Taschenspectroskop 1084.
- 80:** Alkannafarbstoff als Reagens gegen Magnesiumsalze 1176 f.; Spectra und Verhalten zu Reagentien verschiedener Säfte 1225.
- Lepéz (C.), siehe Zulkowsky (C.).
- Lépinay (Macé de), **86:** Dispersion und Brechung des Quarzes 290.
- Lépine (R.), siehe Cazeneneuve (P.).
- Lépine (R.) und Aubert (P.), **85:** toxische Wirkung der organischen Stoffe und der Salze des Harnes 1851.
- Lépine (R.) und Eymonnet, **83:** Bestimmung gepaarter Phosphorsäure im Harn 1648.
- Lépine (R.), Eymonnet und Aubert, **84:** Gehalt des Harnes an unvollständig oxydирtem Phosphor 1497.
- Lépine (R.) und Flavard, **80:** Schwefelausscheidung im Körper 1114.
- Lépine (R.) und Guérin (G.), **83:** schwer oxydirbarer Schwefel im Harn 1475.
- Leplay, siehe Box.
- Leplay und Radot, **85:** Regeneration des Baryts bei der Melassenenzuckerung 2077.
- Leplay (H.), **82:** Untersuchung der Zuckerrübe, des Mais 1160.

- 83:** chemische Untersuchungen über den Mais in verschiedenen Vegetationsperioden 1406 f.
- 84:** Salpeterbildung in den Pflanzen 1432; Vegetation der Zuckerrübe 1453; Darstellung von Baryum- und Strontiumhydrat 1736 f.; Verhältnisse von Chlorkalium zum Kaliumnitrat in den gekochten Rübennassen 1773.
- 85:** „Selective Gährung“, Versuche mit Invertzucker (Lävulose) 1862.
- Leppert (H. W.), siehe Pawlowski (Br.).
- Leppig (O.), **82:** Untersuchung und Analyse von Tanacetum vulgare: Tanacetin, Metarabinsäure, Tanacetumgerbsäure 1176 f.
- Leppla (A.), **82:** Diabasporphyrat aus der Rheinpfalz 1607.
- Leppler, **86:** Krystallform von Sparsteinmonomethyljodid 1695.
- Lepsius (B.), **85:** Wassergehalt verschiedener Holzpapiertstoffe 2195 f.; Abnahme des Sauerstoffgehaltes in dem verschiedenen Tiefen entnommenen Grundwasser 2313.
- Lepsius (R.), **82:** Rippenstück von Halitherium Schinzi von Alzey 1585.
- Lepsius (R.) und Reinhardt (H.), **82:** Analysen krystallinischer und metamorphischer Gesteine des Odenwaldes 1602 f.; Quarzporphyr von Darmstadt 1604; Analysen von Melaphyren aus Rheinhessen 1606; Analysen von Basalt und basaltischem Glase 1611 f.; Analysen von Löss und Diluvialsand 1617 f.
- Lerch (J. U.), **84:** Untersuchung über Chelidonsäure 1178 bis 1183; Chelidonsäure-Aethyläther, Aethylchelidonsäure, Chelihydronsäure 1178; Chelidammsäure (Oxypridindicarbonsäure) 1179; Chelamid (Oxypridin) 1180; Bromchelidammsäure, Chlorchelidammsäure 1181; Jodchelidammsäure, Chelsäure 1182; Hydrochelidonsäure 1183.
- Lerch (O.), **83:** Brom- und Jodmagnesium und deren Doppelsalze 351 ff.
- Lerche (F.), **85:** Schmelzen und Gießen des Eisens 2021.
- Lermer (C.), **78:** Maischproceß 1159.
- Lermontoff (Julie), **77:** Propylenbromür (Trimethylbromür) 399.
- 78:** Synthese von Olefinen 367; Einwirkung von Basen auf ein Gemenge von Isobutylen und Trimethylcarbinoljodid 372 f.
- 79:** Isobutylen und Trimethylcarbinoljodid gegen Metalloxyde 360.
- Lermontowaja, **81:** Crotonylen 359.
- Leroy Mc Cay (W.), siehe Mc Cay (Leroy W.); siehe Cay (Leroy W. Mc.).
- Lescœur und Morelle, **78:** Inulin 925 f.
- Lescœur (H.), **77:** saures essigsäures Natrium 678; Valeriansäure 711.
- 78:** Chlorirung von Bromäthylen 412.
- 81:** Hydrate des Chlorcalciums 210.
- 83:** Verbindungen des Baryts mit Wasser, Dissoziationsspannungen des Barythydrats 347 f.
- 86:** Beziehungen der Verwitterung und Verflüssigung von Salzen zur Maximaltension der gesättigten Dämpfe 150 ff.; Dissociation des Kupfervitriols 237 f.; Geschwindigkeit der Dissociation des sauren Natriumacetats 239; Dissoziationsspannungen des Kupfersulfats 443.
- Lescœur (H.) und Rigaut (A.), **79:** isomere Cyanwasserstoffsäure 323.
- 80:** Blausäure 392.
- Leser (G.), **84:** o-Xylolderivate: o-Xylylsulfid, Phtalalkoholdiäthyläther, Diphenyl-o-xylylendiamin, o-Xylylenjodür, Darstellung, Eigenschaften, Verhalten 535 f.
- Leslerc (A.), **77:** Milch 1184.
- Lesnik (M.) und Nencki (M.), **86:** Umwandlungsproducte von  $\alpha$ - und  $\beta$ -Naphthol im Harn 1858.
- Lespault (G.) und Forquignon (L.), **83:** Meteorit von Saint Caprais de Quinsae, Gironde 1954.
- Lefs (E.), **78:** Untersuchung von Wärmeleitung der Gesteine und Hölzer 77.
- 82:** Anwendung des Telephons zur Bestimmung des Widerstandes galvanischer Ketten 148 f.
- Lesser (E.), **86:** Trennung und Bestimmung von Arsen, Antimon, Zinn 1950.
- Lesser (L.), **86:** Reinigung der Rübensäfte 2125.
- Lesser (L. v.), **81:** Tod bei Verbrennungen 1045 f.
- Lester Reed, siehe Reed (Lester).
- Letecour, siehe Guillemare.
- Letellier (A.), **79:** Aethylalkohol gegen ammoniakalisches Kupferoxyd 489.

- Letniy, **77**: Holz- und Petroleumtheer 989.
- Letny, **78**: Verhalten von Kohlenwasserstoffen der Fettreihe beim Durchleiten der Dämpfe durch glühende Röhren 1172.
- Letschenoff, **78**: Kohlensäureabsorption im Blutserum 996 f.
- Letts (E. A.), **78**: Untersuchung von käuflichem Wismuth 294; Homologe des Dimethylthetins 683 f.; siehe Brown (C.); siehe Richardson (A.); siehe Collie (J. N.).
- 79**: Phtalein des Hämatoxylins 904.
- Letts (E. A.) und Collie (N.), **86**: Darstellung von Zinntetraäthyl 1600 f.; Zersetzung von Tetraäthylphosphoniumsalzen durch Hitze 1609 ff.
- Letts (E. A.), Nicol (W. J.) und Baker (J. E.), **78**: Verhalten von Dimethylthetinbromid gegen Alkohol 684.
- Lettsom (W. G.), **78**: Rhabdophan 1228.
- Lettsom (W. G.) und Hartley (W. N.), **82**: Analyse von Rhabdophan 1542.
- Leube (G.), **77**: Kreosozon (verdünnte Schwefelsäure) 1178.
- Leube (W.), **77**: Filtrirapparat 1098.
- Leube (W. O.), **80**: Ammoniakabscheidung im Harn 1113.
- Leuchs (G.), **85**: Darstellung von Calciumphosphat aus Thomasschlacken 2032.
- 86**: elektrolytische Metallgewinnung 2016; Gewinnung von Calciumphosphat aus basischen Schlacken 2034.
- Leuckart (R.), **80**: Aethylharnstoffe verschiedenen Ursprunges 422 f.
- 82**:  $\alpha$ - und  $\beta$ -Monobromzimtsäure gegen Schwefelsäure 940 f.
- 85**: Reactionen aromatischer Cyanate (Phenylcyanat und Abkömmlinge) vermittelt durch Aluminiumchlorid 589; Cyanate gegen Phenole, gegen Amine 589 f.; neue Bildungsweise des Tribenzylamins (aus Benzaldehyd) 928; Einwirkung von Phosgen auf Natriumacetessigäther (Monochloracetessigäther) 1351; symmetrische und unsymmetrische Dimethylbernsteinsäure; methylierter Propenyltricarbonsäureäther, Dimethylbernsteinsäureanhydrid, Isobutylen-tricarbonsäureäther 1402 f.
- 86**: o-Mononitrotolylglycin, Oxydihydrotoluchinoxalin 1310.
- Leuckart (R.) und Bach (E.), **86**: Einwirkung von ameisens. Ammoniak auf Benzaldehyd: Formylmono- und -dibenzylamin 1633 f., auf Benzophenon: Formylbenzhydrylamin, auf Campher 1634.
- Leuckart (R.) und Holzborn, **86**: m-Mononitro-p-tolunitril 1310.
- Leuckart (R.) und Schmidt (M.), **85**: Einwirkung von Phenylcyanat auf Phenole und Phenoläther 590 f., auf Thiophen 591.
- Leuken (C.), **82**: Benzoesäure, Vanillin, Salicylsäure gegen Kaliumpermanganat 1311.
- Leune und Harburg, **81**: Margarinometer 1233.
- Leutner (W.), **85**: Untersuchung von kirgischem Käse („Krutt“) 2136 f.
- Leuze, **80**: Kalkspathe 1418.
- 83**: Vorkommen von Kalkspath in Württemberg 1851.
- 84**: Kalkspathzwillinge 1929; Untersuchung von Cölestin- und Schwerspathkrystallen 1934.
- 86**: Pseudomorphosen von Kalkspath nach Glauberit, Gyps und Thenardit 2299.
- Levallois (A.), **80**: Soja hispida 1078.
- 81**: Soja hispida 1024.
- 83**: Einwirkung des Schwefelbleies auf Metallchloride 394 f.
- 84**: Drehung der Polarisations-ebene durch Lösungen von Cellulose im Schweizer'schen Reagens 302, 303; durch Lösungen von Reducti-on-producten von Nitrocellulosen 302 f.; optisches Verhalten von Cellulose und Nitrocellulosen 1408; Bestimmung ätherischer Oele 1667.
- 85**: optisches Drehungsvermögen der Cellulose-Lösung 340; Austrocknung von Pflanzen, Einfluß derselben auf die ätherischen Oele 1790.
- Levat, **83**: Untersuchung des Melonen-saftes 1748.
- Leverkus (C.), **86**: Herstellung von trockenem Alizarin 2206; siehe Jagenburg.
- Levi (L. E.), **86**: Diphenylthiänyl-methan 1193; Darstellung und Derivate der  $\beta$ - und  $\gamma$ -Thiotolensäure (Methylthiophensäure),  $\beta$ - $\beta$ -Thiophen-dicarbonsäure 1360 f.
- Levin (A.), **84**: Anwendung von Bor-säure in der Alkalimetrie 1548.

- Levin (J.), siehe Engler (C.).
- Levin (J.) und Riehm (P.), **86**: Einwirkung von Aceton auf m-Xylidin: Tetramethylchinolin 943 f.
- Levin (W.), **82**: krystallographische Untersuchung von Di-p-tolylthioharnstoff, p-Tolylurethan 384 f.; Krystallform des Tribromphenol-Benzoyls 672; Krystallformen der o-Monoamidophenolsulfosäure und m-Diamidobenzolsulfosäure (o-Amidosulfinphenol, m-Diamidosulfinbenzol) 1010 f.
- Levinstein (J.), **84**: Vorkommen der 3 isomeren Xylole in englischen und schottischen Theer-Xylole 532 f.; Methoden zur Bestimmung der isomeren Modification des Xylole 1818 f.; Herstellung von Nitroanilinen 1742, Azofarbstoffe aus  $\beta$ -Naphtholmonosulfosäuren 1878.
- 86**: Salol Lanolin, Antifebrin (Acetanilid) 2069; Saccharin 2076; Lage der chemischen Industrie Englands (Kohlentheerproducte) 2169 f.
- Levison (M. G.), **80**: elektrische Phänomene 150.
- Levison (W. G.), **85**: Temperatur des Leuchters 126.
- Levitzki (M.), **80**: Reinigung des Rohkupfers 1265.
- Levoir (L. C.), **85**: Erhärtung der Cemente 2116.
- 86**: Erhärtung der Cemente 2088.
- Levy und Schultz (G.), **81**: Chlorbromderivate des Chinons 632.
- Lévy (A.), **77**: Ozongehalt der Luft 1035; Ammoniakgehalt der Luft und des Regenwassers zu Montsouris 1038.
- 78**: Ozonbestimmung in der Luft 1044.
- 80**: Ammoniakgehalt der Luft und der meteorischen Wasser 266.
- 83**: Kautschuk 1426.
- Lévy (A. M.), **77**: Variolit 1361.
- 80**: Orthoklas 1471.
- 82**: Sphärolithe der Eruptivgesteine 1590; siehe Fouqué (F.).
- Lévy (A. M.) und Bourgeois (L.), **82**: Verhalten des Zinndioxyds gegen kohlen. Natrium beim Schmelzen, Dimorphismus des Zinndioxyds 342 f.; mikrochemischer Nachweis von Zirkon 1527 f.
- Lévy (L.), **80**: savoyische Mineralquellen 1535.
- 86**: Verhalten des Anilins und seiner Homologen gegen Phosphorsäure: secundäres und tertiäres phosphorsaures Anilin 804; secundäres phosphorsaures p-Toluidin, primäres o-Toluidin, Abscheidung des p- und o-Toluidins aus dem technischen Toluidin 805; Trennung von Anilin, o- und p-Toluidin mittelst der Phosphate, Toluidinhydrat, Verhalten der Xylidine und Cumidine gegen Phosphorsäure 806; Farbreactionen von Säuren des Titans, Niobs, Tantal, Zinns, Arsens, Vanadins, Antimons, Wismuths mit Phenolen 1898 ff.
- Levy (L. E.), **85**: Darstellung von Benzyloxanthranol und von Dehydrobenzyloxanthranol 1654.
- Levy (M.), **77**: mechanische Wärmetheorie 87.
- 78**: Ausdehnungsgesetz, allgemeines, von Gasen 68; Berechnung der beiden specifischen Wärmen und der Massieu'schen Function eines Körpers 70; Entglasung 1261.
- 83**: elektromotorische Kraft einer dynamoelektrischen Maschine 208; siehe Fouqué (F.).
- Levy (Michel), siehe Fouqué.
- Levy (S.), **83**: m-Dichlorchinon und Derivate aus m-Dichlor-p-phenylen-diamin, m-Dichlor-m-dibromchinon, m-Dichlor-m-dibromhydrochinon 1004.
- 85**: Constitution der Chlorbromanilsäure, Darstellung von p-Dichlor-p-dibromchinon, p-Dichlor-p-dibromhydrochinon, Diacetyl-p-dichlor-p-dibromhydrochinon, Diacetyl-m-dichlor-m-dibromhydrochinon 1666; Chlorbromanilsäure 1667; Darstellung der Säure  $C_6H_4O_4$  durch Oxydation von Copaivabalsamöl 1821.
- Levy (S.) und Engländer (P.), **85**: Vorkommen der asymmetrischen Dimethylbernsteinsäure in den Oxydationsproducten des Copaivabalsams: Diäthyläther, Anhydrid, Imid dieser Säure 1403 f.
- Levy (S.) und Schultz (G.), **80**: Chlorchinone 729 f.
- Lewes (V.), **81**: Salze der Pentathionsäure 168.
- 82**: Zersetzung der Tetrathionsäure und Pentathionsäure 231 f.
- Lewes (Vivian B.), siehe Cowper (R.).
- Lewin (J. M.), **81**: Nitroglycerin, Forcitt 1274.
- 82**: gallertartiges Nitroglycerin, Forcitt 1411.

Lewin (L.), **78**: Verhalten von Schlippe'schem Salz im Thierkörper 1010.

**79**: Glycerineinfluss auf den Organismus 951.

**80**: Xanthogensäure 1107; trisulfocarbonsaure Alkalien im Thierkörper 1107 f.

**81**: Respiration 1030.

Lewin (W.), **82**: Krystallform des  $\beta$ -m-brom-o-nitrobenzoës. Natriums 902.

Lewinstein (J.), **83**:  $\beta$ -Naphtoltrisulfosäure 1292; die Entwicklung der Alizarinindustrie 1821.

**85**: Darstellung von m-Nitroaminbasen 2082 f.; Nitroanilin, Phenylendiamin, Nitro-o-toluidin, Toluylendiamin 2082; o-Nitro-p-toluidin, m-Toluylendiamin 2083.

Lewis, **80**: Bleiweiß aus natürlichem Schwefelblei 1303.

Lewis (D. S.), siehe Storer (F. H.).

Lewis (G. T.), **83**: Verarbeitung des Bleirauches 1678.

Lewis (G. W.), **77**: spec. Gewicht von Salzen 44.

Lewis (H. C.), **81**: Philadelphit, Siderophyllit 1386.

**82**: Autunit von Philadelphia 1543; Glimmerverwachsungen 1553; Phytokollit von Pennsylvanien 1578; Antimonerz von Mexico 1580; Pseudomorphosen von Serpentin nach Dolomit 1584.

**84**: Untersuchung von Kalkstein 1930; Untersuchung von Serpentin 1964; Untersuchung von Krakatoasche 2027.

**86**: Vorkommen von Kobaltblüthe 2260; Vorkommen von Nickelgymnit (Genthit) 2276.

Lewis (H. C.) und Genth, **81**: Siderophyllit 1386.

Lewis (H. C.) und Haines (R.), **82**: Helvin von Virginia 1551.

Lewis (M. T.), **83**: Analyse des Damourits von Belt's Bridge, Nordcarolina 1836 f.

Lewis (R. A.), **83**: Differentialanemometer 1657.

Lewis (W. H. D.), **78**: Lobelin 957 f.; Lobelinsäure, Lobelacrin 958.

Lewis (W. J.), **77**: Baryumnitrat 244; Gold 1258; Glaukodot, Akontit 1260; Spheh 1340.

**78**: Krystallform des Quercits und Inosits 529; Inosit und Quercit 923; Dufrenoyssit, Binnit, Jordanit 1210.

**79**: Rechnungsmethoden rhomboëdrischer Krystalle 2.

**82**: Pseudobrookit von Murcia, Quarzflächen 1526; Zoisit 1545; Vesuvian von Zermatt 1546.

**83**: Stephanit von Wheal Newton, Cornwall 1835; Pseudobrookit von Jumilla in Spanien, neue Formen des Quarzes 1838; krystallographische Untersuchung eines Epidotkrystalles 1873; krystallographische Untersuchung eines Vesuvians 1874.

**84**: Krystallform von Miargyrit 1909.

Lewkowitsch (J.), **79**: Nitrofettsäuren 600 f.

**82**: rechtsdrehende Mandelsäure aus inactiver durch Pilzvegetation 923.

**83**: optisches Verhalten der Mandelsäure aus Amygdalin 1152; Spaltung der inactiven Mandelsäure in Rechts- und Linksmandelsäure durch Pilze und durch Cinchonin 1152 f.; Umwandlung von Rechts- und Linksmandelsäure in inactive Mandelsäure, Glycerinsäure und Milchsäure gegen *Penicillium glaucum* 1154.

**84**: Drehung der Polarisations-ebene durch Leucin 302.

Lewuschew (S.) und Klikowitsch (S.), **83**: Einfluß alkalischer Mittel auf die Zusammensetzung der Galle 1455.

Lewy (L.), **83**: Abscheidung von o-Toluidin aus Gemengen mit p-Toluidin oder p-Toluidin und Anilin 1772; siehe Tiemann (F.).

Lextrait, **81**: Strychnin (Chinin) und Chloroform 961.

Lextreit, **86**: Verhalten der Terpene gegen Pikrinsäure 612 f.

Ley (N.), **77**: Oxydation von Oxy-säuren, Leucinsäure, Oxycaprinsäure 669; Oxyheptylsäure,  $\alpha$ -Hydrocaprylsäure 670.

Leyendecker (W.), **77**: Bleiverbindungen, Fabrikation 1155.

Leymann (H.), **82**: Verhalten des Monochlor- $\alpha$ -dinitrobenzols: Dinitromethyl-, Dinitrodimethtylanilin, Bromdinitroanilin, Dinitromethyldiphenylamin 459; Dibromdinitromethyldiphenylamin, Dinitrophenyltoluylendiamin, Dinitrophenyl-phenylendiamin 460; siehe Döbner (O.); siehe Will (W.).

Leymerie, **77**: Quecksilber 1257.

- L'Hôte (L.), **79**: Reinigung von phosphorsaurem Calcium 1126.  
**84**: Prüfung von Zink auf Arsengehalt 1699 f.; siehe Bergeron (G.); siehe Brouardel (P.).
- Liborius (P.), **81**: *Rhinanthus communis* (Rhinacanthin) 1022.
- Licht (O.), **84**: Burette 1688.
- Lichtenstein, **83**: Darstellung des der Trona entsprechenden Kaliumsesquicarbonats 344 f.
- Lichtenstein (L.), **81**: Verbindungen aus schleims. Anilin und Toluidin durch trockene Destillation 749.
- Lichtheim, siehe Nencki (M.).
- Liddle (W. T.), siehe Smith (W.); siehe Barnes (J.).
- Lidoff, **82**: Umwandlung von Weinsäure in Traubensäure 858.
- Lidoff (Lidow) (A.), **80**: Caviar 1344; russische Kohlen 1481.  
**81**: Schwefelwasserstoff aus Schwefel 160.  
**82**: Löslichkeit des gallussauren Aluminiums 915.  
**83**: Löslichkeit des Anilins in Anilinchlorhydrat 695.  
**84**: Elektrolyse von Sulfocyanammonium, Kanarin 482 f.; Löslichkeit des Anilins in wässrigen Lösungen seines Chlorhydrats 684; Untersuchung über Fibroin 1479, 1834; Darstellung von Kanarin aus Rhodanammonium 1847; siehe Tichomirow (W.).  
**85**: Bildung von saurem schwefels. Hydroxylamin 411 f.; Bleichverfahren 2204.
- Lidoff (A.) (Lidow) und Tichomirow (W.), **82**: Bildung von unterchlorigsauren und chloresauren Salzen durch Einwirkung des elektrischen Stromes auf Chlormetalle 158.  
**83**: Einwirkung des elektrischen Stromes auf Chlormetalle und Chlorate 221 f.
- Liebe (K. Th.), **84**: Schwefelwasserstoff-eruptionen 2029 f.
- Lieben (A.), **80**: Chlorkalcium und fette Säuren 1395; Quellwasser 1529.  
**81**: Buttersäure und Chlorkalcium 659 f.; siehe Haitinger (L.).
- Lieben (A.) und Haitinger (L.), **83**: Pyridin aus Komenaminsäure 1094; Chelidonsäure 1101; Umwandlung von Ammonchelidonsäure in Oxy-pyridin 1101 f.; Dibromoxypyridin 1102.
- Lieben (A.) und Janecek (G.), **77**: Hexylalkohol 534; Oenanthylsäure 721.
- Lieben (A.) und Zeisel (S.), **79**: Aldehydcondensationen 551.  
**80**: Aldehyde, Crotonchlorid 1894.  
**81**: Crotonaldehyd und Derivate 595 ff.; Reduction des Crotonchlorals 598.  
**83**: Condensationsproducte von Aldehyden: Methyläthylacrolein (Propyldenpropylaldehyd) 958; Derivate des Methyläthylacroleins: Methylpropylacetaldehyd (Capronaldehyd), Methylpropylcarbincarbinol, Hexylenglycerin 959;  $\alpha$ -Methyl- $\beta$ -Äthylacrylsäure (Homotiglinsäure), Dioxycapronsäure, Dibromcapronsäure 960; Aldehyd gegen Monochloraldehydhydrat: Monochlorcrotonaldehyd 961.  
**86**: Darstellung, Reduction und Oxydation von Tiglinaldehyd ( $\alpha$ - $\beta$ -Dimethylacrolein, Guajol) 1630 f.; Hydrotiglinaldehyd, Methyläthylcarbincarbinol, Pentenylglycerin 1631.
- Lieber (K.), **79**: Soda und Potasche 1109.  
**81**: Aluminiumpalmitat als Lack 1270.  
**83**: Herstellung von Baryum- und Strontiumcarbonat, Chlorbaryum und Chlorstrontium gegen Calciumcarbonat bei Gegenwart von Kohlensäure 1696.
- Liebermann (C.), **77**: Constitution des Benzols 368; Erkennung von Chinon durch Hydrocöculignon, Chinhydron 646, Thimochinon 646, 648; Thymol- und Thymonchinonderivate 648; Chinon, Naphtochinon 649.  
**78**: Pitakall 599; Dioxyanthracene 609, 610; Constitution des Chinizarins 611; Dioxibenzophenon aus Pararosanilin und Rosanilin, Phenolfarbstoff 631; Farbstoffe der Vogeleier 1013 f.  
**79**: Exsiccator zur Verdunstung von Schwefelkohlenstoff, Aether u. s. w. 60;  $\alpha$ - und  $\beta$ -Disulfosäure des Anthracens, Chrysazin 545 f.; Reduction von Anthrachinonsulfosäure 588 f.  
**80**: Fluorescenz in der Anthracenreihe 191 f.; Phenylthiourethan 427 f.; Reduction von Anthrachinon 740 f.; Glycerin im Biere 1227.  
**81**: Alkyloxanthranole 618;  $\alpha$ -Naphtochinon aus  $\alpha$ -Naphtolorange 644;  $\beta$ -Naphtochinon,  $\beta$ -Naphtohydro-

chinon und Derivate 645;  $\beta$ -Nitroso- $\alpha$ -naphtol 646.

**82:** Reduktionsversuche in der Anthrachinonreihe 790; Gewinnung von Benzol, Naphtalin und Anthracen aus Petroleumrückständen in Baku 1465; Azofarbstoffe mit Anthrol 1490.

**83:** Fuchsin gegen Wasser beim Erhitzen: Diamidohomobenzophenon 734 f.; Amidooxyhomobenzophenon 735;  $\alpha$ - und  $\beta$ -Naphtoisocyanid 740; Constitution der Azonaphtolfarbstoffe 793 bis 795; Benzolazo- $\alpha$ -naphtol und Benzolazo- $\beta$ -naphtol 794;  $\alpha$ -Mononitroanthrachinonmonosulfosäure gegen Schwefelsäure 1293; Di- und Mononitroanthrachinon aus Anthrachinon 1296.

**84:** Erythrooxyanthrachinonsulfosäure 1345; Formel von Acetylquercetin 1401; Untersuchung über Chinovin 1409 f.; Chinovasäure, Benzchinovasäure, Novasäure, Chinoterpen, Chinochromin, Chinovit 1410; Untersuchung von Sylvinsäure und Pimarsäure 1451 f.; Siambenzol 1452; Bestimmung des Fettgehaltes der Milch 1674.

**85:** Einwirkung von Hydroxylamin und Phenylhydrazin auf Alkyl-oxanthranole, Constitution des Oxanthranols und der Alkyl-oxanthranole 1654; Verhalten von Benzochinon und von  $\alpha$ -Naphtochinon gegen Schwefelsäure 1660; Zusammensetzung des Quercitrins und Rhamnetins 1770; Untersuchung des Oxychinoterpens (Cholestols): Benzoyl- und Acetylcholestol 1805; Einwirkung von Brom auf Quercetin 1806; Untersuchung des Waxes und Fettes der Cochenille: Coccerin, Coccerylsäure, Coccerylalkohol, Myristin 1846; Untersuchung der Cochenille und des Cochenillecarmins 1847.

**86:** Constitution der sogenannten Azooceansäure 1044 f.; Verhalten von Nitroceansäure gegen Aceton: grüner Farbstoff (Tetramethoxyindigodicarbonylsäure) 1045 f.; Untersuchungen über die Oceansäure 1480 bis 1486; Phenylhydrazinderivate der Opiansäure und Nitroceansäure 1480 f., der Azooceansäure 1481 f.; Verhalten der Opiansäure gegen Hydroxylamin: Hemipinimid und Derivate 1483 f.; Anilinoximsäureanhydrid 1484 f.; Anilidoceansäure und Derivate 1485 f.;

Oxydation der Mononitroceansäure: Mononitrohemipininsäure, Opiansäureanhydrid 1486; Vorkommen von Coccerin auf der lebenden Cochenille 1840; siehe Gräbe (C.).

Liebermann (C.) und Bischoff (A.), **80:** Anthracenmonosulfosäure 932 f.

Liebermann (C.) und Böck (K.), **78:** Umwandlung des Anthracens in Anthrarufin (Dioxyanthrachinon), Derivate des letzteren 610; Anthracendisulfosäure, Dioxyanthracen 557 f.; Chrysazinsulfosäure, Anthracenmonosulfosäure 858.

Liebermann (C.) und Bollert (A.), **82:** Amidoanthracen (Anthramin) und Derivate aus Anthrol 572 f.

Liebermann (C.) und Burg (O.), **78:** Verwerthung von Braunkohlentheer 1171.

Liebermann (C.) und Dehnst (J.), **79:** Anthrarufin, Chrysazin 590 f.

Liebermann (C.) und Giesel (F.), **77:** Reduction des Chinizarins, Chinizarinhydrür und Anthracenhydrürhydrochinon 594.

**83:**  $\alpha$ - und  $\beta$ -Chinovin,  $\beta$ -Chinovin-Alkohol 1369; Chinovin gegen alkoholische Mineralsäuren: Chinovinzucker und Chinovasäure, Brenzchinovasäure, Novasäure und Chinochromin aus Chinovasäure 1370.

Liebermann (C.) und Glock (G.), **84:** Derivate der Anthrachinoncarbonsäure, Darstellung 1298 f.; Chlorid 1298; Aethyläther, Amid, Anilid, Mononitroanthrachinoncarbonsäure 1299.

Liebermann (C.) und Goldschmidt (A.), **77:** Aldehydammoniak gegen Silbernitrat (Aethylidenimidsilbernitrat 431.

Liebermann (C.) und Grüne (H.), **86:** Constitution der Azooceansäure: Umwandlung derselben in Acetyl-o-amidohemipininsäure 1491 f.

Liebermann (C.) und Hagen (H.), **82:** Anthrol-Aethyläther, -Methyläther,  $\alpha$ - und  $\beta$ -Naphtol-Aethyläther, Dioxynaphtalin-Diäthyläther, Phenole gegen Alkohol und Salzsäure 726; Dinitroanthrol-Aethyl- und -Methyläther (Mononitroanthroläther-Nitroanthron) 726 f.; Mononitrooxyanthrachinon-Aethyläther, Monoamidooxyanthrachinon-Aethyläther 727; Anthrol-Aethyläther gegen Chromsäure: Oxyanthrachinon-Aethyläther 727 f.;



- Amidoxyanthrachinon** (Alizarinamid), Anthraflavinsäure-Aethyläther gegen Kali und Schwefelsäure, Oxyanthroläther (Flavoläther) gegen Salpetersäure 728; Amidoerythroxyanthrachinon und Amidopurpuroxanthin aus Dinitroanthrachinon 791 f.
- Lieberrmann (C.) und Hagen (A.), 83:** Einwirkung von concentrirter Schwefelsäure auf Di- und Triallylamin 641.
- Lieberrmann (C.) und Hamburg (S.), 79:** Quercitrinsorten 860 f.
- Lieberrmann (C.) und Hörmann (O.), 78:** Untersuchung der Amasia-Gelbbeeren 926 f.
- 79:** Anthrol 544 f.; Gelbbeeren 939 f.
- Lieberrmann (C.) und Homeyer (J.), 79:** Tolantetrachlorid, Tolandichlorid, -dibromid 392 f.
- Lieberrmann (C.) und Ilinski (M.), 85:** Untersuchung des Polythymochinons 1667 bis 1669; Thymochinon, Thymohydrochinon, Thymochinhydrat, Polythymochinon gegen salzsa. Phenylhydrazin 1667; Polythymochinonmonoxim, Löslichkeit der Chinonoxime (Nitrosothymol und Nitroso-naphtole) in Salzsäure, Amidothymol, Polythymochinondioxim, p-Diamidothymol, Nichteintritt einer Polymerisation bei p-Xylylchinon, Durochinon, Dibromthymochinon, Nitrosothymol, Darstellung von Thymochinon, Nitrosothymol 1668; Monoamidothymol 1669.
- Lieberrmann (C.) und Jacobson (P.), 82:** Constitution und Entstehung des  $\beta$ -Naphtochinons 781.
- Lieberrmann (C.) und Kleemann (S.), 84:** Identität der bei der Reduction des Saccharins mit Jodwasserstoff erhaltenen Capronsäure mit der Methylpropylessigsäure, Methylpropylacetessigäther 1158 f.
- 86:** Acetyl- und Propionylderivate der Opian-, Nitroopian- und Azopiansäure 1486 f.; Verhalten der Opiansäure gegen Malonsäure: Mekonessigsäure und Derivate, Opianyllessigsäure 1487 bis 1490.
- Lieberrmann (C.) und Knietzsch (R.), 80:** Aesculin und Aesculetin 1027 f.
- Lieberrmann (C.) und Kostanecki (St. v.), 84:** Einwirkung von Diazoverbindungen auf Phenole: Phenylazo-p-kresol; Phenylazo-o-kresol; Cumylazoresorcin 798; Cumylazoresorcinazocumyl, Amido-p-kresol, Amido-o-kresol 799; Phenylazoresorcin 800; Phenylidiazoresorcin, Cumylazoresorcin, Cumylidiazoresorcin 801; p-Phenetolazoresorcin, p-Phenetolazop-kresol, Diazoamidocumol 802; Cumylazocumenol, Phenylazocumenol 803; Sulfanilazocumenol, Verhalten von o-Kresol, p-Kresol, Cumenol gegen nitroshaltige concentrirte Schwefelsäure 804; Darstellung des blauen Farbstoffes aus diazotirter Amidophenylazo- $\beta$ -naphtholdisulfosäure 832; Untersuchung von Azofarbstoffen 1874.
- 85:** Bildung von Oxyanthrachinonen (Rufinverbindungen) 580 f.
- 86:** Spectra der methyilirten Oxyanthrachinone 306; Anthrachinonderivate aus m-Oxybenzoesäure 1661; analytische Unterscheidung der Oxyanthrachinone 1964.
- Lieberrmann (C.) und Landshoff (L.), 80:** Aether gegen Phosphorpentachlorid 605.
- 81:** Anthracendihydrür und Aethylanthracendihydrür gegen Salpetersäure (Hydroanthracennitrit) 368 bis 370; Amyloxanthranol 618; Aethylloxanthranol 619 f.; Methylloxanthranol 619.
- Lieberrmann (C.) und Lange (A.), 79:** Constitution der Thiohydantoine 358 f.
- 81:** thioglycols. Blei 678.
- Lieberrmann (C.) und Lindemann (L.), 80:** Anthracen, Nitrosubstitutions- und Additionsproducte 498 f.
- Lieberrmann (C.) und Mastbaum (H.), 81:** Brom gegen Aesculetin, Aescorcin 991; Indicator für die Alkalimetrie 992.
- Lieberrmann (C.) und Natanson (S.), 80:** Tolythiourethane 428 f.
- Lieberrmann (C.) und Paal (C.), 83:** Homologe und Derivate des Allylamins 637 bis 640; substituirte Allylamine gegen Schwefelsäure 640.
- Lieberrmann (C.) und Plath (H.), 77:** Pseudopurpurin und Purpurin 589.
- Lieberrmann (C.) und Scheibler (C.), 83:** Reduction von Saccharin;  $\alpha$ -Methylvalerolacton und Methylpropylessigsäure 1364.
- Lieberrmann (C.) und Seidler (P.), 78:** Chrysarobin 668 f.

Lieberrmann (C.) und Simon (S. E.),

**80:** Oxyanthranol 573.

Lieberrmann (C.) und Tauchert,

**80:** Catechin 1062 f.

Lieberrmann (C.) und Tobias (G.),

**81:** Amylanthracen und Derivate 371; Amylhydroanthranol, Butylhydroanthranol, Butylanthracen 372; Aethylanthracen 572 f.

Lieberrmann (C.) und Völtzkow (M.), **80:** Senfölglycolide 405 f.

Lieberrmann (C.) und Walder, **81:** Butyloxanthranol und Derivate 620.

Lieberrmann (L.), **77:** Schwefel gegen Eisessig 209; Thierkohle gegen Salzlösungen 237; Bildung von Glycose 524; Nitrobenzoesäuren 740; Thierkohle gegen Salzlösungen 1143.

**79:** Eiweißkörper gegen Aetzbaryt 872; Fuchsin im Wein 1075.

**81:** Thiohydantoine und Thiourethane 332 f.

**82:** trockene Destillation der Weinsäure 854; Bestimmung der schwefligen Säure im Wein 1332 f.; Apparat zur Schmelzpunktsbestimmung von Metallen 1349; Apparat zur Bestimmung des Entflammungspunktes des Petroleums 1458 f.

**83:** „Eiweißrest“ 1643; volumetrische Methode zur Bestimmung des Fettgehaltes der Milch 1644 f.; spec. Gewicht der Butter 1645.

**85:** MilCHFettbestimmung 1988.

Liebig (G. A.), **83:** spec. Wärme des Wassers 121 f.

Liebig (H. v.), **81:** Werthbestimmung der Phosphorsäure in Düngern 1288.

**83:** Analysen von frischer und condensirter Milch 1728.

Liebig (M.), **79:** Apparate für die Gasanalyse 1085.

Liebig (Th.), **77:** analytisch-geometrische Behandlung der Krystallographie 1.

**78:** analytisch-geometrische Behandlung der Krystallographie 1.

**79:** Krystalle, Relationen der Flächenwinkel. Krystallzwillinge 1.

Liebmann (Ad.), **80:** Cumol 443 f.

**81:** Homologe des Phenols: Isobutylphenol 567 f.

**82:** Synthese homologer Phenole: Isobutylphenol, Isobutylphenolsulfosäure, Amylphenol 661, Benzylphenol 661 f.; Isobutylphenol - Aethyläther, Isoamylphenol - Aethyläther, Salicylsäure gegen Butylalkohol 662.

**85:** neue  $\beta$ -Naphtylaminmonosulfosäure und  $\beta$ -Naphtolmonosulfosäure, Azofarbstoffe aus denselben 2239; siehe Wallach (O.).

Liebmann (A.) und Studer, **86:** Erkennung des Rosanilins in Weinen 1987 f.

Liebreich (A.), **85:** Darstellung von Dipiperidyl aus Nicotin, Salze dieser Base 1682 f.

**86:** Darstellung und Derivate des Dipiperidyls 1691 f.; Constitution des Nicotins (Hexahydropyridyl) 1693.

Liebreich, **86:** Gewinnung von Wollfett und Lanolin, Nachweis von Cholesterinfetten 2164.

Liebreich (O.), **86:** todtter Reactionsraum bei der Einwirkung von Natriumcarbonat auf Chloralhydrat und von Jodsäure auf schweflige Säure 32 f.

Liebscher, **84:** Einwirkung des Conservesalzes auf die Haltbarkeit von Rübenschnitteln 1771; siehe Kobert. Liebschutz (M.), siehe Pellet (H.).

Liechti (L.) und Schwitzer (H.), **85:** Chrombeizen: störender Einfluss von Alkalisulfat auf die Fixierung des Chromoxyds, Löslichkeit von Baryumsulfat in Chromoxydsalzlösungen 2208 f.; Passivität der Chromacetate und -rhodanide gegen Fällungsmittel, Farbenänderungen der Beizen 2208; Löslichkeit von Bleisulfat in Chrombeizen, Aluminiumacetatbeizen 2209.

Liechti (L.) und Suida (W.), **83:** Verhalten von Beizen: Dissociation von Thonerde und Eisenoxydsalzen, Verhalten der Textilfaser gegen Thonerde- und Eisenoxydsalze 1784 f.; Zusammensetzung und Wirkungsweise der Türkischrothöle, Glycerintrioleat und Glycerintriricinoleat gegen concentrirte Schwefelsäure 1789 bis 1792; Beiz-, Färbe- und Avivirversuche 1792.

**84:** Verhalten von Thonerde- und Eisenoxydsalzlösungen 1841; Eisenoxydbeizen für Seide 1743; Untersuchung von Türkischrothöl 1845; Untersuchung von Anilinschwarz 1845 bis 1857.

**85:** Theorie des Alizarinroths Aluminium- und Calciumalizarate 2246 f.

**86:** Eisen- und Chromalizarate 2206 f.

Liegel (F.), **78**: Feuerungssystem mit Schlitzgeneratoren 1168.  
 Liepmann (H.), siehe Fittig (R.).  
 Liesegang und Scolik, **83**: Bereitung von Bromjodsilbergelatine 1823.  
 Lietzenmayer (O.), **78**: Absorption von Wasserstoff durch Kupfer 1040 f.  
 Lieventhal (E.), **86**: alkaloidartige Körper im Störflisch 1841.  
 Lifschütz (J.), **84**: Einwirkung concentrirter Schwefelsäure auf Di-o-nitroanthrachinon: Diamidoanthrachinon, Dioxyanthrachinon 1072 f.; Untersuchung von Erythrooxyanthrachinonsulfosäure 1344; Dioxamidoanthrachinonsulfosäure 1345.  
 Lightfoot (T. B.), **86**: Eisbereitmascininen 2045.  
 Lilienfein (C.), **84**: Petroleumlampe 1685.  
 Lilienfeld (A.), **83**: Gaswechsel fiebernder Thiere 1432 f.  
 Lill (M.), siehe Privoznik (E.).  
 Lill (M. v.), **84**: Analyse von Magnet-eisen 1920, von Brauneisenstein 1921, von Pignolienstein 1931, von Salzen aus Meerwasser 2031.  
 Liman (C.), **78**: Umwandlung von Kohlenoxydhämoglobin in Oxyhämoglobin 999 f.  
 Limpach (L.), **77**: Stearolsäure, Azelaldehydsäure, Pelargonsäure 728.  
**83**:  $\beta$ -Naphtholtrisulfosäure 1292; siehe Conrad (M.); siehe Wislicenus (J.).  
 Limpricht (H.), **77**: Diazosulfobenzolsäuren 493; Ersetzung von  $\text{SO}_3\text{H}$  durch H: Brom- und Amidosulfobenzolsäuren 817; Diazosulfobenzolsäuren 819; Paradibromsulfobenzolsäure 826; Nitro- und Amidoparadibromsulfobenzolsäure 828; Tribromsulfobenzolsäure, Paradibromdisulfobenzolsäure 830; Amidobromsulfobenzolsäure 831.  
**78**: Darstellung von Amidverbindungen 329.  
**81**: Brombenzolsulfosäure 866 f.; isomere Azobenzoldisulfosäuren 871;  $\alpha$ -Hydrazobenzoldisulfosäure 872; Hydrazobenzoltetraulfosäure 873.  
**82**: Reduction der  $\alpha$ -Azobenzoldisulfosäure: Sulfanilsäure 1003.  
**85**: Darstellung und Eigenschaften von Mononitrotoluidinen aus Dinitrotoluolen 874 ff.; Verhalten einiger Mononitrotoluidine gegen Reduktionsmittel 876 ff.; Azoxytoluidin 877; Dar-

stellung der Hydrazine von Sulfosäuren 1088 bis 1091: p-Hydrazinbenzolsulfosäure, m-Hydrazinbenzolsulfosäure 1089; Anwendung des Schwefelsäuremonochlorhydrins zur Darstellung aromatischer Sulfosäuren 1577 f.;  $\beta$ -Amidobenzoldisulfosäuren 1581 (Anm. 3).  
 Limpricht (H.) und Bauer (R.), **85**: Untersuchung von Azobenzoldisulfosäuren und Azobenzoldisulfinsäuren 1593 bis 1595: m-Hydrazolbenzoldithiodisulfosäure 1593; m-azobenzolmonothiodisulf. Baryum, azobenzoldisulf. Kalium, m-Azobenzoldithiodisulfosäure, m-Azobenzoldisulfinsäure 1594; p-Azobenzoldithiodisulfosäure und p-Azobenzoldisulfinsäure 1595.  
 Limpricht (H.) und Biel, **85**: Phenylhydrazinmonosulfosäure 1090 f.; Darstellung von m-Xylol-p-sulfosäure 1583.  
 Limpricht (H.) und Brunnemann, **78**: Darstellung und Untersuchung von m-Azobenzolsulfosäure 497 f.  
 Limpricht (H.) und Foth (G.), **85**: Nitrotolylhydrazinmonosulfosäure 1089 f.; Hydrazinverbindungen aus Hydrazobenzoldisulfosäure 1090; Darstellung von Mononitrotoluidinsulfosäure, Mononitrodiazotoluolsulfosäure, o-Mononitrotoluolsulfosäure, deren Chlorid und Amid, Oxyäthylnitrotoluolsulfosäure 1582; Monojodtoluidinsulfosäure, Toluylendiaminsulfosäure 1583.  
 Limpricht (H.) und Gronow, **85**: Darstellung von Dinitroxylotolsulfosäure, deren Chlorid und Amid, Bildung von Säurechloriden aus Säureamiden 1585.  
 Limpricht (H.) und Hasse (H.), **85**: Darstellung von m-Mononitrobenzolsulfosäure, o-Toluidinmono- und o-Toluidindisulfosäure (Monoamidotoluoldisulfosäure), Diazotoluoldisulfosäure, Kresoldisulfosäure 1578; Oxäthyltoluoldisulfosäure, o-Monobromtoluoldisulfosäure, Chlorid und Amid dieser Säure, Toluoldisulfosäure, Monojodtoluoldisulfosäure, Toluoldisulfchlorid und -amid 1579.  
 Limpricht (H.) und Heffter (A.), **83**: m-Mononitrobenzolmonosulfosäureamid und p-Monochlortoluol-o-monosulfosäureamid gegen salpetrige Säure 1241; p-Monoamidotoluol-o-monosulfosäureamid gegen salpetrige

- Säure 1243; Azotoluoldisulfosäureamid 1244; p-Monoamidotoluol-o-monothiosulfosäure und Salze 1264; p-Monoamidotoluol-o-monosulfosäure und Salze 1164 f.; p-Diazotoluol-o-monosulfinsäure 1266; p-Oxyäthyltoluol-o-monosulfosäure, Salze und Derivate 1266 f.; p-Oxymethyltoluol-o-monosulfosäure und Salze 1267; Toluolsulfoamin aus p-Monoamidotoluol-o-monothiosulfosäure und aus p-Monoamidotoluol-o-monosulfinsäure 1267 f.
- Limpricht (H.), Heffter (A.), Hybbeneth (F.) und Paysan (W.), **83**: aromatische Sulfosäureamide gegen salpetrige Säure 1241 bis 1245.
- Limpricht (H.), Heffter (A.) und Paysan (W.), **83**: Amidotoluolthiomonosulfosäuren 1264 bis 1271.
- Limpricht (H.) und Hiller, **85**: o-Hydrazintoluol-p-monosulfosäure 1089.
- Limpricht (H.) und Hybbeneth (F.), **83**: m-Monoamidobenzolmonosulfosäureamid gegen salpetrige Säure 1241 bis 1243.
- Limpricht (H.) und Jaworowicz, **85**: Darstellung von o-Toluidindisulfosäure (o-Monoamidotoluoldisulfosäure) 1581 f.
- Limpricht (H.), Langfurth (A.) und Bäfsmann (R.), **78**: Identität der Tribromsulfobenzolsäuren aus Tribrom-m-amidosulfobenzolsäure und aus symmetrischem Tribrombenzol 840 f.
- Limpricht (H.) und Mahrenholtz, **78**: Darstellung von m-Azobenzolsulfosäure 495 f.
- Limpricht (H.) und Palis, **78**: Reduction von p-Nitro-o-sulfotoluolsäure 507 f.
- Limpricht (H.) und Paysan (W.), **83**: o-Monoamidotoluol-p-monosulfosäureamid gegen salpetrige Säure 1244 f.; o-Monochlortoluol-p-monosulfosäure, äthyl oxydtoluolmonosulfosäures Baryum 1245; o-Monoamidotoluol-p-monothiosulfosäure 1268 f.; o-Monoamidotoluol-p-monosulfinsäure 1269 f.; o-Oxyäthyltoluol-p-monosulfosäure 1270; Toluolsulfoamin aus o-Monoamidotoluol-p-monosulfinsäure, Salze 1270 f.
- Limpricht (H.) und Raab, **85**: Nitrobenzolhydrazinmonosulfosäure, Amidobenzolhydrazinmonosulfosäure 1090; Darstellung von m-Mononitroanilinsulfosäure (m-Mononitroamidobenzolsulfosäure), Monobromnitrobenzolsulfosäure, deren Chlorid und Amid 1583.
- Limpricht (H.) und Richter (L.), **85**: p-Hydrazintoluol-m-monosulfosäure, p-Hydrazintoluoldisulfosäure 1089; Darstellung von p-Toluidindisulfosäure (p-Monoamidotoluoldisulfosäure) 1579; Diazotoluoldisulfosäure, Kresoldisulfosäure, p-Monobromtoluoldisulfosäure, deren Chlorid und Amid, p-Monojodtoluoldisulfosäure, deren Chlorid und Amid 1580; Toluoldisulfosäure, hydrazintoluoldisulfos. Baryum; isomere p-Toluidindisulfosäure (p-Monoamidotoluoldisulfosäure) 1581.
- Limpricht (H.) und Sartig (J.), **85**: Darstellung von m-Xylidin-p-sulfosäure, m-Diazoxytol-p-sulfosäure 1583; Monobromxylolsulfosäure, Xylenolsulfosäure, Oxyäthylxylolsulfosäure, Mononitroxylidinsulfosäure, Mononitrodiazoxytololsulfosäure, Mononitroxylensulfosäure, Monobromnitroxylolsulfosäure, Oxyäthylnitroxylolsulfosäure 1584; Diamidoxylolsulfosäure, Mononitroxylolsulfosäure, Azooxyxyloldisulfosäure, Mononitrotoluylsulfosäure 1585.
- Limpricht (H.) und Ziegler (G.), **85**: Oxydation der p-Monoamidobenzolsulfosäure (Sulfanilsäure) 1591 f., der m- und o-Monoamidobenzolsulfosäure, Bildung von Azobenzoldisulfosäure, p-Azoxybenzolmonosulfosäure und m-Azoxybenzolmonosulfosäure, Oxydation von Monobromamidobenzolsulfosäure, Bildung von Dibromazobenzoldisulfosäure und Monobromazoxybenzolsulfosäure 1592; Oxydation der isomeren Dibromamidobenzolsulfosäuren, Bildung der beiden Tetrabromazobenzoldisulfosäuren, des azoxydibrombenzolsulfos. und hydrazodibrombenzolsulfos. Kaliums 1593.
- Linck (G.), **84**: Analysen von Gesteinen aus dem Grauwackengebiet von Weiler 2016.
- 86**: kristallographische Untersuchung des borwolframsauren Cadmiums 434 f.; Krystallform des sauren methylvinaconsauren Silbers 1373; siehe Seubert (K.).
- Lindbom (C. G.), **77**: Cyanverbindungen des Goldes 336.

- 78:** über Gold Doppelcyanide 332.  
 Linde (C.), **77:** Eismaschine 1105.  
 Linde (O.), **85:** Herstellung von Oel-  
 emulsionen 2184.  
 Lindemann (O.), siehe Liebermann  
 (C.).  
 Lindemann (O.), **77:** Silberbestim-  
 mung 1069; Gold von Silber 1070.  
**79:** Sauerstoffbestimmung 1030.  
 Lindenberg (J.), **86:** Analyse der  
 Valeriana Hardwickii und officinalis  
 1825.  
 Lindet (L.), **83:** Mannit aus der Ana-  
 nasfrucht 1404; Mannitgehalt der  
 Pernambuk-Ananas 1602.  
**84:** Verbindungen der Goldchlor-  
 ride mit den Chloriden des Phosphors  
 451 f.  
**85:** Bromverbindungen des Goldes  
 mit Phosphor 567 ff.; Verbindung  
 des Goldtrichlorids mit den Tetra-  
 chloriden des Schwefels und Selen-  
 s, krystallisiertes Goldtrichlorid und  
 -bromid 569.  
**86:** Verbindungen des Goldchlorids  
 mit Schwefel- und Selentetrachlorid,  
 neue Lösungsmittel des Goldchlorids  
 482; Chlorgoldphosphorsäure-Tri-  
 äthyl- und -Methyläther 1169 f.  
 Lindgreen (W.), **82:** Analysen von  
 zinkhaltigem Kalkspath 1532.  
 Lindgreen (W.) und Cay (L. W.),  
**82:** Berzelit von Longbän 1541.  
 Lindgreen (W.) und Kiutaroiwaya,  
**82:** Mimetesit von Longbän 1541.  
 Lindhorst (R.), siehe Claus (A.).  
 Lindmann, siehe Wiik (F. J.).  
 Lindner (J.), **85:** Darstellung von  
 Bromnitrophenolen, Bromnitrophen-  
 tolen und deren Amidoderivate 1235  
 bis 1237: Monobrom-m-nitrophenol,  
 Monobrom-m-nitrophenolkalium 1235;  
 Monobrom-m-nitrophenetol, Mono-  
 brom-m-phenetidin, Dibrom-m-nitro-  
 phenol, Dibrom-m-nitrophenetol, Di-  
 brom-m-phenetidin, Tribrom-m-nitro-  
 phenol, Tribrom-m-nitrophenetol  
 1236; Tribrom-m-phenetidin 1236 f.  
 Lindner (W.), **85:** Darstellung und  
 Anwendung von Wasserstoffsuper-  
 oxyd 2051 f.; Apparat zur Sauerstoff-  
 entwicklung 702.  
 Lindo (D.), **77:** Morphin gegen  
 oxydirende Agentien 881; Carbol-  
 säurereaction 1081; Santoninreaction  
 1086.  
**78:** Reactionen von Codein und  
 Morphin 873; Reduction von Salpeter-  
 säure-Brucinlösungen 912; Reaction  
 auf Elaterin 958 f.; Nachweis des  
 Traubenzuckers 1076; Reaction auf  
 Opiumalkaloide 1083 f.; auf Elaterin  
 1085.  
**79:** Zink in Kautschukwaaren  
 1149.  
**80:** Morphin und Phenol gegen  
 ammoniakalische Kupferlösung 1211.  
**81:** Bestimmung des Kaliums 1179.  
**82:** Chlorbestimmung 1264.  
**83:** Bestimmung der Phosphor-  
 säure als Magnesiumpyrophosphat,  
 Löslichkeit von Magnesiumammo-  
 niumphosphat 1542.  
**84:** verschiedene Formen der  
 Kieselsäure 372 f.; Phosphorsäure-  
 bestimmungen in natürlichen Phos-  
 phaten 1575.  
**86:** Kalibestimmung bei Gegen-  
 wart von Sulfaten, Nitraten, Magnesia  
 1928.  
 Lindsay (W. L.), **78:** Chrysophan-  
 säure 668.  
 Lindström (G.), **78:** Analyse des  
 Jacobsits, des Cleveits 1216; Analyse  
 des Ganomaliths 1271, des Thaumasis  
 1277.  
**80:** Hedyphan 1431; Thaumasis  
 1484.  
**82:** Thorit von Hitterö 1528;  
 Bustamit von Longbän 1558; Mela-  
 notekit von Longbän 1581 f.  
**84:** Analyse von Cancrinit 1959 f.;  
 Ganomalit 1991.  
**85:** Analyse eines Gneises und  
 eines Thonglimmerschiefers 2305, von  
 Granit 2307, verschiedener Diabase  
 und eines Feldspathporphyrs 2307 f.,  
 von Augitandesit und eines vulka-  
 nischen Tuffs 2309; Tiefseeschlamm  
 2314; Katalog der im schwedischen  
 Reichsmuseum zu Stockholm befind-  
 lichen Meteoriten 2322.  
 Lindt (O.), **84:** mikrochemischer  
 Nachweis von Strychnin und Brucin  
 1642.  
 Linhardt (E.), **83:** Absorptions- und  
 Fluorescenzspectra mehrerer Körper  
 (Farbstoffe) 249.  
 Link, **86:** bacteriologische Unter-  
 suchung des Wassers 1904.  
 Link (A.), siehe Michaelis (A.).  
 Link (A.) und Möckel (B.), **78:**  
 Empfindlichkeit der Blausäurereac-  
 tionen 1071.  
 Link (G.), **80:** Phloroglucinphthal-  
 ein 658 f.; Diresorcinphthal-  
 ein 678 f.

- 83:** Unterscheidung von Kalkspath und Dolomit im Dünnschliff, Dünnschliffe von Kalkspath, Magnesit und Normaldolomit 1852.
- 86:** Krystallform von Phenyl- $\beta$ -brombutyryllacton und Phenyl-oxybutyrolacton 1663; Reinigung von Naphtalin 2065 f.
- Link (W.), siehe Roemer (H.).
- Linn (A. F.), siehe Morse (H. N.).
- Linnemann (C.), **85:** Verhalten von Propylenoxyd gegen Silberoxyd 1171; Leuchtgassauerstoffgebläse und „Zirkonlicht“ 2187 f.; Darstellung von Zirkonerdeschwebchen 2168; Untersuchung des Zirkons 2271 f.
- Linnemann (E.), **77:** Propylen gegen Wasser 523; acryls. Natrium 703.
- 78:** Verhalten von Propylglycol in wässriger Lösung 524.
- 86:** Austrium 406 f.
- Linossier, siehe Chapuis.
- Linossier (G.), siehe Cazeneuve (P.).
- Lintner, **77:** Darrmalz 1198.
- Lintner (C.), **77:** Bier 1196.
- 84:** Untersuchung über den Stickstoffgehalt der Gerste und des Malzes 1452 f.
- Lintner (C. J.), **86:** Darstellung und Untersuchung (Zusammensetzung) von Diastase 1886 ff.
- Linton (Laura A.), **80:** Zeolithe 1468.
- Lionet (A.), **79:** Reinigung des Wasserstoffs 186.
- Lipp (A.), **80:** Isobutyraldehydderivate 697 f.
- 81:** Triisobutylidendiamin 412 f.
- 82:** Triisobutylidendiamin 481; normaler Butyraldehyd, Normalbutyraldehydammoniak, Normalamidovaleriansäure und Salze 858 ff.
- 83:** Phenylglycerinsäure, Dibenzoylphenylglycerinsäure - Aethyläther 1204; Dibenzoylphenylglycerinsäure, Phenyl- $\beta$ -brom- $\alpha$ -hydroxypropionsäure aus Phenylglycerinsäure 1205.
- 84:** Darstellung und Constitution von Indol 887 f.; o-Nitrochlorstyrol, o-Amidochlorstyrol, o-Amidophenylvinylalkohol 888; Darstellung von Methylindol,  $\alpha$ - und  $\beta$ -Methylindol, Darstellung von o-Methylamidochlorstyrol 893 f.
- 85:**  $\delta$ -Hexylenglycol und dessen Anhydrid 1206 bis 1208; Monobrompropylacetessigsäure - Aethyläther, Normalacetobutylalkohol 1206; Monobrombutylmethylketon, Hexylenchlorür und -dichlorür 1207;  $\delta$ -Hexylenoxyd 1207 f.;  $\delta$ -Hexylenglycol-Monochlorhydrin 1208.
- 86:** Einwirkung von alkoholischem Ammoniak auf  $\omega$ -Monobrombutylmethylketon (Tetrahydropikolin) und auf  $\omega$ -Monobrompropylmethylketon 1335; Identität der Phenylglycidsäure mit Phenyl-oxyacrylsäure 1459 ff.; Darstellung und Verhalten von p-Mononitrophenyl-oxyacrylsäure (p-Mononitrophenylglycidsäure), p-Nitrophenylglycerinsäure 1459 f.; p-Nitrophenyl- $\beta$ -chlormilchsäure 1460; o-Mononitrophenyl-oxyacrylsäure (o-Mononitrophenylglycidsäure) und Verhalten 1461; siehe Erlenmeyer (E.).
- Lipp (F.), **84:** Analyse von Brauneisenstein 1921; Spatheisenstein 1932.
- 86:** Analysen von schwedischem Martin-Flusseisen, von halbirtem Roheisen 2024, von Antimonium crudum 2025; siehe Schneider (L.); siehe Priwoznik (E.).
- Lipp (F.) und Schneider (L.), **84:** Analyse von Producten metallurgischer Prozesse 1704 f.
- Lippe (H. v. d.), siehe Claus (Ad.).
- Lippich (F.), **83:** Halbschattenpolarimeter 1655.
- Lippit (T. P.), **81:** Epidot 1380.
- 83:** Analyse eines Sulfats von Tebeji, Mexico 1858.
- Lippmann, **85:** Veraschung von Rohrzucker 1978.
- Lippmann (E.), **82:** Acetessigätherdibromid 845; Diamidocuminsäure aus Dinitrocuminsäure 957.
- 84:** Darstellung von Kohlenwasserstoffoxyden durch Verseifen der Verbindungen von ungesättigten Kohlenwasserstoffen mit Säurehyperoxyden, Darstellung von Benzoylhyperoxyd 466.
- 85:** Einwirkung von Benzoylhyperoxyd auf Amylen 667.
- 86:** Einwirkung von Benzoylsuperoxyd auf aromatische Kohlenwasserstoffe (Benzylidentolylen) 510 f.
- Lippmann (E.) und Fleisner (F.), **82:** Stickoxyd gegen aromatische Amine: Azyline 508 f.; Azyline: Dimethylanilinazylin, Diäthylanilinazylin, Dipropylanilinazylin, Dibutylanilinazylin, Diamylanilinazylin 479 ff.
- 83:** Azyline: Formeln derselben 753 f.; Salze 754 f.; Perjodide 755;

Verhalten gegen salpetrige Säure 755 f.; Diäthylanilinazylin gegen Zinnchlorür 756 f.; Einwirkung von Alkyljodiden und Alkoholen auf die Azyline 757 bis 760; Oxydation der Azyline 760 f.; Methyl- und Aethyldiphenylaminazylin 761 f.; Azyline gegen Aethyljodid 762.

**84:** Untersuchung von Azylinen, Schmelzpunkt von Dimethyldiäthylphenylendiamin 794.

**85:** Einwirkung von Cyankalium auf Nitrosodimethylanilin 621 f.; Nitrosodimethylanilincyanhydrinderivate 622 f.; Nitrosodiäthylanilincyanhydrin 623; Einwirkung von Cyankalium auf Dinitrodimehtylanilin (Dinitrodimehtylamidophenol) 870 f.

**86:** Einwirkung von Cyankalium auf das asymmetrische Dinitroanilin: Dinitroamidophenol und Derivate 803 f.; Verhalten von Pikraminsäure gegen Alkalien 804; Synthese von Oxychinolincarbonsäuren 1474 f.; Bestimmung von Kohlenstoff und Wasserstoff in organischen Verbindungen 1952 f.

Lippmann (E.) und Hawliczek (J.),

**77:** Stilben aus Benzylidenchlorid 405.

**79:** Eikosylen 365.

Lippmann (E.) und Lange (R.),

**80:** Dimethylanilin gegen Stickoxyd 531 f.; Oxycuminsäure 878 f.

Lippmann (E.) und Strecker (W.),

**79:** Anilin gegen Valeraldehyd 414 f.; Nitrocuminol 558 f.

Lippmann (E.) und Vortmann (G.),

**78:** Verbindung von Kobaltchlorür mit Anilin 461.

**79:** Nickel und Kobaltdoppelverbindungen 267; Amine gegen Kobalt- und Nickelchlorür 400 f.

Lippmann (E. O. v.), **78:** Tricarballesäure in einem Rübensafte 982.

**79:** Zucker des Populins 860; Tricarballesäure im Rübensafte 915.

**80:** Inversion des Rohrzuckers mit Kohlensäure 1021; Saccharin im Rohrzucker 1025; Vanillin im Rohrzucker 1063, 1349.

**81:** Lävulan 983; Malonsäure und Aconitsäure aus Rübensaft 1304.

**82:**  $\alpha$ -Oxyglutarsäure aus Melasse 1444.

**83:** Coniferin im Zellgewebe der Zuckerrübe 1368, 1400; neue Säure des Rübensaftes (Oxycitronensäure?) 1404; Bestimmung des Zuckergehaltes

der Rüben 1620; die chemischen Prozesse eines Melasseentzuckerungsverfahrens, ein-, zwei- und dreibasiches Kalksaccharat 1736.

**84:** Untersuchung von Arabinose und Lactose 1405; Gewinnung von Zucker als vierbasischen Zuckerkalk 1790; Neuerungen in der Zuckerindustrie 1790 f.; Darstellung von Glutaminsäure aus Melasse, Vorkommen von Leucin und Tyrosin in der Melasse 1793.

**85:** Schmelzpunkt der Galactose 1743; Darstellung von Raffinose aus den Rübensäften 1753; Vorkommen von Vanillin und Coniferin im Spargel 1802; Gewinnung von Dextran, Tyrosin und Lecithin aus Melasseverarbeitungs-lauge 2146 f.; Nachweis von Pluszucker in alter Melasse 2147.

Lippmann (E. O. v.) und Lunge (G.),

**86:** Verarbeitung der Rückstände von Strontianverfahren 2062.

Lippmann (G.), **77:** Capillarelekticität 157.

**78:** Depolarisation von Metallelektroden durch Salzlösungen, Untersuchung 141.

**81:** Leitungsfähigkeit isolirender Körper bei höherer Temperatur 98.

**82:** neue Methoden zur Bestimmung des Ohm 149.

**84:** Quecksilber-Galvanometer und Elektrodynamometer 232 f.

**85:** elektrisches Verhalten von amalgamirtem Zink gegen gewöhnliches 245.

Lippmann (O. v.), **85:** Bildung und Bestimmung des Invertzuckers 2142.

Lirch, **85:** Krystallform des p-Dichlor-p-dibromchinons und -hydrochinons 1666.

Lisch (H.), siehe Petry (T.).

Lischke (G.), siehe Claus (A.).

Lismann (A.), **78:** Kupfergufs, Phosphorbronzen 1109.

Lifsauer (A.), **78:** Bestimmung der Filtrations- und Absorptionsfähigkeit der Bodenarten 1087 f.

Lissenko (K.), **78:** Kerosin 1166.

Lisser und Benecke, **85:** Beschreibung eines Diffusionsapparates 116.

List (A.), siehe Fahlberg (O.).

List (C.), **78:** Darstellung magnetischer, dem Magneteisen analoger Verbindungen von Eisenoxyd mit Monoxyden (Ferrite) 265 f.

List (E.), **83**: Ameisensäure im Rum, Bildung der Ameisensäure bei der Gährung der Rohzuckermelasse 1738.

List (O.), siehe Beckurts (H.).

List (R.), **86**: Condensationsproduct von Thioharnstoff mit Acetessigäther: Thiomethyluracil, Salze und Aether desselben 564 f.; Verhalten des Thiomethyluracils gegen Bromwasserstoffsäure, gegen Brom und Chlor (Dichlor- und Dibromoxymethyluracil) 565; Ueberführung in Methyluracil, Verhalten gegen Salzsäure, gegen Ammoniak 566.

Lister (J.), **78**: Gährung 1026.

Livache (Ach.), **77**: Gase von Früchten 927.

**78**: Petroleumseife 1189.

**83**: Einwirkung von Metallen auf Oele 1763.

**84**: Bereitung titrierter Flüssigkeiten von Schwefelkohlenstoff 1389.

**86**: Oxydation der fetten Oele 1826.

Liveing (G. D.), **80**: Brechungsexponent von Quecksilberjodid in Jodkalium, Flußspath-Spectrum 183.

Liveing (C. D.) und Dewar (J.), **78**: Umkehrung der Spectrallinien von Metalldämpfen 182 f.

**79**: Umkehrung der Linien im Spectrum 167.

**80**: spectrokopische Untersuchungen 203 f.; Wasserstoff- und Kohlenwasserstoffspectrum 206; Spectren von Verbindungen des Kohlenstoffs mit Wasserstoff und Stickstoff, Kohlenstoffspectrum 207; Empfindlichkeit der Spectrallinien auf Kohlenstickstoffverbindungen 207 f.; Magnesium- und Lithiumspectrum 208 f.

**81**: Umkehrung der Spectrallinien (Eisen, Cyan) 118; Coincidenz von Spectrallinien verschiedener Elemente 119; Spectrum des Magnesiums 121.

**82**: ultraviolette Spectra der Elemente 179 f.; Wasserspectrum, Vorrichtung für das Studium des Spectrums glühender Dämpfe 181; Spectren des Kohlenstoffs und von Verbindungen desselben, Cynaspectrum 184 f.; Spectrum der Kohlenstoffflammen 185 f.; Verschwinden von Spectrallinien und ihre Veränderungen bei gemischten Dämpfen 186.

**83**: Spectra der Sonnenflecken 243; Absorptionsspectra verschiedener Substanzen 246 f.; Umkehrung von Spectrallinien der Metalle 247 f.;

Umkehrung der Wasserstoff- und Lithiumlinien 248; Spectrum der Kohlenwasserstoffflamme 249.

**84**: spectrokopische Studien an explodirenden Gasen 292.

Liversidge, **78**: Garnierit 1270.

Liversidge (A.), **77**: Mooskupfer, -silber, -gold 299; Laumontit 1331; Garnierit 1340.

**80**: Wasseranalyse 1536 f.

**81**: Pituriakaloid (Piturin) 958 f.; Alkaloid aus Duboisia myoporoides 960; Gufseisen gegen Seewasser 1244; Zuckerrohr-Boden 1282; Kerosinschiefer 1409.

**83**: Fundorte der Diamanten in Neusüdwales 1827 f.; Analyse des Alunogens (Keramohalits) aus Wallerawang, Neusüdwales 1859; Wolfram von Inverell, Neusüdwales und Scheelit von der Victoria Reef-Gold Grube, Neusüdwales 1860 f.; der Monazit von Vegetable Creek, Neusüdwales 1862 f.; Analysen des Andradits von Wallerawang, Neusüdwales und des Grossulars von Mudgee, Neusüdwales 1880 f.; Analyse eines Chlorits von Rocky Ridge, Neusüdwales 1886; Analyse der Hornblende von Mount Walker und des Asbestes von Cow Flat, Neusüdwales 1892; pinitähnliche Substanz vom Hanging Rock, Neusüdwales 1894; Gmelinit von Inverell, Analyse des Laumontits vom Bathurst Road, Neusüdwales 1895; Analyse des Halloysits und des Cimolits von Neusüdwales, des Agalmatoliths von Loch Erribol, Schottland 1902; Analyse des Chloropals von Mudgee, Neusüdwales 1904; Analyse eines Kupfererzes von Carcoar, Neusüdwales 1910.

**84**: Analyse von Korund 1913, von Zirkon 1915, von Pleonast 1918, von Chromeisen 1920, von Granat 1957, von Glimmer 1961, von Glaukophan 1971 f.

Livon (Ch.), **77**: Verhalten des Harns 1027.

**79**: Wirkung der Salicylsäure 996.

**80**: Salicylsäure, Wirkung 1124; siehe Caillol de Poncy (O.).

Livon (Ch.) und Bernard (J.), **78**: Verbreitung des dem thierischen Organismus einverleibten salicyl. Natriums 1011.

Liweh (Th.), **83**: krystallographische Untersuchung und Analyse des Dato-



- liths von Terra di Zanchetto bei Bologna 1873.
- 84:** Krystallform von Weisbleierz 1933, von Bleivitriol 1934, von Linarit 1935.
- 85:** Krystallform des Antipyrins (Az-Methyl-Py- 1-Methyl-3-Oxychinizin) 1082, der Acetylphenyloxypivalinsäure 1544; Vorkommen von Fahlerz auf Alaskait 2269.
- 86:** Krystallform des Thallins (Tetrahydro-p-methoxychinolins) und seines Tartrats 931 f.; Krystallform von p-Dichlordibromhydrochinon 1267; Krystallform des  $\beta$ -Naphtols 1285; Krystallform der Allylmalonsäure 1370; Krystallform der asymmetrischen Dimethylbernsteinsäure 1372; Krystallform der  $\alpha$ -Methylcarbobyrolactonsäure 1377; Krystallform von Anisylbrombutyrolacton 1666; Krystallform von p-Dichlordibromchinon 1670; Vorkommen von Öblestin 2252.
- Ljapin und Nowaschin, **81:** fumar-saures und terephthalsaures Silber gegen Acetylchlorid 717.
- Ljubawin (N.) [Lubawin], **82:** Uebersicht der Körper der Indigo-gruppe, Constitution des Indoxyls, Isatins, des Indigo's und des Indigweiss 635 f.; Zersetzungsproduct des Rappakiwi 1530.
- 84:** Analyse von Phosphorit 1944.
- 85:** Verbindung von Methylcarbylamin mit Methyljodid 631; Bildung von Pyridin aus Acetylen und Blausäure 665 f.
- 86:** Verhalten von Carbylamin gegen Methyljodid 529; siehe auch Lubawin (N.).
- Lloyd (F.), **85:** Veränderungen des Grünfutters beim Lagern in Silo's 2125.
- Lloyd (F. J.), **83:** Bestimmung der unlöslichen Phosphate in den Superphosphaten des Handels 1718 f.; weisse und rothe unlösliche Phosphate 1719.
- 84:** Umwandlung und Veränderung des Grases beim Lagern in Silo's 1773.
- Lloyd (F. L.), **84:** Schädlichkeit des Superphosphats 1768.
- Lloyd (Fr. J.), **82:** Phosphatanalyse 1276.
- Lloyd (J. U.), **79:** Berberin 829; Podophyllumharz 947.
- 80:** Darstellung der Phosphorsäure 270; Leptandra virginica 1084.
- 81:** Berberin und Thymol 957.
- 82:** Löslichkeit des essigs. und schwefels. Morphins in Wasser und Alkohol 1100.
- 85:** Capillarwirkung 13 f.
- Lloyd (R.), siehe Mabery (C. F.).
- Lloyd Snape (H.), siehe Snape (H. Lloyd).
- Lobry de Bruin (C. A.), **84:** Beweis für die Gleichwerthigkeit der beiden Orthostellungen im Benzol: Krystallform von Dioxäthylbenzonitril, Oxäthylloxymethylbenzonitril 464; siehe Bruyn (C. A. Lobry de).
- Lock (C. G. W.), **80:** Vorkommen des Schwefels in Island 1402.
- Lock (Ch. G. Warnford), **81:** Rosenöl 1028; Gummiharze, Harze, Wacharten 1029.
- Lockyer (J. N.), **77:** Karte des Sonnenspectrums 1031.
- 78:** zusammengesetzte Natur der Elemente 7, 170 f.; spectralanalytische Sonnenbeobachtungen, Karte des Sonnenspectrums 185.
- 79:** Betrachtungen über die zusammengesetzte Natur der Elemente 10; Spectralanalyse, Spectren der Elemente 161 f.; Spectrum des Natriumdampfes 163; chromosphärische Linien 167; Natur der sogenannten Elemente 176 f.
- 80:** Dissociation der Elemente 200; Spectralanalyse, Wasserstoffspectrum 201; Kohlenspectrum 207.
- 81:** Spectrum des Eisens 122.
- 86:** spectroscopische Beobachtungen 302.
- Loczka (J.), **84:** Analyse von Zinkblende 1908, von Meneghinit 1911, von Avasit 1999.
- 85:** Analyse eines Zinkspathes 2279.
- 86:** Untersuchung ungarischer Arsenkiese 2228.
- Loder (J. H.), **83:** neue Farbstoffe 1794.
- 84:** Darstellung rother spritlöslicher Farbstoffe 1854.
- 85:** Farbstoffe aus einer gährenden Zuckerlösung 2254.
- Lodge (O.), **86:** Sitz der elektromotorischen Kraft 258 f.; Elektrolyse von Salzlösungen 275; Ablagerung von Staub und Rauch vermittelt Electricität 2014.
- Lodge (O. J.), **78:** Untersuchung der Wärmeleitungsfähigkeit von Krystallen und seltenen Substanzen 78.

- 79:** Classification der Formen der Energie 89; Wärmeleitung der Metalle 97.
- 81:** Fernwirkung 11.
- 85:** Sitz der elektromotorischen Kraft in einer Volta'schen Zelle 237 f.; siehe Walker (A. O.).
- Lodge (O. J.) und Perry (J.), **81:** heißes Eis 1074.
- Lodin (M.), **86:** Correctionen von Dampfkesseln durch Zuckerlösungen 2149 f.
- Loe (A.), siehe Tollens (B.).
- Loë (W.), siehe Plöchl (J.).
- Loeb (M.), **85:** Darstellung zweier Verbindungen durch Einwirkung von Phosgen auf Aethenylidiphenyldiamin 917 f.; Harnstoff  $\text{CO}(\text{C}_{14}\text{H}_{13}\text{N}_2)_2$  918.
- 86:** Amidinderivate: Einwirkung von Phosgen auf Aethenylidiphenyldiamin 785 f., von Chlorkohlensäureäther auf Aethenylidiphenyldiamin 786; Harnstoff, Thioharnstoff, Cyanat und Sulfocyanat des Aethenylidiphenyldiamins 786 f.; Aethenylimidobenzanilid, Einwirkung von Phosgen auf Benzenylidiphenyldiamin, auf Cyananilin 787; von Cyan auf Aethenylidiphenyldiamin 787 f.; von Phosgen auf Urethan: Allophansäure-Aethyläther, von Phosgen auf Alanin 788.
- Löbisch, **80:** Hippursäure, Salicylsäure im Harn 1239.
- Löbisch (W.) und Loofs (A.), **81:** Glycerin-xanthogensäure und Derivate 331; Schwefelkohlenstoff gegen Natriumphenyl- und -äthylat 332.
- Loebisch (W. F.), **85:** Untersuchung des Mucins aus der Sehne des Rindes: Eigenschaften desselben, thierisches Gummi 1786.
- Loebisch (W. F.) und Loos (A.), **82:** Mononatriumglycerinat gegen Kohlenoxyd: Propylenglycol 648 f.; Darstellung von Mono- und Dinatriumglycerinat 649 f.
- Loebisch (W. F.) und Schoop (P.), **85:** Untersuchung von Strychninderivaten 1691 bis 1693: Mononitrostrychnin und Salze, Xanthostychnol 1691; Amidostrychnin und Salze, isomeres Monobromstrychnin und Salze 1692; Strychninmonosulfosäure und Salze 1693.
- 86:** Strychninderivate: Amidostrychnin 1741 f.; Xanthostychnol 1742 f.; Strychnol 1743 f.; Verhalten des Strychnins bei der Reduction und gegen Mineralsäuren (Dihydrostrychnin) 1744 f.; Zus. des Strychnins 1745; Reduction mit Zinkstaub: Desoxystrychnin 1745 f.; Carbazol aus Strychnin und Brucin 1746.
- Löbner (C. H.), **85:** Bleichen der Wolle mit Wasserstoffsuperoxyd, Bläuen derselben 2205.
- Löffler, siehe Koch (B.).
- Lönholdt (W.), **82:** Neuerungen an Gasbrennern 1350.
- Lönnies (H.), **80:**  $\gamma$ -Sulfoisoptalsäure 926 f.
- Lösch (A.), **79:** Bestimmung der Alkalioide 779 f.; Demantoid 1214 f.
- 81:** Serpentin 1390.
- Lösecke (A. v.), **77:** essbare Pilze, Kraftmehl, Malzextract 1209; Brunnenwässer von Meiningen 1384.
- 79:** salpetrigsaures Ammoniak bei der Verdunstung von Wasser 216.
- Lösekann (G.), **79:** alkalische Thonerdelösungen gegen Schwefelwasserstoff 1044.
- Loew (O.), **77:** Oxydation durch Sauerstoff mittelst eines Schüttelapparates 206; Pyrogallochinon, Pyrogallol gegen Sauerstoff und Gase 568, gegen Cyanamid 569: Cyan gegen Albumin 914; Pyrogallochinon als Reagens auf Sauerstoff 1083; Mineralquellen der Vereinigten Staaten 1389.
- 78:** Oxydation durch Kupferoxyd-Ammoniak 286; Verhalten organischer Körper gegen Kupferoxyd-Ammoniak 327; Rubidium in der Pflanzenzelle 950 f.
- 79:** Säure aus Wiesenheu 982.
- 80:** Ameisensäurebildung 760 f.; Bildung des Albumins 1034.
- 81:** freies Fluor im Flußspath (Certetrafluorid) 173, 174; Chinasäure gegen Spaltpilze 1148 f.
- 82:** Veränderung conservirter Milch 1212 f.; Tyrosinhydrid 1213; chemische Natur der ungeformten Fermente 1251 f.; Beindarstellung der Pankreasfermente (Pankreatin) und der Diastase 1252 f.
- 83:** Constitution des Albumins 1371 f.; Eiweiß des lebenden und des abgestorbenen Protoplasma's 1372 f.; Beitrag zur Kenntniss des activen Albumins 1373; Verbindungen von Silber mit eiweißhaltigen Körpern 1374; Eiweiß und Pepton 1383; die chemische Kraftquelle im lebenden Protoplasma 1387; Einwirkung von

Arsenverbindungen auf pflanzliches und thierisches Protoplasma 1387 f.

**85:** Oxydation des Eiweißes mittelst Kaliumpermanganat, Constitution des Eiweißes 1776 f.; reducirende Wirkung thierischer Organe (Froschieren) auf Silberlösung, Argyrin 1829 f.; Wesen der Gährkraft 1858 f.; Protoplasma der Pilzzelle, Eiweißbildung 1858; Lebenskraft 1859.

**86:** Darstellung von Formaldehyd 1619 f.; Condensationsproducte desselben: Formose 1620; Pseudoformose 1621; Giftwirkung des Hydroxylamins 1862; siehe Nägeli (C. v.).

Loew (O.) und Bokorny (Th.), **81:** Unterschied zwischen lebendigem und totem Protoplasma 1005 f.; Absterben des pflanzlichen Protoplasma's 1006.

**82:** die chemische Kraftquelle im lebenden Protoplasma 1144; reducirende Eigenschaften lebender Zellen 1145.

Löw (W.), **85:** Einwirkung von Salpetersäure auf p-Xylylenbromid (Terephthalaldehydsäure) 743 f.; Darstellung von Derivaten des Terephthalaldehyds 1299 bis 1303; Xylylen- und Xylibromid, Phenylhydrazinderivat des Terephthalaldehyds, Mononitroterephthalaldehyd, Terephthalaldehydsäure 1300; leukomalachitgrünarbonsaures Zink, Nitroterephthalaldehydsäuren, Indigocarbonsäure - Aethyläther, Aethyl-p-zimmtcarbonsäure, p-Zimmtcarbonsäure, Zimmtcarbonsäuredibromid, Mononitrozimmtcarbonsäure 1301; Nitrophenylpropiolcarbonsäure, p-Aldehydzimmtsäure, Mononitroaldehydzimmtsäure, p-Phenylidiacrylsäure 1302; p-Phenylendimilchsäuremethylketon, p-Phenylendiacylsäuremethylketon, Leukomalachitgrünaldehyd 1303; Synthese der Indigocarbonsäure 1556 bis 1558; Terephthalaldehydsäure 1556, Nitroterephthalaldehydsäure, p-Zimmtcarbonsäure, p-Dibromzimmtcarbonsäure, Nitrozimmtcarbonsäure, Dibromnitrozimmtcarbonsäure, Nitrophenylpropiolcarbonsäure 1557; Salze und Aether der Indigocarbonsäure 1558; siehe Homolka (B.).

Loewe (J.), **83:** Reinhaltung von Gasen im Gasometer 1519.

Löwe (J.), **80:** Brenzkatechin 645.

**81:** Eichenrindengerbsäure 854 f.; Aschenbestimmung 1157; Analyse von Seife 1206.

**82:** Nachweis und Bestimmung von Arsen, Schwefel und Phosphor im Handelskupfer 1297 f.; Bestimmung des Alkoholgehaltes im Weine 1333; Untersuchung von Brennstoffen 1399.

**83:** Kupferoxydhydrat 395 f.; Darstellung von reinem arsenfreiem Wismuth 399 f.; Atomgewicht des Wismuths 400; qualitative und quantitative Trennung von Kupfer und Wismuth 1576 f.

**85:** Verwendung von Kalkwasser als Sperrflüssigkeit bei Gasometern 2007.

Löwenhardt (E.), **84:** Untersuchung von Cocculin 1401; siehe Schmidt (E.).

Löwenherz (L.), **77:** thermometrische Fundamentalversuche 91.

**81:** Torsionswaage 1231.

Löwenthal (J.), **77:** Gerbsäurebestimmung 1083.

**81:** Gerbstoffbestimmung 1206.

Löwig, **83:** Herstellung von Aetznatron und Aetzkali 1688.

Löwig und Weidmann, **78:** Einwirkung von Kalilauge auf Aethyldisulfoxyd 837.

Löwig (C.), **80:** Scheidung der Rübensäfte 1350 f.

Löwig (E.), **78:** Scheidung des Rübensaftes mit Thonerdehydrat 1151.

Löwig (E. A.), siehe Schmalz (B.).

Löwig (Gehr.), **78:** Darstellung von Aetzkalken und Thonerdepräparaten 1127.

Löwig (L.), **82:** kohlen-saures Alkalialuminat 1408.

Löwinson-Lessing (F.), **84:** Untersuchung der Variolite aus der Jal-gubabucht 2019 f.

Loewy (A.), **85:** Einfluss der Temperatur auf die Filtration von Eiweißlösungen 1773 f.

Löwy (J.), **77:** Wismuthbestimmung 1047.

Loewy (K.), **86:** Derivate des Succinyllobersteinsäureäthers: Verhalten des Dioxychinonterephthalsäureäthers: p-Dioxychinon 1395; Derivate der Tetraoxyterephthalsäure, Tetraoxybenzol 1396; Formyldichloressigäther 1397; siehe Hantzsch (A.).

Löwy (L.), **82:** Chinolin gegen Fieber 1227.

Loges (G.), **82:** Bestimmung der organischen Substanz im Boden 1421.

- 84:** Apparat zur Härtebestimmung des Wassers 1690.
- 85:** Herstellung von Magnesiamixtur 1878 f.; Gewinnung stickstoffhaltiger organischer Verbindungen (Humuskörper) aus Ackerboden 2122 f.; siehe Emmerling (A.).
- Lohmann (P.), **78:** Verhalten von  $\beta$ -Naphtonitril und Alkohol gegen Salzsäure 340 f.
- 84:** Untersuchung von Eklogit 2010.
- Lohr (A.), **83:** quantitative Ausfällung von Zink 1571.
- Lohse (O.), **77:** Fettgas zu Gasgebläsen 1081.
- 81:** Glüherscheinungen an Metallelektroden innerhalb einer Wasserstoffatmosphäre 103.
- Loir, **79:** aldehydartiges Verhalten von Buttersäure, Valeriansäure und Essigsäureanhydrid 315 f.
- Loir (A.), **81:** Wiederausbildung verletzter Krystalle 1.
- Loire und Weisflog, **84:** Gewinnung von Jod 1721.
- Loiseau (D.), **83:** Zuckerkalklösungen gegen Calciumcarbonat 1362.
- Loiseau (M. M. D.), siehe Boivin (J. G.).
- Loison (A.) und Léger (E.), **83:** Untersuchung des Harnes bei Chylurie 1477 f.
- Lombard de Bouquet (E.), **82:** Bestimmung des Schwefelkohlenstoffs in Alkalisulfocarbonaten 1281 f.
- Lome (L. de), **78:** Explosion eines Gemenges von Schiefsbaumwolle und Ammoniumnitrat unter höherem Druck 35.
- Lomer (G.), **86:** Reinigung und Entsilberung von Blei 2041 f.
- Lommel (E.), **77:** fluorescirende Substanzen 177.
- 78:** Fluorescenz 161 f.; Theorie der Fluorescenz, der normalen und der anormalen Dispersion 163.
- 79:** Anthracenblau, disulfoanthracenige Säure, Fluorescenz derselben 150; Fluorescenzlicht 151; Dispersionsformel, dichroitische Fluorescenz des Magnesiumplatinacyanürs 152.
- 80:** Fluorescenz des Naphtalinroths 191; Polarisation 196 f.
- 81:** Doppelbrechung von Magnesiumplatinacyanür (Polarisationsapparat) 139.
- 83:** Modification am Bunsen-Steinheil'schen Spectroskope, Spectralstudien im Ultraroth 240 f.; Fluorescenz des Joddampfes 254.
- 84:** Fluorescenz von Kalkspath 307; Gefrierapparat 1690.
- 85:** Influenzmaschine 226; Apparat zur Ermittlung von Brechungsverhältnissen 302; Brennpunkt der ultrarother Strahlen (Phosphorescenz des Schwefelcalciums) 316; Fluorescenz 333, von Didymglas 333 f.; von Aescorcin, von Paraäsculetin 334.
- 86:** aerostatische Wage zur Bestimmung des spec. Gewichtes der Gase 67.
- Lommel (Th.), **85:** Utensilien zur mikrochemischen Analyse 1881.
- Lomonossow (de), **77:** Vietinghoft (Samarakit) 1347.
- Lonatschewsky - Petrounjaka, **81:** Wasser im Dnieper 1443.
- Long (H.), **78:** Untersuchung der Einwirkung von Kali auf Alkohol und Bromoform 412.
- Long (J. H.), **78:** Einwirkung von Wasserdampf auf glühende Holzkohlen 226, 1167.
- 80:** Diffusion von Salzen in wässriger Lösung 69 bis 73; elektrisches Leitungvermögen von Salzlösungen 154.
- 81:** Brechungsindices von Eestern 111 f.
- 85:** Geschichte des Phenolphthaleins, Titration bei Gegenwart von Ammoniumsalzen 1889; mikroskopische Untersuchung des Bienenwachses 1971.
- 86:** mikroskopische Untersuchung von Fetten 2163.
- Longi (A.), **81:** Bildung von Salmiak auf dem Zink einer Leclanché'schen Batterie 100; Oxalsäure gegen Königswasser 681.
- 83:** Zusammensetzung der durch Einwirkung von Ammoniak auf Jodsilber entstehenden Verbindung 419; Apparat zur Bestimmung von in wässrigen Flüssigkeiten gelösten Gasen 1522; Löslichkeitscoefficienten von Cyan-, Chlor-, Brom-, Jodsilber, bromsaurem und jodsaurem Silber in Ammoniaklösungen, von bromsaurem und jodsaurem Silber in Wasser und Salpetersäure, Nachweis von Cyan-, Chlor-, Brom-, Jodwasserstoffsäure, von Chlor-, Brom-, Jodsäure, Ferrocyan- und Ferrocyanwasserstoffsäure 1532; Bestimmung der salpetrigen Säure mittelst Harnstoff 1538; volu-

- metrische Bestimmung der Salpetersäure durch schwefels. Zinnoxidul 1540; Nachweis der Salpetersäure bei Gegenwart anderer Säuren 1540 f.; Nachweis der Salpetersäure mittelst p-Toluidin 1541.
- 84:** Empfindlichkeit der verschiedenen Methoden des Nachweises von Salpetersäure 1572.
- 85:** Methode zur volumetrischen Bestimmung der Salpetersäure 1910; analytische Studie über den Stickstoff des Ammoniaks, der amid-amidischen und amid-aminischen Verbindungen (Asparagin, Harnstoff, Leucin) 1949 f.; siehe Leone (T.).
- Longmore (J.), **84:** Gewinnung der Farbstoffe des Baumwollsaamenöles 1854.
- 86:** Reinigung von Baumwollsaamenöl 2161.
- Longo (v.), **77:** Asparagin, Asparaginsäure und Bernsteinsäure im Organismus 977.
- Loo (H. v.), siehe Fischer (O.).
- Loof (D.), **80:** Vinylbromid, Photopolymerisation 473.
- Loos (A.), siehe Loebisch (W. F.).
- Loos (D. de), **83:** Analyse der Krakatoasäure 1936; Untersuchung des Wassers von Antikroeri, Antillen 1950.
- Loofs (A.), siehe Löbisch (W.).
- Lopatkin (M.), **84:** Einwirkung von Jodallyl und Zink auf Epichlorhydrin 931 f.
- 85:** Einwirkung von Jodallyl auf Epichlorhydrin 1172.
- Lopatkin (M.) und Reformatsky, **84:** Bestimmung des Molekularbrechungsvermögens der Einwirkungsprodukte von Jodallyl und Zink auf Epichlorhydrin 931 f.
- Lorberg (H.), **81:** Wärmeleitung 1098.
- Lord (H. W.), **85:** Oxalatentwickler in der Photographie 2260.
- Lord (N. W.), **84:** Fluorammonium als Löthrohrreagens 1543.
- Lorentz, **84:** Untersuchung eines zu Ngawi gefallen Meteoriten 2041.
- Lorentz (H. A.), **81:** Bewegung von Gasen und die Fortpflanzung des Schalles 68.
- Lorenz (G.), **80:** Homologe der Piperonylsäure 883 f.
- 81:** Abkömmlinge des Piperonals: Methylendioxyphenylangelicasäure, Methylendioxyphenylvaleriansäure 603; Methylendioxymandelsäure, Methylendioxyphenylamidoessigsäure 604.
- Lorenz (L.), **81:** Leitungsfähigkeit der Metalle für Wärme und Elektrizität 93.
- 83:** Bestimmung des Ohm 210 f.
- 84:** Bestimmung des Ohm 244.
- Lorenz (v.), **81:** Terra rossa 1439.
- Lorenz (N. v.), **81:** Blei gegen Bleinitratlösungen 263 f.; siehe Meissl (E.).
- Lorenzen (J.), **83:** kristallographische Untersuchung und Analyse von grönländischem Lievrit 1878 f.; Analysen des Nephelins von Tunugdliarfik und des Sodaliths vom Julianehaabdistricte, Südgrönland 1884; Analyse eines Lepidoliths aus dem Julianehaabdistricte, Südgrönland 1886; Fundorte, kristallographische Untersuchung und Analyse des grönländischen Aegirin 1891; Untersuchung des Aenigmatits Breithaupt's, kristallographische Untersuchung und Analyse des grönländischen Arfvedgonits 1893; Analyse von grönländischem Mikroklin 1898; Analyse und Formel des Eudialyts vom Julianehaabdistricte, Südgrönland 1905; Analyse des Steenstrupins von Kangerdluarsuk, Grönland 1911; Bestandtheile des Sodalithyenits aus dem Julianehaabdistricte, Südgrönland 1927.
- 84:** Krystallform von Lievrit 1955; Analyse von Glimmer (Polyolithionit), Vorkommen von Astrophyllit 1961; Krystallform, Analyse von Rinkit 1992 f.; Analysen von grönländischem Eisen 2043 ff.; siehe Steenstrup (K. J. V.).
- Lorin, **77:** Zersetzung der Ameisenäther mehratomiger Alkohole 518.
- 79:** Einwirkung von Säuren auf Salze 124 f.
- 81:** Ameisensäure 665; Reactionen ohne Lösungsmittel 1110; krystallisierte Ameisensäure 1271.
- 82:** Ameisensäure aus Oxalsäure 820.
- 85:** katalytische Wirkung, Darstellung der Ameisensäure aus Oxalsäure 14.
- Lorin (M.), **77:** Bildung von Kohlenoxyd 237.
- Loring (G. B.), **83:** der Ackerbau in den Vereinigten Staaten von Nordamerika 1713.

Loring Jackson (C.), siehe Jackson (C. L.).

Loring-Jackson (C.) und Fleming-White (J.), **79**: Synthese des Anthracens 378 f.

Lortzing (C.), **84**: Verarbeitung von Wollfettsehlamm auf Asphaltmastix 1823.

Lory (Ch.), **86**: Vorkommen von Orthoklas und Albit 2289.

Losanitsch (S. M.), **77**: Phenylsenfölg gegen Glycerin und Kali 336; Thiocarbamilid gegen Salpetersäure, Tetranitrocarbamilid 347.

**78**: Tetranitrodiphenylharnstoff 354; Thiocarbamilid 355; Meteorsteine von Sokol-Banja 1318.

**79**: Dichlordinitrodiphenylharnstoff 347 f.

**80**: Tetranitrodiphenylcarbamilid 424.

**81**: m-Mononitrodiphenylthiocarbamilid 456.

**82**: Schwefelkohlenstoff gegen primäre Basen (Anilin und Toluidine), deren Chlor- und Nitroderivate; p-Nitrophenylxanthogenamid 512; Tribromanilin gegen Salpetersäure 521 f.

**83**: Einwirkung von Jod auf m-Dinitrodiphenylthiocarbamilid: Phenylguanidine 495; Dibromdinitromethan 581.

**84**: Darstellung von Monochlorbromdinitromethan aus Dibromdinitromethan 569; Umwandlung in Monochlordinitromethankalium und Dichlordinitromethan 570; Analysen von Quarziten 1990 f.

**85**: directer Ersatz der Amidogruppe aromatischer Amine durch Halogene: Bildung halogensubstituierter Benzole und Phenole 844 f.

**86**: Sulfocarbamilid 557.

Loschmidt (J.), **78**: Wärmegleichgewicht eines Systems von Körpern mit Rücksicht auf die Schwerkraft 64.

Losse (O.), **81**: photographische Emulsion 1340.

Lossen (F.), **80**: Guanidin 1035.

Lossen (K. A.), **77**: Sericitschiefer 1357.

Lossen (W.), **77**: Hydroxylamin 228; aromatische Hydroxylaminderivate 450; Tribenzhydroxylamin 457.

**80**: Vertheilung der Atome in der Molekel 5; Hydroxylaminderivate, Bemerkung dazu, physikalische Isomerie 506.

**81**: AffinitätsgröÙe des Kohlenstoffs 311.

**82**: volumetrische Untersuchungen 30 f.

**83**: Benzhydroxamsäure 628 f.

**84**: Benzoximidoäther (Gemisch von  $\alpha$ - und  $\beta$ -Aethylbenzhydroxamsäure) 659.

**85**: Structur der Hydroxylaminderivate: Benz- und Dibenzhydroxamsäure 868 f.

**86**: Atomvolum von Kohlenstoff, Sauerstoff und Chlor 76 f.

Lossen (W.) und Zander (A.), **84**: spec. Volumina von Kohlenwasserstoffen 82 ff.

Lossier, **81**: elektrolytische Trennung des Goldes 1153.

Lossier (L.), **78**: Wasser der Rhone und Arve 1295.

**85**: Darstellung von Aluminium durch Elektrolyse 2016.

Lots (L.), **79**: Apparate zum Filtriren u. s. w. 1086.

Lotter, siehe Selve.

Lotze (G.), **83**: Prüfung des Chloroforms 1601.

Louguinine (W.), **77**: Bildungswärme chlorwasserstoffs. Salze der Aniline 103.

**78**: thermochemisches Verhalten einiger Substitutionsderivate der Essigsäure und der Benzoëssäure 95, einiger Phenolderivate 96.

**80**: Verbrennungswärmen von Verbindungen der Fettreihe 123 f.

**81**: Verbrennungswärmen des Heptans, Hexahydrotoluols, von Alkoholen der Allylreihe und der hiermit isomeren Aldehyde, von Pinakon und Trimethylcarbinol 1127.

**82**: Apparat zur Bestimmung der spec. Wärme 97 f.; Messungen der Verbrennungswärme organischer Substanzen 118; Verbrennungswärme von Capronsäure und Caprylalkohol 123 f.

**84**: Verbrennungswärme von Ketonen und Kohlensäureäthern 206 f.; Verbrennungswärme der Ester einiger Säuren der Fettreihe 207.

**85**: Bestimmung der Verbrennungswärme einiger Verbindungen der Fettreihe (Acetal, Mesityloxyd, Aceton, Crotonaldehyd, Paraldehyd, Isobuttersäure, Propionsäure, Aldol) 191 ff.; Verbrennungswärme einiger Ester organischer Säuren (Milchsäure-, Ci-

- tronsäure-, Isobuttersäure-, Butter-säureäther) 193 f.
- 86:** Verbrennungswärme von Estern organischer Säuren 226.
- Louis, siehe Merz (V.).
- Louis (D. A.), siehe Frankland (E.).
- Louis (E.), **83:** Verhalten des Anilins gegen Propyl-, Isopropyl- und Isobutylalkohol bei Gegenwart von Chlorzink, resp. Phosphorsäureanhydrid, Amidopropyl-, -isopropyl- und -isobutylbenzol 697 bis 700.
- Louis (H.), **80:** Louisit 1477.
- Louise (E.), **82:** Benzylmesitylen 420; Aluminiumchlorid und Aluminiumnatriumchlorid gegen Aceton: Mesityloxyd, Phoron 754.
- 83:** Benzoylmesitylen 995.
- 84:** Darstellung von Dibenzoylmesitylen 1057.
- 85:** Benzylmesitylen und Derivate 700 f.;  $\alpha$ - und  $\beta$ -Dimethylantracen 701 f.; Dibenzylmesitylen, Benzylmesitylen 703; Phenylmesitylencarbinol 704; Benzoylmesitylensäuren 705 f.; Oxydation des Benzoylmesitylens: p-Benzoylmesitylensäure und Salze; o-Benzoylmesitylensäure 1554; Salze derselben, Dimethylanthrachinon 1555.
- 86:** Phenylmesitylencarbinol und seine wichtigsten Aether 1232.
- Louvet, **81:** Prüfung des Weines auf Alaun und Gyps 1215.
- Love (E. F. J.), **86:** Magnetisirung 285.
- Love (E. G.), **80:** efsbare Erde 1118; Erde aus dem Tsietonaithale 1471.
- Lován (J. M.), **84:** Sulfoderivate der Fettsäuren 1090 ff.: Thioglycolsäure 1090; Sulfodiessigsäure, Dimethylsulfon, Sulfodipropionsäure 1091; Sulfodibuttersäure, Sulfodiisobuttersäure 1092.
- 85:** Einwirkung der salpetrigen Säure auf Sulfodiessigsäure 1332; Darstellung einer geschwefelten Zimmtsäure aus Thioglycolsäure und Benzaldehyd und des Körpers  $C_{15}H_{12}Br_2SO_4$  1446.
- 86:** Sulfoderivate der Fettsäuren:  $\alpha$ -Thio- und Sulfondibuttersäure, Thio- und Sulfodiisobuttersäure 1296 f.; Thioacetonsäure-Aethyläther, Dithiodiisobuttersäure, Thio- und Sulfondiisovaleriansäure 1297.
- Lovett (W. J.), **80:** salpetrige Säure in den Dämpfen der Bleikammern 1286.
- Lovin (J. M.), **83:** Thiomilchsäure und Thiodilactylsäure 1048; Aethylidenthiomilchsäure und Derivate 1048 f.; Thiomilchsäureäther, Dithiodilactylsäure, Thiodilactylsäure, Trithiodilactylsäure, Aethylenthio-milchsäure 1049.
- Loviton, **85:** Beschreibung einer am Mikroskop anzuwendenden Vorrichtung zur Bestimmung des Schmelzpunktes und des Erstarrungspunktes 137.
- Low (A. H.), **83:** Bestimmung des Arsens in Erzen 1547.
- 86:** Kupfertitirung 1946.
- Lowe (A. J. G.), siehe Senior (A.).
- Lowe (H. F.), siehe Dixon (H. B.).
- Lowe (Th.), **85:** Zusammensetzung eines Kesselsteinmittels 2162.
- Lowe (W. F.), **83:** Apparat zum Auskochen von Goldproben 1660.
- 84:** Verfälschung von Mehl mit Kupfervitriol 1655 f.
- 85:** Untersuchung von Geheimgold 2048 f.
- Lowery (W.), siehe Jackson (O. L.).
- Loydl (F.), **78:** Aepfelsäure aus Fumarsäure 708.
- Luanco (José B. de), **83:** Schwefelwasserstoffentwicklungsapparat 1660.
- Lubarsch (O.), **77:** Fluorescenz 150.
- 80:** Stokes'sches Gesetz 190 f.; Fluorescenz 191.
- 81:** Fluorescenz 133.
- Lubavin, **77:** Nuclein 917.
- 85:** Untersuchung der Salpetererde von Kunia-Urguentsch 2123 f.
- Lubawin, **78:** Darstellung von Chinolin 876.
- 84:** Verflüchtigung von Alkalicarbonaten mit Wasserdämpfen 132 f.
- Lubawin (N.), **79:** Nuclein der Kuhmilch 970.
- 80:** isobuttersaures Calcium 787 f.; Nuclein der Milch 1103 f.
- 81:** Aldehyde gegen Cyanammonium (Umwandlung in Nitrile) 579 f.; neue Diamidobernsteinsäure 580; Glyoxal aus Aldehyd 585.
- 82:** Constitution des Glyoxalins 479; Cyanammonium und Salpetersäure gegen Aldehyde, Diamidobernsteinsäure (?) 732; Constitution des Glyoxalins 732 f.; siehe auch Ljubawin (N.).
- Lubisch (Th.), **82:** Darstellung von Hartglas 1417.

Luca (S. de), **77**: krystallisirtes kohlen. Blei 271.

**78**: Lithium in den Wässern und den erdigen Zersetzungsproducten trachytischer Gesteine 1286.

**79**: Faseranalyse aus Pompeji 1150; Walkererde 1236.

**80**: Vorkommen von Lithium 283; Garna aus Pompeji 1064; Hühnerei 1094.

Lucas (F.), **84**: elektrischer Widerstand der Kohlen 251.

Lucchetti (P.), **81**: Hornblende (Bergamaskit) 1393.

Lucchi (G. de), **80**: thermische Ausdehnung des festen Natriums 96 f.

**82**: spezifische Wärme des überhitzten Wasser- und Phosphordampfes 112.

**83**: elektrischer Widerstand des Eisens 213 f.

Luchs (G.), **85**: Darstellung von Calciumphosphat aus Thomasschlacken 2068 f.

Luchsinger, siehe Nencki (M.).

Luchsinger (B.), **81**: Bestimmung des Glycogens 1218.

**85**: physiologische Wirkung der Santonsäure 1853; siehe Hess (E.).

Luciani, siehe Albertoni.

Lucion (R.), siehe Solvay (E.).

Lucius, **78**: magnesiumhaltiger Kalkspath 1220; siehe Meister.

Luck (E.), **77**: Phenolphthalein in der Alkalimetrie 1085.

Luckenbach (G.), **84**: Darstellung von Iso- und Terephthalonitril, Eigenschaften und Darstellung von Terephthalthiamid, Isophthalthiamid 487 f.; Eigenschaften und Darstellung von Isophthalimidoäthyl- und -methyläther, Isophthalamidin, salzs. Isophthalimidothioäthyläther, salzs. Terephthalamidin 488; Darstellung von Derivaten des Benzylcyanids, Phenylacetimidoäthyläther, Phenylacetimidoacetat, Phenylacetamidin, symmetrisches und unsymmetrisches Dimethylphenylacetamidin 489; Diphenylphenylacetamidin, Diäthylphenylacetamidin 490.

Luckow (C.), **80**: Elektrometallanalyse 1139 f.

**85**: elektrolytische Ausfällung von Metallen als Amalgam (Zink, Silber) 1884.

Ludeking, siehe Wheeler.

Ludwig (E.), **77**: Skapolith 1314; Milarit 1325; Trachyt 1365; österreichische Salzsoole 1385.

**78**: Nachweis von Quecksilber in thierischen Substanzen 1090 f.; Labradoranalysen 1266.

**79**: Arsen im thierischen Organismus 994 f.

**80**: Arsenvertheilung und -vergiftung 1126; Dumas'sche Stickstoffbestimmung 1199; Quecksilber in thierischen Substanzen (Nachweis) Stickstoffbestimmung im Harn 1236; Apparat zur Stickstoffbestimmung 1242.

**81**: Blut von an Leukämie Verstorbenen 1043; Wirkung des Kaliumchlorats 1062; Bestimmung der Harnsäure 1230; Epitot 1379; Wilhelmquelle zu Carlsbrunn 1446; Sauerquelle von Apatovac 1447.

**82**: Danburit von Graubünden 1551; Analyse des Karlsbader Sprudelsalzes 1632.

**83**: Darstellung von Kohlenoxyd 331; Analyse des Damburits von Scopi, Graubünden 1881 f.

**84**: quantitative Bestimmung der Harnsäure 1616 f.; Analyse des Wassers der Maria-Theresia-Quelle zu Andorsdorf 2035.

**85**: Bestimmung der Harnsäure 1952.

Ludwig (E.) und Mauthner (J.), **80**: Ammoniak gegen Naphtochinonderivate 733 f.; Nachweis der Blausäure und der Cyanverbindungen in gerichtlichen Fällen 1236; Quellwasser 1524.

**81**: Blausäure neben Ferrocyanalkalium 1197.

Ludwig (E.) und Renard (A.), **84**: Analyse von Vesuvian 1953.

Ludwig (R.), siehe Classen (A.); siehe Tiemann (F.).

Lüdecke, **83**: Krystallform des Laserpitins 1361.

Lüdecke, **84**: Krystallform von Phenylnitroäthylendibromid 589, von Lupinidinchloroplatinat 1394.

**86**: Krystallform von p-Monobromphenol 1235.

Lüdecke (A.), **80**: Methylammoniumplatinchloride 511 f.

Lüdecke (B.), **86**: Krystallform des sauren oxalsauren Triacetondiamins 714; Krystallform von Sarkosinplatinchlorid 1310; Krystallform von Aethylsuccinnylobernsteinsäure 1394.

Lüdecke (O.), **79**: Anatas-Messungen 1188; Reinit 1196; Analcim 1231; Sanidin 1234; Heldburgit 1243.



**80:** Mesolith, Skolezit, Reifait 1467 f.

**81:** Krystallform von Atropin 848, von Atropin- (Daturin-) -chloroplatinat 949; Reifait 1399; Mesolith, Skolezit, Natrolith (Mesotyp) 1399 f.; Basaltlava 1432.

**82:** krystallographische Untersuchung von Amidotrimethyloxybutyronitril 379 f.; krystallographische Untersuchung von chlorwasserstoffsäurem Diacetonalkamin-Platinchlorid, chlorwasserstoffsäurem Pseudotriacetonalkamin-Platinchlorid und Benzaldiacetonamin 499 f.; Krystallform des amidodimethylpropionsäuren Kupfers und des salzsauren Amidodimethylpropionsäureplatinchlorids 860; Atropin- (Daturin-) und Hyoscyaminplatinchlorid, Krystallmessungen 1094; Krystallform von Feuerblende vom Harz 1524.

**83:** Krystallform von rothem Bleioxyd 391; Krystallform der Aethylsuccinylbernsteinsäure 1063; Vorkommen von Brucit als Kesselstein 1844.

**84:** Krystallform von Plagionit, Untersuchung von Zundererz 1909.

**85:** Krystallform des brenzterebinsäuren Calciums 1655, des Isocaproactoids 1655 f.; Krystallform des Allocaffeins 1689; Krystallform von jodwasserstoffsäure, chlorwasserstoffsäure, Lupanin 1726, von Methylupuaninammoniumjodid und des Chloroplatinates, sowie Chloraurates von Methylupuaninammoniumchlorid 1727; Krystallform von Anatas 2271; Krystallform von Datolith 2288; Krystallform von Orthit 2289; Albitzwillinge 2297.

**86:** Krystallform von Lupinidinplatinchlorid 1696; Krystallform von Caffeinmethyljodid und Allocaffein 1700 f.; Krystallform von Hemipinsäure und hemipinsäurem Kalium 1723; Untersuchung eines Kesselsteines 2150.

Luedeking (Ch.), **86:** Nachweis von Chloroform in Leichen 1970 f.; spec. Gewichte, spec. Wärmen und Hydrationswärmen der fetten Säuren und ihrer Mischungen mit Wasser 215 bis 218.

Lüdeking (Ch.), siehe Wiedemann (E.).

Lüders, siehe Weppen.

Lüders (R.), siehe Otto (R.).

Lühdorf (F. A. v.), **83:** Analyse des Wassers der heißen Quellen von Neumichailowsk, Amurland, Sibirien 1948.

Lüssy, **83:** Fixirung von Antimon-sulfid auf der Gewebsfaser 1785.

Lüttkens (E.), **81:** Bestimmung des Arsens 1174.

Lützeltschwab, siehe Krafft (F.).

Luff, siehe Wright.

Luff (A. P.), siehe Wright (C. R. A.).

Lugo (O.), **80:** Reinigung des Leucht-gases 1362 f.

Lukianoff (P.), **86:** Einfluss des Bleichens auf die Türkischrothfärberei: Bildung von Oxycellulose 2183; Wirkungsweise der Bestandtheile der Alizarinöle (Türkischrothöle) 2208 f.

Lukjanow (S.), **84:** Untersuchung über die Aufnahme von Sauerstoff 1472 f.

Lump (G.), siehe Hell (C.).

Luna (Ramon de), **83:** Ansichten über die Cholera, Untersalpetersäure als Mittel gegen die Cholera 1490.

Lunay, **77:** brasilianisches Meteor-eisen 1389.

Lundahl (K.), **83:** Hexylacetessig-äther und Derivate, Hexylmalon-säure, Aether und Salze 1115.

Lundborg, **77:** Nickel 1117.

Lundin (E.), **84:** Bestimmung von Arsen in Eisen und Eisenerzen 1582.

Lundström, **77:** Bjelkit 1269; Baryto-calcit 1291.

Lundström (C. H.), **79:** Granat 1215.

**85:** Analysen von Allacit, Häma-fibrit, Diadelphit und Synadelphit 2284; Berzeliit 2285.

Lundvall (C. F.), siehe Claesson (P.).

Lunge, **77:** Oxalate gegen Carbonate 670.

Lunge (G.), **77:** Benzoëssäure aus Benzylchlorid 729; Verzögerung chemischer Reactionen 1032; Salpeter-säure- und Salpetrigsäurebestimmung 1039; Regeneration des Braunsteins, Chlorkalk 1130; Bleikammerprocess 1138; Gloverthurm 1139; Soda-industrie 1145.

**78:** Untersuchung der Einwirkung von Salpetersäure auf Stärke und arsenige Säure 220; Bestimmung der Salpeter- und salpetrigen Säure 1048; Bestimmung des Gehaltes an Monohydrat in concentrirten Schwefel-

- Luca (S. de), **77**: krystallisirtes kohlen. Blei 271.
- 78**: Lithium in den Wässern und den erdigen Zersetzungsproducten trachytischer Gesteine 1286.
- 79**: Faseranalyse aus Pompeji 1150; Walkelerde 1236.
- 80**: Vorkommen von Lithium 283; Garn aus Pompeji 1064; Hühnerei 1094.
- Lucas (F.), **84**: elektrischer Widerstand der Kohlen 251.
- Lucchetti (P.), **81**: Hornblende (Bergamaskit) 1393.
- Lucchi (G. de), **80**: thermische Ausdehnung des festen Natriums 96 f.
- 82**: spezifische Wärme des überhitzten Wasser- und Phosphordampfes 112.
- 83**: elektrischer Widerstand des Eisens 213 f.
- Luchs (G.), **85**: Darstellung von Calciumphosphat aus Thomasschlacken 2068 f.
- Luchsinger, siehe Nencki (M.).
- Luchsinger (B.), **81**: Bestimmung des Glycogens 1213.
- 85**: physiologische Wirkung der Santonsäure 1853; siehe Hess (E.).
- Luciani, siehe Albertoni.
- Lucion (R.), siehe Solvay (E.).
- Lucius, **78**: magnesiumhaltiger Kalkspath 1220; siehe Meister.
- Luck (E.), **77**: Phenolphthalein in der Alkalimetrie 1085.
- Luckenbach (G.), **84**: Darstellung von Iso- und Terephthalonitril, Eigenschaften und Darstellung von Terephthalthamid, Isophthalthamid 487 f.; Eigenschaften und Darstellung von Isophthalimidoäthyl- und -methyläther, Isophthalamidin, salzs. Isophthalimidothioäthyläther, salzs. Terephthalamidin 488; Darstellung von Derivaten des Benzylcyanids, Phenylacetimidoäthyläther, Phenylacetimidooacetat, Phenylacetamidin, symmetrisches und unsymmetrisches Dimethylphenylacetamidin 489; Diphenylphenylacetamidin, Diäthylphenylacetamidin 490.
- Luckow (C.), **80**: Elektrometallanalyse 1139 f.
- 85**: elektrolytische Ausfällung von Metallen als Amalgam (Zink, Silber) 1884.
- Ludeking, siehe Wheeler.
- Ludwig (E.), **77**: Skapolith 1314; Milarit 1325; Trachyt 1365; österreichische Salzsoole 1385.
- 78**: Nachweis von Quecksilber in thierischen Substanzen 1090 f.; Labradoranalysen 1266.
- 79**: Arsen im thierischen Organismus 994 f.
- 80**: Arsenvertheilung und -vergiftung 1126; Dumas'sche Stickstoffbestimmung 1199; Quecksilber in thierischen Substanzen (Nachweis) Stickstoffbestimmung im Harn 1236; Apparat zur Stickstoffbestimmung 1242.
- 81**: Blut von an Leukämie Verstorbenen 1043; Wirkung des Kaliumchlorats 1062; Bestimmung der Harnsäure 1230; Epitot 1379; Wilhelmquelle zu Carlsbrunn 1446; Sauerquelle von Apatovac 1447.
- 82**: Danburit von Graubünden 1551; Analyse des Karlsbader Sprudelsalzes 1632.
- 83**: Darstellung von Kohlenoxyd 331; Analyse des Danburits von Scopi, Graubünden 1881 f.
- 84**: quantitative Bestimmung der Harnsäure 1616 f.; Analyse des Wassers der Maria-Theresia-Quelle zu Andorsdorf 2035.
- 85**: Bestimmung der Harnsäure 1952.
- Ludwig (E.) und Mauthner (J.), **80**: Ammoniak gegen Naphtochinonderivate 733 f.; Nachweis der Blausäure und der Cyanverbindungen in gerichtlichen Fällen 1236; Quellwasser 1524.
- 81**: Blausäure neben Ferrocyankalium 1197.
- Ludwig (E.) und Renard (A.), **84**: Analyse von Vesuvian 1953.
- Ludwig (R.), siehe Classen (A.); siehe Tiemann (F.).
- Lüdecke, **83**: Krystallform des Laserpitins 1361.
- Lüdecke, **84**: Krystallform von Phenylnitroäthylendibromid 589, von Lupindichloroplatinat 1394.
- 86**: Krystallform von p-Monobromphenol 1235.
- Lüdecke (A.), **80**: Methylammoniumplatinchloride 511 f.
- Lüdecke (B.), **86**: Krystallform des sauren oxalsäuren Triacetondiamins 714; Krystallform von Sarkosinplatinchlorid 1310; Krystallform von Aethylsuccinyllobersteinsäure 1394.
- Lüdecke (O.), **79**: Anatas-Messungen 1188; Reinit 1196; Analcim 1231; Sanidin 1234; Heldburgit 1243.

- 80:** Mesolith, Skolezit, Reifait 1467 f.
- 81:** Krystallform von Atropin 848, von Atropin-(Daturin)-chloroplatinat 949; Reifait 1399; Mesolith, Skolezit, Natrolith (Mesotyp) 1399 f.; Basaltlava 1432.
- 82:** krystallographische Untersuchung von Amidotrimethyloxybutyronitril 379 f.; krystallographische Untersuchung von chlorwasserstoffsäurem Diacetonalkamin-Platinchlorid, chlorwasserstoffsäurem Pseudotriacetonalkamin-Platinchlorid und Benzaldiacetonamin 499 f.; Krystallform des amidodimethylpropionsäuren Kupfers und des salzsauren Amidodimethylpropionsäureplatinchlorids 860; Atropin- (Daturin-) und Hyocyaminplatinchlorid, Krystallmessungen 1094; Krystallform von Feuerblende vom Harz 1524.
- 83:** Krystallform von rothem Bleioxyd 391; Krystallform der Aethylsuccinylbernsteinsäure 1063; Vorkommen von Brucit als Kesselstein 1844.
- 84:** Krystallform von Plagionit, Untersuchung von Zundererz 1909.
- 85:** Krystallform des brenzterebinsäuren Calciums 1655, des Isocapro lactoids 1655 f.; Krystallform des Allocaffeins 1689; Krystallform von jodwasserstoffs., chlorwasserstoffs. Lupanin 1726, von Methylupanin ammoniumjodid und des Chloroplatinates, sowie Chloraurates von Methylupanin ammoniumchlorid 1727; Krystallform von Anatas 2271; Krystallform von Datolith 2288; Krystallform von Orthit 2289; Albitzwillinge 2297.
- 86:** Krystallform von Lupinidinplatinchlorid 1696; Krystallform von Caffeinmethylijodid und Allocaffein 1700 f.; Krystallform von Hemipinsäure und hemipinsäurem Kalium 1723; Untersuchung eines Kesselsteines 2150.
- Luedeking (Ch.), **86:** Nachweis von Chloroform in Leichen 1970 f.; spec. Gewichte, spec. Wärmen und Hydrationswärmen der fetten Säuren und ihrer Mischungen mit Wasser 215 bis 218.
- Lüdeking (Ch.), siehe Wiedemann (E.).
- Lüders, siehe Weppen.
- Lüders (R.), siehe Otto (R.).
- Lühdorf (F. A. v.), **83:** Analyse des Wassers der heißen Quellen von Neumichailowsk, Amurland, Sibirien 1948.
- Lüssy, **83:** Fixirung von Antimon-sulfid auf der Gewebsfaser 1785.
- Lüttkens (E.), **81:** Bestimmung des Arsens 1174.
- Lützeltschwab, siehe Krafft (F.).
- Luff, siehe Wright.
- Luff (A. P.), siehe Wright (C. R. A.).
- Lugo (O.), **80:** Reinigung des Leucht-gases 1362 f.
- Lukianoff (P.), **86:** Einfluss des Bleichens auf die Türkischrothfärberei: Bildung von Oxycellulose 2183; Wirkungsweise der Bestandtheile der Alizarinöle (Türkischrothöle) 2208 f.
- Lukjanow (S.), **84:** Untersuchung über die Aufnahme von Sauerstoff 1472 f.
- Lumpp (G.), siehe Hell (O.).
- Luna (Ramon de), **83:** Ansichten über die Cholera, Untersalpetersäure als Mittel gegen die Cholera 1490.
- Lunay, **77:** brasilianisches Meteor-eisen 1389.
- Lundahl (K.), **83:** Hexylacetessig-äther und Derivate, Hexylmalon-säure, Aether und Salze 1115.
- Lundborg, **77:** Nickel 1117.
- Lundin (E.), **84:** Bestimmung von Arsen in Eisen und Eisenerzen 1582.
- Lundström, **77:** Bjelkit 1269; Baryto-calcit 1291.
- Lundström (C. H.), **79:** Granat 1215.
- 85:** Analysen von Allacit, Häma-fibril, Diadelphit und Synadelphit 2284; Berzelliit 2285.
- Lundvall (C. F.), siehe Claesson (P.).
- Lunge, **77:** Oxalate gegen Carbonate 670.
- Lunge (G.), **77:** Benzoëssäure aus Benzylchlorid 729; Verzögerung chemischer Reactionen 1032; Salpeter-säure- und Salpetrigsäurebestimmung 1039; Regeneration des Braunsteins, Chlorkalk 1130; Bleikammerproceß 1138; Gloverthurm 1139; Soda-industrie 1145.
- 78:** Untersuchung der Einwirkung von Salpetersäure auf Stärke und arsenige Säure 220; Bestimmung der Salpeter- und salpetrigen Säure 1048; Bestimmung des Gehaltes an Mono-hydrat in concentrirten Schwefel-

säuren 1120 f.; Controle der Verluste an schwefliger Säure und Berechnung des verbrannten Schwefels beim Bleikammerproceß 1121; Nitrosendämpfe 1122; Lage der deutschen Sodaindustrie 1128; Zersetzung der aus Sodarückständen gewonnenen Schwefellauge mit Salzsäure 1131.

**79:** Salpetrigsäureanhydrid im Dampfzustande 212 f.; Verhalten der Säuren des Stickstoffs zu Schwefelsäure 214 f.; Stickoxydverbindungen bei der Schwefelsäurefabrikation 1106 f.; Nitrometer 1106, 1107; Sodafabrikation 1110; Cyan aus der Soda 1111; Leimung des Papierses, Antichlor 1150.

**80:** saure Dämpfe gegen die Vegetation 1047; Schwefel in Schwefelkiesen 1154; Manganbestimmung 1183; Zusammensetzung des aus dem Weldon-Schlamm regenerirten Mangansuperoxyds 1274; Salpetersäureanhydrid in der Fabrika-Schwefelsäure 1287; Sodafabrikation in England 1290 f.; Umsetzung zwischen schwefelsaurem Natron und Kalk 1295.

**81:** Einwirkung von Stickoxyd auf schweflige Säure mit oder ohne Gegenwart von Sauerstoff 186; Reinigung des Naphtalins 364; Methylorange als Indicator 1157; Löslichkeit von Stickoxydul für die Gasanalyse 1187; Weldonsohlamm 1256.

**82:** Bestimmung der Gefrierpunkte von Schwefelsäuren 101 f.; Existenz des Salpetrigsäureanhydrids 239; Reinigung des Rohnaphtalins 427; Phenacetolin als Indicator bei Titirungen von freiem neben kohlen. Alkali 1256 f.; Analyse von Dynamiten 1307; die Untersalpetersäure beim Bleikammerproceß 1394; Aufschliessung von Schwefelkies, Zinkblende; Bestimmung von Kohlensäure im Natron 1396; Entschweflung von Sodalaugen, Fortschritte in der Sodaindustrie 1399; Natriumsulfat gegen kohlen. Kalk, Schwefelcalcium gegen Chlorcalcium, Salzsäure aus Chlorcalcium 1403.

**83:** Aufschliessung des Schwefelkieses 1521; schweflige Säure gegen Lackmus, Phenacetolin, Methylorange, Phenolphthalein und Rosolsäure 1536; Fabrikationsmethode in der Meeressaline Giraud (Südfrankreich), Verarbeitung des Seewassers 1689; Oxydation der Schwefelverbindungen in

der Fabrikation von caustischer Soda 1689 bis 1692.

**84:** Dichte des Schwefelsäurehydrats 76; Aufstellung einheitlicher analytischer Methoden zur Werthbestimmung von Handelsproducten 1549 f.; fractionirte Destillation zur Werthbestimmung von chemischen Producten 1550; analytische Bestimmung des Fuselöles im Sprit 1620 f.; Einwirkung von Natron, Kalk, Magnesia auf Salze des Ammoniaks und der Amine, Methylorange als Indicator für aromatische Amine 1722; Schwefelsäurefabrikation aus Pyrit 1727; Verhalten 98 procentiger Schwefelsäure beim Abkühlen unter 0° 1728; Einwirkung von Nitraten auf Alkalisulfide 1730 f.; Versuche über Chlorkalk und Ohlorlithion 1734 f.

**85:** Löslichkeit von Calciumsulfat in Lösungen von Chlornatrium, Chlorcalcium und verdünnter Chlorwasserstoffsäure bei gewöhnlicher und Siedetemperatur 102 f.; Existenz von gasförmigem Salpetrigsäureanhydrid 424; Verhalten des Stickoxyds gegen Sauerstoff 424 f.; Bestimmung des Gehaltes von Toluidin an o- und p-Toluidin 872; Bestimmung des Schwefels in Pyriten 1905 f.; Bestimmung von o- und p-Toluidin in Gemischen durch das spec. Gewicht 1954 f.; Absorptionsmeter und Nitrometer 2004 f.; reducirende Wirkung der Coaks auf die in Schwefelsäure gelöste Salpetersäure 2058; Bildung der Schwefelsäure 2061; Entwicklung der Schwefelsäure- und Sodafabrikation in England 2062; Verstärkung der bleichen Wirkung von Chlorkalklösungen durch Zusatz von Ameisen- oder Essigsäure 2204.

**86:** Gebrauch des Nitrometers 1915 f.; Analyse von festen Sprengstoffen 1993; Einwirkung von Säuren, Alkalien und Salzen auf Metalle 2050 f.; Einwirkung von Wasserstoffsuperoxyd auf unterchlorig. Salze (Werthbestimmung des Chlorkalks) 2059 f.; Untersuchung von Kesselsteinen 2148 f.; Wasserstoffsuperoxyd als Antichlor 2182; Schwefellager auf Saba 2222; siehe Lippmann (E. O. v.).

Lunge (G.) und Billitz (G.), **85:** Abscheidung des Schwefels aus Schwefelwasserstoff 2058 f.

- Lunge (G.) und Blattner, **83**: Bestimmungen des spezifischen Gewichtes von Kalkmilch 1694.
- Lunge (G.) und Burkhardt (R.), **84**: Darstellung von Fluoresceinen der Maleinsäure mittelst Phenole: Maleinsäureresorcinfluorescein 1021; Einwirkung von Fumarsäure auf Phenole 1022.
- Lunge (G.) und Deggeler (A.), **85**: Einwirkung von chloresäuren Salzen in Lösung auf Gefäße von Gußeisen, Eisen und Blei 2070 f.
- Lunge (G.) und Landolt, **85**: Umwandlung von unterchlorigs. Calcium in chloresäures Calcium 2071.
- Lunge (G.) und Landolt (L.), **85**: Untersuchung der Soole der Saline Schweizerhalle bei Basel 2317.
- 86**: Untersuchung von Bleichflüssigkeiten: Chlorozon, Bleichmagnesia, Aluminiumhypochlorit, Chlorkalk 2180 ff.
- Lunge (G.) und Naef (P.), **83**: Volumgewicht concentrirter Schwefelsäure, Monohydrat derselben 52; Constitution des Chlorkalkes 281 f.; spec. Gewicht der concentrirten Schwefelsäure 1536.
- 84**: Untersuchung der Vorgänge in den Schwefelsäurekammern 1725 ff.
- 85**: Bildung der Schwefelsäure 2061.
- Lunge (G.) und Rohrmann (L.), **86**: Apparat zur Einwirkung von Gasen auf Flüssigkeiten oder feste Stoffe 2012 f.
- Lunge (G.) und Salathe (F.), **77**: Schwefelsäureanhydridbildung 1141.
- Lunge (G.) und Schächli (H.), **80**: Constitution des Chlorkalkes 1273 f.
- 82**: Untersuchungsmethoden für Sodafabriken 1399 ff.
- Lunge (G.) und Schmid (J.), **85**: Umwandlung von Natriumcarbonat in Natriumhydrat 2072 f.
- Lunge (G.), Schmid (J.) und Hoffmann (G.), **85**: Anwendung von Dimethylamidoazobenzol als Indicator, Methylorange und Tropäoline 1891.
- Lunge (G.) und Schoch (R.), **82**: unterchlorigsaures Calcium und Jodkalk 271.
- Lunge (G.) und Smith, **83**: spec. Gewicht wässeriger Ammoniaklösungen, Procentgehalt wässeriger Lösungen von kohlen. Ammonium 53.
- Lunge (G.) und Steinkauler (Th.), **80**: Sequoien 436.
- 81**: Sequoien aus Sequoianadeln 1023.
- Lunin (N.), **81**: anorganische Salze in der Ernährung 1031.
- Lupp, siehe Claus (A.).
- Lupton (N. T.), **78**: Verbrennung des Sauerstoffs in Ammoniakgas 190.
- 79**: Schulzimmerluft 1001.
- 85**: Analysen nordamerikanischer Kohlen 2298; Untersuchung des Metoreisens von Coahuila (Mexico) 2326.
- Lurie (G.), siehe Birnbaum (K.).
- Lusage (G.), **78**: Nitrometer 1046.
- Lussana (F.), **83**: Gallensecretion nach Durchschneidung beider Nervi vagi 1455.
- 85**: toxische Wirkung der Alkaloide aus verdorbenem Mais und Weizen 1733; siehe Ciotto (Fr.).
- Lustgarten (S.), **81**: Salpetersäureester des Glycogens, Dinitroextrin 1041.
- 82**: Nachweis von Jodoform, Naphtol und Chloroform 1340.
- Lustig, siehe Poleck.
- Lustig (S.), **86**: neue Abkömmlinge des Carvacrols 1255 f.: Darstellung von Carvacrol, Carvacrolnatrium, Aethyl-, Benzoyl- und Acetylcarvacrol 1256; p-Carvacrolinaldehyd 1256 f.; p-Carvacrolinsäure 1257.
- Lutz (E.), **86**: Abbau der Myristinsäure bis zur Laurinsäure (Harnstoffe des Tridecylamins) 1401 f.
- Luuyt (M.), **84**: Extraction der Edelmetalle 1718.
- 86**: Corrosion von Dampfkesseln durch Zuckerlösungen 2149.
- Luvini (J.), **86**: Elektricitätsleitung der Gase und Dämpfe 244 f.
- Lux (F.), **80**: Flavescin 1146; mafs-analytische Werthbestimmung der Mennige 1189; Aspirator 1240.
- 85**: Nachweis von fetten Oelen in Mineralölen 1969.
- 86**: Baräometer 1901 f.
- Luxardo (O.), **83**: alkaloidähnliche Körper aus Maismehl 1355.
- Luynes (V. de), **77**: Fensterglas aus der Zeit Ludwig's XVI. 1167.
- Luzzato (E.), siehe Zambelli (L.).
- Luzzatto (M.), **84**: Einfluß des Wassers auf die genaue Bestimmung des Harnstoffes 1616.
- Lwoff (J.), siehe Kelbe (W.).

Lwow (Lwoff), **81**: Polymerisation von Vinylbromür 383; Amylenbromür 390.

**84**: Einwirkung von Chlor auf Isobutylen in directem Sonnenlicht, Bildung von Monochlorisobutylen, Nachweis der Auffassung des ungesättigten Alkohols  $C_4H_8O$  als Isopropylencarbinol (Isobutenol) 574.

**85**: Dimethylisopropenylcarbinol 668 f.

Lwow und Chechnkow, **85**: Darstellung von Isobutylen glycol und von Isobutyraldehyd 1178.

Lwow (M.), **78**: Polymerisation des Vinylbromürs 414.

Lyons (A. B.), **86**: Verhalten von Hydrastin und Berberin 1725 f.; Titration des Cocaïns 1980 f.

Lyte (F. M.), **77**: Zinkbestimmung 1064.

**80**: Silberbestimmung in Bleierzen 1194.

**84**: Darstellung von Bleisuper-oxid 1738.

**86**: Reinigung von Abwässern 2112; siehe Maxwell Lyte (F.).

Lyte (Maxwell), **78**: Behandlung silberhaltiger Erze 1112 f.

## M.

Maas (H.), **83**: Ptomaine 1359; Bildung von Ptomainen aus Kalbfleisch 1399.

Maafs, **80**: Kohlenanalysen 1490.

Maassen (A.), **84**: Darstellung von Acetylderivaten des Amidokresols: Monoacetylamidokresol, Diacetylamidokresol 1003.

Maben (T.), siehe Dechan (M.).

Maben (Th.), **83**: Löslichkeit des Kalkhydrats in Wasser 349 f.

**84**: Darstellung condensirter Milch 1779.

**86**: Untersuchung von Aprikosen-, Pfirsich- und Wallnußöl 1826.

Maben (T.) und Dechan, **84**: Untersuchung condensirter Milch 1779 f.

Mabery (C. F.), **83**: Producte der trockenen Destillation des Holzes 1774.

**84**: Darstellung von Tetrachlor- $\beta$ -brompropionsäure 1106; siehe Cowles (E. H.); siehe Hill (H. B.).

Mabery (C. F.) und Hill (H. B.), **78**: Dimethylharnsäure und Derivate 363 f.; Constitution der Harnsäure 364.

**80**: Oxydation von Dimethylharnsäure 429 f.

Mabery (C. F.) und Jackson (C. L.), **78**: p-Jodbenzylverbindungen 418 f.

**80**: p-Jodbenzylverbindungen 482.

Mabery (C. F.) und Lloyd (R.), **81**: Dijodbromacrylsäure, Chlorbromacrylsäure 692; Chlortribromacrylsäure 693.

**82**: Brompropionsäure gegen Bromjod und Chlorjod: Dibromjodacrylsäure, Chlorbromjodacrylsäure 826 f.

**84**: Darstellung von  $\alpha$ - und  $\beta$ -Chlor-dibromacrylsäure 1106 ff.

Mabery (C. F.) und Nicholson (H. H.), **84**: Darstellung von Dichlor- $\beta$ -dibrompropionsäure, Dichlor- $\beta$ -bromacrylsäure 1105 f.

Mabery (C. F.) und Palmer (G. H.), **84**: Darstellung von o-Monojodtoluolsulfosäure 1331.

Mabery (C. F.) und Robinson (F. C.), **82**: o-Monojodbenzylbromid und Derivate 444 f.

**83**:  $\beta$ -Dibromacrylsäure gegen Brom: Tetrabrompropionsäure 1047.

Mabery (C. F.) und Weber (H. C.), **82**: Chlortribrompropionsäure aus Chlorbromacrylsäure 821 f.

Mabery (C. F.) und Wilson (B. D.), **83**: Chlortribrompropionsäure gegen Barytwasser: Chlordibromäthylen 1048.

Macadam (S.), Lösungsvermögen der fetten Oele für Blei 1168 f.

Macadam (W. J.), **80**: Ozokerit 1482.

**85**: Analysen von Diatomeenpeliten 2273 f.

Macagno (A.), **80**: Sumachblätter 1072.

Macagno (H.), **79**: Flaschenglas 1119.

**80**: Luftanalysen 1150.

**81**: Bestimmung des Schwefels in Erzen 1167.

Macagno (J.), **81**: Citronensaft 1018; Titirung des Schwefelkohlenstoffs 1198; Tanninbestimmung im Sumach 1206; Anilinfarbstoffe, Orseille u. s. w. im Rothwein 1216; Olivenöl (Baumwollensamenöl) 1222.

Macaluso (D.), **77**: Pflanzen gegen Licht 197.

**80**: Quecksilberpumpe 1240.

**83**: Oxydation des Quecksilbers 419.

**84**: über die Veränderung von Quecksilber 1606.

- Macarthur (R.), 83:** Bestimmung des Zinks als Schwefelzink 1571.
- Macay (J. F.), 80:** Eisenoxyd, Gewinnung neben Kupferchlorid 1282.
- Macay (J. F. N.), 81:** Silber, Kupfer und Blei aus Erzen 1254.
- Mac Carty (W. F.),** siehe Sagan (P. de).
- Mac-Cay (Leroy W.), 85:** Ueberführung der Arsensäure in arsenige Säure 1918.
- Macchall (J.),** siehe Smith (E. J.).
- Macchiati (L.), 86:** Xanthophyllhydrin 1807.
- Mac Donnel (H. B.),** siehe Frear (W.).
- Mac-Ewan (P.),** siehe Ewan (P. Mac).
- Macfarlane (A.), 85:** Versuche über eine triboelektrische Reihe der Metalle 225.
- Macfarlane (A.) und Bintoul (D.), 83:** Einwirkung der Flamme auf die elektrische Entladung 192.
- Mac Gregor, 84:** Absorption strahlender Wärme 166; siehe Knott.
- Mac-Gregor (J. G.) und Ewing, 85:** Dichte und Wärmeausdehnung von Kupfersulfatlösungen 53.
- Mach (C.), 77:** Trauben-, Birnen- und Aepfelsaft, links- und rechtsdrehender Wein 1196.
- Mach (E.), 77:** Zucker aus Trauben 900.
- 79:** Reifen der Früchte 892 f.
- 82:** die isochromatischen Linien Guéhard's 165.
- 86:** Untersuchung eines in Gluth gerathenen Heues 2098.
- Mach (E.) und Arbes (J.), 85:** totale Reflexion und anormale Dispersion 304.
- 86:** totale Reflexion und anormale Dispersion 312.
- Mach (E.) und Portele (K.), 85:** Untersuchung von Brennhau 1807.
- Mach (E.) und Wentzel (J.), 85:** Erscheinungen bei Explosionen 2105 f.
- Mach (E.) und Doubrava (S.), 79:** elektrische Durchbohrung des Glases 1119.
- 80:** Unterschiede der beiden elektrischen Zustände 147 f.
- Machattie (A. T.), 77:** atmosphärischer Niederschlag 1369.
- Machelart,** siehe Garreau.
- Machenbauer (F.), 84:** Darstellung eines gelben Rosanilinfarbstoffs 1866.
- Mac-Houl,** siehe Claus (A.).
- Mac Houl (D. A.), 80:** Anthrachinon-sulfochlorid 933 f.
- Mac Ivor, 80:** Struvit, Hannayit, Newberyit 1434.
- Mack (K.), 84:** pyroelektrisches Verhalten des Boracits 233 f.; pyroelektrische Untersuchung des Boracits 1928.
- 86:** Pyroelektricität brasilianischer Topase 248.
- Mackay (J.), 78:** Homburger Mineralquellen 1298.
- Mackenzie und Nickols (E. L.), 81:** Ausdehnung von Kohlensäurelösungen 72.
- Mackenzie (J. J.), 77:** Absorption der Gase durch Salzlösungen 67; Licht und Elektrizität 176.
- Mackey (W. M'D.),** siehe Mills (E. J.).
- Mackie (W.),** siehe Carnelley (Th.).
- Mackintosh (B.), 83:** salpetersaures Mangan gegen chloresaures Kali 1568.
- Mackintosh (J. B.), 80:** Meteorit, Meteoriten 1542.
- 81:** Bestimmung des Kupfers durch den Strom 1193.
- 82:** Stahlanalyse 1289.
- 84:** volumetrische Manganbestimmung 1599.
- 85:** Bestimmung von Phosphor im Eisen und Stahl 1912 f.; Bestimmung des Graphits in Mineralien 1921.
- 86:** Einwirkung der Fluorwasserstoffsäure auf Kieselsäure und Silicate 388; Analyse von Hanksit 2250; Analyse von Xenotim 2257; Analyse von amerikanischem Meteoriten 2333 f.; siehe Hidden (W. G.).
- MacLagan, 84:** Löslichkeit von Quecksilberjodür 1606.
- MacIeve (Bowman W.),** siehe Bowman MacIeve (W.).
- Macmillan (J. L.), 78:** Cultur der Chinapflanzen 873.
- Macmillian (J. L.), 79:** Chrysophansäure 592.
- Mac Munn (C. A.), 80:** Urobilin 1104.
- 81:** Harnfarbstoffe: Urobilin 1051; Choletelin, Hämatin, Urohämatin 1052.
- 83:** Farbstoffe der sogenannten Galle der wirbellosen Thiere und der Galle der Wirbelthiere 1457 f.; Harnfarbstoffe 1458.
- Mac Munn (G. A.), 86:** Hystohämatine, Myohämatin 1846.

Macnab (W. M.) und Beckett (G. A.), **86**: Reinigung des Wassers für technische Zwecke 2108.

Macneill (T.), **77**: Barometer 1099.

Macpherson (J.), **82**: Fundorte für Aerinit 1582.

Mactear, **77**: Bleikammerproceß 1138; Schwefelsäure-, Soda- und Chlorkalkindustrie 1145.

**85**: Vertheilung und Condensation der Gase in den Bleikammern 2061.

**86**: Gewinnung von Krystallsoda 2053.

Mactear (J.), **77**: geschwefelte Gase 1034.

**78**: Alkaliindustrie 1125 f.; Zerstörung der Cyanverbindungen bei der Sodaschmelze, Regeneration des Schwefels der Sodarückstände 1129 f.; Einwirkung überschüssiger Kohle auf Glaubersalz 1132 f.

**79**: künstlicher Diamant 229; Stickoxydverbindungen bei der Schwefelsäurefabrikation 1106 f.

**80**: Schwefelsäure gegen Blei 327 f.

**81**: Natriumsulfat 1269.

**84**: Schwefelsäurefabrikation 1727.

**86**: Darstellung von Baryum- und Strontiumhydroxyd 2061; Darstellung von Baryum- und Strontiumchlorid 2062 f.; Regenerirung von Manganoxyd 2064.

Mactear (W.), **80**: salpetrige Säure in den Dämpfen der Bleikammern 1285 f.

Madan (H. G.), **82**: Wärmeleitung von Eisen und Wismuth 114.

**85**: Anwendung chemischer Gleichungen 5.

**86**: organische Substanzen mit hohem Brechungsvermögen 289.

Madsen, **83**: Bestimmung von Gummi im Succus Liquiritiae 1622.

Mähly (J.), siehe Friedländer (P.).  
Märcker, **83**: Biertreiber 1717; Methode der Stickstoffbestimmung nach Groven 1587.

Märcker (M.), **77**: Stärke gegen Diastase 900; Berieselung durch Abflusswasser 1176; Spiritus 1199.

**78**: Einwirkung von Diastase auf Stärke 1035; Fehling's Zuckerbestimmung 1075.

**80**: Düngung mit Kalisalzen 1333 f.; Aufschließung der Stärke 1352 f.; Zuckerbildungstemperatur 1353; siehe Behrend (P.).

**81**: Wirkung organischer Säuren gegen Hefe 1145; Gleichwerthigkeit

von präcipitirtem und „löslichem“ Calciumphosphat 1291; Düngwirkung von Calciumphosphat und Superphosphat, von Chilisalpeter (für Rüben) 1296; Störungen bei der Alkoholgährung 1305.

**82**: Herstellung von Spiritus 1445.

**83**: „Zurückgehen“ der löslichen Phosphorsäure in Superphosphaten 1720; Gewichtsverlust der Diffusionsrückstände von Zuckerfabriken beim Lagern in Erdgruben 1733 f.; Ausstreichen der Gärbottiche mit Phenol 1738; Stärkegehalt sächsischer Zwiebelkartoffeln 1745.

**85**: Untersuchung von Körnerfrüchten und Kartoffeln auf Stärke 1982.

**86**: Modification der Kjeldahl'schen Stickstoffbestimmungsmethode 1954.

Magatti (G.), **78**: Einwirkung von Schwefelsäureanhydrid auf Phenylsenfö 357.

**79**: Monoäthylenäther der Pyrogallussäure 529 f.;  $\gamma$ -Diphenol gegen Kaliumdichromat 537.

**80**:  $\gamma$ -Diphenol 685 f.

**81**: Naphthalin gegen Brom 365.

Magel (G.), **84**: Krystallform von Arsenkies 1905 f.

Mager (W.), siehe Lehmann (G. W.).

Magerstein (V. Th.), **79**: Mineralwasser zu Zuckmantel und Einsiedel 1265.

**80**: Einfluss des Kali's auf die Bildung der Reservestoffe in Pflanzen 1049; Werth stickstoffhaltiger Nährstoffe 1051.

Magerstein (Th.), **81**: Hydratisirung von Stärkemehl 986.

Maggi (L.), **83**: Untersuchung von Trinkwasser auf Mikroorganismen 1526.

Maggie (W. F.), **85**: Bestimmung der Steighöhen und Oberflächenspannungen aus den Krümmungsradien der Oberfläche von Flüssigkeiten 84.

**86**: Oberflächenspannungen von Flüssigkeiten 133.

Magnaghi (P.), siehe Ciamician (G.).

Magnanimi (O.), **85**: Darstellung von Isopropylphenylzimmtsäure 1555 f., von Isopropylphenyl-p-methylcumar-säure und von Isopropoxy-methylstilben 1556.



- 86:** Trichlormethyläthyl- und Trichlordimethylacetal 1624; siehe Scichilone (S.); siehe Spica (G.).
- Magnanini (G.), 86:** Darstellung eines zweiten Piperylentetrabromids 577 f.; siehe Ciamician (G.).
- Magner, 78:** Verarbeitung von Pflanzenfaser 1173.
- Magnier de la Source (L.), 80:** dialysirtes Eisen 321 f.
- 84:** Einfluss des Gypsens auf die Zusammensetzung und chemische Beschaffenheit des Weines 1796 f.
- Magnieu (A.),** siehe Saint-Pierre (C.).
- Mahn (M.),** siehe Birnbaum (K.).
- Mahon (R. W.), 82:** p-Oxy-m-toluylsäure gegen Salpetersäure: Nitroxytoluylsäure 923;  $\alpha$ - und  $\beta$ -Xylolsulfamide gegen Benzoylchlorid:  $\alpha$ - und  $\beta$ -Xylolsulfobenzoylamid 1014 f.; Titrierung von Zink 1294.
- Mahrenholtz,** siehe Limpricht (H.).
- Mahrenholtz und Gilbert, 80:** m-Azobenzolsulfosäure und m-Hydr-azobenzolsulfosäure 909 f.
- Maiche, 77:** Zinkkohlenkette 152.
- Maier, 83:** Analysen der Asche des Goentoer 1934 f.
- Maier (G. N.), 80:** Pseudomorphose 1485.
- Maignen (P. A.), 86:** Reinigung des Wassers 2108.
- Mailfert, 82:** Einwirkung des Ozons auf Oxyde, Salze und Kohlenwasserstoffe 224 f.
- Maillet (E.), 78:** Einwirkung von Anilin auf Sebacylsäure 735.
- Main (P.), 78:** Formel der Harnsäure, Auffassung der Derivate 361.
- Main (P. T.), 77:** Siedepunktsbestimmung 55; Benzolderivate 369.
- Mainzer, 79:** Dinitrophenylessigsäureäther 688.
- Mainzer (K.), 82:** Verhalten aromatischer, gemischter Thioharnstoffe gegen Säuren: Tolyphenyl-, Phenyl-naphtyl- und Tolylnaphtylthioharnstoffe 385.
- 83:** aromatische (Naphtyl- und Phenyl-) Thioharnstoffe gegen Säuren 493.
- 84:** Derivate der Amidoäthylbenzole 718.
- Mairet (A.), 84:** Untersuchung über die biologische Rolle der Phosphorsäure 1476; Einfluss geistiger Arbeit auf die Phosphorsäureausscheidung 1496.
- Mairet (A.) und Combemale, 85:** hypnotische Wirkung des Acetophenons 1849.
- 86:** physiologische und therapeutische Wirkungen des Acetophenons 1865.
- Mairet (A.), Pilatte und Combemale, 85:** Wirkung von Antiseptics auf Thiere 1867.
- Maisch (H. C. C.), 84:** Schmelzpunkt von Patchouli-Stearopten 1468.
- 86:** Bestimmung von Schmelzpunkten pharmaceutischer Artikel 182.
- Maisch (J. M.), 81:** Stearopten der Buchblätter 1025; Xanthorrhoeaharze 1030.
- 85:** Verfälschungen des Safrans und dessen mikroskopische Prüfung 1984.
- Maissen (P.), 80:** Camphersäure 880 f.; Meteorit 1539.
- 83:** Additionsproducte von Terpenen 570 f.; Analyse des Meteoriten von Alfanello, Provinz Brescia 1952 f.
- Maistre (J.), 77:** Mittel gegen Phylloxera 1181.
- Maixner, 79:** Eiweisspepton im Harn 984 f.
- Majendie und Dupré, 84:** Zusammensetzung von Dynamit 1748.
- Majert (W.), 81:** blauer Farbstoff aus Nitrosodimethylanilin 1331.
- 83:** blaue schwefelhaltige Farbstoffe aus Tetramethyldiamidodiphenylamin oder Dimethylanilin und Dimethyl-p-phenylendiamin 1802 f.; Nitro- und Amidoanthrachinone gegen Glycerin und Mineralsäuren, Anthrachinonchinolin 1805; Anthrachinonchinaldin 1805 f.; Anthrachinonchinaldinsulfosäure 1806.
- 84:** Darstellung gelber Chinolinfarbstoffe 1859; Herstellung gelber Anthrachinolinfarbstoffe 1890.
- Makino (K.),** siehe Kellner (O.).
- Makowsky, 78:** Krystallform der Rosolsäuren aus Corallin 597 f.
- Makowsky (A.), 81:** Bouteillenstein 1432.
- Makris (C.), 77:** Ammoniakbestimmung 1038.
- Malagola, 81:** Wirkung von Atropin 950.
- Malassez (L.), 77:** Gehalt der Blutkörperchen an Hämoglobin 990.

- Malavasi (L.), 80:** elektromotorisches Verhalten von Aluminium 151.
- Malbot (H.),** siehe Duvillier (E.).
- Malenfant, 85:** Extraction von Salicylsäure aus Wein 1975.
- Malherba (P.), 85:** Verhalten von Allantoin gegen Natriumhypobromit, Harnstoffbestimmung in Harnen 1952.
- Mallard und Le Chatelier, 80:** Entflammungstemperaturen von Gasgemischen 138 f.
- 81:** Fortpflanzungsgeschwindigkeit der Flamme 1087; Abkühlungsgeschwindigkeit der Gase 1087 f.; spec. Wärmen der Gase bei hohen Temperaturen 1089 f.; Verbrennungstemperatur sowie Dissociation von Kohlendioxyd und Wasserdampf 1091; Verbrennungstemperatur von Wasserstoff-Sauerstoff-, Kohlenoxyd-Sauerstoff- und Kohlenoxyd-Luft-Knallgas 1092.
- 82:** Verbrennung von Methan, Kohlenoxyd und anderen Gasen 57; Rolle des Kohlenstaubes bei Grubenexplosionen 1618.
- 83:** Dimorphismus des Jodsilbers 8; Entflammungstemperaturen explosiver Gasmischungen 151; Verbrennung explosiver Gasmischungen 152; Verbrennungserscheinungen explosiver Gasgemische 1702.
- Mallard (E.), 79:** Theorie der Absorption in krystallinischen Mitteln 154; Bravaisit 1233 f.
- 80:** Mallardit 1424.
- 81:** Phosphoreisen (Rhabdit) 1410.
- 83:** Dimorphismus des Boracits 8; Veränderung doppelbrechender Körper durch die Wärme, Veränderungen der Molekularstructur 9.
- 84:** labile und stabile Art der Krystallform 3; Schichtenbildung (Schieferbildung) 36; Umwandlungstemperatur des Boracits aus dem doppelbrechenden in den einfachbrechenden Zustand 169; spezifische Wärme des Boracits 169 f.; Formeln für die optischen Eigenschaften isomorpher Mischungen 286 f.; krystallographische, optische Eigenschaften des Boracits 1927 f.
- 86:** Isomorphismus von chloresaurom Natrium mit salpetersaurom Natrium, von chloresaurom Kalium mit salpetersaurom Kalium, Hypothese über den Isomorphismus 5.
- Mallard (E.) und Chatelier (H. le), 84:** Umwandlungen der Modificationen des Jodsilbers 451.
- Mallat (A.), 84:** Untersuchung über Acetonharn 1502 f.
- Malleaci,** siehe Chiappe.
- Mallet (F. R.), 79:** Spritzflasche 1086.
- Mallet (J. W.), 77:** Dichte des festen Quecksilbers 45; Aluminium, Stickstoffaluminium, Flüchtigkeit der Erdalkalien 251; Cervantit und Stibolith 1281; Flussspath 1287; Sipyilit 1348.
- 78:** Bildung von Stickstoff-Magnesium 241; Zusammensetzung des Guanajuatits 1201, des Silaonits 1202; Meteoreisen aus Augusta County 1321.
- 79:** Jodstickstoff 223; Chlorzinn säure 285 f.; Livingstonit 1186; Bärce nit 1239.
- 80:** Atomgewicht des Aluminiums 286 f.; Livingstonit 1407; Steinsalz 1417; Magneteisen 1413; Dufrenit 1433; Augit 1456.
- 81:** Molekulargewicht von Fluorwasserstoff 10, von Fluorverbindungen 11; Calorimeter 1075; phosphormolybdäns. Ammon 1173; Zinkchlorid 1271; silberhaltiges Gold 1346; Molybdänblei 1374; Epidot 1380; Feldspath (Mikroklin) 1402; zinkhaltiger Thon 1405; Sipyilit 1407; Jod in westvirginischen Soolen 1454.
- 82:** Atomgewicht des Aluminiums 15 f.; Eigenschaften und Darstellung des reinen Aluminiums 276 f.; Zusammensetzung der Alaune, Werthigkeit des Aluminiums 277 f.; Bestimmung organischer Substanzen im Trinkwasser 1260; gediegenes Eisen 1521; Albit von Virginia 1569; Analysen von Samarskit, Fergusonit und Rutherfordit 1574; Untersuchung eines angeblichen Meteoreisens von Virginia 1639.
- 83:** Wasseruntersuchungen: Bestimmung organischer Substanzen, Reduction und Entfernung von Nitraten aus dem Wasser 1524 f.; Topas aus Maine 1872; Kieselkupfer von der Ivanhoe Grube, Arizona 1879; Hydrargillit (Gibbsit) von Marianna, Brasilien 1845; Beschreibung eines Sulfats von Tebeji, Mexico 1858; Lithionglimmer von Pihra-Hazáribagh, Bengalen 1885 f.
- 84:** Untersuchung eines Meteoreisens von County Wichita 2041.

- 86:** explosives Eis 203; Explosion von kohlensäurehaltigem Eis 325.
- Mallet (J. W.) und Allen (C. L.), **82:** Nephritanalysen 1560 f.
- Mallet (J. W.) und Page (W. T.), **82:** Stylotyp von Colorado 1525; Analyse von Allanit 1546.
- Mallet (J. W.) und Seamon (W. H.), **82:** Analysen natürlicher Silbergoldlegierungen 1521, von Palladiumgold 1522; Analyse von Allanit 1546; Analysen von Granaten 1550.
- Mallet (J. W.) und Sloan (B. E.), **82:** Helvin von Virginia 1551.
- Mallmann (Fr.), siehe Claus (A.).
- Mallmann (P.), siehe Claus (A.).
- Maltschewsky, **79:** dithionsaures Anilin 417.
- Maltzan (M. v.), **86:** Verwendung der gemahlenden Thomasschlacke 2034 f.; Verarbeitung unreiner Rohphosphate 2049 f.
- Maly (R.), **77:** Sulfhydanthoin, Sulfhydanthoinsäure 358; Säurebildung im thierischen Organismus 982.
- 79:** Nitrosothiohydanthoin 354 f.; Peptonlehre 877; Hydrobilirubin 970.
- 80:** Verdauung von Fibrin und Eiweifs 1120.
- 81:** Dotterpigmente: Vitellolutein, Vitellorubin 1048.
- 85:** Oxydation des Eiweisses: Oxyprotsulfonsäure; Oxypeptonsulfonsäure 1777; Verhalten der Oxyprotsulfonsäure beim Oxydiren 1778.
- 86:** Analyse von Andesin 2290.
- Maly (R.) und Andreasch (R.), **80:** Zersetzung von Nitrosothiohydanthoin 430 f.; Nitrosothioglycolsäure 768 f.
- 82:** Formel der Amalinsäure, Reduction der Amalinsäure zu Dimethyldialursäure 1090 f.; Vereinigung von Dimethyldialursäure und Dimethylalloxan zu Amalinsäure, Oxydation der Amalinsäure zu Dimethyloxamid, Formel der Dimethyldialursäure, Einwirkung von chlorsaurem Kalium und Salzsäure auf Theobromin: Apatheobromin, Dimethylalloxantin 1091.
- 83:** Caffeidincarbonsäure aus Caffein 1332 f.; Caffeidin aus Caffeidincarbonsäure, caffeidincarbonsaure Salze, Theobrominnatrium, Theobrominbaryum, Caffeidin gegen Chromsäuremischung 1333; Verhalten von Caffein im Thierkörper 1334.
- Maly (R.) und Emich (F.), **83:** Ver-
- halten der Gallensäuren gegen Eiweifs und Pepton, antiseptische Wirkungen der Gallensäuren 1455 bis 1457.
- Maly (R.) und Hinteregger (Fr.), **81:** Oxydation von Caffein: Cholestrophan, Methyloxaminsäure 908; Oxydation von Theobromin 909.
- 82:** Einwirkung von Brom auf Caffein, Formel des Monobromcaffeins 1089; Einwirkung von chlorsaurem Kalium und Salzsäure auf Theobromin und Caffein 1089 f.; Dimethylalloxan, Apocaffein 1090; Amalinsäure 1090 f.
- Man (F.), **78:** Nitroglycerinfabrikation 1138.
- Manasse (O.), **86:** Vanadate der Erdalkalien 466 f.
- Manches (P.), **83:** Behandlung des Kupfersteins in der Bessemerbirne 1676.
- 85:** Gewinnung von Gold und Silber aus Kupferstein 2039.
- Mandelin (K.), **79:** *Paeonia peregrina* 929.
- 82:** Salicylsäure in *Viola*-Arten 1165.
- 83:** *Violaquercitrin* aus *Viola tricolor* var. *arvensis*, Quercetin aus *Violaquercitrin* 1369; Farbenreactionen von Alkaloiden (*Aspidospermum*, *Berberin*, *Cryptopin*, *Gelsemin*, *Hydrastin*, *Narcotin*, *Quebrachin*, *Solanin*, *Solanidin*, *Strychnin*) mit Vanadinschwefelsäure 1612 bis 1614.
- Mandelin (K. F.), **79:** *Chinincitrate* 795 f.
- 84:** Reaction von *Napellin* 1393.
- 85:** Untersuchung der *Aconitum*-Alkaloide 1720 f.; Identität von *Japconitin* mit *Aconitin*, von *Pseudaconitin* mit *Aconin*, Existenz der *Apoaconitbasen*, Nichtexistenz des *Aconellins*, *Napellin*, *Acolyctin*, *Lycoctonin*, Vorkommen des *Pseudaconitins* im *Aconitum napellus* 1720; toxische Wirkung des *Aconins* (*Pseudaconins*), des *Aconitins* und *Pseudaconitins*, letale Dosis des *Aconitins* 1721.
- Mandeville Deane (L.), siehe Deane (Mandeville L.).
- Mandt (E.), **77:** Nitrosulfosalicylsäure 856.
- Manetti (L.), siehe Morandini (L.).
- Manetti (L.) und Musso (G.), **77:**

- Fettbestimmung von Milch 1094;  
Käsestoff der Milch 1095.
- 79:** Milch und abgeschäumte  
Molken 1131 f.
- Maneuvrier (G.), siehe Jamin.
- Mangin (L.), siehe Bonnier (G.).
- Mangon (Hervé), **83:** Cultivierung  
der Eisfeige (*Mesembrianthemum cry-*  
*stallinum*), Aschenanalysen derselben  
1717; siehe auch Hervé Mangon.
- Manhes (P.), **81:** Rohkupfer 1248.
- 83:** Gewinnung von Kupfer in der  
Bessemerbirne 1677 f.
- Manitz, **83:** Analyse des Plagioklasses  
aus dem Birkenauer Thale bei Hei-  
delberg 1898.
- Mankiewicz (G.), **77:** Liquor ferri  
acet. 264, 677.
- Mankowsky, **85:** Schwefelsäurege-  
halt des Pyroxylyns 2197.
- Mann (C.), **79:** Zinkbestimmung 1051.
- 80:** gefärbte Gläser 1315 f.
- 81:** Zink zur Analyse 1189; Saug-  
pipette 1237.
- 82:** Nachweis von Wasser in Al-  
kohol und Aether 1263.
- 84:** Analyse von Bournonit, von  
Fahlerzen 1911, von Augit 1966,  
1971 f., von Phonolith 2022.
- 85:** Erkennung der Citronensäure  
1960.
- Mann (F.), siehe Claus (A.).
- Mann (P.), **79:** Perthit-Lamellen 1235.
- 81:** Ophite (Diabase) 1426.
- Mann (W.), **81:** p-Methyldesoxy-  
benzoin und Derivate 617; siehe  
Gräbe (C.).
- Manning (F. A.), **77:** Anthracen-  
bestimmung 1084.
- Mannington (H. T.), **83:** Analyse  
des Brochantits von Pisco, Peru 1856.
- Mansfeld (W.), **86:** Versuche zur  
Bildung geschlossener Moleküle: Tri-  
äthylentrisulfid 1197 f.; Trimethylen-  
trisulfid, Diäthylendisulfid und Jod-  
alkyladditionsproducte desselben 1198;  
Additions- und Umwandlungsproducte  
des Diäthylendisulfids 1198 bis 1202:  
-Diäthylendisulfid-Chlormethyl- und  
-Jodmethyl; Perjodid der letzteren  
Verbindung 1199 f.; Diäthylendisulfid-  
Benzylbromid, -Benzyljodid und -Ben-  
zylchlorid 1200 f.; siehe Meyer (V.).
- Manzoni, siehe Scurati-Manzoni  
(G.).
- Maquenne, **78:** Wärmediffusion der  
Blätter 940.
- 82:** Einwirkung des Ozons auf  
Manganoxydulsalze 303 f.
- 84:** Krystallisation des Schwefels  
336; neue Modification desselben 337.
- 85:** perlmutterglänzender Schwefel  
390; Nachweis von Methylalkohol  
in frischen Pflanzen 1804 f.; siehe  
Dehérais; siehe Millot (A.).
- Maquenne (L.), **82:** Einwirkung von  
Ozon auf Leuchtgas, Methan und  
Benzol 398 f.; Methylenitan, Ozoben-  
zol 399.
- 83:** Einwirkung des Effluvijs  
auf Ameisensäure 198; Umsetzung  
von Kohlenoxyd mit Wasser 332;  
Kobaltammoniakverbindungen 364 f.;  
siehe Dehérais (P.); siehe Dehé-  
rais (P. P.).
- Marangoni (G.), **79:** Oberflächen-  
elasticität der Flüssigkeiten 86 f.;  
Oberflächenplasticität 87.
- 80:** Untersuchung und Anwen-  
dung der Krystallogeneses 1.
- Marburg (R.), siehe Fittig (R.).
- Marcacci (A.), **85:** physiologische  
Wirkung des Apotropins 1849.
- Marcano (V.), **80:** Kaliumplatinrho-  
danid 403.
- 82:** directe Gährung der Stärke:  
Maiswein, Kumys 1236.
- 83:** Brotgährung 1504 f.
- 84:** Peptongährung 1422; siehe  
Muntz (A.).
- Marcano (V.) und Muntz (A.), **79:**  
Wichtigkeit des Pisang für die Tro-  
pen 916 f.
- Marcell (J.), **78:** Rohproducte der  
Theerfarbstoffe 1171.
- Marcet (W.), **78:** Respirationsproceß  
der Thiere 985.
- 80:** Kohlensäure der ausgeathme-  
ten Luft 1172 f.
- 86:** Apparat zur schnellen Be-  
stimmung der Kohlensäure in der  
Luft 2012.
- Marcet (W.) und Landriset (A.),  
**86:** Kohlensäuregehalt der Luft  
1800.
- Marchais (V.), siehe Pellet (H.).
- Marchand (E.), **79:** Lithiumsalze in  
tellurischen Wässern 236.
- 83:** Organismen des Wassers 1510 f.
- Marchand (F.), **80:** Methämoglobin  
1099.
- Marchese (E.), **85:** Kupfergewinnung  
durch Elektrolyse 2037 f.; Verarbei-  
tung von Kupfererzen 2039.
- 86:** elektrolytische Behandlung

- von blei- und silberhaltigen Kupfererzen 2017.
- Marchetti (C.), 79:** Naphtoläther 543.
- 81:** Aethylnaphtalin und -sulfosäure 366 f.; Aethylnaphtol 367.
- 82:**  $\alpha$ - und  $\beta$ -Naphtol-Pikrat 719.
- Marckwald (W.), 86:** Zersetzungsprodukte des rhodanwasserstoffsäuren Thialdins:  $\gamma$ -Trithioaldehyd 1626; Dithioaldehydisulfocyanwasserstoffsäure und Thioaldehyd 1627; Einwirkung von Schwefelwasserstoff auf stark saure Aldehydlösungen 1627 f.; Darstellung und Derivate des Methylthialdins 1628 f.
- Marcus, siehe Bochefontaine.**
- Marcus und Oechsner de Coninck, 82:** physiologische Wirkungen des  $\beta$ -Collidins 1227.
- Mareck (F.), 84:** elektrolytische Darstellung des Chlorstickstoffs 268.
- Mareck (Fr.), 85:** Demonstration des Bleikammerprocesses 355 f., der Darstellung des Stickoxyduls, der Absorption des Ammoniaks und des Chlorwasserstoffs durch Wasser 356.
- Marek (G.), 82:** Vertheilung des Zuckers in der Rübe 1185 f.
- Mares (A.), 77:** Sulfocarbonate und Schwefelkohlenstoff gegen Phylloxera 1181.
- Marès (H.), 80:** Phylloxera 1067.
- Margan, siehe Albright.**
- Margary (L.), 83:**  $\beta$ -Naphtolazo-p-brombenzol 793; Einwirkung von Eisenoxysalzen auf Indigo 837.
- 84:** Verhalten von  $\alpha$ - und  $\beta$ -Naphtolazobenzol und ihrer Derivate 862; Verhalten von  $\alpha$ - und  $\beta$ -Naphtolazobenzol gegen Brom 863; Synthese der Rosanilinfarbstoffe auf den Baumwollstoffen 1850.
- Margis (P.), 82:** Darstellung von Sauerstoff aus der Luft durch Dialyse 1389 f.
- Margottet (J.), 77:** Selen- und Tellurzink und -cadmium 269; Moossilber, Schwefelsilber 301; Selen- und Tellursilber 302; siehe Hautefeuille (P.).
- Margraf, 86:** Untersuchung der Sprengstoffe Hellhofft und Carbonit 2077.
- Marguerite (P.), 80:** basisches Aluminiumsulfat 288.
- Marguerite-Delacharlonny (P.), 82:** Verarbeitung des Blutes mit
- telst saurem Ferrisulfat auf Dünger 1433.
- 83:** krystallisirtes Aluminiumsulfat 353.
- 84:** Wassergehalt des krystallisirten Aluminiumsulfats 389 f.; neues (wasserreicheres) Aluminiumsulfat 390.
- 86:** Verdampfen anorganischer Substanzen aus wässriger Lösung 150.
- Marié-Davy, 80:** Kohlensäuregehalt der Luft 277, 278.
- Marignac, 78:** Krystallform der Salicylsäure 758.
- Marignac (C.), 77:** Aequivalent- und Atomgewichte 20; Schwefelsäureanhydrid 209; Terbium, Erbium, Mosandrium 1346.
- 78:** Untersuchung der Erden des Gadolinit 260 f.; Entdeckung und Untersuchung der Ytterbinerde 261; Identität des Mosandrits von Smith mit Terbium 262.
- 80:** Erden des Samarskit 294 f.
- 83:** Atomgewicht des Wismuths 39, des Mangans 40, des Zinks 40 f., des Magnesiums 42 f.
- 84:** Isomorphismus und Zusammenkrystallisiren von Salzen 4 f.; Atomgewichtsbestimmungen 48.
- 86:** Gadolinium (aus der Erde Y $\alpha$ ) 406.
- Marin y Garcia (A.), 80:** Entsilberung des Bleies 1267.
- Marino-Zuco (F.), 83:** Identität der Ptomaine mit Neurin 1359; siehe Celli (A.); siehe Piccini (A.).
- Marke (A.), 77:** Kartoffeln 1175.
- Markel, 85:** Gasanalyse 1892.
- Markoe (G. F. H.), 78:** flüchtige Oele der Blätter von Myrcia acris 982 f.
- Markownikoff, 82:** molekulare Umwandlung des Zinns 340 f.
- Markownikoff (Markownikow) (W.), 77:** Pyroweinsäureanhydrid 712.
- 81:** Dichlorhydrin, Dichloracetan 509.
- 83:** Acetylchlorid gegen Zinkpropyl: Methylpropylcarbinol 861 f.
- 84:** Darstellung und Eigenschaften von Kanarin 483, 1852; Methylpropylcarbinol aus Zinkpropyl und Acetylchlorid 938.
- 85:** kaukasisches Erdöl, Octanaphten und seine Derivate 2174 f.; Analyse eines Astrachanits 2280.

- 86:** Untersuchung der aromatischen Kohlenwasserstoffe des kaukasischen Erdöls, Durolsulfosäure 586 f.
- Markownikoff (W.) u. Kablukoff (J.), **80:** Hexylglycerintriacetin  $C_6H_{11}(OH)_3$  611.
- 81:** Hexylglycerin aus Butallylmethylcarbinol 514.
- 82:** Hexylglycerin 655.
- Markownikoff (W.) und Krestownikoff (A.), **79:** Homoötaconsäure 662.
- 80:** Homoötaconsäure 817.
- 81:** Homoötaconsäure (Tetrylendicarbonsäure) 745 f.
- Markownikoff (W.) und Oglobin (W.), **81:** kaukasisches Petroleum 1317.
- 82:** Bestandtheile der kaukasischen Naphta 1455 f.
- 83:** gechlorte Kohlenwasserstoffe, aromatische Kohlenwasserstoffe aus Rohpetroleum 500 f.; Untersuchung des kaukasischen Erdöls 1757 f.; die Kohlenwasserstoffe des Erdöls von Baku, Untersuchung von russischem Erdöle 1758; Naphtene aus Erdöl 1758 f.; Naphtensäuren 1759.
- Markwart, **85:** Corrosion der Schiffsdampfkessel 2162.
- Marmé, **85:** physiologische Wirkungen des Mononitrothiophens 1185.
- Marmé (W.), **85:** Reactionen des Oxydimorphins 1982 f.
- Marpmann (G.), **81:** übersättigte Salzlösungen 73; Fortschritte in der Bakterien-Forschung 1141; Wasserbestimmung in der Milch 1224.
- 82:** Bakterienforschung 1247.
- 86:** Spaltpilze in einer Milch aus Göttingen 1886.
- Marquard (Fr. W.), **80:** Hefebereitung 1131.
- Marquard (G.), **84:** Untersuchung japanesischer Bronzen 1715.
- Marquard (A.), **86:** Derivate des Tribenzylamins: Tribenzylmethylammoniumjodid und -hydrat 887 f.; Tribenzyläthyl- und Tribenzylisopropylammoniumjodid 888; Nitrirung des Tribenzylamins 889.
- Marquardt (L.), **82:** Bestimmung des Fuselöles im Branntwein 1309.
- 86:** Bestimmung des Zinks, namentlich in Zinkaschen 1939; Analyse eines Stachelbeerweins 2131, 2133; Chlorgehalt französischer Rothweine 2133; Verfälschung von Mineralerschmierölen mit fettsaurer Thonerde (flüssige Gelatine) 2166.
- Marquis, **77:** Alkalöide von Delphinium staphisagria (Delphinin, Delphinoidin, Delphian, Staphisagrin) 895.
- 83:** Unterscheidung der aus Weingerbsäure und Galläpfelgerbsäure mit Gelatine erhaltenen Niederschläge 1807 f.
- Marquis (E.), **84:** Untersuchung des Farbstoffes des kaukasischen Rothweines 1664; Werthbestimmung des Hopfens 1666; Zersetzung des Pigmentes der kaukasischen Rothweine 1796.
- Marriot (H.), **77:** Bleichung von Seide 1225.
- Marriot (W.), **78:** Befreiung des Leuchtgases von Schwefelwasserstoff 1165.
- Marsden (R. S.), **80:** Borkupfer 330; siehe Sydney-Marsden (R.).
- Marsh (C. W.), **82:** Ammoniakbestimmungen im Wasser 1261.
- Marsh (F. O.), **77:** spec. Gewicht von Salzen 44.
- Marshall (D. H.), Smith (C. M.) und Osmond (B. T.), **83:** Dichtemaximum des Wassers 52.
- Marshall (J.), **83:** Molekulargewicht des Hämoglobins und des Kohlenoxydhämoglobins aus Hundeblood 1452 f.
- 86:** Darstellung von Glycocholsäure aus Ochsgalle 1848; Ureometer 2013.
- Marshall (J.) und Green (W. D.), **86:** Wirkung der Kakodylsäure auf den thierischen Organismus 1864.
- Martelliére (dela), **81:** Ammoniumsulfat aus Gaswasser 1269.
- Martens (A.), **78:** mikroskopische Untersuchung des Eisens 1099.
- 85:** Festigkeitsuntersuchungen von Papier 2197.
- Martenson (J.), **77:** Umkehrung der Natriumlinien 184.
- 79:** Fleischsaft 1133.
- 80:** Wasseranalyse 1536.
- 81:** Milchconserven 1301.
- 83:** medicinische Thermometer 114.
- Martin, **78:** Untersuchung der Wurzelrinde des Timbobaumes 975 f.
- 82:** Unverbreitlichmachen von Geweben 1469 f.; siehe Brady.

- Martin (A.), 80:** unverbrennliches Gewebe 1372.
- Martin (C. A.), 85:** Bleichen von Leinen und Jute 2203 f.
- Martin (D. S.), 77:** Blumenblätter-farben 926.
- Martin (E. W.), 85:** Abscheidung künstlicher Farbstoffe aus Butter, Fetten und Oelen 1968.
- Martin (G.), 78:** Samen von Ligustrum Ibotu 976; Zimmtöl 982.
- Martin (K.), 78:** Hemiädris des Diamanten 1199.
- 80:** Phosphate 1436.
- 81:** Bouteillenstein (Zinnschlacken) 1432.
- Martin (K.) und Groot (de), 81:** Zinnschlacken 1432.
- Martin (L. de Saint),** siehe Saint-Martin (L. de).
- Martin (P.), 79:** Solanin und Solanidin 792.
- Martin (S. H. C.), 85:** Bereitung von peptonisierter Milch mittelst Papain, Bildung von Leucin, Tyrosin und Hemialbumose 1873.
- Martindale (W.), 78:** Hyoscyamin 913.
- Martinet, 81:** Kohle 1408.
- Martinetti (M.),** siehe Battelli (A.).
- Martini, 77:** Dampfkesselexplosionen 1106.
- Martini (A.) und Weber (A.), 83:** Kieselensäureäther der Phenole: Kiesel-säure-Phenyläther und Kiesel-säure-p-Kresyläther 1299 f.
- Martinon, 84:** Apparat zur Bestimmung von Wasserstoffhyperoxyd 1690.
- 85:** reduciende Eigenschaften des Wasserstoffhyperoxyds 374 ff.; Einwirkung von Wasserstoffhyperoxyd auf die Phenole 1221 f.; Kaliumpermanganat gegen Wasserstoffhyperoxyd 2005.
- 86:** Einwirkung des Wasserstoffhyperoxyds auf die Oxyde des Chroms (Constitution der Ueberchromsäure) 421 f.
- Martins, 85:** Platinoid 2048.
- Martinson (Th.), 80:** Sprengpulver 1309.
- Martius, 86:** Herstellung von Aluminiumbronze 2018.
- Martius (C. A.), 77:** chemische Industrie auf der Weltausstellung in Philadelphia 1218.
- 79:** Anilinfarbstoffe 1159.
- 86:** gemischte Azofarbstoffe 2202 f.
- Marty, 77:** schwefels. Kalium im Wein 1202.
- Marty (H.), 77:** Salicylsäure im Wein 1092.
- Martyn (W.), 85:** chemische Groß-industrie der Vereinigten Staaten 2009.
- Marx, 79:** Verschieben des Reiters beim Wagen 1084.
- Marxow (E. F. v.), 85:** Apparat zur colorimetrischen Hämoglobinbestimmung 1996.
- Marzell (J.), 79:** Filterpresse 1086.
- Masachika Shimose, 84:** Löslichkeit von Tellur in Cyankalium (Tellurocyankalium) 486; siehe Divers (E.).
- Mascareñas y Hernandez (E.), 80:** explosives Antimon 334.
- Mascart, 78:** Brechungsindices einiger Gase und Dämpfe gegen Luft 165.
- 82:** Bestimmung des Kohlensäuregehaltes der Atmosphäre 1281.
- 83:** Erdinductor (Messung der Inclination) 226; Sehen der ultravioletten Strahlen 251.
- 86:** Magnetisirung 285.
- Mascart, de Nerville und Benoit (R.), 84:** Versuche zur Bestimmung des Ohm 247.
- 85:** Bestimmung des Ohm 243.
- Mascart (E.), 78:** Vermehrung der Dampfbildung aus Flüssigkeiten 155.
- Mascart (M.), 85:** Berechnung des elektrochemischen Aequivalents des Silbers 244.
- Mascazzini (A.),** siehe Parodi (G.).
- Mascazziui (A.) und Parodi (G.), 77:** Zinkbestimmung 1064.
- Maschek (A.), 86:** Spectroskop ohne Linsen 2008.
- Maschke (L.), 86:** Derivate des  $\beta$ -Naphtylamins: Aethenyl- und Benzenyl- $\beta$ -dinaphtylamidin,  $\beta$ -Monoäthylendinaphtylamin, Dinitro- $\beta$ -acetonaphthalide, Phtal- $\beta$ - und Phtal- $\alpha$ -naphtylimid; Trimethyl- $\beta$ -naphtylammoniumjodid 868; Trimethylnaphthalin 869.
- Maschke (O.), 77:** Böttcher'sche Zuckerprobe 1086; wolframs. Natrium gegen organische Stoffe 1093.
- 80:** mikropismatische Methode zur Unterscheidung fester Substanzen 183.
- Masing (E.), 79:** arabisches Gummi 905.

- 83:** Alkaloid (Calcatripin) aus Feldrittersporn (*Delphinium consolida*) 1356.
- Masino (F.), **80:** Myristin, Myristinsäure 829 f.; siehe Schiff (H.).
- Maskelyne (N. St.), **77:** optische Eigenschaften der Krystalle 179; Quarz 1273; Ludlamit 1300.
- 79:** Nitrosoterpene, Terpenhydrat 396 f.; Diopsid 1226; Enstatitgestein 1253.
- 80:** künstliche Diamanten 276; siehe Russel (W. J.).
- Mason (A. H.), **81:** Wasserstoffsulphoxyd 158.
- Mason (A. T.), **86:** Reaktionsverhältnisse des Aethylendiamins und verwandter Diamine: Base  $C_{14}H_{18}N_2$  aus Aethylendiamin und Phenanthrenchinon 689 f.
- Mason (W. P.), **83:** Nachweis von Albumin im Harn 1649.
- 84:** Viscosimeter für Oele 1821.
- 85:** Apparat zur Bestimmung der Zähigkeit der Oele 2183.
- Massalski (W.), **83:** Apparat zur Bestimmung des Stickstoffs in ammoniakalischen Düngern, Horn- und Fleischpulver, Fischguano und Guano mittelst unterbromigsaurem Natrium und Glycose 1590.
- Massanori Ogata, siehe Ogata (Massanori).
- Massenez (J.), **80:** Entphosphorung des Roheisens 1251.
- Massie (F. A.), **80:** Strahlstein 1464.
- Massieu, **78:** Ausdehnungsgesetz von Gasen 69.
- Masson (O.), **83:** Salpetrigsäure-Glycerinäther 859 f.
- 86:** Diäthylensulfidmethylsulfinsalze 1204 bis 1207; Einwirkung von Aethylenbromür auf Aethylsulfid: Diäthylensulfidäthylsulfidbromid und Diäthylensulfidäthylendisulfidbromid 1207; siehe Dobbin (L.); siehe Hay (M.); siehe Ramsay (W.).
- Mastbaum (H.), siehe Liebermann (C.).
- Matejcek (E.), **80:** Zuckercouleurs 1350.
- Matern (A.), **80:** atmosphärische Feuchtigkeit 1141.
- 81:** Hygrometer 1233.
- Mathesius (W.), **84:** über die Trockenapparate bei Elementaranalysen 1606 f.
- 85:** Manganbestimmung 1935.
- Mathew (V. de Vere), siehe Vere Mathew (V. de); siehe Salomon (A. Gordon).
- Mathias, siehe Cailletet (L.).
- Mathieu (E.) und Urbain (V.), **77:** Kohlensäuregehalt des Blutes und Serums 989.
- Mathieu-Plessy, **83:** Einwirkung einer Oxalsäurelösung auf Aluminium: dreibasisches oxalsaures Aluminium 1045.
- Mathieu-Plessy (E.), **85:** Einwirkung der Essigsäure auf die Thiosulfate des Natriums und Kaliums 392.
- Matsumoto (Kaeta Ukimori), **78:** Einwirkung von Brom auf Veratrin-säure 554; Derivate der methylieren Protocatechusäure 767 f.; siehe Tiemann (F.).
- Matsuoka (M.), siehe Kellner (O.).
- Mattei (E. di), **83:** Ursache der giftigen Wirkungen frischer thierischer Flüssigkeiten 1490.
- Matthews, siehe Armstrong.
- Matthews (A. E.) und Hodgkinson (W. R.), **82:** Acetessigäther aus Acetonchlorür und Acetoncyanür 839.
- Matthews (F. E.), siehe Claisen (L.); siehe Hodgkinson (F. E.).
- Matthey, siehe Johnson.
- Matthey (F.), **78:** Zersetzung des Bleisulfates durch Chlornatrium 291.
- Matthey (G.), **79:** Reindarstellung des Platins 1100 f., des Iridiums 1101; Iridiumplatinlegierungen 1102.
- Matthiesfen, **78:** Bestimmung der optischen Constanten des Gypses und des Glimmers 167.
- Matthiesfen (O. H.) und Mixter (W. G.), **86:** p-Dibrom-o-azoacetanilid 1034 f.
- Mattirolo (E.), **83:** Analyse eines dem Saussurit ähnlichen Feldspates vom Murettopafs, Veltlin 1900.
- Mattirolo (E.) und Monaco (E.), **84:** Untersuchung von Diallag 1967, 1971 f.
- Matzúrke (E.), **78:** Scheidung des Eisens von Mangan 1061.
- Maudl (A.), **86:** Darstellung von Nitrosodipropylanilin 836, von dessen Cyanhydrin 836 f.; Reduction des letzteren zu Dipropylphenylendiamin 837.
- Maugini (F.), **82:** Darstellung von Jodwismuth-Jodkalium als Alkaloid-Reagens 1315 f.



- Maumené, 85:** „selective“ Gährung: Gährung von Dextrose und Lävulose 1861 f.
- Maumené und Cail, 78:** Invertirung von Rohrzucker 1147 f.
- Maumené (E.), 77:** Lösungswärme der Schwefelsäure 119.
- 78:** Diéssäure 919.
- 85:** Bestandtheile des Invertzuckers 1742.
- 86:** Untersuchung des Hammelschweißes 1855.
- Maumené (E. J.), 77:** Strafsenkoth 1026; Gashydrometer 1101.
- 78:** Dihydrodedsäure 712 f.; Wasserabsorptionsvermögen der Hölzer 940.
- 79:** Tetrathionsäure und Polythionsäuren 204.
- 80:** Ammoniumcarbonat 267; Thonschiefer 1494.
- 81:** Kupfer gegen Schwefelsäure 260; Salpetersäure gegen Zinn 278 f.; Quecksilber- und Silbercyanid gegen Wärme (Paracyan) 320; Cymol (Decilen) aus Terpen 354; Quecksilberchlorid-Terpen 355; Zucker gegen Permanganat 981; Schwefelsäure gegen Leinöl 1025; Weinextract 1218; Analyse von Oelen 1221; Alkohol 1304.
- 82:** Reduction der salpetersauren Salze (untersalpetrige Säure?) 238; angebliche Synthese des Chinins 239; Einwirkung des Ammoniaks auf Kupferoxyd 333; Zersetzung der Formiate 815; Chininsynthese 1106; Oenocyanin der Weintrauben 1155; Darstellung von Baryumoxyd 1403.
- 83:** Schmelzbarkeit von Salzgemengen 119 f.; Chlorhydrate 278 f.; Barythydrat 349.
- 84:** Hydrate der Alkalien 375; Existenz intermediärer Oxyde des Kupfers 429; Studien über die Verbreitung des Mangans im Pflanzenreiche und dessen Rolle im Thierreich 1436; Mangangehalt des Weines, der Cerealien und Pomeranzenkerne 1798.
- 85:** Eigenschaften der Fromherz' (Fehling'schen) Lösung 1978.
- 86:** Verbindungsfähigkeit von Wasser mit Salzen: Wassergehalt des Alauns 149 f.; Zersetzung des Kaliumchlorats durch Wärme 236; Wassergehalt der Alaune 398; kristallisirtes Kaliumalkoholat 1164; Identität der Oxyglyconsäure mit Hexepinsäure 1875.
- Maumené (J.), 79:** basisches Ammoniumsulfid 210.
- Maupas (E.), 85:** Eigenschaften des Glycogens der Wimperinfusorien (Experimente mit *Paramecium aurelia*) 1760.
- Mauri (A.), 85:** neues Galvanometer 230.
- Mauro (F.), 79:** Spinellanalyse 1188 f.
- 80:** Bormolybdänsäure 351.
- 81:** Ammoniumnatriumtrimolybdänat 281; Perowskit 1406.
- Mauro (F.) und Danesi (L.), 81:** Titrirung der Molybdänsäure 1194.
- Mauro (F.) und Panebianco (R.), 81:** Molybdändioxyd 280 f.
- 82:** Fluoride und Oxyfluoride des Molybdäns 323 f.; Einwirkung von Fluorwasserstoff auf Wolframsäure 324.
- Mauthner (J.), 82:** optisches Drehungsvermögen des Tyrosins und Cystins 196; Drehungsvermögen des Cystins 1190.
- 83:** Drehungsvermögen von Leucin und Cystin 1446.
- 84:** Untersuchung über das Cystin 1477 f.
- 85:** Zersetzung des Cystins durch Wasser 1830; siehe Ludwig (E.).
- Mauthner (J.) und Suida (W.), 81:** gebromte Propionsäuren und Acrylsäuren 687 ff.
- 86:** Indol aus Derivaten des Anilins und o-Toluidins 1123 ff.; Darstellung von Aethylen- und Diäthylenditolyldiamin 1123 f., von Oxal-o-toluid und Oxal-o-toluidsäure 1124 f.; Ueberführung der letzteren in Indol 1125.
- Mawson und Swan, 79:** Nitrometer 1106.
- Maxwell (J. Olerk), 78:** Druckdifferenzen innerhalb verdünnter Gase in Folge von Temperaturungleichheiten 43.
- Maxwell (Th.), 79:** Nitrophenyl-essigsäure 687 f.
- Maxwell Lyte (F.), 82:** Phosphatanalyse 1276.
- 84:** Methode zur Bestimmung von Chlor, Brom, Jod in Mischungen 1563.
- 85:** Zusammensetzung des Natriumaluminats 477.

May, **77**: Phenylparatolylharnstoff in Diphenyl- und Ditolylharnstoff 351; Carbodiphenylimid 478.

May (O.), siehe Claus (A.).

Maydl (K.), **79**: Abstammung des Glycogens 953.

Mayençon, **80**: Vorkommen von Cer 293.

**81**: Wismuthglanz 1349.

Mayer, siehe Schober (J. B.).

Mayer (A.), **78**: Sauerstoffausscheidung durch Crassulaceen 941.

**80**: Kohlensäurevermehrung in der Luft 1048; Gährung 1130; Düngung mit Kalisalzen 1331 f.

**81**: Butteruntersuchung (arömetrische Bestimmungen) 1223; Düngung mit Kalisalzen 1293 f.

**83**: das Sauerwerden der Milch und dessen Hintanhaltung, Conservirung der Milch 1727; Gebrauchswerth von Kunstbutter und natürlicher Butter 1730.

**84**: Sauerstoffausscheidung bei den Crassulaceen 1430; siehe Clausnitzer (F.); siehe Morton (H.).

Mayer (Ad.), **82**: Wirkung des Labfermentes auf Milch 1251.

Mayer (F.), **86**: Reduction von Trinitropseudocumol: Säure  $C_9N_{12}N_2SO_6$  669.

Mayer (H.), **86**: Wirkung der Trichloressigsäure und Trichlorbutter-säure auf den Organismus, toxische Wirkung der niederen Fettsäuren 1866.

Mayer (Jacques), **80**: Einfluss vermehrter Wasseraufnahme auf den Stoffumsatz 1090 f.

Mayer (J. Nep.), siehe Schulz (H.).

Mayer (L.), **80**: arsenige Säure neben Arsensäure 1164.

**83**: Herstellung bronzefarbiger Ueberzüge auf Eisen 1680; siehe Eder (J. M.).

Mayer (L.) und Wagner (O.), **83**: Analysen von Gemengen von Thon und Eisenoxyden 1901.

Mayer (Leop.), **83**: Nachweis von Wollschweißfett im Talg und anderen Fetten 1646 f.

Mayer (R.), **78**: Oxydation organischer Verbindungen 320.

Mayrhöfer, **84**: Salpetersäurebestimmung im Trinkwasser mittelst Indigolösung 1559.

Mayrhofer (J.), siehe Donath (E.).

Mazotto (D.), **85**: Bestimmung der Bildungswärme von Legirungen 199.

Mazza (G.), siehe Bonome (A.).

Mazzara (F.), **80**: Dibenzyltetra-brom-p-dimethylphenylamin 566 f.; p-Aethylmethylphenol 663.

Mazzara (G.), **77**: Dichlorkresol 571; Nitroparaoxybenzaldehyd 617.

**78**: Erkennung des Reductionsvermögens organischer Körper 319, 1071; Darstellung von Benzylcymol 402.

**79**: Oxyazobenzol, Paraoxyazotoluol 465 f.; Tolyphenol 521; m-Amidozimthensäure 712.

**81**: Benzylderivate des Thymols 569; Benzylphenyloxacetsäure, p-Benzylkresyloxacetsäure 845.

**82**: m-Kresol gegen Propylalkohol und Chlormagnesium: Propyl-m-kresol und Derivate 710 f.; Phenol gegen Isobutylalkohol und Chlormagnesium: Isobutylphenol: Isopropyl-m-kresol und Derivate 711; Diisopropyl-m-kresol 711 f.; Dipropyl-m-kresol 712;  $\alpha$ -Chlorpropionsäure gegen Benzylphenol und p-Benzylkresol: Benzylphenyl- $\alpha$ -oxypropionsäure, p-Benzylkresyl- $\alpha$ -oxypropionsäure 829 f.

**83**: neue Base, erhalten durch Einwirkung von Schwefelsäure auf ein Gemisch von Anilin, Nitrobenzol und Benzaldehyd 730 f.; mono- und dichloressigsaures Chinin 1347; Chinin-Mononitrobenzaldehyd, Chininchloral, p-Kresolchloral, Thymolchloral 1348.

**84**: Diazotirung von Diamidotriphenylmethan 821 f.

**85**: Modification der Darstellung von Diamidotriphenylmethan aus Benzaldehyd und Anilin 925; Darstellung neuer Azoverbindungen 1036 bis 1038; Didiazotriphenylmethan 1036; Dioxydimethyldipropylbenzodiazotriphenylmethan (Thymoldidiazotriphenylmethan), Carvacroididiazotriphenylmethan 1037; Azobenzolcarvacroididiazotriphenylmethan 1038; Darstellung von Monophenylazo- und -disazocarvacrol 1068 f.; Reductionsproducte von Monophenylazo- und -disazothymol, Constitutionsformeln derselben 1070.

**86**: Umwandlung des Thymols in Carvacrol 1257 ff.; Monobromdinitrocymol, Monobromdiamidocymol, Monobromnitro- und -amidocymol

- 1258; Monobromoxycymol 1258 f.; siehe Paternò (E.).
- Mazzara** (G.) und **Discalzo** (G.), **86**: Monobromnitroso-, nitro- und -amidothymol, Monobromthymochinon und -hydrothymochinon 1259 f.; Oxythymochinon 1260.
- Mazzara** (G.) und **Popetto** (G.), **83**: Chinin-Benzylchlorid 1348.
- Mazzara** (G.) und **Possetto** (G.), **85**: Darstellung von Diamidooxymethyltriphenylmethan durch Einwirkung von Anisaldehyd auf Anilin 925; Darstellung von Azo- und Disazoverbindungen des Thymols 1069 f.; Monophenylazothymol 1069; Monophenyl-disazothymol 1070.
- Mazzoto** (D.), **82**: Schmelzwärme leichtflüssiger Legierungen 100.
- McGay** (Leroy W.), **84**: Butterbestimmung 1676 f.
- 86**: Arsenpentasulfid 366; Bestimmung des Arsens (Trennung von den alkalischen Erden) 1924 f.; Untersuchung von Schlacken kobalt, Safflorit, Eisenkobaltkies 2227.
- McCormick** (C.), **86**: Untersuchung von Einschlüssen im Granit 2306.
- McCrae**, **Wilson** und **Mitchell**, **86**: Verwendung von schottischen Oelschiefern zur Leuchtgasfabrikation 2157.
- McDonald Graham** (A.), **86**: Reinigung von Abwässern 2111 f.
- McGowan** (G.), **86**: Untersuchung von Schwefelharnstoff-Derivaten: Dischwefelharnstoffdichlorid, -dinitrat und -dijodid 556 f.
- McLellan** (J. Y.), **79**: Ammoniak gegen Messing 278.
- Meanwell** (O. W.), siehe **Mills** (E. J.).
- Mears**, **81**: Goldextraktion in Philadelphia 1254.
- Mebius** (C. A.), **84**: elektrische Disjunctionsströme 255.
- Mebus** (E. A.) und **Decastro** (J. W.), **85**: Gewinnung von Strontiumcarbonat 2077.
- Medicus** (L.), **77**: Glyoxalylharnstoff, Allantursäure, Lantanursäure 350.
- 80**: Phosphornachweis im Eingeweide eines Huhnes 1235.
- 84**: Einwirkung von salpetrigsaurem Alkali auf Acridinsalzlösungen 677; Weinanalyse 1639; Zuckerbestimmungen im Wein 1664; Weinuntersuchungsmethoden 1798.
- 85**: Untersuchung von Weinaschen 2153 f.
- 86**: Glycerinbestimmung im Wein 1985; Extractionsapparat 2011.
- Medicus** (L.) und **Scherer** (S.), **80**: Butterprüfung 1231.
- Medicus** (L.) und **Schwab** (E.), **79**: Stärkemehl in Würsten 1082 f.
- Medinger** (E.), siehe **Hell** (C.).
- Meem** (J. G.), **86**: Pseudomorphosen von Brauneisenerz nach Eisenkies 2298.
- Mees** (R. A.), **77**: Theorie der Flammen 105.
- 78**: leuchtende Flammen 1164.
- Meffdorsky** (J.), **84**: Recepte zur Darstellung verschiedener Tinten 1891.
- Mège** (H.), **78**: künstliche Butter 1145 f.
- Mehay**, **77**: Benzolformel 369.
- Mehlhausen** und **Wernich**, **79**: schweflige Säure zur Desinfection 1129.
- Mehlis** (Th.), **77**: Oenanthylsäure 720; siehe **Weiske** (H.).
- Mehne** (E.), **85**: Zusammensetzung der („A. Weifs'schen Masse“ 2162.
- Mehner**, **86**: industrielle Gewinnung von Aluminium, von Aluminiumbronze 2018.
- Mehner** (H. B.), **77**: Porphyre und Grünsteine 1356.
- Mehring** (J. v.), **81**: Wirkung des Quecksilbers 1063; diastatische Fermente gegen Stärke und Dextrin 1144.
- Mehrle**, siehe **Nagel**.
- Méhu** (C.), **79**: Harnstoffbestimmung im Harn 1079 f.
- 80**: narcotische Wirkung der Muskatnufs 1123; Vermehrung des Stickstoffvolums durch Zucker bei der Harnstoffbestimmung 1203.
- Meidinger**, **83**: Erzeugung von galvanischen Niederschlägen, Vernickelung von Zink 1663.
- Meidinger** (H.), **82**: Anwendung magnetelektrischer Maschinen in der Metallurgie 1352 f.
- Meier** (Fr.), siehe **Ador** (E.); siehe **Crafts** (J. M.).
- Meier** (Fr.) und **Crafts** (J. M.), **80**: Dampfdichte des Joda 25 f.
- Meilly** (F.), **86**: Destillation von Glycerinrohlaugen 2159 f.
- Meineke** (C.), **83**: Modification der Mangantitrierung 1566 f.

- 84:** Methoden der Manganbestimmung 1596 ff.
- 85:** Phosphorsäurebestimmung mit Ammoniummolybdat 1913; maßanalytische Bestimmung des Mangans 1935.
- 86:** Bestimmung des Phosphors im Stahl 1919; Titration des Mangans in Eisensorten 1933 f.
- Meinich (L.), **80:** Labrador 1470.
- Meinich (L.) und Hjortdahl (Th.), **80:** Hypersthen 1458.
- Meißl (E.), **80:** Chuno 1346.
- Meißl (E.), **79:** Butterschmalz 1133.
- 80:** Drehungsvermögen der Lactose 1018 f.; Rohrzucker, Prüfung 1213.
- 82:** spezifisches Drehungsvermögen der Maltose, Verhalten derselben gegen Chlor 1124; Veränderung conservirter Milch 1212; Nachweis von Benzoesäure und Borsäure in der Milch 1343 f.
- 83:** Titrimethoden des Invertzuckers nach Soxhlet sowie Märcker bei Gegenwart von Rohrzucker 1619.
- 84:** Prüfung der Hefe 1683 f.
- Meißl (E.) und Böcker (F.), **83:** Untersuchung der Bohnen von *Soja hispida* (Sojaalbumin) 1419 f.
- Meißl (E.) und Strohmer (F.), **83:** Bildung von Fett aus Kohlehydraten im Thierkörper 1437 f.
- Meißl (E.), Strohmer (F.) und Lorenz (N. v.), **86:** Stoffwechsel des Schweines 1835 f.
- Meißner (F.), **78:** Abrüstung des Schwefels 1133 f.
- 86:** Wärmetönung beim Benetzen pulverförmiger Körper 206.
- Meister, Lucius und Brüning, **78:** Farbstoffe aus Diazophenolen und Disulfosäuren des  $\beta$ -Naphthols 1182 f.
- 80:** Farbstoffe mittelst Chloranil 1381 f. und Aldehyden 1382 f.; Farbstoffe aus  $\beta$ -Naphthol und Diazoverbindungen 1385.
- Melaun (F.), **82:** basische Ofenfutter zur Entphosphorung des Eisens 1368 f.
- Meldola (R.), **78:** Vorkommen heller Sauerstofflinien im Sonnenspectrum 175 f.; Citronin 459; Darstellung von Acetnaphthalid 474.
- 79:** Naphtalinderivate 375 f.; Phenole gegen Nitrosodimethylanilin 508.
- 80:** Nitro- $\beta$ - und Dinitro- $\alpha$ -naphtholsulfosäure 930 f.
- 81:** Benzylchlorid gegen Diphenylamin 396;  $\beta$ -Naphthol gegen Nitrosodimethylanilin 571;  $\beta$ -Naphthol- und Nitroso- $\beta$ -naphtholsulfosäure 879 f.; Monoamido- $\beta$ -naphtholsulfosäure 880.
- 82:** Derivate des Di- und Triphenylmethans (Viridin) 423 ff.; Reduction von  $\beta$ -Naphtholorange 782.
- 83:** Bromderivate des Naphthalins 599 f.; Bromacetnaphthalide 600 f.; Monobromnitroacetnaphthalid 601; secundäre und tertiäre Azoverbindungen: p-Mononitrobenzol-Azoamido-m-xylol 777 f.; p-Mononitrobenzol-Azoamido- $\alpha$ ( $\beta$ )-Naphthalin 778 f.; Amido-derivate vorstehender Nitroamidoazoverbindungen 779 f.; p-Mononitrobenzol-Azo-m-xylol-Azo- $\beta$ -Naphthol 780 f.; p-Mononitrobenzol-Azo-m-xylol-Azo- $\alpha$ -Naphthol, p-Mononitrobenzol-Azo-m-xylol-Azophenol, p-Mononitrobenzol-Azo-m-xylol-Azoresorcin 781;  $\beta$ -Naphthol-p-Azobenzol-Azo- $\alpha$ -naphthalin-Azo- $\beta$ -naphthol 781 f.;  $\beta$ -Naphthol-p-Azobenzol-Azo-m-xylol-Azo- $\beta$ -naphthol, p-Mononitrobenzol-Azodiphenylamin 783 f.;  $\beta$ -Naphthol-p-Azobenzol-Azodiphenylamin 784; Amine gegen Dibrom- $\alpha$ -naphthol: Bildung von Farbstoffen 941; Rosanilinfarbstoffe aus Rosanilin und  $\beta$ -Naphthylamin, Tri- $\beta$ -naphthylpararosanilin, purpurrother Farbstoff aus Diphenylamin und p-Toluidin 1795; Azofarbstoffe aus Nitroamidoazokörpern 1810; blaue Farbstoffe aus Azofarbstoffen 1812.
- 84:** Einwirkung von Dibrom- $\alpha$ -naphthol auf aromatische Monoamine (Anilin, o-Toluidin,  $\beta$ -Naphthylamin) 662 f.; Constitution der aus p- und m-Diazomonitrobenzol und  $\beta$ -Naphthylamin entstehenden Azoverbindungen; Flavoidine 816; Untersuchungen über secundäre und tertiäre Azoverbindungen 822 bis 828: p-Nitrobenzolzodimethylanilin, p-Amidobenzolzodimethylanilin 822;  $\beta$ -Naphthol-p-azobenzolzodimethylanilin,  $\alpha$ -Naphthol-p-azobenzolzodimethylanilin, Resorcin-p-azobenzolzodimethylanilin 823; Phenol-p-azobenzolzodimethylanilin,  $\beta$ -Naphthol-p-azobenzolzodimethyldiphenylamin, m-Nitroazoamido-benzol 824; m-Nitroazobenzolzazo- $\beta$ -naphthol, m-Nitrobenzolzazoamido- $\alpha$ -naphthalin, m-Nitrobenzolzazo- $\alpha$ -naph-

talinazo- $\beta$ -naphtol 825; m-Nitrobenzolazo- $\alpha$ -naphtalinazo- $\alpha$ -naphtol, m-Nitrobenzolazo- $\alpha$ -naphtalinazoresorcin, m-Nitrobenzolazoamido- $\beta$ -naphtalin 826; m-Nitrobenzolazodiphenylamin, m-Nitrobenzolazodimethylanilin 827; Reagens auf salpetrige Säure 1571.

**85:** Halogenderivate des Naphtalins 750 bis 759:  $\beta$ [3]-Monobrom- $\alpha$ [4]-nitro- $\alpha$ [1]-naphtylamin und Derivate 751;  $\beta$ [3]-Monobrom- $\alpha$ [4]-nitro- $\alpha$ [1]-naphtol und Salze 752;  $\beta$ [2]-Monobrom- $\alpha$ [4]-nitronaphtalin und Derivate 753; Mono- und Dibromnaphtylamin 754; Di- und Tribromnaphtalin 755; drittes Dibromnaphtylamin, Jodnitronaphtaline 756; Dijodnaphtaline 757; Bromjodnaphtaline, Jodacetnaphtalide und Abkömmlinge 758; Jodnitronaphtol,  $\alpha$ [1]-Monojod- $\beta$ [3]-naphtol 759; secundäre und tertiäre Azoverbindungen 1053 bis 1059: p-Nitrobenzolazophenol, p-Amidobenzolazophenol, Bildung eines Farbstoffes, Phenolazobenzolazophenol 1053; p-Nitrobenzolazoresorcinol, p-Amidobenzolazoresorcinol 1054; Resorcinolazobenzolazoresorcinol, p-Nitrobenzolazo- $\alpha$ -naphtol, p-Amidobenzolazo- $\alpha$ -naphtol, p-Nitrobenzolazo- $\beta$ -naphtol 1055; p-Amidobenzolazo- $\beta$ -naphtol,  $\alpha$ -Naphtolazobenzolazo- $\alpha$ -naphtol,  $\beta$ -Naphtolazobenzolazo- $\beta$ -naphtol,  $\alpha$ -Naphtolazobenzolazo- $\beta$ -naphtol 1056;  $\alpha$ -Naphtolazobenzolazo- $\beta$ -naphtoldisulfosäure,  $\beta$ -Naphtolazobenzolazo- $\beta$ -naphtoldisulfosäure,  $\alpha$ -Naphtolazobenzolazophenol,  $\alpha$ -Naphtolazobenzolazoresorcinol,  $\beta$ -Naphtolazobenzolazophenol 1057;  $\beta$ -Naphtolazobenzolazoresorcinol, p-Nitrobenzolazosalicylsäure, p-Amidobenzolazosalicylsäure 1058;  $\beta$ -Naphtolazobenzolazosalicylsäure, m-Nitrobenzolazo- $\beta$ -naphtol, Darstellung von Verbindungen durch Diazotieren des Rosanilins und Combinieren mit den Naphtolen 1059.

**86:** Darstellung von Dinitro- $\alpha$ -naphtylamin 869 f.; m-Mononitrophenylazodimethylamidobenzol (m-Nitrobenzolazodimethylanilin) 870.

Meldola (R.) u. Streafeld (F. W.), **86:** Methode zur Bestimmung der Constitution von Azo- und Diazoverbindungen (Unterscheidung von Amidoazo- und Diazoamidoverbindungen, angewendet auf p-Dinitro-

diazoamidobenzol) 998 bis 1000; p-Dinitrodiazoäthylamidobenzol, Aethyl-p-nitrophenylnitrosoamin 1000; Structur der Azo- und Diazoderivate 1001 bis 1005: Alkylderivate von gemischten, unsymmetrischen Diazoamidokörpern: unsymmetrisches Dinitrodiazoamidobenzol 1001 f.; Aethylirung desselben (Dinitrodiazoäthylamidobenzol) 1002; m-Dinitrodiazoamidobenzol 1002 f.; Aethylirung desselben, Darstellung eines isomeren (m-)Dinitrodiazoäthylamidobenzols und eines Dinitroäthylamidoazobenzols 1003; isomere Benzylderivate der Dinitrodiazoamidobenzole 1004 f.

Melikoff, siehe Werigo.

Melikoff (P.), **79:** Chlormilchsäure 608.

**81:** Chlormilchsäure,  $\beta$ -Jodmilchsäure aus Glycidsäure 694.

**82:**  $\beta$ -Crotonsäure gegen unterchlorige Säure, Chloroxybuttersäuren, Butylglycidsäure, Butylglycerinsäure 836 f.

**83:** Chloroxybuttersäuren aus  $\alpha$ - und  $\beta$ -Chlorcrotonsäure 1054 f.; Propylenoxydicarbonsäure aus Chloroxybuttersäure 1055.

**84:** Homologe der Glycidsäure, Untersuchung 1115 f.: Propylenoxydicarbonsäure, Propylen glycolcarbon-säure 1115; Chloroxyisobuttersäure, Methoxyacrylsäure 1116.

**85:** Untersuchung der Glycidsäuren 1349 f.: Monobromoxybuttersäure aus  $\beta$ -Methylglycidsäure, Amidoxybuttersäure, Bromoxyisobuttersäure (aus  $\alpha$ -Methylglycidsäure) 1349; Amidoxyisobuttersäure,  $\alpha$ -Methylglycerinsäure, Monochloroxyisobuttersäure aus der Isocrotonsäure 1350.

**86:** Untersuchungen über Glycidsäuren 1325 bis 1328: Derivate der Normalcrotonsäure:  $\alpha$ -Monochlor- $\beta$ -oxybuttersäure 1325;  $\alpha$ - $\beta$ -Dichlorbuttersäure 1325 f.;  $\beta$ -Monochlor- $\alpha$ -oxybuttersäure,  $\beta$ -Methylglycerinsäure 1326; Derivate der Methacrylsäure: Monochloroxyisobuttersäure und  $\alpha$ -Methylglycidsäure 1326 f.; Derivate der Tiglinsäure: Monochloroxyvaleriansäure 1327;  $\alpha$ - $\beta$ -Dimethylglycidsäure (Oxytiglinsäure) 1327 f.;  $\alpha$ - $\beta$ -Dimethylglycerinsäure,  $\alpha$ -Methyl- $\beta$ -chlor- $\alpha$ -oxybuttersäure 1328.

Melikoff (P.) und Erlenmeyer (E.),

- 80:** isomere Chlormilchsäuren, Glycidsäure 776 f.
- Melion (J. V.), 80:** Quellwasser 1527.
- Mellon (W. W.), 86:** Phosphatanalyse 1932.
- Mellor, 84:** Condensation von Benzol in den Kohlendgasen 1815.
- Melnikoff, 77:** Fruchtalkohole 1200.
- Melnikoff (N.), 81:** Apparat zur Gewinnung ätherischer Oele 1236.
- Melsens, 81:** Wirkung der Kälte auf Mikroben 1535.
- Melville (W. H.), 81:** Krystallform von Dichlordibrompropionsäuren 691.
- 82:** Krystallform der Tetrabrompropionsäure 822; Krystallform der Dichloracrylsäure aus Mucocochlor-säure, der Tribromacrylsäure aus Tetrabrompropionsäure 825.
- 85:** Krystallform des Silberbrechweinsteines 1374.
- Memminger (C. G.), 83:** Untersuchung von Tabakstengeln 1777.
- 86:** Analyse von Allant 2264.
- Menck, 85:** Zusammensetzung des Kesselsteinvertilgers 2162.
- Mendelejeff, 86:** Lösungswärmen der Schwefelsäure 218.
- Mendelejeff (D.) [Mendelejew], 77:** Ausdehnung der Luft 96; Steinöl 368; Petroleum 1350.
- 80:** periodisches Gesetz 3 f.
- 81:** periodisches System der Elemente 8; kaukasisches Petroleum 1317.
- 82:** Verbrennungswärme der Kohlenwasserstoffe 122 f.; die Ueberschwefelsäure von Berthelot (Sulfurylhyperoxyd) 230; Einreihung der Metalle des Cerits und Gadolinits in das periodische System 287; kaukasische Naphta 1456 f.; fractionirte Destillation von Baku-Naphta, Vaseline 1457 f.; Petroleumlampen 1458.
- 83:** Apparat für Dampfdichtebestimmung 48; Isomeriefälle bei den Kohlenwasserstoffen, Benzolformel 531 f.; Untersuchung des Erdöles von Baku 1757.
- 84:** spec. Gewicht der Schwefelsäurehydrate 76; Ausdehnung von Flüssigkeiten 98 ff.; Ausdehnungsmodulus 99; Beziehungen zwischen absoluter Siedetemperatur und dem Ausdehnungsmodulus von Flüssigkeiten, Formel für die Ausdehnung der Gase und Flüssigkeiten 100; Beziehung zwischen Molekulargewicht und Dichte von Salzlösungen 117; Formel für die Wärmeausdehnung von Flüssigkeiten 185; Untersuchung des spezifischen Gewichts von Baku-schem und amerikanischem Erdöl 1818.
- 85:** Steighöhe der Lösungen von Chlor-, Brom- und Jodkalium 85.
- 86:** Contactwirkung 21; chemische Verbindung der Schwefelsäure mit Wasser 134 bis 139; Wärmetönung und Contraction der Schwefelsäurehydrate 137 f.; siehe Palow (W.), siehe Tischtschenko.
- Mendelejeff (J.), 82:** Bakunaphta 1455.
- 86:** Verarbeitung des Erdöls von Baku (Ragosin-Lampen) 2155.
- Mendelsohn (B.), siehe Tiemann (F.).**
- Mendenhall (T. C.), 85:** Thermometer 119.
- 86:** Differential-Widerstandsthermometer 180 f.; Elektrizitätsleitung von weichem Kohlenpulver unter Druck 250 f.
- Mendes de Leon (M. A.), 81:** Frauenmilch 1050.
- Mendini, 85:** Einwirkung von Brom auf Brenzweinsäure- und Citraconsäureimid (Monobrom- und Dibromcitraconimid, Silberverbindung des Citraconimids) 1390.
- Mengeot (A.), 80:** Chromchlorid 312.
- Menges, 84:** Dichte des flüssigen Sauerstoffs 74 f.
- Menges (C. L. R. E.), 84:** Quecksilberunterbrecher 233.
- Menke (A. E.), 78:** Darstellung von untersalpetrigsauren Salzen 222 f.
- 79:** Schwefeljodid aus schwefliger Säure und alkalischen Jodiden oder Jodwasserstoff 206; siehe Wright (C. R. A.); siehe Jackson (C. L.).
- Mennel, 81:** Diäthyläther der Mekonsäure 755.
- Mennel (E.), 82:** Komensäureäther, Mekonsäure-Mono-, -Di- und -Triäthyläther, Aethylmekonsäure, Aethylkomensäure 886 f.; Mekonsäure gegen Ammoniak, gegen Brom: Mekonaminsäure, Bromkomensäure 888; Bromoxylbromkomensäure 889 f.; Oxykomensäureäther 890.
- 85:** stickstoffhaltige Abkömmlinge der Komensäure 1413 bis 1415: Phenylkomenaminsäure, Aethylkomenamin-

- säure 1413; Aethyläther  $C_{10}H_{13}NO_4$ , Monoacetyläthylpyromekonominsäure, Aethylpyromekonominsäure 1414.
- Menozzi (A.), **84**: Darstellung von  $\alpha$ -Oxyvaleriansäure aus Butyraldehyd 1138 f.
- Menozzi (A.) und Belloni (C.), **86**: Normal - Methylamidovaleriansäure 1355; siehe Körner (G.).
- Mensbrugghe (G. van der), **85**: mechanische Theorie der Oberflächen-tension, des Verdampfens und Siedens von Flüssigkeiten 106.
- 86**: Gleichgewicht und Oberflächenspannung von Flüssigkeiten 133.
- Mensching, **80**: Nitrosalicylanilid 848.
- Mensching (C.), siehe Gräbe (C.).
- Mensching (J.), siehe Polstorff (K.).
- Mensching (J.) und Meyer (V.), **86**: Bestimmung der Dampfdichte des Zinks 60 f.
- Menschutkin (N.), **77**: Ozonbildung 207; Esterbildung 321.
- 78**: Esterbildung primärer, secundärer und tertiärer Alkohole der Fettreihe 513; Aetherbildung der Phenole 538.
- 79**: Einfluss der Isomerie der Alkohole und Säuren auf die Bildung der zusammengesetzten Aether 313 f.; Anfangsgeschwindigkeiten und Grenzen der Aetherification mit Aethyl- und Isobutylalkohol 314.
- 80**: Aetherification einbasischer Säuren 381; Esterbildung 600 f.; Aetherification ungesättigter Säuren 752 f.; Sorbinsäure und Hydrosoorbinsäure 816.
- 81**: Geschwindigkeit und Grenze der Esterbildung 15 ff.; Aetherification mehrbasischer Säuren 655 f.; Isomerie der Alkohole und Säuren, Einfluss auf die Bildung zusammengesetzter Aether 656.
- 82**: Geschwindigkeit und Grenze der Esterbildung 21 ff.; Bestimmung der Isomerie der Säuren und Alkohole 24 f.; Bildung und Zersetzung des Acetanilids 516 ff., 519; Zersetzung des tertiären Amylacetats durch Wärme 797 f.; Aetherification der Oxyssäuren: Glycolsäure, Milchsäure, Dimethoxalsäure, Salicylsäure, Methylsalicylsäure, m-Oxybenzoesäure, Anissäure, Chinasäure 798 f.
- 83**: gegenseitige Verdrängung der Basen in den Lösungen ihrer neutralen Salze (Chlorhydrat, Nitrat und Acetat des Anilins) 23 f.; Titrierung des Anilins, Triäthylamins, Ammoniaks, Methyl- und Aethylamins mittelst Phenolphtalein 24 f.; Zersetzung des tertiären Essigsäure-Amyl-äthers durch Wärme 190; Aetherification von Monochloressigsäure, m-Mononitrobenzoesäure und Mellithsäure mit Isobutylalkohol 850.
- 84**: Temperatur der Umsetzungs-geschwindigkeit organischer Verbindungen (Essigsäure-Aethyläther, Acetanilid, Acetamid) 154 ff.; Untersuchung der Bildung von Säureamiden 1079; Bildung der Säureamide von Fettsäuren aus den Ammoniumsalzen 1195 ff.
- Menschutkin (N.) und Konowalow (D.), **84**: Bestimmung der Dampfdichte mittelst Luftverdrängung 58 f.
- 85**: Dampfdichtebestimmung von tertiärem Amylchlorid 45.
- Mente (A.), siehe Ost (H.).
- Mentha (E.), **86**: Monochlorazo-p-toluol 1042 f.
- Mentha (E.) und Heumann (K.), **86**: Derivate des p-Monochlorazobenzols: Monochlordiamidodiphenyl-1030; p-Monochlornitroazobenzol 1030 f.; p-Monochlorazobenzolmonosulfosäure und -sulfochlorid 1031 f.; p-Monochlorazobenzolsulfamid, Darstellung von p-Monochlorazobenzol 1032; Verhalten von p-Diazoazobenzolchlorid gegen Kupferchlorür 1032 f.; Monochlor-p-hydroazobenzol 1033; Darstellung von p-Cyanazobenzol 1033 f.; Verhalten desselben gegen Kalilauge: p-Azobenzolmonocarbon-säure und Salze 1034.
- Menzies (W. J.), **81**: Kaliseife 1320.
- 84**: Schwefelsäure aus Kiesen 1728.
- Mercadier (E.), **81**: Einfluss der Temperatur auf die Leitungsfähigkeit des Selens 97; Radiophonie (Selenempfänger) 136 f.
- Merck und Weigelin, **78**: Alkaloide des Sebadillsamens 910.
- Merck (C. E.), **86**: Constitution des Ecgonins, Anhydroecgonin 1703.
- Merck (E.), **79**: Scoparin und Spartein 914.
- 84**: physiologische Wirkungen des Cocains 1393; Unterscheidung des

- Oleums Eucalypti von dem Oleum Eucalypti australe 1867.
- 86:** Pepton aus Nucleoproteinen 1793; Pilocarpidin aus Jaborandiblättern 1822; siehe Ladenburg (A.); siehe Claus (Ad.); siehe Harnack (E.).
- Merck (W.), 85:** Untersuchung des Benzoyllecgonins 1716 f.; Ueberführung des Benzoyllecgonins in Cocain 1718; Synthese des Cocains aus dem Ecgonin 1718 f.; Darstellung von Cocäthylin 1719.
- 86:** Derivate des Benzoyllecgonins, Umwandlung des letzteren in Cocain 1702; Cocäthylin 1702 f.; Cocaisopropilin, Verhalten des Ecgonins gegen Salzsäure 1703.
- Mercker (M.), 78:** Schlempehefe 1156.
- Mercklin (C. E. von), 83:** mikroskopische Untersuchung der Braunkohle von Saisansee, asiatisches Rußland 1907.
- Mercklin (H.), siehe Claus (A.).**
- Merczyng (H.), 84:** Fresnel's Wellenlängenmessung 283.
- Merejkowski (C. de), 81:** Tetronerythrin 1047.
- Merget, 77:** Diffusion der Dämpfe 64.
- 78:** Gasaustausch bei Pflanzen 944.
- Merian (A.), 84:** Isotropie von Tridymit 1915; optisches Verhalten von Leucit 1960.
- Mering (v.), 82:** Bildung der Urochloralsäure und Urobutylchloralsäure aus Chloralhydrat und Butylchloralhydrat im Organismus; Spaltung (Trichloräthylalkohol, Glycuronsäure) und Constitution der Urochloralsäuren 1189 f.
- 84:** über die Wirkung des Ferricyankaliums auf Blut 1482; Untersuchung über das Schicksal des Kairins im menschlichen Organismus 1499; Bestimmung der Chloride im Hundeharn 1679 f.
- 85:** physiologische Wirkung des Benzenylamidoxims 1125; siehe Musculus; siehe Zuntz.
- Mering (J. v.), siehe Thierfelder (H.).**
- Meritens, 86:** Rostschutzverfahren 2021 f.
- Merkel (J.), 83:** elliptische Polarisation des Lichtes 255.
- Merkin (W. A.), siehe Städel (W.).**
- Merling (G.), 79:** Bestimmung des Lithiums als Orthophosphat 1043.
- 81:** Jodwismuth-Essigpiperidin 403; Jodwismuth-Triäthylsulfinjodid 403 f.; Additionsproducte der Atropasäure:  $\beta$ -Chlor- und  $\beta$ -Bromhydratropasäure 812;  $\beta$ -Amido-,  $\alpha$ -Brom- und  $\alpha$ -Chlorhydratropasäure 813;  $\alpha$ -Methyltropin 953 f.
- 82:** Oxydation von Tropin; Salze des Tropigenins und Derivate desselben 1095 f.; Destillation von Dimethyltropinoxydhydrat 1096.
- 83:** Tropin, Destillation von  $\alpha$ -Methyltropin 1338 f.; Tropigenin aus Tropin, Tropinsäure, Tropidin 1339.
- 84:** Bromderivate des Dimethylpiperidins 1366; Untersuchung von käuflichem Belladonin 1387 f.
- 86:** Einwirkung von Brom auf Dimethylpiperidin: Dimethylpiperidindibromid, Dimethylpiperylamin 1685 f.
- Mermet (A.), 85:** Darstellung des Unterchlorigsäureanhydrids 356; siehe Delachanal (B.).
- Mermet (M.), 85:** Nickeliegel zum Schmelzen von Aetzkalien 2000.
- Merrick (J. M.), 77:** Zersetzung des Natriums durch Wasser 198; Arsenachweis 1046.
- Merril (G. P.), 86:** Vorkommen vulcanischer Sande in pliocänen Sandsteinen 2312.
- Merril (N. F.), 78:** Siedepunkt und Hydratbildung des Brommethyls 411; Verhalten von Trimethylphenylammoniumjodid gegen Salzsäure 472.
- Mertens (E.), 86:** Verhalten der Phtalylessigsäure gegen Aethylamin (Methylenphtaläthimidin, Phtaläthimidylessigsäure) 1478 f., gegen Propylamin 1479, gegen Anilin (Methylenphtalphenimidin) 1480.
- Mertens (K. H.), 78:** Doppelverbindungen des Pikramids 466.
- 86:** Nitrierung von Mono- und Dimethylanilin 821 bis 824:  $\alpha$ -Dinitrodimethylanilin 822 f.; Isodinitrodimethylanilin 823; Tri- und Tetranitromonomethylanilin 823 f.
- Mertens (O.), 78:** Säurecyamide 343 f.
- Merz (O.) und Tibiriçá (J.), 80:** synthetische Beschaffung von Ameisensäure 761.
- Merz (V.), 82:** Phenole gegen Anilin 568.



- 83:** Phosphorsäure-Triphenyläther gegen Cyankalium 877.
- 84:** Umwandlung aromatischer Amine in Kohlenwasserstoffe 658.
- 86:** Einwirkung von Brenzcatechin auf o-Toluyldiamin: Methylphenazin und Derivate 1072 f.; siehe Diehl (Th.); siehe Hellwich; siehe Gasiorowski (K.); siehe Gousiorowski (K.).
- Merz (V.) und Benz, **82:**  $\beta$ -Naphthol gegen  $\alpha$ -Naphthylamin:  $\alpha$ - $\beta$ -Dinaphtylamin 662 f.; Alkohol gegen Chlorzinkanilin, Chlorzink-o-toluidin: Monoamidoäthylbenzol, Monoamidoäthyltoluol 663.
- Merz (V.) und Buch, **82:** Orcin gegen Anilin-Calcium: Oxytolylphenylamin 662.
- Merz (V.) und Calm, **82:** Anilin gegen Resorcin, Hydrochinon: isomere Oxydiphenylamine, Phenylen-diphenyldiamin 662.
- Merz (V.) und Erhardt, **82:** Isobutylalkohol gegen Chlorzinkanilin, Chlorzink-o-toluidin: Monoamidoisobutylbenzol, Monoamidoisobutyltoluol, Isobutyl-o-kresol 664.
- Merz (V.) und Gasiorowski (K.), **84:** Umwandlung von Alkoholen in Amine 906 ff.: Mono-, Di-, Triisobutylamin, Monoöctylamin 906; Di-, Trioctylamin, Caprylamin, Dicaprylamin 907; Tricaprylamin, Mono-, Di-, Triäthylamin, Mono-, Di-, Trimethylamin 908.
- Merz (V.) und Heim (R.), **83:** Phosphorsäure-Trikresyläther (o- und p-) und Phosphorsäure-Trinaphtyläther ( $\alpha$ - und  $\beta$ -) gegen Cyankalium: Umwandlung von Phenolen in Nitrile 877.
- Merz (V.) und Louis, **82:** Propylalkohole gegen Chlorzinkanilin: Monoamidopropylbenzol, Monoamidoisopropylbenzol, Propylphenol 663 f.
- Merz (V.) und Müller (P.), **86:** Entstellung von Anilin und Diphenylamin aus Benzophenol: Einwirkung von Chlorzinkammoniak, Salmiak, Zinkoxyd, Magnesia auf Phenol und Diphenylamin 811 f., von Salzsäure auf Diphenylamin 812.
- Merz (V.) und Ris (C.), **86:** Ueberführung von o- und p-Mononitrophenol in o- und p-Mononitroanilin 798 f.; Verhalten der Nitrophenole gegen Phenylhydrazin 799.
- Merz (V.) und Tiberica (J.), **77:** Ameisensäure 670.
- Merz (V.) und Walder, **82:**  $\beta$ -Dinaphtol gegen Chlorzinkammon 663.
- Merz (V.) und Weith (W.), **77:** Mono- und Dibenzylessigsäure, Dibenzylmethan 810.
- 78:** Bromirung von Kohlenwasserstoffen der Fettreihe 368 f.
- 79:** Phenyläther aus Phenol durch Chlorzink 509.
- 80:** Ameisensäure aus Kohlenoxyd 224 f.; Wasserstoff anstatt Kohlenoxyd 225; Umwandlung des Natriumformiats in Oxalat 225 f.; Zersetzlichkeit der Jodmetalle durch Hitze 226; Entzündlichkeit des Schwefelkohlenstoffs, Phosphorflecken und -spiegel 227 f.; basisches Kupfersulfat 330; Dithiomethylanilin gegen Wasserstoff 536.
- 81:** Verhalten der Amalgame beim Erhitzen 298 f.; aromatische Amine aus Phenolen 454; Aetherificirung von Phenolen: Phenyläther 518; Methylendiphenyloxyd, Carbonyldiphenyloxyd,  $\alpha$ -Naphthyläther 519;  $\alpha$ -Dinaphtylenoxyd,  $\beta$ -Naphthyläther 520 f.;  $\beta$ -Dinaphtylenoxyd 521.
- 82:** Nitroderivate des Naphtalins und seiner Abkömmlinge (Bromnitronaphtaline) 464 ff.; Oxalate aus Formiaten 819 f.
- 83:** erschöpfende Chlorirung aromatischer Substanzen (Diphenyl, Phenanthren u. s. w.) mit Antimonchlorid 465 f.; Umwandlung von Bromanil und Perbromphenol in Perbrombenzol, von Benzonitril in Perbrombenzonitril, Einwirkung von Brom auf Ferrocyanalkalium 593 f.
- 86:** Dithiodimethylanilin 833 f.; Dioxymethylanilin 834 f.; Reduction des Dithiodimethylanilins: Dimethylamidothiophenol 835.
- Merz (V.), Weith (W.) und Juvalta (N.), **80:** Phenol und Chlorzink gegen Basen 622 f.
- Merz (V.) und Zetter (G.), **79:** Styphninsäure, Trioxychinon, Orcinderivate 523 f.; Trinitroorcin 525 f.
- Merz (W.), **84:** Base  $C_{12}H_{14}N$  aus Paraldehyd und Xylidin 790.
- Meschercerskij (J.), **82:** versuchte Darstellung von wismuthsaurem Baryum 340.

Meschezerski (J.), **82**: Trennung des Baryums von Strontium und Calcium 1284.

Meschtschersky (J.), **83**: Orthoklas gegen Humus 1896.

Mesnil (H. du), siehe Claus (A.).

Mefsener (J.), **82**: Apparate zur Herstellung von Stearin 1459 f.

Messerschmidt (A.), **81**: Bromvaleriansäure und Derivate (Valerolacton) 741.

Messerschmitt (J. B.), **85**: spectral-photometrische Untersuchungen über photographische Sensibilisatoren 348 f.

Messinger (J.), **85**: Untersuchung des Thioxens 1197 ff.: Dibromthioxen, Thioxen (Dimethylthiophen), Monojodthioxen, Dijodthioxen 1198; Thiophendicarbonsäure und deren Dimethyläther, zweite Methode der Darstellung des Thioxens, Monobrom-, Monojodthioxen, Mononitrothioxen 1199; Dinitrothioxen, Thiophendicarbonsäure-Diäthyläther, Thiophendicarbonsäure, Acetylierung des Thioxens, Acetylthioxen 1200; Dimethylthiänylmethylacetoxim, Thiophentricarbonsäure-Trimethyläther 1201.

**86**: Verhalten von Benzyliden-collindindicarbonsäure gegen unterchlorige Säure 1530.

Mestchersky, **84**: Zersetzung des Orthits bei Gegenwart von Humus und Wasser 1759.

Metcalf (W.), **78**: Härten von Stahl 1104.

**81**: Magnetismus und sonstige physikalische Eigenschaften von Eisen und Stahl 107.

Metger, **81**: Dimethylanhydrobenz-diamidobenzolderivate 445.

Metschersky, **83**: versuchte Darstellung von Baryumsalzen der Wisnuthsäure 400 f.

Metzger (S.), **84**: Darstellung von p-Dibromchinolin 1376.

Meulen (B. van der), **79**: basisches Kupfernitrit 277.

Meulen (H. G. L. van der), **83**: Zersetzungswärme des Ozons 155; siehe Mulder (E.).

Meunier (J.), **84**: Methode der Dampfdichtebestimmung 57 f.; Dampfdichte von Benzolhexachlorid 58; Darstellung eines zweiten Benzolhexachlorids 574 f.

**85**: Darstellung von Benzolhexabromid 729 f.; Untersuchung des  $\beta$ -

Benzolhexachlorids, viertes Trichlorbenzol 730; Darstellung von Brenzcatechin durch Erhitzen von Benzolhexachlorid mit Wasser 1252 f.

**86**: zweites ( $\beta$ -)Benzolhexachlorid 629.

Meunier (St.), **77**: Diamant 1255; Reduction von Metallen in Gängen 1356.

**78**: künstlicher Brochantit und Melanochroit 1224; Entglasung 1261; Darstellung von Eisennickellegierungen (Tänit) 1315; Darstellung einer dem Eisen von Santa Catharina ähnlichen Breccie 1322.

**79**: Sporadosidères 1273 f.

**80**: Spinell 1409 f.; künstlicher Andalusit 1438; Leucit 1446; Enstatit 1457.

**81**: Experimente mit Meteoriten 1456.

**82**: Verhalten von Benzylchlorid und Benzylenchlorid gegen kohlensaures Kalium 445; Meteorit von Estherville, Iowa 1643; Pallaseisen und die Meteoriten von Atacama 1644.

**83**: Bildung von Bauxit 1845; Entstehung der Meteoriten (Chondrite) 1951.

**84**: Pegmatit als Begleiter des Diamanten 1899; Untersuchung von Cipollin 1930, eines Kohlenbrandgesteins 2007; Serpentin als ein in Transbaikalien gefallener Meteorit 2039.

**85**: Untersuchung von Meteoriten 2323.

Meunier (St.) und Tissandier (G.), **78**: magnetische Kügelchen kosmischen Ursprunges in den Sedimenten heutiger Meere und Sedimentgesteinen 1314.

Meunier-Dollfus, siehe Scheurer-Kestner.

Meurgey, **82**: Analyse eines Kohlengrubenwassers, des Sauerwassers von Sauxillanges 1633.

Meurling (V. A.), siehe Nordenfelt (Th.).

Meusel (E.), **86**: Quellkraft der Rhodanate auf Pflanzen und Pflanzenbestandtheile, die Quellung als Ursache fermentartiger Reactionen 2099 ff.

Meusel (F.), **86**: Einfluss von Salzen auf die Ueberführung von Stärke in Dextrin und Dextrose; Verhinderung

- der Dextrosebildung durch Salicyl- und Carbonsäure 2101.
- Meyer (A.), **78**: Absorptionsspectrum von Alkaloiden 871.
- 79**: Japantal 948.
- 82**: Gentianose aus *Gentiana lutea* 1129 f.; neue Pipette 1350.
- 84**: Untersuchung von Lactosin 1406; siehe *Musculus* (A.).
- Meyer (A. B.), **84**: Untersuchung von Nephritbeilen 1967 f.
- Meyer (A. B.), Frenzel (A.) und Cohen (F.), **86**: Untersuchung eines nephritartigen Materials (Skarn) 2284 f.
- Meyer (Ad.), **85**: Prüfung der Butter 1970.
- Meyer (Arth.), **80**: Safran 1071.
- Meyer (C.), **86**: Herstellung bakterienfreier Maischen 2139.
- Meyer (C. und V.), **78**: Dampfdichtebestimmung 31.
- Meyer (C. F.), **80**: Zurückgehen von Superphosphaten 1334.
- Meyer (Ch.), siehe Wagner (P.).
- Meyer (E.), **82**: Kaliumsulfat aus Schönit 1397.
- 83**: Methode der Stickstoffbestimmung nach H. Grouven 1587.
- Meyer (E. v.), **77**: oxydirtes Schwefelplatin 305; Osmiumoxysulfide 316.
- 78**: unvollkommene Verbrennung von Wasserstoff-Kohlenoxyd-Gemischen 20; über stickstoffhaltige Platinverbindungen 309 f.
- 79**: Kyanäthin gegen Jodäthyl und Acetylchlorid 326.
- 80**: Kyanconiine 397 f.
- 82**: Untersuchung über Kyanäthin, Kyanconiin und Homologe 375 bis 378.
- 83**: Kyanmethin und Verbindungen desselben 490 f.; Constitution des Isatins 826 f.
- 84**: Theorien der modernen Chemie 11; Untersuchung von Isatonsäure 897 f.; Constitution des Anthrachinons 1071.
- 85**: Tricyanuramid aus Dreifachschwefelcyan 611 f.;  $\alpha$ - $\gamma$ -Dimethylchinolin 989; siehe Kolbe (H.); siehe Riebs (C.).
- Meyer (E. v.) und Bellmann (Th.), **86**: Verhalten der Isatonsäure (Anthranilcarbonsäure) gegen Hydroxylamin (o-Monoamidobenzhydroxamsäure) und Phenylhydrazin (o-Amidobenzoylphenylhydrazin) 1432, gegen Brenzcatechin (anthranilsaures o-Oxyphenyl), Ameisensäure (Formylanthranilsäure), Phosphorchlorid 1433, gegen Chlorkalk 1433 f.; Oxydation von Acetylisatin (Acetylanthranilsäure) 1434.
- Meyer (E. v.), Riebs, Keller und Schöne, **84**: Wirkung des Chlorkohlensäureäthers auf stickstoffhaltige organische Verbindungen (Kyanäthinverbindungen, Aethylchinolin) 472 ff.
- Meyer (E. v.) und Pfitzinger, **85**: Darstellung eines krystallisierten Productes aus käuflichem Phenylhydrazin 1105.
- Meyer (E. v.) und Richter (P.), **85**: Darstellung von Anissäure 1478 f.
- Meyer (F.), **78**: Darstellung regelmäßiger Krystalle 6.
- 82**: Xylole gegen Phtalsäureanhydrid in Gegenwart von Chloraluminium: isomere Xylophthaloxysäuren 980; siehe Gresly (J.).
- 84**: Bestimmung von Glucose 1648.
- 85**: quantitative Bestimmung des Jodkaliums 1903.
- Meyer (Fr.) und Ador (E.), **79**: Oxydation von Durylbenzoyl 562.
- Meyer (G.), **78**: Darstellung von cyamidokohlensauren Salzen 344.
- 83**: anomale Reactionen, Methylarsen- und -zinnverbindungen 462 f.; neue Base aus Aldehydammoniak, Natriumäthylat und Methyljodid (Ischolin) 642 f.; unverbrennliches Papier, unverbrennliche Tinten und Farben 1778 f.; siehe Ladenburg (A.).
- Meyer (H.), **81**: Wirkung des Phosphors 1061.
- 82**: Bestimmung der Alkaloide der Chinarinde 1312 f.
- 83**: galvanischer Widerstand des Psilomelan 214; Magnetismus stark gestreckter Stahlcylinder 227 f.; Magnetisirungsfunktion des Nickels, Abhängigkeit der Magnetisirungsfunktion von der Härte des Stahles 228.
- 84**: Magnetisirungsfunktion des Stahles 279; Erkennung von Dorschleberthran 1677 f.
- 86**: Salze der Milchsäure 1318; siehe Harnack (E.); siehe Jacobsen (O.); siehe Schmiedeberg (O.).
- Meyer (H.) und Feitelberg, **83**: Alkalescent und Kohlensäuregehalt des Blutes 1449 f.

- Meyer (H.) und Jaffe (M.), **77**: Harnsäurebildung im Thierkörper 977.
- Meyer (H.) und Williams (F.), **81**: acute Eisenwirkung 1062.
- Meyer (Hugo), **84**: neue Anordnung des Mefsdrahtes in der Wheatstone-Kirchhoff'schen Brückencombination 233.
- Meyer (J.), **78**: Dichtigkeiten der Gemische von Wasser mit Schwefelsäure, Alkohol und Essigsäure 27.
- 82**: Analysen von Melilithbasalt 1609 f.; siehe Stelzner (A.).
- Meyer (J.) und Stelzner (A.), **82**: Löslichkeit von Mineralien und Gesteinen in Essigsäure 1589 f.
- Meyer (K.), siehe Michler (W.).
- Meyer (Lothar), **77**: unvollständige Verbrennung 25; Jodtrichlorid 218.
- 78**: Transpiration der Dämpfe, Untersuchung 44; Bedenken gegen das Atomgewicht 13,8 des Berylliums und die Atomwärme des Sauerstoffes 71.
- 79**: Transpiration von Dämpfen 74; Apparat zum Reinigen des Quecksilbers 294.
- 80**: periodisches Gesetz 3; Dampfdichtebestimmung 31; Verflüchtung ohne Schmelzung 39 f.; Atomgewicht des Berylliums 291 f.; Phosphorsäuregehalt der Biere 1162.
- 81**: Erhitzen des Eises 1074; Apparat zur unvollständigen Verbrennung 1110.
- 82**: Transpiration der Dämpfe von Jod, Brom, Chlor 63; Bildung und Zersetzung des Acetanilids 518 f.
- 83**: Grundlagen der Thermochemie 112; Luftbäder 1658.
- 84**: die modernen Theorien der Chemie 11; Temperaturregulator 161; Berechnung von Gasanalysen 1556 f.
- 85**: neuere Entwicklung der Atomlehre 30 f.; Eisenbromid, Eisenbromür und Eisenchlorid als Bromüberträger 583.
- 86**: unvollständige Verbrennung von trockenem Kohlenoxyd in Sauerstoff 386 f.; Halogenübertragung 506.
- Meyer (Lothar) und Alt, **85**: Darstellung eines Dimethylchinolins aus schwefels. p-Xylidin 986.
- Meyer (Lothar) und Hölzer (A.), **82**: Verbindung von Schwefigsäure mit Phenol 671.
- Meyer (Lothar) und Seubert (K.), **84**: über Gasanalyse bei vermindertem Druck 1555 f.
- 85**: über die Einheit der Atomgewichte 29 f.; Prout'sche Hypothese und Atomgewicht des Silbers 30.
- 86**: Einheit der Atomgewichte, Prout'sche Hypothese, Atomgewicht des Silbers 42.
- Meyer (Lothar) und Schumann (O.), **81**: Transpiration von Dämpfen 61 f.
- Meyer (O.), **78**: Zirkonzwillinge 1214.
- 80**: Dolomit, Kalk und Magnesit 1418.
- 83**: Aetzversuche am Kalkspath 1851 f.
- Meyer (O. E.), **79**: Gleichgewicht von Gasmolekülen 89 f.
- 80**: Energievertheilung 82; Farbenintensität 196.
- 81**: Gröfse der Gasmoleküle 9.
- 83**: Licht der elektrischen Glühlampe 231 f.
- Meyer (P.), siehe Anschütz (R.).
- Meyer (P. J.), **77**: Sulfhydanoin und Homologe 359; Phenylglycocoll 694.
- 81**: Mono- und Dichloressigsäther gegen Phosphorpentasulfid 672; substituirte Diglycolamidsäuren 677; Orthophenylsulfhydanoin'säure 679.
- 82**: Constitution des Phenylsenfölglycolids 379.
- 83**: Dichloressigsäure gegen o-Toluidin: Di-o-tolylamidoessigsäure 1033; Dichloressigsäure gegen p-Toluidin: p-Tolyl-p-methylisatin 1033 f.; Derivate des p-Tolyl-p-methylisatins: p-Methylimesatin 1034; p-Methylisatin 1034 f.; Derivate des p-Methylisatins (p-Methylnitrosooxindol, p-Methylindophenin) 1035; Imesatine, Isatine aus Imesatinen, Indigo und Substitutionsproducte desselben aus Isatinen 1815.
- Meyer (R.), **77**: isomeres Cymol (Isopropyltoluol) 378; Cuminol gegen Kaliumhydroxyd 624.
- 78**: Darstellung von Wasserglas auf nassem Wege 1133; Tenniger Wasser 1308 f.
- 79**: Oxypropylbenzoesäure bei der Oxydation 723; Destillation des Hämatoxylins 904.
- 81**: Benzylalkohol 516.
- 82**: Constitution des Benzols 407; Formel des Naphtalins 427; Tetra-brombenzol 443.
- 83**: Hydroxylierung durch directe Oxydation: Cuminsäure, Oxypropyl-

benzoesäure 463 f.; Erkennung der Art der Fixirung des Farbstoffes auf bedruckten Baumwollstoffen 1636.

**86:** Verhalten von Isopropyljodid gegen Brom und Chlor, von Isopropylbromid gegen Chlor 626 f.; Synthese der isomeren Cuminsäuren 1471; siehe Gabriel (S.).

**Meyer (R.) und Baur (A.), 79:** Cumolsulfosäure gegen Kaliumpermanganat, Propenylbenzolsulfamid, Propylsulfosäure 311.

**80:** Hydroxylierung durch Oxidation 383 f.

**Meyer (R.) und Boner (H.), 81:** m-Oxypropylsulfobenzoesäure, Phenylglyoxylsäure, Phenylchloroessigsäure (Methylmandelsäuremethylester) 312; Phenylmandelsäure 313; Oxy(iso-)propylsulfobenzoesäure aus Cymol- und Isocymolsulfosäure 885.

**Meyer (R.) und Kreis (H.), 83:** homologe Oxyazobenzole 791 f.: vergeblich versuchte Darstellung des  $\beta$ -Benzolazoresorcins; Benzolazoresorcin-Ammonium, salzsaures Amidoresorcin 791; p-Diazobenzolmonosulfosäure gegen o- und p-Mononitrophenol, gegen Resorcin 792.

**Meyer (R.) und Müller (E.), 82:** Synthese der Cuminsäure (Isopropylbenzoesäure) und Propylbenzoesäure aus Isopropyl- resp. Propylbrombenzol 956 f.; p-Quecksilberdipropylbenzol 957.

**Meyer (R.) und Rosicki (J.), 78:** Oxypropylbenzoesäure aus Cumin-säure 804.

**79:** Propenylbenzoesäureäther 723 f.

**Meyer (V.), 77:** Valenz des Stickstoffes 21; Dampfdichtebestimmung 48, 50; Benzyltriäthylammoniumverbindungen 477; Acetessigäther gegen salpetrige Säure 518; Dichloroessigsäure aus Chloral 604; Azophenylacetessigsäure 770.

**78:** Dampfdichtebestimmung 30 f.; Vorkommen von Furfurol im Eisessig 621, 1135.

**79:** Entflammungstemperatur des Petroleums 1145.

**80:** Dampfdichte des Jods 24 f., 27; Dichte des Chlors 30; Bestimmung des spezifischen Gewichtes permanenter Gase 31 f.; Unveränderlichkeit des Ausdehnungscoefficienten der Gase 32; calorimetrische Temperatur-

bestimmung 89 f.; Dampfdichte der Alkalimetalle 281; Furfuracrolein 704.

**81:** Dampfdichten der Halogene 47 f., von Arsen und Phosphor, Verhalten von Chlorberyllium und Eisenchlorür beim Verdampfen 48; Dampfdichtebestimmungen 419.

**82:** Bestimmung der Dampfdichte 49; Vorlesungsversuch: Farbe des Wassers 211 f.; Vorlesungsversuch: Umwandlung des gelben Phosphors in den rothen 212; Darstellung von salzsaurem Hydroxylamin 239; Verhalten von Benzol verschiedenen Ursprungs gegen Isatin und Schwefelsäure 408; Constitution der Nitrosoacetone 451.

**83:** Einwirkung des Lichtes auf Chlorknallgas 263 f.; Constitution der Isonitrosoverbindungen (Benzylacetoxim) 806 f.; Diphenylacetoxim 611; Constitution des Thiophens 850; Phenylthiénylketon 851; Condensationsproducte desselben 851 f.; Thiophen und Methylthiophen gegen Phenanthrenchinon, Verhalten eines Gemisches von Isatin und Pyrrol gegen verdünnte Schwefelsäure 852; Trichter als Schutzvorrichtung abdampfender Flüssigkeiten vor Staub 1656; Thiophen aus Theerbenzol 1769 f.; Analogie des Thiophens mit dem Benzol, Dibromthiophen, Monobromthiophen, Constitution des Thiophens 1770; Tetrabromthiophen, Thiophensulfosäure, Thiophensulfochlorid, Thiophensulfamid, Thiophennitril, Thiophensäure, Thiophen aus Aethylen oder Acetylen und siedendem Schwefel, wahracheinliches Vorkommen eines dem Thiophen analogen Körpers im Theertoluol 1771.

**84:** Atomtheorie 36; Bestimmung des Molekulargewichtes anorganischer Chloride 57; Methode der Dampfdichtebestimmung durch Luftverdrängung 58, 59; Untersuchungen über die Isomerie in der Thiophenreihe 913; Reindarstellung des Thiophens 913 f.; Constitution des Anthrachinons 1071 f.; Constitutionsformel von Phthalylchlorid 1226; analytische Bestimmung des Fuselöls im Spirit 1620 f.

**85:** neue Synthesen des Thiophens 1179 f.; Synthese von Thiophen und Methylthiophen 1182; Constitution der Thiohenverbindungen

1183 f.; Erforschung der Thiophen-  
gruppe 1184 f.; Eigenschaften der  $\alpha$ -  
und  $\beta$ -Thiophensäure 1376; Trocken-  
und Erhitzungsapparate 2001.

**86:** Dampfdichtebestimmung 58 f.;  
Abkömmlinge des Thiophens:  $\alpha$ - und  
 $\beta$ -Thiophensäure 1179 f.; Thiophen-  
dicarbonsäuren, Einwirkung von  
Schwefelsäure auf die Ketone der  
Thiophenreihe 1180; Synthese des  
Oxythionaphtens 1193; Thiodiglycol  
und Thiodiglycolchlorid 1202; Dar-  
stellung eines nicht spaltbaren Poly-  
meren des Diäthylendisulfids 1202 f.;  
Aethylenmercaptopan (Dithioglycol)  
1203; Untersuchung zweier aus Di-  
äthylendisulfid-Methyljodid und Di-  
äthylendisulfid  $\cdot$  Aethyljodid durch  
Silberoxyd dargestellten Öle 1203 f.;  
 $\beta$ -Monojodpropionsäure 1315; Unter-  
suchung der  $\alpha$ -Thiophensäure 1358 f.;  
 $\beta$ - u.  $\gamma$ -Thiophensäure 1359; Trocken-  
apparate 2010; Temperatur des Gar-  
brandes von Porzellan 2085; siehe  
Gattermann (L.); siehe Gold-  
schmidt (H.); siehe Jannasch  
(P.); siehe Langer (C.); siehe  
Mensching (J.); siehe Treadwell  
(F. P.); siehe Wittenberg (M.).

Meyer (V. und C.), **71:** Dampfdichte-  
bestimmung 48 f.; spezifische Gewichte  
der Elemente im Gaszustande, des  
Quecksilbers, Sauerstoffs, Stickstoffs,  
Schwefels, Oblors 49 f.; Verhalten  
des Chlors 52.

Meyer (V.) und Ahrens, **85:** Ver-  
halten von Selenäthyl beim Durch-  
leiten durch glühende Röhren 1184.

Meyer (V.), Barbieri (J.) und For-  
ster (F.), **77:** Butylamin gegen  
salpetrige Säure, Butyraldehyd, Bu-  
tylnitrosamin 435.

Meyer (V.) und Calm (A.), **85:**  
Thiophen aus Schwefeläthyl dämpfen  
beim Durchleiten durch glühende  
Röhren 1179.

Meyer (V.) und Ceresole (M.), **82:**  
Constitution der Nitrosoacetone, Ni-  
trosoacetonbenzyläther, Isonitrosover-  
bindungen 451 f.

Meyer (V.) u. Constam (E. J.), **81:**  
Aethylazaurölsäure (Nitrosoazöthan)  
484 f.

**82:** homologe Azaurölsäuren  
574 ff.; Aethylleukazon 576.  
**83:** Thiophen gegen Phenylgly-  
oxylsäure bei Gegenwart von Schwefel-  
säure 851 f.

Meyer (V.) und Dyson (G.), **84:**  
Jodsubstitutionsproducte des Thio-  
phens 918 f.

Meyer (V.) und Gattermann (L.),  
**85:** Untersuchung der Thiönone  
1184.

Meyer (V.) und Janny (A.), **82:**  
Aceton und Substitutionsproducte  
gegen Hydroxylamin: Acetoxim und  
Homologe, Acetoximsäure 756 f.;  
Brenztraubensäure gegen Hydroxyl-  
amin:  $\alpha$ -Nitrosopropionsäure 822 f.

Meyer (V.) und Kaiser (A.), **86:**  
Versuche zur Darstellung eines  
Körpers  $\text{CH}_2\text{[-CH=OH-S-CH=CH-]}$   
1180.

Meyer (V.) und Kreis (H.), **83:**  
Methylthiophen und Dibrommethyl-  
thiophen 851.

**84:** Darstellung von Homologen  
des Thiophens 922 f.: Aethylthiophen,  
normales Propylthiophen 922; nor-  
males Butylthiophen, Methylthiophen  
923; Isolirung des Thiotolens (Me-  
thylthiophens) 923 f.

Meyer (V.) und Lecco (M. T.), **83:**  
Phenylhydrazin 795.

Meyer (V.) und Mansfeld (W.), **86:**  
Versuche zur Darstellung eines Kör-  
pers  $\text{S[-CH=CH-S-CH=CH-]}$  aus Di-  
äthylendisulfid 1180.

Meyer (V.) und Müller (A.), **83:**  
Nitrosomalonsäure, Benzylnitroso-  
malonsäure gegen Jodwasserstoff-  
säure, Bildung von Nitroso- und  
Isonitrosoverbindungen 1054.

Meyer (V.) und Münchmeyer (F.),  
**86:** Einwirkung von Phenylhydrazin  
auf Lactone 1664.

Meyer (V.) und Muhlert, **85:** Dar-  
stellung einer neuen Thiophensäure  
1184.

Meyer (V.) und Nägeli (E.), **83:**  
Constitution des Oxocetenols; Benzoyl-  
carbinol gegen Hydroxylamin: Isoni-  
trosophenyläthylalkohol 981.

Meyer (V.) und Nahnsen, **85:**  
Thiophen aus Aethylen durch Leiten  
über erhitzten Pyrit, Thiophen aus  
Crotonsäure und Buttersäure 1179;  
Thiotolen aus Valeriansäure 1179 f.;  
Thiophen aus Paraldehyd und Aether  
1180.

Meyer (V.) und Pendleton, **85:**  
Verhalten der  $\beta$ -Thiophensulfosäure  
bei der Destillation mit Cyankalium  
1184.

- Meyer (V.), Peter (A.) und Coney (A.), **83**: Thiophenchloral und Di-thiänylmethan 851.
- Meyer (V.) und Petri (C.), **77**: Nicht-existenz von Aetherperen 379.
- Meyer (V.) und Pond (G. G.), **85**: Apparat zur Dampfdichtebestimmung leicht dissociirbarer Körper wie Amylacetat und -chlorid 223.
- Meyer (V.) und Rosenberg, **85**: Darstellung der Thiophendisulfosäure und des Tribromthiophens 1184.
- Meyer (V.) und Schleicher, **85**: Untersuchung des Monobromthiophens 1184.
- Meyer (V.) und Schulze (E.), **84**: Untersuchung der Einwirkung von Hydroxylaminsalzen auf Pflanzen 1437 f.
- Meyer (V.) und Stadler (O.), **84**: Untersuchung von Pyrrolfarbstoffen, Einwirkung von Pyrrol auf Chinone 626 f.; Nitrierung des Thiophens: Mono-, Dinitrothiophen 919; versuchte Amidirung der Nitroderivate des Thiophens, Farbenreactionen des Mono-, Dinitrobenzols und -thiophens 920; Stickstoffbestimmung in schwefelhaltigen organischen Substanzen 1613 f.
- 85**: Untersuchung des Amidothiophens (Thiophenins) 1184 f.; Darstellung von Thiophen aus Theerbenzol durch fractionirte Bromirung (Di- und Monobromthiophen) 1186 f.
- Meyer (V.) und Treadwell, **85**: Schutztrichter 2001.
- Meyer (V.) und Treadwell (F. P.), **81**: Dimethylketin 418.
- Meyer (V.) und Warington (A. W.), **86**: Basen aus Aldoximen: Einwirkung von Acetylchlorid auf die Acetoxime von Iso- und Normalbutyron 784.
- Meyer (V.) und Weitz, **83**: Thiophensulfosäure und Thiophensulfinsäure 851.
- Meyer (V.) und Züblin (H.), **79**: Platingefäß zur Dichtebestimmung 53.
- 80**: Dampfdichte des Broms 29, des Chlors 29 f.; Dichte des Chlors 262; Platinbromid 362.
- Meyer (V.) und Züblin (J.), **78**: Nitrosoverbindungen der Fettreihe 426 f.
- Meyeringh (W.), **77**: Hydroxylaminodoppelsalze 430; Hydroxylaminbestimmung 1038.
- Meyke (W.), **83**: Ursache der Rothfärbung des reinen Phenols 875; Reinigung eisenhaltiger Citronensäure 1096.
- Meyn (L.), **80**: Phosphate 1436 f.
- Mezger (C.), **84**: Untersuchung des Holzes von *Eperua falcata* 1460.
- Michael (A.), **77**: Succinyl- und Phtalylderivate des Toluidins, Paraamidobenzoessäurederivate 741; Phtalimid, Aethylphtalimid, Verhalten derselben gegen Brom, Diäthyl-oxamid und Aethylacetamid gegen Brom 765.
- 79**: synthetische Glycoside 858.
- 80**: Bildung von Aethylsenföl 405; Methylaldehyd 694; Phtalsäuremonoäthyläther 859.
- 81**: Salicylsäure gegen Phenole: Dioxybenzophenon (Salicylphenol) 529; Dioxybenzhydrol, Trioxybenzophenon 530; Paraconin 927; Methylarbutin 988; Helicin und Derivate 989.
- 82**: Anhydrosalicylglycosid aus Dinatriumsalicylat und Acetochlorhydrose; Salicin aus Helicin 1129.
- 83**: Atomwanderung im Molekül 462; Allantoïn, Umsetzungen der Harnsäure 497 f.; Structur des  $\alpha$ -Dibromäthylens 588; Resocyanin aus Acetessigäther, Resorcin und Chlorzink 938 f.; Derivate des Resocyanins: Acetylresocyanin, Methylresocyanin 939; Hydroresocyanin, Tribromresocyanin 940; aromatische Aldehyde gegen Phenole: Resorcin-Benzaldehydharz 967 f.; Monobromessigsäure 1031; Synthese der Zimmtsäure, Perkin'sche Synthese 1118; aromatische Oxyssäuren gegen Phenole: Salicylsäure gegen Phenol: Salicylphenol 1118 f.; o-p-Dioxydiphenylcarbinol aus Salicylphenol, Salicylsäure gegen Resorcin: Salicylresorcin 1120; Salicylresorcinäther 1121 f.; Salicylsäure gegen Orcin: Salicylorcinäther 1122; Korn- und Kartoffelstärke gegen Acetylchlorid und Essigsäureanhydrid 1366; Helicin, Methylarbutin; alkoholisches Phenolnatrium gegen Acetochlorhydrose: Phenolglycosid, Tetraacetylphenolglycosid 1368; Vorlesungsapparate zur Gasanalyse 1659.
- 84**: Methylarbutin; Guajacol, Eugenol-Glycosid 1411.

**85:** Einwirkung von Natriumäthylat auf Cinchonin: Base  $C_{20}H_{22}N_2$  1705 f.; Chinin gegen Natriumäthylat 1706.

**86:** Trennung primärer von sekundären und tertiären aromatischen Aminen mittelst Citraconsäure 776 f.; Verhalten der Essigsäure gegen Anilin, Mono-, Dimethylanilin und Äthylanilin 777 f.; Verhalten von Basen der Fettreihe gegen Citraconsäure, Asparaginsäure 778; Nitrirung des Phenylhydrazins 1076 f.; Derivate des Phenylcitraconazids 1077; Zusammenhang zwischen Anilidbildung und der Constitution ungesättigter, mehrbasischer organischer Säuren: Einwirkung von Anilin auf Monobromcitraconsäure, Maleinsäure, Fumarsäure 1293 f., auf Monobrommaleinsäure (Phenylamidomaleinsäure), Monobrom- und Monochlorfumarsäure 1294; auf Aconitsäure 1295; theoretische Betrachtungen über die Isomerie in der Fettreihe: Constitution der Itacon-, Citracon- und Mesaconsäure 1295 f.; Einwirkung von Phosphorpentachlorid auf die Aether organischer Säuren: Trichlorphenoxyäthylen aus Phenylacetat 1297; m-Phenyloxytrichloräthylen aus m-Phenylacetat 1297 f.; Phenylpropionat gegen Phosphorchlorid 1298; siehe Gabriel (S.).

Michael (A.) und Adair (A.), **77:** aromatische Sulfone 559; Darstellung von Sulfonen,  $\alpha$ - und  $\beta$ -Naphthylphenylsulfon 818.

**78:** aromatische Sulfone 859.

Michael (A.) und Browne (G. M.), **86:** neue ( $\beta$ )-Monobromzimmtsäure 1456 f.; Benzoylessigäther und  $\alpha$ -Bromzimmtsäureäther 1457.

Michael (A.) und Comey (A. M.), **83:** neue Verbindungen aus Aldehyd und Orcin, aus Chloralhydrat und Resorcin, aus Chloralhydrat und Orcin 965; Phenylsulfonessigsäureäther, Natriumphenylsulfonessigsäureäther, Benzylphenylsulfonessigsäure 1036; Benzylphenylsulfonessigsäure gegen alkoholisches Natron 1037.

Michael (A.) und Gabriel (S.), **77:** Säureanhydride gegen wasserentziehende Mittel 660 bis 664.

Michael (A.) und Gundelach (Ch.), **80:** Para- und Methylconiin 950.

Michael (A.) und Kopp (A.), **83:**

Bildung von Aldol ( $\beta$ -Oxybuttersäurealdehyd) aus Aldehyd 952 f.

Michael (A.) und Norton (L. M.), **78:** Einwirkung von Chlorjod auf aromatische Amine 448 f.

**80:** Tribrompropionsäure 772 f.; Bromcrotonsäuren 790 f.

Michael (A.) und Norton (Th. H.), **77:** Diamidosulfobenzidicarbonsäure 865.

Michael (A.) und Palmer (G. M.), **84:** Ueberführung von Phenylisocyanat und Phenylurethan in Phenylsenfö, von Äthylisocyanat in Äthylsenfö; Verhalten von Methylisocyanat und Kaliumisocyanat gegen Phosphor-pentasulfid 486; Darstellung von Methylenjod- und Methylphenylsulfon aus Benzolsulfonsäure 1332 f.

**85:** Einwirkung von Cyanwasserstoff auf aldehyd- und ketonartige Verbindungen (Benzil, Benzochinon, Benzoin, Phenanthrenchinon) 585 f.; Untersuchung des Phenylsulfonessigsäure-Äthyläthers 1599 f.; Methylphenylsulfon, Äthylphenylsulfonessigsäure-Äthyläther, Propylphenylsulfon, Allylphenylsulfonessigsäure-Äthyläther 1599; Dibenzylphenylsulfonessigsäure-Äthyläther, Benzylzimmtsäure und Hydrobenzylzimmtsäure (Dibenzylzimmtsäure) 1600; Constitution des Resacetophenons, Monooxyacetophenon 1640.

**86:** Anilidbildung bei der Malein-, Citracon-, Itacon- und Phtalsäure 1295.

Michael (A.) und Ryder (J. P.), **86:** Einwirkung von Aldehyden auf Phenole 1281 f.; Benzaldehyd gegen Resorcin, Pyrogallol,  $\alpha$ - und  $\beta$ -Naphthol, Orcin, Phenol und Hydrochinon, Chloralhydrat gegen Orcin 1282.

Michael (A.) und Wing (J. F.), **84:** Ueberführung der optisch activen Asparaginsäure in reine optisch inactive 1127.

**85:** Additionsproduct aus Cyanäthyl und Chlorwasserstoff (Propenylphenylamidin) 624 f.; Einwirkung von Methyljodid auf Asparagin (saures Fumarsäureamid, Dibromfumarsäureamid), inactive Asparaginsäure 1367; Äpfelsäure gegen Anilin (Fumarsäureanilid) 1367 f.; Einwirkung verschiedener Alkyljodide auf p-Amidobenzoësäure 1452 f.; Dimethyl-p-amidobenzoësäure 1452; Trimethyl-



p-amidobenzbetaïn, Diäthyl-p-amidobenzoësäure und deren Aethyläther, Diallyl-p-amidobenzoësäure 1453.

**Michael (B.), 84:** Oxydation von Collidinmonocarbonsäure, Darstellung von Pyridincarbonsäuren 1185 bis 1188; Collidindicarbonäthersäure 1185; Collidinmonocarbonsäureäther 1186; Collidinmonocarbonsäure; Lutidindicarbonäthersäure; Picolintricarbonsäure 1187; Pyridintetracarbonsäure 1188.

**85:** neue Synthese von Lutidinderivaten (Lutidincarbonsäure) aus Acetessigäther, Aldehyd und Ammoniak 826 ff.

**Michaëlis (A.), 77:** Diphenylphosphorverbindungen 871; aromatische Arsenverbindungen 872; siehe Köhler (H.).

**80:** Aethylphosphorchlorür 941.

**82:** Antimonchlorür gegen Quecksilberdiphenyl: Quecksilbermonophenylchlorid 1071; Apparat zur automatischen Verschließung einer Gasleitung 1348.

**84:** Darstellung von Diacetonylphosphorchlorür 1361; Diacetonylphosphinige Säure 1361 f.

**85:** Darstellung von Acetonphosphorverbindungen 1614 bis 1618: Diacetonphosphorchlorür 1614; Diacetonphosphorchlorobromid 1615; Diacetonphosphortrichlorid, Diacetonphosphinsäure (Isopropylacetonylphosphinsäure) 1616 f.; Diacetonphosphinsäure-Oxim 1617; Isopropylphosphincarbonäthersäure 1617 f.

**86:** Verhalten des Phenylhydrazins gegen Natrium: Phenylhydrazinnatrium 1075 f.; Aethyl- und Benzylphenylhydrazin 1076; Acetonphosphorverbindungen: Diacetonphenyl- und -tolylphosphinsäure 1612 f.; siehe Coste (W. la); siehe Götter (H.); siehe La Coste (W.).

**Michaëlis (A.) und Becker (P.), 80:** Phenylborechlorid 937.

**81:** Boroxychlorid 201.

**82:** Monophenylborechlorid gegen Wasser, Alkohol, Zinkalkyle: Monophenylborsäure und Salze, Monophenylboreoxyd, Quecksilbermonophenylchlorid 1032 ff.; Quecksilberditolyl gegen Chlorbor: Mono- p-tolylborechlorid, p-Tolylborsäure, Quecksilbermonotolylchlorid 1034.

**Michaëlis (A.) und Benzinger (E.), 77:** substituierter Phosphenylsäuren

(Nitro-, Amido-, Diazophosphenylsäure) 872.

**Michaëlis (A.) und Coste (W. la), 85:** Darstellung organischer Derivate des Phosphoroxychlorids, Bestimmung der Dampfdichte des Triphenylphosphinoxyds, Phenoxydiphenylphosphin 26 f.; Isophosphoroxychlorid 27; Darstellung von Phenoxyldiphenylphosphin, Diphenylphosphorchlorür 1618, von diphenylphosphiniger Säure (diphenylphosphoriger Säure), Diphenylphosphinsäure-Phenoläther (Phenoxyldiphenylphosphinoxyd), Phenoxyldiphenylphosphindibromid 1619; Diphenylphosphoroxychlorid, Phenoxyldiphenylphosphinsulfid, Phenoxyldiphenylphosphinselenid 1620; Phenoxyldiphenylbenzylphosphoniumchlorid, Diphenylbenzylphosphinoxyd, Phenoxyldiphenylmethylphosphoniumjodid, Diphenylmethylphosphinoxyd, Diphenyldimethylphosphoniumjodid 1621; Diphenylbenzylphosphindichlorid 1622.

**Michaëlis (A.) und Ozimatis (L.), 82:** p-Tolyltrimethylphosphoniumchlorid und Dimethyltolylphosphin-Aethylenbromid gegen übermangansaures Kalium: Trimethylphosphorbenzbetaïn, Trimethylphosphinoxyd, Dimethyltolylphosphinoxyd 1048 f.

**Michaëlis (A.) und Dittler (F.), 79:** Phenylphosphin 777 f.; Phosphäthylchlorid und Homologen 778.

**Michaëlis (A.) und Genzken (U.), 84:** Darstellung von o-, m- und p-Tritolylstibin, p-Tritolylstibinoxyd und -hydroxyd 1364.

**Michaëlis (A.) und Gleichmann (L.), 82:** Essigsäureanhydrid und Toluol gegen Chloraluminium: Toluylmethylketon, p-Toluylsäure, Dibromtoluylmethylketon 766; Phosphenylchlorid gegen Jodalkyle und Zink: gemischte aromatische Phosphoniumverbindungen 1053; Phosphenylchlorid, Toluylphosphorchlorür gegen Benzylchlorid und Zink: Isophosphine: Isobenzylphenylphosphin 1053 f.; Isobenzyltolylphosphin 1055; Diphenylphosphin aus Diphenylphosphinchlorid 1055 f.; Diphenylphosphinsäure 1056; Phosphenylchlorid gegen Brombenzol und Natrium: Triphenylphosphin, Triphenylphosphoniumjodid, Triphenylphosphoniumhydroxyd, Trimethylphosphinsulfid, Triphenylme-

- thylphosphoniumjodid, Aethylenhexaphenyldiphosphoniumbromid, Methylphenhexaphenylphosphoniumjodid 1056 f.
- Michaëlis (A.) und Landmann (B.), 80:** selenige Säure 261.
- Michaëlis (A.) und Link (A.), 81:** Arsonium- und Phosphoniumverbindungen: Diphenyläthylarsin, Diphenyläthylmethylarsoniumjodid, Diphenylmethylarsin 893; Diphenyläthylmethylarsoniumplatinchlorid, Diphenyläthylmethylarsoniumpikrat, Diphenyldimethylarsoniumjodid, Diphenyldimethylarsoniumplatinchlorid 894; Monophenylmethylarsin, Monophenyltrimethylarsoniumjodid, Monophenyltrimethylarsoniumplatinchlorid, Diphenylmethylphosphin, Diphenylmethylphosphinoxid, Diphenyldimethylphosphoniumjodid, Diphenyldimethylphosphoniumplatinchlorid 895; Diphenylmethyläthylphosphoniumjodid, Diphenylmethyläthylphosphoniumplatinchlorid, Diphenylmethyläthylphosphoniumpikrat, Diphenyläthylphosphin, Diphenyläthylphosphinoxid, Diphenyldiäthylphosphoniumplatinchlorid 896.
- Michaëlis (A.) und Paetow (U.), 85:** Darstellung einiger Benzylarsenverbindungen 1629 bis 1631: Dibenzylarsinsäure 1629; Chlorwasserstoffsäure, Dibenzylarsinsäure, Tribenzylarsinoxid, Tribenzylarsinoxidchlorid 1630; Tribenzylarsin, Tribenzyläthylarsoniumjodid 1631.
- 86:** Benzylarsenverbindungen 1614; Dibenzylarsensäure und Derivate 1617 f.
- Michaëlis (A.) und Paneck (Cl.), 80:** Tolylphosphorchlorür 943 f.
- 81:** Benzophosphinsäure, Salze, Derivate 892.
- 82:** Phosphortrichlorid gegen aromatische Kohlenwasserstoffe in Gegenwart von Chloraluminium 1059 bis 1066: p- und o-Tolylphosphorchlorür 1059 ff.; p-tolylphosphinige Säure und p-Tolylphosphortetrachlorid 1060; p-Tolylphosphinsäure 1060 f.; o-Tolylphosphortetrachlorid, p-Tolylphosphoroxychlorid, p-tolylphosphinige Säure und Salze 1061 f.; o-tolylphosphinige Säure 1062; p-Tolylphosphinsäure und Salze 1062 ff.; Benzophosphinsäure, o-Tolylphosphinsäure, p-Tolylphosphin, p-Tolylphosphoniumjodid 1064 f.; Xyl- und Cymylphosphorverbindungen 1065 f.: Xylphosphorchlorür, xylphosphinige Säure, Xylphosphortetrachlorid, Xylphosphinsäure 1065; Cymylphosphorchlorür, Cymylphosphinsäure 1066.
- Michaëlis (A.) und Reese (A.), 82:** Triphenylphosphin 1057 f.; Arsenchlorür, Antimonchlorür, Quecksilberchlorid gegen Brombenzol und Natrium: Triphenylarsin, Triphenylstibin, Quecksilberdiphenyl 1070 f.; Monophenylarsenchlorür 1071.
- 86:** aromatische Antimonverbindungen: Tri- und Diphenylstibinverbindungen 1618 f.
- Michaëlis (A.) und Schulte (C.), 81:** Arsenbenzol, Jodarsenbenzol, Arsenonaphtalin 897.
- 82:** Monophenylarsinsäure, Naphtylarsenoxd, Diphenylarsenoxd gegen phosphorige Säure: Arsenbenzol, Phenylarsenmono- und -sesquisulfid, Diäthylphenylarsin, Jodarsenbenzol, Phenylarsenjodür 1066 f.; Naphtylarsenchlorid, Naphtylarsenoxd, Arsenonaphtalin, Naphtylarsensulfid, Naphtylarsinsäure 1067 f.; Phenylkakodyl, Diphenylarsinsäureanhydrid, Diphenylarsentrichlör, Triphenylarsin 1068.
- Michaëlis (A.) und Soden (H. v.), 84:** Darstellung von Nitro- und Amidoderivaten des Triphenylphosphins: Triphenylphosphinnitrat, Triphenylphosphinoxidnitrat 1362; Trinitrotriphenylphosphinoxid; Triamidotriphenylphosphinoxid und Salze 1363.
- 85:** Untersuchung des Triphenylphosphins und seiner Derivate 1622 bis 1626: Triphenylphosphoniumjodid, Triphenylphosphinsulfid, Triphenylphosphinselenid, Triphenylmethylphosphoniumjodid und -chlorid 1622 f.; Triphenylmethylphosphonium-Platinchlorid, Triphenyläthylphosphoniumjodid, Triphenylpropylphosphoniumjodid, Triphenylisopropylphosphoniumjodid, Triphenylisobutylphosphoniumjodid 1623; Triphenylisoamylphosphoniumjodid, Diphenylmethylphosphinoxid, Diphenyläthylphosphinoxid, Diphenylisoamylphosphinoxid, Triphenylbenzylphosphoniumchlorid, -bromid und -jodid 1624 f.; Salze des Triphenylbenzyl-

- phosphoniums, Triacetyltriamidotriphenylphosphinoxid, Tribenzoyltriamidotriphenylphosphinoxid, Methyltriamidotriphenylphosphinoxid (Tetramethyltriamidotriphenylphosphinoxid) 1625; Hexamethyltriamidotriphenylphosphinoxid, Hexabromtriamidotriphenylphosphinoxid 1626; Darstellung von Orthophosphorsäureanilid 1626 f.; Orthophosphorsäurehexabromanilid, Dianilidoorthophosphorsäure 1627 f.
- Michaelis (C.), **84**: elektrische Leitungsfähigkeit von verunreinigtem Quecksilber 250.
- 85**: Leitungsfähigkeit von Quecksilberamalgame 257 f.
- Michaelis (E.) und Turner-Mayer (W.), **85**: Gewinnung von Chloroform 2081.
- Michaelis (G. J.), **85**: Rotations-theorie der Moleküle 40.
- Michaelis (H.), **83**: Quecksilberver-schluss 1656.
- Michaelis (W.), **77**: Cemente, Port-landcemente 1163.
- 82**: Portlandcement 1418 f.
- Michailoff, **85**: Darstellung von Biliverdin und Urobilin aus Glyco-cholsäure 2139.
- Michailow (W.), **84**: Farbstoff aus Glycocholsäure 1415; Darstellung von reinem Albumin 1415 f.; neue Reaction auf Eiweißstoffe 1652; Be-stimmung des Chlors im Harn 1679.
- 85**: Trennung der Globuline von den Albuminen (Erkennung von Ei-weißstoffen) 1990 f.
- 86**: Uebergang von Pepton in Eiweiß 1793.
- Michailow (W.) und Chopin (G.), **86**: Umwandlung von Eiweiß in eine gelatinartige Substanz 1789 f.; Zusammensetzung von Eiereiweiß 1790.
- Michalowski, **84**: Darstellung von Bergmannspulver 1748.
- Michaud (E. F.), siehe Poullain (Ch. F. E.).
- Michaud (G.), **86**: neue Zuckerart: Cyclamose 1777.
- Michel (E.), **86**: Hydraulicität, Er-härtung der Cemente 2088 f.
- Michel (K.) und Jaeckel-Hand-werk, **83**: Einfluss verschiedener Gerstewasser auf böhmische Gerste 1743.
- Michel (L.), siehe Jannettaz (E).
- Micheli (M.), **79**: Pflanzenphysio-logie 881.
- Michel-Levy (A.), **79**: Skapolith-analyse 1216; siehe Fouqué (F.).
- Michelson (A.), **82**: neues Thermo-meter 97.
- 83**: Luftthermometer 1654.
- Michie (C.), siehe Knott.
- Michler (W.) und Blattner (G.), **79**: Nitrobenzolsulfanilid 745.
- Michler (W.) und Escherich (C.), **79**: mehrfach substituierte Harnstoffe 343 f.
- Michler (W.) und Gradmann (A.), **77**: Diäthylanilin gegen Chlorkohlen-oxd 473; Dimethylphenylbenzyl und Abkömmlinge 480.
- Michler (W.) und Keller (E.), **81**: Triphenylguanidinharnstoff 336; Aethylendiphenyl- und Aethylendi-p-toluylharnstoff 337.
- Michler (W.) und Meyer (K.), **79**: Sulfochloride gegen Amine 739.
- Michler (W.) und Moro (G.), **79**: Sulfochloride gegen Amine 737 f.
- Michler (W.) und Pattinson (H.), **84**: Tetramethylbenzidin 745.
- Michler (W.) und Pattinson (S.), **81**: Tetramethylbenzidin 467; Di-nitro- und Diamidotetramethylbenzi-din, Tetraäthylbenzidin, Tetramethyl-diamidoditolyl 468.
- Michler (W.) und Salathé (F.), **79**: Sulfochloride gegen Amine 738 f.
- Michler (W.) und Sampaio (A.), **81**: Dimethyltoluidinsulfosäure 469; Tetramethyldiamidoditolyl und iso-meres, Monobromdimethyl-o-toluidin 470; Dibromtetramethyldiamidodi-tolyl 471.
- Michler (W.) und Sarauw (A.), **81**: Methylphenylamidobenzoësäure 771.
- Michler (W.) und Walder (H.), **81**: Trichlormethylsulfochlorid gegen Ani-lin 455; Dimethylanilin und Derivate 456 f.
- Michler (W.) und Zimmermann (A.), **81**: m-Phenylen-, Benzidin-harnstoff, Harnstoff aus p-Amido-dimethylanilin und Chlorkohlenoxyd 336.
- Michler (W.) und Zimmermann (R.), **79**: Monomethylphenylharn-stoffchlorid 344.
- Micklewood (E. H.), Friend (G. P.) und Babley (W.), **79**: künst-liches Leder 1152.

- Miczynski (Z. N.), **86**: Löslichkeit von Säuren und Salzen der Oxalsäurereihe (Oxalsäure, Malonsäure, Bernstein- und Isobornsteinsäure) 156 f.
- Miehle (G.), **77**: Acettricarbaldehydsäureäther 688.
- Mielcke (P.), siehe Claus (Ad.).
- Mierisch (B.), **86**: Vorkommen und Analyse von Forsterit 2266; Untersuchung der Kalkblöcke des Monte Somma 2301; Vorkommen und Analysen von Kaliophilit und Mikrosommit aus den Auswürflingen des Monte Somma 2271.
- Miers (H. A.), **82**: Krystallformen am Weisbleierz 1536, am Baryt 1537.
- 84**: Krystallform von Meneghinit 1909 f.
- 85**: Krystallform des Monobromstrychnins 1690; siehe Grünling.
- Miest, siehe Blas.
- Mignon und Rouart, **77**: Manometer 1097.
- 82**: Verkupfern von Eisen 1378 f.
- Mikhailow, **86**: Trennung von Albumin und Globulin im Blutserum 1792.
- Miklucho-Maclay (M. v.), **85**: Zusammen-Vorkommen von Rutil und Zinnstein 2270 f.; Analyse des Breunnerits 2279; Analyse von Talk 2291; Untersuchung von metamorphischen Schiefen (Braunspatiphyllitgneisen), Beschreibung eines Granulits 2306.
- Mikolajczak, **84**: Analyse von Tarnowitzit 1933.
- Miles (E. P.), **86**: Untersuchung eines künstlichen Meteoriten aus der Highland County, Virginia 2328.
- Miles (F. P.), **86**: Platinsilicium 494.
- Militz (E.), **85**: Aufbewahrung von Fluorometallen und Flusssäure 1534 f.
- Milrowsky (P.), **85**: Untersuchung des Erdöls von Bibi-Eibat und Balachang, Heptanaphten und seine Derivate 2176 f.
- 86**: Darstellung von Heptanaphten aus dem kaukasischen Erdöl 587.
- Mill (H. R.), **86**: Dichtigkeit des Wassers im Firth of Forth und im Firth of Clyde (Aestuarien) 2319 f.
- Millardet und Gayon, **85**: Untersuchung einzelner Theile des Weinstocks, des Mostes sowie Weines auf Kupfer und Salze 1808 f.
- Miller, **85**: Darstellung von  $\alpha$ -Naphthochinon 1669 f.; Dibrom- $\alpha$ -naphthochinon, Monobrom- $\alpha$ -naphthochinon-anilid, Monobromoxy- $\alpha$ -naphthochinon 1670.
- Miller (A. K.), **82**: Salicylsäure gegen Jod: o- und p-Jodsalicylsäure, Hydrochinoncarbonsäure, Brenzcatechin-o-carbonsäure 911 ff.; Brenzcatechin gegen Ammoniumcarbonat 912; Uebersicht der isomeren Dioxybenzoesäuren 913 f.
- 83**: Jodsalicylsäuren und Oxy-salicylsäuren 1137; siehe Armstrong (H. E.).
- Miller (F.), **82**: Neuerungen an Spectralapparaten 1350.
- 83**: Luftthermometer 113.
- Miller (H. v.), **79**: Darstellung von Malonsäure 611 f.; Elektrolyse der Malonsäure 612.
- 85**: Zerlegung der Calciumsulhydratlösung 2074.
- Miller (H. v.) und Opl (C.), **84**: Gewinnung von Schwefelwasserstoff aus Sodarückständen 1723.
- Miller (H. O.), **85**: Darstellung und Verhalten des Canarins 2254 f.
- Miller (N. H. J.), siehe Japp (F. R.).
- Miller (O.), **77**: isomere Nitroptalsäure 765.
- 78**: Isonitroptalsäure 790 f.
- 79**: Destillation von ptalsaurem Kalk 705.
- 81**: Naphthochinon aus Acetyl- $\alpha$ -naphthol 644; isomere Nitroptalsäuren ( $\alpha$ - und  $\beta$ -), Salze und Derivate 801 ff.
- 83**: Nachweis freier Schwefelsäure neben schwefelsaurer Thonerde 1559.
- 84**: Identität der  $\alpha$ -Oxyptalsäure mit der  $\beta$ -Oxy-o-ptalsäure 1241 f.; siehe Prochoroff.
- Miller (W. v.), **77**: Bestandtheile des flüssigen Storax 967.
- 78**: über Styrol 385; Oxydation von Valeriansäure aus Gährungsamylalkohol 716 f.; Bildung einer Angelicasäure aus Isobutylameisensäure 717; Tropäoline als Indicatoren für die Alkalimetrie 1055; Apparat zur indirecten Bestimmung der Kohlensäure 1097.
- 79**: Oxyvaleriansäure und Dimethylacrylsäure 644 f.
- 80**: Biebricher Scharlach (Azoverbindungen) 578; Rouge français, Untersuchung, Constitution 581, 1386 f.

- 82:** Zimmtsäure, Styracin, Zimmt-säure-Phenylpropyläther, Storesin aus amerikanischem Storax 1184; siehe Döbner (O.); siehe Hofmann (A. W.), siehe Rücker (A.).
- Miller (W. v.) und Kinkelin (Fr.), **85:** Darstellung zweier  $\alpha$ -(Py)-m(B)-Dichinolyline 1015 bis 1021; Darstellung von m-Amidophenylchinolin, m-Nitrophenylchinolin 1016; Salze des m-Amidophenylchinolins 1017; m-Nitrophenylhydrochinolin, m-Amidophenylhydrochinolin 1018; m-Hydroxyphenylchinolin, Krystallform des einen  $\alpha$ -(Py)-m(B)-Dichinolyline 1019; Salze desselben, zweites  $\alpha$ -(Py)-m(B)-Dichinolylin 1020; Darstellung der p-Chinaldinacrylsäure 1549 bis 1551; Salze der Chinaldinacrylsäure, p-Chinaldinaldehyd 1550; Platindoppelsalz und Hydrazinverbindung des p-Chinaldinaldehyds 1551.
- 86:** neue Reihe von Chinolinderivaten 954 bis 959: Synthese von  $\alpha$ -Methylzimtaldehyd (Phenylhydrazinverbindung, Oxydation) 954 f.; Verhalten desselben gegen Anilin und Salzsäure:  $\alpha$ -Phenyl- $\beta$ -methylchinolin 955 f.; Synthese von m-Mononitro- $\alpha$ -methylzimtaldehyd 956 f.; Ueberführung desselben in m-Mononitro- $\alpha$ -phenyl- $\beta$ -methylchinolin 957; Reduction des letzteren: m-Monoamido- $\alpha$ -phenyl- $\beta$ -methylchinolin 957 f.; m-Monoamido- $\alpha$ -phenyl- $\beta$ -methylhydrochinolin 959; Reduction von m-Mononitro- $\alpha$ -methylzimtaldehyd: m-Monoamido- $\alpha$ -methylzimtaldehyd und eine Base  $C_{10}H_{11}N$  1637 f.
- Miller (W. v.) und Spady (J.), **85:** Darstellung von Chinolin-(Py)- $\alpha$ -acrylsäure 1551 f.; Chinolin-(Py)- $\alpha$ -aldehyd 1552.
- 86:** Condensation von Chloral mit Chinaldin und Cincholepidin 1638 f.
- Millner, **77:** Bleiweiss 1155.
- Millot, **83:** Bestimmung der „zurückgegangenen“ Phosphorsäure in Superphosphaten 1546.
- Millot (A.), **80:** Verhalten des Dicalciumphosphats 285; Ulminsubstanzen 590 f.; Zurückgehen von Superphosphaten 1335.
- 82:** Bildung von Ulminsubstanzen bei der Elektrolyse mit Kohlenanoden 159 f.; elektrolytische Bestimmung von Zink in Erzen 1294.
- 85:** Elektrolyse einer ammoniakalischen Lösung 287 f.
- 86:** Elektrolyse einer ammoniakalischen Lösung 278 f.
- Millot (A.) und Maquenne, **78:** volumetrische Bestimmung der Arsensäure 1050.
- Millot und Maquenne, **79:** Zuckerverlust durch Gährung 1011 f.
- Mills, **79:** Wirkung elektrolytischer Niederschläge 142.
- 85:** Vorgänge bei der trockenen Destillation complicirter organischer Verbindungen 2191.
- Mills (E.) und Smith (J. J.), **79:** Aequivalenz der Kobalt- und Nickelsalze 268.
- Mills (E. J.), **77:** Elektrostriction 167.
- 78:** allgemeine Aenderungen des Nullpunktes der Thermometer durch Erhöhung der Temperatur und des Druckes, Bestimmung fester Temperaturpunkte 67.
- 79:** Colorimeter 147.
- 80:** chemischer Rückstofs 13; Colorimeter 1242.
- 81:** Aufsteigen von hohlen Glasgefäßen in Flüssigkeiten 81; Thermometrie 1074; feste Körper im Trinkwasser 1163.
- 82:** Schmelzpunkte von Benzolderivaten 103 f.; Einweichung der Gerste behufs Malzbereitung 1160 f.
- 84:** Regelmäßigkeit in den Atomgewichten der Elemente 45; Beziehung der Schmelz- und Siedepunkte zu der chemischen Zusammensetzung 180; Siedepunkt des Wasserstoffes 321.
- 86:** Regelmäßigkeiten in den Atomgewichten der Elemente 42; Einwirkung von Aetzkali auf Harze und Harzfürnisse 1829; Apparat zur Bestimmung der Viscosität von Oelen 2167.
- Mills (E. J.) und Barr (R. L.), **82:** Fällung von Thonerde- und Chromalaun durch Natriumcarbonat 278.
- Mills (E. J.) und Bicket (J. H.), **82:** chemische Aequivalenz von Mangan und Nickel 10 f.
- Mills (E. J.) und Campbell (L.), **79:** Rosanilin gegen Seide 1159.
- Mills (E. J.) und Donald (G.), **82:** Einwirkung von Oxyden auf Salze: Kaliumchlorat gegen Eisenoxyd 290.
- Mills (E. J.) und Hogarth (J.), **79:** optisches Drehungsvermögen des Milchzuckers 851 f.

- Mills (E. J.) und Hunt (B.), **82**: chemische Aequivalenz von Cadmium und Nickel 11.
- Mills (E. J.) und Mackey (W. M' D.), **83**: die Grenzen der chemischen Umsetzung zwischen Zink und Schwefelsäure 12.
- Mills (E. J.) und Meanwell (C. W.), **81**: wasserfreie Oxyde gegen Salze 149 f.
- Mills (E. J.) und Muter (J.), **85**: Absorption von Brom durch verschiedene Harze, Elemente, Oele u. s. w. 2188.
- Mills (E. J.) und Pettigrow, **83**: Einfluss von Calciumcarbonat und Calciumsulfat auf das Weichen der Gerste 1743 f.; Analyse von Burtoner Wasser, Gerste gegen Wasser 1744.
- Mills (E. J.) und Pratt (J. W.), **79**: Einwirkung wasserfreier Oxyde auf Kaliumcarbonat 179.
- Mills (E. J.) und Rennie (A. G.), **84**: Färben von Wolle mit essigsaurem Rosanilin 1850.
- Mills (E. J.) und Stevenson (J.), **82**: Verhalten von Kaliumchlorat gegen Mangansuperoxyd 290.
- Mills (E. J.) und Takamine (Jokichi), **83**: Absorption von Säuren und Alkalien durch Seide, Schafwolle und Baumwolle 1784.
- Mills (E. J.) und Thomsen (G.), **79**: Rosanilin gegen Seide 1159.
- Mills (E. J.) und Walton (T. U.), **79**: Einfluss der schwefelsauren Alkalien auf die Ammoniakbildung 209.
- Mills (E. J.) und Wilson (D.), **78**: Einwirkung von Wolframsäure, Kieselsäure und Titansäure auf kohlensaures Kalium bei hohen Temperaturen 192.
- Mills (J.) und Akitt (Th.), **84**: Bestimmung von Oelen und Fetten 1668.
- Mills (Wesley), **85**: Bestimmung der Oxalsäure im Harn 1993.
- Milone (H.), **85**: Untersuchung von salicyls. Salzen 1476 f.
- Mingioli (E.), **81**: Drupa des Olivenbaumes 1018.
- Minkowski, **85**: Erkennung von  $\beta$ -Oxybuttersäure im diabetischen Harn 1993 f.
- Minkowski (C.), **85**: Kohlensäuregehalt des arteriellen Blutes beim Fieber 1832.
- Minkowski (O.), **83**: Spaltungen im Thierkörper 1440 f.
- 84**: Vorkommen von  $\beta$ -Oxybuttersäure im diabetischen Harn 1503 f.
- 86**: Synthese von Fett aus Fettsäuren 1832; Einfluss der Leberextraktion auf den Stoffwechsel 1835.
- Miquel und Benoist (L.), **81**: Filtrierung von Bacterien 1143.
- Miquel (P.), **77**: Sulfocycansäure, Rhodanbutyryl 332; Siliciumrhodanat 336; Acetylnaphtyl- und Acetylpara-kresylthioharnstoff 351.
- 78**: Organismen in der Luft 1026 f.; Gährung sterilen Weinmostes an freier Luft 1027; organisirtes Harnferment in der Luft 1035.
- 79**: Asparagingährung 1015 f.; Ferment in Wässern, Harnstoffanaerobie 1016.
- 80**: Bacteriensporen 1137 f.
- 84**: Ermittlung der kleinsten Mengen verschiedener antiseptisch wirkender Körper für 1 Liter Bouillon 1525 f.
- Miron und Bruneau, **82**: künstliche Kalkspath- und Witheritkrystalle 1532 f.
- Miropoljskaja (A.), **85**: Nachweis von Quecksilber in Handels-Schwefelsäure 2062.
- Mitchell, siehe McCrae.
- Mitchinson, siehe Heesen.
- Mitscherlich (A.), **77**: Verbrennungspunkt 1032.
- 78**: Verbrennungspunkt von Gasen 115.
- 79**: Cellulose aus Holz 1150.
- 84**: Herstellung von Zellstoff 1832.
- Mitscherlich (E.), **78**: Fäulnis 1026.
- Mittelstrafs (Gebr.), **80**: optischer Milchprüfer 1244.
- Mittenzwey (O.), siehe Schmitt (R.).
- Mixer (E. W.), siehe Dyer (J. O.).
- Mixer (W. G.), **77**: Aldehydammoniak gegen Silbernitrat (Aethylidenimidargentonitrate) 432.
- 78**: über Aethylidenaminsilbernitrat 438.
- 79**: Aethylidensilbersulfat 402.
- 80**: Synthese des Wassers 222; Apparat zur Schwefelbestimmung im Leuchtgase 1242.
- 81**: Dampfdichte von Ammonverbindungen 49 bis 51; Bestimmung des Schwefels 1166.
- 82**: Bildung von Harnstoff aus Kohlensäure und Ammoniak 381;

Bestimmung des Schwefels in organischen Verbindungen 1266 f.

**83:** Reduction von Nitroverbindungen in alkoholischer Lösung mit Zink und Ammoniak: p-Azooxyacetanilid 774 f.; m-Azooxybenzanilid 775; Azooxybenzolid 775 f.

**84:** Reduction des Benzoyl-o-nitranilids 691.

**86:** saure Salze der Propion- und Buttersäure 1314 f.; siehe Matthiessen (C. H.), siehe Osborn (T. B.).

Moberg (E.), **82:** Augitanalyse 1555. Moddermann (R. S. Tj.), **77:** Chloroform gegen Fehling'sche Lösung 398; Arsennachweis 1047; Bieruntersuchung 1086.

**82:** krystallisiertes Schwefelsäurehydrat, Reinigung der Schwefelsäure 227 f.

Moddermann (Tj.), **78:** spezifisches Volum und chemische Structur 29.

Modlen (R.), **80:** Chiosterpentin 1083.

Möckel (R.), siehe Link (A.).

Möhl (H.), **77:** Olivin 1364.

Möhlau (R.), **79:** o-Azophenetol und o-Diamidodiphenetol, Dioxydiamidodiphenyl 466 f.

**81:** Acetophenonbromid gegen Anilin (Acetophenonanilid) 455 f.; Phenylisoindol 456.

**82:** Bromacetophenon gegen Anilin: Diphenyl-diisoindol 620; Paranitrile, Dinitrodiiphenyl-diisoindol, Diamidodiphenyl-diisoindol 621 f.; Diphenyl-diisoindolazotribrombenzol, Diphenyl-diisoindolazodibromphenol, Diphenyl-diisoindolazobenzolsulfosäure; Diphenyl-diisoindol gegen Tribromdiazobenzolchlorhydrat 622, gegen p-Diazodibromphenol 622 f., gegen Diazosulfanilsäure 623 f.; p-Diazodibromphenol 623; Diamidodiphenyl-diisoindol 624; Darstellung von Bromacetophenon 763; Bromacetophenon gegen Phenole: Acetophenonphenyläther, Acetophenon-p-nitrophenyläther 763 f.; Acetophenonanilid und Salze, Acetyl- und Benzoylacetophenonanilid 764; Nitrosoacetophenonanilid, Nitrosoacetophenonnitrilid, Acetophenonnitrilid, Acetophenondinitranilid 765.

**83:** indophenolartige Farbstoffe und Indophenole 837 bis 841; Indanile, Chinonphenolimid, Dibromchinonchlorimid 838; Dibromchinon-

phenolnatriimid 839; Dibromchinonphenolimid 839 f.; Constitution mehrerer Farbstoffe 840 f.; Induline 841; orange und blaue Farbstoffe: Nitrosoderivate der tertiären aromatischen Basen gegen Salzsäure, Rubifuscin, blauer Farbstoff aus Rubifuscin 1800; Herstellung von Diazokörpern aus primären aromatischen Aminen 1809; Methylenweiß aus Methylenblau, Methylenblau und Dimethylanilingrün aus salzsaurem Nitrosodimethylanilin 1820; Methylenblau aus Dimethylanilingrün 1821.

**84:** Untersuchung des Chlorzinkdoppelsalzes des Methylenweißen, Constitution des Methylenweißen und Methylenblau 780; neue Darstellungsmethode des Helianthins (Dimethylamidoazobenzolsulfos.Natrium) 1333 f.; Dimethylamidoazobenzolazotoluolsulfosäure, p-Monoamidotoluolsulfosäure 1334.

**85:** Bildungsweisen und Derivate des Diphenyl-diisoindols (Diphenylpseudoamphiphenacylnitrils) 630 f.; Untersuchung der Indophenole und Indoaniline 1280 bis 1282; Phenolblau 1280; Chinonphenolimid, „Naphtolblau 1281 f.; Darstellung der Chlorhydrate von Dimethyl-p-phenylen-diamin, Monochlordimethyl-p-phenylen-diamin und Dichlordimethyl-p-phenylen-diamin 2083.

**86:** Einwirkung concentrirter Salzsäure auf p-Nitrosodimethylanilinchlorhydrat: p-Dichlor-p-phenylen-diamin 826; Dimethyl-p-phenylen-diamin 826 f.; Derivate des Methylenblauen, Dimethyl-di-p-chlor-p-phenylen-diamin 827; Acridin aus Anilin und Salicylaldehyd resp. p-Oxybenzaldehyd oder Benzaldehyd 893 f.; Nitrosophenolunterchlorisäureäther 1235 f.; Benzidinazofarbstoffe 2201; siehe Schmitt (R.).

Möller (G.), **86:** Schätzung des Schwefelgehaltes im Roheisen: Wirkung des Kohlenstoffgehaltes 1912.

Möller (H.), **80:** Cyanamidderivate der Bernsteinsäure 793 f.; siehe Drechsel (E.).

Moeller (J.), **80:** afrikanische Oel-samen 1067; Mogdad-Kaffee 1070.

**81:** Gerben mit Bassoragalle 1324.

Möller (K.), **80:** Pyrometer 1241.

Möller (V. v.), **77:** Platinite 1303.

- Möller (W.), **80**: Anhydridgehalt der rauchenden Schwefelsäure 1288.
- Moer (van der), **86**: Verhalten des Thebains gegen die Alkalisalze organischer Säuren 1707.
- Mörner (C. Th.), **86**: Nährwerth einer essbarer Pilze 1813 f.
- Mörner (K. A. H.), **86**: Farbstoffe melanotischer Geschwülste 1847 f.
- Möslinger, siehe Halenke.
- Mohr (C.), **80**: Titrirung der Phosphorsäure in Rohphosphaten und Superphosphaten 1158 f.
- 82**: Titrirung von phosphorsaurem Ammonium-Magnesium 1273 f.
- 84**: Untersuchung von Superphosphaten 1576 f.; Bestimmung von Stickstoff in Nitraten und Düngermischungen 1611 f.
- Mohr (Ch.), **79**: Eriodyction californicum 935 f.
- Mohr (F.), **77**: alkalimetrische Phosphorsäurebestimmung 1043.
- Mohr (Fr.), **78**: Anziehungskraft oder Gravitation 23; Stoff zu den Urmaßen und Urgewichten 1095.
- 79**: Cohäsion und ihre chemische Bedeutung 20.
- Mohr (G.), **83**: Derivate der Benzylmonosulfosäure: Mononitrobenzylmonosulfosäuren 1271; Mononitrobenzylmonosulfosäurechlorid 1271 f.; p-Mononitrobenzylmonosulfosäureamid 1272; p-Monoamidobenzylmonosulfosäure und Salze 1272 f.; p-Oxybenzylmonosulfosäure, p-Monobrombenzylmonosulfosäure, p-Monobrombenzylmonosulfosäurechlorid, p-Oxyäthylbenzylmonosulfosäure 1273; p-Azobenzylmonosulfosäure 1274; Dinitrobenzylmonosulfosäure 1274 f.; Monoamidomononitrobenzylmonosulfosäure und Salze, Diamidobenzylmonosulfosäure 1275; Nichtdarstellbarkeit der Monoamidobenzylthiosulfosäure 1276.
- Mohr (P.), siehe Willgerodt (C.).
- Moine (F.), **86**: Verhalten der Senföle und des Thiosinamins gegen zweibasische Säuren und deren Anhydride: Allylphtalimid, Allylsuccinimid, Phenylsuccinimid 558; Allylcampfersäureimid 559.
- Moissan (H.), **77**: Eisenoxyde 262.
- 78**: Darstellung und Eigenschaften zweier allotropischer Modificationen des Magnetisens 264 f.
- 79**: durch Wasserstoff reducirtes Eisen 247; Amalgame 304 f.; Schlamm der Zuckerfabriken 1136.
- 80**: Metalloxyde der Eisengruppe 305 f.; Chromsulfide und -selenide 311 f.
- 81**: Chromoxydulverbindungen 226 ff.; Chromocyankalium 319.
- 82**: Chromoxydulsalze 305.
- 83**: durch Einwirkung der Chromsäure aus Wasserstoffhyperoxyd entstehende blaue Verbindung 373 bis 375.
- 84**: Zersetzung von Phosphortrifluorid durch den Inductionsfunken 272 f.; Darstellung, Eigenschaften und Verhalten des Phosphortrifluorids 360 ff.; Arsentrifluorid 365; Reinigung der käuflichen Chromsäure, Bildung von Chromsäurehydrat 401 f.
- 85**: neue Darstellungsweise des Phosphortrifluorids und Verbindungen 440 ff.; Darstellung und Eigenschaften des Phosphorpentafluorids, Phosphorfluobromid 442 f.; Chromsäure und Chromsäureanhydrid, Chromoxychlorid 522; Chromocyankalium 588.
- 86**: Elektrolyse von wasserfreier Flußsäure und von Fluorwasserstoff-Fluorkalium 276 f.; Phosphorpenta- und oxyfluorid 362 f.; Einwirkung der Phosphorfluoride auf erhitztes Platin 363 f.; siehe Etard (A.).
- Moitessier (A.), siehe Engel (R.).
- Moitessier (A.) und Engel (R.), **78**: Dissociation des Chloralhydrates 118.
- 80**: Dissociationsspannungen des Chloralhydrates und Dampfspannungen des wasserfreien Chlorals 142.
- Mojsisovics (E. v.), **80**: Geologie von Bosnien-Herzegowina 1503.
- 81**: Kieselstein 1357.
- Moldenhauer (C.), **77**: Cyankalium 1077.
- Moleschott (J.), **79**: Wassergehalt von menschlichen Horngeweben 880.
- Molisch (H.), **81**: Ablagerung von kohlen. Kalk im Stamme dicotyler Holzgewächse 1007.
- 86**: Nachweis von Zucker in pflanzlichen Geweben und im Harn 1971; Nachweis von Kohlehydraten, Glycosiden, Pflanzenfasern durch  $\alpha$ -Naphthol oder Thymol 2172.
- Moll (J. W.), **77**: Assimilation des Kohlenstoffes 924.
- 84**: mikrochemische Reaction auf Tannin 1627 f.



- Mollenda (A.), **82**: Bestimmung der löslichen Phosphorsäure in Superphosphaten 1428 f.
- 83**: Titrimethode zur Bestimmung der Phosphorsäure in den Superphosphaten 1544 f.
- Mollins (J. de), **80**: Ueberführung der Nitrate in Ammoniak 266 f.; Salpetersäure und salpêtrige Säure, Bestimmung 1157; Auswaschvorrichtung, Schnellfiltriren 1245.
- Molloy (B. Ch.), **84**: Apparat zur Ausscheidung von Gold und Silber aus ihren Erzen 1718.
- Molnár (F.), **84**: Pipettbürette 1688.
- 86**: Entzündungstemperatur des Phosphors 342; Saugapparat 2010.
- Molon (de), **79**: neuer Dünger 1127.
- 81**: Torf 1408.
- Mols (F.), **78**: Colchicin 913.
- Moltschanowsky (N.), **82**: Darstellung von Azoxybenzol, Hydrazobenzol 600.
- 83**: Azoxybenzol 791.
- 86**: Einwirkung von Ozon auf Azobenzol 1030.
- Mouaco (E.), siehe Mattiolo (E.).
- Monari (Ad.), **84**: Darstellung von Doppelsalzen des Pyridins mit Salzen von Schwermetallen 629; Darstellung von Pyridinbasen aus Aethylalkohol und Ammoniak 924.
- 85**: Darstellung von Sulfosäuren und sulfos. Salzen 1564 bis 1567; Propylendisulfosäure 1564; Trimethylenendisulfosäure, Äthylenyltrisulfosäure 1565; Hydroxyäthylenidisulfosäure 1566; Methylendisulfos. Baryum und Natrium, Äthylenidisulfosäure 1567.
- 86**: Darstellung neuer Sulfosäuren durch Einwirkung von Ammoniumsulfid auf gechlorte und gebromte Derivate von Kohlenwasserstoffen der Fettreihe 1534.
- Moncel (Th. du), **77**: Leitung lebender Bäume, von mittelmäßig leitenden Körpern 159.
- 80**: Thermostrome bei Flüssigkeiten 161; Prioritätsanspruch in Bezug auf die Edison'sche Lampe 163.
- 83**: Inductionsströme 209.
- Monckhoven (van), **77**: ultraviolette Gasspectren 182.
- 80**: photographisches Photometer 197.
- Monckhoven (D. van), **82**: Spectra der Metalloide 179; Verbreiterung der Spectrallinien des Wasserstoffes 181 f.
- Mond (L.), **83**: Gewinnung von Cyanverbindungen und Ammoniak 1684 f.; Herstellung der Hyperoxyde der alkalischen Erden und des Wasserstoffes 1694 f.
- 84**: Darstellung von Salzsäure 1720.
- 85**: Ursprung des Ammoniaksoda-processes 2075.
- Mond (L.) und Jarmay (G.), **85**: Reinigung des Natriumdicarbonates 2076.
- Mondesir (P. de), **80**: Dampfspannung 50 f.; Einfluss des Schmelzens auf die Dampfspannung 51.
- Monger (R.), **81**: Analyse kupferhaltiger Blenden 1194.
- Monier (E.), **77**: Kieselsäure 238.
- 78**: Darstellung durchsichtiger Kieselsäure, die mit dem Hydrophan übereinstimmt 227.
- Monneins (J. Th.), **83**: Anwendung von Weinsäure (Weinstein) beim Schnellgerbverfahren 1780.
- Monnet (P.), **85**: Azofarbstoff aus salzsaurem m-Phenylendiamin und diazotirtem p-Phenylendiamin 2231.
- 86**: Darstellung brauner und blauschwarzer Farbstoffe aus aromatischen Aminen 2188.
- Monnet (P.) und Reverdin (Fr.), **77**: Chlormethyl 398.
- Monnet (P.), Reverdin (F.) und Nölting (E.), **78**: Untersuchung der Anwendbarkeit der Farbstoffe aus methylirten Anilinen und Toluidinen, Darstellung der methylirten Aniline und Toluidine 469 f.; Methyl-anilingrün und Hofmannviolett 1181 f.
- 79**: m-Nitrotoluol 395; methylirte Aniline und Toluidine 430; Naphtochinon aus Dimethylnaphtylamin 441 f.; m-Toluidin bei der Fuchsinbereitung 1159.
- 80**: Dimethylnaphtylamin, Naphtylamin, Oxydation 557.
- Monnier, **77**: Kupfergewinnung 1118.
- Monnier (D.), **81**: Apparat zur Bestimmung des Harnstoffes 1235; Methanometer 1236.
- 82**: Filtrirvorrichtungen 1347.
- 84**: neue Form der Serivanowschen Säule 238.

- Monnier (D.) und Vogt (C.), **82**: künstliche Darstellung von organischen Formelementen 1184 f.
- Mons, siehe Tamine (R.).
- Montanus, siehe Schäfer.
- Montblanc (C. de) und Gaulard (L.), **80**: Ammoniak-Sodaproceß 1292.
- Montgolfier (J. de), **77**: Borneole, Camphen aus Campher 637; Patchoulcampher 639, 959; Camphinsäure 799; Phoronsäure 800.
- 78**: Einwirkung von Natrium auf Chlorwasserstoff-Terpentinöl 390; Camphinsäure 647 f.; Oxycamphinsäure, Phoronsäure, Camphoronsäure, Camphersäureanhydrid, Einwirkung von Chlorzink auf Campher 648 f.; Laurol, Campholsäure 649 f.; Bromderivate des Camphers, Isomerieverhältnisse der Borneole und Campher 650.
- 80**: Terpendervative 451.
- Montgolfier (J. de) und Giraud (E.), **79**: Verhalten von Alkoholbromiden und -jodiden 482; Beziehungen zwischen Campher und Camphol 563 f.; Terpentindichlorhydrat gegen Natrium, Terpilenhydrat, Derivate 575 f.; Camphinsäure, Camphen 724.
- Montholon (F. de), siehe Naudin (L.).
- Montlaur (A. de), **80**: Pyrogallol in der Färberei 1375.
- 83**: Färben von Wolle mit Coerulein 1786.
- 85**: Wollfärberei 2216.
- Montonari (G.), siehe Riatti (V.).
- Moon (M.), **84**: Verhältniß der spezifischen Wärme der Luft bei constantem Druck zu derjenigen bei constantem Volum 183.
- Moore (A. G.), **81**: Schlamm aus Wasserleitungsröhren (von Cincinnati) 1261; Wasserversorgung von Cincinnati 1443.
- Moore (G. E.), **78**: Hetairit 1217.
- Moore (G. E.) und Zepharovich (V. v.), **85**: Kalait in Pseudomorphosen nach Apatit 2298 f.
- Moore (R. W.), **84**: Butterverfälschungen mittelst Mischungen aus Oleomargarin und Cocosnufsöl 1677.
- 85**: Untersuchung von Oelen und Fetten nach Hübl 1967 f.; Butteruntersuchung 1968.
- Moore (Th.), **81**: Eisen von Kobalt und Nickel 1187.
- 84**: Trennung von Zink und Nickel 1600.
- 85**: Analyse des Neusilbers 1939 f.
- 86**: elektrolytische Abscheidung und Trennung der Metalle: Aluminium, Kobalt, Nickel, Zink, Mangan, Cadmium; Wismuth, Zinn 1895 f.; Trennung von Nickel und Eisen, Bestimmung des Nickels 1938.
- Moore (Th.) und Smith (Ch. S.), **83**: Kalkpatronen 1704.
- Morandini (L.), Manetti (L.) und Musso (G.), **79**: Heuanalysen 1123 f.
- Morawski (Th.), **78**: Citramalsäure 721 f.; Analyse des Freieslebenits und Diaphoritis 1209.
- 80**: Bleiglyceride 607 f.; Glycerinkitt 1313 f.
- 82**: Glycerinbestimmung 1310; siehe Demski (H.); siehe Stingl (J.).
- Morawski (Th.) und Demski (H.), **85**: Bestimmung des Gehaltes von Oelen an unverseifbaren Fetten, Mineral- oder Harzölen 2181 f.; Abhängigkeit der Güte von Kerseifen von ihrer „Spinntemperatur“ 2187 f.
- Morawski (Th.) und Stingl (J.), **77**: Manganerze (Pailomelane) 1281.
- 78**: über die bei der Oxydation mit übermangansaurem Kalium entstehenden Manganverbindungen 275 f.; volumetrische Bestimmung des Mangans 1061; Braunsteinbestimmung 1062.
- Morax (V.), **86**: Einwirkung einiger Antiseptica auf die Darmfäulnis 1860.
- Moreau (Arm.), **79**: Wirkung des Natrium- und Magnesiumsulfats im Thiere 992.
- Moreaux, siehe Adrian.
- Morel, siehe Herran.
- Morel und Plicque, **78**: Selen- und Tellurultramarin 1178.
- Morel (Ch.), **77**: Vierfach-Chlorkohlenstoff 398.
- Morel (J.), **78**: Coniferenharze 983.
- 79**: Coniferenharze 947.
- 85**: Krystallform des  $\beta$ -Monochlorbromcamphers 1658; siehe Caze-neuve (P.); siehe Klein (D.).
- Morel (T.), **79**: künstliches und natürliches Ultramarin 1155.
- Morelle, siehe Lescœur.

- Morelli, 81:** piemonter Quellwässer 1448.
- Moren (H.), 77:** Inaktivität des nicht reduzierenden Zuckers 1195.
- Morfit (C.), 78:** Conservirung von Nahrungsmitteln 1144.
- Morgan (Ch. H.), 82:** Anwendung von Kochsalz bei der Herstellung von Eisen- und Stahldraht 1373.
- Morgan (J. M.), 84:** o-Nitrozimmtsäurederivate 1242 ff.; o-Nitrophenylbrommilchsäure, o-Nitrophenyloxyacrylsäure 1243.
- Morgan (Th.), 85:** Holzdestillation im Westen Englands und in Süd-Wales 2191.
- Morgan (Th. M.), 77:** Indol aus Carbostyrol, Carbostyrol aus Ortho-nitrozimmtsäure, Orthoamidophenylglycerinsäure 788; Apparat zur Gasanalyse 1096.
- 81:** Wirkung von Stickstoffoxydverbindungen auf Glas 1278.
- Morgen, 84:** Stickstoffbestimmungsmethode von Kjeldahl 1610.
- Morgen (A.), 80:** Fäulnis von Horn und Leder 1329 f.
- 81:** Azotometer 1234; Bindungsvermögen von Salzen für Ammoniak in Düngern 1291 ff.
- 84:** Stickstoffverlust faulender, organischer, stickstoffhaltiger Substanzen 1520 f.
- 86:** Modification der Kjeldahlschen Stickstoffbestimmungsmethode 1954; siehe Behrend (P.); siehe Fleischmann (W.).
- Morgenroth (E.) und Stolze (F.), 85:** Füllmassen zur Füllung der Doppelwandungen von Stubenöfen 2163 f.
- Morges (F.), 78:** thermische Beobachtungen bezüglich der Chromsäure und deren Salze 93; elektrolytische Untersuchung der Chromverbindungen 151 f.
- Morghen (A.), 84:** Absorptionsspectrum von Joddampf 297.
- Mori (A.), 82:** erste Producte der Pflanzenassimilation, Formaldehyd aus Kohlensäure 1143.
- Mori (J.), 81:** Natriumalaun 1373.
- Moriarta (D. C.), 82:** Prüfung von Pankreatin 1340.
- Moride (E.), 80:** Nutricin 1118.
- Morin (H.), 78:** Saccharose 918 f.; Verhalten des Rohrzuckers bei 100° 1147.
- 80:** Gelose 1009 f., 1059.
- 81:** ätherisches Oel von Likari kanali 1026 f.
- 82:** ätherisches Oel von Likari kanali: Likaren 1181.
- 85:** Bildung eines ammoniakhaltigen Doppelsalzes des Cadmiumnitrits 544.
- Morisot, 80:** Ermittlung der specifischen Wärme und Leitungsfähigkeit der Körper 97.
- Moritz (E.), 81:** Homologe der Pyrotraubensäure (Isobutyryl-, Butyrylameisensäure) 722; siehe Claisen (L.).
- Moritz (J.), 80:** Schwefeln der Trauben 1326 f.
- 83:** Bestimmung des Endpunktes der Titirung mit Fehling'scher Lösung 1617; Weinanalysen 1628; Analysen von Beeren-Obstwein 1629, 1741.
- Moriya (M.), 81:** Menthol (Pfeffermünzcampher) 629.
- Moriz (M.), 79:** Wirkung von Gelsemium sempervirens 998.
- Morley (E. W.), 79:** wechselnder Sauerstoffgehalt der Atmosphäre 208.
- 81:** Luftuntersuchung 1175; Apparate für Sauerstoffbestimmung, für Gasanalysen 1231.
- 82:** Sauerstoffgehalt der atmosphärischen Luft 1140; Reductionstabellen der Gasvolumina 2158; Apparate zur Bestimmung des Sauerstoffgehaltes der Luft, für Gasanalysen 1347; Thermometer für Gasanalysen 1349.
- 85:** Feuchtigkeitsgehalt von Gasen 58 f.
- 86:** Verhalten von concentrirter Schwefelsäure gegen Gase 1899 ff.
- Morley (F.), 82:** Oxypropyl-p-toluidin aus p-Toluidin und Propylenoxyd 535 f.
- Morley (G. H.), 80:** Propylneurin 523.
- Morley (H. F.), 78:** Versuche an Grove's Gasbatterie 140.
- 79:** Nitrosoderivate von Mono- und Diäthylendiphenyldiamin 447 f.
- 80:** methyilirte Dioxäthylenamine 518; Isopropylnneurin 606.
- 82:** Verhalten des Oxypropyltrimethylammoniumhydrates 481.
- 84:** Berechnung der Bildungswärme organischer Verbindungen

- den Elementen 210; siehe Claisen (L.); siehe Wurster (C.).
- Morley (H. F.) und Green (A. G.), **84**: Einwirkung von Zinkäthyl auf Benzoësäure-Propylenchlorhydrin 932 ff.; Propylenäthylphenylketat 933.
- 85**: Constitution von Propylenchlorhydrin 1171; Einwirkung von Zinkäthyl auf Benzoësäure-Propylenchlorhydrin, Verhalten von Propylenoxyd beim Erhitzen mit Aceton 1172.
- Morley (H. F.) und Saint (W. J.), **83**: Thiooxalsäureäther 1046 f.
- Moro (G.), siehe Michler (W.).
- Morrell (T.), **80**: Kaliumbestimmung 1173 f.; Umwandlung des Kupfersulfids in Oxyd 1193; Alkoholbestimmung 1206; Bessemer-Gase 1252.
- 83**: Gasgebläselampe 1655; Bestimmung des Eisens 1674.
- Morris (G. H.), **80**:  $\alpha$ -Methyloxybernsteinsäure 813 f.
- 82**: Methylpropylallylenglycol aus Harzessenz 1177 f.; siehe Brown (H. T.).
- Morris (J.), **82**: Einfluss der Masse auf chemische Umsetzungen 5 ff.
- 83**: Herstellung von Aluminium 1664.
- Morrison (J.), **83**: säurebeständige Ziegelsteine 1711.
- Morse (H. N.), **78**: Reduction von o- und p-Nitrophenol 550 f.
- 80**: Baryumbestimmung 1176; Differentiallampe 1361.
- 85**: Bestimmung des Gehaltes von Zinkstaub 1938; Destillation von Quecksilber 2003; Apparat zum Ablesen von Gasvolumen 2006.
- Morse (H. N.) und Day (W. C.), **81**: Bestimmung des Chroms im Chrom-eisenstein 1184.
- Morse (H. N.) und Keiser (E. H.), **84**: Apparat zur Bestimmung der Aequivalentgewichte 1689.
- Morse (H. N.) und Linn (A. F.), **86**: Titration der Salpetersäure 1917 f.
- Morse (H. N.) und Remsen (Ira), **78**: Bromirung von p-Aethyltoluol 420.
- Morton (C.), **84**: Krystallform von Stephanit 1910.
- 86**: krystallographische Untersuchung von Didymverbindungen 402.
- Morton (H.), **77**: Thallen 1219.
- 79**: Purpurin 550.
- 80**: Absorptionsspectrum von Purpurin 212.
- 81**: elektrische Beleuchtung 1316.
- 82**: Feuergefährlichkeit des elektrischen Lichtes 1461.
- Morton (H.) und Geyer (W.), **80**: Phenanthrensulfosäure 932.
- Morton (H.), Mayer (A.) und Thomas (B. F.), **80**: Messungen an Edison's Lampe 162.
- Moser (H.), **86**: Erzeugung der Jodidbeschläge bei der Lëthroanalyse 1891.
- Moser (J.), **77**: Wirkungssphäre der Molekularkräfte 30; Torricelli'sche Leere 67; Entstehung galvanischer Ströme 153; Spectren chemischer Verbindungen 183; *Dioscorea edulis* 947.
- 78**: Bestimmung geringer Dampfspannungen, von Salzlösungen 53, 54.
- 85**: Bestimmung der Ueberführungszahlen der Ionen 246 f.
- 86**: Konzentrationsströme (elektromotorische Verdünnungsconstante von Salzlösungen) 263 f.; siehe Claus (A.).
- Moser (K.), **78**: Pelagosit 1221.
- Moses (W. E.), siehe Naves (W. A.).
- Moss (E. L.), **78**: arctisches Seewasser und Eis 27.
- Moss (J.), **85**: Campher im japanischen Campheröl 1821.
- Mosso (A.), **86**: physiologische Wirkung des Saccharins 2075 f.; siehe Guareschi (J.).
- Mosso (H.), **86**: physiologische Wirkung des Saccharins 2075 f.
- Most (C. G.), **80**: Jod gegen Phosphortrichlorid 275.
- Moszenk (O.), **86**: Aufnahmefähigkeit der Knochenkohle für Farbstoffe 2126.
- Moth (H. A.), **80**: Aluminiumverbindungen gegen Verdauung 1120; Thierkohle gegen Zuckersäfte 1348.
- Motte (H. de la), **79**: Phosphorchlorid gegen zuckersaures Kali 667.
- Mouchot (A.), **80**: Benutzung der Sonnenwärme Algiers 1249 f.
- Moulton (C. W.), **85**: Bestimmung der Nitate bei der Wasseranalyse 1911.
- Mourriët, siehe Richet (Ch.).
- Mourson (J.), siehe Heckel (Ed.).
- Mourson (J.) und Schlagdenhauffen (F.), **82**: Untersuchung der Flüssigkeit aus dem Innern von *Strongylocentrotus* und *Toxopneustes lividus*, Untersuchung der Flüssigkeit der Hidatiden- und Cysticercus-Cy-

- sten, der menschlichen Amniosflüssigkeit 1229.
- Moussette, **83**: Brotgährung 1505.
- Moutard-Martin (R.), siehe Richet (Ch.).
- Moutard-Martin (R.) und Richet (Ch.), **79**: Polyurie, Glycosurie, Azoturie, erzeugt durch Zuckerinjectionen 989.
- 80**: Zucker- und Gummiinjectionen, Harnsecretionen 1122.
- Moutier (J.), **81**: Dampfension 56; Diffusion von Gasen 69; Einfluss eines fremden Gases bei der Dissociation 1137.
- 83**: über die chemischen Reactionen in Capillarräumen 10.
- Mouton, **79**: Dispersion von Quarz 152.
- 80**: Intensität des Sonnenspectrums 195.
- Moyret (M.), **82**: Bleicherei mit schwefliger Säure 1474.
- 83**: Bleichen der thierischen Fasern 1783 f.
- Mratschkowsky, **78**: Gehalt des Bluteserums der Grasfresser an Dinatriumphosphat 998.
- Muchall (Th.), siehe Claus (A.).
- Muck, **78**: Pandemit 1220.
- Muck (F.), **80**: Magnesiabestimmung 1175 f.; Aschenbestimmungen 1201; Sulfatallophan 1473.
- 81**: Aschengehalt der Steinkohle und Coaks 1176.
- 83**: Bestimmung von Chlor in Flüssigkeiten, welche organische Substanzen und Schwefelverbindungen enthalten 1592 f.; Gewinnung von Baryum- und Strontiumverbindungen 1695.
- 84**: Darstellung von Natriumchlorat 1733 f.
- 86**: Entwicklung der Steinkohlenchemie, Schwefelgehalt der Steinkohle 2151.
- Mudie Spence (Fr.), siehe Spence (P.).
- Mügge (F.), **79**: Jodsalicylsäure aus  $\alpha$ -Nitrosalicylsäure 681.
- Mügge (O.), **79**: p-Mononitrobenzolmagnesium 393; p-Bromacetanilid 415; p-o-Dibromacetanilid 415 f.; Bromacetanilid 598 f.; Phenol-m-brombenzoat 676; p-nitrobenzoesaures Magnesium 678; Anissäure 683; Toluol-o-sulfamid 756.
- 80**: Krystallmessung aromatischer Verbindungen 375 f.
- 81**: Oligoklas 1403.
- 82**: Krystallformen von Greenockit 1523, von Zinnober 1523 f.; Krystallformen am Weisbleierz 1586.
- 83**: Gleitflächen am Antimon-glanz, Wismuthglanz und Auripigment 1832; die Structurflächen am Kalkspath und ihre Beziehungen zur Zwillingbildung 1852; Gewinnung künstlicher Zwillinge am Anhydrit 1854; Gleitflächennatur von OP am Cyanit 1872; die Gesteine der Azoren (Trachyt, Andesit, Basalt) 1930.
- 84**: Isomorphie von Thenardit und Glaserit 1933 f.
- 86**: künstliche Zwillinge von Antimon und Wismuth 2223; Spaltbarkeit von Bleiglanz 2231; Flächenveränderung durch secundäre Zwillingbildung (Korund, Eisenglanz, Rutil) 2236; Verhalten von Anhydrit gegen Druck 2251; künstliche Zwillinge von Diopsid 2279; Untersuchung von Gesteinen des Massailandes 2324.
- Mühe (J.), **86**: Prüfung des Jodkaliums 1910 f.; siehe Otto (R.).
- Mühlberg (E.), **83**: spec. Gewicht von Chlorstrontium 51.
- Mühlhäuser (O.), **80**: o-Anisidin 634 f.
- 81**: o-Anisidin und Derivate: Mononitroacet-o-anisid, Dinitroacet-o-anisid, Benzoyl-o-anisid, Monomethyl-o-anisidin, Dimethyl-o-anisidin 543; Trimethylanisylammoniumjodür, Nitrodimethylhydrochinon, Amidodimethylhydrochinon 544; o-Monoamidophenetol und Derivate (Di- und Tribrom-o-amidophenetol, Di- und Tribromdiazophenetol), Di- und Tribromphenetol 545.
- 83**: blaue Farbstoffe aus Substitutionsproducten secundärer und tertiärer aromatischer Amine 1799.
- 85**: Trennung der isomeren Mono-, Di- oder Trisulfosäuren des  $\beta$ -Naphthols 2100.
- 86**: Fabrikation des Methylenblaues 2193; siehe Hell (C.).
- Müllenhoff (K.), **84**: Anwesenheit von Ameisensäure im Honig 1671.
- Müllenhoff (R.), **85**: Bildungswärme von Schwefeleisen 201.
- Mueller (von), siehe Witstein.
- Müller (A.), **77**: Nitrification durch Fermente 1029; Apparat zur Boden-

analyse 1101; Kohlenoxydvergiftung bei Luftheizung 1211.

**79:** Xerometer zur Messung der Verdunstungsgeschwindigkeit 60; Trockenrückstand bei Wasseranalysen 1026; Salpeterbildung 1108.

**81:** Milchanalyse 1224.

**83:** Isonitrososäuren:  $\gamma$ -Isonitrosovaleriansäure, Isonitrosophenylessigsäure; Benzoylcyanid gegen Hydroxylamin; Dibenzhydroxamsäure 1023; Isonitrosophenylessigsäure-Dimethyläther aus Isonitrosophenylessigsäure-Methyläther 1024 f.; Dioxyweinsäure gegen Hydroxylamin: Diisonitrosobernsteinsäure 1088 f.

**84:** Isolirung der fremden Basen im käuflichen Methylamin 601 f.; Abscheidung von Monoamylamin 602.

**85:** Wirkung der Kohlensäure auf Chlorkalium bei Gegenwart der Carbonate von Ammoniak und Aminen 24 ff.; Bildungswärmen von Ammonsalzen in verdünnten Lösungen 164 f.; Verbrennungswärme einiger Amine 198 f.; Verhalten von Tetramethylammoniumsalzen gegen Alkalisalze bei gewöhnlicher Temperatur 787.

**86:** pyrogene Zersetzung der Amine der Fettreihe 687 f.; Einwirkung von Acetessigäther auf Hydroazobenzol: Monophenylchinizin 1035 f.; Bereitung einer haltbaren Stärkelösung 1896; refractometrische Butteranalyse, Löslichkeit der Fette in Alkohol 2001; Bakusin 2157; siehe Meyer (V.); siehe Schultz (G.); siehe Wagener (H.); siehe Zimmermann (J.).

Müller (A.) und Fischer (F.), **78:** Unschädlichmachung städtischer Abflusswasser 1116.

Müller (A.) und Jakobs, **78:** Türkischrothmordant 1193.

Müller (Albert), siehe Zimmermann (J.).

Müller (Alex), **80:** Werthschätzung des Dachkupfers 1266; Spüljauche 1338.

**81:** städtische Abfallstoffe 1299.

**82:** Selbstreinigung und Nitrification von Schmutzwässern 1434.

**85:** Harnghährung, Studium der Spüljauche 1863; Einfluß von Kaliumchlorat und Bleinitrat, Schwefel-, Salpeter-, Salz- und Chromsäure, Oxalsäure, Essigsäure, Schwefelsäure, Chlorkalk, Kaliumpermanganat,

Schwefelkohlenstoff, Chloroform, Alkohol, Aether, Schimmelbildung auf die Harnghährung 1864; Verarbeitung von Blut auf Dünger 2127 f.; Selbstreinigung von Schmutzwässern 2132.

Müller (A. R.), **86:** Titration des Tannins mit Brechweinsteinlösung 1968.

Müller (C.), **81:** Apparat zur Bestimmung des Phosphors in der Hochofenschlacke 1234; Phosphor in Hochofenschlacken 1247.

Müller (C. G.), **78:** Bessemerproceß 1100 f.

Müller (C. L.), **82:** Zimmtsäure gegen Salpetersäure: o- und p-Mononitrozimmtsäure; deren Aether gegen Brom: o- und p-Mononitrophenyldibrompropionsäureäther; dieselben gegen Kali: isomere p-Nitrobromzimmtsäuren, o- und p-Nitrophenylpropionsäuren, o- und p-Nitrophenylacetylen 941 ff.; Indigblau aus o-Nitrophenylpropionsäure 943 f.; siehe Erlennmeyer (E.).

Müller (C. O.), **86:** Eiweißbildung in der Pflanze 1803.

Müller (E.), **82:** Abhängigkeit des Wassergehaltes der Faserstoffe von dem Feuchtigkeitsgehalte der Luft 1468 f.; siehe Meyer (R.).

Müller (F.), **77:** Isodibromanthracen 420.

**84:** Untersuchung über den Koth der Fleischfresser 1477; Analyse von Gasen aus Stahl 1708.

Müller (F. v.) u. Rummel (L.), **78:** Alkaloide aus *Alstonia constricta* 893 f.; Alstonin 969.

**79:** Alstonin 827 f.

Müller (F. v.) u. Rummel (Z.), **80:** Gastrolobin 1032.

Müller (F. C. G.), **77:** Temperatur des Wasserdampfes 56, 57.

**78:** signalisirendes und selbstregistrirendes Gefäßbarometer 1095.

**79:** Gase im Stahl 1093; Bessemerproceß 1095.

**81:** Gaseinschlüsse im Stahl und Roheisen 1245 f.

**85:** Tiegelstahlproceß zur Herstellung von Edelmetall 2026 f.

**86:** Thermometer mit Schwefelsäure 318 f.; Vorlesungsgalvanometer, Apparat zur Demonstration der constanten galvanischen Ketten 319.

- Müller (F. E.), 82:** Contactgesteine zwischen Thonschiefer und Granit vom Hennberg 1591 f.
- Müller (F. H. S.), 79:** Toluolsulfosäuren 753 f.
- Müller (G.), 85:** Darstellung von Benzenylamidoximcarbonsäuren: Benzenylamidoxim-p-carbonsäure-Aethyläther und Benzenylamidoxim-p-carbonsäure 1483.
- 86:** Einfluss der Temperatur auf die Brechung des Lichtes 289; Darstellung der Benzenylamidoxim-p-carbonsäure 1106 f.; Azoximderivate derselben: Benzenylazoximäthylen- und -benzenyl-p-carbonsäure 1107; Benzenylazoximpropenyl-p-benzenyl- $\omega$ -propenyldicarbonsäure 1107 f.; m-Cyanbenzoesäure-Aethyläther 1108; Benzenylazoximderivate aus Benzenylamidoxim-m-carbonsäure 1108 f.; Phthalimidoxim aus o-Cyanbenzoesäureäther (Benzenylamidoxim-o-carbonsäure) 1109 f.; Bestimmung von Oxyhämoglobin im Blute 2007.
- Müller (H.), 77:** Pflanzenfaser 1221.
- 83:** Süßwerden der Kartoffeln 1623.
- 84:** Darstellung substituierter Indigotine aus Benzaldehyd 1863.
- 85:** Darstellung von Kaliumsulfat 2071 f.; Chlorindigo aus m-Chlor-o-nitrobenzaldehyd und Aceton 2242.
- 86:** Benzenylanilidoxim und Derivate 1100 f.; Benzenylphenylimidoximcarbonyl 1101; siehe Claus (A.); siehe Rue (Warren de la).
- Müller (H.) und Pauly (C.), 79:** Darstellung von Kaliumnitrit 235.
- Müller (H. W.),** siehe Rue (Warren de la).
- Müller (Hugo), 80:** Thonerde aus Thonen 1281.
- Müller (J. R.), 77:** Mineralien gegen kohlen säurehaltiges Wasser 1249.
- Müller (L.), 77:** Bleichen des Papierstoffes 1224.
- Müller (L.) und Kircher (G.), 82:** Trennung der Halogenmetalle 1264.
- Müller (M.), 83:** Aetzintinte für Glas (Fluorwasserstoff - Fluorammonium) 1707.
- 84:** Goldpurpurverbindungen 455 bis 458.
- 85:** Goldpurpur 2219.
- Müller (Max), 80:** Blei und Kupfer in Gläsern und Emailen 1190; Glas, Färbungen 1314 f.
- Müller (O.),** siehe Anschütz (R.); siehe Schultz (G.).
- Müller (P.), 78:** Fermente, die das Verderben von Bier bedingen 1035; Gährung der Bierwürze 1157 f.; siehe Merz (V.).
- Müller (P. A.), 83:** Verhältniße der specifischen Wärmen von Gasen und Dämpfen 137 f.
- Müller (P. Fr.),** siehe Claus (Ad.).
- Müller (R.), 81:** Angelicaöl 1025.
- Müller (R.) und Böckel (H.), 80:** Gewinnung des Broms und Jods 1277.
- Müller (W.), 79:** Nachweis des Traubenzuckers 1087.
- 82:** Verhalten von Kreatinin gegen alkalische Kupferlösung 381; Verhalten der Harnsäure gegen Kupferlösung 395; Verhalten des Harnes gegen Kupferoxyd und Alkali 1215.
- 85:** Ausscheidung des Zuckers im Harn: Stärke, Lävulose, Milchzucker, Rohrzucker, Traubenzucker und ihr Einfluss auf die Zuckerausscheidung im Harn 1841.
- Müller (W.) und Geisenberger (E.), 80:** Ammoniakfabrikation 1278.
- 81:** Ammoniak aus Nitraten und Nitriten 1259.
- Müller (W. H. Max),** siehe Tie mann (F.).
- Müller (Worm), 82:** Darstellung und Titrirung von Traubenzucker 1120 f.; Harnsäure, Kreatinin gegen alkalische Kupferlösungen 1305; Zuckerbestimmung im Harn 1346.
- Müller (X.), 84:** Siliciumbronze 1715.
- Müller-Erzbach (W.), 78:** Entziehung von an Chlorcalcium gebundenem Wasser durch Aetznatron 15.
- 79:** Raumvergleichung und chemische Anziehung 21; Anfangstemperatur der Reduction der Oxyde 178 f.; brennender Phosphordampf als Ursache des Leuchtens 224.
- 80:** Volumverhältnisse und Verwandtschaft einiger Haloïdsalze 14.
- 81:** Affinität von Metallen zu Sauerstoff 21 f.; Volumverhältnisse bei der Bildung und Umsetzung von Sauerstoffsalzen (Affinität) 51; Verdichtung bei der Bildung von Haloïdsalzen 52; Spannkraft des Wasserdampfes bei hygroskopischen Substanzen 56; Contraction und Bildungswärme von Haloïdsalzen 1107.

- 82:** Verwandtschaft von Metallen in den Fluorsiliciumverbindungen 7 f.; Verwandtschaft von Phosphor zu den Metallen 8.
- 83:** Dichte und Verwandtschaft allotropischer Modificationen von Elementen, Verwandtschaft von selen. und chroms. Salzen, von Metalloiden 27; Bildungswärme isomerer Körper 154.
- 84:** Beziehungen zwischen Schmelzpunkt und Contractiou von Metall-Haloidsalzen, chemische Verwandtschaft für Metalle in ihren Salzreihen nach den Dichtigkeitsverhältnissen 16; Dampfspannungen wasserhaltiger Salze 131 f.; Dampfspannungen und Verwandtschaft 132; Dissociationsspannung wasserhaltiger Salze 229 f.
- 85:** Wirkung der Molekularkraft der Adhäsion 7 ff.; Bestimmung der relativen Dampfspannung für Wasser, Lösungen und Oxydhydrate 74; Versuche über die Dissociation wasserhaltiger Salze 213 ff.; Reductionstemperatur des durch Fällung erhaltenen Eisenoxides 372 f.
- 86:** Absorptionskraft von festen Körpern für Dämpfe 87 f.; Temperatur und Absorptionskraft 89 f.; Affinität des Wasserdampfes 90; Constitution und Dampfspannung wasserhaltiger Salze 145 f.; Dissociation des Kupfervitriols 238.
- Müller-Jacobs (A.), **82:** Darstellung fester Fettsäuren: Oxyoleinsäure für Türkischrothfärberei 1436 f.; türkischrothe Farblacke und -pulver 1510 f.
- 84:** Beizen mit Thonerde (Zinnoxid) und Türkischrothöl 1841; Untersuchung von Türkischrothöl 1844 f.
- 85:** Anwendung der Sulfoleate zur Herstellung von Desinfectionsmitteln 2134 f.
- 86:** Anwendung der Sulfoleate und Sulfricinoleate in der Gerberei 2176 f.
- Müller-Thurgau (H.), **80:** Ort der Eiweißbildung 1052.
- Münchmeyer (F.), **86:** Verhalten von Diketonen gegen Hydroxylamin: Dibutylrylmonoxim 857 f.; Terephthalphenondioxim 858; Isophthalphenondioxim 858 f.; Einwirkung von Hydroxylamin auf Diacetbernsteinsäure-Aethyläther, auf Terephthalyläthyl 859, auf Tetramethyldiamidobenzo-
- phenon 860; Verhalten verschiedener Diketone gegen Hydroxylamin (Ketoxime) 1656 f.; Aethylterephthalyl 1657; siehe Meyer (V.).
- Müncke (A.), **84:** Apparat zur Kohlensäureentwicklung 1691.
- Muencke (R.), **77:** Gaslampe, Aspirator 1099; Verbrennungsofen 1100.
- 78:** Bürettenträger, Klemmen, Gebläselampen 1096.
- 79:** Gebläselampe 1085; Verbrennungsofen 1087.
- 80:** Orsat'scher Apparat für Rauchgasanalyse 1240; Quetschhähne 1242; Dampf-Injectoren, Trockenapparat 1245.
- 81:** Gasbrenner 1237.
- 84:** Doppelaspirator, Glasstopfen als Verschluss von U-förmigen Absorptionsröhren 1686; Bürettenthalter 1688; Apparat zur volumetrischen Bestimmung der Kohlensäure 1691.
- 85:** modificirter Bunsenbrenner 1999; Druckkessel 2003.
- 86:** Extractionsapparat 2011; siehe Petri (J.).
- Münster, **77:** Hüttenabfallproducte 1128.
- Münster (F.), **78:** Verdampfungsversuche mit Kohlensorten 1168.
- Müntz (A.), **77:** Schimmelpilz, Umwandlung von Tannin in Gallussäure 1180.
- 78:** Synanthrose im Roggensen 946 f.; Gährung in Pflanzen 1016 f.
- 80:** Mästung 1086.
- 83:** Bestimmung von Schwefelkohlenstoff im Sulfocarbonat 1556.
- 85:** Verwandlung der Jodmetalle in Jodate bei der Salpeterbildung 357; Umwandlung von Bromiden in Bromate durch Mikroorganismen, Umwandlung broms. Salze in Bromide, jods. Salze in Jodide und chlors. Salze in Chloride durch Mikroorganismen 1874; siehe auch Müntz (A.); siehe Schlösing (Th.).
- Müntz (A.) und Aubin (E.), **77:** Mannite 535.
- 82:** Kohlensäuregehalt der Luft am Cap Horn 1281.
- 83:** Ursprung des gebundenen Stickstoffes auf der Erdoberfläche 1386; Bestimmungen des Kohlensäuregehaltes der Luft an verschiedenen Punkten der Erde 1555.
- 84:** brennbare Kohlenstoffverbindungen in der Atmosphäre 369; Be-



- stimmung des Kohlensäuregehaltes der Luft 1587.
- Müntz (Th.) und Schlösing (A.), **77**: Salpeterbildung 227.
- Münzel, **81**: Butter 1224.
- Münzer (H.), siehe Richter (V. v.).
- Müseler, **83**: Sicherheitslampe 1654.
- Muhlert, **86**: Verhalten der Ketone der Thiophenreihe gegen Schwefelsäure 1180.
- Muhlert (F.), **85**: Darstellung der  $\gamma$ -Thiophensäure 1877 f.;  $\gamma$ -Tribromthiolen gegen Salpetersäure 1378.
- 86**: Diäthylthiophen 1187 f.; Acetodiäthylthiänon, Diäthylthiänylacetoxim 1188; Methylthiophensulfosäure und Derivate 1541 f.; siehe Meyer (V.).
- Muir (M. M. P.), **77**: chemische Theorie 19; chemische Affinität 27; Gallium 253; Salzlösungen gegen Blei 271; Wismuthverbindungen 280; Wismuthreaction und -bestimmung 1047, 1048; Calciumsulfat 1153; Silber 1258; Pyrolusit 1279.
- 78**: Wismuthverbindungen 293 f.; volumetrische Bestimmung des Wismuths 1068.
- 79**: chemische Affinität 21; Einflüsse auf chemische Umsetzungen 21 f.
- 80**: Einfluß der Temperatur auf die Zersetzung von Chlorbaryum durch oxalsaures Kalium 10; chemisches Gleichgewicht 10 f.; *Salvia officinalis* 1080.
- Muir (M. M. P.) und Slater (Ch.), **80**: Einfluß des Verdünnungswassers auf chemische Umsetzungen 10.
- Muir (M. M. P.) und Sigiura (S.), **77**: Oel von *Salvia officinalis* 957.
- 78**: ätherisches Oel von *Salvia officinalis* 980.
- Muir (M. P.) und Robbs (C. E.), **82**: Einwirkung der Schwefelsäure auf Zink 288 f.; Untersuchung der Einwirkung von Schwefelsäure auf Zinn 341.
- Muir (M. Pattison), siehe Pattison Muir (M.).
- Muir (P.), **78**: Schwefelbromide 210.
- 82**: Vorlesungsversuch: Einwirkung des Wassers auf Wismuthjodid zur Demonstrirung des Einflusses der Zeit, der Temperatur und der Masse auf chemische Wirkungen 215 f.
- Muir (P.), Hoffmeister (G. B.) und Robbs (C. E.), **81**: Oxyde, Hydrate und Haloïdverbindungen des Wismuths 275 ff.
- Muirhead und Clark (Latimer), **78**: Elektromotorische Kräfte zweier als Normalelemente empfohlener Elemente 134.
- Muhlenberg (N. H.) und Drown (Th. M.), **82**: Phosphorbestimmung im Eisen 1289.
- Mulder (E.), **78**: Cyanessigsäurederivate und Malonsäurederivate 352 f.
- 79**: Barbitursäurederivate 351 f.; Thiouramidobarbitursäure 353 f.
- 81**: Uramil gegen Brom 342 f.
- 83**: Oxydation der arsenigen Säure 331; normale Cyanursäure und deren Aethyläther 472 f.; Leitungsvermögen der Nerven 1427.
- 84**: Ozonometer 330 f.; Eigenschaften der Cyansäure, Formel für das feste Bromcyan und Chlorcyan 476 f.
- 85**: Zersetzungsgeschwindigkeit des Ozons 68; Schmelzpunkt des Bromcyans 586; Verhalten des normalen Aethylcyanurats gegen Natronlauge und Salzsäure: Diäthylcyanursäure 605 f.; Verbindung von Aethylcyanurat mit Bromcyan 606.
- 86**: Untersuchung des (polymeren) Cyanbromids 513; Cyanursäure-Aethyläther aus Cychlorid und Natriumalkoholat 526; Verhalten von Bromcyan gegen Aethylalkohol 1165 f.
- Mulder (E.) und Bremer (G. J. W.), **78**: Einwirkung von Unterchlorigsäureanhydrid auf Aethylen 371.
- Mulder (E.) und Hamburger (H. J.), **82**: dibrombernsteinsaures Natrium gegen Natrium: monobromäthyläpfelsaures Natrium 850; Halogenbestimmungen organischer Verbindungen 1305.
- Mulder (E.) und Meulen (G. H. L. van der), **81**: Weinsäureäthyläther gegen Zinkäthyl 889.
- 82**: thermochemische Untersuchungen des Ozons 124; Verhalten des Ozons gegen Platinmoor 223 f.
- Muller, siehe Ortlieb.
- Munier (J.), **82**: Butteruntersuchung 1341; siehe Hecht (O.).
- Munk (J.), **77**: Spaltung verschiedener Körper durch Fermente 1024.
- 78**: Bildung von Harnstoff aus Salmiak im thierischen Organismus 992; Sulfocyanwasserstoffsäure im

- Harn 1001; Bestimmung des Rhodanatriums im Speichel 1091 f.
- 79:** Harn nach Gebrauch von Rheum und Santonin 985.
- 80:** Glycerin im Organismus 1086 f.; Resorption der Fettsäuren 1095.
- 81:** Phenol im Harn 1051.
- 83:** Synthese von neutralem Fett aus Fettsäuren im Thierkörper 1448.
- 85:** thierisches Gummi im Magensaft und die Fettresorption 1229.
- Munn (C. A. Mac), **85:** Farbstoffe der Actinien: Actinohämatin; Farbstoff aus *Sargattia parasitica*, Bili-verdin, Chlorofucin 1796; Untersuchung des Enterochlorophylls 1846; siehe Mac Munn (C. A.).
- Munro (J. M. H.), **84:** Untersuchung der Asche der Erdbeeren 1453 f.
- 85:** Bestimmung der Phosphorsäure in Handelsproducten 1915; Untersuchung einer Prairieerde 2120; Dungwerth von Spüljaucheschlamm 2134.
- 86:** Chlorkalium als Pflanzengift, Pflanzenelemente 1805; Bildung und Zerstörung von Nitraten und Nitriten in künstlichen Salzlösungen (im Boden), sowie in Fluß- und Brunnensäuren 2092 bis 2095; Analyse von Embolit (Chlorbromsilber) 2244.
- Munroe (Ch. E.), **77:** Manganbestimmung 1061.
- 84:** freiwillige Zersetzung von Sprenggelatine 1748; Prüfung von Schießpulver 1749.
- 86:** Literatur der Explosivstoffe 12, 2076.
- Munroe (E.), **77:** Condensator 1098.
- Munsell (C. E.), siehe Chandler (C. F.).
- Muntz (A.), **81:** Alkohol in der Luft, im Regenwasser, Flußwasser und Erdboden 1284.
- 82:** Galactin aus Leguminosenfrüchten, Galactose aus Galactin 1125; Galactin aus Leguminosensamen 1151 f.
- 86:** Bildung des Milchzuckers (Galactose) im thierischen Organismus 1809; siehe Marcano (V.); siehe auch Müntz (A.); siehe Schlössing (Th.).
- Muntz (A.) und Aubin (E.), **81:** Bestimmung der Kohlensäure in der Luft 1176.
- 82:** Kohlensäuregehalt der atmosphärischen Luft 1141; Ammoniak- und Salpetersäuregehalt der Luft 1141 f.
- 86:** Sauerstoffgehalt der Luft vom Cap Horn 1800 f.
- Muntz (A.) und Marcano (V.), **84:** Untersuchung von Perseit aus *Laurus persea* 943 f., 1405 f.
- 85:** Bildung der Salpetererden in Südamerika 2123.
- Muraoka (Hanichi), **81:** galvanisches Verhalten der Kohle 96.
- Murrie (J.), **85:** Thermometer für hohe Temperaturen 119, 1997; Gewinnung von bituminösen Gesteinen 2173.
- Musculus und Gruber, **78:** Einwirkung von Diastase oder verdünnter Schwefelsäure auf Stärke 924 f.
- Musculus und v. Mering, **77:** Speichel- und Pankreasferment 1024.
- 78:** Stärke und Glycogen 994.
- 79:** Diastase gegen Stärke 846; Zuckerbestimmung 1077.
- Musculus (A.) und Meyer (A.), **81:** Traubenzucker in Dextrin 985; Dialyse von Zuckerarten 986.
- Musculus (F.), **79:** Stärkevarietäten 835 f.
- 83:** Stärke und ihre Verwandlung unter dem Einflusse von Säuren 1366.
- Musculus (F.) und Amthor (C.), **82:** Analysen von Weißweinen 1332.
- Musgrave (B. N.), **82:** Bestimmung der salpetrigen Säure im Speichel 1232; Albitanalyse 1569.
- Muspratt (E. K.) und Eschellmann (G.), **84:** Darstellung von Kaliumchlorat 1731 f.
- Musset (F.), **84:** Modification der Gerbstoffbestimmung 1627.
- Musset (Fr.), **85:** Bestimmung von Weinstein und freier Weinsäure, Nachweis von Citronen-, Aepfel- und Bernsteinsäure im Wein 1974.
- Musso (G.), **77:** Pflanzen gegen Licht 197; Stickstoffbestimmungen 1037.
- 78:** Sulfate und Sulfoeyanide in der Milch 1145; siehe Manetti (L.); siehe Morandini (L.).
- Mustapha (Ibrahim), **79:** Kellin aus Ammi Visnaga 935.
- Muter, **78:** Nachweis fetter Oele im Copaivabalsam 1087.
- 85:** Methoden zur Wasseranalyse 1896; Untersuchung der Oele und

- Butter 1968; Methoden der Weinanalyse 1974; Verfahren der Milchanalyse 1987.
- Muter (J.), **79**: Cacaountersuchung 919; Untersuchung des Spiritus Aetheris Nitrosi 1065.
- 80**: Milchzuckerbestimmung 1214; Bohrzucker in der Milch 1233.
- 82**: Glycerinbestimmung 1310; siehe Mills (E. J.).
- Muter (J.) und Piesse (Ch. H.), **77**: Kupfer in Früchten 1091.
- Muter (M. A.), **77**: Olein von Margarin und Stearin 1081.
- Muth (M.), **85**: Leimen des Papiers mit Casein 2196.
- Muthmann (H. W.), **85**: Analyse von Feldspathbasalt 2310.
- Mutschler, **77**: Magnetkies 1262; Fahlerz 1268.
- Mutschler (L.), **78**: Analyse der Meerrettigwurzel 964 f.; siehe König (J.).
- Mylius (E.), **77**: künstliches Senföl 1157.
- 79**: Opiumprüfung 791 f.
- 80**: Zucker im Wasser 1148; Morphin im Opium 1229; Butterprüfung 1231.
- 81**: colorimetrische Bestimmung des Morphins 1208.
- 82**: Styrogenin aus Styrax 1184.
- 83**: Analyse von Succus Liquidariae 1622.
- 84**: Eigenschaften des Menthols im Handel 1622.
- 86**: Vorkommen von Arsen und Natriumthiosulfat im Natriumdicarbonat 2057 f.
- Mylius (F.), **84**: Darstellung von Sarkosinharnsäure, Bromsarkosinmesoharnsäure, Sarkosinmesoharnsäure, Eigenschaften, Salze 512 ff.; Verhalten des Sarkosins beim Schmelzen: Bildung von Dimethylamin 1095 f.; Sarkosinanhydrid 1096; Untersuchung und Derivate des Juglons 1448 f.
- 85**: Untersuchung des Oxyjuglons und anderer Abkömmlinge des Juglons (Oxynaphtochinons) 1282 bis 1284; Juglonkupfer, Dimethylamidjuglon, Dimethylamidhydrojuglon 1282; Oxyjuglon und Salze, Benzoyloxyjuglon, Anilidojuglon 1283;  $\alpha$ -Hydrojuglon gegen Kali, Constitution der Juglonverbindungen 1284; Pitzahoinensäure 1284 f.; Untersuchung des  $\alpha$ - und  $\beta$ -Hydrojuglons 1285 f.; Triacetyl- und Tribenzoyl- $\beta$ -Hydrojuglon 1286; Untersuchung der Pitzahoinensäure (des Perezons): Perezonoxim 1805; Methylamidoperezon, Anilidoperezon, Oxyperizon, Perezinon 1806; siehe Hofmann (A. W.).
- 86**: Verhalten des Hydrochinons gegen Ameisensäure (Hydrochinon-Ameisensäure und Hydrochinon-Ameisensäureanhydrid) 1267 ff.; Alkoholate des Conchinins (Chinidins) 1734 f.; Untersuchung der Cholsäure: Dehydrocholsäure, Biliansäure 1848 f.
- N.
- Naccari (A.), **86**: Ausdehnungscoefficient des Wassers zwischen 0 und 40° 41 f.
- Naccari (A.) und Bellati (M.), **77**: Einfluss der Magnetisirung auf die Wärmeleitungsfähigkeit des Eisens 101.
- 78**: Einfluss der Temperatur und Zusammensetzung auf die thermoelektrischen Eigenschaften einiger Legirungen 136.
- Naccari (A.) und Guglielmo (G.), **84**: Erwärmung der Elektroden durch den Inductionsfunkens 255 f.
- 85**: über die Erwärmung der Elektroden in stark verdünnter Luft 291 f.
- Naccari (A.) und Pagliani (S.), **80**: Absorption von Gasen in Flüssigkeiten 75 f.
- 82**: Maximaltension der Dämpfe von Flüssigkeiten 63 f.
- Naccari (E.) und Battelli (A.), **86**: Peltier'sches Phänomen in Flüssigkeiten 255, in Salzlösungen 255 f.
- Nachbaur (K.), **82**: Analyse der Embryonen von ungekeimtem Roggen 1161.
- Nadejdine (Nadejdin) (A.), **83**: kritische Temperaturen einiger Flüssigkeiten 134.
- 85**: Bestimmung der kritischen Temperatur in dunkeln Röhren (Differentialdensimeter) 158.
- Nadeschdin (A.), **85**: Bestimmung der specifischen Wärme von Flüssigkeiten 131.
- Naef (P.), **85**: Vorgänge in den Schwefelsäurekammern 2060 f.; Al-

- kaliverlust beim Eindampfen der Sodalaugen mittelst Rauchgase 2073; siehe Lunge (G.).
- Nägeli (C. v.) und Löw (O.), **78**: Zusammensetzung der Hefe 1027 f., 1158.
- 80**: Fettbildung bei niederen Pilzen 1048.
- Nägeli (E.), **83**: homologe Acetoxime; Mesityloxim 629; Phoronoxim 629 f.; Allylacetoxim, Suberoxim 630; Camphoroxim 630 f.; Monochlorglyoxim 631 f.; Isonitrosomethylisopropylketon, Methylisopropylketon (Amylenoxyd) 632; siehe Meyer (V.).
- 84**: Untersuchung von Camphoroximanhydrid 1064; siehe Schulze (C.); siehe Tiemann (F.).
- Nägeli (O.), **79**: Zusammensetzung der Hefe 1007.
- Nafzger (Fr.), **84**: Untersuchung der Säuren des Bienenwachses 1506 f.
- Nagai (N.), **78**: Diacet- $\alpha$ -homoprotocatechusäure 787 f.
- 86**: Peonol aus Paeonia Moutan 1823; siehe Tiemann (F.).
- Nagel, Trotha und Mehrle, **80**: Apparat zur Sättigung mit Kohlensäure unter Druck 1245.
- Nagel (A.), **80**: Styrolensulfocyanat 404 f.
- 83**: Styroidisulfocyanid und p-Nitrostyroidisulfocyanid 475 f.
- Nagel (R.), **82**: Neuerungen in der Bierbrauerei 1449.
- Nahemi Fränkel, siehe Fränkel (Nahemi).
- Nahnsen, siehe Meyer (V.).
- Nahnsen (M.), **80**: Kainit 1299.
- 83**: Verarbeitung des Kainits 1697.
- 85**: Reinigung von Abwässern 2133.
- 86**: Reinigen von Abwässern durch Schlackenmehl 2034.
- Nahnsen (R.), **84**: Darstellung von Dithiényl, Dithiénylmonosulfosäure 921 f.; Perbromdithiényl, Phenylthiophen 922; Darstellung von  $\beta$ -Thiophensäure 1135 ff.;  $\beta$ -Thiophensäurechlorid,  $\beta$ -Thiophensäure-Aethyläther 1136;  $\beta$ -Thiophensäureamid, Mononitro- $\beta$ -thiophensäure 1137.
- 85**: Verhalten von Dijodthiophen gegen Natrium und Chlorkohlensäureäther 1192.
- Nakamura (Teikichi), **79**: Schwefelbestimmung in Kohlen 1105.
- Napier jun. (J.), **80**: Schwefelsäure gegen Blei 328.
- Napolitano (M.), **83**: Salze der p-Kresolglycolsäure 1044.
- Nappendruk (K.), siehe Bikfalvi (K.).
- Naquet (A.), **79**: kritische Bemerkungen zu Brodie's „The Calculus of Chemical Operations“ 20.
- 83**: Verwendung von Schwefelwismuth als Haarfärbemittel 1787 f.
- Nares (G.), **78**: arctisches Seewasser und Eis 27.
- Narr (F.), **78**: Verhalten der Elektrizität in verdünnten Gasen 155 f.
- 82**: Verhalten der Elektrizität in Gasen 155.
- 84**: Eindringen der Elektrizität in Gase 255.
- 85**: Quecksilberluftpumpe 2002 f.
- Nasakine (N. de), **80**: Sonnenlicht gegen die Vegetation 1047.
- Nasini (R.), **81**: Drehungsvermögen von Parasantonid 144, 979.
- 82**: Atomrefraction des Schwefels in organischen und anorganischen Verbindungen 172.
- 83**: Atomrefraction des Schwefels 238; Dispersionsvermögen bei der Drehung der Polarisationssebene für mehrere organische Substanzen 256 f.; Drehungsvermögen der Photosantoninsäure 257.
- 84**: Doppelbindungen zwischen Kohlenstoff und Kohlenstoff (Brechungsvermögen von Zimmtalkohol und Naphtalinderivaten) 288; Beziehung der spezifischen und der Molekularrefraction zur Brühl'schen Regel 461.
- 85**: Dispersionsformeln und Formeln für die Refraktionsconstanten (Methylsalicylsäure) 306 f.; Atomrefraction des Schwefels (Triäthylsulfinjodid, Chlorthionyl) 307 f.; Erklärung der erhöhten Atomrefraction des Kohlenstoffs 313; siehe Bernheimer (O.); siehe Carnelutti (J.); siehe Paternò (E.).
- Nasini (R.) und Bernheimer (O.), **85**: Bestimmung der Molekularrefraction für Verbindungen des Kohlenstoffs 313 ff.
- Nasini (R.) und Scala (A.), **86**: Molekularrefraction der Sulfocyanate, Iosulfocyanate (Senföle), des Thiophens und einiger Derivate des Schwefelkohlenstoffs 294 ff.

- Nasse, **78**: Einwirkung von Invertin und Speichelferment auf Stärke 1034; schlagende Wetter 1168.
- Nasse (O.), **77**: Ptyalose 1024.
- 84**: neue Reaction auf Pyrogallol und Gallussäure (Jodpyrogallolreaction) 990.
- Natanson (Ed.) und (Lad.), **85**: über das Verhältniß K der beiden spec. Wärmen des Untersalpetersäuredampfes 221.
- 86**: Dissociation des Untersalpetersäuredampfes (Apparat) 233 bis 236.
- Natanson (S.), **80**: Nitrophenole 625; siehe Liebermann (O.).
- Natanson (S.) und Vortmann (G.), **77**: Phosphorzinn 277.
- Natterer (C.), **84**: Untersuchung von Dichloräthyläther 926 f.
- Natterer (K.), **82**: Monochloracetal gegen Säuren: Monochloraldehyd, Monochloraldehydhydrat 735 ff.
- 83**:  $\alpha$ - $\gamma$ -Dichlorcrotonaldehyd und Derivate (Butyraldehydverbindungen) 956 f.; Crotonylalkohol 957.
- 84**: Constitution des Chlorwasserstoffadditionsproductes von  $\alpha$ - $\gamma$ -Dichlorcrotonaldehyd und der Trichlorbuttersäure 1032 f.; Einwirkung von Zinkäthyl auf  $\alpha$ - $\gamma$ -Dichlorcrotonaldehyd 1033 f.
- 85**: Darstellung von Parachloraldehyd 1293 f.; Einwirkung von Zinkäthyl auf  $\alpha$ - $\gamma$ -Dichlorcrotonaldehyd 1296.
- Nauck, **86**: Synthese des Coniins 1688.
- Naudin (L.), **81**: Oel der Samen von *Archangelica officinalis* 1025; Alkohol 1304.
- 82**: Darstellung des Cymols aus Terpentinöl 415 f.; ätherisches Oel der Samen von *Archangelica officinalis*: Terebangelen 1179 f.; Herstellung von Parfüms und Essenzen 1465.
- 83**: Angelicawurzelöl, Terpen  $C_{10}H_{18}$  ( $\beta$ -Terebangelen) aus demselben 1423 f.; Reinigung von Rohspiritus durch Elektrolyse 1737; Extraction des Parfüms aus Pflanzen 1762.
- 84**: Darstellung von  $\beta$ -Octadecen (Anthemem) aus römischen Kamillen 526 f.
- 85**: Bleichverfahren 2204.
- Naudin (L.) und Bidet (A.), **83**: Elektrolyse des Chlornatriums 220 f.
- Naudin (L.) und Montholon (F. de), **77**: Zersetzung unlöslicher Carbonate durch Schwefelwasserstoff 1054.
- Nauen (O.), **84**: Darstellung von Triphenylmethylamin, Umwandlung in Triphenylcarbinol 747 f.
- Naumann (Alex.), **77**: Destillation nicht mischbarer Flüssigkeiten 59; Molekulargewichtsbestimmung 61; Zersetzung von Kalialaun 142.
- 78**: zwei Verfahren zur Dampfspannungsbestimmung 39, 40; Dampfspannung des Anthrachinons, des Toluols, des Nitrobenzols, des Aethylbenzols und des Naphthalins 40; Dissociation der Untersalpetersäure 120.
- 79**: Molekulargewicht und Dichte 12 f.; theilweise Destillation von Chloralhydrat 126 f.
- 80**: Dissociationsgang des Joddampfes 142 f.; Chlorbestimmung im Chloralhydrat 1207 f.
- 81**: Wassergas als Heizmaterial 1312.
- 84**: specifische Remission, Ausdruck der Abhängigkeit der Siedetemperatur vom Luftdruck 193 f.
- 85**: Kritik der Kahlbaum'schen „specifischen Remission“ 149; Dissociationsspannung des Ammoniumcarbamats 222.
- Naumann (Alex.) und Pistor (C.), **85**: Vorgänge beim Ueberleiten von Wasserdampf über glühende Kohlen (Reduction der Kohlensäure zu Kohlenoxyd) 454 ff.
- Naumann (O.), **78**: selbstthätiger Thermoregulator 1095.
- Nauwerck, **86**: Vorkommen eines Bacillus und zweier Mikrokokken in giftigen Würsten 1876.
- Naux und Dubreuil, **85**: Seife zum Waschen mit See- oder kalkhaltigem Wasser aus Palmöl 2186 f.
- Nawratil (A.), **78**: Gewinnung von Schwefel und Schwefelkohlenstoff in Swasowice 1118.
- 82**: galizische Erdöle 1458.
- 83**: fossiler Kautschuk aus dem Erdölbergwerk von Ropa 1767 f.
- Naves (W. A.) und Moses (W. E.), **85**: Verhalten von m-Mononitrotoluol gegen alkalisches Kaliumferri-cyanat 771 f.
- Naylor (W. A. H.), **79**: Bestimmung der arsenigen Säure 1040.

- 81:** *Omphalocarpum procera* (Omphalocarpin) 1022.
- 83:** Alkaloid aus *Hymenodictyon excelsum* 1414.
- 84:** Untersuchung von Hymenodictin 1397.
- 85:** Haltbarkeit kohlensäurehaltiger Getränke (Gingerbeer) 2154.
- Naylor (W. A. H.) und Braithwaite (J. O.), **82:** Reactionen und Bestimmung von Arsen 1276 f.
- Neale (A. T.), **80:** Azotoluolsulfosäuren 920 f.
- Needham (C. A.), **85:** photographischer Platinindruck 2261.
- Neesen, **80:** Calorimeter zur Bestimmung der specifischen Wärme 90.
- 82:** Thermostat 97.
- 83:** Rückgang des Quecksilberfadens beim Bunsen'schen Eis-calorimeter 115.
- Neesen (F.), **78:** Geißler's Quecksilberluftpumpe 1095.
- 79:** elastische Nachwirkung 89.
- 80:** Quecksilberluftpumpe 1241.
- 83:** specifische Wärme des Wassers 121; Quecksilberluftpumpe ohne Hahn 1653.
- 84:** Methode zur Bestimmung des Leitungswiderstandes von Elektrolyten 260; Einfluß der Magnetisirung auf das Leistungsvermögen des Eisenvitriols 260 f.
- Nef (J. U.), **85:** Darstellung von Derivaten der Durylsäure 1526 bis 1529: Durylsäure, Dinitrodurylsäure, Dinitropyromellithsäure 1526; Salze dieser Säure, Dinitropyromellithsäureäther, Azopyromellithsäureäther 1527; Diamidodurylsäure, Chinoncarbonsäure, Chinon der Durylsäure (Pseudocumolchinoncarbonsäure) 1528; Dioxydurylsäure 1529; Darstellung von Durochinon und von Diamidoduro 1869.
- 86:** Benzochinoncarbonsäuren: Durylsäure und Derivate 1414 f.; Mononitropseudocumolchinon 1415 f.; Methyl-p-dinitrotrimellithsäure, Derivate der Pyromellithsäure 1416 f.; p-Diketoexamethylentetracarbonsäure-Tetraäthyläther 1417 f.; siehe Kinnicutt (L. P.); siehe Königs (W.).
- Neff (P.), **79:** Diamantschwarz 1158.
- Nega (Julius), **84:** Quecksilbernachweis im Harn 1881.
- Nega (J.) und Wolff (A.), **86:** Nachweis kleiner Mengen Quecksilber im Harn 1947.
- Negri (A. de), **79:** Tabak 1143.
- Negri (A. und G. de), **77:** Farbstoff der *Velella limbosa* 1013.
- 78:** Quelle zu Casteggio 1311 f.
- 79:** Rubidin, rother Farbstoff 904.
- Negri (G. de), **84:** Arsentrichlorid 365; Vorkommen von Zucker in *Bassia latifolia* 1459.
- Negri (J. B.), **86:** Krystallform der Mononitrocuminsäure 1472.
- Neison (E.), siehe Tuson (R. V.).
- Nemes (G.), siehe Fleischer (A.).
- Neminar (E.), **77:** Myonit 1313.
- Nemirowsky, siehe Petrieff (M.).
- Nemirowsky (J.), **83:** Kohlensäure-Glycoläther 855.
- 85:** Darstellung von Monochloräthylchlorameisensäureäther (Monochloräthylenoxy-carbonylchlorid), Monochloräthylcarbaminsäureäther (Monochloräthylenoxy-carbonylamid) 1166; Monochloräthylphenylcarbaminsäureäther, Aethoxyloxy-carbonylphenylamin-Anhydrid, chlorwasserstoffsa. Monochloräthylphenylamin 1167.
- Nencki (M.), **77:** Monochloressigsäure gegen Sulfoeyansäure 332; Chloressigsäure gegen Rhodanverbindungen (Rhodanisäure) 679; Carbaminsulfoessigsäure, Toluylharnstoff 681; Skatol, Indol 1022.
- 78:** Verhalten des kohlensauren und schwefelsauren Guanidins 342; Darstellung von Guanidinkohlensäureäther und Guanolin 350; Identität der Carbaminsulfoessigsäure mit Carbaminthioglycolsäure 360; Darstellung von Milchsäuretrichloräthylidenäther 697; Einwirkung von Kali auf Eiweiß 934; Oxydation des Acetophenons im Thierkörper 992.
- 79:** Sauerstoff und Gährungsprozesse 1004; Skatol 1013.
- 80:** Skatol aus Gehirn 1106; Harnstoffbildung 1111 f.
- 81:** Oxydationen im Thierkörper 1033.
- 82:** Ameisensäure gegen Phenol, Kresol in Gegenwart von Chlorzink: Aurin, Kresolaurin 664 f.; Ameisensäure gegen Orcin in Gegenwart von Chlorzink: Orcinaurin, Leukaurin 665 f.; Oxalsäure gegen Phenol und Phosphoroxchlorid: Oxalsäure-Phenoläther 666; Kritik chemischer Arbeiten 794; basische Fäulnisproducte,

- Isophenyläthylamin 1192; Resorcin-farbstoffe 1495.
- 83:** Monochloressigsäure gegen kohlensaures Ammonium 1039.
- 84:** Darstellung des Eiweißes der Milzbrandbacillen, Anthraxprotein 1419 f.
- 86:** Spaltung der Säureester der Fettreihe und der aromatischen Verbindungen im Organismus und durch das Pankreas 1831; Parahämoglobin 1844; antiseptische Wirkung von Salol (Salicylsäure-Phenyläther) 1878; siehe Berdez (J.); siehe Lesnik (M.); siehe Lachowicz (Br.).
- Nencki (M.) und Bourquin, **84:** Rhodaninsäure, Verhalten, Salze und Derivate 484 f.
- Nencki (M.) und Giaccosa (P.), **79:** Spaltpilze in gesunden Organen 1014.
- 80:** Oxydation aromatischer Kohlenwasserstoffe im Thierkörper 1093; Oxydation des Benzols zu Phenol durch Ozon 1094.
- Nencki (M.) und Heyden (F. v.), **86:** Salole (Salicylsäure-Phenolester) 2069 f.
- Nencki (M.), Lichtheim und Luchsinger, **82:** Zulässigkeit gegypster Weine 1448.
- Nencki (M.) und Schaffer (F.), **78:** Einwirkung von Rhodanammonium auf Chloralhydrat 613.
- 79:** chemische Zusammensetzung der Fäulnisbakterien 1017 f.
- Nencki (M.) und Sieber (N.), **78:** Verhalten von Glycocoll gegen Guanidincarbonat in wässriger Lösung 347.
- 81:** Zersetzung des Traubenzuckers und der Harnsäure durch Alkalien 1032 f.
- 82:** Acetessigäther, Dibrombrenztraubensäure, Dibrombernsteinsäure gegen Schwefelbarnstoff (Methylacetylen-carbonsäure - Thioharnstoff) 383 f.; Sulfovinursäure 384; physiologische Oxydation 1195 ff.; organische Verbindungen in alkalischer Lösung gegen Sauerstoff 1195 f.; Vorgänge im Protoplasma 1196 f.; Traubenzucker und Milchsäure im Organismus der Diabetiker 1497 f.; Ursache des Diabetes mellitus, Untersuchung des Harns Leukämischer 1198; Uro-roscin, neuer Harnfarbstoff 1217 f.
- 83:** Messung der physiologischen Oxydation und Einfluß von Giften und Krankheiten auf dieselbe 1430 bis 1432.
- 84:** Untersuchungen über den Blutfarbstoff 1485 f.
- 85:** Untersuchung des Blutfarbstoffes: Verbindung des Hämins mit Amylalkohol, Hämatin, Hämoglobin und Parahämoglobin 1835.
- 86:** Hämoglobinkristalle aus venösem Blute 1844; Untersuchungen über Hämatin: Hämatoporphyrin 1845.
- Nencki (M.), Sieber (N.) und Schmid (W.), **81:** Phenole gegen Fettsäuren: Aurin, Resaurin (Direor-cinketon), Orcin gegen Ameisensäure, Oxyacetophenone 524; Farbstoff aus Phenol und Essigsäure, Resacetophenon, Mononitroresacetophenon 525; Amidoresacetophenon 526; Resacetein, Acetfluorescein 526 f.; Chinacetophenon, Gallacetophenon, Resorcin gegen Buttersäure, Succinylfluorescein 528; Tetrabromsuccinylfluorescein 529.
- Nepp, siehe Berg.
- Nernst (W.), siehe Ettingshausen (A. v.).
- Nerville (de), siehe Mascart.
- Nesbit (A.), **82:** Nachweis von Chlorkalk in Abfluswässern 1262.
- Nesbit (J.), **81:** Berberinsulfat 973 f.
- Nessig (W. R.), **83:** die jüngeren Eruptivgesteine des mittleren Elba (Granitporphyre, Euritporphyre, Quarzporphyre) 1927 f.
- Nefler, **77:** Schimmelbildung im Wein 1206.
- Nefler (A.) und Barth (M.), **84:** Untersuchung über Weinanalyse 1659 ff.
- Nefler (C.), **78:** Kelterung des Rothweins, Cementfässer zum Gähren des Mostes 1162.
- Nefaler (J.), **77:** Wein 1200.
- 78:** fremde Farbstoffe im Rothwein 1162.
- 79:** freie Weinsäure im Wein 1074 f.
- 80:** Kartoffelzucker bei der Weinbereitung 1017; Aufbewahren von Pflanzen 1048; Extractbestimmung im Wein 1223.
- 81:** gebrannte Wasser (Kirschwasser) 1220.
- 84:** Weinanalyse 1661.
- 86:** Werth badischer Torfe als Streu- und Düngemittel 2097.
- Nefler (J.) und Barth (M.), **82:** Weinanalyse 1327 ff.

- 83:** Untersuchung von Branntweinen, Bestimmung von Weingeist, Säure, Kalk, Kupfer und Blausäure in Fruchtbranntweinen 1624; Prüfung derselben auf Fäulöl und riechende Stoffe 1624 f.; Gehalt von Fruchtwassern an Weingeist, freier Säure, Blausäure, Kalk und Kupfer 1625; Beiträge zur Weinanalyse: Bestimmung der freien Weinsäure 1625 f.; Bestimmung des Zuckers, Prüfung auf Gummi oder Dextrin, Gerbstoff in Weißweinsaft 1626; Bestimmung des Glycerins in Süßweinen 1626 f.
- Nefeler (J.) und Volz (F.), **83:** Düngungsversuche für Tabak 1722. Netto (C.), siehe Wagener (G.).
- Neubauer (C.), **77:** Bestimmung der Dextrose neben Lävulose 1087; Wein 1091; Weinprober 1096; Amylin der Stärke 1198; Traubensaft 1200.
- 78:** Verkehr mit Nahrungsmitteln, Weinbehandlung 1161.
- Neubauer (C.) und Borgmann (E.), **78:** Nachweis von Glycerin im Wein 1090.
- Neubert (A.), **86:** Derivate des Phenäthylamins: Monophenyläthylthioharnstoff, Monophenyläthylglycolylthioharnstoff (Monophenyläthylsulfohydantoin), Diphenyläthylthioharnstoff 854; Phenyläthylsulfo-carbaminsäure, Phenyläthylsenföl, Phenyläthylallopansäure-Aethyläther 855; Diphenyläthylloxamid 855 f.
- Neubert (O.), siehe Kühn (G.).
- Neuenburg (M.), **85:** Filtrirapparate zur Reinigung des Trinkwassers 1898.
- Neugebauer (E.), **81:** Jodwismuth-Anilin 404; Jodwismuth-Dimethylanilin 404 f.
- Neugebauer (E. L.), **85:** Darstellung von Normal- $\gamma$ -oxyvaleriansäure-Aethyläther und Verhalten desselben gegen Ammoniak 1380 f.; Lävulinsäure-Aethyläther, Valerolacton, normal- $\gamma$ -oxyvalerians. Silberoxyd,  $\gamma$ -Oxyvaleramid 1381.
- Neuhöffer (G.), **85:** Verunreinigung von Wässern durch Gas- und Theerwässern 2312 f.; siehe Claus (A.).
- Neuhöffer (G.) und Schultz (G.), **77:** Dianilidomonochlorchinon, Chinonamine, Trichlorbinon, -phenol, Trichlor- und Tetrachlorhydrochinon 473.
- Neumann (A.), **84:** forensisch-chemischer Nachweis von Santonin 1645 f.
- Neumann (Ed.), **80:** Abfallwasser, Reinigung 1342.
- Neumann (G.), **85:** Doppelsalze des Eisenchlorids mit anderen Metallchloriden 499 f.; Darstellung von o-Nitrophenolbenzoat 1450; o-Nitrophenol-m-nitrobenzoat, o-p-Dinitrophenol-m-nitrobenzoat 1451; Apparate zur Extraction von Lösungen 2008.
- 86:** Mononitrophenolbenzoate und -nitrobenzoate 1428 f.; o-p- und m-p-Dinitrophenol-m-nitrobenzoat 1429.
- Neumann (J.), **81:** Wirkung der Borsäure 1061.
- 86:** Verhalten von Baryumsalzen im Organismus 1863 f.
- Neumann (K. O.), **86:** Untersuchung des Scheideschlammes der Melasse bei Verwendung saurer schweflig-saurer Verbindungen 2125 f.
- Neumayr (M.), **80:** Geologie von Bosnien-Herzegowina 1503.
- Neumeister (R.), **82:** Bromchloral; Chlorobromal gegen Salpetersäure: Dichlorbromessigsäure, Chlordibromessigsäure und Salze 816 ff.; siehe Jacobsen (O.).
- Nevile (R. H. C.) und Winther (A.), **79:** Orthotolylurethan 348 f.
- 80:** Bromtoluidine und Derivate 482 f.; Bromnitrotoluidine 485 f.; Dibromtoluole 486 f.; Tribromtoluole 490; Tetrabromtoluole 491 f.; Amidotoluolsulfosäure 916 f.
- 81:** Bromnitro- und Bromamidotoluole 392 f.; Dibrommononitrotoluole 394.
- 82:** isomere Mononitrokresole und Monoamidokresole, isomere Dioxymtoluole aus Mononitrotoluidinen 692 f.; Orcin aus m-Bromtoluidin-m-sulfosäure, aus m-Brom-m-toluidin, aus m-Dibromtoluol, aus m-Toluoldisulfosäure; o-Monoamidotoluoldisulfosäure, m-Monobrom-m-kresol aus Monobrom-m-toluidin 696.
- Nevolé (M.), **77:** Butylenglycol 532.
- Nevolé (M.) und Tscherniak (J.), **78:** Darstellung von Aethylencyanür 341 f.
- Newberry (J. S.), **79:** Ozokerit 1241.
- 83:** Ursprung des Bitumengehaltes alter Schichten Nordamerikas 1908.



- Newberry (S. B.), **84**: Untersuchung, Vorkommen von Nickelerzen: Rothnickelkies, Nickelblüthe 1940.
- Newbery (C.), **80**: Struvit, Hannayit, Newberyit 1434.
- Newbury (S. B.), **81**: Crotonaldehyd aus Aldol 598.
- 83**: Aldol und Crotonaldehyd 955 f.; Dichlorpseudobutylendibromid, Dibrombutyraldehyd 956.
- 85**: Zersetzung des Silberchlorids durch das Licht 345 f.
- 86**: Nichtexistenz von Silbersubchlorid 481 f.
- Newhall (F. S.), **86**: Aufarbeitung von Sodarückständen 2056.
- Newlands (J. A. R.), **78**: Atomgewichte der Elemente 8.
- 82**: periodisches Gesetz 21.
- 84**: periodisches Gesetz 45.
- Newton, **85**: Sodaentwickler in der Photographie 2256.
- Neyreneuf (V.), **83**: Apparat zur Demonstration des Einflusses des Gasniveaus auf die Leuchtkraft zweier Flammen 1655 f.
- Niaudet (A.), **79**: neues Element 134 f.
- Nichols (E. L.), **79**: Charakter und Intensität der von glühendem Platin ausgesandten Strahlen 157 f.
- 80**: optisches Verfahren zur Messung hoher Temperaturen 89; Bestimmung hoher Temperaturen 200.
- 82**: elektrischer Widerstand und Ausdehnung des glühenden Platins 149.
- 84**: spektroskopische Studien an Pigmenten 295 f.
- 86**: chemisches Verhalten des Eisens im Magnetfelde 287.
- Nichols (R.), **79**: Zerstörung lederner Büchereinbände 1152.
- Nichols (W. R.), **79**: Luft in Abzugscanülen 208 f.
- 80**: Wasseranalysen 1537; siehe Sedgwick (W. T.).
- Nichols (W. Ripley) und Allen (C. R.), **85**: Untersuchung des Sielwassers von Boston 2134.
- 86**: Untersuchung von Abwässern 2112.
- Nicholson (H. H.), siehe Mabery (Ch. F.).
- Nicholson (W. O.), siehe Carpenter (H. S.).
- Nickel (O.), **86**: Bestimmung der Oxalsäure im Harn 2005; siehe Salkowski (E.).
- Nickels (B.), **79**: Nachweis von Anthracen neben Anthrachinon 587.
- 80**: Anthracen, Nachweis 462; Spectrum des Anthracens und Chrysens 1208; Entdeckung von Baumwollensamenöl im Olivenöl 1228.
- 81**: Entfernung des Schwefelkohlenstoffs aus Benzol, Toluol u. s. w. 1272.
- 85**: Bestimmung der nicht nitrirbaren Substanzen im rohen Handelsbenzol 2190.
- Nickols (E. L.), **81**: elektrischer Widerstand und Ausdehnung von glühendem Platin 94; siehe Mackenzie.
- Nickols (E. L.) und Wheeler (A. W.), **81**: Ausdehnung von Gaslösungen 72.
- Nicol (W. J.), **81**: Chloralhydrat gegen Kaliumsulfhydrat 588.
- 84**: Bad für constante niedere Temperaturen 1684; siehe Letts (E. A.).
- Nicol (W. W. J.), **82**: Ausdehnungscoefficienten von Natriumsulfatlösungen 76 f.; Darstellung und Zersetzung des Thioformanilids 516.
- 83**: Volumveränderung beim Mischen von Salzlösungen 54 bis 56; Molekularvolum von Salzlösungen 56 bis 60; Lösung von Ammoniumsalzen (Contraction) 87 f.; Theorie der Salzlösungen (Molekülverbindungen) 89 f.; Modification von Sprengel's Röhren, Wasserbad von constanter Temperatur 1653.
- 84**: Molekularvolumina von Salzlösungen 84 bis 87; Gleichgewicht in Salzlösungen bei Wechselzeretzung 111 f.; Sättigung von Salzlösungen 112 bis 115; Pseudo- und wirkliche Lösungen 124; Siedepunkte von Salzlösungen 124 ff.
- 85**: Theorie der Salzlösungen 91; übersättigte Salzlösungen 91 ff.; Hydratisirung der Salze beim AuskrySTALLISIREN 93.
- 86**: Dampfdrucke des aus Salzlösungen aufsteigenden Wasserdampfes 93 bis 97; Sättigung von Salzlösungen 112; übersättigte Salzlösungen 113; Verhalten von krystallwasserhaltigen Salzen beim Lösen 147 f.
- Nicolajew (P.), **79**: Breunneritanalyse 1192.
- 82**: Analyse von Olivin 1547.

- 84:** Analyse von Wollastonit 1965, 1971 f.
- Nicolardot (V.), **81:** Wasserstoffzündmaschinen 1235.
- Nicolaysen (C.), siehe Claus (A.).
- Niederhäusern (H. v.), **82:** Diphenylenoxyd aus Phenylcalcium 657;  $\alpha$ - und  $\beta$ -Dinaphtylenoxyd aus  $\alpha$ - und  $\beta$ -Naphtylcalcium 657 f.; Natriumphenylat gegen metaphosphorsaures Natrium: Methylendiphenylenoxyd, Diphenyläther 658.
- Niederist (G.), **77:** Haloidverbindungen der Alkoholradicale gegen Wasser 397; Isopropylalkohol, Methyläthylsulfid, Disulfäthylmethan (Methylenmercaptid) 522; Trisulfäthylmethan (Methyltrimercaptid) 523.
- 79:** Haloidverbindungen der Alkoholradicale 382 f.; Bildung von Alkoholen aus den Haloidverbindungen durch Wasser 480 f.
- 83:** Trimethylenbromür gegen Wasser: Trimethylenglycol 855 f.; Trimethylenbromür gegen Ammoniak 856; Tetra(trimethylenpentamin)bromhydrat-Goldbromid, Tetramethylenpentaminbromhydrat 857; Constitution des Picamars, Picamarkalium 947.
- Niederstadt, **82:** Analyse von Kemmerich's Fleischextract 1188 f.
- 83:** Untersuchung von Wassergewächsen: Stratiotes aloides, Nymphaea alba, Nuphar luteum 1417; Untersuchung der Blütenblätter der weißen und rothen Rose 1418 f.; Verfälschung von Pfefferpulver mit Palmkuchennmehl 1631.
- 85:** Untersuchung der Blätter einiger Tabaksorten 1809.
- Niederstadt (B.), **85:** Untersuchung von Phosphat-Guano's (Ichaboe-, Saldanhabay-, Peru-, Mexilonen-, Aves-Guano) und von Curaçao-Phosphat, Ammoniakbestimmung 2127.
- Niederstadt (B. C.), **79:** Guano 1128 f.
- 81:** flüssiges Ochsenfleisch (Fleischextract) 1300.
- 86:** Untersuchung von Pfefferminzöl 1994.
- Niedner, **82:** Bestimmung der Trockenheit der Luft 1263.
- Niedringhaus (G. und F.), **78:** Emailiren von Eisenblechwaaren 1105.
- Niedzwiedzki (J.), **77:** Sylvin 1283.
- Niemann (A.), **77:** Cystinurie 1003.
- Niementowski (St.), **86:** Anhydroverbindungen 846 bis 849; Reduction des Dinitroacettoluids zu Diamidoacettoluid, Verhalten des letzteren gegen Salzsäure: Amidoäthylenyltoluylendiamin 847; Aethenyltriamidotoluol 847 f.; Einwirkung von Acetylchlorid auf Diamidoacettoluid: Acetyläthylenyltriamidotoluol 848 f.; Constitution des Aethenyltoluylendiamins, Mononitroäthylenyltoluylendiamin 849; siehe Kostanecki (St. v.).
- Niemeyer, **81:** Dimethylanhydrobenzodiamidotoluolderivate 446.
- Niemeyer (H.), **83:** Analyse des Glimmers aus dem Riesengranit von Geyer 1923.
- Niemeyer (M.), **85:** Verbindungen gechlorter Chinone mit m-Mononitroanilin und gechlorter Hydrochinone mit Anilin und Toluidin 1661 bis 1663; Monochlorchinon-m-Nitroanilin,  $\alpha$ -Dichlorchinon-m-Nitranilin,  $\beta$ -Dichlorchinon-m-Nitranilin, Trichlorchinon-m-Nitranilin, Tetrachlorchinon-m-Nitranilin, Monochlorhydrochinon-Dianilin und -Di-p-toluidin,  $\alpha$ -Dichlorhydrochinon-Dianilin und -Di-p-toluidin,  $\beta$ -Dichlorhydrochinon-Dianilin und -Di-p-toluidin 1661 f.; Trichlorhydrochinon-Anilin und -Dianilin, Tetrachlorhydrochinon-Anilin, Anilinderivate gechlorter Chinone: Dianilidochinon, Anilido- $\alpha$ -Dichlorchinon, Dianilido- $\alpha$ -Dichlorchinon 1662; Monoanilido- $\beta$ -Dichlorchinon, Dianilido-Chlorchinon 1662; Monoanilido-Trichlorchinon 1662 f.
- Niemilowicz (L.), **86:** cholinartige Verbindungen: Koprinchlorid aus Trimethylamin und Monochloraceton 690 f.; Sëpinchlorid und Apösepinchlorid aus Trimethylamin und Dichlorhydrin 691 ff.
- Niemöller, **84:** physikalische Eigenschaften chemischer Verbindungen 13.
- Niemöller (F.), **83:** elektromotorische Arbeitsfähigkeit chemischer Processe 205.
- Nienhaus und Rosenstiehl, **78:** Gewinnung von Nitroalizarin 1191.
- Niestädt (E.) und Ballo (M.), **85:** Apparat zur Kohlensäurebestimmung in der Luft 2006.
- Nies (A.), **77:** Strengit 1300; Barandit 1301.
- 81:** Picit 1377.

**83:** Spaltungsfläche nach  $\frac{3}{4}$ ,  $P \propto$  am Gypse aus Mainzer Litorinellenthon 1855.

Nies (F.), **83:** Untersuchung verkieselter Keuperhölzer 1915; Verkieselungsproceß 1915 f.

**86:** Experimente mit Wassersteinen (Enhydros, Enhygros) 2239.

Nies (F.) und Winkelmann (A.),

**80:** Metalle, spezifisches Gewicht und Ausdehnung 1247 f.

**81:** Volumänderung von Metallen beim Schmelzen 36 f.

**83:** Volumänderung der Metalle beim Schmelzen 50.

Nieske (A.), **85:** Anwendung von Natriumsalzen zu Heizzwecken 2163.

Niesel (G.), **77:** Theorie der Meteoriten 1390.

Niefsner, **86:** Analyse von Albit 2290.

Nietner (H.) und Zimmermann (K.), **80:** Conservirung von Fleisch 1129.

Nietzki (R.), **77:** Dimethylanilin, Acetanilid gegen Hitze 469; Paradiamidotoluol aus Orthoamidoozotoluol 474; Toluchinon, Hydrotoluchinon, Toluchinhydron 475; Azoamidotoluole 506; Hydrochinon aus Anilin 644; Chinhydron 646; Dinitrodioxychinon (Nitransäure) 647; Toluchinon, Hydrotoluchinon 647 f.; Methylechinizarin 655; Thalliumbestimmung 1069.

**78:** Anilinschwarz 467 f.; Chinon und Hydrochinon, Nitroderivate des Hydrochinons 563 f.; Hydrotoluchinon 576 f.; Darstellung von Chinon und Toluchinon 651 f.

**79:** p-Diamidotoluol 437; Nitroderivate des Hydrochinons 526 f.; Chinhydron 583 f.

**80:** Amidoderivate des Xylols 544 f.; Biebricher Scharlach (Azoverbindungen) 578, 579 f.

**82:** Chinone und Hydrochinone 778;  $\beta$ - und  $\alpha$ -Naphthylschwefelsäure 1018.

**83:** Nitransäure; Tetraoxynitroamidobenzol 1006; Diimidodihydroxychinon 1007; die Farbstoffe der Safraninreihe: safraninartige Farbstoffe aus Aminen der aromatischen Reihe und Kaliumdichromat 1812 f.; Phenosafranin und Salze desselben, Phenosafranin gegen salpetrige Säure, zweimal diazotirtes Phenosafranin 1813; Diäthylsafranin 1813 f.; Salze

und Verhalten derselben, Tetraäthylsafranin und Salze 1814; Zwischenproducte der Safraninbildung 1814 f.; Constitution der Safranine 1815.

**84:** Untersuchung von p-Amidoacetanilid und einiger neuer Azokörper 830 ff.; scharlachrother und bordeauxrother Farbstoff aus p-Amidoacetanilid, p-Diamidoazobenzol 831; Farbstoffe aus Paradiaminen und Monoaminen 1857 f.; Herstellung neuer Azofarbstoffe, Untersuchung von p-Amidoacetanilid 1872.

**86:** Constitution der Safraninfarbstoffe: Entamidirung von Phenosafranin 1117 f., von Dimethylsafranin 1118; Darstellung zweier isomerer Dimethylsafranine 1119 f.; versuchte Safraninbildung aus den isomeren Xylidinen, aus Mesidin, Iso- und Pseudocumidin 1120; Darstellung von Chinon und Hydrochinon 1669 f.; Constitution der Nitransäure (Bildung aus Diamidotetraoxybenzol) 1671; siehe Witt (O. N.).

Nietzky (R.) und Benckiser (Th.), **84:** Einwirkung von Essigsäureanhydrid auf Sulfanilsäure resp. sulfanilsaures Natrium (Acetylsulfanilsäure) 1328.

**85:** Hexaoxybenzolderivate und ihre Beziehungen zur Krokonsäure und Rhodizonsäure 1261 bis 1264; Darstellung von Nitransäure, Mononitroamidotetraoxybenzol, Mononitroamidodioxychinonkalium 1261; saures Diazonitrodioxychinonnatrium, Diamidotetraoxybenzol, Diimidodioxychinon, Hexaacetyl-Diamidotetraoxybenzol, Hexaoxybenzol 1262; Hexaacetylhexaoxybenzol, Tetraoxychinonnatrium und -baryum, krokons. Kalium 1263; Dioxydichinoylbenzol (Dioxydichinoyl), Trichinoylbenzol (Trichinoyl) 1264; Identitätsbeweis von Trihydrocarboxylsäure, Dihydrocarboxylsäure und Carboxylsäure mit Hexaoxybenzol, Tetraoxychinon und Dioxydichinoyl 1264 bis 1267; Hexaoxybenzolkalium, rhodizons. Kalium, Dioxydichinoylkalium 1265; Dioxydichinoylnatrium, Constitution des rhodizons. Kaliums und der Oxy-carboxylsäure 1266; Constitution der Krokonsäure 1266 f.; Darstellung von o-Mononitroanilinsulfosäure 1595 f.; Structur derselben 1596.

**86:** Krokonsäure und Salze 1672;

- Reduction der Krokonsäure: Krokonsäurehydrür 1872 f.; Thiokrokonsäure 1873; Leukonsäure (Oxykrokonsäure) 1873 f.; Constitution der Krokon- und Leukonsäure, Krokonaminsäure 1875; Leukonditolaylenchinoxalin 1875 f.
- Nietzky (R.) und Goll (O.), **85**:  $\alpha$ -Azonaphtalin 1071 bis 1076: Darstellung des wahren  $\alpha$ -Azonaphtalins 1071 f.; zweite Darstellungsmethode von  $\alpha$ -Azonaphtalin, Constitution desselben, Hydroazonaphtalin 1073; Diamidodinaptyle („Naphtidin“ und „Dinaptylin“), Salze des Naphtidins, Bildung violetter Farbstoffe 1074; Dinaptylin, Dinaptylcarbazon (Dinaptylylmid) 1075; Acetyldinaptylcarbazon 1076.
- 86**: Diazotirung von  $\beta$ -Amidoazonaphtalin: Darstellung des letzteren 1047 f.; Diazotirung: Oxyazonaphtalin 1048; Constitution der o- und p-Amidoazokörper 1048 f.
- Nietzki (R.) und Preusser (J.), **86**: Diamidohydrochinon und Derivate 1870.
- Nietzki (R.) und Witt (O. N.), **79**: Nitro- und Amidodiphenylamine 444 f.
- Niewerth (H.), **84**: Darstellung von Aluminiumlegirung 1703; Darstellung von Aetzstrontian 1785.
- Nikolajew (P. v.), **77**: Wilnewit (Xanthophyllit) 1317.
- Nikolajew (P. D.), **83**: Analyse eines derben Magneteisens 1841 f.; Analyse des Manganganats von Scheich-Dzeli, Chiwa 1880 f.; Analyse des Walujewits 1886; Analyse einer Pseudomorphose von Aragonit nach Cölestin (?) 1913.
- 84**: Analyse von Türkis 1947, von Xanthophyllit 1961; Untersuchung von Tschewkinit 1992.
- Nikoljukin (J.), **85**: Bleitetraclilorid 545 f.
- Nikolsky (W.), siehe Albitzky (A.); siehe Saytzeff (A.).
- Nikolsky (W.) und Saytzeff (A.), **83**: Kohlenwasserstoff aus Allyldimethylcarbinol 526 bis 529.
- Nilson (L. F.), **77**: Baryumoxysulfarsenit 245; Chlorplatinite 310; Platinnitrosylsäure, Platinnitrite gegen Jod und Alkohol 313; Antimon von Arsen 1046; Sulfosalze, Fahlerz 1269.
- 78**: Platojodonitrite 312 f.
- 79**: Ytterbium, Scandium 242 f.; Trennung des Arsens vom Antimon 1040.
- 80**: Atomgewicht des Berylliums 292; Ytterbin- und Scandinerde 299 f.; Platojodonitrite 363.
- 82**: Untersuchungen über Thorium und Thoriumsulfat 352 f.; Atomgewicht des Thoriums 353; Uranothorit 1528.
- 83**: Atomgewicht des Thoriums 46; spezifische Wärme des Thoriums 118; metallisches Thorium 409.
- Nilson (L. F.) und Pettersson (O.), **78**: Bestimmung der specifischen Wärme des Berylliums mit dem Bunsen'schen Eis calorimeter 70, 71; Darstellung und Valenz des Berylliums 241.
- 80**: spezifische Wärme und Atomgewicht des Berylliums, periodisches Gesetz 4; Molekularwärme und -Volumina der seltenen Erden und ihrer Sulfate 237 f.; Atomgewicht des Berylliums 291.
- 81**: periodisches System der Elemente 8.
- 84**: Bestimmung der Dampfdichte des Chlorberylliums 61 f.
- 86**: Apparat zur Bestimmung der Dampfdichte flüchtiger Körper 59 f.
- Niobey, siehe Couty.
- Nithack, **83**: Salze der Methylsulfosäure 1236 f.; Methylsulfonsäurechlorid 1237.
- Nithack (R.), **85**: Gewinnung von Chlor und Salzsäure 2054.
- Nitsche (F.), **84**: Nachweis von Kohlenwasserstoffen in Fetten oder Stearinkerzen 1678.
- Nitykowski, **83**: Kartoffelanbauversuche, Stärkegehalt der Kartoffeln 1745.
- Niven (C.), **79**: Wärmeleitung in Rotationsellipsoiden 96.
- Nivet, **80**: Calciumcarbonat gegen Ammoniaksalze im Boden 1320.
- Nivoit, **81**: Torf 1408; Gehalt der Gesteine an Phosphorsäure 1416; französische Kalksteine und Mergel 1439.
- Noack, **85**: Brenner für monochromatisches Licht 1998.
- Noack (E.), **83**: Darstellung von Kohlenoxyd 331; Mono- und Diphenylphosphorigsäurechlorid 1300 f.; neutraler Phosphorigsäure-Phenyläther 1301 f.; Triphenylphosphorig-

- säureätherdibromid 1302 f.; neutraler Phosphorsäure-Phenyläther 1303.
- 86:** Fluidität von Flüssigkeitsgemischen (Alkohol, Essigsäure) 105 bis 110.
- Noah (E.), **86:** Xanthopurpurin und Anthrachryson aus Dioxibenzoësäure 1662; Pentaoxyanthrachinon und Ruffgallussäure aus Gallussäure und Dioxibenzoësäure 1662 f.; Tetraoxyanthrachinone (Oxyanthragalole) aus m-Oxybenzoësäure und Gallussäure 1681 f.
- Nobbe (F.), **84:** Mehlprüfung, Anwendung des Aleurometers 1771.
- Nobbe (F.), Baefeler (P.) und Will (H.), **84:** Giftwirkung des Arsens, Bleies, Zinks im Pflanzenorganismus 1436 f.
- Nobbe (F.) und Hänlein (H.), **77:** Keimung 927.
- 78:** Vegetation der Pflanzen 945.
- Nobbe (F.), Hänlein (H.) und Counciler (C.), **79:** phosphorsaurer Kalk in Parenchymzellen 898.
- Nobel, **85:** Darstellung von Neudynamit 2104.
- Nobel (A.), **86:** Explosivstoffe aus Nitraten 2078 f.; neue Sprengmittel (Gelatinesprengstoffe) 2079.
- Nobel (A. B.) und Fehrenbach (G.), **85:** Darstellung von Schwefelsäureanhydrid 2062 f.
- Nobel (C. le), **84:** neue Eigenschaften des Acetons, Acetonurie, Diabetes mellitus 1501 f.; über die Kreatininreaction 1617; rothe Färbung im Harn 1682.
- 85:** Bestimmung des Acetons im Harn 1957 f.
- Noble und Abel, **79:** explosive Substanzen und Pulver 1114.
- Noble und Abel (F. A.), **80:** unterschweflgs. Salz im Pulver 1307 f.
- Noel (G.), **81:** Wirkung des Lichtes auf Bromsilber 135; siehe Le Bon (G.).
- Noellner (A.), **81:** Kryolith 1365.
- Nölting (E.), **77:** Benzolformel 369.
- 79:** m-Nitrotoluol im käuflichen Nitrotoluol 1113.
- 80:** Zähigkeit der Elemente 4; siehe Monnet (P.); siehe Reverdin (F.).
- 82:** aromatische Chlornitroverbindungen gegen Rosanilin: substituierte Rosaniline 558 f.; Zersetzung des Trichlormethylsulfocchlorids 995.

**83:** secundäre und tertiäre Alkyl-derivate des Anilins 702 f.

**84:** Vorkommen von o-Mononitrobenzylchlorid im Nitrirungsproduct von Benzylchlorid 585; Untersuchung der hochsiedenden Phenole aus dem Steinkohlentheer 1010.

**85:** Nachweis der beiden Dinitrokresole im rohen Nitrotoluol 886; Constitution der Phtalsäuren 1486; Vorkommen von Isocyanüren im rohen Benziu, Beseitigung derselben 2190.

**86:** Darstellung von  $\alpha$ -Monojodnaphtalin 649; Mononitrobenzylchloride 665; Auftreten von m-Mononitrodimethylanilin beim Nitriren von Dimethylanilin 829; Trinitrom-kresol 1249; Isorcin (Kresorcin) 1277; Azofarbstoffe aus Thioanilin 2199; siehe Monnet (P.); siehe Witt (O. N.).

Nölting (E.) und Baumann (Th.), **84:** Untersuchung von Derivaten des krystallisirten Cumidins, Amidoazopseudocumol, Pseudocumenol, Tetramethylamidobenzol 721; Darstellung eines isomeren Mononitroamidoazobenzols und von Dimethylanilinazylin 838; Sulfurirung von Dimethylamidoazobenzol und p-Toluylazodimethylanilin 839 f.; Darstellung von m-Xylochinon, p-Xylochinon, Toluochinon 1066.

**85:** Derivate des Pseudocumidins 905 bis 907: Acetpseudocumidin, Diazoamidopseudocumol, Amidoazopseudocumol 905; Pseudocumylendiamin (Diamidopseudocumol), Tetramethylamidobenzol (Amidotetramethylbenzol), Isoduridin und dessen Salze 906 f.; Darstellung von Tetramethylazylin 1028; Oxydation von p-methylirten Aminen und Bildung von Chinonen: Toluochinon, m-Xylochinon, p-Xylochinon, Cumochinon und Cumohydrochinon 1660.

Nölting (E.) und Bechi (G. v.), **84:** Bildung von Phtalophenon durch Einwirkung von Quecksilberdiphenyl auf Phtalylchlorid 1226 f.

Nölting (E.) und Binder, **84:** Verhalten von p-Diazotoluolchlorid, Diazobenzolchlorid, p-Monobromdiazobenzolchlorid, p-Mononitrodiazobenzolchlorid gegen Anilin, resp. p-Toluidin, resp. p-Monobromanilin, resp. Monomethylanilin 816 f.; Dis-

- Reduction der Krokonsäure: Krokonsäurehydrür 1672 f.; Thiokrokonsäure 1673; Leukonsäure (Oxykrokonsäure) 1673 f.; Constitution der Krokon- und Leukonsäure, Krokonaminsäure 1675; Leukonditoluylenchinoxalin 1675 f.
- Nietzky (R.) und Goll (O.), **85**:  $\alpha$ -Azonaphtalin 1071 bis 1076: Darstellung des wahren  $\alpha$ -Azonaphtalins 1071 f.; zweite Darstellungsmethode von  $\alpha$ -Azonaphtalin, Constitution desselben, Hydroazonaphtalin 1073; Diamidodinaptyle („Naphtidin“ und „Dinaptylin“), Salze des Naphtidins, Bildung violetter Farbstoffe 1074; Dinaptylin, Dinaphtylcarbazon (Dinaptylylimid) 1075; Acetyldinaptylcarbazon 1076.
- 86**: Diazotirung von  $\beta$ -Amidoazonaphtalin: Darstellung des letzteren 1047 f.; Diazotirung: Oxyazonaphtalin 1048; Constitution der o- und p-Amidoazokörper 1048 f.
- Nietzki (R.) und Preusser (J.), **86**: Diamidohydrochinon und Derivate 1670.
- Nietzki (R.) und Witt (O. N.), **79**: Nitro- und Amidodiphenylamine 444 f.
- Niewerth (H.), **84**: Darstellung von Aluminiumlegirung 1703; Darstellung von Aetzstrontian 1735.
- Nikolajew (P. v.), **77**: Wiluewit (Xanthophyllit) 1317.
- Nikolajew (P. D.), **83**: Analyse eines derben Magneteisens 1841 f.; Analyse des Manganganats von Scheich-Dzeli, Chiwa 1880 f.; Analyse des Walujewits 1886; Analyse einer Pseudomorphose von Aragonit nach Cölestin (?) 1913.
- 84**: Analyse von Türkis 1947, von Xanthophyllit 1961; Untersuchung von Tschewkinit 1992.
- Nikoljukin (J.), **85**: Bleitetrachlorid 545 f.
- Nikolsky (W.), siehe Albitzky (A.); siehe Saytzeff (A.).
- Nikolsky (W.) und Saytzeff (A.), **83**: Kohlenwasserstoff aus Allyldimethylcarbinol 526 bis 529.
- Nilson (L. F.), **77**: Baryumoxysulfarsenit 245; Chlorplatinite 310; Platinnitrosylsäure, Platinnitrite gegen Jod und Alkohol 313; Antimon von Arsen 1046; Sulfosalze, Fahlerz 1269.
- 78**: Platojodonitrite 312 f.
- 79**: Ytterbium, Scandium 242 f.; Trennung des Arsens vom Antimon 1040.
- 80**: Atomgewicht des Berylliums 292; Ytterbin- und Scandinerde 299 f.; Platojodonitrite 363.
- 82**: Untersuchungen über Thorium und Thiumsulfat 352 f.; Atomgewicht des Thoriums 353; Uranothorit 1528.
- 83**: Atomgewicht des Thoriums 46; spezifische Wärme des Thoriums 118; metallisches Thorium 409.
- Nilson (L. F.) und Pettersson (O.), **78**: Bestimmung der specifischen Wärme des Berylliums mit dem Bunsen'schen Eis calorimeter 70, 71; Darstellung und Valenz des Berylliums 241.
- 80**: specifische Wärme und Atomgewicht des Berylliums, periodisches Gesetz 4; Molekulärwärme und -Volumina der seltenen Erden und ihrer Sulfate 237 f.; Atomgewicht des Berylliums 291.
- 81**: periodisches System der Elemente 8.
- 84**: Bestimmung der Dampfdichte des Chlorberylliums 61 f.
- 86**: Apparat zur Bestimmung der Dampfdichte flüchtiger Körper 59 f.
- Niobey, siehe Couty.
- Nithack, **83**: Salze der Methylsulfosäure 1236 f.; Methylsulfonsäurechlorid 1237.
- Nithack (R.), **85**: Gewinnung von Chlor und Salzsäure 2054.
- Nitsche (F.), **84**: Nachweis von Kohlenwasserstoffen in Fetten oder Stearinkerzen 1678.
- Nitykowski, **83**: Kartoffelanbauversuche, Stärkegehalt der Kartoffeln 1745.
- Niven (C.), **79**: Wärmeleitung in Rotationsellipsoiden 96.
- Nivet, **80**: Calciumcarbonat gegen Ammoniaksalze im Boden 1320.
- Nivoit, **81**: Torf 1408; Gehalt der Gesteine an Phosphorsäure 1416; französische Kalksteine und Mergel 1439.
- Noack, **85**: Brenner für monochromatisches Licht 1998.
- Noack (E.), **83**: Darstellung von Kohlenoxyd 331; Mono- und Diphenylphosphorigsäurechlorid 1300 f.; neutraler Phosphorigsäure-Phenyläther 1301 f.; Triphenylphosphorig-

- säureätherdibromid 1302 f.; neutraler Phosphorsäure-Phenyläther 1303.
- 86:** Fluidität von Flüssigkeitsgemischen (Alkohol, Essigsäure) 105 bis 110.
- Noah (E.), **86:** Xanthopurpurin und Anthrachryson aus Dioxibenzoësäure 1662; Pentaoxyanthrachinon und Rufgallussäure aus Gallussäure und Dioxibenzoësäure 1662 f.; Tetraoxyanthrachinone (Oxyanthragallole) aus m-Oxybenzoësäure und Gallussäure 1681 f.
- Nobbe (F.), **84:** Mehlprüfung, Anwendung des Aleurometers 1771.
- Nobbe (F.), Baeflsler (P.) und Will (H.), **84:** Giftwirkung des Arsens, Bleies, Zinks im Pflanzenorganismus 1436 f.
- Nobbe (F.) und Hänlein (H.), **77:** Keimung 927.
- 78:** Vegetation der Pflanzen 945.
- Nobbe (F.), Hänlein (H.) und Counciler (C.), **79:** phosphorsaurer Kalk in Parenchymzellen 898.
- Nobel, **85:** Darstellung von Neudynamit 2104.
- Nobel (A.), **86:** Explosivstoffe aus Nitraten 2078 f.; neue Sprengmittel (Gelatinesprengstoffe) 2079.
- Nobel (A. B.) und Fehrenbach (G.), **85:** Darstellung von Schwefelsäureanhydrid 2062 f.
- Nobel (C. le), **84:** neue Eigenschaften des Acetons, Acetonurie, Diabetes mellitus 1501 f.; über die Kreatininreaction 1617; rothe Färbung im Harn 1682.
- 85:** Bestimmung des Acetons im Harn 1957 f.
- Noble und Abel, **79:** explosive Substanzen und Pulver 1114.
- Noble und Abel (F. A.), **80:** unterschweflgs. Salz im Pulver 1307 f.
- Noel (G.), **81:** Wirkung des Lichtes auf Bromsilber 135; siehe Le Bon (G.).
- Noellner (A.), **81:** Kryolith 1865.
- Nölting (E.), **77:** Benzolformel 369.
- 79:** m-Nitrotoluol im käuflichen Nitrotoluol 113.
- 80:** Zähigkeit der Elemente 4; siehe Monnet (P.); siehe Reverdin (F.).
- 82:** aromatische Chlornitroverbindungen gegen Rosanilin: substituierte Rosaniline 558 f.; Zersetzung des Trichlormethylsulfochlorids 995.

**83:** secundäre und tertiäre Alkyl-derivate des Anilins 702 f.

**84:** Vorkommen von o-Mononitrobenzylchlorid im Nitrirungsproduct von Benzylchlorid 585; Untersuchung der hochsiedenden Phenole aus dem Steinkohlentheer 1010.

**85:** Nachweis der beiden Dinitrokresole im rohen Nitrotoluol 886; Constitution der Phtalsäuren 1486; Vorkommen von Isocyanuren im rohen Benziu, Beseitigung derselben 2190.

**86:** Darstellung von  $\alpha$ -Monojodnaphtalin 649; Mononitrobenzylchloride 665; Auftreten von m-Mononitrodimethylanilin beim Nitriren von Dimethylanilin 829; Trinitrom-kresol 1249; Isorcin (Kresorcin) 1277; Azofarbstoffe aus Thioanilin 2199; siehe Monnet (P.); siehe Witt (O. N.).

Nölting (E.) und Baumann (Th.), **84:** Untersuchung von Derivaten des krystallisirten Cumidins, Amidoazopseudocumol, Pseudocumol, Tetramethylamidobenzol 721; Darstellung eines isomeren Mononitroamidoazobenzols und von Dimethylanilinazylin 838; Sulfurirung von Dimethylamidoazobenzol und p-Toluylazodimethylanilin 839 f.; Darstellung von m-Xylochinon, p-Xylochinon, Toluochinon 1066.

**85:** Derivate des Pseudocumidins 905 bis 907: Acetpseudocumidin, Diazoamidopseudocumol, Amidoazopseudocumol 905; Pseudocumylendiamin (Diamidopseudocumol), Tetramethylamidobenzol (Amidotetramethylbenzol), Isoduridin und dessen Salze 906 f.; Darstellung von Tetramethylazylin 1028; Oxydation von p-methylirten Aminen und Bildung von Chinonen: Toluchinon, m-Xylochinon, p-Xylochinon, Cumochinon und Cumohydrochinon 1660.

Nölting (E.) und Bechi (G. v.), **84:** Bildung von Phtalphenon durch Einwirkung von Quecksilberdiphenyl auf Phtalylchlorid 1226 f.

Nölting (E.) und Binder, **84:** Verhalten von p-Diazotoluolchlorid, Diazobenzolchlorid, p-Monobromdiazobenzolchlorid, p-Mononitrodiazobenzolchlorid gegen Anilin, resp. p-Toluidin, resp. p-Monobromanilin, resp. Monomethylanilin 816 f.; Diazoben-

zol-p-amidotoluol, Diazobenzolamidobrombenzol, Nitroamidoazobenzol, Diamidoazobenzol, Nitroamidoazo-toluol 817; Einwirkung von Diazobenzolchlorid und p-Diazotoluolchlorid auf Monoäthylanilin 817 f.

Nölting (E.) und Boasson (J. B.), **77**: Monomethylanilin, Methylphenylnitrosamin 466.

**78**: aromatische Amine 474 f.

Nölting (E.) und Bourcart (R.), **82**: versuchte Darstellung des Alizarins aus Protocatechusäure, Benzoessäure und Schwefelsäure 915.

Nölting (E.) und Collin (H.), **84**: Nitrierung aromatischer Amine (Anilin, Toluidin, Xylidin, Äthylanilin) bei oder ohne Gegenwart von Schwefelsäure 660 ff.; Untersuchung von Mononitro-o-toluidin 702 bis 705; Umwandlung in Mononitro-o-kresol 703; Dibrommononitro-o-kresol, Trinitro-o-kresol 704; Constitution der Styphninsäure, Trinitro-m-phenylen-diamin 982; Einwirkung von Phenolen auf o-Pyridindicarbonsäure (Chinolinsäure) 1183; Darstellung blauer und violetter Rosanilinfarbstoffe 1864; Darstellung eines eosinartigen und eines phtaleinartigen Pyridinfarbstoffes 1867.

Nölting (E.) und Forel (S.), **84**: Untersuchung der Xylidine 715 f.: o-Xylidin, o-Xylochinon, o-Xylohydrochinon, m-Xylidin, m-Xylochinon 715; m-Xylohydrochinon, p-Xylidin, p-Xylochinon, Darstellung von Amidoazoxylolen, Nitrierung von m-Xylol 716.

**85**: Darstellung der sechs nach der Kekulé'schen Benzolhypothese möglichen Xylidine und Ueberführung derselben in die zugehörigen Amidotrimethylbenzole 887 bis 892: (a)-o-Xylidin 887; (v)-o-Xylidin 888; a-m-Xylidin, benachbartes m-Xylidin (1, 3, 2) 889; symmetrisches (s)-m-Xylidin 889 bis 891; p-Xylidin 891 f.; Amidotrimethylbenzole (Pseudo- und Isocumidin) aus Xylidinen 892; Darstellung der Amidoazoxylole aus den Xylidinen 1050 bis 1053: Amidoazo-a-m-xylol 1050 f.; o-Diamido-m-xylol (m-Xylylen-o-diamin), Amidoazo-v-m-xylol, m-Xylylen-p-diamin 1051; Amidoazo-v-o-xylol, Amidoazo-a-o-xylol, o-Xylylen-o-diamin, Amidoazo-p-xylol, p-Xylylen-p-diamin 1052;

gemischtes Amidoazo-a-m-p-xylol 1053.

Nölting (E.) und Geifsmann (C.), **86**: Nitro-p-xylole und deren Amido-derivate: Dinitro- und Diamido-p-xylole, Mononitroamido-p-xylol 668 f.; Trinitro-p-xylol, Dinitro-p-xylidin 669.

Nölting (E.) und Kohn (O.), **84**: Darstellung von Amidotrimethylbenzol (Isocumidin) 721; Azo- und Diazoverbindungen der Kresole 805 bis 815: Phenylazo-p-kresol 806; Azobenzolazo-p-kresol, p-Tolylazo-p-kresol, p-Sulphophenylazo-p-kresol 807; Phenylazo-p-kresolmonosulfosäure 808; p-Kresoldisulfosäure, m-Sulfo-p-tolylazo-p-kresol 809; Amido-p-kresol, Äthénylamido-p-kresol, Acetylamido-p-kresol, Phenylazo-o-kresol 810; Phenylidazo-o-kresol, Phenylazo-o-acetylkresol 811; Phenylazo-o-benzoylkresol, p-Sulphophenylazo-o-kresol, Amido-o-kresol, Phenylazo-m-kresol 812; Sulfo-o-tolylazo-m-kresol, Amido-m-kresol, Phenylidazo-m-kresol 813; Phenylidazomethylphenol, Phenylidazoacetylphenol, Acetyldiamidokresole 814; Azokörper aus p-Bromphenol, Phenol-p-sulfosäure, m-Xylenol, versuchte Darstellung von Diazokörpern aus Tribromphenol und Mesitol, versuchte Darstellung einer Amidoazoverbindung aus Mesidin 815; Darstellung, Oxydation und Reduction von Nitroso-o-kresol 1000 f.; Darstellung von Terephthalophenon 1057.

**85**: Darstellung von Azylinen (Tetramethylazylin) 1027 f.

**86**: m-Xylidinsulfosäure und Derivate 1560 f.; p-Xylidinsulfosäure und Derivate 1561 f.; m- und p-Phenylendiphenylketoxin, Verhalten von Succinyl- und Brenzweinsäurechlorid gegen Benzol und Aluminiumchlorid 1652.

Nölting (E.) und Reverdin (F.), **78**: Darstellung von Monomethyl-o-toluidin 475; Violettbildung aus Dimethyl- und Methylanilin 1181.

Nölting (E.) und Salis (E. v.), **81**: Nitroderivate von Kresolen 564 f.

**82**: Nitro- und Amidoderivate der Kresole und Kresoläther 684 f.; Trinitro-m-toluidin 685; Verbindungen des Naphtalins mit Styphninsäure, Trinitroorcin, Chrysaminsäure 686.



- 85:** Untersuchung der Nitroderivate von Kresolen 1268 f.; Dinitro-p-kresol-Aethyläther 1268; Dinitrokresolkalium, Dinitro-p-kresol und Dinitro-o-kresol, Trinitro-m-kresol gegen Anthracen 1269.
- Nölting (E.) und Salis-Mayenfeld (E. v.), **83:** gelbe, orange und braune Farbstoffe (Sulfosäuren nitrirter aromatischer Amine) 1798.
- Nölting (E.) und Schmid (H.), **85:** Ersatz von Tannin durch Kaliumantimonoxalat 2212.
- Nölting (E.) und Stricker (Th.), **86:** Ein- und zweifach alkylirte m-Diamine: Darstellung von Monoäthyl-m-monoritroanilin und -nitrophenylnitrosamin 813 f.; Ueberführung desselben in Monoäthyl-m-phenyldiamin, des letzteren in Monoäthylchrysoidin, in Aethylphenylenblau und einen zweiten Farbstoff 814 f.; Darstellung von Monomethyl-m-nitroanilin, -m-nitrophenylnitrosamin, -m-phenyldiamin und Monomethylchrysoidin 815, von Monoäthyl-m-nitro-p-toluidin und Monoäthyl-m-toluylendiamin 815 f., von Diäthyl-m-nitrilanilin und -m-phenyldiamin 816 f.
- Nölting (E.) und Weingärtner (E.), **84:** Verbindungen von Säureaniliden mit Salzsäure 663 f.
- 85:** Verhalten des salzsauren Acetanilids beim Erhitzen 865 f.; Darstellung und Verhalten der Chlorhydrate von Acet-p-toluid und von Benzanilid 866.
- Nölting (E.) und Wild, **83:** Aethyl-amidoazobenzol 786 f.
- Nölting (E.) und Wild (E.), **84:** Stellung der Azogruppe zur Amidogruppe in den Azoverbindungen aus Diazokörpern und  $\beta$ -Naphthylamin 816.
- 85:** directe Ueberführung primärer Aniline (Anilin, Toluidine und  $\alpha$ -Naphthylamin) in Mononitrophenole 845.
- Nölting (E.) und Witt (O. N.), **83:** Monoamidoazo-p-toluol, Darstellung und Derivate 787 f.
- 84:** Darstellung von Diazoamido-toluol 821; Darstellung von o-Amidoazoverbindungen der Benzolreihe 838 f.; Amidoazo-p-toluol, Monobenzoylamidoazo-p-toluol 838; Azophenin des p-Toluidins 839.
- 85:** Bestandtheile des „flüssigen“ Dinitrotoluols 772.
- Nölting (E.), Witt (O. N.) und Forel (S.), **85:** p-Xylidin im käuflichen Xylidin, a-m-Xylidinmonosulfosäure, p-xylidinmonosulfos. Natrium 892; Salze des p-Xylidins, p-Xylenol, Acetylnitro-p-xylidin (Nitroacetylid), Mononitro-p-xylidin 893; p-Xylylendiamin, Mononitro-p-xylenoläthyläther, Diazo-p-xylolmonosulfosäure 894; Verhalten der (a-)m-xylidinmonosulfos. Salze beim Erhitzen, Darstellung von (a-)m-Xylidin 899.
- Nördlinger (H.), **85:** Untersuchung des Bichybfafettes aus den Früchten von *Myristica bichyba* 1819.
- 86:** Einwirkung der Salpetersäure auf Myristinsäure 1401.
- Nogues (A. F.), **78:** Atomgewichte und Atomvolumen von Elementen 8.
- 84:** Goldlager von Peñafior 1903.
- Nolte (R.), **79:** Chlor in Maiskörnern 1141 f.
- 80:** Chlor in Samen und Futterpflanzen 1056.
- Nood (O. N.), **78:** Bestimmung der Lichtintensität verschiedener farbiger Flächen 159.
- Noorden (O. von), **80:** optische Constanten des Blutfarbstoffes 1097.
- Norblad, **83:** vanadinsaure Salze 415 bis 417.
- Nordblad, **83:** Analyse eines Dolomits 1853.
- Nordenfellt (Th.) und Meurling (V. A.), **85:** Darstellung von baumwollhaltigem Schiefspulver 2102.
- Nordenskiöld (A. E.), **77:** Thorit, Kyrtholit (Cyrtholit) 1276; Homilit 1306; Mikrolith, Mangantantalit 1346.
- 78:** Analyse des Jacobsits, Cleveit 1216 f.; Ytrogummit 1217; Hydrocerussit 1222; Ekdemit 1235 f.; Gano-malith 1270 f.; Hyalotekit 1272; Ato-pit 1275; Thumasit 1277.
- 79:** Arrhenit 1238; Meteore aus Schweden 1277.
- 82:** Thumasit 1581.
- 86:** Untersuchung eines neuen Gadolinitminerals (Kainosit) 57 f.; siehe Sjögren (H.).
- Nordenskiöld (N. v.), **86:** Untersuchung der in Topasen eingeschlossenen Flüssigkeit 2261.
- Nordenskiöld, **84:** Untersuchung eines auf dem Schnee bei Stockholm gesammelten Staubes 2039.

- Nordmann (E.), **84**: Darstellung von Aethenylazoximbenzenyl 497; Darstellung von Aethenylamidoxim aus Acetonitril 603 bis 606: Eigenschaften, Verhalten 603; Salze, Aether 604; Aethenylanilidoxim, Aethenylazoximbenzenyl, Diäthylazoxim 605; Propenylamidoxim 606; Darstellung von p-Carvacrotinsäurealdehyd 1047 f.
- Nordström (G.), **80**: Kalkspath 1418; Anthracit 1480.
- Nordström (Th.), **79**: Vanadinit 1203.
- 82**: Analyse von schwedischem Amalgam 1521.
- Norris, **77**: Aggregatzustände im Eisen und Stahl 81.
- North (W.), **84**: Einfluss der körperlichen Arbeit auf die Stickstoffausscheidung 1475 f.
- 86**: Einfluss körperlicher Arbeit auf die Stickstoffausscheidung 1834.
- Norton (C. H.), siehe Tscherniac (J.).
- Norton (L. M.), **86**: Isobutyranilid 802; Mono- und Diäthyl-o-toluidin 850; siehe Michael (A.).
- Norton (L. M.) und Allen (A. W.), **85**: Einwirkung kochender verdünnter Salpetersäure auf Anilide: Dinitromethyl-,  $\alpha$ -Dinitroäthylanilin, Trinitrodiphenylamin 863 f.
- Norton (L. M.) und Andrews (C. W.), **86**: Einwirkung hoher Temperatur auf einige Paraffine: Hexan, Isohexan, Pentan 571 ff.
- Norton (L. M.) und Bardwell (F. L.), **85**: Einwirkung von Isobuttersäure auf Anilin: Isobutyranilid 866 f.
- Norton (L. M.) und Chase (R. L.), **85**: Untersuchung der Aethyl-o-toluidine (Mono- und Diäthyl-o-toluidin) 886 f.
- Norton (L. M.) und Elliot (J. F.), **78**: Einwirkung von Schwefelammonium auf Pikramid 465.
- Norton (L. M.) und Holder (J. G.), **85**: Oxydation von Benzol mit Mangandioxyd und Schwefelsäure zu Benzoesäure 675 f.
- 86**: Oxydation des Benzols 589.
- Norton (L. M.) und Noyes (A. A.), **86**: Zersetzung des Aethylens bei Rothgluth (Bildung von Crotonylen) 573 f.
- Norton (L. M.) und Prescott (C. O.), **84**: Untersuchung der Methode der continuirlichen Aetherification von Alkoholen mittelst Schwefelsäure 904 f.
- 85**: Aetherification des Aethylalkohols und anderer Alkohole 1156.
- Norton (T.) und Tscherniac (J.), **78**: Darstellung von Aethoxyacetonitril 341; Monochloräthylacetamid 678; Glycolid 686 f.
- 79**: Thiocyanammonium gegen Chloraceton 559.
- Norton (Th.) und Oppenheim (A.), **77**: Acetessigäther, Thiorufinsäure, Thiocarbacetessigäther 685.
- Norton (Th. N.), siehe Michael (A.).
- Norton (W. A.), **79**: Veränderlichkeit der letzten Moleküle der Körper, Kraft der Wirkung dieser auf einander 12.
- Nourisson (C.), **86**: Anisolphthaloylsäure und Derivate 1522 f.
- Novi (G.), **80**: Phylloxera 1067.
- Novikoff (P.), **85**: Gruppierung galvanischer Elemente 231 f.
- Novak, **84**: Untersuchung des Wassers im Hochreservoir der Wiener Leitung 2034 f.
- Nowak und Benda, **78**: Morin- und Cotiningewinnung 1184.
- Nowak (J.), siehe Seegen (J.).
- Nowall (T. S.), **85**: Herstellung von Milchsäure 2095 f.
- Nowaschin, siehe Ljapin.
- Noyes (A.), **85**: Oxydation von Toluolsulfamid: p-Sulfaminbenzoessäure 1600 f.
- Noyes (W. A.), **83**: Oxydationen von o- und p-Nitro- und -Bromtoluolen, von Toluol mit Ferricyankalium 464.
- 86**: Oxydation aromatischer Verbindungen mit Ferricyankalium: o-Sulfaminbenzoessäure aus o-Toluolsulfamid 1549 f.; p-Mononitro- und p-Monoamidobenzoessulfnid und Derivate 1556 f.; siehe Norton (L. M.); siehe Remsen (J.).
- Noyes (W. A.) und Walker (Ch.), **86**: Oxydation isomerer Toluolderivate durch Ferricyankalium: m-Brombenzoessäure; m-Sulfaminbenzoessäure 589 f.
- Nüys (Th. C. van), **86**: Apparat zur Bestimmung der Kohlensäure in der Luft 2012.
- Nugues (A.), Vivien (A.) und Röttger (E.), **86**: Ausscheidung von Zucker aus alkoholischen Lösungen 2122.

- Nursey (P. F.), **85**: moderne Metalllegierungen 2047.
- Nuth (G.), **85**: Aldehyde gegen p-Amidodimethylanilin: o-Oxybenzyliden-, Cumyliden-, p-Methoxybenzyliden-, p-Oxybenzyliden-, Styrylidenamidodimethylanilin 871; Piperonylidenamidodimethylanilin 872.
- Nykopp (A.), **82**: Augitanalyse 1556.
- Nylander (E.), **84**: Brauchbarkeit alkalischer Wismuthlösung als Reagenzien auf Traubenzucker im Harn 1648 f.
- Nylander (H.), **82**: Hornblendenanalyse 1556.
- Nyström (C. A.), **85**: über die Einheit des spezifischen Leitungswiderstandes 242 f.
- O.
- Obach (E.), **78**: Einwirkung von gelöstem Schwefel auf Quecksilber und Kupfer 1045.
- 81**: Phosphoreszenzlicht gegen Selen 133.
- 82**: Verhalten des Schwefelkohlenstoffes zu Kaliumpermanganat und anderen Metallverbindungen 252 f.; Prüfung des Schwefelkohlenstoffes auf Schwefel 253.
- 83**: Tangentenbussole 200.
- 85**: Umschalter für Gase und Flüssigkeiten 2000.
- Oberbeck (A.), **79**: Wärmeleitung 103.
- 80**: Reibung in freien Flüssigkeitsoberflächen 81 f.; Strömung von Flüssigkeiten 82.
- 84**: elektrische Schwingungen 259; magnetisierende Wirkung der elektrischen Schwingungen 279.
- Obermayer (A. v.), **80**: Abhängigkeit des Diffusionscoefficienten der Gase von der Temperatur 64 f.
- 82**: Gasdiffusion 82 ff.
- 83**: Gasdiffusion 102 ff.
- 86**: magnetisches Verhalten des schmiedbaren Gußeisens 285.
- Obermayer (F.), **82**: Hyalophan- und Labradormessungen 1569 f.
- 86**: Darstellung und Krystallform von Essigsäure-Cholesterinäther 1301 f.
- Obernetter, **82**: Bromsilbergelatine 1516 f.
- Obernetter (J. B.), siehe Vogel (H. W.).
- Obremsky (M.), siehe Perkin jun. (W. H.).
- Ochsenius (C.), **77**: Steinsalzbildung 1284; Bischoff 1285.
- 82**: Erzlagertstätten Utahs 1598; Analysen des Wassers vom großen Salzsee von Utah 1626 f.; Analyse eines Schwefelwassers von Salt Lake City 1637.
- 83**: Quarzite von Utah 1839; Sulfat von Spanisch Fork Canon, Utah 1859; Verhalten der orangefarbenen Molybdänbleie von Utah gegen Licht 1860.
- 85**: spektroskopische Beobachtungen an blauen Steinsalzkrystallen 322.
- 86**: Ursache der blauen Färbung von Steinsalz 2245; Bildung der Salpeterlager 2246 f.
- Ochsenius (C.) und Brewster (B. E.), **82**: Analysen von Kalkstein aus Utah 1616.
- Ochsenius (C.) und Drown (Th. M.), **82**: Analyse eines Granits von Utah 1603 f.
- O'Connor Sloane, **81**: Fällung von Baryumsulfat 1182.
- O'Connor Sloane (J.), **77**: Schwefelbestimmung 1048.
- Odendall (A.), **86**: Analyse von Antimonium crudum und eines Antimon-Regulus 2025.
- Odermatt (W.), **78**: Bildung von Phenol und Indol bei der Fäulniss von Eiweißkörpern 1030 f.
- 79**: Phenol bei der Fäulniss 873.
- Oderzheimer (E.), **83**: Furfuraldoxim und Derivate 957 f.; Brenzschleimsäure und Furfuralkohol gegen Hydroxylamin, Phtalanil und Phtalimid 958.
- 84**: Einwirkung von Thiotolen resp. Thiophen auf Phenanthrenchinon, Condensation von Furfural mit Thiophen 1071; Einwirkung von Hydroxylamin auf Mekonsäure, Komenensäure, Pyromekonsäure 1172 f., auf Delydracetsäure 1173.
- Odling, **84**: Chemie des Trinkwassers 2030.
- Odling (W.), **77**: Kupfer aus Pyriten 1119; Silberextraction 1120.
- 85**: Vorschläge zur rationellen Bezeichnung organischer Verbindungen 572; siehe Crookes (W.).

Oebbeke (K.), **77**: Olivin 1308; Serpentin 1321; Chromdiopsid 1322; Palaeopikrit 1364.

**81**: Chloritschiefer 1422; Gesteine der Philippinen und Paulainseln 1431.

**84**: Krystallform der Glutaminsäure 1144 f.; Untersuchung von Krakatoasche 2027 f.

**85**: Krystallform von p-Phenylchinolin 572; Vorkommen von Hypersthen im Andesit 2309; Analyse von Feldspathbasalt 2310.

**86**: Krystallform von  $\alpha$ -Anilido- $\alpha$ -cyanpropionsäure-Aethyläther 1319; Vorkommen von Muscovit 2271; Vorkommen von Hypersthen, Identität desselben mit Szaboit 2278; Vorkommen von Hornblenden im Trachyt 2283; neue Fundorte von Glaukophan 2284; Vorkommen und Krystallform von Mikroklin 2289; Krystallform von Pseudobrookit 2297.

Oechsner de Coninck, **80**: Butyljodid gegen Cyanquecksilber 412; isomere Pyridinbasen 523 f.

**81**: Destillationsproducte des rohen Chinolins 1020.

**82**: Chinolin, Tetra- und Dihydrochinolin aus Cinchonin durch Destillation mit Kali 1079 f.;  $\beta$ -Collidinhydrat, Brucin gegen Kali:  $\beta$ -Lutidin, Collidine,  $\beta$ -Collidin gegen Oxydationsmittel: Homonicotinsäure, Nicotinsäure, Cinchomeronsäure 1080.

**83**: Vereinigung der Pyridinbasen mit Methyl- und Aethyljodid 666 f.; Unterschied der Pyridin- von den Chinolinbasen 669; isomere Lutidine im Rohchinolin 670 f.

**84**: Bildung von Verbindungen durch Druck 35; Zersetzung von Pyridinammoniumjodiden ( $\beta$ - und  $\gamma$ -Lutidin,  $\alpha$ - und  $\beta$ -Collidin,  $\alpha$ -Picolin) mit Alkalien, Bildung von Farbstoffen 630 f.; Constitution der Pyridinbasen aus Brucin 652 f.; Constitution des  $\beta$ -Lutidins als m-Aethylpyridin, Oxydation des  $\alpha$ - und  $\beta$ -Collidins, Umwandlung in Homonicotinsäure und Cinchomeronsäure 653; Versuche zur Hydrogenisirung des  $\beta$ -Lutidins, Untersuchung des Lutidins aus Steinkohlentheer 654 f.; Oxydation zu einer Pyridinmonocarbonsäure, Identität mit  $\gamma$ -Aethylpyridin 655; Versuche der Hydrogenisirung von  $\beta$ -Lutidin und  $\beta$ -Collidin 655 ff.;  $\beta$ -Dihydrocollidin,  $\beta$ -Lu-

tidinjodmethylat 656;  $\beta$ -Lutidin-,  $\beta$ -Collidin-,  $\alpha$ -Collidinhexahydrat 657.

**85**: Bildung von Farbstoffen aus Chinaldinäthyljodid und Chinaldinpropyljodid 953; Darstellung von Cinchomeronsäure aus Homonicotinsäure 1420 f.; Vergleichung des Verhaltens der eigentlichen Pyridin- und Chinolinbasen des Piperidins, Coniins und Nicotins, Einwirkung von Metallsalzen auf Pyridin,  $\alpha$ -Picolin,  $\beta$ - und  $\gamma$ -Lutidin und Verhalten derselben gegen Natrium (Condensation zu  $\alpha$ -Dipicolin,  $\beta$ - und  $\gamma$ -Dilutidin), Eigenschaften ihrer Chloroplatinate, Verhalten der Alkylammoniumjodide der Pyridinbasen gegen Kalilauge 1677; Einwirkung von Schwefelkohlenstoff auf die Basen, Verhalten von  $\alpha$ -Picolin,  $\gamma$ -Lutidin und Piperidin beim Stehen an der Luft, Verhalten von Quecksilberoxyd gegen  $\beta$ -Lutidin und  $\alpha$ -Collidin 1678; Eigenschaften der Platin- und Golddoppelsalze der Pyridin- und Chinolinbasen 1678 f.

**86**: Stabilitätsverhältnisse der Platin- und Golddoppelsalze von Alkaloiden, Pyridin-, Chinolin- und anderen Basen, Farbreactionen der Jodalkylverbindungen der Pyridinbasen mit Kalilauge, Dihydropyridinbasen 1683; siehe Bochefontaine; siehe Coninck (Oechsner de); siehe Marcus. Oechsner de Coninck und Efsner (J. Ch.), **84**: Constitution des Pyridins 627; Oxydation des  $\beta$ -Lutidins aus Brucin 654.

Oechsner de Coninck und Pinet, **83**: physiologische Wirkungen des Picolins und Lutidins 1488.

Oeconomides (L.), **86**: Oxydation von Diäthylketin: Ketindicarbonsäure 997 f.; Ketindicarbonsäure durch Condensation von Imidoisonitrobuttersäureäther, Constitution der homologen Aethylketine 998.

Oeconomides (S.), **81**: Monochlorisobutyls 388, 592; Isobutyraldehyd gegen Phosphorpentachlorid, gegen Salzsäure 592 f.; Isobutylacetal 593; siehe Hanriot; siehe Krüfs (G.).

Oehler (H.), siehe Claus (Ad.).

Oehler (K.), **81**: Blau aus Amidoäthylanilin 1330.

**83**: blaue Farbstoffe aus den Nitrosoderivaten des Dimethyl-, Aethylmethyl- und Diäthylanilins 1801.

- Oekkonen, siehe Wiik (F. J.).  
 Oekonomides (Spir.), siehe Bayer (Ad.).  
 Oelschläger (E.), **85**: Messung der Temperaturerhöhung, welche Drähte beim Durchgang eines starken Stromes erfahren 250.  
 Oettel (F.), **86**: Bestimmung von Fluor 1907.  
 O'Farrel (Fr. J.), siehe Galloway (R.).  
 Offenheim (V. v.), **80**: Ozokorit 1368.  
**82**: Reinigung von Ozokerit, Erdwachs 1466.  
 Offer (H.), **80**: sogenannte Kryohydrate 76 f.  
 Offret (J.), **80**: Dichte des flüssigen Sauerstoffes 239.  
 Ogasawara (K.), siehe Kellner (O.).  
 Ogata (Massanori), **84**: giftige Wirkung der schwefligen Säure auf den thierischen Organismus 1567 f.  
 Ogier (J.), **77**: Jod gegen Ozon, Jodigsäureanhydrid 213.  
**78**: Bildungswärme des Phosphorwasserstoffes und Arsenwasserstoffes 98; Darstellung der Oxydationsstufen des Jods 216 f.  
**79**: Verflüssigung des Siliciumwasserstoffes 71; Verbrennungswärme und Bildungswärme des Siliciumwasserstoffes, Bildungswärme des Kieselsäureäthers  $\text{Si}(\text{C}_2\text{H}_5\text{O})_4$ , der Wasserstoffverbindungen des Phosphors und Arsens 119, der Brom- und Jodhydrate des Phosphorwasserstoffes 119 f.; Chlorphosphonium 225; eine wasserstoffärmere Verbindung aus Siliciumwasserstoff und Arsenwasserstoff 231.  
**80**: thermische Untersuchungen über die Verbindungen des Wasserstoffes mit Phosphor, Arsen und Silicium 113.  
**81**: Bildungswärmen von Chloriden, Bromiden und Jodiden des Schwefels 1125, von Bromiden und Jodiden des Phosphors 1126.  
**82**: Bestimmung der Dampfdichte des Pyrosulfurylchlorides 54; thermische Untersuchung der Oxychloride des Schwefels 125 f.; neues Schwefel-oxychlorid 232.  
**83**: Dampfdichte des Pyrosulfurylchlorides 48; thermische Untersuchung des Schwefelsäurechlorhydrates (Pyrosulfurylchlorid) 158; Pyrosulfurylchlorid 293; siehe Berthelot.  
 Oglialoro (A.), **78**: Phenylzimmt-säure 820 f.; Teucrin 977.  
**79**: Phenyleumarin, p-Oxymethylphenylzimmtsäure 731 f.; Teucrin 908 f.; Pikrotoxydhydrat gegen Alkaloide 1071 f.  
**80**: Oxyphenylzimmtsäure 875 f.  
**83**: Bildung von Chlorkohlenoxyd 325.  
**84**: monokline Schwefelkrystalle 1900.  
**85**: Darstellung von Methyltropasäure 1531; siehe Paternò (E.).  
 Oglobin (W.), siehe Markownikoff (W.).  
 Oglobin, **80**: kaukasisches und amerikanisches Petroleum 1364.  
 Ogston (Frank), **82**: Chloralhydrat gegen Schwefelammonium 1307.  
 Ohi (W.), **79**: elektrolytische Bestimmung von Kobalt, Nickel und Kupfer 1053 f.  
**83**: Plagioklas 1404; Eläolithsyenit 1423.  
 Ohlmüller (W.), **84**: Zusammensetzung der Kost siebenbürgischer Feldarbeiter 1475.  
 Oishi (H.), **84**: Gewinnung von Campher und Campheröl aus Laurus Camphora 1466 f.; Gewinnung des japanesischen Camphers, Zusammensetzung des Campheröles 1829.  
 Okolowitch, siehe Petrieff.  
 Olberg (G.), **86**: Apparat zur Schmelzpunktbestimmung 2009; neuer Kühler 2010; siehe Elbs (K.).  
 Oldach, **86**: Ueberführung des Cyanäthyls in Propylamin 702.  
 Olearski (S.), **86**: dielektrisches Verhalten von Gasmischungen 245.  
 Oliveri (V.), **82**: Bildung und Verhalten des Dixilyls 413 f.; Derivate des p-Xylenols: Nitroso-p-xylenol, Nitro-p-xylenole, p-Xylenolsäure 702 f.  
**83**: Darstellung von Phlorol (o-Aethylphenol) aus Phloretinsäure 927; Phlorol gegen Natrium und Kohlensäure; Phlorolcarbonsäure 927 f.; Anisaldehyd gegen Natrium und Methyljodid: Keton  $\text{C}_9\text{H}_{10}\text{O}_2$  1172.  
**84**: Einwirkung von salpetriger Säure auf p-Monobromanilin, Bildung von p-Monobrom-o-mononitrophenol resp. p-Monobromphenol 687; Einwirkung von Acetylchlorid und Benzoylchlorid auf Chloralallylalkoholat 1027; Bestimmung der Weinsäure in der Weinhefe 1662 f.

- 86:** Darstellung von Chromoxyfluorid (Fluorchromsäure), Einwirkung desselben auf Toluol 429; Nichtexistenz von Cholera-Ptomainen 1757; siehe Canzoneri (F.); siehe Leone (T.); siehe Paternò (E.).
- Oliveri (V.) und Denaro (A.), **84:** Untersuchung von Quassiin 1401 f.
- 85:** Untersuchung des Quassins, Quassid, Pentachlorquassin 1737.
- Olivier (J.), **86:** Anwendung von Pyriten bei der Schwefelsäurefabrikation 2047.
- Olivier (L.), **85:** chemische Wirksamkeit der Strahlung (Photographie) 346 f.; siehe Étard (A.).
- Ollech (A. v.), siehe Grupe (A.).
- Olschewsky (P.), siehe Knorre (G. v.).
- Olszewski, **86:** thermodynamische Beziehungen der Dampfdrucke von Wasser und Sauerstoff 198. (Anm. 1.)
- Olszewski (K.), **84:** Bestimmung der Dichte des flüssigen Sauerstoffs 75 f.; Bestimmung der Erstarrungstemperatur von Gasen und Flüssigkeiten 179 f.; Verdampfungstemperatur des Äthylens 198; Siedetemperatur des verflüssigten Stickstoffs 198 f.; Verflüssigung von Wasserstoff 199, 322 f.; Erstarrung des Stickstoffs 323 f.; kritische Temperatur und Druck der Luft 325; Siedepunkt des Stickstoffs und Äthylens, kritischer Druck und Temperatur des Stickstoffs 326 f.; Beziehung zwischen Druck und Temperatur des flüssigen Kohlenoxyds 371.
- 85:** Bestimmung der Erstarrungstemperaturen des Stickstoffs und Kohlenoxyds sowie der Beziehung von Temperatur und Druck beim flüssigen Sauerstoff 143 f.; Verflüssigung und Erstarrung von Methan und von Stickoxyd 144 f.; Beschreibung des zur Erzeugung sehr niedriger Temperaturen benutzten Apparates und Untersuchung der Luft, sowie einer Mischung von Luft und Stickstoff mit demselben, versuchte Verflüssigung des Wasserstoffs 145; Gebrauch der verflüssigten permanenten Gase als Kältemittel 146 f.
- 86:** Dichte des Methans, des flüssigen Sauerstoffs und des flüssigen Stickstoffs 66; Vergleichung von Gasthermometern 180; Erstarrungstemperatur von Fluorwasserstoff, Phosphorwasserstoff und Antimonwasserstoff 323 f.; siehe Wroblewski (S. v.).
- O'Neil (E. C.), siehe Stillmann (J. M.).
- Onimus, **84:** Trockenelemente mit Chlorammonium und Chlorzink 238.
- Onnes (H. Kamerlingh), **81:** Theorie der Flüssigkeiten 1072.
- Onufrowicz (A.), **84:** Einwirkung von metallischem Kupfer auf Benzotrichlorid, Benzal- und Benzylchlorid: Bildung von Tolandichlorid 576, von Stilbenchlorid, von Dibenzyl 577.
- Opificius (L.), **77:** Feingold, Aufarbeitung des Eisenschlammes 1124.
- Opl (C.), **82:** Schwefelregeneration 1392 f.
- 83:** Chlorkalk 1696 f.; siehe Miller (H. v.).
- Oppenheim, siehe Pflüger; siehe Precht (H.); siehe Versmann.
- Oppenheim (A.), siehe Norton (Th.).
- Oppenheim (A.) und Hellon (R.), **77:** Propionylpropionsäureäther 699.
- Oppenheim (F.), siehe Wallach (O.).
- Oppenheim (H.), **80:** Stickstoffausscheidung 1088.
- 81:** Zucker- und Harnstoffausscheidung bei Diabetes 1032.
- Oppenheimer (H.), **86:** Verhalten von Terephtaldehyd gegen Ammoniak: Hydrobenzamidtrialdehyd und -tricarbonsäure 1635 f.; gegen Cyanalkalium: Benzoinäldialdehyd und -dicarbonsäure 1636; Condensation des Terephtalaldehydes mit Benzol: Triphenylmethanmono-p-aldehyd 1637.
- Oppermann, **85:** Untersuchung des Kesselsteines eines explodierten Dampfkessels 2162.
- Oppermann (J.), siehe Tiemann (F.).
- Ord (W. M.), **80:** Einfluss von Colloidsubstanzen auf die Krystallisation 1 f.
- Ordonneau (Ch.), **85:** Vorkommen von Propyl- und Butylalkohol im Branntwein der Charente, Fermente der Treber 1862.
- 86:** Untersuchung von Branntweinsorten 2135 f.
- Ordway, siehe Walton (E. M.).
- Ordynsky (A.), **85:** mafsanalytische Bestimmung der Phosphorsäure mittelst Uranlösung, Anwendung von Cochenilletinctur als Indicator 1913.
- Orloff (Orlow) (P.), **80:** Quecksilber in thierischen Leichnamen 1195.

- 83:** Hydrogenisierung von Terpeninöl und Cymol (Hydrotoluol) 569 f.  
**84:** neues Hexylglycerin 938.  
**86:** Hexylglycerin und Derivate 1210 ff.
- Orlowsky (A.), **81:** Nachweis von Cadmium neben Kupfer 1192.  
**82:** Nachweis von Kupferoxydul neben -oxyd 1299.  
**83:** Metallsalzlösungen gegen unterschweifigsaure Alkalien 1520; Analyse des Quellwassers von Slawinsk, Polen 1947.
- Orlowsky (A.), **81:** Affinität von Schwefel zu Metallen 24.
- Orndorff (W. R.), **86:** Zersetzung von Diazobenzolnitrat und -sulfat zu Phenetol 1041 f.
- Orr (J. B.), **81:** Actinismus 134.
- Orsat, **80:** Apparat zur Rauchgasanalyse 1240.
- Orth (A.), **77:** Bodenkunde 1172.  
**78:** Absorptionskraft des Bodens 1141.
- Orth (H.), **82:** m-Kresylbenzyläther aus m-Kresol (aus Thymol) und Benzylchlorid 688; m-Kresol gegen Salpetersäure; flüchtiges und nicht flüchtiges Mononitro-m-kresol 688 f.  
**83:** Salpetersäure-p-Mononitrobenzyläther 870.
- Ortlieb und Muller, **84:** Herstellung von Cyan- und Ferrocyanverbindungen 1740.
- Osann (A.), **84:** Analyse von Diallagandesit 2024; siehe Bernthsen (A.).
- Osborn (T. B.) und Mixter (W. G.), **86:** p-Formonitroanilid 799 f.
- Osborne (Th. B.), **84:** Trennung von Zink und Nickel mit Schwefelwasserstoff 1600.  
**85:** quantitative Bestimmung von Niob bei Gegenwart von Tantal 1930.  
**86:** höhere Oxyde des Kupfers 442 f.; quantitative Bestimmung des Niobs 1942.
- Oschikawa (N.), siehe Kellner (O.).
- Oser (J.) und Böcker (F.), **79:** Fluoren 684.
- Oser (J.) und Kalmann (W.), **81:** Tetrahydroellagsäure 843; Indicator 844; Tetrahydroellagsäure als Indicator 1158.
- O'Shea (L. T.), siehe Carnelley (Th.).
- O'Shea (Trant L.), siehe Carnelley (Th.), siehe Trant O'Shea (L.).
- Osmond, **85:** Bestimmung der Temperaturerhöhungen beim Lösen von Gußstahl im Kupferammoniumchlorid 200 f.; Bestimmung von Schwefelwasserstoffgas in Gemischen 1906; colorimetrische Manganbestimmung zur Stahlanalyse 1935.
- Osmond und Werth, **85:** zellige Structur des Gußstahles 2028 f.
- Osmond (F.), siehe Witz (G.).
- Osmond (M.), **86:** Phänomene beim Erhitzen und Abkühlen des Gußeisens und Stahles 2031 ff.
- Osmond (R. T.), siehe Marshall (D. H.).
- Ossikowszky (J.), **80:** Tyrosin und Skatol 1105; Fäulnis des Fibrins 1106 f.; Schwefelarsen als Gift 1126 f.
- Ossipoff, **80:** Fumarsäure 807.
- Ossipoff (J.), **79:** Fumar- und Maleinsäureäther 633; Fumarsäure bei der Oxydation 635.  
**83:** Hopfenöl 1424.
- Ost (H.), **77:** Phenoldi- und -tricarbonsäure 784; Umwandlung der Tricarbonsäure in Trimesinsäure 785.  
**78:** Löslichkeit der drei Oxybenzoesäuren und der Benzoessäure in Wasser 757 f.; Oxytrimesinsäure 804.  
**79:** Pyromeconsäure 646 f.; Bildung von Paraoxybenzoessäure 682.  
**81:** Mekonsäure, Pyromekonsäure gegen Brom 755; Pyromekazonsäure und Derivate 756.  
**83:** Vorkommen von Pyridin im käuflichen Ammoniak 665; Pyromekazon und Pyromekazonsäure 1102; Oxykomenaminsäure, Bromoxykomenaminsäure 1103; „Azocarbon-säure“ 1103 f.; Komenaminsäure, Pyromekomenaminsäure 1104; Nitrooxyromekonsäure 1104 f.; Komenaminsäure gegen Phosphorchlorid: Aldehyd der Dihydrooxyppyridincarbonsäure 1105; Penta- und Hexachlorpicolin 1106; Monochlor- $\alpha$ -picolin 1106 f.; Chlorjodpicolin 1107; Dichloroxycolinsäure, Dichlorpicolinsäure 1107 f.; Dichlorpicolinsäure gegen Zinn und Salzsäure: Tetrahydromonochlorpicolinsäure; Monochlorpicolinsäure 1108; Hexahydropicolinsäure, Dichlor- $\alpha$ -oxycolinsäure,  $\alpha$ -Oxycolinsäure 1109; Monochlor- $\beta$ -oxycolinsäure 1109 f.;  $\beta$ -Oxycolinsäure, Komensäure gegen Phosphorpentachlorid: Hexachloräthan und Perchlormekylen 1110.  
**84:** Einwirkung von Hydroxylamin auf Komensäure, Oximidomansäure,  $\beta$ -Oxycolinsäure 1166;

- Untersuchung der stickstoffhaltigen Derivate der Mekonsäure 1173 f.; Mono- und Diacetylkommenaminsäureäther, Dibenzoylkommenaminsäureäther 1173; Dichlorkomansäure, Monochlorkomansäure, Komansäure, Pyrokoman 1174.
- Ost (H.) und Mente (A.), **86**: Darstellung von Oxalimid 1311 f.; Oxalimidquecksilber 1312.
- Ostermaier (H.), siehe Fischer (O.); siehe Friedländer (P.).
- Ostermayer (E.), **84**: Chrysen-vorkommen in einem Gasretortenrückstand 1811; Darstellung neuer jodierter Azofarbstoffe 1879.
- 85**: Chlormethylate des Pyridins und der Chinolinbasen 953 bis 957; Pyridinchlormethylat 953; Pyridinmethylikrat, Pyridinbrommethylat, Pyridinchlormethylat-Chlorjod, Chinolinchlormethylat, Chinolinbrommethylat, Chinolinchlormethylat-Chlorjod 954; Base  $C_{20}H_{20}N_2O$ , Tetrahydrochinolinchlormethylat, Tetrahydrochinolinchlormethylat-Chlorjod, Dimethyl - p - amidochinolinchlormethylat, Dimethylamidhydrochinolinchlormethylat 955 f.; Dichinolinchlormethylat und Chlorjodderivate 956; Bildung von Farbstoffen 957; Eigenschaften des aus Benzidin erhaltenen Dichinolylns (Dichinolins, Dichinolylns),  $\alpha$ -Dichinolylinmonomethylsulfat 1015; Einwirkung von Chlorjod-Salzsäure auf Caffein 1681.
- Ostermayer (E.) und Dittmar, **84**: Einwirkung von Phosgen auf Chinolin 1375.
- Ostermayer (E.) und Dittmar, (M.), **85**: Darstellung rother, violetter und blauer Farbstoffe durch Einwirkung von Chlorjod-Chlorwasserstoff auf Pyridin, Chinolin, Naphtochinolin, Anthrachinolin oder deren Homologen 2229.
- Ostermayer (E.) u. Henrichsen (W.), **84**: Darstellung von Chinolinchlormethylat 1373 f.; Tetrahydrochinolinchlormethylat, Oxychinolinchlormethylat, Dimethylamidochinolinchlormethylat, Hydrodimethylamidochinolinchlormethylat,  $\alpha$ -Dichinolinchlormethylat 1374; Darstellung von  $\alpha$ -Dichinolin ( $\alpha$ -Dichinolyln) und Derivaten 1379 f.
- Ostermayer (E.) und Rosenheck (J.), **84**: Derivate der Dinaphtole:  $\alpha$ -Dinaphtoldiäthyläther,  $\alpha$ -Dinaphtoldimethyläther,  $\beta$ -Dinaphtoldimethyläther,  $\beta$ -Dinaphtoldiäthyläther 1020;  $\alpha$ - und  $\beta$ -Dinaphtolkalium und -natrium 1021.
- Osterseizer (S.), **84**: Bestimmung der Löslichkeit des Stickstoffs im Dünger 1765.
- Ostwald (W.), **77**: volumchemische Studien 283; zwei Säuren gegen eine Basis 1033.
- 78**: volumchemische und optisch-chemische Studien 27.
- 79**: chemische Affinitätsbestimmungen 24 f.
- 80**: chemische Affinitätsbestimmungen 8; Massenwirkung des Wassers 8 f.
- 81**: Affinitätsbestimmungen 11 f.
- 82**: Wechselwirkung neutraler Salze beim Schmelzen 115 f.; Geschwindigkeit der Umwandlung von Amiden in Ammoniumsalze 520; Anfertigung und Correction von Büretten 1350.
- 83**: Studien zur chemischen Dynamik: Acetamid gegen Säuren 15 bis 18; Bestimmung der AffinitätsgröÙe, prädisponirende Verwandtschaft der Säuren gegen Lösungen von Essigsäure-Aethyl- und -Methyläther, Geschwindigkeit dieser Reaction 18 f.; Geschwindigkeit derselben bei Einwirkung von Schwefelsäure, organischen Sulfosäuren sowie einbasischen organischen Säuren 20 f.; katalysirende Wirkungen der Trichloressigsäure im Verhältniß zu ihren Affinitätsconstanten 21.
- 84**: Affinitätsbestimmungen 17 f.; chemische Dynamik, Inversion des Rohrzuckers 20 ff.; elektrische Leitungsfähigkeit anorganischer und organischer Säuren 264 ff.
- 85**: Studien zur chemischen Dynamik, Inversion des Rohrzuckers 11 ff.; Widerstandsbestimmung von Elektrolyten 259 f.; elektrochemische Studien: Leitungsfähigkeit der Säuren 269 ff.; Einfluß der Zusammensetzung und Constitution der Säuren auf ihre elektrische Leitungsfähigkeit 273 ff.
- 86**: Ursprung der elektromotorischen Kraft 259; elektrochemische Untersuchungen 267; elektrische Leitungsfähigkeit der Basen und von Aminen (Affinitätscoefficienten) 267 f.



- Ostwald (W.) und Banthisch (W.), **84**: Löslichkeit von Baryum-Strontium-Calciumsulfat in Säuren 18 f.
- Ostwald (W.) und Huecke (O.), **84**: Löslichkeit des Weinstein in verdünnten Säuren und Bestimmung der Affinitätscoefficienten derselben 17 f.
- O'Sullivan (C.), **79**: Dextrin 845 f.
- 82**:  $\alpha$ - und  $\beta$ -Amylan aus Cerealien 1126 f.; Invertzucker aus Lävulan und Dextran 1127.
- 84**: Untersuchungen über die Gummiarten der Arabingruppe 1441 f.; Bestimmung der Stärke in Cerealien 1653 f.
- 86**: Zuckerarten in Gerste und Weizen vor und nach der Keimung 1778; Vorkommen (Krystallform) von Raffinose (Cerealose) in der Gerste 1878 f.
- Ota (M.), siehe Kellner (O.).
- Ota (M.) und Yoshida (H.), **86**: Bestimmung von absorptiv gebundenem Kali, Kalk, Magnesia im Boden, Ernährung der Erbsenpflanze 2091.
- Othmar und Zeidler (F.), **79**: Kohlenwasserstoffe gegen Oxydationsmittel 359 f.
- Ott (A.), **79**: Pigmentpapier für die Kohlephotographie 1177.
- 81**: Eiweißumsatz gegen Natrium- und Calciumcarbonat 1031.
- 84**: Trennung der Eiweißkörper im Harn 1653.
- 85**: Untersuchung der Phosphate des Harns 1840; Bestimmung des Säuregehaltes in Bier, Wein, Würze, Malzhefegut, Bestimmung der Trockensubstanz im Malz 1976; Fällbarkeit des Globulins 1991.
- Ott (H.), **84**: Ursprung der Soolquelle von Dürkheim a. d. Hardt 2033.
- Ott (Ph.), **85**: Bildungsweise der Phenylloxypivalinsäure 1543 bis 1545; Isobutyrylphenylloxypivalinsäure und deren Anhydrid, Salze dieser Säuren 1543; Anhydrid der Acetylphenylloxypivalinsäure, Acetylphenylloxypivalinsäure 1544; Essigsäureanhydrid gegen Benzaldehyd und isobutters. Natron 1545.
- Otten (F. K.), **81**: Flußwässer von Transkaukasien 1442; transkaukasische Wässer 1453.
- Otto (C.), **85**: neuer Coaksofen 2178.
- Otto (J.), **82**: Oxyhämoglobin aus Schweineblut 1205.
- 84**: Untersuchung über Vaseline 1827; siehe Hüfner (G.).
- Otto (J. G.), **82**: Darstellung und Titrierung von Traubenzucker 1120 f.
- 83**: Umwandlung des Fibrins durch Pankreasferment 1377 f.; Oxyhämoglobin des Pferdeblutes 1451 f.; Methämoglobin, Oxyhämoglobin 1454.
- 84**: Vorkommen von Indoxyl- und Skatoxylschwefelsäure im diabetischen Harn 1504.
- 86**: Blutkörperchenzahl und Hämoglobingehalt des Blutes 1842; Gehalt des Blutes an Zucker und reduzierender Substanz 1842 f.
- Otto (R.), **77**: Benzolsulphydrat 372.
- 79**: Sulfobenziddisulfosäure 751; Di-p-toluolsulfon 756; Darstellung von reinem Schwefelwasserstoff 1024.
- 80**: aromatische Mercaptane gegen Schwefelsäure 620; Toluolsulfosäure 916; Constitution und Synthese der Sulfone 934 f.; Rückschlagventil 1240; Magnesia carbonica 1300.
- 82**: Aethylsulfochlorid aus Aethylsulfonsäure, Ueberführung des Aethylsulfochlorides in Thioäthylsulfonsäure-Aethyläther (Aethyldisulfoxyd) 998 f.; Thiobenzolsulfonsäure-Aethyläther (Aethylphenyldisulfoxyd) aus Benzolsulfochlorid resp. Thiobenzolsulfosäure 999 f.; Thio-p-toluolsulfonsäure-Aethyläther (Aethyltolylidisulfoxyd), p-Toluolsulfonsäure 1000; Krystallform des Benzoldisulfoxyds (Thiobenzolsulfosäure-Phenyläther) 1001 f.
- 83**: Schwefelwasserstoff gegen Salzsäure 1535; neutrale Silbernitratlösung gegen Arsenwasserstoff 1550 f.; Nachweis von Kalk in Citronensäure und Weinsäure 1607.
- 84**: Verhalten von Quecksilberdiphenyl, Quecksilberditolyl gegen Kaliumpermanganat 1350; Reinigung des Schwefelwasserstoffgases von Arsen 1567.
- 85**: Darstellung von Benzolsulfoxyd und Quecksilberphenylchlorid 1589 f.; von Phenyl-p-tolylsulfon und Quecksilber-p-tolylchlorid 1590.
- 86**: Benzol- und p-Toluolsulfosäure-Phenyläther, Krystallform von p-toluolsulfosaurem Kalium und p-Toluolsulfochlorid 1546; Sulfonketone

- (Monophenylsulfonaceton, Derivate und Homologe) 1640; Desarsenirung der Salzsäure 1922 f.; Prüfung des Kupfers auf Arsen 1923; siehe Beckurts (H.); siehe Pauly (C.).
- Otto (R.) und Beckurts (H.), **81**: deutsche Quellwässer 1444.
- 85**: Darstellung von  $\alpha$ -Monochloracrylsäure und von  $\alpha$ -Monobromacrylsäure 1337; Untersuchung der Dichloradipinsäure und der Pyrocinchonsäure 1404 bis 1409; Pyrocinchonsäureanhydrid 1404; Salze der Pyrocinchonsäure, Pyrocinchonimid 1405; Constitution der Pyrocinchonsäure als Dimethylmaleinsäure, der  $\alpha$ -Dimethylbernsteinsäure (Hydropyrocinchonsäure, Isoadipinsäure), isomere Adipinsäuren 1406 f.; Dichloradipinsäure 1407; Salze und Constitution derselben 1408; Säure  $C_6H_7ClO_2$  (Monochlortiglinsäure?) 1409.
- Otto (R.) und Böttinger (C.), **86**: Verhalten von Sulfbenzid und Sulfotoluid gegen schmelzendes Kali 1588.
- Otto (R.) und Damköhler (H.), **84**: Untersuchung über die Alkyldisulfone und Alkyldisulfoxyd 1314 bis 1325; Aethylendiphenylsulfon, Phenylsulfonäthylalkohol 1315; Essigsäure-Phenylsulfonäthyläther, Benzoësäure-Phenylsulfonäther, Phenylsulfonäthylschwefelsäure 1316; Phenylsulfonäthylchlorid, Äthylphenyl-p-tolylsulfon, Phenylsulfonäthyläther 1317; polymerer Phenylsulfonäthyläther 1318; Diphenylsulfonäthylamin 1319; Diphenylsulfonäthylmonomethylamin 1320; Phenylsulfonäthylamin, Phenylsulfonessigsäure 1321; Diphenylsulfonäthylsulfid 1322; Aethylendiphenylsulfonsulfosäure, Aethylendi-p-tolylsulfon 1323; p-Tolylsulfonäthylalkohol, p-Tolylsulfonäthylchlorid, p-Tolylsulfonäthyljodid, Benzoësäure-p-Tolylsulfonäthyläther, Di-p-tolylsulfonäthylsulfid, p-Tolylsulfonäthylsulfoxyd 1324; Di-p-tolylsulfonäthylamin 1325.
- Otto (R.) u. Engelhardt (H.), **86**: Einwirkung von sulfinsäuren Alkalisalzen auf die Alkalisalze dihalogensubstituierter Fettsäuren der aliphatischen Reihe: Methylenchlor-, Methylphenyl- und Aethylendiphenylsulfon 1544; Nachweis der Nichtexistenz der Phenylsulfinessigsäure 1553 f.
- Otto (R.) und Knoll (A.), **78**: Sulfobenzidsulfosäure 861.
- Otto (R.) und Lüders (R.), **80**: Schwefelverbindungen des Benzyls 915 f.
- Otto (R.) und Mühe (J.), **86**: Sulfobenzid-m-monosulfosäure, Salze und Derivate 1588 f.
- Otto (R.) und Otto (W.), **85**: Bildung von Sulfonen aus alkylsulfonirten Säuren 1587 bis 1589; Phenylsulfonäthylalkohol 1587; Phenylsulfonacetsäure, Methylphenylsulfon, Phenylsulfonacetsäure Salze gegen Kalilauge, p-Tolylsulfonessigsäure 1588; Methyl-p-tolylsulfon, p-Tolylsulfonessigsäureamid, Aethylphenylsulfon,  $\alpha$ -Phenylsulfonpropionsäure, p-Tolylsulfon- $\alpha$ -propionsäure, Aethyl-p-tolylsulfon 1589.
- Otto (R.) und Rössing (A.), **85**: Constitution der Sulfinsäuren und Sulfone, Darstellung von Phenylsulfonameisensäure-Aethyläther 1585; Benzolsulfinsäure-Aethyläther, Benzoldisulfoxyd (Thiophenylsulfosäure-Phenyläther) 1586; Tollylsulfonameisensäure-Aethyläther, p-Toluolsulfinsäure, p-Toluoldisulfoxyd, Aetherificirung der Sulfinsäuren 1587.
- 86**: Triäthylsulfonbromid 1207 f.; Alkyldisulfide mit verschiedenen Radicalen: Phenyl-p-tolyldisulfid 1218 f.; Aethylamylidisulfid 1219; Aethylphenyldisulfid 1219 f.; Oxydation aromatischer Sulfinsäureester zu Sulfonsäureestern 1544 f.; Verseifung von Thiosulfonsäureestern 1545 f.; Phenylsulfameisensäure-Aethyläther (Phenylthiokohlensäure-Aethyläther) 1549; Verhalten der Alkyldisulfide und Alkyldisulfoxyde gegen Kaliumsulfid: Bildung von Mercaptiden 1587 f.; Sulfobenziddisulfosäure und Derivate 1589 ff.
- Otto (R.) und Schiller (R.), **80**: Quecksilbermercaptid gegen Weingeist 605.
- Otto (W.), siehe Otto (R.).
- Otto (W. G.), **83**: Phosphorkupfer und Phosphorzinn 1680.
- 84**: Darstellung dichter Metallgüsse 1697.
- d'Otreppe du Bouvette, siehe Bouvette (d'Otreppe du).
- Oudemans (A. C.), **77**: Chinin- und Cinchonidintartrate 886.

**86:** Zersetzung des chlorchromsauren und fluorchromsauren Kaliums durch die Hitze 428 f.

Oudemans jun. (A. C.), **79:** spezifisches Drehungsvermögen des Chinamins 816 f.

**80:** Conchinamin, Darstellung aus Chininum 979 f.

**81:** Dichte und Ausdehnung des Diäthylamins 407; Conchinamin 967.

**82:** spezifisches Drehungsvermögen der Salze von Chinin, Chinidin, Cinchonin, Cinchonidin, Chinamin, Conchinamin 196; spezifisches Drehungsvermögen der Salze des Apocinchonins und Hydrochlorapocinchonins 197; Dichte und Ausdehnungscoeffizient des Diäthylamins 480.

**83:**  $\alpha$ -Chinovin und Chinovasäure 1370 f.; Chinoven und Apochinovasäure aus Chinovasäure 1371; Rhizopogonin (Rhizopogonsäure) aus Rhizopogon rubescens 1404 f.

**84:** krystallisiertes Ferrisulfat 397.

**85:** Anwendung des Gesetzes der Densitätszahlen auf Lösungen 50; Bestimmung der Dichte des Ausdehnungscoeffizienten und der Brechungsexponenten von Aethyläther 53 ff.; Beziehungen zwischen dem chemischen Charakter und dem spezifischen Drehungsvermögen (Alkaloide, Podocarpinsäure, Chinasäure) 340 f.

Oudemans (C.), **77:** Disaggregation des Zinns 276.

Ouvrard (L.), siehe Troost (L.).

Overbeck (A.), **83:** Bestimmung des Ohm 211.

Overbeck (R.), **84:** Entstehung thermoelektrischer Ströme 245 f.

Owens (Frl. B. E.), **78:** spezifisches Gewicht des Quecksilberjodids und einiger Doppelsalze 25.

Owens (M. E.), siehe Clarke (F. W.).

Owens (Mary E.) und Japp (F. R.), **85:** Darstellung von Aethyldibenzoïn, der Verbindung  $C_{46}H_{34}O_4$ , Benzoïn gegen alkoholisches Kali 1649.

## P.

Paal (C.), **82:** Acetylchlorid gegen Benzaldehyd sowie Aldehyd 744.

**83:** Hydrobenzoiindiacetat 968; Acetophenonacetessigsäure - Aethyläther, Acetophenonacetessigsäure, Acetophenonaceton 1220; Isonitrosoacetophenonaceton 1220 f.; Acetophenon-

acetessigsäure-Aethyläther gegenalkoholisches Kali: Säure  $C_{12}H_{10}O_3$  1221.

**84:** Einwirkung von Zinkstaub auf ein Gemisch von Benzaldehyd und Benzoylchlorid 1037; Einwirkung von Acetylchlorid und Zinkstaub auf Benzophenon 1053; Derivate des Acetophenonacetessigäthers 1288 bis 1292; Acetophenonaceton, Phenylhydrazinacetophenonaceton, Dehydroacetophenonaceton 1288; Phenylmethylfurfuran, Tetrahydrophenylmethylfurfuran 1289; Bromphenylmethylfurfurantetrabromid, Dehydroacetophenonacetoncarbonsäure 1290; Phenylmethylfurfuran carbonsäure 1291; Acetonylacetessigäther, Pyrotitarsäureäther, Pyrotitarsäure, Dimethylfurfuran carbonsäure, Dimethylfurfurandicarbonsäure 1292.

**85:** Synthese von Thiophen- und Pyrrolderivaten 1201 bis 1203; Phenylmethylthiophen, Phenylmethylpyrrol 1201; Synthese des Thioxens (Dimethylthiophens) und Dimethylpyrrols, Di- und Tribromthioxen 1202; Methylthiophencarbonsäure (Thiotolencarbonsäure) 1203; Untersuchung des Acetonylacetons: Diso-nitrosoacetonylaceton, Diphenylhydrazinacetonylaceton 1633; Darstellung von Selenoxen 1633 f.

**86:** Oxythiophenderivate aus  $\gamma$ -Ketonsäuren: Phenylloxythiophen (Phenylthienon) aus  $\beta$ -Benzoylisonbernsteinsäure oder Benzoylpropionsäure und Phosphorpentasulfid, Oxythiotolen (Thiotenol) aus Lävulinsäure, Reduction des Oxythiotolens zu Thiotolen 1189; siehe Kues (W.); siehe Lederer (L.); siehe Liebermann (C.).

Paal (C.) und Schneider (C. W. T.),

**86:** Pyrrolderivate aus Acetonylaceton und aus Acetophenonessigäther durch Einwirkung von Aethylendiamin, Trimethylendiamin, m-Phenylendiamin, Benzidin, Amidoeessigsäure, m-Amidobenzoëssäure, o-Amidophenol und Amidoozobenzol 716 bis 720: N-Aethylen- $\alpha$ -tetramethyldipyrrol 716; N-Trimethylen- $\alpha$ -tetramethyldipyrrol 716 f.; N-p-Diphenylen- $\alpha$ -tetramethyldipyrrol 717; N-Aethylen- $\alpha$ -dimethyldiphenyldipyrrol- $\beta$ -dicarbonsäure 717 f.; N-Essigsäure- $\alpha$ -Methylphenylpyrrol- $\beta$ -carbonsäure 718 f.; N-m-Phenylen- $\alpha$ -di-

- methyldiphenyldipyrrol- $\beta$ -dicarbon-  
säure-Aethyläther, N-p-Diphenylen-  
 $\alpha$ -dimethyldiphenyldipyrrol- $\beta$ -dicar-  
bonsäure-Aethyläther 719; N-m-Ben-  
zoësäure- $\alpha$ -methylphenylpyrrol- $\beta$ -car-  
bonsäure 719 f.; N-Azobenzol- $\alpha$ -me-  
thylphenylpyrrol- $\beta$ -carbonsäure 720;  
Pyrrolderivate aus Acetonylacetone:  
o-Dimethylpyrrolphenol und m-Di-  
methylpyrrolbenzoësäure 1284.
- Paal (C.) und Tafel (J.), **85**: Dar-  
stellung und Salze der  $\alpha$ -Thiophen-  
monocarbonsäure 1181 f.; Synthese  
von Thiophen aus Erythrit 1182.
- Paalzow, **78**: Sauerstoffspectrum 175.
- Paalzow (A.), **81**: Volumenometer.  
35, 1233.
- Paalzow (A.) und Vogel (H. W.),  
**81**: Spectrum des Sauerstoffes 119 f.
- Pabst, siehe Girard.
- Pabst (A.), **82**: Trennung des Ortho-  
rosanilins vom Pararosanilin 554 f.;  
Indophenol, Solidviolett (Gallocyanin)  
1496 f.
- 85**: Untersuchung frischen Him-  
beersaftes 1809; siehe Girard (C.).
- Pabst (J. A.), **80**: Essigäther, Dar-  
stellung und Derivate 604 f.; Oxy-  
dation von Mannit 611.
- 81**: Rosaniline 476; siehe Girard  
(Ch.).
- Pabat (W.), **80**: Hälleflinta, Phos-  
phyroide 1494 f.
- 81**: chinesische und japanesische  
Thongesteine 1276 f.
- Padé (L.), siehe Arnaud (A.); siehe  
Dubois (Ch.).
- Paesi (Charles), **78**: Gerben von  
Häuten mit Eisenchlorid und Koch-  
salz 1176.
- Paetow (U.), siehe Michaelis (A.).
- Page, **84**: Gewinnung von Chloral  
1741 f.
- Page (A. G.), **84**: anorganische Chlo-  
ride als Chlorüberträger 469 f.
- Page (C. C.), **84**: Analyse von Ama-  
zonenstein 1980.
- Page (M.), **83**: Analyse des Lithion-  
glimmers von Pihra - Hazáribagh,  
Bengalen 1885 f.
- Page (W. F.), **80**: Löslichkeit des  
Schwefelkohlenstoffs in Wasser 279;  
Livingstonit 1408; Augit 1456.
- Page (W. T.), siehe Mallet (J. W.).
- Pagel (A.), **77**: Humus gegen Sauer-  
stoff und Stickstoff 1172.
- Pagel und Märcker, **77**: Stärke in  
Zucker und Pflanzen 1175.
- Pagenstecher, siehe Fittig (R.).
- Pagliani (S.), **77**: Aldehyde 603.
- 78**: Bildung von Alkoholen bei  
der Darstellung von Aldehyden 513;  
Einwirkung von schwefliger Säure  
auf Alkohole der Fettreihe 518. 837.
- 79**: Naphtylharnstoffe 348; Eisen-  
reaction der Salicylsäure 1066.
- 82**: Bestimmung der specifischen  
Wärme 100 f.; specifische Wärme von  
Salzlösungen 106 f.
- 83**: Bestimmung des specifischen  
Gewichtes 49; specifische Wärme und  
Dichte einiger Mischungen von Wasser  
mit Propyl- und Isopropylalkohol  
122 f.; Verhältniß zwischen Dichte  
und Siedepunkt der Fractionen des  
Erdöles von Montechino 1760.
- 86**: elektromotorische Kräfte beim  
Contact von Flüssigkeiten 252; siehe  
Naccari (A.).
- Pagliani (S.) und Battelli (A.), **86**:  
Reibungscoefficient von gashaltigen  
Flüssigkeiten und von Alkoholen 113 f.
- Pagliani (S.) und Emo (A.), **83**: Lö-  
slichkeit von Ammoniak und Alko-  
holen 87.
- 84**: Absorption des Ammoniak-  
gases durch Alkohole 904.
- 85**: Ausdehnungscoefficienten,  
Spannungscoefficienten und specifische  
Wärme bei constantem Volum für  
Flüssigkeiten 108 f.
- Pagliani (S.) und Palazzo (L.), **85**:  
Bestimmung der Compressibilitäts-  
coefficienten einer Reihe organischer  
Verbindungen 107 f.
- Pagliani (S.) und Vincentini (G.),  
**84**: Compressibilität von Wasser,  
von Alkohol 109 f.
- Pahl (A.), **84**: Constitution und De-  
rivates des Phenisobutylamins 731 bis  
734: Jodisobutylbenzol, p-Jodbenzo-  
säure, Diphenisobutylthioharnstoff,  
Phenisobutylsenföhl, Phenisobutyl-  
cyanür, Isobutylbenzoësäure 732; Di-  
phenisobutylharnstoff, Diphenisobu-  
tylguanidin, Triphenisobutylguanidin  
733; Diphenisobutylthioharnstoff, Car-  
bodiiphenisobutylimid 734.
- Paikul (S. R.), **77**: Homilit 1306.
- Paikul (S. R.), **78**: Pikroterphroit 1239;  
Serpentinanalyse 1248; Eukrasit 1272.
- Painter (E.), **86**: Darstellung von  
ölsaurem Quecksilber 1405.
- Paktowsky (J.), **83**: Leitungsver-  
mögen einer Flüssigkeit unter dem  
Einflusse der Magnetisirung 212.

- Palazzo (L.), siehe Battelli (A.); siehe Pagliani (S).
- Palis, siehe Limpricht (H).
- Palla (E.), **84**: Krystallform von Natrolith 1977.
- 85**: Krystallform des Chloroplatinates des Dioxypyridindiäthyläthers 811, des Dioxypyridiniumoäthyläthers und dessen Chloroplatinates 813; Krystallform von Brenztraubensäureglycid 1375.
- 86**: Krystallform von Aposepinchlorid-Platinchlorid 692; Krystallform des Dioxypyridinmonoäthyläthers und seines Chloroplatinates, des Chloroplatinates von Dioxypyridindiäthyläther 769; Krystallform von Nitrosodipropylanilin und von dessen Cyanhydrin 837 f.; Krystallform einer neuen (Chinolin?) Verbindung  $C_{10}H_7N O_2 \cdot CH_3J \cdot H_2O$  930 f.
- Pallós, **83**: krystallographische Untersuchung des schwefelsauren Aethylbiguanids 488.
- Palm (R.), **83**: Nachweis und Bestimmung der Milchsäure 1605; Reagentien auf Pflanzenalkaloide: Chinin, Cinchonin, Chinidin, Morphinum, Codein, Narcotin, Strychnin, Brucin, Atropin, Bebeerin gegen Natriumsulfantimoniat 1611 f.; Pflanzenalkaloide gegen Bleichlorid, Bebeerin gegen Kochsalzlösung 1612; Fällung des Pikrotoxins durch basisch-essigsaures Bleioxyd 1616; violetter Farbstoff im Mutterkorn, Nachweis von Mutterkorn im Mehl 1636 f.; Isolirung von Farbstoffen aus Garancin, Sandelholz und Cochenille 1637; Nachweis von Mutterkorn in Mehl und Brot 1746.
- 84**: Ausscheidung und quantitative Bestimmung der Glycoside aus *Digitalis purpurea* 1647 f.
- 85**: Ausscheidung und quantitative Bestimmung des Digitalins, Digitalins, Digitins aus *Digitalis purpurea* 1666; Ausscheidung des Pikrotoxins aus seinen Lösungen 1666 f.; Verhalten von Digitalin und Solanin gegen Bleihydroxyd 1667.
- Palmer (A. G.), **85**: Ueberführung der Amidotoluolsulfosäure in Aethoxytoluolsulfosäure 1032; siehe Remsen (J.).
- Palmer (A. W.), siehe Hill (H. B.); siehe Richards (E.).
- Palmer (C. S.), siehe Remsen (J.).
- Palmer (Chase), siehe Chase Palmer.
- Palmer (G. H.), siehe Mabery (C. F.).
- Palmer (G. M.), siehe Michael (A.); siehe Kinnicutt (L. P.).
- Palmieri (G.), **82**: Silberlösung gegen Glycerin 1302.
- Palmieri (L.), **81**: Diagonometer 98.
- 86**: Elektrizitätserregung bei der Condensation von Wasserdämpfen 243; elektrische Ladung von Flammen 245.
- Pampe (L.), **83**: die Schaumgährungsfrage in der Spiritusfabrikation 1737.
- Pampel (O.) und Schmidt (G.), **86**: Phenyläthyl- und Naphthylmethylketon und Derivate 1644.
- Panaotović (W.), **85**: Untersuchung des (p-)Methylisatins 1154 f.: Acetyl- und Nitroderivat des (p-)Methylisatins 1154; p-Methylisatinsäure und Nitroderivat derselben 1155.
- 86**: p-Methylisatinsäure und Derivate 1437; p-Methylanthransäure und Derivate 1437 f.; Derivate des p-Methylisatins 1439.
- Panaotovits (W.), **84**: Darstellung von Anthrachinon 1071.
- Pancera (G.), siehe Fels (J.).
- Panebianco (R.), **78**: krystallographische Untersuchung des Tribenzylamins und einiger Derivate 476 f.; Dimorphismus des Paraacetoluids 678 f.
- 79**: Krystallform von Tribrommono- und -dinitrobenzol 387 f., von Monojodnitrobenzol 388, Monobromacetanilid 415, Mononitrotoluidin 432.
- 80**: Krystallform von Lapachosäure 831, von Isopropylbenzoësäure 878.
- 82**: krystallographische Untersuchung von Perchlörpyrocoll 487, von Perchlörpyrocolltetrachlorid 488; krystallographische Untersuchung der Tartronsäure und des Mangantartro-nates 831; siehe Mauro (F.).
- Panek (Cl.), siehe Michaelis (A.).
- Pantanelli, **82**: Krystallform des sauren tartronsauren Mangans 648; krystallographische Untersuchung der Tartronsäure und des Mangantartro-nates 831.
- Panum (P. L.), **77**: septische Keime der Luft 1018.
- Paoloffski (V.), **84**: Uebertragen von Photographien auf Porzellan, Holz 1895.
- Papasogli (G.), **77**: Terpentinsel 377.

- 78:** Erkennung des Kobalts 1065.  
**79:** Reaction auf Kobalt 1054; Reaction auf Nickel 1055.  
**81:** Kohlensäure gegen Jodkalium (ozonoskopische Papiere) 205; siehe Bartoli (A.).  
 Papasogli (G.) und Poli (A.), **77:** reducirende Wirkung von Aepfelsäure und Citronensäure gegen Chromsäure 1080.  
**83:** Nachweis der Aepfelsäure 1606.  
 Pape (C.), **77:** Wärmeleitung von Kupfervitriol 101.  
**81:** Siliciumpropylverbindungen: Siliciumtripropylwasserstoff (Silicodacan), Siliciumtetrapropyl, Siliciumtripropylbromür, Siliciumtripropylalkohol, Siliciumtripropylessigäther 888.  
**84:** Untersuchung von Siliciumpropylverbindungen 1346 f.; siehe Baeyer (A.).  
 Papilsky (S.), **80:** Phenylsulfoessigsäure 856 f.  
 Paquelin und Joly, **78:** Uebertritt von Hypophosphiten und Pyrophosphaten in den Harn 1009 f.  
 Parcus (E.), **81:** Gehirnstoffe 1057.  
 Pareau (A. H.), **77:** Dissociation krystallwasserhaltiger Salze 140.  
 Pareño (A. G.), **77:** Mangan im Spiegeleisen 1062.  
 Parenti (G.), siehe Schiff (H.).  
 Parish (R.), **77:** Waage 1099.  
 Parker (F.), **77:** Quecksilberthermometer 91.  
 Parker (R. H.), **79:** Evonymin, Iridin, Leptandrin 911.  
**80:** Kaliumchlorat gegen Eisenjodür 324; Myrrhe 1085; Eisen- und Jodbestimmung des Syrupus ferri jodati 1181.  
**81:** Salicin 988.  
**82:** Terpent inolhydrat (Terpin) 427.  
 Parker (Spear J.), siehe Spear Parker (J.).  
 Parkes, **80:** Lacke aus Celluloid 1369.  
 Parkes (H.), **78:** Nickelgewinnung aus Garnierit 1106.  
 Parmentier (F.), **81:** Silicomolybdänsäure 284 f.  
**82:** Molybdänsäurehydrat 322; Einwirkung des Kaliumdimolybdänates auf Oxyde 322 f.; Silicomolybdänsäure 326; Trennung von Rubidium und Cäsium 327; siehe Chancel (G.).  
 Parmentier (F.) und Amat (L.), **84:** Dimorphismus von unterschwefligsaurem Natrium 9 f.  
 Parmentier (J.), siehe Chancel (G.).  
 Parnell (E. A.), **80:** Abtreibung des Zinks 1263 f.  
 Parnell (E. W.), **84:** Einwirkung von Nitriten auf Alkalisulfide 1730; siehe Simpson (J.).  
 Parnell (E. W.) und Simpson (J.), **85:** Neuerungen im Ammoniaksoda-proceß 2073, 2075.  
**86:** Trennung des Schwefelwasserstoffes von Stickstoff 2046 f.  
 Parnell (W.), **78:** Darstellung von Natron aus Soda 1128.  
 Parodi (D.), **80:** Tayuya 1079.  
 Parodi (G.), siehe Mascazzini (A.).  
 Parodi (G.) und Mascazzini (A.), **78:** elektrolytische Bestimmung von Blei, Eisen und Antimon 1067.  
 Parr (S. W.), **85:** Fettbestimmung in der Milch 1987 f.; Untersuchung von Milch auf Albuminoide 1989.  
 Parrisius (A.), siehe Tiemann (F.).  
 Parry (J.), **83:** säurebeständige Ziegelsteine 1711.  
**84:** Spectra der Dämpfe von Eisen und Stahl 792.  
 Parsons (H. B.), **77:** Arsenwasserstoff gegen Säuren 233.  
**80:** Damiana 1076 f.; Pflanzenanalyse 1216.  
**82:** Analyse der Wurzel von Berberis aquifolium, Berberin, Oxyacanthin 1172.  
**85:** Darstellung von Oleaten 1443.  
 Parsons (H. P.), **82:** Aconitsäure aus Sorghumsaft 1444.  
 Parsons (H. R.), **78:** Oxydations- und Reductionstabelle 192.  
 Paschkis (H.), **82:** Nachweis von Quecksilber in thierischen Substanzen 1339 f.  
**84:** Abscheidung von Phytosterin aus dem Colchicumssamen 1450.  
**85:** Schillerstoff aus Atropa Belladonna 1806.  
**86:** Schillerstoff der Atropa Belladonna: Scopoletin 1812.  
 Pasquier, siehe Pellet.  
 Passavant (Laura M.), **81:** specifisches Volum des Chlorals 42.  
 Passavant (S. C.), siehe Erlensmeyer (E.).

**Passmore (F. W.), 85:** Verhalten des Chinins beim Eindampfen mit Kalk 1704 f.

**Pasteur (L.), 77:** Bier 1197.

**78:** Gährung 1015 f.

**79:** Theorie der Gährung 1002;

Bakterienarten 1016.

**80:** Drehungsvermögen der Lactose 1019; Phylloxera 1067; Milzbrandbakterien 1133; Essigfabrikation 1855 f.

**84:** Darstellung drehender Substanzen 303 und 304.

**85:** Entwicklung eines jungen Thieres bei sterilisirter Nahrung 1792.

**86:** Ursache des verschiedenen Geschmacks der beiden Asparagine 1344.

**Pasteur und Joubert, 77:** spontane Bildung von Organismen 1018.

**Pastrovich (P.), 82:** Nachweis von Fuchsin im Rothweine 1333.

**83:** Cörlignol aus Buchenholztheer 944; Derivate des Cörlignols 945; Picamar aus Birkenrindentheer 945 f.; Derivate des Picamars: Diacetylpicamar 946; Picamarkalium 946 f.; Constitution des Picamars 947; siehe Schwarz (H.).

**Patera (A.), 77:** Vanadin- und Uranverbindungen 1121; Phosphorgehalt der Coaks 1217.

**79:** Vanadin aus Uranerzen 1100.

**Paternò (E.), 77:** Sordidin und Zeorin 932.

**78:** Darstellung von Kohlenoxychlorid 228 f.; Identität des Cumols mit Isopropylbenzol 388; Darstellung von Chlorkohlenoxyd (Chlorkohlensäureäther) 673 f.; p-Propylbenzoesäure 804; Usninsäure aus Zeora sordida und florida, Carbonusninsäure aus Usnea barbata 830; Usninsäure und Dicarbonusninsäure 831; cymolsulfosaures Natrium 856.

**79:** Lapachosäure 908.

**80:** Atranorsäure 1078; Glauber-salz 1423.

**81:** Synthesen nach Perkin 838; p- und m-Fluorbenzoesäure 887 f.

**82:** Untersuchung der Lapachosäure aus Lapacho- oder Teigüholz 973 bis 980; Bromlapachosäure 975; Mono- und Diacetyl-lapachosäure 976 f.; Hydrolapachosäure 978 f.; Amylnaphtalin aus Lapachosäure, Constitution der Lapachosäure

979; Lapachon 979 f.; Usninsäure, Decarbousnein, Decarbousninsäure, Acetylverbindungen 986 f.; Pyrousninsäure, Usnetol, Pyrousninsäure 987 f.; Usneol, Usnolsäure, Usninanilid, Constitution der Usninsäure 988; Atranorsäure und Rangiformsäure aus Cladonia rangiformis 988 f.; Atranorinsäure und Atrarsäure aus Atranorsäure 989; Fisciasäure aus Fiscia parietina 989 f.

**83:** Cymol aus Homocuminsäure 545; Geschichte der p-Cymolsulfosäuren 1282.

**Paternò (E.) und Canzoneri (F.), 78:** Vergleich von natürlichem Thymol mit Thymol aus Campher 587.

**79:** Thymoläther gegen Salpetersäure 519 f.; Nitrosothymol, Nitrocamphothymol, Amidocamphothymolchlorhydrat 567.

**80:** Thymole 664.

**81:** Bromcymolsulfosäure 568; Cymidin, Oxyecymol 569.

**Paternò (E.) und Colombo (C.), 77:** Bromcymol gegen Schwefelsäure 861; Quecksilberdicymyl 867.

**Paternò (E.) und Mazzara (G.), 78:** Darstellung von Benzylkresol 591; Cumophenolcarbonsäure (Oxycuminsäure) 806 f.

**79:** Wasser von Termini-Imerese 1266.

**Paternò (E.) und Nasini (R.), 86:** Molekulargewichtsbestimmungen nach Raoult 56 f.

**Paternò (E.) und Ogialoro (A.), 77:** Atranorsäure 811; Pikrotoxin, Pikrotoxin 934; Lecanora atra 953.

**79:** Limonin, Columbin, Pikrotoxin 912.

**81:** Pikrotoxin und Derivate 978 f.

**Paternò (E.) und Oliveri (V.), 82:** Diazoamidobenzoësäuren, Diazoamido-p-toluylsäure, Diazoamidoanissäure gegen Fluorwasserstoffsäure: Fluorbenzoësäuren, Fluortoluylsäure, Fluor-anissäure 900 f.

**83:** Fluorbenzol und Fluortoluol 1299.

**Paternò (E.) und Scichilone (S.), 81:** Cymol gegen Chromylchlorid (Chromoxychlorid) 602.

**83:** Cymol gegen Chromoxychlorid: isomere Cuminsäurealdehyde 965 f.; Mesitylen gegen Chromoxychlorid: Mesitylensäurealdehyd; o- und p-Amyltoluol, Phenetql, o- und p-Kre-

- sol, sowie Styrol gegen Chromoxychlorid 966.
- Paternò (E.) und Spica (P.), **77**: Propylbenzol, normales, Propylphenol 374; Propylisopropylbenzol, Propylbenzoesäure, Homoterephthalsäure 378; Cumphenol 576.
- 78**: Cuminalkohol in Cymol 534; Constitution des Betulins 955 f.
- 79**: Cymol 369; Cymolderivate 369 f.; Cymolcarbonsäure 725.
- 82**: ptomainähnliche Substanzen aus Ochsenblut und Albumin 1115 f.
- Paterson (W. M.), **77**: Infusorienerde 1274.
- Pathe (K.), siehe Kelbe (W.).
- Patrouillard, **81**: Thee 1019.
- Patrouillard (C.), **77**: Arsensäure in Alkalien 1045.
- 82**: Reactionen und Bestimmung von Arsen 1277.
- Patrouillard (L.), **77**: Magnesiumacetat 676.
- Patry (E.), **85**: Apparat zum Entfetten der Wolle 2201.
- Pattera, **82**: unverbrennliche Gewebe 1470.
- Patterson, siehe Wright.
- Patterson (L. G.), **86**: Analyse eines Silicates 2292.
- Pattinson, **77**: Zerstörung von Hochöfen 1209.
- 86**: Gebrauch des Nitrometers 1916.
- Pattinson (H.), siehe Michler (W.).
- Pattinson (H. L.), **86**: Gewinnung von Baryum- und Strontiumhydroxyd 2061 f.
- Pattinson (J.), **79**: Manganbestimmung 1047 f.
- 80**: Manganbestimmung 1183.
- 82**: Arsenbestimmung im Kupfer 1300.
- 84**: Aufstellung einheitlicher analytischer Methoden zur Werthbestimmung von Handelsproducten 1549 f.
- 86**: Titration des Mangans in Erzen 1934 f.; Verlust des Chlorkalks an wirksamem Chlor beim Lagern 2080.
- Pattinson (S.), siehe Michler (W.).
- Pattison Muir (M.), **82**: Nachweis des Zinns neben Antimon; oxydirende Wirkung der schwefligen Säure auf Zinnchlorür 1301.
- Pauchon (A.), **80**: Keimung 1046.
- Pauchon (E.), **79**: Dampfspannungen von Salzlösungen 66 f.
- 83**: Löslichkeitsmaximum des Natriumsulfats 146.
- Paucksch (H.), **84**: Derivate der Amidoäthylbenzole 716 bis 721:  $\alpha$ -Acetoxylid,  $\beta$ -Acetoxylid, Di-p-äthylphenylthioharnstoff 717; Dinitroacetyl-p-amidoäthylbenzol, Dinitro-p-amidoäthylbenzol, Mononitroacetyl-p-amidoäthylbenzol, Mononitro-p-amidoäthylbenzol 718; Acetyl-o-amidoäthylbenzol, Benzoyl-o-amidoäthylbenzol, Benzoyl-p-amidoäthylbenzol, o - Amidoäthylbenzolmonosulfosäure 719; Di-p-phenäthylharnstoff, Di-p-phenäthylguanidin 720; p-Phenäthyl-p-äthylmesatin 721.
- Paul und Kingzett, **79**: Aconitin 928.
- Paul (B. H.), **77**: Cinchonidin im Chinin 1085.
- 78**: Trennung von Cinchonidin und Chinin 1083.
- 83**: Alkaloidgehalt von Cinchonarinden 1409.
- 85**: Zersetzung des Cocaïns beim Eindampfen, Löslichkeit, Salze desselben 1719 f.
- 86**: Cocaïn und Salze, Cocaïnbenzoat 1701; Benzoylcegonin aus Cocaïn 1701 f.
- Paul (B. H.) und Cownley (A. J.), **81**: Alkaloid aus Cinchona cuprea (Ultrachinin?) 944 f.
- 84**: Spaltung des Homochinins, Untersuchung von Cuprein 1393.
- 85**: Untersuchung des Cupreins und Bildung von Homochinin (Verhältniß von Cuprein und Chinin im Homochinin) 1710.
- Paul (B. H.) und Kingzett (C. T.), **78**: Basen aus Aconitum 904 f.; Werthbestimmung von Catechu und Mimosenrinde 1086.
- Paul (C.), **77**: Urin gegen Methylviolett 1094.
- Paul (C. M.), **77**: Flysch (Lava) 1367.
- 78**: Ofener Bittersalzwässer 1304.
- 81**: Osokerit und Naphta 1410.
- Paul (C. M.) und Tietze (E.), **79**: kaspisches Naphtadistrict 1240.
- Paul (L.), **77**: Metacrylsäure 711.
- 84**: Herstellung brauner, blauer, scharlachrother Azofarbstoffe 1875.
- Pauleau, siehe Varenne (E.).
- Pauli, **80**: Wegschaffung schwefelhaltiger Lauge 1291.
- Pauli (T.), **80**: Salicylsäure in der Milch 1102.



- Paulus (L.), **82**: Neuerungen in der Bierbrauerei 1449.
- Pauly (C.), **77**: Sulfinsäuren der Fettreihe: Isobutylsulfonsäure, Isobutylsulfonchlorid, Isobutylsulfinsäure 816; siehe Müller (H.).
- Pauly (C.) und Otto (R.), **77**: Benzoldisulfoxyd 819; Benzolsulfinsäure, Paratoluoldisulfoxyd 820.
- 78**: Einwirkung von Kalilauge auf Aethylsulfoxyd 837; aromatische Disulfoxyde 860 f.
- Pauly (M.), **77**: Benzophenon und Aceton gegen Aniline und Homologe: Diphenylmethylenanilin, Methylanilin und Homologe 633; Diphenylmethylenlolidin, Diphenylmethylen-naphtylamin 634.
- Paur (F.), **79**: Ausdehnung des Zinns und Bleies 55 f.
- 80**: Kiesabbrände, Verarbeitung 1252 f.
- Pavec (A.), **79**: Phosphorsäure im Superphosphat 1038.
- Pavesi (A.) und Rotondi (C.), **77**: Trinkwasser in Mailand 1133.
- Pavesi (C.), **82**: Chlorcalciumcampher 769; albuminirtes Ferborotartat 858.
- Pavy (F. W.), **77**: Blutzucker 993, 1093.
- 78**: Zuckerbestimmung im Blute 1093.
- 79**: Zucker im Blute 962 f.; Bestimmung des Traubenzuckers 1067 f.
- 81**: Glycogen 1039.
- 83**: Verhalten der Kohlehydrate im thierischen Organismus 1441.
- 84**: Physiologie der Kohlehydrate im thierischen Organismus 1473.
- Pawel (O.), **79**: Doppelnitrosulfurete des Eisens 250 f.
- 82**: Nitrosulfide des Eisens 291 bis 293; Nitroprussidverbindungen 294.
- Pawlewski (Br.), **80**: Reaktionsgeschwindigkeiten 11; Säure aus Viscum album 834; Viscum album 1061.
- 81**: Siedepunktsbestimmung 1233.
- 82**: Bestimmung der kritischen Temperaturen zusammengesetzter Ester 109 f.; Trimethylcarbinol 652.
- 83**: Apparat für Dampfdichtbestimmung 48; kritische Temperaturen einiger Flüssigkeiten 134 f.
- 84**: Einwirkung von Aluminiumchlorid auf Gemische von Alkoholen der Fettreihe und Aethylchlorocarbonat 904; Darstellung von Kohlen-säure-Aethylphenyläther 1092 f.
- 85**: Vorkommen des p-Xylols im galizischen Petroleum 680.
- Pawlewski (Br.) und Leppert (H. W.), **85**: Darstellung zweier Santoninchloride 1736 f.
- Pawlinow (A.), **81**: Trimethylphenylammoniumjodid und -hydroxyd 459.
- Pawlinoff (A.) und Wagner (G.), **84**: Einwirkung von Zinkäthyl auf Furfuröl 1035 f.; Aethylfurfurcarbinol 1036.
- Pawlow (D.), **77**: Trimethylcarbinol 531; Methyläthylpropylcarbinol und Methyläthylisopropylcarbinol 535; zinkorganische Verbindungen gegen Säurechloride 868.
- 78**: Darstellung und Untersuchung eines Hexylens aus Dimethylisopropylcarbinol 376; Identität des Pinakons aus Aceton mit Tetramethyläthylenglycol 527, 536.
- 79**: Tetramethyläthylen, Pinakon 360 f.
- Pawlow (W.), **83**: Tetrinsäure (Acetylacrylsäure) aus Monobrommethylacetessigäther 1090 f.; Pentinsäure und Heptinsäure 1091.
- 85**: Verhalten von Tetrinsäure bei der Destillation mit Kalk: Methyläthylketon 1384; Verbindung  $C_5H_5Cl_5O$ , Säure  $C_5H_3ClO_3$  1384 f.
- 86**: Zusammensetzung und Molekulargröße der Tetrinsäure 1364.
- Pawlow (W.) und Mendelejeff (D.), **86**: spec. Gewicht der Schwefelsäure 134.
- Pawolleck (B.), **83**: Bestimmung des Chromgehaltes der Chromoxydsalzen und Chromoxydhydrate des Handels 1560.
- Paykull (S. R.), **79**: Zirkoniumverbindungen 241.
- Payne, **77**: Reinigung von Kesselwasser 1135.
- Payne (A.), **77**: Kohlensäuredarstellung 1143.
- 80**: Spence-Metall 1283.
- Paysan, siehe Stutzer (A.).
- Paysan (W.), siehe Limpricht (H.).
- Peake (W. A.), siehe Warington (R.).
- Peale (A. C.), **84**: Vorkommen von Pealit, Geysirit und Viandit in Kieseisinter 1914; die heißen Quellen des Nationalparks, Nordamerika 2038.
- Pearce (R.), **83**: Bestimmung des Arsens in Erzen und Hüttenproducten 1546, 1547.

Pease (E. T.), **81**: Nicotinbestimmungen 1209.

Pebal (L. v.), **81**: Apparat zur Bestimmung von Schwefelwasserstoff 1234.

**82**: Anwendung des Magnetismus zur Trennung der Felsgemengtheile 1589.

**86**: Kohlenstoffnickel 411 f.; Wassergehalt des Ferrocyantriums 512; Verhalten von Nickel gegen Kohlenstoff 2040 f.

Pebal (L.) und Jahn (H.), **86**: spezifische Wärme des Antimons und einiger Antimonverbindungen 189 f.

Pebal (L.) und Schacherl (G.), **82**: Dampfdichte und Formel der Unterchlorsäure 53.

Pecham (S. F.), **77**: Röhpetroleum 1078.

Pechiney, **85**: Ofen zur Gewinnung von Chlor, zum Glühen von Natriumdicarbonat und zur Herstellung von Coaks 2055.

Pechiney (A. R.), **78**: Zerstörung des Cyans bei der Sodaschmelze 1129; Entwässerung des krystallisirten Natriumsulfats 1132.

**80**: Schwefel aus Sodalaugen 1291.

**81**: Ammoniak-Sodaproceß 1269.

Pechmann (H. v.), **79**: Synthese des Anthrachinons 588.

**80**: Monoxydiphenylphthalid 902 f.

**81**: Benzoylbenzoesäure gegen Phenole: Benzolresorcinphtalein 838; Dioxytriphenylmethancarbonsäure 839; Benzolresorcinphtaleinanhydrid, Benzolpyrogallolphtalein 840; Trioxytriphenylmethancarbonsäure 841; o-Benzoylbenzoesäure gegen aromatische Kohlenwasserstoffe: Diphenylphthalid, Benzoylbenzoesäureanhydrid 841; Ditolylphthalid 842.

**82**: versuchte Darstellung von Naphtochinon aus Benzoylacrylsäure (isomeres Naphtochinon) 963 f.; Benzoylacrylsäure, Verh. gegen Brom, p-Toluylacrylsäure aus Maleinsäureanhydrid und Benzol bei Gegenwart von Chloraluminium 965; Benzoylpropionsäure gegen Essigsäureanhydrid, Natriumamalgam: Phenylbutyrolacton 965 f.; Benzoylcrotonsäure aus Citraconsäureanhydrid 966.

**83**: Dihydronaphtoesäure aus Benzylacetessigsäure-Aethyläther 1218 f.

**84**: Darstellung von Acetondicarbonsäure aus Citronensäure 1144; Darstellung von Cumalinsäure aus Aepfelsäure 1153 f.; neue Bildungsweise der Cumarine 1249 ff.; Umbelliferon, Daphnetin 1250; Synthese des Daphnetins 1444.

**85**: Darstellung von Pyridinderivaten aus Oxynicotinsäure und Constitution derselben: Meth- und Phenoxynicotinsäure 814; siehe Cornelius (H.); siehe Dünischmann (M.); siehe Stokes (H. N.).

Pechmann (H. v.) und Cohen (J. B.), **84**: Einwirkungsproducte von Phenolen auf Acetessigäther, Untersuchung 958 bis 961: Allylresorcinmonomethyläther, Dimethyl- $\beta$ -methylumbellsäure-Methyläther 958; Dimethyl- $\beta$ -methylumbellsäure, Dimethyl- $\beta$ -resorcylsäure,  $\beta$ -Methylbromumbelliferondibromid (Tribromresocyanin),  $\beta$ -Methylbromumbelliferonmethylätherdibromid, Bromoxy- $\beta$ -methylcumarilsäure 959; Methoxy- $\beta$ -methylhydrocumarinsäureanhydrid, Mono-, Dinitro- $\beta$ -methylumbelliferon 960; Amido- $\beta$ -methylumbelliferon, Nitrosoamido- $\beta$ -methylumbelliferon,  $\beta$ -5-Dimethylcumarin,  $\beta$ -Methylidaphnetin 961;  $\beta$ -6-Dimethylumbelliferon, 4-6-Dioxy- $\beta$ -methylcumarin 962.

Pechmann (H. v.) und Duisberg (C.), **83**: Acetessigäther gegen Resorcin:  $\beta$ -Methylumbelliferon und Derivate 1065 f.;  $\beta$ -Methylumbellip-methyläthersäure aus  $\beta$ -Methylumbelliferonmethyläther 1067; Benzoylessigäther gegen Resorcin:  $\beta$ -Phenylumbelliferon 1067 f.; Methylacetessigäther gegen Resorcin:  $\alpha$ - $\beta$ -Dimethylumbelliferon, Acetessigäther gegen Phenol:  $\beta$ -Methylcumarin, m- $\beta$ -Methylcumarin, Dioxy- $\beta$ -Methylcumarin 1068.

Pechmann (H. v.) und Stokes (H.), **85**: Darstellung von  $\beta$ -Oxamidoglutaminsäureäther aus Acetondicarbonsäureäther, von Glutazin, von Pentabromacetylacetamid, des Aethiers  $C_6H_2N_2Cl_3(O_2C_2H_5)$  1395.

Pechmann (H. v.) und Wehsarg (K.), **86**: Dinitroaceton 1640 f.

Pechmann (H. v.) und Welsh (W.), **84**: Bildung von Pyridinderivaten aus Cumalinsäure 1154 bis 1157: 1-4-Oxynicotinsäure 1154; Chlornicotinsäure, Nicotinsäure, Phenoxynicotin-

- säure 1155; Methoxynicotinsäure, Bromcumalinsäure 1156; Bromoxynicotinsäure, Bromphenoxynicotinsäure 1157; Einwirkung von Phenolen auf Aepfelsäure 1251 f.; o-Methyl-p-propylcumarin, m-Oxycumarin 1251; Homoumbelliferon,  $\beta$ -Naphthocumarin 1252.
- 85:** Bildung von Pyridinderivaten aus Cumalinsäure resp. Aepfelsäure 814.
- Pécholier (G.), **85:** Wirkung des Chinins beim typhösen Fieber 1850.
- Pécholier und Redier, **83:** physiologische Wirkung des Veratrin 1488.
- Pecile, siehe Cossa (A.).
- Pecirka (F.), **83:** Bestimmung von Jod im Harn 1647.
- Peckham (S. F.), **79:** Bestimmung des specifischen Gewichtes geringer Mengen von Flüssigkeiten 43; Asche der Weizenkleie 915; Mehlexplosionen 1136.
- 84:** Entstehung der bituminösen Stoffe 1997.
- Peckham (S. F.) und Hall (C. W.), **80:** Zeolithe 1468.
- Peckolt (Th.), **79:** über den Melonenbaum 931 f.
- Peddie (W.), **86:** Aenderung des Schmelzpunktes durch Druck 194.
- Pedersen (Rasmus), **78:** Gährung der Bierwürze 1157.
- Pegna (E.), **80:** Nitrobenzol in Kirschchlorbeeröl und Bittermandelöl 1229; siehe Tommasi (D.).
- Peine (G.), **84:** Darstellung von Hydrocinnamid 1045 f.; Derivate des Phenyl- $\alpha$ -oxycrotonsäurenitrils, Phenyl- $\alpha$ -amidocrotonsäure, Synthese von Zimtaldehyd 1046.
- Peiper (E.), siehe Schulz (H.).
- Peirce (B. Osgood), **79:** elektromotorische Kräfte von Gasbatterien 133; Emissionspectren der Quecksilberhaloidverbindungen 166.
- Peirce (G. K.), siehe Smith (E. F.).
- Peitach (B.), Rohn (W.) und Wagner (P.), **80:** Phosphorsäurebestimmung 1161 f.
- 81:** Phosphorsäurebestimmung 1169.
- Pekelharing (C. A.), **80:** Pepton 1043.
- 81:** Pepton 999.
- Pelechin, **80:** Verband für putride Wunden 1340.
- Pelerin, **85:** Zusammensetzung des „Vegetocorrectif“ 2162.
- Peligot (E.), **79:** Saccharin, neues Kohlenhydrat 855 f.
- 80:** Kalkverbindung der Lävulose 1018; Saccharin 1025.
- Pellacani (P.), **82:** Nigellin und Connigellin aus *Nigella sativa* 1175.
- 83:** Beiträge zur Pharmakologie der Camphergruppe: physiologische Wirkungen des Campherols, Borneols, Menthols, Bromcamphers, Bildung von Borneolglycuronsäure und Mentholglycuronsäure 1487.
- 85:** wirksame Bestandtheile der *Piscidia erythrina* (Piscidin) 1818.
- Pellagri, **78:** Reaction auf Morphin und Codein 1085.
- Pellagri (G.), **77:** Zersetzung von Jodkalium 1052; Morphinreaction 1085.
- Pellat (H.), **79:** elektromotorische Kraft des oxydirten Kupfers im Kupfervitriol 133 f.
- 86:** Elektrodynamometer 241 f.
- Pellegrini (N.), **79:** Kieselkupfer 1213 f.
- 80:** Thonboden 1325.
- Pellet, **83:** Aufschließung des Chromeisens 1521.
- Pellet und Pasquier, **77:** Zuckerbestimmung 1193.
- Pellet (H.), **77:** Einfluss der Alkalien auf das Drehungsvermögen des Zuckers 188; Jodstärke 898; Salzsäurebestimmung durch Silberlösung 1037; Eisen-, Thonerde- und Phosphorsäurebestimmung 1043; Ammoniak gegen phosphors. Erden 1044.
- 78:** Invertirung der Saccharose 919 f.; Saft der Blätter der Runkelrübe 963; Bereitung der Fehling'schen Lösung 1076; Dynamit und Schießbaumwolle 1138; Salze des Bodens 1143 f.; Einwirkung verschiedener Substanzen auf den kristallisirbaren Zucker 1147.
- 79:** Zusammensetzung der Pflanzen 885 f.; Stickstoffbestimmung in organischen Substanzen 1029; Zuckeranalysen 1136; Photographie 1177, 1178.
- 80:** Ammoniak in Pflanzen 1056; Kartoffelanalysen 1085; *Soya hispida* 1078; Thierkohle gegen Zuckersäfte 1348.
- 82:** Vorkommen von Ammoniak als Ammonium-Magnesiumphosphat in Pflanzen 1147 f.

stellung des Diphenylketonoxides 985; siehe Hummel (J. J.).

Perkin (A. G.) und Perkin (W. H. jun.), **85**: Verhalten von anthrachinonmonosulfos. Natrium bei der Destillation (m - Oxyanthrachinon, Anthrachinon und Chinon des Anthrachinons) 1651 f.

**86**: Kamala (gelber Farbstoff), Mallotoxin 2211.

Perkin (W. H.), **77**: Kohlenwasserstoffe aus Homologen der Zimmtsäure: Isopropylvinylbenzol 379, Isopropylallylbenzol 380, Isopropylbutenylbenzol, Allylbenzol, Butenylbenzol 381; Kohlenwasserstoffe aus Homologen der Anissäure: Paravinylanisöl, Anethol (Parallylanisöl) 382; Parabutenylanisöl 383; Alizarin und Anthrapurpurin, Nitro- und Amidoalizarin 586; Glyoxylsäure aus Silberdibromacetat, Diäthylglyoxylsäureäther 695; Synthese von Zimmtsäure und seinen Homologen: Phenylcrotonsäure, Phenylangelicasäure 789; Isophenylcrotonsäure, Cumenylacrylsäure 790; Hydrocumenylacrylsäure (Cumenylpropionsäure), Cumenylcrotonsäure, Cumenylangelicasäure, Cinnamenylacrylsäure 791; Hydrocinnamenylacrylsäure, Cinnamenylcrotonsäure, Cinnamenylangelicasäure, Methylparaoxyphenylacrylsäure, Methylparaoxyphenylpropionsäure, Methylparaoxyphenylcrotonsäure, Methylparaoxyphenylangelicasäure 792;  $\beta$ -Methylorthoxyphenylacrylsäure (Methylcumarsäure), Methylorthoxyphenylcrotonsäure, Methylorthoxyphenylangelicasäure,  $\alpha$ -Methylorthoxyphenylacrylsäure 793; Anthrapurpurin 1242.

**78**: Derivate des Anisols 582; Anthrapurpuramid (Amidoalizarin) 669 f.; Isoanthraflavinsäure 670; Verhalten von Anthrapurpurin gegen Ammoniak 611.

**79**: Isobuttersäureanhydrid gegen Aldehyde 614 f.; Mauvein und Derivate 1163 f.; Alizarin 1174.

**80**: Oxydation von p-Toluidin 536 f.; Dibromanthrachinone 740; Verbrennung stickstoffhaltiger organischer Verbindungen 1197 f.; Mauvein 1385.

**81**: Maleinsäure- und Fumarsäureanhydrid 716 f.; Citra- und Mesaconsäureäther 732; Cumarin, Propionyl-

und Butyrylcumarin 824;  $\alpha$ - und  $\beta$ -Methyl-o-oxyphenylacrylsäuren 826;  $\alpha$ - und  $\beta$ -Aethyl-o-oxyphenylacrylsäuren, Methyl-o-oxyphenylpropionsäure 827; Methyl-o-oxydinitrophenylacrylsäure, Methyl-o-oxybromphenyldibrompropionsäure, Methyl-o-oxybromphenylpropionsäure,  $\alpha$ - und  $\beta$ -Methyl-o-oxyphenyldibrompropionsäure, Methyl-o-oxydibromphenyldibrompropionsäure, Methyl-o-oxyphenylbromacrylsäure, Methyl-o-oxyphenylpropionsäure 828;  $\alpha$ -Aethyl-o-oxyphenyldibrompropionsäureäther, Aethyl-o-oxyphenylbromacrylsäure,  $\alpha$ -Methyl-o-oxyphenylcrotonsäure-Methyläther 829;  $\alpha$ - und  $\beta$ -Methyl-o-oxyphenylcrotonsäure 830; Methyl-o-oxyphenylbuttersäure, Methyl-o-oxydibromphenyldibrombuttersäure,  $\alpha$ - und  $\beta$ -Methyl-o-oxyphenylangelicasäure, Methyl-o-oxydibromphenyldibromvaleriansäure 831;  $\beta$ -Aethyl-o-oxyphenylcrotonsäure, Methyl-p-oxyphenylacrylsäure-Methyläther 832.

**84**: Beziehung zwischen der magnetischen Drehung der Polarisations-ebene und der chemischen Zusammensetzung organischer Verbindungen 305 f.

**85**: magnetische Circularpolarisation 341; Köhlentheerfarben 2255.

**86**: molekulares Drehungsvermögen des Wassers (Hydratbildung) 313 f.; Bildung von Säuren bei der Einwirkung von Anhydriden und Salzen auf Aldehyde und von Ketonen aus den Verbindungen von Anhydriden mit Salzen, Synthese von Zimmtsäure, Phenylloxypivalinsäure, Aceton, Methylpropylketon 1292 f.

Perkin (W. H.) und Hodgkinson (W. R.), **80**: Benzylchlorid gegen Phenylacetat 479 f.; Essigsäurephenyläther gegen Natrium 642; Natrium gegen Phenylacetat 765.

Perkin (W. H. jun.), **82**: leuchtende unvollkommene Verbrennung organischer Substanzen 118 f.; Drehung der Polarisations-ebene durch den Magneten 197 f.; Condensation von Oenanthol: Aldehyde  $C_{11}H_{20}O$  und  $C_{28}H_{56}O$ ; Alkohol  $C_{11}H_{20}O$  — 741; Siedepunkt und spezifisches Gewicht des Oenanthols 741 f.; Fumarsäure gegen Acetylchlorid: Maleinsäureanhydrid und Chlorbernsteinsäureanhydrid 852 f.

**83:** Einwirkung von Diazobenzolchlorid auf Nitrobenzylcyanid, Nebenproduct bei der Darstellung von Nitrobenzylcyanid 767; Isobutyraldehyd gegen alkoholisches Kali: Condensationsproducte desselben (Octylacetessigsäure) 951 f.; Condensationsproducte des Oenanthols 954 f.; festes Polymerisationsproduct des Oenanthols, Acetaldehyd gegen alkoholisches Kali 955; Diphenylketonoxyd 984; Tetramethylen- und Trimethylenlenderivate aus Acetessigäther, Benzoylessigäther und Malonsäureäther 1015 bis 1018; Acetyltetramethylen-carbonsäureäther 1015 f.; Acetyltetramethylen-carbonsäure, Acetyltetramethylen, Benzoyltetramethylen-carbonsäureäther 1016; Benzoyltetramethylen-carbonsäure 1016 f.; Benzoyltetramethylen, Tetramethylen-dicarbonsäureäther, Tetramethylen-dicarbonsäure, Tetramethylenmonocarbonsäure 1017; Acetyltrimethylen-carbonsäureäther, Acetyltrimethylen-carbonsäure, Benzoyltrimethylen-carbonsäure, Benzoyltrimethylen 1018.

**84:** Einwirkung von Aethylenbromid und Natriumäthylat auf Malonsäureäther 1080 ff.: Darstellung von Trimethylen-dicarbonsäureäther, Trimethylen-di- und -monocarbonsäure 1080; Identität der Trimethylen-dicarbonsäure mit der Vinylmalonsäure, Acetyltrimethylen, Benzoyltrimethylenoxim 1081; Acetylmethyltrimethylen-carbonsäureäther, Acetylmethyltrimethylen-carbonsäure, Acetylmethyltrimethylen, Darst. von Trimethylen-tetracarbonsäureäther, Trimethylen-tetracarbonsäure 1082; Trimethylen-tricarbonsäure 1083; Untersuchung von Benzoylessigsäure 1259 ff.: Phenylpropionsäure 1259; Benzoylessigsäureäther, Monobromallylacetophenondibromid 1260.

**85:** synthetische Bildung geschlossener Kohlenstoffketten: Trimethylen-di- und -monocarbonsäure 577; Dibenzylmalonsäure, Acetyl- und Benzoyltrimethylen-carbonsäure, Zersetzungsproducte 578 f.; Darstellung von Trimethylenjodür 725; Trimethylen-dicarbonsäure 1391 f.; Trimethylenmonocarbonsäure-Aethyläther, Tetramethylen-dicarbonsäure gegen Bromwasserstoffsäure 1392; Darstel-

lung der Pentamethylen-dicarbonsäure 1418 bis 1420: Pentan- $\omega_2$ - $\omega_2$ -tetracarbonsäureäther,  $\alpha$ -Pimelinsäure, Natriumverbindung  $C_{17}H_{36}Na_2O_8$ , Pentamethylen-tetracarbonsäure 1419; Pentamethylen-dicarbonsäureanhydrid 1420; Constitution der Dehydracetsäure, Dehydracetsäure-Methyläther und dessen Natriumverbindung; Einwirkung von Anilin auf den Methyläther, Verbindung  $C_{15}H_{15}NO_3$ , Bildung eines Farbstoffs, Körper  $C_{13}H_{13}NO$  1436 f.; Benzoylessigsäure und Derivate 1512 bis 1519: Aethylbenzoylessigäther 1512; Allylbenzoylessigäther, Nitrosobenzoylessigäther, Dibenzoylessigäther, Dibenzoylessigsäure, Tribenzoylessigäther 1513; Tetrabenzoylmethan,  $\beta$ -Phenylmilchsäure,  $\alpha$ -Chlorzimmtsäure, Benzalbenzoylessigäther 1514; Derivate des Benzoylessigäthers: Dibenzoylbernsteinsäureäther, Silbersalz  $C_{18}H_{12}O_6Ag_2$  1515; Diphenylfurfurandicarbonsäure und deren Anhydrid, Monobenzoylbernsteinsäureäther 1516; Benzoylpropionsäure, Dehydrobenzoylessigsäure 1517; Dehydrobenzoylessigsäure-Aethyläther und dessen Natriumverbindung 1518; Chlorodehydrobenzoylessigsäure 1519.

**86:** Condensation von Formaldehyd mit Malonsäureäther: Propan- $\omega_1$ - $\omega_2$ -tetracarbonsäureäther; Umwandlung des letzteren in Glutarsäure und in Trimethylen-dicarbonsäure 1323 f.; Einwirkung von Trimethylenbromid auf Natriumacetessigäther (Acetyltetra- und -trimethylen-carbonsäureäther 1332; Einwirkung des Bromids auf Acetessigäther, Benzoylessigäther und Acetondicarbonsäureäther:  $\omega$ -Monobrombutylmethyl- und -phenylketon 1332 f.; Constitution der Trimethylen-dicarbonsäure 1368 f.; Synthese von Tetramethylen-dicarbonsäure aus Butan- $\omega_2$ - $\omega_2$ -tetracarbonsäure 1373 f.; Tetramethylen-tetracarbonsäure 1374; Constitution der Undecylensäure, physikalische Eigenschaften von Mono- und Diallylessigsäure und Diallylmalonsäureäther 1400; Benzoylessigsäure 1465; Einwirkung von alkoholischem Kali auf o-Xylylen-dichlordimalonsäureäther: o-Phenylendiacrylsäure 1521 f.; auf o-Xylylen-dimalonsäureäther: o-Phenylendipropionsäure 1522; siehe

- Baeyer (A.); siehe Colmann (H. G.); siehe Perkin (A. G.).
- Perkin (W. H. jun.) und Bellenot (G.), **84**: Darstellung von p-Nitrobenzoylessigsäure 1263 f.; Nitroso-p-nitrobenzoylessigäther 1264.
- 85**: Untersuchung der p-Mononitrobenzoylessigsäure 1519 bis 1521; p-Nitrobenzoylessigäther und dessen Natriumverbindung, Aethyl-p-nitrobenzoylessigäther 1519; Di-p-nitrobenzoylbernsteinsäureäther, p-Nitrobenzoyltetramethylencarbonsäureäther, p-Nitrobenzoyltrimethylencarbonsäureäther, Allyl-p-nitrobenzoylessigäther, p-Nitrobenzoyltrimethylencarbonsäureäther 1520; p-Nitrobenzoyltrimethylencarbonsäure 1521.
- 86**: Ester und Derivate der p-Mononitrobenzoylessigsäure 1465 f.
- Perkin (W. H. jun.) und Berkhart (C.), **84**: Untersuchung der Dehydracetsäure 1183 ff.; Dehydracetoxim 1183; Monobromdehydracetsäure, Oxydehydracetsäure 1184; Acetyloxydehydracetsäure, Einwirkung von Alkalien auf Dehydracetsäure 1185.
- Perkin (W. H. jun.) und Calmeyer (C.), **86**: Ester und Derivate der p-Nitrobenzoylessigsäure 1462 f.; p-Nitrobenzoylchlorzimmtsäure,  $\alpha$ -Methyl-p-nitrobenzoylchlorzimmtsäure,  $\beta$ -oxypropionsäure, p-Nitrobenzoylfurfurandicarbonsäure 1463.
- Perkin (W. H. jun.) und Calmeyer (C.), **86**: Untersuchung der p-Nitrobenzoylcarbonsäure 1462 f.; p-Nitrobenzoylchlorzimmtsäure,  $\alpha$ -Methyl-p-nitrobenzoylchlorzimmtsäure,  $\beta$ -oxypropionsäure, p-Nitrobenzoylfurfurandicarbonsäure 1463.
- Perkins (F. P.), **79**: Ammoniakbestimmung im Wasser 1026; Butteruntersuchung 1076.
- 80**: organischer Kohlenstoff in Wasserrückständen 1201; Fettsäuren in der Butter 1231 f.
- Perl (J.), **84**: Darstellung von Diamidotoluol-p-thiosulfosäure, Diamidotoluol-p-sulfinsäure, azobenzoltetra-sulfos. Kalium 1331.
- 85**: Darstellung einer Thiosulfosäure und Sulfinsäure des Toluols 1601 f.; Diamidotoluol-p-thiosulfosäure, Toluol-p-sulfindiamin, Diamidotoluol-p-sulfinsäure 1601; Dinitrotoluol-p-sulfinsäure und Salze 1602.
- Pernet, siehe Grunmach (L.).
- Pernet (J.), **80**: Aenderung der festen Punkte der Quecksilberthermometer 86 f.
- Pertner (J. M.), siehe Lecher (E.).
- Peroni (G.), siehe Schiaparelli (C.).
- Perot (A.), **80**: Apparat zur Bestimmung des wahren Volumens eines gasförmigen Körpers 637.
- Perot (A.), **80**: über die Vereinigung von Gasen in der Gasge-  
 schwindigkeit der Verbrennung 1260.  
 Perot (A.), **80**: über die Vereinigung des Tanninge-  
 haltes mit dem Tanningehalt 1227.  
 Perot (A.), **80**: Anwendung bei der Schwefel-  
 bestimmung 2047 f.
- Perot (A.), **80**: Ammoniumharz 967.  
 Perot (A.), **80**: Braunsteinanalyse 1063.  
 Perot (A.), **80**: Ueberchlorsäure 213.  
 Perot (A.), **80**: Kaligehalt 1311 f.  
 Perot (A.), **80**: Bestimmung des Zuckers in  
 Honig 1227.  
 Perot (A.), **80**: schwefel-  
 Vernichtung  
 siehe Haute-  
 meter  
 Dampfmanometer  
 Widerstandsfähig-  
 mentes 2114; mals-  
 stimmung der Thon-  
 2114 f.  
 konservierung organischer  
 143.

Perrot (E.), **81**: Phosphorsäurebestimmung 1173.

Perruche, **79**: elektrischer Brenner 1083.

Perry (J.), siehe Ayrton (W. E.); siehe Lodge (O. J.).

Perry (J.) und Ayrton (W. E.), **80**: Dispersions-Photometer 184 f.

Perry (N. W.), **80**: Probiren der Platinlegierungen 1196.

**85**: Bearbeitung von Iridium (Phosphoriridium) 2044 f.; siehe Clarke (F. W.).

Personne u. Guillochin, **79**: Verhalten des Chinins im Organismus 881.

Personne (J.), **84**: Untersuchung des Vogelleims 1446.

Personne (M.), **79**: dialysirtes Eisen 249.

Persoz, **84**: Aetzung gefärbter Stoffe 1847 f.

Persoz (J.), **78**: Einwirkung von salzsaurem Anilin auf Glycerin 525.

**80**: Thier- von Seidenfaser 1373.

Perruche (H.), **80**: Salzsäure aus Oxid 1065.

**80**: Salzsäure aus Oxid 1065.

**80**: Salzsäure aus Oxid 1065.

**80**: Salzsäure aus Oxid 1065.

**80**: Salzsäure aus Oxid 1065.

**80**: Salzsäure aus Oxid 1065.

**80**: Salzsäure aus Oxid 1065.

**80**: Salzsäure aus Oxid 1065.

**80**: Salzsäure aus Oxid 1065.

**80**: Salzsäure aus Oxid 1065.

**80**: Salzsäure aus Oxid 1065.

**80**: Salzsäure aus Oxid 1065.

**80**: Salzsäure aus Oxid 1065.

**80**: Salzsäure aus Oxid 1065.

**80**: Salzsäure aus Oxid 1065.

**80**: Salzsäure aus Oxid 1065.

**80**: Salzsäure aus Oxid 1065.

**80**: Salzsäure aus Oxid 1065.

**80**: Salzsäure aus Oxid 1065.

**80**: Salzsäure aus Oxid 1065.

Methylal, Benzylalkohol 916 ff.: Dithienyltrichloräthan 916; Dithienyldichloräthylen, Hexabromdithienyltrichloräthan, Dithienyltribromäthan, Dithienyldibromäthylen, Dithienylmethan 917; Phenylthienylmethan 918; Darstellung von Acetothienon und Derivaten 1052 f.; Thiophencarbonsäure 1053.

**85**: Bildung von Fettsäuren bei der Oxydation des Thiophens 1183 f.; Darstellung von  $\beta$ -Thiophensäure aus Acetothienon, von  $\alpha$ -Thiophensäurechlorid und -amid, von Dibrom- $\alpha$ -thiophensäure 1377; Oxydation des  $\beta$ -Acetothienons 1634 f.:  $\beta$ -Thienylglyoxylsäure (Thenoylameisensäure),  $\beta$ -Thiophenalddehyd, Thiophengrün 1634; Tetramethyldiamidodiphenylthienylcarbinol, Malachitgrün aus Phenylglyoxylsäure und Dimethylanilin, Isonitrosothienyllessigsäure, Monochlor- $\beta$ -acetothienon, Verhalten der beiden Mononitroacetothienone gegen alkoholisches Kali, Dinitro- $\beta$ -acetothienon; Mononitro- $\beta$ -thienylglyoxylsäure und Isomere 1635; siehe Meyer (V.).

Peter (J.), **85**: Bestimmung des Schwefels im Stahl, Eisen und Gußeisen 1906; Bestimmung des Verdampfungsrückstandes tierischer und pflanzlicher Stoffe 1944.

Peter (J.) und Rochefontaine (O. de), **84**: Darstellung von wasserfreiem krystallisirtem Zinkacetat 1093.

Peter (J. L.), **82**: Darstellung reiner und krystallisirter wasserfreier Oxalsäure 820.

Petermann und König, **77**: Albumin 1182.

Petermann, **79**: zurückgegangene Phosphorsäure 1125.

Petermann (A.), **77**: Perugano 1176.

**80**: Mehilverunreinigung 1085.

**82**: Dialyse der Ackererde 1420.

**84**: Dialyse der Pflanzennährstoffe im Boden durch Membranen 1760.

**85**: Bestimmung der citratlöslichen Phosphorsäure 1917.

Peters, **79**: Magenstein, Zusammensetzung 991 f.

Peters (E. D.), **83**: Prüfung von Gold- und Silbererzen, Bestimmung des Kupfers in Schlacken und Steinen 1583.



- Peters (K.), **86**: Constitution der Leinölsäure, Reduction derselben zu Stearinsäure 1404.
- Peters (K. F.), **78**: Erbsenstein 1221.
- Petersen, **84**: krystallographische Untersuchung des piperidylthiocarbamins. Piperidins 1365.
- Petersen (J.), **84**: Analysen von Enstatitporphyrit 2013 f.
- Petersen (Th.), **81**: Tripolith 1276; Klaprothit 1352; Fahlerz 1353; Leucochalcit 1375; Staffelit 1378; Diallag 1391; Melaphyre 1425.
- Peterson (H.), **77**: Verarbeitung des Lepidoliths 1152.
- 84**: Bestimmung von Eisen und Chrom in ihren Legirungen und von Chrom in Stahl 1592.
- 86**: Analyse von weissem Roheisen 2024; siehe Priwoznik (E.); siehe Schneider (L.).
- Pettersson (G. W.), **84**: Analyse von Gedrit 1968.
- Petit (A.), **78**: Coniin 898.
- 79**: Piturialkaloid 791.
- 80**: Pepsin 1122.
- 84**: Bestimmung der Gesamtalkaloide und des Chinins in der Chinarinde 1634.
- Petitdidier (J.) und Lallemand (Ch.), **82**: Statistik der Grubenexplosionen von 1817 bis 1881—1818.
- Petraczek (J.), **82**: Hydroxylamin gegen Aldehyde: homologe Aldoxime 743 f.
- 83**: Benzaldoxim 971; Aether des Benzaldoxims, Isoamylaldoxim, Benzaldehyd-Natriumdisulfid 972.
- Petri, **84**: Reactionen der Diazobenzolsulfosäure 1328.
- Petri und Lehmann (Th.), **84**: Bestimmung des Gesamtstickstoffs im Harn 1679.
- Petri (C.), **79**: Fumarsäure und Maleinsäure 630 f.; siehe Meyer (V.).
- Petri (J.), **79**: Mutterkorn im Mehl 1074; siehe Lehmann (Th.).
- Petri (J.) und Müncke (R.), **80**: Apparate zur Bestimmung des Wassergehaltes der Milch 1244.
- Petri (R.), **79**: Zersetzung des Chondrins 879 f.
- Petri (R. J.), **86**: Constitution des Lieberman'schen Phenolfarbstoffes 2204.
- Petri, **81**: Mesaconsäure gegen Chlorid 734; siehe Anschütz
- Petrie, **84**: Farbenreactionen des Harns 1682.
- Petrieveff, **78**: Identität der Dioxy-malonsäure aus Dibrommalonsäure mit Mesoxaläure 701 f.; Identität von Oxymalonsäure mit Tartronsäure, Entstehung von Glyoxylsäure beim Erhitzen von dibromessigsäurem Silber mit Wasser, Darstellung von Tartronsäure aus Dibromessigsäure 702 f.
- 84**: Theilung der Säuren und Basen bei der Verwandtschaft 23; Diphenyl-p-xylylmethan, Abkömmlinge, Oxydationsprodukte 552.
- Petrieff und Okolowitch, **84**: Einwirkung von alkoholischem Kali auf Epichlorhydrin 932.
- Petrieff (M.), **84**: Additionsproducte der Malein- und Fumarsäure, Untersuchung (Bernsteinsäure- und Aepfelsäurederivate) 1127 f.
- Petrieff (M.) und Nemirowsky, **84**: Einwirkung von Zinkäthyl auf den neutralen Aether der Fumarsäure 1128.
- Petrik, **85**: Zusammensetzung der Antikesselsteincomposition 2162.
- Petrowitsch (M.), **86**: Untersuchung von syrmischem Wermuthwein 1873; Untersuchung eines Ausbruchweins von Karlowitz 2130; Untersuchung von ungarischen Zwetschen- und Tresterbranntweinen 2136 f.
- Petruscheffskji (Th.), **84**: Apparate zur Demonstration der Wärmeleitung von Metallen 1685.
- Petry (T.), Fallenstein (O.) und Lisch (H.), **85**: Darstellung von Kinetit 2103.
- Pettenkofer (M. v.), **83**: Kohlen-säuregehalt und Temperatur der Luft bei Gas- und bei elektrischer Beleuchtung 1750 f.
- Pettenkofer (M. v.), Baeyer (A.) und Zimmermann (C.), **84**: Reinigung des Liebig-Denkmal in München 1694.
- Pettenkofer (M. v.) und Voit (C.), **80**: Stickstoffausscheidung 1087 f.
- Pettersen (K.), **77**: Olivinfels 1364.
- 83**: Sagvandit von Sagvand bei Tromsö 1887.
- Pettersson (O.), **80**: kritischer Druck einer Substanz und absoluter Sublimationspunkt 40.
- 81**: Erhitzung des Eisens 1073; thermische und volumetrische Unter-



- suchung der Ameisen- und Essigsäure 1096.
- 82:** Wärmeausdehnung isomorpher Körper 20; Luftthermometer 97. 1348.
- 84:** Dilatometer 84.
- 85:** directe Messung von Wärmemengen ohne Thermometer 121.
- 86:** gasanalytische Methode, Apparat zur Luftanalyse 1901; siehe Hamberg (A.); siehe Nilson (L. F.).
- Pettersson (O.) und Eckstrand (G.), **80:** Dampfdichtebestimmungs-Methode Meyer's 31; Dampfdichten von Ameisensäure und Essigsäure 32 f.
- Pettersson (O.) und Ehmann (G.), **77:** Atomgewicht des Selen 21.
- Pettersson (O.) und Hedelius (E.), **79:** spezifische Wärme des Quecksilbers 94; Erstarrungswärme des Wassers und der Ameisensäure 95.
- Pettigrew (H. P.), **83:** Birkenöl 1424.
- 84:** Untersuchung von Gaultheriaöl 1467.
- Pettigrew (J.), siehe Graham-Young (Th.).
- Pettigrew, siehe Mills.
- Petuchow, **81:** Reduction der Kohlensäure durch Schwefel 199 f.
- Petzholdt (A.), **82:** Verkohlungen von Rammphählen 1575.
- Peukert (W.), **85:** calorimetrische Versuche an Glühlampen 2161.
- Pewell, **81:** galvanische Vernickelung 1246.
- Peyrou, siehe Gréhant (N.).
- Peyrusson, **80:** Desinfectionsmittel 1340.
- 81:** Aethylnitrit zur Desinfection 1298.
- Pfaff, **78:** Sheabutter als Ersatz des Palmöls 1169.
- Pfaff (E.), **86:** Härtecurven von Zinkblende 2230.
- Pfaff (F.), **80:** Kalkstein 1508.
- 83:** Monobrom-m-nitrophenol, Darstellung und Reduction 902; Reduction seines Methylsters 902 f.; Salze des Monobrom-m-nitrophenols, Mononitroxylol aus Dinitro-m-xylol 903; Dioxixylol (Xylorcin), ein neues Homologes des Resorcins, aus Mononitroxylol 922 f.; Bildung des m-Anisidins 923.
- 84:** Härtebestimmung der Mineralien 1896 f.; Mesosklerometer 1897.
- Pfaff (S.), **78:** Kalksteine und Dolomite 1289 f.
- Pfaundler, **79:** Reinigung des Quecksilbers 1087.
- Pfaundler (L.), **77:** Temperatur des Wasserdampfs 57; Kryohydrate 77.
- 78:** Berechnung der Verbreitung der Spectrallinien 169.
- 79:** Dampfdichtebestimmung 53; spezifische Wärme des Wassers 93.
- 80:** Temperaturcorrection bei calorimetrischen Messungen 91.
- 85:** Wirkung von Kohlensäure auf Glas 67 f.
- Pfaundler (L.) und Baumgartner, **80:** spezifische Wärme des Wassers 229.
- Pfeifer (F.), **81:** Elektrolyse von Antimonchloridlösungen, explosives Antimon 279.
- Pfeiffer (A.), **86:** Entnahme und Verpackung von Wasserproben zum Zwecke bacteriologischer Untersuchung 1903.
- Pfeiffer (Aug.), **85:** Einfluss von Luft, Boden und Wasser auf die Verbreitung von Infektionskrankheiten (Angriff auf die Grundwassertheorie) 1854 f.
- Pfeiffer (E.), **77:** Bischofit 1285.
- 78:** Nichtgiftigkeit der Oxalsäure 1009.
- 79:** Pentathionsäure 204 f.; fünf-fach-gewässertes Calciumcarbonat 238; Rolle der Mineralbestandtheile im menschlichen Organismus 950 f.
- 83:** quantitative Analyse der Muttermilch: Bestimmung des Caseins 1642, des Albumins und des „Eiweissrestes“ 1643.
- 84:** elektrische Leitungsfähigkeit des kohlens. Wassers 267; Einfluss einiger Salze auf künstliche Verdauungsvorgänge 1474; Untersuchung über die Bestimmung der Eiweissstoffe in der Frauenmilch 1651; Eiweisskörper der Milch und ihre quantitative Bestimmung 1651 f.
- 85:** elektrisches Leitungsvermögen der Mischungen von Wasser und Alkohol 276 f.; Leitungsfähigkeit des absoluten Alkohols 277; Leitungsfähigkeit der Mischungen von Aethylalkohol und Aethyläther 278; Kalibestimmung mittelst der neutralen Oxalate 1924; siehe Genth (C.); siehe Sagan (P. P. de).

Pfeiffer (E. W. R.), **84**: Verdichtung von Gasen durch feste Körper unter hohen Drucken 89.

Pfeiffer (G.), siehe Hantzsch (A.); siehe Kelbe (W.).

Pfeiffer (Th.), **85**: Liebig'sche Harnstofftitrirung 1952.

**86**: Proteinverdauung 1794; natürliche und künstliche Verdauung stickstoffhaltiger Futterbestandtheile 1867 f.; Bestimmung des Stickstoffs der Stoffwechselproducte 2004.

Pfeiffer (Th.) und Lehmann (F.), **85**: Anwendung eines Siedeaufsatzes bei der Kjeldahl'schen Stickstoffbestimmungsmethode 1949.

Pfeiffer (Th.) und Tollens (B.), **81**: Verbindungen von Kohlenhydraten mit Alkalien 980.

Pfeil, **83**: Gasbrenner mit automatischem Hahnverschluss 1655.

Pfeil (H.), **84**: Gasbrenner mit Selbstverschlufs 1685.

Pfersdorf (G.), **81**: Alkoholtabelle 1202

Pfeuffer (Ph.), **83**: chemisch-physiologisches Eisenpräparat 1454 f.

Pfützinger, **86**: Synthese von  $\alpha$ -Methyl-chinolin- $\gamma$ -monocarbonsäure 938; siehe Meyer (E. v.).

Pfützinger (W.), **85**: Darstellung eines Dimethyltoluchinolinols durch Condensation von Aceton, Paraldehyd, p-Toluidin mit Salzsäure 997.

**86**: Chinolincarbonsäure aus Isatinsäure und Aceton 1439.

Pflüger (E.), **79**: Kohlenstoff, Stickstoff, Wasserstoff in organischen Verbindungen 1057 f.

**80**: Harnstoffbestimmung im Harn 1205 f.

**85**: Methode zur Herstellung von Lösungen genau bekannten Procentgehaltes für Mafsanalyse 1886.

**86**: Wasserluftpumpe 2010; siehe Bohland (K.).

Pflüger (E.) und Bohland (K.), **86**: Gröfse des Eiweifsumsatzes beim Menschen 1833.

Pflüger, Finkler und Oppenheim, **79**: organische Elementaranalyse stickstoffhaltiger Körper 1059.

Pfordten (O. v. d.), **82**: Reduction der Molybdänsäure 321; Titrirung der Phosphorsäure 1272 f.

**83**: Reduction der Wolframsäure 378 f.

**84**: Desarsenirung des Schwefelwasserstoffs 337 f.; Reduction der Molybdänsulfide, Darstellung von reinem Molybdän 413 f.; Titanmonosulfid, Titansesquioxyd, gallartartige Titansäure 439; Bestimmung des Molybdäns und Wolframs 1602 f.; Bestimmung der Molybdänsäure 1603 f.

**85**: Chromchlorür als Absorptionsmittel für Sauerstoff 374; Silberoxydulsalze 565; condensirte Cyanwasserstoffsäure 585.

**86**: Untersuchungen über das Titan: Titansulfide 447 ff.; Chlor- und Sauerstoffverbindungen des Titans 449 bis 452.

Pfungst (A.), **85**: Verhalten von Nitromethan gegen Dichlorhydrin: Ameisensäure-Dichlorhydrinäther 789 f.

**86**: Einwirkung von Mononitromethan auf Chlorhydrine: Darstellung von Aceto- und Benzoyldichlorhydrin 1171 f.; Einwirkung von Nitromethan auf Glycerin- $\alpha$ -monochlorhydrin (Glycerinmonochlordiformin) und auf Aethylenchlorhydrin 1172.

Philip (M.), **86**: Einwirkung von o-Toluidin auf Hydrochinon: p-Oxyphenyl-o-tolylamin und Derivate 838 ff.; Di-o-tolyl-p-phenylendiamin und Derivate 840 ff.; Einwirkung von o-Toluidin auf Resorcin: m-Oxyphenyl-o-tolylamin und Formylderivat 842 f.; siehe Bamberger (E.).

Philip (M.) und Calm (A.), **84**: Derivate von p-Oxydiphenylamin 741 ff.: Nitroso-p-oxydiphenylamin, Methyl-p-oxydiphenylamin-Methyläther 741; Methyl-p-oxydiphenylamin-Aethyläther, p-Oxydiphenylamin-Isobutyläther, Monoformyl-p-oxydiphenylamin, Diacetyl-p-oxydiphenylamin 742; Dibenzoyl-p-oxydiphenylamin, Dinitrodibenzoyl-p-oxydiphenylamin 743.

Philipp (J.), **77**: Wolfram, Platin, Lithium, Zirkon, Titan, Molybdän, Vanadin, Thallium 1121; Ultramarin gegen Metallsalze 1230, 1231.

**79**: Erstarrungspunkt des Broms 55.

**82**: Wolframbronzen 1379 ff.

**83**: Einwirkung von Salpetersäure auf Phosphor bei Gegenwart von Silbernitrat 313 f.; Beryllerde gegen saures oxalsaures Kalium und saures

- oxalsäures Ammonium, basisches oxalsäures Beryllium-Kalium 1045.
- Philipp (J.) und Schwebel (P.), **79**: Wolframbronze 1112 f.
- Philipp (O.), siehe Fischer (B.).
- Philippart, **78**: Oxydationsverlauf in Convertern 1101.
- Philippi (B. A.), **84**: Concretionen aus mergeligem Kalkstein der Wüste Atacama 2028.
- Philipp (C.), **79**: Brunnenwasseruntersuchung zu Straßburg 1262.
- Philipp (S. E.), **78**: Platinammoniumverbindungen 309.
- Philips (B.), **86**: Triphenylarsverbindungen 1613 f.
- Phillips, **78**: Berechnung der beiden specifischen Wärmen und der Massieu'schen Function eines Körpers 70.
- Phillips (A. G.), **79**: Silberextraction 1099.
- Phillips (F. C.), **82**: Aufnahme von Metalloxyden durch die Pflanzen 1143 f.
- Phillips (H.), siehe Holland (P.).
- Phillips (H. J.), **86**: Bestimmung des kautischen und des kohlensäuren Alkalis in Aetzlaugen 1927; Werthbestimmung des essigsauren Calciums 1965 f.
- Phillips (J. A.), **81**: Concretionen aus Gesteinen (Granit) 1422; Quarzfragmente 1439.
- Phillips (S. E.), **77**: Cyanverbindungen 327.
- Phillips (W. B.), **85**: Zurückgehen der Phosphorsäure in Superphosphaten, Aufschließung natürlich vorkommender Phosphate 2126.
- Phipson (T. L.), **77**: Noctilucin 177; Salicylaldehyd 613; xanthogens. Salze 675; Nickel von Kobalt 1065.
- 78**: Verhalten von Chlorkalk zu Schwefelwasserstoff 115; Melilotol 797 f.; Fragarianin 971.
- 79**: nascirender Wasserstoff 187 f.; Characin 578; Palmellin, rother Farbstoff 903 f.; Rückstand und organische Substanz englischer Wässer 1269.
- 80**: nascirender Wasserstoff 238; Reduction von Goldchlorid durch Wasserstoff 361; Palmellin 1058.
- 81**: Actinismus (weiße Zinkfarbe) 134; kiesel-säurehaltiger atmosphärischer Staub 201; Verhalten von Schwefelzink (Actinium und Verbindungen) 258 f.
- 82**: Schwefelverbindung des Actiniums 289; Agarythrin und Ruberin aus Agaricus ruber 1115.
- 83**: Sauerstoffentwicklung durch Protococcus pluvialis und Protococcus palustris 1387; Ruberin 1794.
- 84**: Untersuchung über die Pflanzenathmung 1430 f.; Verhalten des Citronensäure-Triäthyläthers gegen Mikroben 1531 f.
- 85**: Identität des Regianins mit Juglon 1806.
- Piallat, **85**: Prüfung von Butter auf Oleomargarin 1971.
- Piazz-Smyth, **82**: Sauerstoffspectrum bei niedriger Temperatur 183.
- Piazzoli (E.), **80**: Zugfestigkeit des Eisens 180.
- Picard (P.), **78**: Harnstoffmenge in verschiedenen Organen 994 f.; Globulin der Milz 995.
- 79**: Gallensecretion 956; Zucker im Blut 1077.
- Piccard (J.), **77**: Synthese des Wassers 199; Chrysin, Tecto-chrysin und Homologe 596; Cantharidin, Cantharsäure 800.
- 78**: Cantharsäure 834 f.
- 79**: Cantharen 371 f.
- 80**: Dampfdichtebestimmung 31.
- 82**: Weinsteinbestimmung im Wein 1330.
- 86**: Cantharsäure und Derivate 1765 f.; Cantharen 1766.
- Piccard (J.) und Humbert (A.), **77**: Resorcintrisulfosäure 849.
- Piccini (A.), **79**: Aräometer 43; Nitrate neben Nitriten 1035 f.; siehe Fileti (M.).
- 81**: Bestimmung der salpetrigen Säure neben Salpetersäure 1168.
- 82**: Verhalten von Titansäurelösungen gegen Wasserstoffsperoxyd 350 f.
- 83**: Oxydation der Titansäure durch Wasserstoffsperoxyd 405 bis 407; Fluorverbindungen des Titans 407 f.
- 84**: Titanverbindungen 438.
- 85**: Bemerkungen über die Peroxyde von Didym, Titan, Wismuth 359 f.; Fluoroxytitanate 548 f.; den Sesquioxiden entsprechende Fluoritanverbindungen 549.
- 86**: dem Titansesquioxid entsprechende Fluortitanverbindungen 453; Nachweis von Salpetersäure neben salpetriger Säure 1918 f.

- Piccini (A.) und Marino-Zuco (F.), **85**: Einwirkung der Nitrite auf neutrale Ferrosalze 498 f.
- Pichard, **78**: Alkalinität der Magnesiumcarbonate oder Silicate 241.
- 79**: alkalische Reaction von Magnesiummineralien 1179.
- 84**: Nitrificirende Wirkung von Kalium-, Natrium-, Calciumsulfat auf die stickstoffhaltige Bodensubstanz 1762.
- Pichard (P.), **83**: Gypsen des Weins 1628.
- 85**: Nitrification im Boden 2123.
- Pichet (A.), **80**: Maleinsäure gegen Brom 808; siehe Anschütz (R.).
- Pichler, **81**: Anhydrobenzoldiamidobenzotrijodid, Monoamylanhydrodiamidobenzol 444.
- Pichler (A.), **77**: Jamesonit 1267.
- 83**: Analyse eines Tiroler Kalksteins 1851; die Phyllite in den Tiroler Alpen 1926; siehe Hübner (H.).
- Pichler (A.) und Blaas (J.), **81**: Quarzphyllite 1421.
- Pichler (A.) und Sennhofer, **82**: Sericit von Wiltan 1553 f.
- Pick siehe Ewer.
- Pick (B.) siehe Weidel (H.).
- Pickel (M.), **86**: Derivate des Phenylhydrazins: Benzophenon-, Benzoinphenyl- und Benzilphenylhydrazin 1078; Glyoxaldiphenylhydrazin 1078 f.; o-, m-, p-Mononitrobenzyliden- und Phthalylphenylhydrazin 1079.
- Pickering (S.), **78**: Schmelzpunkt des salpetersauren Ammoniums 221; Einwirkung der Schwefelsäure auf Kupfer 286 f.
- 82**: Nachweis von Baryum 1284.
- 85**: Bestimmung des Oels in Oelkuchen 2178.
- Pickering (S. U.), **79**: Einwirkung von Salzsäure auf Mangansuperoxyd 265.
- 80**: Manganoxyde 318; basische Ferrisulfate 322 f.; Braunstein und chromsaures Kali, Bestimmung 1182; Stärkenachweis in Dextrinlösungen 1214.
- 81**: Manganoxyde 243 f.; Reduction von Kupfersulfid und -sulfür 261; Nachweis von Stärke in Dextrinlösungen 986; Natriumsulfid-, Kaliumdichromatlösung 1181 f.
- 82**: basische Aluminiumsulfate 277.
- 83**: Zusammensetzung des basischen Eisensulfats 47; übersättigte Lösung (Kupfersulfat) 85; basische Kupfersulfate, basisches Cuprammoniumsulfat 396.
- 84**: verschiedene Lösungswärme von wasserfreiem Natriumsulfat 202.
- 85**: Molekulargewicht von flüssigen und festen Verbindungen 43; Lösungswärme des Kaliumsulfats in Wasser, des Lithiumsulfats 161; des Magnesiumsulfats 162.
- 86**: Natur der Lösung 110; Krystallisations- und Constitutionswasser (Magnesiumsulfat) 146 f.; Einfluss der Temperatur auf die chemische Verbindungswärme 176 f.; Kalibriren und Aichen von Quecksilberthermometern 178; siehe Aston (E.); siehe Farrer (Miss E. M.).
- Pickering (S. U.) und Sanford (P. G.), **86**: Wassergehalt des Alauns 149.
- Pictet (A.), **81**: Umwandlung von Fumarsäure in Maleinsäure 717; siehe Anschütz (R.).
- 82**: Chinolin gegen Mono-, Di-, Epichlorhydrin, Tribromhydrin, Monochloressigäther 1078 f.; Jodallylchinolin,  $\beta$ -Lutidin-Betaïn 1079.
- 86**:  $\alpha$ -Phenylindol (Methylphenanthridin) aus Desoxybenzoïn 1125 f.; aus Aenzyliden-o-toluidin, Benzyliden-p-toluidin 1126; Eigenschaften und Derivate des  $\alpha$ -Phenylindols 1126 f.; siehe Graebe (C.).
- Pictet (M. A.), **82**: Darstellung und Untersuchung der Ester und Säureäther der Weinsäure, Diacetylweinsäure, Dibenzoylweinsäure, Anhydride und Ester 854 bis 857.
- Pictet (R.), **77**: Krystallisation des Wassers 54; Condensation des Sauerstoffs 69, 70.
- 78**: Verflüssigung von Sauerstoff und Wasserstoff, Erstarrung von Wasserstoff, Theorie der Zustandsänderungen der Körper, Apparate zu Verdichtungsversuchen 41, 42.
- 79**: Erzeugung hoher Temperaturen für Dissoziation 11; Definition der Temperatur 90.
- 80**: Rectification der Alkohole 1351 f.
- 81**: Magnetisirbarkeit und Aenderungen der magnetischen Kraft von Stahlorten 106; Apparat zur Rectification von Alkohol 1305.
- 83**: reines Schwefligsäureanhydrid 1685; Zellstoff 1775.

- 85:** neue Kältemaschine, Apparate für die Verwendung von Mischungen aus Kohlendioxyd und Schwefeldioxyd 147.
- 86:** Verflüchtigungsflüssigkeit für Kältemaschinen 2014.
- Pictet (R.) und Jung (E.), **84:** Wirkung der Kälte auf Mikroben 1535.
- Pictet (R. P.) und Brélaz (G. L.), **84:** Herstellung von Holzzellstoff 1831.
- 85:** Sulfittstoff aus Holz 2195.
- Pieper (C.), **86:** Analyse des Wassers heißer Quellen südlich vom Naiwaschasee 2324 f.
- Pieper (R.), **83:** Benzoylanisyläthylhydroxylamine (Benzanis- und Anisbenzhydroxamsäure-Aether) 726 bis 730.
- Pieper (R.) und Bertram, **83:** Kristallform des Benzhydroxamsäure-Aethyläthers 629.
- Piérou, **77:** Schraubenpresse 1189.
- Pierre (Js.) und Puchot (E.), **79:** Alkoholdestillation 488.
- Pierre (V.), **84:** Galvanoscop für Vorlesungsversuche 1885; Gefrieren von Wasser unter der Luftpumpe 1689.
- Piersol, **85:** Photomikrographie 2257.
- Pierson (A.) und Heumann (K.), **83:** Einwirkung von Aethyldichloramin auf aromatische Amine 692 f.; Einwirkung von Aethyldichloramin auf Hydroazobenzol und Diphenylhydrazin 795.
- Piergues (O.), **85:** Coaksöfen und Gasgeneratoren 2170.
- Piesse (Ch. H.), siehe Muter (J.).
- Piesse (Ch. H.) und Stansell (L.), **80:** Senf 1072, 1358.
- Piesse (Ch. H.) und Wright (Alder), **77:** Oel von Citrus limetta 957.
- Piest (K.), siehe Tiemann (G.).
- Piest (R.), siehe Tiemann (F.).
- Pieszcek (E.), siehe Claus (A.).
- Pilatte siehe Mairat (A.).
- Pile, **84:** Laktometer 1692.
- Pile (W. H.), **78:** dialysirtes Eisen 283.
- Pillitz (W.), **77:** Mostwage 1100.
- 78:** neue Mostwage 1090.
- 79:** Zsádányer-Meteorit 1276 f.
- 82:** Nichtexistenz des Silberoxyduls 358.
- Pilter (Th.), **78:** künstliche Knochenkohle 1117; Darstellung saurer Phosphate aus basischem Calciumphosphat 1124.
- Piltchikoff (N.), **83:** Bestimmung des Brechungsexponenten von Flüssigkeiten 233.
- Piluti (P.), siehe Schiff (R.).
- Pinet, siehe Oechsner de Coninck.
- Pinner (A.), **77:** Hexylchloral 610; Trichlorcapronsäure, Allylentetrachlorid, Umwandlung von Chlordibrombutyraldehyd in Monochlorcrotonsäure 611; Hexylchloral. Trichlorcapronsäure, Hexylensäure 718.
- 79:** Cyanallyl und Derivate 330 f.
- 81:** Condensationsproducte des Acetons 608 bis 611.
- 82:** Cyankalium gegen condensirtes Aceton: Mesitonsäure, Mesitylsäure, Phoronsäure, Mesitylsäureamid, Acetylmesitylsäureäther, Mesitonsäurelacton 754 f.; Dimethylbernsteinsäure (Dimethylbernsteinsäureimid), Dimethylmalonsäure, Dimethylmalonaminsäure 755; Mesityloxyd gegen Kaliumpermanganat: Oxyisobuttersäure, isobutylmethylketonsulfosaures Natrium, disobutylketondisulfosaures Natrium, Xyliton 756.
- 83:** Salzsäure-Formimidoäther, homologe Orthoameisensäureäther, Umwandlung von Nitrilen in Amide (Amidine und Imidine) 478 bis 481; Verhalten von Amidinen gegen Essigsäureanhydrid 625 f.; Mesityloxyd (aus Aceton durch Kalk) gegen saures schwefligsaures Natrium, Destillation von Rohrzucker mit Kalk 978.
- 84:** Bildung von Kyaphenin aus Benzonitril 487; Einwirkung von Essigsäure-Anhydrid auf die Amidine: Diacetylformamidin 593; Triacetylformamidil, Einwirkung von Essigsäureanhydrid und essigsaurem Natron auf salzsaures Acetamidin: Anhydrodiacetylacetamidil, Anhydrodiacetylacetamidin 594; Einwirkung von Essigsäureanhydrid und essigsaurem Natron auf salzsaures Capronamidin, Bildung von Capronitril und Capronamid 595; salzsaure Amidine: salzs. Acetamidin, Propionamidin 595 f.; Capronamidin, Capronimidoäther, Einwirkung von Acetessigäther auf Amidine, auf salzsaures Benзамidin 596, auf Acetamidin, Verhalten des salzs. Formamidins beim Kochen der alkoholischen

- Lösung, Einwirkung von Diäthylamin auf salzs. Formimidoäthyläther, Bildung von unsymmetrischem salzs. Diäthylformamidin 597; Einwirkung von Amidinen auf Cyanate und Senföle 658; Einwirkung von salzs. Hydroxylamin auf Imidoäther und Amidine, Darstellung von Oxyimidoäthern und Oxyamidinen 658 f.; Benzoximidoäther, Benzoxamidin (Benzamidoxim) 659 f.; Einwirkung von Benzoylchlorid auf salzs. Benzamidin: Dibenzamid 695 f.; Constitution des Dibenzenylimidoimids (Dibenzimidins), Oxydation mit Kaliumpermanganat, Dibenzimidinmonosulfosäure 746 f.; Kyapheninsulfosäure 772; Einwirkung von Phenylhydrazin auf die Imidoäther 873 f.; Benzenyldiphenylazidin 873; Methenyldiphenylazidin, salzs. Aethenylphenylazidin 874; Untersuchung von  $\beta$ -Chlorbutyrimidoäthyläther 934 f.; Einwirkung von Salzsäuregas auf Acetoncyanhydrin, Verhalten von Zimmtaldehydcyanhydrin gegen Salzsäure, Kyanbenzin 935; Darstellung von Glyoxal- und sonstigen Derivaten der Trichlormilchsäure 1029 f.; Monochlormilchsäure 1030; Identität des Benzimidobenzoats mit Dibenzamid 1276.
- 85:** Darstellung und Constitution von Pyrimidinderivaten 838 ff.; Untersuchung und Derivate des Phenylmethyloxypyrimidins 841 f.; Darstellung der Tartronsäure 1347 f.; Trichlormilchsäureäther 1347, Tartronsäure-Aethyläther, Tartronamid 1348.
- Pinner (A.) und Fuchs (Fr.), **77:** Chloralderivate 605; Trichlormilchsäurederivate, Chloracetanilide 606; Trichloräthylidendiphenyldiamin, Dichloracetamid, Dichloressigsäureäther 607; Dichloracetylguanidin 608.
- Pinner (A.) und Klein (Fr.), **77:** aromatische Nitrile gegen Salzsäure, Amidochlorbenzylisobutyläther 337.
- 78:** Darstellung von Imidoäthern 328; Nitrile 336 f.; Reactionen von Blausäure 339 f.; Butylchloralcyanhydrat 617 f.
- Pinner (A.) und Schaumann (W.), **81:** Rhodanäthyl und Phenylsenföl gegen alkoholische Salzsäure 323; Allyldichlorid gegen Kohlensäure (Tetrolsäure) 387.
- Pintsch, **84:** Herstellung von Oelgas 1817.
- Pintsch (J.), siehe Quaglio (J.).
- Pionchon, **86:** calorimetrische Studien über Metalle (Platin und Platinlegierungen) bei hohen Temperaturen 184; calorimetrische Untersuchung des Eisens 185; spezifische Wärme und Schmelzwärme von Silber, Zinn, Eisen, Nickel, Kobalt 190 f.
- Piper (R.) und Rotten (M.), **86:** Darstellung von reinem Methylalkohol aus rohem Holzgeist 2134.
- Piper (W. G.), **77:** basisch-salpeters. Wismuth 1047.
- 78:** Ammoniakgehalt des käuflichen basischen Wismuthnitrats 294.
- Pirani (E.), **84:** galvanische Polarisation 258 f.
- Piria, **79:** Verbrennung stickstoffhaltiger organischer Verbindungen 1058.
- Piria (R.), **79:** Dijodnitrophenole 512 f.
- Pisanello (G.), **86:** Reduction des Propionitrils 538; Untersuchung des bei der Bereitung von Laudanum liquidum Sydenhami entstehenden Niederschlags: gerbsaures Morphin 1823.
- Pisani, **80:** Kobalt von Nickel 1184.
- 84:** Krystallform von Aluminiumsulfat  $Al_2(SO_4)_3 \cdot 27 H_2O$  390.
- Pisani (E.), **78:** Hypersthenanalyse 1249, Labradoranalyse 1266.
- Pisani (F.), **77:** Turnerit 1298; Würfelierz 1301; Ganomalith, Tephroit 1308; Triphan 1325.
- 78:** Bestimmung der Dichte von Mineralien 24; Lettsomit, Woodwardit, Enysit 1226.
- 79:** Selenide aus den peruanischen Anden 1182 f.; Kjerulfinit 1204; Mangangranat, Pechstein 1235.
- 81:** Vanadinat 1375; Mineral von Berjowski 1378.
- Pisati (G.), **77:** Elasticität der Metalle 73; Ausdehnung des Schwefels 97.
- Pisenti (G.), **85:** physiologische Wirkung des Thallins 1854.
- Pistor, **86:** Herstellung einer Galläpfeltinctur 2215.
- Pistor (C.), **84:** Untersuchung des Wassers der Mineralquelle „Römerbrunnen“ 2033 f.; siehe Naumann (A.).

Pitkin (L.), **80**: Kaliumplatinchlorobromid 362 f.

Pitoff (M.), **83**: Centrifugalluftpumpe 1654.

Pitsch (O.), **80**: Wirkung des Humus 1319 f.

Pitschke (R.), siehe Klinger (H.).

Pitschki (R.), **84**: Untersuchung von Sieburgit 1997.

Pitteurs (de), **84**: molekulare Modifikationen des Bromsilbers 1891 f.

Piutti (A.), **79**: Einwirkung von überschüssigem Phosphorchlorid auf Molybdänsäureanhydrid 288 f.

**82**: Harnstoff und Thioharnstoffderivate der Phtalsäure 392 f.

**83**: Phtalamidbenzoësäure gegen Anilin: Phtalamid 1163; p-Tolylphtalimid 1163 f.; m-Monoamidobenzanilid, Anhydride der Amidobenzoësäure (Amidobenzoïd), Phtalamidobenzanilid, Phtalanil aus Phtalimid 1164; Phtalsäureanhydrid gegen secundäre Monamine: Aethylphenylphtalamin-säure, Aethylphenylphtalein 1165; Aethyl-(o?)-toluidinphtalein, Diphenylphtalaminsäure, Diphenylaminphtalein 1166; Piperylenphtalamin-säure, Piperylenaminphtalein 1167; Conylenphtalaminsäure 1167 f.; Conylenaminphtalein, o-Tolylphtalimid 1168.

**84**: Darstellung von Diphenylaminsuccineïn, Diphenylsuccinaminsäure 740 f.; Einwirkung von Phosphorchlorid auf Diphenylaminphtalein 743 f.; Einwirkung von Phtalsäureanhydrid auf Asparaginsäure, Darstellung von Phtalyldiasparaginsäure 1292 ff.: Phtalyldiasparaginsäure; Phtalylasparaginsäure 1292; Phtalylasparaginsäure-Phenylimid, Phtalylasparaginamidobenzoësäure, Phtalyldiphenylaminasparageïn, Phtalyldiphenylasparagin 1293; Diphenylasparagin, Asparageïne 1294.

**85**: Einwirkung secundärer Monamine auf Phtalsäureanhydrid: substituierte Phtalaminsäuren und Derivate 779 bis 784; Darstellung von  $\alpha$ -Naphtylphtalimid,  $\alpha$ -Naphtylphtalaminsäure 1501;  $\beta$ -Naphtylphtalimid,  $\beta$ -Naphtylphtalaminsäure 1502.

**86**: neues rechtsdrehendes Asparagin 1343 f.; Fumaride und Succinide aus Fumar- und Maleïnsäure mit secundären Aminen: Diphenylfumarinsäure 1346 f., Diphenyl- und

Methylphenylaminfumarid, Methylphenylfumarinsäure 1347; Methyl- und Aethylphenylaminsuccinid 1348: Einwirkung von Phtalsäureanhydrid auf Amide und Amidophenole 1451 ff.: p-Oxyphenylphtalimid und Derivate 1451 f.; Triptalylamidophenol, Pikramintriphtalsäure 1452; Diphtalyldiamidochinon 1452 f.; Darstellung und Salze der Phtalylasparaginsäure, Verhalten derselben gegen Ammoniak (Phtalimidoammoniak) 1518 f., gegen Diphenylamin (Diphenylphtalyl- und Phtalyldiphenylasparagin) 1519; Verhalten der beiden letzteren gegen Ammoniak: isomeres Diphenylasparagin 1519 f.; isomeres Phtalyldiphenylaminaspartid; Diphenylaminfumarid 1520; Verhalten der Phtalylasparaginsäure gegen Methylanilin: Phtalylmethylphenylasparagin und -aspartid; Methylphenylfumarid, Methylphenylfumaraminsäure aus Fumarsäure und Methylanilin 1521; siehe Schiff (H.).

Pizzarello (J.), **85**: Zersetzung von Dämpfen organischer Verbindungen mittelst des elektrischen Funkens 288.

Pizzarello (A.), **86**: Zersetzung von gasförmiger, organischer Substanz durch den elektrischen Funken 280.

Pizzi (A.), **77**: Mangauchlorür beim Chlorkalkproceß 1130.

**81**: Campechenholz im Wein 1216. Pizzighelli (G.), siehe Eder (J. M.). Plaats (J. D. van der), **77**: untersalpetrige Silber, untersalpetrige Säure 220.

**85**: Bestimmungen von Atomgewichten des Kohlenstoffs, Phosphors, Zinns und Zinks 31 f.

**86**: Vorschlag eines Gewichtsatzes (1, 2, 3, 5) 15 f.; Atomgewichtsbestimmungen 42 f.; Tension des Quecksilberdampfes, Verdunsten des Quecksilbers in Luft, Stickstoff, Kohlensäure 99 f.; Darstellung von reinem Brom 329; Sauerstoffgehalt des Silbers 479.

Plagemann (A.), **82**: Dichlornaphtochinon gegen primäre Amine: Chlornaphtochinonmethyramid, -äthylamid, -anilid; Chlornaphtochinon-p-nitranilid, -m-nitranilid; Chlornaphtochinon-p-bromanilid; Chlornaphtochinon-p- und -o-toluidid; Chlornaphtochinon-dimethylamid 787.

- 83:** Chlornaphtochinonnitrosoanilid 1007 f.; Chlornaphtochinon-p-nitranilid, Oxynaphtochinonanilid 1008.
- Plaminek (B.), **78:** Quarzporphyr- und Glimmermikrophyanalyse 1285 f.
- Planchon (G.), **80:** Curare 1072 f.
- Planck (M.), **80:** Gleichgewichtszustände isotroper Körper 54 f.
- 81:** Sättigungsgesetz, gesättigte Kohlensäure 55.
- 82:** mechanische Wärmetheorie 108.
- 83:** thermodynamisches Gleichgewicht von Gasgemengen 111 f.
- Plank (J.), **77:** Wärmeleitung der Gase 99.
- Plant (J.), **80:** Moorbutter 1483.
- Planta (A. v.), **84:** chemische Zusammensetzung des Blütenstaubes der Haselstaude 1454.
- 85:** Zusammensetzung des Blütenstaubes der Haselstaude und der gemeinen Kiefer 1816.
- 86:** Untersuchung einiger Nektararten 1816; siehe Schulze (E.).
- Planta-Reichenau (A. v.), **78:** Graubündtner Mineralquellen 1306 f.
- 80:** Reduktionsvermögen des Honigs 1230.
- 81:** Kunsthonig 1223.
- Planté, siehe Rive (de la).
- Planté (G.), **77:** elektrisches Kiesellicht 168.
- 82:** Galvanoplastik 1355.
- 83:** Formation secundärer Elemente mit Bleiplatten 202.
- Plantrou (A.), **78:** Carbonisiren mit Natronwasserglas 1173.
- Plate (D. O.) und Kruse (J.), **77:**  $\alpha$ -Nitrosalicylsäureamid 749.
- Plate (O.), siehe Hübner (H.).
- Plath (H.), **77:** Purpuroxanthincarbonsäure (Xanthopurpurincarbonsäure) 588; Pseudopurpurin und Purpurin 589; essigs. Xanthopurpurin 592.
- Plattner, **77:** Probirofen 1099.
- Platz (B.), **84:** eisensaures und mangansaures Kalium, schwefelsaures Kalium in Hochöfen 1713.
- 85:** chemische Vorgänge beim Glühen und Tempern von Roheisen 2027 f.
- Plauchud (E.), **77:** natürliche Schwefelwässer 1382.
- 82:** Reduction der schwefelsauren Salze durch Algen 1144.
- Playfair (D.), **79:** Bestandtheile des Flugstaubs von Pyriten 206.
- Plettner, **78:** spec. Gewicht der Gase 30.
- Plicque, siehe Morel.
- Plimpton (R. T.), **80:** Amylamin aus inactivem Amylalkohol 517 f.; Naphtochinon gegen Amine 734 f.
- 81:** Trimethyl- und Triäthylamin gegen Acetylenbromür 410; Amylamine aus activem und inactivem Alkohol 411.
- 83:** Halogenverbindungen des Acetylens 437 f.; siehe Zincke (Th.).
- Plimpton (R. T.) und Graves (E. E.), **83:** Methode zur Bestimmung von Halogenen in flüchtigen organischen Verbindungen 1592.
- Plöchl (J.), **80:** ameisensaures und essigsäures Blei 762; Phenylamido-essigsäure 856.
- 81:** Hydrobenzamid gegen Blausäure 474 f.; Benzoylazotid, Hydrocyanbeuzid 475.
- 82:** Benzaldehyd gegen monochloressigsaures Natrium und Essigsäureanhydrid:  $\alpha$ -Monochlorzimmersäure;  $\alpha$ -Monobromzimmersäure 958.
- 83:** Benzaldehyd gegen Hippursäure: Benzoylimidozimmersäure 1202; Phenylglycidsäure 1202 f.; Phenyl- $\beta$ -brommilchsäure gegen alkoholisches Kali, Phenylamidomilchsäure 1203.
- 84:** Untersuchung von Benzoylimidozimmersäure 1244 ff.:  $\alpha$ -Benzoyldiamidohydrozimmersäureanhydrid 1244;  $\alpha$ -Benzoylamidozimmersäure,  $\alpha$ -Amidozimmersäure 1245; Styrolamin, Phenylalanin 1246.
- 86:** Constitution des Oxydihydrotoluchinolin (Dihydropseudooxytoluchinoxalin) 978; o-Mononitrophenyl- und o-Mononitrotolylglycin 1308 f.; Oxydihydrochin- und -toluchinoxalin 1309; Constitution der Phenylglycidsäure 1461 f.; p-Mononitrobenzoylimidozimmersäure; p-Mononitrophenylglycerinsäure, Darstellung der wahren Phenylpyrotraubensäure 1462 f.
- Plöchl (J.) und Blümlein (F.), **83:** Benzoylcarbinol gegen Blausäure: Atroglycerinsäurecyanhydrin 871.
- Plöchl (J.) und Loë (W.), **85:** Darstellung von m-Mononitrophenylamidoessigsäure 1483 f., von m-Mononitromandelsäure, von m-Monocamido-



- phenylamidoessigsäure und von m-Sulphophenylamidoessigsäure 1484.
- Plöchl (J.) und Wolfrum (L.), **85**: Einwirkung von Salicylaldehyd auf Hippursäure 1298 f.; Benzoylimidocumarsäureanhydrid, Benzoylimidocumarin 1298; o-Hydroxyphenylglycidsäure (Salicylglycidsäure), Oxycumarin, Salicylglycidamid, o-Hydroxyphenylmilchsäure (Salicylmilchsäure) 1299; Condensation der Hippursäure mit Salicylaldehyd 1470 bis 1472; Benzoylimidocumarin, Salicylglycidsäure (o-Oxyphenylglycidsäure) Oxycumarin 1471, Salicylglycidsäureamid; Salicylmilchsäure (o-Oxyphenylmilchsäure) 1472.
- Ploeg (B. J. van der), **80**: Bedeutung des oxalsäuren Kalkes für die Pflanze 1050.
- Plösch (L.), **81**: Propylphenylglycolsäure 822 f.; Cuminamidoessigsäure, Salicylglycolsäure 823.
- Plohn, **78**: Analyse der Meteorsteine von Grosnaja 1320.
- 79**: Sool-Analyse vom Kaspisee 1271.
- Plohn (S.), siehe Suida (W.).
- Plosz (P.), **82**: neuer Harnbestandtheil 1217.
- 83**: Chromogene des Harns und deren Derivate (Urorubin, Uromelanin) 1476 f.
- Plowright (Ch. B.), siehe Hamlet (W. M.).
- Plugge (P. C.), **79**: Verhalten des Quecksilbercyanids 1056.
- 82**: Andromedotoxin (Asebotoxin) aus *Andromeda japonica* 1171; Wirksamkeit verschiedener Aconitinpräparate 1227 f.
- 83**: Nichtvorkommen von Strychnin in *Epicauta ruficeps* 1339; Strychnin gegen übermangansaures Kalium: Strychninsäure 1340; Andromedotoxin 1366; Andromedotoxin in *Andromeda polifolia* 1410; Ammoniakgummiharz: Verhalten gegen Natriumhypobromit, Unterscheidung von anderen Harzen, quantitative Bestimmung, Analyse 1636.
- 85**: Andromedotoxin und dessen Vorkommen in verschiedenen Ericaceen 1801; Abscheidung des Strychnins aus dem Organismus (Nachweis von Strychninsäure im Urin) 1856 f.
- 86**: Fällbarkeit der Opiumalkaloide durch die Alkalisalze organischer Säuren 1705 ff.
- Plumert (A.), **84**: Analyse des Wassers der Schwefelthermen von Brussa 2037 f.
- Pobilitzin, siehe Wocikoff.
- Pochin (W.), **80**: Superphosphat aus Eisen 1336.
- Podewils (A. v.), **79**: Poudrette 1127.
- Podwysotszki (V.), (Podwysotszky, Podwysotszki), **79**: Emetin aus *Ipecacuanha* 924.
- 80**: Emetin, Reaction 995 f.
- 81**: Podophyllin 1015; Podophyllum peltatum 1067.
- 82**: Verbenengerbstoff, Lippienöl, Lippiol aus *Lippia mexicana* 1173.
- 83**: Sclerotinsäure aus Mutterkorn 1405 f.; siehe Dragendorff (G.); siehe auch Potwysotszky (V.).
- Pöhl (A.), **77**: Eucalyptusblätter (*Eucalyptol*) 941; Lister'scher Verband 1180.
- 78**: Eserin und Calabarin 897.
- 80**: Pilocarpin 993; *Pilocarpus officinalis* 1074.
- 81**: Ueberführung von Eiweißkörpern in Pepton 1001.
- 82**: Vorkommen und Bildung des Peptons 1138.
- 83**: Fäulnisalkaloide aus mutterkornhaltigem Roggenmehl, Ptomopepton 1359; Umwandlung von Eiweißkörpern in Pepton 1384.
- 86**: biologisch-chemische Eigenschaften der Mikroorganismen, Bildung von Ptomainen durch die *Cholera* bacillen 1889 f.
- Pöhlmann (R.), **84**: Analyse von Glimmerdiorit und Kersantit 2014 f.
- Poensgen (L.), siehe Reinecken (F. A.).
- Pöschel (L.), und Sicynski (J.), **85**: Anti-Rost- und Kesselsteinmittel 2162.
- Poetsch (W.), **83**: Natriumisoamylat und Natriumacetat gegen Kohlenoxyd: Hexylmethylketon, Isoamyl-essigsäure 1014; Oxyäthenylisönanthylsäure 1014 f.
- 84**: Regeneration der Abfallsäuren von der Nitroglycerinfabrikation 1752 f.
- Poggiale, **77**: Löslichkeit des Gypses 74.
- Pohl und Grofs, **80**: Zündmasse, Chromleim 1307.
- Pohl (J. J.), **78**: Erkennung echter Türkise 1230.

- Pohlig (H.), **80**: Einschlüsse im Siebengebirger Trachyt 1491.
- Poillon (L.), **85**: Härten von Stahl durch Druck 2028.
- Poincaré, **79**: Wirkung von Nitrobenzoldämpfen, von Terpentinol 997.
- 83**: Einfluss einer mit Petroleumdämpfen beladenen Luft auf die Respiration 1486; physiologische Wirkungen einer mit Kreosotdämpfen beladenen Atmosphäre 1487.
- Poincaré (L.), **78**: Giftigkeit des Schwefelkohlenstoffs 1009.
- Poirrier (A. F.), siehe Roussin (Z.).
- Poirot, **80**: Phylloxera 1067.
- Poitevin (A.), **77**: photographische Drucke ohne Silbersalz 1246.
- Pojatzki, siehe Schwarz (H.).
- Pollacci (E.), **80**: Gypsen des Weins 1224.
- Poleck, **77**: Schwefel im Leuchtgas 1215.
- Poleck und Biesel, **77**: Wirkung giftiger Gase 1011.
- Poleck und Lustig, **84**: Darstellung von Carvacrolderivaten 1007 f.
- Poleck und Samelson, **84**: Constitution des Jalapins: Jalapinsäure, Jalapinol, Ipomsäure 1446 f.
- Poleck (Th.), **79**: Wasseranalyse eines Brunnens zu Flinsberg 1263.
- 83**: Bestimmung des Gehaltes von Ferrum reductum an metallischem Eisen 1563 f.; Bestimmung des Schwefels im Leuchtgase 1599.
- 84**: Untersuchung über das Asaron 1442; Constitution des Saffrols 1469; Analyse von Grubengas 2030, der Kronenquelle zu Salzbrunn 2034.
- 85**: der Hausschwamm, seine Entwicklung und seine Bekämpfung 1816; Kohlendunst- und Leuchtgasvergiftung 1855; Analyse zweier zu Warmbrunn in Schlesien neu entdeckten Thermen 2316 f.
- 86**: Oxydation des Saffrols (Shikimols): Piperonylsäure 1249; Constitution des Saffrols 1250; siehe Biesel (R.).
- Poleck (Th.) und Thümmel (K.), **83**: Doppelverbindungen des Silbers 422 bis 425.
- Polenske (E.), **86**: Cocaïn und Salze 1701.
- Poli (A.), siehe Papasogli (G.).
- Polis (A.), **80**: kubischer Alaun und Chromalaun 288 f.
- 85**: Darstellung von Siliciumtetraphenyl (Silicotetraphenylmethan), p-Siliciumtetratolyl (Silicotetratolylmethan) 1611; Siliciumtetrabenzyl (Silicotetrabeuzylmethan) 1612.
- 86**: aromatische Siliciumverbindungen: Siliciumtetraphenyl und Derivate 1597 f.; p- und m-Siliciumtetratolyl 1598 f.; Siliciumtetrabenzyl 1599; Bestimmung des Siliciums in organischen Verbindungen 1955.
- Politis (G.), **84**: über das Verhältnis der Phosphorsäure zum Stickstoff im Harn bei Fütterung mit Gehirn 1496 f.
- Polkinghorne (J.), **83**: Sprengstoff 1705.
- Pollacci (E.), **77**: Reifen der Trauben 929; Carbonate von Sulfiten und Hyposulfiten 1053.
- 78**: Nachweis der reducirenden Eigenschaft organischer Verbindungen 319; Nachreifen der Trauben 947 f.; Erkennung des Reductionsvermögens organischer Körper 1071.
- 79**: Gypsen des Weines und Mostes 1139 f.
- 83**: Nachweis freier Schwefelsäure in Wein und Essig 1627.
- 84**: freiwillige Oxydation des Schwefels 338 f.
- 85**: Untersuchung der oxydirenden Wirkung einiger Hyperoxyde 356 f.
- Pollack, **86**: Regenerativ-Element 243.
- Pollak (E.), **83**: Herstellung von Kunstleder 1781.
- Polli (G.), **77**: Wirkung der Borsäure 1030.
- Poloni (G.), **78**: permanenter Magnetismus des Stahls bei verschiedenen Temperaturen 157.
- 81**: Widerstand des Eisens 95.
- 83**: Leitungsfähigkeit von Metalldrähten für Wärme 115.
- Polonowska (N.), **86**: Identität von Carbacetessigäther mit Isodehydracetessigäther 1386 f.
- Polstorff (K.), **80**: Oxydation des Morphins 955 f.; Tribenzoylmorphin 957.
- 81**: Sedimentärgesteine von Göttingen 1438.
- 86**: Conessin aus Holarrhena antidysenterica 1699 f. Zusammensetzung des Oxydimorphins 1710 f.

- Polstorff (K.) und Broockmann (K.), **80**: Methyloxydimorphin, Salze 956; Methylmorphinhydroxyd 957.
- Polstorff (K.) und Mensching (J.), **86**: toxischer Nachweis von Phosphat neben Quecksilber 1919.
- Polstorff (K.) und Schirmer (P.), **86**: Wrightin (Conessin) aus *Holarhena africana* 1697 f.; Derivate desselben 1698 f.
- Pomeroy (Ch. T.), **83**: Bestimmung von Chlor, Schwefelsäure und Chrom bei Gegenwart organischer Substanzen 1593; Speisung von Wasserbädern 1658.
- Pomey (E.), **81**: Trioxäthylphosphorplatinchlorür, Trichlorphosphorplatinchlorür 305.
- Ponci, **83**: neue Chromsäurekette 202.
- Ponci (L.), **78**: Element mit Eisenlösungen 134.
- 80**: galvanische Säule mit circulirender Flüssigkeit 145.
- Poncy (C. de), **85**: Trennung und Bestimmung des Methylalkohols bei Gegenwart von Aethylalkohol 1955.
- Poncy (O. Caillol de), siehe Caillol de Poncy (O.).
- Poncy (O. Caillol de) und Livon (Ch.), **79**: Localisation des Arsens im Gehirn 994.
- Pond (G. G.), siehe Meyer (V.).
- Ponder (A. C.), **85**: Condensation von Ketonen und Aldehyden 976; siehe Claisen (L.).
- Ponomareff, **84**: Cyanursäureäther 477.
- Ponomareff (J.), **78**: Allantoinsäure, Allantursäure, Allantoxansäure, Allantoxaidin 362 f.; Hydroxansäure, Allantoxaidin, Allantoxansäure und Allantoïn 363.
- 79**: Derivate der Allantoinsäure 354.
- 85**: polymeres Bromcyan 602; Derivate und Ester der Cyanursäure 603 ff.; Bildung des sauren Kaliumsalzes der Allantoxansäure, Biuret-oxamid (Allantoxainsäure) 658 f.; Synthese der Allantoxansäure 1371.
- Pons, siehe Schiff (H.).
- Pons (E.), siehe Schiff (H.).
- Pontiggia (E.), siehe Bayle (P.).
- Pontius (J.), **83**: Kaliumdichromat aus Chromeisenstein, Gewinnung von Natrium-, Calcium- und Magnesiumdichromat 1698.
- Pool (F. P.), **85**: Tropfflasche 2003.
- Pope, Herstellung von Oelgas 1817.
- Popoff, **84**: Einfluss des Zimmtalkohols auf die Fäulniss, Harnsäuregährung, alkoholische Gährung, biologische Wirkung auf den Thierorganismus 1515.
- Poppe, siehe Claus (A.).
- Popper (A.), **85**: Zersetzung wässriger Lösungen von Unterchlorsäure und von Chlor 380 ff.
- 86**: Bestimmung des Atomgewichts von Antimon 43; siehe Garzarolli-Thurnlackh (K.).
- Popper (R.), **77**: Bestimmung von Niederschlägen 1033; Nickel, Nachweis neben Kobalt 1066; Analyse organischer Verbindungen 1071.
- 79**: quantitative Bestimmung ohne Filtriren u. s. w. 1021 f.
- Popetto (G.), siehe Mazzara (G.).
- Poppewell-Bloxam (W.), siehe Thomson (J. M.).
- Poppewell Bloxam (W.) und Herroun (E. F.), **86**: Monojodaldehyd, Einwirkung von Jod und Salpetersäure auf Alkohol 1623.
- Porcher (S.), **81**: reiner Kohlenstoff 198.
- Porion und Dehérain, **86**: Cultur der Zuckerrüben in Wardrecques 2120.
- Porro (B.), **83**: Untersuchung italienischer Petroleumsorten 1759 f.
- 86**: Gährung von Wein 1872.
- Portele (E.), siehe Babo (C. v.).
- Portele (K.), **80**: Salicylsäure im Wein 1226.
- 81**: tiroler Milch 1049; Salicylsäure zur Conservirung von Nahrungsmitteln 1300.
- 85**: Zusammensetzung des Maiskorns 1806; siehe Mach (E.).
- Porter (J. H.), **84**: Wasserreinigung 1775.
- Portes, **82**: Prüfung des Chloroforms auf Reinheit 433.
- Portes (L.), **77**: Asparaginbildung 929.
- Portes (M.), **77**: bittere Mandeln 945.
- Porumbaru, **80**: pyrophosphorsaures Kobaltamin 325 f.; Gelose 1010 f.
- 81**: Phosphate der Kobaltamine 256.
- Posen (E.), **79**: Phenylamidopropionsäure 710 f.
- 81**: Umbelliferon und Derivate 566 f.; Umbellsäure 567.

- Posewitz (Th.) und Ulrich (G. H. F.), **84**: Goldlagerstätten von Borneo und Neuseeland 1903.
- Possetto (G.), siehe Mazzara (G.).
- Possoz (A. L.), siehe Daix (V. L. Ch.).
- Pofspechow (W.), **86**: Azocumol 1043 f.; Mononitro-, Azo- und Hydrazocumol 1044.
- Post (J.), **79**: Weldonschlamm 1103 f.; Braunsteinregeneration 1104.
- 80**: Zusammensetzung des aus dem Weldon-Schlamm regenerierten Mangansuperoxyds 1274 f.; Braunsteinregeneration beim Chlorkalkproceß 1276 f.; Tricalciumphosphat gegen Schwefelsäure 1300 f.
- 81**: Weldonschlamm 1256.
- 82**: „Zurückgegangene“ Phosphorsäure 1431 f.; siehe Witting (F.).
- Post (J.) und Brackebusch (F.), **80**: Nitro- und Amidophenolderivate 625 f.
- Post (J.) und Hardtung (E.), **79**: Sulfuriren von Orthonitroamidophenol und Orthodiamidophenol 319 f.
- 80**: Nitro- und Amidophenol 625 f.; Nitroamido- und Diamidobenzolsulfosäure 907 f.
- Post (J.) und Holst (L.), **80**: Nitro- und Amidophenole 625 f.
- Post (J.) und Meyer (C. G.), **81**: Nitro- und Amidobenzolsulfosäuren aus m-Chlornitrobenzol, Benzolsulfosäure aus m-Chloramidobenzol 868.
- Post (J.) und Stuckenberg (C.), **80**: Nitro- und Amidophenole 625 f.
- Post (J.) und Witting (F.), **80**: Nitro- und Amidophenole 625 f.
- Post (J. A.), **84**: Methoden der Wasseruntersuchung 1559.
- Pothier (E.), **80**: Unbeständigkeit des Schießpulvers 1308.
- Potier (A.), **85**: Theorie der Kältemischungen 164.
- Potilitzin (A.), **79**: Verdrängung der Haloide 28; Einwirkung des Selen auf Metallsulfide, des Sauerstoffs auf Haloidsalze, Verdrängung von Brom durch Chlor 29; Wasserstoff gegen trockene Haloidsalze 183.
- 80**: Verdrängung des Silbers aus den Haloidverbindungen durch Wasserstoff 12; ozonometrische Papiere 246.
- 81**: Doppelte Zersetzungen 12 ff., 15; Verdrängung des Chlors durch Brom 152.
- 82**: Einwirkung von Brom auf Metallchloride 11 f.
- 83**: über die Geschwindigkeit chemischer Reactionen 13 ff.; Analysen der Wässer kaukasischer Petroleumbrunnen und Schlammmvulcane 1938 f.
- 84**: Geschwindigkeit chemischer Reactionen 13; Verdrängung des Chlors durch Brom 26 ff.; Principien der Thermochemie 29; Hydrate des Kobaltchlorürs 398 ff.
- 85**: constantes Verhältniß zwischen den Bildungswärmen der Salze und den Anfangsgeschwindigkeiten ihrer Bildung 212.
- Pott (E.), **83**: Aufbewahrung der Biertreber, Anwendung derselben als Futtermittel 1717.
- Pott (R.), **78**: Bebrütung des Hühneris 985.
- 80**: Wachsthum der Leguminosen 1052 f.
- 83**: Respiration des Hühnerembryo in einer Sauerstoffatmosphäre 1428.
- Pott (R.) und Preyer (W.), **82**: Gaswechsel und chemische Veränderungen des Hühneris während der Bebrütung 1185.
- Potter und Higgin, **84**: Darstellung von Natriumdichromat 1734.
- Pothast (J.), **83**: Einfluß stickstoffhaltiger Nahrung (Asparagin) auf den Stoffwechsel 1436 f.
- Potwissotzky (V.), **85**: Pharmakologie des Eisens, Wirkung der Verbindungen des Eiweißes mit Eisenoxydul 1851; siehe Podwysotzki (V.).
- Pouchet (A. G.), **77**: Speicheluntersuchung 958 f.
- 81**: Zerstörung organischer Substanz für die gerichtliche Analyse (Blei und Quecksilber) 1196.
- 83**: Ptomaine verschiedener Herkunft 1358; Kohlehydrat aus der Lunge und dem Auswurfe von Phtisikern 1446 f.
- Pouchet (G.), **84**: Untersuchung von Ptomainen 1399.
- 85**: Veränderungen der Galle, der Dejecte, des Harnes und Blutes durch die Cholera 1855.
- Poulichambaroff, **81**: kaukasisches Petroleum 1316.
- Poullain (Ch. F. E.) und Michaud (E. F.), **84**: Anwendung von Zinkoxyd zur Verseifung von Fett 1822 f.

Poulsen (S. V.), siehe Holm (J. Ch.).  
 Pourcel (A.), **84**: Gase im Stahl 1708.

**85**: Herstellung von Ferromangan 2019.

Poussin, siehe Vallée Poussin (Ch. de la); siehe Renard (A. F.).

Poutokine, **84**: Auftreten von Allyldimethylpropylcarbinol bei der Darstellung von Allyldimethylcarbinol 944.

Powell (J. W.), **85**: Mineral-Hilfsquellen der vereinigten Staaten 2304 f.

Power, **79**: Zersetzung der Magnesiamixtur 1044.

Power (B.), siehe Flückiger.

Power (F. B.), **78**: Emetinreaction 1085.

**79**: Wasseranalyse der Mineralquelle bei Rosheim 1261 f.

**82**: Alkaloid aus Fraxinus americana 1115.

**84**: Untersuchung von Hydrastin 1396 f.

**86**: Fluorescenz von Hydrastinlösungen 1812.

Power (J. Byrne), siehe Byrne Power (J.).

Poynting (J. H.), **79**: kleine Gewichts-differenzen 1023.

**80**: Saccharimeter 1244.

**81**: Zustandsänderung vom Festen zum Flüssigen 52.

**84**: Ausbreitung der Energie im elektromagnetischen Felde 274.

**85**: Beziehung zwischen dem magnetischen Strom und den elektrischen Wirkungen 250.

Prätorius (G.), **80**: Salze der Chlorchromsäure 312 f.

Prätorius (H.), **77**: Benzophenon 632; siehe Städel (W.).

Prätorius-Seydler (G.), **79**: Cyanamidderivate 332.

**80**: Cyanamid, Umsetzungsproducte 415 f.

Prager (A.), **85**: Derivate (wesentlich Amidoderivate) des Naphtalins 912 bis 914: Monobromnitroacetnaphtalid, Monobromäthylnaphtylendiamin 912; Äthylnaphtylendiamin, Monobromnitroäthylnaphtylendiamin 913; Tribrom- und Tribromdinitronaphtalin 913 f.

Prat, **77**: Lavoesium 275.

Prat (J. P.), siehe Laroche (J. P.).

Pratesi (L.), **83**: Hexamethylenamin-Silbernitrat 642; Methylendiäthyläther 852.

**84**: Einwirkung von Anilin auf Formaldehyd, Darstellung von Methylendiphenyldiamin 1025; Darstellung von  $\alpha$ -Trioxymethylen 1025 f., von Oxymethylen 1026.

Pratt (E.), **77**: Glasspiegel 1168.

Pratt (J. W.), **84**: schnelle Bestimmung von gebundenem Ammoniak 1570.

**85**: RepARATION von Platingefäßen mittelst Goldchlorid 1999 f.; Alkaliverlust beim Eindampfen der Sodalaugen mittelst Rauchgase 2073; siehe Wigg (Ch.); siehe Mills (E. J.).

Prausnitz (G.), **84**: Darstellung von m-Nitrophenyl- $\beta$ -brompropionsäure, von m-Nitrophenylmilchsäure- $\beta$ -lacton, von m-Nitrostyrol. Nitrophenyl- $\beta$ -milchsäure 1061 f.; siehe Einhorn (A.).

Prazmowski, **79**: Buttersäureferment 1016 f.

Precht, **85**: Salzindustrie von Staffurt 2070.

Precht (H.), **78**: Einwirkung von Ammoniak auf Acetessigäther 706 f.

**79**: Bestimmung der Schwefelsäure in schwefelsauren Salzen 1033; Kaliumbestimmung als Kaliumplatinchlorid 1043; Magnesiumbestimmung 1044; Gase der Kalisalzbergwerke 1108.

**80**: Kaliumbestimmung 1173; Schönit (Kainit) 1298 f.; Polyhalit 1423; Grubengase 1508.

**81**: Bestimmung des Kaliumsulfats im Kainit 1180; Magnesia, Schwefelkalium und Kaliumsulfat aus Kaliummagnesiumsulfat (Schönit) 1262 f.; technische Darstellung von Kaliumsulfat 1265; Kalisalze in der Landwirtschaft 1295; Krugit 1372.

**82**: Bindung der schwefligen Säure durch Magnesia- und Thonerdehydrat 1394; siehe Röttger (F.); siehe Wittjen (B.).

Precht (H.) und Oppenheim, **78**: Derivate des Acetessigäthers, Dehydracetsäure 707.

Precht (H.) und Wittjen (B.), **81**: Löslichkeit von Salzgemischen der Salze der Alkalien und alkalischen Erden 69 ff.; Boracit 1366; Kieserit 1371.

**82**: Löslichkeit von Salzgemischen 77 ff.

- 83:** Bestimmung von Chloralkalien neben schwefelsaurer Magnesia 1557 f.
- Preece (W. H.), **80:** Temperaturzuwachs und lineare Ausdehnung 97.
- 81:** Umwandlung von Strahlung in tönende Schwingungen 137.
- 83:** Wirkung der Temperatur auf die elektromotorische Kraft und den Widerstand verschiedener Batterien 208.
- 84:** Wärmewirkungen des elektrischen Stromes 238 f.; Messung der Lichtstärke 281; neue praktische Lichteinheit 281 f.
- 85:** Verfahren beim Laden und Entladen der Accumulatoren 253.
- Prehn (A.), **77:** Crotonsäure 711.
- Prehn (A.) und Hornberger, **79:** Will-Varrentrapp'sche Methode der Stickstoffbestimmung 1058.
- Preis (C.) und Vrbka (C.), **80:** Kalkspath 1419; Zeolithe 1466.
- Preis (K.), **78:** Analyse des Friesenits 1208.
- 80:** Arsenkies 1403.
- 82:** Darstellung und Zusammensetzung von Natriumsulfarseniat 247; siehe Raymann (B.).
- Preis (K.) und Raymann (B.), **79:** Terpinol gegen Jod 571 f.; Cholesterinderivate 972.
- 80:** Dichromate der Erdalkalien und des Bleies 309 f.; Wismuthchromate 336 f.
- 82:** Darstellung von Zinntrabromid, Zinnbromwasserstoffsäure und Salzen derselben, Darstellung von Zinnoxybromiden 349 f.; Synthesen aromatischer Kohlenwasserstoffe mittels Jod und Jodalkylen 409.
- Preisung (C.), **86:** Reinigung von Rübensäften 2124.
- Prendel (R.), **78:** Meteorstein von Vavilovka 1319.
- 84:** Meteorit von Großliebenthal 2039
- Prentiss (M.), **81:** Wirkung des Pilloarpins 1067.
- Prescott (A. B.), **77:** Metallsulfate gegen Salzsäure 29.
- 78:** Chininbestimmung 881; Calciumoxalat im Harn 1001.
- 79:** Opiumbestimmung 792; Berlin 829.
- 80:** Aluminate 287 f.; Löslichkeit des Zinkoxyds in Alkalien und Ammoniak 326 f.; Ammoniak und Silbernitrat 360; Bestimmung der Alkaloide 1210.
- 82:** Verbindungen der Alkaloide mit Kaliumquecksilberjodid 1315.
- 86:** Grenzen der analytischen Erkennung und Bestimmung 1892.
- Prescott (C. O.), siehe Norton (L. M.).
- Prefslar (H.), siehe Schmidt (E.).
- Preston (S. T.), **78:** Gewinnung mechanischer Arbeit durch Diffusion von Gasen 64.
- 80:** Krystallbildung 1.
- 81:** Fernwirkung 11.
- 85:** elektromagnetische Versuche 296.
- Preston (V.), **77:** Weisfärben von Tuchen 1228.
- Prestwich (J.), **86:** Tiefentemperaturen und Wärmeleitung der Gesteine, Betheiligung des Wassers bei vulcanischen Ausbrüchen, regionaler Metamorphismus 2303.
- Preufse (C.), **78:** über das angebliche Vorkommen von Brenzcatechin im Pflanzenreiche 953; Verhalten der Protocatechusäure bei der Fäulnis mit Pankreas 991 f.; o-, p- und m-Kresolsulfosäure im Pferdeharn 1001.
- 80:** Vanilin im Thierkörper 1108; Lymphcysteninhalt 1128.
- 81:** Oxydation aromatischer Substanzen im Thierkörper 1033; siehe Baumann (E.); siehe Tiemann (F.).
- Preufse (C.) und Tiemann (F.), **78:** Verhalten von m-Dianidobenzol gegen salpetrige Säure 1047.
- Preusser (J.), siehe Nietzki (B.).
- Prevost, siehe Tiryakian.
- Prevost (E. W.), **81:** Wirkung der Humussäure (Huminsäure) 1283 f.; Einfluß des Regenwassers auf die Pflanzen 1284.
- Prevost (J. H.), **80:** Regenwasser, Aufnahme durch den Boden 1047.
- Prevost (J. L.), **79:** bromwasserstoffsäures Coniin, Wirkung 996.
- Prevost (J. L.) und Frutiger (G.), **83:** Einwirkung von Quecksilberchlorid auf den Thierkörper 1486.
- Preyer (W.), siehe Pott (R.).
- Přibram (R.), **79:** Buttersäurebildung 613 f.
- 85:** Analyse des Wassers der Quelle von Dorua-Sara 2318.
- 86:** Analysen von Beryll 2285.

- Příbram (R.) und Handl (Al.), 79:** spezifische Zähigkeit der Flüssigkeiten, ihre Beziehung zur chemischen Constitution 88.
- 80:** spezifische Zähigkeit der Flüssigkeiten 82.
- 81:** spezifische Zähigkeit und chemische Constitution 81 ff.
- Pribytek (C.), 80:** Glycerin, Oxydation 607; Oxydation von Erythrit 611.
- Price, 85:** Analysen von Colemanit 2277.
- Price (H.), 86:** Herkunft von Kautschuksorten 2169.
- Priebs (B.), 83:** Phenylnitroäthylen und Phenylnitropropylen 968.
- 84:** Untersuchungen über Phenylnitroäthylen und Phenylnitropropylen 588 bis 592; Phenylnitroäthylendibromid, Phenylbromnitroäthylen 589; Phenylnitroäthylendichlorid, Phenylchlorinitroäthylen, p-Mononitrophenylnitroäthylendibromid 590; o-Mononitrophenylnitroäthylen, o-Mononitroäthylendibromid, Phenylnitropropylen, Phenylnitropropylendibromid 591; p-Mononitrophenylnitropropylen, o-Mononitrophenylnitropropylen 592.
- 85:** Darstellung von Furfurnitromethylen, Nitrofurfurnitromethylen, Mononitrobreznaschleimsäure 1296.
- Prieto (Raoul) siehe Landero (de).**
- Primavesi (J. C. und Sohn), 81:** Glasaräometer 1233.
- Primke (F.), 77:** vorzüglich isolirendes Gas 1171.
- Prince (F.), 83:** Analyse des Damourits von Belt's Bridge, Nordcarolina 1836 f.
- Pringle (A.), 86:** neue Elemente in einem Gestein der Grafschaft Selkirk: Polymnestum, Erethodium, Gadendum, Hesperisium 407 ff.
- Pringsheim, 79:** Lichtwirkung und Chlorophyllfunction 881 f.
- 81:** Wirkungen des Lichts auf die Vegetation 1003.
- Pringsheim (E.), 83:** Torsionsapparat, Wellenlängederäussersten Wärmestrahlen 241.
- Pringsheim (G.), 80:** Hypochlorin 1056; Eruptivgesteine 1496 f.
- Pringsheim (N.), 86:** Sauerstoffabgabe der Pflanzen im Mikrospectrum 1803; vermeintliche Zersetzung der Kohlensäure durch den Chlorophyllfarbstoff 1807.
- Prinz (H.), 84:** Constitution und Verhalten des Schwefelchlorürs, Verhalten von Thionylchlorid 345 f.; versuchte Darstellung einer Verbindung von Schwefel mit Schwefel 347 f.; siehe Wagner (P.).
- Prinz (O.), 83:** Opiansäure 1155 f.; Derivate der Opiansäure: Mononitroopiansäure 1156; Mononitrohemipiansäure 1156 f.; Azopiansäure 1157 f.; Monochlor- und Monobromopiansäure 1158; Methylnoropiansäure 1158 f.; Monochlormethylnoropiansäure, Mekonin aus Opiansäure 1159.
- Prior, 85:** Einfluss des Chinins auf den Stoffwechsel des gesunden Organismus 1850.
- Přiwoznik (C.), 77:** Bronziren von Kupfermetallen 1128.
- Přiwoznik (E.), 79:** Reduction des Chlorsilbers auf nassem Wege 305 f.
- 80:** Reduction des Chlorsilbers 1303.
- 84:** Analyse von Magneteisen 1920, von Spatheisenstein 1932.
- 85:** Analysen von Erzen 2033 ff., von grauem Roheisen 2035; Darstellung eines Phosphorkupfers 2036.
- 86:** Analysen aus dem chemischen Laboratorium des k. k. General-Probiramtes zu Wien 2024 ff.: Analyse von Martin-Flusseisen 2024; quantitative Bestimmung des Kupfers als Rhodanür 2026; Untersuchung der Ausblühungen auf Phyllit-Felswänden 2063; Gewinnung von Bittersalz aus Serpentin 2063 f.
- Přiwoznik (E.) und Drasche (E.), 85:** Analyse einer Zinkblende 2034, von Phosphorbronze 2036.
- Přiwoznik (E.), Lill (M.) und Scheider (L.), 82:** Analyse österreichischer Eisensorten 1363.
- Přiwoznik (E.) und Lipp (F.), 85:** Zusammensetzung eines Eisenerzes aus Ungarn 2034; Analyse von weißem Roheisen, von Coaksroheisen, von Gießerei-Roheisen 2035, einer Hoch-ofenschlacke, von Graphit 2036.
- Přiwoznik (E.) und Peterson (H.), 85:** Zusammensetzung eines Spatheisensteins 2033; Analyse eines Kalksteins 2034, von weißem Roheisen, von Gießereiroheisen, von grauem Roheisen, von Normalstahl 2035, von Schwefel 2036.
- 86:** Analyse von grauem Roheisen 2024.



- Priwoznik (E.) und Schneider (L.), **85**: Analyse eines Spatheisensteins 2034, von weißem Roheisen, von Frischeisen, von schwedischem Frischeisen, von schwedischem Stahl, von Rohstahl 2035, von Schwefel, von Graphit 2036.
- 86**: Analyse von grauem Roheisen 2042; Analyse von Kupferproben 2026.
- Probert (E.), **85**: Extraction von Gold und Silber aus Arseniden und Sulfiden des Eisens und Kupfers 2042 f.
- Probert (J.) und Soward (A. W.), **83**: Leitungsvermögen von Kohle 215.
- Probst (H.), siehe Sidersky (D.).
- Prochazka (A.), **80**: Vorkommen von Norwegium 337; Norwegium im Blei 1190; siehe Endemann (H.).
- Procher (H. R.), **86**: Bestimmung des Tannins 1968 f.
- Prochoroff und Miller (O.), **84**: Darstellung von Kanarin 1851 f.
- Procter (H. R.), **79**: explosives Product aus Phosphor und Schwefelkohlenstoff 224; Phloroglucinreaction 1072; Gerbmaterialeinszüge 1072 f.
- 80**: chemische Berechnungen 5.
- 84**: Bestimmung des Tannins 1626.
- Procter (R.), **79**: freie Säuren in Gerbflüssigkeiten 1151 f.
- Proctor (B. S.), **77**: Lutiren der Korkverschlüsse, Percolator, Aspirator 1100.
- 78**: türkisches Opium 872.
- Proctor (H.), **77**: Gerbereien 1185.
- Pröpper (M.), **82**: Acetessigäther und Monochloracetessigäther gegen Salpetersäure 840.
- 83**: Acetessigäther gegen rauchende Salpetersäure: Oximidoacetessigäther 1037 f.; salzartige Verbindungen des Oximidoacetessigäthers 1038; Monochloracetessigäther gegen rauchende Salpetersäure: Chloroximidoessigäther 1038 f.
- Prochoroff, **83**: Eudiometer zur Bestimmung des Sauerstoffgehaltes der Luft 1659.
- Prokofieff, **84**: Analogie zwischen Borverbindungen und denen des Radicals  $C_6H_5$  465.
- Prollius, **81**: Alkaloidgehalt von Chinarinden 1208.
- Proromant (P. M.) siehe Carnot (A.).
- Proschwitzky, **81**: Ammoniak aus Leder 1258.
- Proskauer (B.), **82**: Bestimmung von schwefliger Säure in der Luft 1267; siehe Fischer (B.).
- Prosser (R. P.), **85**: Mikroorganismen im Wasser 2312.
- Prost (E.), **84**: Analyse von Salmit 1962.
- 86**: Untersuchung von Salzen des Platinoxydes 489 f.; aromatische Kohlenwasserstoffe aus Benzylchlorid und Zinkstaub: Benzyl- und Dibenzyltoluol 620; siehe Spring (W.).
- Prud'homme (M.), **77**: Synthese des Indols 511; Indigofärbung 1233.
- 78**: Alizarinblau aus Mononitroalizarin 1192.
- 79**: Anthracenviolett und Gallein 1174.
- 81**: Färben mit künstlichem Indigo 1325 f.; Farbstoff aus Cörulein 1329 f.; Alizarin 1335.
- Prud'homme (M.) und Binder (F.), **82**: Zersetzung des Kaliumdichromats durch Salze zweierwertiger Metalle 306 f.; Constitution der Dichromate 307.
- Pruen (S. T.), **77**: Carbometer 1097.
- Prunier, **84**: maßanalytische Bestimmung des Aluminiums im Kalk und in Cementen 1592.
- Prunier (L.), **77**: Quercit 905.
- 78**: Quercit 528 f.
- 79**: Zersetzungsproducte des amerikanischen Petroleums 317 f.; Kohlenwasserstoffe des Petroleums 1144 f.
- 80**: Petroleumkohlenwasserstoffe 1364.
- 84**: Darstellung und Derivate von Butanglycerin 935 f.
- Prunier (L.) und David (R.), **79**: Zersetzungsproducte des amerikanischen Petroleums 318; Kohlenwasserstoffe des Petroleums 1145.
- 80**: Petroleumkohlenwasserstoffe 1364.
- Prunier (L.) und Varenne (E.), **80**: Kohlenwasserstoffe aus Petroleum 434 f.; Petroleumkohlenwasserstoffe 1364.
- Przibram, Scholz und Wenzel, **85**: constantes galvanisches Element 232.
- Przybytek (D. S.), siehe Famintzin (A.).
- Przybytek (S.), **81**: Oxydation des Glycerius 507; Oxydation des Erythrits, Erythritdichlorhydrin 514.



- 82:** Oxydation des Glycerins 648.  
**84:** Dioxyd aus Dichlorhydrin, Hexylerythrit (Glycererythrin) 912; Darstellung des zweiten Anhydrids des Erythrins aus Erythridichlorhydrin 936 f.; Untersuchung von Mesoweinsäure 1129 f.  
**85:** Darstellung von Diallyldioxyd 1205 f., des Anhydrids von Hexylerythrit, Siedepunkt des reinen Diallyldioxyds 1206.  
**86:** Dioxyadipinsäure aus Erythridichlorhydrin 1377 f.  
Pszczolka (L.), **82:** volumetrische Bestimmung des Eisens in Erzen 1288.  
Puchot (E.), **77:** Butylen 363.  
**83:** Darstellung und Derivate des Butylens 514 bis 518.  
**86:** Aldehydharz 1623; siehe Pierre (Js.).  
Pufahl, **83:** Analyse eines dendritischen Amalgams der Grube Friedrisesegen 1828 f.  
**84:** Analysen von Phylliten 2011.  
Pufahl (O.), **84:** Arsenmolybdänsäure und Salze derselben 416 f.; Untersuchung von Kupferraffinat 1701 f.  
Pulfrich (C.), **81:** Absorption des Lichts in verschiedenen isotropen und anisotropen Medien 125 f.  
**82:** Spectraluntersuchung stark absorbirender Körper 187; siehe Ketteler (E.).  
Puliti, siehe Schiff (H.).  
Puliti (J.), siehe Schiff (R.).  
Puller, **83:** Analyse des Basaltes von Naurol bei Wiesbaden 1932.  
Puls (J.), **77:** Metallglyceride 525.  
Puluj (E.), **81:** Elektrizitätsentladung in verdünnten Gasen 104.  
Puluj (J.), **77:** Diffusion der Dämpfe durch Thonzellen 65.  
**79:** innere Reibung in einem Gemische von Kohlensäure und Wasserstoff, Reibung der Dämpfe 74.  
**80:** Gasreibung zwischen Kohlensäure und Wasserdampf 64.  
Pulvermacher, **78:** Element mit einer Flüssigkeit 134, 135.  
Pundy (H.), **85:** Reinigung von geschmolzenem Eisen 2021.  
Purdie, **85:** Einwirkung von Natriumalkoholaten auf Fumar- und Maleinsäureester 1369 f.; Fumarsäure-Methyläther, Methoxybernsteinsäure-Methyläther, Methoxybernsteinsäure 1369; Aethoxybernsteinsäure, Maleinsäure-Methyläther, Aethoxybernsteinsäure - Methyläther-natron 1370; Untersuchung der Milch eines Meerschweines 1838 f.  
Purdie (Th.), **81:**  $\alpha$ -Isoheptan (Aethylamyl), Synthese 350; Diisobutylpinakon 351; Natriumäthylat und -isobutylat gegen Fumarsäure-Aethyl- und -isobutyläther 718.  
Purgold (A.), **82:** abnorme Diamantkrystalle 1520.  
Purgotti (E.), **78:** Nachweis des Kupfers 1065 f.  
Purnell (S.), **79:** Jonit 1242.  
Pusch, **79:** Trinkwasseruntersuchung 1025 f.  
Pusch (Th.), **77:** dicitronens. Natronkali 719.  
**84:** Prüfung von Citronensäure auf Weinsäure 1625.  
Puscha (E.), **82:** Zinnschwamm (Argentine) 1375 f.; Britanniametall 1376.  
Puscher, **79:** Schwärzen von Zink 1098.  
Puscher (C.), **81:** Patinabildung 1255.  
**83:** Lüsterüberzug auf Messing 1882 f.  
Puschl (C.), **77:** Dämpfe 62.  
**78:** aktinische Wärmetheorie 65.  
**81:** latente Wärme der Dämpfe 1093.  
Putochin (M.), **83:** Nebenproduct (Allyldimethylpropylcarbinol) bei der Darstellung des Allyldimethylcarbinols 864.  
**85:** kaukasisches Erdöl, Isooctonaphten und seine Derivate 2175.  
Puttbach (W.), **80:** Molybdänoxychloride 337 f.  
Putz (H.), **77:** hippurs. Eisenoxyd 795; benzoës. Salze 796.  
**85:** Vorkommen, Reinigung und Werthbestimmung der Graphiterde 2069.  
**86:** Reduction der Kohlensäure im pflanzlichen Organismus 1801 f.  
Puy (M. du), **78:** directe Darstellung des Eisens aus den Erzen 1098.

## Q.

- Quaglio (J.), **80:** Heizgas 1360.  
**81:** Wassergas 1312, Anm. (3.).  
Quaglio (J.), Pintsch (J.) und Lentz (A.), **85:** Ofen zur Darstellung und Schmelzung von Metallen und zur Gewinnung von Kohlenoxyd und Schwefelkohlenstoff 2070.

Quaglio (J. v.), **78**: Befreiung des Leuchtgases von Schwefelkohlenstoff 1165.

Quantin, **84**: Zersetzung von Chlorchromsäure in der Hitze 1593 f.

**85**: Einfluß der Magnesiumsalze auf die Bestimmung der löslichen Phosphorsäure 1917; siehe Gassend.

Quantin (H.), **86**: Reduction von Kupfersulfat durch die Weingährung 1872 f.; maßanalytische Bestimmung der gebundenen Schwefelsäure 1914.

Quantin (N.), **84**: Analyse der Superphosphate 1766.

Quatrefages, **77**: Quecksilber 1257.

**78**: Zerlegung von Kohlensäure durch eine rothe Meeressalge im Lichte 1013; Ferment des Schlangengiftes 1037.

Quatrefages (de), **82**: Kaliumpermanganat gegen Schlangengift 1223.

Querbach, **80**: Hausanstrich mit Paraffin 1372.

Quesneville, **83**: sympathetische Tinte 1823.

Quesneville (G.), **80**: spezifische Wärmen 94; Verbrennungswärme und Bildung organischer Verbindungen 116.

**84**: Bestimmung der Bestandtheile der Milch und ihrer Verfälschungen 1671.

**85**: Milchanalyse 1987.

Quessaud (J.), **84**: Titirung von Silber und Kupfer 1606.

Quin (Ch. W.), **79**: Darstellung großer Krystalle 3.

Quincke, **80**: Acetessigäther im Harn 1238.

Quincke (G.), **77**: Diffusion von Gasen durch Glas 63; Bestimmung der Größe von Molekülen 64; Ausbreitung von Flüssigkeiten auf festen Körpern 82; Effloresciren der Salze 84; Cohäsion von Salzlösungen 85.

**79**: Emulsionsbildung und Einfluß der Galle bei der Verdauung 956 f.

**80**: elektrische Ausdehnung 169.

**83**: Dielektricitätsconstanten isolirender Flüssigkeiten 191 f.; Aenderung des Brechungsexponenten von Flüssigkeiten durch hydrostatischen Druck 234 f.; Aenderung der Brechungsexponenten von Flüssigkeiten durch elektrische Kräfte 236; durch elektrische Kräfte erzeugte Doppelbrechung isolirender Flüssigkeiten 240.

**84**: Messung der magnetischen Kräfte durch den hydrostatischen Druck 277; Aenderung des Brechungsexponenten von Flüssigkeiten durch hydrostatischen Druck 289.

**85**: über die Druckkräfte, welche diamagnetische Flüssigkeiten im magnetischen Felde zeigen 299 f.; elektromagnetische Drehung der Polarisationsebene des Lichts für Schwefelkohlenstoff bei verschiedenen Substanzen 341 ff.

**86**: Capillarconstanten von Flüssigkeiten 104; Eigenschaften dielektrischer Flüssigkeiten, Dielektricitätsconstante 246.

Quincke (H.), **83**: Verhalten des Harnes nach Gebrauch von Copaibabalsam 1475 f.

Quinquand, siehe Gréhant.

Quinquand (Ch. E.), **85**: Experimente über Denutrition 1825; physiologische Wirkung von Tanguin 1854.

Quinquand (E.), **81**: Harnstoffbestimmung (Ureometer) 1198.

Quiri, **82**: Keimapparat 1449 f.

Quiroga (F.), **82**: Analyse von Fibrolith (Jadebeile?) 1543.

## R.

Raab, siehe Limpricht (H.).

Raab (A.), **77**: Cuminaldehydderivate, Hydrocuminol und Derivate 623.

**79**: Dicuminylharnstoff 348.

Raabe (A.), **80**: Batanhiagerbsäure 1060.

**81**: Trichloressigsäure als Reagens auf Eiweiß im Harn 1227.

Raabe (F. W.), **82**: Verbindungswärme des Ammoniaks mit Kohlendioxyd und mit Chlorwasserstoff 124.

Rabe, siehe Frerichs (F.).

Rabley (W.), siehe Micklewood.

Rabuteau, **77**: Kupfer in der Leber 1006.

**79**: Wirkung des methylschwefelsauren Natriums 995 f.; siehe Vutzeys.

Raby (L.), **84**: neue Farbenreactionen des Codeins und Aesculins 1633.

Racchetti (A.), **85**: Messung der Erdströme zwischen Kupferplatten 235 f.

Rach (C.), **86**: Einwirkung von Blausäure auf Acetbernsteinsäureäther 1387:  $\beta$ - $\gamma$ -Dicarboxy- $\gamma$ -valerolacton

- und Salze 1388; Verhalten desselben beim Erhitzen: Pyrocinchonsäure und Derivate 1388 f.; siehe Bischoff (C. A.).
- Rack (G.), siehe Wilkens (F.).
- Rad (A. v.), **79**: Benzoësäure aus Benzotrichlorid 1113.
- Rad (v.) und Hirzel, **85**: Prüfung des Weinstein auf Schwefelsäure 1959 f.
- Radde (O.), **77**: Stenochromie 1246.
- Radenhausen (P.), **81**: Frauenmilch 1049; siehe Danilewski (A.).
- Radiguet, siehe Tommasi (J.).
- Radloff (A.), siehe Reuter (A.).
- Radominski, **86**: Chlorwolframat des Ceriums 400.
- Radot, siehe Leplay.
- Radulowitsch, **77**: Ozonbildung 207.
- Radulowitsch (W.), **82**: Darstellung von Wasserstoffhyperoxyd mittelst Terpentinöl oder Tereben 427.
- Radziszewski (Br.), **77**: selbstleuchtende organische Verbindungen 176; Phenylbutyl (Cymol) 378; Lophin, Hydrobenzamid, Amarin 744.
- 80**: Phosphorescenz organischer und organisierter Körper 192 f.
- 82**: Constitution und Homologe des Glyoxalins 479 f.; Kyanphenin gegen Reductionsmittel, Constitution von Kyanphenin, Lophin, Amarin, Glyoxalin 563 f.; Hydroamarin 564.
- 83**: Phosphorescenz organischer Körper 254; Oxalinbasen, Glyoxaläthylin (Paraoxalmethylin) und Homologe 643 bis 645; Homologe des Glyoxalins 646.
- 84**: Oxydation von Glyoxalin, Glyoxaläthylin, Glyoxalpropylin, den Oxalinen und Glycosin mit Wasserstoffsuperoxyd 465 f.
- 85**: Einwirkung von Wasserstoffsuperoxyd auf Nitrile: Bildung von Amidin 624.
- Radziszewski (Br.) und Schramm (J.), **84**: Synthese eines Terpens  $C_{10}H_{16}$  aus Oxyisoamylamin 549 f.: Dioxyisoamylamin, Oxyisoamylamin 549.
- Radziszewski (Br.) und Szul (L.), **84**: Glyoxalisoamylin und Abkömmlinge 609 ff.; Salze, Dibromglyoxalisoamylin 609; Oxalmethylisoamylin, Oxaläthylisoamylin, Oxalpropylisoamylin, Oxalisobutylisoamylin, Oxalisoamylisoamylin 610; Bildung von Amyloxamid 611.
- Radziszewski (Br.) und Wispek (P.), **82**: Derivate der Xylole 411 ff. (p-Xylolderivate 411, m-Xylolderivate 412, o-Xylolderivate 413).
- 85**: Xylolderivate: Xylol-, Xylylen-, Toluylenverbindungen 678 ff.
- Radziszewski (v.), **79**: Carlsquelle und Ameliaquelle zu Iwonicz 1265 f.
- Räber (B.), **80**: Hoang-Nan-Rinde 1074.
- Rafalski (A.), **81**: Dipropylxalsäure 757.
- Raffelt (R.), **78**: Vorkommen von Aluminat 1224.
- 82**: Zeolithe von Leitmeritz 1564.
- Rahlis (M.), **77**: Orthobrombenzoësäure 731.
- Raikow (P.), **86**: beständiger Wäscher 2011.
- Raimann (E.), **85**: Myristinsäure im Fett der Cochenille 1846 f.
- Raimond (E.), **83**: Bestimmung des Mangans im Eisen, Stahl und Ferromangan 1673 f.
- Raimondi, **81**: Magistral (Silbergewinnung) 1253.
- Raimondi (A.), **82**: Corongit und Partzit aus Peru 1574 f.; peruanische Mineralien 1579 f.; Marcyllit von Peru 1582.
- 83**: Analyse eines Silberbleifahlerzes aus der Provinz Hacaraz, Peru 1834; Entstehung der Salpeterlager Peru's 1848 f.; Vorkommen von Boronatrocalcit (Ulexit) in Peru 1849; Analyse des Cuprocalcits aus der Provinz Ica, Peru 1853; Analyse des Sideronatriits von Peru 1858; Analyse des Werthemannits von Santa Lucia, Peru 1859; Vorkommen von Tarapacait im gelben Salpeter 1859 f.
- Raimondi (C.), **83**: Naphtalin als Antisepticum 1507.
- 84**: Untersuchung über die Alcalescenz des Blutes 1480 f.
- 85**: Wirkung und Nachweis von Gelsemin und Strychnin 1851; siehe Bertoni (G.).
- Rainer, **81**: vegetabilisches Pepton 1311.
- Rakowsky, **78**: Diacetylhydrochinon 563; Diäthylhydrochinon 564.
- Ramann (E.), **81**: Passivität des Eisens 245, des Nickels, Kobalts und Aluminiums, Zersetzung des Wassers durch Eisen 246; Eisenamalgam 300.

- 83:** Analyse eines Kieselsteines von Liebenberg, Mark Brandenburg 1938.
- Ramdohr und Blumenthal, **82:** Magnesia und Salzsäure aus Chlormagnesium 1405.
- Ramdohr (L.), **77:** Ziegelmachine 1162; Gasfeuerung für Retortenöfen 1216.
- Ramme (G.), **79:** Phosphorpentasulfid 226 f.
- Rammelsberg (C.), **77:** Molybdän, Atomgewicht 21; Atomgewicht des Molybdäns, phosphormolybdänsaure Salze 293; Kupferoxydulbestimmung 1068; Blei, Quecksilber, Silber. Gold 1120; Speiskobalt 1261; thoriumfreier Monazit 1298; Granat 1311; Niobminerale (Aeschinit, Samarskit) 1344.
- 78:** phosphorsaures Lithium 1057; Bestimmung des Lithiums als Phosphat, Analysen von Lithionglimmer 1245 f.; Petalitanalyse 1253 f.; Gemenge von Pollux und Petalit 1255.
- 79:** Lithiumchromate 255; Lithium von Natrium 1043; chemische Natur der Meteoriten 1272.
- 80:** molekulare Veränderungen am Zinn und Zink 331 f.; Vesbium 337; Descloizit, Vanadinit 1427; Kjerulfin 1435; Topas 1438 f.; Glimmer 1447 f.; Nephrit 1464; Pollux 1467.
- 81:** Vanadindi- und -sesquioxyd 280; Strychninsulfat 945; Silbergewinnung (Amalgamationsproceß) 1252; Washoeproceß 1253; Fluor und Vanadin in Rohsoda 1266; Gaylussit in Rohsoda 1267.
- 82:** Phosphate des Lithiums und Thalliums 267 f.; Zusammensetzung und Krystallform eines neuen Kaliumthalliumchlorids 269.
- 83:** Pyrophosphate 317 f.; Darstellung des der Trona entsprechenden Kaliumsesquicarbonats 344 f.; vanadinsaure Salze 415 bis 417; Formel des Amblygonits 1865 f.; Analyse des Cuprodescloizits von S. Luis Potosi, Mexico 1870.
- 84:** essigsaure Urandoppelsalze 420 ff.; Untersuchung der Borate 1926; Untersuchung der Mineralien der Skapolithgruppe 1958 f.; Untersuchung der Chabasite 1976; Untersuchung über das grönländische Eisen 2043 ff.
- 85:** Oxyde des Mangans und Uran- (Hausmannit, Manganit) 536 f.; essigsaure Doppelsalze des Urans 537 f.; Analyse zweier Glimmer 2290.
- 86:** Krystalle aus Rohsodalauge 2055 f.; Zusammensetzung des Vesuvians 2265 f.; Untersuchung des Skapoliths 2269 f.; Analysen von Endialyt 2292 f.
- Rammelsberg (C. F.), **82:** Analysen eines Tuffes von den Ponzainseln 1616.
- Ramon de Luna, siehe Luna (Ramon de).
- Ramsay (Ch. W.), **82:** Conservirung von Bier und sonstigen gährungsfähigen Getränken, Altmachen gegohrener Getränke 1450.
- Ramsay (W.), **77:** Entwässerung von Hydraten 140; Picolinderivate, Dicarboxypyridensäure und Derivate 436; Lutidin, Dipicolin, Pyridin 438.
- 78:** Picolinderivate 438 f.
- 79:** Dichte von Flüssigkeiten bei ihren Siedepunkten 43 f.; Bildungswärmen 120.
- 80:** Volum des Natriums und Broms bei seinem Siedepunkt 23; Atomvolum 24; Ameisensäure-Methyläther im kritischen Zustand 41, 42.
- 81:** Molekularvolum von Verbindungen der Benzol-, Naphtalin-, Anthracen- und Phenanthrenreihe 43; spec. Volum des Stickstoffs 43 f.
- 82:** kritischer Punkt von Benzol und Aether 111.
- 83:** kritischer Punkt von Gasen (Prioritätsreclamation) 73; Gasbrenner mit langer Flamme 1655.
- 84:** Berechnung der Bildungswärme organischer Verbindungen aus den Elementen 210; Schafwollwaren-Industrie 1834.
- 85:** Darlegung einiger thermodynamischer Beziehungen 147 f.; Constitution der Untersalpetersäure 427.
- 86:** Methode zur Bestimmung der Brechungsexponenten in Prismen mit großen brechenden Winkeln 289; siehe Dobbie (J. J.); siehe Evans (E. P.); siehe Williams (Katherine J.).
- Ramsay (W.), Cundall (J. Tudor), **85:** Existenz des Stickstofftrioxydes 422 ff.; Verhalten von Mischungen des Stickoxyds mit Untersalpetersäure 425 ff.; Salpetersäureanhydrid 427; Bildung der Schwefelsäure 2061.

- Ramsay (W.) und Dobbie (J. J.), **78**: Oxydation von Chinin 877 f.
- Ramsay (W.) und Masson (O.), **80**: Volum des Phosphors bei seinem Siedepunkt 23 f.
- Ramsay (W.) und Young (Sydney), **83**: Verflüchtigungspunkt fester Körper 99 f.
- 84**: Dampfspannungen fester Körper 94; Einfluß des Drucks auf die Temperatur der Verflüchtigung fester Körper 181; Dampfspannung der Körper in festem und flüssigem Zustand 181 f.; Zersetzung des Ammoniaks durch Hitze 228.
- 85**: Apparat zur Bestimmung des Dampfdrucks flüssiger, auch fester Körper 73 f.; Herstellung constanter Temperaturen durch siedende Dämpfe 119 f.; Dampfdrucke des Quecksilbers 120 f.; spezifische Remission 149; Kritik der Kahlbaum'schen Destillirversuche 150; Beziehung zwischen Temperatur und Druck einer siedenden Flüssigkeit, thermodynamische Beziehungen, Bestimmung der Dampfspannungen des Quecksilbers bei verschiedenen Temperaturen 151 f.; normale Dichte des Aethylalkoholdampfes, kritischer Punkt desselben 157.
- 86**: Dampfdrucke von Chloraläthylat 81; Messung der Dampfspannkraft 90 f.; Dampfdrucke von Chlor, Jod und Monochlorjod 97 ff.; Dampfspannungen des Quecksilbers 100; Natur der Flüssigkeiten 110; thermodynamische Beziehungen der Dampfdrucke 197 ff.; Dampfdrucke von Fettsäureestern 200; Dampfspannkraftmessung 202 f.; thermische Eigenschaften des Aethyläthers 203; Dissociation und Verdampfung 233; Zersetzung des Chloroforms durch Hitze 628.
- Rand Capron (J.), **78**: Spectralbilder von Gasen und Metallen 189.
- Randal, **77**: Thermostat 1210.
- Ransome (A.), **82**: Bacillus tuberculosus im Athem Schwindsüchtiger 1248.
- Ransome (F.), **80**: Schlackencement 1313.
- 83**: Nachweis von Strontium in Gemengen mit Baryum und Calcium, Löslichkeit des chromsauren Strontiums 1559; siehe Dunstan (W. R.).
- Raoult, **82**: Verbindung von Ammoniak mit Ammoniumnitrat 237.
- Raoult (E.), **86**: Dampfension von Aether oder Lösungen organischer Verbindungen in Aether 114 f.
- Raoult (F.) und Breton (H.), **77**: Kupfer und Zink im Organismus 1006.
- Raoult (F. M.), **78**: Dampfspannungen und Gefrierpunkte von Salzlösungen 55.
- 80**: Gefrierpunkte alkoholischer Flüssigkeiten 36 f.
- 81**: Einwirkung von Kohlensäure auf Aetzkalk 207; basische Calciumcarbonate 208; Einwirkung von Kohlensäure auf Baryt und Strontian 209.
- 82**: Versuche mit Lösungsmitteln 71; Gefrierpunkt wässriger Lösungen organischer Substanzen 102.
- 83**: molekulare Temperaturerniedrigung, welche anorganische und organische Substanzen dem Wasser bei der Lösung ertheilen 83 ff.
- 84**: molekulare Temperaturerniedrigung des Erstarrungspunktes von Salzlösungen der Alkalien 119 f., der Erdalkalien und Erden 120, von Säureradicalen und Metallen 121, von Lösungsmitteln 121 f., von Säuren und Basen 122 f.
- 85**: Bestimmung des Molekulargewichts 41 f.; molekulare Temperaturerniedrigung des Erstarrungspunktes von Salzlösungen 97 f., von concentrirten Salzlösungen 98 f.; Einfluß der Verdünnung auf den Coëfficienten der Gefrierpunkterniedrigung von in Wasser gelösten Körpern 137.
- 86**: Bestimmung des Molekulargewichts 56; Einfluß der Concentration auf den Erstarrungspunkt von Lösungen 195 ff.; Erstarrungsgesetz, angewendet auf Thymol und Naphtalin, Alkohole und Säuren 197; Zusammensetzung des Kalium- und Natriumpermanganats 417.
- Rapp (M.), **84**: Untersuchung der Phenyl- u. Kresylester der Phosphorsäure 1352 bis 1356: Mononitromonophenylphosphorsäure 1352; Dinitrodiphenylphosphorsäure, Tri-p-nitrotriphenylphosphorsäure 1353; Mono-p-kresylphosphorsäure 1354; Phosphorsäure-Tri-p-kresyläther, Phosphorsäure-Tri-o-kresyläther 1355.

Raschen (J.), siehe Japp (Fr. R.).

Raschig (F.), **84**: Einwirkung von Kupferchlorür und -chlorid auf Schwefelmetalle 432.

**85**: Jodstickstoff (Di- und Trijodamin) 429 ff.; Einwirkung der Kupferchloride auf Schwefelmetalle 548; Einwirkung von Wasserstoffhyperoxyd auf Schwefelantimon: Bildung antimons. Salze 555; Reduction von Chlorpikrin und Dichlordinitromethan 722; organische Jodstickstoffe (Jodmethyl- und -äthylamine) 774 ff.; Verhalten von Dimethylamin gegen Brom 786 f.

**86**: Knallsilber 481; Verbindungen des Stickstoffs mit Gold (Auroamine) 484 bis 489.

Rasinsky (Faustin), **82**: Phenol gegen Essigsäure, Essigsäureanhydrid in Gegenwart von Chlorzink: Phenacetin 666 f.; Orcin gegen Essigsäure und Chlorzink: Orcacetein 667 f.; Triacetylresacetin, Orcin gegen Essigsäure und Phosphoroxychlorid: Orcacetophenon 668; Diacetyl Orcin, Phenol gegen Benzoessäure und Phosphoroxychlorid: Benzoessäure-Phenyläther; Phenol gegen Bernsteinsäure und Phosphoroxychlorid: Bernsteinsäure-Phenyläther; Resorcin gegen Benzoessäure und Phosphoroxychlorid: Dibenzoessäure-Resorcinäther; Resorcin gegen Bernsteinsäure und Phosphoroxychlorid: Succinylresorcin; Orcin gegen Benzoessäure und Phosphoroxychlorid: Dibenzoessäure-Orcinäther 669.

**83**: Biuretdicyanamid 485.

**84**: fractionirte Destillation von Erdöl mit Wasserdampf 1818 f.

**85**: fractionirte Destillation des bakischen Erdöls im Wasserdampfstrom 161.

Raske (K.), **86**: Analyse von Lymphe und Gehirn der Rinderembryonen 1830.

Rath (A.), **78**: Fundort und Analyse von Hessit 1203.

Rath (G. vom), **77**: unterschwefligsaures Phenylacediamin 477; Gold 1258; Speiskobalt 1261; Krennerit (Bunsenin, Tellurmineral) 1264; Bournonit 1268; Calcedon 1274; Rutil 1277; Kalkspath 1288; Beudantit 1304; Natrolith, Gismondin 1332.

**78**: Kupferstufe vom Obern See, Silberplatte von Kongsberg 1201; Binnit 1210; Krystallform von Quarz 1213; Pandemit, Pseudomorphose von Quarz nach Kalkspath 1220; Cyanit 1236; Granatkrystalle von Pfisch 1239; augitartige Schlacke 1250; Anorthite von Monzoni 1267; Perowskit 1274.

**79**: Nephrit 1228.

**80**: Jamesonit 1406; Fahlerz 1407; Kieselzinter 1410; Struvit, Hannayit, Newberyit 1434; Cyanit, Trippkeit und begleitende Mineralien 1438; Skapolith 1444; Anorthit 1470; Garnierit 1476; Kohlenanalysen 1490.

**81**: Eisenglanz (Augite) 1356; Rauchquarz 1357; Angit 1390; Adular 1401; Albit 1403.

**82**: Kalkspath von Lancashire, von Oberschelden 1532; Orthit von Auerbach 1545; Ausströmung von Schwefelwasserstoff nach Erdbeben aus dem Meere 1618 f.

**83**: krystallographische Untersuchung des Miargyrits von Bräunsdorf bei Freiberg 1834; krystallographische Untersuchung des Diopsids 1889; krystallographische Untersuchung des Cuspidins vom Vesuv 1904.

**84**: Schwefellagerstätte am Cove Creek 1900 f.; Zwillinge an Zinnober 1908; Krystallform von Kalkspath 1929; Krystallform von Leucit 1960; Messung von Cuspidin 1991.

**85**: Krystallform von Sprödglasserz 2267; Vorkommen von Tridymit 2272; Krystallform von Quarz 2272 f.; Vorkommen von Nocerin 2275 f.; Untersuchung des Colemanits 2276 f.; Vorkommen von Glimmern 2290; Gangrevier von Butte, Montana 2304.

**86**: Quarzkrystalle 2239; siehe Brögger (W. O.); siehe Damour (A.); siehe Genth (F. A.).

Rath (G. vom) und Seligmann,

**77**: Rutil und Eisenglanz 1273.

Rath (W.), **83**: Gewinnung von Schwefelsäureanhydrid 1685.

**84**: Herstellung von Sulfstöff 1832.

Rathgen (F.), siehe Zincke (Th.).

Rathke (B.), **78**: über Thiodicyandiamin 345 f.; über eine neue kupferhaltige Base aus Thiodicyandiamin 357; Darstellung und Untersuchung von phenylthiocarbaminsaurem Kalium 359.

- 79:** Biguanid 337 f.; Triphenylthiodicyandiamidin 340 f.
- 81:** Thiocarbanilid-Jodäthyl 341 f.; Thioharnstoff gegen Kupferchlorid 342; Principien der Thermochemie, Reduction der Kohlensäure zu Kohlenoxyd 1106.
- 82:** unvollkommene Reduction der Kohlensäure durch glühende Kohle 250 f.
- 84:** Principien der Thermochemie 29; Verbindungen von Thioharnstoff mit Metallsalzen 504 ff.
- 85:** Schwefelselen 404 f.; Additionsfähigkeit der Cyanverbindungen, Constitution des Dicyandiamids und Melamins 632 f.
- 86:** Verbindungen aus Perchlormethylmercaptan und Anilin, p-Toluidin und o-Toluidin 806 f.; Methylviolett aus Dimethylanilin und Perchlormethylmercaptan 891 ff.; Tetramethylthioanilin 892; Leukoviolett 892 f.; Verhalten von Perchlormethylmercaptan 893; Einwirkung von Brom auf Dimethylpiperidin 1686.
- Rathke (B.) und Feuerlein (C.), **79:** Phenylthioharnstoff 344 f.
- Rau (A.), **79:** chemische Valenz 20.
- Rau (H. M.), **81:** Hydrobenzamid gegen Aetzkali (Lophin) 497.
- 85:** Indigoprüfung 1984.
- Rauff (H.), **78:** Analysen von Mineralien der Nephelengruppe 1240 f.
- Raulin, **78:** Wärmeregulator für Trockenapparate 1095.
- Raumer (E. v.), **78:** fränkische Liasgesteine 1291 f.
- 81:** Phosphorsäure in Körneraschen 1223.
- 83:** Culturversuche mit Phaseolus multiflorus, Rolle des Kalks und der Magnesia in der Pflanze 1392.
- 85:** Krystallform des Benzoylmonomethylanilins und seines Mononitroderivates 847.
- Raumer (E. v.) und Kellermann (Ch.), **80:** Function des Kalks 1049 f.
- Raupenstrauch (G. A.), **85:** Bestimmung der Löslichkeit einiger Salze bei verschiedenen Temperaturen 99 f.
- Rautenberg (P.), siehe Claus (A.).
- Rautenfeld (P. v.), **84:** Abscheidung von Strychnin und sein Verhalten im Organismus 1640 f.
- Raveill (J. W.), **77:** Parabrommeta-nitrobenzoesäure, Parabrombenzoesäureanilid 734.
- 83:** p-Monobrombenzoesäure, p-Monobrom-m-nitrobenzoesäure, p-Monobrom-m-amidobenzoessäure 1130; p-Chlor-m-nitro- und p-Chlor-m-amidobenzoessäure 1131.
- Rawes (F. B.), **85:** Schwefelgewinnung aus Sodarückständen 2075.
- Rawson, **86:** Bestimmung des Kupfers in Erzen 1945.
- Rawson (Chr.), **85:** Bestimmung von Indigotin und von Indigoroth 1984 f.; Indigounter-suchung 1985; Indigobestimmung 2239.
- Rawson (S. G.), **84:** Bestimmung von Kupferchlorür in kupferhaltigen Laugen 1605.
- Rayleigh, **83:** Theorie der Capillarität 99.
- Rayleigh (Lord), **84:** elektromagnetische Drehung der Polarisations-ebene des Lichts in Schwefelkohlenstoff 306 f.
- 85:** Anwendung der Dämpfungsmethode bei der Bestimmung des Ohm 244; elektromagnetische Drehung der Polarisations-ebene des Lichts in Schwefelkohlenstoff 343.
- 86:** Differentialgalvanometer 240 f.; Ohmbestimmung 248 f.; elektromotorische Kraft der Clark'schen Zelle 257; Energie des magnetisirten Eisens 285; Vorlesungsversuch über Induction 320.
- Rayleigh (Lord) und Sidgwick (H. Mrs.), **82:** der spezifische Widerstand des Quecksilbers, Berechnung der Quecksilbereinheit 149.
- 83:** Widerstandseinheiten 211 f.
- 84:** elektrochemisches Aequivalent des Silbers und absolute elektromotorische Kraft des Clark'schen Elements 239 f.; spezifischer Widerstand des Quecksilbers 247.
- Raymann (B.), **77:** Orthotoluylochlo-rid, Orthotoluylaldehyd, Phtalaldehyd 620; siehe Preis (K.).
- Raymann (B.) und Preis (K.), **80:** Einwirkung von Jod auf Cymol und Campher 728 f.
- 84:** Einwirkung von Jod auf aromatische Kohlenwasserstoffe bei höherer Temperatur und Gegenwart von Jodiden der Fettreihe 466 f.
- Rayolt, **84:** technische Darstellung flüssiger Kohlensäure 1728.

- Read (H. F.), **85**: Darstellung von unsichtbarem Platindraht 2044.
- Reade (T. M.), **85**: Flusssäureanalysen: Mississippi, La Plata, Amazonenstrom 2315 f.
- Readwin (T. A.), **77**: Moosbildung bei Metallen und Mineralien 301.
- 78**: spontane Formänderung von Cadmium 284.
- Reay (T. B.), **85**: Analyse von Kohlentheer 2191.
- Reber (C.), **85**: Herstellung von Lacken aus Anilinfarbstoffen mit Blutlaugensalz 2215; Fixirung der Farbstoffe mit Ferro- resp. Ferricyaniden 2216.
- Reber (J.), **79**: Krapp und künstliches Alizarin 1173.
- Reboul, **78**: Chlorirung von Bromäthylen 412.
- 83**: Hydroxallyläthylamine 641 f.; Oxallyldiäthylamin 642; siehe Bourgoin (C.).
- Reboul (E.), **77**: Allyl- und Diallylacetessigäther, Diallylessigsäure 687.
- 78**: isomere Propylderivate 372.
- 81**: Triäthylamin gegen  $\alpha$ - und  $\beta$ -Monobrompropylen, Allylbromid, Allylchlorid, Isopropyljodid 408; Pseudobutylbromid 409; Epichlorhydrin gegen Triäthylamin (Oxallyltriäthylammoniumchlorid) 510.
- 82**: Triäthylamin gegen Halogen-derivate 480 f.;  $\alpha$ - und  $\beta$ -Dichlorglycid 481.
- Reboul (E.) und Bourgoin (E.), **77**: Elektrolyse der Brenzweinsäure 166; Pyroweinsäure, Dibrompyroweinsäure 713.
- Reboux, **77**: Bernstein 966.
- Reboux (E.), **84**: Zuckergewinnung 1788.
- Rebuffat (O.), **81**: zimmt. Baryum und Calcium 807.
- 84**: Einwirkung von Benzalchlorid, Phenylchloroform und Chloraluminium auf Anilinchlorhydrat 687; antiseptische Eigenschaften der Kohlensäure 1523 f.
- 85**: Reaction zwischen Hippursäure, Salicylaldehyd und Essigsäureanhydrid 1472 f.; Cumarin  $C_{16}H_{13}NO_4$ , Benzoylimidocumarin 1472; Säure  $C_{13}H_{13}NO_4$  1473; Darstellung von Phenylcinnamethylacrylsäure und von Diphenyläthylen 1555.
- Rechenberg (v.), **78**: Einwirkung von Jod auf Guanidincarbonat und auf Nitrosoguanidin 349.
- 79**: Lösungswärme von Chlorkalium 105.
- 80**: Verbrennungswärme organischer Verbindungen 130 f.
- 81**: thierische und pflanzliche Fette 1068; siehe Stohmann (F.).
- Recknagel, **84**: Ursachen der Verdichtung der Milch 1671.
- Recknagel (G.), **77**: spec. Gewicht der Gase, Bestimmung 49.
- 83**: Verdichtungsproceß der Milch 1459 f.; Veränderung des specifischen Gewichtes der Milch 1645.
- Recoura, **85**: Bestimmung der Umwandlungswärme des Chromchlorürs in Chromchlorid 202 f.; Chlorwasserstoffverbindung des Chromchlorürs 522 f.
- Recoura (A.), **86**: Isomeren des Chromsesquichlorids nach thermochemischen Untersuchungen 423 ff.; Umwandlung des Chromchlorürs in Chromchlorid (Verbindungswärme) 425, 427 ff.; Modificationen des Chromhydroxyds 425 ff.
- Redard, **81**: elektrisches Thermometer 1074.
- Redier, siehe Pécholier.
- Redlich (T.), **86**: Beurtheilung der Qualität von Rohrzucker 2126 f.; Bestimmung des Raffinationswerthes 2127.
- Redtenbacher, **78**: Cholesterinsäure, Choloïdansäure 1005.
- Redwood, **78**: giftige Wirkung der Eibenbaumblätter 978.
- 80**: Diffusion von Eisensalzen 322.
- Redwood (B.), **84**: Darstellung des wässrigen Extracts der Chinarinde 1459; Verfälschung von amerikinischem Terpentinöl 1469; Prüfung von Paraffinschiefer auf den Gehalt an Oel 1828.
- 85**: Petroleum-Industrie Russlands 2173.
- 86**: Erdöl und seine Producte 2155 f.; Viscosimetrie von Schmierölen 2166 f.; siehe Schacht.
- Redwood (J. J.), **86**: Wirkung von Oelen auf Metalle 2162 f.
- Redwood (T.), **78**: Bestimmung des Schmelzpunktes der Fette 1092.
- Rée (A.), **85**: Constitution von Monochlorphthalssäure aus  $\epsilon$ -Dichlornaphta-



- lin 1486; Darstellung der  $\beta$ -Sulfo-  
phtalsäure 1803.
- 86:**  $\beta$ -Sulfo-*phtalsäure* aus  $\beta$ -Naph-  
tolgelb und Derivate 1562 ff.; siehe  
Graebe (C.).
- Reed (J. H.), **85:** Darstellung eines  
Dimethylnaphtochinolin 1015.
- 86:** Einwirkung von Methylal  
und Aceton auf  $\beta$ -Naphthylamin:  
Methylnaphtochinolin und  $\beta$ -Naphto-  
acridin; Hydroacridin aus Methylal  
und Anilin 895.
- Reed (Lester), **83:** Bestimmung des  
Klebergehaltes im Mehl 1623.
- 85:** Bildung einer cementartigen  
Masse aus Borsäure und kohlen-  
saurem Kalk 457 f.
- Reese (A.), siehe Michaëlis (A.).
- Reese (C. L.), **84:** Oxydation von  
Natriumsulfatlösungen 340; Titirung  
von schwefliger Säure mit Wasser-  
stoffsuperoxyd 1567; Analyse von  
Pinit 1973.
- Reese (L.), siehe Fischer (E.).
- Reformatsky (S.), **83:** Kohlen-  
wasserstoff aus Allyldipropylcarbinol  
524 bis 526.
- 84:** Kohlenwasserstoff  $C_6H_{14}$  aus  
Diäthylallylcarbinol 523 f.
- 85:** Darstellung von mehratomigen  
Alkoholen 1208 f.; Hexylglycerin  
und Alkohol  $C_7H_{11}O(OH)$ , 1209.
- 86:** Darstellung mehratomiger  
Alkohole 1215; siehe Lopatkin (M.).
- Régéczy (E. N. v.), **85:** Diffusion  
der Eiweißlösungen 1774 f.
- Régéczy-Nagy (E.), **84:** Strömungs-  
gesetz von Flüssigkeiten durch Ca-  
pillarröhren 98; Diffusion des Albu-  
mins in Salzlösungen 146 f.
- Regelsberger (F. F.), **85:** Ver-  
halten des Uranylchlorids gegen  
Ammoniak: Uranylammonverbindungen  
539 f.
- Regnard (P.), **77:** Gußstahl 1115.
- 82:** Apparat zur Registrirung der  
Absorption oder Entwicklung eines  
Gases 1348.
- 84:** Untersuchung des Einflusses  
von sehr hohem Druck auf lebende  
Wesen 1507 f.
- 85:** Wirkung des Chlorophylls  
auf die Kohlensäure 1797; siehe  
Bert (P.).
- Regnault (J.), **77:** Chinin gegen  
Schwefelsäure 1085.
- 78:** elektrische Säule aus festem  
und flüssigem Gallium 135.
- 85:** Zersetzung von Chloroform  
am Lichte 721.
- Regnault (J.) und Villejean, **84:**  
Reinigung des technischen Methyl-  
alkohols 924; anästhesirende Wir-  
kung des Methylenchlorürs 1512.
- 85:** Reinigung des Methylalkohols  
1155; Wirkung der Inhalationen von  
Methylenchlorid und Tetrachlor-  
kohlenstoff 1852.
- Regnault, **77:** Verflüssigung von  
Gasen 69.
- 78:** Bestimmungen der Wasser-  
dampfspannungen bei verschiedenen  
Temperaturen 39; Bestimmung von  
Siedetemperaturen-119.
- Rego siehe Holtermann.
- Reher (L.), **86:**  $\alpha$ - und  $\gamma$ -Aethyl-  
chinolin sowie Diäthylchinolin aus  
Chinolinjodäthylat 940 bis 943; Tetra-  
hydro- $\alpha$ -äthylchinolin 941;  $\gamma$ -Aethyl-  
chinolinsulfosäure 942.
- Rehs (G.), **77:** Phenanthrol 585.
- Reibenschuh, **83:** Methylbiguanid  
und Verbindungen 487.
- Reibstein (T.), **81:** Komensäure und  
Derivate 725 bis 729.
- Reichardt (E.), **77:** Pectinstoffe  
905; Analysen eines Mark-  
und Zwanzigpfennigstückes 1069; Bier  
1196; Weinuntersuchung 1200; Gly-  
cerin im Wein 1201.
- 78:** Bestimmung von Chloroform  
im Harn 1093.
- 79:** Ueberzug in Bleiröhren 280 f.;  
Wald- und Gartenhimbeeren 917;  
Gährungserscheinungen 1014 f.; Reini-  
gung von Abfallwasser, Desinfection  
1128; Soolquelle von Suhl 1262.
- 80:** Spaltung des Rohr- und  
Traubenzuckers 1016 f.; Gottesacker-  
Erde 1129; Arsen und Antimon 1165.
- 81:** Nachweis von Blausäure  
1197; Pilzfilter für Wein und Bier  
1310; Soole von Allendorf 1444.
- 83:** Titiranalyse 1519; Schädlich-  
keit und Prüfung arsenhaltiger Ta-  
peten und Farben 1550; Kieselsäure-  
Poudrette 1720; Untersuchung der  
Torfmoorerde von Schmiedeberg 1908.
- 84:** Ferment und Verdauung  
1473 f.; Kohlensäuregehalt der Luft  
1587 f.; Methoden der Analysen  
von Pflanzenstoffen 1656 f.; Unter-  
suchung einer rostfarbenen Masse  
aus einer Graburne 1695 f.; Unter-  
suchung von Butter 1784 f.; Waschen  
und Walken von Wolle und Tuch 1841.

- 85:** Trinkwasserleitungen 2051.  
**86:** Bestimmung der Salpetersäure durch Ueberführung in Ammoniak 1918; Beseitigung der Abfallstoffe durch Berieselung oder Abfuhr 2113 f.  
 Reiche (H. v.), **80:** Azobenzoldisulfosäuren 913 f.  
 Reichel (F.), **80:** Trennung des Kobalts vom Nickel 1186.  
**81:** Bestimmung des Arsens 1170; Kobalt von Nickel 1188.  
 Reichenbach, **78:** Pitakall 599.  
 Reicher (L. T.), **83:** Uebergang des Schwefels aus einer allotropischen Modification in die andere 287.  
**84:** Temperatur der allotropischen Umwandlung des Schwefels und ihre Abhängigkeit vom Druck 227.  
**85:** Geschwindigkeit der Verseifung einiger Ester mit verschiedenen Basen 1312, des Bernstein-säure-Aethyläthers mit Natrium 1312 f.  
**86:** Geschwindigkeit der Verseifung 1289.  
 Reicher (Th.), **83:** Geschwindigkeit des Zerfalls der Maleinsäure in Anhydrid und Wasser 1082 f.  
 Reichert (C.), **85:** anapoklitisches Prisma für Polarimeter 337, 1996.  
 Reichert (E.), **79:** flüchtige Fettsäuren der Butter 1075.  
 Reichhardt (E.), **83:** Prüfung von Bismuthum subnitricum auf Arsen 1574 f.; Silberpapier gegen reinen Wasserstoff, Nachweis von arseniger Säure durch Silberpapier 1575.  
 Reichhardt (H.) und Bittmann (C.), **83:** quantitative Bestimmung des Rohrzuckers in Lösungen, welche noch andere optisch-active Substanzen enthalten 1617.  
 Reichl (C.), **80:** Glycereine 620 f.; Gummireaction 1214 f.  
**83:** Nachweis von Glycin, Holz-zellstoff gegen Pyrogallussäure und Zinnchlorid 1602; Herstellung gelber Farbstoffe aus xanthogensaurem Alkali und Phenolen 1795.  
 Reichler (L. Th.), **85:** Einwirkung von Natronlauge auf Chloralhydrat 1294.  
 Reichling (R.), **85:** Bleichen von Papierhalbzeug 2204.  
 Reid (A. R.), **81:** Phosphor und -Verbindungen 189.  
 Reid (F. A.), **86:** Holz als Material zur Papierbereitung 2175.  
 Reid (W. F.), **82:** Explosivstoffe aus Nitroglycerin 1411.  
 Reidemeister, **84:** Abscheidung von Gay-Lussit-Krystallen aus Lösungen calcinirter Soda 1732.  
 Reidemeister (A. W. v.), **80:** Lävulin, Triticin, Sinistrin 1059.  
 Reidemeister (C.), **86:** Silico-Carbonat-Krystalle aus Rohsodalauge 2056.  
 Reihlen (J. A.), **82:** Weinbereitung 1448.  
 Reimann (M.), **77:** Schwefelmilch in der Färberei 1244.  
**79:** Chromschwarz 1153.  
 Reimann, **84:** Aräometer 1684; neue Processe in der Färberei 1849.  
 Reimarus (C.), **86:** Einwirkung von Alkyljodiden auf Dibenzylthioharnstoff: Benzylimidobenzylcarbaminthiomethyl, -thioäthyl, -thiopropyl und -thioamyl 557 f.  
 Reimer, siehe Haarmann.  
 Reimer (C. L.), **78:** Alkoholsäuren aus Salicylsäure und p-Oxybenzoesäure 786 f.; Einwirkung von Chloroform auf  $\alpha$ - und  $\beta$ -Oxyisophtalsäure 802 f.  
**80:** Alphetolulylamid 853 f.; Diphenylfumarsäure 896 f.  
**81:** Benzylcyanid gegen Brom (Dicyanstilben) 324; Phenylbromacetimidbromid, Phenylbromacetnitril 325; Stilbendicarbonsäureanhydrid, Stilbendicarbonimid 325 f.; isomere Dibenzylidicarbonsäuren 846; Dinitrodibenzylidicarbonsäuren, Dibenzylidicarbonid 847; siehe Jacobsen (E.); siehe Tiemann (F.).  
 Reimer (C. L.) und Will (W.), **85:** Untersuchung des Fettes der Früchte von *Myristica surinamensis* (Myristin, Myristinsäure) 1818 f.  
**86:** Darstellung und Derivate der Erucasäure und Brassidinsäure (Di- und Tribrassinin, Di-Erucin) 1409 ff.  
 Reincke (J.), siehe Wallach (O.).  
 Reinecke, **78:** Werthbestimmung der Knochenkohle 1152.  
 Reinecke (R.) und Stutzer (R.), **82:** Zuckerreinigung mittelst schwefliger Säure 1440 f.  
 Reinecken, (F. A.), **85:** Gewinnung von Zinn und Zink aus Metallabfällen 2018 f.  
 Reinecken (F. A.) und Poensgen (L.), **83:** Wiedergewinnung von Zinn aus Metallabfällen 1665.

- Reingruber (Fr.), **81**:  $\beta$ -Methylnaphtalin aus Steinhoblentheer 365 f.; siehe Emmert (A.).
- Reinhard, **82**: Untersuchung von Blauholzextracten 1339.
- Reinhard (G.), **77**: Resorcin gegen Sulfurylchlorid 562.
- 78**: Verhalten des Aethylenalkohols gegen Sulfurylchlorid 522; Mono- und Dichlorresorcin 556 f.; Sulfuryloxychlorid gegen Dichlorresorcin 557 f.; Trichlorresorcin 558; Verhalten desselben 559.
- Reinhard (H.), **85**: Luftuntersuchungen 2161.
- Reinhardt, **83**: Analyse eines Speiskobalts 1830.
- 85**: Eisentitrimethode 1933.
- Reinhardt (C.), **84**: Spirituslampe 1685; Einbrennen von Nummern auf Porzellantiegel 1686; Schwefelwasserstoffapparat 1690.
- 85**: Manganbestimmung 1935; Analyse von Kautschuk 1973; Spirituslampe und Wasserbäder mit constantem Niveau 1999; Modification am Kipp'schen Schwefelwasserstoffapparat 2008.
- 86**: Bereitung einer haltbaren Stärkelösung 1996; Schmelzpunkte thierischer Fette 2002.
- Reinhardt (H.), **82**: Analyse eines Rippenstückes von Halitherium Schinzi 1585; siehe Lepsius (R.).
- Reinhardt (H.) und Ihle (R.), **81**: elektrolytische Bestimmung des Zinks 1190.
- Reinhardt (H.) und Städel (W.), **83**: secundäre und tertiäre Basen (Methyl- und Aethylderivate) aus den Brom- und Jodhydraten von Anilin und Toluidin 708.
- Reinherz (H.), **85**: Darstellung von Pyrenchinondisulfosäure 2093 f.; von Dioxypyrenchinon 2094; siehe Birnbaum (K.).
- Reinitzer (B.), **81**: Phosphorigsäureanhydrid 189 f.; Nachweis der schwefeligen Säure 1166; feste Borwasserstoffe 1176.
- 82**: Verhalten der Acetate von Chrom, Eisen und Aluminium 1290 f.
- Reinitzer (B.) u. Goldschmidt (H.), **80**: Phosphoroxychlorid gegen Metalle 273 f.
- Reinitzer (F.), **82**: Untersuchung eines vegetabilischen Fettes 1183.
- 84**: Analyse von Molybdänblei 1937.
- 86**: Hydrocarotin und Carotin 1760 ff.; Mattätzen des Glases 2085; siehe Gintl (W.).
- Reinitzer (T.), **85**: Analyse von Orthoklas 2297.
- Reinke, **84**: Untersuchung eines Campêcheholzextracts auf Zucker 1651.
- 85**: Fuselölbestimmung im Sprit 1973 f.
- Reinke (H. J.), **81**: Protoplasma von Aethalium septicum, Platin, Aethaliumharz 1005; aldehydartige Substanzen der Pflanzen 1006.
- Reinke (J.), **82**: reducirende Eigenschaften lebender Zellen 1144 f.; Untersuchung der leicht oxydirbaren Verbindungen des Pflanzenkörpers: Rhodogen, Betaroth 1145.
- 84**: Untersuchung über die Sauerstoffabscheidung der Pflanzen 1429 f.; Chlorophyll lebender Pflanzenzellen und Assimilation des Kohlenstoffs 1438.
- 85**: krystallisirtes Xanthophyll 1796.
- 86**: Methode des Spectrophors (optische Apparate) 287.
- Reinke (J.) und Rodewald (H.), **81**: Aethalium septicum, Paracholesterin 1016.
- Reinke (O.), **77**: Tribromsulfobenzolsäure und Derivate 832; Tetrabromsulfobenzolsäure 835; Amidodibromsulfobenzolsäure 836.
- Reinold (A. W.) und Rücker (A. W.), **77**: Widerstand von Seifenblasen 163.
- 84**: Farben von Flüssigkeitshäutchen 299.
- 86**: Oberflächentension flüssiger Häutchen 133.
- Reinsch (H.), **81**: Unterscheidung von Kiesel-, Thon-, Beryllerde, Alkalien, alkalischen Erden u. s. w. durch das Spectroskop 1183.
- 84**: Einwirkung der Salpetersäure auf die Krystallisation 1 f.
- Reinsch (P. F.), **82**: Cyprusit von Cyprien 1538 f.
- 85**: Isolirung eines neuen Bestandtheils aus Carbon-Kohlen (Blätter-, Papierkohlen) 2171 f.; Ursache des Runzels der Trockengelatinen-negative 2259.
- 86**: neues Gerbeverfahren mittelst Pyrofuscin 2178 f.

- Reis (M. A. v.), **81**: spec. Wärme flüssiger organischer Verbindungen 1093 f.; Molekularwärme isomerer flüssiger Verbindungen 1095; Bestimmung von Schwermetallen mittelst Oxalate 1154.
- 85**: Bestimmung des Phosphors im Roheisen und Stahl 1912; siehe Classen (A.), siehe Halberstadt (W.).
- Reischauer, **77**: Juglon (Nucin) 937.
- Reischauer (C.), **77**: Bier 1197; Farbmaltz 1198.
- 78**: U-förmiges Rohr zum Trocknen von Gasen 1096.
- Reisenegger (H.), **83**: Hydrazinverbindungen des Phenols und Anisols: o- und p-hydrazinphenolmonosulfosaures Kalium 800; o-Hydrazinanisol aus o-Anisidin 800 f.; o-Hydrazinanisol gegen salpetrige Säure 801 f.; Salze und Derivate des o-Hydrazinanisols, o-Hydrazinanisol gegen Isocyanensäure-Aethyläther 802; Verbindungen der Hydrazine mit Ketonen: Acetophenylhydrazin, Acetophenonphenylhydrazin 803; Acetophenondimethylhydrazin 803 f.; Phenylhydrazin gegen Oenanthal, gegen Chloral 804.
- Reiset (J.), **79**: Kohlensäurebestimmungen in der Luft 209.
- 80**: Kohlensäuregehalt der Luft 277 f.
- 82**: Kohlensäuregehalt der atmosphärischen Luft 1141.
- 83**: „blaue“ Milch 1466.
- Reisig (W.), **78**: Seife als Anstrich 1195 f.
- Reifs (M. A. v.), **80**: spezifische Wärme von Essigsäure-Wassergemischen 91 f.
- Reifert (A.), **84**: Einwirkung von Phenylhydrazin auf die Cyanhydrine von Benzaldehyd, Acetaldehyd und Aceton 864 bis 868; Benzylidenphenylhydrazin, Phenylphenylhydrazidoessigsäure 864;  $\alpha$ -Phenylhydrazidopropionsäurenitril,  $\alpha$ -Phenylhydrazidopropionsäure 865;  $\alpha$ -Phenylhydrazidoisobuttersäurenitril 866;  $\alpha$ -Phenylhydrazidoisobuttersäureanhydrid,  $\alpha$ -Phenylhydrazidoisobuttersäureimid 867;  $\alpha$ -Anilidoisobuttersäure 868.
- 86**: Einwirkung von Anilin auf Dibrombernsteinsäure 1342.
- Reifert (A.) und Tiemann (F.), **86**: Pyranilpyroinsäure aus Anilidobrenzweinsäure 1500 f.; Einwirkung von Anilin auf Dibrombernsteinsäure 1501.
- Reifsig (W.), **80**: Gyps und Cementabgüsse 1301.
- Reifsmann (A.), **85**: Unterscheidung des Knochenmehls von Steinmehl 2130.
- Reisz, **80**: Umsetzung zwischen schwefelsaurem Natron und Kalk 1295.
- Reitlinger (Edm.) und Urbanitzky (A. v.), **80**: Erscheinungen in Geißler'schen Röhren 165 f.
- Reitmair (O.), siehe Stutzer (A.).
- Reitmair (O.) und Stutzer (A.), **85**: Stickstoffbestimmung nach Kjeldahl 1946 f.; Stickstoffbestimmung mit Natronkalk und Oxalsäure 1947.
- Reitter (F.), **78**: Wassermenge der Donau 1294.
- Remelé (A.), **83**: Kiesel sandstein von Liebenberg, Mark Brandenburg 1938.
- Rémont, **81**: Untersuchung von Seide und Wolle 1230.
- Rémont (A.), **79**: Gesamtstickstoffgehalt im Futter 1082.
- 80**: Prüfung der Oele des Handels 1202.
- 81**: platinhaltige Kohle auf Gefäßen 304; Salicylsäure im Wein und Bier 1217.
- 82**: Nachweis von Salicylsäure in Getränken 1334; Nachweis von Salicylsäure in Milch und Butter 1344.
- Rempel (R.), **85**: Modification der Linter'schen Druckflasche 2003; siehe Hell (C.).
- Remsen (Ira), **78**: Entzündung der mit Knallgas gefüllten Seifenblasen 190; Einwirkung von Kalihydrat auf Sulfoxybenzoesäure 763 f.; Oxydation der Xylolsulfamide 851 f.
- 80**: Sulfamin- und Sulfoisophthal-säure 924 f.
- 81**: Verhalten von Eisen in einem Magnetfeld 109; Bildung eines Cyanids mittelst Stickstoff, Kohle und Natrium 200.
- 82**: Nichtoxydation des Kohlenoxyds durch Ozon 223.
- 84**: Darstellung von Sulfophthalen, Einwirkung von o-Mono-

sulfobenzoesäureimid, Mononitro-o-sulfobenzoesäure, Monobrom-o-sulfobenzoesäure auf Phenole 1021.

**85:** Bildung von Phenoläthern beim Kochen der Diazverbindungen mit Alkohol 1032.

**86:** Oxydation mehrfach alkylierter Benzolderivate: Cymolsulfosäure, m-Xylolsulfamid 590; p-Xylolsulfosäure, p-Xylolsulfamid, Cymol 591; siehe Coale (R. D.); siehe Fahlberg (C.); siehe Hall (L. B.); siehe Hart (E.); siehe Iles (M. W.); siehe Morse (H. N.).

Remsen (Ira) und Bayley (W. S.), **86:** p - Monobrombenzoesulfimid 1555 f.

Remsen (Ira) und Broun (P. H.), **81:** Mesitylensulfosäure, Mesitylensulfimid 861.

Remsen (Ira) und Burney (W.), **81:** Sulfoterephthalsäure 885 f.; Sulfinitoterephthalsäureamid, Oxydation von Cymolsulfosäure 886.

Remsen (Ira) und Coale (R. D.), **79:** Oxydation von Sulfamintoluylsäure 761.

**84:** Untersuchung von Sinapinsäure 1284 f.; Auffassung als Butylen-gallussäure 1285.

Remsen (Ira) und Comstock (W. J.), **83:** Oxydation von  $\alpha$ - und  $\beta$ -Naphthalinmonosulfosäureamid,  $\alpha$ - und  $\beta$ -Sulfophthalsäuren und -Sulfaminphthalsäuren 571 f.

Remsen (Ira) und Day (W. C.), **83:** Monobromcymolmonosulfosäure 1284; Monobromcymolmonosulfosäureamid,  $\beta$ -Cymolmonosulfosäureamid 1285;  $\alpha$ -Sulfoamin - p - propylbenzoesäure aus  $\beta$  - Cymolmonosulfosäureamid 1285 f.

Remsen (Ira) und Fahlberg (C.), **80:** Sulfaminsäuren 924.

Remsen (Ira) und Hall (L. B.), **80:** Sulfaminsäuren 924.

Remsen (Ira) und Hillyer (H. W.), **86:** relative Beständigkeit von Alkylbromiden: Aethyl-, Propyl-, Isopropyl-, Butyl- und Amylbromid 825 f.

Remsen (Ira) und Iles (M. W.), **78:** Oxydation der Xylolsulfamide 851 f.  
Remsen (Ira) und Keiser (E. H.), **82:** Nichtoxydation des Kohlenoxyds durch Wasserstoffhyperoxyd 223.

**83:** Nichtbildung von Kohlensäure aus Luft und Kohlenoxyd 273 f., 276;

„weißer“ Phosphor, Apparat zur Darstellung desselben 312; p-Dipropylbenzol, p-Dipropylbenzolmonosulfosäure 1286; p-Dipropylbenzolmonosulfosäureamid, p-Sulfoamin-p-propylbenzoesäure aus p-Dipropylbenzolmonosulfosäureamid 1287; saures sulfoterephthalsäures Kalium 1288.

**84:** Unmöglichkeit der Oxydation von Kohlenoxyd durch activen Sauerstoff 330; Methode der quantitativen Bestimmung von Kohlenstoff im gewöhnlichen Phosphor 1586.

Remsen (Ira) und Kuhara (M.), **81:** Sulfoterephthalsäure aus p-Xylolsulfosäure 886.

**82:** Verhalten von m-Xylolderivaten (Nitro-m-xylol und m-Xylolsulfosäure) gegen Oxydationsmittel, Einfluss negativer Gruppen auf oxydable Reste 410 f.; Identität von Xylidinen verschiedenen Ursprungs 411.

Remsen (Ira) und Noyes (W. A.), **82:** p-Diäthylbenzolsulfamid gegen Oxydationsmittel: Sulfamido-p-äthylbenzoesäure 1015 f.

Remsen (Ira) und Palmer (A. G.), **86:** Darstellung von p-Diazo-o-toluolmonosulfosäure 1040; Zersetzung derselben mit Alkohol (p-Aethoxy-o-toluolsulfamid) 1041; Einfluss der Druckveränderung bei der Zersetzung (p-Aethoxy-o-toluolsulfosäure), versuchte Darstellung von o-Sulfobenzoesäure 1042; Benzoesulfimid 1554; Aethoxybenzoesulfimid 1554 f.

Remsen (Ira) und Palmer (C. S.), **86:** Benzoylmethyl-, -äthyl- und -phenyltoluolsulfamid 1551 f.

Remsen (Ira) und Stokes (H. N.), **84:** Untersuchung von Phthalsäuresulfimid (Anhydrosulfaminphthalsäure) und Derivaten 1334 bis 1338:  $\alpha$ -Sulfaminphthalsäure 1334; anhydrosulfaminphthalsäure Salze 1335; Ester der Anhydrosulfaminphthalsäure 1336;  $\alpha$ -Sulfophthalsäure 1337;  $\alpha$ -Oxyphthalsäure ( $\beta$ -Oxyphthalsäure) 1338.

Remy und Ehrhardt, **86:** Reinigung der Rohanthracene 2066.

Remy (A.), siehe Lellmann (E.).

Renard (A.), **77:** Glycol gegen elektrolitischen Sauerstoff (Glycerinaldehyd) 521.

**79:** Alkohole gegen elektrolitischen Sauerstoff 481 f.; Olivinfels 1253.

- 80:** Elektrolyse des Benzols 440 f.; Terpen, Elektrolyse 448 f.; Colophonium 1083.
- 81:** Elektrolyse des Toluols 352 f.; Destillationsproducte des Colophoniums 1029; Epidot 1379.
- 82:** Destillationsproducte des Colophoniums, neue (?) Kohlenwasserstoffe 1178 f.; Unterscheidung von Kalkspath und Dolomit 1533; Glimmer von Nil St. Vincent 1553.
- 83:** Isomeres des Laurols (m-Aethylpropylbenzol) 545; Harzessenz 1422; Producte der trockenen Destillation des Colophoniums 1426 f.; Colophanthren 1427; die Harzindustrie im Département des Landes (Frankreich) 1766; Bestandtheile der Destillationsproducte des Harzes 1766 f.; Vorkommen von Zirkon als mikroskopischer Bestandtheil der Ganggesteine von Nil-St.-Vincent, Belgien 1839 f.; Phonolith von der Insel Fernando Noraña 1931; Analyse des Nephelinbasaltes vom Rat Island 1931 f.; Analyse der Asche der Krakatau (Krakatoa) 1935 f.
- 84:** Untersuchung über die Harzöle und die Harzessenz aus dem Colophonium 1466; Färbung des Chinagrases 1833 f.; Anilinschwarzfärberei 1849; Analyse von Granat 1956, von Bastonit, von Ottrelith 1961; die Phyllite der Ardennen 2010 f.
- 85:** Elektrolysen von Salzlösungen 282 f.
- 86:** Elektrolyse von Salzen 277 f.; Vorkommen von Propionsäure in Theerölen 1314; Bestimmung des Indigos auf gefärbten Geweben 1992; siehe Ludwig (E.).
- Renard (A.) und de la Vallée Poussin (Ch.), **82:** Ottrelith von Serpont 1554.
- Renard (A. F.), **86:** Krystallform von Ludwigit 2247; Beschreibung der Gesteine der Insel Juan Fernandez (Dolerite und Basalte) 2304; Untersuchung der sogenannten Steinströme auf den Falklandinseln 2308.
- Renard (A. F.) und Vallée Poussin (Ch. de la), **86:** Beschreibung der Porphyre von Bierghes, Belgien 2306.
- René Bohn und Heumann (K.), **82:** Oxyazobenzolmonosulfosäure gegen Kali: p-Azophenol 601 f.; Azobenzoldi-p-sulfosäure gegen Kali, p-Azophenolmonosulfosäure 602.
- Renk, **85:** Vertheidigung von Pettenkofer's Grudwassertheorie 1855.
- Rennard (C.), **77:** Alkaloide aus Leichen theilen u. s. w. 1085.
- Rennard (E.), **77:** Teträthylammoniumhydroxyd 431; Wasserstrahlpumpe 1101.
- 79:** Terpentiniölwasser zur Desinfection 1129.
- Rennie (A. G.), siehe Mills (E. J.).
- Rennie (E. H.), **81:** Reaction auf Meconsäure, mecons. Calcium 936 f.; Dinitrochinhydrat 962; neuseeländisches Kaurigummi 1029.
- 82:** Aethylbenzol aus Chlorkohlen-säureäther und Benzol 413; Derivate und Constitution des Benzylphenols 712 f.; Methoxybenzophenon (p-Oxybenzophenon-Methyläther) 714.
- 86:** Dinitro-p-benzylphenol 1265; Derivate eines isomeren (o-?) Benzylphenols 1266; Glycyphyllin aus Smylax Glycyphylla 1811 f.; siehe Wright (C. R. A.).
- Renouard (A.), **83:** Analysen von Baumwollensamenkuchen 1635.
- Renouf (E.), **80:** Hydrazine, Dimethylhydrazin 567 f.; Dimethylsulfocarbaminsäure, Tetramethyltetrazon 568.
- 83:** Derivate des Triphenylmethans: Paraleukanilin, Derivate und Salze 558 f.; Leukanilinderivate 559 f.; Triamidotriphenylmethan 560; Orthonitrobittermandelölgrün, Salicylaldehyd gegen Anilin 561; siehe Fischer (E.).
- Renqvist, **78:** Malakolithanalyse 1249.
- Renteln (C. v.), siehe Dragendorff.
- Rentice (E. C.), **78:** Conservirung von Schießbaumwolle 1138.
- Renz (Ch.), **85:** Zusammensetzung der „Soda caustique“ 2162.
- Reoch, **77:** Rhodanverbindungen gegen Eisenoxydsalze 984.
- Résimont, **78:** Einfluss des Siliciums auf die Eigenschaften des Stahls 1101.
- Restrepo (A.), siehe Dujardin-Beaumetz.
- Restzoff (N.), siehe Lenz (B.).
- Rethwisch (E.), **86:** Untersuchung von Rothgiltigerz (Proustit und Pyrrargyrit) 2234 f.

- Retzlaff (A.), **78**: Bauxit von Mühlbach 1189.
- Reuben Haines, **82**: Wasseranalyse 1261.
- Reuleaux, **88**: Celluloid 1175.
- Reusch, **77**: Diphenylketon, Krystallform 635.
- Reusch, (E.), **83**: Beschreibung und Bildungsweise gewundener Bergkristalle 1838; Spaltungsrichtung des Gypses nach  $\frac{1}{2}$  P  $\infty$  1855.
- 84**: Krystallform von Mononitroacetonaphthalid 772, von  $\delta$ -Nitroacetonaphthalid 773, von  $\beta$ -Nitroacetonaphthalid, von  $\gamma$ -Nitronaphtylamin 774.
- 86**: Krystallform von  $\delta$ -Mononitroacetonaphthalid und  $\gamma$ -Mononitronaphtylamin 869.
- Reusch (H.), **83**: epidotführender Diorit von Drontheim, Norwegen 1928.
- 86**: Beschreibung eines Meteoritenfalles auf der Tynesinsel 2338 f.
- Reusch (H. H.), **84**: Fossilien führende Schiefer von Bergen in Norwegen 2009 f.
- Reusch (v.), **77**: Paraoxybenzoesäure 755.
- Reufs (C.), siehe Schröder (J. v.).
- Reufs (K.), **84**: Dichte von Aluminiumsulfatlösungen 76 ff.
- Reuter (A.), **78**: Constitution des Durols 388; Pseudocumenol 583 f.
- 83**: Campher gegen Chlorzink 996.
- Reuter (A.) und Radloff (A.), **78**: Pseudocumenolsulfosäure und Derivate 855 f.
- Reverdin (F.), **77**: Chrysolin 1233, 1235.
- 82**: Phenoresorcin 1253.
- 83**: antiseptische Eigenschaften des Resorcins, Phenoresorcin 1507; siehe Nölting (E.); siehe Monnet (P.).
- Reverdin (F.) und Noelting (E.), **79**: technische Producte der Pariser Weltausstellung 1089.
- 80**: Naphtalin, Constitution 460.
- Reychler (A.), **83**: Verbindungen von Silbernitrat mit Ammoniak 419 bis 421, von Silbernitrit mit Ammoniak 421 f.
- 84**: Einwirkung von Ammoniak auf Silberphosphat, ammoniakalische Silberverbindungen 449; Bildung von Salpetrigsäure-Aethyläther und -Methyläther mittelst Monoammoniak-silbernitrit 568 f.; Darstellung von Aethylidenimidsilbernitrat 1027; Darstellung von Diammoniak Silberacetat 1093; Darstellung von Hexaammoniak-silbernitrat 1161.
- Reye (G. W. und Söhne), **80**: Filterplatten aus Infusorienerde 1246.
- Reyer (E.), **79**: Zinnsteinvorkommen 1188.
- 82**: Hartbronze der Alten 1357; Neptunismus, Plutonismus und Vulkanismus 1587.
- 85**: Erstarren von Felsgemengtheilen (Laven, Glas, Metalle) 113.
- Reymann (B.) und Preis (K.), **84**: Bromverbindungen des Zinns 436 ff.
- Reymann (L.), **80**: Farbstoff aus Orcin 1384 f.
- Reymer (E.), **84**: elektromotorische Kraft der Accumulatoren 243.
- Reynauld (H.), **80**: Glycerin aus gegypsten Weinen 1224.
- Reynier (E.), **79**: elektrische Lampe 1083.
- 80**: neue Kette 145.
- 81**: Secundär-Batterie 92.
- 83**: Zinkverbrauch der Trouvé'schen Dichromatketten 202; elektromotorische Kraft der Säulen mit einer Flüssigkeit 206 f.
- 85**: Normalelement für elektromotorische Kräfte 237; chemischer Prozess beim Entladen der Accumulatoren 254.
- Reynold (A. W.) und Rücker (A. W.), **85**: Einfluss des elektrischen Stromes auf Flüssigkeitshäutchen 250.
- Reynolds (E.), **77**: Glucinium 95.
- Reynolds (J. Emerson), **77**: Franklandit 1288.
- 78**: Bestimmung des Harnstoffs nach Hüfner 1079.
- 80**: Beryllium 289 f.
- 82**: Wirkung metamerer Körper auf die Pflanze: Einfluss von Ammoniumsulfocyanat und Thioharnstoff auf Nicotiana longiflora 1142; Apparat zur Verflüssigung von Ammoniak 1351.
- 83**: spezifische Wärme des Berylliums 36.
- 86**: graphische Darstellung des periodischen Gesetzes 16.
- Reynolds (J. E.) und Hüfner (G.), **80**: Ortsbestimmung im Spectralapparat 206.

Reynolds (O.), **79**: Transpiration von Gasen durch poröse Platten 73 f.

**80**: Eigenschaften der Materie im Gaszustand 64.

**86**: Schmiermittel (Viscosität des Olivenöls) 2166.

Reynolds (R.) und Bothamley (C. H.), **78**: Untersuchung des dialysierten Eisenoxydhydrats 263.

Rhalis (M.), **79**: Orthobrombenzoesäure 676.

Rhen (F.), **77**: Naphtalinfärberei 1221.

Rhousopoulos (O.), **82**: Chinolin gegen Monochloressigäther: chlorwasserstoffsaurer Chinolinglycolläther, Chinolinbetain 1077 f.

**83**: Methantrichinoiljodhydrat 1310; Aethylendichinoilchlorhydrat, Aethylendichinoilbromhydrat, Methylendichinoiljodhydrat, Chinolin gegen Chloral: Körper  $C_{11}H_{10}NO_2Cl$  1311.

Riatti (V.) und Montanari (G.), **78**: Elektromose und ein neues elektromotisches Element 135.

Riban (J.), **77**: Verhalten von Schwefelplatin 1070.

**79**: Kupferchlorür als Absorptionsmittel für Phosphorwasserstoff 224 f.; Borneocamphen 566; Zersetzung der Stärke durch Wasser 835.

**81**: Zersetzung ameisens. Salze 665 ff.; Zersetzung essigs. Salze 668; Endiometer 1235.

**82**: Einwirkung von Chlor, Kohle und Kohlenoxyd auf phosphorsaures Calcium 271 f., auf Thonerde; Darstellung von Phosphoroxchlorid, Phosphortrichlorid, Aluminiumchlorid 272; Zersetzung der Formiate 814 f.; Zersetzung der Acetate 816.

**83**: Bildung von Phosphoroxchlorid 325.

Ribbert (J.), **82**: Indigodruckerei 1501.

Ricciardi (L.), **78**: Analyse von Tabak 964.

**79**: Untersuchung von Tabaksorten 920.

**80**: Tabak, Citrusarten 1071.

**81**: Feuerstein 1360; Olivin 1380; Augit 1390; Labrador 1403; Aetnalaven 1433 f.; Tuff 1437; Phosphorsäure in Vulkangesteinen (Vesuvlaven) 1440.

**82**: Untersuchung reifer und unreifer Bananen 1161 f.; Analysen von

Kalksteinen und Dolomiten von Salerno 1533 f.; Braunkohle von Salerno 1577; Gneis, Glimmerschiefer und Granit von Messina 1601 f.; Untersuchung von Vesuvlaven 1613 f., von Lapilli vom Vesuv 1641, von Aetnalava 1614 f., von Aetnaasche 1615, des Mergels von Ogliara 1616 f.

**83**: Vanadin in italienischen Laven und vulkanischen Gesteinen 1826 f.

**84**: freiwillige Verbindung der Bestandtheile des Knallgases 331.

**86**: Analysen von drei Laven basaltischer Natur 2311.

Ricciardi (L.) und Speciale (L.), **81**: Aragonit 1368; Olivin 1380; Analcim 1398; Phillipsit 1399; Basalte Siciliens 1435.

Ricco (A.), **82**: Neuerungen an Spectralapparaten 1350.

**84**: neuer Elektromagnet 278.

Rice (Ch.), **78**: Alkaloide 874.

**79**: Quinidin (Conchinin) 794.

Richard, **85**: Wirkung des Cocains auf die Avertebraten 1850.

**86**: neue Ampèremeter 240; siehe Carnot (A. D.); siehe Carnot (A. D.).

Richard (A.), **79**: Pyridinbasen 408 f.; Thierölbasen 780 f.

Richard (A.) und Bertrand (A.), **80**: Magnesium- und Kaliumplatin-cyanid 364 f.

Richard (J.), **85**: Verwendung von Siliciumbronzedraht für elektrische Leitungen 2050.

Richard (L.), **84**: Bestimmung von Stärke im Kleberbrote 1654.

Richards (E.), **86**: Düngeranalyse 1997; Bodenanalyse 2096.

Richards (E.) und Palmer (A. W.), **78**: Gerbsäurebestimmung nach Gerland 1080 f.

Richards (Ellen H.), **85**: Absorption von Kohlenoxyd 1922.

Richards (E. S.), siehe Cheney (M. S.).

Richardson, **79**: m-Mononitrobenzoylchlorid 477.

Richardson (A.), **86**: Dampfdrucke von Alkoholen und organischen Säuren 102 f.; Verblässen von Wasserfarben 2185 f.

Richardson (A.) und Letts (E. A.), **78**: Oxydation der Dimethylthetinverbindungen 684.



- Richardson (Benjamin W.), **78**: Darstellung und Anwendung des Natriumäthylats 520.
- Richardson (Cl.), **82**: quantitative Analysen amerikanischer Grasarten 1158; Trennung und Bestimmung von Kali und Natron in Pflanzenaschen 1283 f.; Bestimmung der „zurückgegangenen“ Phosphorsäure in Superphosphaten 1430 f.
- 83**: Analyse amerikanischer Weizen- und Kornsorten 1474.
- 84**: Analyse von Weizen- und Maissorten 1452; chemische Zusammensetzung amerikanischer Weizen- und Kornsorten 1772.
- 85**: chemische Zusammensetzung des Weizens 1806; Analyse der Mahlproducte aus Weizen 1807; Stickstoff des Trocken- und Grünfutters 2124 f.
- 86**: Polariscope 1972 f.; Düngeranalyse 1996; Untersuchung von Whiskysorten 2134; chemische Zusammensetzung und Eigenschaften amerikanischer Cerealien 2144; siehe Vasey (G.).
- Richardson (Cl.) und Crampton (C. A.), **86**: Zusammensetzung des Weizenkeimes 1816.
- Richardson (C. T.), **86**: Verwerthung von Chlorcalciumlauge 2059.
- Richardson (L. T.), **77**: spec. Gewicht von Salzen 43.
- Richarz (F.), **85**: Bildung von Ozon, Wasserstoffsuperoxyd und Uberschwefelsäure bei der Elektrolyse verdünnter Schwefelsäure 283 f.
- Riche (A.), **77**: elektrolytische Bestimmung von Mangan, Zink, Nickel, Blei 1066.
- 78**: Zusammensetzung des basisch-salpetersauren Wismuths 294; elektrolytische Bestimmung von Mangan, Zink, Kupfer und Nickel 1062.
- 80**: Quellwasser 1531.
- 82**: elektrolytische Bestimmung von Blei, Kupfer, Zink, Nickel 1347; Reinigung von käuflichem Alkohol 1445.
- Richt (Ch.), **77**: Magensaft 985.
- 78**: Magensaftsäure 995; saure Milchgährung 1031.
- 79**: saure Milchgährung 1014.
- 80**: Strychninwirkung 1125.
- 81**: Giftigkeit von Metallverbindungen 1061; Gährung des Harnstoffs 1140.
- 82**: Wirkung verschiedener Metalle auf das Froschherz 1221 f.; geringste tödtliche Dosis der Alkalichloride 1222 f.
- 83**: giftige Wirkung der Metalle auf die Mikroben 1484 f.
- 84**: Einfluss der Wärme auf die Athmung 1473; Untersuchung über die Säure des Magensaftes 1474.
- 85**: physiologische Wirkung der Rubidiumsake, toxische Dosen der Lithium-, Kalium- und Rubidiumsalze 1852.
- 86**: toxische Wirkung der Salze der Alkalimetalle 1863; siehe Etard; siehe Moutard-Martin (R.).
- Richet (Ch.) und Bouchardat (G.), **80**: Chloride der Strychnins 996 f.
- Richet (Ch.) und Moutard-Martin (R.), **81**: Wirkung des Harnstoffs und der Ammoniaksalze 1064.
- Richet (Ch.) und Mourrut, **80**: Magenverdauung der Fische 1120.
- Richmond (W. T.), **83**: Temperaturregulator 1655.
- Richter, **77**: Kenngottit, Hypargyrolende (Hypargyrit) 1267.
- Richter (A. K.), **83**: Derivate des Thymols: Kohlensäure-Aethylthymyläther, Kohlensäure-Dithymyläther, Chlorameisensäure-Thymyläther 937; Carbaminsäure-Thymyläther 937 f.; Kohlensäure-Aethylthymyläther gegen Phenolnatrium, Kohlensäure-Dithymyläther gegen Natriumäthylat 938.
- Richter (O.), **81**: Membran der Pilzzellen 1007; siehe Claus (A.).
- Richter (K.), **86**: Patiniren von Zink 2020 f.
- Richter (L.), siehe Limpricht (H.).
- Richter (M.), **80**: Dinaphtylmethan 461.
- 81**: Bestimmung der Chromsäure 1183 f.
- 82**: einfach-chromsaures Kalium gegen Lackmus und Phenolphthalein 1256; Jodkalium gegen Kaliumdichromat 1284 f.; Titration des Kaliumdichromats 1285.
- Richter (M. M.), siehe Richter (P.).
- Richter (O.), **79**: Typen-Kern-Theorie 20.
- Richter (P.), siehe Meyer (E. v.).
- Richter (P.) und Richter (M. M.), **82**: Quecksilberoxydchromate 357 f.

- Richter (R.), **81**: isomere Ketone aus salicyls. Alkalien 775.
- 83**: Ketone aus Salicylsäure 985 f.; Diphenylketonoxyd und Derivate, Dioxylbenzophenon aus Diphenylketonoxyd : Methyldiphenyloxyd 986 f.; Derivate des Dioxylbenzophenons (Carbonyldioxydiphenyls) 987; Oxydiphenylketon und Derivate 987 f.; mit Wasserdampf heizbarer Saugtrichter, Vorrichtung zum Kühlen von Sublimationsflächen 1657.
- Richter (Th.), **86**: spezifisches Gewicht, Analyse von Argyrodit 2233.
- Richter (V. v.), **77**: Aethylenoxyd-carbonsäure 668; Diglycid 669; Chloroxalsäureäther, Bromoxalsäureäther 697;  $\alpha$ -Dichlorpropionsäure aus Brenztraubensäure 703.
- 79**: Destillation bernsteinsaurer Salze, Bernsteinsäure-Aethylenäther 819; Epichlorhydrin gegen Salpetersäure 501 f.; ungesättigte Verbindungen 593.
- 83**: Cinnolinderivate: Oxycinnolincarbonsäure 814 f.; Oxycinnolin 815; Cinnolin aus Oxycinnolin 815 f.; o-Monoamidophenylpropionsäure 816.
- 86**: kritischer Druck fester Substanzen (Vorlesungsversuch) 40; Verhalten von p- und o-Mononitrotoluol gegen Chromylchlorid: Doppelverbindungen; Verhalten der letzteren gegen Wasser: p- und o-Mononitrobenzaldehyd 662 f.; Einwirkung von Chromylchlorid auf Nitrotoluol und Nitrobenzol 663; siehe Gallinek (A.).
- Richter (V. v.) und Münzer (H.), **84**: Darstellung von Benzolazoacetessigäther (Benzolazoacetone) 1051 f., von p-Toluolazoacetessigäther, p-Toluolazoacetessigsäure, p-Toluolazoacetone, Benzolazomalonsäureäther 1052.
- Richter (V. v.) und Schlüchner (G.), **84**: Einwirkung des Chromylchlorids auf Cymol: p-Tolylpropylaldehyd 540 f.
- Richters (Th.), **81**: Ammoniak aus Leder, Blut, Haaren 1258.
- Richthofen (v.), **81**: chinesische und japanische Thongesteine (Kaolin) 1276 f.
- Rickmann (J. P.) siehe Thompson (J. B.).
- Rickmann (R.), **79**: Ultramarin 1153 f.
- Rideal (S.), **85**: Reagentien auf Antimon, Arsen und Zinn 1919.
- 86**: Beziehungen von isomorphen Körpern zu ihrem spezifischen Volumen (arsenige Säure, Antimonoxyd, Zinnoxid, Titansäure) 7 f.; Einwirkung von Ammoniak auf Chromoxylchlorid 429 f.; Ursache der blauen Farbe bei faulendem Holz 2171; siehe Green (G.).
- Ridout (R. H.), **80**: Elektrolyse des Wassers, Cohäsion von Flüssigkeiten, Wärmeabsorption, Ausdehnung des Glases 222 f.; Ozonbildung beim Verbrennen von Leuchtgas, Eigenschaften des Ozons 244.
- Riechelmann (R.), **86**: Vorkommen und Krystallform von Datolith 2263 f.
- Riecke (E.), **78**: elektromotorische Kraft des Grove'schen Elementes 133.
- 79**: elektromotorische Kraft des Grove'schen Elementes 134.
- 86**: Pyroelektricität des Turmalins 247 f.
- Riedel (C.), **80**: Nitrosodimethyl-m-toluidin 543.
- 83**:  $\beta$ -Benzochinolin-carbonsäure, neue Pyridintricarbonsäure aus  $\beta$ -Benzochinolin-carbonsäure 1210 f.; siehe Wurster (C.).
- Riederer (H.), **77**: Analysen von Silber 1075.
- Riegel (M.), **85**: Verhalten des Gerbstoffs beim Kochen der Brühen 2200.
- Riehm (P.), siehe Engler (C.); siehe Levin (J.).
- Riehn (W.), **77**: Abgangswässer aus Zuckerfabriken 1191.
- Riekman (J. P.), **80**: Ammoniak aus dem Stickstoff der Luft 1278.
- Riemann (P.), siehe Claus (A.).
- Riemerschmied (C.), **83**: Derivate des  $\beta$ -(m)-Oxychinolins:  $\beta$ -Chinolin-sulfosäure, Salze des  $\beta$ -Oxychinolins,  $\beta$ -Oxytetrahydrochinolin,  $\beta$ -Oxytetrahydroäthylchinolin,  $\beta$ -Oxychinolin-sulfosäure 1318;  $\beta$ -Monoamidochinolin 1319; siehe Fischer (O.).
- Riemsdyk (A. D. van), **80**: Aufblitzen bei der Goldprobe 1268 f.; Reindarstellung des Goldes 1269 f.
- 82**: Bestimmung von Gold und Verbindungen desselben mit anderen Edelmetallen 1385.

- 85:** Bestimmung des Platins 1942 f.
- Riefs (C.), **84:** Monobromkyanäthin, Aethoxykyanäthin 491 f.; Aethoxyloxykyanäthin, Methoxykyanäthin, Methoxyloxykyanäthin 492; Tribromkyanäthin, Trichlorkyanäthin 493; Monojodkyanäthin 494; siehe Meyer (E. v.).
- Riefs (C.), und Meyer (E. v.), **85:** Darstellung von Kyanmethäthin 641 f.
- Riefs (E. R.), **78:** Eklogit 1284.
- Rigaud (F.), **80:** Quellwasser 1535.
- Rigaut (A.), siehe Lescoeur (H.).
- Riggenbach (A.), **84:** Fortpflanzung der Wärme 163.
- Biggs, **85:** Darstellung einer Verbindung  $C_9H_8N_4O_6$  886.
- 86:** Oxydation von Cymolsulfosäure 590.
- Biggs (B. B.), **85:** Analyse des Meteoreisens von Grand Rapids 2323 f.; siehe Clarke (F. W.).
- Righi (A.), **78:** Nichteintreten der Concentration einer Eisensalzlösung am Pole eines Magnets 158.
- 80:** Magnetisirung 179.
- 84:** Aenderung des Leitungswiderstandes von käuflichem Wismuth 249.
- 85:** Photographien von Entladungsfunken einer grossen Leydener Batterie 225 f.; Kerr'sches Phänomen 229; Drehung der Polarisationsebene des Lichts 345.
- 86:** Reflexion des polarisirten Lichts am Pole eines Magneten 300.
- Riley, **80:** feuerfeste Tiegel, Ziegel 1312.
- Riley (E.), **77:** Manganbestimmung im Spiegeleisen 1061; Chrom im Roheisen 1108.
- 78:** Bestimmung des Phosphors im Eisen und Stahl 1049; Bestimmung des Mangans im Spiegeleisen 1061.
- Riley (J. T.), **83:** Capillaritätaphänomene 99.
- Billiet (A.), siehe Ador (E.); siehe Soret (J. L.).
- Billiet (A.) und Ador (E.), **78:** Xylketon 632.
- Billiet (A.) und Soret (J. L.), **80:** Salpeteräther, Absorption 604.
- Trimington (F. M.), **81:** Prüfung von Kaffee 1215.
- Bindell (A.), **83:** Milchwasser gegen verdünnte Säuren 1620.
- Bindell (A.) und Hannin (F.), **86:** Stickstoffbestimmung nach Kjeldahl 1954.
- Rink (H. J.), **78:** Veränderung im Widerstaude des Quecksilbers durch die Temperatur 141.
- Rinman (L.), **82:** Bestandtheile der Nadelholzkohle 1452.
- 86:** Schätzung des Schwefelgehalts im Roh- und Gufseisen 1912.
- Rinne (A.), **79:** Ultramarin 1155.
- Rinne (F.), **83:** Krystallform des Benzäthylbenzhydroxylamins, des Benzoyläthylanisylhydroxylamins 728.
- 84:** hemimorphe Ausbildung von Zinkoxyd 1912; optische Untersuchung von Hyalophan 1988.
- 85:** Krystallform des Cholinplatinchlorids und Identität mit Gossypin- und Luridinplatinchlorid 1730; Krystallform von Rutil 2271; Untersuchung des Milarits 2294; Aetzfiguren des Apophyllits 2295.
- 86:** Krystallform von Diäthylen-disulfidmono- und -dijodmethylen 1198, von Diäthylen-disulfid-Methyljodidperbromid 1199, von Diäthylen-disulfid-Benzylbromid 1201; Krystallform von Mischkrystallen der Raffinose mit Rohrzucker 1779; krystallographische Untersuchung von Krystallen aus Raffinose und Rohrzucker 2128.
- Rintoul (D.), siehe Macfarlane (A.).
- Ripley Nichols (W.), siehe Nichols (W. Ripley).
- Ris (Ch.), **84:** Darstellung und Untersuchung von Phenyl- $\beta$ -naphtacridin 683 f.
- 86:** Verhalten von  $\beta$ -Dinaphtylamin gegen Salzsäure 882 f.; Thio- $\beta$ -dinaphtylamin 883 f.;  $\beta$ -Dinaphtylcarbazon ( $\beta$ -Dinaphtylimid) und Derivate 884; Oxy- $\beta$ -dinaphtylamin 885; Phenazin (Azophenylen) aus Brenzcatechin und o-Phenylendiamin, Hydrazophenazin (Hydrazophenylen) 1066 f.; Brenzcatechin gegen o-Toluylendiamin: Methylphenazin und Derivate 1072 f.; siehe Merz (V.).
- Ris (Ch.) und Weber (A.), **84:** Darstellung von Nitroderivaten des  $\beta$ -Dinaphtylamins 791.
- Rischbiet (P.), siehe Tollens (B.).
- Rischbiet (P.) und Tollens (B.), **86:** Darstellung und Untersuchung

- der Raffinose aus Melasse und Baumwollsaamen 2127 f.
- Rising (W. B.), siehe Oute (J. le).
- Risler, **82**: Kohlensäuregehalt der Luft in den verschiedenen Monaten 1141.
- Risler (E.), siehe Claus (A.).
- Risler (J.), **78**: Darstellung und Eigenschaften von Manganiten 274.
- Rissmüller und Wiesinger, **78**: Trennung von Thier- und Pflanzenfaser 1175.
- Rissmüller (F. A.), **84**: Behandlung von Knochen mit Schwefelsäure 1787.
- Ritter, **78**: Arsen im Stärkezucker 1148.
- 85**: Wasserprüfung 1896 f.
- Ritter (A.), **77**: Aggregatzustände 31.
- 78**: Temperaturfläche der feuchten Luft, der Kohlensäure und des Wassers 68.
- Ritter (Ad.), siehe Hell (C.).
- Ritter (E.), siehe Feltz (V.).
- Ritthausen (H.), **77**: Eiweißkörper 912; Milchanalyse 986.
- 78**: Analyse der Hirse 961; Untere von Roggensamen, Kleberpräparate 962; Analyse der Wachholderbeeren 965; Zusammensetzung des Gersteneiweißes 1036; Einwirkung der Phosphorsäure auf kohlen-saures Calcium und Mergel 1142.
- 79**: Eiweißkörper der Ricinussamen 874; Analyse pflanzlicher Eiweißkörper 1059 f.
- 80**: Eiweißkörper der Oelsamen 1040 f.
- 81**: krystallinische Eiweißkörper aus Oelsamen, Einwirkungen von Salzlösungen auf Conglutin und Legumin 996; Myroursäure aus Brassica napus und rapa 1016; Visin, Convicin, Divicin 1016 f.
- 82**: krystallisiertes Eiweiß aus Hanfsamen, Ricinussamen, Kürbissamen; Eiweiß der Pfirsichkerne, der Sesamsamen 1133; Conglutin aus Lupinen gegen Salzlösungen 1133 f.; Legumin der Erbsen, Saubohnen und Wicken 1134 f.
- 84**: Untersuchung des Löslichkeit der Pflanzen-Proteinkörper, Untersuchung der Eiweißkörper der Saubohnen und weißen Bohnen 1419; Nachweis von Citronensäure in Leguminosensamen 1444; Vorkommen von Melitose in Baumwollsaamen 1449; Nachweis des Vicins in den Saubohnen und Pferdebohnen 1452; Vorkommen von Melitose in Baumwollsaamen-Pressrückständen, Abscheidung von Cholin und Gossypose aus Baumwollsaamenpresskuchen 1795.
- Ritthausen (H.) und Settegast (H.), **78**: Stickstoffbestimmung in pflanzlichen Eiweißkörpern 1092.
- Ritthausen (H.) und Weger (F.), **84**: Abscheidung von Betain aus des Melitose der Baumwollsaamen-Pressrückstände 1795.
- Ritza (Rizza), **84**: Notiz über Ledumcampher 1066; siehe Rizza (B.).
- Ritzefeld (C.), siehe Claus (A.).
- Rivière (Ch.), siehe Chappuis (J.).
- Rivot, **83**: Analyse des Pyromorphits von Huelgoët, Finistère 1869.
- Rizza (B.), **82**: Chloral gegen Zinkmethyl: Dimethylisopropylcarbinol 652, 737 f.; Dimethylisopropylcarbinol, Tetramethyläthylen 1042 f.
- 83**: Campher aus Ledum palustre 1000; siehe auch Ritza.
- Rizza (B.) und Butlerow (A.), **84**: Untersuchung über das Asaron 1442.
- Rjabinin (K.), **79**: Aether des Diallylcarbinols 492 f.
- Rjabinin (K.) und Saytzeff (A.), **79**: Diallylisopropylcarbinol 493.
- Rjabinin (R.), **80**: Aether des Diallylcarbinols 610.
- 81**: Diallylcarbinolmethyl- und -äthyläther 513.
- Robb (W. L.), **83**: galvanisches Verhalten der Amalgame von Zink und Cadmium 207 f.
- Robbins (A.), **78**: Analyse von Paraguay-Thee 964.
- Robbs (C. E.), siehe Muir (M. P.); siehe Muir (P.).
- Robert, **85**: Reagens auf Eiweiß im Harn 1990.
- Robert (A. W.), **83**: p-Azooxybenzanilid 775.
- Robert (E.), **77**: Feuersteingänge der Kreide 1356.
- Robert (W.), siehe Brunner (H.).
- Roberts, **84**: Münzenlegierungen 1713.
- Roberts (C.), **81**: Eigenschaften von reinen und verunreinigten Metallen 1241.
- Roberts (Ch.), **83**: Vorgänge beim Härten und Anlassen des Stahls 1671.
- 84**: Münzwesen 1696.
- Roberts (G.), **83**: Explosivkraft von Nitroglycerin, Dynamit und Sprengelatine 1703.

- Roberts (W.), **78**: Schmelzbarkeit von Silber-Kupferlegierungen 303; Dichte von Gold-Kupferlegierungen 304. **79**: Ferment im Pankreassecr. 959. **80**: Peptone 1044; Anwendung der Verdauungsfermente 1135. **81**: Wirkung der Pankreasextracte 1072.
- Roberts (W. C.), **81**: Stahlanalysen 1244.
- Roberts (W. Chandler), **85**: Prüfung von Nickelmünzen 1937.
- Roberts (W. Ch.) und Wrightson (T.), **81**: Dichte des flüssigen Wis-muths, von Metallen 36. **82**: Dichte flüssiger Metalle 40. **83**: Dichte flüssiger Metalle 51.
- Robertson, **83**: Analyse des Pyroklasits von den Inseln Mona und Moneta 1864.
- Robertson (J. R. M.), **82**: australische Opale 1526.
- Robertson (R.), **84**: Untersuchung von Quarz 1914 f.; Analyse von Kieselkupfer 1955, von Albit 1985 f.
- Robin (A.), **82**: Zuckerbestimmung im Harn 1345.
- Robin (M.), **85**: Darstellung von Eisenpeptonat, Eigenschaften desselben 1785 f.
- Robinet (E.), **77**: Salicylsäure im Wein 1092. **81**: Wirkung der Salicylsäure 1065.
- Robinet (E.) und Pellet (H.), **82**: Conserviren von Most und Wein mittelst Salicylsäure 1242.
- Robinet (G.), **83**: Mesitylenderivate (Halogenderivate, Alkohol, Säure) 538 f.
- Robinet (G.) und Colson (A.), **83**: Mesitylenglycol 541 f.
- Robinson (E. E.), **83**: selbstthätiger Filtrirapparat 1657.
- Robinson (F. C.), **84**: Analyse von Allanit 1952. **85**: Apparat zur Bestimmung des Harnstoffs im Harn 1951; siehe Mabery (C. F.).
- Robinson (F. C.) und Hutchins (C. C.), **84**: Gewinnung von Rubidium und Cäsium aus Lepidolith 380; Verhalten von Titanetrachlorid gegen Natrium 438 f.
- Robinson (H.), **84**: Bestimmung des Atomgewichts von Cer (Trennung des Cers von Lanthan und Didym) 49 bis 53. **86**: Farbe des Ceroxyds, Atomgewicht des Cers 402 f.; siehe Dittmar (W.).
- Robinson (H. H.), siehe Japp (F. R.).
- Robinson (J.), **86**: Gewinnung von Schwefel aus Gasreinigungsmassen 2046.
- Robinson (Thom.), siehe Hargreaves (John).
- Robinson (W.), **86**: Gewinnung von Soda 2053.
- Rochas (de), **83**: Flüssigkeitsmesser 1656.
- Rochefontaine (O. de), siehe Peter (J.).
- Rocholl (H.), **80**: Abscheidung der Kieselsäure in Kalksteinen, Eisen-erzen, Mineralien 1169. **82**: Bestimmung des Schwefels im Eisen 1266.
- Rock (Fr.), **83**: neue Form der Geißler'schen Luftpumpe 1854.
- Rockwood (E. W.), siehe Atwater (W. O.).
- Rocoeur (G.), **83**: Gewinnung von Phosphor aus phosphorhaltigen Schlacken 1686. **84**: Verwerthung phosphorhaltiger Metallschlacken 1711 f.
- Rocques (H.), **80**: Einwirkung des Wassers auf Metalle 230.
- Rocques (X.), **80**: Corrosion von Zinkbehältern und Bleiröhren 1264 f.
- Rodatz (P.), **82**:  $\alpha$ - und  $\beta$ -Azobenzoldisulfosäure gegen Salzsäure: Sulfanilsäure, Constitution der isomeren Azobenzoldisulfosäuren 1003; gebromte m- und o-Amidobenzoldisulfosäure gegen übermangansaures Kalium: isomere Tetrabromazobenzoldisulfosäuren, Salze, Chloride und Amide 1003 f., 1005; Tetrabromhydrazobenzoldisulfosäure gegen übermangansaures Kalium: Tetrabromazobenzoldisulfosäure 1004; Tribromm-amidobenzoldisulfosäure gegen übermangansaures Kalium: Hexabromazobenzoldisulfosäure 1005 f.; siehe Stohmann (F.).
- Rodenbeck (H.), **80**: Capillaritätsbestimmungen von Flüssigkeitsgemischen und Fettsäuren 80.
- Roder (A.), **86**: Indole aus m-Hydrazinbenzoësäure 1152 bis 1156: Darstellung der m-Hydrazinbenzoësäure 1152 f., der Aceton-m-hydrazinbenzoësäure, Verhalten der letzteren gegen Chlorzink: Methylketolcarbon-säure 1153; Darstellung von m-Hydra-

- zinbenzoëbrenztraubensäure 1153 f.; Verhalten derselben gegen Chlorzink: Indoldicarbonsäure und Derivate 1154 f.; Darstellung von Benzyliden-m-hydrazinbenzoëssäure 1155; Phenylglucosazoncarbonensäure 1155 f.; Diphenylsulfosemicarbazidmonocarbonensäure 1156.
- Rodewald (H.), **80**: Reduktionsvermögen des Milchzuckers 1022; siehe Reinke (J.).
- Rodewald (H.) und Tollens (B.), **78**: Fehling's Zuckerbestimmung 1076.
- 81**: Lävulinsäure aus Milchzucker 724.
- Rodwell (G. F.), **81**: Ausdehnung von Jodblei und Jodblei-Jodsilber 46 f., 271; Einwirkung der Wärme auf Chlor-, Brom- und Jodsilber sowie ein Gemenge derselben 302.
- 82**: Ausdehnungscoefficienten von Jodsilber-Jodkupferlegierungen 36.
- Rodwell (G. F.) und Elder (H. M.), **79**: Quecksilberjodid gegen Wärme 300 f.
- Röber (B.), **81**: Desinfection von Abgangswässern 1299.
- Röder (F.), **83**: Klärung von Wasser durch dialysirtes Eisenhydroxyd, durch Eisenchlorid und Natriumcarbonat 1717.
- 85**: Untersuchung der Vinaconsäure (Vinylmalonsäure) 1392 bis 1394: Bromäthylmalonsäure, Carbobutylolactonsäure, Butylolacton, Salze der Carbobutylolactonsäure und der Oxäthylmalonsäure, neue Crotonsäure 1393; Salze derselben 1394; siehe Fittig (R.).
- Rödiger (W.), **81**: Harz in Fetten und Oelen, Baumöl (Baumwollensamenöl) 1221.
- Röhmman (F.), **81**: saure Harnghärung 1050, 1053.
- 84**: Untersuchung über einen aus Fibrin erhaltenen blauen Farbstoff 1534; siehe Fränkel (A.).
- Röhre (R.), **78**: Reduction von Salpetersäure-Brucinlösungen 911 f.; siehe Claus (Ad.).
- Römcke, siehe Schmitt (R.).
- Römer (A.), **86**: Einfluß der Masse auf die Chlorirung brennbarer Gase (Wasserstoff, Kohlenwasserstoffe und Kohlenoxyd) 36 bis 38.
- Römer (F.), **86**: Granatfund bei Breslau 2269.
- Römer (H.), **81**: Anthrachinon gegen Zink: Desoxyanthrachinon 650.
- 82**: Amidoanthracen aus Amidoanthrachinon 571 f.; o-Mononitroanthrachinon, o-Monoamidoanthrachinon, Erythro-o-oxyanthrachinon 790 f.
- 83**: Amido-o-methylantrachinon 752; Amidomethylantrachendihydrid 752 f.; Dinitroanthrachinon und Derivate 1008.
- 85**: Darstellung von Aethenylacetylamilidoalizarin, Diacetylamilidoalizarin, Benzenylbenzoylamidoalizarin 1289 f.; siehe Schmidt (E.); siehe Schunck (E.).
- Römer (H.) und Link (W.), **83**: Methylantrachen im Rohanthracen 1008; Methylantrachinon 1008 f.; Mononitromethylantrachinon, Monoamidomethylantrachinon, Acetylamidomethylantrachinon, Oxymethylantrachinon, Acetoxymethylantrachinon 1009; Monoamidomethylantrachinol aus Monocamidomethylantrachinon 1009 f.
- Römer (H.) und Schwarzer (M.), **82**: Isoantraflavinsäure und Desoxyisoantraflavinsäure 730 f.; Tetranitroisoantraflavinsäure 731.
- Römer (M.), siehe Gattermann (L.).
- Rönnberg, **83**: Analysen von Fleischconserven 1641.
- Röntgen (M. C.) und Schneider (J.), **86**: Compressibilität und Oberflächenspannung von Flüssigkeiten und Lösungen 129 bis 133.
- Röntgen (W. C.), **78**: Erzeugung von Wärmeleitungsfiguren auf Kristallflächen 6; Aneroidbarometer mit Spiegelablesung 1095.
- 80**: Beziehung zwischen Licht und Electricität 168 f.; Volumänderung durch Electricität 171 f.
- 83**: Vorlesungsapparat für die Viscosität von Flüssigkeiten 99; Piezoölectricität des Quarzes 199 f.; Electricitätsentwicklung auf Kristallen 200; Aenderung der Doppelbrechung des Quarzes durch elektrische Kräfte 239.
- 84**: Viscosität von Flüssigkeiten, Abnahme derselben für Wasser 108; Absorption von Wärme durch Luft, Wasserstoff, Kohlensäure und Wasserdampf 167.
- 85**: elektromagnetische Wirkung der dielektrischen Polarisation 299;

- Abnahme der Viscosität unter Druck 2183; siehe Kundt (A.).
- Röper (P.), **86**: Imprägnierung von Hölzern 2171.
- Röpper (W. T.), **79**: Pseudomorphosen nach Anorthit 1244.
- Rösch (L.), siehe Wein (E.).
- Röse, **86**: Nachweis und Bestimmung des Fuselöls im Spiritus 1959; Nachweis von Salicylsäure im Bier 1985 f.
- Röse (B.), **80**: Kohlensäureäther 592 f. **81**: AffinitätsgröÙe des Kohlenstoffs 311. **84**: Verhalten von Chloroform gegen fuselhaltigen Alkohol 1621. **86**: Analyse (Jodzahl, Schmelzpunkt) der Fette 2001 f.
- Röse (B.) und Schulze (E.), **84**: Untersuchung der Bestandtheile des Emmenthaler Käses 1785 f.
- Rösing, **82**: Erzgänge von Innai in Japan 1599.
- Rösing (B.), **78**: Zundererz 1210. **83**: Verwendung von durch den elektrischen Strom aus einer Chlorsilber-Chlornatriumlösung frei werdendem Chlor zur Aufschließung von Mineralien (Kupferkies) 1677.
- Rösler (L.), **85**: Anwendung der schwefligen Säure in der Kellerwirtschaft und Schwefelsäuregehalt der Weine 2154.
- Rössig (G.), **78**: Verbreitung der Cinchonaarten in Südamerika 873.
- Rössing (A.), **84**: Derivate des Salicylaldehyds 1041 bis 1044: o-Aldehydophenoxyessigsäure, Monobrom-o-aldehydophenoxyessigsäure, Anilido-o-aldehydophenoxyessigsäure, o-Aldehydophenoxyessigsäurephenylhydrazid, Salicyloxyessigsäure, o-Cumaroxyessigsäure 1042; o-Propiolphenoxyessigsäure, Cumaron, o-Cumaroxyessigsäureanhydrid, Darstellung, Eigenschaften, Derivate des o-Oxybenzylidenphenylhydrazins 1043. **86**: s-Diphenylglycerinäther und Derivate 1229 f.; siehe Otto (R.).
- Rötsler (C.), **78**: Nachweis des Berylliums 1059. **79**: Manganbestimmung 1050; Raffination des Kupfers 1099. **80**: Mangan- und Kobaltbestimmung 1182 f.; Bestimmung von Mangan, Kobalt, Nickel 1183. **85**: dokimastische Bleiprobe 1941.
- Rötsler (H.), **81**: Beseitigung von schwefels. und unterschwefels. Gasen (Röstgasen) der Fabriken 1238. **82**: Scheidung von Gold und Silber aus kupferreichen Legirungen 1385 f. **85**: Rothfärbung von Steingut, Quarz, Zinkoxyd, Zinnsäure und Thonerde mittelst Goldchlorid 2112.
- Rötsler (H.) und Debray (H.), **77**: Selengehalt des Feinsilbers 1050.
- Rössler (J. L.), **85**: Erkennung von echtem Dorschleberthran 1971.
- Rötsler (W.), siehe Gerichten (E. v.).
- Röttger (E.), siehe Nugues (A.).
- Röttger (F.) und Precht (H.), **85**: Bestimmung geringer Mengen Chlornatrium neben Chlorkalium 1924.
- Röttger (H.), **86**: Pfefferuntersuchung 1988.
- Rogalski, **80**: Chlorophyll 1057.
- Rogers, **77**: Dichlorsalicylsäure 748.
- Rohn (G.), **83**: Apparat zur Desinfection von Kleidungsstücken und Wäsche 1724. **86**: Apparate zur Desinfection von Kleidungsstücken, Wäsche u. s. w. 2115.
- Rohn (W.), **77**: Methylisoamylcarbinol und Derivate, Diisobutylpinakon 531; Isobutylacetessigäther, Isobutylacetone, Isobutyllessigsäure, Methylisoamylcarbinol (C<sub>7</sub>H<sub>16</sub>O) und Derivate, Diisobutylpinakon 688; siehe Peitsch (B.), siehe Wagner (P.).
- Rohrbach (C.), **83**: Bestimmung des spec. Gewichts von Mineralien in Baryumquecksilberjodid 48 f.; Baryumquecksilberjodidlösung 1917.
- Rohrbach (C. E. M.), **85**: Untersuchung von Eruptivgesteinen: Analyse von Teschenit, Augit, Hornblende 2308.
- Rohrbeck (H.), **77**:  $\alpha$ -Methyl- $\beta$ -oxybuttersäure 692. **85**: Trockenschränke mit Ventilation 2002. **86**: Thermostaten, Thermoregulatoren 2009.
- Rohrmann (L.), siehe Lunge (G.).
- Roiti (A.), **80**: Elektromagnet 179 f. **81**: Ausbreitung der Bestandtheile von Elektrolyten 98 f. **85**: Elektrocälorimeter 119.
- Roland (L.), siehe Spring (W.).
- Robert, siehe Hammarsten.
- Roll (G.) und Hölz (O.), **85**: Benzyläther bromirter Nitrophenole und





- derivat des Tetramethylbenzidins) und des Tetranitrodimethylhydroazobenzols (Tetranitrodimethylbenzidins) 825; Methylisopropylessigsäure und -amid 1369 f.; Methylisopropylaceton, Methylisopropylmalonsäure 1370; Untersuchung des Hexylalkohols aus römischem Kamillenöl 1829; Analyse des Wassers des Brunnens Zemzem in Mekka 2324.
- Romegialli (A.), **86**: Theorie der Essiggärung (durch *Mycoderma aceti*) und Technologie der Essigfabrikation 1871 f.; *Mycoderma vini*, *Anguillula aceti* 1872.
- Romeny (J.), **78**: Darstellung von Methylenmethylamin 437.
- Romig (E.), siehe Anschütz (B.).
- Romilly (F. de), **86**: Wasserluftpumpe für industrielle Zwecke 2010.
- Rommier (A.), **80**: Phylloxera 1067.
- 84**: Untersuchung über cultivirte Weinhefe 1523 f.
- 86**: Herstellung von Wein und Brantwein aus Himbeeren und Erdbeeren 2135, von geschmacklosem Brantwein aus Weintrebern 2136.
- Ronkan (E.), **84**: Wärmeleitung der Gase 163 f.
- Rood (O. N.), **80**: Sprengel'sche Pumpe 1240.
- 81**: Luftpumpe 1232.
- Roorda Smit (J. A.), **80**: Diamant 1400 f.
- Roosevelt, siehe Vale.
- Root (O.), **80**: Wollastonit 1457.
- Roozeboom (H. W. Bakhuys), **81**: Ammoniumtribromid 179; tertiäres Butylbromid (Trimethylcarbinolbromid) 387.
- 83**: Dissociation des festen Schwefelsäurehydrats 190.
- 84**: Dissociationsspannung des Bromwasserstoffsäurehydrats 230; Hydrate der schwefligen Säure des Chlors, Broms und Chlorwasserstoffs 314 bis 319, von Kohlendioxyd, Schwefelwasserstoff und Phosphorwasserstoff 315.
- 85**: Löslichkeit der Bromwasserstoffsäure (Bromwasserstoffhydrat) in Wasser 89; Untersuchung der Dissociation der Hydrate des Schwefeldioxyds, des Chlors und des Broms 215 f.; Untersuchung über die Dissociation des Bromwasserstoffhydrats 217; Dissociation flüssiger Verbindungen 218 ff.; Löslichkeit des Chlors in Chromoxychlorid, des Stickoxyds in Brom 221; Löslichkeit des Chlors in Chromoxychlorid 379.
- 86**: Theorie des Gleichgewichts zwischen zwei Stoffen in drei Zuständen 170 f.; vierfache Punkte beim Gleichgewicht eines Systems zweier Stoffe 171 ff.; thermische Untersuchung der Bromwasserstoffhydrate 188 f.; neues Hydrat des Bromwasserstoffs, Hydrate von schwefliger Säure, Chlor und Brom 189.
- Roques, **85**: Wasserprüfung 1896 f.; siehe Claus (A.).
- Rosa (A.), **85**: Erkennung der Salpetersäure im Wasser 1909 f.
- Roscoe (H. E.), **77**: Roscoelith 1340.
- 78**: spec. Gewicht der Dämpfe der Chloride des Thalliums und Blei's 33; metallisches Niobium 299 f.
- 80**: Protagon 1107.
- 81**: Protagon 1057; künstlicher Indigo 1326.
- 82**: Atomgewicht des Kohlenstoffs 15; Nichtexistenz des Philipiums 287; Atomgewichtsbestimmung des Kohlenstoffs durch Verbrennung von Diamanten 1520.
- 83**: Erden des Samarskits 361.
- 84**: Untersuchung von Halloysit 1989.
- 85**: Polymerisation der unterhalb 30° siedenden Kohlenwasserstoffe des Steinkohlentheers 663 f.
- 86**: Bildung eines Kohlenwasserstoffs  $C_{10}H_{12}$  durch freiwillige Polymerisation 578; siehe Schuster (A.).
- Roscoe (H. E.) und Schuster (A.), **82**: Spectrum des Terbiiums 178 f.
- Rose (A.), **80**: Barythydrat aus Schwefelbaryum 1281.
- 81**: gypsfreie Phosphorsäure 1264.
- Rose (F.), **77**: Kobaltammoniumverbindungen 265.
- Rosen (H. von), **86**: Analyse von *Lobelia nicotianaefolia* 1822 f.; siehe Dragendorff (G.).
- Rosenbaum (F.), **82**: der Kohlehydratbestand des Organismus nach Vergiftung mit Arsen, Phosphor, Strychnin, Morphin und Chloroform 1201.
- Rosenberg, siehe Meyer (V.).
- Rosenberg (A.), **84**: Untersuchung über Alkalialbuminat, Acidalbumin, Albumin 1416 ff.
- Rosenberg (J.), **85**: Tribromthiophen und einige Doppelverbindungen des

Dinitrothiophens 1189 f.: Tribromthiophensulfosäureanhydrid 1189;  $\beta$ -Thiophensulfochlorid, Thiophentrisulfochlorid, Dinitrothiophen-Naphthalin, Dinitrothiophen-Anthracen 1190; Derivate der gebromten Thiophene 1190 bis 1192: Tribromthiophensulfochlorid, Tribromthiophensulfoamid, Tribrommononitrothiophen, Dibromdinitrothiophen, Dibromthiophendisulfochlorid 1191; dibromthiophendisulfosäure. Kalium, Thiophendisulfochlorid, Thiophendisulfosäure (isomere) 1192.

**86:** Trichlorthiophen und Derivate 1178 f.; Anhydride aromatischer Sulfosäuren: p-Di- und Tribrombenzolsulfosäureanhydrid 1542 f.

Rosenberg (J. O.), **79:** Roussinsches Salz 253 f.

Rosenblatt (Th.), **77:** Salpetrigsäureäther 1079.

**86:** salpetrigsaure Doppelsalze des Cäsiums, Rubidiums und Thalliums mit salpetrigsaurem Kobaltoxyd 389 f.; Löslichkeit von Goldchloriddoppelsalzen 482; Trennung und Bestimmung von Nickel und Kobalt 1938.

Rosenbusch, **81:** Krystallform von thioschwefels. Baryum 170.

**86:** mikrochemische Reactionen 1891.

Rosenbusch (H.), **82:** Zirkon im Quarz 1527; Nomenclatur der krystallinischen Gesteine 1587 f.

**84:** Krystallform von Sagvandit 1984, 1971 f.; Analyse von amphibolisirtem Diabas 2014.

**85:** Erhitzungsversuche mit Leucit 2289.

Rosenfeld (M.), **77:** Bleichromat 270; Wasserstoffentwicklungsapparat 1097.

**79:** reines Kupferchlorür 276 f.

**80:** Temperaturänderung beim Lösen, Absorption, Löslichkeit des Schwefels und Quecksilberjodids in Essigsäureanhydrid 224; Kupferchromat 330 f.

**81:** Vorlesungsversuche (Gewichtsveränderung bei chemischen Processen, Oxydation, Reduction, Brennbarkeit von Ammoniak in Sauerstoff, Synthese des Wassers) 145 f.

**83:** Vorlesungsversuche: Zersetzung des Wassers durch glühendes Eisen 212; Zersetzung des Wasser-

dampfs durch Magnesium 212 f.; Verbrennung von Ammoniak in Sauerstoff 213.

**83:** Vorlesungsversuche: Bildung von Quecksilberoxyd 261; Darstellung von Zinkoxyd 261 f., von Stickstoff aus der Luft 262; Demonstration der Gewichtszunahme der Körper bei der Oxydation (Verbrennung) mittelst des Rosenfeld'schen Vorlesungsaräometers 262 f.

**85:** Vorlesungsapparat zur volumetrischen Elektrolyse 2006.

**86:** Apparat zur Elektrolyse von Salzsäure und Kochsalzlösung 320 f.; Sublimation des Schwefels und Darstellung von Schwefelblumen 321; siehe Hönig (M.).

Rosenhek (J.), siehe Erlenmeyer (E.); siehe Ostermayer (E.), siehe Schmitt (C.).

Rosenius (O.), **78:** Anthophyllitanalyse 1249.

Rosenkranz, siehe Dreyer.

Rosenstiehl und Lauth, **86:** Nachweis der Salpetersäure 1917.

Rosenstiehl (A.), **77:** Purpuroxanthincarbonsäure =  $\epsilon$ -Purpurin, Purpurin, Pseudopurpurin 588, 589; Anthraxanthinsäure, Flavopurpurin 592.

**78:** Krappfarbstoffe, Anthraflavin und Anthraxanthinsäure 657 f.; Garancin und Pseudopurpurin 1192 f.

**79:** Absorptionsspectrum von den Natronsalzen der Alizarinpräparate 166; isomere Rosaniline 450; Krappfarbstoffe 1172 f.

**80:** Orthorosanilin 565; Pararosanilin 566.

**83:** die Farbstoffe des Krapps 1794; siehe Nienhaus.

Rosenstiehl (A.) und Gerber (M.), **82:** Isomere und Homologe des Rosanilins 560 f.; Tritolylmethan 561; Eintheilung der aromatischen primären Monamine nach dem Verhalten bei der Arsensäureschmelze 562.

**84:** Untersuchungen über Isomere und Homologe des Rosanilins 770 f.; Roth aus  $\alpha$ -m-Xylidin 770; Rosanilin des Toluolroths; Fuchsinbase aus o-Toluidin und  $\alpha$ -m-Xylidin aus Mesidin 771.

Rosenthal (C.), **86:** Prüfung des Harns auf Blutfarbstoff 2006.

Rosenthal (G.), **77:** Manganbestimmung 1037; Legirungen von Eisen und Mangan 1116.

- 85:** Herstellung einer zur Aluminiumgewinnung geeigneten Thonerde (Carnallit) 2035 f.
- Rosenthal (J.), **84:** Mikrokalvanometer 232.
- Rosenthal (Th.), **86:**  $\beta$ -Sulfopropionsäure und Salze 1538 f.; Salze der  $\alpha$ -Sulfopropionsäure 1539.
- Rosenwasser (N.), **81:** öls. Quecksilber 767.
- Roser (L.), **81:** Synthese von Ketonen: Benzoylcarbonsäure 773; p-Toluyllcarbonsäure 774; siehe Fischer (O.); siehe Wurster (C.).
- Roser (W.), **81:** Teraconsäure aus Terebinsäureäther 737.
- 82:** Constitution des Benzols 407; Formel des Naphtalins 427; Wasserabspaltung innerhalb des Moleküls 794; Pyrocinchonsäureanhydrid (Hydromuconsäureanhydrid, Metacampheensäure), Pyrocinchonsäure (Dimethylfumarsäure), Xeronsäure (Diäthylfumarsäure) 875 ff.; Terebinsäureäther gegen Natrium: Teraconsäureäther 884 f.; Constitution der Teraconsäure und Terebinsäure 885; Acetessigäther gegen Chloressigäther und Isopropyljodid: Isopropylbernsteinsäure; Chlorphosphor gegen Terebinsäure: Chlorterebinsäure, Terebinsäure 885 f.; Diaterebinsäure 886.
- 83:** Identität von Isopropylbernsteinsäure und Pimelinsäure 1097 f.;  $\alpha$ -Carbonpimelinsäure, Isopropylbernsteinsäure aus  $\alpha$ -Carbonpimelinsäure 1098; Pimelinimid 1099; Terebinsäure,  $\alpha$ -Chlorterebinsäure, Oxyterebinsäure 1100; Chlorterebinsäure 1100 f.
- 84:** Untersuchung von Phtalylderivaten 1235 bis 1239: Aethindiphtalyl, Aethinphthalyl 1236; Isäthinphthalyl,  $\beta$ -Benzoylpropion-o-carbonsäure, Phtalid- $\beta$ -propionsäure 1237; Isoäthindiphtalyl 1238; Diphtalylpropin, Benzoylisopropyl-o-carbonsäure, Phtalidisopropyl 1239; Untersuchung von Phtalylacetamid (Phtalimidyllessigsäure) 1275; Darstellung von Dichinolin 1380.
- 85:** Einwirkung von Phenylhydrazin auf Ketonen 1448 f.; Hydrazinverbindung der Benzoyl-essig-o-carbonsäure, der Acetophenon-carbonsäure, der Aethylenbenzoyl-carbonsäure 1448, des Doppellactons der  $\beta$ -Benzoylpropion-o-carbonsäure und der o-Benzoylbenzoësäure 1449;

Untersuchung von Phtalylderivaten 1486 bis 1489: Aethindiphtalyl, Aethylenbenzoylbenzoësäure 1486; ( $\beta$ -)Anhydrid der Aethylenbenzoyl-o-carbonsäure, Aethylenbenzoyl-o-carbonsäureäther, Derivate des Doppellactons der  $\beta$ -Benzoylpropion-o-carbonsäure: Phtaläthyliden, Propiophenon-o-carbonsäure (Benzoyläthyl-o-carbonsäure),  $\gamma$ -Phenylbutter-o-carbonsäure 1487;  $\beta$ -Phtalimidylpropionsäure, Phtalimidylpropiolacton 1488; Diphtalsuccinanilid, Diphtalsuccindehydranilid 1489; Darstellung von camphans. Baryum, des Aethers der Camphocarbonsäure und einer Hydrazinverbindung derselben 1536.

**86:** Einwirkung von Methyljodid auf Nicotinsäure und Chinolinsäure: Nicotinsäuremethyljodid 1382, auf Pyridintricarbon- und Cinchomeronsäure: Apophyllensäure 1382 f.; siehe Howard (W. C.).

Rosetti (F.), **78:** directe Messung von Flammentemperaturen 115.

Rosicki (J.), **80:** Resorcin gegen Isobernsteinsäure 647; Isosuccinein des Resorcins 799 f.; siehe Meyer (R.).

Rosicky (W.), **79:** Brechungsexponent von Rufs 156.

Rosoll (A.), **84:** Histochemie der Pflanzen 1434 ff.

Rospendowski, **86:** Darstellung und Derivate von  $\alpha$ - und  $\beta$ -Naphtylphenylketon, Benzoylphtalsäure 1651.

Rospendowski (W.), **84:** Ersatzmittel für Indigocarmin 1853 f.

Rofs (W. A.), **77:** Löthrohrreactionen 1031; Löthrohrreactionen von Borsäure und Mineralien 1050; Adular, Agalmatolith, Albit, Almandin (Spinell) 1249.

**78:** Löthrohranalyse der Zeolithe 1040; Löthrohrblasebalg 1096; Löthrohrreaction der Zeolithe 1255.

**80:** Löthrohrversuche 1142; Wolframsäure als Reagens auf Phosphorsäure 1160 f.

**82:** Aluminiumblech zu Löthrohrversuchen 1254; Borsäure mit Phosphorsäure als Löthrohrreagens 1254 f.; die Färbungen einiger Mineralien 1519.

**83:** pyrologische Notizen (Löthrohrreactionen) 1515.

**84:** Analysen auf trockenem Wege (Löthrohr) 1543.

- Rofsbach (M. J.) und Anrep (B. v.), **79**: physiologischer Antagonismus der Gifte 992.
- Rossdöcher (E.), **85**: Verfahren zum raschen Trocknen von Hölzern 2193.
- Rossel (A.), **81**: phosphorfreie Zündhölzchen 1275.
- Rosser (J.), siehe Heidler (J.).
- Rossetti (F.), **79**: Absorptions- und Emmissionsvermögen der Flammen 156 f.; Temperatur des Volta'schen Lichtbogens 157.
- Rossi (F.), **81**: Dünger aus Fischrückständen 1295; Alkohol aus Johannisbrod 1306.
- Rossmäslers (F. A.), **84**: Fabrikation von Schmieröl aus Bakunaphtha-Destillationsrückständen 1827.
- Rost (E.), **82**: Apparate zur Herstellung von Kerzen 1460.
- Roster (G.), **77**: Pikroaluminogen 1297.
- 78**: Darmsteine von Pferden 1003.
- 79**: Lithofellinsäure, Lithobillinsäure 990 f.
- 80**: Schmelzpunktsbestimmung organischer Substanzen 38.
- 85**: Zusammensetzung der Luft von Florenz 2009.
- 86**: Bestimmung der atmosphärischen Kohlensäure (Apparat) 1926.
- Rosthorn, siehe Aich.
- Roswag und Geary, **78**: Reinigung und Entsilberung des Werkbleies 1111 f.
- Roth (C.), **80**: Chlor im Bromkalium 1152 f.
- 86**: blaue schwefelhaltige Farbstoffe aus salzsaurem Dimethylanilin und Dimethyl-p-phenylendiamin 2192 f.
- Roth (C. F.), **81**: Hexamethyltrimethylendiaminbromür 417.
- 82**: Phenylacetylropein, Atrolactyltropein (Pseudoatropin) 1097; sekundäre Basen gegen Glycerinmonochlorhydrin (Glycoline) 1099 f.; Formel der Propylglycoline 1100.
- 84**: Darstellung von Methyltropeidin 1387.
- 86**: Pyridincondensation: Dipyridyl 773 f.; Apparat zur Schmelzpunktsbestimmung 2009; siehe Ladenburg (A.).
- Roth (C. F.) und Lange (O.), **86**: Untersuchung des  $\alpha\alpha'$ -Dimethylpyridins und der zugehörigen  $\alpha\alpha'$ -Pyridindicarbonsäure, Identität derselben mit dem aus Zimmtaldehyd dargestellten Lutidin und mit der vermeintlichen Isocinchomeronsäure 769 ff.
- Roth (Fr.), **80**: Zusammendrückbarkeit der Gase 57 bis 61.
- Roth (H.), **81**: Olivenöl aus Rückständen (Sanza) 1319.
- Roth (J.), **77**: Quellen von Rohmaterialien 1104; Farbstoff aus Phenol 1236.
- 80**: Petrographie der plutonischen Gesteine, allgemeine und chemische Geologie 1489.
- 82**: Topographie der Ponzainseln 1616.
- 84**: Muttergestein der Labradore 1986.
- Roth (L.), **83**: Herstellung von Cement 1707.
- Roth (M.) und Sylvester (G.), **84**: Gewinnung von Bleiweiß 1739.
- Rothaas, siehe Filehne (W.).
- Rotheit (J.), **84**: neue Bildungsweise des Carbostyrls aus Trichloroxychinolin 886.
- Rother, **83**: Bromwasserstoffsäure 1534.
- Rother (O.), **84**: Capillarität von Salzlösungen 104 f.
- Rother (R.), **78**: Anwendung der Dialyse zur Concentration verdünnter Lösungen 62.
- 79**: Bildung von phosphoriger Säure 225 f.; Gelatiniren der Kinetinur 948.
- 81**: dialysirtes Eisen 247 f.
- 82**: Darstellung von Jodoform 1409.
- Rotondi, **85**: Verseifung der Fette unter gleichzeitiger Gewinnung von Chlor 2178.
- Rotondi (C.), siehe Pavesi (A.).
- Rotondi (E.), **82**: Verhalten von Phosphaten gegen schweflige Säure und Ammoniak 272 f.
- 83**: elektrolytische Zersetzung von Chlornatrium in Beziehung auf die Sodatechnik 221; Elektrolyse von Pyrogallussäure 223.
- 84**: Elektrolyse von Anilin (Bildung von Diazo- und Azoverbindungen) 270; Einwirkung des Wassers auf Seife 1820 f.
- 86**: Untersuchung von Invertzucker 1772 f.

- Rotten (M.), **85**: Apparat zur Reinigung von Fabrikabwässern 2133; siehe Piper (R.).
- Rouart, siehe Mignon.
- Rouch (G.), **83**: physiologische Wirkungen des Gelsemins 1354.
- Roucher (C.), **81**: Pfefferminzöl 1027.
- Rousse (J.), **81**: Mangankette, secundäre Ketten 92.
- Rousseau, **80**: Verarbeitung von Nickelerzen 1262.
- Rousseau (G.), **82**:  $\alpha$ -Naphtol gegen Chloroform: Glycol  $C_{22}H_{14}O_2$  ( $\beta$ -Dinaphtylencarbinol) und Derivate 658 ff.
- 83**:  $\beta$ -Dinaphtylencarbinol (Glycol  $C_{22}H_{14}O_2$ ) gegen alkoholisches Ammoniak 873 f.; Untersuchung des so entstehenden Amins, Salze desselben,  $\beta$ -Dinaphtylenglycol gegen Chromsäure: Dinaphtylenketon 874.
- 86**: Manganite des Calciums, Strontiums und Baryums 413 bis 416; Manganite der Alkalimetalle 416 f.
- Rousseau (G.) und Bruneau (G.), **84**: Darstellung von Baryumpermanganat 400.
- Rousseau (G.) und Saglier (A.), **84**: künstlicher Baryumbraunit 1913 f.
- Roussel (E.), **84**: Färben mit Roccellin 1850.
- Roussel (V.), **83**: Verwendung von Goldschwefel zur Vulcanisirung des Kautschuks 1767.
- Rousselot (A.), **81**: Kaligehalt von Potasche und Kalidüngern 1180.
- Roussille (O.), **78**: Reifen der Oliven 948.
- Roussin (Z.) und Poirrier (A. F.), **79**: Naphtionroth 1172.
- Rouville (P. de), **78**: Bittersalz 1224.
- Roux, **81**: Blei vom Zinn 1193.
- Roux (E.), **81**: neue Zellhefe 1146; siehe Chamberland (Ch.).
- Roux (F. F. le), **84**: thermoöktrisches Experiment der Umkehrung des Peltier'schen Phänomens 246.
- Roux (L.), **84**: Propylnaphtalin 559 f.; Amylnaphtalin 560.
- 86**: Verhalten von  $\alpha$ -Monobrom-, -chlor- und -jodnaphtalin gegen Aluminiumchlorid 650 f.; Hexabromnaphtalin, Einwirkung von Aluminiumchlorid auf  $\alpha$ -Monobromnaphtalin und Toluol 651; siehe Barbier (P.); siehe Friedel (C.); siehe Vincent (C.).
- Rowan (G. H.), **84**: Analyse von Apatit 1943, von Thon 1988 f.
- Rowell (W. A.), siehe Urquhart (D.).
- Rowland, siehe Abney (W. de W.).
- Rowland (H. A.), **79**: theoretische Behandlung der Magnetisirungscoefficienten 143.
- 80**: mechanisches Wärmeäquivalent 83; spezifische Wärme des Wassers 90 f.
- Rowland (H. A.) und Barker (G. F.), **80**: Messungen an Edison's Lampe 162.
- Rowland (W. L.), siehe Sadtler (S. P.).
- Rowley (R.), **83**: Vulcanisirung und Entschwefelung des Kautschuks in einer Operation 1768.
- Royau (A.), **82**: Apparate zur Herstellung von Kerzen 1460.
- Royère (W. de la), **85**:  $\alpha$ -Tetrabromhydrocamphen und Derivate (Tribromcamphen, Dibromcamphylen) 763 f.;  $\beta$ -Tetrabromhydrocamphen 764 f.; siehe Swarts (Th.).
- Rozsnyay (M.), **78**: optische Werthbestimmung der käuflichen Chinabasen 873.
- 84**: Untersuchung der Chininsalze 1633.
- Rube, **84**: Bestimmung des Stickstoffs 1610.
- Rubner (M.), **79**: Untersuchung des sogenannten Topfen 876; Ausnutzung einiger Nahrungsmittel im Darmkanale des Menschen 954 f.; Untersuchung des Fluid-Meat 955.
- 80**: Fluid-Meat 1118; Erbsen 1122.
- 81**: Stoffwechsel 1030.
- 83**: Vertretungswerthe der organischen Nahrungsstoffe im Thierkörper 1433; Werth der Weizenkleie für die Ernährung 1434; Einfluss der Körpergröße auf Stoff- und Kraftwechsel 1437.
- 84**: Einfluss der Extractivstoffe des Fleisches auf die Wärmebildung 1475.
- 85**: Nachweis von Trauben- und Milchzucker 1742 f.: Trennung des Traubenzuckers von Rohrzucker und Dextrin 1742; Traubenzuckerblei, Nachweis der beiden Zucker im Harn 1743; calorimetrische Untersuchungen auf Nahrungsmittel und Abfallstoffe 1826; Reactionen auf Trauben- und Milchzucker 1980.

- 86:** Fettbildung aus Kohlehydraten 1832; Bestimmung isodynamer Mengen von Eiweiß mit Fett 1833.
- Rubzow, **85:** Verbindungen des Succinimids mit Ammoniak 1363 f.
- Rudelius, **86:** Analyse von Magnet-eisen 2242.
- Rudinskaja (S.), **85:** Umwandlung des parabansauren Ammoniums in Oxaluramid 658.
- Rudneff (W.), **78:** Einwirkung von Jod auf Diphenylthioharnstoff, auf äthylthiocarbaminsaures Aethylamin und auf Diäthylthioharnstoff 356; Trimethylcarbinamin, Bildung von Dimethyläthylcarbinamin 442.
- 79:** Trimethylcarbinamin, Derivate 403.
- 80:** Amyl- und Butylamine 516 f.
- 81:** Petroleum-Leuchtgas und -theer 1322.
- Rudolph, **84:** Analyse von grönländischem Eisen 2044 f.
- Rudolph (C.), siehe Salkowski (H.).
- Rudolph (Ch.), **78:** Darstellung eines Dijodanilins 464 f.
- 79:** o-Mononitroanilinderivate 416; o-Diamidobenzol gegen Eisenchlorid 432; Benzylamin 435.
- 80:** Verhalten von o-Nitrobenzaldehyd bei der Reduction 710 f.
- 85:** Gewinnung von p-Toluidin 2082; siehe Fischer (O.).
- Rudolph (Chr.), **86:** Naphtalintrisulfosäure; Farbstoffe aus Naphtalindisulfosäuren 2210.
- Rudzinski-Rudno, **80:** Propyl- und Isopropylmalonsäure 783.
- 85:** Oxydation von Camphansäure 1525.
- Rue (Warren de la), **81:** elektrische Entladung 103.
- Rue (Warren de la) und Müller (H. W.), **78:** Entladungen von Elek-tricität in verdünnten Gasen 156.
- 79:** Entladung der Chlorsilberkette 135 f.
- 83:** Entladungserscheinungen in Vacuumröhren 193.
- 84:** elektrische Entladung 257 f.
- Rübencamp (R.), siehe Geuther (A.).
- Rücker, **82:** Calibrirung von Queck-silberthermometern 1349.
- Rücker (A.), **80:** Methylchlorcroton-säure 810 f.
- Rücker (A.) und Miller (W. v.), **77:** Methylcrotonsäure 716.
- Rücker (A. W.), **80:** Constitution des Chlors 262; siehe Reinold (A. W.); siehe Thorpe (T. E.).
- Rückert (W.), **85:** Darstellung von „Wetterbildern“ zum Nachweis der Luftfeuchtigkeit 2051.
- Rückmann (J. P.), siehe Thomp-son (J. B.).
- Rüdiger (A.), **80:** Eis und Schnee 1510.
- Rüdorff, **78:** Erstarrungspunkt der reinen Essigsäure 34.
- 85:** Verbindungen der arsenigen Säure mit Chlor-, Brom- und Jod-kalium 452 f.
- Rüdorff (Fr.), **79:** Bestimmung des specifischen Gewichtes pulverförmiger Körper 41.
- 80:** atmosphärischer Wasserdampf, Bestimmung 1149.
- 82:** Untersuchung verschiedener Gasbrenner 1454 f.; Albcarbonbren-ner 1455.
- 85:** Löslichkeit von Salzgemischen, die mit einander keine chemische Umsetzung eingehen können 101 f.; Verdrängung eines Salzes durch ein anderes aus seiner Lösung 354.
- 86:** Verbindungen von Arsen-trioxyd mit den Haloidsalzen des Ka-liums und Ammoniums 368 f.
- Rügheimer, siehe Ladenburg (A.).
- Rügheimer (L.), **81:** Aethylatro-lactinsäure 816; Phenylbernsteinsäure aus Phenylbromessigäther, aus Chlor-styrol und Cyankalium 833.
- 82:** Phenylbromessigäther gegen Natrium: Stilbendicarbonsäureanhy-drid (Diphenylfumarsäureanhydrid), Diphenylfumarsäure 981; Piperin aus Piperidin und Piperinsäurechlorid 1086.
- 84:** Condensation von Malonsäure mit Anilin: Malondianilid, Malon-anilsäure, Aethylmalonylchlorid gegen Anilin 1113; Darstellung von Tri-chlorchinolin und Malonanilsäure 1375.
- 85:** Chinolinderivate aus malons. Salzen primärer aromatischer Basen 950 bis 952: gechlorte  $\gamma$ -Oxychino-line,  $\alpha$ ,  $\beta$ -Dichlor- $\gamma$ -oxy-o-toluchinolin 951.
- 86:** Isochinolinderivate aus Hip-pursäure und Phosphorpentachlorid 1428; siehe Ladenburg (A.).
- Rügheimer (L.) und Hoffmann (R.), **84:** Einwirkung von Anilin

- auf Aethylmalonylchlorid 1113 f.; Malonanilidsäureäther 1113; Malon-p-toluidsäure, Methyltrichlorchinolin 1114.
- 85:** im Pyridinring substituierte Toluchinoline 979 bis 983:  $\alpha$ - $\beta$ - $\gamma$ -Trichlor-p-toluchinolin 979;  $\beta$ - $\gamma$ -Dichlor- $\alpha$ -oxy-p-toluchinolin ( $\beta$ - $\gamma$ -Dichlor-p-tolucarbostyryl),  $\beta$ - $\gamma$ -Dichlor-dinitro-p-tolucarbostyryl 980; Monochlordioxyäthyl-p-toluchinolin, Dichloracet-o-toluid,  $\alpha$ - $\beta$ -Dichlor- $\gamma$ -oxy-o-toluchinolin,  $\alpha$ - $\beta$ - $\gamma$ -Trichlor-o-toluchinolin 981;  $\beta$ - $\gamma$ -Dichlor-o-tolucarbostyryl ( $\beta$ - $\gamma$ -Dichlor- $\alpha$ -oxy-o-toluchinolin),  $\beta$ -Monochlor- $\gamma$ -oxy-o-tolucarbostyryl ( $\beta$ -Monochlor- $\alpha$ - $\gamma$ -dioxy-o-toluchinolin) 982; Trichlor- und Dichlor-m-toluchinolin, Dichlor- $\alpha$ -oxy-m-toluchinolin oder Dichlor-m-tolucarbostyryl, Dichloracet-m-toluid 983; Untersuchung der isomeren Malontoluidsäuren 1345 f.; Malon-p-toluidsäure, Malon-m-toluidsäure 1346.
- Rühlmann (M.) und Fittig (R.), **84:** Untersuchung von Valero-, Isocapro-, Phenylbutyrolacton 1059.
- Rühlmann (R.), **79:** Durchmesser einiger Gasmoleküle 11; Gewicht eines Wasserstoffmoleküls 12.
- Rümpler (A.), **80:** Magnesia aus Carnallit, Verarbeitung der Magnesiалаугen auf Ammoniak 1280; Pectinstoffe aus Salzlösungen 1290; Einfluss der Kalisalze auf den Zuckergehalt der Rüben 1334; Reinigung der Rübensäfte 1351.
- Rüst (D.), **83:** mikroskopische Untersuchung einer Kohle von Levino, Tula 1906 f.; siehe Fischer (H.).
- Rütgers, **85:** Conservirung von Schwellenbölzern durch Kreosotöl 2193.
- Ruffle (J.), **77:** Bestimmung des Gesamtstickstoffgehalts organischer Verbindungen 1059.
- 81:** Stickstoffbestimmung 1195.
- 82:** Bestimmung der Salpetersäure und salpetrigen Säure 1268.
- 83:** Stickstoffbestimmung nitrat-haltiger organischer Substanzen 1591.
- 85:** Bestimmung der Gesamtphosphorsäure in Superphosphaten und ähnlichen Düngern, Bestimmung der wasserlöslichen Phosphorsäure 1916.
- Ruhemann (S.), **81:** m- und o-p-Toluylendiamin, Derivate 463.
- Rullmann (W.), **77:** Wasser der Fulda 1380.
- Rumann (C.), **83:** neue Einrichtungen an Wagen 1653.
- Rumford (Graf von), **84:** Thermometergefäß zur Bestimmung der specifischen Wärme von flüssigen und festen Körpern 169.
- Rumler (O.), siehe Hibsch (J. E.).
- Rummel (L.), siehe Müller (F. v.).
- Rummel (Z.), siehe Müller (Fr. v.).
- Rummo, **83:** physiologische Wirkung des Jodoforms 1487.
- Rump (Ch.), **78:** Darstellung von Benzoessäure aus Benzöharz 1137; siehe Jannasch (P.).
- Rumpff, **81:** Krystallform von Dimethylthio- und Dimethylparabansäure 344; Krystallform von methyl-oxamins. Baryum 908, von Monomethylparabansäure 909.
- Rumpf (J.), **79:** Apophyllit 1230.
- 81:** Miargyrit 1352.
- 86:** Vorkommen von Andesin in Braunkohle 2290.
- Rumpff (J.), **80:** Apophyllit 1466.
- Runeberg (J. W.), **82:** Filtration von Eiweißlösungen durch thierische Membranen 1130 f.
- 86:** Filtration von Eiweißlösungen durch thierische Membranen 1789.
- Runth (O.), **82:** Analyse von finnischem Beryll 1562.
- Runyon (E. W.), **83:** Darstellung der Phosphorsäure, Oxydationsgefäße 313.
- Ruoff, **77:** Chrysen gegen Perchlorantimon 390; Perbrombenzol 403; Rosanilin, Violanilin und Triphenylendiamin gegen Chlorjod 449; Perbromphenol in Perbrombenzol 547.
- 83:** Umwandlung von Bromanil und Perbromphenol in Perbrombenzol 593.
- Rush (Warren B.), **79:** Copalvasäure 907 f.
- Russel (H. C.), **78:** Modification des gewöhnlichen galvanischen Chromsäureelementes 133.
- Russel (J. C.), **79:** Mandeln eines Triasgesteines 1241.
- 82:** Schwefellager in Utah 1520.
- Russel (W. J.), **81:** Absorptionsspectra von Kobaltsalzen 127 f.
- 85:** spektroskopische Beobachtungen an Lösungen von Kobaltchlorid 322 f.

Russel (W. J.) und Lapraik (W.), **77**: Stickoxyd gegen Pyrogallussäure 221; pyrogalluss. Kalium gegen Stickoxyd 1083.

**81**: Absorptionsspectra von farblosen Flüssigkeiten 128.

**82**: Absorptionsspectrum des Chlorophylls 189 f.

Russel (W. J.) und Maskelyne (N. S.), **77**: Silbernitratdoppelsalze 302.

Russel (W. J.) und West (S.), **80**: Harn, Stickstoffbestimmung 1116.

Rufner (J.), **82**: Wärmeausdehnung von Schwefel, Kautschuk, Hartgummi und Guttapercha 36 f.

Russo (A.), **82**: physiologische Wirkung des Maunitins 1114.

Russo (M.), siehe Weidel (H.).

Rust (P.), **80**: Schweißen des englischen Gußstahls 1257.

Rutley (F.), siehe Hermann (D.).

Ruttan (R. F.), **86**: Darstellung und Derivate des Trimethyldiäthylamidobenzols aus Diäthylpseudocumidin 856 f.

Ruys (J. M.), **84**: Zeitdauer der Umwandlung des prismatischen Schwefels in den rhombischen 336.

Ruyssen (F.) und Varenne (L.), **81**: Löslichkeit des Quecksilberchlorürs in Salzsäure 293; Löslichkeit des Chlorsilbers und Chlorbleies in Salzsäure 301.

Rydberg (J. R.), **86**: Beziehungen zwischen Sättigungscapazität und Atomgewicht der Elemente 55.

Ryder, **77**: Kohlenstoffbestimmung im Eisen 1056.

Ryder (J. P.), siehe Michael (A.).

Ryloff, **86**: Fabrikation des Leders in Rußland 2178.

Rzehak (A.), **84**: Untersuchung von Pyrolusit 1917 f.

Rzehak (E. C. F.), **85**: Verfahren zum Bleichen von Stroh 2201.

Rziha (Fr. v.), **86**: mechanische Arbeit der Sprengstoffe 2080 f.

## S.

Saarbach (L.), **79**: Phenoxypropionsäure 721.

**80**: Phenole gegen halogensubstituierte Fettsäuren 873 f.

**82**: Constitution des Methämoglobins (Peroxyhämoglobin) 1207.

Saare, **83**: Verluste bei der Stärkefabrikation 1745.

Saare (O.), **84**: Bestimmung des Wassergehaltes der Kartoffelstärke 1654.

**85**: Bestimmung des Wassergehaltes der Kartoffelstärke 2159.

Sabanejeff (Sabanejew) (A.), **77**: Halogenderivate gegen Zink 398; Acetylendibromür 399.

**80**: Siedepunkte der Aethan- und Aethylenhaloidderivate 38.

**83**: Siedepunkte der Aethan- und Aethylen-Haloidverbindungen 128 ff.; Acetylendibromür, Dibromäthylen 503 f.; Acetylderivate, besonders gemischte Haloïlverbindungen des Acetylens 505 bis 512.

**84**: Bildung von Vinyl-Phenyläther und Aethylen-Phenyl-Aethyläther 521.

**85**: Einwirkung von Brom auf Diallyl 668.

**86**: Darstellung zweier isomerer Tetrabromide aus Diallyl 578; Monobromacetylen, Polymerisation desselben zu Tribrombenzol 629.

Sabanejeff (A.) und Dworkowitsch (P.), **83**: Tribromäthylen und seine Derivate (Bromphenyläthanderivate) 588 bis 590.

Sabanin (A.) und Laskowsky (N.), **78**: Reaction auf Citronensäure 1080.

Sabatier (P.), **79**: thermochemische Untersuchung der alkalischen Erdmetalle 109, der Sulfide der Alkalimetalle, Verdünnungswärmen des Sulfids, Sulfhydrats und Alkalien selbst 110.

**80**: Bildungs- und Umsetzungswärmen von Sulfiden und Polysulfiden 109 f.

**81**: thermische Untersuchung der Chloride des Eisens 1115; Bildungswärmen von Sulfiden und Sulfhydraten 1124 f.

**82**: Einwirkung des Schwefelwasserstoffs auf Silicium: Siliciumsulfid  $\text{SiS}_2$  259.

**84**: numerische Gesetze für den festen Zustand 12.

**85**: Darstellung und Zersetzung des Wasserstoffpersulfids 387; Eigenschaften desselben 387 ff.; perlmutterglänzende Modification des Schwefels 389.

**86**: Theilung einer Base zwischen zwei Säuren, untersucht an der Chromsäure 21; thermische Angaben



- über Chromate 212; Absorption des Lichts durch Chromsäure und die Chromate der Alkalien 301 f.
- Sabillot, **80**: Verarbeitung von Nickelerzen 1262.
- Sabine (R.), **78**: Leitungswiderstand des krystallinischen Selen 145 f.; Impulsionserscheinungen elektrolytischer Flüssigkeiten in Contact mit Quecksilberoberflächen 154, 155.
- Sacc, **82**: Untersuchung von *Ficus elastica*, *Laurus camphora*, *Nueva Palmyra*, *Alsine media*, *Vicium*, Analyse von Cucurbitaceenfrüchten 1166.
- 84**: Analyse der Baumwollensamen 1453; Kalisalpeterlager 1925 f.
- Sacher (E.), **77**: Fortpflanzung der Wärme in Flüssigkeiten 99.
- Sachs (J.), siehe Warburg (E.).
- Sachs (J. v.), **84**: Untersuchung über Ernährungstätigkeit der Blätter 1433 f.
- Sachs (O.), **85**: Verhalten der durch Einwirkung von Diazophenolen der Benzolreihe auf  $\beta$ -Naphthylamin entstehenden Verbindungen 1043 bis 1046; Einwirkung von o-Diazophenol 1044, von p-Diazophenol, von o-Diazophenolmethyläther (Diazooanisol) auf  $\beta$ -Naphthylamin 1045; Einwirkung von  $\beta$ -Diazonaphthalin auf Amidophenole 1046.
- 86**: Einwirkung von Diazotoluolen und Diazophenolen auf  $\beta$ -Naphthylamin (Hydroazoimidverbindungen des  $\beta$ -Naphthylamins) 1049 bis 1052; o-Toluolhydroazoimidonaphthalin ( $\alpha$ - $\beta$ ) 1049 f.; p-Toluolhydroazoimidonaphthalin ( $\alpha$ - $\beta$ ) 1050; o- und p-Oxybenzolhydroazoimidonaphthalin ( $\alpha$ - $\beta$ ) 1050 f.; o-Anisolhydroazoimidonaphthalin, Spaltung und Reduction der Hydroazoimidverbindungen 1051; Oxydation derselben: o-Toluolazimidonaphthalin ( $\alpha$ - $\beta$ ), 1051 f.; p-Toluolazimidonaphthalin ( $\alpha$ - $\beta$ ), Oxydation der Azimidverbindungen: o- und p-Toluolazimidonaphthochinon 1052.
- Sachs (Th.), **78**: Curarin 915 f.
- Sachse (R.), **84**: Untersuchung über Farbstoffe aus Chlorophyll 1439 f.; Bemerkungen über das Chlorophyll 1440.
- Sachse (U.), **77**: Dinitrosulfobenzolsäure, Dianidosulfobenzolsäure 841; Dibromsulfobenzolsäure 842.
- Sachsenröder und Gottfried, **81**: flüssiger Zucker aus Raffinade 1303.
- Sachtleben (R.), **78**: Triisobutylamin 441 f.; siehe Schmidt (E.).
- Sachse (R.), **77**: Stärke 898; Dextrose 1087; Natrium gegen Chlorophyll 1089.
- 80**: Chlorophyll 1056.
- 81**: Chlorophyll, Phyllocyanine 1010.
- 82**: Chlorophyll gegen Thierkohle, Bestimmung der grünen Farbstoffe der Pflanzentheile (*Allium ursinum*) 1147.
- 83**: Chlorophyllfunction, Assimilation und Athmung der Pflanzen 1397; Farbstoffe aus Chlorophyll:  $\alpha$ -,  $\beta$ -,  $\gamma$ -Phaeochlorophyll 1398 f.; Analyse eines Strontianits vom Bieleberg, sächsisches Erzgebirge 1850 f.; Feldspathanalysen 1897.
- Sack (H.), **86**: Aenderungen des Magnetismus von Stahlstäben durch ein magnetisches Feld 286.
- Sadebeck (A.), **77**: Struvit 1302.
- 78**: Krystallsystem des Methenyl-o-phenylendiamins 471; Krystallform und optische Eigenschaften der Salicylsäure 758; Holoëdrie des Diamanten 1200; Krystallotektonik des Silbers 1201; Markasit 1205; Zinkblende 1206; Verwachsungen von Fahlerz und Kupferkies 1210; Titan-eisen 1211.
- 79**: geneigtflächige Hemiëdrie 2; siehe Becke (F.).
- Sadler (B.), siehe Headden (W. P.).
- Sadler (H. E.) und Silliman (B.), **77**: Schwefel und Ammoniak des Leuchtgases 1048.
- Sadlon (E.), **77**: Ersatz des Eigelbs in der Weisagerberei 1185.
- Sadlon (K.), **80**: Gerben 1373.
- 81**: Borax in der Gerberei 1324.
- Sadtler (S. P.), **84**: Constitution der Alkaloide 1365.
- Sadtler (S. P.) und Rowland (W. L.), **81**: gelber Farbstoff aus Beth-abarra 1336.
- Sänger (A.), **86**: Darstellung der Unterphosphorsäure und eines neuen Hydrats derselben 345 f.; Ester der Unterphosphorsäure 1606 f.; Unterphosphorsäurehydrat 1607.
- Sänger (R. C.), siehe Hill (H. B.).
- Särnström, **85**: Bestimmung des Kohlenstoffs im Eisen und Stahl 1922; siehe Ackermann (R.).



**84:** Bildung von Harnstoff aus Sarkosin im thierischen Organismus 508; über das Verhalten der Skatolcarbonsäure im Organismus 1498; Vorkommen von Phenacetursäure im Pferdeharn 1505; über die Kreatininreaction 1617 f.; Nachweis von Eiweiß im Harn 1682.

**85:** Untersuchung der Eiweißfäulnis, Bildung von Hydrozimmtsäure und Phenylessigsäure 1778 f.; Untersuchung des Vorkommens von Phenacetursäure im Harn, Entstehung aromatischer Substanzen bei Herbivoren 1840 f.; Bildung der Hippursäure aus Hydrozimmtsäure im Darm 1841; Untersuchung des Harns eines gesunden Pferdes, Zusammensetzung desselben 1843 f.; Harnsäurebestimmung 1952 f.

**86:** Eiweißfäulnis: Trennung der Phenylessigsäure von der Phenylpropionsäure 1794; Entstehung aromatischer Substanzen im Tierkörper 1859 f.; unterschweflige Säure in den Fäces von Hunden 1861; Schwefelbestimmung in schwefelarmen organischen Verbindungen 1955; Bestimmung des Stickstoffs im Harn 1957; Bestimmung der Schwefelsäure und Aetherschwefelsäure im Harn 2004 f.; Löslichkeit des Baryumsulfats, Bestimmung des Kreatinins, Nachweis von Oxalsäure im Harn 2005.

Salkowski (E.) und Nickel (O.), **86:** Bestimmung der Oxalsäure im Harn 1967.

Salkowski (E.) und Salkowski (H.), **79:** p-Oxyphenylessigsäure 688 f.; Hydrozimmtsäure bei der Pankreasverdauung 873 f.; Verhalten der Phenylessig- und Phenylpropionsäure im Tierkörper 978.

**80:** Fäulnisproducte des Eiweißes 1035.

**83:** Base  $C_6H_{11}NO_2$  aus faulendem Fleisch und Fibrin, Salze derselben 1360; Fäulnisproducte der Eiweißkörper 1443; Verhalten der aus dem Eiweiß durch Fäulnis entstehenden aromatischen Säuren (Phenacetursäure aus Phenylessigsäure, Hippursäure aus Phenylpropionsäure, Oxphenacetursäure aus p-Oxyphenylessigsäure, p-Oxybenzoësäure aus Oxyphenylpropionsäure) im Tierkörper 1471 f.; Bildung von Hydro-

zimmtsäure aus Tyrosin bei der Fäulnis 1506 f.

**84:** Untersuchung der Scatolcarbonsäure 1414 f.; Bildung von Indol und Skatol bei der Eiweißfäulnis 1521 ff.

Salkowski (H.), **77:** Doppelsalze zweier organischer Säuren (Nitrobenzoësäuren und Benzoësäure) 739. **79:** Zinkarseniate 274 f.; Metanitroanisol, Verhalten 514.

**84:** Darstellung von m- und p-Oxyphenylessigsäure 1215 ff.; p-Oxybenzylcyanid, p-Oxyphenylessigsäure, m-Oxybenzylcyanid, m-Oxyphenylessigsäure 1216; o-Mononitrobenzylcyanid, o-Mononitrophenylessigsäure 1217.

**85:** Untersuchung des Schmelzpunktes von Gemischen der Phenylessigsäure mit Hydrozimmtsäure 1480 f.; Trennung der beiden Säuren 1481.

Salkowski (H.) und Rudolph (C.), **77:** Anhydrobasen aus Triamidobenzol (Aethenyltriamidobenzol),  $\beta$ -Diuitroacetanilid 481; Monoacetylchrysanissäure 482; Dinitroanissäure, Di- und Trinitroanisol 757.

Salleron (J.), **80:** Telethermometer 1241; Corrosion des Glases unter  $100^\circ$  1316 f.

Salomon (F.), **79:** Gehaltsbestimmung gefärbter Säuren 1106; Säuregehalt des Bleizuckers und Bleiessigs 1112.

**80:** Denaturierung des Alkohols 1352; Reisstärke 1356.

**81:** spezifisches Gewicht von Dextroselösungen 982; Bestimmung der Stärke 1212; spezifisches Gewicht, Reductionsvermögen und optisches Verhalten von Traubenzuckerlösungen 1213.

**82:** Dextrose aus Kartoffel- und Reisstärke, Identität der letzteren 1124 f.

**83:** die Stärke und ihre Verwandlung unter dem Einflusse von Säuren 1366.

**84:** Untersuchung über Stärke 1408.

**85:** Untersuchung über die Stärke 1756.

Salomon (G.), **78:** Verbreitung und Entstehung von Hypoxanthin und Milchsäure im thierischen Organismus 993.

- 80:** Hypoxanthin 1035.  
**81:** Xanthinkörper der Keimpflanzen 1012.  
**82:** Paraxanthin aus Harn 1216.  
**83:** Paraxanthin aus menschlichem Harn 1445 f.  
**84:** Paraxanthin als Bestandtheil des menschlichen Harns 514.  
**85:** Formel des Paraxanthins (= Dimethylxanthin) und Salze 659; Heteroxanthin und Salze 659 f.; siehe Krause (H.).
- Salomon (W.), **79:** Ort der Hippursäurebildung beim Pflanzenfresser 981 f.
- Salomonowitsch (S.), siehe Dragendorff (G.).
- Salomonson (H. W.), **85:** Darstellung von m- und p-Nitrophenylparaconsäuren 1545.
- Salter (Th. W.), **78:** Thalliumfarben 291.
- Salter (W.), **78:** Thalliumfarben 1195.
- Salzer, **81:** Krystallwassergehalt von Salzen 10.  
**86:** Wasserbestimmung in Carbol-säure 1962.
- Salzer (F.), **78:** Andesit 1287 f.
- Salzer (Th.), **77:** Unterphosphorsäure 229.  
**78:** Untersuchung der Unterphosphorsäure und deren Salze 224 f.  
**81:** Salze der Unterphosphorsäure 191 f.; Nachweis von Ammoniak 1177.  
**82:** Unterphosphorsäure und Salze derselben 245 f.  
**83:** neutrales und saures bernsteinsaures Kalium 1081.  
**84:** Grundregeln für den Krystallwassergehalt von anorganischen und organischen Salzen 14 f.  
**86:** Zersetzung der Natriumthio-sulfatlösung durch Säuren, neue Bildung von Pentathionsäure 332 f.; Untersuchungen über Unterphosphorsäure, Salze derselben 351 ff.; Ferrocyanammonium-Calcium 513.
- Salzmänn (M.) und Wichelhaus (H.), **77:** Euxanthon, Euxanthinsäure 651; Carbodiphenylen, Carbodiphenylenoxyd 652; Diacetylexanthon 653.  
**78:** Verwerthung von Braunkohlentheer 1171.
- Samelson, **86:** Rothweinprobe 1986; siehe Poleck.
- Samonoff, **83:** Azoxylol 790 f.
- Sampaio (A.), siehe Michler (W.).
- Samuel (P.), **82:** Messung innerer Widerstände galvanischer Ketten durch das Telefon 149.
- Sandberger (E.), **83:** Vorkommen von Mixit zu Wittichen im Schwarzwalde 1870.
- Sandberger (F.), **77:** Fahlerz 1268; Heubachit 1281; Bildung der Gänge 1355.  
**78:** Einschlüsse in Quarzkry-stallen 1212; Vorkommen der die Gangmineralien zusammensetzenden Elemente in den Mineralien der Silicatgesteine 1281; Dolerit und Basalt 1288 f.; Schönbornquelle bei Kissingen 1297.  
**79:** Glaukodot 1183; Zirkonvorkommen 1188; Leukomanganit 1197; Barytglimmer, Chromglimmer, Vorkommen 1222.  
**80:** Nakrit 1414; Pseudomorphosen 1485; Erzgänge 1492.  
**81:** Klaprothit 1352; Fahlerz 1353; Leukochalcit 1375.  
**82:** Pseudomorphosen von Brauns-path nach Anhydrit und Quarz nach Barytocalcit 1584; Untersuchungen über Erzgänge, Gang-theorien 1597; das Alter der Bimssteine vom Westerwald 1608.  
**83:** Vorkommen von Arsen in dem körnigen Kalke von Auerbach an der Bergstrasse 1828; Glaukodot (Spathiopyrit) 1830; neuer Fundort für Haarkies 1833; neuer Fundort für Feuerblende 1835; Analyse des Glimmers aus dem Riesengranit von Geyer 1923; Basalt von Naurod bei Wiesbaden 1932.  
**84:** Untersuchung von Amalgam 1902; Zirkon als mikroskopischer Bestandtheil von Gneissen und Graniten 1915 f.; Einschlüsse im Basalt von Naurod bei Wiesbaden 2022; Alter der Westerwälder Bimssteine 2025.  
**85:** Analyse von Apatit, Leukomanganit, identisch mit Fairfieldit 2281; Borsäure in Glimmern 2290; Pseudomorphosen von Quarz und Albit nach Kalkspath 2300.  
**86:** Vorkommen von feinkörnigem Schwefel 2222; Antimonnickel als Hüttenproduct 2225; Vorkommen von Greenockit 2230 f.; neues Vorkommen von Guejarit 2234; Vorkommen und

- Untersuchung von Coquimbite 2254; Vorkommen von Chromblei auf Molybdänblei 2258; Vorkommen von Kalk- und Kupferuranglimmer, neues Vorkommen von manganhaltigem Apatit 2259; Pseudomorphosen von Arseniosiderit nach Eisenspath 2299; Vorkommen von in Kupferlasur und Malachit umgewandeltem Holz 2300.
- Sanders, siehe Danckwerth.
- Sanderson (B.), **85**: Zusammensetzung der Fäulnisproducte, Desinfection 2134.
- Sanderson (Burdon), **85**: chemische Veränderungen durch Mikroorganismen 1825.
- Sandmeyer (Tr.), **84**: Zerlegung der Diazochloride durch Kupferchlorür, Methode, die Amidogruppe durch Halogen zu ersetzen 467 f.
- 85**: Ueberführung der drei Mononitroaniline in die Mononitrobenzoesäuren 860 f.; Darstellung von Anthranilsäure aus m-Nitranilin 861 f.; Darstellung des Unterchlorigsäure-Aethyläthers 1159; Ersetzung der Amidgruppe durch Cyan in den drei Amidobenzoësäuren 1473 f.: Terephthalaminsäure, Terephthalsäure, m-Cyanbenzoësäure 1473; Isophtalsäure, Phthalimid 1474.
- 86**: Einwirkung von Imidokohlensäureäther auf aromatische Orthoamidverbindungen: auf o-Toluyldiamin (Aethoxymethenyltoluyldiamin, Oxymethenyltoluyldiamin) 792 f.; auf o-Phenylendiamin (Aethoxy- und Oxymethenylphenylendiamin) 793 f.; auf salzsaures o-Amidophenol (Aethoxy- und Oxymethenylamidophenol) 794 f.; auf salzsaure Anthranilsäure (Aethoxymethenylidanthranilsäure) 795; Unterchlorigsäure - Aethyl- und -Methyläther, Monochlorsulfosäure - Aethyl- und -Methyläther 1166 f.; Chlorimidokohlensäure-Aethyl- und -Methyläther 1167 f.; Imidokohlensäure-Aethyl- und -Methyläther 1168.
- Sanford (P. G.), siehe Pickering (Sp. U.).
- Sanger (C. R.), siehe Hill (H. B.).
- Sanguinetti (Ch. A.), siehe Bauby (J. A.).
- Sanguirigo (C.), siehe Bizzozero (G.).
- Sanlville (M. E.) und Laligant (R.), **84**: Darstellung eines Explosivstoffes 1747.
- Sansone (A.), **85**: Theorie der Türkischrothfärberei 2248.
- 86**: Verarbeitung von Chinagras auf Holzstoff u. s. w. 2173.
- Sansoni, **81**: Krystallform von isobutters. Baryum 704.
- Sansoni (F.), **80**: Manganspath 1420.
- 86**: Vorkommen und Krystallform von Kalkspath 2248; Krystallform von Schwerspath 2251.
- Santangelo La Seta (G.), **83**: Wirkung des Pilocarpins auf die Secretion des Magensaftes 1488; siehe Gubini (S.).
- Santini (S.), **84**: Färbungen der Wasserstofflampe 282.
- Santoni (F.), **85**: Krystallform von Kalkspath 2278.
- Santos (J. R.), **77**: Antimonglanz 1265; Antimonocker 1281; Kupfergrün 1310.
- 78**: Verhalten des arsenigsauren Silbers gegen Essigsäure und Ammoniak 307 f.; Löslichkeit von arsenigsaurem Silber 1069; Verwitterungsrinde des Allanits 1238; Meteorreisen aus Augusta County 1321.
- 79**: Barcenit 1239; Cotopaxiasche 1255.
- Saporito-Ricca, siehe Tisati (G.).
- Sapper (E.), **82**: Halogenwasserstoffsäuren gegen zusammengesetzte Aether 639 f.; Aetherificirung durch Halogenwasserstoffsäuren 640 f.
- Saraly, **77**: Mordants für die Färberei 1244.
- Sarasin (E.), **77**: Brechung des Quarzes 179.
- 82**: Brechungsindices des Kalkspaths 191 f.
- 83**: Brechungsexponenten des Flußspaths 233 f.; siehe Cloixeaux (A. des); siehe Friedel (C.); siehe Soret (J. L.).
- Sartori (G.), **86**: Bestimmung der Phosphorsäure in Düngern 1922; Entdeckung von Fuchsin im Wein 1987; Bestimmung der Butter in der Milch 2000.
- Sarauw (A.), **81**: Diazoamidverbindungen gegen Phosgen 483.
- 82**: Phosgen gegen Diazoamidverbindungen: Harnstoffbenzoësäure, Dibromcarbanilid 593 f.; Phenol gegen Brom 594.
- Sarauw, (E.), **79**: Diacetylhydrochinon 582.
- 80**: gebromte Chinone 733.

- 81:** Bromderivate des Chinons und Hydrochinons 633.
- Sardo, **84:** Darstellung von Catalpasaure aus Bignonia Catalpa 1459.
- Sardo (S.), **83:** Phenylmelilotsäure 1228.
- Sargant (E. B.), siehe Glazebrook (R. F.).
- Sarley, **77:** Jamesonit 1267.
- Sarley (F.), siehe Senhofer (C.).
- Sarnow (C.), **77:** Porcellanindustrie 1161.
- Sarnow (E.), **79:** Schwarzbrenner von Thon 1117.
- Sarrau und Vieille, **79:** Schießbaumwolle 1116.
- 80:** Umsetzungs- und Bildungswärme der Schießbaumwolle 127 f.; Zersetzung explosiver Körper 1303 f.
- 81:** Explosion von Kaliumpikrat 542; Umsetzungs- und Bildungswärme explosiver Verbindungen 1131.
- Sarrau (E.), **83:** kritischer Druck und kritische Temperatur des Sauerstoffs 75.
- 85:** Tension gesättigter Dämpfe 76; Thermodynamik (Kohlendioxyd) 116.
- Sartig (J.), siehe Limpricht (H.).
- Sartorius, **81:** Torsionswaage 1231.
- Sartorius (F.), **83:** neue Arretirvorrichtung 1653.
- Sasaki (S.), siehe Kellner (O.).
- Sasse (O.), siehe Schmidt (E.).
- Sattler (F.), **77:** Eisenanalyse 1056.
- Saude (A. Ben), **85:** doppelbrechende Kochsalzkrystalle 460; siehe Ben-Saude (A.).
- Sauer (A.), **79:** Rutil als Gemengtheil gewisser Gneisse 1188; Wasser der Arre und Rhone 1261.
- 80:** Rutil 1412.
- 81:** Rutil als Felsgemengtheil 1422.
- 83:** Untersuchung der Krakatoasche 1936 f.
- 84:** Graphitoïd, eine Kohlenstoffmodifikation 1899 f.; Analyse von Kalkstein 1931, von Apatit 1943, von Zoisit 1952, von titanhaltigem Granat 1956; Untersuchung von Perowskit 1993 f.; Untersuchung umgewandelter Leucite 2000 ff.; Erläuterungen zu der geologischen Aufnahme der Section Wiesenthal, Sachsen 2008.
- 86:** Vorkommen und Analyse von Prismatin und Kryptotil 2262 f.; Analyse von Turmalin 2263; Vorkommen von plastischem Granit 2302.
- Sauer (A.) und Ador (E.), **77:** Analyse von Nitroglycerin 1079, 1160.
- Sauer (A.) und Schalch (F.), **84:** sächsische Fundorte von Eklogit 2010.
- Sauer (E.), **77:** Terpenylsäure aus Terpenen 727; siehe Städel (W.).
- Sauerlandt (E.), **79:** Paraffine aus Ozokerit 1147.
- Saul (J. E.), **86:** Verhalten des Tannins gegen Thymol 1970.
- Saunders (E. C.), **80:** Oelsäure 831.
- Saunders (W.), **78:** Canthariden 1013.
- 79:** Wirkung des Insectenpulvers 936 f.
- Saunders (W. S.), **82:** Wirkung des Wassers auf Bleiröhren 1383.
- Saur (R.), **77:** Aethylmethylacetessigäther 692.
- Sauvage, **77:** Explosionen in Kohlenminen 1107.
- Sauvage (E.), **80:** Mineralquellen 1534.
- Sauval (P. A.), siehe Jaques (B.).
- Savalle, **77:** Destillationsapparat 1200.
- Savalle (J. D.), siehe Bachet (J. M.).
- Savano (J.), siehe Kellner (O.).
- Savary (W.), **84:** Atripasäure aus der Zuckerrübe 1442 f.
- Saver (J. Ch.), **81:** Patchouliöl 1319.
- Savery (E.), **79:** künstliches Leder aus Papier 1152.
- Savigny (C.), **80:** Ozokerit 1368.
- Savigny (E.) und Collineau (A.), **78:** Caulin 1195.
- Savory (J. T.), **83:** Uranylnitrat 385.
- Sawtschenkow (Th. N.), **83:** Formelschema für Silicate 1870 f.
- Saytzeff (A.), **77:** ungesättigte Alkohole 515.
- 78:** Bildung von Methylpropylcarbinol statt Diäthylcarbinol bei Einwirkung von Jodwasserstoff auf das Amylen des Diäthylcarbinols 374; Isomerie von Diäthylcarbinoljodür mit jodwasserstoffsaurem Amylen 723 f.
- 80:**  $\gamma$ -Oxybuttersäure 759.
- 81:** Jodbuttersäure aus Butyrolacton 612 f.; Diäthylessigsäure (Hydroäthylcrotonsäure), Methylpropylessigs. Salze 706;  $\gamma$ -Oxybuttersäurelacton,  $\gamma$ -Oxybuttersäure 708.

- 82**: normale  $\gamma$ -Oxybuttersäure, Butyrolacton 837 f.
- 85**: Darstellung gesättigter tertiärer Alkohole 1155 f.; Darstellung von Dioxystearinsäure aus Oelsäure 1444.
- 86**: Synthese tertiärer Alkohole aus Ketonen 1162; siehe Barataeff (S.); siehe Gortaloff (A.); siehe Nikolsky (W.); siehe Bjabinin (K.); siehe Schirokeff (A.); siehe Semljanitzin; siehe Sorokin (B.); siehe Tschebotareff (A.); siehe Ustinoff (D.).
- Saytzeff (A. und M.), **77**: Allyldimethylcarbinol 585.
- Saytzeff (A.) und Kanonnikoff (J.), **77**: Diallylcarbinol 536.
- Saytzeff (A.), Nikolsky (W.) und Saytzeff (P.), **78**: Darstellung von drei neuen Kohlenwasserstoffen 380.
- Saytzeff (A.) und Schirokeff, **78**: Darstellung von Diäthylcarbinol 526.
- Saytzeff (A.), Tschebotarew (A.), Barataew (S.) und Gortalow (A.), **85**: Darstellung von Aethyldipropylcarbinol, Triäthylcarbinol, Methylpropylcarbinol 1156.
- Saytzeff (M.), **77**: Diallylcarbinol 536; Diallyloxalsäure 726; siehe Kanonnikoff (J.); siehe Saytzeff (A.).
- Saytzeff (P.), siehe Saytzeff (A.).
- Saytzeff (P. und A.), **78**: über Diallylpropylcarbinol 530; über Dipropylallylcarbinol 531.
- 79**: Allyldipropylcarbinol 494.
- Saytzeff (A.), **86**: Oxydation der Oleinsäure: Dioxy- und Oxytearinsäure 1405 f.; Säure  $C_{18}H_{34}O_3$ , Oxydation der Elaidinsäure: isomere Dioxytearinsäure 1406; siehe Saytzeff (A.).
- Saytzeff (A.) und Saytzeff (M. Konst.), **86**: Untersuchung der Oxytearinsäuren verschiedener Abkunft 1406 f.; isomere Oleinsäure 1407.
- Scacchi (A.), **77**: Cuspidin, Neochrysolith 1308.
- 78**: Bleivitriol 1223.
- 80**: Vesbium 337; Incrustationen der Vesuvlava 1506.
- 81**: Sublimationsproducte vom Vesuv (Neocyan), Litidionit 1411.
- 82**: Nocerin (Fluorcalciummagnesium) 1531.
- 83**: Granulin (Zersetzungsproducte auf Vesuvlaven) 1839; Vorkommen von Fluoriden (Flussspath, Nocerin) in den Vulkanen der Campagna 1847.
- 86**: Krystallform von saurem traubensaurem Ammonium und Kalium 1349 f.; Darstellung von traubensaurem Natrium-Kalium 1350.
- Scacchi (E.), **84**: Krystallform von Humit, Chondroit, Klinohumit 1954.
- 85**: Krystallform des Phenylcumarins und des Cumarins 1510 f.
- 86**: Krystallform des Phenylcumarins und Cumarins 1523 f.
- Scacchi (E.), **86**: Isomorphismus verschiedener Doppelfluoride 5.
- Schaag (A.), **85**: Herstellung von Nickelbronze und Anwendung derselben zu galvanischen Metallplattierungen 2047.
- Schaal (E.), **80**: Paraffinüberzug als Schutzmittel 1370; Paraffin als Holz-anstrich 1372.
- 85**: Herstellung von Säuren aus Kohlenwasserstoffen 2094 f.; Darstellung wohlriechender Ester, von künstlichem Rüböl oder Tournantöl und von Seifen sowie Türkischrothölen 2095.
- Schaare (H.), **82**: Bestimmung von Schwefelcalcium in der Knochenkohle 1284; siehe Claus (Ad.).
- Schabowna (A.), **80**: Harnstoffausscheidung 1115.
- Schabus, **78**: Krystallform von Salzen der synthetischen Propionsäure 692.
- Schacherl (G.), **81**: Siedepunkt der Unterchlorsäure 175; Mono- und Dibrombernsteinsäure 657 f.
- 85**: Darstellung von Propargylentetracarbonsäureäther 1410 f.; Propargylentetracarbonsäure, Pseudoacetonitsäure 1411; siehe Garzarolli-Thurnlackh (K.); siehe Pebal (L.).
- Schacht, **80**: Löslichkeit des Phosphors in Alkohol 270.
- Schacht und Redwood, **84**: Haltbarkeit wasserfreier ätherischer Oele 1466.
- Schacht (C.), **82**: Bestimmung der Alkaloide der Chinarinde 1313.
- Schacht (G. F.), **84**: Titirung von Strychnin und Brucin 1642.
- Schacht (G. L.), **82**: Glycerin gegen Eisenoxysalze 647.
- Schack (A.), **81**: Pfefferminzöl 1027.
- Schack (E. v.), siehe Hübner (H.).
- Schadow (G.), **77**: Wirkung des Nitropentans 1010.

- Schädler (C.), **85**: Schmelzpunkt Erstarrungspunkt, Verdickungspunkt, Untersuchung von Mineral-fetten 1968; Mineralöluntersuchung 2177.
- Schäfer und Montanus, **86**: Kali-element von Dun 243.
- Schäfer (E. A.), **85**: Ursprung der Eiweißkörper der Lymphe, Uebertragung der Nahrungsstoffe in die Milchgefäße 1828.
- Schäfer (F.), **82**: Neuerungen in der Bierbrauerei 1449.
- Schäfer (L.), **86**: Bestimmung des Cinchonidins im Chinin 1734.
- Schäfer (W.), **84**: Säure- und Zuckerbestimmungen in Mosten 1664.
- Schaeffer, **83**: Aetzung von Bister durch salzsaures Hydroxylamin 1786.
- Schaeffer (C. A.), **84**: Analyse von Columbit 1994.
- Schäppi, **80**: Aetznatron 1280.
- Schäppi, (H.), **82**: Bestimmung von Arsen im Schwefel 1278; Schwefelregenerationen 1393; siehe Lunge (G.).
- Schaer (E.), **79**: Nitritenbildung 1015.
- Schaer (Ed.), **77**: Salicylsäure des Handels 746.
- 82**: ätherisches Oel der Blätter von Cinnamomum ceylanicum: Eugen-säure 1183; Benzoesäure verschie-denen Ursprungs gegen Kaliumper-manganat 1311; siehe Cloëtta (A.).
- Schärges (C.), siehe Traub (M. C.).
- Schäuffelen (H.), **77**: Diimidoanis-nitril 343.
- Schafarzik (F.), **85**: Vorkommen von Zinnober 2267.
- Schaffer (F.), **78**: Verhalten von Phenol im Thierkörper 991.
- 81**: Mykoprotein 997.
- 85**: Untersuchung mehrerer Trockenbeerweine 2151; siehe Nencki (M.).
- Schaffner und Helbig, **79**: Rege-neration des Schwefels und des Cal-ciums 1110.
- Schaffner (M.), **80**: Aufarbeiten von Pyritabbränden 1266.
- Schaffner (M.) und Helbig (W.), **82**: Combination des Leblanc-schen und des Ammoniak-Sodapro-cesses 1396 f.
- Schaik (W. C. L. van), **83**: elektro-magnetische Drehung der Polarisati-onsebene 258.
- Schalch (F.), **83**: Strontianit vom Bieleberg, sächsisches Erzgebirge 1850 f.; Fundorte für Melilithbasalte aus dem Erzgebirge 1931.
- 86**: Vorkommen von Kieselzink 2267; neue Fundorte von Zeolithen (Prenhit, Chabasit, Laumontit) 2286; Untersuchung des Martits 2297 f.; Pseudomorphosen von Magneteisen nach Eisenglanz 2298; Analyse von Braunspath in Pseudomorphosen nach Kalkspath 2299; siehe Sauer (A.).
- Schalfeeff, **77**: Cerotinsäure 729.
- 79**: Melissinsäure 674.
- 86**: Verhalten von Hämkristal-len gegen alkoholisches Ammoniak: Häminsäure und Häminostromin 1845 f.; Darstellung und Krystall-form von Hämin 1846.
- Schalfejew (M.), **82**: spezifisches Volum für Wasserstoff, Sauerstoff und Kohlenstoff 41 ff.; von Fettsäuren, Aldehyden, Ketonen, Säureanhy-driden, Kohlenwasserstoffen, Aethern 42 f.
- 83**: spezifische Volumina der Elemente 50.
- 85**: spezifische Volumina der Elemente 47.
- Schall (C.), **79**: Oxytoluylsäuren und Oxyptalsäuren 689 f.
- 83**: Molekulargewicht und Ver-dampfung 46 f.; Phenolnatrium gegen Jod : Mono- und Dijodphenol 901; Phenolnatrium gegen Untersalpeter-säureanhydrid : o- und p-Mononitro-phenol 901 f.;  $\beta$ -Naphtholnatrium gegen Chlor : Monochlor- $\beta$ -naphthol 902.
- 84**: Molekulargewicht und Ver-dampfung 56; Cohäsion von Flüssig-keiten 105 ff.
- 85**: Beziehung von Molekular-gewicht zum Molekeldurchmesser 35; Dampfdichtebestimmung nach Dumas (Volumometer) 43 f.; Be-ziehung der Ausdehnung einiger Körper im Gas-, Dampf- und Flüs-sigkeitszustand zur absoluten Tem-peratur 57 f.; Cohäsion von Flüssig-keiten, Anwendung der Formel von der Abnahme der Steighöhen in Capillaren beim Erwärmen auf die Bestimmung der Capillaritätsconstan-ten 82; Berechnung der Capillar-constanten für organische Verbin-dungen 83 f.
- Schall (C.) und Dralle (Chr.), **84**: Einwirkung von Chlor, Brom, Jod



- auf p-Kresolnatrium 997 bis 1000: Monochlor-p-kresol, Monochlormethyl-p-kresol, Monochloranissäure 997; Monobrom-p-kresol, Monobrommethyl-p-kresol, Monobromanissäure, Dibrom-p-kresol 998; Dibrombenzoyl-p-kresol, Mono-, Dijod-p-kresol, Monojodmethyl-p-kresol, Monojodanissäure, Acetyldijod-p-kresol, Benzoyldijod-p-kresol 999.
- Schaller (E. F.), **85**: Anwendung der Caseinfarben 2255.
- Scharff (F.), **78**: Wachstum der Quarzkrystalle 1214; Albite und Flußspath vom Rossert 1266.
- Scharfhausen (R.), **86**: Solenoidgalvanometer 241.
- Scharizer (R.), **79**: Pyrop 1215; Serpentinanalyse 1223 f.; Columbit 1239; Pseudomorphose einer chloritischen Substanz nach Granat 1244.
- 81**: Krennerit 1347; Beryll 1396; Mikroklin 1402; Razumowskin 1405; Idrialit 1409.
- 82**: Anauxit und Cimolit 1570; Pseudomorphose von Cimolit und Augit nach Feldspath 1584; Basalt von Ottendorf 1612.
- 83**: Analyse eines chromhaltigen Augits von Jan Mayen 1890.
- 84**: Analyse von Hornblende 1969, 1971 f.
- 86**: Vorkommen und Krystallform von Monazit 2258; Vorkommen von Turmalin im Granit 2263; Vorkommen und Krystallform von Lepidolith 2274; Umlagerungen von Muscovit und Lepidomelan 2275.
- Scharplessz, **77**: Milch 1183.
- Schatz (F.), **83**: das Oelen in der Türkischrothfärberei 1786.
- Schatzky (E.), **84**: Einwirkung von Aceton auf Jodallyl und Isobutyljod (butyrlirtes Allyldimethylcarbinol) 1049.
- 85**: Darstellung des Oxalsäureäthers 1335; Untersuchung der Diallyloxalsäure 1432 bis 1434: Dibromür  $C(C_2H_5Br)_2OH-CO_2C_2H_5$ , Chlorür  $C(C_2H_5Cl)_2OH-CO_2H$ , Tetrabromür  $C_6H_{12}Br_4O_3$ , Tribromlacton  $C_6H_{11}Br_3O_3$ , Joddiallylessigsäure 1433; Diallylessigsäure, Methoxydiallylessigsäure-Aethyläther, Methoxycarballylsäure, Constitution der Diallyloxalsäure 1434.
- 86**: Darstellung von Oxalsäureäther 1312; Diallyloxalsäure 1393.
- Schaumann (W.), **78**: p-Xylidin 471 f.; siehe Pinner (A.).
- Schedtler (H.), **86**: experimentelle Untersuchungen über das elektrische Verhalten des Turmalins 248, 2263.
- Scheerer, **80**: basische Ferrisulfate 323.
- Schefer, **80**: Phylloxera 1067.
- Scheffer (E.), **84**: Bestimmung des Nicotins 1629 f.
- Scheffer (J. D. R.), **77**: Glycose und Lävulose 901.
- 82**: freie Diffusion von Salzsäure, Chlorammonium, Oxalsäure, Essigsäure, Weinsäure, Bernsteinsäure, Citronensäure, essigsaurem Natrium, Chloralhydrat und Mannit 88 ff.
- Scheffer (R.), **83**: Diffusion von Lösungen fester Körper, sowie von Salzsäure 106 ff.
- Scheib, **77**: Pfanneneinmauerung 1213.
- Scheibe, **86**: Krystallform von Magneteisen 2242.
- Scheibe (A.), siehe Wildt (E.); siehe Wurster (C.).
- Scheibe (E.), **79**: Borweinsäure 638; Borcitronensäure 664 f.
- 80**: borcitronensaure Salze 819.
- 83**: Abscheidung von Morphin 1614 f.
- Scheibe (R.), **82**: krystallographische Untersuchung von Lupinin und Lupininsalzen 1152.
- Scheibler (C.), **77**: Zuckeranalysen 1087; Trockenapparat 1097; Rübenzuckerfabrikation 1188; Stärkemehlindustrie 1207.
- 78**: Rübengallerte 1034.
- 80**: optische Constanten 218; Saccharin, Saccharinsäure 1024 f.; Vanillin im Rohzucker 1349.
- 81**: Saccharin, Saccharinsäure 1016; Apparat zum Auslaugen von Zucker 1235.
- 82**: Galactan (Galactin) 1125 f.; Scheidung der Rübensäfte mittelst der Strontiumsaccharate 1441 f.
- 83**: Absorption von Sauerstoff durch mit Kalk versetzte Lösungen von Dextrose, Lävulose und Invertzucker (Saccharin) 1364; Bildung von Mannit aus den Glycosen, Saccharin gegen Natriumamalgam 1565; Scheidung von Rübensäften und sonstigen zuckerhaltigen Pflanzensäften durch Strontiumsaccharat 1734 f.; Strontiummonosaccharat, Ausscheidung

- dung von Zuckerstrontian aus Melassen, Löslichkeit des Strontiummonosaccharates in Wasser, Auswaschen der Saccharate 1735.
- 84:** Identität der Glutaminsäure aus Melasse mit der aus Conglutin und Eiweißstoffen 1144 f.; Einwirkung von Natriumamalgam auf Saccharin 1404; Untersuchung von Arabinose und Lactose 1404 f.; Verarbeitung phosphorsäurehaltiger Schlacken 1576; Gewinnung der Phosphorsäure aus Schlacken 1710 f.; Verarbeitung von Melasse 1792.
- 85:** Nomenclatur der Zuckerarten 1737 f.; „biose“ als Endung des Namens der Zucker  $C_{12}H_{22}O_{11}$  und „ose“ als Endung des Namens der Zucker  $C_6H_{12}O_6$ , Saccharobiose, Lactobiose, Maltobiose, Mycobiose oder Trehabiose, Melibiose, Sorbinose, Eucalose, Arabose 1738; Abscheidung der Raffinose aus Rübenzucker, Identität der Gossypose mit Raffinose, Eigenschaften der Raffinose 1751 f.; Eigenschaften der Raffinose (des Pluszuckers) 2147 f.; Gewinnung von Monostromtiumzucker 2147; Distromtiumsaccharat, Strontianraffinose 2148.
- 86:** Verhalten der Kohlensäure gegen alkalische Erden und deren Hydrate 393 f.; Melitriose 1779 f.; Verfahren zur Gewinnung phosphorsäurereicher Schlacken 2034, 2035 f.; Verwendung von Thomasschlacken als Dünger 2036; Anwendung des Saccharins 2075; Verarbeitung von Melasse mittelst Monostromtiumsaccharat 2129; siehe Liebermann (C.).
- Scheibler (C.) und Sidersky (D.), **82:** Löslichkeit des Strontiumhydroxyds in Wasser 77, 1284.
- Scheid (B.), **83:** Benzochinon und Hydrochinon gegen Phosphorchlorür 1002; Chinon gegen Phosphoroxchlorid, Chinon und Hydrochinon gegen Acetylchlorid: Monochlordiacetylhydrochinon, Diacetylhydrochinon, Monochlorhydrochinon gegen Kali 1003.
- Scheidel (A.), **85:** Gewinnung von Antiphtysin 2087 f.; Darstellung von Vanillin aus Olivil 2093.
- Schelle (R.), **84:** Apparat zum Aufschließen von Erzen mit Chlor 1690.
- Schellen (H.), **77:** Taschenspektroskop 181.
- Schellhammer (H.), **82:** Apparat zur Gasanalyse 1347.
- Schelling (F.), **85:** Corrosion der Dampfkessel 2162.
- Schelnberg (K.), **77:** Darstellung aromatischer Nitrile 339.
- Schenck (A.), **84:** Untersuchung der Diabase des oberen Ruhrthals 2017 ff.
- Schenek, **80:** Ureölygit 1423.
- Schenk (B. v.), **81:** Tripolith 1276.
- 85:** Herstellung einer Reibmasse für schwedische Zündhölzchen 2107.
- Scherbasscheff (A.), **77:** Soda 1148.
- Scherbel (L.), siehe Claus (Ad.).
- Scherer (S.), siehe Medicus (L.).
- Scherfel (A.), **86:** Analyse des Wassers der Quelle von Kirchdrauf in der Zips (Szepesváralja) 2321; Analyse des Mineralwassers von Czeiméte 2322.
- Scherfel (A. W.), **82:** Analysen der Quellen von Neu-Schmecks (Ungarn) 1633.
- Schering (E.), **78:** Entsäuerung des Pyroxylyns 1138.
- 79:** bleihaltiges Jodkalium 234; Darstellung von Jodkalium 1105.
- 84:** Gewinnung von Jodoform, Bromoform, Chloroform 1741.
- 85:** Darstellung von Chinaldinmonosulfosäuren 2086 f.
- Scherks (E.), **81:**  $\alpha$ -Brompropionsäureäther gegen Zinkstaub 687.
- 84:** versuchte Darstellung von Oxymaleinsäure 1128.
- 85:** Darstellung der Mono- und Dioxymaleinsäure sowie der Oxycitraconsäure 1390 f.; Citraweinsäure, Additionsproduct  $C_8H_7BrO_8$  1391; Untersuchung der Hydrindonaphten-carbonsäure 1531 f.; Phenylglyoxylo-carbonsäure, Phtalidcarbonsäure, Phtalid 1532.
- Schertel, **86:** Zusammensetzung der Thone von Hainstadt 407.
- Schertel (A.), **79:** graue Modification des Zinns 284 f.
- 81:** Schmelzpunkt von Gesteinen 1416.
- 82:** spezifisches Gewicht des Schwefelsäuremonohydrats 40 f.
- 84:** Analyse von Olivin 1953; siehe Erhard (Th.); siehe Stelzner (A.).
- Scheschukow (Chechoukoff) (M.), **83:** Chlorirung von Isobutylen 514.

- 84:** Einwirkung von Chlor auf Isobutylene, Darstellung von isomeren Isobutylenchloriden, Isocrotylchlorid, Isobutenylchlorid, Aethylisobutyleneäther, Aethylisocrotyläther, Isopropenylcarbinol, Isobutylenchlorür 521 f.; Einwirkung von Chlor auf Pseudo-butylen 522 f., von Jodwasserstoff auf Isobutylen 523; Einwirkung von Chlor auf Isobutylen im directen Sonnenlicht, Bildung von Monochlorisobutylen 574.
- 85:** Verhalten der Butylene gegen Chlor 666.
- 86:** Einwirkung von Isobutylen auf rauchende Jodwasserstoffsäure 575.
- Schestakow (W.), **84:** Darstellung von propylytem Diallylcarbinol 944.
- Scheufelen (A.), **85:** Eisenbromid, -bromür und -chlorid als Bromüberträger 583.
- Scheukenhof (J.), **85:** Herstellung von Lichtpausen 2260 f.
- Scheurer (A.), **83:** Fixirung von Farbstoffen mittelst Chromoxyd 1786 f.
- 84:** Aetzung gefärbter Stoffe 1847 f.; Untersuchung von Alizarinblau 1890.
- 85:** Aetzen von Indigblau unter gleichzeitiger Fixirung von Thonerde 2206.
- Scheurer-Kestner (A.), **78:** Löslichkeit des Platins in Schwefelsäure 309; Bestimmung der Weinsäure im Weinstein 1080.
- 80:** Löslichkeit des Platins in concentrirter Schwefelsäure 361; Entschwefeln der Sodalaugen 1293 f.
- 81:** Entschwefung der Sodalaugen 1268.
- 83:** Verbrennungswärme mehrerer Kohlenarten 155; Ammoniumnitrit 1685; Verlust von Natrium bei der Fabrikation der Soda nach Le Blanc 1694; Verbrennungswärme von Steinkohlen und Coaks 1753 f.; Gewinnung von Ammoniak bei der Coaksbereitung 1754.
- 84:** Bildung von Schwefeltrioxyd bei der Verbrennung von Pyriten 342; Einwirkung des Eisenoxys auf Sulfate bei hoher Temperatur 398; Abscheidung von Gay-Lussitkrystallen aus Lösungen calcinirter Soda 1732; über den Ammoniak-Sodaproceß 1733; Coaksproduction 1815; Verbrennungswärme der Steinkohlen 1816.
- 85:** Bestimmung der Verbrennungswärme der Steinkohle von Ronchamp 189 f.; Untersuchung einer Steinkohle aus der Grube von Altdorf 190 f.; Einwirkung des Eisenoxys auf Sulfate 498; Untersuchung der Verbrennungsgase aus Pyriten 2059 f.; Körting'scher Apparat 2061.
- 86:** Geschichte der Anwendung von Pyriten bei der Schwefelsäurefabrikation 2047 f.; Ursprung des Ammoniak-sodaprocesses 2055.
- Scheurer-Kestner und Meunier-Dollfus, **86:** Verbrennungswärmen von Steinkohlen 222 f.
- Scheurer-Kestner jr., **80:** lösliches Ferment bei der Brotbereitung 1134.
- Schiaparelli (C.), **81:** Phenoläther: Benzolsulfosäurephenyläther, Benzolsulfosäure-p-nitrophenyläther, p- und o-Nitrophenolbenzoat 539; Trinitrobenzolsulfosäurephenyläther, p-Nitrophenolbenzoat 540.
- 83:** Saponin, Saponetin 1368.
- 84:** Untersuchung von Saponin 1411.
- Schiaparelli (C.) und Abelli (M.), **83:** Nitroderivate des Resorcins 918.
- Schiaparelli (C.) und Peroni (G.), **80:** Harnbestandtheile 1114.
- Schickhoff (L.), **80:** Constitution der Milch 1102.
- Schicht (L.), **80:** Verhalten der Metalle gegen den Strom 1143 f.
- Schichtel und Jost, **83:** specifisches Gewicht eines Cordierits aus Brasilien 1894.
- Schidlowsky (F.), **77:** baumartige Krystallbildungen an der Kathode 167.
- Schiel (J.), **79:** Ozonbildung durch Kohlenwasserstoffe, ätherische Oele 191 f.; Gährung und elektrischer Strom 1002.
- Schiff, **77:** Pepsinbildung vor und nach dem Tode 982.
- Schiff (H.), **77:** Verbrennung von Wasserstoff und Knallgas 198; glasartige Borsäure 235; Acetylenharnstoff 348; Glycoluril, Thioharnstoff gegen Glyoxal 349; Furfurol gegen Harnstoffnitrat 1077.
- 78:** Einwirkung von Aldehyden der Fettreihe auf Amide 613 f.; Einwirkung von Cyankalium auf Di-

chloressigäther 678; Constitution der natürlichen Gerbsäure 818; Conservierung unreinen Brunnenwassers durch Salicylsäure 1115.

**79:** *Magnesia* zur Bestimmung der Anzahl der Aethylgruppen 315; Digallussäure 728; Ellagsäure 730 f.; künstliche mehrgliedrige Glycoside 858 f.; Blutrückstände 961 f.; Verbrennung stickstoffhaltiger organischer Verbindungen 1058; Analyse von Halogen oder Stickstoff enthaltenden Verbindungen 1060 f.; Halogenbestimmung in organischen Verbindungen 1062; Acetylbestimmung 1065 f.

**80:** Furfurolbasen 707 f.; Digallussäure 892; künstliche Glycoside 1027; Aesculetin 1029; Apparat zur Stickstoffbestimmung 1242 f.

**81:** Molekularvolumina flüssiger Substanzen 33 ff.; Aldehydodisulfate, Verbindung mit Amidosäuren 581; alkensubstituierte Amidosäuren 771 f.; o-Oxybenzyl-m-amidobenzoësäure, Aethylidenamidobenzoësäure 772; Isobutylidenamidobenzoësäure, Isoamylidenamidobenzoësäure, Isatamidobenzoësäure 773; Spaltungsprodukte von Glycosiden: Aesculin, Phlorizin, Salicin und Helicin; Arbutine (Methylarbutin) 987; amorphes Helicin 988.

**82:** Acroleinharnstoff 382 f.; aromatische Oxy Säuren gegen Phosphoroxchlorid 915 f.; Protocatechusäure gegen Arsensäure, Phosphoroxchlorid: Diprotocatechusäure, Tetraprotocatechusäure, Katellagsäure 916; Methylarbutin, Helicinharnstoff, Helicinthioharnstoff, Helicintolulyl-m-diamin, Helicin gegen Ammoniak 1128.

**83:** Veränderung von Terpinol durch Luft (Bildung einer aldehydartigen Verbindung) 568 f.; m-Monoamidobenzamid gegen Acet-, Butyr- und Valeraldehyd: Aethylidenamidobenzamid; gegen Salicylaldehyd: o-Oxybenzylamidobenzamid 1135; gegen Helicin, gegen Isatin: Isatamidobenzamid 1136; Phtalamidobenzamid 1136 f.

**84:** Identität des Condensationsproductes aus Salicylaldehyd mittelst Chlorzink (oder Phosphoroxchlorid) mit dem aus Helicin 1040; Darstellung von Oxalamidosäuren und ihrer Derivate 1102 ff.: m-Benzamoxalsäure-Aethyläther, m-Oxalyldibenzam-

säure, Benzamoxamid 1102; Benzamoxanilid, m-Oxalyldibenzamdiamid, m-Amidobenzamoxalsäure-Aethyläther, m-Malonyldibenzamsäure, m-Benzamalonensäureäther 1103; Darstellung von Asparaginsäure 1126 f.; Verhalten der Orsellinsäure und Paraorsellinsäure gegen Arsensäure und Phosphoroxchlorid 1300 f.; Phosphorsellinsäure 1301.

**85:** Absorption des Wasserstoffs durch Palladium 354 f.; Darstellung von zwei isomeren Oxaldiamido- $\alpha$ -propionsäure-Diäthyläthern 1335 f.; Darstellung von Asparaginsäure 1367; Untersuchung der Oxalamidobenzoësäure 1455 bis 1457: Amidoxalbenzaminsäure (Benzamoxamid), Piperidin gegen Aethoxalbenzaminsäure, Amidoxalbenzamid, Aniloxalbenzamid, Aethoxalbenzamanilid 1455; Amidoxalbenzamanilid, Aniloxalbenzamanilid, Oxaldibenzaminsäure, Oxaldibenzamidsäure, Oxaldibenzaminid, Oxaldibenzamdiamid, Carbodibenzamdiamid, Oxalbenzaminsäure, (Benzamoxalsäure) 1456 f.; Untersuchung der Phosphorsellinsäure und Paraphosphorsellinsäure 1628; Identität von Isophloridzin mit Phloridzin, Eigenschaften von Isophloretin und Phloretin, Isophloretinsäure und Phloretinsäure 1766 f.; Gasdruckregulator 1998.

**86:** Farbbasen aus Furfurol:  $\beta$ -Furfuronaphthalin, Einwirkung von Furfurol auf primäre und secundäre aromatische Monoamine, auf Aethylharnstoff 872, auf tertiäre aromatische Basen 872 f., auf aromatische Amidosäuren 873, von Anilin, Thiofurfurol, Hydrofurfurol und Furfurin auf Pyroschleimsäure und deren Derivate 873 f.; Furfuran (Furan) und Derivate, Abkürzung des Namens Furfuran in Furan, Constitution der mit Furfurol dargestellten Farbbasen, Verhalten von Furfurin, Furoin, Furil, Hydrofurfuramid, Thiofurfurol, Furfurophenylhydrazid und Furfuralkohol gegen Anilin 874 f., von Furfurol gegen Phosphorpentachlorid, Farbstoff aus diesem Reactionsproduct, Farbstoffe aus Furfuranderivaten 875; Verhalten der m-Monoamidobenzoësäure gegen Weinsäure und Aepfelsäure 1429 f.; Tartryl- und Tartranbenzamsäure, Tartryl- und

- Tartrandibenzamsäure 1430; Tartraylbenzamsäure, Benzamtartridsäure, Tarryldibenzamidsäure, Malyldibenzamsäure 1431; Gasdruckregulator 2011.
- Schiff (H.) und Parenti (G.), **84**: Einwirkung von Äthylenbromür auf m-Amidobenzoësäure und m-Amidobenzamid, Äthylendibenzamsäure, Äthylendiäthylbenzamsäure 1202 f.
- Schiff (H.) und Pellizari (G.), **82**: m-Oxybenzoësäure gegen Phosphoroxchlorid: Di-m-oxybenzoid, Octo-m-oxybenzoid 915.
- 83**: käufliches Arbutin, Methylarbutin, Benzylarbutin 1367; Benzylnitroarbutin, Isoamylarbutin 1368.
- 85**: Löslichkeit des Phloretins 1767.
- 86**: Derivate der m-Monoamidobenzoësäure 1429.
- Schiff (H.) und Piutti (A.), **79**: Phosphorchlorid gegen Wolframsäure 291 f.
- 81**: Disulfidverbindungen von Aldehyden und Aminen (Benzoylnaphtylamindisulfid) 582.
- Schiff (H.) und Pons (E.), **82**: Gerbsäure, Gallussäure gegen Ammoniak: Gallamid; Digallussäure gegen Anilin: Gallanilid 916.
- 85**: Darstellung des Acetylderivates des Gallamids 1479, eines Kupfer- und Bleiderivates des Gallamids 1480.
- Schiff (H.) und Puliti (G.), **82**: p-Oxybenzoësäure gegen Phosphoroxchlorid: Tetra-p-oxybenzoid 915.
- Schiff (H.) und Masino (F.), **79**: Nitrosalicylsäure aus Indigo 681.
- Schiff (H.) und Sestini (R.), **85**: Verbindungen der arsenigen Säure mit Jod- und Bromkalium 451 f.
- Schiff (J.), **84**: Untersuchung von Safröl 1468 f.
- Schiff (R.), **77**: Biuret gegen Aldehyd 352; Acetylpyrrol 440; Ammoniakderivate des Chlorals 608; Thymochinon aus Nitrosothymol 648; Furfuramid, Furfurin 725.
- 78**: Darstellung von Nitrososulfurin 442; Einwirkung von Chloralammoniak auf Benzaldehyd, auf Valeraldehyd, Furfuröl, Oenanthol und Acetaldehyd 615; Verbindung von Butylchloralammoniak mit Benzaldehyd 616; m-Nitrozimmtsäure 798; Nitrostrychnin, Chinabasen 910.
- 79**: Acroleinammoniak 551; Reduction von Acetyl- und Phtalylpiperidin 787.
- 80**: Bromnitrocampher, Amidocampher 726 f.
- 81**: Phenol aus Bromcampher 569; Nitrocampher gegen Brom und Chlor 626 f.; Camphimid, Dehydrocampher 627; Mono- und Dibromcampher 628.
- 82**: Beziehungen zwischen Molekularvolum und Atomverkettung 25 ff.; Capillaritätsconstante von Flüssigkeiten 66 f.
- 83**: Molekularvolumina von Flüssigkeiten 63 ff.
- 84**: Volumänderung beim Schmelzen (Dilatometer), Molekularvolum und Molekulargewicht 82 ff.; Ausdehnungscoefficienten von Salzen 64; Capillaritätsconstanten von Flüssigkeiten 101 ff.; Capillaritätsäquivalente von Kohlenstoff, Sauerstoff, Chlor 103.
- 85**: Apparat zur Bestimmung des spec. Gewichts von Flüssigkeiten bei höheren Temperaturen 50 f.; physikalische Eigenschaften des Thiophens 55 f.; Formeln zur Berechnung der Capillaritätsconstanten von Flüssigkeiten 79; Untersuchung der physikalischen Eigenschaften des Thiophens 1180.
- 86**: Molekularvolum organischer Verbindungen 79 f.; spezifische Wärme homologer Reihen flüssiger Kohlenstoffverbindungen (Ester, Kohlenwasserstoffe, Säuren) 191 ff.; Verdampfungswärmen homologer Kohlenstoffverbindungen 204 ff.; siehe Fileti (M.).
- Schiff (R.) und Puliti (J.), **83**: Hydrophenyldicarbolutidinsäure-Äthyläther, Hydrofurfuryldicarbolutidinsäure-Äthyläther, Verhalten der beiden Ester gegen salpetrige Säure 671; Monochlorcampher vom Schmelzpunkte 93 bis 94°, isomerer Chlornitrocampher, Chlorcamphocarbonsäure 998.
- Schiff (R.) und Speciale (S.), **79**: Chloralammoniak gegen Cyankalium 552.
- Schiff (R.) und Tassinari (G.), **77**: Butylchloralammoniakderivate 609; Bromalammoniak 610.
- 78**: Pyroschleimsäureätherdibromid 719 f.

- Schiffer (J.), **80**: Harn der Hunde und Kaninchen 1116 f.
- 81**: Sarkosin im Thierkörper 1037; Glycogengehalt der Muskeln 1039.
- 83**: Verhalten des Sarkosins im thierischen Organismus 1471.
- Schilbach (C.), **86**: Berberin und Derivate 1722; Tetrahydroberberin, Oxydation des Berberins: Hemipinsäure und Derivate 1723 f.
- Schill (E.) und Fischer (B.), **84**: Desinfection des Auswurfs von Phthisikern 1775 f.
- Schiller (R.), siehe Otto (R.).
- Schiller-Wechsler (M.), **85**: Darstellung von Anilidobrenzweinsäure 1386 bis 1390:  $\beta$ -Cyan- $\beta$ -oxybuttersäure-Aethyläther 1386;  $\beta$ -Cyan- $\beta$ -anilidobuttersäure-Aethyläther, Anilidobrenzweinsäure-Aethyläther ( $\alpha$ -Methyl- $\alpha$ -anilidosuccinaminsäure-Aethyläther), Anilidobrenzweinsäureimid 1387; Benzoyl- und Methylderivat des Anilidobrenzweinsäureimids, Nitrosoanilidobrenzweinsäureimid und dessen Methylderivat, salzs. Anilidobrenzweinsäure 1388;  $\beta$ -Cyan- $\beta$ -o-toluidobuttersäureäther, Toluidobrenzweinsäureimid 1389; Verbindung  $C_{11}H_9NO_2$  1390.
- Schilling (E.), **84**: Verhalten von Caffeinmethyljodid, -chlorid und -hydroxyd beim Erhitzen (Bildung von Alocafein 1385 f.; siehe Schmidt (E.).
- Schillinger (A.) und Wleügel (S.), **83**: Anthroxansäurealdehyd und Anthranil aus o-Mononitrophenyloxyacrylsäure, Anthroxansäure 975 f.
- Schimanski (H.), **79**: Inanitions- und Fieberstoffwechsel der Hühner 954.
- Schimmel (Fr.), **82**: Wasserbad mit constantem Niveau 1350.
- Schimper, **81**: Krystallform von Benzoylmethylanilin 463, von Angelicasäure 722.
- Schimper (A. F. W.), **81**: Krystallisation eiweißartiger Substanzen 994.
- Schimper (W.), **77**: Triäthylselenchlorid-Platinchlorid 315; Blödit 1926.
- 81**: Krystallform von Terpenylsäure 740.
- Schindler (F.), **85**: Futterwerth des Heues 2124.
- Schiperovitsch (L.), **85**: Untersuchung des russischen Lactucariums: Lactucerin, Lactucin und Mannit als dessen Bestandtheile 1804.
- Schipiloff (C.) und Danilewsky (A.), **81**: anisotrope Substanzen der quergestreiften Muskeln 1041.
- Schippang und Wehenkel, **80**: Collodolith, Jodcollodolith 1310.
- Schirikoff (A.), **82**: Bestimmung des Wasserstoffs mittelst Palladiums 1263.
- Schirlitz (P.), **81**: isländische Gesteine 1427 f.; siehe Walther (J.).
- Schirmer, **85**: Alkalität von Zuckersäften 2142.
- 86**: Verwendung von Thomaschlackenmehl neben Kainit als Dünger 2106.
- Schirmer (P.), siehe Polstorff (K.).
- Schirokoff (A.), **79**:  $\beta$ -Diäthyl- und  $\beta$ -Dipropyläthylenmilchsäure 667 f.
- 81**: Oxyvaleriansäure (aus Allyldimethylcarbinol) in Isopropyllessigsäure 721;  $\beta$ -Dipropyl- und  $\beta$ -Diäthylenmilchsäure 757 f.
- Schirokoff, siehe Saytzeff (A.).
- Schirokoff (A.) und Saytzeff (A.), **79**: Diäthylallylcarbinol 493 f.
- Schischkoff, **84**: Bildung der Eiweißkörper von Neurin 1411.
- Schischkoff (L.), **84**: Bedeutung der Lösungen 111.
- Schlagdenhauffen, **78**: Erkennung der Magnesiumsalze 1058.
- 84**: Nachweis von Ameisensäurem und terebinsäurem Zinkoxyd in einem Zinkgefäß für Terpentinöl 1092; siehe Mourson (J.).
- Schlagdenhauffen und Garnier, **85**: Vorkommen von Arsen im Boden der Friedhöfe 1857 f.
- Schlagdenhauffen (Fr.), **85**: Titration von Mangan 1936; siehe Heckel (Ed.).
- Schlapp, siehe Weifsbach (A.).
- Schlegel (G.), **84**: Verbrennung von Kohlenwasserstoffen, ihren Oxyden und Chloriden mit Chlor und Sauerstoff 153 f.
- Schleicher, **86**: Verhalten der Ketone der Thiophenreihe gegen Schwefelsäure 1180; Untersuchung der  $\alpha$ -Thiophensäure 1359; siehe Lembach; siehe Meyer (V.).
- Schleicher (E.), **85**: Untersuchung des Monobromthiophens und Aethylthiophens 1187 bis 1189:  $\beta$ -Aethylthiophen, Tribromäthylthiophen,  $\beta$ -Thiophensäure, Monojodäthylthio-

- phen, Aethylthiophensäure - Aethyläther 1187; Aethylthiophensäure, Thiophendicarbonsäure, Dimethyl- und Diäthyläther derselben, Acetoäthylthiënon, Thiënyläthylmethylacetoxim, Nitroacetoäthylthiënon 1188; Thiophendicarbonsäure-Aethyläther 1189.
- 86:** Oxydation von  $\beta$ -Aethylthiophen:  $\beta$ -Thiophensäure und Acetothiënon 1182; Isopropylthiophen 1187; Acetoäthylthiënon 1641; Thiënylhexylketon 1641 f.; Aethylthiënylhexylketon 1642.
- Schleiermacher (A.), **79:** Versuche über die auf einem benetzten Körper verdichtete Flüssigkeitsmenge 41 f.
- 85:** Abhängigkeit der Wärmeausstrahlung von der Temperatur 125 f.
- Schleselman (J.), siehe Carnelley (Th.).
- Schlesinger (H.), **81:** Wirkung des Quecksilbers 1063.
- Schlesinger (R.), **80:** Conservirung von Fleisch 1344.
- Schlickum, **85:** Arsennachweis 1918 f.; Prüfung von Ferrum pulveratum 1933.
- 86:** Wasserbestimmung in Carbonsäure 1692.
- Schlickum (O.), **79:** Phosphorsäurebestimmung 1037.
- 81:** Verfälschung von Perubalsam 1220.
- 82:** Untersuchung von Perubalsam 1336 f.
- Schlieper und Baum, **82:** Druck mit natürlichem Indigo 1502.
- 83:** Herstellung von Indigodruck 1788 f.
- Schlieper (A.), **86:** Pr 2, 3-Diphenylindol aus Desoxybenzoinphenylhydrazin 1142 f.; Indole aus  $\beta$ -Naphthylhydrazin 1156 bis 1162; Darstellung von Aceton- $\beta$ -naphthylhydrazin 1156 f.; Aethyliden- $\beta$ -naphthylhydrazin und  $\beta$ -Naphthylhydrazinbrenztraubensäure 1157; Verhalten der beiden letzteren gegen Chlorzink:  $\beta$ -Naphthindol und Derivate 1158 f.;  $\beta$ -Naphthindolcarbonsäure und Salze 1159; Einwirkung von Chlorzink auf Aceton- $\beta$ -naphthylhydrazin: Pr 2-Methyl- $\beta$ -Naphthindol 1159 f.; Reduction des letzteren: Hydromethyl- $\beta$ -naphthol und Derivate 1160 f.; siehe Fischer (E.).
- Schliephacke (H.), **77:** Schlackenwolle 1143.
- Schliephacke (K.), **78:** Entfärbung von Paraffinmassen 1166.
- Schliwa (R.), siehe Blum (L.).
- Schliwa (R.) und Gildemeister (L.), **86:** Entfernung von Schwefel und Phosphor aus Roheisen 2022 f.
- Schloesing, **83:** Analysen der Asche der Eisfeige 1717.
- Schlösing (A.), siehe Müntz (Th.).
- Schlösing (Ph.), **86:** Darstellung von Natriumdicarbonat 2057 f.
- Schlösing (Th.), **77:** Kali- und Natriumbestimmung 1053.
- 80:** Kohlensäuregehalt der Luft 278 f.
- 81:** Aufnahme des Stickstoffs durch die Ackererde 1004; Magnesia 1261; Magnesia aus Meerwasser 1262.
- 82:** Absorption gasförmiger Körper 72; Gewinnung von Ammoniak aus Cloakenwässern 1392.
- 83:** Verbesserungen in der Fabrikation von Ammoniak soda 1693.
- 84:** Bestimmung der Hygroscopicität des Bodens 1758 f.
- 85:** Grösse der in einer Pflanze enthaltenen Wasserstoffmenge 1788; Industrie der Magnesia 2076.
- 86:** Ammoniakbestimmung im Boden 1995; Bestimmung des Ammoniaks im Boden 2091 f.
- Schloesing (Th. Sohn), **86:** hygroskopische Eigenschaften des Tabaks 1819.
- Schlösing (Th.) und Müntz (A.), **77:** Nitrification durch Fermente 1029.
- 78:** Wirkung von Pilzen auf stickstoffhaltige Nährlösungen 1022.
- 79:** Nitrification 216 f.
- Schlösser (E.), **81:** Jodwismuth-Dimethylamin 402; siehe Kraut (K.).
- Schlösser (E.) und Ernst (A.), **85:** Apparate zum Auffangen des Flugstaubes 2009.
- Schloeser (J. C.), **83:** Aenderungen an Medicinalthermometern 1654.
- Schlösser (A.) und Skraup (Zd. H.), **81:** Synthese von Chinolinderivaten: m- und p-Chinolinbenz-carbonsäure 912 f.; o-Chinolinbenz-carbonsäure 913.
- Schlüchner (G.), siehe Richter (V. v.).
- Schlumberger (A.), **78:** Salicylsäure in der Brauerei 1158; Conservirung von Most und Wein 1161.

Schmalz (B.) und Löwig (C. A.), **83**: Darstellung von eisenfreiem Glaubersalz 1694.

Schmalzigaug, siehe Gräbe (C.).

Schmelck (L.), **80**: Meerwasser 1512.

**82**: Analysen von Meeresabsätzen (norwegische Nordpolexpedition) 1621 f.

**83**: Reglement für Arsenuntersuchungen 1550.

Schmid, **77**: Benzol gegen Chlorschwefel 372.

Schmid (E. E.), **81**: Datolith 1379; Steatargillit 1405; Pseudogaylussit 1413; quarzfreie Porphyre 1423.

Schmid (H.), **81**: Tannin in der Färberei und Druckerei 1324.

**82**: Anwendung von künstlichem Indigo, o-Mononitrophenylpropionsäure 1504 f.

**83**: Verwendung der Schwefelmetalle als Beizen bei Dampffarben 1785.

**84**: Verhalten von Thonerde- und Eisenoxysalzlösungen 1841; Untersuchung von Türkischrothöl 1845.

**85**: Chrombefestigung, Anwendung des Solidviolett (Gallocyanin) in Färberei und Druckerei 2211; siehe Nölting (E.).

Schmid (H.) und Baldensperger (T.), **79**: Anilinroth 1159.

Schmid (J.), **86**: Fisetin (Farbstoff des Fisetholzes) und Derivate 2211 bis 2215; Cotinin 2213; siehe Lunge (G.).

Schmid (W.), **82**: Acetessigäther gegen Resorcin und Chlorzink: Resocyanin 716.

Schmidt, **78**: Legumin und Emulsin 1032.

**81**: Bestimmung von Blei in Legierungen 1192.

Schmidt und Hänsch, **79**: Polarisationsapparat 1085.

Schmidt und Köppen, **78**: Veratrin 905 f.

Schmidt (A.), **77**: Fibringerinnung 914; Weingeist im Organismus 977.

**78**: Fibrinbildung und Fibrinferment 933; Umwandlung von Hornstein in eine poröse Masse (Tripoli) 1214.

**79**: Wolnynformen 1193.

**81**: Pseudobrookit 1361; Cölestin 1371; Axinit 1382.

**82**: Krystallformen am Weissblei-

erz 1535 f., am Baryt von Ungarn 1537; Zinkerzagerstätten von Wiesloch 1598.

**83**: Achsenverhältnisse von Eisenglanzkrystallen 1837; krystallographische Untersuchung des Newberyits von Mejillones, Chile 1864; krystallographische Untersuchung von Apatitkrystallen aus Tavetsch und dem Floitenthale 1866.

**84**: Verwendung von Wasserdampf in Gasgeneratoren 1810.

**85**: Vorkommen von Zinkspath, Bleivitriol und Weissbleierz 2279, von Bleivitriol 2280; Hypersthen im Andesit 2294.

**86**: Untersuchung ungarischer Arsenkiese 2228; Krystallform von Aragonit, Vorkommen von Kalkspath 2248; Schwerspathvorkommen in Ungarn 2251; Vorkommen von Hypersthen 2278; Vorkommen von Krystallform von Augit 2281.

Schmidt (A.) und Hintze (C.), **84**: Isomorphie von Meneghinit und Jordanit 1910.

Schmidt (C.), **77**: Wasser von Meer und Seen 1370 bis 1380; Wasser des Flusses Om 1380; serbisches Mineralwasser 1386; siehe Dohrandt (F.).

**80**: Schwarzerden aus Südrussland 1323 f.

**82**: Analyse des Wassers vom Onegasee, Issyk-Kul-See, Kukunorsee, vom Salzsee von Iletzk, vom Barchatow Bittersee 1624 ff.; Analysen des Soolwassers von Nowo-Ussolje 1635 f., von Brunnenwasser aus der Kara-Kum-Sandwüste, von Quellwasser vom Taulagipfel, Tibet 1636 f.

**83**: Analyse des Steinsalzes vom Ssajangebirge 1946; Analyse zweier Gemenge von efflorescirenden Sulfaten 1858 f.; Analyse des Wassers des Balüktikul, Analysen der Salze aus Seen im Gouvernement Jenisseisk, Sibirien 1941; Analysen des Wassers der Rachmanow'schen heißen Schwefelquellen vom Altai 1948 f., von Brunnenwässern der Sandwüste Karakum, Analyse des Schlammes der Schwefelquelle von Arasan 1949.

**84**: Bodenanalyse 1760; Untersuchung eines Stückes Meteorstein von Sanarka 2040.



**85:** Untersuchung der Ackererde und des Untergrundes der Güter Trobetschino und Nikolajewsk 2119 f.; Untersuchung von Wasserproben aus Kamtschatka 2320 f.

**86:** Untersuchung der Ackererde und des Untergrundes von Franzenshütte 2096; Krystallform von Braunit 2238; Vorkommen und Analyse von Chamoisit als Bestandtheil von Eisenoolithen 2275 f.; Krystallform von Skolezit 2288; Vorkommen von Albit 2289; Analysen asiatischer Seewässer 2320 f.; Analyse des Wassers der Thermen am Fuße des Schneegebirges Otchan-Chairchan 2324; siehe Fischer (O.).

Schmidt (E.), **77:** Allylsenföf, Rhodanallyl 335; Harnstoff gegen Kohlenoxysulfid 347; Bromoform 398; Mercurialin = Methylamin 430; Tiglinsäure = Methylcrotonsäure 715; valerian-tiglinisches Calcium 716; Morphinsalze 881; Veratrin 890; Strychninpolysulfhydrat 893; Brucin 894; Cubeben, Cubebencampher 942; Cubebin 943.

**78:** Identität von Mercurialin mit Methylamin, über einige Mercurialinderivate und Doppelsalze 436; Bildung tertiärer Amine bei der Synthese organischer Säuren 441; Prüfung von Bienenwachs 978, 1087.

**79:** Angelicasäure 642 f.; Reinit (Eisenwolframit) 1196.

**80:** Daturin und Hyoscyamin 991.

**81:** Methylcrotonsäure, Angelicasäure, Methyläthyllessigsäure 721; Calciumdoppelsalz aus Methylcrotonsäure und Isobutylameisensäure 722; Hyocyamin, Atropin, Daturin 948 f.

**83:** Identität von Nonylsäuren verschiedenen Ursprungs 1114; Caffein in entöltm Ocaao und im Trinidadcacao 1332; Caffein gegen Salzsäure: Sarkosin, Salze des Sarkosins, Salze des Caffeins, Theobrominsilber 1334; Caffeinmethylhydroxyd und Derivate 1335 f.; Xanthin gegen Salzsäure 1337.

**84:** Bedeutung der pharmaceutischen Chemie 11; Bemerkung über Daturin (Atropin aus Datura Stramonium) 1386; Untersuchung von Pikrotoxin: Pikrotoxinin, Pikrotoxyd 1399; Pikrotin 1400.

**86:** Äpfelsäure und äpfelsaure Salze aus Bryophyllum und Sem-

pervivum 1348; Untersuchung der Säure  $C_8H_{15}O_2$  aus Colophonium 1355 f.; Identität von Jervasäure mit Chelidonsäure, von Chelidoninsäure mit Äthylbernsteinsäure 1389; Vorkommen von Vanillin in der Asa foetida 1638; Untersuchung von Alkaloiden: Berberin, Chelerythrin, Sanguinarin, Atropin und Hyoscyamin 1721 f.; Verhalten des Cholins 1753 f.

Schmidt (E.) und Berendes (J.), **78:** flüchtige Säure des Crotonöls 717 f.

Schmidt (E.) und Bièdermann (H.), **81:** Caffeinsalze 906 f.; Caffeidin und Salze, Äthylcaffeidin 907.

**83:** Caffeinsalze 1332.

Schmidt (E.) und Court (J.), **83:** Berberin, Hydroberberin, Hydroberberinäthoxyhydrat, Berberin gegen übermangansaures Kalium: Säure  $C_{10}H_{10}O_6 \cdot 2 H_2O$  (Hempinsäure?) 1352.

Schmidt (E.) und Löwenhardt (E.), **81:** Pikrotoxin und Derivate 978 f.

Schmidt (E.) und Prefsler (H.), **83:** Theobromin gegen Salzsäure 1334; Theobromin und Salze, Caffein aus Theobromin, Theobromin und Caffein gegen Salpetersäure 1335.

Schmidt (E.) und Römer (H.), **83:** freie kohlenstoffreiche Fettsäuren in pflanzlichen Fetten 1420.

Schmidt (E.) und Sachtleben (R.), **77:** Isopropyllessigsäure, Valerolactid 712.

**78:** Isobutylameisensäure 713 f.

Schmidt (E.) und Schilling (E.), **85:** Caffeinmethylhydroxyd und dessen Spaltungsproducte: Allocaffein (Methylapocaffein), Methylcaffursäure 1689.

**86:** Zersetzung von Caffeinmethylhydroxyd 1700.

Schmidt (E.) und Sasse (O.), **86:** Vorkommen von Angelika- und Methylcrotonsäure in der Sumbulwurzel 1356.

Schmidt (E.) und Wilhelm (F.), **86:** Untersuchung des Hydrastins 1726 f.

Schmidt (Ed.), **85:** Zucker- und Säurebestimmungen im Moste 1974.

Schmidt (Em.), siehe Claus (Ad.).

Schmidt (E. B.), **78:** Darstellung von Monochlorbenzol durch Einwir-

- kung von Chlorschwefel ( $\text{Cl}_2\text{S}_2$ ) auf Benzol 384, von Phenyldisulfid, Phenylsulfhydrat, Phenylmonosulfid und Phenylendisulfid 385; Einwirkung der Halogenschwefelverbindungen auf Anilin und des Chlorschwefels auf Acetanilid 460 f.; Formeln des Pseudodithioanilins und des Dithioanilins 461.
- Schmidt (F.) und Hänsch, **84**: polarimetrische Messungen 299 f.; Verbesserungen an Polarisationsapparaten 1686.
- Schmidt (F.) und Tollens (B.), **80**: Fettbestimmung in der Milch 1232.
- Schmidt (F. W.), **85**: Analyse einiger Gesteinsarten 1923.
- Schmidt (G.), **79**: Verhältnisse von Molekulargewicht und Dichte in Gasform 12.
- 84**: Einwirkung von Chromsäure resp. übermangansaurem Kali und Essigsäureanhydrid auf Isatonsäure 897 f.; siehe Pampel (O.).
- Schmidt (G. A.), **79**: Mononitrophenanthrene 397 f.; Amidophenanthrene 398 f.
- Schmidt (H.), **79**: Essigsäure-Glycerinäther 599 f.
- 83**: spezifisches Gewicht von Uranylverbindungen, vom chroms. Kalium-Quecksilbercyanid 51; Herstellung von Dampfchromgelb, von Orange 1787.
- 84**: Fixirung von Persulfocyan (Kanarin) auf Baumwolle 1852 f.
- 86**: Titirung der Wolfraumsäure 1943; siehe Goldschmidt (H.); siehe Schultz (G.).
- Schmidt (H.) und Schultz (G.), **78**: Nitrirung von p-Diphenylbenzol 403; Amidverbindungen des Diphenyls 475 f.
- 79**:  $\delta$ -Diamidodiphenyl 443 f.; Azo- und Hydrazobenzol 462 f.;  $\gamma$ - und  $\delta$ -Diphenol 535 f.
- 80**: Diphenylbenzole 457 f.; Benzerythren 459; Triphenylen 460.
- Schmidt (J. G.), **80**: Furfuracrolein 703 f.
- 81**: Furfuracroleinaldehyd 600; Aceton gegen Furfurol und Benzaldehyd 625; Aldehyde (Zucker, Alkohole) gegen Fuchsinchwefelsäure 1205.
- Schmidt (M.), **77**: Drehung des Rohrzuckers 188; siehe Leuckart (B.).
- Schmidt (M. v.), **78**: Brom gegen phenoldisulfosaures Kalium 544 f., 847 f.; siehe Barth (L.); siehe Benedikt (B.); siehe Goldschmidt (G.); siehe Weidel (H.).
- Schmidt (O.), siehe Claus (A.).
- Schmidt (W.), **81**: Mono- und Dichloräthylidenurethan, Chlorkohlensäureäther gegen Aldehydammoniak 332; siehe Nencki (M.).
- Schmidt (W. B.), **81**: Einwirkung der schwefligen Säure auf Gesteine 1417.
- Schmidt-Mülheim (A.), **80**: Pepton 1043 f.; Eiweiß und Peptone in Verdauungsflüssigkeiten 1234.
- 82**: Eiweißkörper der Kuhmilch; Pepton aus Casein 1209; Käsebereitung 1210; Nichtbildung des Caseins aus Albumin 1210 f.; fadenziehende Milch, schleimige und Mannitgährung 1211 f.
- 83**: Milchsecretion 1460 f.; Untersuchung der Milch auf stickstoffhaltige Körper (Harnstoff, Lecithin), Vorkommen von Cholesterin in der Kuhmilch 1461; Bestimmung der Trockensubstanz in der Milch 1461 f.; Stickstoffgehalt der Milch, Vorkommen von Pepton, Harnstoff, Lecithin, Hypoxanthin und Cholesterin in derselben 1645.
- 84**: Bestimmung der Trockensubstanz in der Milch 1671.
- Schmiedeberg (O.), **77**: Paranaulkrystalle, Vitellin 916.
- 79**: Sinistrin 848 f.
- 81**: Oxydationen, Spaltungen und Synthesen im Thierkörper 1034 f.
- 82**: Neriin, Oleandrin, Neriantin, Neriantogenin aus Nerium Oleander 1174 f.; Apocynin, Apocynin aus Apocynum cannabinum 1175; Wirkung der dem Digitalin ähnlichen Körper 1228.
- 86**: pharmakologische Wirkungen und therapeutische Anwendung einiger Carbaminsäureester 1864; siehe Bunge (G.).
- Schmiedeberg (O.) und Meyer (H.), **79**: Stoffwechselproducte nach Campherfütterung 986 f.
- Schmieder (J.), **83**: Extractum secalis cornuti (Mutterkornextract) 1415 f.
- 86**: Untersuchung des Polyporus officinalis: Agaricool, Agaricussäure u. s. w. 1823 ff.

- Schmitt (C.), **83**: Schaumweinanalysen 1629.
- Schmitt (C.) und Cobenzl (A.), **84**: Verhalten mehrbasischer Fettsäuren (Schleimsäure) in der Hitze 1074.
- Schmitt (C.), Cobenzl (A.) und Rosenheck (J.), **84**: Untersuchung von Gallisin und Derivaten 1406 f.
- Schmitt (C.) und Hiepe (C.), **82**: Bestimmung organischer Säuren im Wein 1330 f.
- Schmitt (Ch. E.), **84**: Bestimmung freier Fettsäuren in Oelen 1668 f.
- 85**: Zusammensetzung von Kuh-, Ziegen- und Schafbutter 2136.
- Schmitt (E.), **80**: wirksame Bestandtheile des Mutterkorns 999.
- Schmitt (M. N.), **84**: Herstellung von Silberglanz auf Flaschen 1753.
- Schmitt (R.), **78**: Einwirkung von Chlorkalk auf salzsaures Anilin 494 f.; Verhalten von o-Amidophenol und p-Toluidin gegen Chlorkalk 505.
- 82**: Apparat zum Auffangen und Messen der Gase 1347.
- 85**: Vorgänge bei der Kolbeschen Salicylsäuresynthese 1474 bis 1476: äthylkohlen. Natron gegen Phenol, phenylkohlen. Natron 1475 f.; Gewinnung von Salicylsäure durch Erhitzen von Alkali- und Erdalkalisalzen der sauren Phenylkohlen-säure-ester 2097; Darstellung von Carbo-naphtolsäuren (Oxynaphtoësäuren) 2098.
- Schmitt (R.) und Andreä, **79**: p-Amidochlorphenol 462.
- Schmitt (R.) und Andresen (M.), **81**: p-Amidophenol gegen Chlorkalk (Tri- und Tetrachlorchinon, Di- und Trichloramidophenol), Trichlorchinonchlorimid 545; Trichlorchinonchlorimid, Derivate 639 f.; Trichlorchinon gegen Anilin 640.
- Schmitt (R.) und Goldberg, **79**: Alkohol gegen Chlorkalk 489.
- Schmitt (R.) und Mittenzwey (O.), **78**: Verhalten von Diazosalicylsäure gegen Mercaptan 483.
- Schmitt (R.) und Möhlau (R.), **78**: Einwirkung von Reduktionsmitteln auf Nitrophenetole 502 f.
- Schmitt (R.) und Römcke, **79**: Chlorchinonimid aus Paramidophenetol 515 f.
- Schmitt (R.) und Siepermann, **79**: Azoverbindungen gegen Salz-säure 462; Chinon aus Paramidophenetol 515 f.
- Schmitz, **77**: Diphenylenmethan = Fluoren 383.
- Schmitz (A.), **78**: Phenylbenzoesäure 814 f.; siehe Fittig (R.).
- 80**: gallirte Weine gegen den Organismus 1122.
- Schmitz (H. J.), **78**: Substitutions-derivate der Mesitylsäure 792 f.
- Schmitz (S.), **84**: Trockenrohr für Elementaranalysen 1607.
- 86**: Bestimmung des Stickstoffs in Steinkohle und Coke 1915.
- Schmöger (M.), **79**: Isoäpfelsäure 637; Kohlensäureersatz 886 f.
- 80**: Milchzucker, optisches Verhalten, Halbro-tation, wasserfreier Milchzucker 1023.
- 81**: Isoäpfelsäure 713; Birotation des Milchzuckers 984.
- 83**: Milchuntersuchung 1462.
- 84**: Bestimmung der Trockensubstanz in der Milch 1671.
- 85**: Bestimmung des Milchzuckers in der Milch 1987; siehe Kühn (G.).
- Schmulewitsch (J.), **80**: Verdauungssäfte und Rohfaser 1120.
- Schnabel, **82**: Bindung von schwefliger Säure durch Zinkoxyd 1394.
- Schnabel (C.), **78**: Gutmachung der silberhaltigen Oxyde aus der Entsilberung des Werkbleies 1111.
- Schnacke (A.), **77**: Saccharometer 1099.
- Schnapp (H.), **77**: Diäthyl- $\beta$ -oxybuttersäure 718.
- 80**: Diäthyl- $\beta$ -oxybuttersäure 823.
- Schnappauf (E.), **86**:  $\beta$ -Cumidinsäure 1475 f.;  $\alpha$ -Cumidinsäure 1476; siehe Jacobsen (O.).
- Schnaus, **77**: photographische Tonbäder 1248.
- Schnaafs (J.), **77**: Chromsäure, Wiedergewinnung 1155; Kohledruck 1246.
- Schneebeli (H.), **82**: Luftthermometer 1349.
- 83**: Luftthermometer 113, 1654.
- 85**: Versuche über den absoluten Reibungscoefficienten der Luft 68 f.
- Schneegans, siehe Fittig (R.).
- Schneegans (A.), **85**: Condensation der Fetaldehyd (Oenanth-, Valeraldehyd) mit einbasischen Säuren nach der Perkin'schen Reaction 1923 bis 1925: Nonylsäure, Monobromnonylsäure, Octylensäure 1923; He-

- xylparaconsäure, Hexaitamalsäure, Decylensäure, Decyllacton (Hexylbutyrolacton) 1324; Bromdecylsäure (Bromcaprinsäure), Oxydecylsäure 1325.
- Schneider (A.), **81**: Aconitin 956.
- Schneider (C.), **77**: Aräometer 47.
- 84**: Aufnahme von Blei durch Leitungswasser 1716 f.
- Schneider (C. W. T.), siehe Paal (C.).
- Schneider (E.), **80**: Polarisationsmikroskop 1242; siehe Claus (Ad.).
- Schneider (E. v.), **82**: Analyse des Diabasporphyrts von Kusel 1807.
- Schneider (E. A.), **86**: Einwirkung von concentrirter Schwefelsäure auf p-Hydrazintoluol-o- und -m-sulfosäure 1552; Trennung der p-Toluidinsulfosäuren 1971.
- Schneider (G. H.), **80**: Umkehrung der Rotationsrichtung der Aepfelsäure 216 f.
- 81**: Drehungsvermögen der Aepfelsäure und ihrer Salze 142.
- Schneider (J.), siehe Röntgen (M. C.).
- Schneider (L.), **81**: Bestimmung des Zinks in Erzen 1191.
- 84**: Analyse von Salzen aus Meerwasser 2031; siehe Lipp (F.).
- 85**: Verhalten von Wolframstahl gegen Reagentien 2029 f.
- 86**: Analyse eines Antimon-Regulus, von Werkblei, von Hochofenschlacke 2025; chemische Bindung des Phosphors im Roheisen (Phosphoreisen, Phosphormangan) 2026 f.; siehe Priwoznik (E.).
- Schneider (L.), Lipp (F.) und Peterson (H.), **86**: Analyse von Graphit 2025 f.
- Schneider (L.) und Peterson (H.), **86**: Analyse von grauem Roheisen 2024.
- Schneider (R.), **78**: Atomgewicht des Antimons 9, 295.
- 79**: Verhalten des arsenhaltigen Wismuths gegen Salpetersäure, Darstellung arsenfreier Wismuthsalze 282 f.
- 80**: Atomgewicht des Antimons 5, 334.
- 81**: Arsensulfodiod 197 f.; Silbergehalt des käuflichen Wismuths 273 f.
- 84**: Atomgewicht des Wismuths 54; Untersuchung über das Schicksal des Caffeins und Theobromins im Thierkörper und über den Nachweis des Morphins im Harn 1498 f.; Nachweis von Morphinum im Harn 1632; Nachweis von Caffein und Theobromin und ihre Schicksale im Thierkörper 1638 f.
- 85**: Verhalten von Cyansilber gegen Schwefelchlorür: Einfach- und Dreifachschwefelcyan 610 f.; Fällung des Chlor-, Brom- und Jodsilbers bei Gegenwart von Antimonoxyd und Weinsäure 1904.
- 86**: Verhalten von Schwefelarsen gegen Jodarsen und Jod: Arsenjodosulfuret 367 f.
- Schnell (A.), **84**: Untersuchung von m-Mononitromethylsalicylaldehyd und Derivaten 1044 f.; m-Mononitro-o-methoxyzimmtsäure, m-Amido-o-methoxyzimmtsäure: m-Oxy-o-methoxyzimmtsäure 1044; m-Methoxy-o-methoxyzimmtsäure 1045.
- 86**: Derivate des Mononitromethylsalicylsäurealdehyds 1635.
- Schnell (P.), **80**: Quellwasser 1528.
- Schnetzler, **78**: Anwendung von Borax für pflanzenphysiologische Untersuchungen 952.
- 80**: Pflanzenfarben 1058.
- Schnetzler (J. B.), **77**: Pflanzenfarbstoffe 925.
- 79**: Tannin in Pflanzenzellen 906.
- 80**: Essigmutter und Weinblumen 1132.
- 82**: Diffusion der Bakterien 1248.
- 84**: Untersuchung der antiseptischen Eigenschaften der Ameisensäure 1524.
- Schniter, **86**: Gebrauch des Nitrometers 1916.
- Schnutz, siehe Claus (A.).
- Schober (J.), **80**: Gasgebläselampe 1242.
- 81**: Gasbrenner, Stativ 1237.
- 84**: Gasbrenner mit Selbstverschluss 1685.
- 86**: Verbesserung an Verbrennungsöfen 2009.
- Schober (J. B.), **78**: volumetrische Zinkbestimmung 1063 f.
- 81**: Eisenerze von Amberg 1363; Vivianit, Kakoxen 1377.
- Schober (J. B.) und Mayer, **81**: Eisenspath 1369.
- Schobig (E.), siehe Wurster (C.).
- Schoch (R.), siehe Lunge (G.).

Schöffel (R.), **79**: Chrom in Stahl und Eisenlegirungen 1047.

**80**: Chrom und Wolfram in Stahl und Eisenlegirungen 1179.

Schöffel (R.) und Donath (Ed.), **83**: volumetrische Bestimmung des Mangans in Eisen und Stahl 1587 f. Schoellkopf, **86**: rothe und gelbe Farbstoffe aus Naphtoldisulfosäure 2205.

Schönach (J.), **80**: Löslichkeitsverhältnisse eines Gemisches von Chlornatrium und Chlorkalium 75.

Schönbein und Leeds, **85**: Bildung von Ozon 374.

Schöne, siehe Meyer (E. v.).

Schöne, **78**: Verhalten des Ozons zu Thalliumoxydul 196.

Schöne (C.), **85**: Untersuchung des Chlorcarbonylsulfoamyls 1203 bis 1205: Aether  $\text{CO}=[-\text{SCH}_2, -\text{SC}_2\text{H}_5]$ , Chlorkohlensäureamyläther, Amidocarbonylsulfoamyl 1203; Phenylamidocarbonyl-, Uramidocarbonylsulfoamyl, Acetyluramidocarbonylsulfoamyl, Phenylsulfuramidocarbonylsulfoamyl, Diphenylsulfuramidocarbonylsulfoamyl 1204; Verhalten von Amidocarbonylsulfoamyl, Phenylamidocarbonylsulfoamyl, Uramido- und Diphenylsulfuramidocarbonylsulfoamyl gegen salpeters. Silber, Quecksilberchlorid, Platinchlorid 1205.

Schöne (E.), **78**: Wasserstoffhyperoxyd 197 f.

**79**: Wasserstoffhyperoxyd gegen Jodkalium 194 f., gegen die Sauerstoffverbindungen des Thalliums, Mangans, Bleies 198 f.; gegen Ozon und Chlor 199, gegen den galvanischen Strom 199 f.; Jahresperiode des Gehaltes der Luft an Wasserstoffsuperoxyddampf 202; quantitative Bestimmung des Wasserstoffsupperoxyds 1030.

**80**: Ozonvorkommen in der Atmosphäre 244 f.; Ozonometrie 245 f.; Katalyse des Wasserstoffsupperoxyds durch Alkalien und Jodkalium 253 f.

**81**: Wasserstoffsupperoxyd 159 f.

Schöne (E.) und Grigorieff, **81**: Baryumhyperoxydhydrat 205.

Schöne (H.), **84**: Darstellung von Chlorcarbonylsulfoamyl 937 f.; Amidocarbonylsulfoamyl, Anilidocarbonylsulfoamyl 938.

**85**: Chlorcarbonylsulfamyl und seine Einwirkung auf stickstoffhal-

tige Verbindungen 1325 bis 1328: Aether  $\text{CO}=(\text{SCH}_2, \text{SC}_2\text{H}_5)$ , Aether  $\text{CO}=(\text{SC}_2\text{H}_5, \text{OC}_2\text{H}_5)$ , Chlorcarbonyloxyamyl, Amidocarbonylsulfamyl 1326; Phenylamidocarbonylsulfamyl, Uramidocarbonylsulfamyl und Acetyl-derivat 1327; Phenylsulfuramidocarbonylsulfamyl, Diphenylsulfuramidocarbonylsulfamyl, Diphenylguanidin 1328.

Schönfeld (F.), siehe Anschütz (R.).

Schönfeld (J.), siehe Knerr (E. B.).

Schönfeld (P.) und Beckurts (H.),

**83**: Nachweis von Blausäure oder Cyankalium neben nicht giftigen Doppelcyaniden 1595, von Quecksilbercyanid neben Ferrocyanalkalium 1595 f.

Schönn (J. L.), **79**: Absorption des Lichtes durch Flüssigkeiten 149.

**80**: ultraviolette Strahlen 212 f.

Schöpf (M.), **85**: Darstellung von m-Nitrobenzenylamidoxim und Derivaten 1121 bis 1125: m-Nitrobenzenylamidoximäthyläther 1121; m-Nitrobenzenylamidoximbenzyläther, m-Nitrobenzenylazoximäthenyl, m-Nitrobenzenylazoximbenzenyl 1122; m-Amidobenzylamidoxim, m-Nitrobenzenylazoximbenzenyl, m-Amidobenzylazoximbenzenyl 1123; m-Oxybenzenylazoximbenzenyl, m-Diazobenzylazoximbenzenylchlorid, m-Oxybenzenylazoximbenzenyläthyläther 1124; m-Nitrobenzenylamidoximkohlensäure-Aethyläther 1125.

**86**: m-Mononitrobenzenylamidoxim 1099.

Schoetensack, siehe Hofmann.

Scholvien (A.), **84**: Reinigung der Zucker-Mutterlauge durch Osmose 1792.

Scholvien (L.), **84**: Darstellung von Knallnatrium und zweier Säuren aus Knallquecksilber, Einwirkung von Jodäthyl, Schwefelkalium, salza. Anilin auf Knallsilber, Einwirkung von Schwefelharnstoff auf Knallquecksilber 482.

**85**: Zersetzung von Knallnatrium durch Schwefelsäure: Isocyanursäure und Salze 597 f.;  $\beta$ -Isofulminursäure, Isocyanilsäure 598 f.; Knallquecksilber gegen Schwefelharnstoff 600.

Scholz, **80**: Platincyandoppelverbindungen 1395; siehe Przibram.

- Scholz (M.), **84**: Untersuchung von Gasexhalationen 2030.
- Scholz (R.), **81**: Platincyandoppelverbindungen 320 f.
- Schoonmaker (W. D.) und van Mater (J. A.), **81**: p-Monobrom- $\beta$ -dinitrobenzol, p-Dibrombenzol, isomeres Dibrommononitrobenzol 541.
- Schoop (P.), **80**: Dimethylanilin gegen Aethylenbromür und Acetylen-tetrabromür 532 f.
- 81**: Aenderung der Dampfdichten bei variablem Druck (Ameisen-, Essigsäure- und Propionsäure-Aether) 64; Sulfoterephthalsäure 886 f.; Sulfoterephthalsäureamid 887.
- 85**: Fuchsinfabrikation 2221.
- 86**: spektroskopische Untersuchung von Theerfarbstoffen 1988; Apparat zur quantitativen Spectralanalyse 2007 f.; Gewinnung von Arsensäure 2050; siehe Loeblisch (W. F.).
- Schoor (W. K. J.), **77**: Kupferhydrür 273.
- 83**: Bildung von Cyanwasserstoff-säure (Pfeffermünzessenz) 469.
- 84**: Umwandlung von Dextrin in Glycose 1408.
- Schopp (P.), siehe Hell (C.).
- Schorlemmer (C. S.), **77**: Brom gegen normales Hexan und normales Heptan 400; Heptylalkohol (Methyl-nor-pentylcarbinol) 530; Methyl-butylcarbinol 535; Oenanthylsäure 720.
- 79**: Hexylen 361.
- 81**: Aethylenchlorid aus Glycol 504; künstlicher Indigo 1326.
- 83**: Vorkommen von Caffein 1408.
- 85**: Geschichte des Kreosots, Cedriets und Pittakals 1291; siehe Dale (R. S.).
- Schorlemmer (C.) und Thorpe (T. E.), **83**: Untersuchung des Heptans aus Pinus sabiniana 520 f.
- 84**: Heptan aus Pinus sabiniana 523.
- Schorm, **81**: Coniin und Salze 926 f.
- Schorschmidt (F.), **83**: Krystallform aromatischer Perjodide 687 bis 689; Krystallform des Aethyl-diphenylaminazylins 761 f.
- Schott, siehe Wiebe (H. F.).
- Schott (E. A.), **82**: Reinigung des Runkelrübensaftes 1441.
- Schott (F. A.), **84**: Reinigung von Rübensäften 1793 f.
- Schott (O.), **79**: Bestimmung von Jod im Varec 1031.
- 86**: Darstellung milchweisser Gläser 2110.
- Schotten, siehe Baumann.
- Schotten (C.), **78**: Derivate des p-Homosalicylaldehyds 622 f.
- 82**: Zersetzung von Methylamyl-, Methylbenzyl-, Dimethylbenzylpiperidinammoniumoxydhydrat in der Wärme 1083 f.; Piperilen, Methylamyl-, Methylbenzyl-, Benzyl-dimethylpiperylammoniumjodid, Methylamylpiperidin, Benzylpiperidin, Methylbenzylpiperidin, Nitrosopiperidin 1084; Piperylurethan 1084 f.; Acetyl-, Oxalylpiperidin, Amylpiperidin, Dibrompiperidin 1085; Conylurethan aus Coniin 1091 f.; Verhalten des Tyrosins und aromatischer Oxy Säuren (Hydroparacumarsäure u. s. w.) im Organismus 1214 f.
- 83**: Piperidinsäure aus Piperylurethan 1330; Mononitrodehydro-piperylurethan 1330 f.; Piperylmethylurethan, Mononitrodehydro-piperylmethylurethan, Piperylurethan gegen Brom: Bromhydroxyl-Bromdehydro-piperylurethan und Dibrompyridin 1331; Quelle der Hippursäure im Thierkörper 1469; flüchtige Säuren des Pferdeharns, Verhalten der flüchtigen Fettsäuren im Organismus (Damolsäure, Damalursäure) 1480.
- 84**: Oxydation von Benzoylpiperidin: Benzoylhomo- und Homopiperidinsäure 1367.
- 86**: Gallensäuren 1848; siehe Tiemann (F.).
- Schotten (C.) und Baum (J.), **84**: Oxydation von Benzoylconiin: Benzoylhomoconiinsäure 1368.
- Schottky (A.), **81**: Bestimmung der assimilirbaren Phosphorsäure 1170.
- Schottländer (P.), **83**: Verbindungen des Goldes (Aurylverbindungen) 425 bis 436.
- 84**: Derivate des Salpetersäure-Goldtrioxydnitrats (Diaurodiamin, Goldnitrid) 452 bis 455.
- Schoumoff (C.), siehe Simanowsky (N.).
- Schrader (E.), **80**: Bieranalyse 1226.
- Schrader (E.) und Dumcke (O.), **77**: Bleichen von Lacken und Oelen 1148.
- Schrader (L.), siehe Ladenburg (A.)

Schrage (F.), **78**: Chinaalkaloide 875.  
 Schramm (C.), **83**: organische Hydroxylaminderivate 627 f.; Aethyl-methylacetoximsäure aus Isonitroso-methylacetone, Methylpropylacetoximsäure aus Isonitrosoäthylacetone, Methylbenzylacetoximsäure aus Isonitrosobenzylacetone 976.

Schramm (J.), **83**: Untersuchung der Salze von Kalusz (Vorkommen von Thallium) 11; Einwirkung von Brom auf aromatische Kohlenwasserstoffe (Amyl-, Isoamyl- und Hexylbenzol) 548 f.; Methyläthylketone gegen Natrium: Methyläthylpinakon, Propion gegen saures schwefligsaures Natrium, gegen Soda und Natrium: Propiopinakon 980.

**84**: Einwirkung von Brom auf p-Monobromtoluol, Bildung von p-Monobrombenzylbromid, Bildung desselben aus Brom und Toluol 577.

**85**: Bildung von Bromverbindungen der aromatischen Reihe mittelst des Lichtes 727 ff.

**86**: Einfluss des Lichtes bei der Einwirkung der Halogene auf aromatische Verbindungen: Bromirung des Mesitylens 643 f., des Pseudocumols 644; Analyse von Hälleflinta 2305; siehe Radziszewski (Br.).

Schraube, siehe Caro.

Schraube (C.), siehe Baeyer (A.); siehe Fez (W.).

Schrauf (A.), **77**: Symmetrieverhältnisse von Krystallen 179; Brookit 1278; Kalkspath 1288; Lanarkit 1295; Szmikit, Ihleit 1296; Gismondin 1332; Chloropal (Nontronit) 1338.

**78**: Atlas der Krystallformen 1197; Tellurerze Siebenbürgens 1203 f.

**79**: Feuerblende, Bittergerit 1185; Trombolithanalyse 1190; Phosphorkupfer 1198 f.; Krystallform von Libethenit 1199 f.; Veszelyit 1200; Kelypit 1215; Eggonit 1236 f.

**80**: Bismuthit 1421; Pharmakolith 1430; Wapplerit, Mixit 1431.

**82**: Krystallform des Diäthylanilin-Azylins und Dipropylanilin-Azylins 509; Krystallform des Dipropylanilinazylins 581; Uranothallit neben Liebigit 1537; Schuchardt (Chrysopraserde) von Frankenstein 1554; Meerschaum 1555; paragenetische Studien über das Serpentinegebiet von Budweis 1592 ff.; Kelyphit, Para-

chlorit, Enophit, Lernilith, Silicophite 1593 f.; Contactproducte zwischen Serpentin und Granulith, Hydrobiotit, Berlaut 1595.

**83**: Krystallform des Diäthylanilinazylins, des chlorwasserstoffsäuren Diäthylanilinazylins-Platinchlorids 754, des Diäthylanilinazylin-perjodids 755, des Mononitrodiäthylanilins 756, des chlorwasserstoffsäuren Diäthyl-p-phenylendiamin-Platinchlorids 757, des Tetraäthyl-p-phenylendiamins 758 f., des Chloroplatinates des Tetraäthyl-p-phenylendiamins 759; Analyse des Damburits von Scopi, Graubündten 1881 f.; chromhaltiger Augit von Jan Mayen 1890; krystallographische Untersuchung einer Hornblende von Jan Mayen 1892.

**84**: Dispersionsäquivalent des Diamanten 299; vergleichende morphologische Studien über die axiale Lagerung der Atome in Krystallen 465; Trimorphie des Titandioxyds 1916; Untersuchung von Lunnet 1948, von Kelyphit 1955 f.; thermische Untersuchung von Hornblende 1969 f.

**85**: Krystallform von Benzol-Nitrosodimethylanilincyanhydrin 622.

**86**: thermische Ausdehnungscoefficienten des prismatischen Schwefels 40 f.; thermische Constanten des rhombischen Schwefels 207; Dispersionsäquivalent des Schwefels 298 f.; thermische Constanten des Schwefels 2222.

Schreder (J.), **78**: Fluoresceincarbon-säure 835 f.; Fluorescein 836.

**80**: Oxychinon (Hexaoxydiphenyloxyd) 742 f.

**85**: Constitution der Isouvitinsäure als Homo-o-phthalsäure 1522; siehe Barth (L.).

Schreib (H.), **80**: Chlorbenz-p-toluidid 840 f.

**86**: Verbesserung beim Ammoniaksodaproceß (Apparat) 2054 f.

Schreiner (L.), **79**: spezifische Gewichte von Ester und Aetherester der Oxyssäuren 46 f.; Siedepunkte der Ester und Aetherester der Oxyssäuren 56 f.

**80**: Metamerie organischer Verbindungen 378 f.; Amine gegen Chlorkohlensäureäther 501; Kohlensäureäther 592.

- 84:** Siedepunkte der Aetherester der Glycolsäure und Salicylsäure 194; siehe Damm (G.).
- Schreiner (Ph.), **78:** Charkot'sche Krystalle 1003 f.
- Schreiner (R.), **78:** Schwefelwasserstoff in gekochter Milch 1145.
- Schreiter, **80:** Zucker im Harn 1117.
- Schrodt (M.), **84:** Untersuchung der „Wasserstoffsäure“ eines Conservierungsmittels für Milch und Butter 1784; siehe Weiske (H.).
- Schrodt (M.) und Hansen (H.), **84:** Analysen von Kuhmilch 1779.
- Schröckinger (J. v.), **77:** Szmikit 1295.
- 78:** Dietrich 1226; Posepny, Muckit und Neudorff 1278 f.; Quelle bei Brux 1301; Eisensau von Elbogen 1316.
- Schröckinger (J. v.) und Dietrich, **77:** Sphärosiderite 1289.
- Schröder, **83:** Bildung der Zinnerzgänge im Turmalingranit, sächsisches Erzgebirge, Glimmeranalyse 1923.
- 85:** Nachweis von Glycyrrhizin in *Myrrhis odorata* 1804.
- 86:** Bestimmung des Tannins 1968.
- Schröder (E.), **84:** Apparat zur Erzeugung gleich dicker Metallschichten 1697.
- Schröder (G.), **84:** Apparat zur Bestimmung der Contraction der Milch 1671 f.
- Schröder (H.), **77:** Volumconstitution fester Körper, Dichte von Silbersalzen 40.
- 78:** Sterengesetz 26.
- 79:** Volumconstitution 31; spezifische Gewichte anorganischer Körper 31 f.; Dichtigkeiten organischer Körper 35.
- 80:** Volumconstitution der Sulfate, Chromate und Selenate 14; Dichten fester organischer Verbindungen 14 f.; Volumconstitution flüssiger Verbindungen 22.
- 81:** Dichte und Volumconstitution von ameisens. Salzen 28 ff., von essigs. Salzen 30 ff., von festen Kohlenwasserstoffen 32; Volumconstitution flüssiger Verbindungen 32; Molekularrefraction und Volumconstitution 115.
- 82:** Volumconstitution flüssiger Verbindungen, Sterengesetz 31 f.; Abhängigkeit der Molekularrefraction flüssiger Verbindungen von ihrer chemischen Constitution 174 ff.
- 83:** Vergleichung der Siedepunkte von Ketonen mit denen der entsprechenden Ester und Chloranhydride 131; Abhängigkeit der Molekularrefraction flüssiger Verbindungen von ihrer chemischen Constitution 239.
- Schröder (J.), **79:** saure Gase der Fabriken gegen die Vegetation 1089.
- 80:** Wirkung der schwefligen Säure auf die Pflanzen 1051 f.
- 86:** spezifische Gewichte des Quecksilbersublimats in Wasser und in Alkohol 469 f.; siehe Counciler (C.).
- Schroeder (J. v.) und Reufs (C.), **84:** Beschädigung der Vegetation durch Rauch 1695.
- Schröder (M.), **82:** Thalliumpapier als Indicator bei Zinktitrungen 1294.
- 83:** Einwirkung von Kohlenoxyd auf Phenolnatrium und Natriumäthylat in Gegenwart von Salzen: Aethylphenyl-, Aethylbutenylphenyl-, Essigsäure, Dibutylzimmtsäure 841 bis 843; siehe Hänisch (E.).
- Schröder (M.) und Lauer (Ch.), **84:** Kohlensäureentwicklungsapparate 1691.
- Schröder (V.), **84:** Einwirkung von Acetyl- und Benzoylchlorid auf Benzylidenphenylhydrazin 870 f.: Monoacetylbenzylidenphenylhydrazin; m-Mononitrobenzylidenphenylhydrazin 870.
- Schröder (W.), **78:** Uebergang von Ammoniak in Harnsäure im Organismus des Huhnes 993.
- 79:** Stickstoffbestimmung im Harn 990, 1079, 1082.
- 81:** Sicherheitslampen 1236.
- Schröder (W. v.), **79:** Hippursäurebildung im Organismus des Schafes 979 f.; Hippursäure im Harn 980.
- 82:** Harnstoffbildung im Organismus 1200.
- 83:** Wirkung der Alkaloide aus der pharmakologischen Gruppe des Morphins 1488; Bestimmung des Harnstoffs im Blute 1640 f.; Modification der Bunsen'schen Harnstoffbestimmungsmethode 1641.



- 84:** physiologische Wirkungen des Pelletierins 1512.
- 85:** Bildung des Harnstoffs in der Leber 1839; Wirkung einiger Gifte auf Askariden 1854.
- Schrölen sack, siehe Hofmann.
- Schroers (C. E.), **86:** Wiedergewinnung von Fettsäuren aus Abwässern der Textilindustrie 2159.
- Schröter (H.), **81:** Wasserstoffzündmaschinen 1235.
- Schröter (B.), **83:** Ichthyol 1494.
- 86:** Ichthyolsulfosäure aus Seefelder Stinköl 2074.
- Schrötter (H.), **79:** Basen des Fuselöls 411.
- 80:** Campher gegen Zinkstaub 729.
- 81:** Essigsäure-Borneoläther 628; Oxyisocampher 629; siehe Gerichten (E. v.).
- Schtscherbakow (A.), **81:** Zinkpropyl, Butyrylchlorid gegen Zinkpropyl: Dipropylcarbinol 890.
- 82:** Zinkpropyl, Zinkpropyl gegen Butyrylchlorid 1047.
- Schubart (L. H.), **86:** p-Homobenzenylamidoxim (aus p-Methylbenzonitril) und Derivate 1102f.; p-Homobenzenylazoxim 1103.
- Schuberg (F.), **83:** Entstehung und Analyse von Kothsteinen 1482f.
- Schubert, **86:** Untersuchung des Scheideschlammes der Melasse und der Zuckersäfte bei Verwendung saurer schwefligsaurer Verbindungen 2126.
- Schubert (B.), **82:** Diaspor und Hydrargillit von Schlesien 1529; Vesuvian von Jordansmühl 1546; Analysen von Prehnit 1567f.
- Schubert (S.), **84:** Verhalten des Stärkekorns beim Erhitzen 1408.
- Schubert (St.), **82:** Diisobutylhydrochinon, Chlor-, Brom- und Nitroderivate 680ff.; siehe Hönig (M.).
- Schuchhardt, **86:** physiologische Eigenschaften des Morphothebains 1714.
- Schucht, **83:** elektrolytische Abscheidung von Metallen als Superoxyde 1512f.; Reduction von Selen- und Tellursalzlösungen durch den galvanischen Strom 1514.
- Schucht (H.), **84:** Elektrolyse von Metallsalzen 267.
- Schucht (L.), **80:** Beiträge zur Elektrolyse 174; elektrolytische Bestimmung von Metallen 1143.
- 83:** elektrolytisches Verhalten von Thallium, Indium, Vanadium, Palladium, Molybdän, Selen und Tellur 222.
- Schudel (B.), **84:** Darstellung von Propylidendipropyläther 934.
- Schüchtermann (H.) und Kocke (E.), **83:** Gewinnung des Natriumdicarbonates im Ammoniak sodaproceß 1692f.
- Schüle, (G.) siehe Hell (C.).
- Schuermann (W. H.), **78:** spec. Gewicht des isobutylschwefels. Baryums 25.
- Schüler (G.), **82:** Dioxyanthracen (Flavol) aus  $\alpha$ -anthrachinondisulfosaurem Natrium 728 ff.
- Schüpphaus (R.), **84:** Darstellung eines zweiten Benzolhexachlorids 575; Bildung eines neuen Dichlortoluols 582; siehe Hübner (H.).
- Schütt (F.), **83:** p-Monobrom-o-amidophenol aus p-Monobrom-o-nitrophenol 903f.
- 85:** Reduction von p-Monobrom-o-nitrophenol zu p-Monobrom-o-amidophenol, Reduction des p-Monobrom-o-o-nitrophenolbenzyläthers 1240.
- Schütz (E.), **85:** Bestimmung der relativen Pepsinmenge 1991f.; Verhältniß der Peptonmengen zu den Pepsinmengen 1992.
- 86:** Wirkungen mehrerer Arzneistoffe auf die Magenbewegung 1864.
- Schütz (J. v.), **78:** Hartgufa 1105.
- Schütze (R.), **86:** Untersuchung des Sauerwassers und der Stärketreiber einer Stärkefabrik 2146f.
- Schützenberger, **82:** anomale Zusammensetzung von Petroleumkohlenwasserstoffen, Benzol und Anilin 4.
- 84:** Untersuchung über die respiratorische Verbrennung 1429.
- Schützenberger (P.), **77:** Jodchloride gegen Wasser 216; Indolin 511; Zersetzungsproducte von Albumin 913.
- 78:** Bedingungen der Entzündung von Gasgemischen 43; über eine allotropische Modification des Kupfers 284f., des Bleies 285f.; Verhalten von Schafwolle, Ziegenhaaren, Menschenhaaren 938; Nachweis des Anthrachinons 1079; Constitution der Wolle 1175.
- 79:** Stickstoffsilicium 231f.; allotropische Modification des Kupfers

- 275; essigsäures Chlor und Jod 597 f.; Eiweißkörper 869.
- 81:** unterschwefligsaures (hydro-schwefligsaures) Natrium 161 f.; carboglycons. Ammonium 938 f.
- 84:** durch Diffusion entstandene Gasverbindungen mit festen Körpern (Occlusionsphänomen) 150 f.; Legirung von Platin und Zinn 459.
- 85:** Untersuchungen über Eiweißkörper, Constitution des Leuceins, Zersetzung des Eiweißes durch Barythydrat, Proteinsäure und Glucoprotein 1779.
- 86:** Zersetzung des Osseins 1795.
- Schützenberger (P.) und Colson (A.), **81:** Verbindung des Siliciums mit Kohlenstoff 202 f.; Stickstoff-carbosilicium 203.
- 82:** Platin-silicium, Stickstoff-silicium 260 f.
- Schützenberger (P.) und Destrem (A.), **79:** Zusammensetzung von Bierhefe 1005 f.
- Schützenberger (P.) und Jonine (N.) **80:** Kohlenwasserstoffe im kaukasischen Petroleum 435.
- Schütz (E.), **77:** Atropa belladonna 945.
- Schuhmacher (E.), **78:** Wachstum der Quarzkrystalle 1213 f.; Vesuviananalyse 1238; Plagioklasanalyse 1267.
- 84:** Krystallform des Desoxal-säureäthers 1140 f.
- Schuhmeister (J.), **77:** Wärmeleitung von Seide, Wolle und Baumwolle 1230.
- 78:** Untersuchung der Wärmeleitung von Baumwolle, Schafwolle und Seide 76.
- 80:** Diffusion von Salzlösungen 68 f.
- 81:** magnetische und diamagnetische Constanten von Flüssigkeiten und Gasen 108.
- Schuhwirth (E.), **80:** o-Oxybenzenylamidophenylmercaptan 629.
- Schuler (J.), **78:** Ferricyanate (Fericyanate) 330 f.
- 79:** Kobaltidcyanverbindungen 325 f.; siehe Bauer (A.).
- Schulerud (L.), **79:** chromsaure und dichromsaure Salze 254 f.
- 80:** Amide gegen Salzsäure 834 f.; Oxybenzamid 849 f.
- Schulhof (J.), **83:** wetterbeständiger Sprengstoff 1705.
- Schulhof (L.), siehe Goldschmidt (H.).
- Schuller (A.), **81:** Leuchten des Ozons 116; Erhitzung des Eisens 1073; Verbrennungswärme des Wasserstoffs 1082; Quecksilberluftpumpe 1232.
- 82:** Bildungswärme des Wassers 120; Bildung von Wasserstoffsuperoxyd, dessen Einfluss auf die Bestimmung der Bildungswärme des Wassers 120 f.
- 83:** Anwendung der Quecksilberluftpumpe zur Destillation von Elementen und organischen Körpern im Vacuum 131 f.
- 84:** Destillation und Sublimation anorganischer und organischer Körper im Vacuum 1550 f.
- Schuller (A.) und Wartha (V.), **77:** Verbrennungswärme des Wasserstoffs 105.
- Schulte (C.), **82:** Monophenylarsen-oxyd, Monophenylarsenchlorür gegen Schwefelwasserstoff: Phenylarsenmonosulfid, Monophenyldiäthylarsin, Phenylarsenesquisulfid 1068 f.; Phenylarsendisulfid, Dinatriumphenylsulfarseniat 1070; siehe Michaelis (A.).
- Schulte im Hof (J. A.), siehe Claus (Ad.).
- Schulten (A. de), **80:** künstlicher Analcim 1169; Analcim 1466.
- 82:** künstliche Analcim- und Levynkrystalle 1566 f.
- 83:** Doppelverbindungen des Baryumphosphats mit Kaliumphosphat 349.
- 84:** krystallisiertes wasserfreies Aluminiumphosphat 390 f.
- 85:** krystallisiertes Magnesiumphosphat 472 f.
- Schultz, siehe Leonhardt (A.).
- Schultz (A.), **77:** gefärbte Gewebe 1229.
- 80:** antiseptische Wirkung der Salicylsäure 1341 f.
- Schultz (B.), **85:** Untersuchung der Dibrom-p-toluylsäure, der Dibromterephthalsäure und einiger ihrer Salze 1480.
- Schultz (E.), **83:** Tetrinsäure aus Monobrommethylacetessigäther 1090 f.
- Schultz (G.), **77:** Terpentinöl gegen Hitze 377.
- 78:** Bildung von Benzerythren beim Durchleiten von Benzol durch glühende Röhren 383; Darstellung

und Strukturformel der Diphenensäure 396; Strukturformel des Phenanthrens 397.

**79:** Phenanthren, Constitution 379; Diamidodiphenensäure, Phenanthren 381.

**80:** Phenanthren, Derivate, Constitution, Diphenensäure, Derivate, Fluorenderivate 463 f.

**81:** Diphenylbasen (Dijoddiphenyl, b-Monojodbenzoesäure) 471; Diphenylderivate 473; Chlororderivate des Chinons und Hydrochinons 630 f.

**83:** Darstellung des Chinaldins im Großen 1323.

**84:** Chinaldin, Bildung von Hydrochinaldin und hochsiedenden Chinaldinbasen 786; Einwirkung von Diazoverbindungen auf  $\beta$ -Naphtholsulfosäuren 815 f.; Ueberführung der Homologen des Nitrobenzols in Azoverbindungen, Darstellung von Azoxylol, Azomesitylen, o-Azoäthylbenzol, Azobenzol 828; molekulare Umlagerung von Hydrazoverbindungen in Diphenylbasen 845 bis 853; Acetylamidoazobenzol, Acetylamidohydroazobenzol, p-Dichlorazobenzol 846; Dichlordiamidodiphenyl, m-Dichloroxyazobenzol, p-Dibromazobenzol, Dibromdiamidodiphenyl, Benzolazo-p-toluol 847; o-Azotoluol, o-Hydroazotoluol, o-Tolidin 848; Diäthyliditolyläther, Ditolyl, Diphenyldicarbonsäure, Amidoazotoluol 849; unsymmetrisches Azotoluol, o-Toluolazo-m-toluol, p-Tolidin 850; o-Azoäthylbenzol, Diamidodiäthylidiphenyl 851; p-Azoäthylbenzol, m-Azoxylol 852; Azomesitylen, Darstellung von Mononitromesitylen 853; siehe Anschütz (R.); siehe Bender (F.); siehe Erdmann (E.); siehe Japp (F. R.); siehe Knapp (H. v.); siehe Levy (S.); siehe Neuhöffer (G.); siehe Schmidt (H.).

Schultz (G.) und Müller (A. u. O.), **82:** Umlagerung von Hydrazoverbindungen der Benzolreihe in Diphenylbasen 603 f.; Dichlorazobenzole, Ditolyle, Azotoluol, Tolidine, Diamidodiäthylidiphenyl, o- und p-Azoäthylbenzol, Azomesitylen 604 f. Schultz (G.), Schmidt (H.) und Straßer (H.), **81:** Diphenylin ( $\beta$ - und  $\delta$ -Diamidodiphenyl). Dinistro-p-diphenylcarbonensäure 471;

$\delta$ -Diphenol, Base aus p-Dibromdiphenyl, o-Mononitrodiphenyl, o-Monobromdiphenyl 472; Isonitrooxydiphenyl 473.

Schultz (Julius), **77:** Betaïn 694.

Schultz (J. J.), **84:** Gehalt von Coptifolia an Berberin und Coptin 1396.

Schultz (R.), **77:** Trichlortoluolderivate 403; isomere Dichlorbenzoesäuren 730.

Schultze (F.), **78:** Legirungen des Aluminiums 1106.

Schultze (W.), **79:** Maischen 1188.

**80:** Bestimmung des Würze- und Bierextractes 1226 f.; siehe Langer (Th.).

Schultz, **78:** Zuckerraffination 1149.

**80:** Salicylsäure gegen Kupfersulfat 1209.

**85:** Invertzuckerbildung und Bestimmung des Invertzuckers 2142.

Schulz (F.), **78:** Reinigung der Luft von Organismen 1026.

Schulz (H.), **79:** Monophenylarsinsäure und Diphenylarsinsäure als Gifte 995.

**80:** Oxaläthylin, Wirkung 1125.

**81:** Arsenwirkung 1062; Wirkung des salzsauren Oxaläthylins 1065.

**82:** Säurechloride und -bromide gegen Benzochinon und Thymochinon: Mono- und Dichlor-, Mono- und Dibromhydrochinonäther 778 f.; Mono- und Dichlor-, Mono- und Dibromthymohydrochinonäther 779; Zerlegung der Chloride durch Kohlensäure, Sauerstoff im Organismus, Vorgänge im Protoplasma 1199 f.; Theorie der Arsenwirkung 1225 f.; Spectralapparat 1349.

**83:** Oxythymochinon aus Dimethylimidothymochinon, Derivate des Oxythymochinons 1007.

**84:** Giftigkeit der Phosphorsauerstoffverbindungen und Chemismus der Wirkung anorganischer Gifte 1514.

**86:** Wirkung der Mercurialis perennis 1867; siehe Binz (C.).

Schulz (H.) und Mayer (J. Nep.), **82:** Wirkungen der Oxalbasen auf den Thierkörper 1227.

Schulz (H.) und Peiper (E.), **86:** Wirkung des bromwasserstoffsäuren Coniins 1864.

Schulz (L.), **82:** Wirkung des Chlors auf die Haut 1227.

Schulz (O.), **85**: Verhalten von Benzenylamidoxim gegen Ameisen-, Essig-, Propion- und Buttersäure, sowie ihre Chloride und Anhydride 1133 ff.: Bildung von Dibenzenylazoxim, Acetylbenzenylamidoxim 1133; Benzenylazoximäthenyl, Propionylbenzenylamidoxim, Benzenylazoximpropenyl, Butyrylbenzenylamidoxim 1134; Benzenylazoximbutenyl 1134 f.; Einwirkung von Anhydriden zweibasischer organischer Säuren auf Benzenylamidoxim 1135 ff.: Benzenylazoximpropenyl-*o*-carbonsäure, Salze und Aethyläther derselben 1135; Benzenylazoximpropenyl-*ω*-carbonsäureamid, Benzenylazoximbenzenyl-*o*-carbonsäure 1136; Aethyläther und Amid derselben 1137.

**86**: Benzenylazoxime und Benzenylazoximcarbonsäure 1099.

Schulze (A.), **82**: Ausdehnung der wichtigsten Titirflüssigkeiten durch die Wärme 1255.

Schulze (B.), **82**: Fettbildung aus Kohlehydraten im Thierkörper 1186 f.; Fällung von schwefelsaurem Baryum 1267.

**83**: Umwandlung des Asparagins in Asparaginsäure 1082; Einfluss des Bromkaliums auf den Stoffwechsel 1437; siehe Weiske (H.).

Schulze (B.) und Flechsig (E.), **85**: GröÙe der Amidbildung bei der Keimung im Dunkeln 1793 f.

Schulze (C.), **77**: Glasfabrikation 1167; Bodenluft 1173.

Schulze (C.) und Nägeli (E.), **86**: Nachweis der Identität von Phenylamidopropionsäure und Phenylalanin 1456.

Schulze (E.), **77**: Stickstoffbestimmung 1037.

**78**: Bildung von Schwefelsäure beim Keimen 946; Bestimmung organischer Amidverbindungen 1073.

**79**: Drehung des Isocholesterins 168.

**80**: Amidverbindung, Bestimmung 1326.

**81**: Stickstoffverbindungen der Futtermittel 1012.

**82**: Hypoxanthin aus Kartoffelknollen 1158; Zusammensetzung der Cholesterine, Gallenstein-Cholesterin, Isocholesterin 1191; Bestimmung von Amidverbindungen in Pflanzenextracten, Allantoïn aus Platanen-

blättern 1308 f.; Asparagin gegen Mercurinitrat 1309; Bestimmung der Eiweißstoffe und der nicht eiweißartigen Stickstoffverbindungen in Pflanzen 1327.

**83**: Nachweis von Asparagin und Glutamin in Pflanzenstäufen und Pflanzenextracten 1610 f.

**84**: Untersuchung der Amidosäuren aus Eiweißkörpern 1414; analytische Bestimmung des Fuselöles im Spirit 1620 f.; Methoden zur Bestimmung der Amide in Pflanzenextracten 1628 f.; Anwendbarkeit der Schlösing'schen Ammoniakbestimmung bei Pflanzenextracten 1629.

**85**: Zersetzung der Eiweißstoffe durch Salzsäure 1779 f.; Glutaminsäure 1779; Leucin, inactive Glutaminsäure, Drehungsvermögen der activen Säure 1780; Zunahme der Sulfate in keimenden Erbsen 1793; stickstoffhaltige Bestandtheile der Kürbiskeimlinge: Glutamin, Asparagin, Leucin, Tyrosin, Vernin, Xanthinkörper, Ammoniaksalze und Nitrate 1794; Bestimmung des Asparagins und Glutamins 1950.

**86**: quantitative Bestimmung stickstoffhaltiger Pflanzenbestandtheile 1955; siehe Deininger (H.); siehe Meyer (V.); siehe Röse (B.); siehe Wallach (O.).

Schulze (E.) und Barbieri (J.), **77**: Glutaminsäure 712; Glutaminsäure in Kürbiskeimlingen 928.

**78**: Lupinen 930 f.; Vorkommen von Asparaginsäure, Tyrosin und Leucin in den Kürbiskeimlingen 946; Kartoffelknollen 961.

**79**: Lupinen 862; Eiweißzersetzung in Kürbiskeimlingen 891; Untersuchung der Kartoffelknollen 914 f.

**80**: Eiweißstoffe und nicht eiweißartige Stickstoffverbindungen in Pflanzen 1218 f.; Bestimmung des Stickstoffs der krystallinischen Eiweißzersetzungsproducte 1220.

**81**: Peptone der Pflanzen 1001; Phenylamidopropionsäure aus *Lupinus luteus*, Allantoïn in *Platanus orientalis* 1012.

**82**: Allantoïn und Asparagin junger Baumblätter 1148; Cholesterine aus Lupinensamen, Caulosterin 1191.

- 83:** Zersetzung der Eiweißkörper durch Salzsäure und Zinnchlorür: Phenylamidopropionsäure, Producte der Zersetzung der Eiweißstoffe durch Säuren und Alkalien 1377; stickstoffhaltige Bestandtheile der Lupinenkeimlinge: Asparagin, Phenylamidopropionsäure, Amidovaleriansäure, Körper der Xanthingruppe, Lecithin 1396.
- Schulze (E.) und Bossard (E.), **83:** Ermittlung des aus Amididen abspaltbaren Ammoniaks in Pflanzenextracten 1609 f.
- Schulze (E.) und Bofshard (E.), **83:** Glutamin aus dem Saft der Runkelrübe und aus Kürbiskeimlingen 1093, 1402 f.; Untersuchung des Glutamins 1403 f.
- 84:** optisches Verhalten von Amidosäuren (Conglutin, Leucin, Tyrosin, Glutaminsäure) 301 f.
- 85:** Einwirkung von *Penicillium glaucum* auf inactives Leucin und inactive Glutaminsäure 1319 f.; Vorkommen von Glutamin in den Zuckerrüben 1385; Vorkommen von Allantoin, Asparagin, Hypoxanthin und von Guanin in Pflanzen 1798 f.; Darstellung und Eigenschaften von Vernin 1799; Nachweis von Glutamin in der Zuckerrübe 1803 f.
- 86:** Amidosäuren aus Eiweißkörpern 1795.
- Schulze (E.) und Eugster (E.), **82:** Untersuchung der stickstoffhaltigen Bestandtheile der Kartoffelknollen 1158.
- Schulze (E.) und Urich (A.), **77:** Runkelrübe (Glutaminsäureamid) 945; Futterrübe 946; Amide des Rübensaftes 1188.
- Schulze (E.) und Plauta (A. von), **86:** Vorkommen von Vernin in *Corylus avellana* und *Pinus sylvestris* 1812.
- Schulze (E.) und Steiger (E.), **86:** Arginin aus Lupinenkeimlingen 1810.
- Schulze (E.), Steiger (E.) und Bofshard (E.), **86:** stickstoffhaltige Bestandtheile von Rauhfutterstoffen 2101 f.
- Schulze (G.), **83:** Entstehung und Analysen der Serpentine von Erben-dorf, bayerische Oberpfalz 1919.
- Schulze (H.), **79:** Apophyllit-Analyse 1229.
- 80:** Apparat zur Verflüssigung der Gase 221; Oxydation von Haloidsalzen 230 f.; flüssiger Schwefelphosphor 271 f.
- 81:** Sulfurylchlorid 171; Löslichkeit der schwefeligen Säure und des Chlors 172; Couzeranit (Mizzonit) 1382; Plagioklas 1404.
- 82:** arsenige Säure gegen Schwefelwasserstoff 1278 f.; Analysen von Nephelinitoid 1609 f.
- 83:** Subsulfüre des Phosphors 329 f.; Antimontrisulfid im löslichen (colloidalen) Zustande 412 bis 415; Hilfsapparat zur Spectralanalyse 1655.
- 84:** Bildung von Pyrosulfaten (der Alkalien, Erdalkalien und der Schwermetalle) mittelst Schwefelsäureanhydrid 343 ff.; Untersuchung von Whewellit 1995.
- 85:** Verhalten der selenigen Säure zu schwefeliger Säure 398 ff.; colloidales Selen 399 f.
- 86:** Analyse von Whewellit 2294; siehe Stelzner (A.); siehe Weißbach (A.).
- Schulze (H.) und Stelzner (A.), **81:** Umwandlung von Zinkdestillationsgefäßen in Zinkspinell und Tridymit 1361.
- Schulze (H. O.), **80:** Spinell 1412; Leucit 1445.
- Schulze (J.), **83:** Darstellung von Rhodanaminium 473 f.; Darstellung von Amididen mittelst Rhodanaminium: Acetamid 1019 f.; Formamid, Propionamid 1020.
- Schulze (K. E.), **82:** Phorone aus Glycerin durch Spaltpilzgährung und durch Destillation mit Kalk oder Zinkstaub 776 f.
- 84:** Vorkommen von Diphenyl im Steinkohlentheeröl neben Methyl- und Dimethylnaphtalin 551 f.;  $\alpha$ - und  $\beta$ -Methylnaphtalin, Darstellung und Derivate 556 ff.:  $\alpha$ -Mononitro- $\beta$ -methylnaphtalin 556;  $\alpha$ -Dinitro- $\beta$ -methylnaphtalin, Monobrom- $\beta$ -methylnaphtalin, Monobrom- $\alpha$ -methylnaphtalin (Esobrom- $\alpha$ -methylnaphtalin) 557;  $\beta$ -Naphtylchlorid,  $\beta$ -Naphtylbromid,  $\beta$ -Naphthaldehyd,  $\beta$ -Naphthoesäure 558; Gewinnung von Thiotolen und Thioxen 924; Bestimmung der Halogene in den Seitenketten aromatischer Verbindungen 1615.

- 85:** über 1,2,4,5 Duro 686 f.; Untersuchung des „Grünle“ auf hochsiedende Phenole 1279; Bildung von Anthrapinakon, Dianthranyl, Anthranyl und Anthracenyl als Synonyme des Complexes  $C_{14}H_8$ , Darstellung von  $\beta$ -Oxyanthranol,  $\beta$ -Oxyanthranolmethylether, -äthylether und -benzylether 1653 f.; Benzoesäure aus Steinkohlentheer 2191.
- Schulze (L.), **83:** Weizenstärke 1366.
- Schulze (H.), **81:** Kohlensäureentwickelungsapparat 1691.
- 85:** Thermoregulator 1997.
- 86:** Abänderung an dem Wiedemann'schen Pyknometer 64; siehe Wiedemann (E.).
- Schulze (Richard), **85:** heizbarer, beweglicher Objectisch 2000.
- Schulze (R. E.), **85:** Gewinnung von Thiophen und Trimethylthiophen 1186.
- Schulze-Berge (F.), **81:** Elektricitäts-erregung beim Contact von Metallen und Gasen 91.
- 82:** Volta'scher Fundamentalversuch, Contacttheorie 137.
- Schulze-Berge (H.), siehe Barnstorff (J.).
- Schumacher (W.), **83:** Einfluß der Materialien auf die Natur der Glasuren, Alkalisilicate gegen Calciumsilicat 1710 f.; Bleiglasuren 1711.
- 84:** Abspringen der Glasuren bei Steingut 1757.
- Schumacher-Kopp, **81:** Honig 1303.
- Schumann (O.), **77:** Affinität des Schwefels und Sauerstoffs zu Metallen 203.
- 81:** Dampfspannungen homologer Ester 61.
- 84:** Reibungscoefficienten von Gasen, Luft und Kohlensäure 87 f.
- 85:** „specifische Remissionen“ 149 f.; statische und dynamische Methode zur Ermittlung der Spannung eines Dampfes 150.
- 86:** Absorption der Luft und der schwefeligen Säure auf Glas 85; siehe Latschenberger (J.); siehe Meyer (Lothar).
- Schumburg (W.), **84:** Vorkommen des Labfermentes im Magen des Menschen 1492.
- Schunck (C. H.), **85:** Absorptionsspectrum des blauen Kaliumchromoxalates 323.
- Schunck (E.), **78:** indigobildende Substanz in *Polygonum tinctorium* 1193 f., in Orchideen 1194.
- 79:** Purpur der Alten, Indigo aus Pflanzen 1176.
- 80:** Chlorophyll 1057; Purpur der Alten 1388.
- 82:** Farben der gebleichten Blätter, Etiolin, Zersetzung des Chlorophylls, Xanthophyll 1146.
- 84:** Untersuchung über die Constitution des Chlorophylls 1438 f.
- 85:** Untersuchung des Chlorophylls 1794 bis 1796: Phyllocyanin, Chlorophyllan, Verbindungen von Anilin mit Phyllocyanin 1795; Zinkdoppelverbindung des Chlorophyllans 1796.
- 86:** Chemie des Chlorophylls: Phyllocyanin 1805 f.; Chlorophyllan 1807.
- Schunck (E.) und Roemer (H.), **77:** Purpuroxanthincarbonsäure, Munjistin 587; Purpurin 590, 591; Chinizarin 591; Anthraflavin 592; Anthraflavinsäure, Metabenzdioxyanthrachinon 592; Flavopurpurinderivate 593; Erkennung von Alizarin im Purpurin 1084; Purpurin und Alizarin 1242.
- 78:** m-Benzdioxyanthrachinon 607 f.; Bildung eines dritten Dioxyanthrachinons (Anthrarufin) aus m-Oxybenzoesäure 608; Vergleich des s-Purpurins mit Purpuroxanthincarbonsäure, über Anthraflavin 611; Einwirkung von concentrirter Schwefelsäure auf Oxybenzoesäure 665 f.
- 79:** Nitro- und Amidoalizarin 399 f.; Pflanzenindican 480; Nitroalizarine 547 f.; Zersetzung der Rubiansäure 860.
- 80:** Alizarin, Isopurpurin und Flavopurpurin 1209, 1385 f.
- Schunck (E.), **79:** Indigopurpurin oder Indirubin 472.
- Schuppe (N.), **83:** Untersuchung und Zusammensetzung von Hölzern 1395 f.; Formel des Lignins und des Holzes 1396.
- Schuppe (N. C.), **80:** Samen von *Pinus Cembra* 1066.
- Schur (M.), **84:** Verhalten von Chromoxydsalzen als Beizen 1841 f.
- Schuster (A.), **78:** Spectren des Sauerstoffs 170; Vorkommen heller Sauerstofflinien im Sonnenspectrum 176.

- 80:** harmonische Verhältnisse der Gasspectren 201 f.
- 81:** dynamische Theorie der Strahlung 115 f.; harmonische Verhältnisse zwischen den Spectren von Magnesium, Natrium, Kupfer, Barium und Eisen 122.
- 84:** Elektrizitätsleitung durch Gase 258.
- 85:** über die Helmholtz'sche Theorie der Elektrolyse und über die elektrolytische Leitung der verdünnten Gase 282; Entladung der Elektrizität durch Gase 291; siehe Roscoe (H. E.).
- Schuster (A.) und Cohen (J. B.), **86:** Darstellung von reinem Natrium und Einwirkung von trockenem Chlorwasserstoffgas auf dasselbe sowie auf Aluminium 2018.
- Schuster (A.) und Roscoe (H. E.), **80:** Kohlenoxydspectrum 200.
- Schuster (M.), **78:** Analyse eines Halbopals 1211 f.; Krystallform des Tridymits 1212; Labradoranalyse 1266; Eklogit 1284 f.; Auswürflinge im Basaltuff 1289.
- 80:** Kalknatronfeldspathe 1469.
- 81:** Halbopal 1357.
- 84:** Krystallform von Danburit 1857.
- 86:** Zwillinge von Pyrrargyrit 2235; krystallographische Untersuchung des Braunits 2237 f.; neues Vorkommen von Beryll 2285; Krystallform von Albit 2289 f.; Vorkommen von Fichtelit 2296.
- Schuster (R.), **85:** Kaliammoniumseifen 2186.
- Schuster-Prieborn (F.), **79:** Spiritus aus Kartoffeln 1113.
- Schwab (E.), siehe Medicus (L.).
- Schwab (J.), siehe Hefs (F.).
- Schwab (L.), siehe Städel (W.); siehe Weigelt (C.).
- Schwab (L. C.), **83:** Gesetz der Massenwirkung von Guldberg-Waage, Bildung zusammengesetzter Aether (Ester) 843 bis 846; Bildung des Essigsäure-Aethyläthers 844 f.
- Schwachhöfer (F.), **78:** Apparat zur Bestimmung der Luftfeuchtigkeit 1097.
- Schwachhöfer (Fr.), **80:** Feuchtigkeitsgehalt der Luft 1141; Orsat'scher Apparat für Rauchgasanalyse 1240.
- 84:** calorimetrische Werthbestimmung der Brennmaterialien 1816.
- Schwager (A.), **78:** dem Hygrophil, Nakrit und Kaolin verwandte Substanzen 1268 f.
- 80:** Porphyrgesteine 1496.
- 81:** Wassersteine (Enhydros) 1359; Andesit (südamerikanische Vulkangesteine) 1428.
- 84:** Analyse von Krokatoasche 2028.
- 86:** Analyse von Muscovit 2271; Analyse von Mikroklin 2289; siehe Gumbel (C. W.).
- Schwalb (Fr.), **86:** Untersuchung des Bienenwachses: Kohlenwasserstoffe, Heptacosan und Hentriacontan, Myricyl- und Cerylalkohol 1827 f.
- Schwalbe (B.), **85:** regelmäßiger Bruch eines cylindrischen Glasgefäßes 2109.
- Schwalbe (F.), **85:** nicht saure Bestandtheile des Bienenwachses 1844 f.: Paraffine 1844; Myricylalkohol, Cerylalkohol, Alkohol  $C_{25}H_{52}O$  ( $C_{24}H_{50}O$ ) 1845.
- Schwalm (A.), **77:** Mandelöl, Pflsichkernöl, Wallnussöl 1220.
- 78:** Kupfergehalt des käuflichen Salmiakgeistes 217.
- Schwanert, **84:** Analyse von Gasexhalationen 2030.
- Schwanert (H.), **77:** isomere Dinitrosulfotoluolsäuren und Derivate 851; isomere Diamidosulfotoluolsäuren und Derivate 853.
- 82:** Untersuchung eines sehr alten Harnes 1215 f.
- Schwanitz (C.), **79:** vulkanisirtes Gummi 1149.
- Schwartz (E. v.), **77:** Nitrobenzanilide gegen Salpetersäure 743.
- Schwartz (N.), **80:** Antiseptica 1340.
- Schwartz (V.), **80:** Nachweis von Blut 1233 f.
- Schwartz (Y.), siehe Kraut (K.).
- Schwarz (A.), **83:** Untersuchung von Bier (Herkules-Malzwein) 1742; siehe Frenzel (A.).
- Schwarz (Al.), **85:** Analyse des Wassers für die Gährungsindustrie (Erkennung salpetriger Säure, Bestimmung der organischen Substanz) 1896.
- Schwarz (C.), **84:** Untersuchung von Alunit 1935; Apparat zur Extraction von Lösungen 1688.

- Schwarz (E.), **82**: gerichtlich-chemischer Nachweis von Gelsemin 1319.
- Schwarz (H.), **77**: Metallfärbungen 1108; Messingfärbung 1120; Schiefspulver ähnliche Mischung 1160; Kalkmose 1189; Melasse 1190; Cigarrenrauch 1209; Leuchtgasreinigung 1214.
- 78**: Hipparaffin 775 f.; Copal 1170.
- 79**: Trymethylfluorescein 543.
- 80**: Homofluorescein 679 f.; Orcin-carbonsäure 859; Apparat zur Stickstoffbestimmung 1242.
- 81**: Einwirkung von Benzol, Toluol und Xylol auf Chloroform bei Gegenwart von Aluminiumchlorid (Tetratolyläthylen, Tetraäthylmethan) 353 f.; Degorgirbefe 1146.
- 82**: Vorlesungsversuche mit Zinkstaub zur Demonstration der directen Verbindung der Metalle mit Schwefel 216 f.; Entschwefelung organischer Verbindungen mit Zinkstaub 217 f.; Pyrokresole (Pyrocessoles) und Derivate 714 ff.
- 83**: Apparat für Dampfdichtebestimmung 48; Phosphoreszenz des Schwefels 253;  $\alpha$ -,  $\beta$ - und  $\gamma$ -Pyrokresol 940; Pyrokresole und Pyrokresoloxyle, Tetranitropyrokresoloxyl 994; Dibrompyrokresol 995; Aufschließung des Chromeisensteins 1521.
- 85**: Untersuchung venetianischer Mosaikgläser 2110.
- 86**: Darstellung von Wasserstoff und Kohlenoxyd 324; Haltbarkeit verschiedener Gläser gegenüber chemischen Einwirkungen 2084 f.; Kupfergläser gegen Silbernitrat 2085.
- Schwarz (H.) und Pastrovich (P.), **80**: Verbrennung organischer Salze der Alkalien und Erden 1197.
- Schwarz (H.) und Pojatzki, **82**: Herstellung von Zündhölzern mittelst Rhodanverbindungen 1410.
- Schwarz (M.), **83**: Analysen von amerikanischer Gerste 1743.
- 85**: Conservirung der Bierwürze durch Salicylsäure 2158.
- Schwarz (Th.), **83**: Bier, Milchsäure und Essigsäure gegen Messing 1744 f.
- Schwarzenbach (V.), **79**: Schüttelapparat 1086.
- Schwarzer (F.), **77**: Naphtalintetrachlorid, Dichlornaphtalin 412; Halogen-derivate des Anthracens 417.
- Schwarzer (M.), siehe Römer (H.).
- Schwebel, **80**: Krystallform des Aethylphenylsulfons 935.
- 81**: Krystallform von Diacetylmonochlorhydrochinon 631.
- Schwebel (P.), **77**: Phenylhydantoin, Phenylglycocol 360; monochloressigsaures Anilin, Phenylglycocol, Paratolylglycocol 760.
- 78**: Einwirkung von Harnstoff auf Tolyglycocol 357 f.; Tribrom- und Nitrosophenylglycocol 776.
- 82**: photometrische Untersuchung an Turmalinplatten 192 f.; optisches Drehungsvermögen von Nicotinsalzen 195 f.; siehe Cech (C. O.) siehe Philipp (J.).
- Schweder (G. P.), **80**: Verhüttung geschwefelter Nickelerze 1259 f.
- Schweder (G. Th.), **77**: Kobalt- und Nickelbestimmung 1068.
- Schwedler (L.), **80**: neue Lichteinheit 198, 1361 f.
- Schweinitz (D. A. v.), **86**: Darstellung und Derivate von Octylbenzol 605 f.; Octylthiophen und Derivate, Octylaceto- und Octyldiacetothienon 1191 f.; Methyl-octylthiophen und Derivate 1192.
- Schweifsinger (O.), **84**: Reactionen von Antipyrin 1384; Reaction von Atropin und anderer Alkaloide 1643.
- 85**: Anwendung von Jodgalläpfeltinctur als Reagens auf schwache Alkalität 1887; Werthbestimmung der Strychnospräparate (Trennung des Strychnins von Brucin) 1963.
- Schweitzer, siehe Degener (P.).
- Schweitzer (H.), siehe Bernthsen (A.); siehe Claus (A.).
- Schweitzer (P.), **77**: Bestimmung von Strontium 1054.
- 79**: Petroleum 1147.
- Schweitzer (W.), **86**: Darstellung von Aethyl-p-phenyldiamin aus p-Nitroäthylanilin 835 f., von Farbstoffen aus demselben 836;  $\alpha$ -Monoäthylsafranin und Leukobase 1110 f.;  $\beta$ -Monoäthylsafranin und Leukobase 1112 f.
- Schweizer (A.), **84**: Darstellung von Octdecyl- und Nondecylcarbonsäure und Derivaten 1192 f.; Arachinsäure und Salze 1193.
- Schwirkus (G.), **83**: Schneidenbefestigung an Wagen 1653.
- Schwitzer (H.), siehe Janovsky (J. V.); siehe Liechti (L.).



- Scichilone (S.), **77**: Ausdehnung des Schwefels 98.
- 82**: Orcindiazo-o-toluidin (Orcindiazotoluol), Phenole gegen Amine 595; Oxyazobenzol, Phenol-Didiazobenzol, Methyloxyazobenzol 600 f.; Thymol gegen  $\alpha$ -Chlorpropionsäure: Thymolmilchsäure 829; Allyloxybenzoësäuren aus Oxybenzoësäuren 910 f.; siehe Paternò (E.).
- Scichilone (S.) und Denaro (E.), **82**: Mannit gegen Salmiak: Mannitin 1114.
- Scichilone (S.) und Magnanini (O.), **82**: Destillation von Strychnin mit Zinkstaub:  $\gamma$ -Lutidin 1104.
- Scolik, siehe Liesegang.
- Scott, **77**: Excremente 1177.
- 80**: Wirkung der Magnesia auf die Vegetation 1049.
- Scott (A.), siehe Dewar (J.).
- Scott (D.), **81**: Reinigung von Abgangswässern 1299.
- Scott (H. Y. D.), **83**: Bereitung von Dünger aus Phosphaten 1718.
- Scrivanow (G.), **82**: galvanisches Element 140.
- Scurati-Manzoni (G.), **83**: Einwirkung von schwefligsaurer Thonerde auf Manganoxhydroxydhydrat 372.
- 84**: Darstellung von unterschwefligsaurem Natrium 339; Einwirkung von schwefligsaurem Zinkoxyd und Chromoxyd auf Manganoxhydroxydhydrat 400.
- Scymanski (F.), siehe Bernthsen (A.).
- Seaman (H. J.), **84**: Reparatur an Platintiegeln 1687.
- Seamann (R.), siehe Jones (H. B.).
- Seamon (H.), **82**: Verhalten des Tetrachlorkohlenstoffs gegen Chlorwasserstoff, Chlorkalium und Chlorammonium 433.
- Seamon (W. H.), **81**: Jodammoniumjodid 179 f.; siehe Mallet (J. W.).
- Sear (F.), **81**: Untersuchung von Palmöl 1221.
- Sebelin (J.), **85**: Eiweißkörper der Kuhmilch 1783 f.: Lactoglobulin 1783; Lactalbumin 1784.
- Sébert, siehe Berthelot.
- Sébert (H.) und Hugoniot, **84**: Versuche mit dem Velocimeter 1748.
- Secours (F.) und Guillemak, **78**: Chlorophylldarstellung 1194.
- Seculic (M.), **80**: Quelle der elektricitätsregenden Kraft 152.
- Sedgwich (W. T.) und Nichols (W. Ripley), **85**: Bestimmung der relativen Giftigkeit von Kohlen- und Wassergas 2170.
- Sedlaczek (H.), **80**: elektrische Lampe 1245.
- Sedlaczek (J.), **77**: Hydrometer 1099.
- Sedna (L.), **85**: Carminbereitung 2253 f.
- Sée (G.), **82**: therapeutische Verwendung von Convallaria majalis 1172.
- 85**: Wirkung des Sparteiusulfates bei Herzkrankheiten 1854.
- Sée (G.) und Bochefontaine, **80**: Erythrophlein, Wirkung 1124.
- 82**: physiologische Wirkungen der Convallaria majalis 1226.
- 83**: Wirkungen des Chininsulfates auf den Circulationsapparat des Menschen und der Thiere, physiologische Wirkungen des Cinchonidins 1487.
- 85**: physiologische Wirkung des Cinchonaminsulfates 1850.
- Seegen (J.), **79**: Glycogene 847.
- 81**: Pepton gegen die Leber 1038.
- 82**: Zuckerbildung in der Leber aus Pepton 1201 f.
- 85**: Blutzucker, seine Quelle und Bedeutung 1832 f.: Bildung des Zuckers aus dem Eiweiß, Zuckerbildung in der Leber 1833.
- Seegen (J.) und Kratschmer (F.), **80**: Zuckerbildung in der Leber 1091.
- 81**: Zuckerbildung in der Leber 1038.
- Seegen (J.) und Nowak (J.), **79**: Ausscheidung von Stickstoff aus den im Körper umgesetzten Eiweißstoffen 951 f.
- 81**: Stickstoffausscheidung aus dem Thierkörper 1031 f.
- Seeger, **86**: Pyrometer 2148.
- Seeger (H.), **80**: Thonanalysen für Hartporcellan 1312.
- Seelheim, **80**: Durchlässigkeit des Bodens 1321.
- Seelheim (F.), **79**: Verhalten des Platins gegen Chlor 51; Flüchtigkeit des Platins im Chlorstrom 306 f.
- Seelig (E.), **79**: Säuren aus Dihydrochleimsäure 662 f.; Trockenapparate 1085.
- 86**: Bildung zweier isomerer Trichlortoluole und Derivate 734 f.

- 86:** Untersuchung der Chlor-toluole: Natriumsalze der  $\beta$ -Trichlor-toluolmonosulfosäuren, Trennung der isomeren Monochlortoluole: o-Monochlortoluolmonosulfosäure 636; Trennung der Dichlortoluole:  $\alpha$ - und  $\beta$ -Dichlortoluolmonosulfosäure; Oxydation des  $\alpha$ -Dichlortoluols: Dichlorbenzoesäure 637;  $\alpha$ - und  $\beta$ -Dichlormononitrotoluol und -Dichlortoluidin,  $\alpha$ - und  $\beta$ -Dichlordinitrotoluol und -Dichlortoluyldiamin,  $\beta$ -Dichlorbenzalchlorid,  $\beta$ -Dichlorbenzaldehyd und  $\beta$ -Dichlorzimmtsäure aus  $\beta$ -Dichlortoluol 638; Allgemeines über das Verhalten des Chlors gegen Toluol, Tabelle über die Ausbeute an den oben erwähnten Verbindungen 639.
- Seelig (F.), **81:** Trockenschrank 1237.
- Seemann (H.), **83:** Einfluß von Pepton auf den Nachweis von Salzsäure durch Methylviolet und Weinfarbstoff 1593 f.; Nachweis freier Salzsäure im Magen 1594.
- Seger (H.), **77:** Feuergase aus einem Kalkringofen 1104; Ausschläge an Ziegeln, Auswitterungen an Steinen 1162.
- 79:** Rauchgasanalysen, Analyse einer Dachsteinglasur 1116.
- 83:** Glasuren für Thonwaaren 1709 f.; Herstellung farbiger Glasuren auf Seger-Porzellan 1710.
- 84:** Ursache des Blasigwerdens von Steingutglasuren 1757; Erzeugung von Porzellan-Scharfffeuer-Roth 1758.
- 85:** Herstellung des chinesischen Roths 2111; Untersuchung von Ziegeln 2112; Färbung von Steingut durch Platin, Palladium, Kobalt 2112 f.; Analyse von Meißener Kaolinen 2117.
- 86:** Untersuchung der Thone von Grofsalmerode 2086, des Steingutthons von Löhain 2087 f.; Normalglasurkegel zur Bestimmung der Temperaturen im Ofen für Thonwaaren 2088.
- Segura, **77:** Schwefelsilber gegen Quecksilber 1124.
- Seibt (E.), **80:** Chlor gegen Caramel 1022; Kalkbestimmung in Zuckerscheidesäften 1215, 1348.
- Seidel (M.), **84:** Verhalten von Quecksilberdiäthyl, Quecksilberdimethyl gegen Chamäleonlösung 1349 f.
- 85:** Einwirkung von Chlorkohlensäureäther auf Phenyl- und Diphenylsulfoharnstoff 646 f.
- Seidel (O.), **79:** Salze des Bleihyperoxyds 278 f.
- Seidler (A.), **86:** Analyse des Wassers der neuen Badequelle von Kemmern 2323.
- Seidler (H.), **77:** Gasometer 1100; Giftigkeit des Anilinroths 1103.
- Seidler (P.), **78:** Darstellung von Chlornaphtylamin 472.
- 83:** Gasentwicklungsapparat 1659.
- 84:** Darstellung von Ammoniakcarbonat 1722; Gewinnung von Ammoniak aus Gaswässern 1818; siehe Liebermann (C.).
- Seifert (R.), **83:** Dijod-p-amidophenol, Dijodchinonchlorimid, Dijodchinon, Dijodhydrochinon 1006.
- 86:** Einwirkung von Kohlensäureanhydrid auf Natriumacetanilid: Acetylphenylcarbaminsäure, Malonanilsäure 864 f.; Einwirkung von Natriummereaptid auf Phenylester 1224 bis 1227: Dithioäthylcarbonat (Dithiokohlensäure - Aethyläther), Thioäthylformiat, Thioäthylacetat (Thioessigsäure - Aethyläther), Dithioäthylsuccinat (Dithiobernsteinsäure-Aethyläther) 1225; Trithioäthylcitrat (Trithiocitronensäure-Aethyläther), Thioäthylbenzoat (Thiobenzoessäure-Aethyläther), Thioäthylmethylsalicylat (Methylthioäthylsalicylsäure-Aethyläther) 1226; Darstellung von o-Benzophenonoxyd (Diphenylketonoxyd) 1227; Ueberführung der Säureamide in Alkylamine (Acetylamin) 1449.
- Seiffert, **79:** Wald- und Gartenhimbeeren 917.
- Seitz (F.) siehe Kiliani (H.).
- Selcznew (W.), **82:** Glas gegen Schwefel 1417.
- Seligmann (G.), **77:** Fahlerz 1268; Rutil mit Magnet Eisen 1277; Kieselzink 1310; Natrolith 1332.
- 78:** russische Topaskrystalle 1237.
- 80:** Antimonglanz 1404; Weisbleierz 1421; Phenakit 1441; Apophyllit 1466.
- 81:** Anatas 1360.
- 82:** Krystallform aus nassauischem Jodsilber 1530; Turnerit von Olivone und Perdsatsch 1542; Svan-

- bergit 1543; Turmalin von New-York 1544.
- 86:** Vorkommen von Molybdän- glanz 2229; Krystallform von Mag- netkies 2232; Krystallform von Anatas 2240; Krystallform und Ana- lyse von Wolfram 2256; siehe Rath (G. vom).
- Sell (E.), **86:** Butteruntersuchung 1999 f.; Kunstbutter 2118.
- Sell (W. J.), **79:** Chrombestimmung 1046.
- 82:** Chrom-Harnstoffverbindungen 381 f.
- 86:** Titration von Chromsäure 1935.
- Sella (G.), **80:** Bleivitriol 1423.
- Sellmann (E.), **81:** Methenyl- diphenylamin 474.
- Sellnick (H.), Aleuroskop 1233.
- Selmi (F.), **78:** Sublimation der arsenigen Säure 1049; Nachweis von Blausäure 1072; Reactionen auf Alkaloide 1081 f.; Leichenalkaloid 1084; Verhalten des Morphins und Codeins in Leichenbestandtheilen, Strychninreactionen 1085; phosphor- artige Substanz im Organismus 1091; Erkennung von Blutflecken 1093.
- 79:** Verhalten des Zinks gegen Lösungen von Phosphors, Phosphor- wasserstoff, Schwefelwasserstoff, Eisen- salzen 273; alkaloidartige Substanz in Leichen 831 f., bei der Ver- wesung von Eiweiss 832; Alkaloid auf faulendem Eiweiss 874; Arsen- nachweis 1040.
- 80:** nascirender Wasserstoff 238; arsenfreie Schwefelsäure 257; Lös- lichkeit der arsenigen Säure 276; Alkaloide 1035 f.; Phosphorvergif- tungen 1125; Arsenvergiftung 1126; Reinigung der Schwefelsäure von Arsen 1168; Fäulnisproducte im alkoholischen Auszug, Fäulniss von Eiern 1235; Harn nach Phosphor- vergiftung 1239 f.
- 81:** phosphorhaltige Bestandtheile des Harns 975; pathologische Basen des Harns 1059.
- 82:** Harnuntersuchung eines mit Arsenik vergifteten Hundes 1216.
- 83:** Wirkung des Arsens auf Hausthiere, Vertheilung des Arsens im Organismus 1485 f.; Befreiung des Zinks von Arsen 1549.
- 84:** Reinigung von arsenhaltigem Zink 1700.
- Seltsam (F.), **80:** Entfetten der Knochen 1345.
- 85:** Apparat zum Entfetten von Knochen 2184; siehe Hagen (R.).
- Seltzer (Ch. A.), **83:** Nitroso- $\alpha$ -naph- toldisulfosäure 1816; Dinitronaphtol- monosulfosäure 1816 f.
- Selve und Lotter, **84:** Verarbeitung von Nickel und Kobaltmetall 1713.
- Semenoff, **86:** Umwandlung der Maleinsäure in Fumarsäure 1345.
- Semljanitzin (A.), **79:** Allylmethyl- propylcarbinol 493.
- 80:** Allylmethylpropylcarbinol 610.
- 81:** Allylmethylpropylcarbinol 513.
- Semljanitzin (A.) und Saytzeff (A.), **79:**  $\beta$ -Dimethylacrylsäure 643 f.
- Semmola (E.), **83:** Elektrolyse 219.
- 86:** secundäre Elektrolyse 276.
- Semmons (W.), **83:** Brochantit von Pisco, Peru 1856.
- 85:** Analyse von Enargit 2268.
- Semper (A.) siehe Bernthsen (A.).
- Senator (H.), **78:** Bestimmung des Indicans im Harn 1094.
- Senderens, **83:** Conservirung ver- änderlicher Weine 1740; siehe Filhol (E.).
- Sendter (R.), **79:** Uranylsalze 292 f.; Dimethyl-p-phenylendiamin gegen Oxalsäureäthyläther 425 f.
- 85:** Untersuchung von Liebig- schem Fleischextract 1991.
- 86:** Analysen von Condensed Beer und Pale Ale 2143; siehe Hilger (A.); siehe Wurster (C.).
- Senet (E. E.), **85:** neues galvanisches Element 233.
- Senf (A.), **85:** Darstellung von Cyan- anilinderivaten 862 f.; Cyanphenyl- hydrazin 863.
- Senff (M.), **81:** substituirte Glycol- säuren 676.
- 85:** trockene Destillation des Holzes (Ausbeuten an Rohessigtheer, Holzkohle) 1792.
- Senff (P.), **82:** Darstellung und Deri- vate des m-Benzyltoluols 421 ff.
- 83:** m-Benzyltoluol 552 bis 554; m-Benzoylbenzoesäure, m-Tolylphe- nylketon 553.
- Senft, **77:** Zersetzung von Pflanzen- substanzen 1173.
- Senhofer (C.), **79:** Phenolsulfosäure 749 f.
- 82:** Naphtalintetrasulfosäure, Salze 1016 f.

Senhofer (C.) und Brunner (C.),

**80:** Gallocarbonsäure 850 f.; Synthese aromatischer Oxyssäuren 835 f.; Paraorsellensäure 858 f.

Senhofer (C.) und Sarley (F.), **81:** Oxyssalicylsäure 777; Sulfooxyssalicylsäure 883.

Senier (A.), **82:** Vorlesungsapparat zur Demonstration der Schwefelsäurebildung 216.

**83:** Mischungen von Chlor- und Bromsilber gegen Ammoniaklösung, qualitative Prüfung auf Bromalkali neben Chloralkali 1538.

**85:** Darstellung von Thioformyl-derivate des o- und p-Toluidins sowie des Pseudocumidins 872 ff.; Einwirkung der Formyl- und Thioformylverbindung von Anilin und dessen Homologen auf Phenylisocyanat 874 f.

**86:** Untersuchung der  $\alpha$ - und  $\beta$ -Cyanursäure 514 f.; Verhalten von Cyanurchlorid gegen Natriumacetat, -formiat und -benzoat; Darstellung von Tribenzoylcyanurat 525 f.

Senier (A.) und Low (A. J. G.), **78:** optische Untersuchung des Chlors 212; Auftreten von Kohlensäure beim Vermischen von Glycerin, Borax und Natriumcarbonat 524; Nachweis des Glycerins 1074 f.

Senier (H.), **78:** Farbstoff der Blumenblätter von Rosa gallica 970; Crotonöl 979.

**83:** purgirend wirkender und blasenziehender Bestandtheil des Crotonöles 1422.

Sennhofer, siehe Pichler (A.).

Serenius, **78:** Augitanalyse 1249.

Serrant (E.), **85:** Untersuchung der sogenannten Harzessenz (Rosolen) 718 f.; antiseptische Eigenschaften der o-Phenolsulfosäure (des Aseptols) 1596.

**86:** antiseptische Eigenschaften und Anwendung von o-Phenolsulfosäure (Sozolsäure) 1548 f.

Serravalle (G.), **83:** Quecksilberluftpumpe 1654.

Serullas (E.), **79:** Avenein 910.

Servais (E.) und Feltgen (M.), **80:** Befreiung des Roheisens von Schwefel, Phosphor und Silicium 1252.

Sestini (F.), **77:** Apparat zur Mafsanalyse 1101.

**78:** Glycyrrhizin 930 f.; Süßholzwurzel 967.

**79:** neutrales Ammoniumphosphat 226; Ammoniumsalze 664; Süßholzwurzel und Lakritzensaft 921 f.

**80:** Ulminkörper, Sacculminsäure, Sacculmin 1026 f.; Proteinstoffe in Futtermitteln 1218; Thonboden 1325.

**81:** Analyse von Sumpfkrautern (Falasco) 1008; Ulminverbindungen 1011.

**82:** Sacculmin, Sacculminsäure, Sacculm gegen Brom, Chlor : Sesquibromoxyssacculmid, Dichloroxyssacculmid, Oxyssacculminsäure, Trichloroxyssacculmid 1128 f.; Sulfocarbonate gegen die Phylloxera 1231.

**83:** Anwendung der Dialyse für Bodenanalysen 1715.

**85:** Beziehungen zwischen Atomgewicht und physiologischer Function der Elemente 1848.

Sestini (F.) und Danesi (L.), **82:** Pyrophotosantonsäure aus Photosantonsäure, Kohlenwasserstoff  $C_{15}H_{20}$  970.

Sestini (F.) und Funaro (A.), **82:** Futterstoffuntersuchung 1423.

Sestini (L.) und Funaro (A.), **82:** Methylthialdehyd aus Sulfocyanwasserstoff, Entfernung des Rhodans aus Ammoniakdünger 373.

Sestini (R.), siehe Schiff (H.).

Setny (A.), **77:** Theer aus Leuchtgasfabriken 1221.

Setchenoff (J.), **86:** Absorption von Kohlensäure durch Salzlösungen 111 f.

Setschenoff, **77:** Absorption der Kohlensäure durch Blut 986.

**78:** Hühnereweifs 932 f.

**79:** Kohlensäure absorbirende Blutbestandtheile 961.

Setschenow (J.), **81:** Lungenluft 1030.

Settegast (H.), **79:** Verdrängung einer Säure durch eine andere 147; siehe Ritthausen (H.).

Setterberg (C.), **82:** Darstellung von Rubidium und Cäsium und Verbindungen derselben 269 f.

Seuberlich (C.), **77:** Anthragallol 807.

Seuberlich (K.), **80:** Ferricyanalkalium 1299 f.

Seubert (K.), **78:** Atomgewicht des Iridiums, Doppelsalze des Iridiums mit Alkalisulfaten 316 f.

- 81:** Atomgewicht des Platins 6; quantitative Bestimmung des Phenols 1203 f.
- 85:** über die Explosion halogenhaltiger Kohlenwasserstoffe resp. ihre Analyse 72; Einwirkung von Kaliumchlorat auf Chloralhydrat 1295; Darstellung von saurem Kaliumtrichloracetat 1331; Löslichkeitsbestimmung dieses Salzes (Zersetzung der Trichloressigsäure) und des neutralen trichloressigs. Kaliums 1331 f.; siehe Meyer (Loth.).
- Seubert (K.) und Linck (G.), **82:** Nephrite von Maurach 1560.
- Seure (J.), **80:** Conserviren von Fleisch 1344.
- Sewell (H.), **79:** Fahlerz 1186.
- Sexton (A. H.), **82:** Trennung von Arsen und Kupfer 1278.
- Seyberlich (A.) und Trampedach (A.), **86:** Darstellung von krystallisiertem, wasserfreiem Traubenzucker 2129 f.
- Seyberth (H.), **77:** Orsat'scher Apparat 1099.
- Seyboth (J. S.), **83:** Reinigung von Metallen und Legirungen 1618.
- Seyda (A.), **83:** Hydrochinon und Chinon 1248; Hydrochinonmonosulfosäure und Salze derselben 1248 f.; Hydrochinondisulfosäure und Salze derselben 1249 f.; Verhalten der Hydrochinonmono- und -disulfosäure 1251.
- Seyfert (F.), siehe Bunnemann (C.).
- Seyffart (J.), **85:** Einfluss des Alkoholgehaltes auf die Polarisation des Rohrzuckers 1749.
- 86:** Dispersionspolarimeter 2008.
- Seyfferth (E.), **86:** Reduction der Picolinsäure:  $\alpha$ -Picolin und Piperidin 1383; Einwirkung von Phosphorchlorid auf Picolinsäure 1383 f.; Monochlor- und Monochloroxycolinsäure; Einwirkung von Phosphorchlorid auf Nicotinsäure: Monochloroxy nicotinsäure 1384 f.; Trichlorpyridin und Trichlornicotinsäure 1385.
- Seyler (C. A.), **84:** Atomzahl im Molekül 46.
- Seymour (F. J.), **84:** Darstellung von Aluminium 1699.
- 85:** Darstellung von Aluminium 2016.
- Seymour (F. J.) und Brown (W. H.), **85:** Gewinnung von Aluminium 2014 f.
- Seynes (J. de), **79:** Amylomycin 905.
- Shadwell, **81:** Krystallform von p-Dibromdiphenyl 396; Krystallform von Vanillin 602; Krystallform von Baryumacetat 668; Krystallform von Beryllium - Ammoniumoxalat 681; Krystallform von saurem malons. Natrium 699; Krystallform von  $\alpha$ - oder Di-p-Dinitrodiphenylsäure-Methyläther,  $\beta$ -dinitrodiphenyl. Baryum 842; Krystallform von phenol-p-sulfos. Natrium 874.
- Shadwell (J.), **79:** o-Nitrophenylglyoxylsäure 702 f.; siehe Claisen (L.).
- Shakespeare (J. D.), **81:** Sicherheitslampen 1236.
- Sharp (B.), **86:** Bildung von Bacterien 1881.
- Sharp (J.), **84:** Bleicherei, Färberei, Appretur 1835 f.
- Sharples (S. P.), **77:** Scheele'sches Grün 1231.
- 81:** Bestimmung des Fettes in der Milch 1225.
- 84:** Verhalten von Salzsäure gegen Blei 424.
- Shaw (F. W.) und Carnelley (Th.), **77:** Salzlösungen gegen Kupfer 272.
- Shaw (J.), **84:** Seifen- und Oelgerberei 1834 f.
- Shaw (S.), **83:** Darstellung von pentathionsauren Salzen 290 f.
- Shaw (Th.), **85:** Darstellung einer Legirung von Aluminium mit Kupfer 2045.
- Shaw (W. N.), **86:** Bestimmung der festen Punkte am Quecksilberthermometer 178 f.
- Shearer (A.) siehe Giles (W. B.).
- Shedlock (J.), **85:** Gewinnung von Metallen 2013.
- Shelford Bidwell, **82:** der Einfluss der Temperatur auf den Widerstand von Mischungen aus Schwefel und Kohle 150 f.; siehe auch Bidwell (S.).
- Shenstone (W. A.), **78:** Brucin, Strychnin 912 f.
- 80:** Igasurin 997 f.
- 81:** Alkaloide aus Nux vomica: Igasurin (Brucin), Hydrobrucin 960.
- 82:** Alkaloide aus Nux vomica 1104; Lavendelöl 1180; Aloine verschiedenen Ursprungs, Nomenclatur der Aloine 1183 f.
- 83:** Brucin und Strychnin gegen alkalische Oxydationsmittel, Brucin

- gegen Salzsäure, gegen Jodwasserstoffsäure, Strychnin gegen Salzsäure 1343; Modification von Liebig's Kühler 1657; siehe Tilden (W. A.).
- 84:** Constitution von Brucin 1389.
- 85:** Bildung von Trikupfersulfat 546; Bromverbindungen des Strychnins: Monobromstrychnin und Salze, Monobromstrychnindibromid, Dibromstrychnin, Monochlorstrychnindichlorid, Strychnin gegen Salpetersäure 1690; Gasbrenner 1999; siehe Tilden (W. A.).
- Shepard (C. A.), **78:** Pyrophosphorit 1227 f.
- Shepard (C. U.), **80:** Paracolumbit 1410; Zinnstein 1412; Andalusit 1438; Ontarioolith 1444; Pagodit 1473; Yttrotantalit, Rutherfordit 1479; Meteoreisen 1542.
- 85:** Untersuchung des Meteoreisens von Trinity County (Californien) 2324; Untersuchung des Meteorsteins von Tomatlán (Mexico) 2325; siehe Smith (J. L.).
- Shepard (C. U. jun.), **83:** Beschreibung und Analysen des Monetits, Monits und Pyroklasits von den Inseln Mona und Moneta 1863 f.
- 84:** Analyse eines Meteoreisens von Dalton 2042.
- Shepard (C. U. sen.), **84:** neue Lagerstätte von Sapphir und Rubin 1913; Untersuchung eines Meteoreisens von Dalton 2042.
- Shepard (C. U. sen. und jun.), **81:** Meteorit von Lexington County 1457; amerikanisches Meteoreisen 1458.
- Shepard (C. W.), **79:** Meteorit von Estherville 1279 f.
- Shepard (H. W.), siehe Jones (H. B.).
- Shepherd (H. B.), **83:** Methoden zur Bestimmung von Stickstoff in Mischungen von stickstoffhaltiger organischer Substanz, Ammoniaksalzen und Nitraten 1589.
- Shepherd (H. H. B.), **78:** Aenderung am Will-Varentrapp'schen Apparate zur Stickstoffbestimmung 1097.
- 84:** Einführung einheitlicher Methoden der Stickstoffbestimmung 1612.
- 85:** Lösung präcipitirter Phosphate durch neutrales Ammoniumcitrat (Düngewerth der Mineralphosphate) 1914.
- Sheridan Lea (A.), siehe Lea (A. Sheridan).
- Shermann (O. T.), **85:** Verschiebung des Nullpunktes an Thermometern 118.
- Shida (R.), **82:** magnetische Empfänglichkeit verschiedener Eisensorten 166 f.
- 83:** magnetische Empfänglichkeit 227.
- 86:** Aufzeichnung der Stärke und Richtung veränderlicher Ströme 241.
- Shimer (P. W.), **82:** siehe Drown (Th. M.).
- Shimer (W.), siehe Drown (Th. N.).
- Shimidzu, **82:** Analyse japanischer Meteorite 1642 f.
- Shimidzu (T.), siehe Divers (E.).
- Shimidzu (Tetsukichi), siehe Divers (E.).
- Shimosé (M.), **84:** Trennung von Selen und Tellur und ihre Gewinnung aus dem Bleikammerschlamm 1568 f.; siehe Divers (E.), siehe Masachika Shimosé.
- Shimoyama (J.), **85:** Untersuchung ungiftiger indischer Aconitknollen (Wakhma): Atensin 1809.
- Shimoyama (Y.), **84:** Bestimmungsmethoden des Gesamtalkaloidgehaltes der Chinarinden 1634 f.
- 85:** quantitative Bestimmung der Chinaalkaloide 1963 f.
- Shoemaker (J. V.), **86:** Anwendung und Wirkung der medicinischen Seifen 2159.
- Short (F. G.), siehe Armsby (H. P.).
- Short (F. W.), **84:** Cadmiumjodid 424.
- 85:** Bestimmung von Chloralhydrat 1957; siehe Dunstan (W. R.).
- Shull (D. F.), **79:** Untersuchung von Erythroxylon coca 931.
- Shuttleworth (E. B.), **78:** Darstellung eines körnigen Eisenoxydhydrates 263.
- 79:** Darstellung des Eisenchlorids 249; Goldgehalt des käuflichen Silbernitrates 305.
- Sicherer, **79:** Farbstoff aus Sandel- und Caliatourholz 902.
- Sickel, **78:** optische Bestimmung der Saccharose im Rübensaft 1150.
- 86:** Polarisation von Rohzucker 2123.
- Sickler (C.), **86:** Apparat zur Bestimmung des Siedepunktes an Thermometern 2009.

- Sicynski (J.), siehe Pöschel (L.).  
 Siddeley-Mackay, **77**: Aethermaschine 1105.  
 Sidenbladh (E.), **79**: Trappanalyse 1251.  
 Sidener (C. F.), siehe Dodge (J. A.).  
 Sidersky (D.), **83**: Verhalten der Mischung von schwefelsaurem und oxalsaurem Ammon gegen neutrale Strontian- und Kalklösungen 1558; Trennung von Strontium und Calcium 1559; Bestimmung des bei Zuckeranalysen reducirten Kupferoxyduls 1617 f.  
**86**: Beziehungen zwischen Strontian und Rohrzucker 2129; siehe Scheibler (C.).  
 Sidersky (D.) und Probst (H.), **83**: Gewinnung des Strontiums als Strontiumcarbonat 1696.  
 Sidgwick (H. Mrs.), siehe Rayleigh (Lord).  
 Sidney Harvey, **82**: Nachweis von Blei im Trinkwasser 1260.  
 Sidney Young, siehe Young (Sidney).  
 Sidot, **77**: Glas aus pyrophosphorsaurem Kalk 1166.  
**83**: Phosphorglas 1707.  
 Sidot (M.), **77**: Phosphorkupfer 274.  
 Sie (G. dal), **77**: Pflanzentalg (Pineyaltg) aus Vateria indica 954, 1220.  
**78**: Pflanzentalg der Vateria indica 978.  
 Sieben (E.), **84**: Untersuchung der Zusammensetzung des Stärkezyklersyrups, des Honigs und von dessen Verfälschung 1670 f.  
 Sieben (G.), **79**: anomale Dispersion 151.  
**84**: Abhängigkeit der Brechungsexponenten anomal dispergirender Mittel von der Concentration der Lösung und der Temperatur 299.  
 Sieber (N.), **81**: Zusammensetzung von Schimmelpilzen 1147 f.  
**86**: Pigmente der Chlorioidea und der Haare 1847; siehe Nencki (M.).  
 Sieber (Nadina), **77**: Roqueforter Käse 1022.  
**79**: antiseptische Wirkung von Säuren und Phenol 1020.  
**80**: Fettbildung aus Eiweiß 1036.  
 Siebold, **80**: Eiweißnachweis im Urin 1237.  
 Siebold (A.) und Siebold (L.), **85**: Bestimmung von Magnesium und Calcium 1926 f.  
 Siebold (L.), **78**: Titrirung der Blausäure 1072.  
**85**: Untersuchung von Farbholz-extracten 2255.  
 Siebold (L.) und Bradbury (T.), **81**: indischer Hanf (Cannabinin) 1019 f.; Salicylsäure im Harn 1228.  
 Siegert, **84**: Zuckergewinnung 1790 f.  
 Siegfried (L.), siehe Albert (H.).  
 Siegfried (M.), **85**: Einwirkung von Mononitrobenzol auf eine alkalische Lösung von Phenol 1220.  
 Siegl (E.), **77**: Spiritusbrennapparat 1199.  
 Sieglitz (J. A.), **80**: Braunfärbung von Fellen 1346.  
 Siegwart (E.), **77**: Eisblumen auf Glas 1168.  
 Siemand (F.), **82**: Gerbstoffbestimmung 1311 f.; Präparirung von Knochenleim und Hornschlächchen 1312.  
**85**: Gerbstoffgehalt verschiedener Gerbmittel 2200.  
 Siemens, **78**: praktische Anwendung der Elektrizität 156.  
**83**: Ausstreichen der Gärbottiche mit Terpentin, Colophonium und Spiritus 1738.  
 Siemens (C. W.), **80**: Einfluss des elektrischen Lichtes auf die Vegetation 1044 f.  
**82**: Neuerungen an Gasbrennern 1350.  
**85**: Coaksöfen und Gasgeneratoren 2170.  
 Siemens (C. W.), und Huntington (A. K.), **82**: elektrischer Schmelzofen 1353 f.  
 Siemens (F.), **83**: Gaserzeugung, Apparate zur Darstellung von Schwellgas und Wassergas 1660.  
**85**: Fabrikation des Hartglases 2108; Regenerativgasöfen und Apparate zur Erzeugung von Gas; Feuerungen für Öfen und Dampfkessel 2170.  
 Siemens (W.), **77**: Eisengewinnung 1100.  
**79**: brennbare Gase bei den aufsteigenden Laven 1247.  
**80**: Abhängigkeit der elektrischen Leitungsfähigkeit der Kohle von der Temperatur 153 f.; Schmelzen schwerflüssiger Metalle 1249.  
**82**: das Leuchten der Flamme 170; dynamo-elektrische Maschine

- 1353; Elektrizität gegen Feuersgefahr 1461.
- 83**: Leuchten der Flamme, Leuchten nichtleuchtender Gasflammen 231.
- 84**: Theorie des Magnetismus 275 f.; Einrichtung zur Darstellung der Lichteinheit 281.
- 85**: elektromotorische Wirkungen von Selenzellen 248; Theorie des Magnetismus 296.
- 86**: Herstellung von Aluminium-bronze 2018.
- Siemens (W.) und Halske, **80**: Differentiallampe 1361.
- 83**: Quecksilberwiderstandseinheit 212.
- Siemens (W.) und Huntington (A. K.), **83**: elektrischer Schmelzofen, Eintritt des Schmelzens der Metalle 1663.
- Siemiensky (J. v.), siehe Anschütz (R.).
- Siemiradzki (J. v.), **85**: Vorkommen und Analyse eines Hypersthenandesits 2309 f.
- 86**: Analyse von Corsit 2309.
- Siepermann, siehe Schmitt (R.).
- Siepermann (O.), siehe Stadel (W.).
- Siermann, **78**: Reinigung von Wasser 1116.
- Siermann (E.), **78**: Umwandlung der Schwefelalkalien in Soda und Potasche 1131 f.
- 79**: Soda und Potasche 1109.
- Siewert, **79**: Werthbestimmung der Kartoffeln 1142.
- 81**: Düngungsversuche für Kartoffeln (Phosphorsäure) 1296.
- Siewert (M.), **78**: Fettextraction 1092.
- 82**: Oxalsäuregehalt der Kartoffeln 1160.
- 84**: Einfluß der Fütterung mit Baumwollsaamenkuchen auf die Milchproduction 1778 f.; Milchentrahmung mit Centrifugen 1779.
- Sighicelli (C.), **85**: physiologische Wirkung des Cocains 1850.
- Sigiura (S.), siehe Muir (M. M. P.).
- Silber (P.), siehe Ciamician (G. L.).
- Silber (P. G.), **80**: Ultramarinroth 1380 f.
- 81**: Natriumaluminiumsilicate (Nephelin) 215 f.
- Silberstein (H.), **83**: symmetrisches Tribromanilin gegen salpetrige Säure 767 f.; salpetersaures Tribrom-
- diabenzol, Hexabromdiazooamidobenzol 768 f.; Dibromdiazophenol 769 f.; schwefelsaures Tribromdiazobenzol 770 f.; Tribromdiazobenzolchlorid 771; Tribromdiazobenzolchloridperbromid 771 f.; Tribromdiazobenzolimid, Tribromdiazobenzolbromid 772; Tribromdiazobenzolbromidperbromid 772 f.; Hexabromdiazooamidobenzol 773; Tribromdiazooamidobenzol 773 f.; Dimethylamidoazotribrombenzol, Methylphenylamidoazotribrombenzol 774.
- 84**: Verhalten der Betaïne bei höherer Temperatur 1096 ff.: salza. Phenylmethylglycocol 1096; Phenyl-betaïnamid, Phenylmethylglycocolamid 1097; Dichlorphenylbetaïn 1098; siehe Hemilian (W.).
- Silliman (B.), **77**: Gold 1258.
- 81**: Thenardit 1371; Vanadinit 1374; Türkis 1376.
- 83**: Martit vom Cerro de Mercado, Mexico 1913 f.; siehe Sadler (H. E.).
- Silow (P.), **77**: Magnetismus von Eisenchlorid 174.
- 80**: schwach magnetische Körper 180.
- 82**: Magnetisirungsfunction für Flüssigkeiten 168.
- Silva (R. D.), **79**: Diphenylpropan 379 f.; Dibenzyl 380.
- 81**: Dibenzyl, Aethylbenzol 354; Chlorjodpropylen 385; Glycerinäther, Epichlorhydrin gegen Jodwasserstoff 511.
- 84**: Einwirkung von Aethylidenchlorid auf Benzol mittelst Aluminiumchlorid, Bildung von Diphenyläthan 562.
- 85**: Eigenschaften von Isopropylbenzol, Diisopropylbenzol, Isopropyltoluol, Propyltoluol, Propylbenzol 685 f.
- Silvestri (O.), **77**: Paraffin in einer Lava 368; Vernickelung 1127; petroleumartige Substanz 1350.
- 82**: Flüssigkeitsinschlüsse in Schwefelkrystallen 1520; fester Kohlenwasserstoff in Aetnalava 1578 f.
- 84**: freiwillige Verbindung der Bestandtheile des Knallgases 331.
- Simand (F.), **83**: Neuerung an Kühlapparaten 1657; Aufbewahrung von Chamäleonlösung 1660.
- 84**: Untersuchung von Gerbstoff-extracten 1627; siehe Kohnstein (B.).



- Simand (F.) und Weifs (B.), **86**: Untersuchung von Gerbstoffextracten: Eichen-, Fichtenrinden-, Quebracho- und Sumachextracte 2179 f.
- Simanowsky (N.) und Schoumoff (C.), **84**: Einfluß des Alkohols und des Morphins auf die physiologische Oxydation 1509.
- Simanowsky (N. P.), **85**: thierischer Stoffwechsel unter dem Einfluß einer künstlich erhöhten Körpertemperatur 1825.
- Simm (R.), **77**: irisierende Gläser 1168.
- Simon, **81**: Anhydrosdiamidobenzoltrijodid, Monoamylanhydrosdiamidobenzol 444.
- Simon (E.), siehe Hübner (H.).
- Simon (S. E.), **79**: Verbindungen von Chlorlithium und Chlormagnesium mit Alkohol 236.
- 82**: Dinitrooxyanthrachinon gegen Kali: Mononitroalizarin (Alizarinorange); Dinitrooxyanthrachinon-Aethyläther 792; siehe Liebermann (C.).
- Simonin (L.), **79**: neuer metallurgischer Proceß 1090.
- Simpson (A. H.), **85**: Färben von Glas 2110.
- Simpson (J.), siehe Parnell (E. W.).
- Simpson (J.) und Parnell (E. W.), **85**: Gewinnung von Schwefelantimon und Extraction von Gold und Silber aus Antimon-Erzen 2041 f.
- Simpson (J. W.), **85**: Aufarbeitung von Erzen 2041.
- Simpson (M.), **78**: Jodsilber-Jodcalcium 307; Darstellung von Chlorbromderivaten der Olefine 408; Chlorjod- und Bromjodäthyliden 413 f.; Verbindung von Acetylchlorid mit Valeraldehyd 620.
- Simpson (M.) und Keffe (C. O.), **77**: Harnstoffbestimmung 1097.
- Simpson (W.), **78**: Darstellung von Thioacetanilid 672.
- Singer (S.), **80**: Alaun, Plagiocitrit, Klinophäit, Watevillit 1425; Basalt 1504.
- Sinner (G.), **78**: Prefshefefabrikation 1154.
- Sipöcz, **79**: Apophyllit 1230.
- 83**: Analysen von Meionitsilicat, Marialithsilicat und Skapolithen 1883.
- 84**: Analyse von Lemseyit 1910 f.
- Sipöcz (L.), **77**: Wasserbestimmung in Silicaten 1036; Miargyrit 1266; Skapolith 1314.
- 81**: Skapolith 1382.
- 86**: Analysen ungarischer Mineralien (Sylvanit, Krennerit, Nagysagit, Wehrilit) 2226 f., eines Rothnickelkieses 2228; Analyse zweier Nickel-erze 2228 f.; Analyse ungarischer Zinkblendes 2230; Analyse von Semseyit und Bournonit 2234; Analyse eines Wolframs 2256; siehe Tschermak (G.).
- Sisson (G.), **86**: Darstellung von reinem Schwefelwasserstoff aus Magnesiumsulfhydrat 332.
- Sivers (M. v.), **79**: Stickstoff des Torfbodens 1120.
- Siwoloboff (A.); siehe Ssiwoloboff (A.).
- Siwolobow (A.), **84**: neues zweites Anhydrid des Mannits 943; siehe Ssiwoloboff (A.).
- Sjöberg (R.), **85**: Darstellung von Romit 2104 f.
- Sjögren (A.), **77**: Barytocalcit 1291; Gadolinit, Orthit, Allanit 1307.
- 79**: Manganosit 1187.
- 84**: Krystallform von Kalkspath 1929, von Allaktit 1940; Theorie der Entstehung der norwegischen Apatitgänge 1943; Krystallform von Gadolinit 1951, von Tephroit 1954; Untersuchung von Gedrit 1968 bis 1971; Krystallform von Ganomalit 1991, von Katapleit 1993.
- 85**: Analysen von Allactit, Hämafibril, Diadelphit und Synadelphit 2284.
- Sjögren (H.), **79**: Wismuthanalyse 1180; Bjelkitanalyse 1185; Galenobismutit 1186; Kalkspathanalyse 1191.
- 80**: Fredricit 1407; Augit 1456.
- 81**: Paysbergit 1393.
- 83**: kristallographische Untersuchung des Chondrodits von Kåfveltorp, Schweden, und der denselben begleitenden Mineralien 1876 f.; Formel und kristallographische Untersuchung des Humits von der Ladugrube, Schweden 1877 f.; Analysen von Chondroit und Humit 1878.
- 85**: Manganarseniate von Nordmarken: Allaktit 2281 f.; Hämafibril 2282 f.; Diadelphit 2283; Synadelphit 2283 f.; Berzeliit 2285.
- Sjögren (H.) und Nordenskjöld (A. E.), **79**: Pyrochroit 1189.
- Skalweit, **78**: Milchproben 1145; Mehlverfälschung 1156; Bieranalysen 1159.

**79:** Alkohol in ätherischen Ölen 1064; Bieranalysen 1141.

**80:** Wasseraanalysen 1149 f.; Extractgehalt des Weines 1223 f.; siehe Vogel (A.).

Skalweit (J.), **81:** spec. Gewicht des Nicotins 927, der Coniinlösungen, Verhalten des Nicotins 928; Entflammbarkeit des Petroleums 1200; Nicotinbestimmung 1209; Nicotinbestimmung in Tabak 1220.

**82:** Befreiung des Tabaks vom Nicotin 1163; Extractbestimmung im Kaffee 1327.

**83:** Verfälschung der Lebensmittel 1623; die Grenzzahlen in der Milchanalyse 1644.

**84:** Anwendung von Indigotin zur Salpetersäurebestimmung 1559; Nicotinbestimmung im Tabak 1630; Bieranalyse 1665.

**85:** Anwendung des Refractometers in der Bieranalyse (Brechungsexponenten und spec. Gewichte von Glycerinlösungen 1957.

**86:** Glycerinbestimmung im Wein 1985; Untersuchung von Buttersurrogaten (Refractometer) 2001.

Skey (W.), **77:** Spannungsreihe der Metalle 151; Leitung des Schwefelsilbers 159; Graphit 236; Löslichkeit der Alkalien in Aether 239; Schwefelsilber und Schwefelgold gegen Cyankalium, Oxydirbarkeit von Silber und Platin bei Gegenwart von Wasser 303.

Skraup (Zd. H.), **77:** lösliches Berlinerblau, Superferridcyankalium 329; Cinchonin 888.

**78:** Cinchonin 882 f.; Hydrocinchonin (Cinchotin), Cinchotinin, Cinchotenin 883 f.; Oxydation des Cinchouins 884 f.; Hydrocinchonin 886 f.; Dihydrocinchonin 887.

**79:** Chinin, Zusammensetzung, Platinsalz, Oxydation, Chinetin 796 f.; Oxydationsprodukte des Cinchonins 807 f.; Methyl- und Hydroxylgruppe im Chinin, Oxydation von Cinchonin 813 f.; Homocinchonidin mit Cinchonidin identisch 814 f.

**80:** Cinchomeronsäure 823 f.; Chininsäure 829; Synthese des Chinolins 946 f.; Chinin 962; Cinchonin, Cinchonidin 969; Homocinchonidin 971; Pyridin- und Chinolinreihe 1394.

**81:** Constitution von Pyridin- und Chinolinderivaten 909; Synthese von Chinolin, Toluchinolin und Derivaten 910 f.;  $\alpha$ -Naphtochinolin 911; Chinindiäthyljodid, Chininsalze 937; Oxydation von Chinin und Chinidin: Chininsäure, Xanthochininsäure 938 f.; Cinchonidin und Homocinchonidin 943; Cinchotin 969.

**82:** Schmelzpunkt der Cinchomeronsäure 886; m-Toluchinolin aus m-Toluidin, Nitrotoluol, Glycerin und Schwefelsäure 1080 f.; Synthese der drei isomeren Oxychinoline aus Nitro- und Amidophenolen, Glycerin und Schwefelsäure; o- und p-Chinanisol aus Nitro- und Amidoanisolen, isomere Nitro- und Bromoxychinoline, Hydro-m-oxychinolin, Benzoyl-m-oxychinolin, Acetyl- und Benzoyl-p-oxychinolin 1082 f.

**83:** Xanthochininsäure gegen schmelzendes Kali: p-Oxychinolin, Constitutionsschemata für Cinchoninsäure, Chininsäure und Xanthochininsäure 1348.

**84:** Darstellung von Phenanthrolin aus  $\beta$ -Amidochinolin 791; Constitution des Chinins und Chinidins 1393.

**85:** p-Chinanisol und dessen Abkömmlinge 1246 bis 1252: chroms. p-Chinanisol, Eigenschaften des Chinanisols 1247; Salze des p-Chinanisols, Tetrahydrochinanisol (Thallin) 1248; Salze des Thallins, 1249; Tribrom-p-chinanisol, basisch jodwasserstoffsäures Thallin. Dimethylthallinjodid, Methylthallin 1250; Salze des Methylthallins, Aethylthallin 1251; Aethylthallinäthyljodid, Benzylthallin, Constitution des Chinins 1252; Untersuchung (Salze) des Benzoyllegonins 1717; Umwandlung des Benzoyllegonins in Cocaïn 1717 f.

**86:** Farbenreactionen der Carbonsäuren der Pyridin- und Chinolinreihe mit Eisenvitriol 1382; Oxydationsprodukte des Cinchonins 1736; siehe Schlosser (A.).

Skraup (Zd. H.) und Brunner (Ph.), **86:** Constitution einiger Chinolinderivate 896 bis 901: m- oder  $\beta$ -Chinolinmonocarbonsäure, Oxydation von o- und p-Toluchinolin: o- resp. p-Chinolinbenzmonocarbonsäure 896; Zerlegung des m-Toluchinolins in zwei verschiedene Toluchinoline

- 896 f.; m-Chinolinbenzmonocarbon-  
säure und Salze 897 f.; Darstellung  
von Amidoterephthalsäure 898 f.;  
Ueberführung derselben in o-a- oder  
 $\alpha$ - $\beta$ -Chinolinbenzdicarbonensäure 899 f.;  
Zusammenstellung der Reactionen  
der drei Benzochinolin- und der  
vier Chinolinbenzmonocarbonensäuren,  
Nomenclatur der Chinolincarbon-  
säuren 901; Constitution der m-Chinolin-  
benzcarbonensäure 1474.
- Skraup** (Zd. H.) und Cobenzl (A.),  
**83**:  $\beta$ -Naphthochinolin 1326 f.;  $\beta$ -Phenylpyridindicarbonensäure 1327;  $\beta$ -Phenylpyridinmonocarbonensäure 1327 f.;  
 $\beta$ -Phenylpyridin und Salze,  $\alpha$ -Naphthochinolin-  
salze,  $\alpha$ -Naphthochinolinchinon  
1328;  $\alpha$ -Phenylpyridindicarbonensäure,  
Salze und Dibromderivat 1328 f.;  
 $\alpha$ -Phenylpyridin,  $\alpha$ -Phenylpyridin-  
keton 1329.
- Skraup** (Zd. H.) und Fischer (O. W.),  
**84**: Untersuchung des Methylphenanthrolins 791 ff.; Phenanthrolin-  
carbonensäure 793.
- Skraup** (Zd. H.) und Vortmann (G.),  
**78**: Cinchonidin 887.  
**80**: Cinchonidin 971.  
**82**: m-Diamidobenzol gegen Glycerin: Phenanthrolin und Derivate  
525 bis 530; Dipyridyldicarbonensäure  
und Salze 527 f.
- 83**: Pseudophenanthrolin: Darst.  
743 f.; Salze und Derivate 744 ff.;  
m-Dipyridyldicarbonensäure und Salze  
746 f.; m-Dipyridyl und Salze 748;  
Hexahydro-m-dipyridyl 749.
- Slater** (Ch.), siehe Muir (M. M. P.).
- Slater** (H.), **78**: Bildung von Ammoniak bei der Filtration von Wasser durch schwammiges Eisen 1041.
- Slater** (J. W.), **85**: Reinigung von Spülwässern 2133 f.
- Slaytor** (C. H.), **82**: Analysen von rothem Phosphor 1604.
- Sloan** (B. E.), **81**: Verbindung von Arsenrichlorid mit Chlor 195; Feldspath (Mikrokin) 1402.  
**82**: Arsenpentajodid 247 f.; Löslichkeit des Jods in Arsenrichlorid 248; siehe Mallet (J. W.).
- Sloan** (R. E.), **80**: Steinsalz 1417.
- Sloane** (T. O.), **81**: Untersuchung von Leuchtgas 1198.
- Sloane** (O'Connor), siehe O'Connor  
Sloane.
- Sloane** (J. O'Connor), siehe O'Connor  
Sloane (J.).
- Slocum** (F. L.), **80**: *Adansonia digitata* 1076.  
**85**: Einwirkung von Benzaldehyd auf ein Gemisch von Essigsäureanhydrid und butters. Natron resp. propions. Natron: Phenylmethacrylsäure, Acetylphenylmilchsäure 1445; siehe Fittig (R.).
- Slonguinoff** (N.), **83**: Licht- und Sphäroidalerscheinungen bei der Elektrolyse der Flüssigkeiten 220.
- Slotte** (K. F.), **81**: Zähigkeit (Viscosität) von Chromaten 80.  
**83**: innere Reibung von Lösungen, Reibungsconstante des Wassers 96 ff.
- Slonguinoff** (N.), **82**: Theorie der Elektrolyse 156.
- Smee** (A. H.), **81**: Nachweis des Ammoniaks in der Luft 1175.
- Smetham**, **78**: Bestimmung der Phosphorsäure im Dünger 1057.
- Smetham** (A.), **79**: Kesselsteinanalyse 1103.  
**80**: Phosphorsäurebestimmung 1159 f.; organischer Kohlenstoff im Trinkwasser 1201.  
**82**: Kaffeeanalysen 1451.
- Smiley** (R. H.), **84**: Untersuchung über den purgirend und blasenziehend wirkenden Antheil des Krotonöls 1464.
- Smirensky** (A.), **81**: Diallyl-äthylcarbinol 513.  
**82**: Äthylallylcarbinol 654.
- Smita** (A.), **77**: Oligoklas 1337.
- Smith**, **77**: organische Abfälle gegen Kohle 1177.  
**83**: spec. Gewicht wässeriger Ammoniaklösungen 53; siehe Piazzi  
Smith; siehe Teschemacher.
- Smith** (A.), **77**: saure Dämpfe der Sodafabriken 1150.  
**80**: Desinfection der Abfallwässer 1513.  
**85**: Herstellung von Kohlen für elektrische Lampen aus Furfurol oder Fucusol 2171.
- Smith** (Angus), **77**: Kohlensäure der Luft 1141.
- Smith** (A. J.), **79**: Einwirkung von Brom auf  $\beta$ -Naphthol 543 f.
- Smith** (A. P.), **79**: blaue Flammen durch Kochsalz 235 f.  
**80**: Schwefelwasserstoffapparat 1244.
- Smith** (A. Percy), **85**: colorimetrische Bestimmung der Salpetersäure 1909; Untersuchung von muffligem Brot 1983.

- Smith (B. E.), **82**: Darstellung und Derivate des Diäthylnaphtylamins 568 f.; Diäthylnaphtylamin gegen Schwefelsäure 569 f., gegen Kohlenstoffoxychlorid 570 f.
- Smith (C.), **80**: Magneteisen 1413.
- Smith (C. M.), siehe Marshall (D. H.).
- Smith (Ch. S.), siehe Moore (Th.).
- Smith (E. F.), **77**: Chlor gegen Benzotrichlorid ( $C_{21}Cl_{26}$ ) 420; p, m-Dibromnitrobenzoesäure 733; p, m-Dibromamidobenzoessäure, Tribrombenzoessäure, Dibromsalicylsäure, Dibrombenzoessäure 734; Dichlorsalicylsäure 748; Chromeisensteinanalyse 1060.
- 78**: Aufschließung von Chrom-eisenstein durch Bromwasser 273 f.
- 79**: Cadmiumbestimmung 1052.
- 80**: elektrolytische Versuche 174; Anilin gegen  $C_{21}Cl_{26}$  527; Salicylsäure 847; elektrolytische Bestimmung des Cadmiums 1188 f.
- 82**: Bestimmung der Borsäure 1279 f.
- 83**: o-Mononitro-p-m-dibrombenzoessäure 1130 f.; Salze der o-Amido-p-m-dibrombenzoessäure 1131; siehe Thomas (N. W.).
- 85**: Analysen von Bruciten 2279.
- 86**: Analyse von Glaukonit 2277; Analysen amerikanischer Zeolithe 2287.
- Smith (E. F.) und Knerr (E. B.), **86**: m-Monochlorjodsalicylsäure 1440 f.; 1, 2, 4, 6-Dichlornitrophenol;  $\alpha$ -m- und  $\beta$ -m-Mononitrosalicylsäureäther 1441; elektrolytische Bestimmungen und Trennungen: Wismuth, Cadmium, Quecksilber, Zink 1894 f.; Analyse von Pektolith 2287; Analyse eines Titanits 2292.
- Smith (E. F.) und Peirce (G. K.), **79**: Chlorsalicylsäure gegen rauchende Salpetersäure 678 f.
- 80**: m-Chlorsalicylsäure 847 f.
- Smith (E. G.), **84**: Einwirkung von Brom auf Anhydropropionyl-o-phenyldiamin 694 f.; Darstellung von o-Nitropropionanilid, Anhydropropionyltribrom-o-phenyldiamin 694; Anhydropropionyltribrom-o-phenyldiamin 695.
- 86**: Analyse von Chrysotil 2276; Analyse von Brauneisenerz in Pseudomorphosen nach Eisenkies 2298.
- Smith (E. J.), **78**: Derivate der Dichlorsalicylsäure 762 f.; elektrolytische Bestimmung des Cadmiums 1066 f.
- Smith (E. J.) und Macchall (J.), **78**: Derivate der Monochlorsalicylsäure 762 f.
- Smith (F.), siehe Frerichs (F.).
- Smith (F.) und Hoskinson (W. S.), **85**: Elektrolyse von molybdäns. Ammonium 286.
- Smith (F. S.), **85**: Vorkommen von Ozokerit 2188; Analyse von Ozokerit 2298; siehe Austen (P. T.).
- Smith (H.), **78**: Gnoscopin 873; siehe Smith (T.).
- Smith (H. E.), **83**: Nichtvorkommen von Kreatin in den Knochen 1448; siehe Chittenden (R. H.).
- Smith (H. J.), **77**: isomere Oxybenzoensäuren gegen Ammoniak (Oxybenzonitril, Nitrooxybenzonitril) 750.
- Smith (H. J. S.), **78**: parallelepipedisches System 1.
- Smith (J.), **85**: Anwendung der Elektrolyse zur Gewinnung von Zinn aus verzinneten Eisenabfällen 2019.
- Smith (J. B.), **78**: Werthbestimmung von Chinarinden 874.
- Smith (J. D.), siehe Teschemacher (E. F.).
- Smith (J. J.), siehe Mills (E.).
- Smith (J. L.), **77**: Columbium und Niobium 288; Niob-(Columbium-) mineralien 1342.
- 78**: Tantalit 1274 f.; Daubréalith 1315; Eisen von Ovivak 1321.
- 79**: eine schwefelhaltige Kohlenwasserstoffverbindung 230; Einfluss von Verunreinigungen auf Absorptionstreifen 246; schwefelhaltige Krystalle aus Gusseisen 1105; Widmannstettersche Figuren auf siliciumhaltigem Eisen 1273; Ovivak-eisen 1280 f.
- 80**: Petroleum 1364; Meteorit 1541; Meteoreisen 1542.
- 81**: Hiddenit (Spodumen) 1392; Meteoreisen von Cohahuila 1457, von Santa Catharina 1458.
- 82**: Phosphorbestimmung im Eisen 1274, 1364 f.; Analysen von Samarskit und Fergusonit 1574.
- 83**: Analyse von Samarskit und den anderen Niobaten der Erden 1561 f.; Aufschließung von Columbit und Tantalit 1562; Vorkommen von Yttrium, Erbium, Terblum, Philippium, Decipium, Thorium, Didym, Cer und Mosandrum im Samarskit

- 1562 f.; Mineralien der Meteoriten in Concretionsform 1951.
- Smith (J. L.) und Shepard (C. U.), **77**: nordamerikanische Meteoriten 1394.
- Smith (J. Lawrence), **85**: Methoden zur Analyse des Samarskits und anderer Columbite mittelst Fluorwasserstoffsäure 1931 bis 1933; Abscheidung des Thoroxys, Bestimmung des Didymoxys 1931; Yttrium, Erbium, Thorium, Didym, „Mosandrium“, Mosandriumoxyd, Schätzung des Didymgehaltes 1932 f.
- Smith (L.), **78**: Aufschließung der Cerite und Columbate, Auffindung eines neuen Elementes „des Mosandrum“ im Samarskit 262.
- 84**: Analyse von grönländischem Eisen 2044 f.
- Smith (Lawrence) und Boisbaudran (Lecoq de), **79**: Absorptionsspectra von Didymverbindungen 164.
- Smith (M.) und Glendinning (H.), **84**: fractionirte Destillation von Sutherland-Theeren 1829.
- Smith (P.), **80**: Zinn in Früchten 1085.
- Smith (B. A.), **78**: Vertheilung des Ammoniaks in der Atmosphäre 217.
- 79**: Absorption von Gasen durch Kohle 71 f.; Entdeckung von Sumpfgas und anderen Gasen 1087.
- 80**: Messung des Actinismus des Sonnen- und Tagelichtes 199, 235.
- 82**: Entwicklung lebender Keime im Wasser 1244.
- Smith (T. und H.), **78**: Meconioisin 957.
- Smith (Th.), **85**: Darstellung von Cannabin 1811.
- Smith (W.), **77**: oxals. Natron gegen kohlena. Erden 29; Isodinaphtyl und Derivate 391; Oxalate gegen Carbonate 670; Isodinaphtylsulfosäure 862; Manganchlorür gegen Soda-rückstände 1149; Haloide aus Vesuven 1283.
- 79**: Dampfdichtebestimmung, Verhalten des Chlors 51; Naphtalin und Benzol gegen Antimontrichlorid 367; Diphenyl 376; Phenylnaphtalin 380 f.; Farbenreactionen bei der Einwirkung von Kohlenwasserstoffen und Pflanzenalkaloiden auf Wismuth- und Antimontrichlorid 1068; aromatische Kohlenwasserstoffe gegen Antimon- und Wismuthtrichlorid 1070; Alkalöide gegen Wismuth- und Antimontrichlorid 1071; Mehlexplosionen 1136; Ammoniak als Feuerlöschmittel 1149.
- 80**: Eucalyptus 1075 f.; Bleibad 1241; Digestionsöfen 1243.
- 83**: Bemerkungen zur Untersuchung von Shaw: Darstellung von pentathionsauren Salzen 291 bis 293; Coaksgewinnung in Öfen, Theergewinnung bei der Coaksfabrikation 1753.
- 84**: Untersuchung der Bildung von Ammoniak aus Steinkohlentheer und des Stickstoffgehaltes im Steinkohlentheer 1813 f.; Kohlenvercoaking 1814 f.; Coaksgewinnung 1815.
- 85**: Gewinnung von Coaks, Theer und Ammoniak, Bildung von Thiophen 2172.
- 86**: Nachweis von Resorcin in Resorcinsalol, Resorcin- und Phenolsalol 2072; Werth der Thomasschlacke als Dünger 2106; Phenole eines Hochofentheers 2170; Baumwollseide 2173 f.; siehe Claparède (A.); siehe Staub (A.); siehe Takamatsau (T.).
- Smith (W.) und Davies (G. W.), **80**: Pyren 467 f.
- 82**: Verbindung von Antimontrichlorid mit Benzol 408; Verbindung von Antimontrichlorid mit Naphtalin 428; Chinolin gegen Antimonchlorid: Hexachlorbenzol, Hexachloräthan 1072 f.
- Smith (W.) und Hart (W. B.), **86**: Darstellung von Soda aus Natriumsulfat (Reduction von Schwefeldioxyd durch Kohlenoxyd) 2054.
- Smith (W.) und Kohn (C. A.), **86**: Reactionen auf Kairin und Antipyrin 2072 f.
- Smith (W.) und Liddle (W. T.), **81**: Kalk in Rohsoda 1267.
- Smith (W.) und Takamatsau (T.), **81**: Phenylnaphtalin 367;  $\beta\beta$ -Dinaphtylmono- und -disulfosäure 866.
- 82**: Zersetzung der Pentathionsäure 231.
- Smith (W. G.), **84**: Nachweis von Eiweiß im Harn 1682.
- Smith (W. Th.), **86**: Wirkung und Verhalten des Hopfengiftes (Hopein) 2141 f.
- Smithells (A.), **83**: Fluorverbindungen des Urans 385 bis 387.

- Smolka (A.), **83**: Isobutylbiguanid und Verbindungen 488 bis 490.  
**84**: Isobutylbiguanid 508.  
**85**: Drittelbleinitrat 545; Darstellung von Mannit-Bleinitrat 1209 f.; Verbindungen der Pikrinsäure mit organischen Basen 1240 bis 1242: Pikrins. Aethylamin, Asparagin, Harnstoff, Anilin, p-Toluidin,  $\alpha$ -Naphthylamin 1241; pikrins. Diphenylamin, Terpentinöl, Campher gegen Pikrinsäure 1242; siehe Kalmann (W.).  
**86**: neue Pikrate 1247.
- Smorawski (St.), **79**: Verhalten des Rhamnetins gegen Aetzkali und Natriumamalgam 913.
- Smyth (F.) und Hoskinson (W. S.), **86**: Elektrolyse von Molybdänsulfungen 276.
- Smyth (F. J.), **83**: neuer elektrischer Accumulator 203.
- Smyth (P.), **83**: Wasserstoff-Spectrum 249.
- Smyth (S. R.), **85**: Eisen- und Stahlgewinnung 2019 f.
- Snappe (H. Lloyd), **85**: Einwirkung von Phenylcyanat auf Alkohole und Phenole (Phenylcarbaminsäure-Ester) 591 f.; Darstellung von Verbindungen des Phenylcyanats mit Phenolen (Urethane) 1222 f.: Phenylcarbamins. Resorcin, Brenzcatechin, Hydrochinon, Glycol, Pyrogallol, Phenylcarbamins. Salicylsäure-Methyläther 1222; Phenylcarbamins.  $\alpha$ -Naphthol,  $\beta$ -Naphthol und Eugenol, Phenylcarbaminthionsäure - Phenyläther 1223.  
**86**: aromatische Cyanate, Urethane und Carbamate 529 f.
- Snelus, siehe Bell (J. L.).
- Snyders (C.), **78**: Einwirkung von Wasser und Salzlösungen auf Zink 1108.
- Sobieczky (J.), **83**: Hahn für Standflaschen und Aspiratoren 1656.
- Société Petits Frères, **82**: Apparat zur Verarbeitung der Fette 1459.
- Soden (H. v.), siehe Michaëlis (A.).
- Soderini (M.), **85**: Herstellung von künstlichem Marmor 2113 f.
- Söderbaum (H. G.), **86**: Platosooxalsäure und Salze 1604 ff.
- Söffing (H.), **84**: Krystallform von Methylbenzhydroxamsäure, Diphenyldodekacychlorid bromwasserstoffs. Diäthyl-p-toluidin, Gossypinchloroplatinat, Luridinchloroplatinat, salpeters. Diäthyl-p-toluidin, salza. Lycopodin, Diäthyl-p-toluidinplatinchlorid, Diäthyl-p-toluidinquacksilberchlorid 463; Krystallform des neuen Benzolhexachlorids 575.
- Söllscher (C.), **82**: Benzoyl- und Phenyllessigsäurechlorid gegen Kohlenwasserstoffe in Gegenwart von Chloraluminium: Aethylbenzophenon (p-Benzoyläthylbenzol), Dimethylbenzophenon (Benzoyl-m-xylol), Aethyl-desoxybenzoïn, p-Aethyldibenzyl, Oxy-p-äthylidibenzyl, Aethylstilben, Dibromäthyl-desoxybenzoïn, Dimethyl-desoxybenzoïn 767 f.
- 84**: Ventil für Spritzflaschen 1687; siehe Weber (A.).
- Sohn (G.), siehe Koll (A.).
- Sohncke (L.), **78**: Drehvermögen des chlores. Natriums für alle Farben bei verschiedenen Temperaturen 187.
- 79**: Krystallstructur, Untersuchung des Verwitterungsellipsoïds rhomboëdrischer Krystalle, Messungen der Verwitterungsflecken am unterschwefelsauren Strontium, Calcium und Blei 2.
- 80**: Theorie der Krystallstructur 1.
- 86**: elektrische Erregung des Eises, Ursprung der Gewitterelektricität 244; elektromagnetische Drehung natürlichen Lichtes 314 f.
- Sohnke (J.), **83**: Apparat zur volumetrischen Bestimmung von Luft in Kohlensäure 1660.
- Sokoloboff, **84**: Darstellung eines zweiten Anhydrids des Mannits 943.
- Sokoloff, **80**: Nitromannit 1026.
- Sokoloff (A.), **85**: Molekularanziehungskraft und Temperatur 6.
- Sokoloff (N.), **77**: Giftbestimmung 1096.  
**78**: Glycerinsäureanhydrid 701.  
**79**: Nitromannit 502 f.
- Sokoloff (N. W.), **82**: modificirter Bunsen'scher Eudiometer 1347.
- Sokolow (N.) und Maltchewski (P.), **81**: Dithionsäure 162.
- Solanina (V.), **86**: Verhalten von Allylalkohol gegen verdünnte Schwefelsäure und verdünnte Salzsäure: Aldehyd  $C_6H_{10}O$ , Propylenglycol 1174.
- Solari (L.), **86**: Dichlornaphtaline aus Naphtalintetrachlorid 651 bis 655:  $\alpha$ -Dichlornaphtalin und Derivate, Dichlordinitronaphtalin, Dichlorphtalsäure und Derivate 652:  $\alpha$ -Di-

- chlornaphtalintetrachlorid und  $\alpha$ -Tetrachlornaphtalin 652 f.; Schmelzpunktsregelmäßigkeit bei den Dichlornaphtalinen,  $\delta$ -Dichlornaphtalin und Verhalten gegen Salpetersäure: Monochlornaphto-(o)-chinon 653; Mono- und Dioxychlornaphtochinon,  $\alpha$ -Monochlorphtalsäure und Derivate, Verhalten des  $\delta$ -Dichlornaphtalins gegen Chlor:  $\delta$ -Dichlornaphtalintetrachlorid,  $\delta$ -Tetrachlornaphtalin 654; Tetrachloridinaphtylnaphtalin, Dinaphtylnaphtalin (Trinaphtyl), Tabelle 655.
- Soldaini (A.), **81**: Ptomainlösungen 975.
- 83**: Ptomaine 1358.
- Solereder (H.), siehe Krüss (G.).
- Soloweitschky (J.), **80**: Antimonwirkungen 1125.
- Soltmann, **83**: Apparat zur Milchconservirung 1727.
- Soltsien (P.), **86**: Untersuchung der Citrusöle 1828 f.
- Solvay (E.), **78**: Fabrikation von Chlor, von Salzsäure 1118 f.
- 80**: Ammoniak-Soda 1291 f.
- 81**: wasserfreie Salzsäure, Chlor 1256; Ammoniak-Sodaproceß 1268.
- 83**: Calcination des beim Ammoniaksodaproceß erhaltenen Dicarbonates 1694.
- 85**: Gewinnung von Chlor 2052 f., von Chlorkalk 2053, von Salzsäure aus Chlorcalcium 2055.
- Solvay (E.) und Lucion (R.), **77**: Säureanhydride gegen Oxyde 664.
- Sommaruga (E. v.), **77**: Isatin gegen Ammoniak 512.
- 78**: Dampfdichten von Isatin und Indigo 509; Ammoniakderivate des Isatins 510 f.
- 79**: Molekulargröße des Indigo's 470; Ammoniak gegen Chinone, Constitution der Chinone 581.
- 80**: Ammoniak gegen Isatin 585 f.; Phenanthrenchinon gegen Ammoniak 735 f.
- Sommer (A.), **80**: Quellwasser 1523.
- 84**: Darstellung von Bromwasserstoffsäure 1720 f.
- 85**: Oxydation von Phosphor zu Phosphorigsäure und Phosphorsäure, Gewinnung von Phosphorsäure und Bromwasserstoffsäure 2063.
- Sommerkorn (H.), **80**: Bestimmung des specifischen Gewichtes von Flüssigkeiten 23.
- Sommerlad (H.), **82**: Hornblende führende Feldspathe 1610 f.
- 84**: Analyse von Topas 1950, von Topasfels 2010; Analysen von Leucit- und Nephelinbasalt 2022.
- Sondén (K.), **82**: Analyse von Petalit 1557 f.
- 83**: Bestimmung in Freiheit gesetzter Gase durch Messung des Druckes bei constantem Volum 1522 f.
- Sonnemann (M.), **84**: Verwendung der Torfstreu als Desinfectionsmittel 1778.
- Sonnenschein, **79**: Analyse der Soolquelle von Suhl 1262 f.
- Sonnenschein (A.), **85**: Reduction von Fehling'scher Lösung durch Tannin (Zuckerbestimmung im Wein) 1975.
- 86**: Trocknen von Fetten 2001; Eudiometer zur Stickstoffbestimmung 2012.
- Sonnerat (E.), **83**: Aufbewahrung und Gehaltsbestimmung von Wasserstoffhyperoxydlösungen 1528 f.
- Sonntag, **86**: Herstellung von Majolika in der Znaimer Gegend 2086 f.
- Sonstadt (E.), **78**: Verhalten wässriger Essigsäure beim Abkühlen auf 0°, Kältemischungen aus fester Essigsäure und Eis oder Wasser, Erstarrungspunkt der reinen Essigsäure 34; mechanische Trennung von Mineralien 1040.
- Sorby, siehe Daelen.
- Sorby (H. C.), **78**: Bestimmung des Brechungsindex dünner Flüssigkeitsschichten 164 f.
- Sordy (H. C.), **78**: Mineralanalyse 1040.
- Soret, **86**: Krystallform von phtalimidsulfosaurem Ammon 1564, des  $\beta$ -Monochlorphtalsäureanhydrids 1566.
- Soret (Ch.), **79**: Konzentrationsgleichgewicht zwischen zwei verschieden erwärmten Theilen einer Salzlösung 78.
- 80**: Einfluß der Temperatur auf die Vertheilung der Salze in ihren Lösungen 73 f.
- 81**: Konzentrationsgleichgewicht von Salzlösungen (Chloralkium- und Chlorlithiumlösungen) 73.
- 84**: Dimorphismus von Natriumalaun 10; Brechungsindices krystallisirter Alaune 285; Theorie der natürlichen Circularpolarisation 300;

- Krystallform von m-xylophthalol-saurem Ammonium, Pseudocumolphtalol-säure, pseudocumolphtalols. Ammonium, Diacetylweinsäure-Methyläther, Diacetylweinsäure-Aethyläther, Diphtalylbromid, Tetrachlorphtalsäure-Methyläther, Tetrachlorphtalsäure-Anhydrid 464 f.
- 85:** über die Refraction und Dispersion krystallisirter Alaune 304; Brechungsexponenten krystallisirter Alaune 305.
- 86:** specifisches Gewicht des Natriumsulfantimoniats (Schlippesches Salz) 373 f.; Krystallform des Aluminiumnitrats 397; Krystallform des sauren Natriumsalzes, des Imids und des Baryumsalzes der asymmetrischen Dimethylbernsteinsäure 1372 f.; Krystallform von  $\beta$ -Monochlorphtalsäureanhydrid, Aldehydophtalsäure und aldehydophtalsäurem Calcium 1453 f.; siehe Favre (A.).
- Soret (Ch.) und Duparc, **86:** Krystallform von  $\delta$ -Dichlornaphtalin-tetrachlorid 654.
- Soret (J. L.), **78:** Absorption der violetten Strahlen, ultraviolette Absorptionsspectren der Erden des Gadolinita 181 f.
- 79:** Wärmeausstrahlung bei hohen Temperaturen 104 f.; Fluorescenz einiger Lösungen unter dem Einfluß des Inductionsfunken 149 f.; Spectrum des Didymchlorids 164; spectralanalytische Untersuchung der Erbinerde (Holmium, Thulium) 246.
- 80:** Absorptionsspectrum der Yttrium-Gruppe 209; ultraviolette Absorptionsspectra 214.
- 83:** Absorption des Blutes 251; Sehen der ultravioletten Strahlen, Fluorescenz der Augenmedien, optische Untersuchung von vermuthlich in den Augenmedien vorhandenen Körpern 251 f.
- 84:** Farbe des Wassers 296; siehe Rilliet (A.).
- Soret (J. L.) und Rilliet (A.), **79:** Absorption ultravioletter Strahlen 149.
- Soret (J. L.) und Sarasin (E.), **77:** Drehung des Quarzes 186.
- 82:** Drehung der Polarisations-ebene im Quarz 193 f.
- 84:** Absorptionsspectrum des Wassers 296.
- Soret (M. Ch.), **85:** Temperaturregulator 1997.
- Sorge, **81:** Bestimmung des Eisens in Erzen 1186.
- Sorger, siehe Laspeyres (H.).
- Sorobaji (Khan Babadur Bomanji), **85:** Synthese einiger höherer Kohlenwasserstoffe der Fettreihe (Dicetyl, Diheptyl) 662 f.
- Sorokin, **77:** Blausäurebestimmung 1073.
- Sorokin (B.), **79:** Diallyl und Hexylglycol, Oxydation des Diallyls 361.
- 80:** Oxydation des Diallyls 437.
- 81:** Diallyl 350; Oxydation von Diallylmethylcarbinol 746;  $\beta$ -Methyloxyglutarsäure 747.
- 86:** Anilide der Galactose, Lävulose und Dextrose 1772.
- Sorokin (B.) und Saytzeff (A.), **77:** Methylallylcarbinol 531.
- Sorokin (J.), **77:** Blausäure, Bildung und Nachweis 327.
- Sorokin (W.), **78:** Oxydation des Diallyls 379.
- 79:**  $\beta$ -Methyloxyglutarsäure 661 f.
- Sostegni (L.), **85:** Ueberführung der Reisstärke in Dextrose, Zerlegung derselben in Granulose und Amylocellulose, Bildung von Cutin 1756; Untersuchung der Humuskörper des Torfes: Zerlegung der Huminsäure durch Alkohol 1804.
- Sostmann (E.), siehe Stutzer (B.).
- Sotnitschewsky, **79:** Phosphorvergiftung 992.
- 80:** Glycerinphosphorsäure im Harn 1114; Dermoidcysteninhalte 1128.
- Soubeiran (A.), **82:** Analysen von Eisenkies und Bleiglanz aus Newcastle-Kohle 1522 bis 1523; Analyse von Kupferkies in Newcastle-Kohle 1524; Analysen von Dolomit aus Newcastle 1535; Analysen von Newcastle-Kohle 1576 f.
- Souchère (de la), **81:** Olivenöl 1222.
- Soulary, **77:** Explosionen in Kohlenminen 1107.
- Source (Magnier de la), **77:** Trockenrückstand von Weinen 1092; Leim 1220; siehe Latour; siehe Magnier de la Source.
- Sourdat (L.), **77:** Centrifuge 1100.
- Southworth (R. J.), **79:** Volum von Salzlösungen 77.
- Soward (A. W.), **83:** Farbe der Cyanogenflamme 232; siehe Probert (J.).



Soxhlet, **77**: Milch 1184.

**84**: Stärkezuckerfabrikation 1803.

**85**: Verzuckerung mittelst Diastase zur Bestimmung von Stärke 1982.  
Soxhlet (F.), **77**: Azotometer 1096.

**78**: Fehling's Zuckerbestimmung 1075.

**80**: Zuckerarten, Verhalten gegen alkalische Kupfer- und Quecksilberlösungen 1011 f.; reducirende Wirkung der Lactose und Maltose 1313 f.

**81**: Stärke gegen Wasser 986; Bestimmung des Fettgehaltes der Milch 1224 f.

**82**: Fehling'sche Lösung gegen verschiedene Zuckerarten 1119; Stärkezucker-Dextroseanhydrid 1120; aräometrische Fettbestimmungsmethode 1342.

Soya (J.), **81**: Durchlässigkeit des Bodens 1283.

Soyka (J.), **79**: Nitrification organischer Abfallstoffe 1128.

Spady (J.), **84**: Darstellung von Butylpropylchinolin 788; Hexylamylchinolin 789.

**85**: Darstellung von  $\alpha$ -Isobutyl- $\beta$ -isopropylchinolin 1009 bis 1013; Isoamylanilin, Salze desselben, Acetylverbindung, Nitrosoisoamylanilin,  $\beta$ -Isopropyl- $\alpha$ -chinolinmonocarbonsäure 1011; Salze dieser Säure,  $\beta$ -Isopropylchinolin 1012; Salze desselben 1013; siehe Miller (W. v.).

Spallita (F.), siehe Fubini (S.).

Spalteholz (W.), **83**: Chinolinäthyljodid und Chinaldinäthyljodid gegen Kalihydrat: Cyanin 1312.

Spandau (E.), **86**: Vorrichtung zur Entnahme flüssiger Durchschnittsproben 2013.

Spangenberg, **82**: Festigkeitsbestimmung von Mangan Eisen 1372.

Spear Parker (J.), **86**: colorimetrische Methode der Kohlenstoffbestimmung im Stahl 1255 f.

Speciale (S.), **79**: Lava-Analysen 1254; siehe Schiff (R.); siehe Ricciardi (L.).

Speck, **80**: Licht gegen Stoffwechsel 1086.

**82**: geistige Thätigkeit und Stoffwechsel 1185.

Spée (E.), **80**: Heliumlinie 206.

**86**: Diffractionsspectra 303.

Spence (Berger J.) u. Watt (Alex.), **83**: Herstellung von Aetznatron und Chlor 1687 f.

Spence (P.), **78**: Verwerthung des zur Reinigung benutzten Eisenoxydhydrats 1165.

Spence (P.) und Eilmann (E.), **78**: Nachweis freier Mineralsäuren in Salzen 1039 f.; Erkennung freier Mineralsäuren 1120.

Spence (P.) u. Spence (Fr. Mudie), **83**: Reinigung der zur Herstellung von Alaun verwendeten schwefelsauren Thonerde von Eisenoxyd 1698.

Spence (W.), **80**: Metallsulfide und Schwefel 1282 f.

Spencer (G. L.), **84**: Bestimmung von Phosphorsäure in Düngern 1377 f.

Spencer (J. E.), **79**: Eisenoxyduloxyd auf Eisen 1093.

Sperber (J.), **84**: Gesetz über die specifische Wärme 168.

**85**: Berechnung des Molekularvolums 46 f.

Sperry (F. L.), siehe Penfield (S. L.).

Spezia (G.), **77**: Zirkone 1275; Idokrase 1276.

**84**: Untersuchung von Melanophlogit 1998.

Spica (G.), **82**: polymeres Tolu-chinon und Toluhydrochinon 780; Usninsäure und Psoromasäure aus Psoroma crassum, Var. caespitosa 1152.

**84**: Untersuchung von Schinus mollis 1462; siehe Canzoneri (F.).

Spica (G.) und Biscaro (G.), **85**: Darstellung von Saponin aus Arum italicum 1814.

Spica (G.) und Magnanini (O.), **83**: Oxydibromtoluchinon 1007.

Spica (M.), **86**: Chloralithiobenzamid 1431 f.;  $\alpha$ -Naphtoxyessigsäure, Salze und Amid 1509 f.;  $\beta$ -Naphtoxyessigsäure, Salze und Amid 1510; Chloralithiobenzamid 1623 f.; Verhalten von Butylchloral gegen Thiobenzamid 1624.

Spica (P.), **77**: Benzylselen- und Dibenzylselenharnstoff 351.

**78**: zwei isomere Propylphenole aus Normalpropylbenzol 584 f.

**79**: Phenyläthylamin und Derivate 440 f.; Paracumolphenol 519; isomere Cumolsulfosäure 760; *Satureja juliana* 935; Nachweis von Stickstoff, Schwefel und Chlor in einer Portion 1061.

**80:** Reduction von Benzonitril 413; Cumophenole 663 f.; Thymolglycolsäure 890 f.; Cymolsulfosäure 914; Alkaloide des lebenden thierischen Organismus 1001 f.

**81:** isomere Cymolsulfosäure 862 f.; Unterscheidung der Ptomaine von den Alkaloiden 975.

**82:** Einwirkung von Schwefelsäuremonochlorhydrin auf Camphercymol 416; m-Cymol und Derivate 416 ff.; Analyse des Wassers vom See Derkol bei Constantinopel 1623.

**85:** Untersuchung des ätherischen Oeles von *Diosma crenata* 1821 f.: Diosmeleopten, Dioscampher, Diostereopten (Diosphenol) 1822.

**86:** Darstellung von rhombischem Schwefel aus Calciumpolysulfuret 331; siehe Paternò (E.).

Spiegel (A.), **80:** Vulpinsäure 899 f.

**81:** Hydroxysuberencarboxylsäure, Monochlorsuberencarboxylsäure 613; Suberan- und Suberencarboxylsäure 614; Mandelsäurenitril, Mandelsäure, Phenyllessigsäure 792; Synthese von Tropasäure und Atrolactinsäure 813 f.; Chlorhydratropasäure 814; Vulpinsäure, Dibenzylglycolsäure (Oxatolylsäure), Pulvinsäure 848; Hydrocornicularsäure und Derivate 849; Phenylbernsteinsäure 850.

**82:** Suberon 763; Pulvinsäure, Pulvinsäure gegen Ammoniak und Zinkstaub: Carboxylcornicularsäure, Cornicularsäure, Dihydrocornicularsäure (Hydrocornicularsäure), Isodihydrocornicularsäure, Tetrahydrocornicularsäure und deren Lactone 983 ff.; Diphenylvaleriansäure, Iso-vulpinsäure 984; Spaltung der Euxanthinsäure in Euxanthon und Glycuronsäureanhydrid, Euxanthin 1154 f.

**83:** Vulpinsäure 1233.

**85:** Darstellung von Verbindungen der Azofarbstoffe mit Natriumdilsulfid und von Monoamidodiphenylsulfaminsäure (aus Azobenzol) 1610. Spiegelberg, siehe Heinzelmann. Spiegelberg (L.), **79:** Derivate von Benzolsulfosäure 739 f.

Spiegler (E.), **84:** Einfluss der Größe der Kohlenwasserstoffkette bei den Ketonen der Fettreihe auf die Reactionsfähigkeit des Ketonsauerstoffs mit Hydroxylamin, Darstellung

der entsprechenden Acetoxime aus Methylnonylketon, Myriston, Stearon: Methylnonylacetoxim 600; Myristoxim, Stearoxim 601; Derivate des Diphenylacetoxims 844 f.; Darstellung von Acetoximen: Diphenylacetoxim, p-Dioxyphenylacetoxim, Phenyl- $\alpha$ -Naphthylacetoxim 1049.

Spieffs, **80:** Hopfen 1328.

Spiller, siehe Egli.

Spiller (J.), **80:** Farbstoffe 1376.

**83:** Alaun aus Feldspath, Aufschliessung von Feldspath 1698.

Spindler (H.), **84:** Siedepunkte des Dimethyl- und Diäthyläthers bei verändertem Drucke 194 f.

**83:** Verhalten von Halogenverbindungen der Fettreihe gegen Jodcalcium: Bildung von Jodiden 719 ff. Spindler (P.), **83:** Theorie der Nitrirung des Benzols 22 f.

**84:** Nitrirung von Benzol und Benzolderivaten (Massenwirkung) 30 ff.

Spiral (P.), siehe Dépierre (J.).

Spiro (P.), **77:** Physiologie der Milch-säure 981.

Spitz (G.), **84:** Darstellung gemischter Aether des Resorcins: Methyläthylresorcin, Methylpropylresorcin 980; Methylisobutylresorcin, Methylisoamylresorcin 981.

Spitzer (F. V.), **77:** Nichtexistenz von Aetherpen 379.

**78:** Camphene 637; Campherdichlorid 645.

**79:** Campherchloride und Camphene 564 f.

**80:** Campherchloride 725 f.; siehe Kachler (J.).

Spitzer (J.), **86:** Bestimmung der unaufgeschlossenen Stärke in süßen Maischen 2145 f.

Spohr (H.), siehe Dragendorff (G.).

Spohr (J.), **85:** Inversionsgeschwindigkeit des Rohrzuckers, Inversionsconstante der Säuren, Einfluss der Neutralsalze auf die Inversion 1748 f.

**86:** Inversion des Rohrzuckers 1775 f.

Spottiswoode (W.), **80:** Versuche mit der De Merten'schen elektromagnetischen Maschine 174.

Spottiswoode (W.) und Fletcher Moulton (J.), **82:** Gasbewegungen bei elektrischen Entladungen in Vacuum-Röhren 164.

Sprengel (H.), **84:** Darstellung von Rackarock, neuer Sprengstoff 1748 f.

**86:** Sprengstoff aus chloresäurem Kali und Nitrobenzol (Rackarock) 2076; Panclastit (Sprengstoff) 2077.

**Sprenger (M.), 80:** Phosphorwolframsäure und Salze 348 f.

**Spring (W.), 78:** Vereinigung des feinen Pulvers fester Körper durch Druck 63; Nichtexistenz der Pentathionsäure, Tetrathionsäure 205 f.

**79:** Nichtexistenz der Pentathionsäure 204; trithiobasisches Quecksilbersulfat 295 f.

**80:** Schweißbarkeit der Körper durch Druck 82; Nichtexistenz der Pentathionsäure 258 f.

**81:** Nichtexistenz der Pentathionsäure 163 ff.; Methylchloracetol 608; Wärmeausdehnung des Schwefels, Selen und Tellurs 1084; Ausdehnungscoefficient und Atomgewicht, Ausdehnung und molekulare Verwandlung des Schwefels 1085.

**82:** Beziehung zwischen Wärmeausdehnung und Atom-(Molekular-)gewicht; Ausdehnung der Alaune 17 ff.; Ausdehnung anderer isomorpher Salze 19 f.; Nichtexistenz der Pentathionsäure 231; Verbindung verschiedener Substanzen (Metalle) durch starken Druck 1356 f.

**83:** Verhalten von Arsen gegen Zink, Blei, Zinn, Cadmium, Kupfer oder Silber unter starkem Druck 28 f.; Bildung von Sulfiden durch Druck 29 f.; neues Dilatometer für die Messung der Ausdehnung von Alaunen, Ausdehnungscoefficient von Ammoniumalaun, Thalliumalaun und Chromalaun 52 f.; Elasticität und specifisches Gewicht fester chemischer Körper 100 ff.; Erklärung der verschiedenartigen Farbe der natürlich vorkommenden Gewässer 276 bis 278; Constitution der Chlorsäuren 280; Kupfersulfid im Colloidzustande, Manganhyperoxyd 397; Aceton gegen Fünffach-Schwefelphosphor: Oxythiaceton, Mesitylsulfid, Thiophoron (?), Duplothiaceton, Derivate des Duplothiacetons 979.

**84:** Bildung von Sulfiden durch Druck 34 f., 35; vergleichende Messung der Ausdehnung der Alaune 64 f.; Berechnung der bei der Zusammenpressung fester Körper frei werdenden Wärme 171.

**85:** Verdrängung des Chlors aus seinen Verbb. durch Stickstoff, Koh-

lensäure, Wasserdampf 16 f.; Einwirkung von Baryumsulfat auf Natriumcarbonat unter starkem Druck 461.

**86:** graphische Darstellung des periodischen Gesetzes 16; Bildung von Verbindungen durch Druck, Einwirkung von Natriumsulfat auf Baryumcarbonat 39; Wärme der Legirungen von Blei und Zinn 193 f.; Erklärung der verschiedenen Färbungen des Meer- und Seewassers 2314 ff.

**Spring (W.) und Bourgeois (E.), 86:** Bildung von Schwefelsäure bei der Darstellung der Dithionsäure 332.

**Spring (W.) und Lecrenier (A.), 86:** Einwirkung von schwefelsäurem Kali auf die Halogenverbindungen des Schwefels, Constitution der letzteren 333 f.

**Spring (W.) und Legros (E.), 81:** methylunterschwefigs. Natrium 856.

**82:** unterschwefigs. Natrium gegen Alkylhaloidderivate: propyl-, isobutyl-, amylunterschwefigs. Natrium 996; Propyldisulfid, Isopropyldisulfid, Isobutyldisulfid, Amyldisulfid, Allyldisulfid, Thioacetaldehyd 997.

**Spring (W.) und Prost (E.), 84:** Untersuchung des Wassers der Maas 2032.

**Spring (W.) und Roland (L.), 85:** Kohlensäuregehalt der atmosphärischen Luft, Bestimmung des organischen Staubes in der Atmosphäre Lüttichs 408.

**86:** Kohlensäuregehalt der Luft in Lüttich 1799 f.

**Spring (W.) und Winsinger (C.), 81:** Aethylsulfosäure gegen Trichlorjod 857; Diäthylsulfon gegen Trichlorjod, Schwefeläthylxyd gegen Chlor 858.

**82:** Einwirkung von Chlor auf organische Oxydisulfide und Sulfonverbindungen (Aethylsulfosäure, Diäthylsulfon, Aethyloxydisulfid) 371; Propylsulfosäure, Dipropylsulfon, Schwefelpropylxyd, Schwefeläthylxyd gegen Chlor oder Trichlorjod 990 bis 993; Monochlorpropylsulfosäure, Molekularverbindungen der Salze derselben mit propylsulfosauren und propionsauren Salzen 991, 993; Trichlorpropan, Hexa- und Tetrachlorkohlenstoff, Dipropylsulfon 992.

- 83:** Sulfoverbindungen und Oxy-  
sulfide gegen Chlor 1233.
- 84:** Einwirkung von Chlor auf  
Sulfoverbindungen und organische  
Oxysulfide 1301 bis 1304: Mono-  
chloramylsulfosäure 1302; Dichlor-  
amylsulfosäure, Monochlordiamyl-  
sulfon, Dichlordiamylsulfon 1303;  
Trichlor-, Tetrachloramylen, Tri-  
chloramyl 1304.
- Springer (A.), **83:** Bildung von Mikro-  
organismen im Tabaksabsud bei der  
Umwandlung von Nitraten in Nitrite  
durch Gährung 1508.
- Springmühl (F.), **84:** Herstellung  
des Condensed Beer 1801 f.
- Spruck (L.), siehe Claus (A.).
- Squibb, **83:** Herstellung, Verwen-  
dung und physiologische Wirkung  
der medicinischen Oleate 1762.
- 85:** spezifisches Gewicht des Ae-  
thylalkohols 1159 ff.; spezifisches Ge-  
wicht des Aethers auf seinen Gehalt  
an Wasser und Alkohol 1162; Dar-  
stellung von Cocain 1713 f.; Tren-  
nung desselben von Hygrin, Conser-  
virung der Cocainlösung 1714.
- 86:** Morphinbestimmung 1976.
- Squibb (E. R.), **78:** Anwendung und  
Darstellung der Bromwasserstoffsäure  
für medicinische Zwecke 215 f.
- 82:** Opiumprüfung 1335.
- 85:** Coca-Production und Handel  
1810.
- Squibb (E. R.), Squibb (E. H.) und  
Squibb (Ch. F.), **82:** Methoden  
zur Untersuchung der Chinarinden  
1168.
- 85:** Marktverhältnisse von Eri-  
throxylon Coca (Cocain) 1810.
- Squire, **77:** Schwefelsäureanhydrid  
1141.
- Squire (W.), **84:** Umwandlung von  
Stärke in Zucker und Alkohol  
1802 f.
- Ssabanejew (A.), **85:** Darstellung  
von Monobromacetylen 722 f.
- 86:** Einwirkung von Schwefel-  
säure auf Oleinsäure: Oxy- und Sulf-  
oxystearinsäure 1408 f.
- Ssiwoloboff (Ssiwoloboff, Ssiwo-  
lobow) (A.), **86:** Siedepunktsbestim-  
mung 182; Darstellung und Reduc-  
tion von Mannitdichlorhydrin:  
Mannitanmonochlorhydrin 1214 f.;  
Eigenschaften und Verhalten des  
 $\beta$ -Mannids 1215; siehe auch Siwo-  
lobow (A.).
- Ssokolow (N.), **86:** Verhalten des  
Nitroäthans gegen Alkalien: Oel  
 $C_6H_9NO$  659.
- Ssorokin (W.), **85:** Milchsäure aus  
Lävulose 1339.
- Staats, **84:** Untersuchung über das  
Asaron 1442.
- Staats (G.), **80:** o- und p-Toluidin-  
derivate 537 f.
- Stables (W. H.) und Wilson (A. E.),  
**83:** Viscosität von Saponinlösung 99.
- Stacewicz (T.), **84:** spezifisches Ge-  
wicht gasförmiger Verbindungen 69 f.;  
spezifisches Volum des Wasserstoffs  
70; Bildung der Elemente durch  
Condensation von Wasserstoff, Atom-  
gewicht dimorpher Körper 167.
- Stache (G.) und John (C. v.), **77:**  
Labrador- und Quarzporphyr 1359.
- 79:** Cevedalegebiet 1249.
- Stackmann (A.), **85:** Untersuchung  
der Mineralwässer von Paekoup oder  
Gorjatschy Kljutsch 2319 f.
- Stackmann (W.), siehe Döbner  
(O.).
- Stackmann (W.) und Döbner (O.),  
**78:** Benzoresorcin und Dibenzo-  
resorcin 632 f.
- Stade (G.), **84:** Zuckerraffinerie 1793.
- Stadelmann (E.), **79:** Umwandlung  
der Chinasäure in Hippursäure 982.
- 81:** Wirkung des Toluyldiamins  
1065.
- 82:** Gallenfarbstoffbildung 1207 f.;  
Beiträge zur Lehre vom Icterus 1221;  
Arsenwasserstoffvergiftung 1226.
- 83:** Ursachen der pathologischen  
Ammoniakabscheidung beim Dia-  
betes mellitus, Coma diabeticum  
1478 f.
- 85:** Vorkommen von  $\alpha$ -Croton-  
säure im diabetischen Harn 1842.
- Stadius (K.), **78:** Anthophyllitana-  
lyse 1249.
- Stadler (O.), **84:** Verhalten der Mer-  
captane gegen Diazokörper 912 f.;  
Methode zur Darstellung von Phenyl-  
mercaptan 952.
- 85:** Nitrokörper des Thiophens  
1192 bis 1194: isomeres Dinitro-  
thiophen, Mononitrothiophensulfo-  
säure 1193; Mononitrothiophensulfo-  
chlorid, Mononitrothiophensulfoamid  
1194; Darstellung von Monoamido-  
thiophen (Thiophenin) 1194 f.; salz.  
Thiophenin 1194; Farbstoffe aus

Thiophenin mittelst Acetylchlorid und Diazokörpern, Diazobenzol-Thiophenin-Chlorhydrat, Darstellung von Mononitrothiënol 1195; siehe Meyer (V.).

Stadthagen, **85**: Vorkommen von Cystin im normalen Harn 1839.

Stadtländer (O.), **85**: optische Untersuchungen von Analcim, Natrolith und Philipsit 2295 f.

Staedel (W.), **77**: Chloracetylbenzol 630; Isoindol 631.

**78**: Regelmäßigkeiten in den Siedepunkten der gechlorten Aethane 36, der gechlorten Propane 37; Benzophenon 628; Untersuchung der Traubensäure aus Glyoxal, Blausäure und Salzsäure 713; Benzophenondisulfosäure 856.

**79**: Halogensubstitutionsproducte des Aethans 383.

**80**: Tensionszuwachs von Chlorverbindungen der Fettreihe 473 f.; Apparat zum Aufsammlen des Stickstoffs 1243.

**82**: Metanitrile 622.

**83**: Brom- und Jodhydrate aromatischer Basen 885 f.; technische Gewinnung secundärer und tertiärer Basen aus den Brom- und Jodhydraten von Anilin und Toluidin 708; nitrierte Phenoläther 883 f.; Phenoläther 884; Benzophenonderivate, Schmelzpunkte von Diphenylmethan- und Benzophenonderivaten, Bromacetophenon, Bromide von Phenylaceton, Desoxybenzoin, Dibenzylketon, Isopropylphenylketon gegen Ammoniak, chemische Nomenclatur (Phenacyl, Benzacyl, Tolacyl, Amphinitrile) 982; Druckregulator für Destillationen und Siedepunktbestimmungen 1657.

**84**: Structur des v-s-Dinitrotoluols, Umwandlung in Mononitrotoluidin 584; Structurformeln von Trinitrotoluol, Dinitrotoluidin, Mononitrotoluidin 585.

**85**: Darstellung von krystallisiertem m-Kresol und Aethylacetanilid 1267.

**86**: Entalkylierung tertiärer aromatischer Amine: Monomethylanilindibromhydrat aus Dimethylanilindibromhydrat und Phenacylbromid, Methylacetanilid aus Dimethylanilid und Acetylbromid 817; Methylacet-m-chloranilid aus Dimethyl-m-chloranilin und Acetylbromid 817 f.;

Aethylacetanilid aus Diäthylanilin und Acetylbromid 818; Darstellung der Phenyllessigsäure 1446; siehe Baur (H. vom); siehe Hahn (E.); siehe Reinhardt (H.).

Staedel (W.) und Bauer (H.), **86**: Methylierung des m-Mononitroanilins 829 bis 832: Einwirkung von Methylalkohol auf bromwasserstoffsäures m-Mononitroanilin: Trimethyl-m-nitrophenylammoniumverbindungen 830 f.; m-Mononitrodimethylanilin 832; vortheilhafte Darstellung verschiedener Azoverbindungen: Diazoamidobenzol 1019; Amidoazobenzol 1019 f.; m-Mononitrophenylazodimethylamidobenzol 1020; m-Monochlorphenylazodimethylamidobenzol 1020 f.; m-Mononitrophenylazo-m-chloridimethylamidobenzol 1021.

Staedel (W.) und Becker (H.), **83**: v-s-Dinitrotoluol aus Dinitro-p-toluidin 884.

Staedel (W.) und Damm (G.), **78**: Monobrom-o-nitroanisol 546; Bromo-anisidin 552.

**80**: Anisolderivate 634.

Staedel (W.), Damm (G.) und Wafsmann (Th.), **83**: Monobrom-o-nitroanisol 888 f.; Monobrom-o-nitrophenetol, Dibrom-o-nitrophenetol 889; Monobrom-o-anisidin 889 f.; Monobrom-o-phenetidin 890; Dibrom-o-anisidin 890 f.; Dibrom-o-phenetidin, Monobrom-p-nitroanisol, Monobrom-p-nitrophenetol 891; Dibrom-p-nitrophenetol, Monobrom-p-anisidin, Monobrom-p-phenetidin, Dibrom-p-anisidin, Dibrom-p-phenetidin 892.

Staedel (W.) und Gail (Fr.), **78**: Dioxidiphenylketon und Derivate 629.

Staedel (W.) und Hahn (E.), **79**: Regulierung des Luftdruckes 1084.

Staedel (W.), Hahn (E.) und Vollmar (G.), **82**: Siedepunkte und specifische Volumina gechlorter Aethane 45 ff.

Staedel (W.) und Hölz (O.), **85**: Zusammensetzung des käuflichen Xylidins, Darstellung von Xylolderivaten 894 bis 896: as-Amido-m-Xylol 894; Salze des a-m-Xylidins, a-Oxy-m-xylol (a-m-Xylenol), a-m-Oxytoluylsäure 895; Derivate des p-Xylohydrochinons: Dibenzoyl-p-hydroxylochinon 895 f.; Diäthylhydroxylochinon 896.

- Staedel (W.) und Hoffmann (P.), Göbel, Merkin (W. A.), Fikentscher (Fr.) und Schwab (L.), **81**: neue Aether von Phenolen und Einwirkung von Salpetersäure auf Phenoläther: Aethyl-p-kresyläther Dinitroäthyl-p-kresyläther), Aethyl-o-kresyläther (Mono- und Dinitroäthyl-o-kresyläther) 521 f.; Äthylen-o-kresyläther, Trinitrobenzylphenyläther 522; Benzyl-o-kresyläther (Trinitrobenzyl-o-kresyläther), Benzyl-p-kresyläther (p-Nitrobenzylnitrat), Methyl- $\alpha$ -naphthyläther (Trinitromethyl- $\alpha$ -naphthyläther), Methyl- $\beta$ -naphthyläther (Trinitromethyl- $\beta$ -naphthyläther), Aethyl- $\beta$ -naphthyläther (Trinitroäthyl- $\beta$ -naphthyläther 523; Benzyl- $\beta$ -naphthyläther 524.
- Staedel (W.) und Kayser, **83**: Amido-kresoläthyläther 884.
- Staedel (W.) und Kleinschmidt, (Fr.), **78**: Pleochroismus des Isoindols 508.
- 80**: Isoindol 587.
- Staedel (W.) und Prätorius (H.), **78**: Nitrirung des Benzophenons und Diphenylmethans 629.
- Staedel (W.) und Sauer (E.), **78**: Diamidobenzophenon aus Dinitrobenzophenon 630.
- 80**:  $\beta$ -Dioxybenzophenon 719 f.
- Staedel (W.) und Siepermann (O.), **80**: Dimethylanilin gegen Bromacetylbenzol 534 f.
- 81**: Bromacetophenon (Acetophenoubromid), Jodacetophenon 458.
- Stahl (W.), **86**: Raffination, Analyse und Eigenschaften des Kupfers 2042.
- Stahlschmidt (C.), **77**: Polyporsäure und Derivate 797.
- 79**: Polyporsäure 907.
- Stahlschmidt (F.), **77**: Zink- und Cadmiumgewinnung 1118.
- Stahlschmidt (H.), siehe Hellen (A. zur).
- Stahre, **79**: *Paeonia peregrina* 929.
- Stahre (L.), **79**: Pyrochroit 1189.
- Staiger, Piturin 828.
- Stalars (C.), siehe Wallach (O.).
- Stallard, **82**:  $\beta$ -Naphtol gegen Schwefelsäure 429.
- Stallard (G.), **86**: Constitution der Monobromphtalsäuren 1454.
- Stallo (Miss H.), **77**: spec. Gewicht von Salzen 45.
- 78**: spec. Gewicht einiger Verbindungen 25.
- Stallo (Helena), siehe Clarke (F. W.).
- Stamm (L.), **77**: Alizarindampfroth, Rotherorange 1241.
- Stammer, **77**: Abgangswässer aus Zuckerfabriken 1192.
- Stammer (K.), **77**: Branntwein 1199.
- 84**: Löslichkeit von schwefels. Bleioxyd in basisch essigs. Blei 1602.
- Stamo (Marie), **79**: spezifische Wärme des Wassers 93.
- Stanecki (Th.), **86**: depolarisirendes Element 242 f.
- Stanford (E. C. C.), **77**: Jodfabrikation 1136.
- 83**: Nachweis und Bestimmung von Jod im Leberthran und anderen Fischölen 1731 f.
- 84**: Verwendung der Meerespflanzen zur Erzeugung von Kelp und Algin 1454 f.; Untersuchung von Algin 1839.
- 85**: Algin und Algen 2197 f.
- 86**: Alginsäure 1809 f.
- Stanley (A.), **86**: Eigenschaften des Natriumdichromats 422 f.
- Stansell (L.), siehe Piesse (Ch. H.).
- Stapff (F. M.), **84**: Lagerungs- und Abbauverhältnisse des Steinsalzberges von Cardona 1922.
- Stapleton (J.), **82**: ammoniakfreie alkalische Permanganatlösung 1261.
- Stark, **83**: Transparentleder 1780.
- 85**: Reservoirbürette 2004; siehe Wiik (F. J.).
- Stark (J. Flemming), **85**: Chlorimeter zur Bestimmung des Chlors in Bleichkalkkammern 1900.
- Starke (M.), **82**: Herstellung grüner Schmierseifen 1462.
- Starkl (G.), **80**: Bol, Polyhydrit 1474.
- 83**: Analyse des Biotits von Christianberg im Böhmerwalde 1885; Analyse der Hornblende von Christianberg im Böhmerwalde 1892; Untersuchung des Plagioklases von Christianberg im Böhmerwalde 1896 f.; Beschreibung und Analysen des Pyknophyllits und Leucophyllits von Aspang und Frohsdorf, Oesterreich unter der Enns 1902 f.; Untersuchung des Copalins von Hütteldorf bei Wien 1909; Glimmerdiorit von Christianberg, Böhmerwald 1928.
- 84**: Analyse von Schuchardt 1963.
- Starling (C.), siehe Thompson (S. P.).

Staub (A.), siehe Toennies (P.).

Staub (Ad.) und Smith (W.), **84**: Verbindungen von Phenolen mit Oxalsäure (Nebenproduct in der Aurinfabrikation) 962 f.; Phenyl-ortho-oxalsäureäther,  $\beta$ -Naphthylortho-oxalsäureäther,  $\alpha$ -Naphthylortho-oxalsäureäther 963; Schmelzpunkt der wasserfreien Oxalsäure 1102; Nebenproducte der Aurinfabrikation 1881 f.

**85**: Verhalten von Isodinaphtyl gegen die gebräuchlichen Oxydationsmittel (Isodinaphtylchinon) 717 f.; Tetranitro- und Amidoisodinaphtyl 718.

Stauffer (B.), siehe Krafft (F.).

Staute (H.), **84**: Untersuchung von Pinnoit 1928.

Stavely (W. W.), **81**: Reinigung des Naphthalins 364; reine Coke 1314.

Stead, siehe Bell (L.).

Stead und Wood (Ch.), **86**: graues Gußeisen aus weißem und siliciumreichem Gußeisen 2028.

Stead (J. E.), **81**: Apparat zur Gasanalyse (Hochofengas-) 1234.

**83**: Bildung einer organischen Substanz beim Lösen des Eisens in Salpetersäure, colorimetrische Methode zur Bestimmung von Kohlenstoff in Eisen und Stahl, Chromometer hierzu 1553; Bessemer-Converter, saurer und basischer Proceß 1668 bis 1670.

Stearn (C. A.), **85**: Quecksilberluftpumpe 2003.

Stearn (C. H.), **83**: Anwendung des elektrischen Lichtes zur Beleuchtung des Mikroskops 1654.

Stebbins (J. H.), **80**: Bromtolylbromid 492; Amine gegen Benzotrichlorid 526; Farbstoff aus Nitrosodimethylanilin 536; Azoxy- und Azoverbindungen 575 f.; Bromanil gegen secundäre und tertiäre Amine 733.

**81**: Azofarbstoffe: m-nitrobenzolz- $\beta$ -naphtholdisulfosäure, Natrium, Resorcinazoxylolsulfosäure, Phenolsulfosäureazonnaphthalinsulfosäure,  $\alpha$ - und  $\beta$ -Naphtolazoxylolsulfosäure, m-Nitrobenzolz- $\alpha$ -naphtol,  $\beta$ -Phenanthrolazoxylolsulfosäure, Dibrom- $\alpha$ -naphtolazoxylolsulfosäure, Dinitrophenolazonnaphthylamin, Naphthalinsulfosäureaz- $\beta$ -naphtholdisulfosäure 498 f.; Azobenzol- $\alpha$ -thymolsulfosäure 876; p-Azotoluol- und p-Azoxylol- $\alpha$ -thymolsulfosäure 877.

**85**: Benzylmethylanilin, Ueberführung in die Leukobase eines dem Malachitgrün ähnlichen grünen Farbstoffs 2222 f.

Stebbins (J. H. jun.), **84**: Einwirkung von Diazo- $\beta$ -naphthalinchlorid auf Phenole: Phenolazo- $\beta$ -naphthalin 964; o-Kresolazo- $\beta$ -naphthalin, Resorcinazo- $\beta$ -naphthalin 965.

Steenstrug, **77**: nickelhaltiges Eisen 1114.

Steenbusch (Ch.), **81**: Mehluntersuchung 1311.

Steenstrup (K. J. V.) und Lorenzen (J.), **84**: Untersuchung über das grönländische Eisen 2043 f.

Stefan (J.), **77**: Wärmeleitungsvermögen des Hartgummi's 100.

**78**: Diffusion der Kohlensäure durch Alkohol und Wasser, Diffusionscoefficient, Diffusionsgesetz 46 f.

**79**: Diffusion der Flüssigkeiten, Verbreitung der Wärme durch Leitung, Berechnung der Diffusionserscheinungen 80 f., Wärmestrahlung 104.

Stefani (C. de), **77**: Eisenglanz 1272.

Steffen, **84**: Fällung des Zuckers als dreibasischen Zuckerkalk 1789 f.

Steffen (L.), siehe Buonaccorsi di Pistoja (Graf A.).

Steffens (H.), **80**: Vorkommen von Jod 266.

**83**: Ammoniak aus dem Alkohol der Melasse-Entzuckerungsfabriken 1684.

Stegelitz (P.), siehe Claus (A.).

Steiger (A.), **86**: Filtration von Wasser 2111.

Steiger (E.), **86**:  $\beta$ -Galactan 1784; siehe Schulze (E.); siehe Treadwell (F. P.).

Stein (C.), **77**: Phosphatsedimente im alkalischen Harn 1003.

Stein (G.), **79**: Citronensäure in der Drosers intermedia 934; Türkisch-rothöl 1176.

**82**: Anwendung des Alizarins in der Kattundruckerei und Färberei 1506 bis 1510.

**83**: Eisenrhodanid im käuflichen Rhodanaluminium, Bestimmung des Eisens in demselben 1700; siehe Claus (A.).

Stein (H.), siehe Kelbe (W.).

Stein (St. von), **84**: Darstellung von Hämoglobinkristallen 1483,

Stein (W.), **77**: Weinfarbstoffe 1204; Ultramarin 1231.

**78**: Nachweis fremder Farbstoffe im Weine 1089.

Steinau (R. und Ch.), **78**: Farben aus Eisenabfällen 1195.

Steinauer (E.), **81**: Oxydationen im Thierkörper (Harn) 1034.

Steinberg (A.), siehe Claus (Ad.).

Steinbrügge (H.), **85**: Nichtvorkommen des Keratins in der Gehörschnecke 1845.

Steiner, siehe Vienne.

Steiner (A.), **78**: Dithymyläthan 404, 593; Derivate 405, 594.

**82**: Verhalten der Perthiocyansäure gegen Cyankalium 373; Trichloracetamid gegen Chlor und Wasser: Trichloracetylchloramid 818; Nitroessigäther 818 f.

**83**: Zersetzung des Knallquecksilbers 473; siehe Billeter (O.).

Steiner (J.), **79**: Bestimmung des Traubenzuckers 1069.

**80**: Drehung des Zuckers 215.

**81**: Rotation der Maltose 984 f.; siehe Halse (W. E.).

Steinfeld (W.), **86**: toxische und therapeutische Wirkungen des Wisnuths 1864.

Steinheil, siehe Lauber.

Steinicke (G.), siehe Elbs (K.).

Steinkauler (Th.), siehe Lunge (G.).

Steinle und Hartung, **86**: zerlegbares Thermometer 2009.

Steinmann (A.), **80**: basisches Kupfersulfat 330.

**82**: basisches Kupfersulfat 333.

Steinmann (F.), **77**: Gasfeuerung 1213.

Steinmann (Th.), **84**: Abscheidung von Hexadecyl- und Octadecylalkohol aus Cetylalkohol 949; Darstellung von Cetylmalonsäure 950.

Steinmetz (O.), **80**: Denaturierung des Alkohols 1352.

Stelling (A.), **83**: Bestimmung der Phosphorsäure im sogenannten Leimkalk 1543 f.; Bestimmung von Phosphorsäure in Knochenmehlen 1639.

**84**: Bestimmung des Stickstoffs in künstlichem Dünger 1612.

Steltzer (L. J.), **80**: Kastanienblätter 1077.

Stelzner (A.), **77**: Kalkphosphate (Sombrierit, Pyroclasil, Moroxit) 1304.

**80**: Zinkspinell 1412; Erzgänge 1492.

**82**: Melilithbasalte 1608 ff.

**83**: Glaukophanepidotgestein von Sonvillier, Berner Jura 1926 f.; Melilith führende Basalte aus dem Erzgebirge, Melilithbasalt von Elberberg, Hessen 1931.

**84**: Vorkommen von Rutil und Anatas 1916; Analyse von Olivin 1953; Entwicklungsgang der petrographischen Untersuchungsmethoden 2005 f.; siehe Erhard (Th.); siehe Meyer (J.); siehe Schulze (H.).

Stelzner (A.) und Meyer (J.), **82**: Olivin aus Württemberg 1547; Perowskit von Owen 1573.

Stelzner (A.) und Schertel (A.), **82**: Fayalitschlacken 1548 f.

Stelzner (A.) und Schulze (H.), **81**: Zinkspinell, Tridymit und Zinksilicat aus den Muffelöfen der Zinkdestillation 1248.

**82**: Melilith von Württemberg 1552.

Stempnewsky (N.), **82**: Jodäthyl gegen schwefelsaures Silber: Schwefelsäure-Aethyläther 645; Jodäthyl gegen isäthionsaures Silber; Isäthionsäure-Aethyläther 645 f.

Stempnewsky (S.), **77**: Vinylbromür aus Aethylenbromür 399.

Stempnewsky (St.), **78**: Darstellung des Glycols 522; Schwefelsäure-Aethyl- und Isoäthionsäure-Aethyläther 837.

Stengel (Fr.), **83**: Salze der Diäthylbenzoëdischwefelsäure 1280 f., der Dimethylbenzoëdischwefelsäure 1281 f., der Dipropylbenzoëdischwefelsäure 1282.

Stenger (F.), **84**: Wärmeleitfähigkeit des Turmalins 165 f.

**85**: Elektrizitätsleitung der Gase 291.

Stenger (Fr.), **83**: Verhalten des Kalkspathes im homogenen magnetischen Felde 231.

**86**: Fluorescenzerscheinungen 312.

Stenglein, **86**: Zumaischen von Getreide 2139.

Stenhouse (J.) und Groves (C. E.), **77**: Nitroso- und Nitroorcin 571; Darstellung von Nitrosoderivaten 575; Nitroso- $\beta$ -naphthol 579;  $\beta$ -Naphtochinon 580, aus Nitroso- $\beta$ -naphthol 651; Gardenin, Gardeninsäure 933.

**78**: Darstellung von Dichinon und Dichinol aus  $\beta$ -Naphtochinon



- 653 f., aus Benzochinon und  $\alpha$ -Naphtochinon 654.
- 79:** Gardenin, Gardeniasäure 911.
- 80:** Oxydation von Trichlororcin 660 f.; Betorcinol 661 f.
- 81:** Usninsäure 853; Usnolsäure 854.
- Stenner, **80:** Quellwasser 1528.
- Stephan (C.), **82:** Beziehungen zwischen Fluidität und elektrischem Leitungsvermögen 155 f.
- Stephan (J.), **86:** Capillarität und Verdampfung 87.
- Stephan (R.), **86:** Darstellung substituierter Amidofettsäuren aus ihren Nitrilen:  $\alpha$ -Anilidopropionsäure und Derivate 1291 f.;  $\alpha$ -p- und  $\alpha$ -o-Toluidopropionsäure nebst Derivaten 1292; siehe Tiemann (F.).
- Sterling, **77:** Erdöllampe 1219.
- Stern (A. L.), **86:** Einwirkung des Broms auf Phosphortrichlorid 362.
- Stern (D.), **84:** Verhalten von Hydroazobenzol gegen organische Säurechloride und -anhydride: Dibenzoylbenzidin, Diformylbenzidin, Monoacetylhydroazobenzol, Diacetylhydroazobenzol 854; siehe Clarke (F. W.).
- Sternberg (A.), **85:** Gewinnung von Ferrocyanverbindungen 2080; siehe Claus (A.).
- Sterry-Hunt (T.), **78:** Verhältnisse der Atmosphäre zu den geologischen Vorgängen 1280 f.
- 82:** Kupferextraction 1377 f.
- Stendel (V.), **82:** Transpiration von Dämpfen 62 f.; Bildung und Zersetzung des Acetanilids 518 f.
- Staudemann (H.), **83:** m-Nitrophenylsenfö, nitrirte Phenylthioharnstoffe 476 f.; o-Nitro-p-tolylphenylthioharnstoff und o-Nitro-p-tolylsenfö 477 f.; nitrirte Tolythioharnstoffe 478.
- 84:** m-Nitrophenylsenfö 486; Nichtbildung von Toluylsenfö aus Toluylendithioharnstoff resp. Toluylendiphenyldithioharnstoff 665.
- Staudemann (H.) und Gabriel (S.), **82:** Derivate der Hydrozimsäure 931.
- Stevens (E. K.); siehe Hill (H. B.); siehe Trowbridge (J.).
- Stevens (Th. C.), **81:** Löthrohrgebläse 1233.
- Stevensohn (Th.), und Wills (J. L.), **84:** Aufnahme von Zink durch Wasser 1701.
- Stevenson, **85:** chemische Veränderungen durch Mikroorganismen 1825.
- Stevenson (A. F.), **80:** Jalapawurzel 1084.
- Stevenson (J.), siehe Mills (E. J.).
- Stevenson (Th.), **84:** Aufnahme von Zink durch Regenwasser 1701.
- Stevenson (W.), **77:** Jodwasserstoff, Jodsäure, Jodide und Jodate 214.
- 79:** Chininbestimmung im Chinineisencitrat 795.
- Stewart (B.), **86:** Modification des Bunsen'schen Escalorimeters 184.
- Stewart (Ch.), **80:** elektrische Lampe 1245.
- Stewart (J.), **86:** antiseptische Eigenschaften des Naphtalins 1878 f.
- Stiafany (A.), **77:** Ersatz von Indigo 1233.
- Stickel (C.), siehe Lellmann (E.).
- Stiemer (H.), **85:** Verwendung von Torfgas 2177.
- Stierlin (C.), **80:** künstliches Leder 1373.
- Stillingfleet-Johnson (G.), siehe Johnson (G. Stillingfleet).
- Stillmann (J. M.), **79:** Bernardinit 1241 f.
- 80:** Lobeerbaumöl 1080; Schellack 1084; Bernardinit 1483.
- Stillwell (Ch. M.), **86:** Opiumanalyse 1976.
- Stingl (J.), siehe Morawski (Th.).
- Stingl (J.) und Morawski (Th.), **79:** Soda, Regenerierung von Schwefel aus schwefeliger Säure und Schwefelwasserstoff 1110 f.
- 86:** Untersuchung der Sojabohne 1814 f.
- Stinson (J. M.), **82:** Analyse von Phytokollit 1578.
- Stintzing (R.), **79:** Kohlensäure der Muskeln 975.
- Stock, **79:** Titiren von Eisensalzen 1087.
- Stock (W. F. K.), **79:** Kupferchlorid-Chlorammonium gegen Schwefeleisen 1044 f.; Analyse von Kesselspeisewasser 1103.
- 86:** Ausfällung der phosphorsauren Ammonmagnesia 1930.
- Stockmann (R.), **85:** Darstellung von Cathartinsäure aus den Sennesblättern 1812 f.
- 86:** physiologische Wirkung des Benzoylegonins 1865.
- Stockmeier (H.), siehe Erlenmeyer (E.).

Stoddard (J. E.), **80**: Entsilberung des Bleies 1267.

Stoddard (J. T.), **78**: Anhydrobenzamidtoluylsäure 781 f.

**82**: Entflammungspunkt des Petroleums 1459.

**84**: Entflammungspunkt des Petroleums 1819.

Stoddard (W.), **77**: Zinkoxyd 1064; Coelestin 1294.

Stoddard (W. W.), **80**: Alaun in Brot und Mehl 1221.

Stöckenius (O.), **78**: Phenylamidoessigsäure 778 f.; Phenylanilidoessigsäure 779 f.; Phenyl-p-toluidoesigsäure 780 f.; Phenyl-o-toluidoesigsäure 781.

Stöckly (F.), **81**: Fäulnis des Gehirns 1042.

Stöckmann (A. C.), **78**: Fabrikation von Ferromangan 1104.

Stöckmann (C.), **77**: Phosphorbestimmung in Eisen 1056; Eisen von Mangan im Spiegeleisen 1063.

**84**: Herstellung basischer Strontianit-Ziegel 1708.

Stöder (W.), **77**: Calciumphosphat 248.

**78**: Untersuchung von Chinarinden 874.

Stöhr (C.), **84**: Untersuchung von Hydro-p-cumarsäure 1252 bis 1259; Dibrom-p-hydrocumarsäure 1253; Mononitrohydro-p-cumarsäure 1254; Dinitrohydro-p-cumarsäure 1255; Dinitromethylhydro-p-cumarsäure, Dinitroäthylhydro-p-cumarsäure 1257; Dinitro-p-amidohydrozimtsäure 1258.

**85**: Darstellung von Strychninsulfosäuren 1693 f.; Strychninmonosulfosäure und Salze 1693; Strychnindisulfosäure und Salze 1694.

**86**: Geschichte des Couliis 1691.

Stöhr (K. F.), **84**: Gewinnung der Metalle aus Erzen, Schlacken, Kiesabbränden 1703.

Stöhrer (E.), **79**: Kohlenlichtregulator 1143.

Störmer (E.), **80**: Hektographen-Tinte 1376.

Störmer (F.), **83**: Apparat zur Wiedergewinnung des Natrons aus den bei der Herstellung von Zellstoffen verwendeten Laugen 1776.

Stoffel (L. M.), **79**: Inoxydation des Eisens 1092.

Stohmann (F.), **77**: Wasserbestim-

mung durch den Respirationsapparat 1035.

**79**: Ermittlung der Verbrennungswärme, Calorimeter 90 f.

**81**: Bestimmung der Säure im Oel 1221.

**84**: calorimetrische Methode 162.

**85**: Verbrennungswärmen von organischen Säuren, Phenolen und Aethern 194 f.; thermochemische Beziehungen der Säuren und Alkohole der Fettsäurereihe 197 f.

**86**: Verbrennungswärme des Benzols 224 f.; siehe Henneberg (W.). Stohmann (F.) und Rechenberg (C. v.), **84**: calorimetrische Methode der Verbrennung mit Kaliumchlorat und Braunstein 162 f.

Stohmann (F.), Rechenberg (C. v.), Wilsing (H.) und Rodatz (P.), **84**: Verbrennungswärme der wichtigsten Nährstoffe und Körperbestandtheile 207 ff.

Stohmann (F.) und Rodatz (P.), **85**: Bestimmung der Verbrennungswärme der Laurinsäure und Myristinsäure 194; Bestimmung des Wärmewerthes der niederen Glieder der Fettsäurereihe 195 f., der höheren Glieder derselben 196.

Stohmann (F.), Rodatz (P.) und Herzberg (H.), **86**: Verbrennungswärme des Benzols 223, von Oxybenzolen 224.

Stohmann (F.) und Wilsing (H.), **85**: Bestimmung der spec. Wärme und Schmelzwärme der Myristinsäure und Laurinsäure 128 f.

Stojentin (M. v.), **84**: Einwirkung von Aethoxalylchlorid auf Diphenylthioharnstoff, Triphenylguanidin und Phenylharnstoff 507 f.

**85**: Einwirkung von Aethoxalylchlorid auf Harnstoff- und Guanidinderivate: Thiocarbanilidthiooxanilid 644 f.; Oxalylidiphenyldithiobiuret 645; Carbonyltriphenylguanidin 646.

Stokes (A. W.) und Bodmer (R.), **85**: Bestimmung von Milchzucker neben Rohrzucker 1979 f.

Stokes (G. G.), **81**: Zähigkeit von Gasen 66.

**82**: Ursache des hellen Bandes an der Grenze dunkler Gegenstände auf Photographien 201; Neuerungen an Spectralapparaten 1350.

**83**: Intensität des von Metalloberflächen reflectirten Lichtes 255.

**85:** krystallinische Reflexion 3.  
Stokes (H. N.), siehe Pechmann (H. v.); siehe Remsen (J.).

Stokes (H. N.) und Pechmann (H. v.),

**86:** Einwirkung von Ammoniak auf Acetondicarbonsäure-Aethyläther, Synthese von Pyridinderivaten 748 bis 761; Verbindung  $C(OH)(NH_2)(CH_3COOC_2H_5)_2$  749;  $\beta$ -Oxyamidoglutaminsäure-Aethyläther ( $\beta$ -Imidoglutaminsäure-Aethyläther) 749 f.; Verhalten desselben gegen Alkalien: Glutazin 750; Verhalten und Salze des Glutazins 751; Verhalten desselben gegen Brom 751 f.; Pentabromacetylacetamid 752; Verhalten des letzteren gegen Wasser: Dibromacetamid, gegen alkoholisches Ammoniak: Dibrommalonamid 752; Verhalten des Glutazins gegen Acetylchlorid: Monoacetylglutazin (Monoacetyldioxyamidopyridin) 752 f.; Verhalten des Glutazins gegen Salzsäure: symmetrisches Trioxypyridin 753 f.; Verhalten des letzteren gegen Hydroxylamin: 1,5-Diketo-3-oxymidopiperidin 754 f.; Verhalten des Glutazins gegen Phenylhydrazin 755, gegen Schwefelsäure: Trioxypyridinanhydrid 755 f.; Constitution des Glutazins 757; Verhalten desselben gegen Phosphorpentachlorid: 2,4-Dichlor-1,5-dioxy-3-amidopyridin (Dichlorglutazin), 1, 2, 5-Trichlor-3-amidopyridin 758; 1, 2, 4-Trichlor-5-oxo-3-amidopyridin 758 f.; 1, 2, 4, 5-Tetrachlor-3-amidopyridin 759; Verhalten desselben gegen Natriumäthylat: 1, 2, 4-Trichlor-5-äthoxy-3-amidopyridin 759 f.; Einwirkung von Natriumäthylat auf Tetrachloramidopyridin: Dichlor-1(?)-diäthoxy-3-amidopyridin und Dichlor-1-oxoäthoxy-3-amidopyridin 760 f.

Stoklasa (J.), **80:** Koprolithen und Fischzähne aus der Kreideformation 1486 f.

Stokvis (B. J.), **84:** Nachweis von Eiweiß im Harn 1681 f.

**86:** Ursache der giftigen Wirkung von chloresäuren Salzen 1862 f.; siehe Jaarsveld (G. J.); siehe Velde (A. van de).

Stolba (F.), **77:** Rubidiumoxalat 242; Reinigung von Platintiegeln 1034.

**78:** Trennung der Alaune des Cäsiums, Rubidiums und Kaliums 1057 f.; Scheidung des Cers vom

Lanthan und Didym 1059 f.; Titerstellung des Chamäleons mit oxalsaurem Blei 1067; Anwendung von Glaswolle zum Filtrieren 1096.

**79:** Zersetzung des Wasserdampfes durch glühendes Eisen 174 f.; Kiesel-fluorcalcium 239; Bestimmung von Kiesel-fluorcalcium 1042; Cerbestimmung 1044; oxalsaures Blei zum Titerstellen des Chamäleons 1050.

**80:** Zersetzung von Kiesel-fluor-natrium und -kalium 283; Lithium-oxalate 283; Kiesel-fluorstrontium 285; Cer-Bestimmung 1178; Apparat zur Bestimmung der Löslichkeit 1244; Utensilien aus Aluminium 1245; Pfannensalz-Analysen 1290; Kupfer in Steinkohlen 1361, 1482; Chlor-aluminium der Tuchfabriken 1372; Pfannensalz, Kryolith 1417; Dolomit 1419; Cerit 1441; Lepidolith 1451, Speckstein 1452; Kaolin 1471; Kupfer in Steinkohlen 1482; Flußwasser 1521 f.; Quellwasser 1526.

**81:** Vernickelung von Stahl und Gußeisen 1246.

**82:** Kohlensäurebestimmung im Sodawasser 1281; volumetrische Bestimmung von Cer, Lanthan und Didym 1286; Verarbeitung des Tellurerzes (Nagiagit) auf Gold und Tellur 1361 f.; Analysen von Granaten 1549.

**83:** Kiesel-fluormangan 372 f.; acidimetrische Bestimmung von Kalium-titanofluorid 1561; maßanalytische Bestimmung des Cers 1563.

**84:** arsen- und eisenfreies Zink 423; Mittel zum Aufschließen von Zirkon 1594; Darstellung von arsen-freiem Zink 1600.

**85:** Nickelgeräthe für den Laboratoriumsgebrauch 1896.

**86:** Aufschließen von Silicaten 1926; Gewinnung von Vitriolöl, Zusammensetzung von Caput mortuum 2048 f.

Stolba (M.), **82:** Nachweis der Alkalien im Silbernitrat 1283.

Stollár (J.), **78:** Stärkefabrikation aus Rolskastanien 1153.

Stolnikoff (J.), **77:** Galle gegen Fibrin- und Fettfäulnisse, Leucinsäure, Fäulnisproducte 1023.

Stolnikow, **80:** elektrische Reizung der Leber und Harnstoffgehalt des Harnes 1115.

- 84:** Untersuchung der Bedeutung der Hydroxylgruppen in einigen Giften 1508.
- Stolnikow (J.), **77:** Albumin im Harn 1093.
- Stolte (H.), **86:** Darstellung von Phenylselenensäure, Mono- und Diphenylselenharnstoff 559; organische Selenverbindungen: Selencyansäure-Methyläther, Selencyanursäure-Tri-methyläther, Monophenylselenharnstoff 1597.
- Stoltzer (L.), **83:** Krystalle von Stahl 1671.
- Stolz (Fr.), **86:** halogensubstituierte Acrylsäuren aus Jodpropargylsäure 1316 f.; siehe Homolka (B.).
- Stolze, **85:** Potaschenentwickler in der Photographie 2256.
- Stolze (F.), siehe Morgenroth (E.).
- Stone (G. C.), **83:** salpetersaures Mangan gegen chloresäures Kali 1569; Bestimmung des Mangans im Eisen 1674.
- Stone (W. H.), **80:** achromatisches Quarz- und Kalkspathspectroskop 195.
- Stoney (G. J.), **77:** Durchgang der Wärme durch Gasschichten 101.
- Stoney (G. J.) und Emerson (J. E.), **84:** Absorptionsspectrum der Chlorchromsäure 297.
- Storch (L.), **83:** eisenhaltige Lösungen von Zinnchlorid oder Zinnchlorid-Chlorammonium gegen Schwefelwasserstoff 1565; Löslichkeit der Sulfide von Kupfer, Eisen, Quecksilber und Cadmium in den Natrium- oder Ammoniumsulfosalzen des Molybdäns, Wolframs, Vanadins, Arsens, Antimons und Zinns 1577.
- 85:** Bleichmittel: Chlorozon 2203.
- 86:** Verhalten von Glycerin gegen Ammoniak: Pyridinbasen 1170 f.
- Storck (F.) und Benade (C.), **83:** Prüfung von Methylenblau auf Beimengungen von anderen Farbstoffen 1821.
- Storck (F.) und Stobel (Ch.), **80:** Rhodanverbindungen in der Färberei 1375.
- Storp (F.), **83:** Einfluss von zinksulfat- und kochsalzhaltigem Wasser auf Boden und Pflanzen 1714.
- Storer, **77:** Düngerwerth des Leders, der Farbholtzabfälle und der Gerberlohe, Buchweizen, Buchweizenstroh 1177.
- Storer (F. H.), **77:** Nachweis von Salpetersäure 1039.
- 78:** Salpeterbildung 222; Nitritbildung aus Ammoniumsalzen durch Bakterien 1022.
- 83:** Conservirung von Netzen und Segeln 1777.
- Storer (F. H.) und Lewis (D. S.), **83:** Mengen der in Coaksorten eingeschlossenen Gase 1754.
- Storer (H.), **77:** Einfluss der Gesteine auf die Fruchtbarkeit des Ackerbodens 1173.
- Storer (Mifs D.), **77:** spec. Gewicht von Salzen 43.
- Stracciati (E.), **83:** Entmagnetisirung des Eisens 230; siehe Bartoli (A.).
- Strache (H.), siehe Weidel (H.).
- Strasburger (J.), **83:** Mononitrophenanthrenchinon vom Schmelzpunkte 257<sup>o</sup> und Derivate: Nitrodiphenensäure, Amidofluoren 1010.
- 84:** Darstellung von p-Dinitrofluoren und p-Mononitrofluoren, p-Monoamidofluoren 745 f.
- Strafser (H.), siehe Schultz (G.).
- Straufs (O.), **83:** kritische Temperatur von Flüssigkeitsmischungen 136 f.
- Streatfield (F. W.), siehe Armstrong (H. E.); siehe Japp (F. R.); siehe Meldola (R.).
- Strecker (K.), **81:** spezifische Wärme von Chlor-, Brom- und Jodgas 1097, von zweiatomigen Gasen 1098.
- 82:** spezifische Wärme von Gasen 112.
- 85:** elektrisches Leitungsvermögen des Quecksilbers 254 f.
- Strecker (O.), **82:** Amide und Anilide der Itacon-, Citracon- und Mesaconensäure; Ita- und Citraconanil 863 ff.; siehe Anschütz (B.); siehe Kekulé (A.).
- Strecker (W.), siehe Lippmann (E.).
- Streiff (J.), **80:**  $\alpha$ - und  $\beta$ -Naphthylphenylamin, Derivate 558 f.
- 81:**  $\alpha$ - und  $\beta$ -Naphthylphenylamin,  $\beta$ -Acetyl-,  $\beta$ -Benzoyl-,  $\beta$ -Nitroso-, Mono- und Dinitro- $\beta$ -naphthylphenylamin 479.
- Streintz (F.), **77:** Thermosäule 156.
- 81:** Wasserzersetzung an Platinelektroden 99.
- 82:** Experimentaluntersuchungen über die galvanische Polarisation 162 f.

- Streintz (F.) und Aulinger (E.), **86**: galvanische Polarisation des Bleies 264 f.
- Streng (A.), **77**: Chabasit 1327.
- 78**: Magnetkies 1207 f.; Silberkies, Kupferglanz, Rothgiltigerz 1208 f.; Feuerblende 1209.
- 79**: Rittingerit (Feuerblende) 1185; Theorie des Plutonismus 1246 f.
- 80**: Pflanzenvererzungen durch Pyrolusit 1488.
- 81**: Eleonorit, Kakoxen, Kraurit, Picit, Strengit, Wavellit 1377.
- 82**: Krystallform des Magnetkieses 1523.
- 84**: mikroskopischer Nachweis von Natrium in Silicaten 1590; Analyse von Hornblende 1970 ff.; Analyse von Augit 1966, 1971 f.; essigsaures Uranoxyd für mikrochemische Reaction auf Natrium 2004 f.; Untersuchung von Hornblendediabas 2016 f.
- 85**: mikroskopisch-chemische Reactionen zum Zweck der Gesteinsanalyse 1880 f.; Nachweis von Phosphorsäure, Kalium, Natrium, Lithium, Calcium, Baryum, Magnesium, Aluminium, Silber, Arsen, Antimon, Weinsäure 1881; mikroskopisch-chemische Untersuchung von Gesteinsschiffen 2262; Diopsid im Kalkspath 2293 f.
- 86**: mikrochemische Reactionen 1891; Nachweis des Natriums durch das Mikroskop 1927; mikroskopische Bestimmung von Kobalt und Nickel 1938; chemische Reactionen der Mineralien unter dem Mikroskop 2219 f.; Nachweis von Schwefel im Rittingerit, Analyse eines Proustits 2235.
- Streng (A.) und Kloos (J. H.), **77**: Gesteine von Minnesota (Nordamerika) (Melaphyroporphyr, Diorit) 1361.
- Streng (F.), siehe Tiemann (F.).
- Streubel, **80**: Vegetalien 1371.
- Stricker (G.), siehe Wallach (O.).
- Stricker (Th.), siehe Nölting (E.).
- Striegler (M.), **85**: Melanurensäure 621.
- 86**: Untersuchung der Melanurensäure: Darstellung aus Melam 526 f.; Sulfat, Nitrat, Chlorhydrat, Salze 527 f.; Verhalten gegen Phosphorpentachlorid 528.
- Strobel (Ch.), siehe Storck (F.).
- Strohecker (J. R.), **86**: Vorkommen von Ceritoxiden, Yttererde, Beryllerde, Didym-, Lanthanoxyden in den Thonen von Hainstadt 407.
- Strohmer, **81**: Ellagsäure in der Fichtenrinde 1018.
- Strohmer und Klaufs, **77**: Dextrose 1195.
- Strohmer (F.), **77**: Uranrückstände, Aufarbeitung 1057.
- 84**: chemische Zusammensetzung und Prüfung des Paprika 1457 f.; Gehaltsbestimmung rein wässriger Glycerinlösungen 1621; Gehaltsbestimmung wässriger Rohrzuckerlösungen auf optischem Wege 1648, 1794 f.
- 85**: Erkennung einiger fremder Farbstoffe in Rothweinen, Liqueuren, Conditorwaaren (Oxyazofarbstoffe) 1975.
- 86**: Modification des Geißler'schen Kohlensäurebestimmungsapparates 2012; siehe Meißal (E.).
- Strohmeyer (A.), **84**: Analyse von Pinnoit 1928.
- Stroman (A.), **84**: Krystallformen des Kalkspaths 1929 f.
- Stromeyer (A.), **83**: p-o-Dinitrobenzoesäure 1123; siehe Hübner (H.).
- Stromeyer (C. E.), **86**: Einfluß der Blauhitze auf Stahl und Eisen 2029 f.
- Stromeyer (W.), **86**: maßanalytische Bestimmung des Eisens in Saccharaten 1933.
- Stromfeld (H.), siehe Frerichs (F.).
- Strong (G. S.), **83**: Vorwärmer zur Reinigung des Kesselspeisewassers 1749.
- Stroud (W.), siehe Gee (W. W.).
- Strouhal (V.), siehe Barus (C.).
- Strouhal (V.) und Barus (C.), **80**: thermoelektrisches Verhalten des gehärteten Stahles 1256.
- 81**: Thermoelektricität von Eisen und Stahl 93.
- 83**: galvanischer Temperaturcoefficient des Stahles, des Stab- und Gußeisens 213; Einfluß der Härte des Stahles auf dessen Magnetisierbarkeit, Haltbarkeit der Magnete 229.
- 85**: elektrisches Verhalten verschiedener Silberlegirungen 255.
- Strube (C. L.), **80**: Metallthermometer 1241.
- Struck (H.), **80**: künstliche Steine 1312.
- Strübing, **77**: Phosphorsäureabscheidung im Harn 1002; schweflige

- Säure im pathologischen Harn 1003; unterschwellige Säure im Harn 1050.
- Strüver, **81**: Perowskit 1406.
- Strüver (G.), **78**: Krystallform der Usmäure aus Zeora sordida 831; Krystallformen von Santoninderivaten 821 f., 829 f.; Spinellzwillinge 1215.
- Strüver (J.), **77**: Mineralien aus Latium (Albanien) 1252; Pleonaste Latiums 1279; Magnetstein 1280; Vesuvian 1307; Nephelin, Berzelin, Hauyn 1315; Sanidin 1333; Anorthit 1338; Titanit 1340.
- 85**: Krystallform von Pegmatit 2295; Vorkommen von Columbit 2297.
- Struve (H.), **77**: osmotische Erscheinungen 969.
- 80**: Blutnachweis 1234; Conservirungsfähigkeit 1343.
- 81**: Blutkrystalle (Hämin, Hämoglobin, Globulin) 1044 f.; Nachweis von Blut 1045.
- 83**: Dialyse eiweißhaltiger Substanzen 1371; Frauenmilch und Kuhmilch 1462 bis 1465; Milchanalyse 1465.
- 84**: Untersuchung über das Blut 1480, über Milch 1487 f., von Kephir 1781 ff.
- Struve (O.), siehe Ladenburg (A.).
- Struve (R.), **77**: Dinitrodiphenylsäure, Diamidodiphenylsäure, Diamidodiphenyl 803; siehe Kühn (G.).
- Strype (W.), siehe Weldon (W.).
- Stscheglaieff (W.), **85**: Veränderung der Nobili'schen und Guéhard'schen elektrochemischen Figuren durch Magnetismus 289.
- 86**: elektromagnetische Drehung der Polarisationssebene des Lichtes in Eisenchloridlösungen 315 f.
- Stuart (Ch.), **80**: elektrische Lampe 1245.
- 83**: propionsaures, malonsaures und isobornsteinsaures Natrium gegen Benzaldehyd, Benzalmalonsäure 1117; p-Mononitrobenzalmalonsäure 1117 f.; o-Mononitrobenzaldehyd gegen Malonsäure und Eisessig 1118.
- 85**: Darstellung der o-Nitrobenzalmalonsäure 1536 f.; der m-Nitrobenzalmalonsäure, p- und o-Mononitrobenzalmalonsäureäther 1537 f.; siehe Fittig (R.).
- Stuart (C. M.), **85**: Abzüge für giftige Dämpfe 1996.
- 86**: Verhalten der Benzalmalonsäure und ihrer drei Mononitroderivate gegen Wasser, Bromwasserstoff und Brom 1476 ff.; Brom- und Bromnitroderivate der Phenylisobornsteinsäure 1478; Verhalten von Malonsäure gegen Zimmtaldehyd: Phenylbutindicarbonsäure, gegen Salicylaldehyd: Cumarincarbonsäure 1515.
- Stuart (E. B.), **82**: Nachweis von Chinin neben Morphin 1106.
- Stuart (T. F.), **86**: Löslichkeit des Silberchromates 1898.
- Stuckenberg (C.), siehe Post (J.).
- Stuckenberg (K.), **77**: Diamidophenole, Benzoylderivate 550; Amidonitrophenole 552; Nitroorthophenolsulfosäure 558; Nitrosulphenol 849.
- 84**: Abscheidung des Distroniumsaccharates 172 f.
- Studer, siehe Liebmann (A.).
- Studer (A.), **81**: Butylanilin (Amidobutylbenzol) und Derivate 459 f.; Butylphenol und Derivate 460.
- 82**: Butylphenol, Butylanisol, Dibutylanilin 543.
- Stübel (A.), **84**: Untersuchung von Pasa 1989.
- Stünkel (C.), siehe Wagner (P.).
- Stünkel (C.), **79**: Daphnetin 867 f.
- 81**: Anhydrobenzamidophenol, o-Mononitrophenolbenzoat, o-Benzamidophenolbenzoat, o-Benzamidophenol, Dinitro-o-benzamidophenol 532; Dinitro-o-amidophenol, Dinitroanhydrobenzamidophenol 533; siehe Jannasch (P.).
- Stünkel (C.), Wetzke (Th.) und Wagner (P.), **82**: Bestimmung der Phosphorsäure 1271.
- Stürcke (H.), **84**: Untersuchung des Carnaubawachses von Copernicia cerifera 1465; siehe Hell (C.).
- Stüfser (Th.), siehe Claus (A.).
- Stütz (E.), **83**: Saponin 1405.
- 84**: Untersuchung von Saponin 1411.
- Stumfeldt, **83**: Ausstreichen der Gährbottiche mit Schwefelsäure und Kalk 1738.
- Stumpf (M.), **77**: Oxynaphthoesäuren, Oxyisonaphthoesäure 801; isomere Sulfo- und Oxynaphthoesäuren 863.
- 78**: Säurebildung in der Kornschlempe 1156.
- Stantz (C. R.), **81**: Obiowasser 1443.

- Stur (D.), **85**: Chloritoïdschiefer von Kaisersberg bei St. Michael ob Leoben 1926.
- Stutzer, **82**: Untersuchung der wichtigsten Nahrungsmittel für Kranke und Kinder 1187 f.; Nuclein in Schimmelpilzen und Hefe 1191.
- Stutzer (A.), **78**: Ernährung der Pflanzen 941.
- 80**: Proteinstoffe 1039 f.; Trennung der Eiweißkörper von anderen stickstoffhaltigen in Pflanzen vorkommenden Bestandtheilen 1217 f.
- 81**: Bestimmung der „citrat-löslichen“ Phosphorsäure 1168; Bestimmung von Proteinen 1214; Bestimmung der „löslichen“ Phosphorsäure in Handelsdüngern 1285.
- 83**: Stickstoffgehalt animalischer Düngstoffe 1591.
- 85**: Untersuchungen über stickstoffhaltige Substanzen der Nahrungs- und Futtermittel 1826 f.; Trennung des Proteinstickstoffs vom Amidstickstoff in vegetabilischen Substanzen 1950; Werthbestimmung von Pepsinpräparaten 1991; Abscheidung der haut- und hornartigen Stoffe aus Knochenmehl 1994; Darstellung von „Saccharin“ 2098 f.; Analyse einiger englisch-amerikanischer Fleischpräparate (Kemmerich's und Liebig's Fleischextract, Murdock's liquid food, Valentine's meat juice, Johnston's fluid beef, Bengers's peptonised beef jelly, Savory's und Moore's fluid beef, Brand und Co. essence of beef, Carnick's beef peptonoids) 2137 f.; Analyse von Koch's und Kemmerich's Fleischpepton 2138 f.; siehe Reitmair (O.).
- 86**: Proteinverdauung 1794; Einwirkung von Verdauungsfermenten auf die Proteinstoffe der Futtermittel 1868; Analysen von Thomasschlacken 1922; Krystalle von vierbasisch phosphorsaurem Calcium in Thomasschlacken 2038.
- Stutzer (A.) und Beckers, **86**: Analyse einer Thomasschlacke 2039.
- Stutzer (A.), Fabsbender (G.) und Klinkenberg (W.), **82**: Untersuchung von Nahrungs- und Geheimmitteln 1438 f.
- Stutzer (A.) und Paysan, **85**: Analyse dreier Sorten kleinasiatischer Weine 2150.
- Stutzer (A.) und Reitmair (O.), **86**: Branntweinprüfung 1959 f.
- Stutzer (R.), **84**: Fällung des Zuckers 1792; siehe Reinecke (R.).
- Stutzer (R.) und Sostmann (E.), **83**: Verbindungen von Zucker mit den Hydraten und Oxyden der alkalischen Erden 1735.
- Suchsdorff, **78**: Malakolithanalyse 1249.
- Suchy (J.), **82**: Mostcondensation im Vacuum 1446.
- Sudour (E.) und Caraven-Cachin (A.), **81**: Euphorbia latyrus 1068.
- Süß (M.), **77**: Gasentwickelungsapparat 1101.
- 78**: Exsiccatorenaufsatz 1086.
- 80**: Apparat zur Verhütung des zu weiten Eindampfens 1243.
- Süßenguth (H.), **82**: Monobrom-pseudocumolsäure, Monobrommesitylsäure, Dibrommesitylen, Dibrommesitylsäure 930 f.
- Sugira (S.), siehe Crofs (C. F.); siehe Muir (M. M. P.).
- Sugira (S.) und Baker (H.), **79**: Magnesiumvanadate 288.
- 80**: Magnesiumvanadate 239.
- Sugira (S.) und Crofs (C. F.), **79**: Joddämpfe gegen Baryum- und Calciumoxyd, Baryumperjodat 237 f.
- Suida (W.), **78**: Darstellung von Oxyindol durch Reduction von Isatin 509 f.; Bestimmung des Eisenoxyduls in Silicaten 1054.
- 79**: Carbazol gegen Oxalsäure 442 f.; Indolderivate 474 f.
- 80**: Carbazol gegen Oxalsäure 553; Quecksilberäthyl gegen Jodid 940; siehe Liechti (L.); siehe Mauthner (J.).
- Suida (W.) und Plohn (S.), **80**: o-Aethylphenol 659 f.
- Suilliot (H.), **81**: Apparat für Desinfectionszwecke 1141.
- Suilliot, **81**: Bleikammerkrystalle zur Desinfection 1298.
- Sundberg (C.), **85**: Darstellung von eiweißfreiem Pepsin 1827.
- Sundell, **84**: Spectra von Pyrrotartrylfluorescein und -eosin 1022 f.
- Sundell (A. F.), **85**: Quecksilberluftpumpe 2002.
- Sundwik (E. E.), **81**: Drehung der Maltose 144; Chitin 1055.
- Sunth (C. Michie), siehe Knotts.

- Säure im pathologischen Harn 1003; unterschweifige Säure im Harn 1050.
- Strüver, **81**: Perowskit 1406.
- Strüver (G.), **78**: Krystallform der Ureinsäure aus *Zeora sordida* 831; Krystallformen von Santoninderivaten 821 f., 829 f.; Spinellzwillinge 1215.
- Strüver (J.), **77**: Mineralien aus Latium (Albanien) 1252; Pleonaste Latiums 1279; Magneteisen 1280; Vauvian 1307; Nephelin, Berzelin, Hauyn 1315; Sanidin 1333; Anorthit 1338; Titanit 1340.
- 85**: Krystallform von Pegmatit 2295; Vorkommen von Columbit 2297.
- Struve (H.), **77**: osmotische Erscheinungen 969.
- 80**: Blutnachweis 1234; Conservirungsfähigkeit 1343.
- 81**: Blutkrystalle (Hämin, Hämoglobin, Globulin) 1044 f.; Nachweis von Blut 1045.
- 83**: Dialyse eiweißhaltiger Substanzen 1371; Frauenmilch und Kuhmilch 1462 bis 1465; Milchanalyse 1465.
- 84**: Untersuchung über das Blut 1480, über Milch 1487 f., von Kephir 1781 ff.
- Struve (O.), siehe Ladenburg (A.).
- Struve (R.), **77**: Dinitrodiphenssäure, Diamidodiphenssäure, Diamidodiphenyl 803; siehe Kühn (G.).
- Styrpe (W.), siehe Weldon (W.).
- Stscheglaieff (W.), **85**: Veränderung der Nobili'schen und Guéhard'schen elektrochemischen Figuren durch Magnetismus 289.
- 86**: elektromagnetische Drehung der Polarisationssebene des Lichtes in Eisenchloridlösungen 315 f.
- Stuart (Ch.), **80**: elektrische Lampe 1245.
- 83**: propionsaures, malonsaures und isobornsteinsaures Natrium gegen Benzaldehyd, Benzalmalonsäure 1117; p-Mononitrobenzalmalonsäure 1117 f.; o-Mononitrobenzaldehyd gegen Malonsäure und Eisessig 1118.
- 85**: Darstellung der o-Nitrobenzalmalonsäure 1536 f.; der m-Nitrobenzalmalonsäure, p- und o-Mononitrobenzalmalonsäureäther 1537 f.; siehe Fittig (R.).
- Stuart (C. M.), **85**: Abzüge für giftige Dämpfe 1996.
- 86**: Verhalten der Benzalmalonsäure und ihrer drei Mononitroderivate gegen Wasser, Bromwasserstoff und Brom 1476 ff.; Brom- und Bromnitroderivate der Phenylisobornsteinsäure 1478; Verhalten von Malonsäure gegen Zimmtaldehyd: Phenylbutindicarbonsäure, gegen Salicylaldehyd: Cumarincarbonsäure 1515.
- Stuart (E. B.), **82**: Nachweis von Chinin neben Morphin 1106.
- Stuart (T. F.), **86**: Löslichkeit des Silberchromates 1898.
- Stuckenberg (G.), siehe Post (J.).
- Stuckenberg (K.), **77**: Diamidophenole, Benzoylderivate 550; Amidonitrophenole 552; Nitroorthophenolsulfosäure 558; Nitrosulphenol 849.
- 84**: Abscheidung des Distrontiumsaccharates 172 f.
- Studer, siehe Liebmann (A.).
- Studer (A.), **81**: Butylanilin (Amido-butylbenzol) und Derivate 459 f.; Butylphenol und Derivate 460.
- 82**: Butylphenol, Butylanisol, Di-butylanilin 543.
- Stübel (A.), **84**: Untersuchung von Pasa 1989.
- Stünkel (C.), siehe Wagner (P.).
- Stünkel (C.), **79**: Daphnetin 867 f.
- 81**: Anhydrobenzamidophenol, o-Mononitrophenolbenzoat, o-Benzamidophenolbenzoat, o-Benzamidophenol, Dinitro-o-benzamidophenol 532; Dinitro-o-amidophenol, Dinitroanhydrobenzamidophenol 533; siehe Jannasch (P.).
- Stünkel (C.), Wetzke (Th.) und Wagner (P.), **82**: Bestimmung der Phosphorsäure 1271.
- Stürcke (H.), **84**: Untersuchung des Carnaubawaxes von *Copernicia cerifera* 1465; siehe Hell (C.).
- Stüfser (Th.), siehe Claus (A.).
- Stütz (E.), **83**: Saponin 1405.
- 84**: Untersuchung von Saponin 1411.
- Stumfeldt, **83**: Ausstreichen der Gährbottiche mit Schwefelsäure und Kalk 1738.
- Stumpf (M.), **77**: Oxynaphtoësauren, Oxysisonaphtoësaure 201; isomere Sulfo- und Oxynaphtoësauren 863.
- 78**: Säurebildung in der Kornschlempe 1156.
- Stantz (C. R.), **81**: Ohnowerwasser 1443.



- Stur (D.), 85:** Chloritoidschiefer von Kaisersberg bei St. Michael ob Leoben 1926.
- Stutzer, 82:** Untersuchung der wichtigsten Nahrungsmittel für Kranke und Kinder 1187 f.; Nuclein in Schimmelpilzen und Hefe 1191.
- Stutzer (A.), 78:** Ernährung der Pflanzen 941.
- 80:** Proteinstoffe 1039 f.; Trennung der Eiweißkörper von anderen stickstoffhaltigen in Pflanzen vorkommenden Bestandtheilen 1217 f.
- 81:** Bestimmung der „citrat-löslichen“ Phosphorsäure 1168; Bestimmung von Proteinen 1214; Bestimmung der „löslichen“ Phosphorsäure in Handelsdüngern 1285.
- 83:** Stickstoffgehalt animalischer Dängstoffe 1591.
- 85:** Untersuchungen über stickstoffhaltige Substanzen der Nahrungs- und Futtermittel 1826 f.; Trennung des Proteinstickstoffs vom Amidstickstoff in vegetabilischen Substanzen 1950; Werthbestimmung von Pepsinpräparaten 1991; Abscheidung der haut- und hornartigen Stoffe aus Knochenmehl 1994; Darstellung von „Saccharin“ 2098 f.; Analyse einiger englisch-amerikanischer Fleischpräparate (Kemmerich's und Liebig's Fleischextract, Murdock's liquid food, Valentine's meat juice, Johnston's fluid beef, Benger's peptonised beef jelly, Savory's und Moore's fluid beef, Brand und Co. essence of beef, Carnick's beef peptonoids) 2137 f.; Analyse von Koch's und Kemmerich's Fleischpepton 2138 f.; siehe Reitmair (O.).
- 86:** Proteinverdauung 1794; Einwirkung von Verdauungsfermenten auf die Proteinstoffe der Futtermittel 1868; Analysen von Thomasschlacken 1922; Krystalle von vierbasisch phosphorsaurem Calcium in Thomasschlacken 2038.
- Stutzer (A.) und Beckers, 86:** Analyse einer Thomasschlacke 2039.
- Stutzer (A.), Fabsbender (G.) und Klinkenberg (W.), 82:** Untersuchung von Nahrungs- und Geheimmitteln 1438 f.
- Stutzer (A.) und Paysan, 85:** Analyse dreier Sorten kleinasiatischer Weine 2150.
- Stutzer (A.) und Reitmair (O.), 86:** Brantweinprüfung 1959 f.
- Stutzer (R.), 84:** Fällung des Zuckers 1792; siehe Reinecke (R.).
- Stutzer (R.) und Sostmann (E.), 83:** Verbindungen von Zucker mit den Hydraten und Oxyden der alkalischen Erden 1735.
- Suchsdorff, 78:** Malakolithanalyse 1249.
- Suchy (J.), 82:** Mostcondensation im Vacuum 1446.
- Sudour (E.) und Caraven-Cachin (A.), 81:** Euphorbia latyrus 1068.
- Süfs (M.), 77:** Gasentwicklungsapparat 1101.
- 78:** Exsiccatorenaufsatz 1096.
- 80:** Apparat zur Verhütung des zu weiten Eindampfens 1243.
- Süfsenguth (H.), 82:** Monobrompseudocumolsäure, Monobrommesitylsäure, Dibrommesitylen, Dibrommesitylsäure 930 f.
- Suguira (S.), siehe Crofs (C. F.); siehe Muir (M. M. P.).**
- Suguira (S.) und Baker (H.), 79:** Magnesiumvanadate 288.
- 80:** Magnesiumvanadate 239.
- Suguira (S.) und Crofs (C. F.), 79:** Joddämpfe gegen Baryum- und Calciumoxyd, Baryumperjodat 237 f.
- Suida (W.), 78:** Darstellung von Oxyindol durch Reduction von Isatin 509 f.; Bestimmung des Eisenoxyduls in Silicaten 1054.
- 79:** Carbazol gegen Oxalsäure 442 f.; Indolderivate 474 f.
- 80:** Carbazol gegen Oxalsäure 553; Quecksilberäthyl gegen Jodid 940; siehe Liechti (L.); siehe Mauthner (J.).
- Suida (W.) und Plohn (S.), 80:** o-Aethylphenol 659 f.
- Suilliot (H.), 81:** Apparat für Desinfectionszwecke 1141.
- Suilliot, 81:** Bleikammerkrystalle zur Desinfection 1298.
- Sundberg (C.), 85:** Darstellung von eiweißfreiem Pepsin 1827.
- Sundell, 84:** Spectra von Pyrrotartrylfluorescein und -eosin 1022 f.
- Sundell (A. F.), 85:** Quecksilberluftpumpe 2002.
- Sundwik (E. E.), 81:** Drehung der Maltose 144; Chitin 1055.
- Sunth (C. Michie), siehe Knotts.**

- Sutherland (W.), **86**: Gesetz der Anziehung zwischen den Gasmolekülen 21.
- Sutherland (W. F.), **85**: Coaksöfen und Gasgeneratoren 2170.
- Sutkowski (J.), **86**: Verhalten von Thymochinonmonoxim gegen Salzsäure; Farbstoffe aus p-Monoamidothymol 1676.
- Sutton (F.), **83**: Analysen von Gras und „Ensilage“ 1406.
- Sutton (Frank S.), **85**: postmortale Diffusion der arsenigen Säure im Thierkörper (Gehirn) 1856.
- Sutton (H.), **82**: Herstellung elektrischer Accumulatoren 147.
- Svedmark (E.), **77**: Uralit 1326.
- 79**: Trappanalyse 1251.
- Svehla (A.), **82**: Zeolithanalysen 1564.
- Svenson (F. S.), **78**: elektrische Leitungsfähigkeit einiger Elektrolyte 143.
- Swan, siehe Mawson.
- Swan (J. W.), **77**: galvanische Elemente 153; Gefäße aus Hartglas, Wasserstrahlpumpe 1100.
- 80**: narcotinfreies Opium 1073.
- 82**: elektrisches Glühlicht 1461.
- Swaring (A. J.), **85**: Bestimmung des Alkaloidgehaltes der Chinarinden 1964.
- Swarts (Th.), **82**: Campher und Monobromcampher gegen Brom:  $\alpha$ - und  $\beta$ -Dibromcampher 773 f.
- Swarts (Th.) und Royère (W. de la), **82**:  $\alpha$ - und  $\beta$ -Dibromcampher, Tribromcampher, Phosphorchlorobromid gegen Campher, Dibromcampherdibromid 774.
- Sweet (E. T.), **82**: Thon von Wisconsin 1570.
- Sweetser (R. C.), siehe Kinnicutt (L. P.).
- Sydney-Marsden (R.), **81**: Diffusion eines unfühlbaren Pulvers in einem festen Körper 78; Bildung von Stahl durch Diffusion 1245.
- 82**: Diffusion fester Körper 88; Zustand des Kohlenstoffs (Diamant) im Eisen und Stahl 1363 f.
- Sydney-Young, **81**: Amylen gegen Fluor 347; siehe Ramsay (W.); siehe Young (Sydney).
- Sylvester (G.), siehe Roth (M.).
- Symes (Ch.), **79**: Thymol zu antiseptischen Zwecken 1020.
- 84**: Abdampfpfannen und Destillationsapparate für pharmaceutische Zwecke 1686.
- 85**: Untersuchungen über das Cocain 1713.
- Symon, **77**: Fett aus Knochen 1182.
- Symons (B.), **85**: Gewinnung des Kupfers aus armen Erzen in Maidanpec (Serbien); Zusammensetzung der Erzemischung 2040.
- Szabó, **77**: freie Säure des Magensaftes 983.
- Szabó (J.), **80**: Urvölgýt 1423.
- 81**: Granat 1381; Cordierit 1395.
- 82**: Eintheilung der Trachyte 1608.
- 84**: Vorkommen von Heloïn 1958; Quarz als ursprüngliche Substanz pseudomorphen Kalkspaths 2000.
- Szajnoch (L.), **81**: Ozokerit und Naphta 1410.
- Szilasi (J.), **86**: Erkennung eines Wasserzusatzes zu Milch oder Wein 1999; siehe Grittnier (A.).
- Szily (O.), **77**: mechanische Wärmetheorie 87.
- Szombathy, **84**: Apparat zur Extraction von Nitroglycerin aus Dynamit 1749.
- Sztankovánszky, siehe Kratschmer.
- Szul (L.), siehe Radziszewski (Br.).
- Szymanski (F.), **85**: Untersuchung der Hemialbumose aus vegetabilischem Eiweiß, Darstellung derselben aus Conglutin 1784 f.; Untersuchung des Malzpeptons; Reactionen und Eigenschaften desselben 1785.
- 86**: Reduction von Methylpropylketon (Methylpropylpinakolin) 1641; mikrochemische Prüfung von Pflanzensäuren auf Eiweißkörper 1803 f.; siehe Deichmüller (A.).

## T.

- Tacchini, **79**: magnetische Kugeln in einem Staube 1274.
- 80**: Siroccostaub 1538.
- Tacke (B.), **84**: über die Bedeutung der brennbaren Stoffe im thierischen Organismus 1477; Apparat zur Darstellung von Sauerstoff 1690.
- 86**: Bildung von Kohlenoxyd bei der Einwirkung von Sauerstoff auf eine alkalische Pyrogalllösung 1907.
- Täuber (E.), **83**: Alkaloidgehalt verschiedener Lupinensorten 1356; Bestimmung der Phosphorsäure nach der Molybdänmethode 1541 f.; siehe Fischer (O.).

Tafel (J.), **85**: Benzoylderivate des Phenylhydrazins 1105 bis 1108: Monobenzoylmonomethylphenylhydrazin, Dibenzoylphenylhydrazinnatrium, Methylidibenzoylphenylhydrazin 1108; Hydroazomethylphenyl, Azomethylphenyl 1107; Constitution von Dibenzoyl- und Methylidibenzoylphenylhydrazin 1108.

**86**: neue Darstellungsweise der primären Aminbasen: Reduction der Phenylhydrazinderivate von Ketonen und Aldehyden 681; Aethylamin aus Aethylidenphenylhydrazin, Isopropylamin aus Acetonphenylhydrazin, Pentylamin aus Methylpropylketonphenylhydrazin 682; Salze des Pentylamins, Oenanthylamin (Heptylamin) aus Oenantholphenylhydrazin 683; Benzylamin aus Benzylidenphenylhydrazin, Phenyläthylamin aus Phenylhydrazinacetophenon 684; Salze des Phenyläthylamins, Phenyl-(normal)propylamin aus Zimmtaldehydphenylhydrazin 685 f.;  $\gamma$ -Monoamidovaleriansäure aus Benzylhydrazinlävulinsäure 1354 f.; siehe Fischer (E.); siehe Paal (C.).

Taffe (H.), **86**: Nachweis von Salicylsäure im Bier und Wein 1886.

Tait, **77**: mechanische Wärmetheorie 87.

**83**: Dichtemaximum des Wassers 57.

**85**: Formel für die Compressibilitäten von Wasser 108.

**86**: Theorie der Gase 165.

Takács (A.), **78**: Umwandlungsprocess in thierischen Geweben 985 f.

Takahashi, **86**: Analyse des Hydrastins 1727.

Tekamatsu (T.), siehe Smith (W.).

Takamatsu (T.) und Smith (W.), **80**: Pentathionsäure 259.

**81**: Pentathionsäure 163.

Takayama (J.), **84**: Analyse von japanischem Thee und Tabak 1455.

Talbot (H. P.), **86**: Einwirkung hoher Temperatur auf Paraffine 571.

Tamba (K.), **85**: Darstellung des Körpers  $C_{10}H_8O_2$  aus Hydrangea Thunbergii 1816.

**86**: Trennung der Ptomaine von den Alkaloiden 1983.

Tamemasa Haga, siehe Divers (E.).

Tamine (R.), Mons und Guyper (E. de), **86**: Darstellung von Zinn-

oxyd und Ziunsalz durch Elektrolyse 2065.

Tamm (A.), **79**: Bessemer-Gase 1094.

**82**: Eisenanalyse 1288.

**84**: Bestimmung von Phosphor im Eisen 1574 f.

Tamm (H.), **82**: Bleijodid zur Titrirung von Schwefelsäure und Sulfaten 1256; siehe Guyard (A.).

Tammann (G.), **85**: Dampftension von Salzlösungen mit Rücksicht auf die Molekulargewichtsbestimmung von Salzen 93 bis 97; Schicksal des Schwefels beim Keimen der Erbsen, Bildung von Aetherschweifelsäuren in Pflanzen 1793; Nachweis des Fluors 1904 f.; quantitative Bestimmung des Fluors 1905.

Tanatar (S.), **79**: Maleinsäureäther aus Dichloressigsäureäther 632 f.; Dioxifumarsäure 685 f.

**80**: Maleinsäure, Synthese 807 f.; Dioxifumarsäure 808; Trioxymaleinsäure 809; Ferrocyanatrium, Darstellung 1296.

Tanigutschi, siehe Kellner (O.).

Tann (A.), **83**: Bestimmungsmethoden des Phosphors im Eisen 1674.

Tanret und Villiers, **77**: Nucit 902; Inosit 903.

**78**: Inosit 923.

**81**: Inosit 985.

Tanret (A.), **85**: Zusammensetzung des Terpinols (Terpentinölmonohydrat) 1219 f.

Tanret (C.), **78**: vermuthliches Entstehen eines Hydrates des Aethyläthers beim Verdunsten desselben 41, 520; Nachweis von Albumin im Harn 1094.

**82**: Doppelsalze von Caffein mit benzoësaurem, salicylsaurem und zimmtsäurem Natrium 1087; Convallamarin 1130.

**86**: Säuren und Glycoside der Orangenschalen 1817.

Tanret (Ch.), **78**: Pelletierin 898 f.; Ergotinine 914 f.

**79**: Ergotinine 828 f.; Alkaloide der Rinde des Granatapfelbaumes 923 f.

**80**: Pelletierin, Isopelletierin, Methylpelletierin, Pseudopelletierin 998 f.; Waldiwin 1004 f.

**81**: Unterschied von Peptonen und Alkaloiden 978; Waldiwin 980.

- 85:** Oxydation von Chloral mit Kaliumpermanganat 1295; Darstellung von  $\alpha$ - und  $\beta$ -Glycosin aus Glucose 1733 f.; Eigenschaften und Salze, Jodäthylverbindungen der beiden Glycosine, Glucose gegen substituierte Aminbasen 1734; Darstellung von Vincetoxin 1771 f.; wasser- und ätherlösliches Vincetoxin 1771; Zusammensetzung des Vincetoxins 1772.
- Tappeiner (H.), **78:** Oxydation von Cholsäure 1004 f.
- 79:** Oxydation der Cholsäure 967 f.
- 81:** Darmgase der Pflanzenfresser 1054; Bildung des Phenols, Indols und Skatols im Darmkanal 1054 f.
- 82:** Darmgase verschiedener Thiere 1219.
- 83:** Gase des Verdauungsschlauches der Pflanzenfresser 1482; Cellulosegährung 1502 f.; Sumpfgasgährung 1503 f.
- 84:** Untersuchung über die Cellulosegährung 1517.
- 85:** Aufnahme der Cellulose durch den Organismus 1827.
- 86:** Bildung der Hippursäure 1852.
- Tappeiner (W.), **82:** Celluloseverdauung 1202.
- Taquet (Ch.), **83:** selenigsaures Chromoxyd 375; Fällbarkeit der Phosphate von Eisen und Thonerde durch schwefelsauren Kalk 1544.
- 85:** Gewinnung von Chlor aus Chlorkalciumrückständen 2053 f.
- Tarassow (M.), **79:** Vesuvian 1212.
- Tarchanoff (J. R.), **82:** Eiereiweiß bei Nestflüchtern und Nesthockern 1379.
- 84:** Verschiedenheit des Eiereiweißes bei Nestflüchtern und Nesthockern 1416.
- Tarnell (E. A.), **78:** Darstellung schwefeliger Säure aus schwefelsaurem Zink und Zinkblende 1120.
- Tassi (Fl.), siehe Bufalini (G.).
- Tassinari (G.), **78:** Derivate der Arachinsäure 738 f.
- 80:** Acetyl- $\alpha$ -naphthol 687; siehe Schiff (R.).
- Tatarinoff (P.), **79:** Methylguanidin 333 f.; Dimethylamin gegen Cyanamid 401; Bedeutung des Glutins als Nahrungstoff 880.
- 83:** Leimpepton 1443 f.
- Tate (W.), **86:** Zusammensetzung eines Redondaphosphats 2049.
- Tatersall, **79:** Reactionen von Papaverin und Unterscheidung 792.
- Tatlock, **80:** Magneteisen 1413.
- Tatlock (R.), **83:** neue Gewinnungsmethode des Ammoniaks aus den Hochofengasen 1683 f.
- Tatlock (R. R.), **79:** Stickstoff des Guano 1127.
- 81:** Bestimmung von Kali 1178.
- 82:** Bestimmung des rohen Salpeters nach der „Refraction“ 1402 f.
- 84:** Aufstellung einheitlicher analytischer Methoden zur Werthbestimmung von Handelsproducten 1549 f.
- Tattersall (T.), **79:** Reaction auf Kobalt 1054.
- 80:** Reactionen des Morphins und Delphinins 955, 1211.
- Tauber (E.), **78:** Verhalten des Phenols im thierischen Organismus 990 f.
- Tauchert, siehe Liebermann (C.).
- Tauchert (H.), **83:** Pyrogallussäure aus Phlobaphen 1700 f.
- Tausch (H.), **80:** Morphinchlorhydrat 954.
- Tawildaroff, **79:** Triäthylglycerin, Glycerin gegen Kalk 497.
- Tawildarow (N.), **80:** Aethylidenchlorid gegen Chlor, Aethylbromid gegen Brom 475.
- Taylor (J.), **82:** Bereitung von Glaspfropfen für Vorlesungszwecke 217 f.; Salze der Thiokohlensäure 254.
- 83:** Schwefelwasserstoffgas aus Leuchtgas und siedendem Schwefel 289, 1660.
- Taylor (R. L.), siehe Jones (F.).
- Taylor (Th.), **78:** Unterscheidung der Butter von Oleomargarin 1145.
- 86:** Butteruntersuchung 2000.
- Taylor (W. B.), **85:** Schrumpfung der Erdkruste 2302.
- Taylor (W. J.), **84:** Nachweis von Cyaniden neben Doppelcyaniden 1615.
- Tchijewski (P.), **84:** Fortführung der chemischen Körper durch Wasserdampf 13 f.; Verflüchtigung von Alkalicarbonaten mit Wasserdämpfen 132 f.; Verflüchtigung der Borsäure durch Verdampfen des Hydrates (Metaborsäure) 372.
- Teclu (N.), **77:** Wolframsäureanhydrid gegen Phosphorpentachlorid 294; Stromregulator 1101.
- 80:** Antimonzinnober 1284.
- Tedesco (A.), **77:** Leimung von Papier 1224.

- 79:** Aluminiumsulfat als Desinfectionsmittel 1128.
- 85:** Gewinnung von Milchglas 2108.
- Tedesco (A.) und Wurster (C.), **78:** Leimen des Papiers 1174.
- Tedeschi (V.), **79:** Resorcindisulfosäure 750.
- 80:** Resorcindisulfosäure 914.
- Teed (F. L.), **85:** Bestimmung von Jodiden neben Chloriden und Bromiden 1902; Verhalten der Chlorammoniumlaugen beim Kochen mit kohlen. Kalk 2076; siehe Bell (C. A.)
- Teegarten (A.), **82:** bulgarisches Opium 1168.
- Teikichi, siehe Divers (E.).
- Teller (F.) und John (C. v.), **82:** dioritische Gesteine von Südtirol 1605.
- Tellier, **77:** Methyläther 1157.
- Ten-Brink, **77:** Feuerung für Dampfkessel 1213.
- Tennant Lee (Ch.), siehe Lee (Tennant Ch.).
- Tenne (C. A.), **79:** optischer Axenwinkel des  $\beta$ -Dibenzylhydroxamsäure-Aethyläthers 153.
- 80:** Krystallmessung organischer Verbindungen 373 f.; Epistilbit 1467 f.
- 81:** Parastilbit, Epistilbit 1399.
- 83:** Krystallform der  $\beta$ -Aethylbenzhydroxamsäure 727.
- Tenner, siehe Claus (A.).
- Tenney (F.), **83:** Bestimmung von Blei durch Elektrolyse 1514.
- Tenthorn (G.), siehe Kunde (M.).
- Tentin, **77:** Werthbestimmung des Indigs 1084.
- Teplow (M. N.), **85:** Schwingungsknotentheorie der chemischen Verbindungen 4.
- 86:** Schwingungsknotentheorie 12.
- Tereg und Arnold, **83:** Verhalten der Calciumphosphate im Organismus der Fleischfresser 1442.
- Ter-Grigorianz, **82:** Peptonurie aus Hemialbumosurie 1217.
- Terisse (A.), **85:** Darstellung von Naphtalfluorescein und Naphtaleosin 1286 bis 1288.
- Terquem (A.), **77:** Eismaschinen 1708.
- 80:** modificirte Bunsen'sche Lampe 183.
- 81:** Gasbrenner 1237.
- Terreil, **77:** Olivin 1398.
- 84:** krystallisirtes Silberchlorid-ammoniak und Silberjodidammoniak 450 f.; Einwirkung von Ammoniak auf Silberphosphat 451.
- 86:** Verhalten von Chrysotil gegen kochende Säure, Analyse des Chrysotils aus Canada 2276.
- Terreil (A.), **77:** Eisenoxydulbildung im Siemensofen 1211.
- 79:** Bestimmung des Schmelzpunktes organischer Körper 55; Atomgewicht des Aluminiums 240; Metallcompositionen 1091.
- 80:** Phytolaccasäure 1061.
- 81:** Wirkungswerth von Oxydationsmitteln 1155; Löslichkeit von Calciumtriphosphat in Ammonsalzen 1289.
- 83:** Analyse des Wassers der Quelle von Montrond, Departement Loire 1945 f.
- 85:** Untersuchung des Weinfarbstoffes und anderer rother Pflanzfarbstoffe 1808, 2152 f.; Farbstoff der Phytolacca und der Runkelrübe 2153.
- Terreil (A.) und Wolff (A.), **80:** Palissanderholz 1083 f.
- Terril, **85:** Analysen von Enargit 2268.
- Terrill, siehe Gloizeaux (A. des).
- Tervet (R.), **84:** Ammoniakgewinnung 1814; Ammoniakgewinnung beim Ueberleiten von Wassergas über glühende Coaks 1815.
- Teschemacher (E. F.) **77:** Morphin im Opium 881.
- Teschemacher (E. F.) und Smith (J. D.), **79:** Phosphorsäurebestimmung 1038.
- 80:** Phosphorsäurebestimmung 1160, 1161.
- 81:** Bestimmung des Kaliums 1179.
- Tefamer (H.), **85:** Verbindungen der Polyalkohole mit Phenylecyanat 1212 f.: Phenylcarbaminsäureglycerid 1212; Phenylcarbaminsäureerythrid, -mannit, -dulcitol und -chinovit, Verhalten von Quercit, Saccharin und Traubenzucker gegen Phenylcyanat, Pentaphenylcarbaminquercit (Phenylcarbaminsäurequercit) 1213 f.; Phenylcarbaminsaccharin, Phenylcarbaminmetasaccharin, Phenylcarbaminsosaccharin, Pentaphenylcarbaminquercetin (Phenylcarbaminsäurequercetin) 1214, Diphenylcarbaminflavopurpurin (Phenylcarbaminsäureflavopurpurin) 1215.

- Testa (A.), **80**: Aethoxyisobuttersäure 789; siehe Balbiano (L.).  
 Tetsukichi Shimidzu, siehe Shimidzu (Tetsukichi); siehe Divers (E.)  
 Teuber (E.), **82**: Quecksilberprobe 1384.  
 Teubner (E.), **80**: Nachweis des Quecksilbers 1194.  
 Teuchert, **86**: Untersuchung eines Kesselsteines 2150.  
 Textor (O.), siehe Gabba (L.).  
 Thabuis (F.), **85**: Untersuchung des Absatzes der Quellen von Chabétout 2318.  
 Thal (R.), **83**: Ericolin, Ericinol 1401 f.; Leditansäure, Callutannsäure, Pinipikrin 1402.  
 Thalén (R.), **80**: Spectren von Erbium und Ytterbium 210 f.; Spectrum des Thuliums 211 f., des Scandiums 212.  
**83**: Spectren von Didym und Samarium 244.  
**85**: Eisenspectrum 318.  
 Thalen (Th.), **83**: Emissionsspectra von Scandium, Ytterbium, Erbium und Thulium 244 f.  
 Thalheim, **78**: Fundort des Hyalits 1211, des Diaspors 1217.  
 Thalheim (W.), **80**: Graphit in den Natronmutterlaugen 1280.  
 Thau C.), **77**: unterschweflgs. Natrium (in der Jodometrie 1050).  
 Than (C. v.), **77**: Verbrennungswärme des Knallgases 106.  
**79**: Vorlesungsversuche 172 f.; Fäulnisstoffe 1128.  
**81**: Eiscalorimeter 1076; Wärmeinheit 1077; Wärmecapazität des Wassers, Schmelzwärme des Eises 1078; Verbrennungswärme des Wasserstoffes 1079 f.  
**82**: Untersuchungen über Leuchtgas: Explosionsfähigkeit mit Luft, Diffusometer, Diffusioskop 1306 f.  
**84**: Dichte des Salzsäuregases 61.  
 Thanisch (H.), **77**: Tolyphenylessigsäure und Derivate 808.  
 Thate (A.), **82**: o-Nitrophenoxacet-säure (o-Nitrooxyphenylessigsäure) gegen Reductionsmittel: o-Amidophenoxycetsäureanhydrid, o-Azophenoxacet-säure 819.  
**84**: Untersuchung der Reducti-ons-producte der o-Nitrophenoxyessigsäure 1218 bis 1224: Azoxy-o-phenoxyessigsäure 1219; Azo-o-phenoxyessigsäure 1220; Hydrazo-o-phenoxyessigsäure 1221; o-Amidophenoxyessigsäure 1222; Monochloramidophenoxyessigsäureanhydrid, Monochlor-o-amidophenoxyessigsäure 1223.  
 Thausing, **77**: Schimmelpilz 1180.  
 Thausing (J.), **77**: Darr- und Farbmalz 1198.  
**83**: Bierwürze, Rolle der Protein-stoffe der Gerste beim Gährungs-proceß 1742.  
 Theegarten (A.), **80**: Seewasser 1512 f.  
**83**: Die Mineralquellen Bulgariens, Analyse der Schwefelquelle von Sophia 1946.  
**84**: Apparat zur Erzeugung von Leuchtgas 1692.  
 Thelen (H.), siehe Zincke (Th.).  
 Thénard (A.) und Gramme, **77**: Zersetzungszellen in der Elektrolyse 165.  
 Thénard (P.), **79**: Amblygonit 1120, 1204.  
**82**: schwarzer Phosphor 244 f.  
 Thenius (G.), **78**: Gewinnung von Milchsäure, Buttersäure und Buttersäureäther 1136; Verwerthung der Rückstände von der Weizenstärkefabrikation 1153 f.; niedrig siedende Kohlenwasserstoffe des Holztheers 1170.  
 Thibault, siehe Doumer.  
 Thibault (P.), siehe Lefort (J.).  
 Thibaut, **78**: Hyoscyamin 913.  
**80**: Harnstoffgehalt des Harns bei Phosphorvergiftungen 1125.  
 Thidlier (M.), **83**: Reinigung des Eisens von Schwefel, Phosphor, Silicium, Arsen, Stickstoff und Kohlenstoff durch Wasserstoffgas 1672.  
 Thielick, **84**: Untersuchung von Cinchonidin 1836.  
 Thielo (E.), **86**: Bestimmung des Silbers in Kiesabbränden 1947 f.  
 Thieme (L.), **83**: Controlthermometer 1634.  
 Thiercelin (L.), **80**: Jod aus Seepflanzen 1277.  
 Thierfelder (H.), **83**: Beitrag zur Physiologie der Milchbildung (Saccharogen) 1458 f.  
**86**: Umwandlung der Glycuronsäure in Zuckersäure 1380; Casein-peptone 1793 f.; Bildung von Glycuronsäure, von Kohlehydrat im thierischen Organismus 1840.

- Thierfelder (H.) und Mering (J. v.), **85**: Verhalten tertiärer Alkohole im Organismus (tertiärer Butylalkohol, Amylalkohol; Pinakon) 1842f.; Darstellung von trimethylcarbinolglycuronsaurem Kalium, von dimethyläthylcarbinolglycuronsaurem Kalium 1843.
- Thierry (de), **81**: Ureometer 1235.
- Thierry (M. de), **85**: Absorptionsspektroskop 317; Hämaspektroskop zum Nachweis geringer Blutmengen 1992.
- 86**: Apparat zur Messung von Sauerstoff 2011.
- Thiesen (M.), **82**: Quecksilberthermometer 96.
- Thiessen (M.), **83**: Theorie der Wage 1653.
- Thiriart, siehe Koninck (L. L. de).
- Thiselton Dyer, siehe Dyer (Thiselton).
- Thörner (W.), **78**: Dioxychinon aus *Agaricus atrotomentosus* 651f.; basische Körper aus *Agaricus bulbosus* und integer 652.
- 79**: Mannit im *Agaricus integer*, chinonartiger Körper im *Agaricus atrotomentosus* 934.
- 81**: Apparat zur Bestimmung der Dampfspannung, Dampfstrahlgebläse 1233; Petroleumprüfungsapparat 1237.
- 83**: Analyse des Wassers der Soolquelle von Melle bei Osnabrück 1944f.
- 84**: Analysen von Milchproben 1672; Prüfung der Entzündungstemperatur von Buntfeuergemischen 1750f.
- 85**: Volumenmeter zur Untersuchung von Nahrungs- und Genussmitteln, Gebrauchsgegenständen 1996; Apparat zur Gasanalyse 2006.
- Thörner (W.) und Zincke (Th.), **77**: Benzpinakon 635; Benzpinakolin, Tolyphenylpinakon 636; Anthrachinondichlorid und gechlorte Anthrachinone 654.
- 78**: Pinakone und Pinakoline 634f.; Diphenylmethylessigsäure aus Acetophenonpinakolin 820.
- 80**: Pinakone und Pinakoline 720f.
- Tholander, **78**: Reduction der Eisenerze 1099.
- Thollon, **78**: neues geradsichtiges Spectroskop 169.
- 81**: Spectrallinien des Lichtbogens einer Jamin'schen Lampe 123.
- Thollon (A.), **79**: Prismencombination 156.
- Thollon (M.), **82**: Wellenlängen der Spectralbanden verschiedener Kohlenstoffverbindungen 189.
- Thomas, Fuller und King, **80**: Glycerin aus Seife 1366.
- Thomas und Guignard, **83**: Prüfung geringwerthiger gelber Chinarinden 1614.
- Thomas (A.), **77**: Metabromsulfobenzolsäure 824.
- 80**: Stickstoffbestimmung 1198; Phosphorsäurebestimmung in Düngpräparaten 1230; siehe Kühn (G.).
- Thomas (B. F.), siehe Morton (H.).
- Thomas (E.) und Witt (O. N.), **82**: blauer Farbstoff aus Indulin 1499f.
- Thomas (E. G. P.), siehe Witt (O. N.).
- Thomas (G.), **89**: Futterstoff-Analysen 1122.
- Thomas (J. W.), **77**: volumetrische Gasbestimmung 1098.
- 78**: Einwirkung von Salzsäure auf Metallsalze 214f.; zur Bestimmung des Kohlenoxyds, Aufnahme von Chlorwasserstoff durch Salze 228.
- 79**: Analyse brennbarer Gase und die Apparate dazu 1024; Gasuntersuchung einer englischen Kohlengrube 1257f.
- Thomas (N. W.), **83**: borsaures Mangangan 372; Verhinderung des schädlichen Einflusses der Salzsäure bei Titrirung von Eisenoxydulsalzlösungen durch eine wässrige Chlorbleilösung 1564.
- Thomas (N. W.) und Smith (E. F.), **83**: Elektrolyse der Lösungen von Wismuthsulfat und -citrat 222.
- Thomas (P.), **77**: Zinkweifs 1155.
- 83**: Bleichverfahren mittelst Kaliumpermanganat 1781.
- Thomas (S. G.), **81**: Phosphorsäure (phosphors. Calcium) aus Roheisen 1243.
- Thomas (S. Gilchrist), **85**: Gewinnung von Chromverbindungen aus Chromeisenerz 2077f.
- Thomas (S. G.) und Gilchrist (P. C.), **79**: Phosphor und Silicium aus Eisen 1093f.
- Thomas (S. G.) und Kupelwieser (P.), **82**: Entphosphorung des Roheisens 1369.
- Thomas (W.), **77**: Braunkohle 1217.

Thomlinson (W.), siehe Adair (A.).  
Thommert-Gélis, siehe Gélis (A.).  
Thompson (C.), **83**: citronensaures Lithium 1096.

**84**: Entdeckung von Jod neben Brom 1564; siehe Wright (C. R. A.).  
Thompson (C. M.), **83**: Tetramethylammoniumcyanid 481 f.; Acetonitril, Carbylamin gegen Trimethylamin 482; m-Azophenylglyoxylsäure 1155 f.; siehe Claisen (L.).

Thompson (C. Th.), **81**: Phenylglyoxylsäure 795 f.; m-Nitrophenylglyoxylamid 796.

Thompson (J. A.), **80**: Ammoniak aus dem Stickstoff der Luft 1278.

Thompson (J. B.) und Rickmann (J. P.), **84**: Bleichverfahren 1838.

**85**: Bleichen pflanzlicher Faserstoffe 2204 f.

Thompson (S. P.), **82**: Einfluss von Druck auf die elektrische Leitungsfähigkeit der Kohle 151.

**84**: Isolirativ 231; modificirte Anordnung der elektrischen Brückencombination 233; Adjustirung von Widerstandsrollen 248; Theorie der magnetischen Wage 277.

**86**: Gesetz des Elektromagneten (Magnetisirungsformeln) 282; neue Polarisationsprismen 287.

Thompson (S. P.) und Starling (C.), **84**: Natur des Hall'schen Phänomens 274.

Thoms (G.), **77**: Teakholz von *Tectoma grandis* 952.

**79**: Teakholzuntersuchung 937 f.  
**83**: allgemeine Tapetencontrole 1550.

**84**: Unterscheidung des Wachholderbeeröls von Wachholderholzöl und Terpentinöl 1667; siehe Mills (E. J.).

Thoms (G.) und Berg (P. von), **79**: Concretionen aus einem Pferdekiefergeschwür 991.

Thoms (H.), **86**: Darstellung und Untersuchung von Acorin aus *Acorus Calamus* 1787 f.

Thomsen (A.), **85**: Bestimmung kleiner Mengen von Eisen 1933.

Thomsen (A. L.), **77**: Methyltoluidine 475.

**78**: Verhalten von Epichlorhydrin gegen Kaliumcyanat 525; siehe Buckney (E. B.).

Thomsen (J.), **77**: Bildungswärmen von Platin und Palladiumverbindun-

gen 115; Bildungswärmen von Verbindungen des Magnesiums, Calciums, Strontiums und Baryums 116; Lösungswärmen von Chlor, Brom- und Jodverbindungen 120; Affinität. Wärmeentwicklung und Atomgewicht 123; krystallisiertes Jodbaryum 244; chlorwasserstoffs. Goldchlorid 304; Platinchlorürverbindungen 306.

**78**: Genauigkeit thermochemischer Untersuchungen 79 f.; Lösungswärmen einiger Salze 82 f.; Bestimmung der Constitution wasserhaltiger Salze 85; Bildungswärmen der Schwefelmetalle 99 f.; Darstellung von Zinksulfhydrat 283 f.; Zusammensetzung des durch Schwefelwasserstoff gefällten Schwefelkupfers 289 f.

**79**: Bildungswärmen der Oxyde und Säuren des Stickstoffs 111 f.; Bildungswärmen kohlenaurer Salze 118.

**80**: Neutralisationswärmen von Basen durch Kohlensäure 107 f.; thermische Untersuchungen über Stickstoffverbindungen 113; Affinitätsphänomene der Metalle 114 f.; Abhängigkeit der Verbrennungswärme von der Zusammensetzung. Verbrennungswärme des Schwefels 116; Bildungswärmen der Oxyde des Stickstoffs, Wärmeabsorption bei der Bildung des Cyans 120; Verbrennungs- und Bildungswärme des Cyans und des Cyanwasserstoffs 121; Verbrennungs- und Bildungswärme des Benzols 124; thermochemische Untersuchungen über die Theorie der Kohlenstoffverbindungen, Constitution isomerer Kohlenwasserstoffe 128 f.; optische Dichte des Benzols 129 f.; chemische Energie und elektromotorische Kraft galvanischer Combinationen 153; isomere Kohlenwasserstoffe (Benzol) 434.

**81**: Verbrennungswärmen von Aethylwasserstoff und Dimethyl 1126.

**82**: Bestimmung der Verbrennungswärme flüchtiger organischer Substanzen 117 f.; Verbrennungswärme des Wasserstoffs 120; Verbrennungswärme von Benzol, Dipropargyl und Acetylen 121 f.; Bildungswärme von Tetrachlorkohlenstoff, Perchloräthylen 124 f., von Jodchloriden, von Chloriden des Schwefels, Selens, Tellurs 125; Zu-



sammenhang zwischen Brechungsvermögen und Verbrennungswärme 176; Verbrennungswärme von Acetylen und Dipropargyl 398; Verbrennungswärme und Constitution des Benzols 407.

**83:** Lösungswärme des Chlorwasserstoff-Goldchlorids 147; Lösungswärme und Hydratwärme der alkalischen Erden und der Alkalien 147f.; Neutralisationswärmen des Cadmiumoxyds durch Chlor-, Brom- und Jodwasserstoff 150; Bildungswärme der Chloride des Phosphors und des Arsens 155f., der Chloride und Oxyde des Antimons und Wismuths 156f.; Bildungswärme der Oxychloride des Kohlenstoffs, des Phosphors und des Schwefels 157; Verbrennungs- und Bildungswärme des Kohlenstoffsulphids und des Carbonylsulphids 159; krystallisiertes Goldchlorid 436f.; elektrostatische Maßeinheit 190.

**84:** thermochemische Werthe 163.

**85:** Molekulargewicht des Wassers nach thermochemischen Untersuchungen 42; thermochemische Untersuchungen: von Kohlenwasserstoffen und Halogenverbindungen 181f., von Stickstoffverbindungen, Aethern, Acetalen 183, von Alkoholen, Aldehyden, Säuren, Schwefelverbindungen 184, von Estern, Nitroverbindungen und Nitrilen, Affinitätsconstante 185; Werth der Kohlenstoffbindungen (Benzol) 186; Bildungswärme von Alkoholen, Aldehyden, Ketonen, Wärmetönung der Bindung von Wasserstoff, Sauerstoff, Hydroxyl-Carbonyl, Carboxyl, der Aldehydgruppe 187; Bildungswärme des Stickstoffs und seiner Verbindungen (Pyridin), des Schwefels (Thiophen) 188f.; Verbrennungswärme und Constitution des Thiophens 180.

**86:** Verbrennungswärme des Benzols 224f.; Einfluss der mehrfachen Bindungen von Kohlenstoffen auf die Molecularrefraction 299f.; octaedrische, beziehungsweise sphärische Constitution des Benzols und Naphthalins 584ff.

Thomsen (R. T.), **85:** Studien über Indicatoren: Methylorange, Lackmöld, Phenolphthalein, Lackmus, Rosolsäure, Phenacetolin 1887; Titration von Sulfiden, Sulfiten, Chro-

maten, Phosphaten, Arsenaten, organischen Säuren, Lackmöld gegen Urin 1888.

**86:** Bestimmung von Aluminium neben viel Eisen 1930f.; Bestimmung von Thonerde und Eisenoxyd in Phosphaten und Düngern 1931.

Thomsen (Th.), **80:** Drehung von Kohlehydraten, optische Constanten 217.

**81:** Drehungsvermögen organischer Substanzen (des Rohrzuckers) 141.

**82:** optisches Drehungsvermögen der Aepfelsäure und ihrer Salze bei verschiedenen Temperaturen 195.

**85:** Gleichgewichtsverhältnisse in wässrigen Lösungen von Weinsäure 87.

**86:** Verhalten (Existenz) von sauren Salzen und Doppelsalzen in wässriger Lösung 140 bis 144.

Thomson, **85:** Reinigung der Schwefelsäure von Arsen und Antimon 2060, 2062.

Thomson (A.), siehe Carnelley (Th.).

Thomson (A. C.), **77:** Gasgenerator 1097.

Thomson (A. M.), **84:** Analyse von Pleonast 1918.

Thomson (G. C.), **79:** halogenisirte Fettsäuren gegen Wasser 594.

Thomson (J.), **78:** Nichtbildung von wasserfreiem Salz beim Erhitzen einer bei 30° gesättigten Glaubersalzlösung 236; Bildungswärmen des schwefelsauren und kohlen-sauren Natriums von verschiedenen Wassergehalten 237.

**79:** Kritik der Tommasi'schen Abhandlung 188f.; Sinusmanometer 1085.

Thomson (J. J.), **83:** Theorie der elektrischen Entladung in Gasen 193.

**84:** chemische Verbindungen der Gase, Dissociation 87.

Thomsen (J. J.) und Threlfall (R.), **86:** Bildung einer allotropen Modification des Stickstoffs durch Electricität 281; Bildung von Ozon 324.

Thomson (J. M.), **79:** übersättigte Lösungen 78f.

**86:** Chemie der Farben 2186.

Thomson (J. M.) und Popplewell Bloxam (W.), **82:** Krystallisation übersättigter Lösungen von Doppelsalzen 69ff.

- Thomson (J. S.), **79**: Dissociation des Ammoniumeisenalauns 132; ammoniakfreies Wasser 1087.
- Thomson (J. St.) **84**: Beschreibung von Kieselzinkkrystallen 1955.
- Thomson (L.), **78**: Ponsoelion 1194 f.
- Thomson (R. T.), **83**: Empfindlichkeit von Lackmus, Methylorange, Phenacetolin und Phenolphthalein als Indicatoren 1515; Verwendung derselben bei Titirungen 1515 f.; Verwendung von Rosolsäure als Indicator 1516 f.; Phenolphthalein als Indicator bei Titirung von Essigsäure und Citronensäure, volumetrische Werthbestimmung von Alkaliphosphaten und Phosphorsäure 1517.
- 84**: Anwendung von Lackmus, Rosolsäure, Methylorange, Phenacetolin, Phenolphthalein als Indicatoren 1543 bis 1546.
- Thomson (Sir W.), **86**: neue Amperometer 240.
- Thomson (Th.), **79**: Holzuntersuchung 896 f.
- Thomson (W.), **77**: organische Abfälle gegen Thierkohle 1177.
- 78**: Distanz der Wassermoleküle 9; Einfluß der Dehnung auf die Magnetisirung von Eisen, Nickel und Kobalt 157; Unterscheidung fetter und mineralischer Öle 1168.
- 79**: Walkerde 1236.
- 80**: Untersuchung der Tinte 1201.
- 81**: kritische Temperatur 54.
- 84**: Gröfse der Atome (Moleküle) 37.
- 85**: Verarbeitung und Ursachen des Zerfalls von Gummi elasticum, Einfluß von Ölen etc. auf Kautschuk 2189.
- 86**: Antifebrin (Acetanilid) 2069; Prüfung von Stärkekleister 2147 f.; schwarze Flecke auf Papier 2175.
- Thoré, **77**: Saccharimeter 186.
- Thorn (E.), **81**: Extractionsapparat 1236.
- 82**: Extractionsapparat 1350.
- Thorne, siehe Frankland.
- Thorne (L. T.), **81**: Dimethylmalonsäureäster 686 f.;  $\beta$ -Aethylacetbernsteinsäureäther gegen Alkalien ( $\alpha$ -Aethyl- $\beta$ -acetopropionsäure) 759; Dimethylmalonamid 760.
- 83**: Apparat zur fractionirten Destillation unter vermindertem Druck 1657.
- 85**: ungesättigte Lactone der  $\alpha$ -Methyl- $\beta$ -acetpropionsäure und  $\alpha$ -Aethyl- $\beta$ -methylacetpropionsäure 1656.
- Thorpe (T. E.), **79**: Siedepunkt einer Mischung von Tetrachlorkohlenstoff und Methylalkohol 61 f.; Abieten 361 f.
- 80**: Beziehung zwischen den Molekulargewichten von Substanzen und ihren specifischen Gewichten im flüssigen Zustande 18 f.
- 81**: Pyrogallussäure 558; Entwicklung von Photographien durch Pyrogallol 1342; Quellen von Yorkshire 1450.
- 82**: Einwirkung der Oxychloride des Schwefels auf Silbernitrat 235; Verhalten des Zinks, Magnesiums und Eisens gegen Eisenoxysalzlösungen 290 f.; nachgemachter Käse 1436.
- 83**: Atomgewicht des Titans 46.
- 84**: Bestimmung des Atomgewichtes von Titan 54.
- 85**: Bestimmung des Atomgewichtes von Titan mittelst Titan-tetrachlorid und Titan-tetrabromid 34; Sulfide des Titans 549 f.; siehe Schorlemmer (C.).
- Thorpe (T. E.) und Dyson (S.), **82**: Verhalten des Thiophosphorylchlorids gegen Silbernitrat 247.
- Thorpe (T. E.) und Rücker (A. W.), **81**: Thermometrie 1074.
- 84**: kritische Temperatur des Heptans 195 f.; Beziehungen zwischen der kritischen Temperatur und der Wärmeausdehnung 199.
- 86**: Beziehung zwischen dem kritischen Punkt und der Wärmeausdehnung von Flüssigkeiten 200 f.
- Thorpe (T. E.) und Tutton (A. E.), **86**: Darstellung und Eigenschaften von Phosphortri-, -pent- und -tetroxyd 343 f.
- Thoepe (T. E.) und Watts (J. J.), **80**: specifische Volume hydratisirter Salze 17 f.
- Thofs (M. v. Seherr), **79**: künstlicher Dichroismus 154.
- Thost (C.), **79**: Härten von Schmiedeeisen 1931 f.
- Thoulet (J.), **78**: mechanische Gesteinsanalyse 1282.
- 80**: Untersuchungsmethode der Felsgemengtheile 1490.
- 82**: Wärmeleitung von Mineralien und Felsarten 114.

- 83:** Bestimmung der Elasticität der Gesteine 1918.
- 84:** chemische Anziehung fester Körper 11.
- 85:** Verhalten indifferenten fester Körper gegen Lösungen 6 f.
- Thoutet und Lagarde, **82:** Bestimmung der specifischen Wärme kleiner Mengen von Substanz 99.
- Threlfall (R.), siehe Thomson (J. J.).
- Thresh (J. C.), **78:** Capsaicin 958 f.; Erkennung von Alkohol 1074.
- 80:** Wismuth 1191; Chloroform in weingeistiger Lösung 1207.
- 81:** Apparat zur Gasanalyse 1234; Quellwasser von Buxton 1450.
- 82:** Untersuchung von Zingiber officinalis: Gingerol 1177; Analyse des Mineralwassers von Buxton, der Alaunquelle daselbst 1634 f.
- 84:** Untersuchung scharfer Pflanzenstoffe: Paradol, Gingerol, Alpinol 1440 f.; Analyse von Amomum Melegueta 1458; Untersuchung des Rhizoms von Hedychium spicatum 1460.
- Thudichum, **85:** chemische Veränderungen durch Mikroorganismen 1825.
- Thudichum, (J. L. W.), **81:** Protagon 1057.
- 82:** neue Gehirnstoffe 1219 f.; Phrenosin und Zersetzungsproducte: Cerebrose, Sphingosin, Neurostearinsäure, cerebrosische Säure, Psychosin, Aesthesin, Phrenosinhydrat, Phrenosincaramel 1220.
- Thümmel (K.), **84:** Gehalt des Chlorkalks an wirksamem Chlor, Zersetzung desselben, Umsetzung der unterchlorigen Säure in Chlorsäure 331.
- 85:** Analyse von Quecksilberchloriden und -oxybromiden 1904; Prüfung der Alkalidcarbonate auf Beimengung von Monocarbonaten 1924 f., Kohlensäurebestimmung in Dicarbonaten 1925; siehe Poleck (Th.).
- Thürling (G.), **86:** Untersuchung der Kalkspathe von Andreasberg 2248.
- Thun (F. A.), **78:** Zinkgewinnung 1107.
- Thurston (R. H.), **84:** Untersuchung von Bronze 1715.
- Thyss (J.), **85:** Apparat zur Verflüssigung der Schwefelsäure beim Schwefelsäureproceß 2061.
- Tibiriçá (J.), siehe Merz (O.); siehe Merz (V.).
- Tichborne, **85:** Prüfung thierischer Oele 1970.
- Tichborne (C. R.), **82:** Bestimmung der Härte des Wassers 1261 f.; Apparat zur Ammoniakbestimmung im Trinkwasser 1348.
- 84:** Analyse von Kilmacooit 1907.
- 85:** Darstellung von ölsäurem Quecksilberoxyd 1443 f.
- Tichomiroff (A.), **85:** Entwicklung der Insektenier: Chorionin im Chorion 1844.
- Tichomiroff (A.) und Verson, **85:** Identität des Chorionins mit Keratin 1844.
- Tichomirow (W.), **84:** Untersuchung der Canthariden 1507.
- 85:** Absorptionsspectra der Farbstoffe des Mutterkorns 1811 f.; Bleichverfahren 2204; siehe Lidoff (A.).
- Tichomirow (W.) und Lidow (A.), **83:** elektrolytische Studien 220.
- Tidblom (A. V.), **77:** Thermoëlectricität des Platins 155.
- Tidy (C. Meymott), **77:** Londoner Trinkwasser 1387.
- 78:** Bestimmung der organischen Substanzen in Wässern 1292; Londoner Trinkwasser 1313.
- 79:** Wasseranalysen 1026, 1027; Londoner Trinkwasser 1269.
- 80:** Flußwasser 1513; Wasseranalysen 1535.
- 81:** Flußwasser 1441.
- 86:** Reinigung von Städteabwässern 2112; siehe Crookes (W.).
- Tidy (C. M.) und Wigner (G. W.), **83:** Verwendung von Butter, Milch und Brustdrüsengewebe in der Darstellung von Kunstbutter, Veränderung von Oleomargarin durch Brustdrüsengewebe 1729 f.; Bildung der Buttersäure in den Milchdrüsen 1730.
- Tieftrunk, **78:** Dissociation der Ammoniaksalze 123.
- Tieghem (Ph. van), **77:** Eiweißveränderung durch Keimung 914.
- 79:** Buttersäureferment 1016 f.
- Tiemann (F.), **77:** Sodarückstände 1150.
- 78:** Säuren, Alkohole und Aldehyde der Protocatechureihe 764 f.

**79:** Beziehungen zwischen Xylenolderivaten 516 f.

**80:** aromatische Amidosäure, Darstellung 835.

**81:** Amidosäure aus Aldehyden und Ketonen 662.

**82:** Phenol gegen Chloroform: Orthoameisensäure-Phenyläther 815; Anilin gegen Acetoucyanhydrin:  $\alpha$ -Anilidoisobutyronitril,  $\alpha$ -Anilidoisobutyramid,  $\alpha$ -Anilidoisobuttersäure 833.

**84:** Untersuchung des salzsauren Glucosamins 606 ff.; Einwirkung von Salpetersäure auf salzsaures Glucosamin 607; Bildung von Isozuckersäure, Salze, Ester, Umwandlung in Brenzschleimsäure 608.

**85:** allgemeine Reactionen der Amidoxime 1118 bis 1120: Methenylamidoxim (Isuretin), Aethenylamidoxim 1118; Benzenylamidoxim, Ur amidoxime und Thiouramidoxime, Salze und Aether der Amidoxime, Benzoylphenyloxyäthenylamidoxim 1119; Azoxime, Azoximcarbonsäuren, Amidoximkohlen säure-Aethyläther, Carbonyldiamidoxime, Benzenylthiouramidoxim 1120; Darstellung von Dehydrovanillin, Dimethyl-Dehydrovanillin, Dehydrodiprotocatechusäure 1307 f.; Darstellung und Eigenschaften von Glucovanillin 1308 bis 1310: Glucovanillinsäure (Zuckervanillinsäure) 1308; Glucovanillylalkohol 1309; Vanillylalkohol 1310.

**86:** Glucosamin, Verhalten des Chlorhydrats gegen Phenylhydrazin: Phenylglucosazon 706; Darstellung von bromwasserstoffsäurem Glucosamin, spezifische Rotation wässriger Lösungen des salzsauren Glucosamins 707; spezifische Rotation und Krystallform des bromwasserstoffsäuren Glucosamins 707 f.; Benzenylimidoximcarbonyl aus Benzenylimidoximkohlen säure-Aethyläther 1093 f.; Carbonyldibenzenylamidoxim, Phenyluramidoxime und Phenylthiouramidoxime 1094; Doppelverbindungen der Amidoxime mit Chloral, Verhalten derselben gegen Acetaldehyd und Acetessigäther, Benzenylimidoximcarbonsäuren 1095; Phtalimidoxim aus o-Cyanbenzoesäureäther; Ueberführung der Amidoxime in Azoxime 1095 f.; Verhalten verschiedener Cyanhydrine gegen Hydroxyl-

amin, Krystallform von Benzenylimidoxim und Benzenylimidoximbenzyläther 1096; Amidoxime (Benzenylimidoxim) aus Thioamiden organischer Säuren (Thiobenzamid) 1096 f.; Thiocumarin 1466; Cumaroxim 1466 f.; Dihydrocumaroxim, Verhalten von Cumaron gegen Phosphorsulfid 1467; Reduction von Benzaldehyd, p-Oxybenzaldehyd und Salicylaldehyd mit Eisessig und Zinkstaub 1634 f.; siehe Baumann (E.); siehe Preufse (C.); siehe Reifert (A.).

Tiemann (F.) und Friedländer (L.), **81:**  $\alpha$ -Amido- und Oxyisobuttersäure 705; Oxy- und Amidodiäthylelessigsäure 706; Benzaldehydcyanhydrin, Mandelsäureamid, Phenylamidoacetnitril 792; Phenylamidoacetamid, Phenylamidoessigsäure 793.

Tiemann (F.) und Haarmann (R.), **86:** Darstellung und Untersuchung der Isozuckersäure (Tetraoxyadipinsäure) und ihrer Derivate 1380 f.

Tiemann (F.) und Helkenberg (E.), **79:** Orcylaldehyde 556 f.

Tiemann (F.) und Herzfeld (H.), **77:** Paraoxybenzaldehydderivate 613, 615; Acetylparacumarsäure 614; Zimmtsäure, Hydroparaoxybenzoinatrium, Paraoxybenzylalkohol, Hydroparaoxybenzoin 615; Cumarin aus Salicylaldehyd, Orthocumarsäure, Hydrocumarsäure (Melilotsäure) 795.

Tiemann (F.) und Kees (A.), **85:** Verhalten und Derivate des Helicins (Glycosalicylaldehyds) und des Glycovanillins 1762 f.; Anilin- und Phenylhydrazinverbindungen derselben 1762; p-Oxy-m-methoxybenzylidenphenylhydrazin, Helicin aldoxim, Glycovanillin aldoxim 1763; Synthese von Glycosiden 1763 bis 1766: Glyco-o-cumaraldehyd, Glyco-o-cumaralkohol, o-Cumaraldehyd und -alkohol, Glyco-o-cumarsäuremethylketon, o-Cumarsäuremethylketon, Di-glyco-o-cumar keton 1764, Di-o-cumar keton, Glycoferulaldehyd, Ferulaldehyd, Krystallform desselben 1765; Coniferin und Coniferylalkohol gegen Natriumamalgam, Glycoferulasäuremethylketon, Ferulasäuremethylketon 1766.

Tiemann (F.) und Kraaz (R.), **82:** Vanillin gegen Propionsäureanhydrid: Propiohomoferulsäure, Homoferula-

säure, Isoeugenol; Benzoylengenol, Benzoylvanillinsäure, Benzoylisoegenol 705 ff.; Constitution des Eugenols und Isoeugenols 708; Derivate der Homoferulasäure: Hydrohomoferulasäure, Methylhomoferulasäure (Dimethylhomocaffeinsäure), Methylhydrohomoferulasäure und Salze 966 f.

**Tiemann (F.) und Köhler (H.), 81:** Anisaldehydcyanhydrin, p-Methoxymandelsäure und -amid 794; p-Methoxyphenylamidoacetnitril, p-Methoxyphenylamidoessigsäure, Atrolactinsäure,  $\alpha$ -Amidohydratropasäure 795.

**Tiemann (F.) und Koppe (P.), 81:** Brenzcatechin gegen Chloroform, Guajacol und Derivate, Brenzcatechin, Derivate 546 f.; Vanillin, Kreosol und Derivate (m-Homo- $\beta$ -m-Methoxysalicylaldehyd) 548; Holztheeröl 1321.

**Tiemann (F.) und Krüger (P.), 84:** Darstellung von Amidoximen aus Hydroxylamin und Nitrilen: Phenylloxäthylenamidoxim, Benzenylamidoxim 494 f.; Bildung von Dibenznylazoxim, Benzenylazoximäthyl 496 f.

**85:** Beziehungen einiger Benzenylamidoximderivate zu den Benzhydroxamsäureverbindungen 1127 bis 1132: Benzenylmethoximchlorid 1127; Benzenylamidoximäthyläther, Benzenyläthoximchlorid 1128; Benzhydroximsäure-Aethyläther, Constitution der Benz- und Dibenzhydroxamsäure 1129; Benzenyläthoximidoäthyläther (Aethylbenzhydroximsäure-Aethyläther,  $\alpha$ -Aethylbenzhydroxamsäure-Aethyläther), Constitution des  $\beta$ -Aethylbenzhydroxamsäure-Aethyläthers, der  $\alpha$ - und  $\beta$ -Aethylbenzhydroxamsäure 1130; Constitution des  $\alpha$ -Dibenzhydroxamsäure-Aethyläthers, des  $\beta$ -Dibenzhydroxamsäure-Aethyläthers und der  $\beta$ -Aethylbenzhydroxamsäure 1131; Acetylbenzhydroximsäure-Aethyläther, Anhydrid des Benzhydroximsäure-Aethyläthers 1132.

**Tiemann (F.) und Landshoff (L.), 79:** Aldehydoxybenzoesäuren 704 f.

**Tiemann (F.) und Lewy (L.), 77:** Aldehyde aus Resorcin 618; Acetoxycumarin ( $\beta$ -Acetumbelliferon) 619.

**Tiemann (F.) und Ludwig (R.), 82:** m-Oxybenzaldehyd aus m-Nitrobenzaldehyd, m-Amidobenzaldehyd,

Acet-m-oxybenzaldehyd, Essigsäureacet-m-oxybenzaldehyd, Methyl-m-oxybenzaldehyd, Acet-m-cumarsäure 746; m-Cumarsäure, Hydro-m-cumarsäure, Methyl-m-cumarsäure, Methyl-m-hydrocumarsäure 747; m-Oxybenzaldehyd gegen Salpetersäure:  $\alpha$ - und  $\beta$ -Mononitro-m-oxybenzaldehyd und Derivate 747 f.; Methyl-m-oxybenzaldehyd gegen Salpetersäure:  $\alpha$ - und  $\beta$ -Dinitromethyl-m-oxybenzaldehyd 748.

**Tiemann (F.) und Matsumoto (K. U.), 78:** Oxydation von Methyleugenol 788.

**Tiemann (F.) und Mendelsohn (B.), 77:** Kreosol und Phlorol 575; Vanillinsäure-Aethyläther, Vanillinsäuren verschiedener Darstellung, Aldehydovanillinsäure 771; Aldehydovanillinsäuremethyläther (Isomethylnoropiansäuremethyläther), Aldehydovanillinsäuredimethyläther (Isopiansäuremethyläther), Isopiansäure 772; Isohemipiansäure, Isonoropiansäure (Aldehydoprotocatechusäure) 773.

**Tiemann (F.) und Müller (W. H. Max), 81:** Gentisinaldehyd 554; Gentisinsäure 555; Monomethylhydrochinon, Dimethylhydrochinon, m-Methoxysalicylaldehyd 556; Dimethylgentisinaldehyd, Dimethylgentisinsäure 557; m-Methoxycumarin, m-Methoxysalicylsäure 558.

**Tiemann (F.) und Nägeli (E.), 85:** Verhalten des Benzenylamidoxims gegen Natriumamalgam 1120 f.

**Tiemann (F.) und Nagai (Nagajosi), 77:** Aceteugenol, Acetalphahomovanillinsäure, Alphahomovanillinsäure 774; Alphahomoprotocatechusäure 775.

**78:** Kaffeesäure und ihre Beziehungen zur Ferulasäure 799 f.

**Tiemann (F.) und Oppermann (J.), 80:** Amidozimmsäuren 865 f.

**Tiemann (F.) und Parrisius (A.), 80:** Resorcinderivate 650 f.

**Tiemann (F.) und Piest (K.), 81:** Benzaldehydcyanhydrin gegen Methyl- und Dimethylamin 793 f.; Phenylsarkosinamid, Phenylsarkosin 794.

**82:** Benzaldehydcyanhydrin gegen Anilin: Phenylanilidoessigsäurenitril, Phenylanilidoacetamid, Phenylanilidoessigsäure 921 f.; Phenyl- $\alpha$ -dibromanilidoacetnitril, Benzenyl-o-amidophenylmercaptan 922.

Tiemann (F.) und Preufse (C.), **70**: Sauerstoffbestimmung im Wasser 1027; organische Verbindungen im Wasser 1027 f.

Tiemann (F.) und Reimer (K. L.), **77**: Aldehydoxysäuren: Orthoaldehydosalicylsäure 777; Paraldehydosalicylsäure, Orthoaldehydoparaoxybenzoësäure, isomere Phenoldicarbon-säuren 778 bis 783.

**79**:  $\beta$ -Acetumbelliferon, Umbell-säure, Hydroumbellsäure 528 f.

Tiemann (F.) und Schotten (C.), **78**: die drei Kresole, Oxytoluol-aldehyde und Oxytoluylsäuren 572 f.

Tiemann (F.) und Stephan (B.), **82**: Acetaldehydcyanhydrin gegen Anilin, o- und p-Toluidin:  $\alpha$ -Anilido-propionitril,  $\alpha$ -Anilidopropionamid,  $\alpha$ -Anilidopropionsäure und entspre-chende Toluidinverbindungen 823 ff.

Tiemann (F.) und Streng (F.), **81**: Orcin, Dimethylorcin und Derivate 565; Monomethylorcin, Dimethyloxy-benzoësäure 566.

Tiemann (F.) und Will (W.), **81**: Hesperidin, Hesperetin, Hesperetin-säure 990; m-Oxybenzaldehyd 991.

**82**: Constitution des Aesculetins (Dioxycurmarin, Oxyumbelliferon?) 708 ff.; Monomethyläsculetin, Dimethyläsculetin 708 f.; Dimethylumbellsäure-Methyläther, Dimethylumbellsäure, Dimethyl- $\beta$ -resorcylsäure 709; Trimethyläsculetinsäure-Methyl-äther, Trimethyläsculetinsäure 709 f.

Tiesler (H.), **84**: Untersuchung von Malzextract 1800.

Tietze (E.), **80**: Geologie von Bos-nien-Herzegowina 1503.

**81**: Ozokerit und Naphta 1410.

**82**: geognostische Verhältnisse der Umgegend von Lemberg 1618.

**84**: Vorkommen von Türkisen 1946 f.; siehe Paul (C. M.).

Tiffereau, **85**: Einwirkung des Sonnenlichtes auf Salpetersäure und Schwefelkohlenstoff 346.

Tilden (W. A.), **77**: Nataloin, Barba-loin, Soccotrinoloin 908; Alloxan-tin 909; Aloin, Nataloin, Barbaloin, Socaloin, Alloxantin (Methyltetraoxy-anthrachinin) 933.

**78**: spezifisches Gewicht 23; Dampf-dichtebestimmung 30; über die Koh-lenwasserstoffe des russischen Ter-pentinöls (aus *Pinus sylvestris* und *P. Ledebourii*), sowie desjenigen der

Blätter von *Pinus sylvestris* 389; Constitution der Terpene 390; Ter-pin, Terpinol 638; Constitution des Camphers 639; ätherische Oele 979 f.

**79**: Terpin, Terpinol 567 f.; Cit-ronenöl 943 f.

**80**: Harzessenz 1081 f.

**82**: Kohlenwasserstoffe: Isopren, Diisopren ( $C_5H_8$ )<sub>n</sub> 405 ff.; Colophen 407.

**84**: Bestimmung der Schmelz-punkte wasserhaltiger Salze 177 ff.; Verhalten von Terpenen gegen Hitze 550 f.; Bildung von Pentin (Isopren), Cymol, optisch activem Terpen und einem polymeren Colophen, Auffas-sung des Isoprens als Dimethylallen 551; Bestimmung der Dichte von Coaks 1816.

**85**: Einfluß der Temperatur auf die Lösungswärme von Kalium- und Natriumsalzen in Wasser 162 ff.

**86**: Natur der Lösung 110; Cor-ro-sion von Kupfer und Messing durch Seewasser 2043; siehe Arm-strong (H. E.).

Tilden (W. A.) und Harrow (G.),

**79**: Terpene gegen Salzsäure 572 f. Tilden (W. A.) und Shenstone (W. A.), **77**: Nitrosoderivate der Terpene 427.

**83**: Zusammenhang zwischen Schmelzpunkt und Löslichkeit bei Salzlösungen 93.

**85**: Löslichkeit von Calciumsulfat in Chloriden (in wässerigen Lösungen von Chlornatrium, Chlorammonium, Chlorcalcium und Chlormagnesium) bei verschiedenen Temperaturen 104 f.

Timiriazeff (Timirjaseff) (C.), **77**: Kohlensäurezerlegung in Pflanzen 196.

**83**: Beziehungen zwischen der Vertheilung der Energie im Sonnen-spectrum und dem Chlorophyll 1397.

**85**: Untersuchung der Chloro-phyllwirkung 1797.

**86**: Reduction von Chlorophyll: Protophyllin 1807.

Tiret (E.), **79**: Leder aus Schaf-mägen 1151.

Tiryakian, siehe Bochefontaine. Tiryakian und Prevost, **82**: physiologische Wirkung des Coniins 1227.

Tisati (G.) und Saporito-Ricca (G.), **77**: Festigkeit des Eisens 1114.

Tischtschenko (Tistschenko) (W.), **83**: Oxymethylen (Trioxymethylen)

- gegen Halogenwasserstoffsäuren 852, 949; siehe auch Fitschenko.
- Tischtschenko und Mendelejeff (D.), **86**: spezifisches Gewicht der Schwefelsäure 134.
- Tissandier (G.), **85**: Gasentwicklungsapparat 2008; photographische Aufnahmen vom Luftballon aus 2261; siehe Meunier (St.).
- Tivoli (D.), **84**: Einwirkung des Arsenwasserstoffs auf Platinchlorid (Platinarseniat) 459 f.
- Tleisner (F.); siehe Fleisner (F.); siehe Lippmann (E.).
- Tobbins (E. H.), **85**: Zusammensetzung einer Bronze 2050.
- Tobias (G.), **82**: Formanilid gegen Salzsäuregas (Methenyldiphenylamin) 508; Bildung und Zersetzung des Formanilids und Acetanilids 513 ff.; Formylmonoäthylanilin 524; Dimethylanilin gegen Essigsäure und Ameisensäure 524 f.; Diformyl-m-Phenylendiamin 580; isomere Formotoluide 534 f.; Formyldiphenylamin 546; Naphtylamine gegen Ameisensäure: Naphtylformamide 568; Verhalten von Alkaliphosphaten gegen Indicatoren 1274.
- 83**: Apparat zur Darstellung von  $\beta$ -Naphtylaminsulfosäuren 1292; siehe Liebermann (C.).
- Tobien (A.), **78**: Jervin und Veratroidin 908 f.
- 79**: Veratrumalkaloide 825.
- Tobin (T. W.), **83**: explosiver und gefährlicher Staub 1702 f.; Entzündung des Mehlstaubes in den Staubschächten 1703.
- Tod (J. A.), **82**: Homochinin in China cuprea 1106.
- Töhl (A.), **85**: Darstellung von o-Xylidin und einiger seiner Derivate: Mononitrodibrom-o-xytol, Dinitrodibrom-o-xytol, Dibrom-o-xylidin 896; Salze des o-Xylidins, Acetxylid-o-xylenol 897; Darstellung und Constitution von m-Xylidin (1, 3, 5), Mononitro-m-xytol 898 f., (s-) m-Xylenol und Tribrom-(s-)m-xylenol, Schmelzpunkt von Acetnitro-m-xylidin und von Mononitro-m-xylidin 899.
- Tölle (A.), siehe Hübner (H.).
- Tölle (E.), siehe Elbs (K.).
- Töllner (C.), **85**: Unterscheidung des Knochenmehls von Steinnußfällen 2130.
- Tönnies (P.), **78**: Verbindungen un-
- gesättigter Kohlenwasserstoffe mit salpetriger Säure 329; Verhalten von Pyroschleimsäureäther gegen Brom 718 f.
- 79**: Dibrompyroschleimsäure gegen Bromwasser 646.
- 80**: Anethol gegen salpetrige Säure 664 f.; siehe Baeyer (A.).
- Tönnies (P.) und Staub (A.), **84**: Darstellung von Furfurbutylenderivaten 1034 f.; Furfurbutylenoxyd, Furfuracrylsäure, Darstellung von Isobuttersäureanhydrid 1035.
- Toepler (A.), **84**: Bestimmung der Horizontalintensität des Erdmagnetismus 278.
- Törnebohm (A. E.), **77**: Zirkon 1275; Diabas- und Gabbrogesteine 1356.
- 79**: Eisen von Ovifak 1280.
- 84**: Vorkommen von Cancrinit 1959.
- 86**: Herkunft des Nephrits: Untersuchung von „Skarn“ 2284.
- Törnebohm (A. E.), **77**: Quarzsandstein 1368.
- Tollens (B.), **77**: Drehung des Rohrzuckers 187.
- 78**: spezifisches Drehvermögen des Rohrzuckers 187.
- 79**: Oxydation der Lävulinsäure 645 f.
- 80**: Rohrzucker, spezifisches Drehungsvermögen 1020; Reduktionsvermögen des Milchsuckers 1022.
- 81**: Aldehydreactionen Reactionen der Lävulinsäure, Milchsäure und des Isopropylalkohols 595; Oxydation der Lävulinsäure 724; Acetessigsäure im Harn 1054.
- 82**: Formaldehyd, Trioxymethylen 733; Reagens auf Aldehyde 733 f.
- 83**: Darstellung und Eigenschaften des Formaldehyds resp. Oxymethylens 948; Methylenitan aus Oxymethylen oder Formaldehyd 948 f.; Dextrose gegen ammoniakalische Silberlösung 1362; Constitutionsformeln für Dextrose und Lävulose 1363; Prüfung des pyrophosphorsauren Magnesiums auf Reinheit 1543.
- 84**: Circularpolarisation des Rohrzuckers und der Dextrose 300; Demonstrirung von Spring's Druckversuchen 310 f.; Bildungsweise und Eigenschaften von Hexamethylenamin 1024 f.; Hexamethylenchloroplatinat, Anhydroformaldehydaunilin,

Verbindungen von Formaldehyd mit Toluidin, Harnstoff sowie Anilin 1025; Darstellung von Aldehydgummi 1027; Monochloressigsäure in zwei verschiedenen Modificationen 1094.

**85**: Vorkommen von Raffinose in der Melasse; Darstellung und Eigenschaften, Identität derselben mit Gossypose und Melitose 1750 f.; die Raffinose als wesentlichster Bestandtheil des „Pluszuckers“ 1751; Darstellung von Melitose und Identität derselben mit Raffinose 1753.

**86**: Darstellung von Formaldehyd; Constitution der Formose 1621; Neugestaltung des titrimetrischen Systems 1896; siehe Block (J.); siehe Creydt (B.); siehe Deichmüller (A.); siehe Dieck (E.); siehe Grupe (A.); siehe Grote (A. v.); siehe Herrmann (P.); siehe Kehler (E.); siehe Kent (W. H.); siehe Kreckeler (K.); siehe Pfeiffer (Th.); siehe Rischbiet (P.); siehe Rodewald (H.); siehe Schmidt (F.); siehe Wehmer (C.); siehe Wellington (Ch.).

Tollens (B.) und Jahns, **85**: Darstellung von Baumwollensamenzucker 1752.

Tollens (B.) und Loe (A.), **81**: Glycerinäther 511.

Tollens (B.) und Rischbiet (P.), **85**: Identität von Baumwollensamenzucker mit Raffinose, Schleimsäure aus Raffinose, Natriumverbindung der Raffinose, Verhalten derselben beim Erhitzen mit Säuren, Phenylhydrazinverbindung 1752.

**86**: Untersuchungen über Raffinose und Melitose 1779.

Tollinger (J.), **77**: Widerstand von Flüssigkeiten 162.

Tolmei (T.), **85**: Asphaltbraun 2190.

Tomasi (D.), **86**: Effluvgographie 2217 f.; siehe Tommasi (D.).

Tomlinson (C.), **85**: Ursachen der Bewegung des Camphers auf Wasser 1659; Entfärbung der Jodstärke 1759.

Tomlinson (Ch.), **77**: übersättigte Lösungen 79.

**78**: Krystallisation übersättigter Lösungen 57; Einfluss der Gefäßwände auf die Erhaltung des Zustandes der Uebersättigung 58.

**84**: Verdampfung als Ursache des Nichtsiedens von Wasser 185.

**86**: übersättigte Salzlösungen 113. Tomlinson (H.), **78**: Aenderung der Wärmeleitung des Eisens und Stahls durch Magnetisirung 78.

**84**: Hall'sches Phänomen 274.

**86**: Viscosität der Luft 86;

Widerstandsänderung bei Kobalt, Magnesium, Stahl, Platin-Iridium 249.

Tommasi (D.), **78**: katalytische Wirkungen 9; allotropische Zustände des Wasserstoffs 193; Reduction von Chlorsilber durch Metalle 306.

**79**: Nichtexistenz des nascirenden Wasserstoffs 187; Eisenoxydhydrate 247 f.; Reduction von Chloral 551 f.; Verhalten des Chlorsilbers 1056.

**80**: Thonerdehydrat 287; nascirender Wasserstoff 288.

**81**: Wasserzersetzung durch ein einziges Element 99; Kaliumnitrit gegen Chlorammonium, Ammoniumsulfat und -nitrat 178; Kupferoxydhydrat gegen Alkalisalze 260; Dissociation von Ammoniumsalzen 1136 f.; Dissocioskop 1236.

**82**: thermisches Gleichgewicht 9; Beziehungen zwischen thermischen Werthen 134; Vergleichung der elektromotorischen Kräfte mit der bei der Elektrolyse geleiteten chemischen Arbeit 156 f.; chemisches Verhalten des Bromsilbers unter dem Einfluss des Lichtes 199; Wirkung des nascirenden Wasserstoffs 218; Einwirkung von Aluminium auf Kupferchlorid 281; Eisenoxydhydrate 290; Stabilität des Kupferoxydhydrates gegen alkalische und Salzlösungen 332 f.; Acetylen aus Kupferacetat 816.

**83**: Berechnung der Bildungswärmen von Glycolaten 182 f., der Bildungswärmen löslicher Magnesium-, Kupfer-, Kobalt-, Lithium- und Nickelsalze 183.

**84**: vermeintliche wasserentziehende Wirkung von Salzen 132; Bildungswärme für Ammoniumhydroxyd 210; Constitution des Ammoniumhydrates, elektrische Leitungsfähigkeit des wässrigen Ammoniaks 355.

**85**: Verbindungswärmen des Wasserstoffs 212 f.; „Elektropseudolyse“ 285.

**86**: Gesetz der thermischen Constanten, angewendet auf Bildungs-



- wärme 176; Elektrolyse von Kaliumchlorat und Chloralhydrat 276; siehe auch Tomasi (D.).
- Tommasi (D.) und Pegna (E.), **83**: Bildung von basischem Kupfersulfat aus Kupfersulfatlösungen 190.
- Tommasi (D.) und Pelizzari (G.), **82**: Einwirkung der Zeit auf Eigenschaften und Zusammensetzung des Eisenoxydhydrates 289 f.
- Tommasi (D.) und Radiguet, **84**: neue Säule mit Kohleelektroden 237.
- Tommasi (T. und D.), **81**: Phenol im Harn 1229.
- Tompkins (H. K.), siehe Frankland (E.).
- Tomson (E.), **81**: Druckmesser für Gase, Apparat zur Untersuchung von Rauchgasen 1234.
- Tonn (L.) und Claus (A.).
- Tonnies (P.), **79**: Verbindung  $C_5H_9NOCl$  319; Butyrfuronsäure aus Furfurvaleriansäure 670 f.
- Tonningen (Rost van), **83**: Analyse der Asche des Ternate, des Taboekau, des Merapi 1934 f.
- Topsoë (H.), **77**: Dichte von Gold-doppelsalzen 41.
- 79**: kristallographische Untersuchung von Platonitriten 307 f.
- 80**: Platonitrite 363.
- 83**: Krystallform von Rhodiumchloridammoniak 442, von Brompurpureorhodiumbromid 447, von Verbindungen der Amine der Fettreihe (Methyl-, Aethyl- und Propylaminen) 618 bis 621, von methylschwefels. Salzen 1239; Bestimmung der Chlor-, Brom- und Jodwasserstoffsäure in schwefelwasserstoffhaltigen Lösungen 1530 f.
- Tornani (A.), siehe Vitali (D.).
- Tornoë (H.), **79**: Luft und Kohlensäure im Seewasser 1258 f.
- 80**: Meerwasser 1511.
- 82**: Salzgehalt des Meerwassers 1262 f.
- Torrey (J.), **85**: Verhalten von Schwefelquecksilber gegen Salpetersäure, Nachweis von Quecksilber 1940.
- Torrey (J. jun.), **84**: Analyse von Allanit 1952.
- Torsellini (D.), **85**: anästhesierende Wirkung des Cocains 1850.
- 86**: Einfluss des Pepsins auf die Löslichkeit des Calomels 1871.
- Tortelli (M.), **86**: neue m-Chinolin-benzencarbonsäure 1472 ff.
- Toscani (C.), **86**: chemische Wirkung der Elektrode 260.
- Tosse (Fr.), siehe Claus (Ad.).
- Tóth (J.), **86**: Gehaltsbestimmung roher Carbonsäure 1961.
- Tour du Breuil (de la), siehe Breuil (de la Tour du).
- Townsend (D.), **79**: Photographie 1177 f.
- Townsend (J.), **80**: Natriumsulfat aus Magnesiumsulfat und Chlornatrium 1294; Kaliumsulfat aus Kainit 1299.
- 81**: Chlor aus Chlormagnesium 1256 f.
- Trachsel (Eug.), **80**: Stickstoff-tabelle zur Bestimmung im Harn 1236.
- Trachsel (E. F.), **86**: Herstellung von Strontiumhydroxyd aus Cölestin 2060 f.; Reinigung von krystallisiertem Strontiumhydroxyd 2062.
- Trachsel (T.), **85**: Titration von Sulfiden neben Sulfhydraten mit Phenolphthalein 1889.
- Trainer (E.), siehe Claus (A.).
- Trampedach (A.), siehe Seyberlich (A.).
- Tranær (E.), **84**: Aseptol, neues antiseptisches Mittel 1778.
- Trant O'Shea (L.), **83**: Constitution des Chlorkalks 283.
- 84**: Constitution des Chlorkalks 1735.
- Trapp (J.) und Johanson (E.), **85**: Desinfektions-Zündhölzchen 1868.
- Trasenster (P.), **79**: Entphosphorung des Roheisens 1093.
- Traub (C.) und Hock (C.), **84**: Darstellung von Lackmoïd 983.
- Traub (M. C.), **83**: Chinolin gegen Phthalsäureanhydrid : Chinophthalon 1313; Cacaoöl (Cacaobutter) 1421 f.
- 85**: Darstellung von Thymolphthalein und Derivaten 1277 f.: Thymolphthaleindiäthyläther (Thymolphthaleinäthylat), Essigsäure-Thymolphthaleinäther (Thymolphthaleinacetat), Benzoesäure-Thymolphthaleinäther (Thymolphthaleinbenzoat), Dinitrothymolphthalein 1277; Thymolphthalin 1278.
- Traub (M. C.) und Hock (C.), **85**: Lackmoïd als Indicator der Alkalimetrie 1889 f.; Darstellung von Lackmoïd-Reagenspapier 1890.
- Traub (M. C.) und Schärge (C.), **84**: Verhalten des Steinkohlentheer-

Chinolins, des Chinolins und Chinaldins gegen Phosphorsäureanhydrid 1370.

Traube (H.), siehe Arzruni (A.).

Traube (J.), **82**: Chlorcyan gegen Alanin, Sarkosin, m-Amidobenzoëssäure, p-Amidophenylessigsäure: Lacturaminsäure 799; Sarkosin-anhydrid, m-Cyanamidobenzoëssäure 800 f.; p-Cyanamidophenylessigsäure, p-Amidophenylessigsäure 802; m-Uramidobenzoëssäure, Harnstoffdibenzoëssäure (Carboxamidobenzoëssäure); Amidobenzoëssäure gegen Harnstoff, Uramidobenzoëssäure: Harnstoffdibenzoëssäure 907 f.

**84**: Capillarität, Constitution und Molekulargewicht organischer Verbindungen 55 f.

**85**: Untersuchungen über die Capillaritätsconstanten von Flüssigkeiten (Lösungen) 79 ff.; Einfluss der Temperatur auf den capillaren Randwinkel 81 f.; Verhalten von Sulfharnstoff gegen Quecksilberoxyd, Darstellung, Verhalten von Chlorcyan 632.

**86**: spezifische Zähigkeit von Alkoholen und Fettsäuren 118 bis 121; Tropfenvolumina von Alkoholen und Fettsäuren 121 bis 124; Bestimmung des Fuselöls in Branntweinen, Cognac, Likören 1960; siehe Bernthsen (A.); siehe Bodländer (G.).

Traube (M.), **77**: Alkoholbildung 1021.

**82**: Activirung des Sauerstoffs, Autoxydation, Entstehung des Wasserstoffhyperoxyds 218 ff.; Oxydation von Kohlenoxyd durch Palladiumwasserstoff und Sauerstoff 250.

**83**: Activirung des Sauerstoffs 265 bis 268, 270; dysoxydable Körper 267.

**84**: Kupferjodid 433 f.; Reaction auf Wasserstoffsperoxyd 1562; Darstellung von Wasserstoffsperoxyd 1720.

**85**: Mitwirkung des Wassers bei langsamen Verbrennungsprocessen (Oxydation von Metallen) 364 ff.; Mitwirkung des Wassers bei der Verbrennung des Kohlenoxyds und Bildung von Wasserstoffsperoxyd bei dieser Verbrennung 367 f.; Verbrennung des Wasserstoffs 369 f.; Verbrennung des Kupfers 371 f.

**86**: Wechsel der Valenz und Verbindungen von Molekülen mit Atomen

33 f.; Silberoxydul 34; Untersuchung des Wasserstoffhyperoxyds 325 f.; Zusammensetzung und Eintheilung der Hyperoxyde (Sauerstoff-Molekülverbindungen) 326.

Trautschold (H.), **77**: schwarzes Gold 1259.

**79**: Chondritfall zu Rakowka 1279.

Trauzl, **83**: neuere Sprengstoffe: Gelatinedynamite 1703 f.; Explosionstemperaturen von Guhrdynamit und Sprenggelatine, Entzündung von Gelatinedynamiten durch Zündpatronen, Apparat zur Beurtheilung der relativen Kraft verschiedener Sprengmittel 1704.

Trauzl (J.), **86**: Hellhoffit und Carbonit 2077; Arbeitsleistung von Schwarzpulver 2078.

Treadwell, **84**: Krystallform von  $\beta$ -Naphthochinon- $\alpha$ -oxim 968.

**85**: Thiophendicarbonsäure 1200.

**86**: Gebrauch des Nitrometers 1916; siehe Meyer (V.).

Treadwell (F. P.), **81**: Diäthylketin aus Nitrosoäthylacetat 417; Dipropylketin (Nitrosopropylacetat, Propylessigäther) 418.

**82**: Bestimmung des Chroms als Oxyd 1285; siehe Meyer (V.).

Treadwell (F. P.) und Meyer (V.), **83**: Molekulargröße und Dampfdichte des Isoindols 818 f.; Verfahren bei Dampfdichtebestimmungen, Diphenyldiisindol Möhlau's 819.

Treadwell (F. P.) und Steiger (E.), **82**: Nitrosoacetonsilber, Nitrosoacetat gegen Salzsäure, Zinn und Salzsäure: Ketin 758.

Treadwell (F. P.) und Westenberg (B.), **82**: Acetessigäther gegen Natriumnitrit; Hydroxylamin gegen Nitrosoacetat: Acetoximsäure; Isobutylacetessigäther gegen Natriumnitrit: Nitrosoisobutylketon 759; Nitrosoamylketon 760.

Trébault (A.), **78**: Pikraminsäure als Indicator für die Alkalimetrie 1056.

Treichmann (C.), **84**: Messung von Kieselzinkkrystallen 1955; siehe Klein (C.).

Treichmann (C. O.), **82**: Fayalitschlacken 1548; Epistilbit von Hartlepool 1546 f.

**83**: krystallographische Untersuchung des Brochantits von Pisco, Peru 1856.

- 84:** Messung von Rutil 1916.  
**Trécul, 78:** Gährung 1015 f.  
**79:** krystallisiertes Chlorophyll 901; Theorie der Gährung 1002.  
**Trécul (A.), 77:** Stärke 898; Chlorophyll 930.  
**Treffner (E.), 81:** Analyse von Laubmoosen 1007.  
**Treffall (R.), 86:** Theorie der Explosionen 2076.  
**Trenk, siehe Ballatschano.**  
**Treptow (E.), 80:** Leucit 1445.  
**Treschmann, 77:** Waschflasche 1097.  
**Tresh, 85:** Reinigung von Canalwasser 2134.  
**Tresh (J. C.), 84:** Extractionsapparat 1689.  
**Tresidder (R. C.), 83:** Dichinolin aus Chinolinchlorhydrat 1322; siehe Japp (Fr. R.).  
**Treumann, 78:** Murexidprobe und Löslichkeit des Theobromins 872; siehe Donker.  
**Treumann (C.), 81:** Tripolith 1276.  
**Treupel (W.), siehe Claus (A.).**  
**Trève, 80:** Magnetisirung des weichen Eisens 179.  
**82:** Zink in Heizkesseln gegen Kesselsteinbildung 1452.  
**Trèves, 83:** Vermeidung von Dampfkesselexplosionen 1662.  
**Trey (H.), 86:** Einfluss von Neutralsalzen auf die Katalyse des Essigsäure-Methyläthers 35 f.  
**Tribe (A.), 77:** Vertheilung der Bestandtheile eines Elektrolyten 165.  
**81:** Affinitätsbestimmungen 28; Brechung der Electricität 93; Ausbreitung der Bestandtheile von Elektrolyten 98 f.  
**83:** elektrolytische Versuche 219 f.; siehe Gladstone (J. H.).  
**Tribouillet (V.) und Besancéle (L. A. de), 80:** Celluloid 1370 f.  
**Trimble, 78:** *Cimicifuga racemosa* 977.  
**Trimble (H.), 78:** Analyse des dialysirten Eisens 264.  
**85:** Verhalten des Glycerins beim Erhitzen 1172.  
**Trimen (H.), siehe Howard (J. E.).**  
**Trinius (J.), 85:** Untersuchung von Derivaten der Hydratropasäure 1502 bis 1504: p-Mononitrohydratropasäure, p-Monoamidohydratropasäure 1503; p-Oxyhydratropasäure (Phloretinsäure), Isophloretinsäure, o-Mono-nitrohydratropasäure 1503 f.; Atroxindol 1504.  
**Trippke (P.), 78:** Verwachsungen von Enstatit mit Diallag 1248 f.; Phillipsit 1256; schlesische Basalte 1289.  
**Trobach (K.), 82:** Filtrirvorrichtungen 1347.  
**84:** Neuerungen an Bunsen's Kohle-Zink-Elementen 236.  
**Troffi (F.), siehe Bertoni (G.).**  
**Troilus, 85:** Bestimmung des Sauerstoffs im Stahl 1898.  
**Troilus (M.), 81:** Stahluntersuchung 1186.  
**83:** Bestimmung des Mangans im Eisen 1568.  
**84:** Bestimmung von Mangan in Eisen und Stahl 1599.  
**86:** Bestimmung des Schwefels im Roheisen 1913.  
**Trojanowsky (P.), 77:** Cacao 937; Theobromin im Cacao 1206.  
**Tromelin (G. le Goarant de), siehe Le Goarant de Tromelin.**  
**Trompeter (H.), siehe Bernthsen (A.).**  
**Troost und Hautefeuille, 77:** Bildung und Zersetzung chemischer Körper 25; Dissociation und Wiederbildung von Verbindungen 202.  
**Troost (L.), 77:** Dampfdichte von Chloralalkoholaten 51; Dissociation von Chloralhydrat 142, 147.  
**78:** abnorme Dichte der Dämpfe 34; zur Dissociation des Chloralhydrats 119, 120.  
**79:** Dampfdichten hochsiedender organischer Verbindungen 54; Verhalten eines Gemisches von Chloroform und Chloral 125 f.; Chloralhydrat, Dissociationsspannung 127; Verbindungen des Ammoniaks mit Chlorwasserstoff 209 f.; Verbindungen des Schwefelwasserstoffs mit überschüssigem Ammoniak 210.  
**80:** Dampfdichte des Jods 28.  
**81:** Verbindung des Ammoniaks mit Brom- und Jodwasserstoff: Bromwasserstoffdi- und -tetraammoniak 180; Bromwasserstoffheptaammoniak Jodwasserstoffdi- und tetraammoniak 181; Jodwasserstoffheptaammoniak 182; Dissociation (Dampfdichte) des Chloralhydrates 1137.  
**82:** Dichte des Quecksilberjodürs, Quecksilberchlorürs 49 f.; Dampfdichte des Di- und Trijodphosphors

- 50; Bestimmung der Dampfdichte von Jod und Schwefel 53 f.; Siedetemperatur des Selen 109; Verbindungen der Salpetersäure und Essigsäure mit Ammoniak 235 f.
- 84:** Dissociation des Quecksilberjodids 228 f.; Durchlässigkeit des Silbers für Sauerstoff 447, für Luft 448.
- 85:** Bestimmung des Atomgewichts des Thoriums aus der Dampfdichte von Thoriumchlorür 46; Formel des Thoriumoxyds, Thoriummetaphosphat 497; Dissociation des Chloralhydrats 1294; siehe Deville (H. Sainte-Claire).
- Troost (L.) und Hautefeuille (P.), **81:** Oxychloride des Siliciums 202.
- Troost (L.) und Ouvrard (L.), **86:** Doppelposphate des Thoriums und des Zirkoniums mit Kalium 453 f.
- Troschke (H.), siehe Wolff (E.); siehe Fischer (E.).
- Trotha, siehe Nagel.
- Trottarelli (G.), **83:** Analysen von Kalksteinen aus der Umgebung von Terni, Italien 1851; Analyse eines Lignites von Terni, Italien 1907 f.
- Trouton (F.), **84:** Beziehung zwischen Molekularwärme und der absoluten Siedetemperatur 200.
- Trouvé, **77:** neue Kette 152.
- Trouvé (G.), **81:** Fabrikation von Magneten 105.
- 83:** Dichromatketten für Beleuchtungszwecke 202.
- Trowbridge (J.), **85:** Cosinusgalvanometer 230; Einheit der Lichtintensität 301; siehe Hayes (H. V.).
- Trowbridge (J.) und Hayes (H. V.), **85:** Benutzung der Photographie zur Messung elektrischer Ströme 229 f.; Einrichtung zur Verwandlung des Stromes einer Gleichstrom-Dynamomaschine in alternirende Ströme 231.
- Trowbridge (J.) und Hill (W. N.), **84:** bei Umkehrung der Magnetisierung in Eisen und Stahl erzeugte Wärme 279 f.
- Trowbridge (J.) und Penrose (C. B.), **84:** Thermoelektricität 246; Aenderung der thermischen Leitungsfähigkeit des Eisens unter der Einwirkung eines starken magnetischen Feldes 279.
- Trowbridge (J.) und Stevens (E. K.), **83:** elektromotorische Kraft von Legirungen 207.
- Truchot, **77:** Milch 1184.
- 78:** Einfluss der Phosphorsäure auf die Fruchtbarkeit des Bodens 1142.
- Truchot (Ch.), **83:** Grenzen der Elektrolyse 219.
- 84:** Bildungswärme der Kiesel-fluorwasserstoffsäure 213, der kiesel-fluorwasserstoffsäuren Alkalien 214 ff.
- 85:** thermische Untersuchung des Ammoniumfluorsilicates 203 f.
- Truchot (P.), **77:** atmosphärische Kohlensäure 238; organische Körper gegen den elektrischen Funken 320.
- 79:** Apparate Lavoisier's 1083.
- Truelle (A.), **77:** Zucker- und Säuregehalt von Obstarten 929.
- Trützschler-Falkenstein (L. v.), siehe Himly (C. H.).
- Truffi (F.), siehe Bertonni (G.).
- Trumbell (H.) und Gray (Asa), **77:** *Helianthus tuberosus* (Jerusalem-Artischoke) 1175.
- Trzciński (W.), **83:** Thiopseudoharnsäure, rhodanbarbitursäure Salze, Sulfodialursäure 499; Melinointrisulfosäure 966 f.; Oxyaurin 967.
- 84:** Condensationsproduct aus  $\beta$ -Naphthol und Benzaldehyd, Untersuchung 1016.
- Tschacher (O.), **86:** Condensation von m-Mononitrobenzaldehyd mit Benzol und Toluol 1634.
- Tschaplowitz, **78:** Pflanzenwachstum 940.
- Tschaplowitz (F.), **79:** neues Volumenometer 41; Trockensubstanz der Aepfel 1073; Fettbestimmung 1088; Volumenometer 1084.
- 81:** Hygrometer 1233.
- Tschebotarew (A.), siehe Saytzeff (A.).
- Tschebotarew (A.) und Saytzeff (A.), **86:** Synthese und Verhalten von Aethyldipropylcarbinol 1215 f.
- Tscheltzow, **85:** Ableitung der Bildungswärme des Bleisuperoxyds 201 f.; Bildungswärme von Pikraten 211 f.; Bestimmung des Wärmewerthes der Bildung von Bleisuperoxyd zur Aufklärung der chemischen Vorgänge im Faure'schen Accumulator 253 f.
- 86:** Bildungswärme von Pikraten 230.
- Tschelzaff, **79:** Stickstoffbestimmung in explosiven Nitroverbindungen 1115.

- Tscherbakoff (A.), 80:** Dipropylcarbinol 610.
- Tschermak (G.), 77:** Milarit 1326; Malachit nach Atacamit 1352; Vulcanismus 1354; Meteoriten 1390.
- 78:** Korund 1211; Pelagosit 1221; Mineralien der Glimmergruppe 1245; Meteorit von Tieschitz 1316; Meteorsteine von Grosnaja 1320 f.
- 79:** optisches Verhalten des Korunds 152 f.; Apophyllit 1230.
- 80:** Carbonate der Kalkspatreihe und Nitrate 1418; Quellwasser 1528.
- 81:** Bouteillenstein 1432.
- 82:** Krystallsystem des Perowskites 1572 f.; Mineralien in den Meteoriten von Mocs, Siebenbürgen 1640 f.
- 83:** Untersuchung der Skapolithgruppe 1882 f.; Systematik der Mineralien der Skapolithgruppe 1883; Classification der Meteoriten 1950 f.
- 86:** Zwillinge von Zinnober 2231; Zusammensetzung der Mineralien der Skapolithgruppe 2270; siehe Buchner (O.).
- Tschermak (G.) und Sipöcz (L.), 79:** Glimmergruppe 1217 f.; Lithionglimmer 1222.
- 80:** Zoisit 1440.
- Tscherniac (Tscherniak), 77:** Dibromäthylcarbylamin 344.
- 82:** Rhodanaluminium 1407 f.; siehe Günzburg (U.).
- Tscherniac (Tscherniak) (J.), 79:** Dichloräthylamin 401; siehe Grimaux (E.); siehe Norton (T. H.).
- 83:** mafsanalytische Bestimmung von Ferrocyankalium im rohen Salze 1597.
- Tscherniac (J.) und Hellon (R.), 83:** Rhodanaceton 475.
- Tscherniac (J.) und Norton (C. H.), 83:** Sulfocyanpropimin und seine Derivate 474 f.
- Tscherniac (J.) und Günzburg (A.), 78:** synthetische Darstellung von Rhodan- und Ferrocyanverbindungen 1123 f.
- 80:** Rhodanverbindungen, Darstellung 1279 f.
- Tschernyschow (Th. N.), 83:** Analyse des Mangangranats von der Blum'schen Grube, Ilmengebirge 1880 f.; Analyse eines Skapoliths vom Ilmengebirge 1884; mikroskopische Untersuchung eines Meteoriten von Pawlowska, Gouvernement Saratow 1954.
- Tschirch, 85:** Abscheidung des grünen Farbstoffes aus Pflanzen 1794.
- Tschirch (A.), 83:** Reinchlorophyll aus Chlorophyllan, Phyllocyanin aus Reinchlorophyll 1398; Anwendung des Mikroskopes bei chemischen Reactionen und technischen Untersuchungen 1519.
- 84:** Untersuchung über das Chlorophyll 1439; Analyse von Stärkemehl 1804.
- Tschirikoff, 82:** Palladium zur Absorption von Wasserstoff 59 f.
- Tschirikow (A.), 80:** Schwefel in Kohlen 1156; Kohlenstoff und Wasserstoff in Steinkohlen 1201.
- 81:** Klären von Flüssigkeiten 1297.
- 83:** Apparat zur Demonstration der Verbrennung von Ammoniak in Sauerstoff 1660.
- Tschirner (M.), 81:** Explosivstoff aus Trinitrophenol 1274.
- Tschirwinsky (N.), 79:** Fütterungsversuche an Hunden 951.
- 83:** Fettbildung im thierischen Organismus 1437.
- Tsunashiro Wada, siehe Wada (Tsunashiro).**
- Tubbe, 81:** Abkömmlinge des Anhydracetdiamidotoluols 444 f.; Diäthylanhydracetdiamidotoluolderivate 448.
- Tuchschnid (A.), 84:** Bestimmung der inneren Wärmeleitung dünner Quarz - Kalkspath - Steinsalzlammellen 164 f.
- Tucker (G. N.), 81:** Ammoniak aus Borstickstoff, beziehungsweise Luft 1258.
- Tucker (H.), 81:** organische Stoffe im Rohzucker 1302.
- Tucker (J. H.), 82:** Bestimmung des Zuckers 1323 f.
- Tucker (W. G.), 86:** Analyse von Trinkwasser 2112.
- Tudor Cundall (J.), siehe Ramsay (W.).**
- Tugolessoff, 79:** Kohlenwasserstoff  $C_{10}H_{16}$  aus Diamylen 364.
- Tugolessow (J.), 81:** Terebin aus Diamylen 351.
- Tumlrirz (O.), 83:** Apparat zur Untersuchung der Absorption des Lichtes durch gefärbte Lösungen 1655.

- 85:** Verhalten des Bergkrystalles im magnetischen Felde 257.  
**86:** Verhalten des Bergkrystalles im magnetischen Felde 257.  
 Turner P. v., **78:** Hamoirprocess 1699 f.; Anreicherung des Phosphors aus dem Eisen 1102; schmiedbarer Guß 1105.  
 Tenzelmann (G. W. von), **78:** Erzeugung von Thermoelementen in Drähten durch Dehnung 137.  
 Turner, **86:** Nachweis von Borsäure in Salicaten 1225.  
 Turner (T.), siehe Frankland (P. F.).  
 Turner (Th.), **84:** Methode der Bestimmung von Silicium in Eisen und Stahl 15-5; Analyse des Wassers der Salt Wells bei Dudley 2-36.  
**85:** Bestimmung des Kohlenstoffs in Eisen und Stahl 1921; Entfernung des Mangans aus Gußeisen 2021 f.; Zusatz von Silicium zum Gußeisen 2022.  
**86:** Einfluss des Umschmelzens auf die Eigenschaften des Gußeisens 2-28; Einfluss des Siliciums auf die Eigenschaften des Gußeisens, Chemie des Gußeisens 2-29; siehe Jordan (A. E.).  
 Turner-Mayer (W.), siehe Michaelis (E.).  
 Turpin, **77:** Eosin-farben 1236.  
 Turpin (E.), **78:** Färbung von Gummiwaren 1169 f.  
**82:** Untersalpetersäure zu Spreng- und Leuchtstoffen 1410.  
**84:** Darstellung von Panclastiten (Sprengstoffen) 1749.  
 Turzini (Alfonso), **84:** Einwirkung von Persulfocyanssäure auf aromatische Amine: Bildung von Thiobiuretverbindungen 669 ff.  
 Tuson (R. V.), **80:** Desinfection 1339 f.  
 Tuson (R. V.) und Neison (E.), **77:** Quecksilberbestimmung 1069.  
 Tutton (A. E.), siehe Thorpe (T. E.).  
 Tuxen (C. F. A.), **81:** Fruchtbarkeit des Ackerbodens 1279 f.; Wirkung von Chilisalpeter und Kochsalz im Boden 1293.  
 Tweedie (G. R.), **79:** Eisenoxydul-oxyd auf Eisen 1092.  
 Tweedy, **86:** Wirkung des Benzoyl-ecgonins 1702.  
 Tweedy (J.), **83:** physiologische Wirkungen des Gelsemiums 1354.  
 Tween, **83:** Analyse des Lithion-zimmers von Pihra-Hazáribágh, Bengalen 1585 f.  
 Twissleton A. L., **86:** Reinigung vegetabilischer Öle 2162.  
 Twitcheell (E.), **83:** spec. Gewicht von Jodhalium 51.  
 Twynam (T.), **79:** Eisen und Thonerde in Phosphaten 1039 f.  
 Twynam (Th.), **81:** Magnesia aus Dol mit 1262.  
**82:** Fabrikation von Magnesia mittelst Manganlaugen 1404, aus Dolomit 1404 f.; Fabrikation von Kaliumchlorat 1405.  
 Tykociner (H.), **82:** spezifisches Drehungsvermögen der Salze einiger Alkaloide 196.  
 Tyler (H. W.), **86:** Einwirkung hoher Temperatur auf Paraffine 571.  
 Tyndall, **77:** Fermentwirkungen 1017; Bildung von Organismen 1018.  
**78:** Vorschläge zur Untersuchung der Wärmeleitung des Eises 76.  
 Tyndall (J.), **78:** Reinigung der Luft von Organismen 1026.  
**86:** Wärmestrahlung der Luft und des Äthylens 101.  
**81:** Wirkung eines intermittirenden Wärmestrahles auf Gase 1100.  
**83:** Ähnlichkeit zwischen Kohlensäure und Schwefelkohlenstoff 339.  
 Typke (F. W. G.), **83:** Dinitroresorcin aus Diacetylresorcin 917 f.; Salze und Derivate des Dinitro- und Diamidoresorcins 918.  
 Typke (P.), **77:** Dioxazobenzol und Derivate 491.

## U.

- Udránsky (L. v.), **82:** neuer Harnbestandtheil 1217.  
 Uelsmann (H.), **77:** Eisenanalyse 1056; Titration von Eisen 1057; Zersetzbarkeit der Molybdänlösung 1071; siehe Junghann (N.).  
 Uexküll (v.), siehe Grewingk.  
 Uffelmann, **80:** Flaschenbouillon 1118 f.  
 Uffelmann (J.), **81:** Prüfung des Mageninhales 1071.  
**82:** Verdaulichkeit der Kuhmilch 1210.  
**83:** Nachweis von Brunnenwasser in der Milch 1643.

- 84:** Nachweis von Kohlenoxyd in der Luft 1587; Untersuchung von Essig auf freie Mineralsäuren 1625; Nachweis von Mutterkorn im Getreidemehl 1656; spektroskopisch-hygienische Studien, Prüfung der Alkoholica auf Fuselöl u. s. w. 1657 f.
- 85:** Nachweis freier Säuren im Mageninhalt (Milchsäure) 1994.
- 86:** Erkennung des Fuselöles 1958 f.
- Ughi (E.), **86:** Wirkung des Urethans auf den Organismus 1864.
- Uhlemann (E.), **78:** m-Chlorphenol 542.
- Ujhely (H.), **80:** Ozokerit 1367 f.
- Ulbricht (R.), **77:** Gewichte aus Bergkrystall 1031; Trockenrückstand von Weinen 1092; feste Stoffe des Weines 1200.
- 78:** Fehling's Zuckerbestimmung 1075.
- 80:** Most- und Weinanalyse 1222 f.
- 81:** Most- und Weinanalyse (Zucker) 1215.
- 82:** Most- und Weinanalyse 1331 f.
- 83:** Wägung von Magnesiumpyrophosphat 1543.
- 84:** Bestimmung der Trockensubstanz zuckerreicher Weine und Moste, Nachweis von schwefliger Säure in Mosten und Weinen 1663.
- 85:** Untersuchung von Kürbissorten 1806; übersaures oxalsaures Kalium als Urmals für die Malsanalyse 1886; Gerbstoffbestimmung 1961.
- Ulex, **78:** Kaliumbestimmung mit Platinchlorid 1056.
- 83:** Bestimmung von Chlornatrium neben Chlorkalium 1558.
- Ulex (G.), **82:** Senfölgelhalt in Raps- und Senfkuchen 1337.
- Uljanin (W. von), **86:** Messung elektromotorischer Kräfte 257.
- Ullik (F.), **78:** Darstellung und Verhalten des Kieselsäurehydrates  $\text{SiO}_3\text{H}_2$  227.
- Ullmann (C.), **84:** Untersuchung von Mononitrotoluidin vom Schmelzpunkt  $91,5^\circ$  (v-s-Nitrotoluidin) 705 bis 708; Benzoyl-v-s-nitrotoluidin, Toluylen-diamin, Mononitrokresol 706; Amido-kresol, Dioxytoluol 707.
- 85:** Bildung einer krystallisierten Verbindung von Diamidodimethyl-triphenylmethan mit Benzol; Darstellung von Diamidotriphenylmethan und Diamidomethyltriphenylmethan 929.
- Ullmo (S.), **80:** Gerben 1373.
- Ullrich (E.), **85:** neues Druckblau 2250.
- Ulm (G.), siehe Eder (J. M.).
- Uloth, **80:** Karlsbader Salz 281.
- Ulrich, **78:** Krystallform des bei Einwirkung von Ammoniak auf Acetessigäther entstehenden Productes 707.
- Ulrich (G. H. F.), **77:** Gold 1259; Zinnerz 1277.
- 79:** Goldfelder 1182.
- 80:** Struvit, Hannayit, Newberyit 1434; Garnierit 1476; siehe Posewitz (Th.).
- Ulrich (M.), **83:**  $\alpha$ - und  $\beta$ -m-Monochlor-o-nitrobenzoesäuren 1125 f.; o-Monoamidobenzoësäure aus o-Amido-p-m-dibrombenzoësäure 1131.
- 85:** Darstellung dreier isomerer m-Methoxymononitrobenzaldehyde, von m-Methoxy-p-nitrobenzaldehyd, von Vanillin 1308; Darstellung von m-Methoxy-p-nitrobenzaldehyd und von Ferulasäure 2092 f.; m-Methoxy-p-nitrozimmtsäure-Methyläther und m-Methoxy-p-nitrozimmtsäure 2092; m-Methoxy-p-amidozimmtsäure 2093.
- Ulrich (S.), **82:** Neuerungen in der Bierbrauerei 1449.
- Ulsch (K.), **84:** Verhalten von Chlorkohlensäureäther gegen Chlorzink 925.
- 86:** Stickstoffbestimmung nach Kjeldahl in Pflanzen- und Thierstoffen 1954 f.
- Ulymann (R.), **78:** Nachweis von Gallenfarbstoffen im Harn 1094 f.
- Umbach, **86:** Einfluss des Antipyrins auf die Stickstoffausscheidung 1865.
- Underwood, siehe Allen.
- Ungar (E.) und Bodländer (G.), **83:** Zinngehalt von Nahrungs- und Genussmitteln 1434; Zinn in conservirtem Spargel, in Aprikosen- und Erdbeerenconserven 1748.
- Unger (B.), **85:** Analyse des vulkanisirten Kautschuks 1973.
- Ungern-Sternberg (Th. v.), **82:** Krystalle im Rappakiwi 1527.
- Untchj, **83:** Trennung von Mineralien durch den Elektromagneten 1655.

Unwin, **86**: thermodynamische Formel 200.

Unwin (W. O.), **78**: Ausfluß von Wasser bei verschiedenen Temperaturen 63; Nickelammoniumsulfatlösung für Vernickelungen 1106.

**86**: mechanische Prüfung von Portlandcementen 2089.

Unzeitig (J.), siehe Knecht (W.).

Uppenborn (F.), **86**: Leitungswiderstand des Nickelindrahtes 249.

Uppenkamp, **77**: Chromverbindungen 1155.

Upward (W.), **86**: Alkalititration 1927.

Urbain, siehe Fremy (E.).

Urbain (V.), siehe Mathieu (E.).

Urbanitzky (A. v.), siehe Reitlinger (Edm.).

Urech (F.), **78**: Einwirkung von Salzsäure, Cyankalium und Thio-cyanalkalium auf Aceton 625.

**79**: Isobutyraldehyd gegen Kaliumcarbonat 553 f.

**80**: Brom gegen Anhydride, Bromide, Aether und Säuren 386 f.; Polymerisirung von Isobutyraldehyd 697; Acetonylthiocarbaminat 724; Inversion des Rohrzuckers durch Salzsäure 1021 f.

**81**: Bernsteinsäure - Aethyläther gegen Brom 709.

**82**: Invertirungsgeschwindigkeit von Rohrzuckerlösungen; Einfluß von Salzsäure und Ammoniak auf die Rotationsänderung von Milchruckerlösungen 1119 f.; Massenwirkung und Zeitdauer bei der Inversion der Saccharose, Einfluß der Gefäße auf die Reduction Fehling'scher Lösung durch Invertzucker 1120.

**83**: optisches Drehungsvermögen des Milchruckers 255; Inversionsgeschwindigkeit der Saccharose 1363; Reduction Fehling'scher Lösungen durch Invertzucker 1619.

**84**: Biotationsüberzug der Zuckerarten 309; Verhalten der Zuckerarten gegen Fehling'sche Lösung, Alkalien, Einfluß der Temperatur auf die Inversionsgeschwindigkeit der Saccharose 1403; Petroleumlampe 1660.

**85**: Einfluß der Verdünnungsmittel auf die Geschwindigkeit chemischer Reactionen 1421; Geschwindigkeit der Bildung der Ester 1422 f.; Reihenfolge von Zucker-

arten bezüglich gewisser Reaktionsgeschwindigkeiten 1738 f.; Verhalten bei der Inversion gegen Fehling'sche Lösung 1738; Biotationsrückgang der Glycosen 1739.

**86**: chemische Reaktionsgeschwindigkeit 16 ff.; siehe Hell (C.).

Urich (A.), siehe Schulze (E.).

Urquhart (D.) und Rowell (W. A.), **84**: Verarbeitung von Cölestin auf Strontiumcarbonat 1737.

Ustinoff (D.), **86**:  $\beta$ -Dimethylacrylsäure (aus  $\beta$ -Dimethyläthylenmilchsäure) und Derivate 1356 f.

Ustinoff (D.) und Saytzeff (A.), **86**: Einwirkung von Propyljodid und Zink auf Dipropylketon: Dipropylcarbinol, Verhalten und Derivate desselben 1217 f.

Uzielli (G.), **77**: Chromalaun 260; Eisenglanz 1272; Schwerspath 1293; Mancinit 1310.

**79**: theoretische Krystallographie 2; Lösungstreifen des Alauns 4.

## V.

Vakovitsch, siehe Colley.

Valaenburg (S. Draisma v.), **80**: Jodeisenleberthran 1128.

Vale und Roosevelt, **83**: Carburirung des Leuchtgases durch Naphthalin 1751 f.

Valenta (A.), siehe Eder (J. M.).

Valenta (E.), **83**: Hederichöl 1420 f.; pflanzliche und thierische Fette 1764.

**84**: Prüfung von Fetten und Oelen 1663; Untersuchung und Werthbestimmung von Toiletteseifen 1678; Untersuchung des Fettes aus den Samen von *Rassia longifolia* Linn. 1822; Verhalten von Fetten und Schmierölen gegen Eisessig 1826 f.; Nachweis von Harzölen in Mineralölen 1828.

Valente E., siehe Cannizzaro (S.).

Valente (L.), **80**: Traubenzuckersynthese 1017; Hanfblätter 1081.

**81**: Dampfdichtebestimmungen 48; Vorlesungsversuch (Jodwasserstoff gegen Chlor 147; Kohlenwasserstoff  $C_8H_{18}$  aus Hanfblättern 359; Synthese von Glycose 982.

**85**: Darstellung von Sylbinsäure 1801 f.; siehe Carnelutti (G.).

Valenti, siehe Cannizzaro.



- Valenti (L.), siehe Cannizzaro (S).  
 Valenti (S.), siehe Cervello (V).  
 Valentin, **77**: Regeneration des Braunsteins, Chlorkalk 1130.  
 Valentin (G.), **77**: eudiometrisch-toxicologische Untersuchungen 1009.  
**79**: eudiometrisch-toxicologische Untersuchungen 992.  
**80**: eudiometrisch-toxicologische Untersuchungen 1127.  
**81**: eudiometrisch-toxicologische Untersuchungen 1060.  
**82**: Messung der Absorptionen des Blutes 1205; Giftwirkung im luftverdünnten Raume 1221.  
 Valentine (E. P.), **86**: Analyse eines Zersetzungsproductes von Allanit 2265.  
 Valentini (A.), **84**: Vorlesungsapparate zur Demonstration der Verbrennung der Körper im Sauerstoff, zur Darstellung des Ozons, zur Bereitung von Chlor, zu Verbrennungen in Chlorgas, zur Verbrennung des Ammoniaks in Sauerstoff und Chlorgas, zur Oxydation von Ammoniak durch Sauerstoff mittelst Platinmohr 312; Einwirkung von phenoxacetsaurem Natron und Essigsäureanhydrid auf Anisaldehyd, Darstellung von p-Oxymethyloxyphenylzimmtsäure und p-Oxymethylzimmtsäure 1300.  
**86**: Vorlesungsapparat zur Verbrennung von Ammoniak 321; Synthese des Ammoniaks mittelst Elektrizität 321 f.; dauernde Lichtquelle aus Stickoxyd und Schwefelkohlenstoffdampf 322; p-Methoxydibromhydrozimmtsäure-Methyläther 1458.  
 Valerius, **80**: specifische Wärme der Kohlensäure 95 f.  
 Valeur (Fr.), siehe La Coste (W.).  
 Valitsky, **78**: Einwirkung von Anilin, Toluidin und Naphtylamin auf Cholesterylchlorür 459 f.  
 Valle (la), **86**: Krystalle von Cerwoframat 402.  
 Valle (G. la), **80**: Chlornitrophenol 625.  
**81**: Platinsalz des chlorwasserstoffs. Monochlorpyridins 421.  
**83**: kristallographische Untersuchung des chlorwasserstoffsäuren Pyrrolin-Platinchlorids 658; Krystallform des Hydroberberinodmethyls 1353.  
**84**: Krystallmessung von Pyrrolylcarbonsäure-Methyläther 615, von o-Pyrrolenoxymethylbenzoesäure-Methyläther 618; Krystallform von Dichlormaleinimid 1125; Pseudoacetyl- $\alpha$ -carbopyrrolsaures Calcium, Krystallmessung 623, 1152.  
**85**: kristallographische Untersuchung des Pyrrolinplatinchlorids 794; Krystallform von Carbonylpyrrol und Monotetrolharnstoff (Pyrrolcarbamid) 796, von Dipyrrolketon 797, des Chloroplatinats von Methylpyrrolin 801, des Pyridinchloroplatinates 811, des  $\alpha$ -Mononitropyrrolmethylketons, des Dinitropyrrols 1637, des Pyrrolmethylketons 1638.  
 Vallée Poussin (Ch. de la), **86**: Untersuchung der Eurite 2307; siehe Renard (A.); siehe Renard (A. F.).  
 Vallin (K.), **86**: Toluol-m-sulfoäure und Derivate 1550 f.  
 Valmagini (de), **80**: Braunstein als Ozonüberträger 244.  
 Vanderheyn (E.), **79**: Puddeln des Eisens 1095.  
 Vandermersch (J.), **84**: Erzeugung starker Kobalt- und Nickelniederschläge 1697.  
 Vandevelde (G.), **84**: Untersuchung über den Bacillus subtilis 1532 ff.  
 Vangel (B.), **80**: Säuren gegen wasserentziehende Mittel 758 f.  
 Vanhise (C. A.), **84**: Untersuchung von Orthoklas 1979.  
 Vanni (A.), **85**: Darstellung von  $\alpha$ -Naphtylaminphtalein 1501.  
 Varenne, **78**: Oenolingeinnung 1162.  
 Varenne (E.), **83**: Mesitylen 537 f.  
**86**: Einfluss verschiedener Salze auf die Coagulation des Albumins 1792; siehe Prunier (L.).  
 Varenne (E.) und Hebré (E.), **77**: Reinigung des Wasserstoffs 206.  
 Varenne (E.) und Pauleau, **81**: Löslichkeit von Baryum- und Strontiumsulfat 205.  
 Varenne (L.), **79**: Passivität des Eisens 247; fluorochromsaures Kalium 256 f.; krystallisiertes wasserfreies Zinnoxidul 285.  
**80**: Ammoniumfluorchromat 315 f.; Passivität des Eisens 319 f.  
**81**: Chrombromid  $\text{Cr}_2\text{Br}_6 \cdot 16\text{H}_2\text{O}$ , alkalische Trichromate gegen Halogenwasserstoffsäuren 233; siehe Ruyssen (F.).  
 Varley (Fr. H.), **80**: elektrische Lampe 1245.

Velten (R. von den), **79**: Wirkung des Speichels im Magen 958.

Veley (V. H.), **80**: Manganoxysulfid 317 f.

**81**: höhere Manganoxysulfide 243.

**82**: Manganoxysulfid und -hydrate 303.

**83**: Dissociation des Ammoniumnitrates 186 f.; Glycerinmonobromhydrin 858.

**85**: Schwefelverbindungen des Calciums 464 f.; Vorgänge bei der Reinigung des Leuchtgases durch Kalk 2168 f.; Verbindung  $\text{Ca}(\text{OH})_2 \cdot \text{CaCS}_3 \cdot 7\text{H}_2\text{O}$ , Calciumhydroxyhydroxythiocarbonat 2169.

**86**: Schwefelverbindungen des Baryums 392 f.

Velten, **86**: Einfluss des Klimas auf den Geschmack der Biere 2139 f.

Velten (A. W.), **84**: spezifische Wärme des Wassers 171 bis 174.

Velten (W.), **80**: Warmblüter 1085 f.

Ven (E. van der), **86**: elektromotorische Kraft der Kette mit Kupferoxyd 259.

Venable (E. P.), **79**: Lösungen von Natrium- und Kaliumalaun, Löslichkeit des letzteren 78.

**85**: Schädlichkeit der sogenannten galvanisirten Wasserleitungsröhren 2313.

Venable (E. P.), **79**: Analyse einer Wolframlegierung 1099.

**80**: Derivate des Heptans von Pinus Sabiniana 438 f.; Livingstonit 1407.

**83**: Hydrat des Schwefelkohlenstoffs 337 ff.

**85**: Untersuchung der Blätter von Ilex Cassine 1816 f.

Venator (W.), **86**: Verhalten von Metallen gegen Natronlauge 2051.

Venturini (V.), **86**: Bestimmung des Morphins im Opium 1975 f.

Verbeek (R. D. M.), **85**: Vorkommen von Andesiten 2310.

Verbeek (R. D. M.) und Fennema (R.), Leucit von Java 1552 f.

Vere Mathew (V. de), siehe Salamon (A. Gordon).

Verefs (J.), siehe Bikfalvi (K.).

Vergeraud (A.), siehe Cros (C.).

Vernet (L.), **81**: Glycosid aus Ephedrablättern 991.

Verneuil (A.), **82**: Darstellung, Eigenschaften und Formel des Selenstoffs 243 f.

(A. van de) und Stokvis  
**83**: Hippursäurezerlegung  
im Organismus 1469 f.

(A. van den), **77**: Oxy-  
salicylsäure 337; normalsalicylsäure  
beim Erhitzen 747.

- 84:** Einwirkung von Jod auf Selencyankalium 485; Selenharnstoff, Oxytrisenharnstoff 508.
- 85:** Bildung des Chlorhydrats des Oxytrisenharnstoffs 649 f.
- 86:** Phosphoreszenz von Schwefelcalcium 395 f., von Schwefelstrontium 396; Stickstoffverbindungen des Selens: Verbindung des Selenharnstoffs mit Chlorsilber 559, mit Quecksilberchlorid 560; Oxytrisenharnstoffsulfat, Cyantrisen (Selenselenocyanat), Selencyansäure, Cyanmonselen, Doppelsalz von Selenselenocyanat und Selencyankalium 560; Verbindungen  $C_2N_3Se_3K$ ,  $C_3N_3Se_3NH_4$  und  $C_3N_3Se_4K \cdot H_2O$ , Chlorhydrat und Nitrat des Selenharnstoffs, Selenstickstoff 561.
- Verneuil (A.) und Bourgeois (L.), **80:** krystallisiertes Eisenoxydarseniat 323 f.; Skorodit 1430.
- Vernon-Boys (C.), **82:** frostfeste Wasserröhren 1468.
- Vernon Harcourt (A. G.), **83:** Apparat zur Volumbestimmung von Gasen 1659.
- Verplanck Colvin, **78:** Cyano-Nitride of Titanium 1277.
- Verschoof, **83:** Untersuchung von Lügen und des Käfers Dendang 1495 f.
- Versmann, **77:** Anthracen und Alizarin 1243.
- Versmann und Oppenheim, **82:** unverbrennliche Gewebe 1470.
- Verson, siehe Tichomiroff (A.).
- Verstraet und Lemaire, **86:** vulcanisirte Faser 2174.
- Vesterberg (A.), **85:** Untersuchung der Pimarsäure 1563 f.: Dextropimarsäure 1563; Salze und Ester dieser Säure (Pyromarsäure) 1564.
- 86:** Dextropimarsäure: Krystallform 1531 f.; Salze und Ester 1532 f.; isomere Modification, Reduction: Kolofendihydrür 1533.
- Vetlesen (H. J.), **82:** Harnuntersuchung nach innerem Gebrauch von Terpentin: Vorkommen einer Zuckerart 1216.
- Viard (E.), **83:** Reduction von Zucker durch alkalische Kupferlösung 1478.
- Vibrans (G.), **80:** Reinigung der Rübensäfte 1351.
- Vicentini (G.), **85:** elektrische Leitungsfähigkeit sehr verdünnter Salzlösungen 260; elektrische Leitungs-
- fähigkeit der alkoholischen Lösungen einiger Chloride 278 f.
- Vidal (L.), **82:** Fundorte für Aerinit 1582.
- Vieille, **82:** Apparat zur Druckmessung bei der Wirkung explosiver Gasgemische 55 f.; Cellulose gegen Salpetersäure 1127.
- 83:** spezifische Wärme einiger Gase 138 f.; siehe Berthelot; siehe Sarrau.
- Vielhaber (H. C.), **78:** Titrirung der Blausäure im Bittermandelwasser 1071.
- Vienne und Steiner, **81:** m-Toluidin (m-Mononitrobenzylchlorid) 465.
- Vierordt (K.), **78:** quantitative Spectralanalyse 176.
- Vieth (P.), **77:** Milch 1185.
- 83:** Milchanalysen, Gehalt der Milch an Trockenrückstand und an Fett 1645; Veränderungen der Milch beim Aufbewahren 1726 f.; Analysen von künstlichem Fettkäse 1730.
- 84:** Analyse von Milch, Rahm, entrahmter Milch, Buttermilch 1672 ff.; Analyse condensirter Stutenmilch 1676, 1780.
- 85:** Untersuchung von Stutenmilch und Kumys 1988, 2135.
- 86:** Untersuchung von Fließ- und Filtrirpapieren 2175.
- Vigier (F.), **78:** salicylsaures Zink 759.
- Vigier (F.) und Cloëz (Ch.), **83:** Unterscheidung von Pfeffermünzöl und dem Oele aus Erigeron canadense 1634.
- Vigna (Agostino), **83:** Gährung des Glycerins durch die in einer Lösung von Ammontartrat sich bildenden Bacterien 1500 f.
- Vignal (H.), **86:** Bestimmung des Chroms; Analyse chromhaltiger Gufeisen- und Stahlorten 1935 ff.
- Vignan (L.) und Boasson (J. B.), **80:** Ponceau RR 578 f.
- Vignon (L.), **85:** orangerothe und violette Azofarbstoffe aus  $\alpha$ -Naphtoldisulfosäure und diazotirten aromatischen Aminen 2235.
- Vignon (P.), **85:** Trennung des Eisens von Thonerde und Chromoxyd 1934.
- Villari, **78:** Wärmeausstrahlung einiger Körper, Untersuchung 78.
- Villari (E.), **80:** thermische Wirkungen des elektrischen Funkens 163 f.

- 85:** über Entladungen der Condensatoren 226.
- Villavecchia (V.), **85:** Darstellung von Photosantonsäure, Bildung eines Nebenproductes  $C_{17}H_{32}O_6$ , Lactonsäure  $C_{15}H_{30}O_4$ , Photosantonin und Isomeres 1735; Constitution des Photosantonins (Photosantonlactonsäure-Aethyläther), Dehydrophotosantonsäure-Diäthyläther, Dehydrophotosantonsäure 1736.
- Ville (J.), **81:** Löslichkeit des Eisencarbonats in kohlensäurehaltigem Wasser 1440.
- 85:** Darstellung von krystallisiertem Zinkoxydhydrat 540 f.; siehe Engel (P.); siehe Engel (R.).
- Villejean, siehe Regnaud (J.).
- Villiers, siehe Tanret.
- Villiers (A.), **77:** saure essigsaure Salze 676; saures essigsaures Natrium 677; Mannazucker (Melezitose) 903.
- 79:** Honiganalyse 1133 f.
- 80:** Aetherification der Halogenwasserstoffe 381 f.; Chloräthyl 474; Aetherbildung 595 f.; Schwefelsäureäther 602 f.; Chloräthyl 603; Oxalsäure 770.
- 82:** Darstellung von Tetranitroäthylenbromür; Verbindung desselben mit Kalihydrat 436 f.
- 83:** Tetranitroäthylenbromür, Tetranitroäthylenhydrür, Nitrirung von Monobromäthylenbromür 608.
- 84:** Bildung von Tetranitroäthankalium aus Tetranitroäthylenbromür 582 f.; Untersuchung über Tetranitroäthylenbromür 583.
- 85:** Eigenschaften des Tetranitroäthankaliums: Tetranitroäthylenverbindungen 770 f.; Harn gesunder und kranker Menschen, Alkaloide im Harn der letzteren 1842; Abscheidung eines Alkaloides aus Choleraleichen, Bildung von Alkaloiden bei Krankheiten 1856.
- Villot, **77:** spanische Lignite 1217.
- 80:** Marseiller Schwefelquelle 1448.
- Vincent (C.), **77:** Chlormethyl 398; Trimethylaminchlorhydrat, Trimethylaminbromhydrat und Trimethylaminiodhydrat, Trimethylammonium- 430; Trimethylamin gegen 1079; Chlormethyl als Sulfocarbonate und fellekohle 1144; trockne Destillation der Melasse 1190.
- 78:** technische Darstellung von Chlormethyl 1134 f.
- 79:** Nitrile aus Melasse 329; Chlormethyl 1135, 1136.
- 80:** Dimethylamin und Metallsalze 512; Sorbin und Sorbit 1025 f.; Chlormethyl aus Melasse 1350.
- 81:** Essigsäure-Benzhydroläther 517; Sulfocarbonate (sulfokohlens. Kalium) 1271; Celluloid 1323.
- 83:** Darstellung methylirter Phenole unter Anwendung von flüssigem Methylchlorid 924 f.; Gewinnungsmethoden des Schwefels in Sicilien und Italien, Apparat für die Schwefelgewinnung 1685.
- 85:** Darstellung von Monomethylamin- und Dimethylamin-Iridiumchlorid 1613, von Trimethylamin-Iridiumchlorid, von Mono-, Di- und Trimethylamin-Rhodiumchlorid 1614.
- 86:** Verbindungen des Rhodiumsesquichlorids mit Aminen 501 f.; Reactionen von Dipropylamin mit Metallsalzen 694; Darstellung und Untersuchung von Mono-, Di- und Tripropylamin 694 f.
- Vincent (C.) und Chappuis (J.), **85:** Maximaltensionen und kritische Punkte einiger Dämpfe von Flüssigkeiten 76 f.
- 86:** kritische Temperaturen und Drucke von Dämpfen 201 f.; Einwirkung der Alkylchloride auf Ammoniak und die Methylamine in der Kälte: Methylchlorid gegen Ammoniak, Mono- und Dimethylamin 693; Methylchlorid gegen Trimethylamin, Aethylchlorid gegen Ammoniak und Trimethylamin, normales Propylchlorid gegen Ammoniak 694.
- Vincent (C.) und Delachanal, **78:** Dichte und Ausdehnung des flüssigen Methylchlorids 69; Destillationsverlauf des rohen Benzols 382; niedrig siedende Bestandtheile des Rohbenzins 1170.
- 80:** Siedepunkte und Dichten der Gemische von Methylcyanid mit Alkoholen 396 f.; Allylalkohol gegen Baryt 606 f.
- 84:** Darstellung von Kaliumsulfocarbonat 1731.
- Vincent (C.) und Roux (L.), **83:** isomere Benzyl-naphthaline und Naphthylphenylketone 574.

- Vincentini (G.), siehe Pagliani (S.).  
 Vincenzi (L.), **86**: Zusammensetzung des *Bacillus subtilis* 1888.  
 Vinchon, siehe Violette.  
 Vines (S. H.), **78**: Aleuronkörner der Samen von *Lupinus varius* 932; Beziehungen der Chemie zur Pflanzenphysiologie 939.  
**80**: Eiweißkörper der Aleuronkörner 1040.  
**81**: Aleuronkörner 1009.  
 Vinnes (S. H.), **78**: Ferment fleischfressender Pflanzen 1037.  
 Viol (A.) und Duflot (P.), **78**: Bleichung von Federn 1176.  
 Violet d'Aoust, **82**: Ophite der Pyrenäen 1606.  
 Violette und Vinchon, **85**: Gewinnung von Fett- und Oelsäuren durch Verseifung von Wollfett 2178.  
 Violette (Ch.) und Buisine (A.), **84**: Gewinnung und Verarbeitung von Fett 1822.  
 Violi, **86**: spezifische Atomwärme der Gase; Arbeitsäquivalent der Wärmeeinheit 166.  
 Violi (A.), **77**: Sulfate gegen Schwefel 210.  
**85**: Molekulargeschwindigkeit von Gasen 56; Beziehungen einiger Eigenschaften der Gase zu ihrem Verhältnis der spec. Wärme 127.  
 Violle (J.), **77**: spezifische Wärme und Schmelzwärme des Platins 95.  
**78**: Bestimmung der spezifischen Wärme und der Schmelzwärme des Palladiums 72.  
**79**: Schmelzpunkte von Metallen 92 f.; Strahlung des glühenden Platins 158 f.  
**81**: Intensität des vom glühenden Platin ausgesendeten Lichtes 116.  
**82**: Diffusion fester Körper 88; Abkühlungscalorimeter 98 f.; Siedepunkt des Zinks 288.  
**83**: Strahlung des geschmolzenen Silbers 232 f.  
**84**: Lichtstärke einer Carcel'schen Lampe 281.  
 Virchow (C.), **81**: benzoës. und salicyls. Natrium beim Eiweißumsatz 1031.  
**82**: Fleischcontrole 1340.  
**83**: chemisch-geologische Studie über das Keldinger Moor 1715.  
**86**: Untersuchung ranziger Butter 2001; Unterscheidung von Natur- und Kunstbutter 2117 f.  
 Vischer, siehe Brunck.  
 Vitali (D.), **79**: Blut und Häminkrystalle aus der Asche eines Grabmals 961.  
**80**: Blutflecken, Nachweis 1095 f.  
**81**: Nachweis von Chloroform 1198; Farbenreactionen von Alkaloiden 1207.  
**83**: Nachweis von Aceton im Harn 1648.  
 Vitali (D.) und Tornani (A.), **85**: Veränderungen des Chloralhydrates im Organismus 1850.  
 Vivian Lewes (B.), siehe Cowper (R.).  
 Vivien (A.), **83**: Bestimmung von Glycose im Rohrzucker 1618; siehe Nugues (A.).  
 Vivier (A.), **84**: Analyse von Apatit 1943.  
 Vlacovich (N.), **77**: neue Ketten 152.  
 Völcker (J. A.), **83**: Formel des Apatits, Apatitanalysen 1866 f.  
 Völckner (C.), **82**: neues Calorimeter 1351.  
 Völler (F.), siehe Claus (A.).  
 Völkel (O.), **78**: Entjodung von symmetrischem Dijodacetone 625; Darstellung desselben 625 f.; Mono- und Dichloracetone, Dibromacetone, Monojodacetone, Säure aus Dijodacetone 626.  
 Völtzkow (M.), **81**: Phenyl- und Tolylenföle gegen Monochloressigsäure 323 f.; siehe Claus (A.), siehe Liebermann (C.).  
 Vogdt (C. v.), **86**: Untersuchung und Analysen von Diabasporphyrit 2307.  
 Vogel, **80**: Stärkekörner des verdorbenen Mehles 1221.  
**84**: Verfälschung des Bieres mit Süßholz 1665.  
 Vogel (A.), **81**: Jodkaliumstärkenitrit gegen Säuren 1164; Auflösungsmittel für Copal 1321.  
**83**: Unterscheidung des Rübenzuckers von Kolonialzucker 1620.  
**84**: Zersetzbarkeit des Jodkaliums 376; Zersetzung von Jodkalium beim Glühen mit Kieselsäure 1567; Anwendung von Pikrinsäure zum Nachweis von Blausäure 1615; Bildung von Schwefelsäure im Leuchtgas durch Schwefelkohlenstoffgehalt 1818.  
 Vogel (Aug.), **80**: Pflanzenaschen 1055 f.  
 Vogel (A.) und Skälweit, **78**: Bestimmung der Phosphorsäure im Bier 1159.

Vogel (E.), **85**: Veränderlichkeit der Atomgewichte 31.

Vogel (F.), **85**: Aenderung der Lichtbrechung in Glas und Kalkspath mit der Temperatur 303 f.

Vogel (H.), **83**: Analysen des Wassers der Iller 1527; Feser's Lactoskop 1645; Trichter zur Beschleunigung des Abdampfens von Flüssigkeiten, Verbesserungen an Wassertrockenschranken, Wasserbad zur Zuckerbestimmung mit Fehling'scher Lösung, Standflasche für destillirtes Wasser 1658.

**86**: Fortschritte in der Photographie 2216; siehe Geisler.

Vogel (H. M.), **77**: Fuchsin im Himbeersaft, Purpurin 1084.

Vogel (H. W.), **77**: Universalstativ für das Taschenspectroskop 181; Absorptionsspectren des Granats und Rubins 184; Lichtempfindlichkeit der Silbersalze, Wirkung des Lichtes 194; Photographie des Infraroths 196; Entfärbung von alkalischer Purpurinlösung 591; Kohlenoxyd in Gasgemengen 1048; spectroscopischer Nachweis von Thonerde, Spectren von Granat und Rubin 1058; Photographie des Sonnenspectrums 1245.

**78**: Spectrum der Schiefsbaumwolle 170; Absorptionsspectren der Körper im festen und gelösten Zustande 177 f.; Nachweis von Kohlenoxyd in der Luft 1053; Luftheizung 1117.

**79**: Spectrum des Sauerstoffs 159; des Wasserstoffs, Quecksilbers, Stickstoffs 159 f.; spectroscopische Notizen 1023; Brenner aus Glas 1085.

**80**: chemische Intensität des Magnesium- und elektrischen Lichtes 195; Wasserstoff und Calciumspectrum 228 f.; Bromsilber-Gelatine-Process 1391; Eisenoxalatentwickler 1392.

**81**: Bromsilberplatten gegen das Sonnenspectrum (Bromsilber-Gelatine-Emulsion 135 f.; photographische Emulsionen 1340.

**82**: die Dissociationstheorie Lockyer's 186 f.; verschiedene Modificationen des Chlor- und Bromsilbers und deren Lichtempfindlichkeit 199 f.; Erkennung der chemischen Wirkung des gelben Lichtes 200; Messung der chemischen Wirkung des Lichtes mit

der Diaphragmenskale von Taylor 200 f.

**83**: Absorptions-Bande des Seewassers 250; Lichtempfindlichkeit der Silberhaloidsalze 258.

**84**: Untersuchung, um photographische Schichten für gelbe, grüne und rothe Strahlen empfindlich zu machen 1893 ff.

**85**: Bromsilbermodificationen und das Verhalten der Silberhaloidsalze gegen das Sonnenspectrum, Zusammenhang zwischen Absorption der Farbstoffe und deren sensibilisirenden Wirkung 350.

**86**: spectroscopisches Verhalten von Anilinblau, Chrysanilin, Methylviolett 304; Photometrie der chemischen Wirkung des Sonnenlichtes, Photographie in natürlichen Farben 316; siehe Paalzow (A.).

Vogel (H. W.) und Obernetter (J. B.), **86**: empfindliche photographische Platten mittelst Eosinsilber 2216.

Vogel (M. B.), **86**: oxalsaures Antimonoxyd als Beizmittel 2183.

Vogel (R.), **85**: Reaction auf Chinin 1964.

Voges (E.), **85**: Identität von Böttlinger's Pyridindicarbonsäure mit Lutidinsäure 1420.

Vogl (A. E.), **81**: Mehluntersuchung 1214.

Vogler (Ch. A.), **82**: Schwankungen im Sauerstoffgehalt der atmosphärischen Luft 1139 f.

Vogler (H.), **79**: Zusammensetzung des käuflichen kohlen sauren Ammoniaks 210.

Vogt (C.), **81**: Structur der Meteoriten 1456; siehe Monnier (D.).

Vogt (G.), siehe Lauth (Ch.).

Vogt (G.) und Henninger (A.), **77**: Orcin 571.

**82**: Monobrom-p-kresol gegen Kali: Lutorcin (Kresorcin, o-p-Di-oxytoluol) 699 f.; p-Kresolmonosulfosäure gegen Kali 700.

Vogtherr (M.), **84**: Bürette 1688.

Vohl (H.), **77**: Speiseessig und Essigsprit 1080; Rheinwasser 1134; Birresborner Quelle 1384.

**78**: Gerolsteiner Schloßbrunnen 1299 f.; Marpinger Wasser, Maria-brunnen zu Huckstelle 1300; Ofener Rakoczy-Bitterwasser 1304.

- Vohwinkel (E.), **85**: neues galvanisches Element mit übermangansaurem Kali 234.
- Voigt (K.), **85**: Darstellung von Benzoinanilid und dessen Nitroso- und Acetylverbindungen 867.
- 86**: Einwirkung primärer aromatischer Amine auf Benzoin 1653 ff.; Anilbenzoin und Derivate, Hydrobenzoinanilid 1654 f.; o- und p-Tolilbenzoin,  $\beta$ -Naphthilbenzoin, Anilbenzil 1655.
- Voigt (R.), **85**: Darstellung von  $\beta$ -Pyridintricarbonsäure 1441 f.;  $\beta$ -Pyridintricarbonsäureäther und -amid 1442; Darstellung von  $\beta$ -Pyridindicarbonsäure aus Uvitonsäure 1442 f.; Chlorid dieser Säure 1443.
- Voigt (W.), **80**: Zinkblende 1405.
- 82**: isochromatische Linien und die Curven constanten Potentials 165.
- 83**: elektrochemische Figuren 225.
- 84**: Theorie der elektrochemischen Figuren, elektrochemische Farbenringe 275.
- Voisin (H.), **80**: Quellen von Vichy 1534.
- Voit, **77**: Ausnutzung von Nahrungsmitteln 970.
- Voit (C.), siehe Pettenkofer (M. v.).
- Voit (E.), **79**: Veränderung des Fleisches beim Einpökeln 955 f.
- 80**: Bedeutung des Kalkes im Organismus 1086; siehe Feder (L.).
- Volhard (J.), **77**: Schwefelcyanammonium in der Mafsanalyse: Silberbestimmung 1074.
- 79**: Scheidung und Bestimmung des Mangans 1048 f.
- Volhard (J.) und Erdmann (H.), **85**: Synthese des Thiophens mittelst Bernsteinsäureanhydrid und Phosphorpentasulfid, Methylthiophen aus Brenzweins. Natrium beim Erhitzen mit Phosphortrisulfid 1182.
- Volkmann, **85**: Einwirkung von Phenylsenföhl auf Glycerin 1213.
- Volkman (P.), **80**: Capillarität 80.
- 81**: spec. Gewicht des Quecksilbers 44; Wärmeausdehnung des Wassers 1082 f.
- 82**: Cohäsion von Salzlösungen 76.
- 85**: Formeln zur Berechnung der Capillaritätsconstanten von Flüssigkeiten 79.
- 86**: Capillarconstanten von Flüssigkeiten 104.
- Vollbrecht (H.), **77**: Tribromamido-benzoësäure, Tribrombenzoësäure 734; siehe Albert (H.); siehe Wiesinger.
- Voller (A.), **81**: Hygrometer 1233.
- Vollhardt, **82**: Krystallform von  $\beta$ -Trinitrotoluol 456.
- 83**: Krystallform des  $\beta$ -Trinitrotoluols 617.
- Vollmar (G.), siehe Städel (W.).
- Volney, **78**: Berechnung des Gewichtes von Niederschlägen 1039.
- Volpert (F.), **86**: Nachweis der Nichtexistenz der Paragluconsäure 1379.
- Volta (A.), **79**: Ozon gegen edle Metalle 192 f.
- 84**: Deformation von polarisirten Elektroden 267.
- Volterra (V.), **84**: elektrochemische Figuren 274 f.
- Volz (F.), siehe Nefzler (J.).
- Volz (O.), siehe Claus (A.).
- Vorster (F.), **79**: Superphosphate 1112 f.
- Vorster (J.), siehe Grüneberg (G.).
- Vortmann, **80**: unterschwefligsaures Natrium zur Trennung von Kupfer und Cadmium 1395.
- Vortmann (G.), **77**: Kobaltammoniumverbindungen 285.
- 78**: Verhalten von Luteokobaltsalzen gegen pyrophosphorsaure Alkalien und pyroantimonsaures Kalium 278.
- 80**: Chlor neben Jod und Brom 1151 f.
- 82**: schwefelsaures Kobalt 298; Kobaltammoniakverbindungen (Octamin-, Hexamin- und Heptaminsalze) 298 bis 302; Trennung der Halogenmetalle 1264 f.; Bestimmung derselben 1265 f.
- 83**: Trennung des Nickels vom Kobalt 1570.
- 85**: Kobaltammoniumverbindungen: Oxykobaltiake 512 bis 519.
- 86**: Ersatz des Schwefelwasserstoffgases durch Natriumthiosulfat 1890 f.; Bestimmung des Chlors neben Brom 1908; Nachweis geringer Mengen von Blausäure 1956; siehe Lippmann (E.); siehe Skraup (Zd. H.).
- Vossius (A.), **79**: Gallenfarbstoff 969.
- Voswinckel (H.), **82**: Chloroform gegen Salicylaldehyd:  $\alpha$ - und  $\beta$ -Oxyisophthalaldehyd 744 f.; Methylsalicyl-

aldehyd gegen Cyankalium : o-Methoxymandelsäurenitril, o-Methoxyphenylimidoessigsäurenitril, o-Methoxyphenylanilidoessigsäurenitril; Nitromethylsalicylaldehyd 745.

Vrau (G.), siehe Bleunard (A.).

Vrba (C.), **77**: Diabas, Diorit, Augitminette 1363.

**78**: Frießeit 1207 f.; Freieslebenit und Diaphorit 1209; Winkelmessung am Weifsbleierz 1222.

**79**: Magnetkiesmessungen 1183; Frießeitanalysen 1185.

**80**: Eisenkies 1404; Vanadinit 1429; Datolith 1439; Albit 1470.

**81**: Stephabit 1354; Frießeit 1355; Anatas 1360; Schwerspath 1371; Datolith 1379; Smaragd 1396; Pseudomorphosen 1412; siehe Preis (C.).

Vries (H. de), **79**: präcipitirte Membranen 884 f.

**82**: Function der harzartigen Substanzen in den Pflanzen 1144.

**84**: isotonische Concentration von Salz- und Lösungen anderer Körper (Plasmolyse) 115 ff.; Diffusion von Salzlösungen durch Gallerte 144 f.; Geschwindigkeit der Ausfluszeiten von Salzlösungen (isotonische Coefficienten) durch Capillarröhren (Mikrorheose) 145; Zersetzung organischer Säuren unter dem Einfluß des Sonnenlichtes 1073 f.; Bestimmung der an Aminbasen und Ammoniak gebundenen Säuren in Pflanzensäften 1629.

**85**: Vorlesungsversuch über Diffusion 352 f.; Eigenschaft der Stärkekörner 1806.

Vries (H. de) und Hamburger, **84**: isotonische Coefficienten von Salzlösungen bei der Diffusion durch Gallerten 145.

Vrij (de), **77**: Chinidin und Cinchonidin 889.

Vrij (J. E. de), **78**: Rinde der Cinchona pubescens 874; Chinidinsulfat des Handels 880.

**80**: Verbindungen der Chinaalkaloide 963; Prüfung des citronensauren Eisenoxyd-Chinins 1213.

**81**: Thevetia nereifolia 1024.

**82**: Bestimmung des Alkaloidgehaltes der Chinarinde 1314; Bestimmung des Chinins als Herapathit 1314 f.

**84**: Nichtidentität von Cerberin mit Thevetin 1409.

**85**: Versuch einer Trennung der Chinins von Cinchonidin mittel Oxalsäure 1704; Trennung des Chinins von Cinchonidin 1964; Bestimmung des Cinchonidins im Chininsulfat 1965; Extraction der Alkaloide der Chinarinde mittelst Säuren 2100.

**86**: Extraction der Chinaalkaloide mit wässrigen Säuren 1731; Bestimmung des Cinchonidins im Chininsulfat 1979; Bestimmung des Cinchonidins und Chinins im käuflichen Chininsulfat 1979 f.

Vulpian, **79**: Speichel 958; Herzgifte 992.

**82**: Kaliumpermanganat gegen Schlangengift 1223 f.; Wirkung des Strychnins auf die Nerven 1228.

**83**: Kupfer als Präservativmittel gegen die Cholera 1490.

**84**: anästhesirende Wirkung des Cocains 1510.

Vulpian (A.), **81**: Wirkung von Thiotetra- und Isodipyridin 1066.

Vulpian, **79**: salicylsäure Salze 678; Nachweis des Paralbumins 875.

**80**: Gasentwickelungsröhre 1244.

**86**: Wasserbestimmung in Carbonsäure 1962.

Vulpian (C.), **86**: Synthese des Thallins (Tetrahydro-p-chinanol) 1249.

Vulpian (G.), **77**: Verdunstung von Aether 1079.

**78**: Ozonentwickler, Kritik 196; Verhalten von Schwefel und Phosphor gegen fette Säuren 223 f.; Reinigung von Quecksilber 302; Einwirkung der Lösungsmittel auf Salicylsäure 758; Ausscheidung von Borsäure aus süßen Mandeln 963.

**79**: Sublimatbildung in Calomelmischungen 298; Quecksilber im Harn 1082.

**83**: Verunreinigung des bromsauren Kaliums, Gehaltsbestimmung des Handelsproductes 1534; Bestimmung des Gehaltes von Ferrum reductum an metallischem Eisen 1543 (Anm. 6).

**84**: Ozonwasser als Arzneimittel 1512.

**85**: Urethan 642; Zersetzung verdünnter Lösungen salicyls. Salze 1477; Eigenschaften des Arbutins 1761; Darstellung und Eigenschaften von Condurangin 1772; Anwendung des Tetraiodopyrrols (Jodols) als Antisepticum 1867.



**86:** schweres Weinöl in Aethersorten 1958; Prüfung von Milchsucker 1974; Lanolin 2164.  
**Vutzeys und Rabuteau, 77:** Wirkung des Aethylbromürs 1012.

## W.

**Waage (A.), 82:** Propionaldehyd gegen Ammoniak 740.

**83:** Propionaldehyd gegen Ammoniak: Verbindung  $C_{15}H_{29}N_3$  949; Parvolin und Picolin aus der Verbindung  $C_{15}H_{29}N_3$  949 f.; Parvolin aus Methyläthylacrolein, Stickstoffbestimmung 950.

**84:** Einwirkung von Ammoniak auf Propionaldehyd 1030.

**Waage (P.), 79:** Ebullioskop 1088.

**Waals (van der), 80:** Zusammenrückbarkeit der Gase 61 f.

**81:** Grösse der Gasmoleküle 9.

**Waals (J. D. van der), 77:** Dichtemaximum des Wassers 46; Gasmoleküle 62.

**85:** Einfluss der Temperatur auf den Gasgehalt einer Lösung und über das Gleichgewicht zwischen den Lösungen von Gasen und denjenigen fester Körper 88 f.

**Waas (E.), 82:** Di- und Triphenyläthan 426 f.

**Wachendorff (C.), 78:** Verhalten der Urethanbenzoesäure (Oxyäthylcarboxamidobenzoësäure) 773 f.; Bismsteinsandanalyse 1286.

**Wachendorff (C.) und Zincke (Th.), 77:** Methylderivate des Anthracens 386; Styrolenalkohol (Phenylglycocol) 539; Methylanthrachinon 655.

**Wachhausen (A.), 78:** Verwertung der Rückstände der Fuchsin- und Magentarothfabrikation 1182.

**Wachtel (A. v.), 83:** Vanadin in der käuflichen Rüben-Potasche 1577.

**Wachtel (G.), 86:** Verhalten von Chromeisenstein gegen Kalk 2052.

**Wackenroder, 81:** Wasser von Bernburg 1445; siehe Geuther.

**Wackenroder (B.), 84:** Gewinnung von Chlorstrontium resp. Chlorbaryum 1737.

**86:** Darstellung von Chlorbaryum und Chlorstrontium 2063.

**Wada, 84:** Untersuchung japanesischer Mineralien 1897.

**Wada (Tsunashiro), 85:** Krystallform des Chlorids von Methylviolett 927.  
**Waddel, siehe Warden.**

**Waddel (J.), 86:** Bestimmung des Atomgewichts von Wolfram 52 bis 55.  
**Wade (de Witt, C.), 78:** Darstellung von Bromwasserstoffsäure 216.

**Wadsworth (M. E.), 84:** Bestandtheile der Meteoriten von Bishopville, Südcarolina und Waterville, Maine 2042.

**Wadsworth (E.) und Dana (J. D.), 84:** Verwitterungserscheinungen am Quarzit 2028.

**Waeber (N.), 86:** Analyse der Samen von Butea frondosa 1819 f.; Verhalten der ätherischen Oele 1993.

**Wächter (F.), 86:** Artunterschiede der positiven und negativen Elektrizität 243.

**Wächter (Fr.), 78:** Volum der Atome 7; Atomgewichte der Elemente 8; Berechnung der Geschwindigkeit der Moleküle, Berechnung der specifischen Wärme im festen und flüssigen Zustande 70.

**Wagener, 78:** Celluloid 1175.

**Wagener (G.), 82:** Natur des Glases und des Porcellans 1418.

**Wagener (G.) und Netto (C.), 85:** Erzeugung galvanischer Niederschläge auf Metallen, elektrolytische Gewinnung von Silber, Blei, Zink, Zinn und Kupfer 2011.

**Wagener (H.) und Müller (A.), 86:** Gewinnung von Fett- und Faserstoffen sowie Ammoniak aus den Canalabwässern 2165 f.

**Wagner, 80:** glasartige Lava 1505.

**Wagner (A.), 77:** Explosionsgrenzen brennbarer Gase 1032; Gasapparat 1097; Einfluss von Salzen auf den Härtegrad des Wassers 1133; Härte des Wassers 1134.

**79:** Kohlenoxyd aus Kohlensäure durch Zinnoxidul 230; Stickoxydgas aus Salpeter 1034; Kohlenoxyd aus Kohlensäure durch Zinnoxidul 1034 f.; Regulator 1086; Petroleumprüfung 1147.

**80:** Ausscheidung der Gasblasen aus einer Flüssigkeit 222; Aschenbestimmung in Steinkohlen und Coaks 1171; Analyse des Schiefspulvers 1309; Rauchgasanalysen 1360 f.

**81:** Schwefelgehalt des Zinkstaubs 258; Heizversuche, Rauchgasanalysen

aldehyd gegen Cyankalium : o-Methoxy-mandelsäurenitril, o-Methoxyphenylimidoessigsäurenitril, o-Methoxyphenylanilidoessigsäurenitril; Nitromethylsalicylaldehyd 745.

Vrau (G.), siehe Bleunard (A.).

Vrba (C.), **77**: Diabas, Diorit, Augitminette 1363.

**78**: Frieseit 1207 f.; Freieslebenit und Diaphorit 1209; Winkelmessung am Weifsbleierz 1222.

**79**: Magnetkiesmessungen 1183; Frieseitanalysen 1185.

**80**: Eisenkies 1404; Vanadinit 1429; Datolith 1439; Albit 1470.

**81**: Stephabit 1354; Frieseit 1355; Anatas 1360; Schwerspath 1371; Datolith 1379; Smaragd 1396; Pseudomorphosen 1412; siehe Preis (C.).

Vries (H. de), **79**: präcipitirte Membranen 884 f.

**82**: Function der harzartigen Substanzen in den Pflanzen 1144.

**84**: isotonische Concentration von Salz- und Lösungen anderer Körper (Plasmolyse) 115 ff.; Diffusion von Salzlösungen durch Gallerte 144 f.; Geschwindigkeit der Ausfluszeiten von Salzlösungen (isotonische Coëfficienten) durch Capillarröhren (Mikrorheose) 145; Zersetzung organischer Säuren unter dem Einfluß des Sonnenlichtes 1073 f.; Bestimmung der an Aminbasen und Ammoniak gebundenen Säuren in Pflanzensäften 1629.

**85**: Vorlesungsversuch über Diffusion 352 f.; Eigenschaft der Stärkekörner 1806.

Vries (H. de) und Hamburger, **84**: isotonische Coëfficienten von Salzlösungen bei der Diffusion durch Gallerten 145.

Vrij (de), **77**: Chinidin und Cinchonidin 889.

Vrij (J. E. de), **78**: Rinde der Cinchona pubescens 874; Chinidinsulfat des Handels 880.

**80**: Verbindungen der Chinaalkaloide 963; Prüfung des citronensauren Eisenoxyd-Chinins 1213.

**81**: Thevetia nereifolia 1024.

**82**: Bestimmung des Alkaloidgehaltes der Chinarinde 1314; Bestimmung des Chinins als Herapathit 1314 f.

**84**: Nichtidentität von Cerberin mit Thevetin 1409.

**85**: Versuch einer Trennung des Chinins von Cinchonidin mittelst Oxalsäure 1704; Trennung des Chinins von Cinchonidin 1964; Bestimmung des Cinchonidins im Chininsulfat 1965; Extraction der Alkaloide der Chinarinde mittelst Säuren 2100 f.

**86**: Extraction der Chinaalkaloide mit wässerigen Säuren 1731; Bestimmung des Cinchonidins im Chininsulfat 1979; Bestimmung des Cinchonidins und Chinins im käuflichen Chininsulfat 1979 f.

Vulpian, **79**: Speichel 958; Herzgifte 992.

**82**: Kaliumpermanganat gegen Schlangengift 1223 f.; Wirkung des Strychnins auf die Nerven 1228.

**83**: Kupfer als Präservativmittel gegen die Cholera 1490.

**84**: anästhesirende Wirkung des Cocaïns 1510.

Vulpian (A.), **81**: Wirkung von Thiotetra- und Isodipyridin 1066.

Vulpus, **79**: salicylsäure Salze 678; Nachweis des Paralbumins 875.

**80**: Gasentwickelungsröhre 1244.

**86**: Wasserbestimmung in Carbonsäure 1962.

Vulpus (C.), **86**: Synthese des Thallins (Tetrahydro-p-chinanol) 1249.

Vulpus (G.), **77**: Verdunstung von Aether 1079.

**78**: Ozonentwickler, Kritik 196; Verhalten von Schwefel und Phosphor gegen fette Säuren 223 f.; Reinigung von Quecksilber 302; Einwirkung der Lösungsmittel auf Salicylsäure 758; Ausscheidung von Borsorin aus süßen Mandeln 963.

**79**: Sublimatbildung in Calomelmischungen 298; Quecksilber im Harn 1082.

**83**: Verunreinigung des bromsauren Kaliums, Gehaltsbestimmung des Handelsproductes 1534; Bestimmung des Gehaltes von Ferrum reductum an metallischem Eisen 1563 (Anm. 6).

**84**: Ozonwasser als Arzneimittel 1512.

**85**: Urethan 642; Zersetzung verdünnter Lösungen salicyls. Salze 1477; Eigenschaften des Arbutins 1761; Darstellung und Eigenschaften von Conduragin 1772; Anwendung des Tetraajodpyrrols (Jodols) als Antisepticum 1867.

**86:** schweres Weinöl in Aethersorten 1958; Prüfung von Milchsucker 1974; Lanolin 2164.  
**Vutzeys und Rabuteau, 77:** Wirkung des Aethylbromürs 1012.

## W.

**Waage (A.), 82:** Propionaldehyd gegen Ammoniak 740.

**83:** Propionaldehyd gegen Ammoniak : Verbindung  $C_{15}H_{29}N_3$  949; Parvolin und Picolin aus der Verbindung  $C_{15}H_{29}N_3$  949 f.; Parvolin aus Methyläthylacrolein, Stickstoffbestimmung 950.

**84:** Einwirkung von Ammoniak auf Propionaldehyd 1030.

**Waage (P.), 79:** Ebullioskop 1088.

**Waals (van der), 80:** Zusammenrückbarkeit der Gase 61 f.

**81:** GröÙe der Gasmoleküle 9.

**Waals (J. D. van der), 77:** Dichtemaximum des Wassers 46; Gasmoleküle 62.

**85:** Einfluß der Temperatur auf den Gasgehalt einer Lösung und über das Gleichgewicht zwischen den Lösungen von Gasen und denjenigen fester Körper 88 f.

**Waas (E.), 82:** Di- und Triphenyläthan 426 f.

**Wachendorff (C.), 78:** Verhalten der Urethanbenzoesäure (Oxyäthylcarboxyamidobenzoësäure) 773 f.; Bimssteinsandanalyse 1286.

**Wachendorff (C.) und Zincke (Th.), 77:** Methylderivate des Anthracens 386; Styrolenalkohol (Phenylglycocol) 539; Methylanthrachinon 655.

**Wachhausen (A.), 78:** Verwerthung der Rückstände der Fuchsin- und Magentarothfabrikation 1182.

**Wachtel (A. v.), 83:** Vanadin in der käuflichen Rüben-Potasche 1577.

**Wachtel (G.), 86:** Verhalten von Chromeisenstein gegen Kalk 2052.

**Wackenroder, 81:** Wasser von Bernburg 1445; siehe Geuther.

**Wackenroder (B.), 84:** Gewinnung von Chlorstrontium resp. Chlorbaryum 1737.

**86:** Darstellung von Chlorbaryum und Chlorstrontium 2063.

**Wada, 84:** Untersuchung japanesischer Mineralien 1897.

**Wada (Tsunashiro), 85:** Krystallform des Chlorids von Methylviolet 927.

**Waddel, siehe Warden.**

**Waddel (J.), 86:** Bestimmung des Atomgewichts von Wolfram 52 bis 55.

**Wade (de Witt, C.), 78:** Darstellung von Bromwasserstoffsäure 216.

**Wadsworth (M. E.), 84:** Bestandtheile der Meteoriten von Bishopville, Südcarolina und Waterville, Maine 2042.

**Wadsworth (E.) und Dana (J. D.), 84:** Verwitterungserscheinungen am Quarzit 2028.

**Waeber (N.), 86:** Analyse der Samen von Butea frondosa 1819 f.; Verhalten der ätherischen Öle 1993.

**Wächter (F.), 86:** Artunterschiede der positiven und negativen Elektrizität 243.

**Wächter (Fr.), 78:** Volum der Atome 7; Atomgewichte der Elemente 8; Berechnung der Geschwindigkeit der Moleküle, Berechnung der specifischen Wärme im festen und flüssigen Zustande 70.

**Wagner, 78:** Celluloid 1175.

**Wagner (G.), 82:** Natur des Glases und des Porcellans 1418.

**Wagner (G.) und Netto (C.), 85:** Erzeugung galvanischer Niederschläge auf Metallen, elektrolytische Gewinnung von Silber, Blei, Zink, Zinn und Kupfer 2011.

**Wagner (H.) und Müller (A.), 86:** Gewinnung von Fett- und Faserstoffen sowie Ammoniak aus den Canalabwässern 2165 f.

**Wagner, 80:** glasartige Lava 1505.

**Wagner (A.), 77:** Explosionsgrenzen brennbarer Gase 1032; Gasapparat 1097; Einfluß von Salzen auf den Härtegrad des Wassers 1133; Härte des Wassers 1134.

**79:** Kohlenoxyd aus Kohlensäure durch Zinnoxidyl 230; Stickoxydgas aus Salpeter 1034; Kohlenoxyd aus Kohlensäure durch Zinnoxidyl 1034 f.; Regulator 1086; Petroleumprüfung 1147.

**80:** Ausscheidung der Gasblasen aus einer Flüssigkeit 222; Aschenbestimmung in Steinkohlen und Coaks 1171; Analyse des Schiefspulvers 1309; Rauchgasanalysen 1360 f.

**81:** Schwefelgehalt des Zinkstaubs 258; Heizversuche, Rauchgasanalysen

1158; Nachweis der Nitate im Trinkwasser 1159 f.; Bestimmung der festen (organischen) Substanzen im Wasser 1162; Braunstein und Chlorkalk gegen Chromoxyd 1165; Aschengehalt der Steinkohle und Coaks 1176; Reactionen auf Eisen und Kupfer 1187.

**82:** Ursache des Chlorgehalts von Sauerstoff aus chloresurem Kalium 1263; Bestimmung von Stickoxydul 1269 f.

**83:** oxydirende Wirkung des Ozons auf aromatische Substanzen (Anthracen, Anilin, Diphenylamin, Diphenylaminsulfosäure) 1529; Verunreinigung der Zwischendecken von Wohnräumen durch organische Substanzen 1662; chemische und physikalische Veränderungen des Holzes durch Hausschwamm, Weiße- und Rothfäule 1776 f.

**84:** Leuchtgasvergiftung 1808.

Wagner (A.) und Jobst (P.), **85:** Herstellung von galvanischen Niederschlägen auf Eisen 2011.

Wagner (Ad.), **85:** Prüfung der Butter 1970; Zerstörung des Holzes durch den Hausschwamm 2192.

Wagner (C.), **85:** Entfettung von Knochen 2184.

Wagner (E.), **83:** Aethylendi-o-amidophenyläther 878; Aethylendi-p-amidophenyläther 878 f.; Aethylendi-m-amidophenyläther 879; Aethylenäther von Oxybenzoesäuren: Aethylen-o-nitrophenol-o-oxybenzoesäureäther 879 f.; Aethylen-o-amidophenol-o-oxybenzoesäure 880 f.; Aethylen-p-nitrophenol-o-oxybenzoesäureäther 881; Aethylen-o-nitrophenol-p-oxybenzoesäureäther 881 f.; Aethylen-o-amidophenol-p-oxybenzoesäure, Aethylen-o-nitrophenol-p-oxybenzoesäureäther, Aethylenphenol-p-oxybenzoesäureäther 882.

Wagner (G.), **77:** Aethylvinylcarbinol 533.

**81:** Darstellung secundärer Alkohole (Aethylisobutyl- und Aethylphenylcarbinol) 502, 584 f.

**82:** Abweichungen vom Popowschen Gesetz; Oxydation von Aethylpropylketon, Aethylisobutylketon 753 f.

**84:** Verhalten zinkorganischer Verbindungen gegen Aldehyde 1347 ff.; Essigsäure-Aethylisobutylcarbinol-

äther, Aethylisobutylketon, Aethylhexylcarbinol 1347; Aethylhexylketon, Aethylvinylcarbinol, Aethylphenylcarbinol 1348; Aethylphenylketon, Propylhexylcarbinol, Propylhexylketon 1349.

**85:** Oxydation von Aethylpropylketon, Propylisobutylketon, Aethylisobutylketon, Aethylisopropylketon, Methylisobutylketon, Methylisocamylketon 1631, von Methylbutylketon, Abhängigkeit des Verlaufs des Oxydation der Ketone von der Temperatur (Methylbutylketon) 1632; siehe Pawlinoff (A.).

Wagner (H.), siehe Claus (A.).

Wagner (J.), **83:** Zähigkeit der Lösungen von Chloriden, Nitraten und Sulfaten der Metalle 93 ff.

**84:** Schmelzpunkts-, Siedepunkts- und Dichte-Tabellen chemischer Verbindungen 151.

**86:** Sulfaminsäuren der aromatischen Reihe: Phenylsulfaminsäure aus Anhydropyridinschwefelsäure 1543 f.

Wagner (L.), **80:** phosphorfreye Zündhölzer 1307.

**81:** phosphorfreye Zündhölzchen 1274.

Wagner (L. v.), **83:** Maisstärkefabrikation 1745.

Wagner (O.), siehe Mayer (L.).

Wagner (P.), **80:** Fettbestimmung in Futtermitteln 1217; Proteinstoffe in Futtermitteln 1218.

**82:** Extraction der „wasserlöslichen“ Phosphorsäure aus Superphosphaten 1429 f.

**83:** Methode der Stickstoffbestimmung nach Grouven 1587; Analyse eines afrikanischen Guanos 1721 f.

**84:** Methode der Stickstoffbestimmung in Düngemitteln 1612; Weinbergdüngung 1762; Düngwerth von Superphosphat 1768.

**85:** Verlust der Kartoffeln an Nährsalzen beim Kochen 2160.

**86:** Bestimmung der Phosphorsäure in Handelsphosphaten 1921 f.; Werth des Thomasschlackenmehls als Dünger 2106; siehe Hercher (R.); siehe Peitsch (B.); siehe Stünkel (C.).

Wagner (P.) und Prinz (H.), **80:** Düngung des Weinberges 1338 f.

Wagner (P.), Bohn (W.), Prinz (H.), Wetzke (Th.), Meyer (Ch.),

- und Laatsch (L.), Beiträge zur Düngungslehre 1720.
- Wagner (P.) und Stünkel (O.), **82**: Weinbergdüngung 1427.
- Wagner (Ph.), **85**: Darstellung von m-Phenetidin (m-Monoamidophenol-äthyläther) und Derivaten 1244 bis 1246; Salze des m-Phenetidins, Acetm-phenetidin 1245; m-Phenetidinazo- $\beta$ -naphtholsulfosäure, Dimethylphenetidin, Nitrosodimethyl-m-phenetidin 1246.
- Wagner (R.), **81**: Bestimmung der Phosphorsäure in Düngemitteln 1286; Bildung von Calciumphosphat im Boden 1287.
- 86**: Doppelfluoride von Schwermetallen und Alkalimetallen 330 f.; siehe Emmerling (A.).
- Wagner (R. v.), **77**: Sodaindustrie 1130; Vanadinverbindungen 1156; Rosolsäure 1236.
- 78**: Phloroglucin als Reagens auf Holzstoff 1086; Oxydation von Chromoxyd auf nassem Wege 1122 f.; Darstellung von Benzoesäure aus Benzöharz 1136 f.; Anwendung des Garnierits und Numeits 1270.
- 80**: Entphosphorung des Roheisens 1251 f.; Darstellung der Benzoesäure aus Benzöharz 1289 f.
- Wahl, **77**: Bromirung des Hexans  $C_6H_5Br_6$ ,  $C_6H_4Br_6$ ,  $C_6H_3Br_6$ ; Perbrombenzol 400; Perbrombenzol und  $C_6H_6$  403.
- 80**: Dodekan aus Dihexyljodür 477; siehe Merz (V.).
- Wahl (R.), siehe Zincke (Th.).
- Wahnschaffe, siehe Jacobs.
- Wailles (J. W.), **86**: Behandlung von phosphorbaltigem Roheisen in offenen Schmelzöfen 2026.
- Waine (G. W.), **77**: Eisenphosphat 263.
- Wainwright (Howard J.), **85**: Bestimmung des Morphins im Opium 1962.
- Waite (C. N.), **85**: Mischung zum Löthen von zinnernen Conservbüchsen 2019.
- Waitz (K.) **82**: Diffusionsversuche 81 f.
- Walberg (N.), **86**: Darstellung der Natriumchromate 2058 f.
- Walbridge (W. D.), **79**: Zinn aus Weisblechabfällen 1099.
- Walcher, **83**: antiseptische Verbände aus Holzwolle und Holzthiz 1724.
- Wald (F.), **81**: Energie producirende chemische Prozesse (Principien der Thermochemie) 1101 bis 1106.
- Wald (H.), **77**: Dinitroazoxydiphenyl und Isodinitroazodiphenyl 510.
- Waldbauer (A.), siehe Hell (C.).
- Walder, siehe Liebermann (C.); siehe Merz (V.).
- Walder (Fr.), **86**: Benzylderivate des Hydroxylamins 860 bis 865: Dibenzylhydroxylamin und Derivate 860; Verhalten desselben gegen Acetylchlorid 860 f., gegen Benzoylchlorid 861; Tetrabenzylhydroxylammoniumjodid 861 f.; Tribenzylhydroxylamin, Benzylbenzenylamin 862; Dibenzylamin und Derivate 863; Base  $N_2(C_6H_7)_2O$  und Derivate, Anhydrid und Salpetrigsäureäther des Dibenzylhydroxylamins 864 f.
- Walder (H.), **82**:  $\beta$ -Dinaphtol aus  $\beta$ -Naphtol 723;  $\alpha$ -Dinaphtyl 724;  $\beta$ -Dinaphtol gegen Chlorzink und Chlorzinkammoniak:  $\beta$ -Dinaphtylenoxyd ( $\beta$ -Oxydinaphtylen), Dinaphtylenamin 724 f.;  $\beta$ -Dinaphtol gegen Chlorzinkanilin: Dinaphtylenphenylamin 725.
- 83**: o- $\beta$ -Oxynaphtoylbenzoesäure aus  $\beta$ -Dinaphtol 1231 f.; Salze und Ester der o- $\beta$ -Oxynaphtoylbenzoesäure, o- $\beta$ -Oxynaphtyltoluylsäure 1232; siehe Michler (W.).
- Waldo (F.), **84**: Anwendung des Quecksilberdestillationsapparates zur Füllung von Barometerröhren 1691 f.
- Waldo (L.), **81**: Thermometrie 1074.
- Waldschmidt (E.), **77**:  $\alpha$ -Aethyl- $\beta$ -oxybuttersäure, Aethylcrotonsäure 692.
- Walitzky (W.), **78**: Cholesterilanilin 1007.
- Walitzky (W. E.), **81**: Cholesten (Cholesterilen) 374.
- 82**: Terpinen aus Terpin 776.
- Walker (A. O.) und Lodge (O. J.), **85**: Condensation von Bleirauch 2010.
- Walker (Ch.), siehe Noyes (W. A.).
- Walker (F. A.), **78**: Präparate auf der Ausstellung in Philadelphia 1098.
- Walker (J. Fr.), **84**: Darstellung von Aethern des Mononitrosophenols (Nitrosophenolnatrium) 966 f.; Benzoylnitrosophenol, Aethylkohlen säure-Nitrosophenol, Methylkohlen säure-Nitrosophenol, Mononitrosoresorcinatrium 967.

Wall (A. J.), **81**: indisches Schlangengift 1068.

Wallace (Sh.), siehe Cornwall (H. B.).

Wallace (W.), **77**: Eisenerze Schottlands 1290.

**80**: Heizkraft des Leuchtgases 1359; Schwefelgehalt der Kohlen 1481; Wasseranalysen 1535.

**81**: Reinigung von Abgaswässern 1299.

**83**: Wirkung sauerstoffarmer Luft auf den Organismus 1483; Ursachen des Verfalles der Bausteine 1712.

Wallace (W.) und Claus (F.), **78**: Reinigung des Leuchtgases 1164 f.

Wallach (M.), **82**: Kohlensäureäther des Isohydrobenzoes 656 f.

**84**: Einwirkung von Chlorkohlensäureäther auf Alkohole und Phenole 908 f.; Kohlensäure-Isohydrobenzoesäther, Kohlensäure-Hydrobenzoesäther 908; Aethylendikohlensäure-Aethyläther, Kohlensäurebrenzcatechinäther, Resorcindikohlensäure-Aethyläther, Hydrochinondikohlensäure-Aethyläther (Dikohlensäurephenylendiethyläther), Orcindikohlensäure-Aethyläther 909.

Wallach (O.), **77**: Blausäure, Dichloressigäther 328; Dichloressigsäure aus Chloral 604; Chloralhydrat gegen Ferrocyankalium: Dichloressigsäure, Butylchloral gegen Ferrocyankalium: Monochlorcrotonsäure 605.

**78**: Einwirkung von Alkylhaloïden auf Thioamidalkaliverbindungen 328; Chloralide 688 f.; Bromalide 690.

**80**: Basen aus Säureamiden 520; Thiamide 757 f.; Dichloracrylsäure 774.

**81**: Furfuronitril (Cyanfurfur), Furfurylamin 429; Acetyl- und Benzoyldiphenylamin gegen Phosphor-pentachlorid 474; substituierte Oxamide gegen Phosphor-pentachlorid: Isodiäthylloxamid, Diäthylcarbincyanid 682 f.; Diphenyl-, Aethylphenyl-, Monoäthyl-, Monophenyl-, Triäthylloxamid 684; Diäthylformamid, Diäthylloxaminsäurechlorid 685; Amide der Brenzschleimsäure gegen Phosphorchlorid 724; Analyse organischer Platinsalze 1194.

**82**: Oxaline und Glyoxaline 477 f.; Amidine aus Säureamiden: Diphenylform- und Diphenylacetamidin 507 f.; Nomenclatur der Azover-

bindungen: Diazoverbindungen 574; neue Darstellungsmethode von Az- und Diazoverbindungen 581 f.; Azotirung von Monoacetyl-m-toluyldiamin: Phenol-azo-acetylamidotoluol 582, von Monoacetylidi-amido- $\beta$ -naphthol, Toluoldiazophenol,  $\beta$ -Naphthol-azo-acetamidotoluol 583; p-Amidoazobenzol gegen Essigsäure 596; Monoamidokresol und Derivate aus Toluyldiamin 689; Monoamidokresol aus o-Mononitro-p-toluidin,  $\gamma$ -Orcin (Kresorcin) 690; Phosphor-pentachlorid gegen Säureamide 808 f.: Acet-o- und -p-toluidid-Imidchlorid 808; trockene Destillation von Benzoylsulfophenylimidchlorid, von Phenylsulfophenylbenzamidin 808 f., von Toluylsulfophenylbenzamidin, Sulfophenylbenzamidin, Verhalten von Benzolsulfochlorid, von Benzolsulfo-diphenylamin, von Benzolsulfanilid, Diphenylformamidin, Verhalten von Acetdiäthylamid, von Diphenylacetamid, von Diphenylbenzamid, von Diäthylformamid, von Acetpiperidid 809 f.; Oxal-piperidid 810; Oxaline und substituierte Glyoxaline 810 f.

**83**: Bemerkung zur Geschichte der Metanitrile 478; Oxaline und Glyoxaline: Oxaläthylin, Aethylglyoxalin und Verbindungen desselben 647; Methyl- und Aethylglyoxalin gegen Brom, Dibromoxaläthylin, Benzylglyoxalin 648; Paramethyl- und äthylglyoxaline, Verhalten von Oxaläthylin beim Erhitzen 649; chlorwasserstoffsäures Chinolin-Chlorzink, Chlorzinkdoppelsalze der Chinolinbasen 1315.

**84**: Untersuchung der Bestandtheile ätherischer Öle 1466.

**85**: Terpene und Abkömmlinge (Cinen, Hesperiden) 689 f.; Camphen und Derivate (Borneol) 692 f.; Borneen, Sylvestren 694; Terpenhydrat, Terpinen, Terpinol 695; Dipenten, Terpinolen 696; Terpineol, Terpin 697.

**86**: Azo- und Diazoverbindungen 1010 bis 1014: Constitution der beiden Monoacet-m-toluyldiamine; Ueberführung desselben in Diazoverbindungen und in Nitrokörper mit Stellungsisomerie 1010; Acetylierung von o-Mononitro-p-amidobenzol: Monoacetnitrotoluidin 1010 f.; Reduction des letzteren: p-Acet-m-toluyldiamin, Ueberführung des

**Acetdiamins** in p-Acetamidotoluol-o-azodimethylanilin 1011; p-Monoacetamidotoluol-o-azodimethylanilin, Ueberführung des letzteren in Toluol-o-azodimethylanilin-p-azophenol und -p-azo- $\beta$ -naphtol 1012; p-Acetamidotoluol-o-azodiäthylanilin 1012f.; o-Acet-m-toluylendiamin, o-Acet-amido- und o-Amidotoluol-p-azodimethylanilin 1013f.; Acetamidobenzol- und Amidobenzol-m-azodimethylanilin aus Monoacetyl-m-phenyldiamin sowie Diazotirung von bromwasserstoffsauerm p-Acetyl-m-toluylendiamin 1014; Diazoamidverbindungen durch Combination von Aminen der Fettreihe mit Diazoverbindungen 1014f.; Toluol-o- und -p- sowie Benzoldiazopiperidid 1015; Spaltungen der gemischten Diazoamidkörper durch kochende, concentrirte Halogenwasserstoffsäuren 1015f.; fluorirte Kohlenwasserstoffe der aromatischen Reihe 1595f.; Fluorbenzol, p-Fluortoluol, m- und p-Fluoranilin 1596; neues inulinartiges Kohlehydrat: Irisin aus Iris Pseud-Acorus 1783f.

**Wallach (O.) und Bräfs (W.) 84:** Darstellung von Cynen aus Cyneol (Isomeres des Borneols), aus Wurm-samenöl 543 bis 547; Chlor- und Bromwasserstoffverbindung des Cyneols 544; Jodwasserstoffcynen 545; Tetrabromcynen, Cyneoljodür, Cynen, Darstellung, Verhalten 546; Umwandlung des Cynens in Cymol 547.

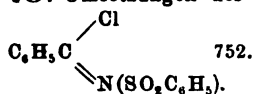
**Wallach (O.) und Belli (L.) 80:** Oxyazobenzol 573.

**Wallach (O.) und Bischof (O.) 78:** Monochloracetylen aus  $\beta$ -dichloracrylsauerm Calcium 414.

**79:** Chloracetylen aus Dichloracrylsäure 607f.; Dibromacetophenon gegen Blausäure und Salzsäure 694.

**Wallach (O.) und Fischer (B.) 82:** Diazofarbstoffe aus Diazo- und Diazoazokörpern des Benzols und Toluols mit Resorcin 1483 bis 1486.

**Wallach (O.) und Gofsmann (A.) 78:** Umsetzungen des Imidchlorids



**Wallach (O.) und Hansen. 78:** Chloralid der Glycolsäure 688.

**Wallach (O.) und Hunäus (P.) 77:** Dichloracrylsäure 703; Malonsäureäther, Monochloracrylsäure 704.

**Wallach (O.) und Kamenski (J.) 80:** Basen aus Säureamiden 519f.

**81:** Base aus camphers. Aethylamin (Camphersäureäthylimid) 406f.; Diäthylmalonamid, Dimethylsuccinamid, pimelins. Aethylamin, äpfels. Aethylamin, phtals. Methylamin und Propylamin, Aethylphtalimid, Allylphtalimid 407.

**Wallach (O.) und Kiepenheuer (L.) 81:** Oxyazobenzol und Derivate 485f.

**Wallach (O.) und Köllicker (A.) 84:** Einwirkung von Salzsäure auf p-Amidoazobenzol und Phenolazo-p-amidotoluol, Bildung von Indulin 842.

**Wallach (O.) und Liebmann (A.) 80:** Säureimidechloride 755f.

**Wallach (O.) und Oppenheim (F.) 77:** Chloroxaläthylin, Dioxaläthylin, Chlorbromoxaläthylinderivate 746.

**Wallach (O.) und Reincke (J.) 77:** Bromalide [Tribrommilchsäure, Tribrommilchsäure-Tribromäthylidinäther (Bromalid), Tribrommilchsäure-Trichloräthylidenäther, Trichlormilchsäure-Tribromäthylidenäther, Milchsäure-Tribromäthylidenäther] 701.

**Wallach (O.) und Schulze (E.) 80:** Chloroxaläthylin, Oxaläthylin, Verhalten, Homologe 522.

**81:** Propylamin (Salpetersäure-Propyläther) 410; Dipropylloxamid 411; Oxaline: Chloroxalmethylin, Oxalmethylin 414; Chloroxalpropylin, Oxalpropylin, Oxaläthylin 415; Para-oxalmethylin 416.

**82:** Azo- und Diazoverbindungen aus m-Phenyldiamin, Darstellung von Monoacetyl-m-phenyldiamin, Phenol-azo-acetyl-m-amidobenzol, Phenol-azo-amidobenzol, Benzol-diazophenol 584.

**Wallach (O.) und Stalars (C.) 86:** Darstellung von Benzoldiazopiperidid 1016; Toluol-p-diazopiperidid 1016f.; Toluol-o-, o-Mononitrotoluol-p-, p-Mononitrotoluol-o- und Mononitrobenzol-m-diazopiperidid; Benzol- und Toluol-p-diazoconiin 1017; Acet-p-toluidin-o-diazobromid 1017f.; Acet-p-toluidin-o-diazonitroäthan und -o-diazo-diäthylamid 1018; Acet-p-toluidin-o-diazopiperidid und -o-diazo-chlorid 1018f.

- Wallach (O.) und Stricker (G.), **80**: Oxaläthylin, Chloroxalallylin 520 f.
- Wallach (O.) und Wüsten (M.), **83**: Condensationen mit Kaliumdisulfat (Malachitgrün), Benzaldehydsulfosäure, Methylacetyl-Resorcin **471**; Condensation aromatischer Amine mit Milchsäure, Verhalten von Methylchinolin (Chinaldin) gegen Aldehyde 890 bis 892; Aethylisothioformanilid 1020 f.; Diphenylformamidin, Aethylisothiacet-o-toluidid, Aethylisothiacet-p-toluidid, p-p-Ditolyacetamidin 1021; o-p-Ditolyacetamidin, p-o-Ditolyacetamidin, o-o-Ditolyacetamidin 1022.
- Wallensteiner (J.), **85**: Bürette 1996.
- Waller, **81**: Demantoid 1381.
- Waller (E.), **81**: Phenolreaktionen 1205.
- 84**: Milchanalyse 1672; Untersuchung von Schneewasser 2030 f.
- Waller (J.), **79**: Demantoid (Kalk-eisengranat) 1214.
- Wallin (K.), siehe Claesson (P.).
- Wallroth (K. A.), **83**: Phosphate, welche durch Zusammenschmelzen von Phosphorsalz mit Metalloxyden entstehen (Pyrophosphate) 318 f.
- Waltenhofen (A. v.), **79**: Magnetisierungsversuche am Eisenpulver 143; elektrische Durchbohrung des Glases 1119.
- 80**: mechanisches Aequivalent der Wärme 83; Apparat zur Bestimmung der Härtegrade des Stahles 1246.
- 83**: dynamoelektrische Maschinen 209; Magnetisierungsfunction des Stahles 228.
- 86**: Magnetisierungsformeln 282.
- Walter (A.), **80**: Gastheorie 55.
- 82**: Verdampfungs- und spezifische Wärme 97.
- Walter (J.), **84**: Verwendung des Dampfes im chemischen Laboratorium, Gastrocknungs-, Waschapparat, Kühlröhren für Laboratorien 1686; versuchte Reduction von Magnesia durch Kohle 1698.
- 85**: Apparate für chemische Laboratorien 1995 f.; Handregulator für elektrisches Licht 1998.
- 86**: Bildung von Aminen aus Natriumamid und Bromäthyl oder Brombenzol 511; Bildung von Aminen (aus Bromäthyl und Brombenzol) mit Hilfe von Natriumamid 681; Bildung von Acridin bei der Fabrication von Diphenylamin 894; Anwendung von Phosphorsäureanhydrid zum Trocknen von Gasen 1901; Kühlröhren 2010; siehe Gräbe (C.).
- Walter (K.), **82**: Düngerphosphate, „zurückgegangene“ Phosphorsäure 1431.
- Walther (J.) und Schirlitz (P.), **86**: Angreifbarkeit der Gesteine durch Seewasser 2302; Eintheilung der Tuffe (Trocken-, Wasser- und Sedimenttuffe) 2311 f.; Gehalt des Meerwassers an atmosphärischer Luft 2316 f., an Kohlensäure 2317 f., an Salzen 2318 f.
- Walton (E. M.) und Ordway, **81**: Kältemischungen 1100 f.
- Walton (G. L.), **82**: physiologische Wirkungen des Methylcyanäthins 1226.
- Walton (T. U.), siehe Mills d. J. (E. J.).
- Walton (W. R.), **86**: Umschmelzen von Garkupfer 2043.
- Waltz (G.), **82**: Aethenyltricarbonsäureäther gegen Natriumäthylat und Propyljodide: Propyläthenyltricarbonsäure, Propylbernsteinsäure, Isopropylbernsteinsäure 884.
- Walz, **80**: Alkaloid der Hundspetersilie 1001.
- Wanklyn, **78**: Sieden von Gemengen 52.
- Wanklyn (A.), **83**: Verwendung von mit Kalk versetzter Kohle in der Gasfabrikation 1752; siehe Fox (W.).
- Wanklyn (A.) und Cooper (W. J.), **81**: Apparat zur Gasanalyse 1235.
- Wanklyn (J. A.), **77**: organische Materien in Trinkwässern 1073.
- 84**: Schwefelwasserstoffgehalt im Leuchtgas 1807; Theer- und Ammoniakgewinnung bei der Leuchtgasbereitung 1814.
- 86**: Milchanalyse 1999; Verwerthung des Nickels als Ersatz für Platin zu Laboratoriumszwecken 2041; Untersuchung der Jodquelle Woodhall Spa 2322 f.; siehe Bolton (F. J.); siehe Fox (W.).
- Wanklyn (J. A.) und Cooper (W. J.), **77**: Proteingehalt vegetabilischer Substanzen 1089.
- 78**: Oxydation von Gasen durch übermangansaures Kalium 277; Verbrennungswärme der Nahrungsmittel



- 986; Bestimmung der organischen Substanzen im Trinkwasser 1042; Elementaranalyse auf nassem Wege 1070.
- 79:** oxydirende Wirkung einer alkalischen Kaliumpermanganatlösung 265 f.; Cyanpropionsäure 605 f.; Oxydation von Wolle 878 f.
- Wanklyn (J. A.) und Fox (W.), 83:** Vorkommen von Aethern des Isoglycerins in den natürlichen Fetten 1447 f.
- Wannick (J.),** siehe Kühmaier (F.).
- Wappler, 86:** Untersuchung von Argyrodit 223.
- Wappler (F.),** siehe Choulant.
- Warburg (E.), 83:** Coërcitivkraft und magnetische Empfindlichkeit von Eisen und Stahl 227.
- 84:** Elektrolyse von festem Glase 271 f.; Phosphorescenz Geißler'scher Röhren 307.
- 86:** Druck des gesättigten Dampfes 91.
- Warburg (E.) und Babo (L. v.), 82:** Dichte und Viscosität von fester und flüssiger Kohlensäure 32 f.
- Warburg (E.) und Hönig (L.), 83:** Wärmeproduction bei der Magnetisirung des Eisens 230.
- Warburg (E.) und Ihmori (T.), 86:** Gewicht und Ursache der Wasserrhaut auf Glas und andern Körpern 158 f.
- Warburg (E.) und Sachs (J.), 84:** Viscosität von Aether, Benzol und flüssiger Kohlensäure 108 f.
- Ward (P.), 77:** Ferromangan 1116.
- Warden und Waddel, 85:** wirksame Substanz des indischen Hanfes 1811.
- 86:** Kautschuk- (Guttapercha-) Gehalt der Rinde der Mudarppflanze (Calotropis) 2169.
- Warden (C. J. H.), 78:** Analyse der Asche von Behar-Opium 968.
- 79:** Analyse der Asche der Blumenblätter der Mohnpflanze 927.
- 80:** Superbin 1077; Nährbiskuits 1346.
- 81:** Pseudoindican aus Thevetia nereifolia 1024; Boden aus Cuttack 1282.
- 82:** Superbin aus Gloriosa superba 1165 f.; Untersuchung von Thevetia nereifolia: Thevetin, von Abrus precatorius, Wrightea anti-
- dysenterica: Kürchicin 1166: giftige Substanzen aus Thevetia nereifolia 1176; Analysen von Ale 1449.
- 83:** Analyse des in Wasser löslichen Theiles der Asche von Pistia Stratiotes 1417 f.
- 85:** biologische Wasser-Analyse 1893 bis 1896: Darstellung von Fleischpeptongelatine, fractionirte Sterilisation: Kartoffeln als Nährboden 1894; Entnahme der Wasserproben 1894 f.; Anwendung von Methylblau in der biologischen Wasseranalyse, Form der Mikroorganismen 1895; Cholera- und Thyphusbacillus, Analyse von Wassern 1896.
- 86:** Wirkung des Cobragiftes 1866.
- Warden (J. H.), 82:** Filtrirheber 1349.
- Warder (R. B.), 81:** Geschwindigkeit der Verseifung von Essigäther 656; Phenolphthalein als Indicator 1157.
- 82:** Benzolformeln 407.
- 84:** Dissociation des Messings 230 f.; Einfluss der Zeit bei der Bestimmung der zurückgegangenen Phosphorsäure 1576.
- 85:** Trennung von Cadmium-, Kupfer-, Nickel- und Kobaltoxyd 1877.
- 86:** Analysen von käuflichem Grauspießglanzerz (Black Antimony), Brechweinstein und Glycerin 2065; Analysen amerikanischer Handelsdünger, Futterwerth der Abfälle amerikanischer Stärkefabriken 2103 f.
- Warington, 85:** chemische Veränderungen durch Mikroorganismen 1825.
- Warington (A. W.),** siehe Meyer (V.).
- Warington (R.), 77:** Salpeterbildung 228; Salpetersäurebestimmung 1040.
- 78:** Salpeterbildung durch Bacterien 222; Bestimmung des Phosphors im Eisen und Stahl 1049.
- 79:** Nitrification 218 f.; Salpetersäurebestimmung als Stickoxydgas durch Indigo 1035; Salpeterbildung 1108.
- 80:** Japanesische Agriculturproducte 1065; Salpetersäurebestimmung 1157; Flußwasser 1521.
- 81:** Bildung von salpetriger Säure 182; Naphtylamin als Reagens auf salpetrige Säure 183; Salpeterferment 1149.
- 82:** Salpeterferment 1250 f.; Bestimmung der Salpetersäure als Stickoxyd 1267 f.; Bestimmung der Sal-

- petersäure in Bodenarten 1326; Salpeterbildung im Boden 1422.
- 84:** Untersuchung über den Vorgang der Nitrification mittelst Ackererde 1526 bis 1529.
- 85:** Nitrification durch Ackererde: Einfluss von Gyps auf die Salpeterbildung 1864; Bildung von Nitraten und Nitriten aus kohlens. Ammonium 1865; Erkennung der salpetrigen Säure und Salpetersäure 1908 f.; Ausführung der Kjeldahl'schen Stickstoffbestimmungsmethode bei Gegenwart von Salpetersäure 1948.
- 86:** Vertheilung des nitrificirend wirkenden Organismus im Boden 2095 f.; siehe Laves (J. B.).
- Warington (R.) und Peake (W. A.), **80:** organische Substanz in Bodenarten 1215.
- Warnecke (H.), **83:** Verhalten von Morphin gegen Pepsin und Pankreatin, Isolirung des Morphins aus dem Harn 1615.
- 86:** Wrightin (Conessin) aus Wrightia antidysenterica 1696 f.
- Warnford Lock (Ch. G.), siehe Lock (Ch. G. Warnford).
- Warren de la Rue, siehe Rue (Warren de la).
- Warren (H. N.), **85:** Verbindung von Bor mit Eisen 2029.
- Warren (Th. Bruce), **85:** Verbrennung organischer Substanzen 2006.
- Warth (C.), siehe Kelbe (W.).
- Wartha (V.), **78:** Meteorit von Zsádány 1317 f.
- 80:** Härtebestimmung des Wassers 1150; Prüfung des Rothweines auf Rosanilinverbindungen 1225 f.; schweflige Säure 1226; Weinexplosion 1353.
- 82:** Bestimmung der schwefligen Säure im Weine 1333.
- 83:** Bestimmung der schwefligen Säure im Weine 1627.
- 84:** Bildung von Farbstoffen auf elektrolytischem Wege 1846.
- 85:** Ermittlung der alkalischen Reaction des Glases 1923; siehe Schuller (A.).
- Wasastjerna (A.), **78:** Analysen einer anthophyllitähnlichen Hornblende 1249.
- Wassermann (M.), **79** Methyleugenolderivate 520 f.; siehe Bel (J. A. Le).
- Wassiliew (N. P.), **82:** Wirkung des Quecksilberchlorürs auf Gährungsprozesse, Mikroorganismen und Enzyme 1243 f.
- Wasowicz (Wasowicz) (M. Dunin von), **77:** Pfefferminzöl 957; Roggenmehlverfälschung 1208.
- 78:** Weifsbohnenmehl im Mehl 1156.
- 79:** Aconitumuntersuchungen 927 f.; siehe Claus (A.).
- Wasum, **85:** Gufs und Ausschmelzen von Thomasmetall 2026 f.
- Wasum (A.), **82:** Einfluss von Schwefel und Kupfer auf Stahl 1370 ff.
- Wafsmann (Th.), siehe Städel (W.).
- Wafsmuth (A.), **81:** Einfluss hoher Temperaturen auf die Magnetisirbarkeit des Eisens 106.
- 82:** spezifische Wärme magnetisirten Eisens 99; mechanische Wärmetheorie und Magnetisirung 166.
- Wasz (T.), **82:** Hornblendeanalyse 1556, 1557.
- Waters (A. W.), **84:** Ersatz für den Rheostaten 231.
- Waters (W. H.), siehe Williams (C. Greville).
- Watson (D.), **82:** Trennung von Arsen und Kupfer 1278.
- Watson (G.), **82:** Katalyse des Wasserstoffsuperoxyds durch Nickelsulfat 4.
- 86:** Antimonchlorür als Beize 2183 f.
- Watson (H.), **77:** Kesselsteine 1135.
- Watson (W. C.), **79:** Wirkung des Speichels 958.
- Watson (W. H.), **77:** Meerwasser gegen Blei und Kupfer, fette Oele gegen Kupfer 272; Seewasser gegen Blei und Kupferfolien 1036.
- 80:** Oele gegen Eisen 321; Portlandcemente 1313.
- 81:** Bestimmung des Ammoniaks 1159.
- Watson-Smith, **79:** isomere Dinaphtyle, Chlorirung von Isodinaphtyl 382.
- Watson-Will (W.), **84:** Extractionsapparat 1689.
- Watt (A.), **80:** Drehung des Zuckers 214.
- 85:** Centrifugalmaschine 2001.
- Watt (Alex), siehe Spence (Berger J.).
- Wattenberg, (H.), **80:** saures phos-

- phosphores Calcium gegen Wasser 1157 f.; Rohfaserbestimmung 1216.
- 82:** Rohfaserbestimmung 1339; siehe Kern (E.).
- Wattine-Dellespierre, **77:** directes Schwarz 1232.
- Watts (C. W.) und Bell (Ch. A.), **78:** Darstellung höherer Metallchloride 192 f.
- Watts (F.), **82:** Bestimmung des Gesamtkohlenstoffs in Eisen und Stahl 1289 f.
- 86:** Untersuchung des ätherischen Oeles von Citrus limetta 1828; Gährung von Citronensäure mittelst Saccharomyces mycoderma 1872; Titration der Citronensäure 1968; Gewinnung einer Durchschnittsprobe von zähen Flüssigkeiten 2166.
- Watts (J. J.), siehe Brauner (B.); siehe Thorpe (T. E.).
- Wayfs (A. F.), siehe Gasiorowski (K.).
- Webb (W.), **83:** Elektrolyse 218.
- Weber, **85:** Zusammensetzung des Kesselsteinpulvers 2162; Fixirung von Tanninfarben durch Antimonoxyd 2213.
- Weber (A.), **77:** Dimethylanilinderivate 466.
- 81:** Dioxynaphtalin und Derivate 572.
- 82:** Entwässerung des krystallisierten Chlorcalciums 270; siehe Martini (A.); siehe Ris (Ch.).
- Weber (A.) und Heim (R.), **82:** Phenol,  $\beta$ -Naphthol, p-Kresol gegen Phosphoroxchlorid: Phosphorsäure-Triphenyl-, Trikresyl-, Trinaphtyläther 1048.
- Weber (A.) und Söllscher (C.), **83:** Umwandlung von Perchlordiphenyl in Perchlordiphenol 597 f.
- Weber (A.) und Wolff (N.), **85:** Darstellung von Perchlorthenol 1233 f.; Methyläther und Essigsäureäther desselben 1234.
- Weber (C. L.), **84:** galvanische Leitungsfähigkeit und thermoelektrische Stellung von Amalgamen 249 f.
- 85:** elektrisches Leitungsvermögen des festen Quecksilbers 256.
- 86:** elektrisches Leitungsvermögen der leicht schmelzbaren Metallgemische 250.
- Weber (C. O.), **85:** Fabrikation von Chromfarben (Chromgelb) 2219.
- Weber (E.), **84:** Studien über die Schwarzwälder Gneise 2009.
- Weber (H. C.), siehe Mabery (C. F.).
- Weber (H. F.), **78:** Ausdehnungsgesetz von Gasen 69.
- 79:** Elementargesetz der Hydrodiffusion 81 f.; Wärmeleitung in Flüssigkeiten 99 f.
- 80:** Wärmeleitung von Flüssigkeiten 97; Wärmeleitungsvermögen des Quecksilbers 98; Wärmeleitung 99.
- 85:** Wärmeleitungsvermögen von Flüssigkeiten 121 bis 124.
- Weber (H. Fr.), **84:** Bestimmung des absoluten Werthes der Siemensschen Quecksilbereinheit und der GröÙe des Ohm 246 f.
- Weber (K.), **78:** Darstellung von Benzylcymol 402.
- Weber (L.), **79:** Bestimmung des specifischen Gewichtes von Flüssigkeiten 43.
- 80:** Destillation des Quecksilbers 356.
- Weber (L.) und Weinhold (A.), **79:** Destillation von Quecksilber 60.
- Weber (M.), **84:** Analyse von Hochofenschlacken 1712.
- Weber (P.), **80:** Darstellung von Gallussäure 850.
- Weber (R.), **79:** Zinnbleilegirungen gegen Essig 1098 f.; Güte und Zusammensetzung des Glases 1117.
- 81:** Explosionsgefahr des Petroleums 1317.
- 82:** Verhalten des Tellurs gegen Schwefelsäureanhydrid und gegen Schwefelsäurehydrate 228 f.; Verhalten des Jods gegen Schwefelsäureanhydrid 229; Einwirkung der Salpetersäure auf Zinn 341 f.; Patinirung 1361.
- 84:** Darstellung von Octosulfaten der Alkalien 342 f.; Pyrosulfate 343; mikroskopische Untersuchung der Cemente 1755.
- 86:** Verbindungen von seleniger und arseniger Säure und von Phosphorsäureanhydrid mit Schwefelsäureanhydrid 336 f.
- Weber (Rud.), **83:** Depressionerscheinungen der Thermometer 113.
- Weber (S.), **83:** Antikesselsteinmittel 1749.
- Weber (W.), **78:** Nachweis von Indican im Harn 1001.
- 79:** Aetzstifte aus Kupfersulfat 276.
- Websky (A.), **78:** Fundort des Hyalits 1211; Vorkommen von Diaspor 1217

Webster (M.), **77**: Hornquecksilber 1286; Beryll 1327.

**78**: Zeolith 1255.

**79**: Krystalle, triklone, Berechnung 1.

**80**: Berechnung monokliner Krystalle 1; Aphrosiderit 1452.

**81**: Phenakit 1381.

**83**: optische und krystallographische Untersuchung des Jeremjewitsa (Eichwaldits) 1850.

**84**: Idunium (neues Element aus zinkhaltigem Bleivanadat) 442.

**85**: Krystallform des Hesperidin-zuckers 1768.

Webster, **83**: Verbesserung in der Fabrikationsmethode von Aluminium 1664.

Webster (C. S.), **83**: Pflanzenfasern 1638.

Webster (Ch. S. S.), **84**: Chlorirung und Bromirung von Pyrogallol 990 ff.; Leukogallol 991; Xanthogallol 992.

**85**: Einwirkung von Chlor auf Phloroglucin (Trichlorphloroglucin) 1258 f.

Webster (G. A.), **86**: Bestimmung des mechanischen Wärmeäquivalents 165.

Webster (J.), **82**: Fabrikation von Thonerde 1407.

**84**: Darstellung von Aluminium-bronze 1699.

**85**: Darstellung von Wismuth-bronze 2046.

Weddell (A.), **84**: Anwendung von Blauholzextract zum Nachweis von Metallen in Wasser 1558.

Weddige (A.), **80**: Aethylderivate von Phenol und Salicylsäure 641.

**81**: Aethylenäther von Phenolen: Bromäthylenphenyläther 535; Imido-diäthylenphenyläther, Aethylenphenyl-o-nitrophenyläther 536; Bromäthylen-o-nitrophenyläther, Amidoäthylen-o-nitrophenyläther 537; Benzoylamidoäthylen-o-nitrophenyläther, Anhydrobenzoylamidoäthylen-o-amidophenyläther, Benzoyloxyäthylen-o-nitrophenyläther, Oxyäthylen-o-amidophenyläther, Benzoyloxyäthylen-o-amidophenyläther 538; Bromäthylen-p-nitrophenyläther 538 f.; Amidoäthylen-p-nitrophenyläther, Bromäthylen-m-nitrophenyläther, o-Nitrooxyäthylensalicylsäure, p-Nitrooxyäthylensalicylsäure 539.

**82**: Orthoameisensäure-o- und -p-Nitrophenyläther 672 f.

**83**: p-Cyankohlensäurechlorid, Trichloracetonitril 482.

**85**: Darstellung von Acetyl-o-amidobenzamid 1465; Anhydroacetyl-o-amidobenzamid 1466.

**86**: Darstellung und Derivate des polymeren Trichloracetonitrils (Paratrichloracetonitril, Perchlortrimethylcyanid) 535 ff.

Weddige (A.) und Körner (M.), **85**: Additionsproducte von Mono-, Di- und Trichloracetonitril mit Chlorwasserstoff 629.

Wedding, **77**: Eisencarburete 1108.

**78**: Bauxit von Mühlbach 1217.

Wedding und Frank, **85**: Rolle des Phosphors in der Landwirthschaft 2063 f.

Wedding (H.), **78**: Bedeutung des Phosphors für das Eisenhüttenwesen 1117.

**80**: Eisenhüttenwesen Deutschlands 1253.

**83**: Gewinnung eines Materials für den Flammofen-Flußeisenprocess aus Roheisen mittleren Phosphorgehaltes 1665.

**84**: Gase im Stahl 1708.

Wedding (H.) und Snelus, **78**: Entphosphorung des Eisens 1103.

Wedding (W.), **78**: specifisches Gewicht fester Körper 24.

Wedel (W.), **83**: Abkömmlinge des Acetessigäthers: Chinonhydrodicarbonsäure aus Dibromacetessigäther 1060; Diacetylchinonhydrodicarbonsäureäther, Diacetylsuccinylbernsteinsäureäther 1061; Constitution des Acetessigäthers 1061 f.; Tribromacetessigäther gegen Natrium, Kupferdibromacetessigäther, Kupfertribromacetessigäther, Perbromacetessigäther 1062; Mono-, Di- und Tribromäthylacetessigäther 1062 f.; Aethylsuccinylbernsteinsäure aus Monobromäthylacetessigäther 1063 f.; Acetessigäther gegen Eisessig, Acetylchlorid, Glycolsäure 1064, gegen Oxalsäure und Bernsteinsäure 1064 f.

Wedgwood, **83**: Nichtleuchten der Luft bei Glühhitze 231.

Wefers-Bettink (H.), **83**: Legen 1496.

Wefers-Bettink (H.) und Dissel (W. J. van), **84**: Reduction von

Eisenchlorid und Ferricyankalium durch Morphin und Ptomaine 1398.  
**Weger (F.), 83:** spezifische Volumina organischer Körper und Ausdehnungscoefficienten mehrerer Verbindungen 66 bis 71; siehe Ritthausen (H.).  
**Wegscheider (R.), 80:** Kohlenwasserstoffe, graphische Formeln 1395.

**81:** graphische Formeln des Benzols, Naphtalins, Phenanthrens und Anthracens 352.

**82:** Constitution der Opiansäure und Hemipiansäure; Opiansäure-Methyläther, saurer  $\alpha$ - und  $\beta$ -Hemipiansäure-Methyläther 927 ff.; saurer Hemipiansäure-Aethyläther 929.

**83:** Isovanillin aus Opiansäure und aus Methylnoropiansäure 974 f.; Triopianid aus Opiansäure 1159 f.; Triopianid gegen Brom: Monobromopiansäure 1160.

**84:** Isobutylnaphtalin 560.

**85:** spec. Drehungsvermögen für Salicin, Helicin, Coniferin, Glucovanillin und Glucovanillinsäure 1310; spectroscopische Untersuchungen der Farbstoffe grüner Blätter 1796.

**86:** spezifische Rotation wässriger Lösungen von salzsaurem Glucosamin 707; siehe Becke (F.); siehe Goldschmiedt (G.).

Wehenkel, siehe Schippang.

**Wehmer (C.) und Tollens (B.), 86:** Verhalten von Kohlehydraten und Glycosiden gegen verdünnte Schwefelsäure 1362 f.

**Wehmer (J.), 83:** Herstellung von Pilsbier 1738.

**Wehrenfennig (E.), 81:** Ausdehnung und Schwinden von Schmiedeeisen, Stahl, Kupfer, Gußeisen 2014 f.

**Wehrin (E.) und Giraud (E.), 77:** Titanphosphorchlorid und Titanphosphoroxchlorid 278; metallisches Titan 279.

**Wehsarg (K.), 84:** Darstellung von Jodpentoxyd aus den Elementen 333; siehe Pechmann (H. v.).

**Weibull (M.), 82:** Zersetzungsproduct von Arfvedsonit 1581.

**84:** Analyse von Kalkmanganspath 1931 f., von Igelströmit 1954, von Granat 1956; Untersuchung von Hedenbergit 1966, 1971 f., von Silfbergit 1968, 1971 f.

**86:** Krystallform des Melamins 542, des Amidthiocyanursäure-Aethyläthers 543 f.; Analyse von Magnet-

eisen 2242; Vorkommen und Analyse von Wad 2243 f.; Vorkommen und Analyse von Manganocalcit 2249; Krystallform und Analyse von Igelströmit und Knebelit 2267; Analyse von Rhodonit 2282; Krystallform und Analyse von Silfbergit 2283 f.; Analyse von Hisingerit 2291 f.

**Weidel (H.), 77:** Cubebin 931; Ixolyt 967.

**78:** Berberonsäure 895 f.; Oxycinchomeronsäure 896 f.

**79:** Oxydation des Picolins 653 f.; Berberin 829; animalischer Theer 998 f.

**81:**  $\alpha$ -Dichinolin und Derivate 922 f.;  $\beta$ -Dichinolin 923;  $\beta$ -Sulfocinchoninsäure 941;  $\beta$ -Oxycinchoninsäure 942; Tetrahydrocinchoninsäure 973.

**82:** Tetrahydrocinchoninsäure und Derivate 1111 f.; siehe Barth (L.); siehe Goldschmiedt (G.).

**Weidel (H.) und Blau (F.), 85:** Darstellung von Dioxypyridindi- und -monoäthyläther sowie einiger Verbindungen derselben 811 ff.; Darstellung von Aethoxypyridin 813 f.

**Weidel (H.) und Ciamician (G. L.), 80:** animalischer Theer 1127.

**Weidel (H.) und Cobenzl (A.), 80:** Cinchoninsäure und Chinolin 1394.

**81:**  $\alpha$ -Sulfocinchoninsäure 969 f.;  $\alpha$ -Oxycinchoninsäure 971;  $\alpha$ -Chinophenol, Oxycinchomeronsäure 972.

**Weidel (H.) und Gläser (G.), 86:** Darstellung und Trennung der Mono- und Disulfosäuren des (Pya-Pya)-Dichinolyls ( $\alpha$ -Dichinolin) 965 f.;  $\alpha$ -(Pya-Pya)-Dichinolyl- $\alpha$ -monosulfosäure und Derivate ( $\alpha$ -Monooxydichinolyl) 966 ff.; (Pya-Pya)-Dichinolyl- $\alpha$ -disulfosäure [(Pya-Pya)-Dichinolyldi-o-sulfosäure] und Derivate ( $\alpha$ -Dioxydichinolyl) 968 ff.; (Pya-Pya)-Dichinolyl- $\beta$ -disulfosäure [(Pya-Pya)-Dichinolyldi-p-sulfosäure] und Derivate ( $\beta$ -Dioxydichinolyl) 970; rationelle Darstellung des (Pya-Pya)-Dichinolyls 970 f.; Tetrahydrochinolin und Tetrahydrochinolin-Dichinolyl 971.

**Weidel (H.) und Goldschmiedt (G.), 77:** ungarischer Säuerling 1386.

**Weidel (H.) und Gruber (M.), 77:** Triamidphenol gegen Brom: Bromdichromazin, Bromdichroinsäure 555; Hexabromacetone 557; Tribromacetamid 684.

- Weidel (H.) und Hazura (K.), **83**: syrupöse Säure aus Cinchonin (neben Cinchoninsäure), Nitrooxychinolin 1349; chlorwasserstoffsaures Pyridin-Platinchlorid und chlorwasserstoffsaures  $\beta$ -Aethylpyridin-Platinchlorid, Cinchonin 1350.
- 84**: Untersuchung von Tetrahydrocinchoninsäure 1281 ff.; Methyltetrahydrocinchoninsäure 1281; Homohydrocinchoninsäure 1282; Lepidinsulfosäure 1283.
- Weidel (H.) und Herzig (J.), **80**: Lutidin 1127.
- 85**: Untersuchung der Isocinchomeronsäure ( $\alpha\beta'$ - oder  $\beta\beta'$ -Pyridindicarbonsäure) 1421.
- Weidel (H.) und Pick (B.), **84**: Abscheidung von  $\alpha$ -Methyläthylpyridin bei der Gewinnung von Collidin aus Thieröl 650 f.
- 85**: Verbindungen aus dem animalischen Theer (Collidin) 830.
- Weidel (H.) und Russo (M.), **83**: Umwandlung von  $\gamma$ -Dipyridyl in Isonicotin 672, 676;  $\gamma$ -Dipyridyl, Salze desselben 673 bis 675;  $\gamma$ -Dipyridyl gegen Jodmethyl 675; Isonicotinsäure aus  $\gamma$ -Dipyridyl 675 f.; Isonicotin und Salze 676; Oxydation des Isonicotins, Dipyridin 677.
- Weidel (H.) und Schmidt (M. v.), **77**: Schwefel in organischen Substanzen 1049.
- 79**: Oxydation des Chinins mit Salpetersäure 802 f.; Cinchomeronsäure, Cinchonsäure, Chinolsäure 803.
- Weidel (H.) und Strache (H.), **86**: Constitution des  $\alpha$ -Dichinolins = (Py $\alpha$ -Py $\alpha$ )-Dichinoly 960 bis 964: Eintheilung der verschiedenen, vom Chinolin sich ableitenden Verbindungen C<sub>15</sub>H<sub>12</sub>N<sub>2</sub> in Dichinoline, Dichinolye und Dichinolyline 960 f.; Oxydation des (Py $\alpha$ -Py $\alpha$ )-Dichinolyls: Kyklothraustinsäure und Derivate 961 f.;  $\alpha$ -Oxyisocinchomeronsäure und Derivate 962 f.; neue Oxypyridin-carbonsäure (=  $\alpha$ -Oxynicotinsäure 963; Constitution dieser Verbindungen 964.
- Weidmann, siehe Löwig.
- Weidmann (G.), **86**: elastische und thermische Nachwirkung verschiedener Glassorten 186.
- Weigelin, siehe Merck.
- Weigelin und Dragendorff, **78**: Sabadillin 905.
- Weigelin (F.), **85**: Wirkung des Aseptols (o-Phenolsulfosäure) 1867.
- Weigelt, **77**: amerikanische und deutsche Reben 1181.
- Weigelt (C.), **79**: Most und Wein 1138 f.
- 81**: Wasserstoff- und Kohlensäureapparat 1235; Aetherextractionsapparat 1236; Asbestpappe 1237.
- 82**: Aschebestimmung im Mehl 1327.
- 83**: Lothringer Weine vom Jahre 1881 1739.
- 84**: Aldehyd im Weine 1663.
- 85**: Extractbestimmung in Weinen 1974.
- Weigelt (C.) und Schwab (L.), **83**: Analysen von Elsässer Weinen 1628.
- Weigert (L.), **79**: freie Essigsäure im Weine 1074.
- 84**: Bestimmung des technischen Werthes von weinsauerm Kalk 1625 f.; Apparat zur fractionirten Destillation 1688.
- Weigmann (H.), **85**: Vorkommen von Spiralgefäßen in der Cacaobohne 1984.
- 86**: Pfefferuntersuchung 1988; Unterschiede von Weinessig und Essigsprit 2137 f.
- Weil (F.), **77**: Petroleum aus Egypten 1218.
- 78**: Titrirung des Kupfers 1065.
- 81**: Verkupferung von Eisen und Stahl 1247.
- 82**: Verkupfern von Eisen 1379.
- 84**: Analyse von Antimonlegierungen aus Blei, Zinn und Antimon 1584.
- 86**: Bestimmung des Schwefels in Sulfiden 1911; volumetrische Bestimmung des Zinkstaubes 1939.
- Weil (H.), **86**: Untersuchung von Diacetonamin 711 bis 714: Darstellung von Dioxytrimethylpyrrolin (Amidotrimethylbutyllactinsäureanhydrid) und Amidotrimethylbutyllactinsäure 712; Anhydrodioxytrimethylpyrrolin, Reduction desselben zu Oxytrimethylpyrrolin 713; Reduction des Oxytrimethylpyrrolidins zu Trimethylpyrrolidin 714.
- Weil (M. F.), **82**: volumetrische Bestimmung von Kupfer, Eisen und Antimon 1299.
- Weiller (L.), **84**: elektrischer Leitungswiderstand von Metallen und

- Legierungen** 248 f.; Siliciumbronze 1715.
- Wein (E.), 79:** Phosphorsäure in Superphosphaten 1126.
- 80:** Wachsthum der gelben Lupine 1054 f.; Düngung mit Dicalciumphosphat 1336.
- Wein (E.), Rösch (L.) und Lehmann (J.), 79:** Phosphorsäure in Superphosphaten 1125 f.
- 80:** Phosphorsäurebestimmung 1164.
- Weinberg (A.), siehe Friedländer (P.).**
- Weinberg (E.), siehe Jacobsen (O.).**
- Weinberg (R.), 78:** Monobrom- $\alpha$ -xyloisulfosäure 854.
- Weingärtner, 84:** Wasserstoff-superoxyd als Conservierungsmittel für Bier 1802.
- Weingärtner (E.), 86:** Isorcine (Kresorcine) 1277; siehe Nölting (E.).
- Weinhold (A.), 79:** Quecksilberdestillirapparat 1087; siehe Weber (L.).
- Weinreb (C.), 85:** Herstellung des Kryolithglases 2107 f.; siehe Lauber (C.).
- Weinreb (C.) und Bondi (S.), 85:** Titration des Phenols mittelst Brom 1957.
- Weinstein (B.), 86:** Capillarität 103.
- Weinstein (L.), 85:** Untersuchung der isomeren Hydropiperinsäuren 1547 bis 1549; Dibrompiperhydronsäure 1547; Piperoketonsäure und deren Aethyläther, Piperhydrolyacton, Oxy-piperhydronsäure 1548;  $\beta$ -Hydropiperinsäure, Brom- $\beta$ -hydropiperinsäure, Brompiperopropionsäure 1549.
- Weisbach (A.), 77:** Argyropyrit (Silberkies) 1263; Miargyrit (Kenn-gottit) 1266; fahles Rothgültigerz, Hypargyronblende (Hypargyrit) 1267; Kobaltspath (Sphärokobaltit) 1290; Bismuthosphärit, Arsenwismuth 1291; Uranocircit, Zeunerit, Uranospinit, Walpurgin 1303.
- 78:** Miargyrit 1209; Kakochlor, Lithiophorit 1218; Bildung von Rhomboëdern eines magnesiumhaltigen Kalkspaths 1220.
- 79:** Apophyllitvorkommen 1229.
- 80:** Miargyrit und Hypargyrit 1406; Kakochlor, Lepidophärit 1416; Bismutit 1421; Pucherit 1429; Leucit 1444 f.; Uranotil 1474.
- 82:** Apatit von Ehrenfriedersdorf 1543; Kieselwismuth von Schneeberg 1552; Krystallformen am Bronzit 1557.
- 83:** Vorkommen eines Kupfer-sulfates (Herrngrundit) im Heinrich-schacht bei Zwickau 1856.
- 84:** Untersuchung von Brucit 1920; Analyse von Herderit 1944; Krystallform von Whewellit 1995.
- 86:** Untersuchung des Argyrodits 2233; Vorkommen und Analysen von Arimit und Herrngrundit 2253; Vorkommen und Eigenschaften von Whewellit 2294 f.
- Weisbach (A.), Erich (A.) und Iwaya, 82:** Winklerit von Spanien 1529.
- Weisbach (A.), Guiterman und Schlapp, 82:** Analyse eines dem Keramohalit ähnlichen Minerals von Schwarzenberg 1538.
- Weisbach (A.) und Schulze (H.), 82:** Uranopilit von Johannegeorgens-tadt 1539.
- Weisbach (A.) und Winkler (Cl.), 82:** Analyse von Domeykite 1522; Zusammensetzung von Lautit (Julianit) 1525; Analyse von Bismuthosphärit 1536.
- Weise (G.), 78:** Bedeutung der Silicate des Muschelkalks für die Bodenbildung 1142.
- Weißflog, siehe Loire.**
- Weiske (H.), 77:** Geweihe, Krebspanzer und -steine 1015.
- 79:** Verhalten der Rohfaser im Verdauungsapparate der Gänse 954; Hippursäure 979 f.
- 80:** Hippursäure- und Benzoë-säureausscheidung 1116.
- 83:** Mastung der Herbivoren, Einfluß des Futters auf die Qualität der Milch 1437; Glutinalösungen gegen Gerbsäure 1443; Magnesiumammoniumphosphat in Menschenharn 1474; Ziegenbutter 1492; Analysen von Fischschuppen und Fischknochen 1493; Knochenanalysen 1639.
- 84:** Untersuchung von Lupinenarten auf ihren Gehalt an Bitterstoff 1647; Futterwerth von Cellulose 1762; Vegetationsversuche mit Lupinen 1771.
- 86:** Trennung von Eiweiß und Pepton 2002; Stickstoffbestimmung in Harn und Milch 2004.

- Weiske (H.), Kennepohl (G.) und Schulze (B.), **81**: Asparagin in der thierischen Ernährung 1031.
- Weiske (H.) und Mehli (Th.), **78**: Verhalten der Rohfaser im Gänsemagen 987.
- Weiske (H.), Schrodtt (M.) und Dangel (St. v.), **79**: Bedeutung des Asparagins für die thierische Ernährung 951.
- Weiske (H.) und Schulze (B.), **84**: Verhalten der Amidobernsteinsäure und des Bernsteinsäureamids im Organismus 1476 f.
- Weiske (H.), Schulze (B.) und Flechsig (E.), **86**: Wirkung der Cellulose bei der Ernährung der Herbivoren 1834.
- Weiskopf, **84**: Herstellung von marmor- und japisähnlichem Glas 1753.
- Weiskopf (P.), **77**: irisirende Gläser 1169.
- Weifs (B.), siehe Simand (F.).
- Weifs (E.), **77**: Bleiglanz 1263; Gyps 1295.
- 80**: Zerstörung der Dampfkessel 1358; Diamant 1401; Subdelessit 1452; Steinmark 1473; Pseudomorphose 1485.
- 83**: dendritisches Amalgam der Grube Friedrichslegen 1828 f.
- 84**: Krystallform von Bleiglanz 1907; Untersuchung von Haarkies 1908.
- Weifs (G.), **85**: Untersuchung von technischem Jod 1902 f.; Trennungsmethode von Chlor, Brom, Jod 1903; siehe Döbner (O.).
- Weifs (L.), **86**: Synthese der Isocinchomeronsäure ( $\alpha$ - $\beta$ -Pyridindicarbonsäure) aus Lutidindicarbonsäureäther 1390 f.; Lutidindimonocarbonsäure 1390;  $\alpha$ - $\alpha'$ - $\beta$ -Pyridintricarbonsäure 1391; siehe Hantsch (A.).
- Weifs (R.), siehe Claus (A.).
- Weith, **77**: Salicin im Harn 1004.
- Weith (W.), **77**: Carbotriphenyltri-amin 346; Harnstoff und Monophenylharnstoff gegen Phosphorchlorür 347; Äpfelsäure gegen Schwefelsäure 710.
- 79**: Carbotriphenyltri-amin 450 f.; siehe Merz (V.).
- Weitz, siehe Meyer (V.).
- Weitz (L.), **84**: Darstellung des Thiophens, von Thiophenderivaten 914 ff.: Mono-, Di-, Tetrachlorthiophen, Thiophenmonosulfosäure 914; Thiophen-sulfochlorid, Thiophensulfoamid, Thiophensulfonilid, Thiophenmonosulfinsäure 915.
- Welborn, **80**: Alaun in Brod und Mehl 1221.
- Welch (J. C.), **86**: Analyse von Rotheisenerzen 2236 f.; Analysen von Brauneisenerz und Göthit 2243; Zusammensetzung von Embolit (Chlorbromsilber) 2244 f.
- Welch (J. G.), **85**: Analyse von Bohnerz 2275.
- Welde (H.), **77**: Sulfodicarbonsäuren 670.
- Weldon (W.), **77**: Verwerthung von Schwefelwasserstoff in der Sodaindustrie 1146.
- 78**: Bildung von Cyanverbindungen bei der Sodaschmelze 1129; Fabrikation von Schwefelnatrium 1132.
- 80**: Atomvolumen und Bildungswärmen 108; Manganbestimmung 1183; Weldon-Schlamm, Zusammensetzung 1276.
- 82**: Darstellung von Chlor 1391; Verwerthung von Rückständen aus der Schwefelsäurefabrikation 1393.
- 83**: neuere chemisch-technische Processe 1662; Methoden der Aluminiumgewinnung 1664; technische Darstellungsweise von Natriumsulfid 1688 f.; Sodaindustrie 1694.
- 84**: Darstellung von Aluminium 1703, von Kaliumchlorat 1731; Soda-fabrikation 1732.
- 85**: Zersetzungsapparat zur Gewinnung von Chlor aus Chlormagnesium 2054; Gewinnung von Chlor 2074; Schwefelgewinnung aus Soda-rückständen 2074 f.
- Weldon (W.) und Strype (W.), **82**: Darstellung von Chlor 1391.
- Wellcome (H. S.), **79**: Bromproduction 1104.
- Weller (A.), **82**: höheres Oxyd des Titans aus Titansäure 351; Bestimmung des Antimons, Trennung von Zinn 1279; Titanbestimmung mittelst Wasserstoffsuperoxyd 1292 f.
- 83**: Mononitromonoacetylmono-äthylanilin 703 f.; Mononitromono-äthylanilin 704; Phenacyläthylanilid 982 f.
- 86**: Nachweis von Brom neben Alkaloid-Bromhydraten 1909; Ver-



- halten einiger Alkaloide gegen Brom- und Chlorwasser 1975.
- Weller (W.), siehe Claus (A.).
- Wellington, **85**: Phenylgalactosazon 1744.
- Wellington (Ch.) und Tollens (B.), **85**: Darstellung von sauren Sulfaten einiger aromatischer Amine (Anilin und Toluidine) 843 f.; Verhalten des Formaldehyds gegen aromatische Basen 1291 f.; Anhydroformaldehyd-Phenylhydrazin, Anhydroformaldehyd-p-Toluidin und -o-Toluidin, Anhydroformaldehyd-Anilin, Formaldehyd gegen  $\alpha$ - und  $\beta$ -Naphthylamin 1292.
- Wells (G. J.), siehe Crofs (J.).
- Wells (H. L.), **78**: Analyse des Eosphorits, des Lithiophilits, des Reddingits 1233.
- 79**: Reddingit, Lithiophilit, Eosphorit 1201; Chloritanalyse 1223.
- Wells (H. L.) und Penfield (S. L.), **86**: neues Mineral: Gerhardtit 2247.
- Wells (J. S.), **85**: Bestimmung der Phosphorsäure in Düngstoffen 1916.
- Welsbach (C. Auer von), **83**: Trennung der Gadoliniterden (Yttrium, Terbium, Ytterbium, Scandium) 357 bis 361.
- 84**: spectral-analytische Untersuchung der seltenen Erden des Gadolinitis 391 f.; „Oxydverfahren“ zur Trennung der Cerit- und Ytteriterden 392 f.; Abscheidung des Ceriums 393 f.; Trennung des Lanthans und Didyms 395.
- 85**: Trennung durch fractionirte Krystallisation der Lanthan- und Didymammoniumdoppelnitrate 477 f.; Praseo- und Neodidym 480.
- Welsh (W.), siehe Pechmann (H. v.).
- Weltner (A.), **85**: Einwirkung des Chlor- und Bromacetons, des Acetophenonbromids und der Phenylbromessigsäure auf ein Gemenge von Natriumäthylat und Acetessigäther 1415 bis 1418: Acetonacetessigäther, Dehydracetsäure, Acetophenonacetessigäther, Benzoylpropionsäure, Oxy-lacton  $C_{11}H_{14}O_3$  1415; Diketon  $C_{16}H_{14}O_2$ , Phenylmethylfurfurancarbon-säure, Phenylacetbernsteinsäureäther, Phenylacetbernsteinsäure, zwei isomere saure Phenylacetbernsteinsäure-Aethyläther 1416; Phenyllävulin-säure, Phenylvalerolacton, Oxy-säure  $C_{11}H_{14}O_3$ , Phenylvalerolactocarbon-säure, Oxy-säure  $C_{12}H_{14}O_3$  1417 f.; siehe Zincke (Th.).
- Welton (H.), **85**: Pipette für Brom und Säuren 1996.
- Welz (E.), **82**: Neuerungen in der Bierbrauerei 1449.
- Wende (H.), **86**: Kreosolcarbonsäure aus Buchenholztheerkreosot 1445 f.
- Wendel, **80**: Analyse von antikem Eisen 1258.
- Wenghöffer (L.) **77**: Sulfurylchlorid und Aethylschwefelsäurechlorid gegen Anilin und Derivate 447.
- Wense (W.), **86**: Verhalten des Guanidins gegen Diketone: Phenanthrenchinondiguanyl 551 f.; Benzilmono- und -diguanyl; Darstellung von reinem Phenanthren 552; siehe Kleemann (S.).
- Wentzel (J.), siehe Mach (E.).
- Wenz (J.), **86**: Verhalten der Eiweißstoffe bei der Darmverdauung 1870 f.
- Wenzel, siehe Przibram.
- Wenzell (W. T.), **81**: basisch-bernst. Eisenoxyd 708.
- 83**: Darstellung der Phosphorsäure und Apparat zur Darstellung derselben 313.
- Wenzlik (C.), siehe Claus (A.).
- Weppen und Lüders, **86**: Prüfung des Jodkaliums 1911.
- Werigo und Melikoff, **77**: Dichlorpropionsäure, Chloracrylsäure, Glycerinsäurechloräthyläther 699.
- 78**: Dichlorpropionsäure verschiedenen Ursprungs 693.
- 79**: Monochlormilchsäure und Dichlorpropionsäure 608.
- Werigo (A.), **81**: Oxydation des Glycerins 506.
- 82**: Oxydation des Glycerins 648.
- Werner, siehe Berthelot.
- Werner (B.), **86**:  $\alpha$ -Phenyl- $\beta$ -carboxäthyl- $\gamma$ -oxy-o-toluchinolin ( $\alpha$ -Phenyl- $\gamma$ -oxy-o-toluchinolin- $\beta$ -monocarbon-säure-Aethyläther) Darstellung, Eigenschaften 906.
- Werner (E.), **84**: Schmelzwärme, spezifische Wärme und Neutralisationswärme gebromter Phenole 224 f.
- 85**: Untersuchung gebromter Phenole auf ihre Schmelzwärme, spec. Wärme, Neutralisationswärme 165; thermochemische Untersuchung des Tribromphenolbroms 1234 f.
- 83**: aromatische Bromsubstitutionsderivate: Tribrom-*m*-kresol:

- Tribrom-m-oxybenzoesäure, Dibrom-salicylaldehyd 633; Dibrom-p-oxybenzaldehyd 633 f.; Dibrom-o-kresol, Dibrom-p-kresol 634; thermochemische Daten über aromatische Bromsubstitutionsproducte 634 f.; siehe Gal (H.).
- Werner (E. A.), **86**: Entdeckung und Bestimmung des Thalliums bei Gegenwart von Blei 1942 f.
- Werner (G.), **81**: Gold 1347; Eindrücke auf Flussspathkrystallen 1365.
- Werner (H.), **77**: Aräometer 46; Rhabarber (*Rheum palmatum*) 942; Verfälschung von Honig 1196.
- 78**: Gehalt des käuflichen Chloroforms an Amylalkohol 412.
- 83**: Beeinträchtigung der Rhodan-eisenreaction durch Salze der alkalischen Erden, durch Chlormagnesium und Chloralkalien 1565.
- Wernich, siehe Mehlhausen.
- Wernich (A.), **80**: Absterben der Bacterien in faulenden Flüssigkeiten 1132.
- Wernicke (A.), **82**: Gewinnung von krystallisirbarem Zucker aus Rohzucker, Zuckersäften aus Melasse 1440.
- 84**: Melasseentzuckerungsverfahren 1790 f.
- Wernicke (W.), **82**: Neuerungen an Spectralapparaten 1350.
- 85**: über die Phasenänderung des Lichtes 336 f.
- Werth, siehe Osmond.
- Werwecke (van), **77**: Pseudophit 1319.
- Werweke (L. van), **79**: Limburgit-vorkommen 1254.
- 80**: Rutil 1412; Ittnerit und Skolopit 1446 f.; Phonolith 1501; glasartige Laven 1505.
- 83**: norwegische Feldspathe, Di-allag aus dem Radauthale, Harz 1890; Regenerirung von Kalium-queckailberjodidlösung, Trennung von Gesteinspartikeln 1917; Analysen von Augitgranit und Augitgneis, aus den Vogesen 1924 f.
- 85**: Untersuchung der Ottrelith-schiefer, Quarzbreccie 2308; siehe Götz (J.).
- Wesel (G.), siehe Hinkelfufs (E.).
- Weselsky (P.), **77**: Bleiglanz 1263.
- 84**: Darstellung von essigsurem Uranylstrontium 420, von essigsurem Uranylcalcium 421; Stickstoffbestimmungsmethode für Nitroverbindungen 1749.
- Weselsky (P.) und Benedikt (R.), **78**: Nitrophenole gegen schmelzendes Aetzkali 498 f.
- 79**: Diazoverbindungen gegen Phenole 452 f.; Azophenole 466.
- 80**: Resorcinfarbstoffe 1395.
- 81**: Hydrochinonmonomethyl- und -monoäthyläther gegen Salpetersäure 553; Mononitroresorcinmonoäthyläther 554, Pyrogallusäther gegen salpetrige Säure 558 f.; Resorcinfarbstoffe und -derivate 1326 ff.
- 82**: Mononitroresorcin 679; Mononitroresorcin 679 f.; Mononitroacetyleneugenol, Monoamidochlorhydro-eugenol, Mononitrovanillinssäure, Mononitropyrogallol 680.
- 84**: Untersuchung farbiger Derivate der Resorcinäther, Diazo-resorcin, Diazo-resorufin 1882 ff.
- 85**: Resorcinfarbstoffe (farbige Derivate der Resorcinäther) 1255.
- Wesendonck (E.), **81**: Spectra der Kohlenstoffverbindungen (der Kohlen-säure) 122.
- Wesendonck (K.), **81**: Spectrum der Kohlen-säure 123.
- 82**: Spectra von Kohlenstoffverbindungen 185.
- 84**: spectroscopische Untersuchungen von Vacuumröhren mit Fluorsilicium und Siliciumwasserstoff 293; Absorptionerscheinungen an Aesculinlösungen 297 f.
- 85**: Fluorescenz des Naphtalin-roths (Magdalaroths) 335.
- West, **81**: Bestimmung des Kalis im Sulfat 1180; siehe Zuckschwert.
- West (S.), siehe Russel (W. J.).
- Westenberger (B.), **83**: Aldoxime: Oenanthaldoxim 634; Anisaldoxim, Cuminaldoxim, Terephthaldoxim 635; Isonitrosoisopropylketon aus Isopropylacetessigäther 978; siehe Treadwell (F. P.).
- Westerlund (A. F.), **85**: Herstellung einer schwer verbrennlichen Kohle für elektrische Lampen, sowie für Conservirungs- und Desinfectionszwecke 2171.
- Westermaier (M.), **85**: physiologische Bedeutung des Gerbstoffs in Pflanzen, Bildung der Eiweißkörper 1789.
- West-Knights (J.), **80**: Phosphorsäure im Trinkwasser 1162 f.; Fett-

- säuren im Butterfett 1232; Alaun im Brot 1357 f.; Phosphorsäuregehalt in Wässern 1508.
- 82:** Bestimmung der Phosphorsäure im Trinkwasser 1261.
- 83:** Apparat für continuirliche Extraction 1657.
- Westmann (G. M.), **85:** Regenerativofen zum Reduciren von Zink- und Eisenerzen 2019.
- Westmoreland (J. W.), **80:** Kohlenstoff im Stahl 1170.
- 86:** jodometrische Bestimmung des Kupfers in Erzen 1944 f.
- Weston, **77:** dynamoelektrische Maschine 1128.
- Weston (E.), **80:** Nickelbäder zur Galvanoplastik 177; elektrolytische Abscheidung des Nickels 1262.
- Westphal (G.), **77:** Aräometer 47.
- Wethered (E.), **83:** Analysen der die englischen Kohlen begleitenden Gesteine (Sandsteine und Thonschiefer) 1937 f.
- Wetzig (B.), **79:** Jodindustrie 1104 f.
- Wetzke (Th.), siehe Stünkel (C.); siehe Wagner (P.).
- Weyl (J.), **82:** Nachweis von Kreatinin 1305.
- Weyl (Th.), **77:** Eiweißkörper (Vitelin, Myosin, Serumglobulin, Serumcasein, Globulin, Paraglobulin) 910; Indol und Phenol aus Fibrin, Leberamyloid 1023.
- 78:** Kreatinreaction 1094.
- 79:** Tyrosin, Spaltung 720; Tyrosinfäulniß, Parakresol 1013.
- 81:** Farbstoffe 1325.
- 82:** Darstellung von metallischem Kupfer zur Elementaranalyse 1303.
- 83:** Apparat zur Beobachtung und Messung der Sauerstoffausscheidung grüner Gewächse 1387, 1659; elektrisches Organ von Torpedo 1494 f.; siehe Frenzel (J.).
- Weyl (Th.) und Anrep (B. von), **80:** Oxyhämoglobin, Kohlenoxydhämoglobin, Methämoglobin 1097 f.; Hippursäure- und Benzoësäureausscheidung 1115 f.; Kohlenoxyd im Blute 1171 f.
- Weyl (Th.) und Bischoff, **80:** Kleber 1042.
- Weyl (Th.) und Goth (A.), **81:** Absorption von Sauerstoff durch Pyrogallol und Phloroglucin 1163.
- Weyl (Th.) und Zeitler (H.), **81:** Sauerstoff und organische Substanz in Wässern 1441.
- 82:** saure Reaction des thätigen Muskels, Rolle der Phosphorsäure beim Muskeltetanus 1198 f.
- Weyl (Th.) und Zeitler (X.), **80:** Pyrogallol gegen Sauerstoff 659.
- Weyl (W.), **78:** Bestimmung des Glycerins im Bier 1159; Werthbestimmung von Brennstoffen 1163 f.; Verbrennungsproceß bei technischen Operationen 1164.
- Weyr (F.), **86:** Umwandlung von Calciumtri- in Calciummonosaccharat 2129.
- Wharton (J.), **77:** Nickel und Kobalt 1117.
- Wheeler und Ludeking, **85:** Erzeugung der Jodidbeschläge mittelst Jodtinctur 1878.
- Wheeler (A. W.), siehe Nichols (E. L.).
- Wheeler (C. G.), **77:** amerikanische Mineralwasser 1388.
- Wheeler (G.), **83:** Entbindung von Wasserstoff 73.
- Wheeler (J.), **82:** Anwendung jodhaltiger Algen (Laminarien) als Arzneimittel 1164.
- Whetstone (J.), **78:** spec. Gewicht des amylnachwefelsauren Baryums 26.
- Whewell (G.), **79:** Phosphorkrystalle 223 f.
- Whiffen (W. G.), **81:** Ultrachinin 945.
- Whipple (G. W.), **86:** Prüfung von Thermometern beim Gefrierpunkte des Quecksilbers 178.
- White, siehe Fleming-White (J.).
- White, **86:** Düngeranalyse 1997.
- White (F.), **81:** substituirte Benzaldehyde 602.
- White (J. F.), **81:** Asbestpfropfen 1237; siehe Jackson (C. L.).
- White (J. H.), siehe Jackson (C. L.).
- White (T. P.), **81:** Wirkung des Zinns 1063.
- 86:** Wirkung des Zinns auf den thierischen Organismus 1864.
- Whitelaw (T. N.), **82:** Ammoniak gegen Fette 1437.
- 86:** Einwirkung von Salzlösungen auf Seifen, Viscosität von Seifenlösungen 2157.
- Whitfield (E.), **86:** indirecte Bestimmung der Halogene 1910; Analyse eines Apatits 2258 f.; Analysen

- eines Topases und seiner Zersetzungsproducte (Damourit) 2261.
- Whitfield (J. E.), **86**: Analysen vulcanischer Sande 2312 f.
- Whitney (H. C.), **80**: Apio 1079 f.
- Whittel, **85**: Absitzen von Niederschlägen 1879.
- Wibel (F.), **82**: Verarbeitung der Staßfurter Kalisalze 1401.
- 83**: Endosmose und Exosmose 105 f.
- Wiborgh (J.), **84**: Analyse von Tephroit 1954, von Ganomalit 1991.
- 86**: colorimetrische Schwefelprobe für Eisen 1913.
- Wichelhaus, **78**: Zuckerraffination 1149.
- Wichelhaus (H.), **77**: Chinhydron 646.
- 79**: Chinhydron 583 f.
- 81**: Farbstoff aus Dimethylanilin und Chloranil 1334.
- 83**: Untersuchung der Farbbase aus Dimethylanilin und Chloranil, Farbbase des Methylvioletts 1802.
- 85**: krystallographische Bestimmung der Krystallbase *Mia* und *Mib* aus Methylviolett, der Farbbase aus Krystallviolett *KI* und aus Methylviolett *Mic*, sowie der Chloride *MII* und *KII* aus Methylviolett und Krystallviolett 2221.
- 86**: Trennung der Methylviolettbasen mittelst Salzsäure 889 ff.; Trimethyldiamidobenzophenon, Penta-methyltriamidotriphenylcarbinol 890; Hexamethyltriamidotriphenylcarbinol 890 f.; Zersetzung von Pararosanilin und Rosanilin mittelst Salzsäure: Diamidobenzophenon 891; siehe Salzmann (M.).
- Wichmann (A.), **77**: Sericitschiefer 1357.
- 80**: Berzeliit 1430; Turmalin 1439.
- 82**: Topographie des Viti-Archipels 1597.
- 83**: Untersuchung von Fulguriten 1922.
- 84**: Analyse von Labradorfels 2013, von Glimmerporphyrit 2014.
- 85**: mikroskopisch-chemische Untersuchung von Gesteinschliffen 2262.
- 86**: Schmelzbarkeit des kohlen-sauren Kalkes 2302; Analyse eines Thonschiefers 2305; Analyse eines Diabases 2308.
- Wichmann (H.), **84**: Vorkommen von Korund in Hartgraphit 1912.
- 86**: mineralogische Analyse eines Gletschersandes 2313.
- Wick, **82**: Krystallform von Nonodilacton 874.
- 85**: Krystallform von o-Xylylen-tetrachlorid 742.
- Wickel (E.), **84**: Krystallform von m-Nitrobenzmesidin, Anishydroxamsäure-Aethyläther, o-Dinitrobenzol, Benzophenon, Mononitromesitylen, Aethylacetanilid, saurem m-sulfobenzoesaurem Natrium 463 f.
- 85**: Krystallform des o-Dinitrobenzols 771; Krystallform und optisches Verhalten von Mononitromesitylen 774; Krystallform von Aethylacetanilid 866, des Anishydroxamsäure-Aethyläthers 869 f., des m-Nitrobenzmesidins 901, des sauren m-sulfobenzoes. Natriums 1597 f., des Benzophenons 1642.
- Wickemann (M.), **77**: Hämoglobin des Blutes 1092.
- Wickersheimer, **80**: Conservirung von Pflanzen und Thieren 1048.
- 82**: Graphit von Camurac 1520.
- Wideman (C.), **81**: Baumwollstrauch, Baumwollsaamenöl 1018.
- Widman (O.), **77**: Chlornaphtalinverbindungen 405.
- 79**: Chlor gegen Naphtalinderivate 390 f.;  $\gamma$ -Trichlornaphtalin 391; Chlornaphtalinsulfosäuren 765 f.
- 80**: m-Toluidin aus m-Nitrobenzaldehyd 542 f.
- 81**: m-Toluidin 465 f.; Cuminoïn, Cuminil 607.
- 82**: Dichlornaphtaline 447 f.; Indol aus Cuminol, Mononitrocuminol, Mononitrocuminsäure, Nitrooxyisopropylbenzoesäure 618; Azooxyisopropylbenzoesäure, Nitroisopropylbenzoesäure, Pikrinsäureindol 619; Mononitrocuminol, Mononitrocumylenchlorid, Cymidin 704; Thymol aus Cuminol 704 f.; Nitrosothymol, Constitution des Thymols 705.
- 83**: Salze der Mononitrooxypropylbenzoesäure 1205 f.; Derivate der Mononitrooxypropylbenzoesäure: Mononitroacetyloxypropylbenzoesäure, Salze der Mononitropropenylbenzoesäure 1206; Monoamidooxypropylbenzoesäure 1207; Monoamidopropenylbenzoesäure 1207 f.; Acetamidopropenylbenzoesäure 1208; Methylcumazonsäure 1208 f.; Acetamido-

cuminsäure 1209; Aethylcumazon-säure, Phenylcumazonsäure 1210.

**84:** krystallisirtes ammoniakalisches Silberphosphat 449 f.; Untersuchung von Amidooxypropylbenzoesäure und Amidopropenylbenzoesäure 1269 f.; Oxypropyloxybenzoesäure 1269; Methylcinnolincarbonsäure 1270; Einwirkung von Chlorameisensäure-äther auf Amidooxypropylbenzoesäure 1270 ff.; Oxypropylcarboxylphenylurethan, Dioxypropyldicarboxyldiphenylallophanensäureäther, Dioxypropyldicarboxyldiphenylharnstoff 1271; Darstellung von Nitrocumenylacrylsäurederivaten 1287 f.; Diacethydrocuminol, Hydrocuminol, Cumenylnitroacrylsäure, o-Nitrocumenylacrylsäure, o-Amidocumenylacrylsäure, Acetamidocumenylacrylsäure, Cumostyryl, Hydrocumostyryl, o-Oxycumenylacrylsäure, Diisopropylindigo 1287; m-Nitrocumenylacrylsäure, m-Amidocumenylacrylsäure, m-Amidocumenylpropionsäure, Acetamidocumenylpropionsäure 1288.

**85:** Nachweis der Normalpropylgruppe im Thymol (Darstellung von Cymidinsulfosäure aus Diazocymolsulfosäure) 1274.

**86:** Identität von Glycoluril mit Acetylenharnstoff 551; Regel für die Umlagerungen der Propyl- resp. Isopropylgruppe in den Cymol- und Cuminverbindungen 601 ff., 605; Darstellung von Propylhydrocarboxyryl aus Cumenylacrylsäure (Isopropylzimmtsäure) auf drei verschiedenen Wegen 602 ff.; Cumenylpropionsäure (Propylhydrozimmtsäure) 603; Propylgruppe des Thymols 1257; Darstellung der Cumenylacrylsäure 1502; o-Mononitrocumenylacrylsäure (o-Mononitro-p-isopropylzimmtsäure), o-Nitro-p-propylzimmtsäure 1502 f.; o-Monooxidocumenylacrylsäure, Cumostyryl 1503;  $\alpha$ -Monochlorcumochinol 1503 f.; Cumochinolin, o-Oxycumenylacrylsäure 1504; Oxydationsprodukte der o-Mononitrocumenylacrylsäure: o-Mononitrocuminsäure 1504 f.; o-Mononitro-p-oxypropylbenzoesäure und Derivate 1505 f.; Oxydation der „Cumenylnitroacrylsäure“ (o-Mononitro-p-propylzimmtsäure): o-Mononitrocuminsäure und o-Mononitro-p-propylbenzoesäure 1506 f.; Darstellung und Salze der

m-Mononitrocumenylacrylsäure 1507 f.; m-Monooxidocumenylacrylsäure und Derivate 1508; m-Oxycumenylacrylsäure 1508 f.; m-Monooxidocumenylpropionsäure 1509; siehe Atterberg (A.).

Widman (O.) und Bladin (J. A.), **86:** Oxydation von Cymol mit alkalischer Kaliumpermanganatlösung: Oxyisopropylbenzoesäure 600; Verhalten des Cymols gegen Salpetersäure: p-Tolylmethylketon 600 f.

Widmann (E.), **77:** Nitrobenzoesäuren 740.

**78:** isomere Nitro- und Amidobenzenzoesäuren und Chloranilbildung aus den letzteren 752 f.

Wiebe (H.), **77:** thermometrische Fundamentalversuche 91.

Wiebe (H. F.), **78:** die absolute Ausdehnung der starren Elemente als periodische Function des Atomgewichtes 69.

**79:** Zusammenhang zwischen Wärmemenge und Ausdehnungscoefficient, absolute Ausdehnung der flüssigen und starren Körper 96.

**80:** Zusammenhang zwischen dem Ausdehnungscoefficienten, der absoluten Siedetemperatur und der Anzahl der Atome 22; Wärmecapacität und Ausdehnung der festen Elemente 96.

**82:** Constanz des Fundamentalabstandes bei Thermometern 96.

**84:** Einfluss der Zusammensetzung des Glases auf die Depressionserscheinungen der Thermometer 158.

Wiebe (H. F.), Abbe und Schott, **85:** Einfluss der Zusammensetzung des Glases auf die Nachwirkungserscheinungen bei Thermometern 117 f.

Wiebecke (B.), **86:** Geschichte der Ptomaine 1754.

Wiechert (E.), **85:** Anwendung des Serpentin als Isolator 259.

Wiechmann (F. G.), **83:** mikroskopische Structuren von Meteoriten, Organismen (?) in den Meteoriten 1951.

Wiedemann (C.), **77:** Wirkung des Camphers 1010.

Wiedemann (E.), **77:** spezifische Wärme der Dämpfe 93.

**78:** Natur der Spectren 172 f.

**79:** Natur der Spectra 159.

**80:** thermisches und optisches Verhalten der Gase unter dem Ein-

flusse elektrischer Entladungen 164 f.; Dichroismus bei Platincyandoppelsalzen 186.

**82:** Pyknometer 34 f.; Volumveränderung und chemische Umlagerung wasserhaltiger Salze beim Erwärmen 37 f.; Cohäsion von Flüssigkeiten 68; Absorptionscoefficienten für Gase und Wasser 71 f.; Zusammenhang zwischen thermischen und optischen Eigenschaften flüssiger organischer Verbindungen 134; Molekularrefractionen geschwefelter Kohlensäureäther 172 f.

**83:** Volumänderung von Zinn, Schnellloth, Blei und Wismuth beim Schmelzen 50 f.; Reibungs- und Leitungswiderstand von Salzlösungen 95 f.; Molekularwärmen von Lösungen 123 f.; Dissociationswärme des Wasserstoffmoleküls 183 f.; elektrische Entladung in Gasen 195; Bestimmung des Ohm 210; Pyknometer 1653.

**84:** Ausdehnungscoefficienten von Salzen 64; Bestimmungsmethode der Ausdehnung fester Körper 185; Bestimmung der kritischen Temperatur aus den Capillaritätsconstanten 196; elektrische Entladung in Gasen 256; Ursache der Verbreiterung der Spectrallinien 295.

**86:** Spectrum des Wasserstoffes 304.

Wiedemann (E.) und Lüdeking (Ch.), **85:** Untersuchung der Wärmeentwicklung bei der Quellung und Lösung von Colloiden 113 f.

Wiedemann (E.) und Schulze (R.), **79:** Verhalten des Chloralhydrates bei der Diffusion 126.

Wiedemann (G.), **77:** Magnetismus chemischer Verbindungen 173.

**78:** Dissociation der gelösten Eisenoxysalze 126 f.

**79:** allotropische Modification des Kupfers 275.

**81:** Affinitätsbestimmungen 28; Ausbreitung der Bestandtheile von Elektrolyten 99.

**82:** Electricitätsirregung bei der Verdunstung 137.

**86:** Magnetismus tordirter Eisen- und Nickeldrähte 283 f.

Wiedemann (M.), **84:** Reduction von Brasilin, Darstellung von Brasinol 1401.

Wiederhold, siehe Hellwich.

Wiederhold (B.), **84:** Einwirkung von Aetzbaryt auf Lävulose, Darstellung von Lävonsäure 1404.

Wiegand (E.), **82:** Bestimmung von Titansäure neben Eisen 1291 f.; siehe Beilstein (F.).

Wiegert, **85:** Photomikrographie 2257.

Wieland (J.), **83:** Aethylorange als Indicator 1517; Empfindlichkeit und Schärfe des Uebergangs von Indicatoren 1517 f.

**84:** Untersuchung über elektrolitische Bestimmungen 1542 f.

Wieler (A.), **85:** Analysen der Jungholzregion, Methodik der Pflanzenanalysen, Analyse pflanzlicher Gewebe, Bestimmung von Eiweiß, Gummi, Traubenzucker, Saccharosen, Coniferin, Salpetersäure, Analyse der festen Jungholzmasse 1886.

Wien (W.), **86:** Beugung des Lichtes 300.

Wierss (F.), siehe Jacobsen (O.).

Wieser (H.), **80:** Pyroguajacin 645 f. Wiesinger, siehe Rissmüller.

Wiesinger und Vollbrecht (H.), **77:** Diazoimidobenzoesäure gegen schweflige Säure 494; Meta- und Parasulfobenzoesäure 817.

Wiesinger (F.), **84:** Einwirkung von Eisenchlorid auf o-Phenylendiamin 692 f.

Wiesinger (Fr.), **79:** Orthosulfobenzoesäure 745.

Wiesner, **82:** Verhalten des Uranyl-nitrates gegen Kaliumchromat 332.

Wiesner (J.), **78:** Phloroglucin als Reagens auf Holzstoff 1086.

**84:** Methode zur Unterscheidung von Bier- und Pilsbefe 1530 f.

**85:** Nachweis des Gummifermentes in Gummiarten, Wirkungen desselben 1869; diastatische Wirkung des Gummifermentes, Wirkung der Bacterien, Archroodextrin aus Gummi 1870; Verhalten des Gummifermentes beim Kochen, gegen Diastase, gegen Pepsin 1871; Nachweis des Gummifermentes in verschiedenen Gummiarten, Bildung des Gummifermentes im Protoplasma, Umsetzung der Cellulose in Gummi oder Schleim 1871; Einwirkung des Gummifermentes auf die diastatischen Fermente 1872.

**86:** Vergilben von Holzstoff enthaltenden Papieren 2175 f.

- Wiegand (A.), **84**: Entstehung und Fermentwirkung von Bakterien 1515 f.
- Wigg (Ch.), **83**: Reinigung der zur Fabrikation von Chlor aus regeneriertem Braunstein zu verwendenden Salzsäure 1683.
- 86**: Darstellung von Soda aus Natriumsulfat 2054.
- Wigg (Ch.) und Pratt (J. W.), **85**: Gewinnung von Soda und Chlor 2076.
- Wiggin (H.), **85**: Herstellung von Kobaltbronze 2047.
- Wigmann, siehe Franchimont (A. P. N.).
- Wigner (G. W.), **77**: Bleiwasser 1069.
- 78**: Wasseranalysen 1041.
- 79**: Kohlensäure in Carbonaten 1042; Butterfett 1076.
- 80**: Chios-Terpentin 1083; Butter 1119; Skala des Beaumé'schen Hydrometers 1241; siehe Heisch (C.); siehe Tidy (C. M.).
- Wigner (G. W.) und Harland (R. H.), **77**: Bleiweiß 1155.
- Wiik, **82**: Krystallform von Isobutylmalonsäure 875.
- 83**: Krystallform der Dicarboxylactonsäure 1030; Krystallform der Pimelinsäure 1099.
- Wiik (F. J.), **78**: Fibrolith 1236; Phlogopit 1246; Euralith 1248; Augit- und Hornblendeanalysen 1249; Feldspatzwillinge 1280; Titanit, Skapolith, Orthit 1273.
- 82**: Analysen finnischer Granaten 1549 f.; Augit- und Hornblendeanalysen 1555 ff.; Beryll von Finnland 1561 f.; Desmin von den Faröer 1564; Mikroklin, Andesin von Finnland 1568.
- 83**: Dolomitanalysen 1853; Aetzfiguren von Glimmervarietäten 1884; Marmailolith von Langban 1892; optische Untersuchung des Eudonophits von Brevig 1894 f.; Aetzfiguren der Feldspathe 1895; Gongylit 1911.
- 84**: Krystallform von Aethylidenäthyltricarbonsäure 1170; Untersuchung von Pyroxen 1965; Analyse von Mikroklas 1980 f.; Untersuchung von Anorthoit 1987 f.
- Wiik (F. J.), Lagus und Oekkonen, **82**: Skapolith von Finnland 1552.
- Wiik (F. J.) und Lasaulx (A. v.), **84**: Untersuchung des Steines von Igast 2039.
- Wiik (F. J.), Stark und Lindmann, **82**: Vesuvian von Finnland 1547.
- Wijkander (A.), **79**: Reibung der Flüssigkeiten 86.
- Wikulill (Fr.), **80**: elektrische Lampe 1245.
- Wilber (F. A.), siehe Austen (P. T.).
- Wilbur (F. A.), siehe Austen (P. T.).
- Wilbuszewitz (V.), **86**: Gerbsäuren der Cortex adstringens Brasiliensis und Siliqua Bablah 1813.
- Wilcock (E.), siehe Japp (Fr. R.).
- Wild, **84**: Polaristrobometer 1685; siehe Nölting (E.).
- Wild (E.), siehe Nölting (E.).
- Wild (H.), **77**: Normalbarometer, Barograph 1099.
- 78**: Controlbarometer 1095.
- 83**: Controlbarometer 1653.
- 85**: Bestimmung der Siemenschen Widerstandseinheit 244.
- 86**: Bestimmung der Lufttemperatur 182.
- Wilde (H.), **78**: Ursprung der Elemente, Beziehungen der Atomgewichte 7.
- Wilde (P. de), **83**: Umsetzung des Phosphorrichlorids und Phosphorwasserstoffs 323 f.; Einwirkung von Phosphorrichlorid auf Jodphosphonium 324.
- Wildt (E.), **77**: Fütterungsversuche mit Blut- und Fleischmehl 1174.
- 78**: Verdauung des Schafes 986 f.
- Wildt (E.) und Scheibe (A.), **84**: Methode zur Bestimmung der Salpetersäure 1573.
- Wiley (H. W.), **79**: elektrisches Licht 1143.
- 80**: Salzsäure, Nachweis 1152.
- 81**: Glycose, Amylose 982.
- 82**: Bestimmung von Dextrose, Maltose und Dextrin im Stärkezucker 1325.
- 84**: Bestimmung von Lactose in der Milch 1674 f.
- 85**: Saccharose- und Invertzucker-Gehalt des Saftes vom Zucker-Ahorn 1749 f.; Gehalt eines Saftes vom Butternußbaum (Juglans cinerea) an Saccharose und Invertzucker 1750; Prüfung von Handelsdünger 2126; Zuckerindustrie der Vereinigten Staaten, Gewinnung des Zuckers aus Sorghum und Ahorn 2141; Gewinnung von Sorghum-Zucker 2144.
- 86**: Bestimmung der Essigsäure in Kumys und Milch 1966; Analysen

- von Kumys 2117; Verarbeitung von Zuckerrohr und Sorghum mittelst Diffusion 2120.
- Wiley (H. W.) und Brodbent (H. V.), **85**: Wasserbestimmung von Glycosen und Honig 1981.
- Wilfarth (H.), **83**: Bestimmung der Salpetersäure als Stickoxyd 1539 f.
- 85**: Stickstoffbestimmung nach Kjeldahl 1945 f.
- Wilhelm (F.), siehe Schmidt (E.).
- Wilke (P.), **86**: Modificationen des Dickmaischverfahrens 2139.
- Wilkens (F.) und Rack (G.), **83**: o-Monochlorbenzanilid, o-Monochlorbenz-p-nitranilid, o-Monochlor-m-nitrobenzoesäure 1131 f.; o-Monochlor-m-anidobenzoesäure 1132 f.; o-Monochlordinitrobenzoesäure, o-m-Dichlorbenzoesäure 1133.
- Wilkes (J. F.), **85**: Zersetzung von Cyankalium durch Gyps 586.
- Wilkinson (A. W.), **81**: Leuchtgas f aus Holz 1314 f.
- Wilkinson (E.), **86**: Vorkommen von gediegen Quecksilber 2224.
- Will (A.), **79**: Fettresorption 955.
- Will (H.), **78**: diastatische Fermente aus Piniensamen 1035, aus den Samen von Zea Mays, aus Bohnenkeimen, Fehlen eines solchen in den Mandeln 1036; Ferment fleischfressender Pflanzen 1037; siehe Nobbe (F.).
- Will (H.) und Laubenheimer (A.), **79**: Sinalbin 862 f.
- Will (W.), **81**: substituierte Thioharnstoffe gegen Chlorkohlenoxyd (Carbonylthiocarbanilid, Carbonylthiocarbonylolid) 339 f.; Jodäthylthiocarbanilid, Hydrosulfodiphenylhydantoin, Hydrosulfoditolylhydantoin 341.
- 82**: Verbindungen von Thiocarbanilid mit Halogenalkylen: Phenylimidophenylthiocarbinsäure-Aethyläther u. s. w. 386 f.
- 83**: Derivate des Aesculetins: Monoäthyläsculetin 928; Diäthyläsculetin 928 f.;  $\beta$ -Triäthyläsculetinsäure-Aethyläther und  $\beta$ -Triäthyläsculetinsäure 929;  $\alpha$ -Triäthyläsculetinsäure-Aethyläther und  $\alpha$ -Triäthyläsculetinsäure 929 f.; Triäthoxyphenylpropionsäure, Triäthoxybenzaldehyd und Derivate 930; Diäthyläsculetin gegen Brom: Monobromdiäthyläsculetin (Diäthoxycumarilsäure) 932.
- 85**: Untersuchung des Naringins 1767 f.; Eigenschaften des Naringins, Hesperidinzucker 1767; Krystallform desselben, Naringenin, Naringininsäure, Methylnaringininsäure und deren Methyläther 1768.
- 86**: Peonol aus Paeonia Moutan 1823; siehe Freund (M.); siehe Reimer (O. L.); siehe Tiemann (F.); siehe Watson-Will (W.); siehe Winther (A.).
- Will (W.) und Albrecht (K.), **83**: Analyse eines Diabases von Löhnberg, Nassau 1928.
- 84**: Pyrogallussäure- und Phloroglucinderivate 992 bis 995: Gallusäther, Triäthylgallussäure-Aethyläther, Triäthylgallussäure, Pyrogallocarbonsäure-Aethyläther 992; Triäthylpyrogallocarbonsäure-Aethyläther, Triäthylpyrogallocarbonsäure (Triäthoxybenzoesäure), Phloroglucinmonocarbonsäure 993; Diresorcin-dicarbonsäure 994; Diäthylphloroglucin, Triäthylphloroglucin, Triäthoxybenzol 995.
- Will (W.) und Beck (P.), **83**:  $\alpha$ - und  $\beta$ -Dimethylumbellsäure aus Methylumbelliferon,  $\alpha$ -Dimethoxyphenylpropionsäure 931; Dimethyl- $\beta$ -resorcylaldehyd und Dimethyl- $\beta$ -resorcylsäure 931 f.
- 86**: Derivate des Umbelliferons 1467 bis 1470:  $\alpha$ -Dimethyl-,  $\alpha$ - und  $\beta$ -Diäthylumbellsäure 1468; Monobrommethyl- und Monobromäthylumbelliferon; Verhalten derselben gegen alkoholisches Kali: p-Methoxy- und p-Aethoxycumarilsäure 1469 f.; Dibrommethyl- und Dibromäthylumbelliferon 1470.
- Will (W.) und Bielschowski (O.), **82**: Einwirkung von Jodalkylen auf Ditolythioharnstoffe (Tolylsulfimidoverbindungen, Thiourethane) 388 ff.
- Will (W.) und Jung (O.), **84**: Untersuchung über die Constitution des Daphnetins 1444 f.
- Will (W.) und Leymann (H.), **85**: Untersuchung des Cochenillefarbstoffs 1847 f.: Carminroth,  $\alpha$ - und  $\beta$ -Bromcarmin,  $\alpha$ -Oxybromcarmin und ein Methylderivat desselben 1847; Säure  $C_6H_6Br_2O_4$ , Dibromoxymethylbenzoyldicarbonsäure, Methylidibromoxyphtalsäure 1848.
- Willard, **84**: Darstellung von condensirter Milch 1779.



Willard (H.), **80**: Phylloxera 1068.  
Willard (J. T.), siehe Failger (G. H.).

Willgerodt (C.), **77**:  $\alpha$ -Dinitrochlorbenzol gegen Thioharnstoff ( $\alpha$ -Dinitrophenylmercaptan), gegen Dinitrophenylanilin und Carbanilid 450;  $\alpha$ -Dinitrochlorbenzol gegen  $\alpha$ -Dinitrophenylimid 470.

**78**: Formel der Harnsäure 360 f.;  $\alpha$ -Monochlordinitrobenzol 432 f.

**79**: Harnsäureformel 351; Aether des  $\alpha$ -Dinitrophenols 514; Pikrinsäureäthyläther, Pikrinsäurephenyläther 515; Tetranitrophenylsulfid 516.

**80**: Tetranitrophenyläther 642.

**81**: Acetonchloroform 376 f.; Acetonbromoform 377; p-Nitroanisol (p-Nitrophenetol, Dichlorazobenzol) 541.

**82**: Darstellung von p-Nitrophenoläthern aus p-Chlornitrobenzol 443 f.; Nebenproducte bei der Acetonchloroformdarstellung: Oxyisobuttersäure, Acetonoxysobuttersäure, Acetonaloxyisobuttersäure 760 f.; Oxyisobuttersäure aus Acetonchloroform 839.

**83**: Acetonchloroform 979.

**84**: Untersuchungen über  $\alpha$ -Dinitrothiophenol ( $\alpha$ -Dinitrophenylmercaptan) und Derivate 974 f.:  $\alpha$ -Dinitrophenylsulfid,  $\alpha$ -Dinitrophenyldisulfid,  $\alpha$ -Dinitrophenylpikrylsulfid 975; Thio-pikrinsäure und Pikrylsulfid, Untersuchung 975 f.; Untersuchung von  $\alpha$ -Dinitrothiophenol,  $\alpha$ -Dinitrophenylsulfid,  $\alpha$ -Dinitrophenyldisulfid,  $\alpha$ -Dinitrophenylpikrylsulfid 995 ff.

**85**: Anwendung verschiedener Körper als Halogenüberträger (für Benzol, Nitrobenzol) 582 f.; gemischte aromatische Halogenverbindungen des Benzols 726 f.; p-Mononitrophenylmercaptan und p-Mononitrophenyldisulfid 1215; Darstellung der Ester des  $\alpha$ -Dinitrophenylmercaptans 1215 f.; Thio- $\alpha$ -dinitrophenyl-Aethyläther, -Methyläther, -Isopropyläther, -Isobutyläther und -Benzyläther 1216; Darstellung von Thiobenzoessäure- $\alpha$ -Dinitrophenyläther 1474; Darstellung von Pikrylsulfosäure aus Pikrylchlorid 1596 f.

**86**: Wirkung der Elemente als Halogenüberträger 505 f.; Reinigung des Benzols von Thiophen 589; Darstellung und Untersuchung von Jo-

didchloriden: Phenyljodidchlorid 635; p-Monobromphenyljodidchlorid 635 f.; s-Tribromphenyljodidchlorid, p-Mononitrophenyljodidchlorid 636; Tetrachlorthiophentetrachlorid (Octochlorotetramethylensulfid) 1179.

Willgerodt (C.) und Ferko (M.), **86**: Mononitroanisole und Mononitrophenetole 1247.

Willgerodt (C.) und Huetlin (E.), **84**: o- und p-Mononitrophenyläther des  $\alpha$ -Dinitrophenols und der Pikrinsäure,  $\alpha$ -Dinitrophenyläthyläther, Pikrinsäure-Aethyläther, Darstellung 973 f.

Willgerodt (C.) und Mohr (P.), **84**: Darstellung einer unsymmetrischen m-Dinitrobenzolsulfosäure 1327 f.

**86**: o-p-Dinitrobenzolsulfosäure und Derivate 1547 f.

Willgerodt (C.) und Wolfien, **86**: Chlorbromderivate des p-Xylols 639 f.

Williams, **78**: Verbindung von Glycerin mit Wismuthnitrat 295.

**81**: Aufschliessung von Phosphaten (Natriumphosphat) 1270.

**85**: Prüfung von Wasser auf Salpetersäure 1909.

Williams (A. jr.), **83**: die Mineralquellen der Vereinigten Staaten von Nordamerika 1939 f.

Williams (C. G.), **78**: Einwirkung von Natriumamalgam auf Chinolin oder Lepidin 891.

**81**:  $\beta$ -Lutidin, Polymeres 430;  $\beta$ -Lutidinderivate 431; Natrium gegen Chinolin: Dichinolin 920 f.; Basen aus Cinchonin 964.

**82**:  $\beta$ -Lutidin 498.

Williams (C. Greville) und Waters (W. H.), **81**: Wirkung des  $\beta$ -Lutidins 1066.

Williams (C. P.), **77**: Bleiglanz 1263; amerikanisches Grubenwasser 1389.

Williams (F. A.), **82**: Manganbestimmung in Eisen und Stahl 1288.

Williams (G.), **79**: Ersatz für Lacmus im Orange 3 1023.

Williams (Greville), **84**: Gehalt der durch Compression von Petroleumgas erhaltenen flüssigen Kohlenwasserstoffe an Benzol und Toluol 514 f.; Untersuchung von Hydrocarbon 1817.

**85**: im Zinkstaub occludirter Wasserstoff 373; Bildung von Trimethylamin und Pyrrol beim Durch-

- leiten von rohem Leuchtgas durch erhitzten Zinkstaub 793.
- Williams (G. H.), **82**: Glaukophan vom Stura 1561.
- 83**: Kristallform des p-Dipropylbenzolsulfonsäureamids 1267.
- 84**: Untersuchung von Hornblende 1970; Analysen der Erupergesteine von Triberg 2.12, von Glimmerdiorit 2014 f.
- 86**: Kristallform von Sphenen (Titaniten) 2292; Beschreibung und Eintheilung der Peridotite von Peckskill, New-York 2379.
- Williams (H.), siehe Kayser (A.).
- Williams (J.), **78**: Darstellung von Salpetrigsäureäther 520; Salicylsäure aus Gaultheriöl und aus Phenol 758 f.
- 84**: Darstellung wasserfreier ätherischer Öle 1465 f.
- Williams (Katherine J.) und Ramsay (W.), **86**: Bestimmung des freien Sauerstoffs im Wasser 19.6.
- Williams (M. W.), **81**: Bestimmung der Salpetersäure im Wasser 1160 f.
- Williams (R.), **84**: Analyse von salza. Anilin 1620.
- 86**: Untersuchung von Appretur-, Bleich- und Beizmitteln 1924.
- Williams (T.), **84**: Desinfektionsapparat 1666.
- Williams (W.), **84**: Methode der Salpetersäurebestimmung 1573.
- Williams (W. C.), **86**: Chlorid der Salpetersäure (Nitroxylchlorid) 341; siehe Bedson (P. P.); siehe Carnelley (Th.); siehe Carleton Williams (W.).
- Williams (W. J.), **85**: Verarbeitung von Redondaphosphaten 2064 f.
- Williams (W. M.), **78**: Theorie der Stahlbildung 1104.
- Williamson (S.), siehe Armstrong (H. E.).
- Willis (G.), **79**: Silberpapier 1177.
- Willm (E.), **78**: Mineralwasser von Aix-les-Bains 1309 f., von Marliaz 1310 f., von Challes 1311.
- 79**: Mineralquellen der Auvergne 1266 f.; Quecksilbergehalt im Wasser von Saint Nectaire-le-Haut 1268.
- 80**: Quellwasser 1522 f., 1531, 1533 f.
- 84**: Herstellung von Cyan- und Ferrocyanverbindungen 1740.
- Willm (Ed.), Bouchardat (G.) und Girard (Ch.), **78**: Darstellung von Farbstoffen durch Einwirkung von Chlor oder unterchloriger Säure auf Phthalein 562 f.
- Wittmack (C. A.), siehe Wittmack (C. A.).
- Willmott (W.), **78**: Fäulnisfähigkeit inficirter und gechlorter Flüssigkeiten 1022.
- Willner (O.), **83**: Bestimmung des Gehaltes von Ferrum reductum an metallischem Eisen 1563 f.
- Willotte (H.), **79**: Betrachtungen über das Gesetz von Dulong und Petit 95.
- Willoughby, siehe Finch.
- Willis (J. L.), siehe Stevensohn (Th.).
- Wills (T.), **77**: Steinkohle 1216.
- Wills (W. L.), **79**: Atomgewicht des Tellurs 16 f.
- 80**: Atomgewicht des Tellurs 5, 261 f.
- Willson (R. W.), **85**: Galvanometer mit meßbarem Reductionsfactor 230.
- Wilm (Th.), **77**: Chlorkohlensäureäther. Allophansäureäther 671.
- 78**: Einwirkung von Chlorkohlensäureäther und absolutem Alkohol auf Kaliumcyanat 674.
- 79**: Chrombestimmung 1046.
- 80**: Platinmetalle 365 f.; Chrombestimmung 1178; Trennung der Platinmetalle 1196.
- 81**: Platinmetalle (Palladium und Rhodium) 306; Palladium und Rhodium gegen Aethylen 307.
- 82**: Verhalten von Palladium, Rhodium, Iridium und Platin gegen Sauerstoff 359; Darstellung von reinem Palladium 359 f.; Verunreinigungen von Palladium 1389.
- 83**: magnetische Eigenschaft von Platinerzen 231; neues Rhodiumsalz 453 bis 455; neuer Körper im Platinerz 456 f.; Verarbeitung der Platinmetalle 457 bis 460.
- 85**: Analyse von Platinerz 1941 f.
- 86**: Platincyandoppelsalze 490 f.; Halogenadditionsproducte des Kaliumplatincyans 492 f.
- Wilm v., **85**: Fettbestimmung von Palmkernpräparaten 1970.
- Wilsing (H.), **81**: Hydrazobenzol-tetrasulfosäure 873.
- 82**: Azoxybenzol gegen rauchende Schwefelsäure: Oxyazobenzolmono-, -di-, -tri-, -tetrasulfosäuren, Salze, Chloride und Amide 1006 bis 1010;

p-Amidophenoldisulfosäure, Bromphenoldisulfosäure 1009; Hydrochinondisulfosäure 1010; siehe Stohmann (F.).

Wilsing (W.), **85**: Ausscheidung flüchtiger Säuren vom Wiederkäuer in den Entleerungen 1828.

Wilson, **85**: Coaksöfen und Gasgeneratoren 2170; siehe Mc Grae.

Wilson (A. C.), **85**: Apparat zur Milchfettbestimmung 2008.

Wilson (A. E.), siehe Stables (W. H.).

Wilson (A. E.) und Ingle (H.), **81**: Schwefelquelle von Harrogate 1451.

Wilson (A. S.), **78**: Blumennectar 952 f.

Wilson (D.), siehe Mills (E. J.).

Wilson (H.), siehe Elborne (W.).

Wilson (H. J. und J. W.), siehe French (A.).

Wilson (H. M.), **77**: Indigobestimmung 1084.

**78**: Ausziehen des Kupfers aus den Kiesen 1108 f.

Wilson (J.), **86**: Gewinnung von Chlor und Chlorwasserstoff aus Chlormagnesiumlaugen 2045.

Wilson (J. S. G.), **84**: Analysen von Olivindiabas 2013.

Wilson (N.), **78**: Bestimmung des Calciumsulfates im Biere 1159.

Wilson (R.), **78**: Wasserströmungen in Dampfkesseln 1115.

Wilson (R. D.), siehe Mabery (C. F.).

Wilson (W. H.), siehe Japp (F. R.).

Wilson (W. P.), **82**: Pflanzen-Athmung 1139.

Wimmel, **84**: Verhalten des Mandelöles bei der Elaidinprobe 1666.

Wimmel (C.), siehe Claus (A.).

Wimmer und Bräuning, **78**: Hüttenprocesse am Unterharz 1098.

Wimmer (R.), siehe Cumenge (E.).

Wimpf, **85**: Heber aus Thon 1996.

Winchell (A.), **84**: Berechnung der Zunahme der Erde an Masse 2004.

Winckelmann (J.), **82**: Analyse des Augsburger Trinkwassers 1629.

Windhausen, **77**: Eismaschine 1105.

Winer, **78**: comprimirtes Schiefspulver 1138 f.

Wing (J. F.), siehe Jackson (C. Loring); siehe Michael (A.).

Wingard (F. C. v.), **85**: Bestimmung des Fluors in Humitmineralien 1905.

Winkelblech, **78**: Bleisesquioxid 290 f.

Winkelman (A.), **77**: Dampfspannung homologer Reihen 58; Wärmeleitung der Gase 98.

**78**: Abweichung einiger Gase vom Boyle'schen Gesetze bei 0° und 100° 42.

**79**: Druck, Temperatur und Dichte des gesättigten Wasserdampfes und Beziehungen zu einander 67 f.

**80**: Beziehungen zwischen Druck, Temperatur und Dichte gesättigter Dämpfe 49 f.; Dampfspannungen homologer Reihen 51; Wärmeleitung 98, 99; Einfluss der Dichte der Gase auf die Wärmeleitung 99.

**81**: Wärmeleitung von Gasen 1100.

**83**: Abhängigkeit der Wärmeleitung der Gase von der Temperatur 116 f.

**84**: Diffusion von Gasen und Dämpfen 138 bis 141; Bestimmung der Diffusionscoefficienten homologer Ester gegen Luft, Wasserstoff und Kohlensäure 141 ff.; molekulare Weglängen und Molekulargewicht 142 f.; Molekularsphäre 143.

**85**: Bestimmung der Diffusionscoefficienten von Fettsäuren und -alkoholen für Luft, Wasserstoff und Kohlensäure, Berechnung der molekularen Weglängen aus diesen Diffusionscoefficienten 114 ff.; Existenzdauer der Thioschwefelsäure (unterschwefligen Säure) in wässrigen Lösungen 391 f.

**86**: Abhängigkeit der Wärmeleitung der Gase von der Temperatur 185; Vorlesungsversuch über Gasdiffusion 320; siehe Nies (F.).

Winkler (Cl.), **77**: Aluminium 251, 1117; Wismuth, Arsen, Antimon 1120; rauchende Schwefelsäure 1141; Arsenrückstände von Anilinfarben 1243; Kobaltspath (Spärokobaltit) 1290; Bismuthosphorit 1291; Roselith 1299; Uranocircit 1302.

**78**: Gewinnung von Schwefel und Schwefelkohlenstoff in Swoszowice 1118.

**79**: Stickoxydulwirkungen 993; Porcellanröhren statt Thonpfeifenröhren 1086; Meteorit von Rittersgrün 1275 f.

**80**: Graphitthermometer und Pyrometer 86; Absorption von schwefeliger Säure 1285; Anhydridgehalt in

rauchender Schwefelsäure 1288; Bismuthit 1421; Uranotil 1474.

**81:** Wiedergewinnung von schwefeliger Säure in Ultramarinfabriken 1239.

**82:** Absorptionsapparat für Elementaranalysen 1347 f.; Schwefelwasserstoffentwicklungsapparat 1348.

**83:** Analyse eines Kupfersulfates (Herrngrundit) vom Heinrichsschacht bei Zwickau 1856.

**84:** Ammoniakgewinnung bei der Coaksfabrikation 1721; Analyse von Brucit 1920; Analyse von Herderit 1944.

**85:** Vorgänge bei dem Uebergang der arsenigen Säure aus dem amorphen in den krystallinischen Zustand 444 ff.; Neugestaltung des titrimetrischen Systems 1885 f.; Apparat zur raschen Reduction der Gasvolumina 2005 f.; Zusammensetzung des Herderits 2281.

**86:** Entdeckung und Untersuchung des Germaniums aus Argyrodit, Darstellung und Eigenschaften seiner Schwefel-, Sauerstoffverbindungen und Salze 374 bis 381; Bestimmung des Germaniums 381; Neugestaltung des titrimetrischen Systems 1896; Analyse von Argyrodit 2233; Analysen von Armit 2253; siehe Weisbach (A.).

Winogradoff (Winogradow) (W.), **77:** Methylisopropylcarbinol, Methylisopropylketon, Dimethyläthylcarbinol 532.

**78:** Einwirkung von Bromacetyl-bromid auf Zinkmethyl und Zinkäthyl 677; Einwirkung von Cyanalkalium auf Dichloressigäther 678.

**79:** Aluminiumchlorid gegen Acetylchlorid 600.

**80:** Aluminiumchlorid gegen Acetylchlorid 380, 475.

Winssinger (C.), **83:** Siederohr zur fractionirten Destillation 1657; siehe Spring (W.).

Winstanley (D.), **80:** Luftthermometer 86.

Winter (H.), siehe Herzfeld (A.).

Winther (A.), **83:** Bildungsweisen von Orcin aus Toluolderivaten 925; siehe Neville (R. H. C.).

Winther (A.) und Will (W.), **77:** Harmotom 1332; Basalt 1366.

Wirbel (R. A.), **83:** Erzeugung eines Ersatzmittels für Hundemittel zum Entkalken und Bleichen 1780.

Wirth, **80:** Reinigung von Rohkupfer 1265.

Wirtz (R.), siehe Anschütz (R.).

Wischnegradsky (A.), **77:** Amylene 363; Amylalkohole 364.

**78:** theoretische Betrachtungen 375.

**79:** Verhalten des synthetischen Collidins 781 f.

**80:** Aethylpyridin, Cinchonin 524; siehe Butlerow (A.).

Wischnegradsky (A.) und Butlerow (A.), **79:** Basen aus Chinin 799; Cinchonin gegen Aetzkali, Constitution 804 f.

Wislicenus (J.), **77:** Acetessigäthersynthesen 686.

**78:** Vinyläthyläther 521; einfach und zweifach organisch substituierte Acetessigäther 706.

**81:** Spaltung von Acetessigestern mehrbasischer Säuren 502 f.

**82:** Haftenergie der Halogene und des Natriums an organischen Resten (Untersuchungen an Acetessigestern und Malonsäureestern) 370.

**83:** Methyl- $\beta$ -Butylketon aus Aethylmethylacetessigäther, Methyl- $\beta$ -Butylcarbinol 980; Methyl- $\beta$ -Butylpinakon, Methyl- $\beta$ -Butylcarbinodür, Derivate des Methyl- $\beta$ -Butylcarbinodürs: Methyl-Diäthylmethan, Methyl-Diäthylcarbinol 981.

**84:** neue Reactionen des Dichloräthers 927 f.; Reduction von Phthal-säureanhydrid mit Zinkstaub 1227 f.; Diphtalyl 1227; Phthalid, Hydridiphtalyl, Hydrodiphtalactonsäure 1228; Darstellung von Phthalylmalonsäureäther und Phthaloxylmalonsäureäther 1285 ff.; Benzylmalonsäureäther-o-carbonsäure, Benzylmalonsäure-o-carbonsäure, o-Hydrozimmetcarbonsäure 1287.

**86:** geometrische Isomerie organischer Verbindungen 35.

Wislicenus (J.) und Limpach (L.), **78:** Synthese der Glutarsäure 720.

Wislicenus (W.), **85:** Darstellung von Benzylcyanid-o-carbonsäure und Salzen, der Phenylessig-o-carbonsäure und ihres Anhydrids 1646 f.; Cumarin gegen Cyankalium 1647.

**86:** Oxaleessigäther und Derivate 1353 f.; Untersuchung der Benzylcyanid-o-carbonsäure 1663 f.; Phenylessig-o-carbonsäure = Iauvitinsäure, Einwirkung von Cyankalium auf Valerolacton ( $\gamma$ -Cyanvaleriansäure) 1664.

**Wispek (P.), 83:** Mesitylenderivate (Halogenderivate, Alkohol, Säure) 539 bis 541; Dimethylphenyllessigsäure 540; Carbomesyl 541; siehe Radziszewski (Br.).

**Wispek (P.) und Zuber (R.), 83:** Einwirkung von Allylchlorid auf Benzol: Propylbenzol 542 f.

**85:** Propylbenzol aus Allylchlorid und Benzol 686.

**Wiswell, 85:** Extraction von Erzen mittelst Quecksilber 2043.

**Witkowski (A.), 80:** Polarisationsströme 158.

**83:** Theorie der galvanischen Kette 205.

**Witt (C.), siehe Claus (A.).**

**Witt (E. N.), siehe Nietzki (R.).**

**Witt (O.), 81:** Picen 373.

**Witt (O. N.), 77:** Tropäoline 503; Diazo- und Triazoverbindung aus Diphenylnitrosamin 488; Amidoazokörper gegen Amine (Safranin) 504; Aethylalkohol im Steinkohlentheer 518.

**78:** aromatische Nitrosamine, Darstellung von Mononitrodiphenylnitrosamin, Derivate 458 f.; Natur des Citronins 459; Gewinnung von Methylchlorid 1135.

**79:** Tropäoline 467 f.; Azofarbstoffe 1174 f.; Tropäoline 1176.

**80:** Azofarbstoffe 1387.

**81:** violetter Farbstoff aus m-Phenyldiamin, rother aus m-Toluyldiamin 1333.

**84:** Indulinbildung aus Phenyl-amidoazobenzol 843; Indophenole 1024.

**85:** Darstellung von Mononitrosotetramethyl-m-phenyldiamin, Eig. des Chlorhydrates und Nitrates 907 f.; Farbstoffe aus Nitrotetramethyl-m-phenyldiamin und Aminen sowie Phenolen; Einwirkung von Natriumnitrit auf Tetramethyltoluyldiamin in saurer Lösung 908; einfache Methode zur Darstellung von Azokörpern (Azobenzol, Azo-p- und -o-toluol, Azobenzol- und Azo-o-toluoldisulfosäure) 1059 f.; Trennung der im technischen Xylidin enthaltenen zwei isomeren Xylidine 2083 f.; m- und p-Xylidinsulfosäure 2084; Befestigung von Farbstoffen auf Baumwolle mittelst Tannin 2212; Ersatz der letzteren durch Kaliumantimonoxalat 2212, 2213; Fortschritte in der

Druckerei der Baumwolle 2216; neue Farbstoffe aus Amidoazokörpern und  $\alpha$ -Naphtylamin: Verbindung  $C_{24}H_{18}N_4$  2229 f.; Gewinnung von Farbstoffen aus Gerbstoffen 2250.

**86:** Wechselwirkung von Acetessigäther und aromatischen Diaminen (o-Toluyldiamin) 783 f.; Dinitro- $\alpha$ -naphtylamin aus Dinitro- $\alpha$ -naphthol, Dinitroacet- $\alpha$ -naphthalid 870; Nitroamidonaphthol aus Dinitro- $\alpha$ -naphtylamin 870 f.; Constitution der Safranine, Mono- und Dialkylsafranine 1117; Eurhodine, Naphtionsäure, Darstellung und Untersuchung von Eurhodol 1120 ff., von Naphtase ( $\alpha$ - $\beta$ -Naphtazin) 1122 f.; isomere Naphtylaminsulfosäuren: Naphtionsäure 1530 f.; Naphtalidinsulfosäure 1581; Constitution der Naphtionsäure: Bildung von Diphenylnaphthochinoxalin durch Reduction von Congo-roth 1581 f.; qualitative Analyse der im Handel vorkommenden Farbstoffe 1989 bis 1992; Filtrirapparat 2011; Darstellung von Salzsäure und Amminiak aus dem Salmjak des Ammoniaksoadaprocesses 2046; Untersuchung der aus o-Amidoazokörpern und  $\alpha$ -Naphtylamin entstehenden Farbstoffe (Eurhodine, Eurhodol) 2194 bis 2197; siehe Kücklin (H.); siehe Nölting (E.); siehe Thomas (E.).

**Witt (O. N.) und Nietzki (R.), 84:** über die Indophenole 1024.

**Witt (O. N.) und Nölting (E.), 81:** Indigblau aus Chlorzimmtsäure 497.

**Witt (O. N.) und Thomas (E. G. P.),**

**83:** Untersuchungen über die Indulingruppe (Azophenin) 788 bis 790.

**Wittenberg, 84:** Untersuchung von p-Azophenyllessigsäure 1215.

**Wittenberg (M.), 81:** Resorcin gegen Citronensäure: Resocyanin und Derivate 550.

**82:** Resocyanin 716; Acetessigäther gegen Pyrogallol: Allylindigallein und Acetylverbindung 716 f.; Acetessigäther gegen Orcin; Pyrogallol gegen Aceton und Phosphoroxchlorid: Gallacetoin 717.

**Wittenberg (M.) und Meyer (V.),**

**83:** Benzil, Phenanthrenchinon, Benzoin gegen erhitztes Bleioxyd, Benzil gegen Hydroxylamin 988; Benzoin und Glyoxal gegen Hydroxylamin: Glyoxim 989.

- Witter (H.), siehe Hagemann (H.).  
 Wittgen (B.), siehe Precht (H.).  
 Wittgen (B.) und Cuno (E.), **82**: Kaliumcarbonat aus Chlorkalium 1397.  
 Wittich (C.), siehe Birubbaum (K.).  
 Wittich (O.), **84**: Darstellung von Triphenylmethyl-o-toluidin, Triphenylmethyl-p-toluidin, Nitrosotriphenylmethyl-p-toluidin 751; siehe Elbs (K.).  
 Wittich (v.), **78**: diastatisches Ferment der Gerste 1036.  
 Witting (F.), siehe Post (J.).  
 Witting (F.) und Post (J.), **77**: Xylolsulfamine 856.  
 Wittjen (B.), siehe Precht (H.).  
 Wittjen (B.) und Precht (H.), **83**: Ursache der blauen Farbe des Steinsalzes von Staßfurt 1846.  
 Wittkamp (L.), **84**: Darstellung neuer Nitronaphtoläther, Untersuchung ihres Verhaltens gegen Ammoniak: Mononitro- $\beta$ -naphtoläthyläther 1015; Nitro-p-naphtylamin 1016.  
 Wittmack, **78**: pepsinartiges Ferment in den Früchten von *Carica papaya* 1037.  
 Wittmack (C. A.), siehe Fischer (O.).  
 Wittmack (L.), **85**: Erkennung von Weizenmehl im Roggenmehl 1983.  
 Wittmann (E. F.), **78**: Bestimmungen von spezifischen Gewichten 25.  
 Wittstein und Mueller (von), **79**: vegetabilische Öle 940.  
 Wittstein (G. C.), **77**: Kali- und Natronbestimmung 1052; Blei im Höllenstein 1155.  
**78**: Versendung von Mineralwässern 1044.  
 Wittwer (W. C.), **78**: Bedingungen der Aggregatzustandsveränderung 23.  
**80**: Grundzüge der mathematischen Chemie 3.  
**82**: Grundzüge der mathematischen Chemie 3.  
**85**: Molekular-Physik und mathematische Chemie 5.  
 Witz (A.), **78**: Wärmewirkung von Wänden auf eingeschlossene Gase 44.  
**79**: Abkühlungsvermögen der Luft 102.  
**80**: Anilinschwarz 1381.  
**81**: Abkühlungsvermögen von Gasen und Dämpfen 1086.  
**84**: Wärmeentwicklung bei der Detonation von Knallgas 206.  
**85**: Regelung der Verbrennung detonirender Mischungen mit Leuchtgas 175 ff.; Untersuchung der Heizkraft des Leuchtgases 2165 f.; Bestimmung der Heizkraft des Leuchtgases in verschiedenen Verdünnungen 2166; siehe Crofs (O. A.).  
 Witz (G.), **77**: Anilinschwarz 1239, 1241.  
**79**: Chromverbindungen zur Darstellung von Anilinschwarz 1162; Anthracenblau 1173.  
**83**: Veränderungen der Baumwolle beim Bleichen 1782; Veränderungen der Cellulose durch saure Oxydationsmittel 1782 f.; Fixierung von Farbstoffen durch oxydierte Cellulose, Fasern, Wolle und Seide 1783.  
**84**: Wirkung von Chlor auf Farbstoffe und Farbmaterialeien 1848.  
**85**: Wirkungen der schwefeligen Säure in der Luft der Städte 1853 f., 2059.  
 Witz (G.) und Osmond (F.), **82**: Industrie des Vanadiums 1381 f.  
**86**: Erkennung und Bestimmung kleiner Mengen von Vanadium mittelst Oxycellulose 1943.  
 Wleugel (S.), **80**: Zinkblendern 1405.  
 Wleügel (S.), **82**: Aethylacetessigäther gegen Natriumnitrit,  $\alpha$ -Nitrosobuttersäure 833; Nitrosoacetessigäther gegen Reductionsmittel: Ketindicarbonsäure und Salze, Ketin 839 f.  
**83**: krystallographische Untersuchung des  $\alpha$ -Picolin-Platinchlorids 666.  
**84**: Krystallform von Phenylsulfoäthyläther 1318; siehe Friedländer (P.); siehe Schillinger (A.).  
 Wleügel (S.) und Henrichsen (S.), **84**: Magnetismus organischer Verbindungen 280.  
 Wockkoff und Potilitzin, **78**: über die Reactionen, welche durch dunkle Entladung eingeleitet werden 19.  
 Wöhler (F.), **77**: Nickel von Kobalt 1065; Pecholith, Thomsenolith, Pyrokonit 1287.  
**78**: Bildung von Benzonitril 342.  
**79**: Ovifak-Eisen-Analyse 1282.  
**80**: Element aus Aluminium 145.  
 Wohl (A.), **86**: Verbindungen von Hexamethylenamin mit Alkyljodiden: rationelle Darstellung von Formaldehyd 704, von Hexamethylenamin aus demselben, Hexamethylenaminmethyljodid und -chlorid 705 f.; Hexamethylenaminäthyljodid, Dihexamethylenaminmethyljodid 706;

- neuer Thioformaldehyd aus Hexamethylenamin 1621; Methylthioformaldin und Derivate 1621 f.
- Wohlgemuth, **84**: krystallographische Untersuchung des linksdrehenden Campholurethans 501.
- Woitschach (G.), **82**: Aphrosiderit von Königshain 1554; Zirkon von Königshain 1582 f.; Granit aus der Oberlausitz 1604.
- Wójcik, **83**: Umwandlung von Benzonitril in Perbrombenzonitril 593 f.; siehe Eitzweiler.
- Wolberg (L.), **80**: Einfluss von Salzen, Alkaloiden auf die Verdauung 1119.
- Wolckenhaar, **84**: Vergiftung durch Senfsamen 1514.
- 85**: Bestimmung des specifischen Gewichtes verschiedener Butter- und Talgsorten 1970 f.
- Woldrich (J. N.), **86**: Vorkommen eines grünen Muscovits 2272; neuer Fundort für Boutillenstein (Moldavit) 2291; siehe Döhl (E.).
- Wolf, **81**: Anthragallol 573.
- Wolf (B.), **82**: Neuerungen in der Bierbrauerei 1449.
- Wolf (F. A.), **85**: Verwerthung der Maikäfer als Düng- und Futtermittel 2129 f.
- Wolf (Fr.), **86**: Bestimmung von Invertzucker neben Rohrzucker 1973.
- Wolf (G.), **82**: Pyroxilin 1779.
- Wolf (H.), **81**: Quellen von Teplitz 1446.
- Wolf (J.), **85**: Fixirung von Aluminiumbeizen 2206.
- Wolf (N.), **81**: Mono- und Dibenzoyldiphenyl, Dibenzoyldiphenyl 364.
- Wolfbauer (J. F.), **83**: Gehalt des Donauwassers bei Greifenstein an suspendirten und gelösten Stoffen 1941 bis 1944.
- Wolffers (J.), **83**: Einfluss stickstofffreier Substanzen (Alkohol, Zucker) auf den Stoffwechsel 1435 f.
- Wolff (A.); siehe Nega (J.); siehe Terreil (A.).
- Wolff (C.), **77**: Allylacetessigäther, Diallylacetessigäther, Diallylacetone, Diallylessigsäure 687.
- 80**: Diallylessigsäure 822.
- Wolff (C. H.), **78**: spectralanalytische Bestimmung des Farbstoffs von Indigo-sorten 1074.
- 79**: spectralanalytische Bestimmungen 1022; Mutterkorn im Mehl 1073.
- 80**: Colorimeter 187 f.; Kohlenoxyd in der Luft 1172; Colorimeter 1242; Apparat zum Nachweis des Kohlenoxyds in der Luft 1244.
- 81**: Essigsäure im Wein und Bier 1217; entfärbende Kraft der Knochenkohle für Melassen 1304.
- 82**: Bestimmung von Stärkesyrup im Zuckersyrup 1324; Destillationsapparat zur Bestimmung der Essigsäure 1350.
- 83**: Dauer der spectralanalytischen Reaction von Kohlenoxyd im Blute 1554 f.; Absorptionsspectren einiger Flüssigkeiten 1584; Nachweis von Quecksilber in organischen Massen und Secreten 1638 f.
- 84**: spectralanalytische Werthbestimmungen von Indigotinsorten 1620. Bestimmung des Fettgehalts der Milch 1674; Stickstoffbestimmungsmethode für Nitroverbindungen 1749.
- Wolff (E.), siehe Kreuzhage (O.).
- Wolff (E.), Funke (W.) und Kellner (O.), **78**: Luzerne 986 f.
- Wolff (E.), Funke (W.), Kreuzhage (O.) und Kellner (O.), **77**: Fütterungsversuche 969.
- 78**: Pferdefütterungsversuche 986.
- Wolff (E.) und Troschke (H.), **79**: Jurakalksteine und Verwitterungsböden 1256 f.
- Wolff (E. v.), **79**: Fettbildung im Thierkörper 953 f.
- Wolff (G.), **77**: Gold 1258.
- Wolff (H.), **86**: Phenylallylenlamidoxim, Salze und Derivate 1104 f.; Phenylallylenazoximderivate 1105.
- Wolff (J.), **79**: Bestimmung von Harzen und Fetten in Seifen 1073; Anilinschwärze 1159 f.; Lightfoot-Schwarz 1162 f.
- Wolff (J.) und Betley (R.), **77**: Naphtalinfarben 1241.
- Wolff (L.), **80**: Kumys 1102 f.
- 81**: Valerolacton aus Lävulinsäure 742; Oleate und Palmitate 1069.
- 82**:  $\beta$ -Jodpropionsäureäther gegen Natriumacetessigäther: Acetylglutarsäure;  $\gamma$ -Acetobuttersäure,  $\delta$ -Caprolacton 870 f.;  $\delta$ -Oxyacaprone 871.
- 83**: salicylsaures Wisnuth 1137.
- 85**: Verhalten der Lävulinsäure bei der Destillation 1381 bis 1384:  $\alpha$ - und  $\beta$ -Angelicalacton 1382; Lävulinsäureamid, Dibromvalerolacton, Monobromlävulinsäure, Dibromlävulinsäure 1383; Tribromlävulinsäure Mono-

- chlorvalerolacton; Monochlordibromvalerolacton, Körper  $C_{10}H_{10}O_3$  1384.
- Wolff (N.), **83**: Fällung des Mangans aus ammoniakalischer Lösung 1566.
- 85**: mafsanalytische Bestimmung des Mangans im Eisen 1935; siehe Weber (A.).
- Wolff (R.), **77**: Canthariden 1013.
- Wolff (v.), **81**: Wirkung der Kieselsäure auf den Ertrag von Hafer 1284; zurückgegangene Phosphorsäure 1287.
- Wolff (W.), siehe Döbner (O.).
- Wolff-Blankenese (C. H.), **83**: spektroskopisches Verhalten des blauen Kamillenöls 1423.
- Wolfhügel (G.), **82**: Desinfection mit schwefliger Säure 1435.
- 83**: hygienische Beurtheilung der Beschaffenheit des Trink- und Nutzwassers 1527; siehe Koch (R.).
- Wolfien, siehe Willgerodt (C.).
- Wolfram (G.), **78**: Nitrocellulosen 923 f.; Abscheidung des Theobromins aus Cacao 1085.
- 79**: Ueberbromsäure 206 f.
- Wolfrum (L.), siehe Plöchl (J.).
- Wolkow, siehe Bugajew.
- Wollner (R.), **84**: Einwirkung von Cyan auf Natriumsulhydrat, Bildung von Trimethylsulfinjodid aus Rubeanwasserstoffsäure, Jodmethyl und Methylalkohol, aus Thiobenzamid, Einwirkung von Cyan auf Thiacetäure, Mercaptan und Mercaptide 483 f.; Darstellung einer Oxybase aus Kyanmethin 491; siehe Claus (A.).
- Wollny (E.), **80**: Kohlensäuregehalt der Bodenluft 1317 f.
- 86**: Schwankungen im Kohlen säuregehalt der atmosphärischen Luft 1798 f.
- Wollny (R.), **80**: Leinsamen 1067.
- 85**: Concentration der Reagentien nach dem System der Normallösungen zum Gebrauch im analytischen Laboratorium 1878; analytische Operationen und Apparate 1894 f.; quantitative Filtriren, Auswaschen, Decantiren, Extrahiren, Extraction von Flüssigkeiten, von innen wirkende Kühler, fractionirte Destillation, Untersuchung von Handelspetroleum, constant temperirte Wasserleitung, Vaporimeter, Trocknen, Gasentwicklungsapparate 1995.
- Wolpe (H.), **86**: Beziehung der Oxybuttersäure zur Ammoniakabscheidung im diabetischen Harn 1057.
- Wolters (J. A. W.), **78**: Darstellung von Schwefelsäureanhydrid 1122.
- 79**: Darstellung von Schwefelsäureanhydrid 1106.
- Wolters (W.), **84**: Gewinnung von Zucker als vierbasischen Zuckerkalk 1790.
- Wood (C.), **80**: Hochofenschlacken 1253.
- Wood (Ch.), siehe Stead.
- Wood (C. B.), **78**: Anwendung von Schlackenwolle 1105.
- Wood (C. H.) und Barret (E. L.), **82**: Ultrachinin, Verbindung von Chinin und Chinidin 1107.
- 83**: Verbindung von Chinin mit Chinidin 1347, von Chinin mit Benzol 1347 f.; von Cinchonidin mit Benzol, Nachweis von Cinchonidin neben Chinin 1348.
- Wood (E. F.), **85**: Modification der Molybdatmethode zur Bestimmung des Phosphors im Stahl 1911 f.
- 86**: Bestimmung des Phosphors im Eisen und Stahl 1920.
- Wood (H.), **78**: Cultur und Alkaloide der Chinapflanzen 873.
- Wood (H. C.), **78**: Saphorin 913 f.
- Wood (H. W.), **80**: Löslichkeit von festen Körpern in Gasen 41.
- Wood (J.) und Borden (J. L.), **85**: Bleioxychlorid und -oxyjodid 546.
- Wood (N. B.), **84**: Apparat zur Kohlenstoffbestimmung in Eisen und Stahl 1891.
- Wood (Th. F.), **82**: Cumarin aus *Liatris odoratissima* 1173.
- Wood (W. H.), **78**: Nichtexistenz eines Doppelsalzes von schwefelsaurer Thouerde mit schwefelsaurem Anilin 461, mit schwefelsauren Rosanilin 462.
- Woodcock (R. C.), **82**: Dialyse durch Gelatine: Dialyse von Strychnin 93.
- Woodward (A. S.), **82**: Analysen von amerikanischem Wad 1530.
- Woodward (C. J.), **78**: bewegliche Spritzflaschenspitze 1096.
- 81**: Wellenapparat 147.
- Woodward (C. J.) und Foye (M. H.), **80**: Spritzflaschen 1243.
- Wooldridge (L.), **82**: Untersuchung der Blutkörperchen, quantitative Bestimmung der farblosen Blutkörperchen 1204 f.; Umformung farbloser Zellen in Faserstoff 1205.
- Wooldridge (L. C.), **84**: Untersuchung über den Ursprung des Fibrinfermentes 1481 f.



- 85:** Gerinnen des Blutplasma's 1833 f.; Lecithin als Ursache des Gerinnens, Fibrinogen, Bildung von Fibrinferment, fibrinbildende Bestandtheile des Blutplasma's 1834.
- 86:** Untersuchungen über Blutgerinnung: A-, B- und C-Fibrinogen 1841.
- Woolworth, siehe Albright.
- Woringer (L.), **85:** Untersuchung der Camphansäure 1534 bis 1536; Bromcamphersäureanhydrids 1534; Camphansäure, Campholacton, Lauro-nolsäure 1535; Oxysäure  $C_8H_{14}(OH)COOH$  1536.
- Wormley (Th. G.), **82:** Gelsemium sempervirens: Gelseminsäure, Gelsemin 1172 f.; quantitative Bestimmung von Harnstoff 1304.
- Worm-Müller, **84:** quantitative Bestimmung des Traubenzuckers im Harn nach verschiedenen Methoden 1650, nach Roberts 1681.
- 86:** polarimetrische Bestimmung des Traubenzuckers im Harn 1855; Ausscheidung des Harnzuckers bei Diabetes nach Genuss von Kohlehydraten 1856; siehe Müller (Worm).
- Worms (R.), **82:** Benzoyl- $\alpha$ -naphthylamid 719; isomere Mononitronaphtole aus Mononitrobenzo- $\alpha$ -naphthylamiden 719 ff.;  $\beta$ -Nitroso- $\alpha$ -naphthol-Benzoyläther 720; isomere Benzenylamidonaphtole aus Nitrosonaphtolen 720 f.;  $\alpha$ -Nitroso- $\beta$ -naphthol-Benzoyläther 721.
- Woronzeff, **77:** Dipropoxalsäure 726.
- Worthington (A. M.), **82:** Erscheinungen beim Auffallen von Tropfen 68.
- 85:** das Vacuum als Leiter der Electricität 294.
- Wortmann (J.), **82:** Lösung der Stärke durch Bacterien 1247 f.
- Worpelmeier (Th. J.), **83:** Ermittlung des Procentgehaltes von Alkohol 1602.
- Wrappelmeyer (E.), siehe Gattermann (L.).
- Wreden (F.), **77:** Benzolabkömmlinge und Camphersäure gegen Jodwasserstoff 371; Tetrahydroisoxylol, Kohlenwasserstoff  $C_8H_{16}$  373; Camphersäuren 374; Camphersäure gegen Jodwasserstoff, Tetrahydroisoxyloldicarbonsäure, Tetrahydroisoxylol 799.
- 78:** flüssiger Campher 640.
- Wreden (F.) und Znatowicz (B.), **77:** Naphtalin gegen Jodwasserstoff, Hexahydrocymol 372; Hexa- und Octohydronaphtalin 378.
- Wright und Patterson, **78:** Analyse des Saftes unreifer Maulbeeren 963.
- Wright (A.), **77:** Spiegelüberzug auf Glas 1167; Eisen im Wein 1202.
- 81:** Gas- und Flüssigkeitsbasen im Rauchquarz 1358.
- 84:** Verwendung der Kupfer-Ammoniumverbindungen zum Undurchdringlichmachen und Conserviren von Papier und Geweben 1834.
- 86:** elektromotorische Kraft von Zellen mit Aluminiumelektroden 261 f.; siehe Piesse (Ch. H.).
- Wright (A. W.), **77:** Metallbeschläge durch Entladungen 169.
- 78:** elektrische Ablagerung von Metallen 1114.
- 81:** Quecksilberdestillation 1232.
- Wright (B.), **82:** Phosphorgehalt des Stahles 1289.
- Wright (C. R. A.), **77:** Noropiansäure 770, 883; Cotarninverbindungen 882; Alkaloide aus Aconitum 889.
- 79:** Veratrum viride 827.
- 80:** chemische Affinität 7; chemische Affinität in Ausdrücken der elektromotorischen Kraft 151.
- 81:** Bestimmung der Affinität durch elektromotorische Kraft 91.
- 82:** chemische Affinität in Ausdrücken der elektromotorischen Kraft 9; Berechnung der elektromotorischen Kraft aus der Wärmewirkung 142 f.
- 83:** Verwendung von Cuprammonium- und Zinkammoniumverbindungen 1738.
- Wright (C. R. A.) und Luff (A. P.), **77:** chemische Dynamik 91.
- 78:** Reduction von Metalloxyden 232 f.; Pseudoaconitin 899 f.; Pseudoaconin 900; Apopseudoaconin, Apopseudoaconitin 901 f.; Aconitin 902 f.; Basen der Aconitarten 904 f.; Alkaloide des Sabadillasamens 905.
- 79:** Aconitalkaloide 823 f.; Veratrumalkaloide 825 f.
- Wright (C. R. A.), Luff (A. P.) und Bennie (E. H.), **79:** chemische Dynamik 27 f.
- Wright (C. R. A.) und Menke (A. E.), **79:** Muttersubstanz des Japaconitins 824 f.
- 80:** Mangansuperoxyd 316 f.
- Wright (C. R. A.) und Rennie (E. H.), **80:** chemische Dynamik, Wärmeent-

wicklung bei chemischen Processen und die elektromotorischen Kräfte 85; Dibenzoylmorphin 957.

**81:** Glycophyllin aus *Smilax glycyphylla* 1023.

Wright (C. R. A.) und Thompson (C.),

**83:** elektromotorische Kraft des Clark'schen Elementes 208.

**84:** Abhängigkeit der elektromotorischen Kräfte von der Beschaffenheit der Ketten 240 f.; Bestimmung der elektromotorischen Kraft eines Elementes aus den voltischen Constanten 241 f.

**85:** Beziehungen zwischen der chemischen Affinität und der elektromotorischen Kraft 238 ff.; Untersuchung über Seifen: Verhalten von Kaliseife gegen Natriumcarbonat und Chlornatrium, von Natronseife gegen Kaliumcarbonat und Chlorkalium 2185; Untersuchung der Ammoniumseifen 2185 f.; Wirkung des Wassers auf Seifen, Bestimmung von freiem Alkali in Seifen 2186.

Wright (L.), **83:** Herstellung der Newton'schen Farbenscala aus Glimmerblättchen 255.

**84:** Einfluss der Destillationstemperatur auf die Zusammensetzung des Steinkohlengases 1808 f.

Wright (L. T.), **78:** Ursachen der Bildung kleiner Mengen von salpetriger Säure und Salpetersäure beim Verbrennen von Wasserstoff oder Kohlenwasserstoffen 221.

**79:** Bildung von Stickstoffoxyden beim Verbrennen von Wasserstoff oder Kohlenwasserstoffen 212.

**80:** Leuchtgas 1362.

**81:** Kaliumnitrit gegen Chlorammonium, Synthese von Ammoniak 177.

**83:** Verhalten des Eisenoxydhydrates gegen Schwefelwasserstoff 362 f.; Colloidalzustand des Kupfersulfids und Eisensulfids 397; Bestimmung von Schwefelwasserstoffgas und Kohlensäure im Leuchtgas 1598 f.

**85:** Leuchtkraft des Leuchtgases und des Methans 2166 f.; Untersuchung von Gaskohlen, Ausbeute an Theerölen mit dem Ofen von Jamieson 2173.

Wright (R. A.), **86:** Fabrikation der Toiletteseifen 2159.

Wrightson (T.), siehe Roberts (W. Ch.).

Wrightson (Th.), **80:** Veränderungen des Eisens und Stahls 318 f.

Wroblewsky (E.), **77:** Xylidin, Nitroxylol 476.

**78:** Benzolderivate 382 f.; Quelle bei Ekalerinodar 1314.

**79:** neue Schreibweise für Strukturformeln aromatischer Verbindungen 319; Xylidine 439.

**80:** Mononitroxylol, Verhalten 496.

**81:** isomere Xylidine 466.

**82:** Benzolformeln 407; Mononitroisophtalsäure aus Mononitroxylol 464.

**84:** Darstellung von Phenoläthern aus schwefelsauren Diazoverbindungen 798.

**85:** Identität des o-Xylidins mit dem benachbarten Xylidin (1, 2, 3) 897 f.

**86:** o-Xylidine 853.

Wroblewski (J. v.), **85:** Phänomene beim Verdampfen der Gase im Vacuum, Siedepunkte von Stickstoff, Sauerstoff und Kohlenstoff 61.

Wroblewski (S. v.), **77:** Diffusion der Gase 65.

**78:** Verbreitung der Kohlensäure in reinem Wasser 46.

**79:** Absorption der Gase 72; Verbreitung der Gase in einer Flüssigkeit 75 f.

**81:** Diffusion von Flüssigkeiten, Anwendung der Photometrie zur Untersuchung 73 ff.

**82:** Kohlensäure gegen Wasser (Kohlensäurehydrat) 73 ff.; Absorption von Gasen 75 f.; Kohlensäurehydrat 251 f.

**83:** Dichte des flüssigen Sauerstoffs 75; Temperaturerniedrigung bei der Ausdehnung des flüssigen Sauerstoffs und Stickstoffs 76; Löslichkeit der Kohlensäure im Wasser 87.

**84:** Anwendung des verflüssigten Methans als Abkühlungsmittel, verflüssigtes Aethylen 196 f.; Siedetemperaturen des verflüssigten Methans, Verflüssigung von Wasserstoff 197; Siedetemperaturen des verflüssigten Sauerstoffs 197 f.; Verflüssigung des Wasserstoffs 321 f.; Dichte des flüssigen Sauerstoffs 324; Siedetemperatur des Sauerstoffs, der Luft, des Stickstoffs und Kohlenoxyds 328; siedender Sauerstoff als Kältemittel

- 328 f.; flüssiges Aethylen und Methan als Kältemittel 330.
- 85:** Erscheinungen bei der Comprimierung von Luft 69 ff.; Gebrauch verflüssigter permanenter Gase als Kälteerzeugungsmittel 137 ff.; Erscheinungen bei der Verdunstung der permanenten Gase im Vacuum, Grenze der Anwendbarkeit des Wasserstoffthermometers und die durch die Ausdehnung des verflüssigten Wasserstoffs erzielte Temperatur 141 ff.; über das Verhalten der flüssigen atmosphärischen Luft 143; elektrischer Widerstand des Kupfers bei den höchsten Kältegraden 255 f.; Verhalten der flüssigen atmosphärischen Luft 406 ff.
- 86:** Darstellung des Zusammenhanges zwischen dem gasförmigen und flüssigen Zustande der Materie 14 f.; Zusammenhang zwischen dem gasförmigen und zwischen dem flüssigen Zustande der Materie durch die Isopyknen (kritische Temperatur) 62 f.; Dichte der flüssigen atmosphärischen Luft 70 f.
- Wroblewski (S. v.) und Olszewski (K.), **83:** Verflüssigung von Sauerstoff, Stickstoff, Kohlenoxyd, Erstarrung von Schwefelkohlenstoff und Alkohol 75 f.
- 84:** Verflüssigung des Sauerstoffs, Stickstoffs und Kohlenoxyds 324.
- Wrubel (F.), **81:** Sicherheitslampen 1236.
- Wülffing, siehe Zincke (Th.).
- Wülfing (A.), **86:** Trennung der Toluidine 806.
- Wüllner (A.), **77:** Temperatur des Wasserdampfes 56; spezifische Wärme des Wassers 94; elektrische Influenz auf nichtleitende Körper 168.
- 78:** Bestimmung des Verhältnisses der beiden specifischen Wärmen 73, 74.
- 79:** Sauerstoffspectrum, Photographien, Bandenspectrum und Linienspectrum 160.
- 80:** spezifische Wärme des Wassers 91.
- 81:** Spectrum von Kohlenstoffverbindungen 123, des Wasserstoffs und Acetylens 123 ff.; Erhitzung des Eises 1073; Apparat zur Verdampfung von Eis 1233.
- 82:** Dispersionsformel für farblos durchsichtige Medien 168 f.; Untersuchung mit Geißler'schen Röhren 184.
- 84:** Anwendbarkeit der für die ultraroth Strahlen geltenden Dispersionsformel für die sichtbaren Strahlen 298.
- Wüllner (A.) und Grotian (O.), **80:** Dichte und Spannung gesättigter Dämpfe 51 f.
- Wüllner (A.) und Lehmann (O.), **86:** Entzündbarkeit explosiver Grubengasgemische durch elektrische Funken und glühende Drähte 2081 ff.
- Würthner (E.), siehe Lellmann (E.).
- Wüsten (M.), siehe Wallach (O.).
- Wulff, **84:** Analyse von Enstatitporphyrit 2013 f.
- Wulff (P.), **85:** Versuche über fractionirte Destillation 159 f.
- Wulff, **81:** Krystallform von Diphenyläthylmethylarsoniumjodid 893.
- Wulff (G.), **84:** thermoelektrische Eigenschaften des Quarzes 234.
- Wulff (L.), **79:** Krystallform der isomorphen Nitrate der Bleigruppe 281 f.
- 83:** über das Wachsthum der Krystalle 2 f.
- Wulff (Th.), **85:** Zusammensetzung eines Kesselsteinmittels 2162.
- Wulfsberg, **81:** Jodwismuth-Trime-thylamin 402.
- Wulsing (A.), **86:** Trennung von p- und o-Toluidin durch die Azoverbindungen 2066 f.
- Wunderlich (A.), **86:** Configuration organischer Moleküle 33; substituirte Carbamincyanamide (Additionsproducte von Isocyanaten und Senfölen mit Natriumcyanamid) 552 f.; Verhalten der Carbamincyanamide gegen Schwefelammonium: Thiobiurete 553 f.
- Wunderlich (F.), **81:** Trennung des Quarzes von der Kieselsäure 1177; Bleibestimmung 1192; siehe Biewend (R.).
- Wundt (E.), **78:** Verhalten von o-Phenylendiamin gegen Ameisensäure und Propionsäure 470; Krystallform des Methyl-o-phenylendiamins 471.
- Wurm (F.) und Zimmerhackel, **82:** magnetische Basalte von Böhmischem Leipa 1611.
- Wurm (W.), **85:** Untersuchung des Tetronerythrins 1848.
- Wurster (C.), **77:** Leimung von Papier, harzs. Natron 1224.

**78:** Bestimmung der Stärke des Farbstoffs und der Mineralsubstanzen im Papier 1174.

**79:** Phenylendiamin, Methylderivate 422 f.; Nitro-p-dimethylanilin 424 f.

**86:** Zusammenhang zwischen Aktivierung des Sauerstoffs, elektrischen Erscheinungen und Entstehung der Gewitter in der Atmosphäre 324 f.; Nachweis von activem Sauerstoff 1907; Nachweis von salpetriger Säure neben Wasserstoffsuperoxyd 1916; siehe Fittig (R.); siehe Tedesco (A.).

Wurster (C.) und Beran (A.), **79:** Tribrommononitrobenzol 387.

Wurster (C.) und Morley (H. F.), **79:** Tetramethyl-m-phenylendiamin 427 f.

Wurster (C.) und Riedel (C.), **79:** Nitrosoderivate des Dimethyl-m-toluidins 432 f.

Wurster (C.) und Roser (L.), **79:** Ferro- und Ferricyanverbindungen gegen tertiäre Amine 412 f.

Wurster (C.) und Scheibe (A.), **79:** Bromdimethylanilinderivate 421 f.

Wurster (C.) und Schobig (E.), **79:** Tetramethyl-p-phenylendiamin 428 f.

Wurster (C.) und Sendtner (R.), **79:** Dimethyl-p-phenylendiamin, Mononitrodimehtyl-p-phenylendiaminoxaminsäureäther 426 f.

Wurtz (A.), **77:** Dissociation des Chloralhydrates und Gesetze von Avogadro 143, 145, 146; Dampfdichte des Chloralalkoholates 147; polymeres Äthylenoxyd 522; Mutterlauge der Salzgärten 1143.

**78:** Dissociation des Chloralhydrates 119; Polymerisation des Äthylenoxydes 523; isomerer Acetaldehyd 612.

**79:** Constitution der Materie im Gaszustande 69; Verhalten des Kupferhydrärs 124; Dissociation des Chloralhydrates 128 f.; Aldolammoniak 554 f.; Collidin 555.

**80:** periodisches Gesetz 3; Dissociation des Chloralhydrates 140 f.; Kupferhydrür 329 f.; Base aus Daldan 524 f.; Papain 1135 f.

**81:** Daldanalcohol, Daldanacetyläther 515; Aldol 599; Dissociation von Phosphorpentachlorid 1135; Wirkung von Papain und Pepsin 1147.

**82:** Amine gegen Äthylenchlorhydrin (Collidin- und Chinolinderivate) 498 f.

**83:**  $\beta$ -Butylglycol (Butylenglycol) und Derivate 860 f.; Condensation von Aldol und Paralldol 953 f.; Aldol und Daldan aus Crotonaldehyd 956; Oxäthyl-o-oxychinolinchlorid 1319; die Farbstoffe des Krapps 1794.

**84:** Gesetz der Aequivalenz der elektrolytischen Prozesse 263.

Wurtz (A.) und Bouchut (E.), **79:** Papain in Carica papaya 1019.

Wurtz (A.) und Henninger (A.), **85:** Einwirkung von Chlorkohlensäureäther auf cyansaures Kalium 1168 f.; Carboxäthylcyanat (Carboxäthylcyanurat, Cyanursäure-Carboxäthyläther) 1168; Carboxylurethan (Carboxäthylurethan), Verbindung  $C_{11}H_{15}N_3O_7$ , Cyanursäure-Äthyläther 1168 f.; Äthyl-Dicarboxäthylcyanurat, Diäthylcarboxäthylcyanurat 1169.

**86:** Einwirkung von Chlorkohlensäureäther auf cyansaures Kalium 1168 f.

Wurtz (F.), siehe Lefort (J.).

Wurtz (H.), **77:** chemische Energie 20.

**80:** Huntillith und Animikit 1403.

Wynne (W. O.), siehe Armstrong (H. E.).

Wynne (W. P.), siehe Japp (F. R.).

Wynter Blyth (A.), **80:** spezifisches Gewicht der Butter 1119.

**86:** neuere Desinfektionsverfahren für Bacterien resp. Canalwässer 2114.

Wyrouboff (G.), **77:** Ferricyan- und Schwefelcyanmetalle 330.

**79:** isomorphe Körper 9; Aetzfiguren amorpher Silicate 10; optische Eigenschaften isomorpher Mischungen 147 f.

**80:** Isomorphismus 2; Winkel der optischen Axen in isomorphen Mischungen 187; krystallographische Beziehungen der Chromate und Sulfate 308 f.; Kaliumplatinrhodanid 403.

**81:** Kaliumtri- und tetrachromat 231.

**82:** krystallographische Untersuchung und Isomorphismus wasserfreier Lithiumdoppelsulfate 266 f.

**83:** über Isomorphismus 6 (Anm.); Isomorphismus von unterschwefels. Thallium und unterschwefels. Kalium,

Di- und Trimorphismus, Zusammenkrystallisiren von Ammontrichromat mit Kaliumtrichromat, Isomorphie von Kaliumthallium- und Kaliumindiumchlorid, von wasserfreiem Natriumsulfat und -chromat 7; Dimorphismus des sauren Kaliumsulfates (Mesonit) 8 f.

**84:** Brechungsexponent von ammoniakalischem Seignettesalz 285; optische Eigenschaften des Strychninsulfates, Gruppeneintheilung der drehenden Verbindungen 302; künstliche Darstellung drehender Substanzen 303, 304; optische Erscheinungen beim Bleihyposulfat 424 f.; Thalliumhyposulfat, Isomorphismus 425; krystallographische und optische Eigenschaften einiger Salze der Wein- und Traubensäure 1130 f.; Krystallform von Lithiumperchlorat 1131.

**85:** Brechungsexponenten des Ammonium-Seignettesalzes 305; Krystallform des Bleihyposulfates 305 f.; optisches Verhalten des Strychninsulfates, Krystallform von unterschwefelsaurem Blei 306; meßbare Krystalle einer zweiten Modification des sauren schwefelsauren Kaliums 459 f.; Krystallform des überchlorsauren Lithiums 461, einiger weins. Salze 1373 f.; saures traubens. Ammonium, Thalliumoxyd, Kalium, Rubidiumoxyd 1373; neutrales Thalliumtartrat, Rubidiumtartrat; saures Thalliumtartrat, Rubidiumtartrat 1374.

**86:** Zersetzung von traubensaurem Natrium-Ammonium und Kalium-Natrium 1 f.; Structur der optisch activen Krystallverbindungen 3; Isomerie (Metamerie) und Polymorphismus 3 f.; Allotropie 4; Isomorphismus von traubensaurem Ammon mit traubensaurem Thallium und von weinsaurem Ammon mit weinsaurem Thallium 5 f.; Krystallform von Chlorbaryum 392; Zusammensetzung und Krystallform von traubensauren und weinsauren Salzen 1350 f.

Wysf (G.), **77:** Glyoxalin gegen Chloracetyl, Essigsäureanhydrid und Chlorbenzol, sowie Brom 433; Homologe des Glyoxalins, Glyoxalin gegen Oxydationsmittel und salpetrige Säure, Glyoxalinsilber 434; siehe Gnehm (B.).

Wyszynsky, **84:** Herstellung von Kefir 1676.

## Y.

Yardley (H. B.), **83:** Bestimmung von Stickstoff in Mischungen von stickstoffhaltiger organischer Substanz, Ammoniaksalzen und Nitraten 1589.

**84:** Untersuchung über das Zurückgehen der Phosphorsäure in Superphosphaten.

**85:** Kjeldahl'sche Stickstoffbestimmungsmethode 1948; Zurückgehen der Phosphorsäure in Superphosphaten 2126.

Yeatman (F. J.), **85:** acustische Bestimmung der Dampfdichte 44 f.

Yeo (G. F.) und Herroun (E. F.), **84:** Untersuchung menschlicher Galle 1487.

York (L.), **85:** Coaksöfen und Gasgeneratoren 2170.

Yoshida (H.), **81:** Maltose aus japanischem Amé 984.

**85:** Untersuchung des Campheröls 1820 f.; Terebenten, Citren, Camphorogenol 1820; Bildung von Borneol und Cymol 1821; siehe Atkinson (R. W.); siehe Kellner (O.).

Yoshii (T.), siehe Kellner (O.).

Young, siehe Sydney Young.

Young (A. A.), **82:** Sandstein aus Wisconsin 1618.

Young (A. B.), siehe Kayser (A.).

Young (A. L.) und Dixon (G. F.),

**77:** Metallsulfate gegen Salzsäure 29.

Young (A. V. E.), **86:** thermochemische Analyse der Reaction zwischen Alaun und Kalihydrat 212 f.

Young (C. A.), **80:** spectroscopische Untersuchungen 205; Wiederumkehrung der Natriumlinien 208.

**83:** spectroscopische Beobachtungen von Sonnenflecken 243.

Young (J.) und Forbes (G.), **81:** Geschwindigkeit von weißem und farbigem Licht 109.

Young (S.), **80:** Eisen, Bestimmung 1179.

**82:**  $\alpha$ -Aethyl- und  $\alpha$ -Aethylmethyl- $\beta$ -acetopropionsäure gegen Natriumamalga:  $\alpha$ -Aethylvalerolacton,  $\alpha$ -Aethyl- $\beta$ -methylvalerolacton, Oxyheptylsäure, Oxyoctylsäure 883 f.; Ketolactonsäure aus  $\beta$ -Aethylacetobernsteinsäureäther 891 f.

**83:** Wollaston'scher Kryophor

- 120 f.;  $\alpha$ -Aethylvalerolacton 981; Reaction auf Gallussäure 1607; siehe Ramsay (W.).
- Young (T. G.), **77**: Gas der Hundsgrotte 1369.
- Young (W. C.), **80**: Alaun in Brod und Mehl 1221; siehe Heisch (C.).
- Yssel de Schepper (H.) und Geitel (A.), **82**: Untersuchung der Fette 1436.
- Yung (E.), **79**: Einfluss verschiedener Lichtarten auf die Entwicklung der Thiere 948; Wirkung verschiedener Gifte 992.
- 82**: Einfluss physikalisch-chemischer Mittel auf lebende Wesen 1185.
- 83**: kosmischer Staub von Genf und vom Mont Salève 1952.
- 84**: Untersuchung eines mit dem Schnee bei Genf getallenen Staubes 2039; siehe Pictet (R.).
- Yver (A.), **80**: Cadmium vom Zink 1188.
- Yvon, **77**: Wismuthnitrat 279.
- 79**: Fuchsin im Weine 1075.
- 82**: Reindarstellung und Prüfung des Chloroforms 433.
- Yvon (M.), **78**: Wurzelrinde von Thapsia Garganica und Thapsia Silphium 976.
- Yvon (P.), **79**: Mutterkornextracte 829.
- Z.**
- Zaayer (H. G. de), **86**: Andromedotoxin aus Rhododendron und Azalea 1762 f.
- Zaboudsky, **84**: Hydrat des Kohlenstoffs 368 f.; Jodderivat desselben 369.
- Zabrocki (R.), siehe Harnack (E.).
- Zabudsky (G.), **82**: Kohlehydrat aus Gufseisen 1127, 1288 f.
- 83**: Bestimmung des Kohlenstoffs im Gufseisen und Stahl 1554, 1673.
- 84**: Kieselsäurehydrat aus Gufseisen 373; Methode zur Bestimmung von Kohlenstoff in Eisen und Stahl 1585.
- Zagoumeny (A.), **80**: Tetraphenyläthan 467.
- 81**: Benzpinakon und Benzpinakolin 516 f.
- Zahn (v.), **78**: Spectrophotometer 1097.
- Zahn (W. v.), **80**: Aenderung der Spectrallinien 200 f.
- Zahony (H. v.), siehe Kellner (C.).
- Zaleski (St.), **85**: Nachweis von Kohlenoxydhämoglobin 1992.
- 86**: Ausscheidung des Kohlenoxyds aus dem Thierkörper (Kohlenoxydblut) 1861 f.
- Zaleski (St. Szcz.), **86**: Studien über die Leber (Eisengehalt: Hepatin) 1837 ff.; Siderosis pathologica 1839.
- Zaloziecki (R.), **86**: Leuchtkraft des Erdöles 2154.
- Zambelli (J.), **86**: Nachweis und colorimetrische Bestimmung der salpetrigen Säure 1916.
- Zambelli (L.) und Luzzato (E.), **86**: Trennung des Arsens von Antimon bei toxikologischen Untersuchungen 1925.
- Zander, **81**: Rhachitis, Frauenmilch 1042.
- Zander (A.), **81**: Xanthium strumarium (Xanthostrumarin) 1024 f.
- 82**: Untersuchung spezifischer Volumina 27 f.
- 83**: spezifisches Volumen organischer Verbindungen 72.
- 84**: spezifische Volumina organischer flüssiger Verbindungen 79 ff.; siehe Lossen (W.).
- Zander (O.), **78**: Untersuchung der Semines Cataputiae minoris 973 f.
- 79**: Amidobenzoldisulfosäuren 746 f.
- Zanelli (Hugo), **86**: Nachweis von Blutflecken durch Häminkrystalle auf Geweben 2006.
- Zanna (G. del), **86**: Untersuchung der Fumarimide aus Asparagin, äpfel- und fumarisaurem Ammonium, Phenol 1345.
- Zanoni (E.), **82**: Darstellung von  $\beta$ -Methylpyridin ( $\beta$ -Picolin) 498.
- Zatzek (E.), **82**: Säuren im Bienenwachs 1230; siehe Hönig (M.).
- Zay (O. E.), **83**: Trimethylamin-Goldchlorid 637.
- Zdráhal, **81**: Quecksilberprobe für Stupp 1252.
- Zech (C. O.), **81**: Bragabier 1310.
- Zechini (M.), **82**: Nachweis von Baumwollensamenöl in Olivenöl 1337; siehe Cossa (A.).
- Zeeh, siehe Claus (A.).
- Zega (A.), siehe Hatschek (A.).
- Zega (A.) und Buch (K.), **86**: Einwirkung von Anilin auf Orcin; Ph-

- nyl-m-oxytolylamin und Derivate 795 f.; Phenyl-m-tolylamin 796 ff.
- Zehenter (J.), **81**:  $\alpha$ -Dioxybenzoesäure gegen Brom und Schwefelsäure 778 ff.; Sulfo- $\alpha$ -Dioxybenzoesäure 882.
- 84**: Einwirkung von Phenol und Schwefelsäure auf Hippursäure, Sulfo-phenylglycocol 1206 f.
- 85**: Untersuchung der aus Hippursäure, Phenol und Schwefelsäure entstehenden Säure 1470.
- Zehnder (L.), **86**: Bestimmung des spezifischen Gewichtes leicht löslicher Körper (Pyknometer) 69 f.
- Zeidler (F.), **77**: Amylene gegen Oxydationsmittel 365; Allylacetessigäther 689; siehe Othmar.
- Zeidler (O.), **78**: Untersuchung des Rohanthracens 397; Campherchloralhydrat, Campherchloralalkoholat 645.
- Zeisel (S.), **78**: Ursache der Bildung von Aldehyd resp. Crotonaldehyd aus Acetylen 371.
- 83**: Colchicin, Colchicein und Apocolchicein aus Colchicin 1353.
- 84**: Verbindung von Colchicin mit Chloroform 1396.
- 85**: quantitativer Nachweis von Methoxylgruppen 1955 f.
- 86**: Verhalten von Crotonaldehyd gegen Chlor:  $\alpha$ - $\beta$ -Dichlorbuttersäurealdehyd,  $\alpha$ - $\beta$ -Dichlorbutyrylchlorid 1629 f.; Verhalten des letzteren gegen Wasser:  $\alpha$ - $\beta$ -Dichlorbuttersäure und Salze 1630; Colchicin 1727 ff.; Colchicein 1729 ff.; Bestimmung des Meth- und Aethoxyls, des Methylalkohols 1958; siehe Lieben (A.).
- Zeitler (H.), siehe Klinger (A.); siehe Weyl (Th.).
- Zeitler (X.), siehe Weyl (Th.).
- Zeitzschel, **77**: Heubachit 1281.
- 78**: Basalt und Dolerit 1288.
- Zelinsky (N.), **85**: Einwirkung von Methylamin auf  $\beta$ -Methylglycidsäure (Methylamidooxybuttersäure) 1350 f.
- Zeller (A.), **83**: Schicksale des Jodoforms, Bromoforms und Chloroforms im Organismus 1473 f.
- Zeller (C. F.), **83**: Chininreaction 1212.
- Zeltner (J.), **80**: Ultramarinroth 1380.
- Zenger (Ch. V.), **83**: Spectroskop à vision directe 240.
- 85**: Optometer zur Bestimmung der Sehweite zur Bestimmung der Sehweite anormalen Augen 301; Spectroskop für den Hochofen- und Bessemerproceß 317.
- Zenger (C. W.), **84**: Universalelektrometer 232.
- Zenisek, **78**: Gewinnung des Zuckers aus Melasse 1152.
- Zepharovich (v.), **84**: Krystallform von Oxyisocamylphosphinsäure 1360, von Oxyisobutylphosphinsäure 1361.
- Zepharovich (V. v.), **77**: Krystallform von Camphersäure und Derivaten 640, von Pimelinsäure und Sulfocamphylsäurederivaten 642; Bleiglanz 1262; Thuringit 1320; Natrolith 1332.
- 78**: Mononitroheptylsäure 642; propionsäure Salze 692;  $\beta$ -Dibrompropionsäure 693; Krystallform des Friesits 1207 f.
- 79**: Krystallformen des Jodsilbers 306; Camphocarbonsäure 565 f.; Enargit 1186.
- 80**: Arsenkies 1403; Eisenvitriol 1425 f.; Grammatit 1464; Phillipsit 1467; metamorphosirte Substanz 1486.
- 81**: Krystallform von Campherkohlenensäurechlorid 836; Krystallform von bromwasserstoffs-, jodwasserstoffs- und saurem weins. Coniit 927.
- 82**: Krystallform des  $\alpha$ - und  $\beta$ -Dibromcampher 772; Krystallformen am Zinnstein von Schlaggenwald 1528, von Anatas 1528 f.; Baryt aus Krain 1537 f.; Krystallformen am Kainit von Stassfurt 1539 f.
- 83**: kristallographische Messungen der Dibromcampher 998; Krystallform des Kaliumbromdinitromethans, des Dibromnitrocamphers 999, des Mononitrooxycamphers 999 f.
- 84**: optische Untersuchung von Brookit 1916; Untersuchung von Molybdänblei 1937; Messung von Skolezit 1978; Untersuchung von Perowskit, Auffassung als umgewandeltes Chromeisen 1993.
- 85**: Krystallform des Chelidonsäure-Aethyläthers 1422, des Oxy- pyridins (Pyridons) 1423 f., des chlorwasserstoffs. Oxy- pyridin-Platinchlorids, des chlorwasserstoffs. Methyl- oxy- pyridin-Platinchlorids 1424, des Platin- doppel- salzes des Methyloxy- pyridin- methyl- chlorids 1425, des chlor- wasserstoffs. Mono- chlor- pyridin-Platin- chlorids 1426, der Anhydro- camphor- säure 1524; Vorkommen von Ortho- klas 2296 f.

- 86:** Krystallform von Derivaten der Chelidonsäure und des Oxypyridins 1389; Krystallform der Oxönanthyl- und Oxypopylphosphinsäure 1608: siehe Moore (G. E.).
- Zepharovich (V. v.) und Gintl (W. F.), **78:** Dolomit von Bleiberg 1221; Glaubersalzkrystalle von Aufsee 1224.
- Zetter (G.), **77:** Octochlorphenanthren, Diphensäure, Carbazol und Benzidin, Dichlorphenanthrentetrachlorür 420.
- 78:** Halogenderivate des Phenanthrens 421 f.; siehe Merz (V.).
- Zettermann (F.), **81:** spezifische Wärme der Mischungen von Wasser mit Methyl-, Aethyl- und Propylalkohol 1096.
- Zetzsche (P.), **85:** Zusammensetzung gegossener Stahlblöcke 2027.
- Ziegeler (G. A.), **85:** Darstellung der Phosphorsäure 434; Spritzflasche 2000.
- Ziegenspeck (H.), **84:** Untersuchung der Laven vom Vulkan Yate 2026.
- Zieger (J.), **82:** Neuerungen in der Bierbrauerei 1449.
- Ziegler (A.) und Kelbe (W.), **80:** m-Isopropyltoluol (Cymol) 447 f.
- Ziegler (E.), **85:** Beize aus Catechu (Gambir, terra japonica) 2256.
- Ziegler (G.), siehe Limpricht (H.).
- Ziegler (G. A.), **86:** Nachweis von Hippursäure, Harnsäure und verschiedenen organischen Säuren 1964 f.
- Ziegler (J.), siehe Fischer (O.).
- Zikes (H.), **85:** Darstellung der Chlorhydrine des Butenylglycerins: Butenylmonochlorhydrin, Butenylepiclorhydrin, Butenylchlorhydrin, Aceto- und Diacetobutenylmonochlorhydrin 1177 f.
- Zilken (J.), **81:** Verzinzen 1250.
- Zimmer (C.), **84:** Brauverfahren 1788 f.
- Zimmerhackel (P.), siehe Wurm (F.).
- Zimmermann, **84:** Untersuchung von Schwerspath aus Dolomit 1934.
- Zimmermann (A.), **84:** technische Darstellung flüssiger Kohlensäure 1728.
- 85:** Jamin'sche Kette (capillarer Widerstand) 78; siehe Michler (W.).
- Zimmermann (Cl.), **79:** Scheidung der Schwermetalle der Schwefelammoniumgruppe 1051.
- 80:** Uranylsulfid 351 f.; Schwermetalle der Schwefelammoniumgruppe 1178 f.; Uranylsalze gegen Curcumpapier 1184.
- 81:** Dampfdichte von Uranbromid und -chlorid 4; Uransalze der Alkalien 292; Titrierung von Eisenoxydul 1185.
- 82:** Darstellung, spezifische Wärme, Atomgewicht des Urans 16; spezifisches Gewicht des Urans 17; Uran und Uranverbindungen 327 ff.; Titrierung von Eisenoxydulsalzen, Uranoxydul- und -suboxydulverbindungen, Chromoxydsalzen 1286 f.
- 83:** Atomgewicht und spezifische Wärme des Urans 39.
- 84:** spezifische Wärme des Urans 169.
- 86:** Bestimmung des Atomgewichts und Reindarstellung von Kobalt und Nickel 49 bis 52; Untersuchungen über das Uran (Atomgewicht, Ueberuransäure) 436 f.; siehe Pettenkofer (M. v.).
- Zimmermann (H.), siehe Kunheim (H.).
- Zimmermann (J.), **79:** Phenylbetaïn 599.
- 80:** p-Amidodiphenyl, Derivate 547 f.; Azoverbindungen des Diphenyls 580 f.
- 82:** Phenylendiamin und Toluylendiamin gegen Chloressigsäureäther: m-Phenylendiglycocolläthyläther 530 f.; siehe Dennstedt (M.); siehe Gabriel (S.).
- Zimmermann (J.) und Knyrim (M.), **83:** primäre Diamine gegen Monochloressigsäure-Aethyläther: m- und p-Phenylendiglycocoll - Aethyläther, Toluylendiglycocoll - Aethyläther 717.
- Zimmermann (J.) und Müller (A.), **84:** directe Synthese des Pararosanilins 770; Darstellung von p-Nitrobenzoësäure 1200; von  $\beta$ -Dichinolylin 1381.
- 85:** Darstellung von p-Mononitrobenzylidenchlorid 736 f.
- Zimmermann (K.), siehe Nietner (H.).
- Zimmermann (O.), siehe Claus (A.).
- Zimmermann (R.), siehe Michler (W.).
- Zincolle, **81:** Zymometer 1145, 1235.
- Zincke (Th.), **77:** Hydrobenzoïne 541.
- 79:** Hydrobenzoïne bei der Oxydation 505; theoretische Betrachtungen über die Hydrobenzoïne 508.



- 81:** Chinone gegen Amine 635 f.; Dianilid aus  $\alpha$ - sowie  $\beta$ -Naphtochinon 648.
- 82:**  $\beta$ -Naphtochinonanilid: Salze, Aether; Verhalten gegen Brom, Salpetersäure, salpetrige Säure, Umwandlung in  $\alpha$ -Naphtochinonanilid 782 f.;  $\beta$ -Naphtochinon-p-toluidid und Aether,  $\beta$ -Naphtochinon-o-toluidid 783;  $\beta$ -Naphtochinonanilid, Oximidonaphtol, Diimidonaphtol gegen Anilin:  $\beta$ -Naphtochinondianilid 786.
- 83:** Kohlenwasserstoffsynthesen durch Metallchloride 500; Styrolderivate (Styrolenalkohol, Pinacoline) 533 bis 537; Imabenzil 990 f.; Benzilimid, Benzilam 991; Chinone gegen Phenylhydracin,  $\beta$ -Naphtochinon-Phenylhydrazin, Phenanthrenchinon-Phenylhydrazin 1002; Constitution der Glycosen: Traubenzucker, Fruchtzucker, Rohrzucker, Galactose 1363.
- 84:** Identität des Kohlenwasserstoffs  $C_{16}H_{14}$  mit Phenylnaphtalin 567.
- 85:** Verhalten von Toluol-p-diazo- $\beta$ -naphtylamin beim Kochen mit Säuren, Constitution der durch Einwirkung von Diazoverbindungen auf  $\beta$ -Naphtylaminerhaltenen Körper 1041; Verhalten der Diazoamidverbindungen des o-Xylidins und Pseudocumidins 1042 f.; Constitution der aus  $\beta$ -Naphtylamin und Diazosalzen erhaltenen Verbindungen 1046 bis 1048: Azimido- und Hydroazimidverbindungen, ( $\alpha$ - $\beta$ )-Benzolhydroazimidonaphtalin ( $\alpha$ - $\beta$ -Naphtylenhydroazimidobenzol) 1046;  $\alpha$ - $\beta$ -Benzolazimidonaphtalin ( $\alpha$ - $\beta$ -Naphtylenazimidobenzol); ( $\alpha$ - $\beta$ )-o-Oxybenzolazimidonaphtalin ( $\alpha$ - $\beta$ -Naphtylenazimido-o-oxybenzol), ( $\alpha$ - $\beta$ )-p-Oxybenzolazimidonaphtalin ( $\alpha$ - $\beta$ -Naphtylenazimido-p-oxybenzol) 1047; Constitution der Diazoverbindungen des  $\beta$ -Naphtylamins, der o-Amidoazoverbindungen 1048; Einwirkung von Eisenchlorid auf Hydrazinverbindungen 1665.
- 86:**  $\beta$ -Naphtylaminderivate von Diazosalzen 1058; siehe Breuer (A.); siehe Hagen (D. v.); siehe Hebebrand (A.); siehe Hunäus (P.); siehe Thörner (W.); siehe Wachendorff (C.).
- Zincke (Th.) und Bindewald (H.), **84:** Phenylhydrazinderivate des  $\alpha$ - und  $\beta$ -Naphtochinons 871 ff.:  $\alpha$ -Naphtochinonhydrazid 871; Benzol-azo- $\beta$ -naphtol 873.
- Zincke (Th.) und Brauns (F.), **82:** Aether des  $\beta$ -Naphtochinon-p-toluidis: Verhalten desselben gegen salpetrige Säure 785 f.
- Zincke (Th.) und Breuer (A.), **84:** Untersuchung des Kohlenwasserstoffs  $C_{16}H_{14}$  aus Styrolenalkohol 563 bis 567: Oxydation zu dem Chinon  $C_{16}H_{10}O_2$  563; Umwandlung desselben in Chinhydrin, Hydrochinon, Oxychinon 564, in Oximidochinon, in Polychinon 565, in eine Ketonsäure (Benzoketondicarbonsäure, Constitutionsformel des Kohlenwasserstoffs, des Chinons 566, des Oxychinons 567.
- Zincke (Th.) und Hagen (D. v.), **84:** Darstellung und Derivate von Mono- und Dibromzimmtaldehyd 1046 f.
- 85:** Darstellung von Dianilidobenzochinon-Anilid und Derivaten 1664 f.; Dianilido-Benzochinon 1664, Ester von Anilido-Oxybenzochinon-Anilid (Methoxy-, Aethoxy- und Isobutoxyverbindung), Salze von Anilido-Oxybenzochinon-Anilid, Anilido-Oxybenzochinon, Dianilidobenzochinon-Anilid gegen alkoholisches Kali 1665.
- Zincke (Th.) und Hebebrand (A.), **84:** isomere ( $\alpha$ - und  $\beta$ -)Phenylmethylglycole, Untersuchung 952 f.; Einwirkung von Chinonen auf Amidophenole 1066.
- Zincke (Th.) und Hof (A.), **79:** Amine gegen Phenanthrenchinon 578 f.
- Zincke (Th.) und Lawson (A. Th.), **86:** Untersuchung über o-Amidoazo- und Hydroazoimidverbindungen 1052 bis 1058: o-Amidoazo-p-toluol) 1053; o-Diazoazo-p-toluol und Salze 1053 f.; o-Diazoazo-p-toluolperbromid und -imid (Toluolazoimidotoluol) 1055 f.; Reduction der o-Diazoazo-p-toluolsalze: m-p-Azotoluol 1056 f.; Constitution derselben 1057 f.; Constitution und Salze der  $\beta$ -Naphtylaminderivate von Diazosalzen 1058.
- Zincke (Th.) und Plimpton (R. T.), **79:** Amine gegen Naphtochinon 580 f.
- Zincke (Th.) und Rathgen (F.), **86:** Benzol-Toluolazonaphtole und isomere Hydrazinverbindungen 1058 bis 1065: Reduction von  $\beta$ -Naphtochinonphenylhydrazid:  $\beta$ -Monoamido- $\alpha$ -naphtol ( $\beta$ -Dinaphtochinon) 1058; Verhalten des Benzolazo- $\beta$ -naphtols sowie des

- $\beta$ -Naphtochinanphenylhydrazids gegen Salpetersäure und Natriumamalgam 1058 f.; Diazotierung von salpetersaurem Anilin und  $\beta$ -Naphtol 1059; Benzolazo- $\alpha$ -naphtol 1060; p-Toluolazo- $\alpha$ -naphtol und Derivate 1060 f.; o-Toluolazo- $\alpha$ -naphtol,  $\alpha$ -Naphtochinon-p- und -o-tolyhydrazid 1061 f.; p- und o-Toluolazo- $\beta$ -naphtol 1062;  $\beta$ -Naphtochinon-p- und -o-tolyhydrazid 1062 f.; Darstellung von p-Toluolazo- $\alpha$ -naphtol und seinen Derivaten 1063 f.; von  $\alpha$ -Naphtochinon-o-tolyhydrazid 1065.
- Zincke (Th.) und Thelen (H.), **84**: Einwirkung von Phenylhydrazin auf ( $\alpha$ ?) Oxynaphtochinon 868 ff.; Oxynaphtochinonphenylhydrazid 868.
- Zincke (Th.) und Wahl (R.), **81**:  $\alpha$ - und  $\beta$ -Naphtochinonanilid 636 f.
- Zincke (Th.) und Weltner (A.), **86**: Mono- und Dibrom- $\beta$ -naphtochinon 1678 f.; Mono- und Dichlor- $\beta$ -naphtochinon und Derivate 1679.
- Zincke (Th.) und Wülffing, **81**: Di- und Monomethamidothymochinon 635; Dioxithymochinon 636.
- Zingel (J.), **85**: Krystallform des Benzolhexachlorids 729, des Dinitrop-toluidins und seines Derivates  $C_6H_5N_2O_4$  886, von  $\alpha$ -Dinitrophenylm-Nitrobenzoat 1451, des m-Benzoesäuretrimethylammoniumchlorids, der Dimethylamidobenzoessäure 1454, des phenoldisulfos. Baryums 1597.
- Zingler (M.), **83**: künstliche Gutta-percha 1767.
- Zinin (N.), **77**: Isolepiden und Derivate 394; Amarsäure 812; Pyroamarsäure 813; Isobutylamarsäure 814.
- 80**: Benzoin, Destillation 613 f.
- Zinno (S.), **77**: Darstellung des Sauerstoffs 206.
- Zinoffsky (O.), **85**: Analysen von Hämoglobin 1834.
- Ziomeczynski (R.), **83**: Ueberführung der Sulfate des Baryums und Strontiums in die Oxyde 1695 f.
- Zipperer (P.), **85**: Untersuchung der Rinde von *Parameria vulneraria* 1818.
- 86**: Bestimmung der Stärke in Körnerfrüchten 1974.
- Zirkel (F.), **79**: Limurit 1251 f.
- 80**: Rutil 1412.
- Ziurek, **85**: Verfälschungen des Weinsteins mit Alaun 1960.
- Znatowicz (B.), siehe Wreden (F.).
- Zöller (Ph.), **86**: Globulinsubstanzen in den Kartoffeln 1042; antiseptische Wirkung der Xanthogensäure 1137.
- Zöller (Ph.) und Grete (E. A.), **77**: Ammoniumnitrit 226.
- Zomakion, **85**: Stromleitung durch Gase 289 f.
- Zorn (W.), **77**: untersalpetrigs. Silber (Nitrosylsilber) 220.
- 78**: Verhalten von Chlorammonium gegen Nitrosylsilber 327; Diazoäthoxan 489 f.
- 79**: Bildung von untersalpetrigsaurem Salz und Hydroxylamin bei der Elektrolyse von Kaliumnitrit 211 f.
- 82**: untersalpetrige Säure 240 ff.
- Zott (A.), **86**: Permeabilität von Diaphragmen 162 ff.
- Zotta (V. v.), **78**: Jodkalium gegen  $\beta$ -Dibrompropionsäure 695 f.
- Zschokke (B.), siehe Graebe (C.).
- Zsigmondi (R.), siehe Benedikt (R.).
- Zuber (R.), **86**: Vorkommen von Hälleflinta 2305; siehe Wispek (P.).
- Zuckschwerdt und West, **81**: Bestimmung des Kaliums 1179.
- Züblin (H.), **79**: Isobernsteinsäure 613.
- 81**: Halogene (Chlor, Brom, Jod) 150 f.
- Züblin (J.), **77**: normales Nitrobutan 421; Derivate, Dinitrobutan, Isositrobutan 422; Isodinitrobutan 423.
- 78**: Azobenzolacetessigsäure, Azotoluolacetessigsäure 811 f.; siehe Meyer (V.).
- Zülzer (W.), **85**: Bestimmung des Chlors im Harn 1992.
- Zürcher (K.), **85**: Verhalten von Anilinschwarz auf Geweben 2220.
- Zürrer (R.), **85**: Identität des Campholensäure mit dem Oxycampher, Nitrooxycampher 1525 f.; campholens. Calcium 1526; siehe Goldschmidt (H.).
- Zulkowsky (K.), **77**: Corallin, Pseudorosolsäure, Rosolsäure 600; Filtrirapparat 1099.
- 78**: Corallin 596 f. Diastase, Ferment der Rübenschnitzel; 1034.
- 80**: Corallin 666 f.; lösliche Stärke 1005 f.; Dumas'sche Stickstoffbestimmung 1199; Corallin 1394.
- 81**: Corallin (Aurin) 570; Bestimmung des Schwefels in Kiesen 1166.
- 82**: Tetrabromaurin, Tetrabrommethyllaurin, Methyllaurin gegen Kali 718, gegen Wasser: Dioxymethoxy-

non, Corallinphthalein gegen Kali, Aurin gegen Schwefelsäure 719.

**83:** Bestimmung des Mangans in Eisenerzen 1569; optische Prüfung eines Gemisches von Rohrzucker und Invertzucker, Bestimmung des Invertzuckers mittelst Fehling'scher Lösung 1618; Tabellen zur Ermittlung des Invertzuckers 1619; Prüfung eines Gemenges von Neutralfett und Fettsäuren 1646; Bestimmung des Gehaltes der Blutlaugensalzschnmelze an Ferrocyankalium 1699; an Rhodankalium 1699 f.

**84:** farbige Verbindungen von Phenol mit aromatischen Aldehyden (Salicylaldehyd, p-Oxybenzaldehyd) Darstellung 955 bis 958; Auron 957;

Bildung von Farbstoffen beim Erhitzen aromatischer Säuren mit Phenolen 1194 f.

Zulkowsky (K.) und Lepéz (C.), **84:** Bestimmung von Halogenen in organischen Substanzen 1614.

**85:** Bestimmung der Halogene in organischen Körpern 1944 f.

Zuntz und Mering (v.), **83:** Einfluss der Nahrungszufuhr auf die thierischen Oxydationsprocesse 1435.

Zuntz (N.), **82:** Bedeutung der Amidosubstanzen für die thierische Ernährung 1186.

Zwanziger, **84:** Analyse von Amalgam 1902.

Zwergel (A.), **83:** Herstellung von Farbholzextracten 1783.

## Berichtigungen.

Seite 68 links Zeile 4 von unten statt  $C_{16}H_{10}$  lies  $C_{16}H_{12}$ .

„ 75 links Zeile 26 von oben statt **84** lies **85**.

„ 102 links Zeile 14 von oben statt Garasin lies Sarasin.

„ 163 links Zeile 14 von unten statt Diphenylmethans lies Diphenylmethans.

„ 182 links Zeile 9 von oben statt 270 lies 1270.

„ 196 links Zeile 22 von oben statt Golebeff (P.) lies Golubeff (P.).

„ 205 rechts Zeile 17 von oben statt m-Mononitrodioäthylanilin lies m-Mononitrodioäthylanilin.

„ 211 rechts Zeile 1 von oben statt Gustavson (C.) lies Gustavson (G.).

„ 233 rechts Zeile 22 von unten statt Camichil lies Camachil.

„ 313 links Zeile 1 von unten statt 1228 lies 1828.

„ 358 links Zeile 16 von oben statt Oglobin lies Ogloblin.

„ 401 rechts Zeile 13 und 46 von oben statt Nickols lies Nichols.

„ 411 rechts Zeile 14 von oben statt Oglobin lies Ogloblin.

„ 416 rechts Zeile 1 von unten statt Cinnchonidintartrate lies Cinchonidintartrate.

„ 441 links Zeile 21 von oben statt Plöschl (L.) lies Plöchl (J.); Zeile 22 von oben statt 822 lies 824 und Zeile 23 von oben statt 823 lies 825.

„ 519 rechts Zeile 9 von unten statt 1100 lies 1109.

„ 529 links Zeile 11 von oben statt 1313 lies 1013.

„ 551 rechts Zeile 25 von unten statt Thomson (J.) lies Thomsen (J.).

## Z u s ä t z e.

---

Dubrunfaut, **78**: Invertin 1032.

Epstein (W.), **85**: Condensation von Zimmtaldehyd mit Acetessigäther 1353 bis 1357 (unter Ebstein gedruckt).

Fautrat (L.), **77**: Feuchtigkeit der Luft 1106.

Fischer (O.), **79**: Dimethylanilin, Condensationsproducte 418 f. (unter Fischer (C.) gedruckt).

Hanriot und Gilbert, **84**: Einwirkung von Vinylbromid auf Benzol mittelst Aluminiumchlorid 561 f. (unter Henriot gedruckt).

Meyer (R.), **78**: Oxydation organischer Verbindungen 320 (unter Mayer gedruckt).

Nichols (E. L.), **81**: elektrischer Widerstand und Ausdehnung von glühendem Platin 94; siehe Mackenzie (unter Nickols gedruckt).

Nichols (E. L.) und Wheeler (A. W.), **81**: Ausdehnungen von Gaslösungen 72 (unter Nickols gedruckt).

Plöchl (J.), **81**: Propylphenylglycolsäure 824 f.; Cuminamidoëssigsäure, Salicylglycolsäure 825 (unter Plöschl (L.) gedruckt).

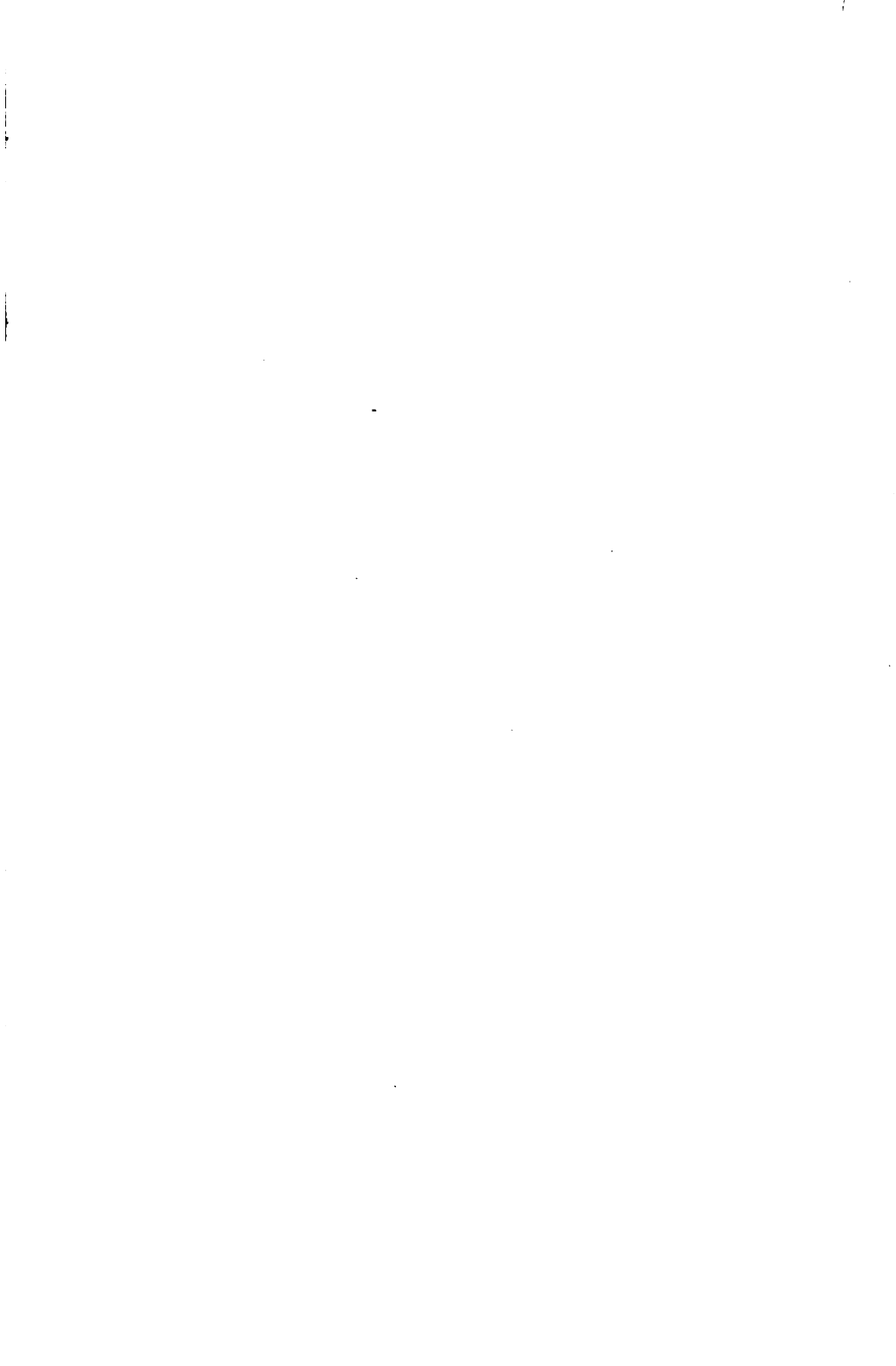
Stahl (K.), Landsberg (L.) und Engelhorn (F.), **79**: Hydrosorbinsäure und Sorbinsäure 659 f.

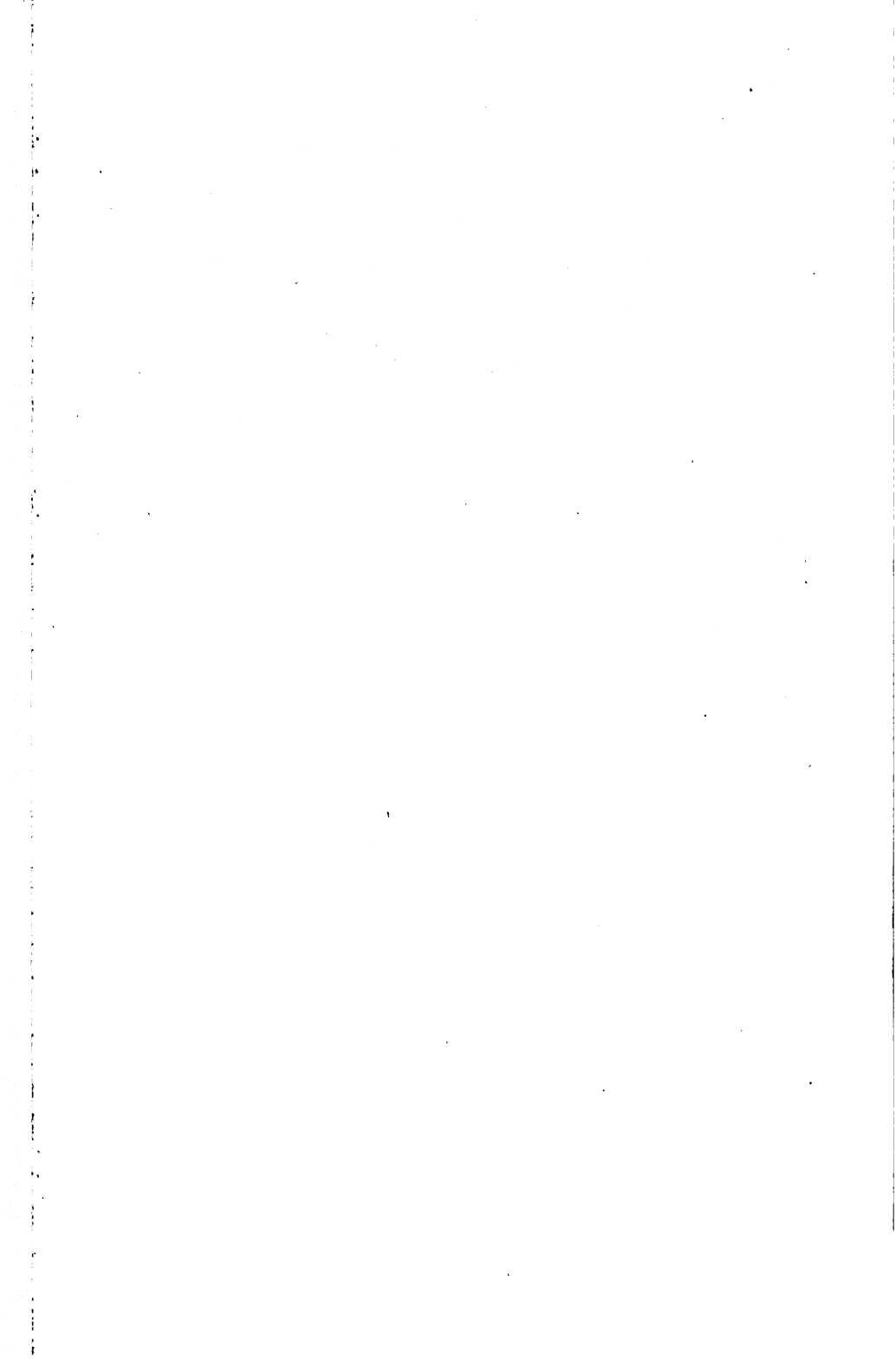
Thomsen (J.), **78**: Verhalten einer bei 30° gesättigten Glaubersalzlösung beim Erhitzen 236; Bildungswärmen von schwefels. und kohlen. Natrium mit verschiedenem Wassergehalt 237 (unter Thomson gedruckt).

**79**: Nichtexistenz des nascirenden Wasserstoffs 188 f.

---











100 1 5 1035

100 1 5 1035



JUL 17 1955

24 JUL '36

